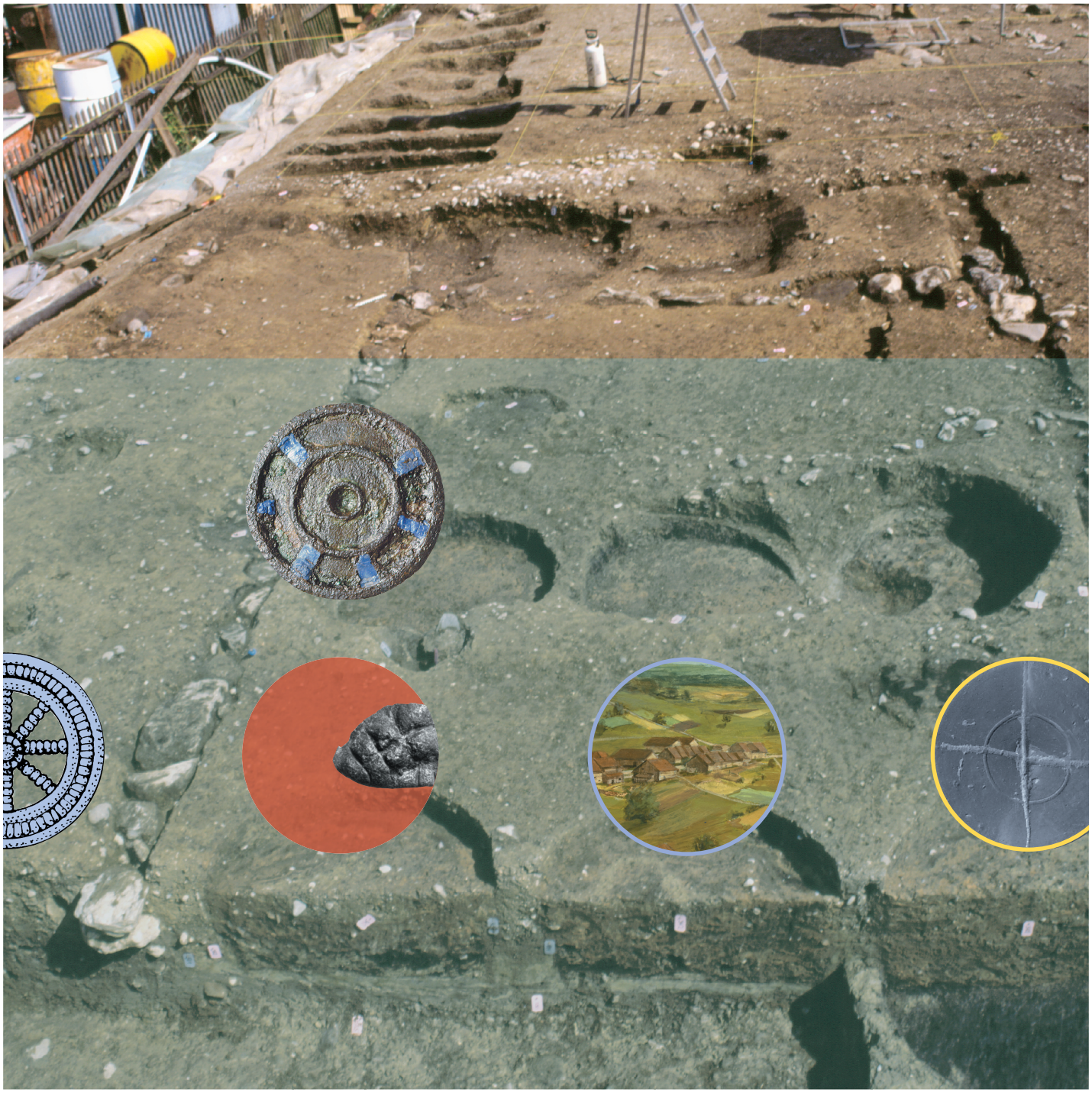
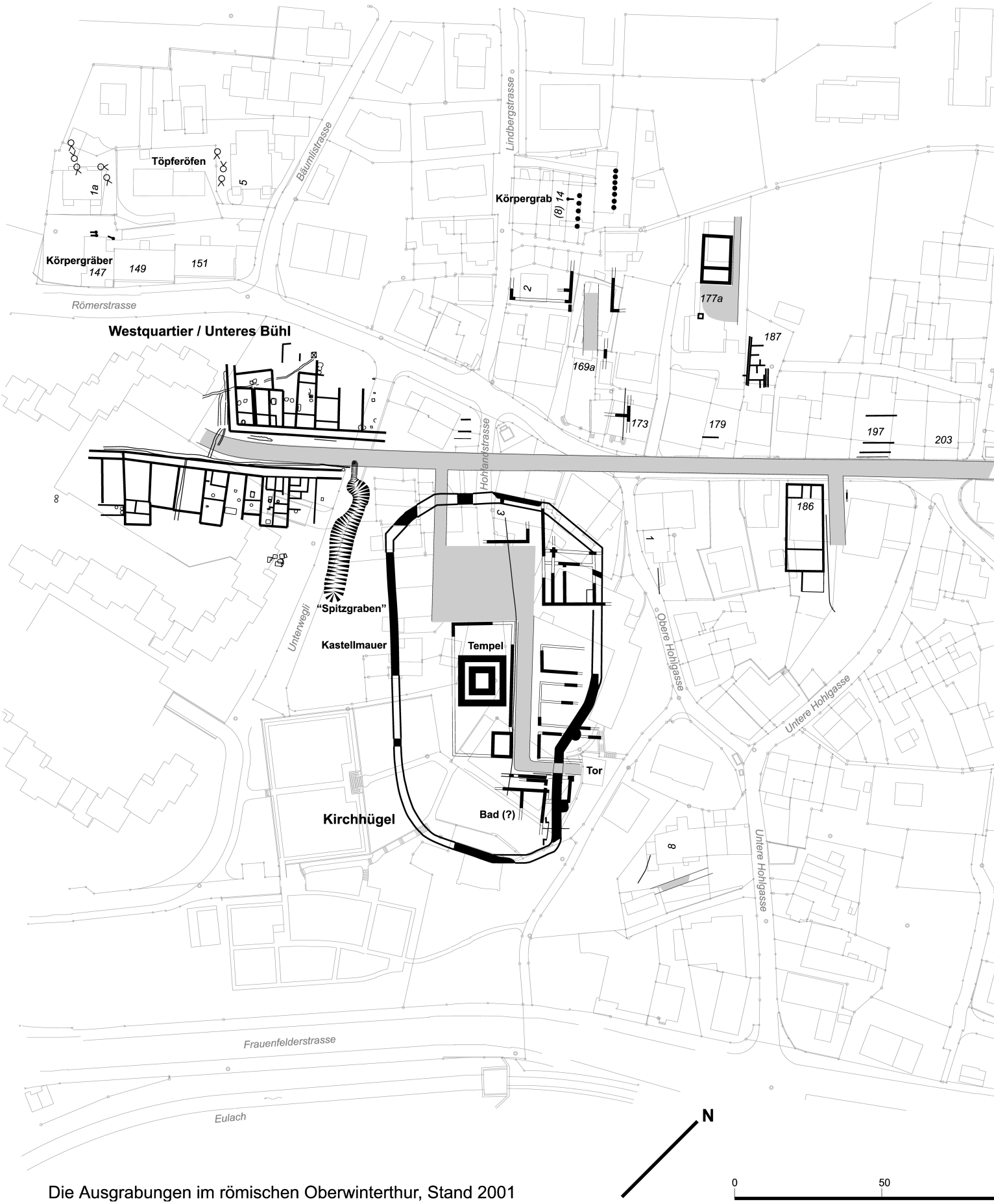
Vitudurum 9

Ausgrabungen auf dem Kirchhügel
und im Nordosten des Vicus 1988–1998



Monographien der Kantonsarchäologie Zürich 35

Zum Inhaltsverzeichnis



Die Ausgrabungen im römischen Oberwinterthur, Stand 2001

Zum Inhaltsverzeichnis



Zum Inhaltsverzeichnis

Zum Inhaltsverzeichnis

Beiträge zum römischen Oberwinterthur – Vitudurum 9

Zum Inhaltsverzeichnis

Zum Inhaltsverzeichnis

Beiträge zum römischen Oberwinterthur – VITUDURUM 9

Ausgrabungen auf dem Kirchhügel und im Nordosten des Vicus 1988–1998

Zürich und Egg 2001

Zum Inhaltsverzeichnis

Monographien der Kantonsarchäologie Zürich 35

Redaktion, Drucklegung und Druckbegleitung: Josef Gisler

Die Gestaltung wurde mit dem Layout-Programm QuarkXPress 4.11 auf einem PowerMac G4 in der Prepress Abteilung der Fotorotar AG in Egg von Hans Nägelin und Josef Gisler ausgeführt.
In dieser Publikation wurde die Schrift GaramondBQ von Berthold verwendet.

Tafelmontage: Oculus, Atelier für Illustration, Zürich; Bunter Hund, Atelier für Illustration, Zürich.

Titelbild: Sibylle Heusser und Marcus Moser, Oculus, Atelier für Illustration, Zürich.

© Herausgegeben von der Baudirektion des Kantons Zürich, Hochbauamt,
Kantonsarchäologie, 8090 Zürich
Gesamtherstellung: Fotorotar AG, Druck • Kommunikation • Verlag, Zürich und Egg 2001
ISBN 3-905647-43-5

Zum Inhaltsverzeichnis

Teil I

Einleitung

Bettina Hedinger, Florian Hoek
Rosanna Janke, Verena Jauch

Seiten 13–18

Teil II

Ausgrabungen auf dem Kirchhügel

Bettina Hedinger, Florian Hoek, Jürg Rychener
mit einem Beitrag von Karin Kob Guggisberg

Seiten 19–74

Teil III

Ausgrabungen im Nordosten des Vicus

Rosanna Janke, Verena Jauch
mit Beiträgen von Florian Hoek

Seiten 75–218

Teil IV

Ausgewählte Fundgruppen

Bettina Hedinger, Verena Jauch
Elena Corvi, Eckhard Deschler-Erb

Seiten 219–242

Teile V–VI

Anhang, Kataloge, Tafeln

Seiten 243–370

Zum Inhaltsverzeichnis

INHALTSVERZEICHNIS

Zum Geleit 11

I EINLEITUNG *(Bettina Hedinger, Florian Hoek, Rosanna Janke, Verena Jauch)* 13

1 Allgemeines 13

2 Topographie und Forschungsgeschichte 14
2.1 Kirchhügel 14
2.2 Der Nordosten des Vicus 14

3 Zur Methodik 15

4 Aufbau der Auswertungen 16
4.1 Neues vom Kirchhügel 16
4.2 Wohn- und Handwerkerquartier im Nordosten 16
4.3 Ausgewählte Fundgattungen 18

II AUSGRABUNGEN AUF DEM KIRCHHÜGEL

1 Synthese der Ausgrabungsresultate *(Bettina Hedinger* und *Florian Hoek)* 19
1.1 Wertung der Ausgrabungen auf dem Kirchhügel 19
1.2 Resultate zur Siedlungsgeschichte 20
1.2.1 Verkehr 20
1.2.2 Öffentliche Nutzung des Kirchhügels 21
1.2.3 Befestigung des Aurelius Proculus 23

2 Hohlandstrasse 3 (Ausgrabungen 1993/94) (*Florian Hoek* mit einem Beitrag von *Karin Kob Guggisberg*) 26
2.1 Einleitung 26
2.1.1 Lage der Ausgrabung 26
2.1.2 Ausgrabungsmethoden 27
2.1.3 Auswertung der Funde und Befunde 27
2.2 Die Baubefunde 27
2.2.1 Siedlungsperiode 1 (Drei grössere Gruben) 27
2.2.2 Siedlungsperiode 2 (Kiesplatz und zwei Gebäude) 31
2.2.3 Siedlungsperiode 3 (Schichten des 3. Jh.) 35
2.3 Die Funde 36
2.3.1 Siedlungsperiode 1 (0–30 n. Chr.) 36
2.3.2 Siedlungsperiode 2 (70–250 n. Chr; Beitrag von *K. Kob Guggisberg* zu zwei figürlichen Bronzeobjekten) 37
2.3.3 Siedlungsperiode 3 (spätes 2./3. Jh.) 45
2.3.4 Ausgewählte Streufunde (Spätrömische Funde und Ziegel mit Legionsstempel) 45
2.4 Ergebnisse 46
2.4.1 Ein augusteischer Militärposten auf dem Kirchhügel? 47
2.4.2 Der Kirchhügel von 70–294 n. Chr. 49
2.4.3 Der Kirchhügel in spätrömischer Zeit 50
2.5 Zusammenfassung 51

3 St. Arbogast-Stützmauer Ost (Ausgrabung 1988) *(Jürg Rychener)* 54
3.1 Einleitung und Überblick 54
3.1.1 Lage der Ausgrabung 54
3.1.2 Umstände der Ausgrabung 54
3.1.3 Aussagekraft 54
3.1.4 Übersicht 55
3.2 Befunde und Funde 55
3.2.1 Befunde aus nachrömischer Zeit 55
3.2.2 Die Befunde zur Ummauerung 55
3.2.3 Die Befunde zu Bau III 57
3.2.4 Frühere Spuren 59
3.2.5 Das Fundmaterial im Überblick 60
3.2.6 Relative Chronologie und Schichten 60
3.3 Ergebnisse 62
3.4 Beiträge zur Besiedlungsgeschichte des Kirchhügels 62
3.4.1 Einleitung 62
3.4.2 Überlegungen zu Bau III 62
3.4.3 Überlegungen zur Ummauerung von 294 65
3.5 Die Befestigung von 294 in ihrem Umfeld 65
3.5.1 Historisches Umfeld 65
3.5.2 Örtliches Umfeld 66
3.6 Zusammenfassung 66

4 Untere Hohlgasse 8 (Ausgrabung 1994) *(Jürg Rychener)* 68
4.1 Einleitung und Überblick 68
4.1.1 Lage der Ausgrabung 68
4.1.2 Umstände der Ausgrabung 68
4.1.3 Aussagekraft 68
4.1.4 Überblick 68
4.2 Befunde und Funde 68
4.2.1 Einleitung 68
4.2.2 Befunde im Nordostteil 70
4.2.3 Graben 2 71
4.2.4 Die Herkunft des Fundmaterials 72
4.3 Zusammenfassung 73

III AUSGRABUNGEN IM NORDOSTEN DES VICUS

1 Synthese der Ausgrabungsresultate *(Rosanna Janke* und *Verena Jauch)* 75
1.1 Chronologie 75
1.2 Bautechnik 76
1.2.1 Gebäudegrundrisse und Masse 76
1.2.2 Innenausbau der Gebäude 79
1.2.3 Parzellen übergreifende Baumassnahmen 81
1.3 Siedlungskontinuität und Funktionswechsel 82
1.4 Fragen zum Handwerk 85

2 Römerstrasse 203 (Ausgrabung 1998) *(Verena Jauch)* 85
2.1 Einleitung 85

2.2 Befund- und Fundvorlage 86
2.2.1 Sondierschnitt 1 86
2.2.2 Sondierschnitt 2 86
2.2.3 Beobachtungen während des Baggerabtrags 88
2.3 Zusammenfassung 89

3 Römerstrasse 209 (Ausgrabungen 1994/95) *(Verena Jauch)* 90
3.1 Einleitung 90
3.2 Topographische Situation und Vorgehensweise 90
3.3 Die Bauphasen 91
3.3.1 Phase 1 – Die älteste Holzbauphase und der Kiesweg 91
3.3.2 Phase 2a – Die zweite Holzbauphase 93
3.3.3 Phase 2b – Gebäudeerneuerung und Entwässerungskanal 95
3.3.4 Phase 3 – Neubauten 98
3.3.5 Phase 4 – Planien 101
3.3.6 Phase 5 – Umbau 103
3.3.7 Phase 6 a/b – Erneuerungen 105
3.3.8 Phase 7 – Neuzeitliche Bauaktivitäten 110
3.4 Die jüngsten römerzeitlichen Funde aus dem Areal 112
3.5 Zusammenfassung 113

4 Römerstrasse 213/215 (Ausgrabungen 1990/91) *(Verena Jauch)* 118
4.1 Einleitung 118
4.1.1 Lage der Ausgrabung 119
4.1.2 Rahmenbedingungen der Ausgrabung 119
4.2 Die Grabungsfläche im Haus 122
4.2.1 Phase 1 – Eine Werkstatt der Eisenverarbeitung und Anlage der Feuerstelle 122
4.2.2 Phase 2 – Erneuerung der Feuerstelle 131
4.2.3 Phase 3 – Zweite Erneuerung der Feuerstelle 133
4.2.4 Phase 4 – Letzte Erneuerung der Feuerstelle 137
4.2.5 Phase 5 138
4.3 Die Grabungsfläche im Gartenbereich – Feld 3 139
4.3.1 Einleitung 139
4.3.2 Phase 1 139
4.3.3 Phase 2 140
4.3.4 Phase 3 140
4.4 Ein Befund im Areal Römerstrasse 213 141
4.5 Zusammenfassung 141

5 Römerstrasse 221 (Ausgrabung 1996) *(Verena Jauch)* 146
5.1 Einleitung 146
5.1.1 Topographische Situation und Vorgehensweise 146
5.2 Die Bauphasen 147
5.2.1 Phase 1 a – Prähistorische Strukturen 147
5.2.2 Phase 1 b – Strukturen unbestimmter Zeitstellung 148
5.2.3 Phase 2 – Die älteste römerzeitliche Nutzung des Areals 149
5.2.4 Phase 3 – Erneuerung der Hausgrundrisse und erste Kiesrollierung 155
5.2.5 Phase 4 – Umbauphase und zweite Kiesrollierung 158
5.2.6 Phase 5 – Aufgabe der bestehenden Hausstrukturen und Aufplanierung des Geländes 160
5.2.7 Phase 6 – Neuzeitliche Befunde 162
5.3 Zusammenfassung 162

6 Römerstrasse 227/229 und Römerweg 5 (Ausgrabungen 1991/92 und 1988) *(Rosanna Janke)* 167
6.1 Einleitung 167
6.1.1 Topographische Lage 167
6.1.2 Zur Auswertung 169
6.2 Römerstrasse 227/229 169
6.2.1 Grabungssituation und stratigraphischer Aufbau 169
6.2.2 Befund und Datierung 171
6.3 Römerweg 5 197
6.3.1 Grabungssituation und stratigraphischer Aufbau 197
6.3.2 Befund 198
6.3.3 Funde und Datierung 201
6.4 Römerstrasse 227/229 und Römerweg 5 nach der Mitte des 2. Jh. 202
6.4.1 Stratigraphie 202
6.4.2 Befunde 203
6.4.3 Funde und Datierung 207
6.5 Siedlungsspuren im Überblick 207
6.5.1 Gebäudetypen und Konstruktionstechniken 207
6.5.2 Weitere Strukturen 209
6.6 Ausblick: Ein Handwerkerquartier am Ostrand des Vicus 210
6.6.1 Nachweis für Handwerksbetriebe 210
6.6.2 Räumliche Organisation 214
6.7 Zusammenfassung 215

IV AUSGEWÄHLTE FUNDGRUPPEN

1 Keramikstempel und Graffiti *(Bettina Hedinger* und *Verena Jauch)* 219
1.1 Italische Terra Sigillata 219
1.2 Südgallische Terra Sigillata 219
1.3 Mittelgallische Terra Sigillata 220
1.4 Ostgallische Terra Sigillata 220
1.5 Terra-Sigillata-Imitationen 220
1.6 Reibschüsseln 220
1.7 Amphoren 222
1.8 Graffiti 222

2 Die Münzen *(Bettina Hedinger)* 222
2.1 Die Fundmünzen aus dem Bereich des Kirchhügels 222
2.1.1 Menge und Zusammensetzung der Münzreihe 222
2.1.2 Die Münzen im stratigraphischen Kontext 222
2.2 Die Fundmünzen aus dem Nordostquartier 223
2.2.1 Menge und Zusammensetzung der Münzreihe 223
2.2.2 Die Münzen im stratigraphischen Kontext 224
2.3 Chemische Analysen 224

3 Die Funde aus Buntmetall *(Eckhard Deschler-Erb)* 225

3.1 Einleitung 225
3.2 Die Fundkategorien 225
3.2.1 Hausrat 226
3.2.2 Toilett-/medizinisches Gerät 229
3.2.3 Schmuck/Tracht 229
3.2.4 Militaria 230
3.2.5 Transport 232
3.2.6 Kleingerät 232
3.2.7 Schrott 233
3.2.8 Metallverarbeitung 233
3.2.9 Funktion unbekannt 234
3.2.10 Figürliches 234
3.3 Erläuterungen und Ergebnisse 234
3.3.1 Hohlandstrasse 3 235
3.3.2 Römerstrasse 209 236
3.3.3 Römerstrasse 213/215 236
3.3.4 Römerstrasse 221 237
3.3.5 Römerstrasse 227/229 und Römerweg 5 237
3.4 Zusammenfassung 239

4 Fibeln *(Elena Corvi)* 239
4.1 Datierung 241
4.2 Herkunft und Verbreitung 241

V ANHANG

1 Tabellen 243
Römerstr. 209 243
Römerstr. 221 245
Römerstr. 227/229 246
Römerweg 5 246
Übersicht über die Fundmünzen 247

2 Literaturverzeichnis 250

3 Abkürzungsverzeichnis 254

4 Abbildungsnachweise 256

VI KATALOGE

1 Hohlandstr. 3 257
2 Römerstr. 203 260
3 Römerstr. 209 261
4 Römerstr. 213/215 264
5 Römerstr. 221 266
6 Römerstr. 227/229 und Römerweg 5 270
6.1 Befundkatalog 270
6.2 Fundkatalog Römerstr. 227/229 276
6.3 Fundkatalog Römerweg 5 279
7 Buntmetalle 280
8 Fibeln 285

Tafeln 1–76 289

Rekonstruktion des Vicus 367

Publikationen 369

Zum Inhaltsverzeichnis

Zum Inhaltsverzeichnis

Zum Geleit

In den Jahren 1988 bis 1998 war die Kantonsarchäologie in Oberwinterthur pausenlos mit kleinen bis sehr grossen Rettungsgrabungen mit hoher Befund- und Funddichte beschäftigt. Der anschliessend auch bei den Auswertungen anfallende Arbeitsumfang verlangte einen gut koordinierten Einsatz der zur Verfügung stehenden Ressourcen im Hinblick auf die Umsetzung eines kohärenten Publikationskonzepts. Die Grundlage dazu wurde bereits 1992 nach Abschluss der Ausgrabungen an der Römerstrasse 169a, 187 und 227/229 von Rosanna Janke und der Schreibenden in Zusammenarbeit mit Markus Graf, der damals noch neben dem Ressort «Urgeschichte» auch noch die römischen Projekte betreute, gelegt. Es war bereits zu diesem Zeitpunkt unser Ziel, die Ausgrabungen nach Quartieren geordnet in der Subreihe «Vitudurum» der Monographien der Kantonsarchäologie Zürich vorzulegen. Der Umstand, dass in diesen Jahren ausser den überraschenden Steinbauten im Zentrum des «vicus», die später vorgelegt werden sollen, an der Peripherie der Siedlung dreizehn Töpferöfen zum Vorschein kamen, erforderte auch die Planung eines Bandes, der der Keramikproduktion in Oberwinterthur gewidmet sein wird. Es war uns ein Anliegen, dass die Auswertungen der einzelnen Projekte durch die bereits während der Ausgrabungen zuständigen Wissenschaftler durchgeführt würden, was sich leider aus verschiedenen Gründen nicht in jedem Fall als möglich erwies. Es liess sich auch nicht verhindern, dass weitere, in Oberwinterthur und im übrigen Kantonsgebiet notwendig gewordene Rettungsgrabungen in den vergangenen Jahren die Arbeit aller Verantwortlichen mehrfach unterbrochen haben, was einem schnellen Abschluss der Manuskripte hinderlich war.

Der vorliegende Band vereinigt die wissenschaftlichen Auswertungen von neun sehr unterschiedlichen, zwischen 1988 und 1998 durchgeführten Ausgrabungen im Bereich des «vicus» von Oberwinterthur. Drei davon ergänzen unsere Kenntnisse zum Bereich des Kirchhügels, dem bereits der Band «Vitudurum 1» gewidmet war, die übrigen bilden einen Schwerpunkt im bisher schlecht bekannten nordöstlichen Teil der Siedlung.

Die Hauptlast bei diesem Vorhaben oblag Rosanna Janke, die zusammen mit Verena Jauch Koordinationsaufgaben übernahm und selbst die grossflächigen Ausgrabungen an der Römerstrasse 227/229 bearbeitete. Für die Auswertung der am Römerweg 5 freigelegten Befunde konnte sie auf sorgfältige Vorarbeiten von Peter Albertin zurückgreifen. Daneben übernahm in verdienstvoller Weise Verena Jauch die Auswertung einiger kleinerer Ausgrabungen. Florian Hoek wertete nicht nur die von ihm selbst auf dem Kirchhügel geleitete Untersuchung aus, sondern unterstützte auch Rosanna Janke bei der Materialauswertung des Wohn- und Gewerbequartiers im Nordosten des «vicus». Schliesslich stiess auch Jürg Rychener nach Abschluss seiner Arbeiten zum Gutshof in Neftenbach zu unserer Gruppe und kümmerte sich um zwei kleinere Eingriffe am Kirchhügel. Elena Corvi, Eckhard Deschler-Erb, José Diaz Tabernero, Karin Kob Guggisberg und Daniel Schmutz leisteten kleinere, aber deshalb nicht weniger wichtige Beiträge, indem sie ihr Wissen bei der Bearbeitung einzelner Fundgattungen einfliessen lassen konnten. Ihnen sowie allen weiteren beteiligten, im Haus und im Freien tätigen Mitarbeiterinnen und Mitarbeitern und unseren wissenschaftlichen Gesprächspartnern sei für ihren Beitrag am Gelingen des Vorhabens ebenso wie den zuständigen Bauherrschaften und Behörden für ihr Verständnis herzlich gedankt.

Bettina Hedinger

Zum Inhaltsverzeichnis

Zum Inhaltsverzeichnis

I EINLEITUNG *(Bettina Hedinger, Florian Hoek, Rosanna Janke, Verena Jauch)*

1 ALLGEMEINES

Nach dem 1988 veröffentlichten Band Vitudurum 3, der den Rettungsgrabungen 1983–1986 gewidmet war[1], erscheint erstmals wieder eine Monographie über verschiedene grössere und kleinere Grabungen im Bereich des römischen Vicus. Die zwischenzeitlich publizierten Bände Vitudurum 4–5 und 7–8 stellen Materialvorlagen aus dem Areal «Unteres Bühl» dar[2].

Die vorliegende Publikation befasst sich mit den auf dem Kirchhügel und im Nordostteil des Vicus zwischen 1988 und 1998 unternommenen archäologischen Untersuchungen. Auch wenn davon auszugehen ist, dass damit keine abschliessenden Resultate zu den beiden Quartieren vorgelegt und auch zukünftige Forschungen unser lückenhaftes Bild zunehmend vervollständigen werden, scheint eine Standortbestimmung zum heutigen Zeitpunkt sinnvoll. Die hier berücksichtigten Grabungen sind: auf dem Kirchhügel Hohlandstr. 3 (1993), St. Arbogast-Stützmauer (1988) und Untere Hohlgasse 8 (1994) sowie im nordöstlichen Teil des Vicus Römerstr. 203 (1998), 209 (1994–95), 213/215 (1990–91), 221 (1996), 227/229 (1991–92) und Römerweg 5 (1988). Obwohl zwischen beiden Bereichen kein direkter topographischer Bezug besteht, werden sie dennoch gemeinsam vorgelegt, da die Auswertungsarbeiten den Wissenstand bezüglich beider Quartiere wesentlich erweitert haben.

Etwa zeitgleich haben gegenüber dem Kirchhügel Grabungen an der Römerstr. 165, 169a, 173, 177a, 187 und der Lindbergstr. 2, 4, 8–14 stattgefunden[3]. Diese archäologischen Untersuchungen sollen ebenso wie die zwischen 1991 und 1996 untersuchten Töpfereibezirke an der Bäumlistr. 1a und 5, an der Dorfstr. 7 sowie an der Römerstr. 210 zu einem späteren Zeitpunkt veröffentlicht werden. Die gesamte, in den letzten zehn Jahren untersuchte Fläche des römischen Vicus beträgt ca. 7500 m^2 und umfasst stellenweise eine über 2 m hohe Stratigraphie.

---

1 Rychener 1988.
2 Rütti 1988, Deschler-Erb et al. 1996, Vitudurum 5, Vitudurum 8.
3 Vgl. die Fundberichte 1990ff. in den entsprechenden Bänden JbSGUF

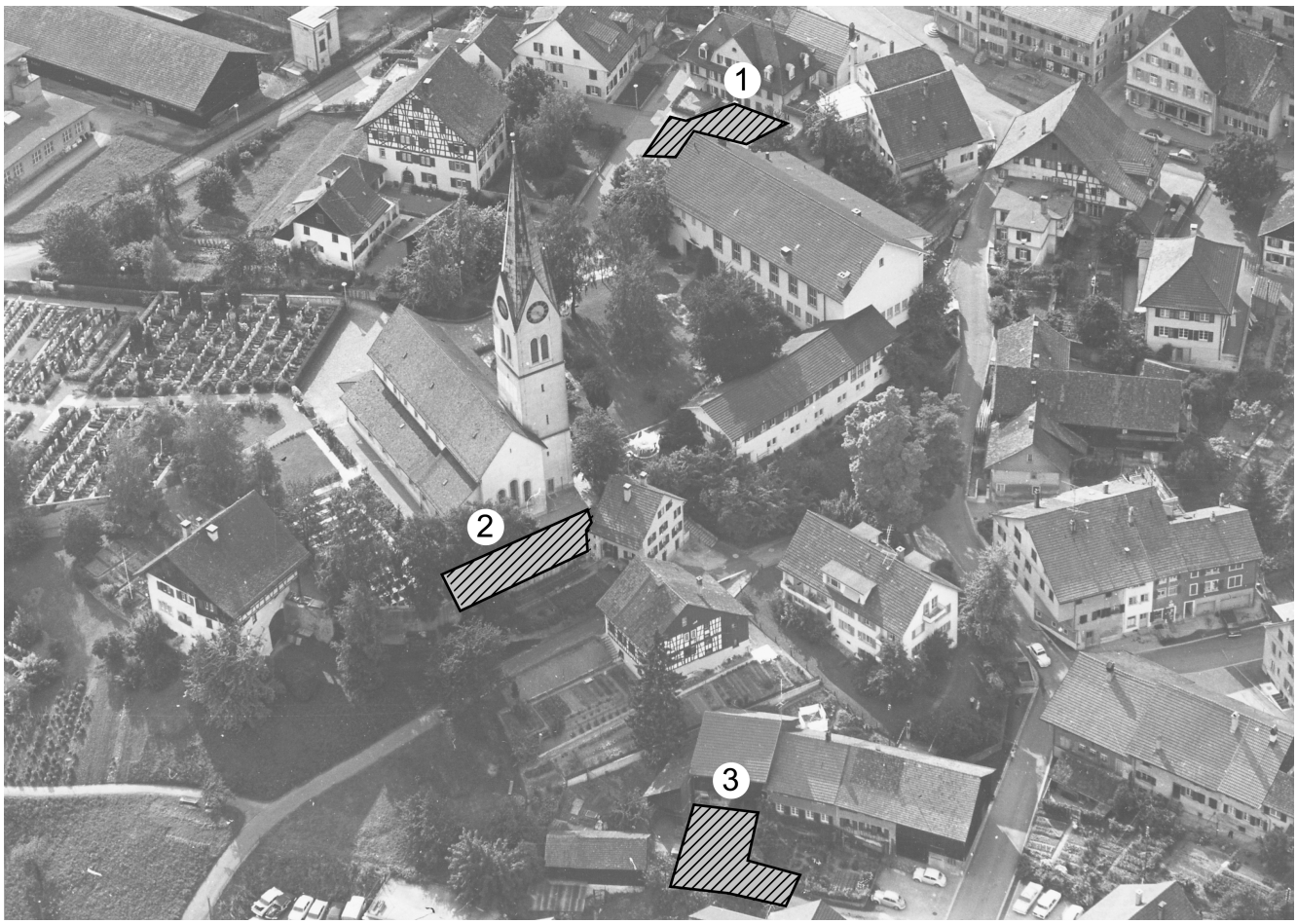


Abb. 1. Oberwinterthur, Luftbild des Kirchhügels. Markierung der 1988–1994 ausgegrabenen Flächen. 1 Hohlandstr. 3; 2 St. Arbogast-Stützmauer; 3 Untere Hohlgasse 8. Aufnahme A. Renold, 12.7.1972.

2 TOPOGRAPHIE UND FORSCHUNGSGESCHICHTE

2.1 Kirchhügel

Der markante Sporn des Kirchhügels stand während Jahrhunderten im Zentrum der archäologischen Forschung rund um die römische Siedlung Vitudurum. Dazu hatten zweifellos die mindestens bis zur Zeit des Chronisten Johannes Stumpf (1500–1577/78) sichtbaren Reste der Befestigungsmauern von 294 n. Chr. beigetragen[4]. Wie sich die Erhebung sowie der südwestlich davon liegende «Untere Bühl» im Gelände abzeichnen, zeigt der 1952 erstmals veröffentlichte Höhenkurvenplan[5]. Währenddem der «Untere Bühl» heute jedoch schwerlich erkennbar ist, hat der Kirchhügel seine besondere Situation bewahren können. Die Topographie und die Bebauung des Kirchhügels sowie die geborgenen Funde liessen frühzeitig vermuten, dass sich hier ein Zentrum des Vicus befinden musste[6]. Die verschiedenen im 20. Jh. durchgeführten Grabungen und besonders die Freilegung des gallorömischen Umgangstempels bestätigten diese Annahme[7]. Der frühe Tod von Hans Rudolf Wiedemer verhinderte leider eine umfassende Publikation des Forschungsstandes bis 1960, der die systematischen Untersuchungen von Johann Nepomuk Bürkel (1934), Hansjörg Bloesch und Herbert Isler (1949–51) sowie Hans-Rudolf Wiedemer (1957–59) selbst umfasst hätte. Seine 1960 abgeschlossene Dissertation mit dem Titel «Ur- und Frühgeschichte der Winterthurer Gegend» wurde sechzehn Jahre später und nur auszugsweise publiziert[8]. Damit besteht nach wie vor eine für unsere Kenntnisse der Geschichte des Kirchhügels empfindliche Wissenslücke. 1984 wurden erstmals die Resultate verschiedener flächiger Grabungen (1976, 1980/81) auf dem Kirchhügel in einer Monographie vorgestellt[9]. Daran knüpfen die Autorinnen und Autoren in den vorliegenden Auswertungen an, da die Grabungen der berücksichtigten Jahre 1988–1998 Flächen betreffen, die teilweise an die Befunde unter der Kirche und im Kirchhofareal angrenzen (Abb. 1). So ist etwa die Ausgrabung an der Hohlandstr. 3 in Bezug zur übrigen Kirchhügelbebauung zu setzen; sie ergab zudem interessante Hinweise auf religiöse Vorstellungen der Vicusbewohner. Die Untersuchung der Stützmauer von St. Arbogast lieferte nicht nur Resultate bez. des Verlaufs der Befestigungsmauer, sondern ermöglichte auch eine Revision der Bauetappen des Gebäudes, dessen Nutzung als Bad erwogen wird. Durch die Ausgrabung an der Unteren Hohlgasse 8 schliesslich erhielten wir erstmals Hinweise zur Gestalt der Abhänge des Kirchhügels.

2.2 Der Nordosten des Vicus

Geographisch bewegen wir uns vom Zentrum des Vicus nach Osten in den Bereich nördlich der antiken Hauptstrasse. Ausgehend von einer Baubegleitung auf der Parzelle Römerstr. 203 gelangen wir über die kleineren Untersuchungen an der Römerstr. 209, 213/215 und 221 zum grossen Vicusquartier an der Römerstr. 227/229 und Römerweg 5 (Abb. 2). Die untersuchten Flächen erstrecken sich von Westen nach Osten über eine Distanz von etwa 140 m, wobei das Gefälle des gewachsenen Bodens rund 4,5 m beträgt.

Eine auf der nahe gelegenen Flur «Schiltwiesen» in den Jahren 1953 und 1967 freigelegte Nekropole mit 22 Brandbestattungen des 1.–2. Jh. bezeugt, dass die Areale Römerstr. 227/229 und Römerweg 5 in der Nähe der antiken,



Abb. 2. Vicus Vitudurum, Nordostquartier. Übersichtsplan M. 1:2000.

archäologisch noch schlecht fassbaren Siedlungsgrenze gelegen sind (vgl. Vorsatz)[10]. Diese Hypothese wird von einem Negativbefund an der Römertorstr. 15 unterstützt, wo 1998 bei einer baubegleitenden Untersuchung – allerdings auf einer kleinen Fläche – keinerlei römische Siedlungsspuren beobachtet werden konnten[11]. Zu einem späteren Zeitpunkt ist mit einer Verkleinerung der Siedlungsfläche zu rechnen, da am Ende des 4. oder spätestens zu Beginn des 5. Jh. zumindest der östliche Teil der Römerstr. 227/229 als Friedhof gedient hatte (s. unten Teil III, Kap. 6.4.2).

Abgesehen vom Areal Hotel-Restaurant «Zum Römertor» (nordöstlicher Bereich der Nekropole Schiltwiese), wo neben den Brandgräbern auch ein Strassentrassee zum Vorschein kam, das von der Antike bis zur Neuzeit mehrfach erneuert wurde (Abb. 3), erfolgten im Nordostteil des Vicus seit den 30er Jahren des 20. Jh. nur kleinflächige Untersuchungen[12]. Die Strasse dürfte in ihrer ursprünglichen Form wohl der im Itinerarium Antoninini aufgeführten römischen Verkehrsverbindung nach Rätien entsprochen haben. Südöstlich der Strasse entdeckte man an verschiedenen Stellen Teile von Gebäudegrundrissen, von denen besonders die jüngsten Ausgrabungen an der Püntenstr. 2 erwähnenswert sind[13]: Hier konnten Teile eines um 70/80 n. Chr. errichteten und zu Beginn des 2. Jh. bereits wieder abgebrannten Gebäudes



Abb. 3. Profil des Strassenabschnitts unter dem Hotel Römertor. Aufnahme 1999.

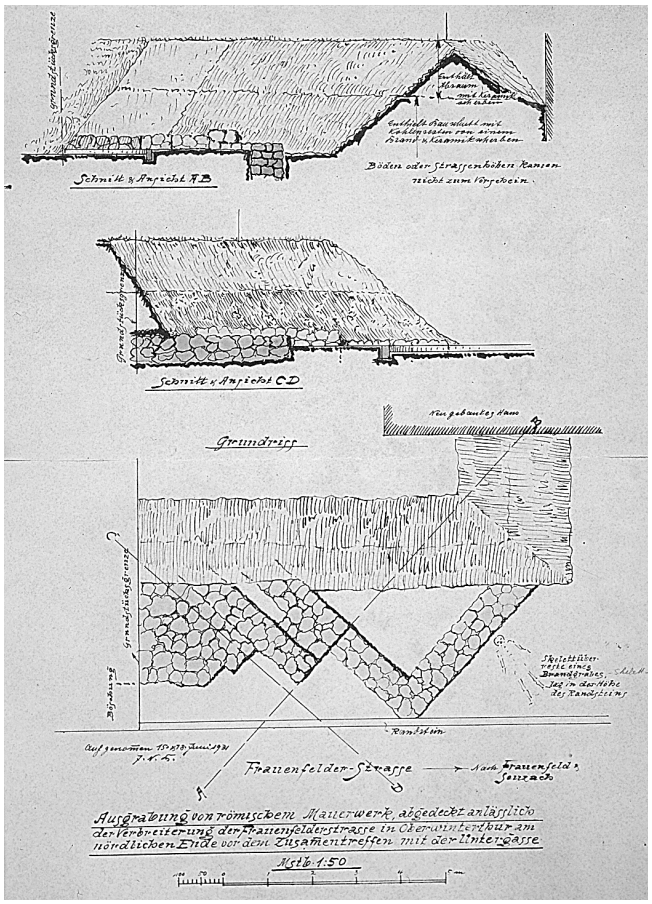


Abb. 4. Römertorstr. 9. Die 1931 entdeckten Mauerreste mit der Körperbestattung.

gefasst werden, von welchem insbesondere ein Steinkeller zu untersuchen war. In Bezug auf die antike Hauptstrasse des Vicus lag dieser vermutlich auf der hinterhofseitigen Baulinie. Mit den nordöstlich davon liegenden, im Bereich der Römertorstr. 9 (1931) und Römertorstr. 16 (Untersuchungen 1957/67/74) sich befindenden Reste von Steinbauten könnte die Siedlungsgrenze erreicht worden sein. Dass hier im Gegensatz zu den im vorliegenden Band ausgewerteten Ausgrabungen keine Spuren von Holzbauten festgestellt worden waren, hängt vermutlich mit den damaligen methodischen und zeitlichen Möglichkeiten der archäologischen Untersuchungen zusammen. An der Römertorstr. 9 war 1931 neben den Mauerresten auch ein menschliches Skelett (Abb. 4) geborgen worden, das möglicherweise in Zusammenhang mit den spätantiken Bestattungen an der Römerstr. 227/229 zu betrachten ist.

Weitere baubegleitende Untersuchungen in diesem Siedlungsgebiet ergaben keine Resultate[14].

3 ZUR METHODIK

Es liegt auf der Hand, dass jedes Untersuchungsobjekt individuellen Voraussetzungen unterliegt. Der Veranschaulichung dient eine Gegenüberstellung der insgesamt sechs archäologischen Untersuchungen im Nordostquartier (Abb. 5). Im Hinblick auf deren Vergleichbarkeit wird schnell deutlich, dass beispielsweise die Aussagekraft eines 4 m² grossen «Guckloches» wie die Römerstr. 203 viel stärker eingeschränkt ist als diejenige der 2000 m² umfassende Grabungsfläche im Areal Römerstr. 229/Römerweg 5. Auch vermögen die durch intensive Nutzung bereits in römischer Zeit sehr stark in Mitleidenschaft gezogenen Flächen der Ausgrabung an der Römerstr. 209 keine ungestörten Schichtabfolgen zu liefern. Die Faktoren Grösse und Zustand der Grabungsfläche sowie Dauer und Intensität prägen somit stark die Qualität und die Möglichkeiten einer Auswertung. Ein anderer bestimmender Faktor liegt ganz klar in der Arbeitsweise der verschiedenen BearbeiterInnen: Diese äussert sich generell in einer unterschiedlichen Prioritätensetzung und im Aufbau des Manuskriptes, seiner Gliederung, der Periodisierung in Phasen oder Siedlungshorizonte. Die verschiedenen Beiträge bestehen daher aus eigenständigen Grabungsauswertungen, die für sich stehend mit Einleitung, Befundvorlage, Datierung und Zusammenfassung gelesen werden können und mit Ausnahme des Kirchhügels unabhängig von älteren Grabungen und damit einhergehenden bereits bestehenden Periodisierungen erarbeitet wurden. Hauptaspekte bezüglich Siedlungsentwicklung und Bautechnik werden in einem einleitenden übergreifenden Teil dargelegt.

---

4 J. Stumpf, Gemeiner löblicher Eydgnoschafft Stetten Landen und Völckeren Chronik wirdiger thaaten beschreybung (Zürich 1547) Buch 5 Kap. 32.

5 Vgl. die aktualisierte Version: Vitudurum 5, 9 Abb. 1.

6 Die Forschungsgeschichte bis 1960 ist zusammengefasst bei Wiedemer 1976, 11–26 und aktualisiert bei Rychener 1984, 9f. Sie soll hier nicht wiederholt werden.

7 Bloesch/Isler 1952; Wiedemer 1976.

8 Wiedemer 1976.

9 Rychener 1984.

10 Das Gräberfeld ist seit 1775 bekannt (A. Werdmüller, Memorabilia Tigurina [1780] I, 22; II, 12. 227). Grabungen der Kantonalen Denkmalpflege 1953 und 1967 im Areal Schiltwiese (Drack 1966/67, 162–167). 1858 fand Oberst Pfau im Bereich der nordöstlich angrenzenden Flur Römerwiesen ein Skelettgrab (Wiedemer 1976, 16) und unweit davon, in der Flur Hegmatten, kam 1935 ein goldener Fingering mit der Inschrift FIDEM CONSTANTINO zum Vorschein (Archiv KA Zürich). Beide Funde dürften darauf hinweisen, dass sich etwa 800 m nordöstlich des Kirchhügels ein spätrömischer Bestattungsplatz befand.

11 Archiv KA Zürich.

12 Drack 1966/67. Der römische Strassenkörper wurde im Mittelalter weiterbenutzt und sukzessiv bis in die Neuzeit erhöht. W. Drack, Hufeisen – entdeckt in, auf und über der römischen Strasse in Oberwinterthur (Vitudurum). Bayer. Vorgeschbl. 55, 1990, 191–239. Die Fortsetzung der Strasse war in der angrenzenden Gemeinde Rickenbach, Römerhof, als römischer Strassenabschnitt nachzuweisen. In den Jahren 1928–1934 wurden bei Sondierungen wiederholt Reste der 3,60 m breiten Strasse mit ihrer über 1 m mächtigen Kiesschicht freigelegt, wobei auch ein Hufschuh gefunden wurde. Archiv KA Zürich. JbSGU 1928, 92; 1939, 84; 1934, 62.

13 Zu den Fundstellen vgl. Rychener 1988, 67–97.
– Römertorstr. 9 (Ausgrabung 1931, J.N. Bürkel, Historisch-Antiquarischer Verein Winterthur): sog. Schutthügel; Mauerreste fälschlicherweise als Torbau interpretiert.
– Römertorstr. 16 (Dokumentation von Herbert Isler und Hans-Rudolf Wiedemer 1957, Sondierungen und Baubegleitung durch die Kantonale Denkmalpflege 1967 und 1974): Teil eines Gebäudegrundrisses.
– Püntenstr. 2 (Ausgrabung 1986, KA Zürich): Keine Holzbauphasen.

14 Römertorstr. 15 (1998); Römerstr. 218 (1984): hier wurde entgegen einer ersten Baueingabe auf eine Unterkellerung verzichtet und nicht bis zu den römischen Schichten abgetieft; Archiv KA Zürich.

Ausgrabung	Römerstr. 203 (1998)	Römerstr. 209 (1994–1995)	Römerstr. 213/215 (1990–1992)	Römerstr. 221 (1996)	Römerstr. 227/229 (1991–1992)	Römerweg 5 (1988)
Grösse	a. 2 Sondierschnitte à 2 m² b. flächiger Baggerabtrag auf 160 m²	a. innerhalb Gebäude 12 m² b. ausserhalb Gebäude 50 m²	a. 25 m² Fläche, ansonsten nur Profile b. 11,5 m² (neuzeitlich)	a. innerhalb Gebäude 10 m² (neuzeitlich) b. ausserhalb Gebäude 37 m²	1500 m²	520 m²
Situation	Freifläche	innerhalb und ausserhalb Gebäude	innerhalb und ausserhalb Gebäude	innerhalb und ausserhalb Gebäude	innerhalb und ausserhalb Gebäude	Freifläche
Stratigraphie	60–70 cm	80 cm	30–40 cm; F.3 max. 90 cm	50–75 cm	bis zu 80 cm	bis zu 80 cm
Dauer	a. 5 Tage b. 2 Tage	22 Wochen	22 ½ Wochen	9 Wochen	13 Monate, bei einer Grabungsequipe von durchschnittlich 10–12 Personen	5 Wochen, mit durchschnittlich 6 MitarbeiterInnen
Datierung	typologisch	typologisch	typologisch	typologisch	typologisch; Dendrochronologie	typologisch
Probleme	sehr kleine Fläche	viele Störungen, römische und neuzeitliche, sehr enge stratigraphische Folge, zu wenig Profilschnitte	kleine Fläche, viele Störungen innerhalb Gebäude, Raubgräber	kleine Fläche	viele Störungen; Ausgrabung musste teilweise gleichzeitig mit Bauarbeiten erfolgen: keine sinnvolle Einteilung der Grabungsfelder möglich, kein logisches Vorgehen	grosser Zeitdruck; fast ausschliesslich maschinelle Abträge

Abb. 5. Vicus, Nordostquartier. Überblick über die Grabungsflächen.

Die Funde wurden in der Regel als datierendes Element behandelt. Im Katalog sind sie in der Absicht, ein möglichst homogenes Datierungsspektrum aufzuzeigen, phasenweise abgebildet. Zusätzlich wurden auffallende oder seltene Objekte in den Katalog aufgenommen.

In Bezug auf die Datierung besonders aussagekräftig gilt die Gruppe der Feinkeramik. Diese umfasst Terra Sigillata, Terra-Sigillata-Imitation (ohne die Formen Drack 19–22), bleiglasierte Ware und Glanztonkeramik. Letztere wird in den von Verena Jauch vorgelegten Ausgrabungen in die sog. frühe und klassische Glanztonkeramik gegliedert. Unter früher Glanztonkeramik wird dünnwandige Ware, hauptsächlich des beginnenden 1. Jh., mit hellem Ton und gelblich bis dunklem Überzug verstanden; an häufigen Dekorationsmotiven begegnen aufgetragener Sandbewurf («begriesste Ware») und Tonschlicke in Form von Netzwerk, Schuppen oder «Brombeermustern»[15]. Die sog. klassische Glanztonkeramik bezeichnet eine dünnwandige, hart gebrannte Ware mit einem häufig metallisch glänzenden, braunen bis schwarzen Überzug, zum Teil mit Barbotine- oder Kerbverzierung im Sinne der von F. Drexel 1911 anhand der Keramik aus dem Kastell Faimingen (D) aufgestellten Gruppe[16].

4 AUFBAU DER AUSWERTUNGEN

4.1 Neues vom Kirchhügel

Der erste Teil der Grabungsvorlagen betrifft den Kirchhügel, wo sich Florian Hoek und Jürg Rychener mit drei sehr unterschiedlichen Befundsituationen befassen. An der Hohlandstr. 3 konnte Florian Hoek eine stratigraphische Abfolge beobachten, die von den Anfängen des Vicus in der spätaugusteischen Zeit bis zum 3. Jh. reichte. Aus der Spätantike liegen nur noch unstratifizierte Streufunde vor. Zu den in diesem Bereich überraschenderweise entdeckten kultischen Kleinbronzen wurde ein Beitrag von Karin Kob verfasst.

Bei den beiden von Jürg Rychener ausgewerteten kleineren Ausgrabungen, Stützmauer St. Arbogast und Untere Hohlgasse 8, wurde auf eine Materialvorlage verzichtet, da die aus dem wenigen stratifizierten Material resultierenden Hauptaussagen zur Datierung tabellarisch zusammengefasst werden konnten. Dank der Sanierung der östlichen Stützmauer von St. Arbogast ergab sich die Gelegenheit, ein Stück des bisher nur sehr lückenhaft bekannten Verlaufs der 294 n. Chr. errichteten Mauer zu verfolgen, die an der Stelle zwischen zwei Halbrundtürmen, im Bereich eines Tors, einen eigentümlichen Knick aufweist. Auf der am östlichen Abhang des Kirchhügels liegenden Parzelle Untere Hohlgasse 8 konnten nur in beschränktem Umfang römische Befunde festgestellt werden, was eine knappe Vorlage der Untersuchungsresultate ermöglichte.

Einen Schwerpunkt der Untersuchungen auf dem Kirchhügel bilden bereits 1984 formulierte Fragen. Dazu gehören die noch nicht gesicherte Existenz eines frühkaiserzeitlichen Militärpostens als Folge des Alpenfeldzugs im Jahre 15 v. Chr. sowie die spätkaiserzeitliche Nutzung des Hügels, insbesondere die bisher noch nicht bekannte Innenbebauung der Befestigung. Ein weiteres Thema betrifft die Interpretation der entdeckten Kultobjekte in diesem zentralen Bereich des römischen Vitudurum[17].

4.2 Wohn- und Handwerkerquartier im Nordosten

Im Umfang weit bedeutender ist der Monographieteil, der den Grabungen im Nordosten des Vicus gewidmet ist.

Die Vorlage der Untersuchungen an der Römerstr. 203, 209, 213/215 und 221 stammt von Verena Jauch, die Grossgrabung im Areal Römerstr. 229/Römerweg 5 wurde von Rosanna Janke ausgewertet.

Bei den mit zwischen 4 und 62 m² grossen Grabungsflächen eher kleinen Untersuchungsgebieten der Fundstellen Römerstr. 203, 209, 213/215 und 221 wurden die stratigraphisch fassbaren Abfolgen als (Bau-)Phasen bezeichnet (Phasen 1, 2, 3 etc.; Abb. 6). Innerhalb eines Grundrisses benennt eine Phase den Zeitraum von der Planierung des Bauplatzes bis zum Abbruch des Gebäudes. Bauliche Erneuerungen innerhalb einer Phase werden durch Anhängen eines Buchstabens an dieselbe Ziffer gekennzeichnet (z. B. Phase 2a, 2b). In chronologischer Folge werden diese Phasen jeweils

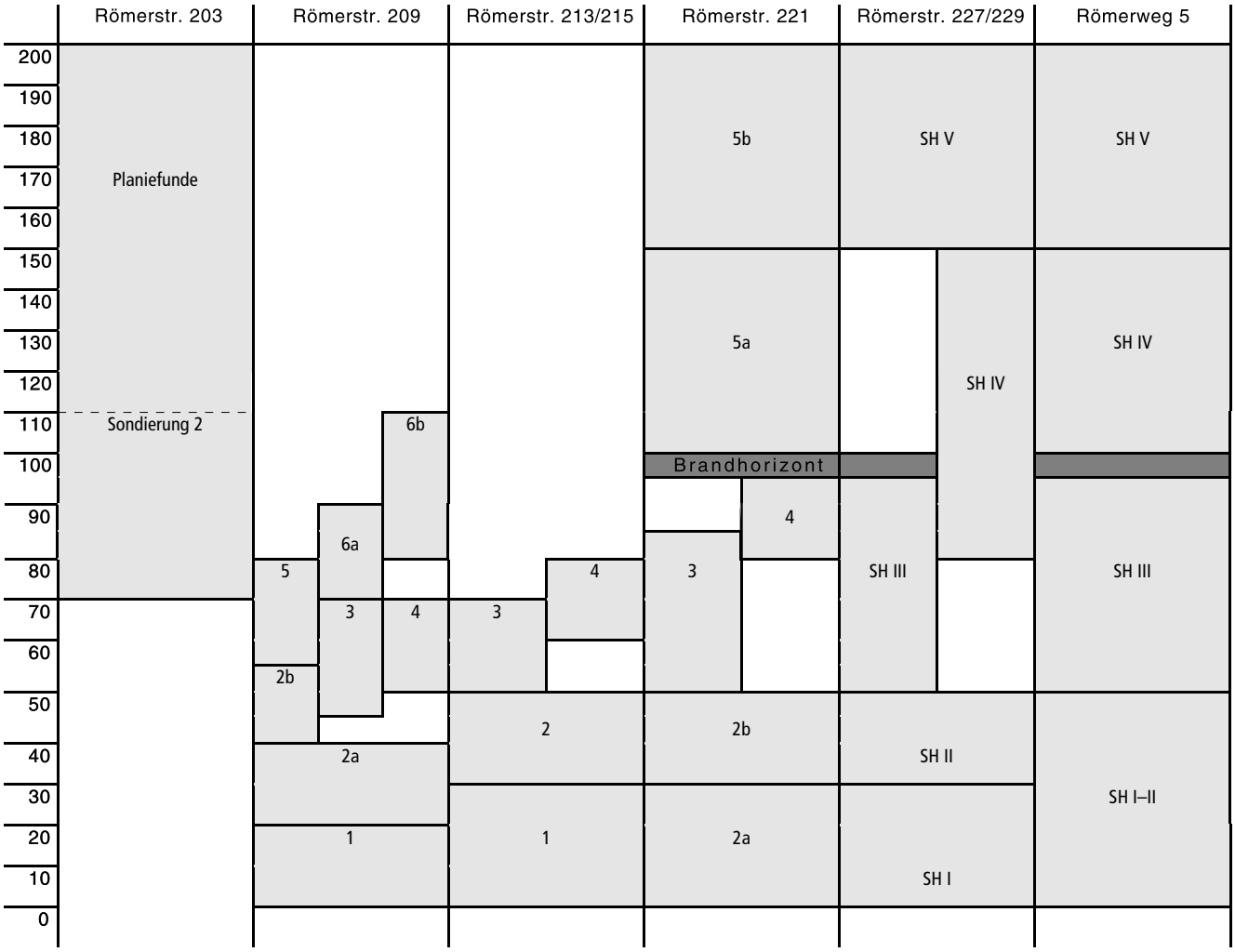


Abb. 6. Vicus, Nordostquartier. Chronologietabelle 1.–2. Jh. n.Chr., Einteilung in Bauphasen bzw. Siedlungshorizonte (SH).

mit ihrem Befund vorgestellt. Hierbei wurde die auf der Ausgrabung vorgenommene Bezeichnung mit Positionsnummern bis auf wenige Ausnahmen beibehalten, zum einen da deren Übernahme der Lesbarkeit nicht abträglich ist, zum anderen eine chronologische Angleichung im Falle dieser kleinen Grabungsflächen einen zu grossen Zeitaufwand bedeutet hätte. Bei der Fundauswertung wurde die Feinkeramik, falls es die Anzahl der Fundobjekte rechtfertigte, tabellarisch erfasst unter Aufnahme sämtlicher bestimmbaren Fragmente ohne Angabe einer Mindestindividuenzahl, da eine solche die von vornherein geringe Fundausbeute unnötig dezimiert hätte. Gewichtsangaben wurden bei der Keramik generell weggelassen, da die zu interpretierenden Befunde zu ausschnitthaft waren, als dass sie einen repräsentativen Fundquerschnitt angezeigt hätten.

Die Grabungsareale an der Römerstr. 227/229 und Römerweg 5 umfassen eine Gesamtfläche von etwa 2000 m^2. Eine grobe Schichtkorrelation erlaubte es, sieben verschiedene Siedlungshorizonte zu identifizieren, die wiederum mehrere Bauphasen beinhalten können. Aufgrund der komplexen Schichtverhältnisse und der umfangreichen Grabungsdokumentation wurde für die Befundansprache eine Neunummerierung vorgenommen, die es erlaubt, die Strukturenkomplexe in einen logischen Zusammenhang zu stellen. Die Auswertung der Funde diente primär der Datierung der Befunde, so dass innerhalb dieses Monographieteils auf eingehende Untersuchungen zu besonderen Fundgattungen verzichtet wurde.

Der Darlegung der einzelnen Ausgrabungen ist eine Synthese der Grabungsresultate vorangestellt, die die wichtigsten neuen Erkenntnisse zu Siedlungsstruktur und Bauweise aufzeigen soll (Kap. III.1). Nachdem das Siedlungsbild zunächst in seiner chronologischen Entwicklung skizziert wurde (Kap. III.1.1), beschäftigt sich ein zweiter wichtiger Abschnitt mit dem Aspekt der Bauweise (Kap. III.1.2). Bautechnische Details werden erläutert und im Hinblick auf ihre zeitliche Stellung untersucht, wobei bereits vorhandene Kenntnisse insbesondere aus Vitudurum selbst miteinbezogen werden. Des Weiteren wird die Frage nach der Art der Besiedlung im Nordostteil des Vicus gestellt (Kap. III.1.3 und III.1.4). Erlauben die archäologisch fassbaren Hinterlassenschaften Aussagen zur Gebäude- und Flächennutzung oder gestatten sie sogar die Identifizierung eines Handwerkes hinsichtlich seines Charakters, seiner Topographie und zeitlichen Stellung?

[15] Rychener 1986, 113; Ettlinger/Simonett 1952, 38; Jauch 1997, 50.
[16] ORL VI, 3, Nr. 66c, 80ff.
[17] Rychener 1984, 11; F. Hoek/K. Kob und J. Rychener Kap. II.2.3; II.3.2.5 und II.4.2.

4.3 Ausgewählte Fundgattungen

Im letzten Teil der Monographie befassen sich verschiedene Autorinnen und Autoren mit ausgewählten Fundgruppen, die flächenübergreifend behandelt werden. Die Keramikstempel und Graffiti wurden von den einzelnen Befundbearbeiterinnen und -bearbeitern zusammengetragen und von Verena Jauch und Bettina Hedinger kommentiert. Zu den von José Diaz Tabernero, Daniel Schmutz und Bettina Hedinger bestimmten Münzen ist eine summarische Wertung bezüglich der beiden Quartiere vorgenommen worden. Dabei wurden zur besseren Beurteilung des Kirchhügels auch auf die älteren Funde zurückgegriffen. In diesem Kapitel findet sich auch eine Zusammenfassung einer am Schweizerischen Landesmuseum durchgeführten, naturwissenschaftlichen Untersuchung an drei Münzen aus dem Areal Römerstr. 227/229. Eckhard Deschler-Erb widmete sich den Bronzefunden und konnte damit an seine das Material vom «Unteren Bühl» betreffende Studie anknüpfen[18]. Die Fibeln schliesslich wurden von Elena Corvi untersucht. Auch sie ergänzt mit ihrer Arbeit das von Véronique Rey-Vodoz vorgelegte Spektrum aus dem Westquartier des Vicus[19].

Die projektübergreifende Vorlage der erwähnten Fundgruppen soll zur besseren Kenntnis des Corpus bestimmter Materialien dienen, die für wirtschafts- und sozialgeschichtliche Fragen relevant sind. Die daraus resultierenden Inventare werden mit der Vorlage der neueren Grabungen in Oberwinterthur sukzessiv ergänzt werden. Ist eine bestimmte Objektmenge erreicht, können sie auch als Basis für weiterführende Fragestellungen dienen. Die in diesen Kapiteln untergebrachten Kommentare sind entsprechend knapp gehalten und beschränken sich auf die wesentlichsten Beobachtungen zu Einzelobjekten, zu diesen in ihrem Fundkontext oder zur Gruppe in ihrer Zusammensetzung.

---

[18] Deschler-Erb et al. 1996, 13–139.
[19] Rey-Vodoz 1998.

Zum Inhaltsverzeichnis

II AUSGRABUNGEN AUF DEM KIRCHHÜGEL

1 SYNTHESE DER AUSGRABUNGSRESULTATE
(Bettina Hedinger und *Florian Hoek)*

1.1 Wertung der Ausgrabungen auf dem Kirchhügel

Den drei im Folgenden vorgelegten Ausgrabungen auf dem Kirchhügel kommt, obwohl sie mehrheitlich nur kleine Flächen betrafen, eine besondere Bedeutung zu. Da sich die Forschung während mehreren Jahrhunderten auf das Areal rund um die Kirche konzentrierte, bestehen in diesem Bereich nicht mehr viele unberührte Flächen. Besonders zu den Sondierungen und Grabungen des 19. Jh. liegen zudem keine aussagekräftigen Berichte vor[20]. Wie in der Einleitung erwähnt, sind aber auch die Untersuchungen von 1934–1959 noch nicht ausgewertet. Die drei punktuellen Ausgrabungen der Jahre 1988–1995 sind vor allem in Bezug auf einzelne Abschnitte der Siedlungsgeschichte von Vitudurum und im Hinblick auf spezifische Aspekte des Alltags im Vicus von besonderem Interesse. Abb. 7 legt das zeitliche Verhältnis der einzelnen Siedlungs- und Bauphasen zu den revidierten Siedlungsperioden des Kirchhügels und den Vicushorizonten dar.

Die Parzelle Hohlandstr. 3 befindet sich an einer Schlüsselstelle für die Frage der Erschliessung des Kirchhügels von Norden her. Die auf Grund des Bauprojektes definierte Grabungsfläche befindet sich innerhalb des im späten

[20] Keller 1860, 282; Wiedemer 1976, 16. Die Überlieferung zu den einzelnen Eingriffen auf dem Kirchhügel ist nicht präzise: 1838 oder 1841 führte die Antiquarische Gesellschaft in Zürich dort Untersuchungen durch; 1858 soll Oberst M. Pfau (1820–1877) weitere Nachforschungen veranlasst haben.

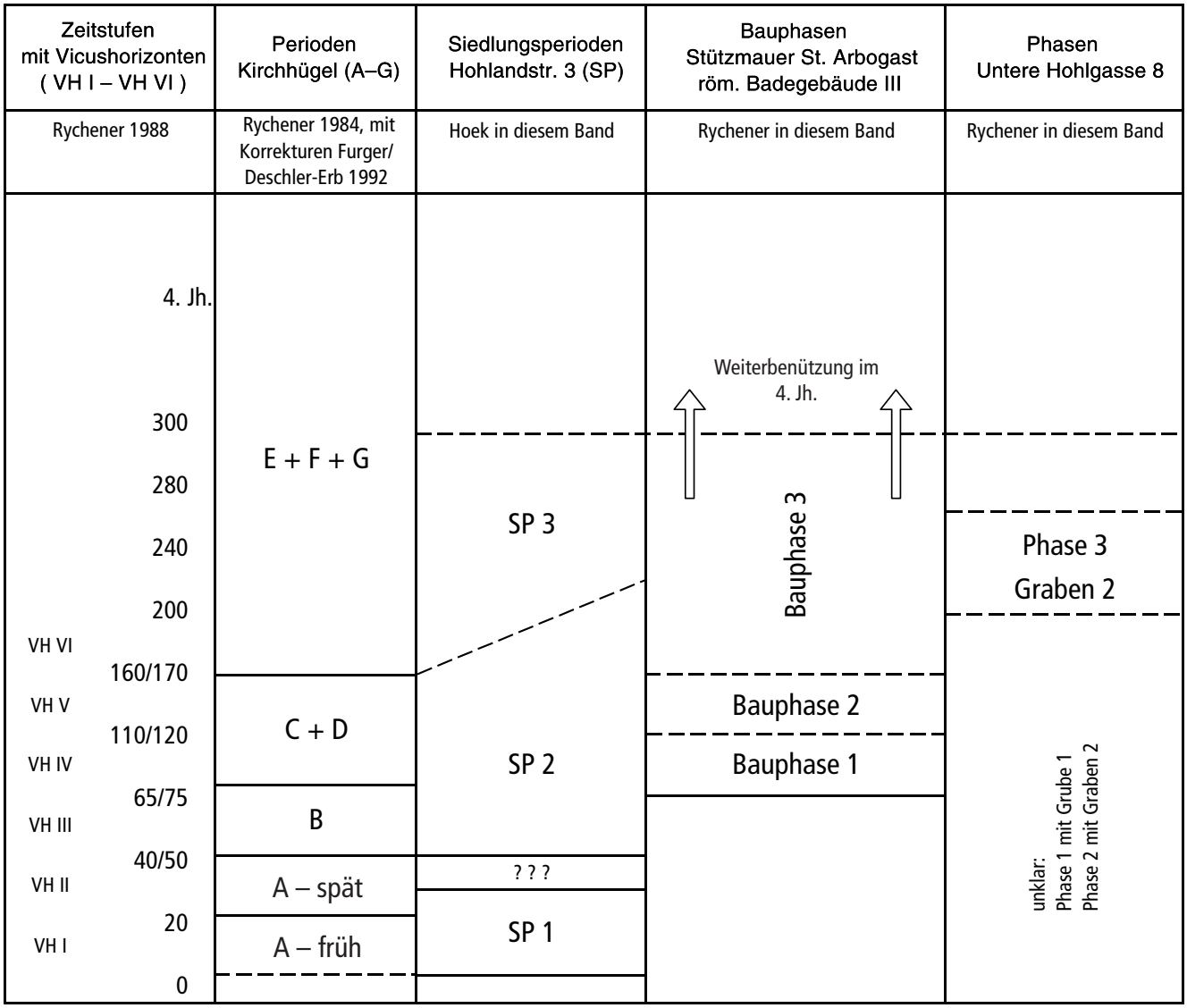


Abb. 7. Übersicht über die zeitliche Gliederung der einzelnen Siedlungs- und Bauphasen des Kirchhügels im Verhältnis zu den von Rychener 1988 definierten Vicushorizonten.



Abb. 8. Fragment der Bauinschrift des «murus vitudurensis», dessen Errichtung durch den Statthalter Aurelius Proculus im Jahr 294 n.Chr. während der Regierungszeit des Diocletianus veranlasst worden war. Die Inschrift befindet sich heute im Eingangsbereich des Rathauses von Winterthur und ist öffentlich zugänglich.

3. Jh. n. Chr. ummauerten Bereichs, reicht aber nicht bis zur Innenkante der Befestigungsmauer, deren präziser Verlauf an dieser Stelle noch nicht bekannt ist. Ein 1950 quer durch das Gelände gezogener Kabelgraben hatte eine Beobachtung und eine summarische Dokumentation des Schichtaufbaus in der Parzelle ermöglicht. Die spärlichen Ergebnisse fanden im publizierten Bericht jedoch kaum Niederschlag[21]. Die 1993/94 entdeckten Strukturen gehen bis in die Frühzeit der Siedlung, d. h. bis zur spätaugusteisch-frühtiberischen Periode zurück und zeugen von einer intensiven Nutzung des Areals. Abfallgruben und eingetiefte Kellerräume ergänzen das bisher bekannte Bild der Holzbauten gegenüber dem gallorömischen Tempel. Abdrücke von hölzernen Teuchelleitungen könnten Reste der Wasserversorgung des 1984 veröffentlichten, sog. Bades (Bau III) darstellen. Ab dem späteren 1. Jh. wurden im Areal sukzessive Steinbauten errichtet. Die älteste Mauer stellt wohl den Abschluss des 1949–51 entdeckten Gebäudes unter dem Kirchgemeindehaus dar. Im späteren 2. Jh. entstand hier ein weiterer Steinbau, von dem jedoch nur die SE-Ecke erhalten ist. Der zeitliche Zusammenhang zu den an den Temenos (Heiliger Bezirk) angebauten Mauern, von welchen vor dem Pfarrhaus (Hohlandstr. 10) Reste entdeckt wurden, ist unklar[22]. Die Befunde und Funde von der Hohlandstr. 3 reichen bis ins 3. Jh., wobei die jüngsten Strukturen spärlich und schwer interpretierbar sind. Es ist zu vermuten, dass im Zusammenhang mit der Befestigung des Kirchhügels im Areal grossflächige Erdarbeiten stattfanden, die Schichten kappten und Strukturen zerstörten. Ebenso fehlen bisher auf dem Kirchhügel die Nutzungsschichten des 4. Jh. und der folgenden Jahrhunderte.

Eine Sanierung der östlich der Kirche St. Arbogast befindlichen neuzeitlichen Stützmauer führte erwartungsgemäss zu ergänzenden Erkenntnissen zur Befestigung, deren Bau durch den Statthalter Aurelius Proculus 294 n. Chr. veranlasst worden war (Abb. 8). Der Verlauf der antiken Mauer weist hier, südlich des bekannten Halbrundturms, einen auffälligen Knick auf und war in diesem Abschnitt seit den Sondierschnitten von 1949–51 bekannt. Die flächige Freilegung des Teilstücks ergänzte jedoch unsere Kenntnisse in einigen wesentlichen Punkten. Zudem konnte auf Grund des Fundes älterer Mauerzüge die chronologische Entwicklung des «Bades» (Bau III)[23] erneut aufgegriffen werden.

Die in geringer Distanz (25 m Luftlinie) östlich der Stützmauer am Hangfuss liegende Parzelle Untere Hohlgasse 8 barg eine Reihe von isolierten Strukturen, deren abschliessende Deutung erst nach einer Erforschung der Nachbargrundstücke möglich sein wird. Dieser Abhang des Kirchhügels scheint nicht überbaut gewesen zu sein, sei es, dass er sich bereits ausserhalb der Wohnzone befand oder sich die Lage nicht zu diesem Zweck eignete. Ein Graben könnte aber als Weg interpretiert werden. Funde des 3. und des 4. Jh. zeugen von einer späten Nutzung. Es bestehen keine Hinweise dafür, dass der Hang, wie dies von anderen Fundstellen mit Spornlagen bekannt ist, zur Ablagerung von Siedlungsschutt verwendet wurde.

1.2 RESULTATE ZUR SIEDLUNGSGESCHICHTE

1.2.1 Verkehr

Strassen

Erschliessung des Kirchhügels. Auf Grund der Resultate der Grabungen 1976–81 auf dem Kirchhügel war an der Hohlandstr. 3 die Fortsetzung der zwischen den Wohnhäusern und dem Tempel nach Nordwesten führenden Strasse erwartet worden. Die freigelegte Kiesrollierung spricht jedoch eher für eine platzartige Anlage (Abb. 26). Gemäss den Untersuchungen von 1949–51 bestehen zudem im Pfarrhausgarten Hinweise für eine westlich des heutigen Zugangs zum Kirchhügel (Hohlandstrasse) liegende Stichstrasse zur Hauptachse der Siedlung[24]. Diese Beobachtung würde dafür sprechen, dass die Strasse nicht gerade vom «Bad» zur Römerstrasse führte, sondern bei der N-Ecke des Temenos umbog. Ob der Verlauf der Erschliessung des Hügels während der ganzen Antike unverändert blieb, ist aber noch offen.

Ein Weg um den Kirchhügel? Ein im Bereich der Unteren Hohlgasse festgestellter Graben zeigte im Kies deutliche Rinnen, die als Karrenspuren interpretiert werden könnten (Abb. 9). Besteht damit ein Weg, der um den Hügel herum zum Quartier «Unteres Bühl» führte? Diese Frage konnte auf Grund der vorliegenden Befunde nicht mit Sicherheit geklärt werden. Es würde sich dabei in Vitudurum um den ersten nicht dem orthogonalen Raster entsprechenden Weg handeln, was sich an dieser Stelle mit der Topographie erklären liesse.

Ziegel der in Vindonissa stationierten Truppen

Der Fund einer für Vitudurum vergleichsweise hohen Anzahl von Legionsziegeln auf dem Kirchhügel verdient einige Bemerkungen. Bereits 1860 vermerkte Ferdinand Keller, dass Stempel der 21. und der 11. Legion in Vitudurum häufig vorkommen[25]. Es scheint, dass diese vorwiegend anlässlich der Untersuchungen des 19. Jh. im Areal des Kirchhügels entdeckt wurden. Leider lassen sich diese Hinweise nicht quantifizieren. Die in den älteren Berichten erwähnten gestem-



Abb. 9. Untere Hohlgasse 8. Ausgrabung 1994. In der Kiespflästerung sind in Blickrichtung rechts des Nordpfeils Rillen, die als Karrenspuren interpretiert werden, schwach erkennbar.

pelten Ziegel sind vermutlich heute mit wenigen Ausnahmen verschollen[26]. Aus den jüngeren Ausgrabungen im Vicusgebiet, die stellenweise umfangreiches Ziegelmaterial zu Tage förderten, konnten keine Legionsstempel ausgemacht werden. Der einzige Neufund ist ein 1958 von H. R. Wiedemer bei der N-Ecke des Gebäudes unter dem Kirchgemeindehaus gefundenes Beispiel (Abb. 10). Mit den neun Beispielen aus

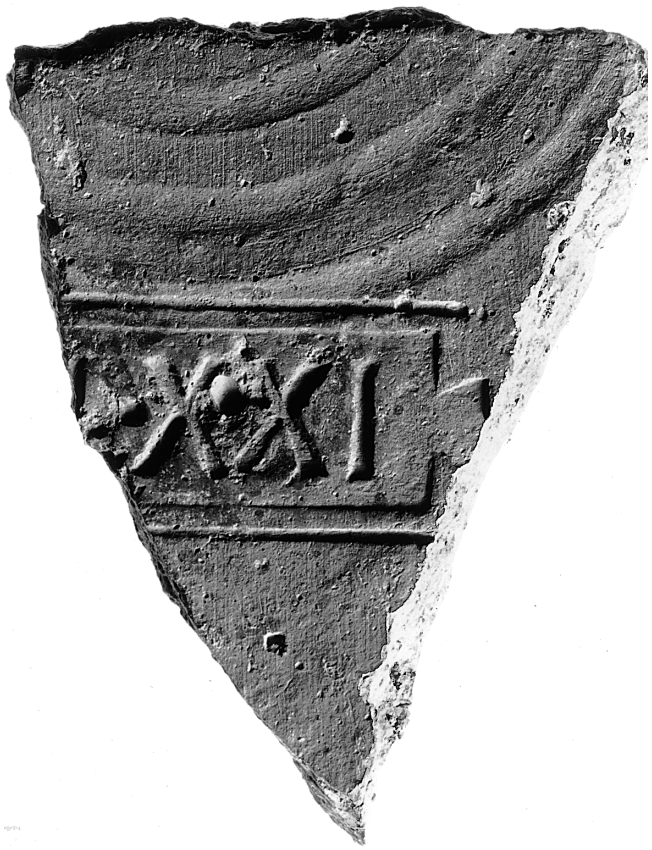


Abb. 10. Ziegelstempel der 21. Legion. Ausgrabung Römerstr. 174 (1958). Aufbewahrungsort: Museum Lindengut, Winterthur. M. 1:1.

den Untersuchungen an der Hohlandstr. 3, darunter vorwiegend Stempel der 21. Legion, liegt für Oberwinterthur ein kleiner Corpus an Legionsziegeln vor, der sicher keinen Beleg für einen Militärposten darstellt[27]. Nach wie vor stellt Oberwinterthur, vermutlich mit Ellikon und den Einzelfunden von Eschenz/Stein am Rhein und Homburg, die östliche Grenze der Verbreitung der gestempelten Ziegel der in Vindonissa stationierten Legionen dar[28].

Die Interpretation der im Bereich des Kirchhügels gefundenen Legionsziegel bereitet einige Schwierigkeiten. Die Bandbreite der belegten Typen scheint darauf hinzuweisen, dass weder für die Ziegel der 11. Legion noch für die häufigeren der 21. Legion eine einzige einheitliche Lieferung vorliegt. Die Begrenzung der Funde auf den Kirchhügel dürfte aber zumindest darauf hindeuten, dass die Bauelemente aus den «militärischen» Werkstätten nur für ausgesuchte Gebäude in Oberwinterthur – möglicherweise solche mit öffentlichem Charakter – verwendet wurden. Die drei stratifizierten Funde von der Hohlandstr. 3 kamen im späten 2. oder im Verlauf des 3. Jh. in den Boden. Sie könnten Reste der Dachbedeckung des Steingebäudes unter dem Kirchgemeindehaus, des gallorömischen Tempels oder auch der noch weitgehend unbekannten, westlich davon liegenden Gebäude beim Pfarrhaus oder bei der Hohlandstr. 3 darstellen.

1.2.2 Öffentliche Nutzung des Kirchhügels

Neues zum so genannten Bad (Bau III)

Auf Grund der Grabungsresultate bei der östlichen Stützmauer von St. Arbogast gelang es, die 1984 postulierte Baugeschichte des als Bad angesprochenen Gebäudes zu revidieren. Es konnte zudem nachgewiesen werden, dass der Bau III – in welcher Funktion auch immer – bis ins 4. Jh., d. h. nach der Errichtung der Befestigung, weiterbenutzt wurde. Die 1988 freigelegten Befunde weisen ferner darauf hin, dass der First des Gebäudes im Gegensatz zur Rekon-

---

21 Bloesch/Isler 1952, 12–14.
22 Bloesch/Isler 1952 Taf. VII Buchstabe E.
23 Rychener 1984, 28–32.
24 Bloesch/Isler 1952, 13.15 mit Taf. VII Buchstabe H.
25 Keller 1860, 280.283; CIL XIII 6, 12302,1–3; Meyer 1853, 132; Mommsen, ICH I, MAGZ 10, 1854, 80; Mommsen, ICH II, MAGZ 15,5, 1865, Nr. 67.
26 Im Depot des Museums Lindengut, Winterthur, befinden sich gestempelte Ziegel, deren Herkunft bisher nicht überprüft werden konnte.
27 V. von Gonzenbach hatte 1963 auf Grund der Legionsstempel noch dafür plädiert: Gonzenbach 1963, 102.
28 Für Ellikon an der Thur sind drei (?) Stempel der 21. Legion überliefert: CIL XIII 6,12285, 1(–3), Meyer 1853, 132 ; ein Stempel der 11. Legion ist im Katalog der AGZ mit Fundort Stein am Rhein aufgeführt: R. Ulrich u. A. Heizmann, Catalog der Sammlungen der Antiquarischen Gesellschaft in Zürich II (1890) 35. Ein einzelner neu erfasster Altfund mit dem Stempel der 21. Legion soll von der Fundstelle Heidenhaus, Gem. Homburg TG, stammen (freundl. Mitt. A. Hasenfratz, Amt für Archäologie TG). Derzeit nicht überprüft ist eine alte Fundmeldung von Ziegelstempeln der 11. Legion aus dem Areal des römischen Gutshofes von Boltshausen (Gem. Märstetten und Weinfelden TG), 10 km östlich von Pfyn, d.h. bereits in der Provinz Rätien (freundl. Mitt. H. Brem, Amt für Archäologie TG).

struktion von 1984 eher NW–SE orientiert war. Damit wird das «Bad» vermutlich nicht das einzige Gebäude an der vorderen Kante des Sporns dargestellt haben.

Seit 1984 sind keine neuen Indizien für die Interpretation des Gebäudes als Bad hinzugekommen. Hauptargumente sind nach wie vor die Hypokaustheizung, die Wasserleitung, die Lage sowie die Bauweise. Dazu kommt, dass in diesem Bereich Bruchstücke von Fensterglas geborgen wurden[29]. Auch in Kombination reichen diese Hinweise noch nicht für eine zweifelsfreie Ansprache des unvollständig ausgegrabenen Gebäudes als Therme. Die Freilegung einer Anzahl weiterer Steingebäude in Oberwinterthur stellt die Interpretation zusätzlich in Frage. Bisher bestehen aber keine anderen Belege von Hypokaustanlagen im übrigen Vicusgebiet.

Es ist unsicher, ob die an der Hohlandstr. 3 freigelegten Teuchelleitungen mit dem «Bad» zu verbinden sind. Eine Wasserzufuhr aus nordwestlicher Richtung wäre aber aus topographischen Gründen nahe liegend. Die dort festgestellten Negative entsprechen in ihrer Konstruktionsweise

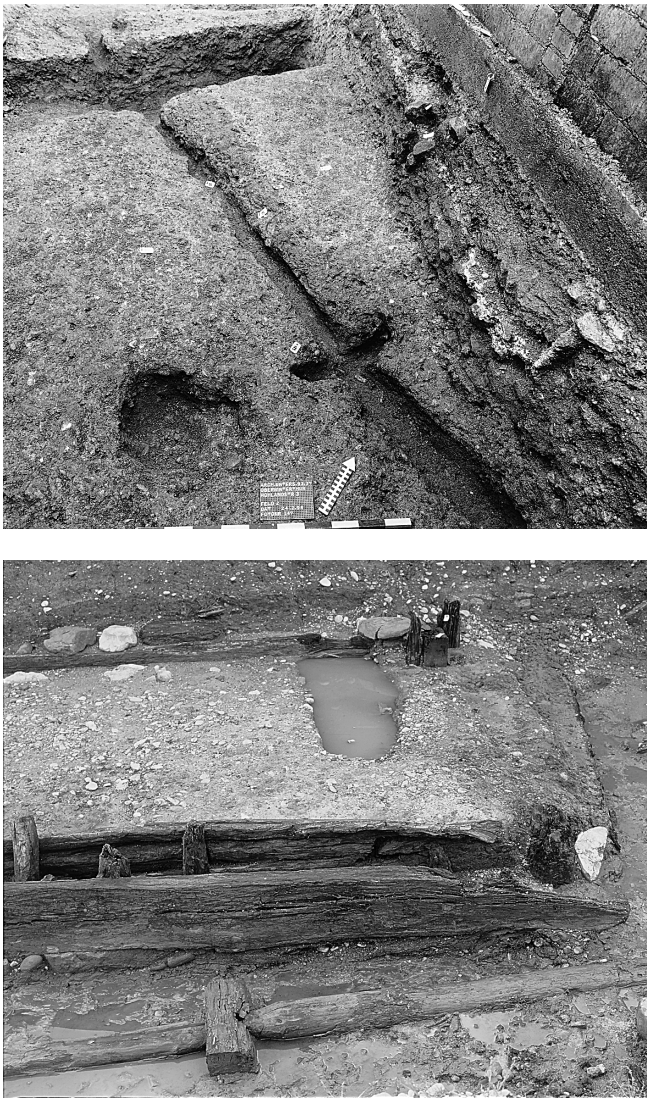


Abb. 11. Befunde von Teuchelleitungen im Vergleich. Oben: An der Hohlandstr. 3 (1994) konnten die Wasserrohre mit ihren Kupplungen nur noch als Negative gefasst werden. Unten: Im Areal «Unteres Bühl», Ausgrabung 1981, waren hingegen die hölzernen Bestandteile der Leitungen noch erhalten. Die Konstruktionsweise war in beiden Fällen dieselbe.

den zu gewerblichen Zwecken im Areal «Unteres Bühl» eingesetzten Leitungen, wo sich jedoch das Holz erhalten konnte (Abb. 11). Unsicher ist die Interpretation Jürg Rycheners, wonach sich zwischen den Imbrices (Hohlziegel) in der Portikus (N1) von Gebäude III ein Bleirohr befinden musste, das nachträglich entfernt wurde. Bleierne Wasserleitungen sind in Oberwinterthur bisher nicht nachgewiesen und allgemein in unserer Gegend äusserst selten[30]. Dieser Umstand ist nicht nur mit dem vermutlich systematisch durchgeführten Recycling des kostbaren Rohstoffes zu erklären.

Nach wie vor fehlen folglich die Nachweise für verschiedene allgemein in Vici belegten Typen von öffentlichen Gebäuden bzw. Anlagen. Der bisher noch unerforschte Teil des Kirchhügels scheint für ein Forum nicht auszureichen und eignet sich zudem aus topographischen Gründen nur bedingt zu diesem Zweck. Ein möglicher Standort wäre der südöstliche Abhang des Kirchhügels in Richtung des heutigen Friedhofs. Möglicherweise befand sich aber ein grösserer öffentlicher Platz nördlich der Römerstrasse, dem Kirchhügel gegenüber, wo das flache Gelände entsprechend optimal zu nutzen war. Dort könnten auch weitere öffentliche Gebäude gestanden haben. Ob Vitudurum über eine Basilika, ein Theater oder ein Amphitheater verfügte, muss vorerst offen bleiben. So wie mit einer oder zwei Thermenanlagen zu rechnen ist, könnten auch durch zukünftige Ausgrabungen weitere Tempel freigelegt werden. Das 1709 im Lindbergwald entdeckte Depot scheint darauf hinzuweisen, dass sich oberhalb des Vicus sakrale Bezirke befanden.

Zeugnisse des Kultes auf dem Kirchhügel

Der religiöse Aspekt des Areals, der mit der Freilegung des gallorömischen Umgangstempels deutlich wurde und mit der heutigen Kirche eine eindrückliche Kontinuität aufweist, wird durch die Funde weiterer sakraler Objekte an der Hohlandstr. 3 massgeblich ergänzt. Die beiden unweit des Tempels entdeckten figürlichen Bronzen stammen aus einem Schichtkontext des späten 1. bis späten 2. Jh. (Siedlungsphase 2A). Es handelt sich um das Fragment einer rechten Hand, die mit dem Kult für Jupiter Dolichenus verbunden werden könnte, sowie um einen Teil eines Caduceus, einem für den Gott Merkur charakteristischen Kultgerät. Neben einem Fragment einer beringten männlichen Hand[31], dessen Fundort nicht überliefert ist, handelt es sich dabei um die einzigen grossplastischen Bronzefunde aus Vitudurum. Der Kultbezirk auf dem Kirchhügel konnte bisher mit keiner Gottheit in Verbindung gebracht werden. Es ist zu vermuten, dass hier verschiedene Götter verehrt wurden und dass die beiden unvollständig erhaltenen Bronzen zum verstreuten Tempelinventar gehören. Aus Oberwinterthur sind mit einer Anzahl Bronzestatuetten und Terrakotten erst kleinplastische Zeugnisse des Kultes verschiedener Gottheiten (Merkur, Minerva, Amor, Venus und Priapus) bekannt. Diese Objekte fanden wohl in erster Linie im privaten Rahmen Verwendung, konnten aber auch als Votivgaben in einem öffentlichen Heiligtum deponiert werden[32]. Wie in der ganzen Schweiz, scheint sich vor allem Merkur im Vicus einer besonderen Beliebtheit erfreut zu haben. Er tritt sowohl im Fund vom Lindberg 1709 aber auch in einem privaten Lararium im «Unteren Bühl» mit je zwei Kleinbronzen auf.

Nachweise für die Verehrung orientalischer Gottheiten hingegen sind im helvetischen Gebiet nicht häufig. Die Bronzehand aus Oberwinterthur unterscheidet sich ikonographisch von den bekannten Votivhänden für Jupiter Dolichenus aus Augst, Vindonissa und Martigny, die zugleich die

westlichsten Punkte der Verbreitung des Typs darstellen[33]. Sie fügt sich aber in eine eng verwandte Gruppe von vor allem in Gallien belegten Beispielen ein, die sich von den Sabazios-Händen deutlich absetzen. Allgemein wird davon ausgegangen, dass militärische Hilfstruppen die orientalischen Kulte nach Westen brachten. Dabei stellt sich die derzeit kaum zu beantwortende Frage, welche Bevölkerungsgruppe von Vitudurum im 2. Jh. in einem prominent gelegenen Tempel Jupiter Dolichenus, dessen Hauptheiligtum sich in der östlichen Türkei befand, verehrte. Historische Quellen belegen den Untergang des Kultes in den Rhein- und Donauprovinzen ab den 230er Jahren; entsprechend war die Verehrung des Jupiter Dolichenus in Oberwinterthur wohl auf die mittlere Kaiserzeit beschränkt und kann kaum mehr mit einer allfälligen militärischen Präsenz in der 2. Hälfte des 3. Jh. verbunden werden.

1.2.3 Befestigung des Aurelius Proculus

Spätrömische Baubefunde

Befestigungsmauer. In der Ausgrabung an der Hohlandstr. 3 konnte die nach der bekannten Bauinschrift ins Jahr 294 n. Chr. datierten Befestigungsmauer nicht gefasst werden. Damit ist in diesem Bereich nicht nur ihr Verlauf unklar[34], sondern auch die Frage nach einem Tor zur Römerstrasse immer noch unbeantwortet. Im Bereich der Stützmauer östlich von St. Arbogast gelang es hingegen die 1949–59 durch Sondierschnitte erzielten Erkenntnisse zu präzisieren. An dieser Stelle konnte ein 15 m langes Stück der Befestigung untersucht werden. Ihr Verlauf ist heute in der Pflästerung der Aussichtsterrasse angegeben (Abb. 12). Die hier in einer Höhe von knapp 3 m erhaltene und im Fundament etwa 3 m breite Mauer[35] kam bei der Ausgrabung unmittelbar unter einer Anzahl östlich des Chors angelegter neuzeitlicher Kindergräber zum Vorschein. Weder zur ursprünglichen Höhe noch zur Gestalt der Mauerkrone liegen neue Hinweise vor. Der Maueraufbau wurde bereits bei den älteren Untersuchungen von Keller, Bloesch, Isler und Wiedemer dokumentiert und beschrieben. Sie entspricht der bei spätrömischen Befestigungsanlagen üblichen Technik des zweischaligen Mauerwerks mit eingefülltem Mörtelguss. Erwähnenswert ist der für die sichtbaren Fugen verwendete, mit Ziegelmehl versetzte Mörtel. Das rötliche, mit Kellenstrich betonte Material kontrastierte wohl deutlich mit dem Steinmaterial. Die Wahl des Mörtels ist hier vermutlich eher mit der optischen Wirkung als mit einer technischen Notwendigkeit zu erklären. Die Verwendung des resistenteren Mörtels ist bei spätantiken Befestigungen nicht selten.[36]



Abb. 12. Blick vom Kirchturm von St. Arbogast auf den nördlichen Rundturm. Die südlich angrenzenden Befunde von 1988 sind hier nicht sichtbar.

Tor. Der eigentümliche Mauerknick lässt sich mit einem durch zwei Halbrundtürme kontrollierbaren Zugang erklären. Dieser befindet sich direkt unter dem heutigen Kirchturm. Die genaue Breite des Tors (max. 3,5 m) lässt sich wegen des Kirchturmfundaments nicht mehr eruieren. Bereits Bloesch und Isler fiel an dieser Stelle eine Veränderung der Bauweise der Mauer sowie die Mauerkante auf, die sich als nördliche Torwange entpuppte. Wiedemer konnte den Befund 1959 bei einer weiteren Sondierung zeichnerisch dokumentieren (Abb. 13)[37]. Die grossen Granitspolien und Sandsteinquader kontrastieren mit der an den übrigen Abschnitten der Mauer angewandten Bautechnik mit kleinen Quadern und Lesesteinen. Sie verliehen der Toranlage wohl eine gewisse Monumentalität, die dem Betreter der Befestigungsanlage nicht entgehen konnte. Ein ähnliches Bild zeigt sich beispielsweise beim Torturm 4 des wohl konstantinischen Kastells Arbon, wo auch grosse Sandsteinquader verbaut wurden[38]. Ausser diesem Tor und den beiden flankierenden, halbrunden Bastionen sind keine weiteren Türme und Zugänge bekannt. Da die Ummauerung in grossen Abschnitten bereits abgetragen ist, bleiben zur Abklärung dieser Fragen nur noch kleinere, heute meist in jüngere Bauten integrierte Teilstücke.

Kanäle. Abwasserkanäle durchstechen an verschiedenen Stellen die Befestigungsmauer. Einer konnte von Wiedemer unmittelbar südöstlich des erwähnten Zugangs festgestellt

---

29 Fensterglas wird in unserer Gegend häufig aber nicht ausschliesslich bei Badeanlagen gefunden: Rütti 1988, 103–104; B. Rütti in: Drack et al. 1990, 182–183. Im Areal «Unteres Bühl», wo gesamthaft 22 Fragmente gefunden wurden, dürfte Haus 14 zumindest zeitweise mit Fensterscheiben versehen gewesen sein.

30 Rychener 1999, 183 Abb. 246.

31 AO: Museum Lindengut, Winterthur, ohne Inv.Nr.

32 Raselli-Nydegger 1998; Ch. Ebnöther u. A. Kaufmann-Heinimann in: Deschler-Erb et al. 1996, 229–251.

33 Kob Guggisberg 1992. Die Zuweisung zum Kult des Jupiter Dolichenus erfolgte auf Grund von Inschriften auf den Objekten selbst.

34 In den Plänen von 1858 und 1860 (vgl. Wiedemer 1976 Taf. 2–3) ist zwar unter dem Gebäude Hohlandstr. 3 eine Mauer eingezeichnet, ob es sich aber dabei wirklich um die Befestigung handelt, ist unsicher.

35 OK 471.72, UK 468.75.

36 Das Kastell Stein am Rhein war ursprünglich aussen vollständig auf diese Weise verputzt: Höneisen et al. 1993, 107.

37 Wiedemer 1976, 32; Bloesch/Isler 1952, 20 mit Taf. I 3.

38 Brem/Bürgi/Roth-Rubi 1992, 27–32; vgl. auch das Ausfalltor an der SE-Ecke des Kastells Stein am Rhein: Höneisen et al. 1993, 78 Abb. 54.

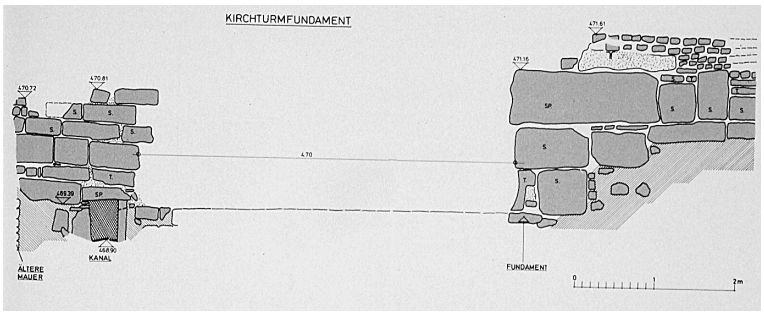


Abb. 13. Das bisher einzige bekannte Tor in der Befestigungsmauer auf dem Kirchhügel. Ansicht der im Fundament des Turms der Kirche St. Arbogast erhaltenen Teile. Die massiven Quader rechts bilden die rechte Torwange. Aufnahme der Befunde durch H.R. Wiedemer, 1959 (Abkürzungen: S= Sandstein; SP = Spolie; T = Tuffstein).

werden. Anlässlich der Untersuchungen von 1988 kam südlich des neuentdeckten Turms ein weiterer zum Vorschein, der in der heute sichtbaren Stützmauer konserviert wurde. Es stellt sich die Frage, ob es sich dabei um den Kanal handelt, der bereits von Bürkel 1934 dokumentiert worden war (Abb. 14)[39]. Die Gestaltung der Öffnung würde dafür sprechen. Die genaue Lokalisierung der 1934 freigelegten Konstruktion ist derzeit nicht möglich. Immerhin liefert uns Bürkel zusätzliche Details, die bei der Untersuchung 1988 nicht mehr überprüft werden konnten. Der Kanal von 1934 durchstach die Mauer offensichtlich nicht genau im rechten Winkel. Die Sohle bestand aus quadratischen Ziegelplatten von 35 cm Seitenlänge. Es könnte sich dabei um wiederverwendete Hypokaustpfeilerplatten handeln.

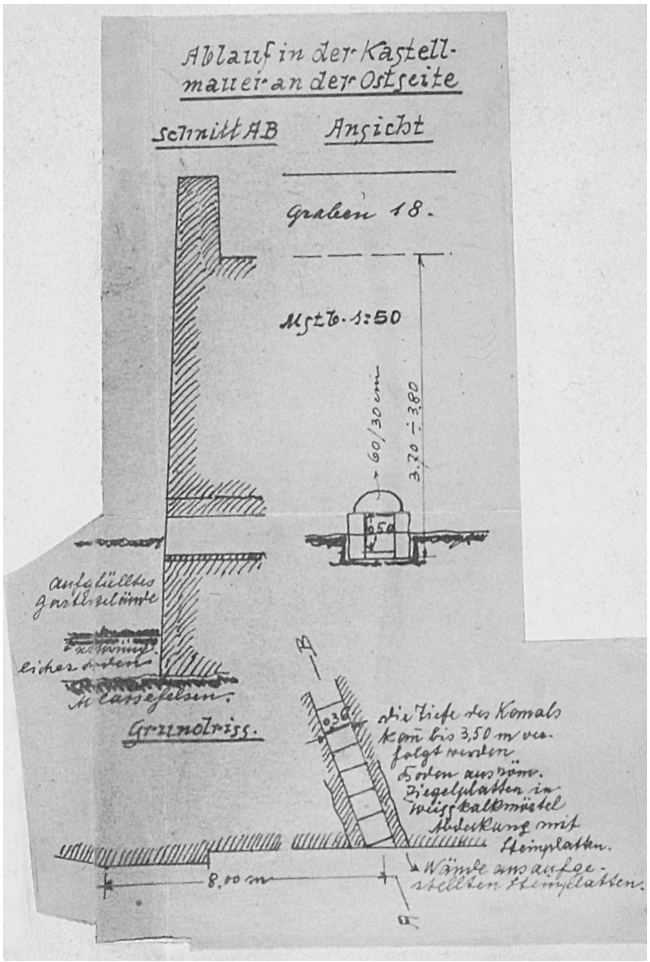


Abb. 14. Abwasserkanal in der Befestigungsmauer. Zeichnung von J.N. Bürkel, 1934.

Spätrömische Funde von Oberwinterthur

Neufunde vom Kirchhügel. Die Aufarbeitung der drei auf und um den Kirchhügel liegenden Grabungen gab uns die Gelegenheit, uns vertieft mit den spätrömischen Funden der Siedlung zu befassen. Florian Hoek stellte die relevanten Stücke von der Hohlandstr. 3 unter den Kat. **186–208, 215** und diejenigen der Kirche St. Arbogast (siehe unten mit Kat. **216–235**) zusammen. Stratifizierte Funde liegen nur für das 3. Jh. aus dem Bereich Hohlandstr. 3 mit einer Ziegelversturzschicht (Phase 2C) und mit der Periode 3 vor. Vom Areal Untere Hohlgasse 8 können ausser einem Fragment Argonnen-Sigillata (Abb. 68) vermutlich auch einige Fragmente von grobgemagerter Keramik der Spätantike zugewiesen werden (Abb. 15). An Militaria ist nur ein beinernes Ortband (Abb. 70) aus dem mittleren 3. Jh. zu erwähnen.

*Funde aus dem Bereich der Kirche St. Arbogast (Florian Hoek, Kat. **216–235**)*[40]. Neben den bereits von Jürg Rychener im Jahre 1984 vorgelegten spätrömischen Funden[41], können inzwischen weitere, damals nicht erkannte Stücke der Ausgrabung St. Arbogast 1976/77 als spätrömisch oder frühmittelalterlich identifiziert werden[42]. Im Speziellen handelt es sich um drei importierte spätrömische Amphoren (Kat. **233–235**)[43]. Während sich die Stücke Kat. **233** und **235** u. a. auch auf Grund der Form identifizieren lassen, spricht beim Henkel (Kat. **234**) nur der klingend harte Brand sowie die Glimmer- und Vulkanmagerung für eine spätrömische Amphore. Das Fussfragment Kat. **235** können wir nicht näher als «spätantike zylindrische Amphore» identifizieren. Unser Stück scheint am ehesten der Augster Tongruppe (TG 76/77) zu entsprechen, womit es sich um ein aus dem heutigen Tunesien importiertes Gefäss handeln dürfte[44]. Zeitlich sind solche Stücke ins 4. und 5. Jh. zu datieren, während über den transportierten Inhalt – (hauptsächlich?) Olivenöl – keine Klarheit besteht. Das Randstück (Kat. **233**) stammt von einem speziell in spätantiken Kastellen und Städten nördlich der Alpen verbreiteten Typ von Wein(?)amphoren aus Palästina. Solche Typen gelangten ab dem mittleren 4. Jh. in unser Gebiet. Charakteristisch sind neben dem braunen Ton, insbesondere Reste von Tonschlicker im Randbereich. Das Vorkommen einer Weinamphore aus Palästina in einer kleinen spätrömischen Befestigung überrascht, sind doch bislang entsprechende Fundorte nur vereinzelt belegt[45]. Die Herkunft der Amphore mit dem relativ feinen Henkel (Kat. **234**) kann nicht bestimmt werden, doch dürfte auch diese ein Importstück darstellen.

Neben den Amphoren können heute weitere Stücke als Importkeramik identifiziert werden. Im Speziellen handelt es sich um zwei bei Jürg Rychener abgebildete Wandstücke von Schüsseln oder Schalen mit charakteristischem Dekor (Rychener 1984, Kat. 992.993). Solche Gefässe dürften aus dem elbgermanischen Gebiet importiert worden sein[46].

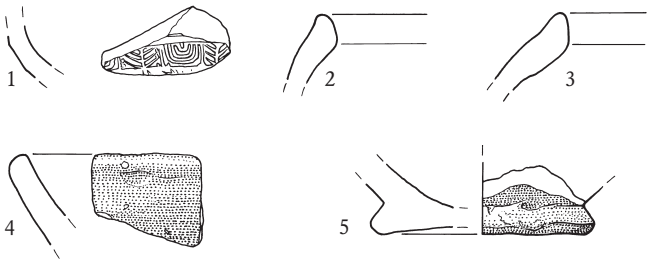


Abb. 15. Untere Hohlgasse 8 (1994). Spätrömische(?) Keramik. 1 WS Argonnen-Sigillata Chenet 320, FK 55; 2 RS Tonne, scheibengedreht, braungrauer gemagerter und glimmerhaltiger Ton, FK 7.6; 3 RS Tonne scheibengedreht, graubrauner, grob gemagerter Ton, FK 22.5; 4 RS steilwandige Schüssel, handgemacht, graubrauner gemagerter und stark glimmerhaltiger Ton, FK 26. 5 BS Topf, handgemacht, hellbrauner, stark gemagerter Ton, FK 64.1. M. 1:2

Zum Kochtopf Kat. **219** gibt es Parallelen aus Kaiseraugst. Dort gehören sie dem 4. Jh. an[47]. Beim derzeitigen Forschungsstand kann mit grosser Vorsicht davon ausgegangen werden, dass relativ klobige Bodenstücke wie Kat. **227–230** erst nachrömisch datieren[48]. Aus der Zeit der Umfassungsmauer dürfte dagegen Kat. **225**, ein Teller in Lavez-Imitation sein[49]. Zu Glasuren wie Kat. **231** sei auf Funde des 4./5. Jh. aus Olten verwiesen[50].

Weitere spätantike Funde aus Winterthur. Bereits seit längerem sind vereinzelte Funde des 4. Jh. bekannt. Dazu gehören etwa zwanzig Fragmente von Argonnen-Sigillata (Abb. 16), die mehrheitlich aus dem Areal des Kirchhügels bzw. aus seiner nächsten Umgebung stammen[51] sowie wenige Bruchstücke von afrikanischer Sigillata[52]. Letztere Importe kommen in den spätrömischen Anlagen im Kt. Zürich sehr selten vor, währenddem sie im Rheintal gehäufter auftreten. Seit längerer Zeit bekannt ist auch ein goldener Fingerring mit der Inschrift FIDEM CONSTANTINO[53]. Aus dem Bereich des Unteren Bühls stammen einige Buntmetallfunde



Abb. 16. Kirchhügel. Fragmente von rädchenverzierten Argonnen-Sigillata-Schüsseln Chenet 320. Altfunde im Museum Lindengut, Winterthur. M. 1:1.

(Schmuckstücke, Geräte und Militaria)[54], wenige Glasgefässe[55] sowie einige Münzen[56] aus dem 3. bzw. aus dem 4. Jh. In diesem Quartier lässt sich eine Belegung für das 3. Jh. nicht nur mit Funden, sondern auch mit Befunden nachweisen[57]; mögliche Schichten des 4. Jh. scheinen jedoch durch spätere Bautätigkeit weitgehend abgetragen zu sein.

Beurteilung der spätrömischen Funde

Ausser dem erwähnten beinernen Ortband sind gesamthaft aus Oberwinterthur nur sehr wenige Militaria des 3. Jh. bekannt[58], die keineswegs als Beleg für Truppenpräsenz beigezogen werden können. Die spärlichen, aber doch vorhan-

---

39 Bouffard 1943, 11–12.

40 Die im Folgenden besprochenen, neu vorgelegten Funde stammen aus einer sog. schwarzen Friedhofserde, welche von den Ausgräbern auf der ganzen Fläche der Kirche St. Arbogast angetroffen wurde. Dieses Schichtpaket ist älter als die ersten Bestattungen im Kircheninnern und schliesst offensichtlich alle römischen Befunde gegen oben ab. Neben römischen und jüngeren (?) konnten darin aber auch kirchenzeitliche Funde geborgen werden.

41 Rychener 1984, 105ff.; Ettlinger 1985, 66.

42 Vgl. etwa: K. Roth-Rubi, Zur spätrömischen Keramik von Yverdon. ZAK 37, 1980, 149ff.; Roth-Rubi 1992, 83–128; D. Paunier, La Céramique de l'Antiquité tardive (Fin IIIe – Ve siècles) in: Keramik zwischen den Epochen 1994, 44–47; R. Marti, Kontinuität und Wandel am Beispiel frühmittelalterlicher Keramik aus der Nordwestschweiz, in: Keramik zwischen den Epochen 1994, 49–55; M.-A. Haldimann, Le Haut Moyen Âge: une continuité méconnue, in: Keramik zwischen den Epochen 1994, 56–63; K. Leuch-Bartels, Spätrömische und frühmittelalterliche Funde und Befunde der Grabung 1958/5 auf dem Basler Münsterhügel, in: Mille Fiori. FS Ludwig Berger. FiA 25 (Augst 1998) 277–284.

43 Für Hinweise bei der Bestimmung der Amphoren möchten wir uns bei St. Martin-Kilcher, Bern, herzlich bedanken.

44 Martin-Kilcher 1987/1994a (7/2), 448f.; vgl. auch Schucany et al. 1999, 119 und Taf. 35.

45 Martin-Kilcher 1987/1994a, 443 Anm. 609. Ein Beispiel ist aus dem Kastell Pfyn bekannt: ausgestellt im Museum für Archäologie, Frauenfeld TG.

46 H. Schach-Dörges, «Zusammengespülte und vermengte Menschen», in: Die Alamannen, Ausstellungskatalog 1997 (Stuttgart 1997) 83.

47 Marti 1996, 169 Kat. 12f.

48 Roth-Rubi 1992, 102; Marti 1996, 187 Kat. 124f., 189 Kat. 152, 193 Kat. 47.

49 Parallelen z. B. in Pfyn: Bürgi/Stefani in Vorb.

50 Schucany 1996b, 74 Anm. 6.

51 W. Hübener, Rädchenverzierte Argonnensigillata aus Vindonissa. Jahresbericht der Gesellschaft Pro Vindonissa 1968, 7–22, bes. Abb. 5 u. 6. Aus den Grabungen am Unterwegli und an der Oberen Hohlgasse 1 stammen je ein Fragment von Schüsseln Chenet 325: Rychener 1988 Taf. 1 Kat. 8, Taf. 19 Kat. 136; von der Römerstr. 186 ist eine Schüssel derselben Form erwähnt, die aber unter den Streufunden nicht katalogisiert ist: Rychener/Albertin 1986, 15.

52 Wiedemer 1976, 34.

53 Zum Fundkontext vgl. Kap. I.2.2, Wiedemer 1976, 34 mit Taf. 4,2–3.

54 Deschler-Erb 1996, 120–121 Abb. 101; Fibeln: Rey-Vodoz 1998, 50.

55 Rütti 1988, 57–59.

56 Durch die Autorin in Bearbeitung.

57 Deschler-Erb 1996, 133 mit Abb. 116 (Stufe 8); Ebnöther/Kaufmann-Heinimann 1996.

58 Deschler-Erb et al. 1996, 120 Abb. 101,3 Kat. 367.368.384.

denen Siedlungsspuren des 3. Jh. n. Chr. zeigen, dass zumindest kurz vor der Errichtung der Befestigung auch ausserhalb des Kirchhügels bewohnte Areale bestanden. Für das 4. Jh. zeigt der aktuelle Kenntnisstand ein flaueres Bild. Es ist nahe liegend zu vermuten, dass mit den Gräbern im Bereich der Römerstr. 229 im Nordosten die spätantike Siedlungsgrenze gefasst wurde. Die Fundstelle ist allerdings etwa 250 m vom Kirchhügel entfernt. Ob das Fehlen von spätantiken Funden und Befunden im dazwischenliegenden Bereich nur mit den jüngeren Überbauungen zusammenhängt, bleibt offen. Die grosse Entfernung zwischen der Fundstelle des goldenen Fingerrings (Flur Hegmatten), der vermutlich aus einem zerstörten Grabzusammenhang stammt, und dem Kirchhügel lässt vermuten, dass die spätantike Siedlung durchaus noch eine gewisse Bedeutung hatte. Zudem galt das Schmuckstück wohl als Auszeichnung eines angesehenen Würdenträgers oder Bürgers.

Für die Frage der Siedlungskontinuität von der Spätantike zum Frühmittelalter ist neben den spätrömischen Gräbern an der Römerstr. 229 besonders auch der Fund einer Gürteltülle des späten 4. oder der 1. Hälfte des 5. Jh. zu erwähnen[59]. Dazu gesellt sich eine bronzene Nadel mit Polyederkopf und Kreisaugenverzierung, deren präzise Datierung schwierig ist[60]. Gesicherte Schichten und Strukturen des 5. und 6. Jh. fehlen aber bisher in Oberwinterthur.

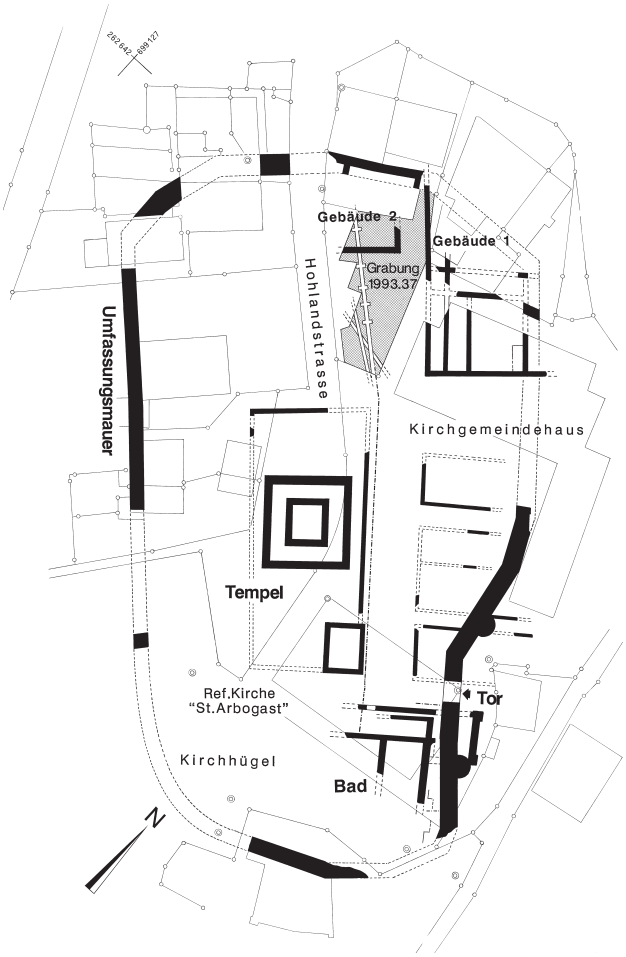


Abb. 17. Hohlandstr. 3. Übersichtsplan des Kirchhügels mit Lage der Ausgrabung sowie Verlauf der Mauern (schwarz) und Teuchelleitungen (weiss). M. 1:1250.

2 HOHLANDSTRASSE 3 (Ausgrabungen 1993/94)

(Florian Hoek mit einem Beitrag von *Karin Kob Guggisberg)*

2.1 Einleitung

Die Ausgrabung an der Hohlandstr. 3 wurde durch ein Bauprojekt ausgelöst und konnte unter der wissenschaftlichen Leitung des Autors von Dezember 1993 bis April 1994 durchgeführt werden[61].

2.1.1 Lage der Ausgrabung

Die Parzelle Hohlandstr. 3 liegt innerhalb der spätrömischen Umfassungsmauer im nördlichen Bereich des Kirchhügels Oberwinterthur[62] (Abb. 17). In Anbetracht der bis dato ungeklärten Fragen insbesondere zur Besiedlung des Kirchhügels in frühkaiserzeitlicher und spätrömischer Zeit, handelte es sich um eines der letzten Areale auf dem Kirchhügel mit möglichen intakten Kulturschichten, welches noch nicht vollständig durch moderne Bautätigkeit beeinträchtigt war[63] (Abb. 18). Zudem schloss die Grabungsfläche unmittelbar an die Parzellen an, in welchen während den Jahren 1949–51 beim Bau des Kirchgemeindehauses umfangreiche Ausgrabungen stattfanden. Damals traten neben einer frühkaiserzeitlichen Kulturschicht mit Befunden, ein grösseres bislang ungedeutetes Gebäude, ein gallorömischer Viereckstempel sowie Teile der Umfassungsmauer zu Tage[64]. Südlich der Hohlandstr. 3 fanden in den Jahren 1976, 1980 und 1981 bei der Umgestaltung des Kirchhofes und der Renovation der reformierten Kirche St. Arbogast ebenfalls grössere Grabungen statt. Im Kirchhof wurden u. a. weitere Teile des Tempelbezirks sowie Reste einer Strasse aufgedeckt[65], während in der Kirche St. Arbogast ein in der Literatur vielfach als Bad bezeichnetes Gebäude mit Hypokaust angeschnitten wurde[66].

Neben den Feldern in den unmittelbar benachbarten Parzellen kamen bei der Sanierung einer Stützmauer am südwestlichen Hügelrand im Jahr 1989 weitere Funde und Befunde auf dem Kirchhügel zum Vorschein[67].



Abb. 18. Blick von Süden in die Parzelle Hohlandstr. 3. Links im Bild die Hohlandstrasse, in der Mitte Garten, Gewächshäuser und Wohnhaus, rechts im Bild das Kirchgemeindehaus. Zustand vor Ausgrabungsbeginn. Die archäologische Untersuchung von 1993 umfasste die nicht unterkellerten Gewächshäuser sowie Teile des Gartens.

Die Ergebnisse in den Nachbarparzellen zeigen, dass an der Hohlandstr. 3 mit vicuszeitlichen, inbes. frühkaiserzeitlichen Funden und Befunden gerechnet werden musste (1.–3. Jh.). Zudem war zu erwarten, dass Teile der spätrömischen Umfassungsmauer sowie allfällige zugehörige Siedlungsreste angeschnitten würden.

Auf Grund der Lage der Ausgrabung und auf der Basis der Ergebnisse der früheren Grabungen liessen sich somit detaillierte Fragestellungen in Bezug auf den Grabungsort formulieren[68] (Abb. 17):

1. Gibt es eine Fortsetzung der in den Jahren 1976, 1980 und 1981 freigelegten Stichstrasse auf den Kirchhügel und können weitere Hinweise über deren Aufbau und Verlauf beigebracht werden[69]?

2. Sind zusätzliche Mauerzüge des grösseren Gebäudes C (Grabungen 1949–1951) fassbar und Aussagen zu dessen Funktion möglich[70]?

3. Befanden sich nördlich des Tempelbezirks weitere öffentliche Bauten[71]?

2.1.2 Ausgrabungsmethoden

An der Hohlandstr. 3 konnte infolge Störungen durch neuzeitliche Gewächshäuser keine grossflächige Freilegung der Befunde vorgenommen werden. Die Ausdehnung der Grabungsflächen und die Lage der Profile musste primär der Grösse und der Orientierung der durch diese Bauten gebildeten Raumeinheiten angepasst werden (Abb. 19). Dieser Umstand führte u. a. dazu, dass die Grabungsflächen ausgesprochen schmal und lang wurden, mit der Folge, dass gewisse Schichten nicht über die Felder hinweg korreliert werden konnten.

Die Gewächshäuser bewirkten aber nicht nur Nachteile, denn als Witterungsschutz – die Ausgrabung fand zum grössten Teil im Winter statt – konnten sie während der ganzen Grabung bestehen bleiben. Zudem ergab sich die Möglichkeit, die obersten humosen Schichten von Hand abzutragen, da Baggereinsätze nur in den Feldern ausserhalb der Gewächshäuser vorgenommen werden konnten. Daraus erhofften wir uns, auch aus neuzeitlich durchmischten Schichten allfällige spätrömische oder mittelalterliche Funde bergen zu können, insbesondere im Hinblick auf die noch ungelöste Frage der Siedlungskontinuität ab der spätrömischen Zeit bis zum Bau der ersten Kirche auf dem Kirchhügel (11. Jh.?).

2.1.3 Auswertung der Funde und Befunde

Die Ausgrabung an der Hohlandstrasse war geprägt von kleinteiligen Grabungsflächen, wenigen und z.T. äusserst dünnen Schichten sowie vielen neuzeitlichen Störungen (Abb. 19 und 20).

Trotzdem erlaubte es die Auswertung der Befunde, die Strukturen den Siedlungsperioden 1–3 zuzuweisen (Kap. 2) sowie eine chronologische Verankerung anhand der Funde vorzunehmen (Kap. 3). In einem weiteren Kapitel werden die Ergebnisse aus der Fund- und Befundauswertung zusammengeführt und in einen breiteren Rahmen gestellt (Kap. 2.4).

Ein Hauptziel der Auswertung war es, die Siedlungsperioden mit den von J. Rychener definierten Perioden (Perioden A–G) der Besiedlung des Kirchhügels zu verbinden[72]. Eine Korrelation der Siedlungsperioden an der Hohlandstr. 3 mit weiteren Fundstellen in Oberwinterthur ist möglich, da eine erste Zusammenfassung der bis im Jahr 1988 publizierten Befunde zu Vicushorizonten (VH I–V) vorliegt[73].

Die im Folgenden verwendeten Befundnummern entsprechen den auf der Grabung willkürlich vergebenen Positionsnummern. Diese haben keine chronologische Aussagekraft.

Neben der eigentlichen Fund- und Befundauswertung konnte Karin Kob Guggisberg zwei aussergewöhnliche Bronzeobjekte der Siedlungsperiode 2 bearbeiten (Kat. **124** und **125**, Kap. 2.3.2).

2.2 Die Baubefunde

2.2.1 Siedlungsperiode 1 (drei grössere Gruben) (Abb. 20–24, 29)

Zur ersten Siedlungsperiode gehören alle Befunde, welche älter als eine grossflächig nachgewiesene sog. «Grundrollierung» sind (Kap. 2.2.2). Im Speziellen handelte es sich um drei grössere Gruben (Grube 166, 99/106 und 61) mit ihren ersten Auffüllungen. Zunächst fügen sie sich mit ihren Orientierungen gut in die bekannte Bauordnung auf dem Kirch-

---

59 Deschler-Erb et al. 1996, 121 Abb. 101,4 Kat. 326.

60 V. Bierbrauer, Invillino-Ibligo in Friaul I. Die römische Siedlung und das spätantik-frühmittelalterliche Castrum. Münchner Beiträge zur Vor- und Frühgeschichte 33 (München 1987) 161.

61 Grösse der Ausgrabung rund 350 m^2; örtlicher Grabungsleiter war Rolf Gamper; Bauherr E. Zuberbühler, Oberwinterthur. Fund- und Befundmeldung: Hoek 1995, 228f.; für Hinweise und Anregungen möchte ich mich bei P. Albertin, Ch. Ebnöther, B. Hedinger, R. Janke, V. Jauch, K. Kob Guggisberg, Th. Pauli, J. Rychener, St. Schreyer und R. Windler bedanken. Das Manuskript wurde grösstenteils Ende 1994 abgeschlossen, später erschienene Literatur konnte nur noch vereinzelt eingearbeitet werden.

62 Zur Topographie des Kirchhügels vgl. Rychener 1984, 9–11.

63 Forschungsgeschichte: Zur frührömischen Besiedlung vgl. unten mit Kap. 2.4. Zur spätrömischen Umfassungsmauer vgl. etwa Staehelin 1948, 273f. und 633f.; Bloesch/Isler 1952, 18–21; Rychener 1984, 33–35; Zürcher 1985, 173ff.; Drack/Fellmann 1988, 556–561; J. Rychener, Die Befestigung («Kastell») von Oberwinterthur, in: Ebnöther et al. 1995, 126–128; A. Zürcher, Der römische Vicus Vitudurum, in: Geschichte des Kantons Zürich 1995, 94–100.

64 Bloesch/Isler 1952, 11ff.

65 Rychener 1984, 15.

66 W. Drack, Zur Baugeschichte der Kirche – Von den Anfängen bis ins 13. Jh., in: Die reformierte Kirche St. Arbogast in Oberwinterthur, Festschrift zur Restaurierung 1976–1981, Oberwinterthur 1981, 23–60; W. Drack, K. Keller und A. Knoepfli, Die reformierte Kirche St. Arbogast in Oberwinterthur, Schweizerische Kunstführer (Bern 1984); Rychener 1984, 28–32; vgl. dazu in diesem Band Kap. II.3; nur zur Kirche: D. Grütter (in Vorb.). Fundmeldung: JbSGUF 1989, 336; vgl. dazu in diesem Band Kap. II.3.

68 Vgl. auch die Fragestellungen, die J. Rychener zum Kirchhügel formulierte und die z.T. immer noch Gültigkeit haben (Rychener 1984, 11).

69 Rychener 1984, 24f.

70 Bloesch/Isler 1952, 23.

71 Rychener 1984, 25–28.

72 Rychener 1984, 16f.

73 Rychener 1988, 13, 110–112; Schucany 1996a, 218–224; zur Datierung einzelner Perioden und Bauphasen und somit auch der Vicushorizonte in Oberwinterthur siehe auch Furger/Deschler-Erb 1992, 107, 114–116, 118–121, 124, 126.

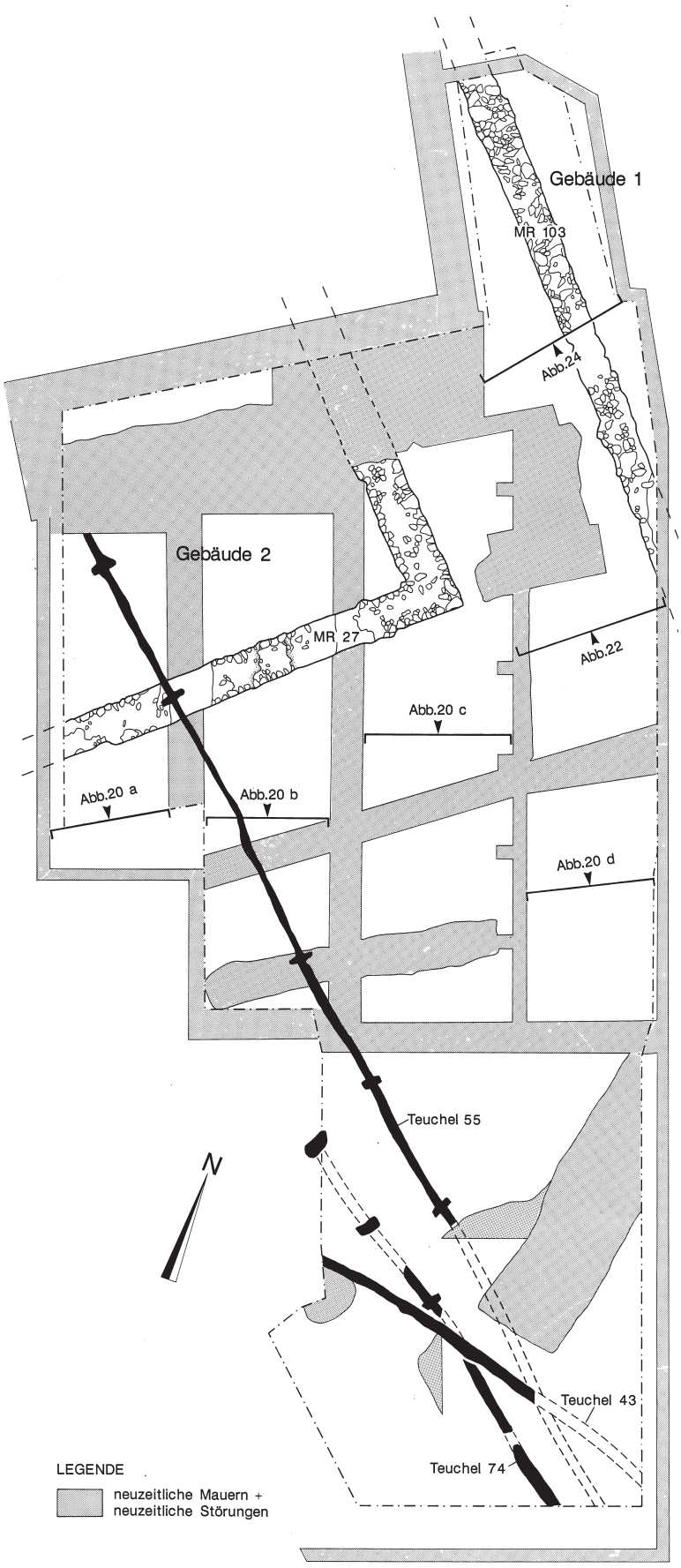


Abb. 19. Hohlandstr. 3. Gesamtplan mit Lage der Mauern (Gebäude 1 und 2), Teuchelleitungen und der abgebildeten Profile (Abb. 20, 22, 24). Neuzeitliche Störungen und Fundamente der Gewächshäuser (gerastert). M. 1:150.

hügel ein (Abb. 21). Ferner dürften auf Grund der Stratigraphie einige Pfostenlöcher und kleinere Gruben zur Siedlungsperiode 1 zuzurechnen sein, doch lassen sie sich nicht zu Hausgrundrissen o.ä. zusammenfassen. Weil auch datierbare Funde fehlen, soll darauf nicht weiter eingegangen werden. Diese Befunde müssten zusammen mit den von Bloesch und Isler in den Jahren 1949–1991 beim Bau des Kirchgemeindehauses ausgegrabenen und nur ungenügend ausgewerteten Strukturen und Funden bearbeitet und interpretiert werden[74].

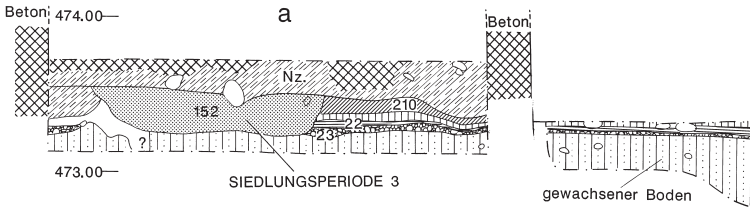
Insgesamt kann Siedlungsperiode 1 in die Zeit von 0–30 n. Chr. datiert werden (Kap. 2.3.1).

Zwei der grossen Gruben und deren Auffüllungen stellen bei der Befundbesprechung Hohlandstr. 3 einen Sonderfall dar. Es handelt sich um die Gruben 99/106 und 166 (Abb. 17). Infolge massiver Setzungen der ersten Grubenschichten und einem wiederholten Auffüllen der Eintiefungen, haben sich insbesondere in der grösseren Grube 99/106 Schichten aus späteren Perioden erhalten, welche sich aber nicht mit Strukturen ausserhalb der Gruben korrelieren liessen. Dies führte zu einem methodischen Problem, indem sich die Frage stellte, unter welcher Siedlungsperiode man die Funde und Befunde der jüngeren Grubenauffüllungen einreihen sollte. Es sind auch die zeitlich nicht zu den Gruben gehörenden Schichtpakete dort katalogisiert, wo die Besprechung der Gruben selbst erfolgte, nämlich unter Siedlungsperiode 1 (Kap. 2.3.1). Somit sind unter den Funden und Befunden – speziell bei Grube 99/106 – Schichten und Funde auch aus späteren Zeiten vorhanden (Abb. 24).

Grube 166 (Abb. 21, 22): Sie war soweit erkennbar, eine annähernd quadratische Eintiefung mit gerundeten Ecken. Obwohl infolge der Baugrubengrenzen keine vollständige Freilegung möglich war, konnte deren Seitenlänge mit rund 4,5 m bestimmt werden. Die Wandungen waren leicht schräg eingestochen, die Grubensohle nahezu flach. Obschon keine zugehörigen Benützungsschichten vorliegen, war sie mit einer Tiefe von rund einem Meter deutlich kleiner als Grube 99/106 (vgl. unten). Beide Gruben wurden von Mauer 103 (Gebäude 1) angeschnitten (Kap. 2.2.2).

Grube 166 war mit verschiedenen Schichtpaketen verfüllt: Die erste Auffüllung bestand aus einer stark mit humosen Anteilen durchsetzten Schicht, welche in der Zeit um 20 n. Chr. eingebracht wurde (Kap. 2.3.1). Ungeklärt ist, ob es sich um eine Schicht aus der Benützungszeit oder um eine

Abb. 20. Hohlandstr. 3. Zusammengesetztes Schichtenprofil etwa W–E durch die Grabungsfläche (zur Lage der einzelnen Teile des Profils vgl. Abb. 19). Siedlungsperiode 1: keine Befunde sichtbar; Siedlungsperiode 2, Phase A: Rollierung 23; Teuchel 94. Siedlungsperiode 2, Phase B: Bauhorizont 22 und 235. Siedlungsperiode 2, Phase C: Planie 20 und 21; Gehhorizont 19 und 212; Versturzschicht 18 und 210. Siedlungsperiode 3: Planie 17; Gehhorizont 16; Graben 152. M. 1:50.



nachgrubenzeitliche Schicht handelt (vgl. unten). Gesichert ist, dass dieses Paket infolge hohem Anteil an organischen Materialien starke Setzungen erfuhr und später wiederholt aufgefüllt wurde. Dadurch hat sich – wie auch in der nachfolgend zu besprechenden Grube 99/106 – eine recht mächtige Schichtenabfolge erhalten. Aus Zeitmangel konnte sie während der Grabung nur teilweise getrennt werden. Daher soll auf die später eingebrachten Planien nicht weiter eingegangen werden.

Die ehemalige Funktion der Grube kann nicht sicher bestimmt werden. Die untersten humosen Grubenauffüllungen aus der Benützungszeit(?) lassen an eine Latrine o.ä. denken (zur Datierung der Funde vgl. Kap. 2.3.1).

Im Jahr 1991 gelang es etwa 100 m nördlich des Kirchhügels an der Römerstrasse 169a eine in ihren Massen identische – jedoch eher runde – Grube ähnlicher Zeitstellung auszugraben. Auch sie war zumindest teilweise sekundär verfüllt. Dort gibt es vage Hinweise, dass sie ursprünglich als Latrine diente[75].

Grube 99/166 (Abb. 21, 23, 24): Grube 99/166 konnte infolge der Baugrubengrenzen nur partiell ausgenommen werden. Zudem musste ein Teil der untersten Auffüllungen im Boden belassen werden.

Mit mindestens 28 m³ Inhalt handelte sich um die grösste bislang auf dem Kirchhügel angetroffene Grube. Soweit feststellbar war sie rechteckig und hatte abgerundete Eckbereiche. Sie erreichte eine Länge von etwa sieben und eine Breite von mindestens zwei Metern. Obwohl keine grubenzeitlichen Benützungsschichten bekannt sind, dürfte die erhaltene Tiefe von rund zwei Metern den ehemaligen Ausmassen der Grube entsprochen haben.

Beinahe senkrecht erhaltene Grubenwände sind Zeugen dafür, dass eine Verschalung aus Balken und Brettern eingebaut war. Entsprechende Spuren haben sich noch in Form länglicher, humoser Flecken an der Nordwand der Grube erhalten. Weitere Elemente der Grubenauskleidung konnten auch in der untersten, sehr feuchten Auffüllung nicht festgestellt werden (vgl. unten). Offensichtlich muss zumindest ein Teil der Ausschalung nach der Aufgabe der Grube herausgerissen und evtl. wieder verwendet worden sein. Mit den abgerundeten Ecken sind Hinweise auf Eckpfosten vorhanden. Ein Teil der Grubenwand ist – infolge Instabilität – nach Aufgabe der Grube abgesackt, wie ein entsprechender Befund zeigt (Abb. 23).

Die erste Verfüllung der aufgelassenen Grube muss ohne grossen zeitlichen Verzug erfolgt sein, ansonsten die zwei Meter hohen Wände der Grube sehr schnell verstürzt wären.

Zur ehemaligen Funktion der Grube kann vorerst nichts Gesichertes ausgesagt werden. Mögliche Interpretationen tendieren in Richtung einer Zisterne, eines Kellers oder einer Latrine. Bei Grube 99/106 möchten wir – v. a. auf Grund der enormen Grösse – eine Deutung als Keller für die wahrscheinlichste halten. Eine wohl zeitgleich verfüllte, jedoch kleinere Grube ist etwa 30–40 m südlich der Grube 99/106 bei Ausgrabungen im Zusammenhang mit der Umgestaltung des Kirchhofs bekannt geworden[76]. Leider gab es für diese Grube keine Hinweise auf deren einstige Funktion.

Die Datierung der untersten Auffüllung erlaubt es mit aller Vorsicht, die Benützungszeit der Grube in die Zeit von 0–30 n. Chr. zu setzen (Kap. 2.3.1).

Nachdem Grube 99/106 aufgegeben und verfüllt wurde, musste sie infolge starker Setzungen periodisch aufgefüllt werden (vgl. unten). Dieser Umstand sowie die später eingezogene Mauer 103 (Gebäude 1) hatten eine komplizierte Stratigraphie zur Folge: Das unterste Schichtpaket *(Schichtpaket 1)* bestand zu einem grossen Anteil aus humosen und tonigen Elementen und erreichte bei der Ausgrabung noch maximal 0,5–0,6 m Mächtigkeit. Es dürfte sich um Material handeln, welches aus der unmittelbaren Nähe der Gruben stammt und uns die Existenz von Freiflächen auf dem Kirchhügel zu dieser Zeit anzeigt (vgl. Kap. 2.4.1).

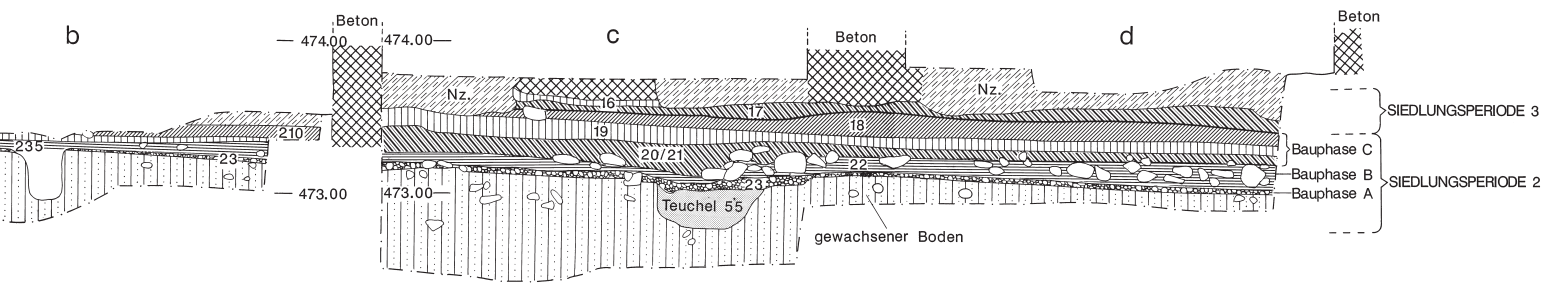
Von Schichtpaket 1 dürfte die Grube ehemals bis oben verfüllt und infolge eines hohen organischen Anteils nach und nach auf einen Bruchteil seines ursprünglichen Volumens komprimiert worden sein. Zeitlich muss diese erste Auffüllung zwischen 20 und 30 n. Chr. erfolgt sein, wie uns die Funde zeigen. Schichtpaket 1 zeigt zugleich das Ende der Siedlungsperiode 1 an (Kap. 2.3.1).

Die zweite Auffüllung der Grube bestand aus verschiedenen sandigen und tonigen, jedoch beinahe sterilen Schichten *(Schichtpaket 2)*, welche noch vor dem Bau der Mauer 103 (Gebäude 1) eingebracht wurden. Das Schichtenprofil durch die Grubenauffüllungen macht deutlich, dass zu dieser Zeit der Setzungsvorgang der untersten Auffüllungen noch nicht vollständig abgeschlossen sein konnte. Daher sank auch die zweite Auffüllung ab, was sich im Bereich der Mauer 103 (Gebäude 1) in Form von an der Mauer haftendem Schichtmaterial abzeichnete (Abb. 23, 24). Diese Beobachtung ist insofern von Bedeutung, als dass man dadurch ableiten kann, dass der Bau der Mauer 103 (Gebäude 1) und die Einbringung des Schichtpakets 2 nur kurze Zeit nach Entstehung von Schichtpaket 1 erfolgt sein kann.

Die Funde aus Schichtpaket 2 weisen grob in die 1. Hälfte des 1. Jh. (Kat. **82–91**) womit ein vager Terminus post quem für die Bauzeit der Mauer 103 (Gebäude 1, Kap. 2.2.2) vorliegt.

Schichtpaket 3 lag hauptsächlich in Form eines recht mächtigen Bollen- und Sandsteinpakets sowie Schichten aus Tuffmehl vor. Es dürfte sich um Elemente aus der Bauzeit der Mauer 103 (Gebäude 1) handeln (Kap. 2.2.2). Zum Zeitpunkt der Einbringung von Schichtpaket 3 war der Setzungsprozess des untersten humosen Schichtpaketes noch nicht abge-

74 Bloesch/Isler 1952.
75 Hedinger 1993, 80.
76 Rychener 1984, 19f. (Grube 8).



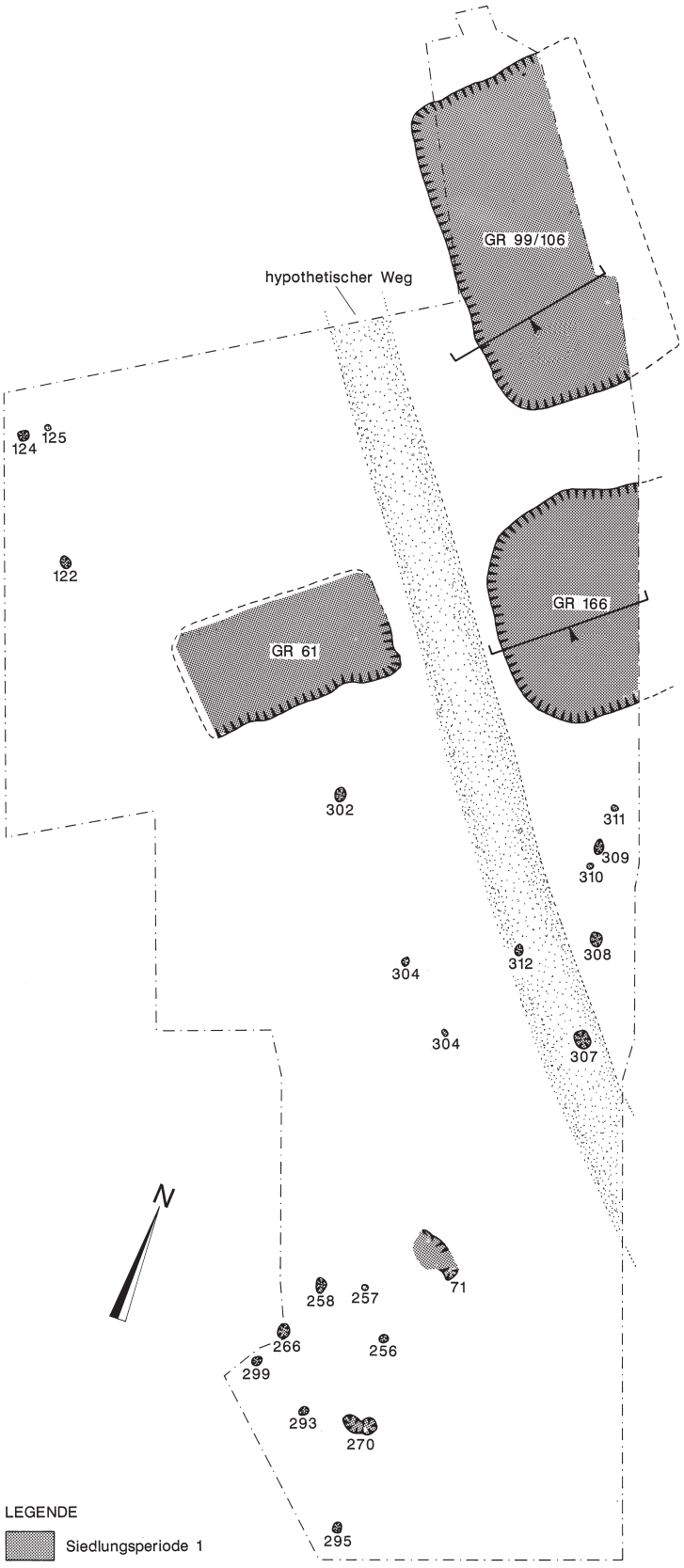


Abb. 21. Hohlandstr. 3. Strukturen der Siedlungsperiode 1 (0–30 n. Chr.). Gruben 166, 99/106 und 61 sowie Pfostenstellungen. M. 1:150.

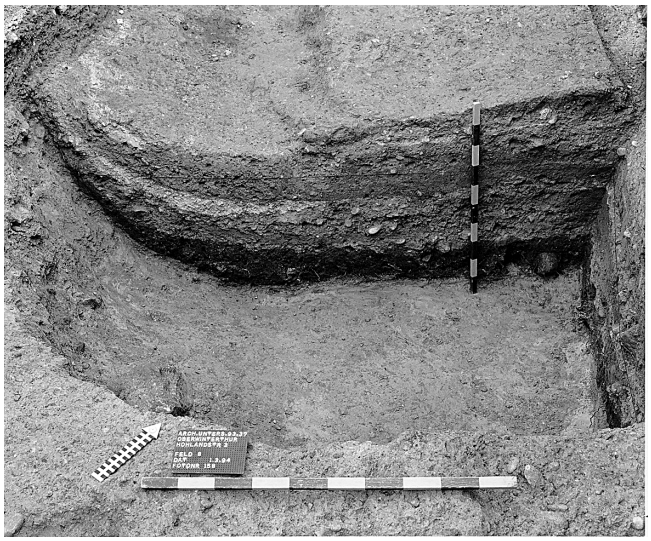


Abb. 22. Hohlandstr. 3. Grube 166 (Siedlungsperiode 1). Blick von Südosten in die partiell ausgenommene Grube mit Profilschnitt durch die Auffüllschichten. Links im Bild die Südecke der Grube.

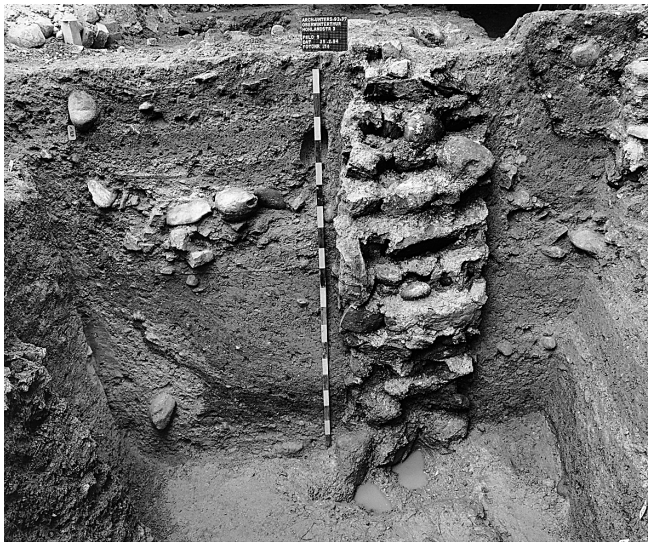


Abb. 23. Hohlandstr. 3. Grube 99/106 (Siedlungsperiode 1). Blick von Südosten in die partiell ausgenommene Grube mit Profilschnitt durch die Auffüllschichten sowie Schnitt durch Mauer 103 (Gebäude 1, Siedlungsperiode 2, Phase A). Die Unterkannte der Grube ist gefasst. Links im Bild ist der Verlauf der westlichen Grubenwandung sichtbar. Rechter Grubenrand ausserhalb des Bildes. Vgl. auch Abb. 24.

schlossen, so dass weitere Auffüllungen nötig waren (vgl. unten). Aus den Schichten stammten nicht genügend datierbare Funde um eine zeitliche Einbindung vornehmen zu können.

Offensichtlich musste man vor dem Bau von Gebäude 1 von den starken Setzungsvorgängen in der Grube gewusst haben, denn Mauer 103 wurde durch alle Auffüllungen hindurch bis auf den gewachsenen Boden fundiert, während ausserhalb der Grube die Unterkante des Fundaments um rund einen Meter höher zu liegen kam.

Die *Schichtpakete 4* (Kat. **92–99**) und 5 (Kat. **100–110**) konnten aus Zeitgründen während der Ausgrabung nur bedingt getrennt abgebaut werden. Mit dem Schichtpaket 4 dürften wir verschiedene Gehniveaus zur Mauer 103 (Gebäude 1)

gefasst haben, während sich darüber ein stark mit verkohltem Material durchsetzter Brandhorizont abzeichnete (Schichtpaket 5). Dabei könnte es sich um Herdstellenabraum o.ä. handeln. Die wenigen Funde sind zeitlich sehr uneinheitlich und weisen die Schichtpakete 4 und 5 vorsichtig in die Zeit des frühen 2. Jh. (Kat. **92–110**).

Zuoberst in der Grube lag eine Planie bestehend aus sandig-kiesigen z.T. lehmigen Schichten, deren Funde keine klare Datierung zulassen (*Schichtpaket 6*, Kat. **111–118**).

Sämtliche jüngeren Schichten im Bereich der Grube 99/106 sind nur sehr lückenhaft bekannt, da östlich der Mauer 103 – im Bereich der ehemaligen Innenseite von Gebäude 1 – ein Ausweiten der Grabungsfläche infolge der Baugrubengrenzen nicht möglich war und die Schichten westlich der Mauer 103 modernen Kappungen zum Opfer gefallen sind (vgl. oben).

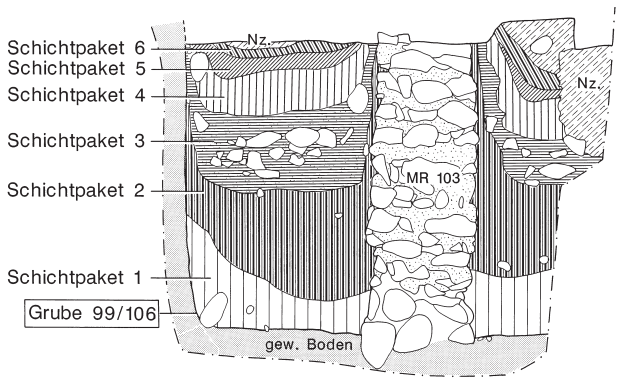


Abb. 24. Hohlandstr. 3. Schichtenprofil durch Grube 99/106 (zur Lage des Profils vgl. Abb. 19). Beschreibung und Interpretation der Strukturen und Schichtenpakete vgl. Text. M. 1:50.

Grube 61: Bei Grube 61 handelte es sich um die dritte Grube, welche der Siedlungsperiode 1 zuzurechnen ist (Abb. 21). Gesichert in Bezug auf die relative Chronologie ist, dass sie noch vor der Einbringung von Rollierung 23 (Siedlungsperiode 2, Phase A, Kap. 2.2.2) aufgegeben und mit beinahe sterilem Sand und Kies aufgefüllt worden ist. Grube 61 konnte nur partiell dokumentiert werden, da sie durch die spätere Mauer 27 (Gebäude 2, Kap. 2.2.2) und einen modernen Eingriff gestört war. Die rechteckige Grube kann max. eine Länge von 5,5 und max. eine Breite von 2 m erreicht haben. Obwohl sich – wie bei den oben besprochenen Gruben – keine grubenzeitlichen Benützungsschichten bestimmen liessen, dürfte die Grube mind. 0,8 m tief gewesen sein. Reste der Grubenauskleidung – in Form einer Holzverschalung o.ä. – konnten als längliche und humose Flecken an den Grubenwandungen beobachtet werden. Zudem klebten dort Teile der Hinterfüllung, ferner waren Reste einer Benützungsablagerung auf der Grubensohle vorhanden. Vorläufig können keine weiteren Aussagen, etwa zur ehemaligen Funktion der Grube gemacht werden. Zudem war sie beinahe fundleer.

2.2.2 Siedlungsperiode 2 (Kiesplatz und zwei Gebäude) (Abb. 20, 25–31)

Die Siedlungsperiode 2 kann in drei Phasen unterteilt werden (Phasen A bis C). Zur Phase A gehört eine ausgedehnte Rollierung sowie mindestens zwei Gräbchen für Teuchelleitungen. Unklar ist, welcher Phase ein im Osten der Grabungsfläche angeschnittener Mauerzug (MR 103) bzw. das entsprechende Steingebäude zuzuweisen ist (Gebäude 1, Abb. 19). Zur Zeit tendieren wir dazu, besagtes Gebäude 1 zur Phase A zu zählen.

Ein weiteres Steingebäude, von welchem die Südostecke bekannt ist, gehört zur Phase B (Abb. 19, Gebäude 2). Unter Phase C können – in Form von Schichten – Um- oder Erweiterungsbauten von Gebäude 2 zusammengefasst werden. Es liegen eine Planie, ein Gehhorizont und eine Ziegelversturzschicht vor.

Siedlungsperiode 2 – mit seinen drei Phasen – deckt den Zeitraum von etwa 70 n.Chr. bis in die Mitte des 3. Jh. n. Chr. ab (Kap. 2.3.2).

Phase A

Mit Ausnahme der im Osten des Areals stark durch jüngere Eingriffe gestörten Flächen und im Bereich der beiden grösseren Gruben (Kap. 2.2.1), konnte überall unmittelbar über dem gewachsenen Boden eine ausgeprägte und flächendeckende Rollierung gefasst werden (Abb. 20, 26; Pos. 23). Ihre Ausdehnung muss sich zumindest im Süden über die Grabungsfläche hinaus erstreckt haben, wo sie im Bereich des Kirchhofs mit einem identischen Befund parallelisiert werden kann[77]. Gänzlich unbekannt ist die Fortsetzung in nördlicher Richtung, da von dort keine Befundbeobachtungen vorliegen[78]. Neben der gesicherten Fortsetzung im Süden dürfte sich die Rollierung gegen Osten und Westen als kompakte, jedoch ausgedünnte Struktur über die Grabungsfläche hinaus erstreckt haben[79].

Zur Baustruktur der Rollierung können die seinerzeit von J. Rychener festgehaltenen Beobachtungen bestätigt werden. Es zeigt sich, dass einer eigentlichen Vorplanierung – wohl um lokale Vertiefungen auszugleichen – mehrfach erneuerte Kiesbeläge und Flickstellen aus kleineren Kieseln bis doppelfaustgrossen Steinen folgten. Diese Schichten ergänzen sich zu einer kompakten und standhaften Oberfläche[80].

Im Gegensatz zum Kirchhof kann die Rollierung an der Hohlandstr. 3 aber nicht als Strasse oder Strässchen identifiziert werden[81]. Die Ausdehnung spricht eher für einen erweiterten Platz o.ä., welcher sich mindestens vom Bereich nördlich der späteren Umfassungsmauer des Tempels bis zum grossen Gebäude C (definiert von Bloesch und Isler, siehe unten) erstreckte[82]. Ohne den nun erbrachten archäologischen Beleg einer Rollierung zu kennen, vermuteten schon Bloesch und Isler, dass dort ein freier Platz gewesen sei, welcher im Süden an die Quartierstrasse über den Kirchhügel angeschlossen war[83].

---

77 Rychener 1984, 24f.

78 Bislang fehlt der archäologische Nachweis – in Form einer Kofferung o.ä. – für die auf dem Gesamtplan Vitudurums dargestellte durchgehende «Quartierstrasse» zwischen den Flächen der Parzelle Hohlandstrasse und der römischen Hauptstrasse (vgl. den Gesamtplan Vitudurums, in: Rey-Vodoz et al. 1998, Umschlag Innenseite).

79 Bloesch/Isler 1952, 14 (Kiesboden im Bereich von Gebäude C und Mauergruppe E).

80 Rychener 1984, 24.

81 Rychener 1984, 24f.; 44.

82 Zur Lage der beiden Gebäude: Drack/Fellmann 1988, 557 (Abb. 516. 4 = Tempel; 5 = Gebäude C nach Bloesch und Isler).

83 Bloesch/Isler 1952, 14; 29f.; siehe auch Drack/Fellmann 1988, 558.

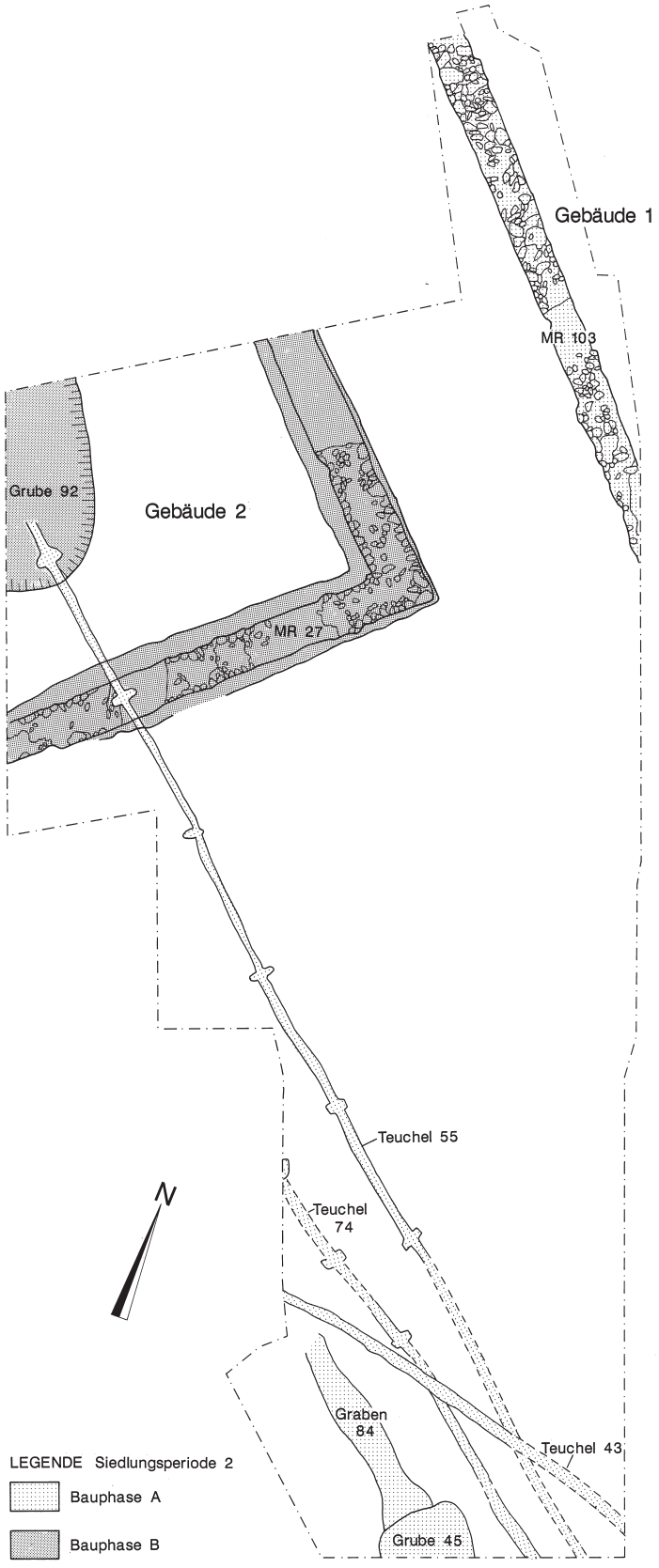


Abb. 25. Hohlandstr. 3. Strukturen der Siedlungsperiode 2 (Phasen A und B, um 70 n.Chr. bis Mitte 3. Jh.). M. 1:150.
Phase A: Teuchelleitungen 55, 74, 43 sowie Graben/Grube 45/84, Mauer 103 (Gebäude 1); Phase B: Mauer 27 (Gebäude 2) mit Mauerbaugrube, Mörtelmischgrube 92.



Abb. 26. Hohlandstr. 3. Blick von Süden auf die Rollierung der Siedlungsperiode 2 (Phase A). Im Hintergrund eine neuzeitliche Störung. Rechts oben im Bild die Gartenmauer des Kirchgemeindehauses Oberwinterthur.



Abb. 27. Hohlandstr. 3. Blick von Westen in zwei Gräbchen für hölzerne Teuchelleitungen (Bildmitte) nach Abtrag der Rollierung Siedlungsperiode 2 (Phase A). Links im Bild neuzeitliche Störung, in der Bildmitte neuzeitliche Pfostenstellungen.

Unter der Rollierung zeichneten sich drei rund 0,5 m tiefe Gräbchen ab. Mit Breiten von 0,4–0,6 m fügen sie sich ins Bauraster auf dem Kirchhügel ein (Abb. 19, 25, 27; Pos. 43, 55, 74). Die Anfangs- und Endpunkte müssen sich ausserhalb der Grabungsfläche befunden haben. Einzig für Gräbchen 55 (Abb. 17, 25, 28) ist dessen Verlauf im Kirchhof in Richtung heutiger Kirche gesichert. Die damaligen Ausgräber deuteten es – mit gutem Grund – als Strassengraben[84].

Wie die Stratigraphie zeigt, dürften die beiden Gräbchen 55 und 74 zeitgleich angelegt worden sein, während Gräbchen 43 erst später folgte (vgl. unten).

In den Gräbchen waren hölzerne Teuchel – verbunden mittels rechteckigen Holzmuffen – verlegt, wie die nach der Zersetzung des Holzes entstandenen Hohlräume belegen (Abb. 28). Teuchel oder Tüchel nennt man durchbohrte



Abb. 28. Hohlandstr. 3. Blick von Nordwesten mit den Spuren einer vollständig vergangenen Teuchelleitung, sichtbar als Hohlraum. Im Vordergrund Negativ einer Kupplungstelle. Im Hintergrund Mauer 27 (Gebäude 2) der jüngeren Siedlungsperiode 2 (Phase B) mit zugehöriger Mauerbaugrube, welche zur Hälfte bereits ausgenommen ist. Zustand nach Entfernung der Rollierung der Siedlungsperiode 2 (Phase A). Links und rechts im Bild die Mauern der neuzeitlichen Gewächshäuser.



Abb. 29. Hohlandstr. 3. Blick von Nordwesten auf die Mauerkrone der Mauer 103 (Gebäude 1, Siedlungsperiode 2, Phase A) mit zugehörigem Bauhorizont in Form von Bollensteinen (Schichtpaket 3) in Grube 99/106. Auf beiden Seiten der Mauer Auffüllungen der Grube 99/106 (vgl. Abb. 23 und 24).

Holzstämme, die als Röhren mittels Holz- oder Metallmuffen zu einer zusammenhängenden Wasserleitung verbunden waren. Hinweise auf römische Teuchel gibt es nicht nur aus Oberwinterthur sondern auch von anderen römischen Fundstellen[85]. Teuchelleitungen müssen auch im Mittelalter und in der Neuzeit weitverbreitet gewesen sein. So bestanden z. B. in der Stadt Luzern noch im späten 19. Jh. fast alle Wasserleitungen aus Teucheln[86].

Mindestens zwei der drei Teuchelleitungen müssen zur Phase A gezählt werden, während die Zuweisung der dritten Leitung nicht gesichert ist (Abb. 25, Pos. 43). Auffällig sind dort einige grössere Ziegelstücke, welche beim Freilegen der Gräbchen auffielen. Denkbar ist, dass Ziegel mit ihren zwei flachen Seiten ideale Bausteine waren, um die in den Gräbchen provisorisch verlegten Leitungen auszurichten. Unter Umständen sind sie Zeugen einer lokalen Reparatur oder Erneuerung einer defekten Röhre. In diesem Sinn ist denkbar, dass es sich bei Teuchel 43 um eine in Phase A erstellte und in Phase B weiterhin benutzte Leitung handelte.

Mit Graben 84 und Grube 45 sind weitere Strukturen der Wasserversorgung bekannt (Abb. 25). Während der Anfangspunkt des leicht gegen Süden abfallenden Grabens ausserhalb der Grabungsfläche gesucht werden muss, dürfte Grube 45 seinen südlichen Endpunkt darstellen. Die Füllung der Grube bestand aus einer lockeren Steinpackung. Verschlossen war die Grube von einer Art Mörtelguss. Stratigraphisch über den Graben erstreckte sich die Kiesrollierung (Phase A, siehe oben).

Insgesamt kommt man zu dem Schluss, dass es sich beim Graben und der Grube um einen Sickerschacht mit Zuleitung gehandelt hat, ohne dass weitere Zusammenhänge aufgezeigt werden können. Vergleichbare Befunde sind zumindest aus Oberwinterthur nicht bekannt.

Abgesehen von der Kiesrollierung mangelt es an Schichten der Phase A. Die Ursache dürfte sein, dass sich die Grabungsfläche zur Hauptsache im Bereich eines wohl über längere Zeit öffentlich genutzten Platzes befand (Kap. 2.4).

An Baustrukturen kann u. U. ein Mauerzug im Osten der Grabungsfläche der Phase A zugerechnet werden (Abb. 19, 29, *Gebäude 1*). Leider waren infolge neuzeitlicher Eingriffe sämtliche verbindenden Schichten zwischen Kiesplatz und dieser Mauer zerstört. Immerhin gelang es in Grube 99/106 einen zu diesem Mauerzug gehörenden Bauhorizont, ein Gehniveau sowie eine Brandschicht zu identifizieren, doch

---

84 Rychener 1984, 25.

85 Drack/Fellmann 1988, 120–125. Oberwinterthur: Ebnöther et. al. 1995, 118f.; Zürcher 1985, 212–216; Drack/Fellmann 1988, 123, 559. Cuarny (VD): C. May Castella, L' époque romaine, AS 18, 1995, 84f. Augusta Raurica: Drack/Fellmann 1988, 593 (Anm. 18); J. Ewald, M. Hartmann und Ph. Rentzel, Die römische Wasserleitung von Liestal nach Augst. Archäologie und Museum Heft 36 (Liestal 1997) 14; Vindonissa: JbGPV 1997 (Brugg 1998) 79.

86 Siehe dazu: H. Marti u. P. Huggler, Der Sodmacher, Reihe sterbendes Handwerk, Heft 18 (Basel 1968); M. Gschwend (Text), Der Tüchelbohrer, Schriften des Schweizerischen Freilichtmuseums Ballenberg, Nr. 2 (Brienz 1979); H. Steuer (Hrsg.), Zur Lebensweise in der Stadt um 1200. Ergebnisse der Mittelalter-Archäologie, Bericht über ein Kolloquium in Köln vom 31. Januar bis 2. Februar 1984 (Köln 1986), 278ff. Zu einem weiteren Nachweis einer bis ins 19. Jh. benutzten Teuchelleitung in Aachen/Aquae Granni siehe: K. Grewe, Römische Wasserleitungen nördlich der Alpen, in: Die Wasserversorgung antiker Stätte, Mainz 1988, 61f.

sind diese infolge der begrenzten Grabungsfläche nur sehr lückenhaft bekannt (Kap. 2.1.2, Schichtpakete 3–5). Zudem konnten daraus keine aussagekräftigen Funde geborgen werden, welche eine zeitliche Einbindung von MR 103 ermöglicht hätten. Aus den wenigen Funden aus dem chronologisch älteren Schichtpaket 2 kann jedoch ein vager Terminus post quem – nach der Mitte des 1. Jh. (Kap. 2.2.1) – für den Bau von Gebäude 1 bestimmt werden.

Mauer 103 ist die Fortsetzung der Westabschlussmauer eines schon von Bloesch und Isler freigelegten und – bislang ungedeuteten – grösseren Gebäudes[87] (Abb. 17, Gebäude 1).

Phase B

Phase B ist charakterisiert durch den Bau eines Steingebäudes (Gebäude 2). Zugehörig ist ein Bauhorizont (Pos. 22), eine Grube – wohl eine Mörtelmischgrube (Pos. 92) –, sowie unter Phase C (Kap. 2.2.2) eine Planie, ein Gehhorizont und eine Ziegelversturzschicht.

Gebäude 2: Zunächst steht chronologisch fest, dass die Mauerbaugrube von Gebäude 2 sowohl die Rollierung 23 (Phase A) als auch die Teuchelleitung 55 (Phase A) durchschlägt (Abb. 28, Kap. 2.2.2). Ferner ist festzuhalten, dass der Bauhorizont 22 die Rollierung 23 (Phase A) im Bereich der Mauern überdeckte (Abb. 20). Inwieweit auch Teuchelleitung 43 zur Phase B gezählt werden muss, ist vorläufig unklar.

Das 1,5 m hohe Fundament kann in zwei Bereiche unterteilt werden (Abb. 30). Der unterste Meter bestand vorwiegend aus trocken in eine etwa 1,2 m breite Grube eingebrachten Kalkbruch- und Bollensteinen. Mit dem trockenen Verlegen dürfte man versucht haben, dem Aufsteigen von

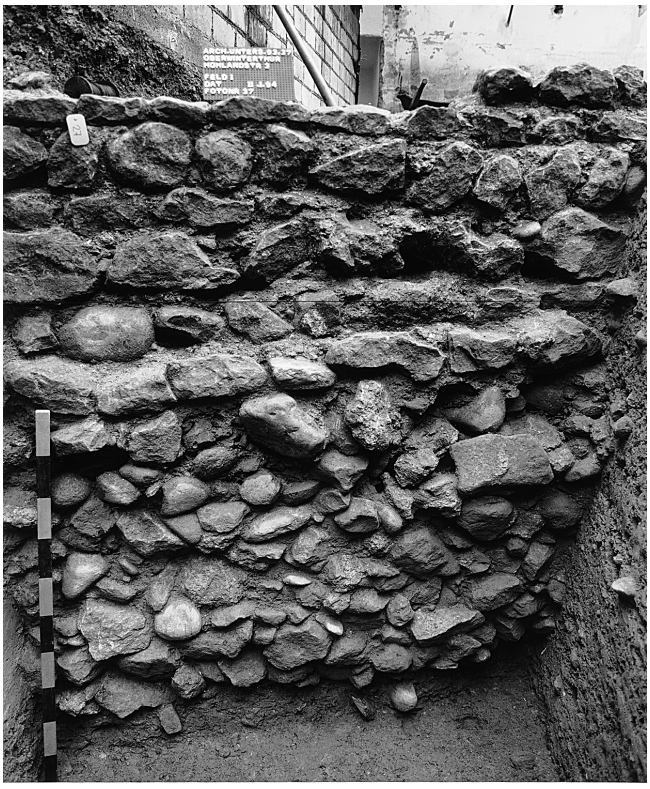


Abb. 30. Hohlandstr. 3. Ansicht des zweiteiligen Fundaments von Gebäude 2 (Siedlungsperiode 2, Phase B). Unten unregelmässig trocken in eine Grube eingebrachte Kalkbruch- und Bollensteine mit einem oberen horizontalen Abschluss, oben fünf bis sechs Steinlagen regelmässig gemauertes Fundament. Oben im Bild die Mauern der neuzeitlichen Gewächshäuser.



Abb. 31. Hohlandstr. 3. Blick von Nordwesten auf den Bauhorizont zu Gebäude 2 Siedlungsperiode 2 (Phase B). Rechts im Vordergrund partiell ausgenommene Mörtelmischgrube.

Bodenfeuchtigkeit entgegenzuwirken. Interessant ist, dass sich unter den Materialien auch grössere Mörtelbrocken mit Steinnegativen sowie brandgerötete Sandsteine – offensichtlich Reste eines älteren Gebäudes – befanden (vgl. unten). Der obere Teil des Fundaments erreichte eine Mauerstärke von noch 0,9 m. Vier bis fünf mit Mörtel zusammengefügte, frei aufgemauerte Steinlagen haben sich erhalten.

Das aufgehende Mauerwerk muss zumindest partiell aus Sandsteinen ausgeführt gewesen sein (Eckbereiche, vgl. unten).

Die begrenzte Grabungsfläche erlaubte die Freilegung der Südostecke von Gebäude 2 auf wenigen Metern Länge (Pos. 27, Abb. 19, 25). Aus diesem Grund ist es vorläufig unmöglich, eine Grösse anzugeben, oder es in einen Zusammenhang mit weiteren Bauten auf dem Kirchhügel zu stellen. Offenbleiben muss auch dessen Funktion. Gesichert dürfte jedoch sein, dass ein Steinbau im Bereich des Kirchhügels nicht primär als Wohnhaus diente.

Aus den brandgeröteten Sandsteinen im Fundament von Gebäude 2 haben wir nicht nur einen Beleg auf einen älteren Steinbau, sondern auch auf einen Brandfall. Während sich an der Hohlandstr. 3 keine weiteren Befunde etwa in Form einer Brandschicht o. ä. abzeichneten, konnte J. Rychener das Ende seiner Kirchhügel-Periode C in Form einer grösseren Brandkatastrophe wahrscheinlich machen[88]. Aufschlussreich ist in diesem Zusammenhang, dass jene Kirchhügel-Periode C mit der Gebäude 2 zeitlich vorangehenden Phase A der Siedlungsperiode 2-Hohlandstrasse gleichzusetzen ist (Kap. 2.4).

Die Datierung der Funde zeigt, dass Gebäude 2 vom späteren 2. Jh. bis in die Mitte des 3. Jh. n. Chr. benutzt wurde (Kap. 2.3.2).

Bauhorizont und Mörtelmischgrube: Der im Vergleich recht mächtige Bauhorizont konnte vorwiegend entlang der Mauern und dort mit einer Dicke von 0,2–0,3 m nachgewiesen werden (Abb. 31). Erst mit etwa 4–5 m Entfernung ist ein Ausdünnen dieser Schicht festzustellen, so dass insgesamt von einem umfangreichen Bauniveau zu sprechen ist. Inwieweit sich darin Hinweise auf eine Monumentalität von Gebäude 2 verbergen, muss vorläufig offen bleiben.

Der Bauhorizont setzte sich aus verschiedenen Bestandteilen zusammen: Sandsteinpulver, Sandsteinfragmente,

Mörtelbrocken sowie Bollensteine und kleinere Kiesel bildeten die Hauptmasse der Schicht. Neben den Hinweisen auf einen älteren Bau (vgl. unten) geben zumindest die Sandsteinfragmente und das Sandsteinpulver Hinweise auf die Bautechnik von Gebäude 2. Sie sind Zeugen für das endgültige Zurichten von Sandsteinen an Ort und Stelle.

Aus der Tatsache, dass der Bauhorizont unmittelbar über der Rollierung folgte, kann zudem geschlossen werden, dass die Phase B ohne grossen zeitlichen Hiatus nach der Phase A anzusetzen ist. Im anderen Fall hätte sich zwischen den beiden angesprochenen Niveaus eine weitere Schicht abzeichnen müssen (zur Datierung der Phase B: siehe unten).

Ein weiteres Element aus der Bauzeit von Gebäude 2 ist eine grössere flache Grube. Die genaue Ausdehnung war auf Grund der begrenzten Grabungsfläche nicht zu ermitteln (Pos. 15, Abb. 25, 31). Es dürfte sich um eine Mörtelmischgrube handeln, wie Reste gelöschten Kalkes an den Grubenwänden und auf dem Grubenboden zeigten. Weitere Details sind nicht bekannt, da der Befund aus Zeitgründen ohne detaillierte Dokumentation entfernt werden musste[89].

Phase C (Abb. 20)
Der Phase C können drei z.T. sehr dünne Schichten sowie einige Pfostenlöcher zugewiesen werden. Bei den Schichten handelt es sich um eine Planie, einen Gehhorizont und eine Ziegelversturzschicht (Abb. 20; Pos. 18–21). Gesichert in Bezug auf die relative Chronologie ist, dass die drei Schichten über dem Bauhorizont von Gebäude 2 lagen, die Mauerkronen aber nicht überdeckten (Phase B, Kap. 2.2.2). Daher ist anzunehmen, dass sie als Niveaus zu Gebäude 2 zuzurechnen sind und uns einen Umbau o. ä. anzeigen. Infolge Zeitdrucks während der Ausgrabung konnten die Schichten nicht wunschgemäss freigelegt und dokumentiert werden, so dass deren Ausdehnungen z.T. offen bleiben müssen. Die Datierung der Funde zeigt, dass es sich um Horizonte aus dem späten 2. und frühen 3. Jh. handelte (Kap. 2.3.2).

Während die Planie hauptsächlich aus Kieseln, Ziegelstücken, Sand- und Bollensteinen sowie Tuffbrocken bestand, handelte es sich beim Gehhorizont um ein dünnes mit einigen Bollensteinen durchsetztes Kieselniveau. Die Ziegelversturzschicht bestand aus vielen z.T. recht kleinen Ziegelfragmenten, verbrannten Lehmbrocken sowie Holzkohle. Interessant ist eine Konzentration von Ziegelfragmenten in unmittelbarer Nähe von Gebäude 2. Die Tatsache, dass es in dieser Ansammlung keine grösseren oder ganz erhaltene Stücke gab, zeigt, dass man die Fundstelle wohl in nachrömischer Zeit zwecks Baumaterialgewinnung durchsuchte. Erwähnenswert ist, dass just in dieser Konzentration von Ziegeln zwei Fragmente mit dem Stempel der in Vindonissa stationierten 21. Legion vorliegen (Kap. 2.3.4).

Die chronologische Zuweisung der Pfostenlöcher zur Phase C ist sehr unsicher. Sie basiert einzig darauf, dass die Pfostenlöcher von den Schichten der jüngeren Siedlungsperiode 3 überdeckt waren, also älter als diese sein müssen. Die Pfostenlöcher können wegen der begrenzten Grabungsfläche nicht zu Grundrissen o.ä. ergänzt werden.

Datierung der Phasen A bis C (Kat. **92–172**, vgl. auch Kap. 2.3.2)
Phase A (Kat. **92–138**): Die Rollierung an der Hohlandstr. 3 war nicht sehr fundreich. Auch die Gräbchen der Teuchelleitungen sowie die der Phase A zuzurechnenden Schichtpakete aus der Grube 99/106 lieferten nicht genügend Funde, um eine gesicherte zeitliche Einbindung der Phase A zu ermöglichen. Es zeigte sich, dass Phase A – u.a. mit einer ostgallischen TS-Schüssel Drag. 37 (Kat. **129**) und einem Faltenbecher (Kat. **133**) – zumindest bis ins späte 2 Jh. dauerte, während der Beginn in flavische Zeit gesetzt werden kann. Infolge gut abgesicherter Zusammenhänge der Befunde an der Hohlandstr. 3 mit denjenigen im Bereich des Kirchhofs (vgl. oben) kann eine Parallelisierung der Phase A-Hohlandstrasse mit der Periode C (Kirchhügel) – diese wurde damals in die Jahre 70–110 n.Chr. datiert – vorgeschlagen werden[90]. Schon vor den Grabungen an der Hohlandstrasse ist klar geworden, dass sich die Periode C-Kirchhügel nicht nur bis ins frühe, sondern bis ins späte 2. Jh. erstreckt haben muss[91].

Phase B (Kat. **139–141**): Die Schichten der Phase B waren nicht sehr fundreich. Verschiedene Überlegungen machen eine Datierung der Phase B in die Zeit bis ins 3. Viertel des 2. Jh. wahrscheinlich. Der Beginn der Phase B ist unklar, doch zwischen dem Beginn der Phasen A und B muss eine längere Zeitspanne verstrichen sein (vgl. unten). Phase B dürfte der seinerzeit von Jürg Rychener definierten Periode D-Kirchhügel entsprechen und ins spätere 2. Jh. zu setzen sein[92].

Phase C (Kat. **142–172**): Eine aus der Ziegelversturzschicht geborgene Münze des Severus Alexander (231–235 n.Chr., Kat. **172**) zeigt, dass Phase C bis ins mittlere 3. Jh. n.Chr. zu datieren ist. In die Zeit ab dem späten 2. Jh. weist auch das wenige Fundmaterial.

2.2.3 Siedlungsperiode 3 (Schichten des 3. Jh.) (Abb. 20, 32)

Zur Siedlungsperiode 3 gehört eine Planie, ein Gehniveau und ein Graben (Abb. 20, 32; Pos. 17, 18, 152). Weiter sind auch einige kleinere und grössere Pfostenlöcher zuzurechnen, ohne dass sich diese in einen baulichen Zusammenhang stellen liessen bzw. einen sinnvollen Hausgrundriss o. ä. ergäben (Abb. 32). Chronologisch ist gesichert, dass der Graben und einige Pfostenlöcher die Ziegelversturzschicht 21 zu Gebäude 2 (Siedlungsperiode 2, Phase C, Kap. 2.2.2) durchschlagen und somit jünger sind. Nicht ganz auszuschliessen ist, dass der Graben und die Pfostenlöcher spätrömisch, mittelalterlich oder neuzeitlich zu datieren sind, da sie unmittelbar unter neuzeitlich durchmischten Schichten folgten (zur Datierung des Grabens siehe Kap. 2.3.3). Sowohl Anfang als auch Endpunkt des Grabens müssen sich ausserhalb der Grabungsfläche befunden haben. Beim Graben handelt es sich um einen etwa 0,4 m tiefen und rund 0,8–1,0 m breiten Befund. Möglicherweise waren darin zwei parallel verlaufende Balken eines oder zweier Gebäude verlegt. Interessant ist, dass die Orientierung des Grabens zwar dem Bauraster der älteren römischen Bauten auf dem Kirchhügel entspricht, die beschränkte Grabungsfläche jedoch einen ganzen Hausgrundriss o. ä. zu erschliessen verhinderte.

Die beiden Siedlungsschichten bestanden zum einen aus vorwiegend humos-sandigen Elementen (Planie) zum ande-

---

87 Bloesch/Isler 1952, 23 (Gebäude C); siehe auch Drack/Fellmann 1988, 557 (Abb. 516.5) und 558 (Abb. 517.4).
88 Rychener 1984, 67.
89 Zu Mörtelmischplätzen beim szenischen Theater in Augst / Augusta Raurica, siehe: M. Horisberger und Th. Hufschmid, Das römische Theater von Augst: Sanierungs- und Forschungsarbeiten 1994, JbAK 16, 1995, 98–101.
90 Rychener 1984, 24f.
91 Furger/Deschler-Erb 1992, 120f.
92 Rychener 1984, 16. Siehe auch Furger/Deschler-Erb 1992, 126.

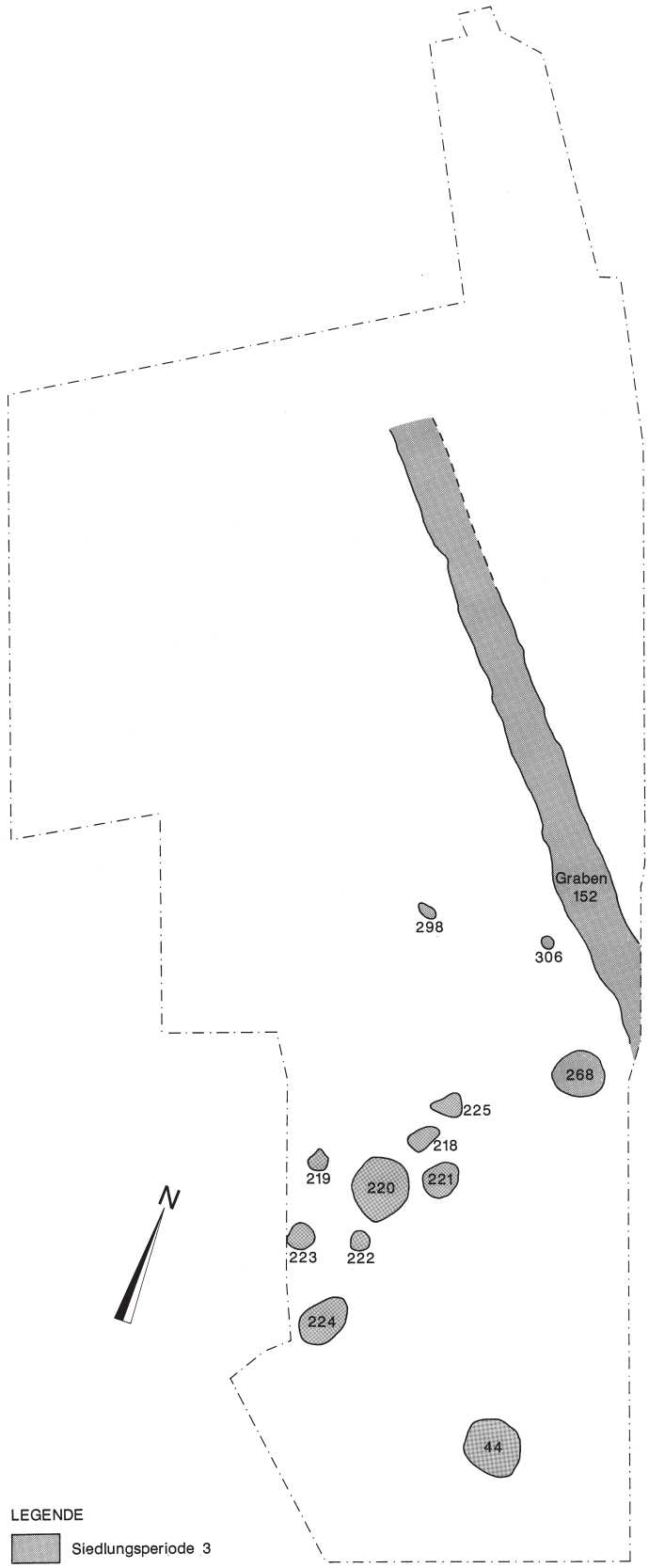


Abb. 32. Hohlandstr. 3. Strukturen der Siedlungsperiode 3 (3. Jh. n.Chr.). Graben 152 und Pfostenstellungen. M. 1:150.

ren aus sandig-kiesigen Bestandteilen (Gehhorizont). Während die Planie – soweit bestimmbar – auf der ganzen Grabungsfläche erhalten war, erstreckte sich der Gehhorizont hauptsächlich in deren südlichen Bereichen. Unmittelbar über den Strukturen der Siedlungsperiode 3 folgten mit neuzeitlichem Material durchmischte, meist humose Schichten.

Siedlungsperiode 3 ist auf Grund der Funde nicht sehr gut zu datieren. Die Funde weisen grob ins 3. Jh. (Kap. 2.3.3), was uns – zusammen mit den Funden aus Siedlungsperiode 2 (Phase C) – einen Hinweis für eine zumindest bis in die 2. Hälfte des 3. Jh. durchgehende Besiedlung des Kirchhügels ergibt (Kap. 2.4).

Sichere Hinweise auf Strukturen aus der Zeit des befestigten Kirchhügels (nach 294 n.Chr., 4. Jh. und Übergang zum Frühmittelalter) gibt es an der Hohlandstr. 3 nicht.

2.3 Die Funde

2.3.1 Siedlungsperiode 1 (0–30 n. Chr.) (Kat. **1–48**, **64–81**)

Unter Siedlungsperiode 1 werden nur die aus den untersten Auffüllungen der beiden grossen Gruben 166 und 99/106 geborgenen Funde besprochen (Kat. **1–48**, **64–81**). Auf eine über die Katalogaufnahme hinausreichende Abhandlung aller Funde, insbesondere aus den später eingebrachten Schichten, wird verzichtet (Kap. 2.2.2, Kat. **49–63** und **82–118**). Die dritte Grube (Grube 61) war beinahe fundleer.

Ziel der Fundbesprechung ist primär einen Datierungsansatz der Benützungs- und Auffüllzeit der beiden Gruben zu erhalten und somit die Siedlungsperiode 1 zu datieren.

Dass beide Gruben gleichzeitig bestanden, ist zunächst aus der Tabelle der – wenn auch wenigen – «Passscherbenverbindungen und Scherben vom gleichen Gefäss» zu erschliessen (Abb. 33). Auffällig ist, dass sich von den sieben Verbindungen vier innerhalb eines Schichtpakets der Grube 99/106 finden (Kat. **1, 72, 80**, ein Stück ohne Kat.). Nur gerade eine Verbindung existiert zwischen der untersten und der zweituntersten Auffüllung der Grube 99/106 (Schichtpaket I und II, Kat. **69**) sowie zwischen den beiden Gruben (Kat. **46**).

Die wenigen Passscherbenverbindungen und Scherben vom gleichen Gefäss und die Tatsache, dass sich nur eine Verbindung zwischen zwei Schichtpaketen der Grube 99/106 fand, sind als Indiz für eine gute – schichtenmässig durchgeführte –Ausgrabung zu werten.

Ergebnisse: Die zeitliche Eingrenzung der beiden Grubenauffüllungen erbringen zum einen die jüngsten chronolo-

	KAT / FK	80	–	69	46	1	23	72
Grube 99/106	122			GL.G				GL.G
	145				GL.G			
	154		PASS					
	155		PASS	GL.G				
	156	PASS		GL.G				GL.G
	168	PASS						
Grube 166	175				PASS	GL.G	PASS	
	181				PASS	GL.G	PASS	

Abb. 33. Hohlandstr. 3. Grube 99/106 (oben) und Grube 166 (unten). Liste der Passscherben (PASS) und Scherben vom gleichen Gefäss (GL.G).

gisch relevanten Einzelstücke als auch prozentuale Anteile einzelner Typen[93].

Eine Schüssel vom Typ Drack 22 aus Grube 166 (Kat. **33**) kann frühestens ab dem 2. Viertel des 1. Jh. in die Grube gelangt sein, zumindest treten solche Formen in Augusta Raurica erst ab diesem Zeitpunkt auf[94]. Weiter sind aus beiden Gruben Krüge mit leicht unterschnittenem Kragenrand vorhanden (Kat. **45, 77, 78**). Auffällig ist zudem, dass ausschliesslich derartige Vertreter vorliegen, was primär chronologische Ursachen haben dürfte: Krüge mit unterschnittenen Kragenrändern sind in augusteischen Zusammenhängen üblich[95].

Für Grube 99/106 ist neben der Keramik auch auf das Fragment einer Bronzefibel hinzuweisen (Kat. **81**). Es handelt sich um eine Hülsenspiralfibel mit Gratbügel, wie sie insbesondere in der 1. Hälfte des 1. Jh. weit verbreitet war und auch aus Oberwinterthur-Unteres Bühl vorliegt[96]. In Augusta Raurica konnte E. Riha anhand von Schichtdatierungen das früheste Auftreten der Hülsenspiralfibeln mit Gratbügel in die spätaugusteisch-frühtiberische Zeit setzen[97]. Interessanterweise gehört der Fundort Oberwinterthur aber nicht zum Hauptverbreitungsgebiet Nordwestschweiz und angrenzendes Ostfrankreich.

Neben chronologisch relevanten Einzelstücken können die prozentualen Anteile italische TS / südgallische TS und südgallische TS / TS-Imitation Hinweise zur Datierung beisteuern. Insgesamt ist für Grube 166 die geringe Gefässzahl (MIZ) zu beachten, aber auch, dass die Bestimmung der Scherben infolge starker Fragmentierung z.T. unsicher ist[98].

Verhältnis südgallische TS / italische TS: Während in Grube 166 die südgallische TS gegenüber der italischen TS noch untervertreten ist, hat die südgallische TS in Grube 99/106 mit 100% Anteil die italische TS vollständig verdrängt (Abb. 34).

Der Anteil südgallischer TS in Grube 99/106 dürfte primär chronologisch zu interpretieren sein (vgl. unten). Zur Zeit kann davon ausgegangen werden, dass erste südgallische TS ab etwa 15–20 n.Chr. ins Gebiet nördlich der Alpen gelangte, während ein grösserer Schub aber erst ab etwa 30 n. Chr. anzunehmen ist[99].

Verhältnis TS / TS-Imitation: In Grube 166 halten sich TS und TS-Imitation die Waage, während in Grube 99/106 die TS die TS-Imitation bereits übertrifft (Abb. 35).

Diese Zahlenwerte – wenn auch mit Vorsicht zu behandeln – sind chronologisch zu werten. J. Rychener konnte zeigen, dass für Oberwinterthur die Anteile der TS-Imitationen in der 1. Hälfte des 1. Jh. kontinuierlich zurückgingen[100].

Zusammen mit den oben beschriebenen chronologisch relevanten Einzelstücken zeigen die prozentualen Anteile, dass Grube 166 wohl um 20 n. Chr., Grube 99/106 in der Zeit von 20–30 n. Chr. verfüllt worden ist.

Siedlungsperiode 1-Hohlandstr. 3 kann mehr oder weniger gut mit Phase A-Römerstr. 186[101] parallelisiert werden, während sie etwas früher als Periode A-Kirchhügel anzusetzen ist[102].

Spätaugusteische/tiberische Komplexe sind im Gegensatz zu Beständen aus der Übergangszeit von Spätlatène- und früher Römerzeit bislang aus etlichen Fundorten der Schweiz zu Tage getreten[103], so auch aus Oberwinterthur[104].

2.3.2 Siedlungsperiode 2 (70–250 n. Chr.) (Kat. **93–172**)

Siedlungsperiode 2 kann auf Grund des Befundes in drei Phasen unterteilt werden (Phasen A–C, Kap. 2.2.2). Die Funde sind unter Kat. **92–172** zusammengestellt, wobei auch hier nur chronologisch relevante oder speziell auffällige Stücke – wie z. B. die beiden Bronzeobjekte Kat. **124–125** (Kap. 2.3.2) – aufgenommen sind. Für Phase B liegen nur wenige Funde vor (Kat. **139–141**), während Phase A (Kat. **92–138**) und insbesondere Phase C (Kat. **142–172**) besser bestückt sind. Die Funde Kat. **92–118** stellen einen Sonderfall dar. Sie stammen aus den später nach und nach eingebrachten Auffüllungen der Grube 99/106, sind jedoch zu Gebäude 1 zu zählen (vgl. Kap. 2.2.1). Soweit feststellbar gibt es keine Passscherbenverbindungen oder Scherben vom gleichen Gefäss zwischen den Phasen. Während der Fundniederschlag der drei Phasen also recht unterschiedlich ist, kann die Fundauswahl als repräsentativ bezeichnet werden.

	Grube 166	Grube 166	Grube 99/106	Grube 99/106
	Absolut	Anteil (%)	Absolut	Anteil (%)
ital. TS	9[1]	82		
südgall. TS	2[2]	18	9[3]	100
Total	11	100	9	100

Abb. 34. Hohlandstr. 3. Gruben 99/106 und 166. Anteile der italischen und der südgallischen TS. Fussnoten: 1 Kat. 1–8; 2 Kat. 9–10; 3 Kat. 64–67, Rest ohne Abb.

	Grube 166	Grube 166	Grube 99/106	Grube 99/106
	Absolut	Anteil (%)	Absolut	Anteil (%)
südgall. TS	11[1]	50	9[2]	69
TS-Imitation	11[3]	50	4[4]	31
Total	22	100	13	100

Abb. 35. Hohlandstr. 3. Gruben 99/106 und 166. Anteile der südgallischen TS und der TS-Imitation. Fussnoten: 1 Kat. 1–11; 2 Kat. 64–67, Rest ohne Abb.; 3 Kat. 12–22; 4 Kat. 68–71.

93 Zur Methode siehe etwa: Furger/Deschler-Erb 1992, 36–39.
94 Furger/Deschler-Erb 1992, 76.
95 Roth-Rubi 1979, 21ff.
96 Rey-Vodoz 1998, 20; ein weiteres Exemplar wurde an der Römerstr. 169a gefunden (unpubl. Hinweis B. Hedinger).
97 Riha 1994, 83.
98 Zur Bestimmung der MIZ (Mindestindividuenzahl): Martin-Kilcher 1987/1994a (7/2) 456 (Anm. 661).
99 K. Roth-Rubi, Die Kleinfunde, in: Hänggi et al. 1994, 101–139.
100 Rychener 1988, 107. Tab. 605. Vergleichbar ist die Situation auch in Baden (Aquae Helveticae), wo die TS-Imitation ab der tiberischen Zeit sukzessive zurückgehen (Schucany 1996a, 211 f.).
101 Rychener 1986, 13; Chronologie (Red. Ch. Osterwalder und P.A. Schwarz), Archäologische Daten der Schweiz (Basel 1986), 169f.; 237; zur Römerstr. 186: K. Roth-Rubi, Die Kleinfunde, in: Hänggi et al. 1994, 104.
102 Rychener 1984, 16f.
103 Martin-Kilcher 1994b, 32. Augusta Raurica: Furger/Deschler-Erb 1992, 104–108. Baden: Koller 1996, 91; Schucany 1996a, 163ff.; Vindonissa: Meyer-Freuler 1989, 324ff.; Zurzach: K. Roth-Rubi, Die Kleinfunde, in: Hänggi et al. 1994, 101–139.
104 Unvollständige Auswahl: Kirchhügel-Grube 8 (Rychener 1984, 19f.). Etwas später dürfte Kirchhügel-Grube 15 zu datieren sein (Rychener 1984, 20). Ein weiterer Komplex, der von 12–20 n. Chr. datiert, stammt von der Römerstr. 186 (Rychener 1986, 46ff.; Römerststr. 187 (0–20 n. Chr., R. Janke, in Vorb.); Römerstr. 169a/Grube 296 (Verfüllung bis ca. 20 n. Chr., B. Hedinger in Vorb.); Unteres Bühl: Th. Pauli-Gabi/Chr. Ebnöther et al. (Vitudurum 6, in Vorb.); vgl. auch Schucany 1996a, 220–224.

Datierung der Phasen: Die Fundauswertung zeigt zunächst, dass Siedlungsperiode 2 eine längere Zeitspanne abdeckte und von flavischer Zeit bis ins mittlere 3. Jh. dauerte. Es zeigt sich auch, dass die Phasen A und B zeitlich nur ungenügend zu trennen sind, während sich Phase C – im speziellen die Ziegelversturzschicht (Kat. **158–172**) – besser abgrenzen lässt (vgl. unten).

Charakteristische Vertreter für das Ende von Siedlungsperiode 2 sind neben der ostgallischen TS[105] auch Faltenbecher[106]. Beide Formen sind Leittypen des späten 2. und frühen 3. Jh.

Für Phase A befinden wir uns mit TS-Gefässen Drag. 35/36 (Kat. **120, 132**) und Drag. 37 (Kat. **119, 128, 135**) bereits in der 2. Hälfte des 1. Jh. Dagegen sprechen einige TS-Typen, die frühestens ab dem mittleren 2. Jh. auftauchen (Kat. **129–131**), für eine lange Laufzeit der Phase A. Besagte Funde stammen aus dem Teuchelleitungsgräbchen 55, das von der späteren MR 27 (Gebäude 2) durchschlagen wird (vgl. unten mit Phase B).

Neben Keramik ist unter den Funden der Phase A eine Häufung von kleinen Nägeln zu erwähnen. Es dürfte sich dabei um Schuhnägel handeln, die von Fussgängern auf dem freien Platz verloren gingen (Kap. 2.2.2).

Zudem stammen zwei dem Tempelbezirk zuzusprechende aussergewöhnliche Bronzeobjekte aus den Bereichen unmittelbar über der Rollierung (Abb. 37–41, Kat. **124** und **125**, Kap. 2.3.2).

Während Phase B mit nur drei aussagekräftigen Funden nicht gut datiert werden kann (Kat. **139–141**), ergeben die aus dem chronologisch älteren Teuchelleitungsgräbchen 55 geborgenen Funde (Kat. **128–133**) einen Terminus post quem für Phase B und den Bau von Gebäude 2 in der 2. Hälfte des 2. Jh.

Phase C (Kat. **142–172**): Zunächst ist Phase C durch eine Münze, einen Denar des Severus Alexander, geprägt zwischen 231–235 n. Chr., zeitlich eingebunden (Kat. **172**). Unter den keramischen Funden sind an chronologisch relevanten Gefässen TS-Reibschüsseln der Form Drag. 43/45 zu nennen (Kat. **142, 151, 160, 161**). TS-Reibschüsseln gehören zum typischen Formeninventar aus mittel- und ostgallischen Töpfereien. Ihre Produktionszeit reicht von antoninischer Zeit bis ins 4. Jh., wobei die Laufzeit der Typen, insbesondere Drag. 43, weiter differenziert werden kann[107]. Gegen oben kann Phase C durch das Fehlen von Argonnen-Sigillaten eingegrenzt werden.

Unter der chronologisch relevanten Gebrauchskeramik für die Datierung der Phase C ist auf einen Teller (Kat. **152**), auf Kochtöpfe (Kat. **148, 169**), auf Glanztonschüsseln (Kat. **156, 166**) sowie auf einen Honigtopf (Kat. **165**) hinzuweisen. Es handelt sich um Formen, die in den gut untersuchten Gutshöfen von Dietikon und Neftenbach erst im 3. Jh. auftauchten[108].

Insgesamt kommen wir zum Schluss, dass Phase C den Zeitraum des späten 2. und der 1. Hälfte des 3. Jh. abdeckt.

Aus der Phase C stammen zwei mit der 21. Legion gestempelte Leistenziegelfragmente (Kat. **170, 171**, Kap. 2.3.4).

Zwei Amphorenhenkel (Kat. **123, 149**) sind mit dem Stempel ILIVN(IORUM) MELISSI ET MELISSE gekennzeichnet (Abb. 36). Solche Amphoren stammen aus Las Delicias (Südspanien) und sind nördlich der Alpen weit verbreitet[109]. Auf Grund der schlechten Erhaltung ist es nicht möglich festzustellen, ob eine Stempelgleichheit mit Stücken beispielsweise aus Augusta Raurica vorliegt. Die Iuni Mellissi produzierten im späteren 2. und frühen 3. Jh. in grossem Umfang. Die beiden Amphorenhenkel sind nicht derselben Phase zuzurechnen. Während Kat. **123** aus Phase A stammt, gehört Kat. **149** in Phase C. Mit diesem weiten zeitlichen Rahmen haben wir einen weiteren Hinweis, dass die Phasen der Siedlungsperiode 2 keine zeitlich klar abzugrenzenden Befunde beinhalten.

Besser als mit den gestempelten Amphorenhenkeln lässt sich die Abfolge der Phasen A bis C anhand der Überzugsfarben der Glanzton- und Faltenbecher ableiten. Es zeigte sich, dass die Stücke der Phase A noch rotbraun oder braungrau, jedoch schon recht fein sind (Kat. **133, 136, 137, 140**), während graue bis schwarzgraue Becher erst ab Phase C auftauchen (Kat. **146, 154, 163, 164**). Die fragmentarische Erhaltung erlaubte es nicht, eine Entwicklung der Randformen aufzuzeigen. Becher mit Karniesrand und die restlichen Glanzton- bzw. Faltenbecher treten gemeinsam bereits in Phase A auf, obwohl letztere – wie gut abgesicherte Vergleichsstationen zeigen – später ins Geschirrsortiment aufgenommen werden.

Vergleichbar ist die Situation in Augusta Raurica, wo in einer Ausgrabung beim Theater («Theaterstratigraphie») entsprechende Becher ebenfalls gemeinsam ab etwa 180 n. Chr. in Erscheinung treten[110].

Zwei figürliche Bronzen (Karin Kob Guggisberg)[111]

Wenige Meter nördlich der Umfassungsmauer des Tempels kamen in der von F. Hoek beschriebenen Siedlungsperiode 2 (Phase A) zwei ungewöhnliche Bronzeobjekte zum Vor-



Abb. 36. Hohlandstr. 3. Siedlungsperiode 2. Amphorenhenkel mit Stempel IIIVNMELISSI/ET (...). Lesung II IVN(iorum) MELISSI ET (melissae). Herkunft: Las Delicias (Südspanien). Kat. 123, Länge der oberen Zeile 7,0 cm.



Abb. 37. Hohlandstr. 3. Fragment einer Bronzehand, Kat. 124. Höhe 8,2 cm.

schein, die trotz ihres fragmentarischen Zustandes eine nähere Betrachtung verdienen.

Fragment einer Hand[112] (Kat. **124**)
Daumen und Zeigefinger halten eine Kugel mit Tüllenaufsatz, dessen Rand teilweise weggebrochen ist. Gleichmässige, grün-braune Patina. Gesamthöhe 8,2 cm; Gefäss: H 3,2 cm; äusserer Dm. (bei ergänztem Rand) ca. 2,5 cm; Kugel: Dm. 1,8–2 cm – FO Hohlandstr. 3, 1993.37.26 – FK 26 (Abb. 37).

Bei diesem Fragment einer feingliedrigen rechten Hand hat sich je ein Teil des Daumens und des Zeigefingers erhalten. Auf der Daumenspitze balanciert eine Kugel, auf der ein konisches Gefäss mit Wulstrand sitzt. Es wird in seinem unteren Bereich von der Kuppe des Zeigefingers gestützt. Gelenkfalten und Nagelumrisse sind in Kaltarbeit nachgezogen. Vom Gefäss sind ein Stück der Wand und ein Teil des horizontalen Randes weggebrochen; die Innenseite ist ungeglättet. Auch wenn die Finger etwas kraftlos und manieriert wirken, dürfte es sich bei diesem Stück um eine qualitätvolle Arbeit gehandelt haben.

Mit dem Neufund aus Oberwinterthur sind bis heute sieben Hände aus Bronze bekannt, die einen Becher zwischen Daumen und Zeigefinger balancieren (Abb. 38). Vier Exemplare stammen aus Frankreich, nämlich aus Amiens, Argilly, (vermutlich) Lezoux und aus Reims. Das fünfte, heute verlorene Stück ist in Überroth im Saarland zutage getreten und stammt damit ebenfalls aus Gallien. Hingegen liegt der Fundort der 1996 in Augsburg gefundenen Hand in Rätien. Als Vergleich zum Oberwinterthurer Exemplar sei diese Gruppe hier kurz vorgestellt.

---

105 Kat. 129, 139, 142, 143, 150, 151, 158–161. Zum Aufkommen der ostgallischen TS und zu Vergleichsstationen siehe etwa Furger/Deschler-Erb 1992, 125ff.

106 Kat. 133, 137, 140, 146, 154, 163, 164. Zum Aufkommen der Faltenbecher, die als chronologische Leitformen für das spätere 2. und insbesondere das frühe 3. Jh. gelten siehe etwa: Furger/Deschler-Erb 1992, 77–80; S. Künzl, Die Trierer Spruchbecherkeramik. Dekorierte Schwarzfirniskeramik des 3. und 4. Jh. n. Chr. Trierer Zeitschrift (Beiheft 21, 1997), 23.

107 Martin-Kilcher 1987, 28f.; 38 f.; Furger/Deschler-Erb 1992, 60 f.

108 Dietikon: Ebnöther 1995; Neftenbach: Rychener 1999.

109 Martin-Kilcher 1987, 118–120; zur Verbreitung der Iuni Melissi vgl. auch St. Martin-Kilcher, Verbreitungskarten römischer Amphoren und Absatzgebiete importierter Lebensmittel, in: Münstersche Beiträge zur antiken Handelsgeschichte, Bd. XIII (1994), H.2, 106f.; zuletzt: J. Remesal Rodriguez, Heeresversorgung und die wirtschaftlichen Beziehungen zwischen der Baetica und Germanien. Materialien zu einem Corpus der in Deutschland veröffentlichten Stempel auf Amphoren der Form Dressel 20. Materialhefte zur Archäologie in Baden-Württemberg 42, Stuttgart 1997, 130–133.

110 Furger/Deschler-Erb 1992, 77–80.

111 Für die Publikationsmöglichkeit bin ich Bettina Hedinger und Florian Hoek zu Dank verpflichtet. Ihm, sowie Martin Guggisberg und Annemarie Kaufmann-Heinimann danke ich herzlich für zahlreiche anregende Diskussionen. Für Informationen zu den Fundstücken von Augsburg und Nida-Heddernheim gilt mein Dank ferner Lothar Bakker und Ingeborg Huld-Zetsche.

112 Hoek 1995, 229 Abb. 23,2.

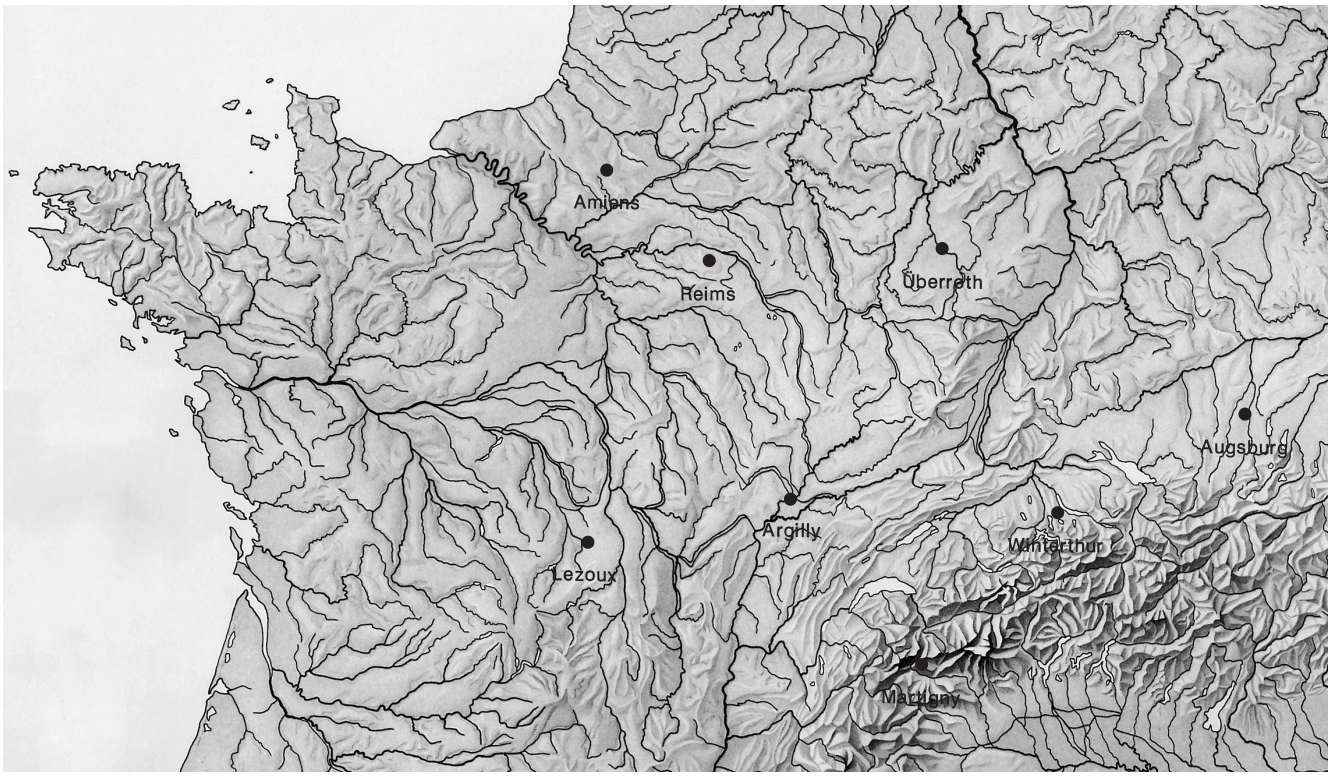


Abb. 38. Hohlandstr. 3. Verbreitung der Bronzehände mit Gefässen auf der Fingerspitze.



Abb. 39. Hohlandstr. 3. Bronzehand aus Lezoux(?).

Amiens (Somme)[113]: Aus einem ausgebrannten römischen Wohnhaus, Ecke Rue des Trois-Cailloux et Robert-de-Luzarches. Musée de Picardie, Inv. 4298. Vollständig erhalten. H 13 cm; Gefäss: 2,5 cm, äusserer Dm. 2,5 cm.

Die vollständig erhaltene Hand hält einen einfachen, geradwandigen Becher annähernd senkrecht. Das Handgelenk endet in einer breit abgesetzten Manschette.

Argilly (Côte d'Or)[114]. Ohne nähere Angaben zum Fundort. Musée archéologique de Dijon, Inv. 511. H 16,7 cm; Gefäss: H 3,3 cm.

Die Hand hält zwischen Daumen und Zeigefinger ein Gefäss mit auskragendem Rand, konischem Bauch und kegelförmigem Fuss. Im Inneren befindet sich ein grosser «Bronzetropfen». Das Handgelenk ist zu einer langen Manschette weitergeformt. Auf ihrer Vorder- und Rückseite ist ein Loch angebracht, mit denen das Stück auf einer Stange oder einem entsprechenden Gegenstand befestigt werden konnte.

Lezoux, Puy-de-Dôme[115] (?) (Abb. 39). Genauer Fundort unbekannt. Musée des Antiquités Nationales de Saint-Germain-en-Laye, Coll. Plicque, Inv. 46246. H 15,4 cm.

Vollständig erhalten. Der konische Becher sitzt auf einem überproportional langen Daumen und zeigt eine grosse Ähnlichkeit mit demjenigen von Oberwinterthur. Über der kräftig verbreiterten Manschette am Handgelenk befinden sich – wie beim Exemplar aus Argilly – zwei Löcher.

Reims (Marne)[116].Rue Coquebert. Musée Archéologique Saint-Rémy, Inv. 925-5-410 GR. H 13,8 cm; Gefäss: H 2,2 cm; äusserer Dm. 2,5 cm; T 1,3 cm.

Vollständig erhalten. Das Gefäss auf dieser Hand ist den Stücken von Oberwinterthur und Lezoux sehr ähnlich. An der rechten Seite der Handwurzel ist ein grosser Bronzering senkrecht befestigt, an der linken Seite ein ebensolcher vertikal. Die Hand endet in einer breiten Manschette.

Überroth (Kreis St. Wendel, Saarland)[117]. «Auf einem Acker». Verloren, ehem. Trier, Provinzialmuseum, Inv. 12,13. Erhaltene H 13,5.

Die Hand selber ist vollständig erhalten, der Abschluss am Handgelenk sowie ein Teil des Gefässes fehlen. Hier haben wir – ungewöhnlich – eine *linke* Hand vor uns. Auch wenn der untere Abschluss nicht erhalten ist, postuliert S. Faust in Analogie zu den übrigen Exemplaren, dass die Hand einst auf einer Stange montiert oder frei aufgestellt war.

Augsburg[118]. Hans-Nagel-Gasse 3 (4.3.1996); Fläche 2 SW «Brunnen», Planum 8; Fd. Nr. 1362. Römisches Museum Augsburg, Inv. 1996,4353. H 14,8 cm.

Das Gefäss auf dieser vollständig erhaltenen Hand weist eine ähnliche Randform auf wie die Stücke von Oberwinterthur und Lezoux, ist aber geradwandig. In der achteckigen Manschette befindet sich auf der Gelenkinnenseite ein Nagelloch. Im Inneren des Armes haben sich Holzreste erhalten – wiederum ein sicheres Zeichen dafür, dass das Stück auf einer Halterung aufgesteckt gewesen war. Die Brunnenverfüllung wird um 250/270 n. Chr. angesetzt.

Mit ihren nahezu gleichen Becherformen und einer Höhe zwischen 13,5 und 15,4 cm stellen die Stücke aus Lezoux, Reims, Überroth und Augsburg die engsten Parallelen zum Fund aus Oberwinterthur dar. In vollständigem Zustand wären diese Hände – je nach Länge der Manschette – etwa gleich gross wie das hier vorgestellte Exemplar. Auch wenn von der Hand aus Oberwinterthur nur wenig erhalten ist, erlauben die angeführten Vergleichsstücke eine analoge Ergänzung. Sie gehört damit in eine Gruppe von knapp unterlebensgrossen *rechten* Händen aus Bronze[119]. Sie alle balancieren zwischen Daumen und Zeigefinger ein Gefäss – oder eine Tülle, wie sie je nach Interpretation auch genannt wird –, dessen Form variiert, häufig aber mit derjenigen von Oberwinterthur übereinstimmt. Oft sind die Handwurzeln mit einer verstärkenden Manschette versehen oder zu überlangen Tüllen ausgezogen. Zum Teil weisen sie Nagelspuren auf (Argilly, Lezoux und Augsburg), in einem Fall haben sich sogar Holzreste einer Befestigung in der Tülle erhalten (Augsburg)[120]. Nur gerade drei Stücke stammen aus einem gesicherten Fundkontext, nämlich die Hand aus Amiens (Wohnhaus), diejenige aus Augsburg (Brunnen) sowie das Stück aus Oberwinterthur (Nachbarschaft eines Tempelareals). Bei den übrigen Funden sind keine näheren Angaben möglich, und eine wichtige Interpretationshilfe entfällt damit.

Neben diesen ikonographisch eng miteinander verwandten Exemplaren sind einige Hände bekannt, bei denen die entscheidenden Fingerspitzen und damit auch das möglicherweise vorhandene Gefäss weggebrochen sind, die aber auf Grund ihrer sonstigen Ikonographie durchaus zu dieser Gruppe gerechnet werden könnten. Die Stücke stammen aus Bislich[121], Nida-Heddernheim[122], Martigny[123] und aus Vindonissa[124]. Einen Sonderfall stellt das Stück aus Mailhac[125] dar, das zwar keinen Gegenstand auf den Fingerspitzen balancierte, das uns aber aus ikonographischen Gründen noch beschäftigen wird.

Die vorgeschlagenen Verwendungsmöglichkeiten für alle diese Hände reichen vom Feldzeichen[126] zum Kerzenstock[127] über den Wagenaufsatz[128] bis hin zu einem kultischen Objekt für Iupiter Dolichenus[129].

Eine Votivhand für Iupiter Dolichenus[130]?

Im Vorderen Orient begegnen uns Darstellungen einer offenen, rechten Hand, der *manus eleata*, seit mesopotamischer

---

113 J. Heurgon, Informations. Ier Circonscription. Gallia 19, 1951, 76 Abb. 8; CCID Nr. 595; J. Alain (Hrsg.), Les cultes à Arras au bas empire. Catalogue d'exposition (1990) 64ff. Abb. 454.

114 P. Lebel, Une main «dolichénienne» inédite. Rev. Arch. Est et Centre-Est 5, 1954, 243–245. J. Wagner, Eine Votivhand für Iupiter Dolichenus. In: Festschrift M. J. Vermaseren. EPRO 68, 3 (1978) 1300ff. Nr. 1294; CCID Nr. 598.

115 L. Richard, La main en bronze dite de Lezoux. Rev. Arch. Centre 12, 1973, 281–289; CCID Nr. 597.

116 M.-J. Lussien-Maisonneuve, La main en bronze de Reims. Rev. Arch. Est et Centre-Est 25, 1974, 423–429.

117 S. Faust, Ein Kerzenhalter aus Überroth. Trierer Zeitschr. 57, 1994, 375–378.

118 L. Bakker, Figürliche Bronzen und Beneficiarier-Inschrift: Neufunde aus Augusta Vindelicum. Das Arch. Jahr Bayern 1996, 116 Abb. 80.

119 Eine Ausnahme ist – wie schon erwähnt – die linke Hand aus Überroth.

120 Eine weitere Möglichkeit zur Befestigung derartiger Hände zeigt uns ein ikonographisch zwar nicht genau übereinstimmendes, doch nahe verwandtes Stück aus Augst, bei dem die Handwurzel mit Blei gefüllt ist, in das dann ein Eisenstab gesteckt wurde. Kob Guggisberg 1992, 121–128 Abb. 1.

121 «Irgendwo in der Gegend von Bislich/Kr. Rees» (Niederrhein), bei Rodungsarbeiten. Privatbesitz. Zwei Glieder des Zeigefingers weggebrochen, sonst vollständig. Gesamthöhe: 13,5 cm. H. G. Horn, Drei römische Bronzen in Privatbesitz. Bonner Jahrb. 174, 1974, 179–220, bes. 192–204 Abb. 13–17.

122 Nida-Heddernheim, Museum Wiesbaden, Sammlung Nassauischer Altertümer, Inv. 6781. I. Huld-Zetsche, Nida – Eine römische Stadt in Frankfurt am Main. Schr. Limesmuseum Aalen 48 (1994) 164, Abb. 81b.

123 Martigny. Zürich, SLM, Inv. 41434. Ring- und Mittelfinger weggebrochen, übrige Fingerspitzen stark beschädigt. Zwei Nagellöcher. von Gonzenbach 1952, 5–21 Abb. 6; CCID Nr. 599.

124 Brugg, Vindonissamuseum. Alle Finger und die Handwurzel weggebrochen. Erh. H 8,6 cm. Gemäss V. von Gonzenbach ist der Ansatz einer Tülle noch erkennbar. von Gonzenbach 1952, 6 Abb. 1.

125 Mailhac, in oder bei einer römischen Villa. AO unbekannt. Erhaltungszustand: vermutlich vollständig. Gesamthöhe 14 cm. J. Jannoray, Informations archéologiques. Gallia 11, 1953, 94 Abb. 4.

126 So z. B. die Hände von Vindonissa und Mailhac (Anm. 105 und Anm. 106). Feldzeichen scheinen indessen meist aus Bronzeblech gearbeitet gewesen zu sein. Gegen eine Interpretation der Hand aus Vindonissa als Feldzeichen hat sich schon R. Fellmann ausgesprochen: R. Fellmann, Belege zum Sabazioskult im frühkaiserzeitlichen Legionslager von Vindonissa. In: S. Sahin/E. Schwertheim/J. Wagner (Hrsg.), Studien zur Religion und Kultur Kleinasiens. Festschrift für F. K. Dörner zum 65. Geburtstag am 28. Februar 1976 (= EPRO 66) (1978) 284ff., bes. 289f. mit Anm. 15.

127 Weil es sich beim Exemplar aus Überroth um eine *linke* Hand handelt, deutet die Bearbeiterin das Stück als Bestandteil eines Kerzenstockpaares.

128 Die Stücke aus Augsburg und Bislich (Anm. 99 und 102).

129 Das Stück aus Argilly (Anm. 95).

130 Die ursprüngliche Heimat dieser lokalen Ausformung des syrischen Baal lag in der Kommagene beim Ort Doliche in der heutigen Türkei. Nach der Eroberung der Provinz durch die römischen Truppen fand der Kult im Verlauf des ersten nachchristlichen Jahrhunderts grossräumige Verbreitung und erlebte seinen Höhepunkt unter den Severern. Unter Maximinus Thrax (235–238) wurden die Heiligtümer an Rhein und Donau geschleift, der Kult scheint sich – zumindest in der Armee – keiner grossen Beliebtheit mehr erfreut zu haben. Mit der Zerstörung des Hauptheiligtums in Doliche im Jahr 253 durch Sahpuhr I. war wohl auch das Vertrauen in die Gottheit zerstört, und der Kult erlosch endgültig. Zusammenfassend vgl. M. Hörig, Iupiter Dolichenus. In: ANRW II 17.4 (1984) 2136 ff. Umfassende

Zeit in verschiedenen Materialgattungen. In Form von Votivgaben oder Kultparaphernalia symbolisierten sie als anepigraphisches Zeichen einer Gottheit deren Güte und Hilfsbereitschaft, aber auch deren Allmacht über das gesamte Universum[131]. Im Griechenland archaischer Zeit finden sich einzelne Hände aus Bein oder Bronze als Verzierung von Gebrauchsgegenständen, z. B. von Haarnadeln. In dieser Form – aber ebenso als Schlüssel- oder Messergriffe – begegnen sie uns später auch in der römischen Welt[132]. Häufig halten sie hier eine kleine Kugel zwischen Daumen und Zeigefinger, die sich bei diesen Alltagsobjekten indessen bis heute einer schlüssigen Deutung entzogen hat[133].

Die folgenden Überlegungen beschränken sich auf die Gruppe der meist knapp unterlebensgrossen Hände aus Bronze, wobei die Votivhände für Sabazios ausgeklammert werden, da sich diese in ihrem Erscheinungsbild deutlich unterscheiden: sie sind immer im Gestus der *benedictio latina* wiedergegeben und mit mehr oder weniger zahlreichen symbolträchtigen Tieren, Pflanzen und anderen Objekten geschmückt. Die Hände für Jupiter Dolichenus hingegen präsentieren sich stets mit dem Segensgestus der *manus eleata* und stellen eine besonders charakteristische Votivgabe für diesen Himmels-, Kriegs- und Wettergott dar. Die bis heute bekannten Exemplare deuten darauf hin, dass diese Dedikationen keiner einheitlichen Ikonographie unterworfen waren. Bekannt sind Stücke ohne jegliche Attribute, die inschriftlich dem Jupiter Dolichenus geweiht sind[134], und solche, die, mit oder ohne Attribute, aus gesicherten Dolichenus-Heiligtümern stammen[135]. Bei den Händen mit Weihinschrift finden sich Exemplare, die als spezifisches Attribut eine Kugel zwischen Daumen und Zeigefinger tragen, auf der eine Victoria schwebt[136]. In Analogie dazu und unter dem Aspekt der Kugel als Erd- und Himmelssymbol können auch die Bronzehand aus Augst sowie ein Stück unbekannter Herkunft in Mailand zu den Votiven für Jupiter Dolichenus gerechnet werden, obwohl sie beide nur eine Kugel zwischen Daumen und Zeigefinger halten[137].

Die hier zusammengestellten Exemplare ergeben eine eigene Gruppe, tragen sie doch weder eine Inschrift, ein Relief, noch eine Kugel oder sonst ein Attribut, das uns aus dem Kult des Iupiter Dolichenus bekannt wäre, sondern ein Gefäss. Keine von ihnen ist bislang in einem gesicherten Dolichenus-Heiligtum gefunden worden, und in Gallien selbst, wo die Hände dieses Typs ihre dichteste Verbreitung haben, ist bis anhin weder ein Heiligtum noch ein anderes Fundobjekt nachgewiesen, das einen gesicherten Hinweis auf die Verehrung des Iupiter Dolichenus erlaubt[138]. Schon allein die Provenienz «Gallien» schien damit bislang in der Forschung der Interpretation dieser Hände mit Becher als Kultparaphernalia des Iupiter Dolichenus zu widersprechen.

Mit dem Neufund aus Augsburg erhalten wir einen ersten Hinweis darauf, dass sich das Verbreitungsgebiet dieser speziellen Gruppe – entgegen der bisherigen Annahme – wohl doch nicht nur auf Gallien beschränkt hat[139]. Ebenso wie die bronzene Hand aus Augusta Raurica, die eine Kugel zwischen Daumen und Zeigefinger hält (ein Attribut, das normalerweise von einer Victoria bekrönt sein müsste), könnte das Stück aus Oberwinterthur als «Bindeglied» zwischen den Funden aus Gallien und Rätien angesehen werden – dies vor allem angesichts der Tatsache, dass das Gefäss in diesem Fall mit einer Kugel kombiniert ist. Wenn diese Schlussfolgerung auch Hypothese bleibt, so zeigt ein anderes Beispiel, mit welcher Bandbreite von ikonographischen Unterschieden bei diesen Bronzehänden für Iupiter Dolichenus zu rechnen und wie sehr die Interpretation des Verbreitungsbildes von einzelnen Zufallsfunden abhängig ist. Die 1951 in Mailhac gefundene Hand ohne Beiwerk wurde auf Grund der Löcher in der verlängerten Manschette als Feldzeichen interpretiert[140]. Schon 1937 war indessen in Mauer a. d. Url ein grosses Bronzedepot aufgedeckt worden, das als Inventar eines Dolichenus-Heiligtums identifiziert werden konnte[141]. Unter den zahlreichen Kultparaphernalia befand sich eine bronzene Hand ohne jegliche Attribute, die dem Stück von Mailhac ausserordentlich ähnlich sieht. In Analogie zum Fund aus Noricum dürfte also auch das gallische Stück als Kultobjekt des Iupiter Dolichenus gedient haben. Zum jetzigen Zeitpunkt spricht folglich nichts dagegen, die Hand aus Oberwinterthur ebenfalls in die Gruppe der Votivgaben für Iupiter Dolichenus einzufügen.

Die Frage nach der Deutung der Hände ist bis heute ohne befriedigende Antwort geblieben[142]. Nachfolgend seien einige der bisherigen Interpretationsvorschläge diskutiert und um neue Überlegungen ergänzt, ohne dass damit aber das Problem einer abschliessenden Lösung zugeführt werden kann. Die Verwendung als Kerzen- oder Kienspanhalter erscheint mir angesichts der geringen Tiefe der Gefässe von rund 1 cm eher unwahrscheinlich. Im Stück von Argilly verhindert sogar ein «Bronzetropfen» das Einstecken einer Kerze oder eines Kienspans, und beim Stück von Amiens sitzt der Becher ausserordentlich schief auf den Fingern. Aus dem Fundkontext der Augsburger Hand stammen u.a. eine Bronzeglocke sowie verschiedene Wagenbestandteile. Eine Interpretation der Hand als Wagenaufsatz lag damit nahe; das «Gefäss» hätte in diesem Fall als Kienspan- oder Peitschenhalter dienen können. Auch diese Lösung erscheint in Anbetracht der geringen Gefässtiefe wenig einleuchtend. Ebenfalls als Wagenbestandteil ist das Stück aus Bieslich gedeutet worden. Hier waren es in erster Linie der grosse Ring in Form eines Schwanenkopfes an der Handwurzel, der an eine solche Möglichkeit denken liess, v. a. da diese Ösen deutliche Abnützungsspuren aufweisen, so dass sogar eine waagrechte Fixierung der Hand postuliert worden ist. Ähnlich grosse Ösen weist im Übrigen auch das oben besprochene Stück aus Reims auf, das damit ebenfalls als Wagenaufsatz gedeutet werden könnte. Es entzieht sich unserer Kenntnis, ob bei Prozessionen im Rahmen einer kultischen Handlung für Dolichenus Wagen eine Rolle spielten. Bislang scheinen die Funde nicht darauf hinzudeuten. Hände erfüllten indessen schon immer apotropäische Funktionen, und gerade beim Wagenschmuck spielt dieser Aspekt bekanntlich eine wichtige Rolle. Wäre es also denkbar, dass einige der Bronzehände durch die nachträgliche Anfügung von Ösen eine sekundäre Verwendung erfahren hätten[143]? Im Jahr 253 fand mit der Zerstörung des Heiligtums in Doliche die Verehrung des Iupiter Dolichenus ihr Ende. Einzelne Votivgaben könnten danach auf diese Weise durchaus einen neuen Verwendungszweck gefunden haben.

Angesichts ihrer geringen Tiefe ist ausserdem die Möglichkeit zu diskutieren, dass die kleinen Gefässe als Räucherbecken dienten. Die Hände, die in vielen Fällen aufgesteckt oder aufgestellt waren, hätten damit als Träger für Räucherwerk gedient, das in bestimmten Momenten des Kultes verbrannt wurde.

Die synkretistischen Erscheinungsformen mancher Gottheiten und die häufig ausserordentlich reduzierte Symbolik lassen schliesslich noch Spielraum für eine weitere Interpretation der Gefässchen offen, und zwar als Modius. Dieses Getreidemass mit seiner charakteristischen, korbförmigen Gestalt gilt als typisches Attribut des in Nordafrika beheimateten Gottes Serapis[144]. Auf verschiedenen Votivgaben tre-

ten Iupiter Dolichenus und Serapis gemeinsam auf, und so wie die bronzene Hand als *pars pro toto* für Iupiter Dolichenus interpretiert werden kann, könnte das Gefäss als Modius den Bezug zum (wesensverwandten?) Gott aus Nordafrika symbolisieren[145].

Schlussfolgerung: Obschon die Hand von Oberwinterthur aus der unmittelbaren Nähe eines Tempelareals stammt, erlaubt es auch dieser Neufund nicht mit letzter Sicherheit, die Gattung anepigraphischer Bronzehände dem Kult des orientalischen Gottes Iupiter Dolichenus zuzuweisen. Ebensowenig ist ein gesicherter Nachweis eines solchen Kultes in Gallien möglich geworden. Trotzdem erscheinen die zwei Finger mit der Kugel und dem Becher als ein weiteres jener berühmten Mosaiksteinchen, die eines Tages vielleicht durch den entscheidenden Fund zu einem deutlichen Bild des Iupiter-Dolichenus-Kultes in unserem Gebiet zusammengefügt werden können[146].

Fragment einer Schlange[147] (Kat. **125**)
Erhalten sind die vordere Rumpfpartie und der Kopf des Tieres, aus dessen Rachen ein ovaler Fortsatz herausragt. Bruchstelle auf der vom Schlangenkopf abgewandten Seite des Objektes. Gleichmässig grün-braune Patina. Max. Distanz zwischen den Bruchstellen 13,3 cm – FO Hohlandstr. 3, 1993.37.26 – FK 21 (Abb. 40).

Erhalten ist der Vorderteil einer rundplastisch gearbeiteten, voll gegossenen Schlange. Die ausgeprägten, gleichförmig grossen Schuppen sind in Kaltarbeit ziseliert und ziehen gleichmässig über die gesamte Länge des Körpers. Der Kopf ist kräftig modelliert, die einzelnen Partien sind deutlich betont. Unter wulstigen Augenbrauen liegen in tiefen Höhlen grosse runde Augen mit einer kreisrunden Pupille. Im kräftigen Wulst auf dem Schädel ist wahrscheinlich der Kamm zu sehen, mit dem Schlangen schon seit griechisch-archaischer Zeit dargestellt worden sind[148]. Mit dem leicht geöffneten Maul, in dem zwei Reihen von Zähnen erkennbar sind, berührt das Reptil einen ovalen Gegenstand, dessen Gegenseite in einer Bruchkante endet. Die Ergänzung einer zweiten, spiegelsymmetrischen Schlange bietet sich an[149].

Schlangen konnten als Personifikation einzelner Gottheiten auftreten (Apoll, Aeskulap), sie galten aber auch, unabhängig von bestimmten Göttern, als heilige Tiere mit prophetischem Charakter, die wichtig für das menschliche Schicksal waren. Neben kosmischen und chthonischen Kräften, schrieb man ihnen auch eine starke apotropäische Wirkung zu[150]. In Analogie zum Fragment der Bronzehand, das in unmittelbarer Nähe gefunden worden ist und das wir – wenn auch nicht mit letzter Sicherheit – dem Kult des Iupiter Dolichenus zuweisen möchten, stellt sich bei der Schlange natürlich als erstes die Frage, ob dieses Tier mit dem Kult des orientalischen Gottes in Verbindung zu bringen ist. Im kultischen Umfeld des Dolichenus begegnen uns Schlangen in verschiedenen Zusammenhängen. Bis heute sind etwa ein Dutzend Monumente bekannt, auf denen die Reptilien, alleine oder paarweise, gemeinsam mit dem kommagenischen Gott auftreten, wobei es sich dabei um ganz

Zusammenstellung des Materials bei: CCID; Bellelli/Bianchi 1996; E. Sanzi, Dimension sociale et organisation du culte dolichénien. In: Bellelli/Bianchi 1996, 475–513; U. Bianchi, Iupiter Dolichenus, Un problème de typologie historique de la religion. In: Bellelli/Bianchi 1996, 605–611; LIMC VIII (1997) 471–478 s.v. Iupiter Dolichenus (R. Vollkommer).

131 H. Seyrig, Représentations de la main divine. Syria 20, 1939, 184 ff.

132 Beispiele von Messergriffen: Kaufmann-Heinimann 1998, 32 Abb. 9,3; 9,26; 9,29; 9,31; 9,39; 9,40.

133 Dazu ausführlicher: Kob Guggisberg 1992, 127 Anm. 35; N. Hanel, Beinnadeln mit Sabazios-Händen und Kybelebüste. Zeugnisse Kleinasiatischer Mysterienreligionen im römischen Gross-Gerau. Arch. Korrbl. 24, 1994, 65–71.

134 Dedikationsinschriften auf der Handwurzel tragen z. B. die Stücke aus Mychkovo (heute Myszow, Ukraine), CCID Nr. 181, Brigetio(?), CCID Nr. 262, und aus Nida-Heddernheim, CCID Nr. 520.

135 Aus ikonographischen Gründen ist es auch möglich, einige isolierte Funde dem Dolichenus-Kult zuzuweisen. Zweifelsfrei gilt dies für Stücke, auf denen der Gott allein oder zusammen mit anderen Göttern dargestellt ist, z. B. Adony – Vetus Salina, CCID Nr. 126.

136 Aus Bizone-Varna (hier befindet sich die Weihinschrift direkt auf der Kugel), CCID Nr. 70, und aus Mychkovo (heute Myszow, Ukraine), CCID Nr. 181.

137 Augusta Raurica (Anm. 101). Mailand: M. Bolla. Bronzi figurati romani nelle civiche raccolte archeologiche di Milano. Notizie del Chiostro del Monastero maggiore, Suppl. 17 (1994) 97–98 Nr. 112 Taf. 38. Zur Bedeutung der Kugel als Himmel- und Erdglobus: P. Arnaud, L'image du globe dans le monde romain: science, iconographie, symbolique. Mél. École Française Rome 96, 1984, 53ff.; Reallexikon für Antike und Christentum XIV (1988) 957ff. s.v. Sphaira (M. Restle).

138 Bei Marseille wurde im Meer eine Statue des Iupiter Dolichenus gefunden (CCID Nr. 602). Da das Stück von einer Schiffsladung mit anderem Ziel stammen könnte, ist damit kein Nachweis für eine Verehrung der Gottheit in der Region erbracht.

139 Wobei bei einem solchen Einzelstück nicht auszuschliessen ist, dass es z. B. von einem aus Gallien eingewanderten Gläubigen oder einem Metallhändler mitgebracht worden ist.

140 Vgl. Anm. 106.

141 R. Noll, Das Inventar des Dolichenusheiligtums von Mauer an der Url (Noricum). Der römische Limes in Österreich H. 30 (1980).

142 Zur Problematik der Bronzehände für Iupiter Dolichenus vgl. allgemein den Kommentar zu CCID Nr. 40.

143 Ob die Ringe nachträglich angebracht worden sind, wäre vermutlich an den Stücken selbst erkennbar.

144 Zusammenfassend: LIMC VII (1994) s.v. Serapis. (G. Clerc/J. Leclant).

145 Serapis mit Iupiter Dolichenus: Kaufmann-Heinimann 1994, 105f. Nr. 170 (Bronzeplättchen aus Vindonissa); S. Sorrenti, Le représentations figurées de Iupiter Dolichénien à Rome. In: Bellelli/Bianchi 1996, 367–453 Nr. 9 Taf. 8; Nr. 17 Taf. 12 (zwei Marmorreliefs aus dem Dolichenum auf dem Aventin in Rom).

146 Mögliche Nachweise für den Kult im Gebiet der heutigen Schweiz hätten wir demnach mit den Händen aus Martigny, Vindonissa und Augst, dem Plättchen aus Vindonissa sowie einer kleinen Doppelaxt aus Augst (Kaufmann-Heinimann 1998, 117 Abb. 76, 118 Anm. 415).

147 Hoek 1995, 229 Abb. 23,1.

148 Bei Schlangenpaaren zeichneten sich häufig die männlichen Schlangen durch einen Kamm und einen Bart aus, weibliche Schlangen hatten – wenn überhaupt – nur einen kleinen Kamm: D. Orr, Roman domestic household shrines. In: ANRW II, 16, 2 (1978) 1573.

149 Einzelne, jedoch wesentlich kleinere Schlangen stammen aus je einem Lararium in Pompeji und in Scafati. Kaufmann-Heinimann 1998, 214 Abb. 153, 226 Abb. 174.

150 T. Fröhlich, Lararien und Fassadenbilder in den Vesuvstädten. Untersuchungen zur «volkstümlichen» pompejanischen Malerei (1991) 56ff. Erstaunlicherweise – und bis anhin nicht erklärbar – spielen Schlangen in den gallorömischen Lararien kaum eine Rolle. Kaufmann-Heinimann 1998, 162.



Abb. 40. Hohlandstr. 3. Fragment einer Bronzeschlange, Kat. 125. Maximale Distanz zwischen den Bruchstellen 13,3 cm.

verschiedene Denkmäler-Gattungen handelt: Altäre, Reliefs und Signumhalter[151]. Bis heute entzieht sich der genaue Zusammenhang zwischen Gott und Reptil indessen einer klaren Deutung. Häufig treten die Tiere aber paarweise auf und werden dann als Castores Dolicheni und damit als Begleiter des Kosmokrators interpretiert[152]. Erschwert wird eine schlüssige Interpretation in unserem Fall zusätzlich durch das ovale Objekt, das als Ei – allenfalls als Granatapfel – gedeutet werden kann, beides Attribute, die im Kult des



Abb. 41. Hohlandstr. 3. Bronzecaduceus im Musée des Antiquités Nationales, Saint-Germain-en-Laye, Höhe 6,5 cm.

Iupiter Dolichenus – soweit bekannt – keine Verwendung gefunden haben.

Während bei der Zuordnung unserer Schlange zum Dolichenus-Kult die Zweckbestimmung des Gegenstandes vorläufig offen bleiben müsste, kann das Reptil – nach formalen Kriterien – zu einem Gerät ergänzt werden, das im Kult einer anderen Gottheit eine Rolle spielt: zu einem Caduceus, dem Heroldstab des Merkur[153]. In römischer Zeit gilt der Caduceus, zusammen mit dem Geldbeutel, dem Petasos und den geflügelten Schuhen als Attribut *par excellence* des Merkur[154]. Gerade in den römischen Nordprovinzen zählte Merkur zu den am häufigsten verehrten Göttern, und entsprechend zahlreich sind auch die ihm geweihten Denkmäler[155]. Bei rundplastischen Darstellungen oder Reliefs hält der Gott stets einen Caduceus in der Hand; gerade bei Bronzestatuen und -statuetten ist jedoch der i. A. separat gearbeitete Heroldstab häufig verloren. Caducei können auch einzeln auftreten, und zwar als Attribut, das der Gottheit im Sinne eines *pars pro toto* geweiht wurde[156].

Ergänzt würde der Oberwinterthurer «Caduceus» eine Länge von 40–50 cm erreichen. Auch wenn bis heute keine so grossen Exemplare aus Bronze bekannt sind, lassen lebensgrosse Merkurstatuen darauf schliessen, dass so lange Heroldstäbe durchaus existiert haben[157]. Die engste Parallele eines Caduceus, auf dem die Schlangen ebenfalls einen eiförmigen Gegenstand umfassen, ist mit einer Länge von 8,4 cm wesentlich kleiner (Abb. 41)[158].

Die Deutung des ovalen Objektes ist bis heute offen. Auf Grund der Form scheint eine Interpretation als Ei am nächstliegenden. Schlangen in antithetischer Anordnung sind häufig auf den vesuvianischen Lararienbildern an den Hausaltären zu sehen, wo ein Ei zwischen ihnen liegen kann. Die Bedeutung des Eis als Opfergabe bewegt sich aber bis heute im spekulativen Bereich. Eine häufig angeführte Interpretation sieht darin ein Fruchtbarkeitssymbol. Als Keimzelle des neuen Lebens hat das Ei – besonders im orphischen Gedankengut – durchaus kosmische Bedeutung erhalten, handelt es sich doch um das vollkommene Objekt überhaupt, das Leben enthält, sich selber ernährt und die perfekte Form aufweist. Damit kann das Ei in einem ähnlichen Bereich wie die Schlange selbst angesiedelt werden, die durch das Abstreifen der Haut zum Symbol für Tod und Wiedergeburt geworden ist[159].

Schlussfolgerungen: Die beiden besprochenen Bronzeobjekte stammen aus der Nähe eines Tempelareals und weisen mit ihrer Ikonographie ebenfalls in einen religiösen Zusammenhang. Angesichts ihres fragmentarischen Zustandes ist eine Datierung äusserst spekulativ. Die Vergrabungszeit der Siedlungsphase 2 umfasst gemäss F. Hoek den zeitlichen Rahmen von der flavischen Zeit bis zur Mitte des 3. Jh. Die Blütezeit des Iupiter-Dolichenus-Kultes ist damit abgedeckt. Bezüglich ihrer Zweckbestimmung ist keine sichere Deutung möglich – dies gilt besonders für die Bronzehand –, doch erlauben die zur Diskussion gestellten Überlegungen durchaus die Annahme, dass die beiden Funde zum Tempelinventar gehört haben. Identische Objektkombinationen sind zwar unbekannt; angesichts des oftmals individuellen und synkretistischen Kultcharakters römischer Heiligtümer und der dadurch bedingten Heterogenität der Funde muss aber in Betracht gezogen werden, dass auch in Oberwinterthur verschiedene Gottheiten im gleichen Heiligtum verehrt worden sind[160]. Tempelinventare haben sich äusserst selten erhalten, da sie bei Plünderungen entweder rechtzeitig in Sicherheit gebracht oder von den Eroberern – aus Prestigegründen oder zur weiteren Materialverwertung – weggeführt worden

sind. Mit den beiden Fragmenten aus Oberwinterthur haben wir zwei Stücke vor uns, die aus heute nicht mehr eruierbaren Gründen vermutlich in der Nähe ihres ursprünglichen Verwendungsortes in den Boden gelangt sind. Damit fassen wir – neben dem Lararium vom Unteren Bühl und dem Hortfund vom Lindberg – eine weitere Form der Kultausübung in einem kaiserzeitlichen Vicus, und auch hier finden sich Hinweise auf Merkur, den von den Galliern meistverehrten Gott[161].

2.3.3 Siedlungsperiode 3 (spätes 2./3. Jh.) (Kat. **173–185**)

Siedlungsperiode 3 ist vom Befund her nur sehr lückenhaft bekannt. Zudem sind nicht genügend Funde vorhanden, um sie zeitlich gut einzubinden.

Zunächst sind zwei Münzen – ein As des Marcus Aurelius (166–167 n. Chr., Kat. **184**) und ein Antoninian des Claudius II Gothicus (268–270 n. Chr., Kat. **185**) zu nennen. Das As des Marcus Aurelius stammt aus Graben 152, während der Antoninian des Claudius II Gothicus in Grube 220 geborgen wurde (Abb. 32).

Neben den beiden Münzen sind unter den wenigen Gefässscherben zwei zu erwähnen, die noch im 2. Jh. vorkommen (Kat. **173, 176**), während keine Formen aus dem 3. Jh. vorliegen. Solche wären u.a. auch auf Grund der Münze (Kat. **185**) zu erwarten. Insgesamt kann die Siedlungsperiode 3 mit Hilfe der Funde zeitlich nicht näher als ins späte 2. und ins 3. Jh. eingegrenzt werden. Wie bei Siedlungsperiode 2 (Phase C) ist auch hier auf einen mit einem Legionsstempel versehenen Ziegel hinzuweisen (Kat. **182**, Kap. 2.3.4).

2.3.4 Ausgewählte Streufunde (Kat. **186–235**)

In diesem Kapitel werden ausgewählte Funde aus neuzeitlich durchmischten Schichten vorgelegt (Kat. **186–215**). Sie sind durchwegs als Streufunde zu betrachten, da ihre genaue Fundlage während der Ausgrabung nicht festgehalten werden konnte. Ziel der Materialvorlage ist, eine allfällige Besiedlungskontinuität des Kirchhügels bis ins 4./5. Jh. erfassen zu können, da Schichten und Befunde dieses Zeitabschnittes – abgesehen von der spätrömischen Umfassungsmauer – beinahe vollständig fehlen (Kap 2.4.3).

Neben der Gefässkeramik und mit Legionsstempel versehenen Ziegelfragmenten der Grabung Hohlandstr. 3 werden im Synthesekapitel (Kap. II.1) Streufunde aus der Grabung Kirchhügel-reformierte Kirche St. Arbogast 1976/77 vorgelegt (Kat. **216–235**). Von drei Ausnahmen abgesehen (Kat. **170, 171, 182**), stammen die gestempelten Ziegel aus neuzeitlich durchmischten Schichten und stellen den bislang umfangreichsten Fund gestempelter Ziegel aus Oberwinterthur dar.

Spätrömische Funde (Kat. **186–208, 215**)

Neben den im Schichtzusammenhang geborgenen Münzen (Kat. **172, 184, 185**) ist unter den Streufunden auf eine weitere Münze des späten 3. Jh., ein Antoninian des Tetricus I (271–274 n. Chr.) hinzuweisen (Kat. **215**).

Auf dem Kirchhügel konnte schon verschiedentlich spätrömische Keramik – jedoch ohne zugehörige Befunde zu beobachten – geborgen werden. So legte E. Ettlinger im Jahr 1952 Einzelstücke vom Kirchhügel vor, die dem 4. Jh. angehören[162]. Auch bei H. R. Wiedemer ist Keramik des 4. Jh. abgebildet[163]. Schliesslich legte J. Rychener unter den Streufunden spätrömische Keramik vor[164] (siehe auch Synthesekapitel II.1)

Unter der chronologisch relevanten TS der Hohlandstrasse ist an erster Stelle ein Schälchen mit Glasschliff zu nennen (Kat. **200**). Solche Formen treten in Augusta Raurica erstmals in Komplexen des 2. Viertels des 3. Jh. auf[165]. Es bleibt abzuklären, ob Schälchen mit Glasschliff in den östlichen Regionen noch später erscheinen, wie ein Stück aus dem Zusammenhang des Neftenbacher Münzhortes, vergraben um 280/285 n. Chr. nahe legen könnte[166].
Mit Kat. **192** ist eine Schüssel Niederbieber 19/Chenet 325 vorhanden. Auch solche Schüsseln werden in Augusta Raurica erst in der Mitte des 3. Jh. ins Geschirrsortiment aufgenommen[167]. Zudem ist mit Kat. **194** ein Schälchen Lud. Bb belegt, wie sie in Augusta Raurica erst in Komplexen auftreten, die aus der Zeit des 2. und 3. Viertels des 3. Jh. stammen[168]. Mit Schälchen Drag. 40 (Kat. **198**) und Teller Drag. 32 (Kat. **197, 199**) sind ferner Typen vorhanden, welche zwar schon ab der 2. Hälfte des 2. Jh. geläufig sind[169], mit formalen Veränderungen jedoch bis ins frühe 4. Jh. begegnen können. Zu TS-Reibschüsseln wie Kat. **191** ver-

---

151 Kommentar zu Iupiter Dolichenus mit Schlangen: CCID Nr. 96.
152 LIMC III (1986) 625f., 634f. s. v. Dioskouroi/Castores (F. Gury).
153 Der Caduceus wurde – zusammen mit Merkur – aus der griechischen Religion in die römische übernommen. Das ursprüngliche *kerykeion* bestand aus einem Ölbaumzweig mit spriessenden Trieben und galt allgemein als Attribut von Nachrichtenüberbringern, seien dies nun Hermes, Iris oder andere Boten. Die enge Verbindung mit dem Handel wurde erst in römischer Zeit geknüpft.
154 Auch der Rosmerta kann ein Caduceus beigegeben sein. Da sie aber häufig in Verbindung mit Merkur erscheint, kann es sich dabei ebenfalls um den «Stellvertreter» des Gottes handeln; z. B. das Altarrelief aus Paris: E. Espérandieu, Recueil général des basreliefs, statues et bustes de la Gaule romaine IV (1911) Nr. 3143.
155 Kaufmann-Heinimann 1998, 163, 204 Abb. 142.
156 Vgl. zu diesem Problem Kaufmann-Heinimann 1994, 75. Zu erwähnen ist hier z. B. auch ein bronzener Caduceus, der auf der Schwelle der Cella des Concordiatempels in Rom eingelassen war. F. Coarelli, Rom. Ein archäologischer Führer (1975) 76.
157 Am selben Altar aus Paris wie unter Anm. 135 aufgeführt.
158 FO unbekannt. Paris, Musée National de Saint Germain-e-Laye, Inv. 8553 (ehem. Slg. Oppermann). H. Kenner, Bronzener Caduceus. In: R. Egger, Die Ausgrabungen auf dem Magdalensberg 1962–1964 (1966) 406–421, 408 Abb. 103.
159 E. Swoboda, Die Schlange im Mithraskult. Jahresh. Österr. Arch. Inst. 30, 1937, 1–37.
160 Zum Selbstverständnis freier Kultvereine und Religionsgemeinschaften: W. Burkert, Antike Mysterien. Funktionen und Gehalt (1990) 35ff. Zu den Statuetten in öffentlichen Heiligtümern: Kaufmann-Heinimann 1998, 199ff.
161 A. Kaufmann-Heinimann, Ein Schrank mit Lararium des 3. Jahrhunderts. In: Deschler-Erb et al. 1996, 229–251, 246–248.
162 Ettlinger 1952, 21.
163 Wiedemer 1976, 33f.
164 Rychener 1984, 105f. (Kat. 885–906).
165 Martin-Kilcher 1987, 38f.
166 H.-M. von Kaenel et al., Der Münzhort aus dem Gutshof von Neftenbach. Antoniniane und Denare von Septimius Severus bis Postumus. ZD Arch. Monogr. 16 (Zürich und Egg 1993), 32, Kat. 60.
167 Martin-Kilcher 1987, 44f.
168 Martin-Kilcher 1987, 43f.
169 Furger/Deschler-Erb 1992, 54.

gleiche man die Bemerkungen in Kap. 2.3.2. Es handelt sich bei unserem Stück um ein chronologisch nicht näher eingrenzbares Fragment, da insbesondere die Randform unbekannt ist. Unter den Streufunden ist schliesslich auf Argonnen-Sigillata hinzuweisen (Kat. **187–190**). Während rädchenverzierte Argonnenware im Kastell Kaiseraugst vor der Mitte des 4. Jh. spärlich vorhanden ist[170], gibt es sie häufiger etwa aus den Kastellen Arbon[171] oder Pfyn[172]. Über den Anfang der spätantiken Töpfereien in den Argonnen herrscht noch Unklarheit[173],während ein Import in unsere Gegenden wohl nicht vor der Mitte des 4. Jh. erfolgte[174].

Neben den späten TS-Typen ist auf zwei rotbraune Reibschüsseln hinzuweisen (Kat. **207, 208**). Vergleichbare Typen begegnen in Augusta Raurica erst ab der 1. Hälfte des 4. Jh.[175] Es fehlen jedoch die grün glasierten Reibschüsseln, die ab der 2. Hälfte des 4. Jh. ins Geschirrsortiment aufgenommen werden[176].

Unter den Streufunden gibt es jedoch noch keine ausgesprochen langhalsigen und feinen Glanztonbecher Niederbieber 33. Diese Typen sind typische Vertreter des 4. Jh.

Insgesamt bewegen wir uns mit den vorgestellten Keramiktypen schwerpunktmässig im Zeitraum des späteren 3. und früheren 4. Jh.

Ein zeitlich vergleichbarer Fundbestand (Schwerpunkt spätes 3. Jh.) liegt z.B. aus Kaiseraugst-Im Liner mit dem «unteren» Komplex[177] sowie vom Inneren des Kastells vor (späteres 3. und 4. Jh.)[178]. Aus Olten legte C. Schucany kürzlich ein zeitlich vergleichbares Spektrum (letztes Viertel des 3. Jh. und frühes 4. Jh.) vor[179].

Ziegel mit Legionsstempel (Abb. 42, Kat. **170, 171, 182, 209–214**)

Unter den Funden der Hohlandstrasse ist speziell auf Ziegelfragmente mit Legionsstempel hinzuweisen. Insgesamt konnten neun Stücke geborgen werden (Kat. **170, 171, 182, 209–214**). Neben sechs Vertretern aus neuzeitlich durchmischten Schichten (Kat. **209–214**) stammen drei Fragmente aus datierten römischen Fundzusammenhängen (Kat. **170, 171, 182**). Im Vergleich mit bislang bekannt gewordenen Oberwinterthurer Legionsstempeln stellen die neu entdeckten Stücke die grösste bis heute zum Vorschein gekommene Fundserie dar. Mitte des letzten Jahrhunderts sollen in Oberwinterthur schon einmal grössere Mengen gestempelter Ziegel zu Tage getreten sein, doch sind weder Fundumstände noch Verbleib dieser Ziegel bekannt[180].

Die Datierung der drei aus stratigraphischen Zusammenhängen geborgenen Ziegel (Kat. **170, 171, 182**) zeigt, dass sie aus Strukturen des späten 2. und des 3. Jh. stammen (Ziegelversturzschicht Siedlungsperiode 2 und Grabenfüllung der Siedlungsperiode 3, vgl. oben).



Abb. 42. Hohlandstr. 3. Neuzeitliche Störung. Ziegelstempel LXXI. Kat. 210. M. 1:2.

Neben zwei unbestimmbaren Stempeln (Kat. **182** und **213**) wird sechsmal die 21. Legion (Kat. **170, 171, 209–212**) und mindestens einmal die 11. Legion (Kat. **214**) genannt.

Die beiden angesprochenen Legionen waren im 1. Jh. in Vindonissa stationiert. Während die 21. Legion zwischen den Jahren 43/45 und 69/70 n. Chr. belegt ist, folgte die 11. Legion im Jahre 70 n. Chr. und blieb bis 101 n. Chr.[181]

Unklar ist bislang, wo die in Vindonissa stationierten Legionen ihre Ziegel produzierten. Mindestens zeitweise dürften in einem zwischen Hunzenschwil und Rupperswil freigelegten Ziegelbrennofen Ziegel der 11. und 21. Legion hergestellt worden sein[182].

Bezüglich der Interpretation der Ziegel mit Legionsstempeln im Hinblick auf die Stationierung militärischer Einheiten in Oberwinterthur ist festzuhalten, dass vom Befund und der Datierung der Befunde her keine Hinweise beigesteuert werden können (vgl. oben).

Auffällig, jedoch zur Zeit nicht mehr als ein Hinweis auf eine lange Lebensdauer dieser Stücke zu werten, ist die Tatsache, dass die beiden Stücke Kat. **170** und **171** – produziert in der 2. Hälfte des 1. Jh. –, aus einer ausgedehnten Ziegelversturzschicht des späteren 2. und 3. Jh. stammen (Kap. 2.2.2).

Gestempelte Ziegel der Windischer Legionen sind bereits an mindestens 200 verschiedenen Fundorten der Schweiz ausgegraben worden[183]. Daher sind denn auch verschiedene Deutungsversuche unternommen worden[184].

2.4 Ergebnisse (Abb. 43)

Ziel der vorliegenden Arbeit ist primär die an der Hohlandstr. 3 in den Jahren 1993 und 1994 freigelegten Funde und Befunde vorzulegen. Da sich die Grabungsstelle im Zentrum der römischen Siedlung Vitudurum mitten auf dem Kirchhügel befand, sind Ergänzungen nicht nur zur bislang z.T. unklaren früh- und spätrömischen Zeit, sondern auch zu den vicuszeitlichen Befunden möglich, wie sie von J. Rychener monographisch vorliegen[185].

Aus heutiger Sicht kann das Bild ausgehend von den Grabungen an der Hohlandstrasse zunächst in zwei Punkten verifiziert und ergänzt werden:

1. Es hat sich gezeigt, dass eine umfassende Besiedlung auf dem Kirchhügel wohl erst um Christi Geburt einsetzte. Bislang ist immer wieder über einen Militärposten der Zeit um 15 v.Chr. auf dem Kirchhügel spekuliert worden (Kap. 2.4.1).

2. Mit Funden und Befunden der Siedlungsperiode 3 (ganzes 3. Jh.) ist die – bislang nur vermutete – durchgehende Besiedlung des Kirchhügels bis ins fortgeschrittene 3. Jh. gesichert.

3. Es ist möglich, dass sich unter einzelnen nur schlecht datierbaren Strukturen Reste von Innenbauten der Umfassungsmauer des 4. Jh. verbergen. Solche Befunde fehlten bislang vollständig. In diesem Zusammenhang machen während der Grabung an der Hohlandstr. 3 aufgenommene NS-verlaufende Schichtenprofile jedoch deutlich, dass seit der römischen Zeit der nördliche Kirchhügel – also der Bereich der Parzelle Hohlandstr. 3 – immer wieder gekappt wurde. Diesen Tätigkeiten dürften primär die stratigraphisch jüngsten Schichten und Baubefunde zum Opfer gefallen sein. Speziell bei der Beurteilung der Besiedlung des Kirchhügels im 4. Jh. muss diesem Umstand Rechnung getragen werden.

2.4.1 Ein augusteischer Militärposten auf dem Kirchhügel?

Im Gegensatz zum Vicus Vitudurum, dessen Beginn mittlerweile mit Hilfe gut abgesicherter Dendrodaten und stratifizierter Fundkomplexe um Christi Geburt zu legen ist[186], ist unklar, ob auf dem Kirchhügel ein augusteischer Posten existierte[187]. Während F. Staehelin eine kleine römische Befestigung aus Holz oder Erde vermutete[188], legte E. Ettlinger – sie bearbeitete die wenigen Funde der Ausgrabungen von Bloesch und Isler der Jahre 1949–1951 – mindestens vier Exemplare entsprechend datierter Keramik vor, doch bleibt für sie die Frage eines Militärpostens offen. Sie geht jedoch von einem Beginn des Vicus Vitudurum in der Zeit um 20–12 v. Chr. aus[189]. Demgegenüber kennt H. R. Wiedemer vom Kirchhügel «nur» Scherben aus dem 1. Viertel des 1. Jh. n. Chr., ohne sich allerdings auf einen Zeitpunkt des Siedlungsbeginns festzulegen[190]. An einen Beginn der Siedlung Vitudurum noch vor Christi Geburt tendierte auch W. Drack, wohl in Anlehnung an E. Ettlinger[191]. J. Rychener datiert die frühesten Spuren auf dem Kirchhügel in die Zeit um 20–40 n. Chr. (Periode A)[192]. Zuletzt möchte er einen Beginn Vitudurums – zunächst in Form eines Militärpostens um 15 v. Chr., die Gründung des Vicus dann rund 10 Jahre später – in Erwägung ziehen[193]. R. Frei-Stolba ist der Meinung, dass sich auf dem Kirchhügel ein augusteischer Stützpunkt befand, doch weist sie auf einen bislang wenig beachteten Befund aus dem Stadtzentrum von Winterthur hin, wo offensichtlich Spitzgräben – vielleicht eines frühen Militärlagers – angeschnitten wurden[194].

Befunde zur Frühzeit in der Parzelle Hohlandstr. 3
Siedlungsperiode 1 umfasst drei Gruben mit ihren ersten, humosen Auffüllungen sowie einige Pfostenlöcher. Leider gelang es nicht, die Funktion der Gruben zu bestimmen (Keller, Latrinen o. ä.). Gesichert dürfte jedoch sein, dass die Pfostenstellungen von einfachen Holzbauten stammen, ohne dass sich auch Hausgrundrisse o. ä. ablesen liessen.

Die zeitliche Einbindung der Siedlungsperiode 1 (0–30 n. Chr.) ist in Oberwinterthur recht gut abgesichert und entspricht in etwa Periode A-Kirchhügel (20–40 n. Chr.)[195] und Phase A-Römerstrasse 186[196].

Vor dem unklaren Hintergrund einer Interpretation der frühen Befunde muss eine – nämlich Grube 99/106 – der drei grösseren Gruben der Siedlungsperiode 1 etwas genauer betrachtet werden. Zunächst gilt es, zwischen der eigentlichen Grube und deren Auffüllungen zu unterscheiden[197]: Obwohl entsprechende Belege – wie Holzreste oder zumindest Abdruckspuren davon – fehlen, muss sie, wie die senkrecht eingestochenen Grubenwände zeigen, mit einer Verschalung ausgekleidet gewesen sein. Wenn man in einem Trockenboden die Lebensdauer einer solchen Holzkonstruk-

170 Martin-Kilcher 1987, 44–48.
171 Roth-Rubi 1992, 83ff.
172 Bürgi 1983, 154–160; Bürgi/Stefani et al. (in Vorb.); Roth-Rubi 1992, 83ff.
173 K. Roth-Rubi, Spätantike Glanztonkeramik im Westen des römischen Imperiums. Ein Beitrag zur Leistungsfähigkeit der Wirtschaft in der Spätantike, BerRGK 71, 1990, 906–971; siehe auch: M. Feller, Classification et datation des molettes d'Argonne: problèmes de méthodes. SFECAG. Actes du congrès de Cognac (1991), 161–169.
174 Marti 2000, 205.
175 Martin-Kilcher 1987, 44–46.
176 Vgl. etwa Arbon: Roth-Rubi 1992, 93–101.
177 Furger/Deschler-Erb 1992, 131–134.
178 V. Vogel Müller und U. Müller, Eine Grabung im Innern des Kastells Kaiseraugst (1993.03). Neue Hinweise zur Bauzeit des Kastells Kaieseraugst und zur Existenz eine älteren Auxiliarkastells? JbAK 15, 1994, 151–176.
179 Schucany 1996b, 72.
180 Nach E. Ettlinger ist bislang nur ein sicherer Fund eines gestempelten Ziegels aus Oberwinterthur bekannt (Ettlinger 1952, 32, Anm. 7). Nach H.R. Wiedemer wurde zumindest ein Fragment mit Stempel der 21. Legion bei Sondierungen unter Ferdinand Keller im Jahr 1841 wohl im Bereich des Kirchhügels – also unweit der Grabungen an der Hohlandstr. 3 – gefunden (Wiedemer 1976, 16, Anm. 29). V. v. Gonzenbach führt je einen Stempel der 11. und der 21. Legion aus Oberwinterthur an (v. Gonzenbach 1963, 139). Demgegenüber schreibt F. Keller, dass gestempelte Ziegel in Oberwinterthur häufig vorkommen (F. Keller, Vitudurum, ASA 3, 1858, 35).
181 Hartmann/Speidel 1992, 4f.; vgl. auch Hartmann 1986, 36ff.
182 P. Arnold, Die römischen Ziegleien von Hunzenschwil-Rupperswil, JbGPV 1965 (Brugg 1966), 37–55; Drack/Fellmann 1988, 201–203.
183 Hartmann/Speidel 1992, 10; Verbreitungskarten bei v. Gonzenbach 1963 und Drack/Fellmann 1988, 46.
184 Vgl. etwa: v. Gonzenbach 1963, 76ff.; Drack/Fellmann 1988, 42–44; K. Roth-Rubi, Die ländliche Besiedlung und Landwirtschaft im Gebiet der Helvetier (Schweizer Mittelland) während der Kaiserzeit, in: H. Bender und H. Wolff (Hrsg.), Ländliche Besiedlung und Landwirtschaft in den Rhein-Donau-Provinzen des Römischen Reiches. Passauer Universitätsschriften zur Archäologie 2 (1994) 329, Anm. 79; B. Hedinger u. H.J. Brem, Ziegel, in: Drack 1990, 223–239; Ph. Della Casa, Die römische Epoche, in: M. Primas et. al. Archäologie zwischen Vierwaldstättersee und Gotthard. Universitätsforschungen zur prähistorischen Archäologie 12 (Bonn 1992), 69–76; M. A. Speidel, Die Kleininschriften aus dem frührömischen Kastell und dem Lagerdorf in Zurzach, JbGPV 1993 (Brugg 1994) 53f.; Hänggi et al. 1994, 427; H. Fetz u. Chr. Meyer-Freuler, Triengen, Murhubel. Ein römischer Gutshof im Suretal. Archäologische Schriften Luzern 7.1997 (Luzern 1997) 373–386; zu den gallisch-germanischen Provinzen: M. Kaiser, Die Ziegelstempel der römischen Garnisonen von Bonn, Bonner Jahrbücher 196, 1996, 51–55.
185 Rychener 1984.
186 Neuere Untersuchungen (Dendrodaten vom Unteren Bühl, Keramikkomplex Römerstrasse 186, Dendrodaten und Keramikomplex Römerstrasse 187) haben einen Beginn des Vicus um die Zeitenwende bestätigt (vgl. Rychener 1986, 55). Frühestes Dendrodatum 4 v. Chr. (R. Janke in Vorb.).
187 J. Rychener, in: Ebnöther et al. 1995, 113f.; vgl. auch J. Rychener, Die Nordostschweiz, in: 60 BC–15 AD d'Orgétorix à Tibère, Colloque – ARS-Kolloqium 2/3 novembre 1995, Porrentruy (Lausanne 1997) 95–99.
188 Staehelin 1948, 633f.
189 Ettlinger 1952, 32.
190 Wiedemer 1976, 19, Anm. 44.
191 Drack/Fellmann 1988, 556–558.
192 Rychener 1984, 53.
193 J. Rychener, in: Ebnöther et al. 1995, 113f.
194 R. Frei-Stolba, Römische Zeit, in: Geschichte des Kantons Zürich 1995, 78 (Anm. 1); zusammenfassend auch: M.A. Speidel, Die römischen Schreibtafeln von Vindonissa. Veröff. GPV (Brugg 1996) 40; vgl. auch: L. Frascoli, Handwerker- und Kaufmannshaushalte im frühneuzeitlichen Winterthur. Untersuchungen zu vier Liegenschaften in der Altstadt. Monogr. der KA Zürich 29, 1997, 18–21.
195 Rychener 1984, 16f.
196 Rychener 1986, 13.
197 Dazu vgl. etwa: Rentzel 1998, 35ff.; Hecht 1998, 29f. sowie als Beispiel der Mittelalterarchäologie: P. Kamber, Die Latrinen auf dem Areal des Augustinerklosters, Basel-Augustinergasse 2, Grabung 1968. Materialhefte zur Archäologie in Basel, Heft 10 (Basel 1995) insbes. 14ff.

Abb. 43. Hohlandstr. 3. Schematisierte chronologische Darstellung der wichtigsten Ergebnisse.

ZEITSTUFEN	SIEDLUNGS-PERIODEN	PHASEN	POS	BEFUNDE	FUNDE KAT	SPEZIELLE FUNDE	INTERPRETATION
320 -					**186–215**	Kat. **215** (Münze 271–274 n.Chr.)	
					216–235	Kat. **209–214** (Ziegelstempel)	294 n.Chr. Bau der Umfassungsmauer
300 -							
	SIEDLUNGS-PERIODE 3		17	Planie			
280 -			18	Gehhorizont			
			(div.)	Pfostenstellungen		Kat. **185** (Münze 268–270 n.Chr.)	
260 -			220	Grube		Kat. **184** (Münze 166/167 n.Chr.)	
240 -			152	Graben	**175–185**	Kat. **182** (Ziegelstempel 21. Legion)	
220 -		Phase A (Kiesplatz 23) / Phase B / Phase C	27	**Gebäude 2**		Kat. **172** (Münze 231–235 n.Chr.)	
200 -			18–21	Umbauhorizonte	**142–172**	Kat. **170/171** (Ziegelstempel 21. Legion)	Gebäude wird umgebaut
180 -			92	Mörtelmischgrube	**139–141**		
			22	Bauhorizont		Kiesplatz wird überbaut	Neues Gebäude, ab spätem 2. Jh. Änderung in der Bauordnung
160 -	SIEDLUNGS-PERIODE 2		43/55/74	Teuchelleitungen	**128–138**		Brandkatastrophe?
140 -			45/84	Gruben/Grube		Kat. **119–127** Kiesplatz	
			103	**Gebäude 1**			Ausbau der Wasserversorgung A (ab 70 n.Chr.)
120 -			99/106	Grube (Schichtpaket 6, Planie)	**111–118**	Kat. **124/125** (Bz-Objekte, evtl. Tempelinventar)	Um 70 n.Chr. Änderung in der Bauordnung/Steingebäude 1
100 -			99/106	Grube (Schichtpaket 5, Brandhorizont)	**100–110**		
80 -			99/106	Grube (Schichtpaket 4, Gehniveau)	**92–99**		
			99/106	Grube (Schichtpaket 3, Bauniveau)			
60 -	?		99/106	Grube (Schichtpaket 2)	**82–91**		
40 -							
	SIEDLUNGS-PERIODE 1		61	Grube/Weg/Pfostenlöcher			
20 -			99/106	Grube (Schichtpaket 1)	**64–81**		Beginn der Besiedlung auf dem Kirchhügel um Chr. Geburt
0 -			166	Grube	**1–48**		

Zum Inhaltsverzeichnis

tion auf vielleicht 20 Jahre ansetzt und dazu in Relation setzt, dass unmittelbar nach Aufgabe der Gruben die Hölzer der Verschalung herausgerissen wurden, ergibt sich hochgerechnet eine Entstehungszeit für die Grube um die Zeitenwende. Eine anschliessende Nutzung der Grube als Abfalldeponie ist zwar möglich, auf Grund der Fundmenge (hauptsächlich Keramik) in der untersten Auffüllung zeigte sich jedoch, dass man die Grube mit Umgebungsmaterial (Humus und zerbrochenem Geschirr, vielleicht die Überreste einer Taberne) auffüllte. Auch Grube 166 ist nach deren Aufgabe zunächst mit vergleichbarem Material verfüllt worden, im Gegensatz zu Grube 99/106 konnte dort aber keine Holzkonstruktion als Grubenverkleidung nachgewiesen werden.

Neben der Datierung der Gruben, welche in die Zeit um die Zeitenwende weist (siehe unten), ergeben die untersten humosen Auffüllschichten direkte Hinweise darauf, dass neben Pfostenbauten auch unüberbaute Freiflächen o. ä. existierten.

Die beiden frühen Gruben bereichern auch aus anderer Sicht das Wissen über die Bauweise Vitudurums. Sie ergänzen das bislang bekannte augusteisch/tiberische Überbauungsraster, wie es zuletzt C. Schucany zusammenfasste[198]. Diese flankieren wohl beidseitig einen der späteren Strasse vorangegangenen unbefestigten Weg[199]. Dort dürften sie den strassenseitigen Bereich von einfachen Pfostenbauten markieren, bzw. unter einer allfälligen Portikus gelegen sein. Solange jedoch keine weiteren Hinweise über die Bauweise der zu den Gruben gehörenden Gebäude vorliegen, sind übergreifende Aussagen etwa über die frühe urbane Entwicklung auf dem Kirchhügel nicht möglich.

Festzuhalten ist schliesslich, dass die Befunde der Siedlungsperiode 1 nur im Zusammenhang mit den von Bloesch und Isler unter dem Kirchgemeindehaus freigelegten – augusteisch datierten? – Befunden verstanden werden können[200]. Eine abschliessende Auswertung der entsprechenden Ausgrabungsdokumentation ist jedoch nur ansatzweise erfolgt. Immerhin lässt sich heute sagen, dass sich die frührömische Besiedlung nicht nur an den Randpartien des Kirchhügels entlang gezogen hat (wie von Bloesch und Isler vermutet[201]), sondern sich bis ins Zentrum des Kirchhügels erstreckt haben muss (Abb. 17).

Festzuhalten ist somit, dass auch nach der Ausgrabung einer der letzten mehr oder weniger ungestörten Parzelle auf dem Kirchhügel keine klaren Befunde eines frührömischen Postens bekannt geworden sind.

Funde zur Frühzeit

Neben den Befunden sollen hier die Funde aus den untersten Auffüllungen der beiden grösseren der drei frühen Gruben besprochen werden (Gruben 99/106 und Grube 166). Es handelt sich um zwei grössere Fundkomplexe in einer ansonsten eher «fundarmen» Grabung (Kat. **1–48**, **64–81**). Hier interessiert jedoch weniger die Datierung, da sie zum Beginn der Besiedlung auf dem Kirchhügel keine weiterführenden Hinweise beisteuern können (Datierung: 20–30 n. Chr.), als die Zusammensetzung des Gefässspektrums.

Zunächst zur Grube 166: Von 47 klar bestimmbaren Rand- und Bodenfragmenten sind 18 Stück (etwa 40%) Teller und weitere 16 Stück (etwa 35%) Schälchen und Schüsseln, insgesamt also 75% Teller, Schälchen und Schüsseln vorhanden. Ähnlich ist die Situation auch bei Grube 99/106, wo ebenfalls die drei Gefässtypen des Tafelgeschirrs überwiegen, während überhaupt keine Kochkeramik oder Trinkgefässe in die beiden Gruben gelangten. Die Zusammensetzung des Gefässspektrums der beiden Gruben 99/106 und 166 dürfte kein Zufall sein. Am ehesten möchten wir darin die Überreste einer nahe gelegenen Taberne sehen, ohne dass momentan deren Standort zu bestimmen wäre. Eine solche Taberne würde sehr gut zu einem vorwiegend von der Öffentlichkeit genutzten Platz passen (siehe oben).

Auf Grund der Grubenfunde und Befunde an der Hohlandstrasse sowie den oben zitierten Ergebnissen früherer Ausgrabungen kann eine ausgedehnte Besiedlung auf dem Kirchhügel in den Jahrzehnten vor Christi Geburt (in Form eines Militärpostens um 15 v. Chr.) mit grosser Wahrscheinlichkeit ausgeschlossen werden. Denkbar ist jedoch eine nur zeitweise benutzte kleine Anlage, von der sich keine archäologisch fassbaren Spuren im Boden erhalten haben. In diesem Zusammenhang ist weiterhin im Auge zu behalten, dass ein augusteischer Posten auch auf dem Lindberg, dem markanten Hügelsporn oberhalb Vitudurums, gelegen haben könnte. Dort wird u. a. auch ein keltisches Oppidum vermutet. Entsprechende klare Funde und Befunde fehlen aber sowohl für das Oppidum als auch für den Militärposten.

2.4.2 Der Kirchhügel von 70–294 n. Chr.

Zunächst muss auf eine Befundlücke zwischen 30 bis etwa 70 n. Chr. hingewiesen werden. Diesem Zeitabschnitt können einzig einige Funde aus Grube 99/106 (Schichtpaket 2, Kat. **82–91**) zugewiesen werden. Bei dieser Befundlücke ist eher an ein Erhaltungsproblem entsprechender Schichten und Funde, als an einen echten Siedlungsunterbruch zu denken.

Zunächst kann *Siedlungsperiode 2* in drei Phasen unterteilt werden (Phasen A–C, Kap. 2.3.2).

Neben einer Rollierung aus feinem Kies und drei Teuchelleitungen (Phase A), ist insbesondere auf eine vollständige Siedlungsabfolge in Form einer Planie, eines Gehhorizontes und einer Ziegelversturzschicht (Phase C) hinzuweisen.

Bei der Rollierung handelte es sich um die Fortsetzung einer von J. Rychener im Kirchhof als Strasse definierten Struktur[202]. Die Grabungen an der Hohlandstrasse zeigten jedoch, dass es sich hier nicht primär um eine Strasse mit Fahrbahn, sondern eher um einen erweiterten – wohl öffentlichen – Platz gehandelt hat, wobei direkte Verbindungen anzunehmen sind.

Neben den Hinweisen für diesen Platz verdienen die Reste dreier hölzerner Teuchelleitungen eine spezielle Erwähnung. Die Verlaufrichtung eines Teuchels und dessen Fortsetzung in südlicher Richtung können zunächst einer sehr unsicheren Interpretation eines Steingebäudes unter der heutigen Kirche St. Arbogast als Badehaus zu einer unerwarteten Bestätigung verhelfen[203]. So möchten wir die Teuchelleitung als Frischwasserzuleitung zu diesem Bad ansprechen. Mit den Teuchelleitungen fassen wir Elemente der Wasserversorgung in Oberwinterthur in einer Zeit (nach 70 n. Chr.), für die es bislang keine Belege gab[204].

---

198 Schucany 1996a, 218f.
199 Rychener 1984, 24.
200 Bloesch/Isler 1952, 11, 30f.
201 Bloesch/Isler 1952, 11; siehe auch Drack/Fellmann 1988, 556–558.
202 Rychener 1984; vgl. auch Bloesch/Isler 1952, 14 und 29f.
203 Rychener 1984, 28–32; vgl. dazu in diesem Band Kap. II.3.4.2
204 Th. Pauli-Gabi/Chr. Ebnöther et al. (Vitudurum 6, in Vorb.).

An Baubefunden der Siedlungsperiode 2 ist der Nachweis zweier – jedoch nicht zeitgleicher – Steingebäude zu erwähnen (Gebäude 1 und 2, Kap. 2.2.2). Obwohl zugehörige Mauern nur auf einer kleinen Strecke verfolgt und keine gesicherten Interpretationen der Gebäude vorgenommen werden können, ergeben sie einen interessanten Einblick in die urbanistische Entwicklung auf dem Kirchhügel. Mit dem Bau von *Gebäude 1* (nach 70 n. Chr.) geht eine Änderung in der Bauordnung einher, indem die beiden grossen Gruben 166 und 99/106 der Siedlungsperiode 1 überbaut werden. Trotz einer direkten Verbindung mit von Bloesch und Isler in den Jahren 1949–1951 freigelegten Mauern eines grösseren Baus, herrscht bezüglich der Interpretation von Gebäude 1 weitgehend Unklarheit. Die Grösse und die Tatsache, dass es sich um einen Steinbau handelte, dürfte am ehesten für einen öffentlichen Bau – vielleicht mit Forumsfunktion[205] – sprechen. Mit dem gleichzeitigen Anlegen eines ausgedehnten Platzes haben wir weitere Hinweise auf den öffentlichen Charakter des Kirchhügels zumindest ab der 2. Hälfte des 1. Jh. Zusätzlich ist in diesem Zusammenhang zu erwähnen, dass vom Kirchhügel bislang keine Herdstellen o. ä. in den Gebäuden bekannt sind und dass es auch keine Belege für Handwerk gibt – sofern es überhaupt archäologisch fassbar ist. Diese Feststellungen passen ins Bild eines vorwiegend von der Öffentlichkeit genutzten Kirchhügels mit Tempel[206], Bad?[207] und Forum? (siehe unten).

Gewisse übergreifende Aussagen sind auch für *Gebäude 2* möglich: Mangels genügend Funden ist zwar eine genaue Datierung nicht zu ermitteln, doch ergibt die relative Abfolge Teuchelleitung 55 (Kat. **128–133**) und MR 27 (Gebäude 2) eine Bauzeit im späteren 2. Jh. Mit Gebäude 2 fassen wir einen grösseren Steinbau in einer Zeit, in der bislang keine neu erstellten Steinbauten auf dem Kirchhügel bekannt waren. Zudem ist durch das zumindest partielle Überbauen des freien Platzes eine weitere Änderung der Bauordnung bezeugt (Kap. 2.2.2). Auf dem Kirchhügel von Oberwinterthur ist also ab dem späteren 2. Jh. mit (umfangreichen?) urbanistischen Veränderungen zu rechnen, ohne dass diese Beobachtungen vorläufig in einen weiteren Rahmen gestellt werden können.

Unter den Funden der Siedlungsperiode 2 sind zwei interessante Bronzeobjekte aus den Schichten der Phase A zu erwähnen. Zum einen handelt es sich um das Fragment einer Bronzehand mit einem kleinen Gefäss zwischen Zeigefinger und Daumen (Abb. 37), zum anderen um eine ebenfalls fragmentarisch erhaltene rundplastisch gearbeitete Bronzeschlange (Abb. 40). Beide Objekte konnten nur unweit der Umfassungsmauer des Tempels geborgen werden und weisen mit ihrer Ikonographie auf einen religiösen Zusammenhang. Möglicherweise handelt es sich bei den beiden Stücken um Teile des Tempelinventars (Kap. 2.3.2).

Die Phasen A und B der *Siedlungsperiode 2* können zeitlich nicht gut eingebunden werden. Es zeigte sich, dass sie von flavischer Zeit bis mindestens ins späte 2. Jh. dauerten (Kap. 2.3.2). Die beiden Phasen A und B der Siedlungsperiode 2 können mit den von J. Rychener definierten Kirchhügel-Perioden C (70–110 n. Chr.) und D (110–170 n. Chr.) korreliert werden. Eine nach Erscheinen der Kirchhügel-Monographie durchgeführte kritische Beurteilung der Funde durch A.-R Furger zeigt, dass auch Rycheners Kirchhügel-Perioden C und D bis weit ins 2. Jh. gedauert haben müssen[208], was durch die Fund- und Befundauswertung der Hohlandstr. 3 nun bestätigt werden kann. Im Gegensatz zu Phasen A und B ist Phase C der Siedlungsperiode 2 besser datiert (Kap. 2.3.2). Die Funde decken den Zeitraum des späten 2. und des frühen 3. Jh. ab. Hier liegt eine vollständige Siedlungsabfolge in einem Zeitabschnitt vor, für den es bislang keine archäologischen Belege mit Funden und Befunden gab[209]. Wir haben somit Hinweise für eine – bislang nur vermutete – mindestens bis in die 1. Hälfte des 3. Jh. weiterreichende Besiedlung des Kirchhügels.

Eine weitere Siedlungsabfolge *(Siedlungsperiode 3)* zeigt ferner, dass der Kirchhügel bis zum Bau der Umfassungsmauer am Ende des 3. Jh. besiedelt war, obwohl die Funde grob nur ins 3. Jh. weisen (Kap. 2.3.3).

Interessant ist in diesem Zusammenhang das Münzspektrum der Hohlandstrasse. Insgesamt kamen vier Münzen zum Vorschein. Neben zwei Münzen, die der Siedlungsperiode 3 zuzurechnen sind, handelt es sich um zwei weitere Münzen (Kat. **172, 215**) des 3. Jh. Während für Siedlungsperiode 2 ein Denar des Severus Alexander (Kat. **172**) den Zeitraum ab 231 n. Chr. abdeckt, muss die Siedlungsperiode 3 – mit dem Antoninian des Claudius II Gothicus (Kat. **185**, TP. von 268 n. Chr.) – bis ins späte 3. Jh. gedauert haben. Aus neuzeitlich durchmischten Schichten stammt ferner ein Antoninian des Tetricus I (Kat. **215**), welcher in die Zeit von 271–274 datiert und für den eine Umlaufdauer wie für die Münze des Claudius II angenommen werden kann.

Ähnlich, was das Fehlen von klaren Befunden betrifft, die eine Kontinuität zwischen Vicus und spätrömischem Kastell belegen, ist die Situation beispielsweise in Solothurn[210] und Olten[211], wo ebenfalls, u. a. auf Grund der Münzreihen, eine Siedlungskontinuität wahrscheinlich ist.

2.4.3 Der Kirchhügel in spätrömischer Zeit

Zunächst gilt es festzuhalten, dass weder gesicherte Spuren von Innenbauten zur um 294 n. Chr. errichteten Umfassungsmauer noch geschlossene spätrömische Fundkomplexe vorgelegt werden können. Es sind auch keine weiteren Stücke der Kastellmauer gefasst worden. Erwähnenswert ist jedoch, dass sich unter einigen ehemals eingetieften und z. T. nur unsicher einzubindenden Befunden (Siedlungsperiode 3, Kap. 2.2.3) auch Strukturen des 4. Jh. verbergen könnten. In diesem Zusammenhang ist darauf hinzuweisen, dass das Gros allfälliger Schichten und Strukturen dieses Zeitabschnittes so oder so späteren Kappungen auf dem Kirchhügel zum Opfer gefallen wäre (vgl. oben).

Nicht nur auf dem Oberwinterthurer Kirchhügel, sondern auch andernorts sind die Innenbauten von Befestigungmauern des 4. Jh. oft erst lückenhaft bekannt. In Zurzach-Kirchlibuck etwa konnten in den Jahren 1986/87 mit zwei längeren Sondierschnitten innerhalb der Umfassungsmauer neben zwei Gehhorizonten und verschiedenen Pfostenstellungen eine Kanalheizung des 4. Jh. freigelegt werden[212], ohne jedoch die Bauweise des zugehörigen Gebäudes verstehen zu können. Neben Zurzach sind auch in Pfyn[213] und Kloten[214] Befunde von Bauten bekannt, die unmittelbar an den Umfassungsmauern lagen.

Besser bekannt ist die Befundsituation in Augusta Raurica. Bei Ausgrabungen im Bereich des Kastells auf Kastelen (erbaut um 270/280 n. Chr.) konnten Belege für eine mehr oder weniger improvisierte Instandstellung halb zerfallener Räume aus der vorkastellzeitlichen Überbauung gefunden werden[215]. Auch in einem weiteren Punkt haben die Anlagen von Oberwinterthur und Augst-Kastelen Gemeinsamkeiten. So richtet sich an beiden Orten der Verlauf der Umfassungsmauer weitgehend nach den topographischen

Verhältnissen eines bereits von Natur aus gut geschützten Plateaus.

Neben spätrömischen Befunden fehlen auf dem Kirchhügel aber auch fundführende Schichten oder zumindest datierbare Fundkomplexe. Wenige spätrömische Funde liegen einzig aus neuzeitlich durchmischten Humusschichten vor. Diese weisen grob in den Zeitraum des 4. und 5. Jh., wobei das eine oder andere Stück u. U. noch später anzusetzen ist. Das Phänomen, dass aus kaiserzeitlichen Siedlungen mit Kontinuität zumindest bis ins Frühmittelalter entsprechende Funde vorwiegend aus neuzeitlich durchmischten Schichten vorliegen, steht ebenfalls nicht isoliert da. Vergleichbar ist die Situation auch in Augst/Kaiseraugst[216], Stein am Rhein[217] oder Zurzach[218].

Trotz relativ schlechter Ausgangslage lässt sich – ausgehend von den Funden und Befunden an der Hohlandstrasse und vergleichbaren Stationen – ein Bild des ummauerten spätrömischen Kirchhügels, bzw. der Siedlung Oberwinterthur in Form einer Arbeithypothese wie folgt entwerfen resp. ergänzen[219]: Einfache Holzbauten – etwa in den ruinösen vicuszeitlichen Steingebäuden – sind denkbar, während für bewegliche Bauten (Zelte o. ä.) Belege wie Häringe oder andere eiserne Bestandteile fehlen. Zumindest Teile der Innenfläche zur Umfassungsmauer des 4. Jh. müssen unbebaut gewesen sein. Ferner ist darauf hinzuweisen, dass das Ende des vicuszeitlichen Tempels bislang archäologisch nicht umschrieben werden kann. Eine Kontinuität – in welcher Form auch immer – zumindest bis in die spätrömische Zeit ist anzunehmen. Es dürfte auch kein Zufall sein, dass die spätere mittelalterliche Kirche auf einem bereits in römischer Zeit genutzten sakralen Bezirk steht.

Neben den Befunden lassen sich auch aus den Funden gewisse übergreifende Aussagen machen: Das bislang auch in neuzeitlich durchmischten Schichten nur spärlich aufgetauchte Fundmaterial des 4./5. Jh. spricht zudem für eine nur zeitweise begangene befestigte Anlage, vielleicht als einfache Fluchtburg der Restbevölkerung. Möglicherweise wurde sie nur im Zustand von äusserer Gefahr aufgesucht[220]. Siedlungskontinuität bis ins frühe 5. Jh. scheint auch auf Grund isolierter Funde nachgewiesen: Grabfunde des 4. und frühen 5. Jh. im Osten des Vicus zeigen, dass die Siedlung Vitudurum in dieser Zeit in einem gewissen Masse verkleinert wurde[221]. Die Funde weisen die Bestatteten z. T. als Germanen aus, womit wir vage Hinweise haben, dass (vielleicht auf dem befestigten Kirchhügel?) zumindest einzelne Germanen mit ihren Familien lebten[222].

Das spätrömische Erscheinungsbild Vitudurums mit befestigtem Kirchhügelplateau und verkleinerter Siedlung steht nicht isoliert da. Vergleichbare spätrömische Befestigungsanlagen aus dem 4. Jh. gibt es – wie gesagt – in Augst/Kaiseraugst[223], Windisch[224], Stein am Rhein[225], Solothurn[226], Olten[227], Arbon[228], Pfyn[229] oder Zurzach[230], um nur einige zu nennen. Alle diese Bauten können im Zusammenhang mit Massnahmen gesehen werden, womit einerseits versucht wurde, wichtige Verkehrswege und Flussübergänge entlang der Grenze (Augst/Kaiseraugst, Zurzach, Stein am Rhein oder Arbon) zu sichern oder mittels Binnenbefestigungen «Nachschubbasen?» (Solothurn, Olten, Windisch, Oberwinterthur oder Pfyn) die Versorgung der Truppen sicherzustellen[231].

2.5 Zusammenfassung – Résumé – Riassunto – Summary

Die Ausgrabung an der Hohlandstrasse 3 wurde durch ein Bauprojekt ausgelöst. Bedingt durch die Lage der Parzelle innerhalb der spätrömischen Befestigungsmauer auf dem Kirchhügel in Oberwinterthur waren neben umfassungsmauerzeitlichen auch Ergebnisse zur bislang recht unklaren Frühzeit des römischen Vicus zu erwarten.

Im Anschluss an die Feldarbeit konnte eine Auswertung der Funde und Befunde durchgeführt werden. Zunächst

---

205 A. Zürcher, Der römische Vicus Vitudurum, in: Geschichte des Kantons Zürich, Bd. 1, 1995, 97.
206 Rychener 1984, 25–28.
207 Vgl. dazu in diesem Band die Kap. 3.1.3 und 3.2.3 von J. Rychener.
208 Furger/Deschler-Erb 1992, 120f.;126.
209 Rychener 1984, 17.
210 Spycher/Schucany 1997, 155.
211 Schucany 1996b, 75f. mit weiterführender Literatur auch zu anderen Fundorten.
212 Pedrucci 1996, 3 ff.
213 Bürgi 1983, 152–154; Bürgi/Stefani et al. (in Vorb.).
214 B. Hedinger, Der römische Burgus von Kloten, in: Bridger/Gilles 1998, 113–118.
215 P.-A. Schwarz, Die Nordmauer und die Überreste der Innenbebauung der spätrömischen Befestigung auf Kastelen in Augusta Rauricorum. Vorbericht der Grabung 1991.51. JbAK 13 (Liestal 1992) 65; P.-A. Schwarz, Die spätrömische Befestigungsanlagen in Augusta Raurica – Ein Überblick, in: Bridger/Gilles 1998, 105–107; zu einem ähnlichen – jedoch frühmittelalterlichen – Befund sei auf die villa rustica bei Wurmlingen (D) hingewiesen. Dort konnte ein von germanischen Neusiedlern im verlassenen Gebäude errichteter Pfostenbau nachgewiesen werden, der u.a. die römischen Wände nutzte (F. Reutti, Germanische Siedler des 3. und 4. Jahrhunderts in römischen Ruineen: Ausgrabungen des Bade- sowie Wirtschaftsgebäudes der villa rustica von Wurmlingen, Kreis Tuttlingen. ArchAusgrBW 1995 (1996) 204–208; G. Fingerlin, Siedlungen und Siedlungstypen. Südwestdeutschland in frühalamannischer Zeit, in: Die Alamannen (Stuttgart 1997) 131).
216 Marti 1996, 149f.
217 Höhneisen 1993, 96–105 und 338–381.
218 Pedrucci 1996, 3ff.; vgl. auch: H. J. Brem, Bemerkungen zu den römischen Münzfunden aus Zurzach, JbGPV 1995 (Brugg 1996), 25ff.
219 Vgl. etwa: P.-A. Schwarz, Zur Spätzeit von Augusta Raurica, in: E. Schallmayer (Hrsg.) Niederbieber, Postumus und der Limesfall. Stationen eines politischen Prozesses. Bericht des ersten Saalburgkolloquiums (Bad Homburg v.d.H. 1996) 60ff.; M. Peter, Augusta Raurica I: 1949–1972. Inventaire des trouvailles monétaires suisses 3 (Lausanne 1996) 27 (Anm. 38).
220 Vgl. etwa J. Rychener, Die Befestigung («Kastell») von Oberwinterthur, in: Ebnöther et al. 1995, 126–128.
221 Windler 1995, 181–185.
222 R. Windler, Land und Leute – Zur Geschichte der Besiedlung und Bevölkerung, in: A. Furger, C. Jäggi, M. Martin und R. Windler, Die Schweiz zwischen Antike und Mittelalter. Archäologie und Geschichte des 4. bis 9. Jahrhunderts (Zürich 1996) 151.
223 Marti 2000, 266–271.
224 M. Hartmann, Castrum Vindonissense. Neues zum spätantiken Kastell von Vindonissa, AS 3, 1980, 23–28; Hartmann 1986, 117–129.
225 Höhneisen 1993, 74–115.
226 Spycher/Schucany 1997, 145ff.
227 Schucany 1996b, 69–77.
228 Brem/Bürgi/Roth-Rubi 1992.
229 Bürgi 1983, 152–154: Bürgi/Stefani (in Vorb.).
230 D. Pedrucci 1996, 3 ff.; siehe auch Hänggi et al. 1994, 11 (Anm. 1).
231 Vgl. etwa: L. Borhy, Non castra sed horrea … Zur Bestimmung einer der Funktionen spätrömischer Binnenbefestigungen. Bayerische Vorgeschichtsblätter 61, 1996, 207–224.

gelang es, die Befunde in drei Siedlungsperioden zu unterteilen (Siedlungsperioden 1–3) und diese mit Hilfe der Funde in die Zeit um Christi Geburt bis ins mittlere 4. Jh. zu datieren. Im Speziellen zeigte sich, dass mit einer umfassenden Besiedlung auf dem Kirchhügel nicht schon um 15 v. Chr. gerechnet werden kann und somit ein augusteischer Militärposten – wie er von der älteren Forschung immer wieder diskutiert worden ist – eher unwahrscheinlich ist. Zudem gelang es, eine bislang – nicht gefasste – durchgehende Besiedlung des Kirchhügels bis zum Bau der Umfassungsmauer zu belegen. Überdies zeigte sich, dass nach der Untersuchung einer der letzten Freiflächen auf dem Kirchhügel einige – jedoch nur sehr schlecht datierbare – Befunde möglicherweise umfassungsmauerzeitlich sein könnten. Solche fehlten bislang vollständig. In diesem Zusammenhang sind einige – jedoch unstratifizierte – spätrömische Funde aus neuzeitlich durchmischten Schichten zu erwähnen.

Unter den vicuszeitlichen Befunden (70–294 n. Chr.) sind erwähnenswert: ein ausgedehnter, wohl öffentlicher Platz (aus Kies) und damit zusammenhängend eine spätere Änderung in der Bauordnung, indem dieser Platz zumindest zum Teil überbaut wurde. Bislang ist an dieser Stelle eine Querstrasse vermutet worden. Ferner konnten die Überreste einer hölzernen Teuchelleitung – evtl. die Frischwasserzuleitung zum Bad – gefasst werden, welche um 70 n. Chr. zu datieren ist. Damit gelang es, Elemente der Wasserversorgung aus einer Zeit zu dokumentieren, für die es bislang keine Belege gab.

Neben den Befunden sind auch interessante Funde zu Tage getreten. An dieser Stelle sei nur auf zwei Bronzeobjekte verwiesen – wohl ein Teil des Tempelinventars. Es handelt sich um das Fragment einer Hand, die zwischen Zeigefinger und Daumen eine kleine Kugel mit Becherchen hält. Dabei dürfte es sich um eine Votivhand des Iupiter Dolichenus handeln. Beim zweiten Objekt – dem Kopf einer Schlange, welche in ein Ei beisst – könnte es sich möglicherweise um einen Caduceus des Merkurs handeln.

Résumé

C'est un projet de construction qui est à l'origine des fouilles entreprises à la Hohlandstrasse 3: la parcelle se trouve à l'intérieur des murs du Bas Empire, sur la colline de l'église d'Oberwinterthur. Cette situation permettait d'espérer la découverte de nouveaux éléments sur les origines du vicus romain, jusqu'alors méconnues, et bien évidemment des précisions sur la chronologie du rempart.

L'élaboration des données acquises sur le terrain a permis d'attribuer les structures mises au jour à trois phases d'occupation distinctes (phases 1 à 3) qui, comme l'indique le mobilier, s'insèrent dans une fourchette chronologique allant de la naissance du Christ au milieu du 4e siècle. Alors que, par le passé, on a souvent voulu voir un poste militaire d'époque augustéenne à cet emplacement, nous sommes à présent en mesure de postuler une occupation s'étendant sur la colline de l'église dès environ 15 av. J.-C. Ces travaux ont en outre apporté un élément entièrement nouveau: la colline de l'église fut occupée sans discontinuer jusqu'à l'époque de la construction du mur d'enceinte. Par ailleurs, on a décelé la présence de quelques structures peut-être contemporaines du rempart – leur âge est très difficile à établir – sur l'une des rares surfaces encore vierges de la colline. On mentionnera quelques objets du Bas Empire découverts hors contexte stratigraphique dans des couches remaniées à l'époque moderne.

Parmi les structures contemporaines du vicus (70 à 294 ap. J.-C.), on évoquera une place aux dimensions imposantes, à fonction vraisemblablement officielle et recouverte de gravillon. Des édifices y furent construits ultérieurement, modifiant l'ordonnance globale du vicus, alors que l'on croyait jusqu'alors avoir à faire à une rue perpendiculaire. En outre, on a pu identifier les restes d'une conduite en bois qui servait peut-être à amener l'eau courante jusqu'aux établissements de bains. Elle date de 70 ap. J.-C. et illustre le fonctionnement de l'approvisionnement en eau à une époque pour laquelle nous ne connaissions jusqu'alors aucun témoignage de ce type.

Le mobilier découvert est lui aussi digne d'intérêt: nous ne mentionnerons ici que deux objets, issus probablement de l'inventaire d'un temple: le fragment d'une main tenant, entre le pouce et l'index, une petite sphère surmontée d'un gobelet (il pourrait s'agir d'une main votive de Iupiter Dolicenus), et une tête de serpent s'apprêtant à gober un œuf –, on pourrait songer à un caducée de Mercure.

Traduction Catherine Leuzinger-Piccand

Riassunto

Un progetto edilizio fu all'origine dello scavo archeologico in località Hohlandstrasse 3. Il lotto si trova all'interno delle mura di fortificazione del tardo impero, nell'area *Kirchhügel* d'Oberwinterthur. Data la sua posizione, si sperava d'ottenere dallo scavo nuovi dati non solo sull'occupazione tardoromana ma anche sul periodo, per ora non completamente chiarito, della fondazione del vicus.

Lo studio dei rinvenimenti, seguito all'indagine sul terreno, ha evidenziato tre fasi d'insediamento (Siedlungsperioden 1–3), datate in base ai reperti ad un lasso di tempo compreso tra l'inizio della nostra era e la metà del IV sec. d. C. Contrariamente a quanto postulato da ricercatori del passato, si è potuto dimostrare che attorno al 15 a. C. non vi era ancora traccia di un insediamento esteso a tutto il pianoro. L'ipotesi che in questo luogo vi fosse una postazione militare d'epoca augustea sembra dunque poco probabile.

Per la prima volta è documentata, proprio in questo lotto – una delle ultime superfici ancora libere della zona *Kirchhügel* –, un'occupazione continua, fino alla costruzione del muro di fortificazione del 294 d.C. A questo periodo ci sembra plausibile attribuire, sebbene con qualche incertezza, una parte delle strutture emerse dallo scavo. Ad eccezione delle mura stesse, esse costituiscono gli unici indizi d'occupazione tarda finora scoperti. Vanno menzionati inoltre alcuni reperti sporadici d'epoca tardoromana, provenienti da strati di ripiena, frammisti ad oggetti più recenti.

Tra le vestigia relative al periodo d'occupazione del vicus, tra il 70 e il 294 d.C., citiamo una piazza pubblica di considerevole estensione. In un secondo tempo, in seguito ad una modifica del piano edilizio, sorsero sulla superficie in ghiaia della piazza due nuovi edifici. Finora i ricercatori consideravano questa struttura una strada laterale del vicus. Vanno inoltre annoverati i resti di una canalizzazione di tubi di legno, datata attorno al 70 d.C., forse una delle condutture che rifornivano d'acqua fresca i vicini impianti termali. Il rinvenimento è di un certo interesse poiché finora non erano mai stati documentati elementi di canalizzazione di questo periodo.

Oltre alle strutture d'insediamento, rivestono un grande interesse anche i singoli reperti. E' il caso in particolare di due oggetti di bronzo, considerati elementi del corredo di un tempio: un frammento di mano che stringe una bacca tra pollice ed indice, interpretati come una mano votiva di Giove *dolichenus*, e la testa di un serpente che morde un

uovo, probabilmente parte di un caduceo di Mercurio.
Traduzione Rosanna Janke

Summary
The excavation at Hohlandstrasse 3 was carried out as a result of a planned building project. Because of the location of the parcel within the Late Roman fortification wall on the *Kirchhügel* in Oberwinterthur, we expected to obtain information on the period of the wall as well as on the rather uncertain early vicus period.

The finds and structures were analysed after the field work was finished. First of all it was possible to divide the structures into three settlement periods (settlement periods 1–3) and to date these by means of the finds to the period between the birth of Christ and the mid 4th century. In particular, it became evident that one cannot count on an extensive settlement on the *Kirchhügel* before 15 BC. Therefore, an Augustan military post – discussed repeatedly in the earlier research – seems rather improbable. In addition it was possible to prove a continuous settlement on the *Kirchhügel* up to the time the fortification was built, which had not been the case prior to the excavation. Furthermore, by examining one of the last vacant areas on the *Kirchhügel* it could be shown that some structures might be dated – though not easily – to the period of the fortification wall. These had been missing up to now. Some Late Roman finds – though unstratified – from layers mixed with modern material should be seen in this context.

The following structures dating to the vicus period (70–294 AD) are worth mentioning: an extensive gravelled square (probably public) and in connection with it a later change in building order when this square was at least partially built over. Up to now a crossroads had been assumed to exist at this spot. Additionally the remains of a wooden drain – possibly the fresh water supply for the bathhouse – were found, which date around 70 AD. Thus it was possible to document elements of water supply from a period that had not yet provided such evidence.

Besides structures, interesting artefacts also came to light. Of these, only two bronze objects shall be mentioned here – probably part of a temple inventory. One is a fragment of a hand holding a small ball with a little cup between thumb and index finger. This is probably a votive hand of Iupiter Dolichenus. The second item – the head of a snake biting into an egg – might be a Caduceus of Mercury.
Translation Sandy Hämmerle

3 ST. ARBOGAST-STÜTZMAUER OST
(Ausgrabung 1988) *(Jürg Rychener)*

3.1 Einleitung und Überblick

3.1.1 Lage der Ausgrabung[232]

Das Ausgrabungsareal liegt unmittelbar an der Ostseite der reformierten Kirche St. Arbogast (siehe den Plan im Vorsatz). Es erstreckt sich als lang-schmale Fläche entlang der östlichen Kante des Kirchhügels, die seit dem Mittelalter durch eine Stützmauer besonders akzentuiert wird. Unterhalb der Stützmauer fällt das Gelände relativ steil gegen die Eulachebene ab. Die topographische Gestalt des Kirchhügels ist an dieser Stelle besonders stark durch Baueingriffe überprägt: zunächst durch den Bau der Ummauerung von 294, dann durch Stützmauern aus Mittelalter und Neuzeit. Zu Beginn der römischen Besiedlung dürfte die Hügelkante an der Ostseite weniger markant gewesen sein als heute, allerdings dennoch wesentlich ausgeprägter als an der Westseite.

Die Ausgrabung schliesst mit ihren Befunden an die diversen Untersuchungen auf dem südlichen Teil des Kirchhügels an (im Innern der Kirche und im sogenannten Kirchhof nördlich der Kirche); Anknüpfungspunkte ergeben sich auch zu den 1949/51 östlich und südlich der Kirche in Sondierschnitten freigelegten Mauerresten[233].

Auf Grund der Befunde in den erwähnten Flächen war im zu untersuchenden Areal mit Bauresten aus der gesamten römischen Epoche, aus dem Mittelalter und der Neuzeit zu rechnen.

3.1.2 Umstände der Ausgrabung

Anlass der Ausgrabung war die notwendige Sanierung der bestehenden Stützmauer, die seit längerem durch eine Holzspriessung abgestützt war (Abb. 44). Die als mittelalterlich angesprochene und im Ortsbild wichtige Mauer sollte umfänglich erneuert und mit einer Winkelstützmauer hinterfangen werden, in ihrer Substanz aber erhalten bleiben. Dafür waren bergseits (an der Westseite) tief reichende Aushubarbeiten unumgänglich. Da mit Sicherheit bedeutsame archäologische Strukturen zu erwarten waren, musste der Aushub als archäologische Untersuchung angelegt werden.

Als die Ausgrabungen erwiesen, dass die bestehende, rund 4,5 m hohe Stützmauer nicht aus dem Mittelalter stammte, sondern der frühen Neuzeit zuzurechnen war, erteilte die Kantonale Denkmalpflege den Auftrag, die Mauer vollständig abzutragen und in moderner Form, äusserlich an das gewohnte Bild angepasst, neu aufzubauen. Dadurch entfiel die geplante Hinterfangung, die angesichts der zu erhaltenden massiven Baureste aus römischer Zeit ohnehin nicht in der geplanten Form hätte verwirklicht werden können[234]. So konnte auch die Fläche für die archäologische Untersuchung ausgedehnt und die Untersuchung mehr in die Tiefe geführt werden.

Die Ostkante der Ausgrabungsfläche ist durch den Verlauf des Fundamentgrabens der (neuen) Stützmauer bestimmt, die Westkante durch das Einhalten eines gebührenden Abstandes (ungefähr 3 m) zur Ostseite der Kirche (Abb. 45). Die zur Verfügung stehenden Mittel erlaubten es leider nicht, die Fläche über das für den Neubau der Stützmauer notwendige Ausmass zu vergrössern. Nord- und Südgrenze waren durch die Länge des zu sanierenden Mauerteils bestimmt.

Die archäologische Untersuchung dauerte vom 29.2.–21.4.1988 (mit baubedingten Unterbrüchen). Untersucht wurde eine Fläche von insgesamt 90 m^2, davon allerdings nur ein Bruchteil in die Tiefe[235]. Die angetroffenen Strukturen und die Konzeptänderung führten übrigens zu einer Verlängerung der Untersuchungszeit von vier auf neun Wochen.

3.1.3 Aussagekraft

Die im untersuchten Areal angetroffenen Befunde fügen sich gut in das bisher bekannte Bild der römerzeitlichen Besiedlung des Kirchhügels ein. Sowohl zu den vermuteten Vicusthermen als auch zur Ummauerung von 294 liessen sich neue Erkenntnisse gewinnen; im Falle des Badegebäu-



Abb. 44. Ansicht der bestehenden Stützmauer an der Ostseite der Kirche St. Arbogast (hinten) mit Bauschäden und Spriessungen (rechts hinten). Ganz rechts hinten angeschnitten das sog. Bruderhaus, vorn der Fussweg von der Frauenfelderstrasse zum Kirchhügel. Von Osten.

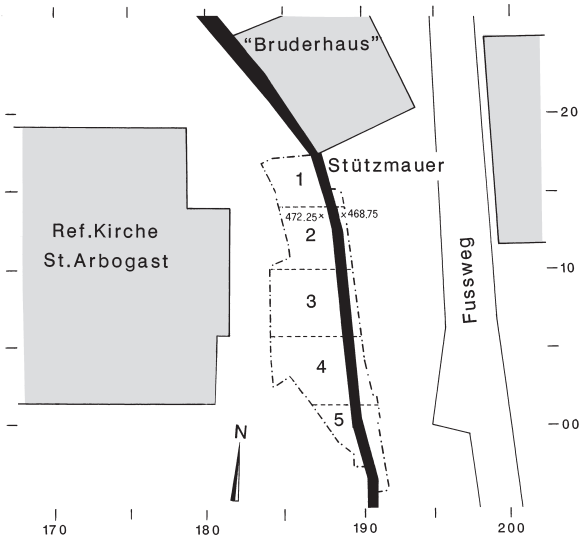


Abb. 45. Stützmauer St. Arbogast. Grabungsfläche mit Feldnummern, Messnetz, Verlauf der Stützmauer und bestehender Überbauung. M. 1:500.

des (Bau III[236]) bleiben allerdings wesentliche Fragen offen, solange die Fläche südlich der Kirche nicht erforscht ist.

Das geborgene Fundmaterial ist von geringem Umfang. Was davon stratifiziert ist, stammt fast ausschliesslich aus Schichten des Badegebäudes. Da diese infolge der geringen Flächenausdehnung und der weit gehend fehlenden Verbindung zum Aufgehenden nicht genauer gedeutet werden können, ist die Aussagekraft der Funde gering – sie geht nicht über das hinaus, was an Erkenntnissen zu den Vicusthermen 1984 publiziert worden ist. Auf eine katalogmässige Vorlage kann deswegen verzichtet werden.

3.1.4 Übersicht

Die Ausgrabung führte zur Freilegung von Resten einer mittelalterlichen Stützmauer, die an der SW-Ecke des «Bruderhauses» anschliesst und etwas weiter westlich verlief als die neuzeitliche Stützmauer[237]. Die Existenz zweier sukzessiver Mauern an dieser Stelle war vorher nicht bekannt – die bis 1988 bestehende wurde immer als «mittelalterlich» bezeichnet[238].

Bedeutendster Befund aus römischer Zeit ist der 15 m lange Teil der Ummauerung von 294 mit dem bisher nicht bekannten (zweiten) Halbrundturm. Die Mauer nimmt den grössten Teil der Grabungsfläche ein. Da sie erhalten werden sollte, konnten tiefer liegende Befunde nur in den Flächen neben der Mauer untersucht werden. Dabei kam ein zum Badegebäude gehöriges Mauergeviert zu Tage, das bei der Errichtung der Ummauerung abgetragen worden ist. Es handelt sich um einen Anbau, der zur letzten oder vorletzten Bauphase der Thermen gehört.

Die Vorlage der Ergebnisse erfolgt in drei Teilen: zunächst werden die Befunde so, wie sie angetroffen wurden, beschrieben und die in der Fläche erkennbare Abfolge vorgestellt, ferner wird das Fundmaterial kurz gewürdigt. In einem weiteren Kapitel werden neue Überlegungen zum Aussehen und zur Baugeschichte der Vicusthermen vorgelegt, die sich (unter anderem) aus den 1988 gefundenen Bauresten ergeben. Daran schliesst sich eine Diskussion der Befunde zur Ummauerung von 294 an.

3.2 Befunde und Funde

3.2.1 Befunde aus nachrömischer Zeit

Unmittelbar unter dem Humus kamen etliche Gräber (zumeist Kindergräber) zum Vorschein. Da sie aus dem 20. Jh. stammen (das Areal wurde bis 1932 als Friedhof genutzt), wurde auf eingehende Untersuchungen verzichtet. Bei etlichen Grablegungen ist übrigens die erhaltene Mauerkrone der Ummauerung von 294 tangiert worden.

Unmittelbar unter dem Horizont der «Friedhoferde» folgte die erhaltene Oberkante der Ummauerung von 294[239]. Wie erwähnt fanden sich, anschliessend an die SW-Ecke des «Bruderhauses», Baureste der ersten, tatsächlich als mittelalterlich zu datierende Stützmauer; die sich dadurch als neuzeitlich erweisende bestehende Stützmauer war ihr vorgeblendet. Beide Mauern waren im Südteil übereinander und auf die Abbruchkrone der spätrömischen Ummauerung gesetzt. Diese war ab der Stelle, wo sich die Mauerfluchten in flachem Winkel schneiden, an der Aussenseite auf die Mauerflucht der Stützmauern zurückgeschlagen, oder anders gesagt: die Ummauerung bildet in der Fortsetzung den unteren Teil der beiden Stützmauern.

3.2.2 Die Befunde zur Ummauerung

Nach dem Abtrag der erwähnten neuzeitlichen Friedhofserde zeigte sich im Südteil der Grabungsfläche die Abbruchkrone der Ummauerung. Die am höchsten erhaltenen Partien lagen

---

[232] Zur Ausgrabung liegt ein umfangreicher und weit gehend erschöpfender Bericht mit zahlreichen Abbildungen vor (Archiv KA Zürich), der von Peter Albertin verfasst worden ist (zit. als Albertin 1989). Bei der Beschreibung der Befunde konnte ich mich weit gehend auf diesen Bericht stützen. Abschluss des Manuskriptes August 1997.

[233] Die Ausgrabungen im Bereich des damals erbauten Kirchgemeindehauses sowie die Nachforschungen in zahlreichen Werkleitungsgräben im westlichen und südlichen Areal des Kirchhügels sind bei Bloesch/Isler 1952 zusammenfassend publiziert. Sämtliche damals und teilweise auch schon früher freigelegten Mauerzüge und -reste auf dem Kirchhügel sind im Plan Abb. 1 bei Drack et al. 1981 eingetragen. Es waren die ersten flächenhaften Ausgrabungen in Oberwinterthur und zugleich die ersten archäologischen Untersuchungen, die interpretierbare Befunde zur Siedlungsgeschichte des 1.–3. Jh. erbrachten. Bis zu diesem Zeitpunkt hatten sich die Nachforschungen weitestgehend auf die «Kastellmauer» beschränkt. Weiteres dazu bei Rychener 1984, 9f.

[234] Die Erhaltung war übrigens in erster Linie notwendig, weil die Ummauerung von 294 noch heute wesentlich zur Stabilisierung des Terrains an dieser Stelle beiträgt – würde man sie erheblich schwächen oder gar abbrechen, wäre der Ostteil der Kirche in seiner Stabilität akut bedroht. Das war vor der Ausgrabung von 1988 nicht so deutlich erkennbar.

[235] Auftraggeber für die Ausgrabung war die Kirchgemeinde Oberwinterthur als Bauherrschaft (vertreten durch Rolf Furrer). Ausgeführt wurden die Arbeiten im Auftrag der Kantonalen Denkmalpflege/Kantonsarchäologie (Andreas Zürcher) durch das Technische Büro von Peter Albertin, der die Grabungsleitung besorgte. Auf der Ausgrabung arbeiteten Mirjam Fischer (Vermessung, Zeichnen, Photographie), Brigit Albertin (Sekretariat), Walter Hitz, Stefan Stadelmann, Marlies Scheim und Erwin Städeli (Ausgrabungsarbeiten). Die wissenschaftliche Leitung besorgte Jürg Rychener, der auch das Fundbuch erstellte. Als Bundesexperte amtierte Walter Drack. Wir danken an dieser Stelle der Bauherrschaft für die gute Zusammenarbeit und den MitarbeiterInnen für ihren Einsatz unter zumeist winterlichen Bedingungen.

[236] Im Folgenden wird diese in der Publikation von 1984 eingeführte Bezeichnung für das Badegebäude verwendet.

[237] Für die Ansprache und Beurteilung der nachrömerzeitlichen Baureste sei auf die erschöpfende Analyse von Peter Albertin verwiesen (Albertin 1989, 16–19). Die ältere Stützmauer ist seiner Meinung nach romanisch; die jüngere muss spätestens ab dem 17. Jh. existiert haben, da Reparaturrechnungen aus dem 18. Jh. vorliegen (ebda. 6, mit Literaturnachweisen).

[238] Für Auskünfte und Hinweise zur Stützmauer und zu allgemeinen Fragen der Kirchengeschichte danken wir dem Archivar der Kirchgemeinde Oberwinterthur und Lokalhistoriker Paul Kern. Siehe dazu auch Drack et al. 1981.

[239] Die dank der bekannten Bauinschrift CIL XIII, 5349 ins Jahr 294 datierbare Ummauerung des Kirchhügels wurde bis vor kurzem immer selbstverständlich als Kastell bezeichnet. Ich habe schon 1984 (Rychener 1984, 35) angedeutet, dass es wegen dem Fehlen von Zeugnissen spätantiker Innenüberbauung (siehe dazu aber neuerdings die von Florian Hoek in diesem Band vorgelegten Befunde, Kap. II.2.2 und Kap. II.2.4) und im Sinne der Inschrift («MVRVM VITVDVRENSEM») besser wäre, auf den Ausdruck «Kastell» (der eine militärische Besatzung impliziert) zu verzichten. Ich verwende für das Bauwerk daher im Folgenden den neutralen Ausdruck «Ummauerung».

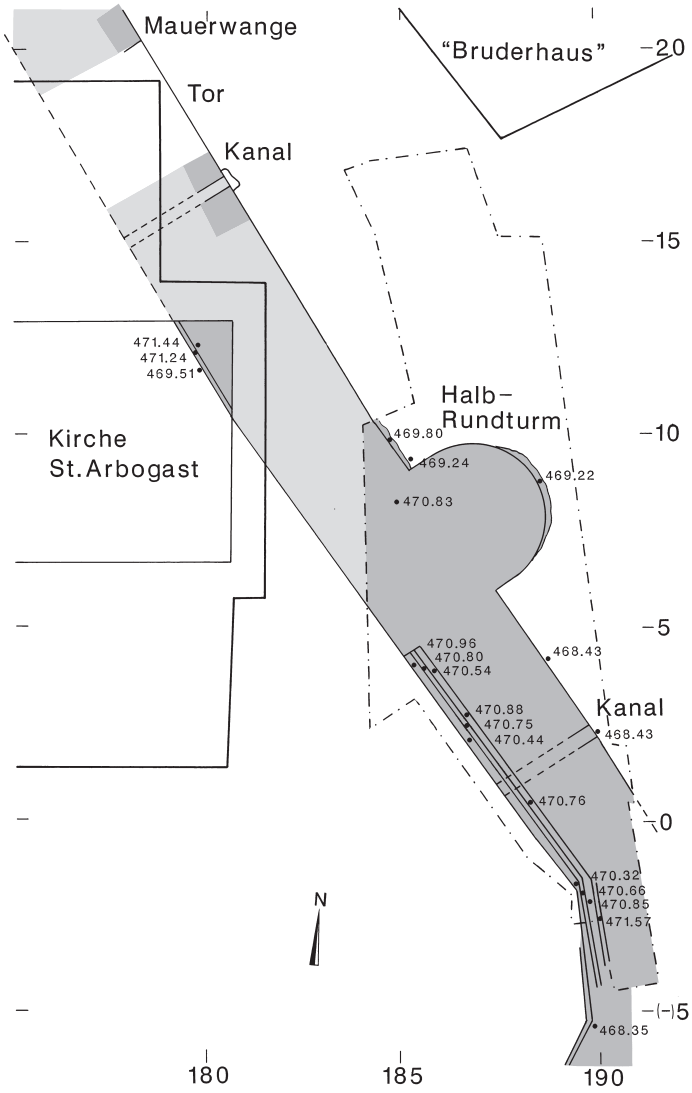


Abb. 46. Grundriss der Ummauerung von 294. Eingetragen sind zusätzlich die Befunde von 1949/51 und 1976. M. 1:200.

nur 20–30 cm unter dem aktuellen Gehniveau. Abgesehen von den abgetragenen Partien des Aufgehenden war das Bauwerk ausgezeichnet erhalten.

Die Mauer ist zwischen 290 und 300 cm breit und in Zweischalentechnik gemauert[240]. Die Sohle ist an der Ostseite (= aussen) geringfügig in den Abbruchschutt des Anbaus zu



Abb. 47. Stützmauer St. Arbogast. Gesamtansicht der freigelegten Mauerkrone mit Halbrundturm. Von Südosten.



Abb. 48. Stützmauer St. Arbogast. Ansicht der Ummauerung von aussen. Links die Nordseite des Halbrundturms, rechts die Mauer, deren Fundamentkonstruktion gut sichtbar ist. Von Norden.



Abb. 49. Stützmauer St. Arbogast. Rücksprünge an der Innenseite der Ummauerung. Von Südosten.



Abb. 50. Stützmauer St. Arbogast. Rücksprünge an der Innenseite der Ummauerung im Südteil, in der Mitte ändert die Richtung der Mauer. Die groben Steinlagen im oberen Teil stammen von der bestehenden neuzeitlichen Stützmauer. Von Nordwesten.

Bau III eingetieft. Das Fundament besteht hier aus einer Lage grosser Feldsteine (Durchmesser bis etwa 50 cm), das etwa 15–20 cm über die Mauerflucht vorspringt (Abb. 48). An der Westseite (= innen) konnte die Untersuchung nicht bis auf die Tiefe des Fundaments getrieben werden. Die Mauerschale ist sehr sorgfältig hochgeführt. Sie besteht aus Bollen-, Bruch- und Hausteinen in Jurakalk, Tuff und Molasse-Sandstein. Die Steinlagen sind etwa 10 cm hoch. Ausser in der Höhe sind die Quader jedoch in ihren Massen nicht angeglichen. Dem Kalkmörtel ist stellenweise Ziegelmehl beigefügt worden. Der Mauerkern besteht aus unregelmässigen, regellos eingefüllten minderwertigen Steinen und ist mit viel Mörtel verfüllt. An der Innenseite fanden sich, einsetzend genau auf der Höhe des südlichen Turmansatzes, drei Rücksprünge in der Mauerstärke. Ein Rücksprung konnte seinerzeit auch am Teilstück innerhalb der Kirche beobachtet werden[241]. Dem Gelände folgend, fällt die Oberfläche der Rücksprünge gegen SE ab. Der untere Rücksprung weist eine Breite von 5–15 cm auf, seine Höhe über UK der Mauer ist nicht bekannt. Der mittlere ist zwischen 8 und 18 cm breit und liegt 26–33 cm höher als der untere. Vom oberen Rücksprung waren nur noch Spuren erhalten (Mörtelbrauen, Verfärbungen), die auf eine Breite von 10–18 cm schliessen lassen; er liegt 16–11 cm höher als der mittlere. Die Mauerstärke ist dadurch im Aufgehenden um 40–50 cm geschwächt. Eine weitere Schwächung ergibt sich aus dem an der Innenseite zu beobachtenden Anzug von etwa 20 cm je Meter Mauerhöhe.

Aussen- und Innenseite der Kastellmauer zeigen Putzreste mit Zugabe von Ziegelmehl. Der Putz ist mit einer rundlichen Kelle satt in die Steinfugen gestrichen; die Steinspiegel sind sichtbar belassen. Ansatzweise sind Kellenstriche erkennbar.

Der Halbrundturm weist einen Durchmesser von 3,75 m auf und springt mit seinem Bogenscheitel 2,55 m aus der östlichen Mauerflucht vor. Er ist bis auf die erhaltene Höhe massiv ausgemauert (Abb. 51).

Gut 4,5 m südlich des Turmes fand sich ein Abwasserkanal. Eingefasst ist er mit Quadersteinen, die im Verband mit der Mauer gesetzt sind und eine Öffnung von 35 × 45 cm freilassen (Abb. 52). Er ist mit jenem, der 1949/51 rund 9 m nördlich des Turmes entdeckt worden ist, gut vergleichbar. Soweit erkennbar – die innere Mündung konnte nicht untersucht werden –, war der Kanal mit dunklem Erdmaterial verfüllt; Funde gibt es daraus keine. Vor dem Auslauf fand sich eine Lage lockerer Steine, vermutlich eine Sickerpackung.

3.2.3 Die Befunde zu Bau III

Beim Abtrag der Schichten östlich ausserhalb der Ummauerung kam ein Mauerzug zu Tage, der NNW–SSE verläuft (Abb. 53). Gefasst werden konnten beidseits zudem die inneren Ecken von im Verband gemauerten Mauerzügen Richtung Westen (Abb. 54, 55), an der Südecke ausserdem auf kurze Distanz die äussere Mauerkante. So ergab sich ein nach Westen offenes Geviert, das im südlichen Teil unter die Ummauerung zieht und somit eindeutig einer früheren Zeit angehört als diese. Eine Nachprüfung der Mauerverläufe

[240] Beschreibung weitgehend nach Albertin 1989, 20–21.

[241] Rychener 1984, 33 und Abb. 30 (Höhe ca. 180 cm über UK der Mauer, Breite ca. 10 cm).

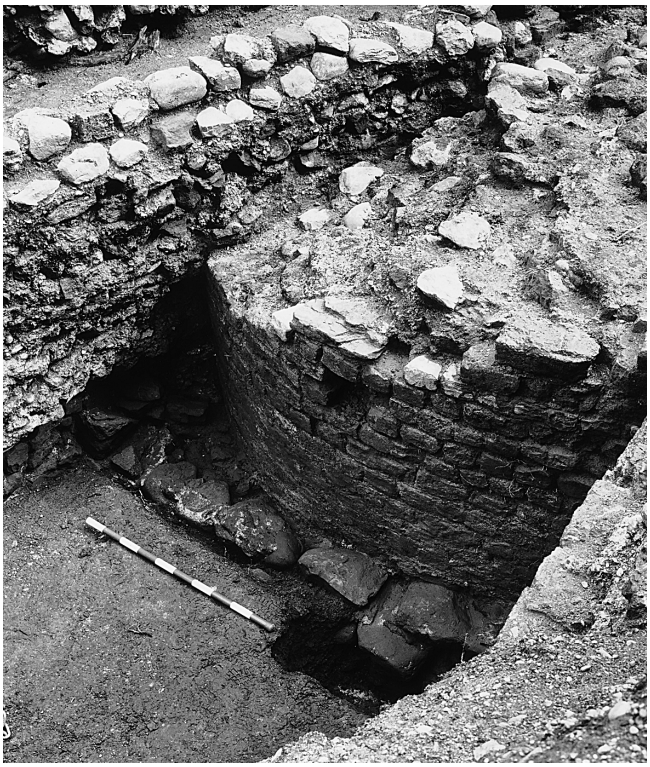


Abb. 51. Stützmauer St. Arbogast. Halbrundturm, Auf- und Ansicht des Nordteils. Rechts unten die Kante der Ummauerung, links hinten die mittelalterliche Stützmauer. Von Nordwesten.

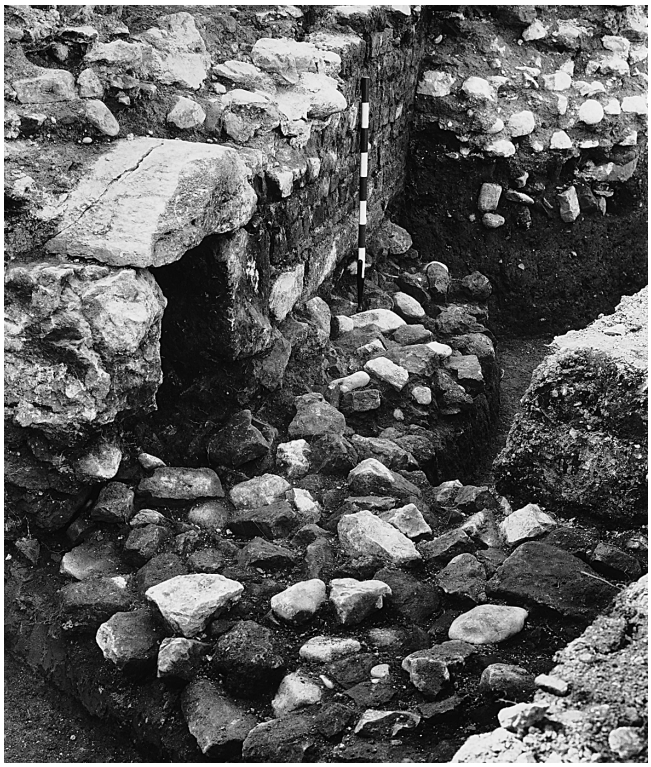


Abb. 52. Stützmauer St. Arbogast. Austrittsöffnung des Abwasserkanals durch die Ummauerung, davor die aus grösseren Steinen bestehende Sickerpackung. Von Südosten.



Abb. 54. Stützmauer St. Arbogast. Ostmauer des Anbaus nach der vollständigen Freilegung (Innenseite). Links oben ist der innere Mauerwinkel zur Nordwand erkennbar. Rechts die mittelalterliche, oben rechts angeschnitten die neuzeitliche Stützmauer (Innenseiten). Von Süden.



Abb. 55. Stützmauer St. Arbogast. Blick in die innere SE-Ecke des Anbaus. Über dem Jalon die Ostwand, nach vorn laufend die Südwand. Rechts angeschnitten der über die Mauer des Anbaus hinweg gebaute Halbrundturm der Ummauerung. Oben die unterste Partie der neuzeitlichen Stützmauer (Innenseite). Der Nordpfeil liegt OK Schicht 4. Von Südwesten.

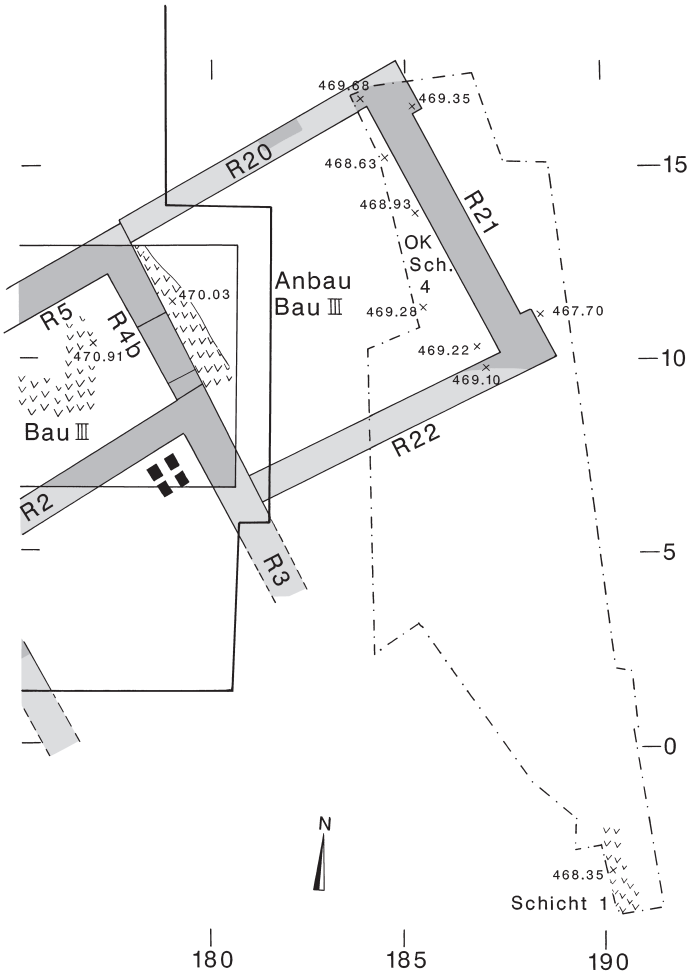


Abb. 53. Stützmauer St. Arbogast. Grundriss des Anbaus zu Bau III, ergänzt um die 1976 innerhalb der Kirche gefundenen Mauern. M. 1:200.

ergab, dass es sich um einen Anbau zu Bau III handeln muss, da die Mauerrichtungen übereinstimmen. Die Flucht der nördlichen Mauer stimmt zudem mit der Flucht der (zweiten) Nordmauer von Bau III überein.

Für den etwas schiefwinkligen Anbau ergibt sich eine Innenfläche von 7,3 × 7,4 m (rund 54 m^2), aussen misst er 8,3 × 8,8 m, beansprucht somit eine Fläche von rund 73 m^2.

Die Mauern sind zweihäuptig und 90–95 cm breit (Abb. 54). Beide Mauerecken sind im Verband gesetzt. Die Mauerschalen sind sorgfältig konstruiert, zur Hauptsache aus Bollensteinen mit Grössen von 15–30 cm, dazwischen finden sich Tuff- und Sandsteine. Der verwendete Mörtel enthält etwas Ziegelschrot und war ausgezeichnet erhalten. Das Fundament ist in den gewachsenen Boden eingetieft und vollständig gemörtelt. An der Westseite (= innen) ist das Mauerwerk gegen den anstehenden Boden gemauert, an der Ostseite fast ab der Unterkante frei hochgeführt. An den Ecken finden sich schmale, gegen Osten vorspringende Blendpfeiler. Der südliche ist gut 140 cm breit, der nördliche Blendpfeiler konnte nicht zur Gänze untersucht werden, dürfte aber bei Berücksichtigung der Mauerfluchten etwa gleich breit gewesen sein. Die Blendpfeiler sind zugleich mit der Ostwand des Anbaus hochgemauert worden. Am nördlichen Blendpfeiler und an der anschliessenden Ostmauer konnten Reste eines Aussenputzes beobachtet werden. Der glatt gestrichene Putz überdeckt die Steinfugen, lässt die Steinspiegel aber teilweise frei. Horizontale und vertikale Fugenstriche markieren ein Quaderwerk von 12–15 cm Höhe und 18–25 cm Steinbreite.

Zu den Mauern konnte ein (Geh-?)Niveau gefasst werden, das OK der unebenen, wohl beim Bau entstandenen Planien liegt. Reste eines Bodens fehlen. Es ist anzunehmen, dass das Geviert mit einem Mörtelboden versehen war. Davon hat sich im Innern der Kirche ein schmaler Streifen aussen an der Ostseite der Ostwand von Bau III erhalten. Er ist beim Bau der Ummauerung ziemlich gradlinig durchschlagen worden; die noch erhaltene Kante verläuft in einem Abstand von etwa 40 cm parallel zur Innenkante der Ummauerung[242]. Seine OK liegt 80–140 cm höher als die erhaltenen Niveaus des Anbaus. Dieser Höhenunterschied erklärt vermutlich, warum der Boden aussen an der Ummauerung komplett beseitigt worden ist: er hätte höher gelegen als die Abbruchkrone der Anbaumauern und wäre vermutlich beim Bau der Ummauerung im Wege gewesen.

3.2.4 Frühere Spuren

Ganz im Süden der Ausgrabungsfläche fand sich ein Rest eines Mörtelbodens (Schicht 1, zur Lage siehe Abb. 53). Zuordnen und interpretieren lässt sich der isolierte Befund

[242] Rychener 1984, Abb. 30. Dieser Plan ist übrigens nicht wie in der Legende angegeben im Massstab 1:100 gehalten, sondern seinerzeit von der Druckerei ohne Beachtung der Vorgaben dem Satzspiegel angepasst verkleinert worden.

nicht. Es kann sich um den Rest einer sonst nicht fassbaren Baukonstruktion handeln oder um einen gemörtelten, ostseitigen Vorplatz zu Bau III. Befunde, die zeitlich früher anzusetzen sind als die Errichtung von Bau III, kamen nicht zum Vorschein. Das hängt wohl damit zusammen, dass nur im östlichsten Teil der Ausgrabung, d.h. an der äussersten Hügelkante, der gewachsene Boden überhaupt erreicht worden ist.

3.2.5 Das Fundmaterial im Überblick

Insgesamt wurden 14 Fundkomplexe geborgen, wovon 10 aus stratifizierter Lage[243]. Abb. 56 zeigt einen Überblick zu den Gewichten der Keramik, Knochen und Schlacken. Besonders auffällig ist der gegenüber der Gebrauchskeramik höhere Anteil der Feinkeramik (51%), für Siedlungsschichten ein absolut ungewöhnliches Phänomen! Vielleicht spiegelt sich darin die Funktion von Bau III als Badegebäude, denn in Thermen wurde durchaus auch gegessen[244]. Speisen wurden allerdings hier nicht gekocht; das erklärt das Fehlen von Kochgeschirr und Grobkeramik. Echte TS-Imitation fehlt wohl aus chronologischen Gründen. Unter den stratifizierten Glasfunden gibt es nur Bruchstücke von Fensterscheiben. Zu erwähnen ist noch, dass vom aufgeführten Material mehr

Fundsorte	Gewicht (g)	Anteil (%)
TS	248	53
Drack 20/21	22	5
Glanztonkeramik	7	2
SLT-Keramik	5	1
Gebrauchskeramik	183	39
Total Keramik	**465**	**100**
Knochen	505	
Schlacke	280	

Abb. 56. Stützmauer St. Arbogast. Gewichte und Anteile der Keramiksorten, Knochen und Schlacke im stratifizierten Fundmaterial.

als zwei Drittel aus den Schichten (vorwiegend Schicht 6, siehe unten) zum Anbau von Bau III stammen.

Unter dem nicht stratifizierten Material finden sich bei der TS je ein Bruchstück einer Tasse Drag. 24/25 und einer Schüssel Hofheim 12, bei der Echten TS-Imitation eine RS einer Tasse Drack 11 (Imitation der Form Haltern 12/ Consp. 34) mit glatter Randzone in roter Technik. Unter der sonstigen Keramik sind zu erwähnen: eine WS eines Faltenbechers der Schwarzen Glanztonkeramik, ein Randstück einer rätischen Reibschüssel sowie drei WS, die evtl. von einem Dolium[245] stammen.

3.2.6 Relative Chronologie und Schichten

In der Ausgrabungsfläche lassen sich nach dem Gesagten vier Phasen fassen:
- Phase 1: Mörtelboden unbekannter Zuordnung.
- Phase 2: Errichtung eines Mauergevierts, das als Anbau zu Bau III zu interpretieren ist.
- Phase 3: Benützung des Anbaus.
- Phase 4: Abbruch des Anbaus, Errichtung der Ummauerung.

Schichten der Phasen 1 und 2

Der Mörtelboden (Schicht 1[246]) liegt direkt auf dem gewachsenen Boden; Funde gibt es daraus nicht. Aus allgemeinen Erwägungen dürfte der Boden kaum vor der Mitte des 1. Jh. entstanden sein[247]. Darüber fand sich eine dunkelgraue, feinsandig-humose Lehmerde, die viel Holzkohle und Asche enthielt (Schicht 2). Aus ihr stammen eine nicht näher bestimmbare BS einer kleinen TS-Schüssel (südgallisch) sowie drei weitere TS-WS, die deutlich jünger sind (mittel- und ostgallisch), ferner die BS eines Bechers der Klassischen Glanztonkeramik. Das kleine Ensemble bezeugt wohl, dass die Schicht im Laufe des 1. bis 2. Jh. entstanden ist, demzufolge zur ersten Bauphase von Bau III zu rechnen ist. Es dürfte sich um planierten Abfall handeln. Darüber lag eine Planieschicht (Schicht 3; fundleer), die gegen Westen stark mit Abfällen von einer Baumassnahme durchmischt war; es dürfte sich zum Teil um Reste des Bauhorizonts zum Anbau handeln. Nach, teilweise mit der Planierung oder Ablagerung dieser Schichten sind die Mauern des Anbaus zu Bau III errichtet worden.

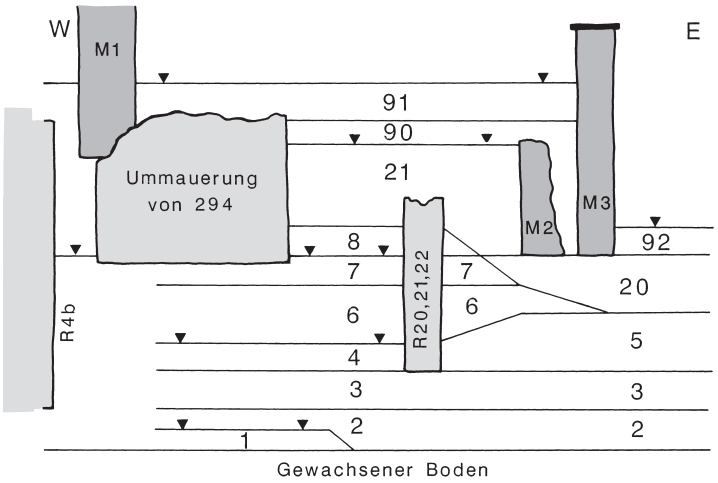


Abb. 57. Stützmauer St. Arbogast. Schematisches Profil. Die Schichten und Befunde sind in ein WE-verlaufendes Profil zusammengezeichnet (Erläuterungen im Text). Die Dreiecke bezeichnen die Lage von Gehhorizonten.

Schichten der Phase 3

Im Innern des Anbaus fand sich ein mehrteiliges Schichtpaket, dem einzelne Schichten ausserhalb angeschlossen werden konnten. Als Schicht 4 ist eine Reinplanie im Innern bezeichnet, über der eine Art Gehniveau zu beobachten war; dazu rechnet die als römerzeitliche «Gartenerde» bezeichnete Schicht 5 ausserhalb des Anbaus. Unmittelbar darüber lag inner- wie ausserhalb des Anbaus eine Schicht mit Abbruchmaterial und brandigem Schutt (Schicht 6), Zeugnis für eine vielleicht in zwei Schritten vollzogene Planierung von Bau- und Siedlungsschutt.

Während der Ausgrabung wurde die Schichtabfolge wie folgt interpretiert: nach der Errichtung des Anbaus ist dessen Inneres mit einer Reinplanie verfüllt worden. Darüber hat man einen Holzboden eingezogen, wobei das Gehniveau über der Reinplanie entstanden ist. Das darüber liegende zweiteilige Schichtpaket ist dann bereits Zeugnis für die Zerstörung von Bau III.

Diese Interpretation ist aus zwei Gründen fraglich:

1. Es scheint mir wahrscheinlicher, dass der Mörtelboden, der im östlichsten Teil des Anbaus vorhanden war, sich über den ganzen Innenraum erstreckt hat (siehe oben).

2. Dass Bau III einer Zerstörung zum Opfer gefallen ist, legen die Befunde zwar nahe, aber über den genauen Zeitpunkt sind wir im Ungewissen[248]. Der Verlauf der Ummauerung bezeugt, dass Bau III bei ihrer Errichtung noch in Funktion war und lediglich der weit gegen Osten vorspringende Anbau abgetragen worden ist (siehe dazu unten)[249].

Aus Schicht 6 stammt, wie erwähnt, ein grosser Teil des Fundmaterials der Ausgrabung von 1988. An TS fanden sich je zwei Tassen Drag. 27 (eine südgallische, die andere sekundär verbrannt) und Drag. 40, je eine Tasse Drag. 33 und Drag. 35, eine Schüssel Drag. 37 mit Reliefrest (mittelgallisch) sowie die BS eines unbestimmbaren Tellers mit einem Stempel des SATVRNINVS[250] (Abb. 58).

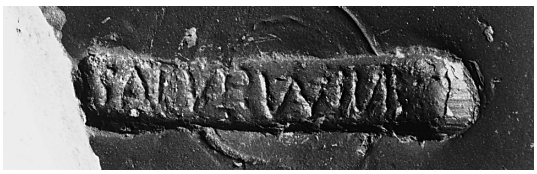


Abb. 58. Stützmauer St. Arbogast. Stempel (ST 119) des Töpfers Saturninus auf der Bodenscherbe eines TS-Tellers. M. 2:1.

Dazu kommen eine Schüssel Drack 21 in schwarzer Technik mit senkrechten Barbotine-Streifen[251], eine Schüssel Drack 21 in roter Technik sowie die BS eines Bechers der Klassischen Glanztonkeramik. Unter der Gebrauchskeramik findet sich kein einziges näher bestimmbares Gefäss. Das Material gehört dem Zeitraum des späteren 1. Jh. und des 2. Jh. an. Es fehlen sowohl ausgesprochen frühe Stücke als auch Stücke des späten 2. und des 3. Jh.

Schichten der Phase 4

Über den Schichten, die Bau III zugerechnet werden können, liegt der Bauhorizont zur Ummauerung (Schicht 7). Es handelt sich im unteren Teil um eine Art Planie, evtl. um ausplanierten Aushub des Fundamentgrabens. Die Schicht war linsenartig mit eingemischtem Schutt von Bau III durchsetzt. Funde gibt es daraus leider nicht. OK findet sich ein Gehniveau, das bei der Errichtung der Ummauerung entstanden ist, denn darauf lag eine Schicht mit Bauschutt (Schicht 8: Mörtelreste, Ziegelfragmente, Kies und Sand). Es ist die oberste erhaltene Schicht aus römischer Zeit. Auch sie war fundleer.

Nachrömische Schichten und Strukturen (Abb. 57)

Mit M1 ist die Ostwand der Kirche St. Arbogast bezeichnet, mit M2 die mittelalterliche, mit M3 die neuzeitliche Stützmauer. Bei Schicht 20 handelt es sich vermutlich um eine Mischschicht, die im Übergang von der spätrömischen zur frühmittelalterlichen Zeit entstanden ist. Schicht 21 ist eine Auffüllung, die nach der Errichtung von M2 eingebracht worden ist. Neuzeitlich sind Schicht 90 (Planierung nach der Errichtung von M3, darin eingetieft neuzeitliche Bestattungen), Schicht 91 (Humus, OK rezentes Gehniveau) und Schicht 92 (Humus im Garten ausserhalb der Stützmauer).

---

243 Vom Gewicht der Keramik her gerechnet sind es nur 28%, die stratifiziert sind. Das hängt v.a. damit zusammen, dass von den total 1610 g Keramik 662 g der Grobkeramik zurechnen, die zur Gänze unstratifiziert ist. Von den Knochen (505 g) sind alle stratifiziert.

244 Heinz 1983, 144 (mit Literatur dazu). Entsprechende Schilderungen stammen aus antiken Quellen.

245 Zur Form vgl. E. Ettlinger, Die Keramik der Augster Thermen, Basel 1949, Tf. 21, 17–24 und 27.

246 Für die vorliegende Publikation wurden die Schichten neu nummeriert, um eine bessere Übersicht zu gewährleisten. Diverse Schichten wurden ausserdem zusammengefasst. Eine Korrelation von Ausgrabungs- und Publikationsnummern findet sich im Auswertungsprotokoll der Dokumentation.

247 Soweit bekannt, werden im Vicus Mörtelböden erst im späteren 1. Jh. eingeführt (Rychener 1988, 111).

248 Die bei Rychener 1984, 31–32 vertretene zeitliche Einordnung der Brandschicht zu Bau III möchte ich nicht mehr aufrecht erhalten. Besonders die Knochennadeln, aber auch Funde aus der sog. Friedhofserde, die über dem Zerstörungshorizont von Bau III lag, zeigen, dass in diesem Bereich bis ins 4. Jh. gesiedelt worden ist. Ob Bau III bis zur Zerstörung als Bad gedient hat, ist damit nicht bewiesen, wenn auch die relativ gute Erhaltung etwa der Heizeinrichtungen dies nahe legt. Unklar ist zudem, ob das Gebäude allenfalls einmal in Teilen zerstört und dann wieder hergerichtet worden ist oder ob sich die Zerstörung in einem Mal abgespielt hat. In der Dokumentation zur Ausgrabung innerhalb der Kirche wird erwähnt, dass Mörtelvergleiche zwischen Flickstellen im Mauerwerk von Bau III und dem Mörtel der Ummauerung eine Übereinstimmung gezeigt hätten. Dies spreche dafür, dass Bau III vor der Errichtung der Ummauerung teilweise oder sogar gänzlich zerstört, dann aber wieder geflickt worden sei.

249 Zu erwähnen ist in diesem Zusammenhang ein innerhalb der Kirche gefundenes Gehniveau, das zur Ummauerung gehört und zwischen dieser und der Ostwand des zweiten Anbaus an der Nordseite liegt (Rychener 1984, 32, nach Angaben der Dokumentation von 1976).

250 Oswald 1931, 283. Mit dem vorliegenden Stempelformular Saturninus aus Lezoux (datiert 1. Hälfte 2. Jh.).

251 Vgl. Rychener 1986, Kat. 522 und Kat. 579 (beide aus Fundkomplexen des späten 1./frühen 2. Jh.).

3.3 Ergebnisse

Die Ausgrabung von 1988 an der Südostseite des Kirchhügels brachte Spuren aus dem 1. bis 4. Jh. zu Tage, die wertvolle Ergänzungen zum bisher Bekannten erbrachten, aber auch – wie zu zeigen sein wird – einen wesentlich neuen Beitrag zur Baugeschichte der Vicusthermen (Bau III). Die frühesten Zeugnisse stammen aus der 2. Hälfte des 1. Jh. und sind wohl in Verbindung zur Errichtung und ersten Benützung von Bau III zu sehen (oder eines kleineren Vorgängers, siehe unten); in einen konstruktiven Zusammenhang sind sie allerdings nicht zu bringen. Mit dem Rest eines Mauergevierts, das als östliche Erweiterung von Bau III zu interpretieren ist, fassen wir ein zusätzliches Zeugnis für dessen Erweiterung im frühen oder mittleren 2. Jh. Mit der 294 errichteten Ummauerung des Kirchhügels war der Abbruch dieses Anbaus verbunden. Weiterhin unbeantwortet bleibt die Frage, wann und unter welchen Umständen genau Bau III zerstört worden ist.

Mit der flächenhaften Freilegung eines beträchtlichen Stücks der Ummauerung war die Entdeckung eines zweiten Halbrundturms verbunden[252]. Er liegt rund 12 m südlich desjenigen, der 1949/51 nördlich der Kirche zu Tage gekommen ist. Zur Ummauerung liess sich ein Bauhorizont fassen, der auf Schichten zu Bau III aufliegt. Zu erwähnen ist noch der neu entdeckte Abwasserkanal südlich des Turmes. Ein ähnlicher Kanal war ebenfalls 1949/51 nördlich des Turmes entdeckt worden.

Die baulichen Zeugnisse aus römischer Zeit sind im angetroffenen Zustand belassen und nach dem Wiederaufbau der Stützmauer überdeckt worden. Der Verlauf der Ummauerung ist OK des rezenten Gehniveaus durch eine flächige Pflästerung markiert, und die Ausmündung des Abwasserkanals ist in der Aussenflucht der neuen Stützmauer sichtbar gemacht worden. Zusammen mit dem konservierten Mauerteil inklusive nördlichem Halbrundturm[253] an der NE-Ecke der Kirche, einem kurzen Stück der Innenseite der Mauer[254], der unter dem Chor der bestehenden Kirche besichtigt werden kann und dem markierten Teilstück südöstlich der Kirche ergibt sich für BesucherInnen ein guter Eindruck dieser wichtigen Partie der spätrömischen Befestigung von Oberwinterthur.



Abb. 59. Stützmauer St. Arbogast. Der sichtbar belassene Austritt des Abwasserkanals der Ummauerung in der Aussenfront der neuen Stützmauer. Von Nordosten.

3.4 Beiträge zur Besiedlungsgeschichte des Kirchhügels

3.4.1 Einleitung

Wie aus dem beschreibenden Text zur Ausgrabung hervorgeht, sind die Befunde nur in Verbindung mit den vorher bekannten Bauresten im Südteil des Kirchhügels interpretierbar. Sie machen es darüber hinaus notwendig, das 1984 entworfene Bild der Siedlungsgeschichte im Gesamten und im Detail zu überprüfen. Zu ergänzen und zu revidieren ist besonders die Baugeschichte des Badegebäudes. Für die Ummauerung von 294 ergibt sich erstmals eine plausible Verbindung zur Siedlungsorganisation der vorhergehenden Zeit. Die inzwischen von anderen Orten bekannt gewordenen Ergebnisse von Untersuchungen an spätrömischen Ummauerungen von Siedlungsteilen, ermöglichen es zudem, die Befestigung von Oberwinterthur im historischen Umfeld neu zu gewichten.

3.4.2 Überlegungen zu Bau III

Mit der Freilegung eines Anbaus an der NE-Ecke von Bau III ist ein Befund zu Tage gekommen, der es erlaubt, einerseits die 1984 vorgelegte Baugeschichte[255] kritisch zu überprüfen, andererseits zum Aussehen und zur funktionalen Einteilung von Bau III einige Überlegungen anzustellen. Einige bisher mögliche Deutungen sind durch die zusätzlichen Befunde weggefallen. Es ist aber festzuhalten, dass nur eine Freilegung der Gebäudeteile südlich der Kirche wirklich zuverlässige Aufschlüsse über das Aussehen und das innere Gefüge von Bau III liefern könnte.

In der Publikation von 1984 habe ich vier Bauphasen für Bau III vorgeschlagen. Eine kritische Überprüfung hat ergeben, dass der Bauablauf wahrscheinlich anders zu interpretieren ist.

Bauphase 1

Errichtet wird ein massiver Steinbau, von dem ein hypokaustierter **Raum E** und ein **Raum W** mit Mörtelboden gefasst werden konnten (**Mauer R2**, Blendpfeiler **R2-Ost**, **Mauern R3** und **R11**). Zusammen mit den ausserhalb der Kirche gefundenen kurzen Mauerresten[256] weist das Gebäude eine Breite (SW–NE-Richtung) von mindestens 17 m und eine Länge von mindestens 12 m auf.

Bezieht man die im südlichsten Teil des Kirchhügels gefundenen Mauerreste ein, ergibt sich eine Länge von gut 20 m (NW–SE-Richtung)[257]. Der Dachfirst dürfte demnach eher NW–SE verlaufen sein, nicht umgekehrt, wie seinerzeit in der Rekonstruktion vorgeschlagen[258].

Diesem Kernbau wird an der Nordseite ein langrechteckiger Anbau vorgesetzt (**Raum N1, Mauern R4a** und **R6**). Es liess sich nicht eruieren, ob dieser Anbau gleichzeitig mit dem Kernbau errichtet worden ist oder erst nach einer gewissen Zeit. Ich bezeichne den Vorgang deshalb als Bauphase 1.1. **Raum N1** weist eine Aussenbreite von rund 3,4 m auf, die lichte Breite beträgt etwa 3 m. Vermutlich hat er sich über die ganze Nordfront erstreckt. Ein Bodenniveau dazu ist nicht erhalten; es dürfte bei der Errichtung des zweiten Anbaus abgetragen worden sein. Der Anbau lässt sich am einfachsten als Fundament einer strassenseitigen Portikus interpretieren.

Teilweise in das Fundament der **Mauer R6** wurde nach Verlauf einer gewissen Zeit eine Wasserleitung eingebaut. Im

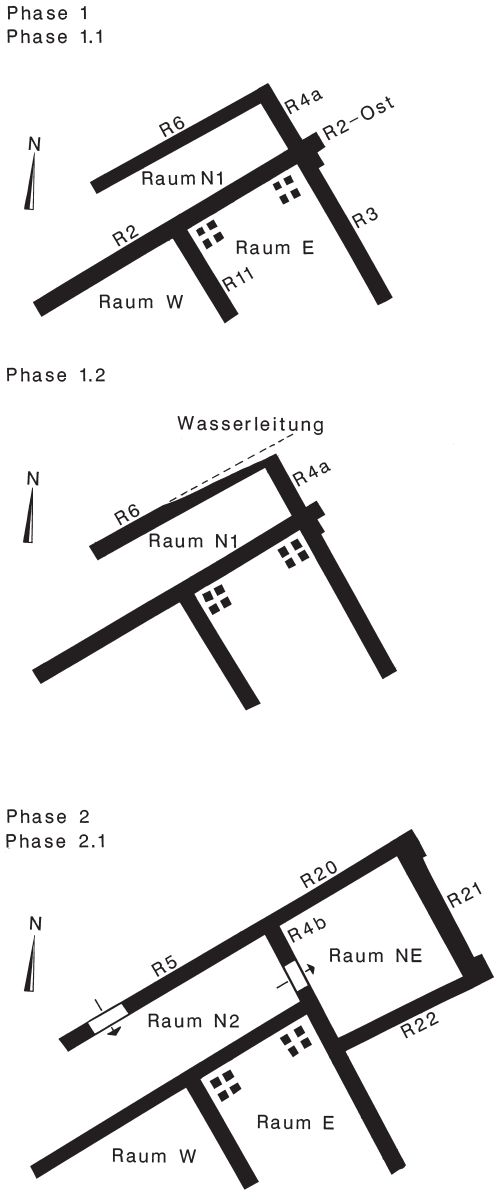


Abb. 60. Stützmauer St. Arbogast. Bauphasen von Bau III (Badegebäude), schematisch. Bauphase 3 vgl. Abb. 61. M. 1:400.

Gegensatz zur 1984 vorgelegten Bauphasenabfolge bin ich heute nicht mehr der Meinung, dass der Anbau **Raum N1** deswegen niedergelegt worden ist[259]. Da es sich nicht um einen eigentlichen Umbau handelt, wird die Baumassnahme als Bauphase 1.2 bezeichnet. Von der Leitung hat sich nur die äussere Hülle erhalten, die aus Imbrices (Halbrundziegeln) besteht, deren Hohlräume einen freien Raum mit ovalem Querschnitt bilden. In diesen Hohlraum war eine Leitung aus Blei[260] eingebaut, denn die Ziegel allein taugten nicht als Leitung; sie hatten lediglich den Mauerdruck von der eigentlichen Leitung fernzuhalten.

Bauphase 2

Mit Bauphase 2 ist die gründliche Umgestaltung der Nordfront bezeichnet. Der Anbau **Raum N1** wurde abgebrochen, an seine Stelle trat ein etwas breiterer und wesentlich massiver konstruierter Anbau (**Raum N2** aus **Mauern R4b** und **R5**). Seine Aussenbreite beträgt rund 4,7 m, die lichte Breite 3,7 m. Rund 8,6 m von der NE-Ecke entfernt wurde eine gut 2 m breite Tür in **Mauer R5** eingefügt. Die Löcher im Schwellenstein bezeugen einen zweiflügeligen Türverschluss. Mit der Errichtung von **Mauer R4a** wurde die teilweise in die Nordfront des ersten Anbaus eingebaute Wasserleitung unterbrochen. Das inliegende Bleirohr dürfte bei dieser Gelegenheit gegen Osten herausgezogen worden sein, wie der gute Erhaltungszustand der Ziegelumhüllung zeigt.

Die gegenüber dem ersten Anbau verstärkten Mauern und der Einbau einer Tür lassen den Schluss zu, dass der Anbau als geschlossener Raum aufgeführt worden ist. In die gleiche Richtung deutet der in den Anbau eingezogene massive Mörtelboden. Seine OK liegt einige Zentimeter höher als jene des Bodens in **Raum W**. Die oben postulierte Richtung des Dachfirstes liess übrigens eine Verlängerung von Bau III gegen Norden leicht zu.

Das 1988 gefundene Mauergeviert lässt sich hier anschliessen; auf Grund der Flucht seiner Nordmauer kann es erst nach der Errichtung von **Raum N2** gebaut worden sein. Da über das Aussehen der Maueranschlüsse nichts bekannt ist (beide sind beim Bau der heutigen Kirche zerstört oder unzugänglich überbaut worden), kann die Art der Baufolgen nicht beurteilt werden. Ich bezeichne die Errichtung des östlichen Anbaus **Raum NE** (**Mauern R20, R21** und **R22**) deshalb als Bauphase 2.1 (zur Beschreibung des Befundes siehe oben). Da in **Mauer R4b** ziemlich sicher eine Türöffnung eingebaut war (ein Schwellennegativ lässt sich OK der erhaltenen Mauerkrone ausmachen), kommt eine gleichzeitige Errichtung von **Raum N2** und **Raum NE** durchaus in Frage[261]. Mit dem Anbau wird auch der in der Publikation von 1984 besonders erwähnte, teilweise Abbruch des Blendpfeilers **Mauer R2-Ost** erklärlich. In den neu entstandenen

---

252 Im fraglichen Areal waren durch Sondierungen schon 1949/51 einzelne Ausschnitte der Ummauerung erforscht worden, vgl. Drack et al. 1981, Abb. 1.

253 Siehe Abb. 4 bei Rychener 1984, 12.

254 Siehe Abb. 30 bei Rychener 1984, 34.

255 Als Ausgangspunkt der Diskussion siehe Rychener 1984, 28–32 und bes. Abb. 20. Die Raum- und Mauerbenennung wird von dort übernommen, die Bezeichnungen des neuen Befundes sind entsprechend angepasst (Bezeichnungen in Fettdruck). Die dort gegebenen Befundbeschreibungen werden hier nicht wiederholt.

256 Bloesch/Isler 1952, 22 und Tf. VII; als «Gebäude A» bezeichnet.

257 Zum Vergleich: die Thermen von Schleitheim SH weisen ein Aussenmass von ca. 23 x 20 m auf (Bürgi/Hoppe 1985, Abb. 10: 2. Bauphase), jene von Zürich ein solches von rund 21 × 21 m (Bad II, vgl. Wild/Krebs 1993, Abb. 45).

258 Rychener 1984, Rekonstruktionszeichnung im hinteren Vorsatz.

259 Der teilweise Abbau der Mauer R6 im Fundamentbereich dürfte die Stabilität – zumal auf der relativ kurzen Distanz von gut 3,5 m – des Anbaus kaum gefährdet haben. Die kleinsteinige Einfüllung zwischen Abbruchkante der Mauer und der Imbrices-Reihe im Ostteil weist ebenfalls darauf hin, dass Mauer R6 nicht abgebrochen, sondern die Ausbruchstelle wieder geflickt worden ist (Rychener 1984, Abb. 30c).

260 Der feststellbare lichte Raum zwischen den Imbrices lässt kaum Platz für eine Leitung aus Holzteucheln, deren Aussendurchmesser nach erhaltenen Beispielen aus dem «Unteren Bühl» etwa 25 cm beträgt (Freundliche Mitteilung von Peter Albertin).

261 Ein Zugang zu Raum NE vom hypokaustierten Raum E her kommt wohl kaum in Frage (Wärmeverlust, notwendiger grösserer Eingriff in Mauerwerk und Tubulatur).

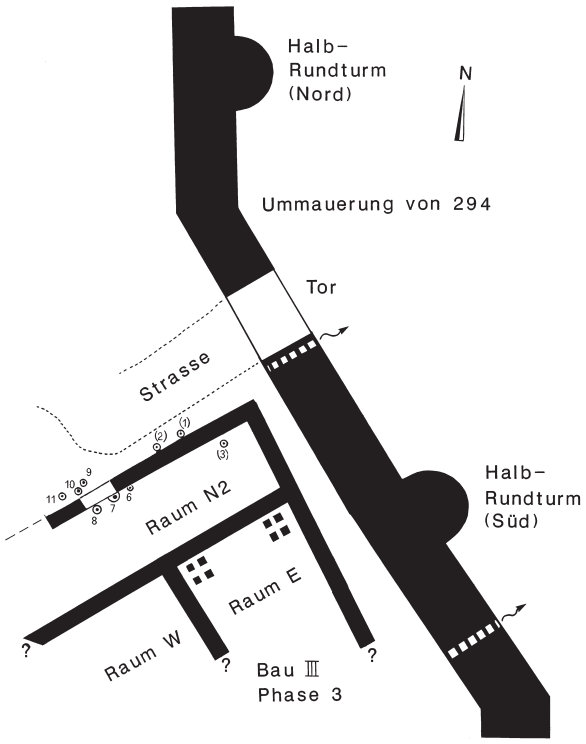


Abb. 61. Stützmauer St. Arbogast. Ostteil der Ummauerung von 294 nach der vorgelegten Interpretation, dazu Bauphase 3 von Bau III mit den zugehörigen Pfosten. In () Pfosten mit unsicherer zeitlicher Zuweisung. M. 1:400.

Raum ist ein Mörtelboden eingezogen worden. Seine OK liegt allerdings rund 70 cm tiefer als der Boden in **Raum N2**. Anzeichen, wie der Höhenunterschied überwunden worden ist, fanden sich nicht[262].

Bauphase 3 (Abb. 61)

Als Bauphase 3 bezeichne ich die Benützungszeit nach dem Umbau der Bauphase 2 sowie die weiteren, an Bau III erkennbaren Eingriffe. Wie erwähnt, ist mit der Errichtung der Ummauerung von 294 der Anbau **Raum NE** abgetragen worden (Bauphase 3.1). Weder Befunde noch Funde lassen klare Rückschlüsse darauf zu, ob Bau III zu dieser Zeit noch als Badegebäude genützt worden ist. Ziemlich wahrscheinlich ist auf Grund des Fundmaterials jedoch, dass das Gebäude zu dieser Zeit noch nicht zerstört war, sondern bis ins 4. Jh. hinein benützt worden ist. Die spätesten fassbaren Eingriffe sind die Pfosten **Pf 6, Pf 7** und **Pf 8** im Innern von **Raum N2**, denn sie durchschlagen den Mörtelboden des Raumes[263] (Bauphase 3.2). Sie sind auffälligerweise so gesetzt, dass die Tür in **Mauer R5** dadurch blockiert worden ist (die Türflügel konnten nicht mehr ganz geöffnet werden) – gleiches gilt übrigens für die ausserhalb des Gebäudes gesetzten Pfosten **Pf 9, Pf 10** und **Pf 11**. Ist damit ein Umbau fassbar? Zu denken wäre etwa an eine Auswechslung des Türsturzes mit einer provisorischen Abstützung des Mauerwerks darüber. Doch dann hätte man die Löcher im Mörtelboden wahrscheinlich wieder geflickt. Deswegen ist auch eine Abstützung des Mauerwerks nach einer teilweisen Zerstörung des Gebäudes denkbar, um Bau III wieder benützbar zu machen.

Zum Aussehen des Gebäudes und seiner inneren Gliederung

Auf Grund von Vergleichen mit anderen Badeanlagen sowie dank des 1988 entdeckten Anbaus an der Ostseite lassen sich jetzt erstmals einige Überlegungen zum Aussehen und zur inneren Gliederung von Bau III anstellen[264].

Es dürfte sich um ein längsrechteckiges Gebäude gehandelt haben, dessen Längsachse NW–SE gerichtet war. An der Ostseite ist, ausgehend von der Interpretation von **Raum E** als Tepidarium (Laubad)[265], von N nach S die Raumfolge Tepidarium, Caldarium (Warmbad) und Heizraum anzunehmen. Die südlichsten Mauerreste würden demnach zum Heizraum gehören. Für die Anordnung der Räume an der Westseite lassen sich nur Vermutungen anstellen, wobei von mindestens zwei Räumen auszugehen ist. **Raum W** könnte als Frigidarium (Kaltbad) oder als Apodyterium (Umkleideraum) gedeutet werden. Der anzunehmende Raum in der Südecke des Gebäudes wäre dementsprechend das Apodyterium oder das Frigidarium. Die bei Bauphase 2 in den erneuerten Anbau eingebaute Türe legt allerdings den Schluss nahe, dass das Gebäude von der über den Kirchhügel führenden Strasse aus betreten werden konnte, **Raum W** somit eher als Apodyterium in Frage kommt. Dazu könnte sowohl der jetzt geschlossene Anbau wie auch der zusätzliche **Raum NE** passen: es handelt sich wohl um zusätzlich eingebaute Musseräume.

Die Vicusthermen von Vitudurum gehörten nach diesem allerdings recht spekulativen Rekonstruktionsvorschlag zum Typus der Bäder im Blocktyp, bei denen die Räume der Badezeremonie (Heissbad, Laubad, Kaltbad) teilweise nebeneinander liegen. Selbstverständlich sind zusätzliche Räume wie etwa ein Schwitzbad (Sudatorium) innerhalb des postulierten Grundrisses oder als Anbauten durchaus denkbar.

Chronologie

Die Errichtung von Bau III ist auf Grund stratigraphischer Überlegungen und der allgemeinen Siedlungsgeschichte in die 70er Jahre des 1. Jh. zu datieren[266]. Da die bisher gefassten Baureste auf ein vergleichsweise grosses Bauwerk schliessen lassen, könnte Bau III einen kleineren Vorgängerbau aufgewiesen haben, etwa in der Art von Bad I in Zürich[267]. Erwähnt sei ausserdem, dass die Errichtung der ersten, nur teilweise fassbaren, aber schon ziemlich grossen Badeanlage von Schleitheim in die späten 70er Jahre des 1. Jh. datiert wird[268]. Bauphase 2 lässt sich nur sehr ungenau datieren (früheres 2. Jh.?). Für Bauphase 3 ist die Datierung der Ummauerung ins Jahr 294 der Terminus ante. Die Funde aus der Zerstörungsschicht[269] sowie aus der darüber liegenden Friedhofserde bezeugen, dass Bau III, in welcher Funktion auch immer, bis ins 4. Jh. hinein benützt worden ist. Die in der Publikation von 1984 noch als möglich erachtete Zerstörung des Gebäudes vor 294 ist demnach auszuschliessen.

Interessant ist, dass die postulierte, früheste Kirche keinen Bezug mehr zu den Bauresten aus römischer Zeit aufweist[270], sondern wahrscheinlich in W–E-Richtung gestanden ist. Auch bei den Bestattungen hat man nicht auf römisches Mauerwerk geachtet. Dies bedeutet, dass Bau III zu dieser Zeit oberirdisch kaum mehr in Erscheinung getreten ist – wohl im Gegensatz zur Ummauerung. Diese ist erst mit der Errichtung des Chores zur karolingischen Kirche im 10./11. Jh. tangiert worden[271].

3.4.3 Überlegungen zur Ummauerung von 294

Die Befunde der Ausgrabung 1988 lassen sich gut in das bisherige Bild der Ummauerung einfügen – sie bieten aber darüber hinaus die Möglichkeit, dieses Bild zu vervollständigen. Dies gilt besonders im Zusammenhang mit dem seit 1949/51 postulierten Mauerdurchgang an der SE-Seite.

Die Ummauerung folgt im Südteil ungefähr der Hangkante des Kirchhügels[272] (bei deutlich erkennbarer Rücksicht auf Bau III), die Gestalt des nördlichen Teils scheint eher vom letztlich gewünschten Umfang des ummauerten Areals bestimmt gewesen zu sein, da topographische Vorgaben hier fehlen. Die Errichtung der Mauer führte zu einem erheblichen Eingriff in allenfalls noch bestehende Hausbauten südlich der W–E verlaufenden Hauptstrasse und bei den Gebäuden östlich der Tempelanlage (siehe den Gesamtplan des Vicus im Vorsatz). Die NW–SE verlaufende Längsachse misst etwa 135 m, die Breite beträgt zwischen 50 und 75 m; die ummauerte Fläche umfasst rund 8000 m^2.

Wenig nördlich der Kirchturm-Nordwand war 1949/51 eine quer zur Flucht verlaufende Mauerwange in der Ummauerung gefunden worden (Abb. 46), daran anschliessend eine Lücke von unbekannter Breite. Der Befund wies klar auf einen Durchgang, doch dachte man analog zu den Befunden von Kastellen wie Burg bei Stein am Rhein SH[273] oder Irgenhausen ZH[274] eher an eine schmale Schlupfpforte.

Mit der Entdeckung des zweiten Halbrundturmes südlich der fraglichen Stelle erscheint der Befund von 1949/51 jedoch in einem anderen Licht. Die beiden Türme stehen nämlich beidseits jenes Abschnittes der Ummauerung, der gegen innen einknickt. Dadurch decken sie diesen Mauerabschnitt vollständig ab. Es ist zu vermuten, dass für eine blosse Schlupfpforte kein solcher Aufwand getrieben worden wäre, sondern dass an dieser Stelle ein (wenn nicht: das[275]) regelrechtes Tor in die Ummauerung eingefügt war (Abb. 61). Dazu passt der Verlauf der Strasse, die westlich an der Tempelanlage vorbeiführt und vor der Nordfront von Bau III fast rechtwinklig Richtung NE abknickt: es ist sehr wohl möglich, dass man dieses Strassentrassee bei der Planung der Ummauerung respektiert hat[276]. Das Tor hätte – berücksichtigt man den durch die Mauer führenden nördlichen Abwasserkanal (Abb. 46) – eine lichte Breite von maximal 3,5 m. Es kann aus Sicherheitsgründen durchaus schmaler gewesen sein.

Falls die vorgetragenen Annahmen zutreffen, wäre dies eine direkt fassbare Verbindung zwischen Vicus und Ummauerung; eine weitere ist durch den oben erwähnten Befund eines Gehniveaus zwischen Ummauerung und Bau III in der Kirche gegeben. Dazu kommt die mehrfach erwähnte Respektierung des Ost- und Südteils von Bau III im Verlauf der Ummauerung.

3.5 Die Befestigung von 294 in ihrem Umfeld

3.5.1 Historisches Umfeld

Ab der 2. Hälfte des 3. Jh. lässt sich beobachten, dass – aus welchen Gründen auch immer[277] – in Teilen von Siedlungen Befestigungen errichtet worden sind, und zwar ohne Rücksicht auf die bestehenden Bauraster[278]. Die Diskussion über die Datierung und den Zweck von Bauwerken wie in Solothurn SO, Olten SO, Altenburg bei Brugg AG[279], Pfyn TG und Arbon TG ist durch neuere Ausgrabungen erheblich in Fluss gekommen.

---

262 Zumindest erwähnen möchte ich die Möglichkeit, dass Raum NE einen Hypokaust aufgewiesen hat; die Grösse der Höhendifferenz und das teilweise brandige Aussehen der Schichten innerhalb des Anbaus lassen diesen Verdacht aufkommen. Ein dazu anzunehmendes Praefurnium hätte im Bereich der nicht untersuchten Flächen durchaus noch Platz.

263 Die relative Datierung von Pf 3 ist dagegen nur insofern gesichert, als bei seiner Setzung Mauer R6 und die Wasserleitung der Bauphasen 1.1 und 1.2 beschädigt worden sind. Der Mörtelboden von Raum N2 ist an dieser Stelle nicht erhalten gewesen. Alle anderen Pfosten liegen ausserhalb von Bau III und sind stratigraphisch nicht genauer zuweisbar.

264 Ich stütze mich auf meine Untersuchungen im Zusammenhang mit den Badegebäuden im Gutshof von Neftenbach (Rychener 1999, 98ff.) sowie auf Wild/Krebs 1993 (Bäder in Zürich) und Bürgi/Hoppe 1985 (Thermen von Schleitheim). Zur inneren Gliederung von Badegebäuden, die sich weitgehend aus dem feststehenden Ablauf der Badezeremonie ergibt, Heinz 1983, besonders 23 ff. und passim.

265 Der 1988 entdeckte Anbau Raum NE zeigt, dass an der Nordecke des Gebäudes kein Heizraum existiert haben kann, Raum E demzufolge nicht als Caldarium in Frage kommt.

266 Die Argumentation dazu bei Rychener 1984, 29.

267 Wild/Krebs 1993, 135. Die Errichtung des vergleichsweise kleinen Bauwerks Bad I wird in die Zeit nach der Mitte des 1. Jh. datiert.

268 Bürgi/Hoppe 1985, 66.

269 Aufzählung bei Rychener 1984, 31f., siehe dazu auch Kat. 749–765.

270 Drack et al. 1981, 10ff. (H. Kläui) und 31 sowie Abb. 6 (W. Drack). Die früheste Kirche, die sich nur als von frühmittelalterlichen Bestattungen frei gehaltener Raum identifizieren lässt, wird ans Ende des 6./Anfang des 7. Jh. datiert (C14-Datierung von Gräbern).

271 Drack et al. 1981, Abb. 11 (Bauetappe 1b). Mit der Errichtung der ersten Steinkirche wird wohl auch die Ausbeutung der Mauerruine zur Gewinnung von Bausteinen oder zur Herstellung von Kalk eingesetzt haben. Jedenfalls datiert ein 1982 gefundener Kalkofen ins 11./12. Jh. (Rychener 1984, 33).

272 Zusammenfassend zuletzt zur Ummauerung Ebnöther et al. 1995, 126–128 (J. Rychener). Für die Forschungsgeschichte bis in die späten 1960er Jahre siehe H. R. Wiedemer, Schriften zur Römerzeit, hg. von H. Bloesch und E. Ettlinger, Neujahrsblatt der Stadtbibliothek Winterthur 306, Winterthur 1976.

273 Schlupfpforte beim Eckturm der Südecke (Drack/Fellmann 1988, Abb. 483).

274 E. Meyer, Das römische Kastell Irgenhausen, Archäologische Führer der Schweiz 2, 1969.

275 Es sind bisher keine weiteren Anzeichen von Toren oder Durchlässen in der Ummauerung bekannt geworden. Besonders an der NW-Seite könnte damit gerechnet werden. Sichere Aussagen sind dazu nicht möglich, da die Kenntnis des Mauerverlaufs zum Teil sehr lückenhaft ist. Immerhin verläuft die Mauer dort durchgehend, wo wahrscheinlich die von der Hauptstrasse abzweigende Nebenstrasse zum Kirchhügel in das ummauerte Areal hineingeführt hat/hätte.

276 Bei der Anlage der Strasse ist vermutlich eine natürliche Einsenkung ausgenützt worden, die es erlaubte, das Strassentrassee ohne Gefällebruch in den östlichen Abhang des Kirchhügels hinauszuführen. Die heutige Situation lässt kaum mehr an einen Zugang an dieser Stelle denken, beruht aber auf den nachrömischen Eingriffen ins Gelände (Stützmauern für die Kirche, Errichtung des «Bruderhauses»).

277 Die Anlage von Befestigungen spiegelt zweifellos eine fortschreitende Verunsicherung. Verursacht wurde sie durch den Verlust der rechtsrheinischen Gebiete. Doch darf die um sich greifende Unsicherheit keineswegs pauschal den Einfällen von ausserhalb zugeschrieben werden (so etwa bei Drack/Fellmann 1985, 74–84). Dahinter steckt ein vielschichtiger Auflösungsprozess der sozialen und politischen Ordnung der Pax Romana des 1. und 2. Jh. Vgl. Rychener 1999, Bd. 1, 506f. (mit ausführlichen Literaturangaben).

278 Zusammenfassender Abriss zu den militärischen Massnahmen der 2. Hälfte des 3. Jh. bei Drack/Fellmann 1988, 74ff.

279 Datierung ins späte 3./frühe 4. Jh. gemäss dem eher spärlichen Fundmaterial bei Hartmann 1986, 124.

Durch Inschriften ins Jahr 294 datierbar sind die Ummauerungen von Oberwinterthur und auf Burg[280] bei Stein am Rhein SH, dies bei völlig unterschiedlichem Aussehen. Von der Bauform her ist letzteres viel eher ein militärischen Zwecken und weniger der Zivilbevölkerung dienendes Bauwerk. Die früher wegen ihres Umrisses zeitlich mit der Befestigung von Oberwinterthur in Zusammenhang gebrachten Ummauerungen oder Kastelle von Olten SO und Solothurn SO lassen sich auf Grund archäologischer Untersuchungen neuerdings direkt datieren. In Solothurn wird eine Erbauung zwischen 325 und 350, wahrscheinlich sogar vor 330 postuliert[281]. In Olten[282] liess sich eine Vorgänger-Befestigung zum Castrum fassen; der zugehörige Graben ist im letzten Viertel des 3. Jh. verfüllt worden, wie ein Münzfund und das Fehlen von Material des frühen 4. Jh. nahe legen. Die Bauzeit des Castrums wird in einen ähnlichen Zeitrahmen gelegt wie im Fall von Solothurn. Die Befestigungen von Arbon TG und Pfyn TG sind vom Fundmaterial her gesehen wohl ebenfalls erst später entstanden[283].

Die Ummauerung des Kirchhügels von Oberwinterthur rückt damit aus einem in der bisherigen Forschung weiträumig gesehenen Befestigungskonzept. Das Bauwerk steht eher am Anfang eines längeren, in etliche Phasen unterteilbaren Zeitabschnitts einer sich stetig verdichtenden Befestigung des Mittellandes, die mit der Erneuerung der militärischen Anlagen in Vindonissa noch vor 260 eingesetzt hat[284].

3.5.2 Örtliches Umfeld

Bei der Vorlage der Publikation über den Kirchhügel im Jahre 1984 schien eine Lücke zwischen «Vicus-» und «Kastellzeit» nicht ausgeschlossen[285]. Die inzwischen erfolgte gründliche Suche nach Zeugnissen des 3. Jh. im Siedlungsteil *Unteres Bühl* hat gezeigt, dass eindeutig eine Kontinuität in der Siedlungsgeschichte vorliegt[286]. Auch auf dem Kirchhügel selbst sind Zeugnisse dafür vorhanden, die durch die in diesem Band behandelte Ausgrabungsstelle *Hohlandstrasse 3* (Kap. II.2) ergänzt werden. Die eher prekär anmutenden Befunde des späteren 3. und des 4. Jh. sind als Problem der Überlieferung, der Erhaltungsgeschichte zu sehen – direkte Rückschlüsse auf die Siedlungsgeschichte im Sinne einer generellen und erheblichen Verkleinerung lassen sie nicht zu. Zusammen mit dem architektonischen Befund zum Tor an der Ostseite der Ummauerung und der plausibel erscheinenden weiteren Benützung von Bau III auch nach 294 ergibt sich somit ein zeitlich geschlossenes Bild. Die Anlage der Befestigung nützte einerseits die Spornlage des Kirchhügels aus, umschloss aber gleichzeitig die für wichtig gehaltenen Gebäulichkeiten (Tempel, Badegebäude, weiteres öffentliches Gebäude?) einer weiterhin existierenden offenen Siedlung.

3.6 Zusammenfassung – Résumé – Riassunto – Summary

Die 1988 notwendig gewordene archäologische Untersuchung östlich der bestehenden Kirche St. Arbogast umfasste zwar nur eine kleine Fläche, hat aber unsere Kenntnis der Siedlungsgeschichte von Vitudurum im Allgemeinen und vom Areal des Kirchhügels im Besonderen erheblich erweitert. Die Aufarbeitung fällt zudem in eine Zeit, da Datierungen von spätrömischen Befestigungsanlagen dank neuerer Untersuchungen revidiert werden konnten[287].

Die Freilegung eines zum Badegebäude des Vicus gehörenden Anbaus bot Anlass, die Baugeschichte der Thermen nochmals durchzuarbeiten. Von den ursprünglich postulierten vier Bauphasen blieben zwei übrig. In eine dritte Phase gehören der um 294 erfolgte Abbruch des Anbaus sowie eine Anzahl von Pfostensetzungen, für die aber keine schlüssige Interpretation möglich war. Die vor 1988 nicht bekannte Existenz eines Anbaus an der Ostseite erlaubte Rückschlüsse auf das Aussehen und die innere Gliederung des Badegebäudes. Es ist davon auszugehen, dass an der Ostseite die beheizten, an der Westseite die unbeheizten Räume des Bades lagen. Vergleiche mit den Vicusthermen von Schleitheim SH und Zürich zeigen ähnliche äussere Dimensionen der Badegebäude.

Mit der 294 errichteten Ummauerung des Kirchhügels wird ein Teil einer existierenden Siedlung befestigt. Eingeschlossen wurden offenbar für wichtig gehaltene Bauten des Vicus. Dass diese Arbeiten im Namen der Kaiser (Augusti) und Vizekaiser (Caesares) unter Aufsicht des Provinzstatthalters von Obergermanien durchgeführt wurden, unterstreicht die Wichtigkeit, die man dem Vicus Vitudurum damals (wieder) zumass[288]. Die sehr sorgfältige und massive Ausführung des Mauerwerks passt dazu sehr gut. Die Gestalt der Befestigung spricht allerdings weniger für eine militärisch genutzte und/oder besetzte Fortifikation als vielmehr für eine Nutzung als Fluchtburg. Ein Zusammenhang mit der wahrscheinlich gleichzeitig errichteten Befestigung von Burg bei Stein am Rhein ergibt sich vielleicht aus der Überlegung, dass die Ummauerung in Vitudurum (auch) als gesicherter Sammel- und Lagerplatz von Nachschub für das dortige Kastell gedacht war.

Résumé

Menées dans l'urgence en 1988, les investigations archéologiques entreprises à l'est de l'église St. Arbogast n'ont certes touché qu'une surface restreinte; elles ont cependant livré des éléments primordiaux pour l'histoire de l'occupation de Vitudurum en général, et de la zone de la colline de l'église en particulier. De plus, l'élaboration de cette fouille a bénéficié de la révision des datations d'autres complexes défensifs du Bas Empire[289].

Le dégagement d'un bâtiment contigu à l'établissement de bains du vicus nous a fourni l'occasion de reconsidérer l'histoire de la construction des thermes. Alors que l'on postulait à l'origine quatre phases de construction, on sait aujourd'hui qu'il n'y en eut que deux. Le démantèlement du bâtiment annexe vers 294, ainsi que la mise en place d'un certain nombre de pieux, se rattachent à une troisième phase, pour laquelle aucune interprétation plausible n'a pu être avancée. En 1988, nous ignorions l'existence d'un bâtiment annexe sur le flanc oriental des bains; elle permet aujourd'hui de se faire une image de l'aspect extérieur de l'établissement ainsi que de son organisation interne: les pièces chauffées devaient se trouver sur le flanc est et les salles non chauffées sur le côté ouest. Les thermes du vicus de Schleitheim (Schaffhouse) et de Zurich présentent des dimensions extérieures similaires.

Le mur d'enceinte qui protègera la colline de l'église dès 294 fut édifié autour d'une agglomération déjà existante. Il semble que les bâtiments importants du vicus aient été circonscrits dans l'enceinte. Le fait que ces travaux aient été entrepris au nom des empereurs *(Augusti)* et des vice-empereurs *(Caesares)*, sous la surveillance du gouverneur de la province de Germanie supérieure, souligne l'importance que l'on accordait alors au vicus[290]. L'appareil maçonné, très massif et réalisé avec un soin particulier, concorde parfaitement avec ces observations. L'apparence de la fortification parle cepen-

dant moins en faveur d'une fortification à fonction militaire que d'une utilisation comme refuge. Peut-être que l'enceinte de Vitudurum servait (aussi) de point de rassemblement et de campement pour les renforts gagnant le castrum de Stein am Rhein (Schaffhouse), signalant ainsi un lien avec cette dernière fortification, érigée vraisemblablement à la même époque.
Traduction Catherine Leuzinger-Piccand

Riassunto
Nel 1988 si rese necessaria un'esplorazione archeologica ad est dell'attuale chiesa di St. Arbogast. Lo scavo, condotto su una superficie limitata, ha tuttavia portato ad un notevole ampliamento delle nostre conoscenze sull'antica Vitudurum in generale e sulla zona detta *Kirchhügel* in particolare. Lo studio dei dati di scavo cade inoltre in un momento propizio per la ricerca, caratterizzato da una revisione generale della datazione di fortificazioni del tardo impero[291].

La scoperta di un edificio annesso alle terme del vicus ha dato luogo ad una nuova valutazione delle fasi di costruzione, elaborate per questo complesso architettonico in uno studio del 1984. Delle quattro fasi postulate allora ne sono rimaste due, alle quali se n'aggiunge una terza, relativa allo smantellamento dell'annesso attorno al 294 e alla posa di una serie di pali, dalla funzione non del tutto chiara. Con l'annesso sul lato occidentale, di cui s'ignorava l'esistenza prima del 1988, si completa la nostra visione dell'aspetto esteriore e dell'organizzazione interna del complesso termale: l'ala occidentale dell'edificio ospitava gli ambienti riscaldati, quella sul lato orientale le sale fredde. Confronti con analoghe installazioni nei vici di Schleitheim (Sciaffusa) e Zurigo, hanno rivelato dimensioni esterne del tutto paragonabili a quelle d'Oberwinterthur.

Le mura erette attorno al *Kirchhügel* nel 294 vengono a proteggere parte della superficie abitata, in cui si concentravano gli edifici del vicus considerati di prima importanza. Il fatto che l'opera di fortificazione sia stata voluta dagli imperatori *(Augusti)* e dai viceimperatori *(Caesares)*, sotto l'egida del governatore della *Germania superior*, pone l'accento sull'importanza che in quel periodo era (nuovamente) attribuita al vicus Vitudurum[292]. Quest'osservazione trova conferma nell'esecuzione particolarmente accurata e massiccia dell'opera muraria, che per il suo carattere fa pensare più ad un rifugio per la popolazione locale che ad un forte utilizzato e/od occupato militarmente. S'intravede un possibile nesso con la costruzione, probabilmente coeva, della fortezza di Burg presso Stein am Rhein (Sciaffusa), per la quale Oberwinterthur poteva fungere da base logistica fortificata.
Traduzione Rosanna Janke

Summary
The archaeological examination east of the existing church of St. Arbogast which became necessary in 1988 only covered a small area, but considerably increased our knowledge on the settlement history of Vitudurum in general and the area of the *Kirchhügel* in particular. In addition the analysis was undertaken at a time when the dating of Late Roman fortifications could be revised thanks to recent research[293].

The uncovering of an extension belonging to the bathhouse of the vicus gave rise to the re-examination of the construction history of the Roman Baths. Two of the four originally postulated building phases remained. The demolition of the extension around 294 as well as a number of post holes belong to a third phase. Unfortunately, it was not possible to interpret these post holes conclusively. The existence of an extension on the eastern side, which had not been known prior to 1988, allowed us to conclude what the bath-

280 Die Inschrift des Kastells (CIL XIII, 5256) ist allerdings nur sehr fragmentarisch überliefert, u.a. ist auch das in der Ergänzung postulierte Wort MVRVS nicht erhalten. G. Walser, Römische Inschriften der Schweiz II, Bern 1980, Nr. 199 (182–183) bezeichnet die von E. Meyer (Howald-Meyer Nr. 370) vorgeschlagene Komplettierung der Inschrift nach dem Vorbild der Oberwinterthurer Inschrift als unsicher. Auch die Datierung ist nur eine Vermutung. Angesichts der Diskussion über die Datierung der spätrömischen Befestigungen sollte diese Unsicherheit der Quelle im Auge behalten werden.

281 Schucany 1997, 157.

282 Das Folgende nach Schucany 1996b, 70ff.

283 Brem/Bürgi et al. 1992, 175 f.

284 Fellmann 1988, 74–75.

285 Rychener 1984, 67–69.

286 Zusammenfassend zuletzt bei Ebnöther et al. 1995, 113–115 dargestellt (J. Rychener). Siehe speziell zum Unteren Bühl bei C. Ebnöther et al., Ein Schrank mit Lararium des 3. Jh., in: VITUDURUM 7, Zürich und Egg 1996, 229–248. Für weitere Hinweise zur Siedlung des 3. Jh. danke ich Christa Ebnöther und Thomas Pauli.

287 Neben den ausführlich zitierten Beispielen sei auch an die Neudatierung des Castrum Rauracense (schon um 300, Mitteilung von P.-A. Schwarz, zitiert nach Schucany 1997, 157), der Befestigung auf dem Lindenhof von Zürich (K.-J. Gilles, Zur spätrömischen Toranlage auf dem Wittnauer Horn, in: Germania 54/1976, 440–451: konstantinisch) und des Castrums Yverdon (P. Curdy et al., JbSGUF 78/1995, 7–56: dendrodatiert 325/326).

288 Zu erwähnen ist in diesem Zusammenhang die Strasse, die durch den Vicus Vitudurum führt: Nach dem Verlust der Gebiete nördlich des Rheins wurde sie wieder zur einzigen W–E-Verbindung nördlich der Alpen, die nicht über Pässe führt – wie schon während des frühen und mittleren 1. Jh.

289 Outre les nombreux exemples cités en détail, on évoquera la nouvelle datation du Castrum Rauracense (vers 300 déjà, communication de P.-A. Schwarz, cité par Schucany 1997, 157), de la fortification du Lindenhof à Zurich (K.-J. Gilles, Zur spätrömischen Toranlage auf dem Wittnauer Horn, in: Germania 54/1976, 440–451: règne de Constantin) et du castrum d'Yverdon (Ph. Curdy et al., ASSPA 78/1995, 7–56, daté par la dendrochronologie de 325/326).

290 Dans ce contexte, on mentionnera la route qui conduit au vicus de Vitudurum: après la perte du territoire situé au nord du Rhin, elle fut à nouveau promue au rang d'unique voie de passage d'axe est-ouest au nord des Alpes qui permette d'éviter les cols, importance qu'elle revêtait déjà au début et au milieu du 1er siècle.

291 Oltre ai numerosi esempi citati nel testo si ricordano le nuove datazioni del Castrum Rauracense (già nel 300 d.C., comunicazione di P.-A. Schwarz, citato da Schucany 1997, 157), della fortificazione di Zurigo, Lindenhof (K.-J. Gilles, Zur spätrömischen Toranlage auf dem Wittnauer Horn, in: Germania 54/1976, 440–451: sotto il regno di Costantino) e del castrum d'Yverdon (P. Curdy et al., AnnSSPA 78/1995, 7–56: dendrodatato 325/326).

292 Si pensi alla strada che attraversa il vicus: dopo la perdita dei territori a nord del Reno, essa tornava ad essere l'unico collegamento Ovest-Est a nord delle Alpi che non passasse attraverso i valichi alpini. La stessa situazione vigeva nella prima metà del I sec. d.C.

293 Besides the examples quoted in detail, the following works are worth mentioning here: new dating of the Castrum Rauracense (as early as 300, communicated by P.-A. Schwarz, quoted after Schucany 1997, 157), of the fortification on the Lindenhof in Zurich (K.-J. Gilles, Zur spätrömischen Toranlage auf dem Wittnauer Horn, in: Germania 54/1976, 440–451: Constantine period) and of the Castrum Yverdon (P. Curdy et al., JbSGUF 78/1995, 7–56: dendrodated 325/326).

house looked like and how it was organised internally. One can assume that the heated rooms were situated on the eastern side, the unheated rooms were located on the western side of the bathhouse. Comparisons with the vicus baths of Schleitheim (Schaffhausen) and Zurich show similar external dimensions of the bathhouses.

By building a wall around the *Kirchhügel* in 294, part of the existing settlement was fortified. The vicus buildings included were obviously seen as important. The fact that this work was done in the name of the emperors *(Augusti)* and the vice emperors *(Caesares)* and under the supervision of the provincial governor of Upper Germania, emphasises the importance attributed (once more) to the vicus Vitudurum[294]. The very careful and massive construction technique of the wall corresponds very well to this. However, the character of the fortification does not indicate its use for military purposes, but suggests its use as a place of refuge. Maybe there is a connection to the fortification of the citadel at Stein am Rhein (Schaffhausen), which was probably built at the same time. The wall in Vitudurum could (also) have served as a secure assembly and collecting point for supplies for the castellum in Stein am Rhein.
Translation Sandy Hämmerle

4 UNTERE HOHLGASSE 8
(Ausgrabung 1994) (*Jürg Rychener*)

4.1 Einleitung und Überblick

4.1.1 Lage der Ausgrabung

Das untersuchte Areal befindet sich rund 50 m vom Zentrum des nach SE vorspringenden Sporns (Kirchhügel) entfernt, auf dem heute die Kirche St. Arbogast steht (siehe den Plan im Vorsatz). Es liegt am östlichen Abhang des hier steil abfallenden Hügels, rund 10 m tiefer als das Plateau, auf dem die Kirche steht. Das Gefälle des Terrains verläuft in der untersuchten Fläche ungefähr von SW gegen NE. Der höchste Punkt des aktuellen Terrains lag in der SW-Ecke von Feld 3, der tiefste in der NE-Ecke von Feld 1 (Abb. 63); auf eine Distanz von gut 30 m ergibt sich ein Höhenunterschied von 3 m.

In der nahen Umgebung sind bisher keine archäologische Untersuchungen vorgenommen worden. Die nächstgelegene Ausgrabungsstelle ist *St. Arbogast-Stützmauer* Ost, mit der aber kein Zusammenhang besteht[295]. Die angetroffenen Befunde sind somit isoliert, Verbindungen zu bereits Bekanntem lassen sich nicht herstellen. Immerhin ist zu erwähnen, dass wie hier auch im Areal *Obere Hohlgasse 1* ein nach SE führender Entwässerungsgraben gefasst werden konnte[296]; Abwassergräben scheinen demnach trotz des stark abfallenden Terrains an der Hügelflanke nichts Ungewöhnliches zu sein.

Soweit bekannt, liegt die Grabungsstelle in einem Bereich, der zur Zeit der römischen Siedlung nicht überbaut war, sondern zumindest punktuell als Zone gewerblicher Nutzung gedient haben muss, wie die Reste von Töpfereien (Öfen und Schlämmgruben) zeigen, die weiter östlich zum Vorschein gekommen sind (Dorfstrasse 7[297]).

4.1.2 Umstände der Ausgrabung

Die Ausgrabung wurde notwendig, da eine Neuüberbauung der Parzelle geplant war. Ihr Westteil war überbaut, der Ostteil diente als Garten, in dem eine grössere Fläche archäologisch untersucht worden ist; ein weiteres Grabungsfeld wurde innerhalb eines an der SW-Seite des Gebäudes angebauten Schopfes angelegt. Die Ausgrabung dauerte vom 20.6.–22.8.1994[298]. Eine Untersuchung der Flächen innerhalb der Gebäude erwies sich als nicht notwendig, da hier durch Unterkellerungen, Jauchegruben und Planierungen bereits überall der gewachsene Boden erreicht war. Immerhin konnte bei der baubegleitenden Überwachung im Februar 1995 festgestellt werden, dass der im Westteil liegende Graben sich weiter gegen NW erstreckt und in seinem Verlauf von einer römerzeitlichen Grube geschnitten wird[299].

4.1.3 Aussagekraft

Infolge der isolierten Lage, der teilweise unzusammenhängenden Strukturen sowie des stark durchmischten Fundmaterials, das fast ausschliesslich aus sekundär umgelagerten Schichten stammt, ist die Aussagekraft der Ausgrabung äusserst beschränkt. Dies könnte sich ändern, falls in benachbarten Flächen archäologische Untersuchungen notwendig würden.

Aus diesen Erwägungen wird auf eine ausführliche Vorlage verzichtet. Die Befunde werden kurz beschrieben und soweit möglich interpretiert; das Fundmaterial wird dabei beiläufig erwähnt. Eine quantifizierende Analyse und/oder katalogmässige Vorlage erscheint angesichts der durchmischten Komplexe wenig sinnvoll. Kommt dazu, dass besonders die Keramik stark fragmentiert ist.

4.1.4 Übersicht

Die Ausgrabung brachte zwei Gräben, zwei Gruben und vier Pfostenstellungen ans Licht. Eine stratigraphisch gesicherte Abfolge ergibt sich nur für die Strukturen im Ostteil der Ausgrabung, der im Westteil angetroffene Graben liess sich wegen fehlender Schichtverbindungen nicht in das Bild einfügen. Im Ostteil lassen sich drei relativchronologisch definierte Zeitabschnitte unterscheiden. Eine differenzierende absolute Datierung ist infolge der Materialdurchmischungen kaum möglich.

Das Fundmaterial stammt aus den Verfüllungen der erwähnten Befunde sowie aus als neuzeitlich erkannten Strukturen[300]. Schichten aus römischer Zeit fanden sich nur nördlich des einen Grabens; sie lassen sich mangels Funden chronologisch aber nicht genauer zuordnen.

Einen Überblick über das untersuchte Fundmaterial bietet Abb. 62. Die meisten Funde stammen aus der Grabenfüllschicht 1.1, ebenfalls recht umfangreich ist das Material aus Grabenfüllschicht 2.2. Unter der Feinkeramik ist die TS mit über der Hälfte am Gewicht weitaus am besten vertreten, gefolgt von der Schüsselgruppe Drack 20/21. Auf Grund der bekannten Verhältnisse in Oberwinterthur lässt sich somit sagen, dass das meiste Fundmaterial dem 1. und frühen 2. Jh. zuzurechnen ist; dies wird durch die vertretenen Typen der TS bestätigt.

4.2 Befunde und Funde

4.2.1 Einleitung

Die untersuchte Fläche wurde in vier Felder aufgeteilt (Abb. 63). Insgesamt wurden rund 87 m² archäologisch unter-

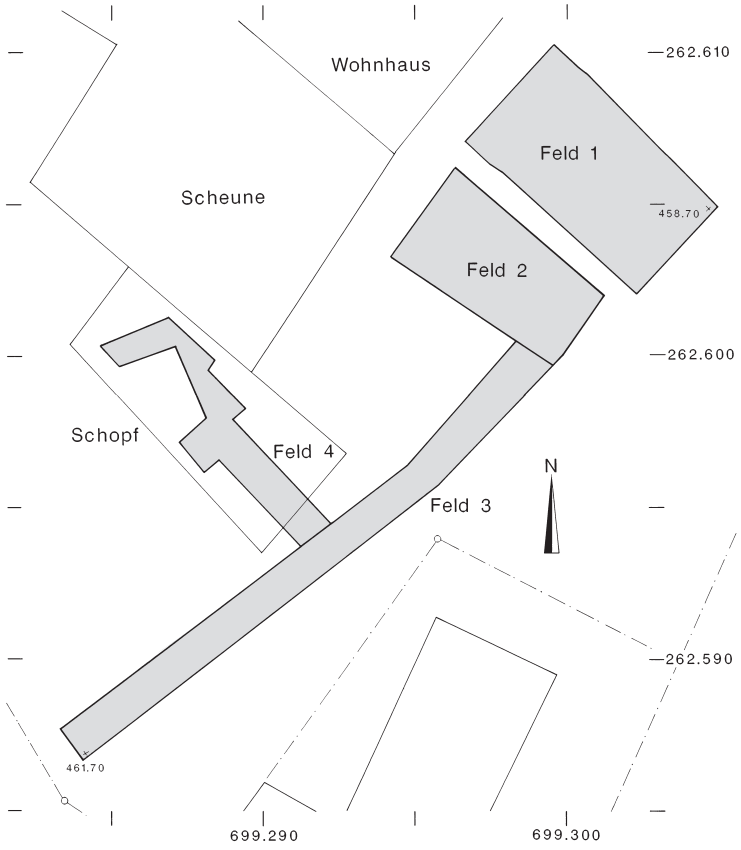


Abb. 63. Untere Hohlgasse 8. Lage der Grabungsfelder, damalige Überbauung, Grundstücksgrenzen. M. 1:250.

sucht. Die Lage der Felder richtete sich nach der vorhandenen Überbauung (Gebäude und Plätze). Feld 4 lag zum grössten Teil innerhalb eines bestehenden Schopfes, dessen rezentes Gehniveau demjenigen ausserhalb der Gebäude entsprach; im Gegensatz zu den anderen überbauten Flächen der Parzelle durfte hier mit erhaltenen Strukturen aus römischer Zeit gerechnet werden.

Gattung/Sorte	Gewicht (g)	Anteil (%)	Fragmente
TS (alle Sorten)	257	51	119
TS-Imitation	29	6	7
Drack 20/21	102	20	17
Glanztonkeramik	76	15	32
SLT-Keramik	40	8	10
Feinkeramik total	**504**	**13**	-
Gebrauchskeramik	2851	71	481
Kochgeschirr	428	11	45
Grobkeramik	208	5	7
Römische Keramik total	**3991**	100	-
Glas	22	-	7
Knochen	5317	-	-

Abb. 62. Untere Hohlgasse 8. Überblick über das Fundmaterial (Gewichte und Scherbenzahlen).

294 Worth mentioning in this context is the road leading through the vicus Vitudurum: After the loss of territories north of the Rhine it became once more – as it had been in the early and mid 1st century – the only west-east link north of the Alps which does not lead across passes.

295 Siehe in diesem Band Kap. II.3.

296 Rychener 1988, 23 ff.

297 Ebnöther et al. 1995, 121 ff. (B. Hedinger); siehe auch den schematischen Plan ebda. 113.

298 Die Ausgrabung läuft unter Grabungsnummer 1994.22, die baubegleitende Überwachung unter 1995.22. Die technische Leitung der archäologischen Rettungsgrabung besorgte Ulrike Wegmann, an der Ausgrabung waren ferner Fanny Bart, Olivier Hinz, Fridolin Mächler und Christian Muntwyler beteiligt. Die baubegleitende Überwachung führte Ulrike Wegmann durch. Kurzberichte zu den Ausgrabungen erschienen in AIZ 13 (1996), 47 und AIZ 14 (1998), 52. Der Bauherrschaft danken wir an dieser Stelle für ihr Verständnis und die Zusammenarbeit. Das Manuskript zur Unteren Hohlgasse 8 wurde im Juli 1997 abgeschlossen.

299 Die Auswertung konnte sich auf eine gut geführte Dokumentation stützen. Besonders hilfreich für den Einstieg in die Auswertung war der von Fanny Bart verfasste Schlussbericht, der ebenfalls der Dokumentation beigeschlossen ist.

300 Für die vorliegende Publikation wurden (auch aus Zeitgründen) nur diejenigen Fundkomplexe berücksichtigt, die aus römerzeitlichen Strukturen stammen. Die anderen Fundkomplexe enthalten fast alle auch neuzeitliche und moderne Funde. Die aufgearbeiteten Fundkomplexe sind in einem EDV-Katalog erfasst; Ausdrucke davon liegen der Dokumentation bei.

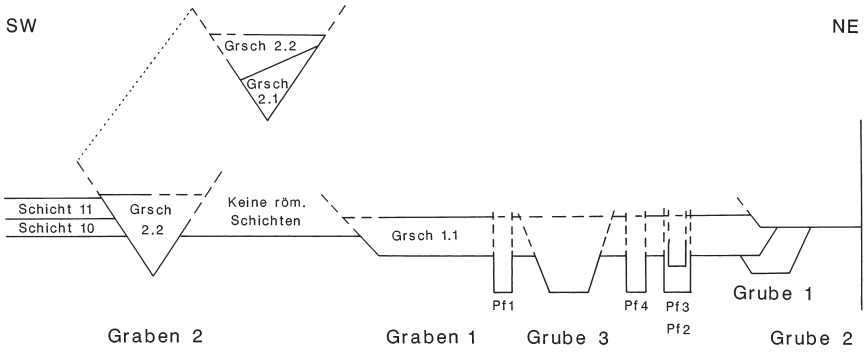


Abb. 64. Untere Hohlgasse 8. Schematisches Profil (o.M.), ungefähr SW–NE verlaufend.



Abb. 65. Untere Hohlgasse 8. Überblick über das Grabungsareal von Südosten. Links der Westteil von Feld 3 mit dem Anstieg zum Kirchhügel, rechts der Ostteil von Feld 3 (vorn) und Feld 2 rechts. Im Hintergrund die bestehende Überbauung mit v.l. Schopf, Scheune und Wohnhaus.

Wie aus Abb. 64 hervorgeht, lassen sich die Strukturen des Ostteils (rechts) in eine stratigraphische Abfolge bringen[301]. Nicht einhängen lässt sich Graben 2, die einzige Struktur im Westteil der Ausgrabung. Im Schema weggelassen sind die neuzeitlichen Schichten und Strukturen (Kiesplatz, Gebäude, Abwasserkanal usw.), da sie sich von den römerzeitlichen gut trennen liessen.

Die Befunde des Ostteils lassen sich drei Zeitabschnitten, bezeichnet als Phasen 1–3, zuordnen. In der folgenden Beschreibung werden zunächst diese Befunde vorgestellt; der isolierte Graben im Westteil wird gesondert behandelt.

4.2.2 Befunde im Nordostteil

Grube 1 (Phase 1)

Grube 1 liegt im NE-Teil von Feld 1; sie konnte wegen der Grabungsgrenze nicht gänzlich freigelegt werden (Abb. 66). Es handelt sich um eine Art Doppelgrube mit nur geringer Tiefe (ca. 40 cm). Hinweise auf eine mögliche Nutzung waren nicht erkennbar. In ihrer Füllung kamen lediglich einige Scherben Gebrauchskeramik zu Tage. Somit ist die Struktur nicht näher datierbar. Ihre «frühe» Stellung ergibt sich daraus, dass die Grubenfüllung beim Aushub von Graben 1 teilweise gestört worden ist.

Graben 1 (Phase 2)

Als Graben 1 ist ein von SW gegen NE verlaufender, sichtlich künstlich eingetiefter Hangeinschnitt bezeichnet, der auf eine Strecke von etwa 11 m verfolgt werden konnte (Abb. 66). Eine klare Böschung war nur an der Westseite fassbar, die Breite des Grabens ist somit nicht zu ermitteln (über 3 m). In seiner Ausrichtung folgt der Graben ungefähr dem Geländeverlauf: der höchste Punkt der UK liegt im SW bei 458,80, der tiefste im NE bei 458,25 m ü. M. UK des Grabens, hart an der westlichen Böschung und parallel zur Streichrichtung wurden etliche Rinnen festgestellt, die während der Ausgrabung als Spuren von Wagenrädern interpretiert wurden; dementsprechend wurde für Graben 1 eine Deutung als Weg vorgeschlagen. Das ist durchaus möglich, könnte es sich doch um einen am südöstlichen Abhang des Kirchhügels vorbeiführenden Verbindungsweg zum Siedlungsteil im *Unteren Bühl* handeln.

Der Graben oder Weg war mit einem dunkel-humosen, in sich homogen wirkenden Material verfüllt (Grabenfüllschicht 1.1), das einiges an Siedlungsschutt enthielt. Als Funde daraus sind zu erwähnen: Drag. 15/17, Drag. 17, Drag. 24/25, Drag. 18/31, Drag.35/36, Drag. 37, Drag. 40 und Drag. 45, ferner drei Fragmente Schwarzer Glanztonkeramik. Im obersten Teil der Verfüllung fand sich ein As des Vespasianus, daneben aber auch etwas neuzeitliche Keramik. Die

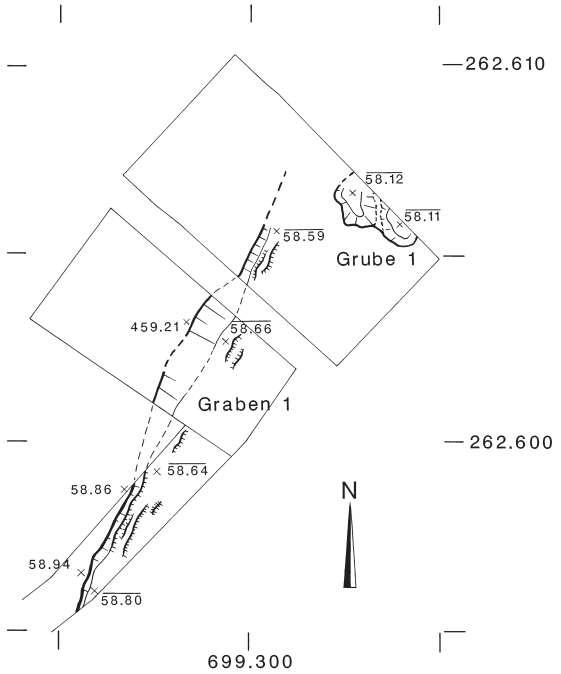


Abb. 66. Untere Hohlgasse 8. Strukturen der Phase 1 und 2 im NE-Teil der Ausgrabung. M. 1:200.

zeitliche Breite des Keramikspektrums (1.–3. Jh.) zeigt, dass die Füllung aus wohl mehrfach umgelagertem Material besteht. Die Funde lassen leider weder Aussagen zur Datierung des Grabenaushubs noch zu seiner Verfüllung zu.

Strukturen der Phase 3

Die Strukturen der Phase 3 konzentrieren sich im Feld 1, lediglich Pfosten 1 liegt in Feld 2 (Abb. 67). Zu bemerken ist, dass Grube 3 und Pfosten 1–4 nicht sicher später angesetzt werden können als die Verfüllung von Graben 1, da nicht zu eruieren war, ob sie Grabenfüllschicht 1.1 durchschlugen oder nicht. Sollte der Graben tatsächlich als Weg genützt worden sein, drängt sich ein späterer Ansatz allerdings auf.

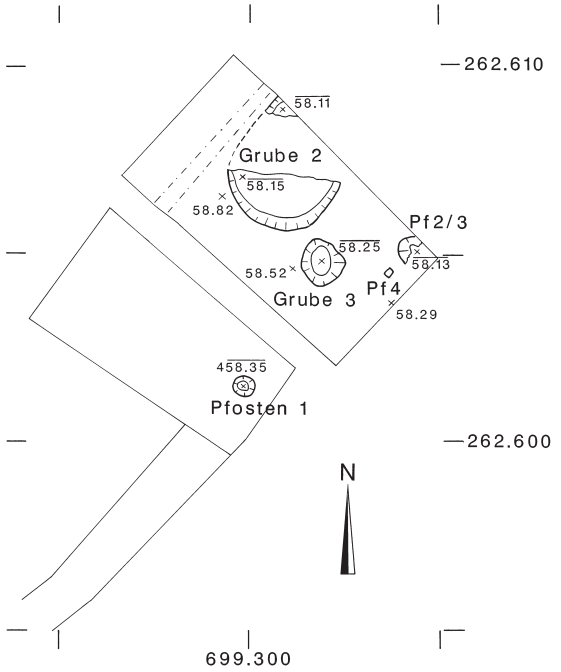


Abb. 67. Untere Hohlgasse 8. Strukturen der Phase 3 im NE-Teil der Ausgrabung. M. 1:200.

Pfosten 1 (Dm. 56/44 cm, ovaler Umriss, konischer Querschnitt) war mit einem humosen Material verfüllt, das keine datierbaren Funde enthält.

Pfosten 3 (Dm. der Grube um 65 cm, des Negativs um 40 cm) enthielt eine Verfüllung, die sich kaum von Grabenfüllschicht 1.1 unterscheiden liess. Einziges bestimmbares Fundstück daraus ist eine Schüssel Drag. 29. UK der Pfostengrube fand sich ein Sohlstein (aus etwas gerötetem Sandstein). Darunter kam eine Vertiefung zu Tage, die sich als weiteres Pfostenloch entpuppte; es muss von einem früher gesetzten Pfosten an dieser Stelle stammen (Pfosten 2, Dm. 24, runder Umriss). Bestimmbare Funde gibt es daraus nicht.

Pfosten 4 (Dm. 6/16 cm, rechteckiger Umriss) wies nur eine geringe Tiefe ab UK Graben 1 auf (9 cm); ein Einstich von weiter oben her war nicht erkennbar. Auch hier fehlt näher bestimmbares Fundmaterial.

Die Sohle von Grube 3 (Dm. 120/110 cm, unregelmässig ovaler Umriss) war nur wenig tiefer als die UK von Graben 1 (5–7 cm); ihre Verfüllung liess sich von Grabenfüllschicht 1.1 kaum trennen. Aus ihr stammt das jüngste datierbare Fundstück der Ausgrabung: eine mit Rädchenmuster verzierte WS der Argonnen-Sigillata (Abb. 68; wohl von kleiner Schüssel Chenet 320). Das zeigt, dass die hier angetroffenen Strukturen erst in der Spätzeit des Vicus (frühestens 1. Hälfte des 4. Jh.) endgültig zugeschüttet worden sind. Über den Zeitpunkt des Aushubs wissen wir allerdings dadurch nicht mehr.

Grube 2 ist die einzige Struktur, die eindeutig später ausgehoben worden ist als Graben 1. Es handelt sich um eine ziemlich ausgedehnte Eintiefung, die nicht vollständig freigelegt wurde. Bei einer wohl ovalen Gesamtform beläuft sich der Durchmesser auf minimal 300 cm, ihre Tiefe beträgt, soweit noch erhalten, an die 60 cm. Verfüllt war sie mit einem sandig-humosen, mit Kieseln und vereinzelten Bollensteinen durchsetzten Material, das sich gut von Grabenfüllschicht 1.1 abhob. Trotz ihrer Grösse enthielt die Grube kaum bestimmbares Fundmaterial: neben etlicher Gebrauchskeramik ein kleines Fragment einer Schüssel Drag. 37.

4.2.3 Graben 2

Der flächig nur teilweise untersuchte Graben 2 durchstreicht den Westteil des Ausgrabungsareals von NW nach SE; er konnte auf einer Länge von rund 10,5 m untersucht werden (Abb. 69). Die UK liegt im NW bei 459,32 m, im SE bei 458,68 m ü.M. Auf die gefasste Länge ergibt sich eine Höhendifferenz von 64 cm, was einem Gefälle von rund 6% entspricht.

Vollständig war der Querschnitt nur in Feld 3 erhalten (Südprofil). Er ist breit «V»-förmig, die Breite an der OK ergibt sich zu ungefähr 280 cm. Die westliche Böschung ist

[301] Die Nummerierung der Strukturen wurde für die vorliegende Publikation neu erstellt. Eine Korrelationsliste zwischen Positionsnummern und den hier verwendeten Bezeichnungen liegt der Dokumentation bei.



Abb. 68. Untere Hohlgasse 8. WS der Argonnen-Sigillata Grube 3. M. 1:1.

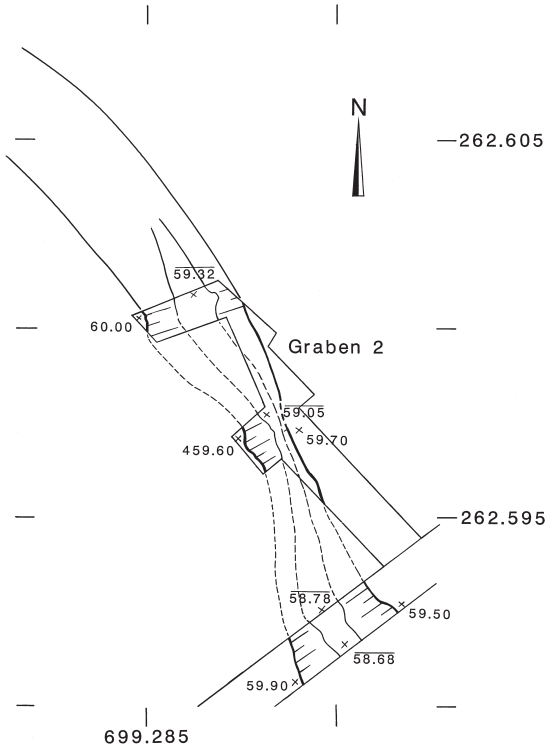


Abb. 69. Untere Hohlgasse 8. Grundriss von Graben 2. Die gestrichelt eingetragene Fortsetzung des Grabens Richtung NW konnte bei der baubegleitenden Überwachung im Februar 1995 beobachtet werden. M. 1:200.

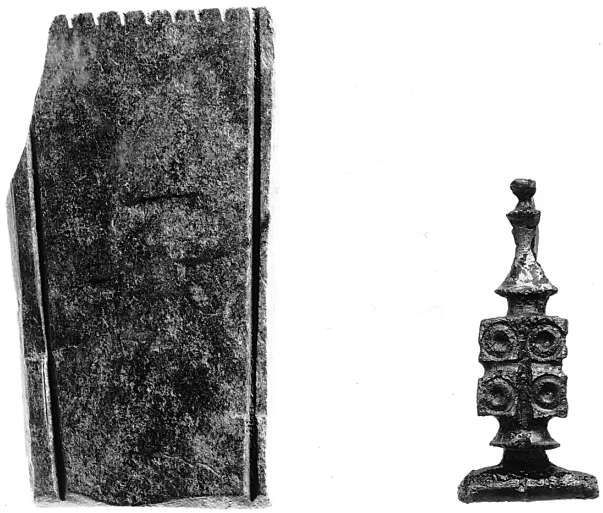


Abb. 70. Untere Hohlgasse 8. Links: Teil eines beinernen Ortbands; rechts: Fibel aus Grabenfüllschicht 2.1. M. 1:1.

in den hier anstehenden, weichen Fels eingetieft und wegen des Terrainverlaufs wesentlich breiter als die Ostseite. An der Westseite konnten auch zwei Schichten (Schicht 10 und Schicht 11, vgl. Abb. 64) beobachtet werden, die beim Aushub des Grabens durchschlagen worden sind. Leider enthielten beide kein Fundmaterial. In Feld 4 waren nur noch die untersten Partien des Grabens erhalten. Hier, nicht aber in Feld 3, fand sich auf der Sohle eine wohl während der Benützung entstandene Ablagerung (Grabenfüllschicht 2.1). Es handelt sich um ein kiesig-sandiges Material mit bis zu 5 cm grossen Bollensteinen, worin ocker- bis grünfarbige Stellen auffielen. Die Schicht wurde als eingeschwemmte Ablagerung charakterisiert, der Graben somit als Abwassergraben angesprochen. Das ist möglich, aber letztlich nicht belegbar, solange nicht mehr über diesen Befund bekannt ist. Die Einschwemmungen könnten auch zufällig entstanden sein – bei einem längere Zeit offen liegenden Graben sind sie eigentlich zu erwarten. Dafür spricht auch, dass Grabenfüllschicht 2.1 nur örtlich zu beobachten war. Aus der Schicht gibt es einiges an Fundmaterial. Besonders zu erwähnen ist ein aus Knochen gefertigtes Teil eines Ortbandes (Abb. 70), für das es Parallelen aus Niederbieber gibt[302]. Es handelt sich also um einen Fund aus dem mittleren 3. Jh. Da das Stück aus der untersten Grabenfüllung stammt, ist wohl davon auszugehen, dass Graben 2 eine vergleichsweise «späte» Struktur ist; er könnte in der 1. Hälfte des 3. Jh. ausgehoben worden sein. Das weitere Fundmaterial aus Grabenfüllschicht 2.1 zeigt die für diesen Fundplatz typische uneinheitliche Zusammensetzung: Drag. 27, Drag. 37, Drack 20 und Drack 21 (beide in schwarzer Technik), vier Fragmente von Bechern der Klassischen Glanztonkeramik, ferner eine «Scharnierfibel mit eingefügten Platten», die Emaileinlagen enthalten[303] (Abb. 70).

Über Grabenfüllschicht 2.1 lagen je nach untersuchter Stelle unterschiedlich starke, zumeist von Osten eingebrachte, im Querschnitt keilförmige Verfüllungen. Die Durchsicht des Fundmaterials zeigte, dass sich die Schichten damit nicht differenzieren lassen. Ausserdem enthalten sie einzeln betrachtet nur wenig Material. Ich habe sie deshalb unter der Bezeichnung Grabenfüllschicht 2.2 zusammengefasst. Das Typenspektrum der TS ist mit Hofheim 1, Drag. 18, Drag. 18/31 (2 Stück), Drag. 27, Drag. 29 (3 Stück), Drag. 33, Drag. 35 und Drag. 37 (5 Stück) breit gestreut. Dazu kommen ein Teller Drack 1, diverse Schüsseln Drack 20/21, Klassische und Schwarze Glanztonkeramik. So ist auch Graben 2, wie alle anderen Strukturen der Ausgrabung, mit durchmischtem Siedlungsschutt verfüllt, der vom 1. bis 3. Jh. in den Boden gekommen ist, wobei Material des 1. und frühen 2. Jh. überwiegt.

4.2.4 Die Herkunft des Fundmaterials

Angesichts der Tatsache, dass das Grabungsareal doch in einiger Distanz zu den überbauten Arealen liegt, überrascht zunächst das ziemlich reichhaltige Fundmaterial. Hält man sich aber vor Augen, dass das Plateau des Kirchhügels vom frühen 1. bis ins 4. Jh. durchgehend besiedelt und mit teils mehrfach erneuerten Gebäuden überstellt war, sind die Funde leicht erklärlich: Es muss sich um Schutt handeln, der bei Umbauten oder nach Bränden über den Plateaurand gekippt wurde und sich an den Hügelflanken angesammelt hat. Kommt dazu, dass bei der Errichtung der Ummauerung im Jahre 294 die seit dem frühen 1. Jh. entstandenen Siedlungsschichten grossflächig tangiert worden sind. Aus diesem

Grund sind archäologische Untersuchungen an den Flanken und dem Fusse des Kirchhügels von einem gewissen Interesse, auch wenn kaum mit Funden in originaler Lage gerechnet werden kann. An anderen Orten lassen sich vielleicht schichtmässig aufgebaute Schuttkegel finden, die indirekte Rückschlüsse über die Besiedlung erlauben könnten. Ich denke an quellenkritische Forschungen zum Verhältnis zwischen in situ abgelagertem Material und zu solchem, das anderwärts deponiert worden ist (taphonomische Studien).

4.3 Zusammenfassung – Résumé – Riassunto – Summary

Die relativ kleine Ausgrabungsfläche sowie deren isolierte Lage machen eine Beurteilung der angetroffenen Befunde derzeit so gut wie unmöglich. Sie zeigen jedoch erneut, dass auch weit ausserhalb der mit Häusern überstellten Flächen des Vicus mit Aktivitäten gerechnet werden muss. In unserem Fall handelt es sich um einen möglichen Weg sowie um Hinweise auf Konstruktives (Pfostenlöcher). Allerdings lassen sich solche Spuren nur bei grossflächigen Untersuchungen interpretieren, es sei denn, man treffe auf eindeutig bestimmbare Befunde wie die erwähnten Zeugnisse von Töpfereien. Das Befundbild der Unteren Hohlgasse 8 wird wohl erst dann für weitergehende Aussagen brauchbar, wenn in Parzellen der näheren Umgebungen Untersuchungen durchgeführt werden können.

Überraschend ist das relativ reiche Fundmaterial aus den diversen Graben- und Grubenverfüllungen. Es belegt, dass Schutt vom überbauten Plateau des Kirchhügels an der Flanke und am Hügelfuss deponiert worden ist.

Résumé

Les structures découvertes à la Untere Hohlgasse 8 se caractérisent par une position isolée et les dimensions relativement restreintes de la zone fouillée qui en rendent l'évaluation particulièrement ardue. Elles ont cependant le mérite de démontrer une fois encore que l'on peut s'attendre à découvrir des traces d'activités humaines même à distance respectable des zones bâties. Dans le cas présent, il s'agit peut-être d'un chemin et d'éléments construits (trous de poteaux). Toutefois, de telles traces ne peuvent être interprétées que lors d'investigations étendues, à moins qu'il ne s'agisse de structures identifiables au premier coup d'œil, comme les vestiges des ateliers de potiers mentionnés. Les structures découvertes à la Untere Hohlgasse 8 ne révèleront sans doute toute leur signification que lorsque les parcelles limitrophes auront pu faire l'objet d'investigations archéologiques.

On notera que le mobilier découvert dans le remplissage de diverses fosses et fossés est étonnamment riche, prouvant que les déblais du plateau de la colline de l'église, zone bâtie, ont été évacués sur le flanc et au pied de la butte.

Traduction Catherine Leuzinger-Piccand

Riassunto

Una valutazione complessiva delle strutture emerse in località Untere Hohlgasse 8 non è possibile a causa delle piccole dimensioni della superficie scavata e della sua posizione isolata. Non ci resta che costatare come ad Oberwinterthur, anche in un luogo discosto dalla zona occupata dalle abitazioni del vicus, si possano incontrare tracce d'attività umana. In questo caso si tratta di un viottolo e di resti di costruzioni (buche di pali). Al contrario d'installazioni caratteristiche, come ad es. quelle relative alle fornaci di vasaio, questo tipo di strutture è interpretabile solo se indagato su grandi superfici. Il nostro lotto potrà dunque essere inserito nell'ambito dell'evoluzione dell'abitato romano d'Oberwinterthur solo una volta che anche le superfici circostanti saranno state oggetto d'indagine archeologica.

Del tutto sorprendente è la ricchezza dei materiali rinvenuti dagli strati di ripiena dei numerosi fossati e fosse. Deve trattarsi d'immondizie gettate lungo i fianchi e ai piedi della collina dal pianoro abitato del *Kirchhügel*.

Traduzione Rosanna Janke

Summary

The relatively small excavation area and its isolated location make it almost impossible at this stage to interpret the unearthed structures. However, they show once more that we have to expect activities even far outside the built on areas of the vicus. In this case we are dealing with a possible path as well as evidence of constructions (post holes). However, only in extensive excavations is it possible to interpret such traces, unless one encounters clearly definable structures such as the aforementioned evidence of pottery making. Further conclusions on the structures of the Untere Hohlgasse 8 can not be drawn until research becomes available in nearby parcels.

The relatively abundant finds from the various trench and pit fills are surprising. They prove that rubble from the built on plateau of the *Kirchhügel* was deposited on the flank and at the foot of the hill.

Translation Sandy Hämmerle

[302] Oldenstein 1976, Kat. 166; vgl. ebda. 117 und 123. Auf den Vergleichsfund machte mich freundlicherweise Bettina Hedinger aufmerksam.

[303] Entspricht dem Typ Riha 5.16, Variante 1; Riha 1979, 148–154 und Kat. 1238–1351. Die frühesten Stücke treten in Augst um die Mitte des 1. Jh. auf, sie sind bis ins frühe 2. Jh. getragen worden. Vgl. Ettlinger 1973, Typ 35.

Zum Inhaltsverzeichnis

Zum Inhaltsverzeichnis

III AUSGRABUNGEN IM NORDOSTEN DES VICUS

1 SYNTHESE DER AUSGRABUNGSRESULTATE

(Rosanna Janke und *Verena Jauch)*

1.1 Chronologie

Beim Versuch, die Periodisierung der verschiedenen Ausgrabungen zu korrelieren, fällt der deutliche Unterschied zwischen der genauen, meist auf 20–30 Jahre beschränkten Phasendauer innerhalb der kleinflächigen Grabungen und der groben Einteilung in Siedlungshorizonte innerhalb der grösseren Areale Römerstr. 227/229 und Römerweg 5 auf (Abb. 71). Diese Diskrepanz ist auf mehrere Faktoren zurückzuführen: Einmal abgesehen vom Erfahrungsgrad des Grabungspersonals und von den Fähigkeiten der leitenden Archäologinnen und Archäologen, sind es in erster Linie die Grösse der Grabungsflächen und die Zeitvorgaben, die die Arbeitsweise auf dem Feld bestimmen. Während auf einem grösseren Areal der Bagger immer wieder zum Einsatz kommt, besteht auf kleineren Flächen häufiger die Möglichkeit Grabungsabstiche von Hand vorzunehmen. Dies erlaubt ein detaillierteres Vorgehen und dadurch eine genauere Datierung der Befunde. Ein weiterer Faktor innerhalb grossflächiger Areale besteht in der Schwierigkeit, über lange Distanzen eine feine Schichtkorrelation aufrechtzuerhalten. Für eine verständliche Vorlage der Befunde müssen deshalb gröbere Horizonte definiert werden, die über die ganze Fläche nachvollzogen werden können.

Der Beginn der römischen Besiedlung im Nordostteil des Vicus setzt etwa um die Zeitenwende ein (Abb. 71). In allen Grabungen ist die Siedlungstätigkeit des 1. Jh. durch zahlreiche Bauphasen vertreten. Analog zum Rest des Vicus werden die archäologischen Spuren ab dem 2. Jh. immer spärlicher, mit Ausnahme der Grabungen am östlichen Rand des Vicus (Römerstr. 227/229 und Römerweg 5), wo einige Strukturen und v.a. Funde von einer Weiterbesiedlung bis ins 4. Jh. zeugen. Vier spätrömische Gräber an der Römerstr. 227/229 stellen die jüngsten Spuren der antiken Nutzung dieses Bereiches von Vitudurum dar. Wir gehen davon aus, dass diese Befundlage mit der Ausdehnung der neuzeitlichen und modernen Überbauung von Oberwinterthur zusammenhängt, da der Ostrand des Bauerndorfes bis zum 17. Jh. etwa bei der heutigen Römerstr. 221 lag und die Flächen östlich davon zum grössten Teil frei von Gebäuden waren. Die antiken und nachantiken Schichten hatten deshalb hier weit-

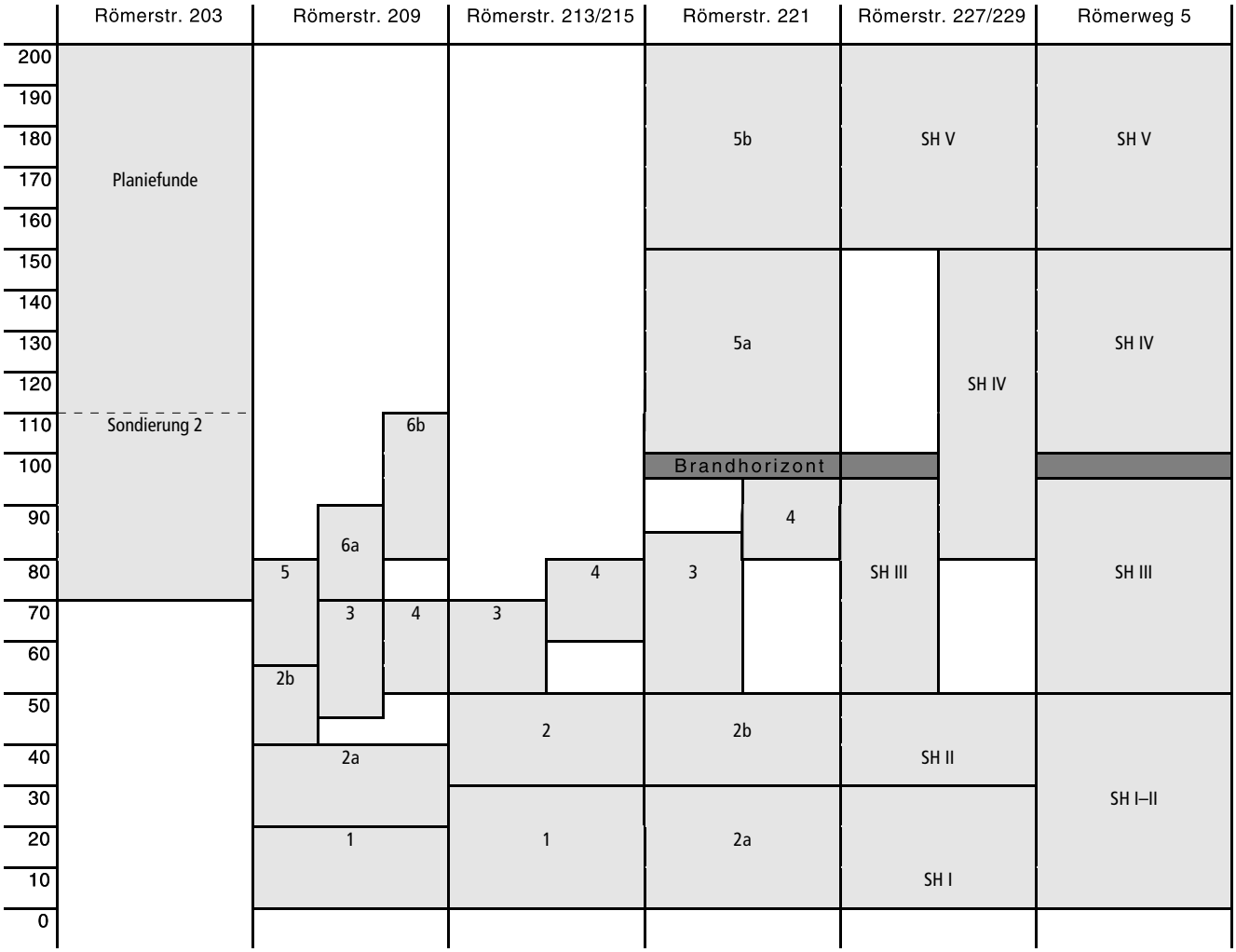


Abb. 71. Vicus, Nordostquartier. Chronologietabelle 1.–2. Jh. n.Chr., Einteilung in Bauphasen bzw. Siedlungshorizonte (SH).

Ausgrabung	Römerstr. 203 (1998)	Römerstr. 209 (1994–1995)	Römerstr. 213/215 (1990–1992)	Römerstr. 221 (1996)	Römerstr. 227/229 (1991–1992)	Römerweg 5 (1988)
Grösse	a. 2 Sondierschnitte à 2 m² b. flächiger Baggerabtrag auf 160 m²	a. innerhalb Gebäude 12 m² b. ausserhalb Gebäude 50 m²	a. 25 m² Fläche, ansonsten nur Profile b. 11,5 m² (neuzeitlich)	a. innerhalb Gebäude 10 m² (neuzeitlich) b. ausserhalb Gebäude 37 m²	1500 m²	520 m²
Situation	Freifläche	innerhalb und ausserhalb Gebäude	innerhalb und ausserhalb Gebäude	innerhalb und ausserhalb Gebäude	innerhalb und ausserhalb Gebäude	Freifläche
Stratigraphie	60–70 cm	80 cm	30–40 cm; F.3 max. 90 cm	50–75 cm	bis zu 80 cm	bis zu 80 cm
Dauer	a. 5 Tage b. 2 Tage	22 Wochen	22 ½ Wochen	9 Wochen	13 Monate, bei einer Grabungsequipe von durchschnittlich 10–12 Personen	5 Wochen, mit durchschnittlich 6 MitarbeiterInnen
Datierung	typologisch	typologisch	typologisch	typologisch	typologisch; Dendrochronologie	typologisch
Probleme	sehr kleine Fläche	viele Störungen, römische und neuzeitliche, sehr enge stratigraphische Folge, zu wenig Profilschnitte	kleine Fläche, viele Störungen innerhalb Gebäude, Raubgräber	kleine Fläche	viele Störungen; Ausgrabung musste teilweise gleichzeitig mit Bauarbeiten erfolgen: keine sinnvolle Einteilung der Grabungsfelder möglich, kein logisches Vorgehen	grosser Zeitdruck; fast ausschliesslich maschinelle Abträge

Abb. 72. Vicus, Nordostquartier. Überblick über die Grabungsflächen.

aus bessere Erhaltungsbedingungen, als dort, wo ab der Neuzeit eine intensivere Siedlungstätigkeit stattfand (wie z. B. in den Häusern an der Hauptstrasse, Römerstr. 209 und 213/215).

In den Grabungsflächen sind Brandschichten zwar mehrfach vorhanden, können aber erwartungsgemäss nicht mit einem einzigen Ereignis in Verbindung gebracht werden. Ein möglicher Brandhorizont am Ende des 1. Jh. scheint sich aber zumindest in den östlichsten Ausgrabungen Römerstr. 221, 227/229 und Römerweg 5 abzuzeichnen. Dieser ist dennoch nicht mit den von J. Rychener an anderen Stellen des Vicus festgestellten Brandschichten, welche entweder in die Zeit um 70 n. Chr. (Unteres Bühl, Kirchhügel) oder in die Zeit um 110/120 n. Chr. (Kirchhügel, Römerstr. 186, Püntenstr. 2) gehören, gleichzusetzen[304].

1.2 Bautechnik

Die Grösse der untersuchten Flächen im Nordostteil des Vicus bestimmt nicht zuletzt auch die Aussagekraft der einzelnen Ausgrabungen (Abb. 72). Während in den Parzellen Römerstr. 227/229 und Römerweg 5 Gebäudegrundrisse fast vollständig erhalten waren oder zumindest rekonstruiert werden konnten, sind aus den anderen Grabungsflächen nur Teilbefunde bekannt (Abb. 73). In Bezug auf die Bautechnik sind diese aber von grosser Bedeutung, da sie einerseits ein breites Spektrum an konstruktiven Details aufweisen und andererseits chronologisch besser definiert sind (Kap. 1.1).

Im Mittelpunkt der folgenden Ausführungen soll der Versuch stehen, einen Überblick über die im Nordostteil des Vicus beobachteten bautechnischen Details zu schaffen. Obwohl diese Vorlage unabhängig von ihrer Interpretation erfolgt, soll dennoch die Funktion einzelner Gebäude – soweit bekannt – nicht unberücksichtigt bleiben. Dieser Aspekt ist besonders im Areal Römerstr. 227/229 bzw. Römerweg 5 bedeutend, da sich hier die Grundrisse den drei Bautypen Wohnhaus, Werkstatt und Speicher zuordnen lassen (Kap. 6.5.1).



Abb. 73. Vicus, Nordostquartier. Übersichtsplan. M. 1:2000.

1.2.1 Gebäudegrundrisse und Masse

Die Analyse der wenigen, meist unvollständig erhaltenen Grundrisse erlaubt es dennoch davon auszugehen, dass während des 1. und 2. Jh. n.Chr. die Gebäude vermutlich ausnahmslos langrechteckig, mit der Schmalseite auf die antike Hauptstrasse angelegt waren.

Vollständige Grundrisse sind sehr selten erhalten. Dies ist der Fall bei einem Speicher und zwei Werkstätten an der Römerstr. 227/229[305]. In einigen Fällen ist die Breite der antiken Gebäude abzuleiten, die 5[306], 6[307], 6,5[308], und 10 m[309] betragen kann, während die Länge meist die Ausdehnung der Grabungsflächen übersteigt. Nur an der Römerstr. 213/215 scheint die Strassenfront fassbar zu sein[310]. Ausser einem unsicheren Balkengräbchen an der Römerstr. 227/229, das analog gedeutet werden könnte[311], befanden sich keine weiteren Befunde im Gebiet des vermuteten Verlaufes der antiken Hauptstrasse (Abb. 74). Im Gegensatz dazu sind an mehreren Stellen die Rückwände der Häuser, die sich vermutlich bis zur Hauptstrasse ausdehnten, dokumentiert. So beispielsweise an der Römerstr. 209[312], 213/215[313], 221[314] und 227/229[315]. Verbindet man die hypothetische Häuserfront von der Römerstr. 197 zu 213/215 und weiter zu 227/229 kommt man auf – zugegeben stark rekonstruierte – Hauslängen, die zwischen 20 und 30 m liegen (Abb. 74). Nur bei der Grabungsfläche Römerstr. 209 zeichnet sich im Laufe der

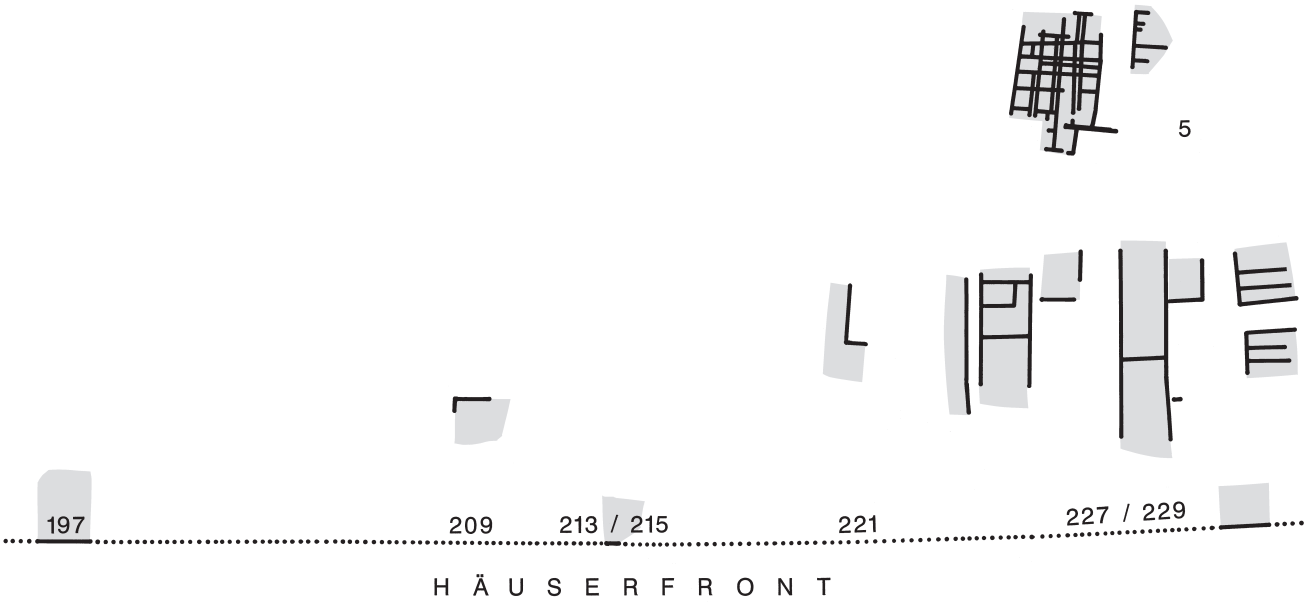


Abb. 74. Vicus, Nordostquartier. Früheste Phasen mit rekonstruierter Strassenfront, o.M.

Zeit eine progressive Zunahme der geschätzten Gebäudelänge ab, während in anderen Parzellen eine Kontinuität in den Grundrissausdehnungen zu bestehen scheint (Abb. 75–77).

Die Masse sind im Allgemeinen gut mit anderen Befunden aus dem Vicus vergleichbar, insbesondere mit den Hausgrundrissen aus dem Westquartier[316]. Im Vergleich mit der Römerstr. 186 sind die Gebäude im Nordostteil des Vicus aber deutlich schmaler. So beträgt die Breite der Häuser C.1 (50–70/75 n. Chr.) und D.1 (110/120–150 n. Chr.) bei einer Länge von etwa 30 m durchschnittlich etwa 12 m[317].

Wände

Als älteste Bautechnik ist der Pfostenbau mit eingesetzten Schwellriegeln an der Römerstr. 209 und vermutlich an der Römerstr. 213/215, jeweils während Phase 1, vertreten[318]. Balkengräbchen kommen allerdings in Zusammenhang mit Pfostenstellungen im Nordostteil des Vicus während des ganzen 1. Jh. vor. Als jüngstes Beispiel gilt der Befund von Phase 6b (80–110 n. Chr.) an der Römerstr. 209 (Abb. 115). Der Abstand zwischen den Pfosten kann stark variieren, zwischen 1,5 und 4,5 m an der Römerstr. 227/229[319] und zwischen 3,1 und 3,4 m an der Römerstr. 209[320]. Eine Besonderheit bilden die Pfostenbauten an der Römerstr. 221[321] und 227/229[322], die in den Balkengräbchen zwischen den Pfosten eine Reihe von Spältlingen und Hälblingen aufweisen. Dabei ist unklar, ob diese Bestandteil der aufgehenden Wand waren oder eine Funktion als Unterlage, bzw. Verankerung für die Schwellbalken erfüllten. An der Römerstr. 227/229, Gebäude H, ist diese Bautechnik bis zum vierten Siedlungshorizont (80–150 n.Chr.) belegt. Es ist aber darauf hinzuweisen, dass es sich in diesem Fall um ein besonderes Gebäude handelt, bei dem Hinweise für eine Nutzung als Schmiede vorliegen, wobei nicht ersichtlich ist, ob ein Bezug zwischen Bautechnik und Funktion des Gebäudes bestanden hat.

Spätestens ab dem 2. Viertel des 1. Jh. sind im Nordostteil des Vicus Ständerbauten ohne Steinunterlagen bekannt. Sie zeichnen sich in den Grabungsflächen durch Abdrücke von Balkengräbchen oder verkohlte Balkenreste in situ ab. Spuren dieser Bautechnik sind v.a. an der Römerstr. 227/229 und am Römerweg 5 vertreten und gehören meistens zu Wirtschaftsgebäuden (Speicher, Magazine). Auch an anderen Fundstellen kamen einfache Gräbchen zum Vorschein, die sowohl zu Pfostenkonstruktionen, als auch zu Ständerbau-

304 Rychener 1988, 13.
305 Gebäude Cb (Speicher), SH III, 2. Hälfte 1. Jh., Br. 4,5 m mit grosser Wahrscheinlichkeit rekonstruiert, L. 9 m, Abb. 218; Gebäude H (Schmiede), SH II–IV, 30–150 n.Chr., Br. 7,5 m, L. 7,5 m, an Gebäude G angebaut, Abb. 207, 222, 234; Gebäude I (Gerberei), SH III, 2. Hälfte 1. Jh., Br. 5,5 m, L. 9 m, Abb. 218.
306 Römerstr. 209, Phase 2b, 40–55 n. Chr.: Br. 5 m, L. > 8 m. Abb. 97.
307 Römerstr. 227/229, SH II–III, 30–100 n. Chr., Gebäude D–E: Br. 6 m, L. > 25 m. Abb. 205; 218.
308 Römerweg 5, SH III, 2. Hälfte 1. Jh., Gebäude O: Br. 6,5 m, L. > 8 m. Abb. 252.
309 Römerstr. 213/215, Phase 4, 60–80 n.Chr., stark rekonstruierter Grundriss: Br. ca. 10 m, L. > 25 m. Abb. 160.
310 Phasen 1 und 2, 1. Hälfte 1. Jh., Abb. 130 und 156.
311 SH I, 0–30 n. Chr., Abb. 202, Gb 2.
312 Phase 2a, 20–40 n.Chr., L. rek. 19,5 m, Abb. 93; Phase 2b, 40 bis 55 n. Chr., L. rek. 20 m, Abb. 97; evtl. Phase 3, 40/50 bis 70 n. Chr., L. rek. 25 m, Abb. 104.
313 Feld 3, Phase 2, 60–80 n.Chr., L. rek. 25,5 m, Abb. 167.
314 Phase 2b, 30–50 n. Chr., L. rek. 27 m, Abb. 179; Phase 3, 50–80/90 n. Chr., L. rek. 25 m, Abb. 186; Phase 4, 80–100 n.Chr., L. rek. 25,5 m Abb. 190.
315 SH II, 30–50 n. Chr., Abb. 204; SH III, 2. Hälfte 1. Jh., Abb. 217; SH IV, 80–150 n. Chr., Abb. 230. L. rek.: Gebäude Ga–c 30–33 m, Gebäude E 27 m, Gebäude Br. evtl. 30 m, Gebäude F 21 m.
316 Zürcher 1982, 215f.; Zürcher 1985, 187f.; Th. Pauli-Gabi et al., Unteres Bühl, Vitudurum 6 (in Vorb.).
317 Rychener/Albertin 1986, 43 (Plan 4–5).
318 Römerstr. 209, Abb. 89; Römerstr. 213/215, Abb. 130.
319 SH II, 30–50 n. Chr., Gebäude Da, Ea, Ga, Ha, Abb. 205; 207.
320 Phase 1, 0–20 n. Chr., Abb. 4; Phase 6b, 80–110 n. Chr., Abb. 115.
321 Phase 2b, 30–50 n. Chr., Abb. 179.; vgl. Kap. 5.2.3.
322 Gebäude H, SH II, 30–50 n. Chr., und IV, 80–150 n. Chr., Abb. 209; 236.

ten ohne Steinunterlagen gehört haben dürften. Die jüngsten in dieser Bautechnik errichteten Gebäude datieren ins ausgehende 1. Jh. und stammen aus der Grabung an der Römerstr. 203[323].

Erstmals waren Steine als Unterlage für einen Ständerbau an einem zwischen 20 und 40 n. Chr. errichteten Gebäude an der Römerstr. 209 nachweisbar[324]. Auch an der Römerstr. 213/215 wird Geröll als Substruktion für Schwellbalken gedeutet[325]. Ganze Gebäude in dieser Bautechnik sind jedoch erst ab der 2. Hälfte des 1. Jh. entstanden[326]. Es ist festzustellen, dass in den jüngeren Zeitabschnitten die Unterlagssteine von relativ kleinen, plattigen Exemplaren zu immer grösseren Geröllen übergehen[327]. Mitunter erfüllen auch wiederverwendete Mühlsteine denselben Zweck[328].

Ein Fundament aus Bollensteinen ist in einem unsicheren Befund an der Römerstr. 221 belegt[329]. Auch an der Römerstr. 227/229 kamen vermehrt Steinreihen zum Vorschein, die die unterste Lage von Fundamenten darstellen könnten, sich aber nicht mit Sicherheit der römischen Epoche zuweisen liessen.

Bei einigen Gebäuden scheint eine «gemischte Bautechnik» vorzuliegen. Dies ist der Fall bei Gebäude Ea und Da an der Römerstr. 227/229[330], wo die Ostwand als Ständerbau ohne Steinunterlage, die Westwand dagegen als Pfostenbau errichtet wurde. An der Römerstr. 209 war bei einem Grundriss aus der 1. Hälfte des 1. Jh. nur der Schwellbalken der Nordwand auf ein Steinauflager gesetzt[331].

Es ist auch bei den vorgelegten Befunden festzustellen, dass der Pfostenbau bis zum Ende des 1. Jh. eingesetzt wurde. Wie schon von J. Rychener beobachtet finden sich die jüngsten Beispiele in hinterhofseitigen Grundrissen, während in den Gebäuden an der Hauptstrasse immer die neuesten technischen Errungenschaften umgesetzt wurden[332].

In unseren Ausführungen mussten wir uns auf die reine Bautechnik beschränken, da über das Aussehen der Wände selbst aus den Befunden fast nichts zu erfahren war. Grund hierfür ist, dass in der Regel die zerstörten oder ausgedienten Gebäude vollständig geräumt und das Gelände neu planiert wurde. An der Römerstr. 221[333] und 227/229[334] wurden aus Brandschichten verbrannte Lehmbrocken mit Rutenabdrücken geborgen, die Wandkonstruktionen in Fachwerktechnik mit einer Ausfachung aus Rutengeflecht mit Lehmverstrich vermuten lassen (Abb. 191). Ein vergleichbarer Wandaufbau ist aus besser erhaltenen Befundsituationen in Oberwinterthur, Unteres Bühl, belegt[335]. Des Weiteren sind Konstruktionen aus Bohlen- oder Stabwänden anzunehmen. Verputzreste sind keine bekannt.

Türen und Durchgänge

Türen und Durchgänge sind archäologisch in der Regel nur noch in Form von Türschwellen nachzuweisen. Auf Grund schlechter Erhaltungsbedingungen von organischen Materialien sind aber auch Schwellen aus Holz nur in den seltensten Fällen noch als solche zu erkennen, was eine oft nur hypothetische Interpretation der Befundsituationen zur Folge hat[336].

Die wenigen aus dem Nordostteil des Vicus bekannten Grabungsbefunde konnten nicht dazu beitragen, etwaige Regelmässigkeiten in der Konstruktionsweise oder Platzierung am Gebäude aufzudecken. An der Römerstr. 221 führte in der 1. Hälfte des 1. Jh. n. Chr. ein von Norden kommender Trampelpfad direkt auf eine 0,75 m breite Türöffnung zwischen zwei Pfosten an der Gebäudenordwand[337] zu. An fast derselben Stelle befand sich während der 2. Hälfte des 1. Jh. n. Chr. zwischen einem Balkengraben und einem Pfostenloch eine 1,5 m breite Türöffnung, die sich nordwärts auf eine Kiesrollierung – einen Platz oder Weg – öffnete[338].

Weitere Hinweise auf Hauseingänge begegnen uns an der Römerstr. 227/229: Während SH II, 30–50 n. Chr., war die SW-Ecke von Gebäude A wahrscheinlich mit einem Zugang versehen, worauf eine quadratische Verfärbung im Hausinneren – möglicherweise eine vergangene Holztüre? – und der breite Abstand zwischen den zwei an dieser Stelle befindlichen Pfosten eines Vordaches hinweisen[339]. Eine Türschwelle in Form einer länglichen Steinplatte markierte einen während der 2. Hälfte des 1. Jh. n. Chr. in Gebäude I bestehenden Durchgang zu einem Innenraum[340]. Zwischen zwei im Abstand von 1,5 m gesetzten Mühlsteinen ist ein Hauseingang an der NE-Ecke von Gebäude F zu vermuten, der während der 2. Hälfte des 2. Jh. n. Chr. benutzt wurde[341]. Ein an dieser Stelle geborgenes Schweineskelett ist wahrscheinlich als Bauopfer zu interpretieren.

Portiken

Die aus dem Nordostquartier gewonnenen archäologischen Hinweise auf die Existenz von Portiken sind sehr gering. Die bisher aus Vitudurum bekannten Befunde waren zum grössten Teil unmittelbar auf die antike Hauptstrasse ausgerichtet. So zeigten die im Unteren Bühl einheitlich zur Strasse geöffneten Häuserzeilen untereinander in etwa denselben Konstruktionstyp mit den Schmalseiten vorgelagerten Portiken von durchschnittlich 2,7 m Breite[342]. Als Laufhorizonte konnten Lehm mit organischen Ablagerungen, Steinrollierungen und -setzungen und in einem Fall ein Mörtelboden beobachtet werden[343].

Dem entspricht ein an der Römerstr. 197 freigelegter rechteckiger Hausgrundriss, dessen Portikus zwischen 2,6 und 2,7 m tief war[344]. Angeblich diente zumindest zeitweise ein Bretterboden als Gehniveau[345]. Auch von anderen Fundorten kennen wir Holz- oder Steinbauten mit Vorhallen, deren Böden aus gestampftem Lehm, Brettern, Kies oder Steinsplitterbelag bestanden[346].

Die aus dem Nordostquartier des Vicus vorgelegten Strukturen befanden sich alle im Hinterhofbereich der zur ehemaligen Hauptstrasse ausgerichteten Häuser. An der Römerstr. 229 wurde der westlichen Langseite der Gebäude H und G eine Portikus vorgelagert, welche beginnend mit SH II, zwischen 30 und 50 n. Chr., bis in SH IV, 80–150 n. Chr., während etwa 120 Jahren in derselben Ausdehnung und Breite von 1,8 m beibehalten worden war[347]. Das Gehniveau bestand zunächst aus gestampftem Silt, der sich vom Bodenbelag im Hausinneren deutlich unterschied, später, ab SH IV, 80–150 n. Chr., aus einem Gemisch aus Kies und planiertem Brandschutt. Ein ausschliesslich während SH II dokumentiertes Gräbchen kann als Drainage benutzt worden sein. Archäologisch sichtbar waren die vorgelagerten Dachträger während SH II als einfache Pfostenstellungen, in SH III als Auflager aus plattigen Steinen und in SH IV aus einer z. T. doppelten Reihe von grösseren Geröllen.

An der Römerstr. 221 konnte eine zwischen 50 und 80/90 n. Chr. errichtete, sich nach Osten auf einen Kiesweg oder -platz öffnende Portikus von 2,4 m Breite dokumentiert werden, deren Pfosten ebenfalls auf plattigen Steinen ruhten[348]. Das Gehniveau bestand hier aus einer Kiesrollierung, die in der Grabungsfläche zugleich Bestandteil einer Strasse bzw. eines Platzes gewesen ist. Der im Areal Römerweg 5 EW-ausgerichtete gekieste Strassenzug 3 könnte mit seiner Breite von 2,7 m wahrscheinlich ebenfalls auf eine einem

Gebäude im Süden vorgelagerte Portikus weisen[349]. Die übrigen Befunde sind leider sehr unsicher oder rein hypothetischer Natur: In der ältesten Bauphase an der Römerstr. 209 führte eine Seitenstrasse nordwärts auf einen Holzbau[350] zu. Der zwischen Kiesweg und Gebäudeostwand bestehende etwa 3 m breite Streifen, hätte durchaus Platz für eine sich ostwärts öffnende Vorhalle bieten können, von der allerdings jede Spur fehlt. An derselben Fundstelle könnte sich möglicherweise während Phase 6a, zwischen 70 und 90 n. Chr., eine westwärts ausgerichtete Portikus befunden haben, die mit nur 1,3 m Breite allerdings ungewöhnlich schmal gewesen wäre[351]. Wie die Portikusdächer im Nordostquartier des Vicus gedeckt waren, entzieht sich unserer Kenntnis. Auch wenn für das Untere Bühl eine Dachdeckung mit Ziegeln angenommen wird, scheinen die hier vorgelegten Befunde doch eher für ein organisches Material, wahrscheinlich Schindeln, zu sprechen[352]. Einzige Ausnahme könnte die Portikus der Gebäude G und H an der Römerstr. 227/229 gewesen sein, da in der Brandschicht zur letzten Phase aus der 1. Hälfte des 2. Jh. zahlreiche Ziegelfragmente enthalten waren. Zusammenfassend gilt, dass die vorgelegten Befunde weder in Ausrichtung noch in Grösse den bisher aus dem Vicus bekannten, sich zur Hauptstrasse öffnenden Vorhallen mit ihrer häufig konstatierten Tiefe von 2,7 m entsprechen. Die nach Norden rückwärtig versetzten Gebäude schienen keiner einheitlichen Bauvorschrift unterlegen zu sein, sondern sich vielmehr, sowohl in ihren Ausmassen als auch in ihrer geographischen Ausrichtung, flexibel den baulichen Gegebenheiten angepasst zu haben.

Dächer

Da wir über nur wenige Angaben zum Aufgehenden der Gebäude verfügen, sind wir auch nicht im Stande, die Ausrichtung der Dächer in den verschiedenen Grabungsflächen zu rekonstruieren. Nur bei einem Beispiel an der Römerstr. 227/229, Gebäude Ga und Ha, 30–50 n. Chr., ist die Firstlinie parallel zur Längswand in Form von zwei markanten Pfostenstellungen erkennbar (Abb. 207).

Falls im Nordostquartier Dächer mit Ziegeln gedeckt waren, sind diese nach der Zerstörung der jeweiligen Gebäude gründlich entfernt worden, um z. B. an anderen Stellen des Vicus wieder verwendet zu werden[353]. Auf Grund der allgemein kleinen Gesamtmenge an Ziegeln muss man allerdings davon ausgehen, dass die meisten Dächer wohl eher mit organischem Material gedeckt waren, sei es mit Stroh für die frühesten Bauphasen oder mit Schindeln[354]. Der Nachweis für Schindeln ist in mehreren Gruben aus der Römerstr. 227/229 gegeben[355]. Diese Vermutung findet Unterstützung in den Ausführungen von J. Rychener über die Entwicklung der Siedlung[356].

1.2.2 Innenausbau der Gebäude

Raumeinteilungen

Eine Raumeinteilung der Gebäude ist im archäologischen Befund nur selten zu erkennen. Meistens handelt es sich dabei um einfache, senkrecht zu einer Längswand gelegene Gräbchen, die als ehemalige Schwellbalken zu interpretieren sind. An der Römerstr. 227/229 bestand während aller Bauphasen eine Raumeinteilung in der NW-Ecke von Gebäude H, die im zweiten und dritten Siedlungshorizont, zwischen etwa 30 und 100 n. Chr., von zwei Balkengräbchen

---

323 Teilgrundriss in Sondierung 2, 80–110 n. Chr., Abb. 83.
324 Phase 2a, 20–40 n. Chr., Abb. 93.
325 Feld 3, Phase 2, 60–80 n. Chr., Abb. 165 und 167.
326 Römerstr. 221, Phase 4, 80–100 n. Chr., Abb. 190; Römerstr. 227/229, SH III, 2. Hälfte 1. Jh., Gebäude Gb, Hb, I, J, Abb. 218 und 222; Römerweg 5, SH III, 2. Hälfte 1. Jh., Gebäude O, Abb. 252.
327 Wie z. B. an der Römerstr. 209, Phase 6b, 80–110 n. Chr., Abb. 115, oder an der Römerstr. 227/229, SH IV, 1. Hälfte 2. Jh., Gebäude Gc, Hc, F und L, Abb. 231; 234.
328 Z.B. Römerstr. 209, Phase 6b, 80–110 n. Chr., Abb. 120; Römerstr. 227/229, SH III, 50–100 n. Chr., Gebäude Gb, Abb. 222; SH IV, 80–150 n. Chr., Gebäude F und Gc, Abb. 233–234.
329 Phase 5b, 2. Hälfte 2. Jh., einlagig, Abb. 192.
330 SH II, 30–50 n. Chr., Abb. 205.
331 Phase 2b, 30–50 n. Chr., Abb. 97.
332 Rychener 1988, 103.
333 Phase 4, 80–100 n. Chr., Abb. 190.
334 SH III, 2. Hälfte 1. Jh., Gebäude Gb, Hb, I und J, Abb. 218 und 222; SH IV, 80–150 n. Chr., Gebäude F und L, Abb. 231.
335 Zürcher 1985, Abb. 3.17.
336 Römerstr. 186: Sehr unsichere Befunde vgl. Rychener 1986, 35; 235 (Plan 3); 31 Abb. 44 Haus B.2 Durchgang auf Prügelrost aus Eichenspältlingen zwischen Pfosten 31 und 31a (Br. ca. 2,6 m); 235 (Plan 3); 26 Haus B1 Nordwand Schwellbalken mit Falz als Anschlag einer sich nach innen öffnenden Tür (Br. mind. 1,5 m); 236 (Plan 4) Haus C.1, Durchgang S-Wand unsicher, N-Wand Eingang hypothetisch.
337 Phase 2b, 30–50 n. Chr. (Abb. 179); Pfosten/West Pos. 82: 40 × 20 cm; T. 46 cm; Pfosten/Ost Pos. 86: 38 × 20 cm; T. 46 cm.
338 Phase 3, 50–70/90 n. Chr. (Abb. 186); Balkengraben Pos. 75; Pfosten Pos. 62; Kies Pos. 41.2.
339 Abb. 205; Abstand zwischen beiden Pfosten: 3 m; quadratische Verfärbung mit Seitenlängen von 1,2 m: evtl. vgl. mit Schucany 1996, 29 Abb. 10 (Holztüre aus Birkenholz in Raum D).
340 SH III; Abb. 218.
341 SH IV; Abb. 231.
342 Th. Pauli-Gabi et al., Unteres Bühl, Vitudurum 6 (in Vorb.); Zürcher 1982, 218 Abb. 60.
343 Hinweis von Th. Pauli-Gabi; in der Regel wurde sowohl im Gebäudeinneren als auch im Portikusbereich derselbe Belag verwendet.
344 Rychener 1988, 44 Abb 406; 49 Abb. 416 (Phase Y); 54 Abb. 427 (Phase X).
345 Rychener 1988, 49 Abb. 416 (Phase Y) auf einer Planie aus Holzmoder und Torf; im Haus befand sich ebenfalls ein Bretterboden auf einer Lehmplanie; 54 Abb. 427 (Phase X) Bretterboden in Haus und Portikus.
346 Z.B. Baden AG: Koller/Doswald 1996, 27 Abb. 16; 30 f. Abb. 18.; Schucany 1996, 56; Auerberg (D): G. Ulbert/W. Zanier, Der Auerberg II. Münchner Beiträge zur Vor- und Frühgeschichte 46 (München 1997) 17 Abb. 4 (mit seitlich vorgelagerten, 2 m tiefen Portiken).
347 Abb. 207; 211–212; 222; 234; 236–238.
348 Phase 3; an ihrem Ostrand hatte sich ein Schacht befunden (Abb. 186).
349 SH III/IV; 50–150 n. Chr. (Abb. 252–253).
350 Phase 1; 0–20 n. Chr. (Abb. 89).
351 Phase 6a (Abb. 114).
352 Hinweis Th. Pauli-Gabi. Vgl. auch die folgenden Ausführungen zu den Dächern.
353 Mögliche Ausnahme Römerstr. 227/229, Portikus der Gebäude G und H; vgl. die Ausführungen zu den Portiken.
354 Über die Fundmenge der Ziegeln können keine genauen Angaben gemacht werden, da auf der Ausgrabung grundsätzlich nur Ziegel gesammelt wurden, die besondere Merkmale aufwiesen. Ein Eindruck über die Häufigkeit von Baukeramik ist allerdings der Grabungsdokumentation (Schichtenbeschreibungen) zu entnehmen, in der Ziegelfragmente meistens nur kleinfragmentiert in Planien erwähnt werden. An keiner Stelle ist dagegen von einem dichten Vorkommen die Rede.
355 Gruben G6, G10, G12, G21.
356 Rychener 1988, 103.

und einem Eckpfosten angegeben wird. In der 1. Hälfte des 2. Jh. wurde sie hingegen aus einer Reihe von vier Pfosten gebildet[357]. Es muss sich dabei um einfache Holzwände gehandelt haben. Dieser etwa 12 m² grosse abgetrennte Eckraum in dem als Schmiede gedeuteten Gebäude H dürfte als strassenseitiger Laden gedient haben. Eine ähnliche Unterteilung ist bei Gebäude O am Römerweg 5 zu beobachten[358]: Eine NS-ausgerichtete Reihe von vier Pfosten und ein WE-verlaufendes Balkengräbchen bildeten – vorausgesetzt die Rekonstruktion stimmt – einen Eckraum von etwa 22 m².

Raumunterteilungen können aber auch in einem einfachen Schichtwechsel innerhalb eines Grundrisses erkannt werden. Dies ist der Fall an der Römerstr. 213/215, wo ein solcher den Übergang vom strassenseitigen Raum zum hinteren Hausbereich markiert[359].

Böden

Innerhalb der Gebäude bestanden die Fussböden normalerweise aus Lehmestrichen. An der Römerstr. 209, Phase 4 (50–70 n. Chr.) sowie bei den Wohnhäusern an der Römerstr. 227/229 konnte beobachtet werden, dass die Lehmschichten meist nur im Bereich um die Feuerstellen erhalten oder überhaupt eingebracht worden waren, entlang der Hauswände dagegen nicht (mehr) nachzuweisen waren. Bei einigen Gebäuden bildeten einfache, meist siltig-kiesige Planien den Bodenbelag. Es war kein Schichtenunterschied zwischen dem Bereich inner- und ausserhalb der Grundrisse festzustellen. Beobachtungen an der Römerstr. 227/229 und Römerweg 5 lassen den Schluss zu, dass in fast allen Fällen Lehmböden nur in Wohnhäusern vorkommen, während in Werkstätten und Speichern das planierte Bauniveau als Laufhorizont benutzt wurde[360].

An der Römerstr. 209 und 213/215 sind ausserdem Böden aus Holz- und Rindenschnipseln inner- und ausserhalb der Gebäude zum Vorschein gekommen, eine Besonderheit, die auch an anderen Stellen des Vicus belegt ist[361].

In der Dokumentation der Ausgrabung Römerweg 5 werden Spuren eines verkohlten Bretterbodens in situ erwähnt. Leider ist diese Befundsituation weder zeichnerisch noch fotografisch belegt und zudem nicht mit einem Grundriss in Verbindung zu bringen.

Vorratsgruben und Keller

Erfahrungsgemäss werden in Ausgrabungen zahlreiche Gruben freigelegt, deren funktionale Ansprache nicht eindeutig ist. Nur in den seltensten Fällen gelingt es, sei es mit Hilfe des Verfüllmaterials oder auf Grund des Befundkontextes eine befriedigende Interpretation beispielsweise als Keller, Vorratsgrube, Zisterne oder Latrine vorzunehmen[362]. Den zahlreichen in der Grabungsfläche Römerstr. 227/229 bzw. Römerweg 5 freigelegten Gruben wird in der Grabungsauswertung ein Exkurs gewidmet, da ihre Anlage und Deutung für das Verständnis des gesamten Quartiers eine wichtige Rolle spielt und nicht von diesem getrennt behandelt werden kann (Kap. 6.5.2). Die Strukturen aus den anderen Grabungsarealen werden ebenso jeweils an Ort und Stelle behandelt. Auch auf die gemauerten Schächte soll in den Ausführungen zu dem Befund aus der Römerstr. 221 genauer eingegangen werden (Kap. 5.2.4).

Im Folgenden sollen daher nur einige spezielle Befundsituationen erwähnt werden:

Zur Vorratshaltung liegen uns eindeutige archäologische Nachweise nur aus dem Areal Römerstr. 227/229 vor: Innerhalb von Grundriss Da wurden zwei als abgetiefte Vorratskammern identifizierbare Gruben freigelegt, die aus der 1. Hälfte des 1. Jh. n. Chr. stammen[363]. In einer dieser Strukturen hatten sich Vorratsgefässe in situ erhalten[364]. An derselben Fundstelle befand sich in Gebäude Eb eine während der 2. Hälfte des 1. Jh. n. Chr. angelegte Rechteckgrube, die zahlreiche Vorratsgefässe in situ, darunter eine Amphore, ein Dolium und rund 12 Krüge enthielt[365]. Hinweise auf Holzverschalungen konnten nicht eruiert werden[366].

Möglicherweise als Keller zu deuten sind zwei Befunde aus dem Areal Römerstr. 221: Innerhalb eines Hausgrundrisses war eine flache muldenartige, etwa 3 m lange Vertiefung, der sich keinerlei Funde zuordnen liessen, leider nur im Profil erkennbar[367]. In derselben Fläche konnte ein während der 2. Hälfte des 1. Jh. n. Chr. angelegter abgetiefter Bereich in der südlichen Fortführung eines Gebäudes freigelegt werden[368]. Fundmaterial war auch hier nicht zuzuweisen.

Feuerstellen

Die Befunde von Feuerstellen aus dem Nordostteil des Vicus lassen sich gut in die bisher für Vitudurum und andernorts konstatierte Entwicklungsreihe vom Lehmauftrag mit und ohne Unterbau (VH I–III bis 40/50) hin zur Herdplatte aus Ziegeln, Tonplatten (VH III ab 40/50) bis zur Sandsteinunterlage (VH IV ab 65/75) einreihen[369].

Die insgesamt 16 freigelegten Strukturen geben vorwiegend die einfachste und am weitesten verbreitete Konstruktion wieder, die vorwiegend im 1. Jh. n. Chr. nachzuweisen ist[370]: Es handelt sich um runde bis ovale bzw. rechteckige Lehmlinsen, die direkt auf dem Erdboden oder auf einer Unterlage aus Kieselsteinen oder grösseren Geröllen ausgestrichen wurden[371]. Mitunter ist eine einseitige Steinumrandung feststellbar[372]. An der Römerstr. 213/215 waren zwei Strukturen von einem saumartigen, konzentrischen Lehmkranz als Erneuerung umgeben[373]. Einen Einzelfalll stellt die Lehmlinse an der Fundstelle Römerstr. 213/215 dar, bei der es sich um eine Esse handelt, die vom Versturz eines Hitzeschildes überlagert war und in Zusammenhang mit einer Werkstatt der Eisenverarbeitung stand[374]. In der 2. Hälfte des 1. Jh. n. Chr. ist erstmals eine Herdkonstruktion aus zwei Steinplatten, die zusätzlich von einem U-förmigen Sandsteinkreis umgeben waren, nachweisbar[375]. Auch in der Zeit zwischen 80 und 150 n. Chr. konnten im Areal Römerstr. 227/229 eine Feuerstelle aus zwei Sandsteinplatten sowie eine Anlage aus einem auf ein Kiesbett gelegten, umgedrehten Leistenziegel, umgeben von einem Kranz aus brandgeröteten Sandsteinen, dokumentiert werden[376].

Soweit überhaupt rekonstruierbar befanden sich die Feuerstellen innerhalb von Gebäuden, wobei eine bevorzugte Lage nicht erkennbar war. Interessanterweise waren häufig mehrere zeitgleiche Feuerstellen in einem Gebäude bzw. Raum festzustellen. In einem mutmasslichen Grundriss an der Römerstr. 213/215 waren während des 1. Viertels des 1. Jh. n. Chr. drei Feuerstellen angelegt: Eine Esse im vorderen Gebäudeteil sowie im hinteren Hausbereich zwei in geringem Abstand voneinander platzierte Strukturen, bei denen unklar ist, ob sie ebenfalls mit einem Handwerk in Verbindung standen oder zur Ausstattung des Wohnraums gehörten[377]. Besonders augenscheinlich ist die Situation an der Fundstelle Römerstr. 227/229, wo in Raum Ha wahrscheinlich vier als Feuerstellen genutzte Lehmlinsen, eine davon in der Funktion einer Esse, angelegt worden waren[378]. In dem unmittelbar anschliessenden Grundriss Ga befanden

sich zusätzlich zwei Feuerstellen in Form einfacher Lehmlinsen[379]. An derselben Stelle in Raum Hb waren auch während der 2. Hälfte des 1. Jh. n. Chr. zwei Herde, eine Lehmlinse und ein Steinplattenaufbau – möglicherweise eine Esse – gleichzeitig aktiv[380].

Die Befunde zeigen deutlich, dass Feuerstellen häufig während zeitlich aufeinander folgenden Phasen erneuert und kontinuierlich über Jahre hinweg benutzt worden sind. So wurde eine der Strukturen an der Römerstr. 213/215 während vier Bauphasen von augusteisch/tiberischer bis in neronisch/vespasianische Zeit immer wieder in nur leicht veränderter Orientierung erneuert[381]. Eine sich in der dauerhaften Nutzung der Feuerstellen widerspiegelnde Siedlungskontinuität war auch an der Römerstr. 227/229 mehrfach nachzuweisen: In Gebäude G wurde beispielsweise die einfache Lehmlinse aus SH II, 30–50 n. Chr, während SH III, 50 bis 100 n. Chr., zunächst um ein Kiesbett bereichert bis sie schliesslich in SH IV, 80–150 n. Chr., durch Sandsteinplatten ausgetauscht wurde[382]. Auch in Gebäude H wurden bei zwei verschiedenen Feuerstellen mehrere auf unterschiedliche Art und Weise ausgeführte Erneuerungen dokumentiert: So wurde eine Herdstelle während SH II als Lehmlinse angelegt und in SH III – in der Funktion einer Esse – durch zwei Sandsteinplatten ersetzt, worüber während SH IV eine auf faustgrosse Kieselsteine platzierte Lehmpackung eingebracht wurde[383]. Hierbei stellt sich die Frage nach einem möglichen Funktionswechsel. Konnte beispielsweise eine einfache Herdstelle zur Esse umfunktioniert werden um später wiederum als Herdfeuer zu dienen? Der archäologische Befund vermag uns bezüglich dieser Fragestellung leider keine befriedigende Antwort zu geben[384].

1.2.3 Parzellen übergreifende Baumassnahmen

Wasser führende Gräben

Die aus dem Nordostquartier bekannten, Wasser führenden Gräben bzw. Kanäle lassen kein zusammenhängendes Entwässerungs- bzw. Bewässerungssystem erkennen[385]. Es können daher im Folgenden nur Einzelbefunde vorgestellt werden, die, soweit interpretierbar, vorwiegend Entwässerungs- bzw. Entsorgungszwecken gedient hatten. In einem Fall ist eine Struktur vermutlich als Traufgraben zu deuten.

Der älteste Nachweis stammt aus dem Areal Römerstr. 221 und datiert in das 1. Viertel des 1. Jh. n. Chr.[386]: Im Zuge der ersten römischen Nutzung wurde vor der Bebauung des Geländes zunächst ein Graben angelegt, um den Bauplatz trockenzulegen[387]. Eine Besonderheit stellen zahlreiche auf seiner Sohle erkennbare Abdrücke kleiner Pfählchen dar, die als einseitiger Flechtwerkhag eine Böschung sicherten[388]. In der Parzelle Römerstr. 227/229 konnte ein in die 1. Hälfte des 1. Jh. n. Chr. datierter, ostwärts aus einem Gebäude herausführender Kanal dokumentiert werden[389]. Durch die Haus-

357 Vgl. Befundbeschreibung S. 192, Abb. 207; 222; 234.
358 SH III, 2. Hälfte 1. Jh., Abb. 252.
359 Phase 1 bis Phase 4, Abb. 130; 156; 158; 160.
360 SH II–IV, 30–150 n. Chr., Gebäude F, G, H. SH I–II, 1. Hälfte 1. Jh., Gebäude A, B, Ca, M, N; SH III, 2. Hälfte 1. Jh., Gebäude Cb, I, J.
361 Römerstr. 209, Phase 2b, 40–55 n. Chr., Pos. 50; Römerstr. 213/215, Phase 3, 50–70 n. Chr., Pos. 430/439. Unteres Bühl, Vitudurum 6 (in Vorb.); Römerstr. 186 (Rychener/Albertin 1986, 24); Römerstr. 187 (R. Janke, in Vorb.); Römerstr. 197 (Rychener 1988, 49).
362 Allgemein zur Grubenterminologie: Hänggi et al. 1994, 54ff.
363 SH II, 30–40 n. Chr.; Grube D.G 1: L. 2 m; Br. 1 m; T. ab Gehniveau nicht erhalten; Grube D.G 2, L-förmig, L. 3 m; Br. 1 m; T. nicht erhalten (Abb. 205).
364 D.G 1; an der Römerstr. 186 war in der SW-Ecke von Haus A2 eine Vorratsgrube mit den sehr gut erhaltenen Abdrücken dreier Vorratsgefässe, wohl Amphoren, freigelegt worden. Rychener 1986, 20 Abb. 18–19 (Grube 7); 234 Plan 2.
365 SH III; Grube E.G 1: L. 3 m; Br. 1,8 m; erh. T. 1,8 m (Abb. 219–221).
366 Vgl. an der Römerstr. 186 die holzverschalte Rechteckgrube 6 in Gebäude C1 mit Seitenlängen von 1,7 × 1,1 m, Rychener/Albertin 1986, 40 Abb. 63–64. Eine Deutung als kleiner Keller wird auch für die kistenartige Grube 1 von 1,8 m Seitenlänge und einer erhaltenen Tiefe von 1,2 m vermutet; vgl. J. Weiss/Ch. Holliger, Windisch, Grabung Dätwiler 1979/1980. Gruben und Schächte. JbGPV 1979/1980, 27 f. Abb. 6; zu Gruben in Zusammenhang mit der Vorratshaltung vgl. auch Hänggi et al. 1994, 63 f.
367 Pos. 64, Phase 2b, 30–50/55 n. Chr. (Abb. 179).
368 Pos. 58, Phase 3, 50–80/90 n. Chr. (Abb. 186).
369 Rychener 1988, 103 Abb. 602; vgl. Entwicklung: Koller/Doswald 1996, 77f. Abbildungshinweise zu den Konstruktionstypen werden zu den einzelnen Beispielen gegeben.
370 Allein neun Feuerstellen stammen aus dem Areal Römerstr. 227/229 bzw. Römerweg 5.
371 Masse allgemein: Dm. rund-oval: 0,5–1,4 m; in der Regel zwischen 0,5–0,7 m; oval-rechteckig: L. 1,0–1,4 m; Br. 0,7–1,2 m. Lehmlinsen unmittelbar auf dem Erdboden: Römerstr. 213/215, Phase 1, 0–30, Abb. 130: Pos. 158, Pos. 495, Pos. 422 (Esse); Römerstr. 227/229, SH II, 30–50 n. Chr., Abb. 207: G.F1a, G.F2, H.F1a (Esse?), H.F2a; SH III, 50–100 n. Chr., H.F1b (Abb. 212); Römerstr. 209, Phase 4, 50–70 n. Chr., Pos. 79 (Abb. 109); Lehmlinsen auf Steinrollierung: Römerstr. 227/229, SH II, 30–50 n. Chr., Abb. 207: H. F3, H.F4; SH III, 50–100 n. Chr., Abb. 212; 252: G.F1b, F1, O.F1; SH IV, 80–150 n. Chr., H.F2c (Abb. 224; 234); Römerstr. 213/215, Phase 2, 30/40–50 n. Chr., Pos. 140 (Abb. 157); Phase 3, 40–70 n. Chr., Pos. 131 (Abb. 159), Phase 4, 60–80 n. Chr., Pos. 81 (Abb. 162); Römerstr. 209, Phase 3, 40–60/70 n. Chr., Pos. 230 (Abb. 105).
372 Römerstr. 213/215, Pos. 140, Phase 2, 30/40–50 n. Chr. (Abb. 157).
373 Römerstr. 213/215, Pos. 131, Phase 3, 50–70 n. Chr. (Abb. 159); Pos. 81, Phase 4, 60–80 n. Chr. (Abb. 162).
374 Pos. 422, Phase 1, 0–30 n. Chr. (Abb. 167).
375 Römerstr. 227/229, H.F2b, SH III, 50–100 n. Chr. (Abb. 223); die starke Hitzewirkung könnte auf eine Esse in Raum Hb weisen.
376 G.F1c und F.F1, SH IV, 80–150 n. Chr. (Abb. 232; 235).
377 Phase 1 (Abb. 130): Pos. 158, Pos. 495, Pos. 422 (Esse).
378 SH II, 30–50 n. Chr. (Abb. 207); H.F1a in rechteckiger Mulde (Esse?); H.F2a; H.F3; H.F4 (Befund unsicher).
379 Ebd. G.F1a; G.F2.
380 SH III, Abb. 212: H.F2b; H.F1b.
381 Pos. 158 (Abb. 130); Pos. 140 (Abb. 156); Pos. 131 (Abb. 158); Pos. 81 (Abb. 167).
382 G.F1a, G.F1b und G.F1c (Abb. 208).
383 H.F2a, H.F2b und H.F2c (Abb. 210); in demselben Raum wurde H.F1a während SH II als Lehmlinse in einer Mulde angelegt und durch H.F1b leicht westwärts verschoben. Auch am Römerweg 5, in Gebäude O, wurde eine Feuerstelle einmal von SH III bis SH IV erneuert (Abb. 252).
384 Beispiele: In Haus H: Während SH II: H.F1a (Lehmlinse als Esse) und H.F2a (Lehmlinse); während SH III: H.F2b (SH III, Steinplatten als Esse) und H.F1b (SH III, Lehmlinse auf Kies); während SH IV keine nachweisbare Esse, H.F2c (Lehmlinse auf Kies).
385 Im Unterschied zu den Befunden aus dem Unteren Bühl: Th. Pauli-Gabi et al., Vitudurum 6 (in Vorb.); Zürcher 1985, 212–216; Zürcher 1982, 217 ff. bes. Abb. 60.
386 Pos. 77, Phase 2a, 0–30 n. Chr. (Abb. 172; 175–176).
387 Der die Grabungsfläche NS-durchziehende Kanal war mit leicht gerundeter Sohle V-förmig mit einer Breite von 60–80 cm und einer Tiefe von etwa 40 cm in den gewachsenen Boden eingestochen (Pos. 77).
388 Pos. 84 (Abb. 177).
389 SH II, 30–50 n. Chr.; Gebäude Ga (Abb. 207).

wand wurde er zwischen zwei Pfosten hindurchgeführt, die vielleicht in Zusammenhang mit einer ehemaligen Schliessvorrichtung gestanden hatten. Als Interpretation erscheint eine Abwasser- oder Fäkalienentsorgung in eine Grube am wahrscheinlichsten, obwohl weder ein Gefälle, noch ein Zusammenhang mit zwei ausserhalb des Gebäudes befindlichen Gruben gesichert sind[390].

Etwa gleichzeitig ist ein interessanter Befund an der Römerstr. 209[391]: Ein Graben mündete von Norden kommend in schwungvollem Bogen in einen Holzbau ein und war innerhalb dieses Grundrisses wahrscheinlich mit Holzbrettern abgedeckt. Obwohl die Funktion des Gebäudes nicht bekannt ist, ist dennoch auf Grund seines nordseitigen Gefälles und einiger auf seiner Sohle abgelagerter Koprolithen zu vermuten, dass er dem Abtransport tierischer oder menschlicher Fäkalien gedient hatte. An derselben Fundstelle verlief im späten 1. bzw. beginnenden 2. Jh. n. Chr. möglicherweise ein Traufgraben zwischen zwei Grundrissen[392]. In der 1. Hälfte des 2. Jh. n. Chr. wurde an der Römerstr. 227/229 ein Gräbchen abgetieft, das sich von West nach Ost auf eine Grube zu bewegte; eine auf 40×40 cm verbreiterte Stelle liesse eventuell eine – allerdings sehr hypothetische – Interpretation als Deuchelleitung zu[393]. Jüngerer Zeitstellung sind zwei Kanäle, die in einem Abstand von etwa 4 m annähernd parallel das Untersuchungsgebiet durchzogen[394]. Die aus Wangensteinen mit Abdeckplatten konstruierten Gräben lassen sich zeitlich nicht genauer eingrenzen als ins 2. bis 4. Jh. n. Chr.[395]

Strassen, Wege und Plätze

Im Untersuchungsgebiet konnte an keiner Stelle ein Nachweis für die römische EW-verlaufende Hauptstrasse gewonnen werden. Wie der Übersichtsplan zeigt, befanden sich sämtliche untersuchten Flächen zu weit nördlich, als dass sie den vermuteten Strassenverlauf tangiert hätten (Abb. im Vorsatz und Abb. 74). Hinweise auf die Existenz der Vicus-Hauptstrasse haben wir aus dem Unteren Bühl, wo ein bis zu 6 m breiter Strassenkoffer vorhanden war[396]. Aus dendrochronologischen Messungen geht hervor, dass diese nach ihrem ersten systematischen Ausbau im Jahre 7–12 n. Chr. mehrfach erneuert und verbreitert worden war. Der bislang östlichste Nachweis ist neben einem den Strassenrand säumenden Eichenstamm an der Fundstelle Römerstr. 186[397]und einem eventuellen Strassengraben an der Römerstr. 177a[398]der unsichere Befund eines Grabens in der Parzelle Römerstr. 197[399]. Obwohl eindeutige archäologische Belege östlich davon fehlen, ist dennoch mit grosser Wahrscheinlichkeit in dem während der 1960er Jahre im Areal des heutigen Hotels Römertor freigelegten mehrphasigen Kieskoffer auch ein Strassenbelag der römischen Epoche enthalten. Die in diesem Bereich freigelegten Gräber des 1. und 2. Jh. n. Chr. hatten wahrscheinlich die Ausfallstrasse gesäumt[400]. Wir gehen davon aus, dass die antike Hauptstrasse an dieser Stelle des Vicus einen ähnlichen Verlauf wie die heutige Römerstrasse gehabt hatte. Grund für diese Annahme ist die Tatsache, dass alle archäologischen Grabungen und Beobachtungen – sowohl nördlich als auch südlich der Römerstrasse – bisher keine Spuren der antiken Wegführung zu Tage gebracht haben[401]. Wenn seit römischer Zeit keine wesentlichen Abweichungen in der Strassenführung vorgenommen wurden, wäre die römische Hauptstrasse daher unter dem heutigen Strassenkoffer zu suchen. Nichtsdestotrotz vermögen die in diesem Band vorgelegten Grabungsergebnisse aus dem Nordostquartier des Vicus unser Wissen um ein Netz von Seitenstrassen zu bereichern, die eine Verbindung zu dem rückwärtigen Vicusbereich herstellten (Abb. 73.).

Das früheste Zeugnis aus dem 1. Viertel des 1. Jh. n. Chr. ist ein etwa 2 m breiter, gekiester Streifen, der, von zwei Strassengräblein gesäumt, direkt auf ein Holzgebäude an der Parzelle Römerstr. 209 zuführte[402]. Wenig später, etwa zwischen 30 und 50 n. Chr. ist an der Römerstr. 227/229 eine erste, der Portikus der Gebäude H und G westlich vorgelagerte Kiesstrasse festzustellen[403]. Westlich parallel, in etwa 13 m Entfernung zu dieser, befand sich an der Römerstr. 221 ein aus umgelagertem, gewachsenem Boden angeschütteter 1,5 m breiter Weg, der südlich unmittelbar auf einen Hauseingang zuführte[404]. Ein unsicherer Befund stammt von der Römerstr. 209[405]: Bei einer in der östlichen Grabungsfläche angeschnittenen Kiesrollierung hat es sich möglicherweise um einen von Norden kommenden Hauszugang gehandelt. Erst ab dem mittleren 1. Jh. n. Chr. zeichnet sich ein flächendeckendes Strassennetz ab, das aus zahlreichen vorwiegend NS-ausgerichteten Kieswegen bestand. Zu nennen ist eine mindestens 3 m breite Strasse oder ein Platz an der Römerstr. 221, der wie bereits der schmalere Trampelpfad der Vorphase auf einen Hauseingang zuführte und zumindest teilweise von einer Portikus überdacht war[406]. Diese Rollierung wurde im letzten Viertel des 1. Jh. n. Chr. in derselben Ausdehnung erneuert, wobei sich allerdings weder eine Portikus noch ein Hauseingang nachweisen liessen[407]. Östlich parallel zu diesem wurde eine Erneuerung der den Gebäuden H und G vorgelagerten Kiesstrasse unternommen[408]. Ob sich zwischen beiden eine Freifläche oder eine Überbauung mit Holzhäusern befunden hat, ist nicht zu entscheiden (Abb. 73). Im letzten Viertel des 1. Jh. n. Chr. fiel dieses Areal einer Brandzerstörung zum Opfer. Zur Strassenführung in der 2. Hälfte des 1. Jh. n.Chr. gehört im Areal Römerstr. 227/229 eine rund 1 m breite Struktur, die wahrscheinlich eine direkte Verbindung zur Hauptstrasse mit einer Abzweigung um ein Gebäude darstellte[409].

Am Römerweg 5 wurde die EW-verlaufende gekieste Strasse 3, die mit ihren 2,7 m Breite wahrscheinlich eher als eine südlich vorgelagerte Portikus zu interpretieren ist, während SH III angelegt und bis in SH IV, um 150 n. Chr., benutzt[410]. Im Verlauf des 2. Jh. n. Chr. wurden keine erkennbaren wesentlichen Neuerungen bezüglich der Strassenführung unternommen, vielmehr scheint Bestehendes wie die den Gebäuden H und G vorgelagerte Kiesstrasse ein weiteres Mal erneuert worden zu sein[411].

1.3 Siedlungskontinuität und Funktionswechsel

Einzelne Aspekte der Siedlungskontinuität wurden bezüglich verschiedener bautechnischer Merkmale wie beispielsweise der Erneuerung von Feuerstellen etc. bereits angesprochen. Mitunter scheinen die kleinen, im Hinterhofbereich gelegenen Grabungsflächen eine erstaunlich grosse bauliche Variabilität zu bezeugen. Es ist teils nachzuweisen, teils nur zu vermuten, dass damit auch diverse Funktionswechsel einhergingen. Wenn auch der Befundauswertung im Detail gewisse Unsicherheiten anhaften, kann als extremstes Beispiel sicherlich die Römerstr. 209 gelten, wo über einen Zeitraum von mehr als 100 Jahren die Parzellengrenzen immer wieder verschoben worden sind (Abb. 75). Nach der Anlage des ersten Gebäudes und eines Kiesweges um Christi Geburt wurden bereits 20 Jahre später zwei völlig neue, die ehemalige Strasse überdeckende Holzbauten errichtet[412]. Zwischen

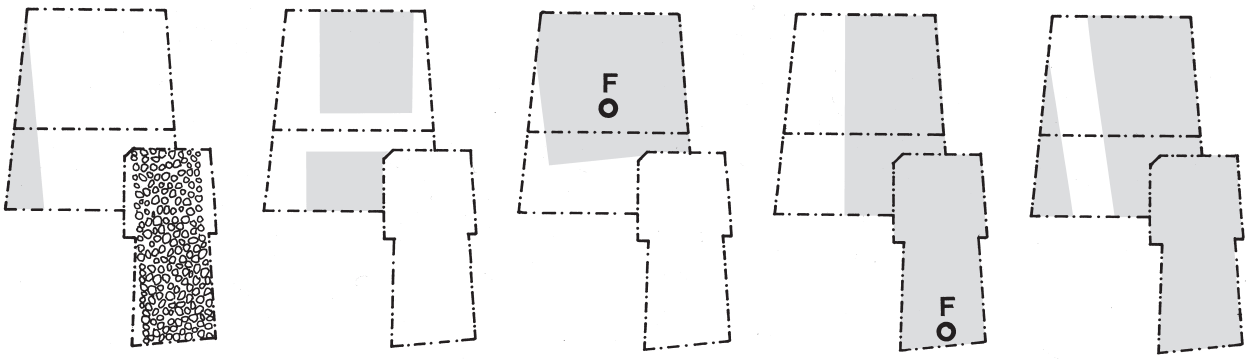


Abb. 75. Römerstr. 209. Beispiel für eine Verschiebung der Parzellengrenzen. V.l.n.r. die Bauphasen 1, 2a, 3, 4–6a und 6b; o. M.

40 und 50 n. Chr. wurde ein neues Gebäude axial westwärts verschoben, das nur wenige Jahre Bestand hatte, bevor es wiederum in die ältere, bereits während tiberischer Zeit entstandene Bauflucht eingepasst wurde, wobei auch die Feuerstelle ihrem bisherigen Standort weichen musste[413]. In dieser Ausrichtung blieb der Grundriss während mindestens einer Generation bestehen, bevor er in der jüngsten römischen Bauphase wiederum schräg westwärts verschoben wurde[414]. Diese mangelnde Konstanz erstaunt, da die Gebäudereste an der Parzelle Römerstr. 209 vermutlich zumindest phasenweise zum Grundriss eines strassenseitigen Langrechteckhauses gehörten, das mit seiner Schmalseite auf die Hauptstrasse ausgerichtet war[415]. Da in der ersten Bauplanung des Vicus an dieser Stelle eine Strasse vorgesehen war und auch realisiert wurde (Phase 1), könnte die mangelnde Kontinuität in den Gebäudeachsen der darauf folgenden Phasen auf die Lage an der Grenze zwischen zwei benachbarten Quartieren zurückzuführen sein. Dort, wo während Phase 1 eine Seitengasse bestand, scheinen Bauplanung und Besitzverhältnisse im Verlauf des 1. Jh. noch labil gewesen zu sein. Ob und welcher Art an dieser Stelle Funktionswechsel stattfanden, lässt sich anhand der allzu kleinen Grabungsfläche unmöglich nachvollziehen. Einzig während des 2. Viertels des 1. Jh. n. Chr. könnte der mit einem Entwässerungskanal ausgestattete Grundriss auf eine landwirtschaftliche oder handwerkliche Tätigkeit schliessen lassen[416]. Trifft diese Deutung zu, so müssen wir davon ausgehen, dass an der Römerstr. 209 die anderswo im Vicus vollzogene Organisation des Strassengebiets in eine Zeile von aneinander gebauten Wohnhäusern mit strassenseitigen Läden und/oder Werkstätten nicht eingehalten wurde.

Ganz anders war dies der Fall bei der sich im Hinterhofbereich befindenden Römerstr. 221: Die an dieser Stelle seit etwa 30 n. Chr. entstandenen Gebäude wurden bis zum Ende der römischen Besiedlung um 100 n. Chr. in derselben Ausrichtung zweimal erneuert[417].

Obwohl definitive Hausgrundrisse fehlen, scheint auch an der Römerstr. 213/215 eine bauliche Kontinuität ablesbar: Um Christi Geburt wurde ein rechteckiges, zur Strasse ausgerichtetes Haus erbaut, das vermutlich bis um 80 n. Chr. Bestand hatte[418]. Darauf weisen nicht nur die während aller vier Bauphasen vorgenommenen Erneuerungen von ein und derselben Feuerstelle sondern auch markante, als Raumeinteilung interpretierbare, konstant gebliebene Schichtwechsel[419]. Ob und in welcher Art sich in dem zumindest in der Anfangsphase als Werkstatt der Eisenverarbeitung genutzten Gebäude Funktionsänderungen ergeben hatten, ist nicht zu eruieren. Ganz unterschiedlich gestaltet sich die Situation am Ostrand des Vicus in den von der Hauptstrasse rückwärtig versetzten Parzellen an der Römerstr. 227/229 bzw. Römerweg 5: Einerseits sind gute Beispiele für eine anhaltende Siedlungskontinuität vorhanden, andererseits könnte eine Bebauungsänderung kaum deutlicher ausfallen als dies im Römer-

390 K1: Br. 30 cm; T. 15 cm; Gruben G 8 und G 6.
391 Pos. 285, Phase 2b, 40–55 n. Chr.; Querschnitt U-förmig; Br. 40–50 cm; T. 20 cm (Abb. 97 und 101).
392 Pos. 171, Phase 6b, 80–110 n. Chr.; Br. 0,6–1,2 m; T. 30–40 cm (Abb. 115–116).
393 SH IV; K2; Br. 20 cm; T. 15 cm; Grube G 18 (Abb. 231); zu Deuchelleitungen aus dem Unteren Bühl vgl. Zürcher 1982, 217.
394 K 3–4; Ausrichtung WSW–ENE (Abb. 258).
395 SH VI; Br. 40 cm; T. 40 cm.
396 Zürcher 1985, 207 f. Abb. 3, 31; Zürcher 1982, 216 f. Abb. 55; Th. Pauli-Gabi et al., Unteres Bühl, Vitudurum 6 (in Vorb.).
397 Rychener/Albertin 1986, 22 Plan 2.
398 F. Hoek/R. Janke in Vorb.
399 Rychener 1988, 49 Abb. 426: am ehesten noch als Strassengraben zu deuten ist Graben 53.
400 Drack 1966/67, 163–172.
401 Ausser den in diesem Band vorgelegten Ausgrabungen, s. auch die archäologischen Untersuchungen und Beobachtungen an der Römerstr. 210 (F. Hoek, in Vorb.), Römerstr. 212 (1992, Archiv KA), Werkleitungsbeobachtungen 1992 zwischen Römerstr. 227 und 237 (1991–92, Archiv KA). Weitere Fundstellen s. Teil I, Kap. 2.2.
402 Pos. 99/124, Phase 1, 0–20 n. Chr.; Strassengräben Pos. 121/122 Br. 40–45 cm, erh. T. 10 cm (Abb. 89).
403 Strasse 1a, SH II; Breite nicht erfasst (Abb. 207).
404 Pos. 44, Phase 2b (Abb. 179).
405 Phase 2b, 40–55 n. Chr.; Br. min. 1,5 m (Abb. 97).
406 Pos. 41.2, Phase 3, 50–70/80 n. Chr., L. min. 8,5 m (Abb. 186).
407 Pos. 41.1, Phase 4, 80–100 n. Chr. (Abb. 190).
408 Römerstr. 227; Strasse 1b, SH III, 50–100 n. Chr.; Breite nicht erfasst (Abb. 222).
409 Strasse 2, SH III, 50–100 n. Chr., kompakte Kiesschüttung (Abb. 218; 227).
410 L. min. 15 m (Abb. 252–253).
411 Strasse 1c, SH IV, 80–150 n. Chr.; Breite nicht erfasst (Abb. 234).
412 Phasen 1 und 2a (Abb. 89–93).
413 Nordwärts verschoben: Phase 3, 40/50–70 n. Chr. (Abb. 104); in der Flucht von Phase 2: Phasen 4–6a, 50–80/90 n. Chr. (Abb. 109; 112; 114).
414 Phase 6b, 80–110 n. Chr. (Abb. 115).
415 Vgl. die Ausführungen zu den Gebäudegrundrissen, Kap. 1.2.1.
416 Phase 2b, 40–55 n. Chr.
417 Phase 2b, 30–50/55 n. Chr. bis Phase 4, 80–100 n. Chr. (Abb. 179; 186; 190).
418 Phasen 1–4 (Abb. 130; 156; 158; 160).
419 Vgl. die Zusammenfassung in Kap. 4.5.

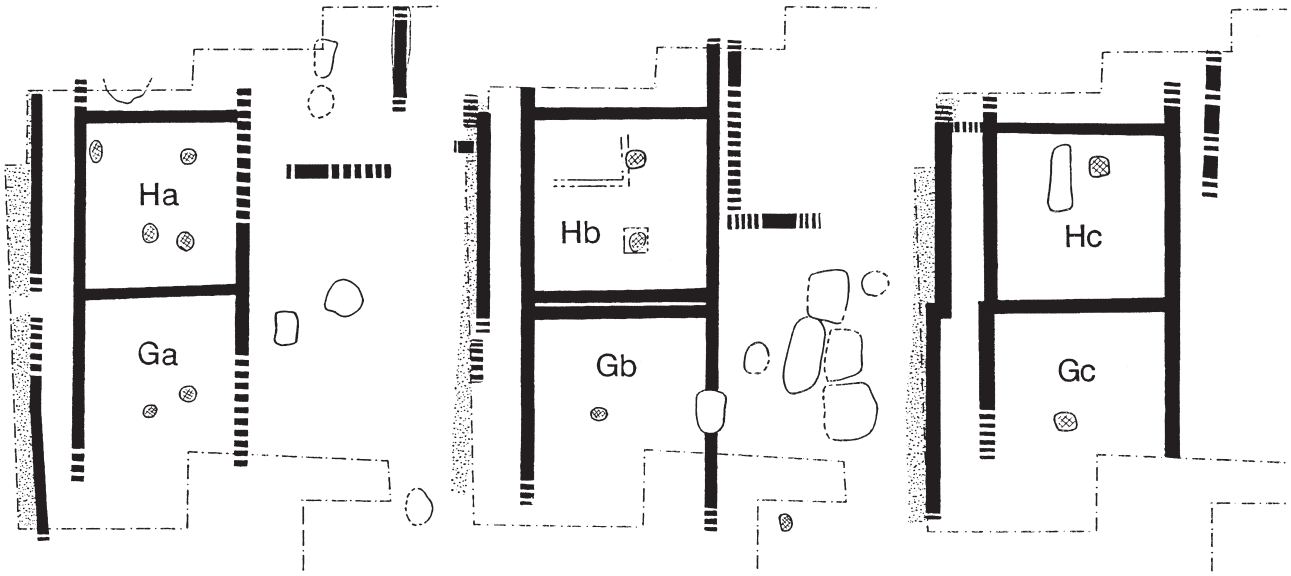


Abb. 76. Römerstr. 227/229. Beispiel für Siedlungskontinuität. V.l.n.r. SH II, SH III, SH IV. M. 1:350.

weg 5 der Fall gewesen ist. Als Beispiel für Holzbauten, die über einen Zeitraum von etwa 120 Jahren beibehalten wurden, kann ein Befund von der Römerstr. 227/229 angeführt werden (Abb. 76). Die beiden im 2. Viertel des 1. Jh. n. Chr. erbauten Gebäude G und H veränderten sich bis in das mittlere 2. Jh. n. Chr. in ihrer Ausrichtung und in ihren Grössenverhältnissen nur geringfügig[420]. Auch ein flächiger Brand gegen Ende des 1. Jh. n. Chr. bewirkte keinen grundlegenden Umbau. Mit der Erneuerung der Gebäude ging jedes Mal eine Ausbesserung der ihnen westlich vorgelagerten gekiesten Strasse einher, auf die sich ein Portikus öffnete. Einzig die Innenausstattung der Räume wurde einer geringfügigen Änderung unterzogen, die sich in Anzahl und Platzierung der Feuerstellen und im Umbau des Raumes in der NW-Ecke von Gebäude H zu erkennen gibt. Diese Konstanz erstaunt umso mehr, als der Nachweis für eine Schmiede in Gebäude H nur während des dritten Siedlungshorizontes (2. Hälfte 1. Jh.) als sicher betrachtet werden kann. Obwohl das Gebäude in seiner Funktion möglicherweise anders genutzt wurde – vielleicht auf einem Wechsel in den Besitzverhältnissen beruhend –, ist die Grösse der Parzelle unverändert geblieben.

Ein sehr eindrückliches Beispiel für eine mit einem Funktionswechsel einhergehende architektonische Umgestaltung lässt sich im östlichen Bereich der Römerstr. 227/229 nachvollziehen, wo auf zwei Speicherbauten A und B um die Mitte des 1. Jh. der Bau einer anders ausgerichteten Werkstatt und eines Weges folgte[421]. Noch sprechender ist der archäologische Nachweis vom Römerweg 5, wo bereits im frühen 1. Jh. n. Chr. eine Fläche von etwa 520 m² mit Speichergebäuden überbaut wurde, die sich im archäologischen

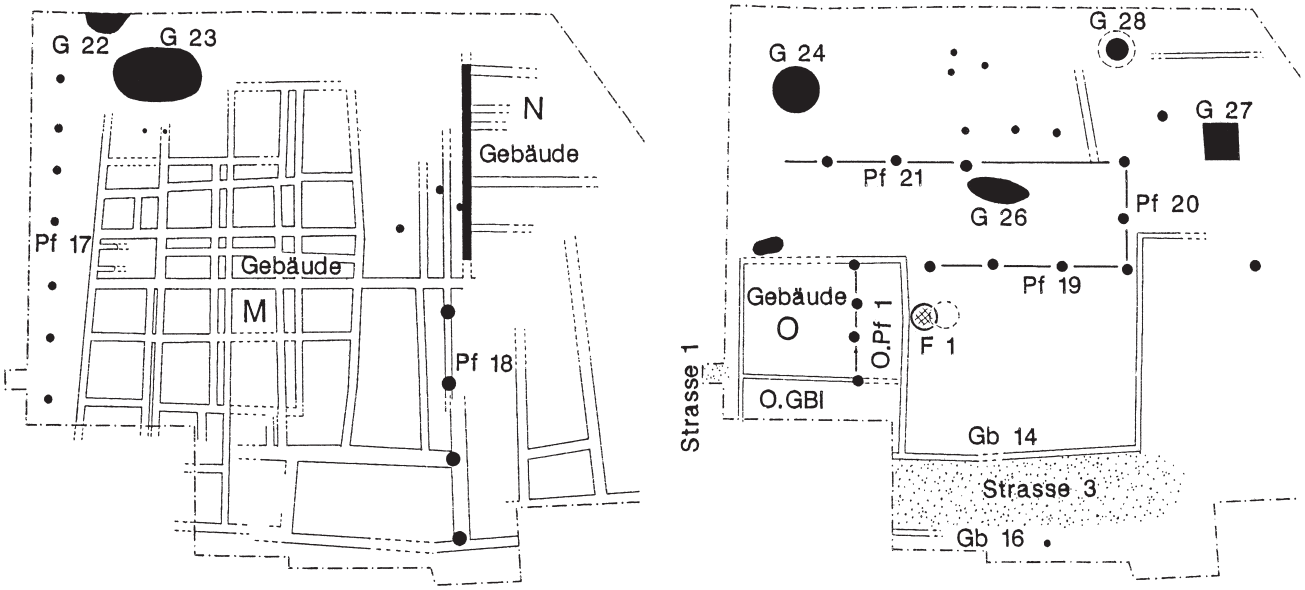


Abb. 77. Römerweg 5. Beispiel für Siedlungsdiskontinuität. V.l.n.r. SH I–II, SH III–IV; o. M.

Befund in Form eines flächendeckenden Rasters von Balkengräblein abzeichnen (Abb. 77)[422]. Wahrscheinlich um die Mitte des 1. Jh. n. Chr. wurde das gesamte Areal völlig neu gestaltet. Erkennbar ist nunmehr ein kleineres Gebäude, vielleicht ein Wohnhaus, das über zwei Strassen erreichbar war und auf eine von Gruben übersäte offene Fläche zeigte (Abb. 77)[423]. Mit anderen Worten scheint diese bauliche Massnahme eine Angleichung des Areals an den wenig südlich davon aufgedeckten Befund an der Römerstr. 227/229 zu sein: Eine Quartierüberbauung mit Wohnhäusern und Werkstätten, die, eine Insula bildend, um einen Platz gruppiert sind (Abb. 73).

1.4 Fragen zum Handwerk

Abschliessend richten wir unser Augenmerk auf die Frage nach dem Handwerk im Nordostquartier des Vicus. Da diesem Thema innerhalb der einzelnen Kapitel sehr viel Aufmerksamkeit entgegengebracht wird, seien die folgenden Ausführungen mit einem Verweis auf die entsprechenden Textstellen stichwortartig gehalten. In den kleinen Ausgrabungsflächen an der Römerstr. 203, 209 und 221 konnten keine konkreten Belege für die Ausübung eines Handwerks gewonnen werden. Archäologisch nachweisbar ist einzig eine im 1. Viertel des 1. Jh. n. Chr. an der Römerstr. 213/215 im vorderen Raum eines Hauses ansässige Werkstatt der Eisenverarbeitung[424]. Diese ist für uns in Form von fünf Gruben, darunter mindestens zwei Tauchbecken, und einer Esse identifizierbar. Gemäss den Befunden von anderen Stellen im Vicus ist auch hier eine Einteilung von strassenseitiger Werkstatt mit Verkaufscharakter und hinterem Wohnraum anzunehmen[425]. Vielleicht gilt dies auch für den Befund eines kleinen Tauchbeckens an der Römerstr. 227/229, das sich leider weder datieren noch in einen baulichen Rahmen einbinden lässt[426]. In Vitudurum waren im 1. Viertel des 1. Jh. n. Chr. mindestens fünf Werkstätten der Eisenverarbeitung, davon die meisten im Unteren Bühl, ansässig (Kap. 4.2.1, Abb. 147). An der Römerstr. 227/229 konnte eine Schmiede im rückwärtigen Vicusbereich lokalisiert werden. Diese befand sich in dem auf eine Seitenstrasse ausgerichteten Haus H, wo sie um 50 n. Chr. angelegt worden war und bis um 150 n.Chr. in Betrieb gewesen ist[427]. Obwohl der Nachweis für eine Eisen verarbeitende Werkstatt an dieser Stelle mehrfach gegeben ist, liegen auf Grund einiger Unsicherheiten in der Befundauswertung keine konkreten Angaben zu ihrer Organisation und Betriebsdauer vor.

Ein weiteres Gewerbe ist an der Römerstr. 227/229, Gebäude I, belegt: In dieser Anlage aus der 2. Hälfte des 1. Jh. kamen sechs eingetiefte Fässer zu Tage, die für das Gebäude eine Deutung als Teil einer Gerberei oder Färberei und Tuchwalkerei nahe legen (Kap. 6.6.1).

Obwohl die Resultate der Ausgrabungen an der Römerstr. 213/215, 227/229 und Römerweg 5 in Bezug auf das antike Gewerbe besonders ergiebig waren, bleibt festzuhalten, dass wir archäologisch wohl nur einen geringfügigen Teil der handwerklichen Aktivitäten im Vicus Vitudurum fassen können. So sind z.B. alle Arbeitsprozesse an organischen Materialien, die keine spezielle Infrastruktur benötigen, im Befund von vornherein nicht erkennbar. Dies ist der Grund, weshalb wir heute zwar an mehreren Stellen auf Grund der nachhaltigen Spuren im Boden eine Schmiede nachweisen können, jedoch kaum jemals im Stande sein werden den Arbeitsplatz der Schreiner, Drechsler, Sattler, Schuster oder Metzger genau lokalisieren zu können.

2 RÖMERSTRASSE 203
(Ausgrabung 1998) *(Verena Jauch)*

2.1 Einleitung

Im nördlichen Areal der Liegenschaft Römerstr. 203 war die Errichtung eines überdachten Materiallagers geplant (Abb. 78). Durch die Anlage des hierfür notwendigen Kieskoffers mit Betonboden war ein Eingriff in den bestehenden Boden von etwa 40 cm Tiefe im Süden bis etwa 60 cm im Norden zu erwarten. Um die Stratigraphie des Geländes – insbesondere die Höhe der potentiell gefährdeten römischen Schichten – abzuklären, wurden vom 7.–13.1.1998 zunächst zwei Sondierschnitte angelegt. Der flächige Baggerabtrag fand am 15.–16.4.1998 statt[428].

Die Grabungsfläche befindet sich im Zentrum des römischen Vicus zwischen 30 bis 55 m nördlich der antiken Römerstrasse (Abb. 79)[429]. Zwischen 30 und 40 m südlich, unmittelbar auf die antike EW-verlaufende Hauptstrasse ausgerichtet, liegt die bereits 1985 untersuchte Liegenschaft Römerstr. 197[430]. In diesem leider von grossflächigen Störungen in Mitleidenschaft gezogenen Grundstück gelang es, einen in verschiedenen Bauphasen während der 1. Hälfte des 1. Jh. n. Chr. mehrmals wiedererrichteten Holzbau freizulegen. Dieser wurde um Christi Geburt zunächst als Pfostenbau, ab 12 n. Chr. in Zusammenhang mit dem Umbau der Strasse als Schwellriegelbau mit Stabwänden und Portikus errichtet. Es ist anzunehmen, dass die Bauaktivitäten in diesem Areal planerisch mit denen der Liegenschaft Römerstr. 186 auf der gegenüberliegenden Strassenseite in Verbindung standen[431]. Erwähnenswert ist ferner die Annahme, dass das Haus Römerstr. 197 während des 1. Viertels des 1. Jh. n. Chr. einem Blechschmied als Werkplatz bzw. als Wohnhaus gedient hatte[432]. Wie die Grabungsergebnisse der Areale Römerstr. 177a, 187 und Römerstr. 229/Römerweg 5 am Ostrand des Vicus nahe legen, ist eine Überbauung, sei es durch Wohnbauten oder durch Werkstätten, auch im rückwärtigen Bereich der Liegenschaft Römerstr. 203 wahrscheinlich (Abb. 79)[433].

---

420 SH II, ab 30 n. Chr. bis in SH IV, um 150 n. Chr. (Abb. 204; 217; 230).
421 Abb. 204; 217.
422 Gebäude M und N, SH I–II, bis 50 n. Chr. (Abb. 249).
423 Gebäude O, ab SH III, 50 n. Chr. bis SH IV, um 150 n. Chr. (Abb. 252).
424 Vgl. ausführlich Kap. 4.2.1.
425 Vgl. Kap. 4.2.1 mit Vergleichsfundstellen.
426 Vgl. Kap. 6.2.1; Abb. 202, G 2.
427 Vgl. Kap. 6.2.1; Abb. 222; 234.
428 Beteiligt an den Sondierschnitten waren R. Gamper, O. Hinz, V. Jauch und R. Minnig; Beaufsichtigung des Baggerabtrags durch R. Gamper und M. Wiesendanger.
429 LK 1072, 699 225/262 790; Höhe 470 m ü. M.; JbSGUF 82, 1999, 301.
430 Vgl. Beitrag von P. Albertin in: Rychener 1988, 41–65. Grabungsleitung P. Albertin.
431 Ebd. 65; Rychener/Albertin 1986.
432 Rychener 1988, 64.
433 Die Publikation der Fundstelle Römerstr. 177a durch F. Hoek und R. Janke ist in Vorb.; das Manuskript zur Fundstelle Römerstr. 187 von R. Janke liegt vor; zu Römerstr. 229/Römerweg 5 vgl. den Beitrag von R. Janke in diesem Band, Kap. 6.

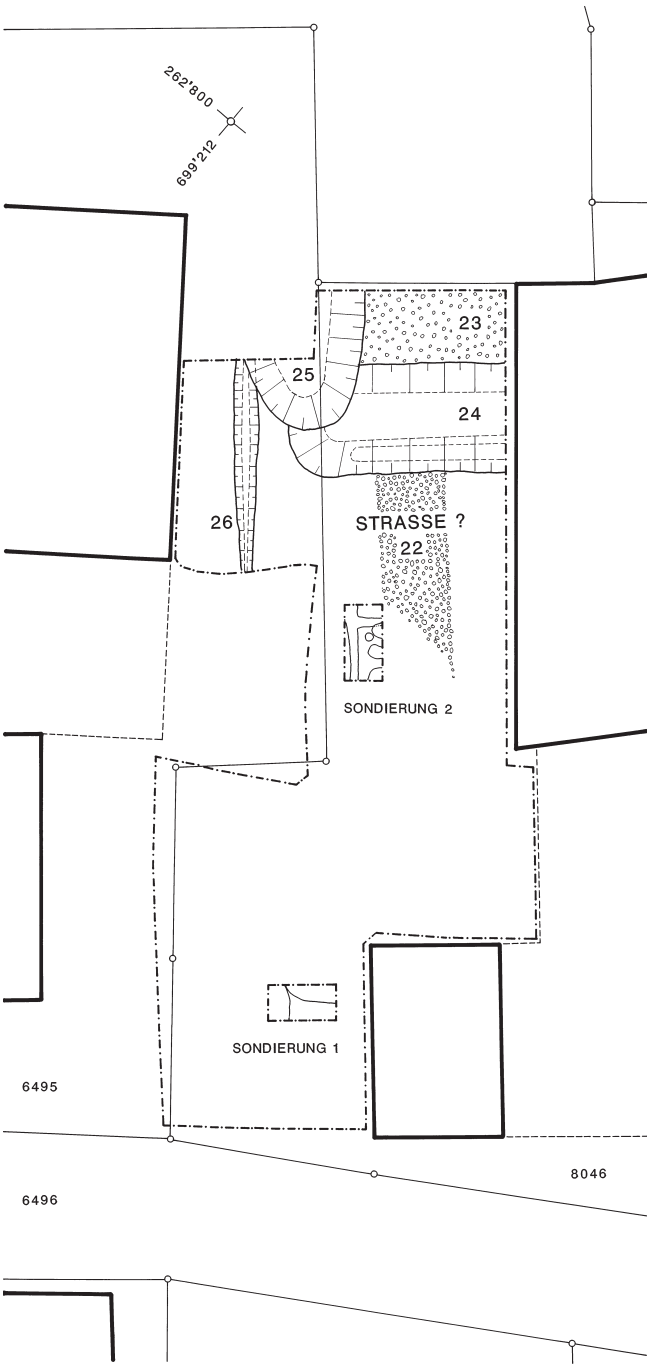


Abb. 78. Römerstr. 203. Übersichtsplan. M. 1:200.



Abb. 79. Vicus, Nordostquartier. Übersichtsplan. M. 1:2000.

2.2 Befund- und Fundvorlage

2.2.1 Sondierschnitt 1

In dem südlicher gelegenen 1,8 × 0,9 m grossen Sondierschnitt 1 gelang der Nachweis mindestens einer römerzeitlichen Bauphase (Abb. 78, 80). Auf den gewachsenen Boden wurde eine max. 27 cm starke Kiesplanie eingebracht[434]. Die Art und Weise den Bauplatz vor Baubeginn zunächst mit Kies aufzuschütten, kennen wir von den Arealen Römerstr. 186 und 197[435]. Vom aufliegenden grauen Silt wurde eine Grube abgetieft, die im Südwestteil der Sondierung angeschnitten wurde[436]. Nördlich von dieser befand sich eine ca. 10 cm flache Senke, die gleichzeitig mit der Grube angelegt worden war (Abb. 81)[437]. Beide Strukturen wurden von einem schmalen, gelben Lehmband überlappt[438]. Als stratigraphisch jüngste römische Schicht war ein graugelber, fleckiger Silt, wahrscheinlich eine Planie, zu erkennen[439]. In der darüber folgenden humosen Schicht befanden sich neben römischem Material auch neuzeitliche Keramik und Ziegel; die oberste Lage bildete der begangene Humus[440]. In Sondierschnitt 1 konnte somit bereits 40 cm unter dem aktuellen Gehniveau ein erster römischer Horizont auf einer Höhe von 470,4 m ü. M. festgestellt werden. Das Südostprofil gibt in diesem Bereich des Vicus ein römisches Schichtpaket von max. 60 cm Stärke zu erkennen (Abb. 80)[441]. In dem kleinen Sondierschnitt 1 konnten nur zwei von einer Planie abgetiefte Gruben bzw. Mulden unbekannter Funktion freigelegt werden, die die Formulierung von zumindest einer Bauphase gestatten. Das in den Schichten bis zum Gehniveau der Grube enthaltene, nicht allzu zahlreiche Fundgut weist auf eine Datierung dieses Benutzungshorizontes ins 1. Jh. n. Chr., nicht über die flavische Zeit hinaus (Kat. **1–7**); neben wenig südgallischer Terra Sigillata fanden sich vereinzelt Terra-Sigillata-Imitationen und Schüsseln vom Typ Drack 21, sowie in Spätlatène-Tradition stehende Formen. Auch aus dem jüngsten römischen Horizont, der siltigen Planie, wurde nur sehr wenig südgallische Terra Sigillata und Gebrauchskeramik des 1. Jh. n.Chr. geborgen.

2.2.2 Sondierschnitt 2

Etwa 8 m nördlich von Sondierung 1 wurde der 2 × 1 m messende Schnitt 2 angelegt (Abb. 78). Wie das Nordostprofil zeigt, zeichnet sich eine erste römische Besiedlung bereits auf der Oberkante des gewachsenen Bodens ab (Abb. 82)[442]. Strukturen dieser Bauphase sind zwei Balkengräblein, die rechtwinklig aufeinander trafen, sowie zwei Pfostenstellungen, von denen die eine nur undeutlich in der Fläche, die andere jedoch deutlich im Profil als Grube für einen runden Holzpfosten zu erkennen war (Abb. 83)[443]. Die allzu kleine Fläche gestattete leider keine Interpretation dieser Befundsituation. Es könnte sich sowohl um einen Schwellenbau mit Innengliederung als auch um den dichten Balkenraster eines Lagergebäudes gehandelt haben. Über dieser ältesten Bauphase lag eine humos-graue, mit viel Holzkohle durchsetzte kiesige Schicht, bei der es sich möglicherweise um den Abgangshorizont der frühen Holzbauten gehandelt hat[444].

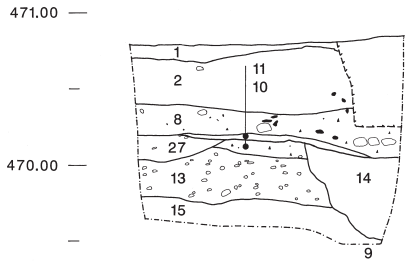


Abb. 80. Römerstr. 203. Sondierschnitt 1. SE-Profil. M. 1:50.

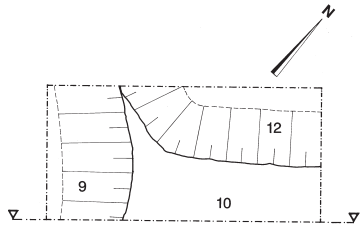


Abb. 81. Römerstr. 203. Sondierschnitt 1. Fläche auf OK Silt (Pos. 10) mit Grube (Pos. 9). M. 1:50.

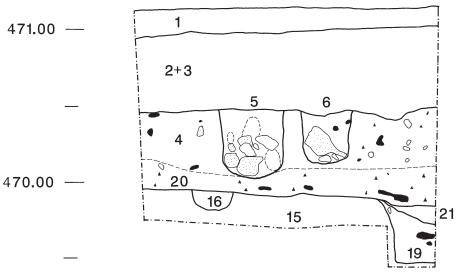


Abb. 82. Römerstr. 203. Sondierschnitt 2. NE-Profil. M. 1:50.

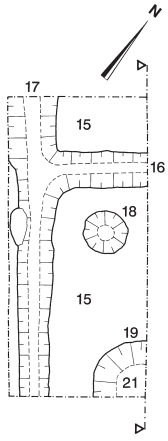


Abb. 83. Römerstr. 203. Sondierschnitt 2. Balkengräben und Pfostenstellungen auf OK des gewachsenen Bodens. M. 1:50.

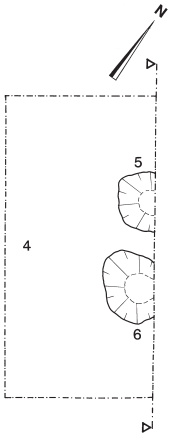


Abb. 84. Römerstr. 203. Sondierschnitt 2. Pfostenstellungen auf OK Lehmhorizont (Pos. 4). M. 1:50.

Eine zweite, jüngere römische Siedlungsaktivität liess sich in Form zweier eng beieinander stehender Pfostenstellungen nachweisen, die von der Oberkante eines gelben Lehmhorizontes abgetieft worden waren (Abb. 82, 84)[445]. Die Verschmutzung der Oberfläche dieses Lehms legt eine Deutung als Gehhorizont nahe. Der bauliche Zusammenhang der Strukturen war wiederum nicht rekonstruierbar. Als jüngste römische Schicht in diesem Teil der Grabungsfläche zeichnete sich ein graues, siltiges und äusserst fundreiches Material, wohl eine Planie, ab, die im Nordostprofil allerdings nicht von dem darüber befindlichen humosen Mischhorizont zu unterscheiden war[446]. Die Sondierung lässt folgende Schlussfolgerungen zu: In diesem Bereich der Parzelle ist etwa 60 cm unter der heute begangenen Gartenerde auf einer Höhe von 469,95–470,60 m ü. M. ein römisches Schichtpaket von etwa 70 cm vorhanden. Dieses beinhaltet zwei Bauphasen, die uns Hinweise auf mögliche Holzbauten in diesem Teil des Vicus geben.

Für die zeitliche Stellung gibt uns das zahlreiche Fundmaterial Auskunft (Kat. **8–31**): Aus der untersten Kiesplanie stammt Terra Sigillata ausschliesslich südgallischer Provenienz, darunter eine sehr gut erhaltene Schüssel vom Typ Drag. 42, die uns einen Terminus post quem für die Benutzung ins letzte Viertel des 1. bis ins 2. Jh. n. Chr. gibt (Kat. **9**)[447]. Das Fundmaterial aus dem Lehmpaket der jüngeren Bauphase und der Füllung der beiden Pfostenstellungen – hauptsächlich in Form von südgallischer Terra Sigillata und wenig Klassischer Glanztonkeramik – vermag uns keinen definitiv späteren Zeitansatz zu liefern (Kat. **13–21**). Aus dem jüngsten römischen Horizont, der Planie, die nur in der Fläche nachweisbar war, konnten ungewöhnlich viele Funde geborgen werden. Neben wenig südgallischer Terra Sigillata des 1. Jh. n. Chr. enthielt sie hauptsächlich Keramik des 2. und beginnenden 3. Jh. n. Chr. Wohl in der ersten Hälfte des 3. Jh. n. Chr. ist eine helvetische Terra-Sigillata-Imitation der Form Drag. 37 entstanden (Kat. **22**)[448]. In die 2. Hälfte des 2. Jh. n. Chr. gehören mindestens drei Faltenbecher mit Riefelverzierung (Kat. **23, 24**); ein Glanztonbecher mit

---

434 Gewachsener Boden: Pos. 15; Kiesplanie: Pos. 3.

435 Rychener/Albertin 1986, 17 (Schicht 101); P. Albertin in: Rychener 1988, 44 Abb. 406 (Schicht 111).

436 Silt: Pos. 10; Grube: Pos. 9: Dm. nicht bestimmbar; T. 50 cm.

437 Pos. 12 war in der Fläche deutlich zu erkennen; die sich im Südostprofil abzeichnende Mulde kann jedoch nicht Pos. 12 entsprechen.

438 Pos. 11.

439 Pos. 8.

440 Mischhorizont: Pos. 2; Humus: Pos. 1.

441 UK römische Schichten bzw. OK gewachsener Boden bei 469,78 m ü. M.

442 OK gewachsener Boden 469,95 m ü. M.

443 Balkengräben Pos. 17 und Pos. 16: B. 20–25 cm, T. 11 cm; Pfostenstellung Pos. 18: Dm. 30 cm; Pos. 19: Dm. ca. 50 cm.

444 Pos. 20: D. ca. 16 cm; in der Fläche wurde sie als letzter Abtrag der darüber befindlichen Pos. 4 bezeichnet, was sich nach Aussage des Profils als falsch erwies; sie wurde daher in der Fläche nicht dokumentiert.

445 Lehm Pos. 4: D. max. 40 cm; Pfostenstellungen: Pos. 5: Dm. 40 cm; T. 40 cm; Sand- und Bollensteine zum Teil stehend am Rand; P 6: Dm. 30 cm; T. 30 cm; ein stehender Sandstein.

446 Planie: Pos. 3; Mischhorizont: Pos. 2.

447 Zu Drag. 42 vgl. Furger/Deschler-Erb 1992, 50; des Weiteren die Formen Drag. 29, Drag. 35/36, Drag. 18 und Drag. 24 sowie Fragmente eines Schälchens mit Sandbewurf.

448 Ettlinger/Roth-Rubi 1979, 14 f.; Koller/Doswald 1996, 113.

Dekor aus Barbotineblättern dürfte im 2. Jh. n. Chr. entstanden sein (Kat. **25**)[449]. Auch ein Lavezbecher weist frühestens in das letzte Viertel des 1. Jh. n. Chr. (Kat. **31**)[450]. Interessant sind Fragmente von wahrscheinlich zwei Krügen mit plastischen Verzierungen, wie sie sich häufig an rätischen Fundstellen des 2. Jh. n.Chr. nachweisen lassen und wahrscheinlich als Import von ebendort anzusehen sind (Kat. **28**)[451]. Ein in Oberwinterthur gelegentlich auftretender Gefässtyp ist die Form des sog. Räucherkelches, der in der Fundstelle Römerstr. 203 zweimal vorhanden ist (Kat. **29, 30**). Da der sog. Räucherkelch während des 2. und der 1. Hälfte des 3. Jh. n. Chr. besonders in den Limeskastellen sowie in Vindonissa AG beliebt war, wird der Typus häufig in die Gruppe der Militärkeramik eingereiht[452]. Ebenso steht er beispielsweise im Rheinland in Zusammenhang mit Mithräen oder fand anderswo Verwendung im Totenbrauchtum. Ebenso wenig wie der Gefässtyp in einem einheitlichen Befundkontext steht – militärisch, zivil, kultisch, Grabbeigabe – ist auch dessen Formgebung und Interpretation nicht eindeutig[453]. In Vitudurum begegnen uns die sog. Räucherkelche immer wieder in Kontexten des 2. Jh. n. Chr., wie z. B. in den Fundstellen Römerstr. 177 und 187.

Die Stratigraphie der Sondierschnitte 1 und 2 gab auf einer Distanz von etwa 8 m einen allgemeinen Schichtanstieg zu erkennen: Die Oberkante des gewachsenen Bodens markiert einen Geländeanstieg von Süden nach Norden um 17–22 cm (= ca. 1,4%). Auch die Oberkante des jüngsten römischen Horizonts erfährt auf dieser Distanz eine Differenz von etwa 20 cm. Das geplante Bauvorhaben, das eine Abtiefung der Gesamtfläche im Nordteil um etwa 40 cm, im Südteil um etwa 60 cm mit sich bringen sollte, würde somit nur knapp die Oberkante des römischen Horizontes erreichen.

2.2.3 Beobachtungen während des Baggerabtrags

Der im April 1998 erfolgte Aushub auf einer Gesamtfläche von etwa 160 m² wurde von Seiten der Kantonsarchäologie überwacht. Wie erwartet wurde nach dem Humus ein römisch-neuzeitlicher Mischhorizont abgetragen, der reiches keramisches Fundmaterial aus dem späten 1. und 2. Jh. n. Chr. enthielt. Während in der Südhälfte der Grabungsfläche keinerlei römische Strukturen zum Vorschein kamen, befand man sich nach dem Baggerabtrag im Bereich von Schnitt 2 und nördlich von diesem bis an die Parzellengrenze – wohlgemerkt bis zu 55 m nördlich der antiken EW-verlaufenden Römerstrasse – bereits unmittelbar auf der Oberkante der jüngsten römerzeitlichen Befunde. Die zur Verfügung stehende Zeit liess es lediglich zu, diese grob einzumessen, zu skizzieren und mit Höhenangaben zu versehen (Abb. 78). Diese oberflächliche Dokumentation ist für unsere Belange jedoch durchaus verwindbar, da im Falle einer künftigen Ausgrabung die vorhandenen Strukturen unbeschädigt wieder aufgedeckt werden können.

Die folgenden Ausführungen beschränken sich daher auf deskriptive Aussagen und werden entsprechend kurz gehalten.

Ein etwa 1,8 m breiter, leicht bombierter Kiesweg verlief auf erhaltenen 6 m Länge annähernd NW–SE[454]. Westlich grenzte er unmittelbar an den Sondierschnitt 2, in dessen Profil er sich allerdings nicht abzeichnete. Dieses rechtwinklig von der antiken Hauptstrasse abzweigende Seitensträsslein wurde in seinem nordwestlichen Verlauf durch eine wohl rechteckige Grube von 3 m Breite begrenzt[455]. Welche Funktion diese Grube, die mit dunklem, mit vielen verbrannten Hauslehmstücken durchsetztem Silt angefüllt war, ehemals



Abb. 85. Römerstr. 203. Fragment einer Gesichtsurne. H. 6 cm.

innehatte und in welchem zeitlichen Verhältnis sie zu dem Weg stand, ist nicht eindeutig. Auffallend ist jedoch, dass Weg und Grube rechtwinklig aufeinander treffen, was für eine potenzielle Gleichzeitigkeit spricht. Weitere Indizien fehlen jedoch. Den gesamten Bereich nordwestlich der Grube bis an die Parzellengrenze nahm eine ebene Kieslage ein, die bis auf ihre noch stark humose Oberfläche freigelegt wurde. Ob sie ehemals als Platz gedient hatte oder eine andere Funktion erfüllte, ist ebenso wenig zu entscheiden wie ihr zeitliches Verhältnis zu Grube und Weg. Auffallend war eine Fundkonzentration auf der Oberkante der Kiesflächen. In einem Abstand von 2,3 m westlich parallel zu dem Weg befand sich ein 20 bis max. 50 cm breiter Graben mit flach konkaver Sohle, der mit feinem Kies verfüllt war[456]. Als jüngste Struktur ist eine ovale Grube von knapp 3 m Breite und unbestimmter Länge zu nennen, die mit Abbruchmaterial von Steinbauten verfüllt war[457].

Zur Interpretation und Zeitstellung ist Folgendes festzuhalten: Bei sämtlichen Strukturen konnte annähernd das gleiche Nivellement von 470,30–36 m ü. M. dokumentiert werden, was jedoch wahrscheinlich Ergebnis des horizontalen Baggerabtrags ist. Ohne die mit einer Ausgrabung einhergehende stratigraphische Untersuchung sind daher keinerlei verlässliche Aussagen zur Bauchronologie zu treffen. Auch das zeitliche Verhältnis zwischen Kiesweg und den beiden Bauphasen im unmittelbar angrenzenden Sondierschnitt 2 ist nicht zu ermitteln. Dem Niveau nach ist der Weg sicherlich jünger als die ältesten Holzbauten, möglicherweise gleichzeitig mit den zwei Pfostenstellungen der jüngeren Bauphase.

Das beim Aushub gesammelte Fundmaterial umfasst Keramik des späteren 1. und vor allem des 2. Jh. n. Chr. (Kat. **32–39**). Neben Terra Sigillata ostgallischer Provenienz (Kat. **32–34**) und Fragmenten mehrerer Glanztonbecher (Kat. **35**) sind besonders die zahlreichen Reibschüsseln zu erwähnen, worunter zwei Exemplare dem mittelkaiserzeitlichen sog.

rätischen Typ angehören (Kat. **37**)[458]. Ein absolutes Unikum im Vicus von Vitudurum ist das Fragment einer sog. Gesichtsurne (Kat. **36**; Abb. 85). Aus dem Kanton Zürich kennen wir vereinzelte Funde aus den Gutshöfen von Dietikon, Seeb, Buchs, Otelfingen und Urdorf-Heidenkeller, wo sie in Befundkontexten des späten 2. bis mittleren 3. Jh. n. Chr. stehen[459].

2.3 Zusammenfassung – Résumé – Riassunto – Summary

Das Ergebnis der Sondierungen und des oberflächlichen Baggerabtrags innerhalb der Liegenschaft Römerstr. 203 bezeugt auch in diesem Teil des Vicus eine römische Siedlungsaktivität während mindestens zwei Bauphasen. Welcher Art diese gewesen ist, lassen die bloss ausschnittsweise oder oberflächlich erfassten Balkengräblein, Pfostenstellungen und Kiespflasterungen nur erahnen. Das zum Teil in den Katalog aufgenommene Fundgut spannt einen zeitlichen Rahmen von vorflavischer Zeit bis in das 2. und gar ins 3. Jh. n. Chr. Nicht nur die ergrabenen Befunde sondern auch die zahlreichen keramischen Funde, unter denen das Fragment einer Gesichtsurne besonders auffällt, lassen eine zukünftige Ausgrabung des Areals mit Spannung erwarten. Denn nur eine solche kann zu befriedigenden, aussagekräftigen Ergebnissen führen und als Mosaiksteinchen einen Beitrag dazu leisten, das nördlich der antiken Römerstrasse gelegene Quartier zwischen der Fundstelle Römerstr. 197 im Westen und Römerstr. 229/Römerweg 5 am Ostrand des Vicus besser zu verstehen.

Résumé
Les sondages et le décapage superficiel réalisé à la pelle mécanique à l'intérieur du bâtiment sis à la Römerstrasse 203 montrent que, dans cette partie du vicus également, deux phases de construction se sont succédé à l'époque romaine. Les négatifs de poutre, les poteaux et les lits de gravier touchés partiellement ou superficiellement par la fouille n'autorisent pas d'évaluation approfondie. Le mobilier, dont une partie est présentée dans le catalogue, s'insère dans une fourchette chronologique allant de l'époque pré-flavienne au 2e ou même au 3e s. ap. J.-C. Les structures mises au jour, l'abondant mobilier céramique, entre autres un fragment d'une urne à visage, permettent d'escompter des résultats prometteurs d'une future fouille de la zone. En effet, seule une investigation de ce type pourrait contribuer à fournir des résultats susceptibles de révéler l'histoire du quartier situé au nord de l'antique voie romaine, entre le site Römerstrasse 197 à l'ouest, et Römerstrasse 229/Römerweg 5 à l'extrémité orientale du vicus.
Traduction Catherine Leuzinger-Piccand

Riassunto
Un saggio di scavo, seguito da uno scavo meccanico superficiale, hanno rivelato in località Römerstrasse 203 resti d'insediamento romani, relativi ad almeno due fasi d'occupazione. Trattandosi di un esame parziale e solo superficiale del lotto, non siamo in grado di interpretare le tracce di travi di fondazione, le buche di pali e gli strati di ghiaia venuti alla luce. L'insieme dei reperti, presentato sommariamente in questo contributo, appartiene ad un periodo precedente all'epoca dei Flavii fino al II, addirittura III sec. d.C. Le strutture e le suppellettili ceramiche incontrate – tra le quali annoveriamo un'olla con decorazione plastica a forma di volto umano – suscitano grande interesse per un'approfondita indagine archeologica, auspicabile in questa zona. Solo essa sarà in grado di fornirci nuovi elementi per una valutazione complessiva del lotto, posto a tassello nel quartiere a nord dell'antica via romana, tra le zone meglio conosciute di Römerstrasse 197 e Römerstrasse 229/Römerweg 5, al margine orientale del vicus.
Traduzione Rosanna Janke

Summary
The result of the test excavations and of the areas cleared by the excavator within the property at Römerstrasse 203 proves Roman settlement activity during at least two building phases in this part of the vicus as well. However, due to the only partial or superficial examination of the beam trenches, post holes and gravel surfaces, the nature of these activities can only be surmised. The finds, of which some were recorded in the catalogue, date to pre-Flavian times up to the 2nd or even to the 3rd centuries AD. Not only the excavated structures but also the numerous ceramic finds, among which the fragment of a face urn is particularly noteworthy, let us anticipate future excavations of the area with excitement. Only these can lead to satisfactory and meaningful results, thus making a contribution towards the better understanding of the quarter situated north of the Roman road between the sites of Römerstrasse 197 in the west and Römerstrasse 229/Römerweg 5 at the eastern edge of the vicus.
Translation Sandy Hämmerle

---

[449] Die Faltenbecher kommen z.B. in Baden AG (ABB) in der 2. Steinbauperiode gehäuft vor; vgl. Koller/Doswald 1996, 114; mit floralem Barbotinedekor verzierte Becher stellen eine auch in der Nordostschweiz verbreitete Form der Glanztonkeramik dar; Furger/Deschler-Erb 1992, 77; Rychener 1984, 58 Kat. 616; Drack et al. 1990, 147 Anm. 249.

[450] Rychener 1984, 65 (Kirchhügel, bes. Periode C und D).

[451] Jauch 1997, 59.

[452] R. Goguey/M. Reddé, Le camp légionnaire de Mirebeau. Römisch-Germanisches Zentralmuseum. Monographien 36 (Mainz 1995) 181–184 (Auflistung der Fundstellen); R.H. Schmidt, Römerzeitliche Gräber aus Südhessen. Untersuchungen zu Brandbestattungen. Materialien zur Vor- und Frühgeschichte von Hessen 17 (Wiesbaden 1996) 77f.; Ettlinger/Simonett 1952, 25 Taf. 8, 143–145; nachweisbare Herstellung in Köngen-Grinario, Fehlbrand aus Töpferofenzusammenhang vgl. Luik 1996, 74f. Taf. 22,13; M. Mackensen, Das römische Gräberfeld auf der Keckwiese in Kempten. I. Gräber und Grabanlagen des 1. und 4. Jahrhunderts. Cambodunumforschungen IV. Materialhefte zur Bayerischen Vorgeschichte A 34 (Kallmünz 1978) 105; da sich im süddeutschen Raum keine Räucherkelche aus frühkaiserzeitlichen Zusammenhängen nachweisen lassen, fehlen sie folgerichtig auch aus den militärischen Zusammenhängen dieser Zeit wie z.B. Lorenzberg Auerberg, Aislingen, Burghöfe (alle D) u. a.

[453] Ebd.; es treten verschiedene Formen auf, die sich besonders in ihrer Randausbildung und plastischen Verzierung unterscheiden; z.T. sind sie bemalt, hell- oder grautonig.

[454] Pos. 22.

[455] Pos. 24.

[456] Pos. 26.

[457] Pos. 25.

[458] Jauch 1997, 67f. (mit Lit.).

[459] Dietikon: Ebnöther 1995, Taf. 62,1235; Seeb: Drack et al. 1990, 147 Taf. 17,103–104; Buchs: Publikation durch B. Horisberger in Vorb., Fragmente zweier Individuen, Glanztonkeramik, eines im Kontext des mittleren 3. Jh. n. Chr.; Otelfingen: B. Hedinger in: M. Graf/D. Fort-Linksfeiler/B. Hedinger, Archäologische Neuigkeiten aus Otelfingen. Heimatkundliche Vereinigung Furttal Mitt. 26 (Buchs 1997) 24 Abb. 5 (ein Fragment); Urdorf-Heidenkeller: unpubl.

3 RÖMERSTRASSE 209
(Ausgrabungen 1994/95) *(Verena Jauch)*

3.1 Einleitung

Im Bereich der Liegenschaft Römerstr. 209 konnte die Kantonsarchäologie Zürich in den Jahren 1994 und 1995 eine Fläche von insgesamt etwa 62 m² inner- und ausserhalb des Wohnhauses untersuchen (Abb. 86–89)[460]. Das geplante Bauprojekt sah eine Unterkellerung mit Gebäudeerweiterung in Richtung Norden vor. Da an dem ehemals zweigeschossigen Bauernhaus nur eine sanfte Renovierung vorgenommen wurde, wodurch das ursprüngliche Gebäude nicht zu Schaden kommen sollte, wurde im September 1994 unter der Leitung von R. Szostek nur eine Bauaufnahme in aller Kürze unternommen. Dieser ist zu entnehmen, dass der Bohlenständerbau im 15./16. Jh. als dreiraumtiefes Haus mit Wohn- und Ökonomieteil errichtet worden war. Die Bohlen wurden im 17./18. Jh. durch Fachwerk ersetzt und der ursprüngliche Dachstuhl im 20. Jh. abgetragen. Eine dendrochronologische Untersuchung der entnommenen Proben blieb leider ergebnislos[461].

3.2 Topographische Situation und Vorgehensweise

Die Ausgrabung der Gesamtfläche wurde in zwei Kampagnen vorgenommen[462]. Nach einer kleinen Sondierung im Hinterhof des Hauses vom 23.8.–5.9.1994 (Sondiergrube 1), setzte die erste Etappe am 24.10. ein und dauerte bis zum 23.12.1994, wobei eine Fläche von 23 m² z.T. innerhalb des Gebäudes aufgedeckt wurde (Feld 2; Abb. 88). Eine zweite Etappe, die zum Ziel hatte 39 m² im Bereich des Hinterhofes und des Gartens zu untersuchen, erfolgte vom 3.4.–20.6.1995 (Felder 1 und 3). Eine zuvor im September 1994 durchgeführte geophysikalische Prospektion führte zu keinen Ergebnissen[463].



Abb. 86. Vicus, Nordostquartier. Übersichtsplan. M. 1:2000.



Abb. 87. Das Anwesen Römerstr. 209.

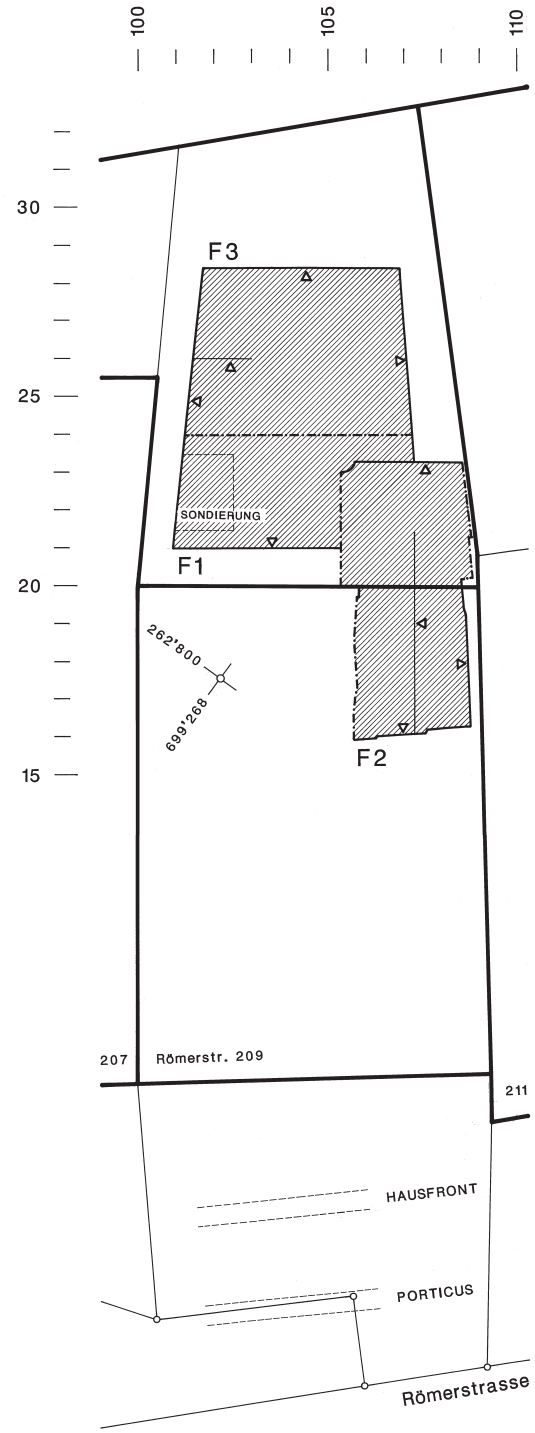


Abb. 88. Römerstr. 209. Lage der Grabungsfelder 1–3. Von Westen her verlängerte Achse von Hausfront und Portikus. M. 1:200.

Das Untersuchungsgebiet befindet sich nördlich der antiken WE-verlaufenden Hauptstrasse (Abb. 86). Wie die Besiedlung der bisher im antiken Vitudurum ergrabenen Flächen deutlich macht, befanden sich nördlich der heutigen Römerstrasse zahlreiche Gebäude, in denen sich z.T. der Nachweis handwerklicher Tätigkeiten erbringen liess. So war beispielsweise in unmittelbarer Nähe, etwa 20–30 m östlich des Grabungsareals, im Areal Römerstr. 213/215 eine Werkstatt der Eisenverarbeitung untergebracht[464].

Die Auswertung der Ausgrabungen in der Parzelle Römerstr. 209 wurde von folgenden Fragestellungen bestimmt: Ist es möglich anhand der Stratigraphie verschiedene zeitlich aufeinander folgende Bauaktivitäten abzulesen? Lassen sich Gebäudegrundrisse feststellen und wenn ja, in welcher Ausrichtung und in welchem Verhältnis zueinander? Können diese mit den bisher bekannten Befunden nördlich der Römerstrasse verbunden werden und womöglich dazu beitragen ein Siedlungsraster in diesem Bereich aufzudecken? Sind Hinweise auf die Ausübung eines Handwerks zu gewinnen?

Es stellte sich jedoch bald heraus, dass erschöpfende Antworten auf diese Fragen keinesfalls zu erbringen sind. Dies liegt hauptsächlich daran, dass die Grabungsfläche von zahlreichen neuzeitlichen und modernen Strukturen und Störungen durchzogen war, wodurch das schon von vorneherein kleine Untersuchungsgebiet noch mehr an Aussagequalität einbüssen musste. (Abb. 123). Obwohl gerade die neuzeitlichen Strukturen besonders in Form diverser Jauchegruben, die in einer chronologischen Abfolge zueinander standen, ihrerseits eine äusserst interessante Befundsituation darstellen, sind sie dennoch der Interpretation der römischen Hinterlassenschaften nicht gerade zuträglich. Zusätzlich waren die Schichten in ihrer Farbgebung z.T. nur schwer voneinander unterscheidbar, z.T. angeblich, weil sie auf Grund der Jauchegruben stark verfärbt waren. Eine weitere Schwierigkeit liegt in dem Befund selbst: Besonders in den Feldern 1 und 3 handelt es sich um eine dichte Abfolge von Holzbauten, die immer wieder abgerissen und erneuert wurden, wobei das Material der älteren Bauphasen z.T. direkt wieder aufplaniert wurde sowie ältere Strukturen wiederholt angeschnitten wurden. Diese Vorgänge bedingten nicht nur eine Verunklärung der Befundsituationen, sondern auch eine weite Streuung der Passscherben. Bei der Interpretation dieser einzelnen Bauetappen kam erschwerend hinzu, dass während der Ausgrabung zu wenige Profilschnitte angelegt wurden, um das Verhältnis der dicht aufeinander folgenden Schichten und Strukturen abzuklären[465]. Zudem befand sich das Nordprofil von Feld 3 unglücklicherweise genau in einem Bereich, in dem sich ein Schichtenwechsel vollzog und somit nur reduzierte Aussagen zu den stratigraphischen Verhältnissen der übrigen Flächen abzuleiten waren. Alles in allem ist die Interpretation der Befundsituationen im Areal Römerstr. 209 auf Grund obiger Fakten sehr problematisch, zumal es wegen der allzu kleinen Grabungsfläche nicht gelingen konnte, die Befunde untereinander durch Einbindung in einen grösseren Rahmen verständlich zu machen. Die in dem durchschnittlich 80 cm mächtigen römerzeitlichen Schichtpaket definierten – insgesamt sechs sog. Bauphasen – sind somit als Vorschlag zu verstehen, der nicht immer eindeutig verifizierbar ist; die individuellen Interpretationsprobleme werden jeweils bei der Behandlung der einzelnen Bauaktivitäten angesprochen. Neben den formulierten sechs römischen Bauphasen aus dem 1. bis beginnenden 2. Jh. waren vereinzelte Funde aus dem späten 2. und beginnenden 3. Jh. n. Chr. feststellbar sowie eine mit der Errichtung der Liegenschaft einsetzende neuzeitliche Bautätigkeit. Im Folgenden werden diese Bauphasen einzeln in chronologischer Reihung vorgestellt, wobei zuerst die Befundsituation erläutert und im Anschluss daran ihrer Datierung nachgegangen wird. Bei der Befundbeschreibung bezeichnet Norden das durch das Felderraster bestimmte Grabungsnord etc. (Abb. 88).

Das in den Katalog aufgenommene Fundmaterial wurde repräsentativ gemäss seinem chronologischen Aussagewert und eventuellen typologischen Besonderheiten ausgewählt. Da es nur wenige geschlossene Fundkomplexe gibt, stammt das für Datierungsbelange hinzugezogene Fundgut z.T. aus Planieschichten. Das dadurch gewonnene Fundspektrum dient in diesem Fall als Terminus post quem einer zeitlichen Einordnung der folgenden Bauphase. Aus dem aufgenommenen Material wurden die bestimmbaren Fragmente der Feinkeramik zahlenmässig in Tabellen erfasst (vgl. Tabellen im Anhang). Diese Darstellungsweise dient jedoch keineswegs einer statistischen Auswertung, da die Anzahl der erfassten Fragmente viel zu gering ist und der Anteil des Zufalls somit eine allzu grosse Rolle spielt, sondern gibt einen Überblick über das vorhandene datierbare Keramikspektrum.

3.3 Die Bauphasen

3.3.1 Phase 1 – Die älteste Holzbauphase und der Kiesweg (Abb. 89)

Die älteste römische Bauaktivität hinterliess ihre Spuren unmittelbar auf der Oberfläche des gewachsenen Bodens[466]. In den Grabungsfeldern 1 und 3 verlief in etwa NS ein 10–20 cm breiter und 20 cm tiefer Graben, der in Zusammenhang mit zwei Pfostenlöchern stand[467]. (Abb. 89–90). Mit grosser Wahrscheinlichkeit haben wir in den beschriebenen Strukturen den auf einer Länge von 6,5 m erhaltenen östlichen Wandabschluss eines Gebäudes vor uns, das mittels eines Schwellbalkens, der an dieser Stelle in einem Abstand von 3,4 m zwischen Pfosten eingespannt wurde, errichtet war. Bei dem Holzbau handelt es sich um die älteste nachweisbare Besiedlung im Areal Römerstr. 209. Da sich der grösste Teil des Hausgrundrisses ausserhalb der Grabungsgrenzen befindet, konnten keinerlei Innenstrukturen etwa in Form von Feuerstellen nachgewiesen werden. Als Gehniveau war über die gesamte Fläche – also inner- und

---

460 Bei den Grabungskampagnen waren folgende Personen beteiligt: 1994: M. Bachmann, F. Bart, M. Erni, B. Jäggi, R. Minnig, Ch. Müller, U. Wegmann; 1995: R. Gamper, O. Hinz, F. Jetzer, R. Minnig, M. Wiesendanger, Ch. Winkel, B. Zollinger; die technische Leitung hatte F. Mächler inne, die wissenschaftliche Betreuung lag bei B. Hedinger.

461 AIZ 1993–1994, 13. Ber. KA Zürich (1996) 46f.; JbSGUF 78, 1995, 229; Bericht Archiv KA.

462 LK 1072, 699 270/262 805; Höhe 469 m. Feld 1 (17 m^2), Feld 2 (23 m2), Feld 3 (23 m2). JbSGUF 78, 1995, 229; JbSGUF 79, 1996, 269; AIZ 1993–1994, 13. Ber. KA Zürich (1996) 46f.; AIZ 1995–1996, 14. Ber. KA Zürich (1998) 50.

463 RADAR 4032; J. Leckebusch, Archiv KA.

464 Vgl. die Ausführungen in Kap. 4.2.1.

465 Besonders bedauerlich ist das fehlende Nordprofil von Feld 1.

466 Pos. 15/129.

467 Graben Pos. 291; Pfostenlöcher: Pos. 287: Dm. 50 cm; T. ca. 50 cm und Pos. 294: Dm. 30 cm; T. 30 cm.

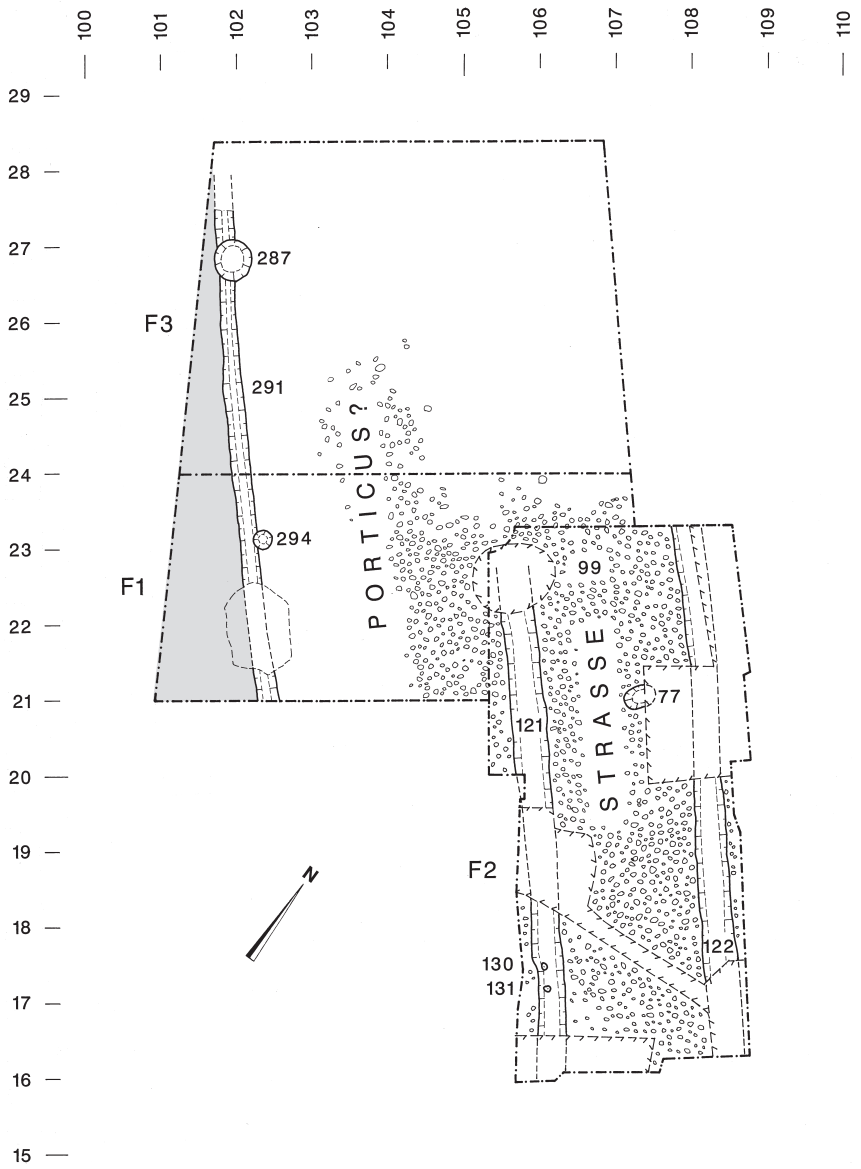


Abb. 89. Römerstr. 209. Phase 1. Übersichtsplan. M. 1:100.

ausserhalb des Gebäudes – nur ein lehmiger Horizont festzustellen, der vom Material her dem gewachsenen Boden entsprach[468]. Funde wurden ausschliesslich von der Oberkante dieser Schicht geborgen.

In Zusammenhang mit dem Hausgrundriss stand eine Kiesrollierung in der östlichen Hälfte des Grabungsareals, die auf dem gewachsenen Boden verlegt wurde (Abb. 91–92)[469]. Ihre Breite betrug mind. 3,5 m. In Feld 2 verliefen in einem Abstand von etwa 2 m zwei parallele, 40–45 cm breite und etwa 10 cm tiefe Gräben[470]. Es handelte sich bei diesen ganz offensichtlich um beidseitige Strassengräben, die die gepflasterte Strasse säumten[471]. Obwohl sich der westliche Graben nördlich eines modernen Sammelschachts nicht mehr feststellen liess und sich eine eventuelle Fortsetzung des östlichen Grabens ausserhalb des Untersuchungsgebiets befindet, ist dennoch anzunehmen, dass die Strasse während der ersten römerzeitlichen Besiedlung etwa rechtwinklig von der antiken WE-verlaufenden Hauptstrasse nach Norden führte und einen Zugang zu dem in seiner Ostfassade erfassten Holzgebäude gebildet hat. (Abb. 86). Die beiden Strassengräben und der dokumentierte Balkengraben befanden sich in paralleler Ausrichtung zueinander. Möglicherweise überdachte eine maximal 3 m breite Portikus den Streifen zwischen Hauswand und Strasse, von der sich allerdings keinerlei archäologische Nachweise erhalten haben.

Chronologisch schwer einzuordnen ist eine Pfostenstellung in Feld 2, die im gewachsenen Boden sichtbar war[472].

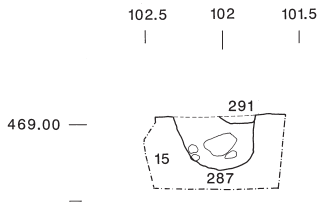


Abb. 90. Römerstr. 209. Feld 3. Pfostenloch (Pos. 287) und Balkengraben (Pos. 291). Südprofil. M. 1:50.

Datierung (Tab. 1 im Anhang)

Ausschlaggebend für die Datierung von Phase 1 ist das Fundmaterial, das auf dem Gehniveau, d.h. dem gewachsenen Boden bzw. dem Kiesweg geborgen wurde. Nur bedingt hinzuzuziehen sind die Füllungen der beiden Strassengräben, da diese mit der Planie der jüngeren Phase 2a verfüllt waren.

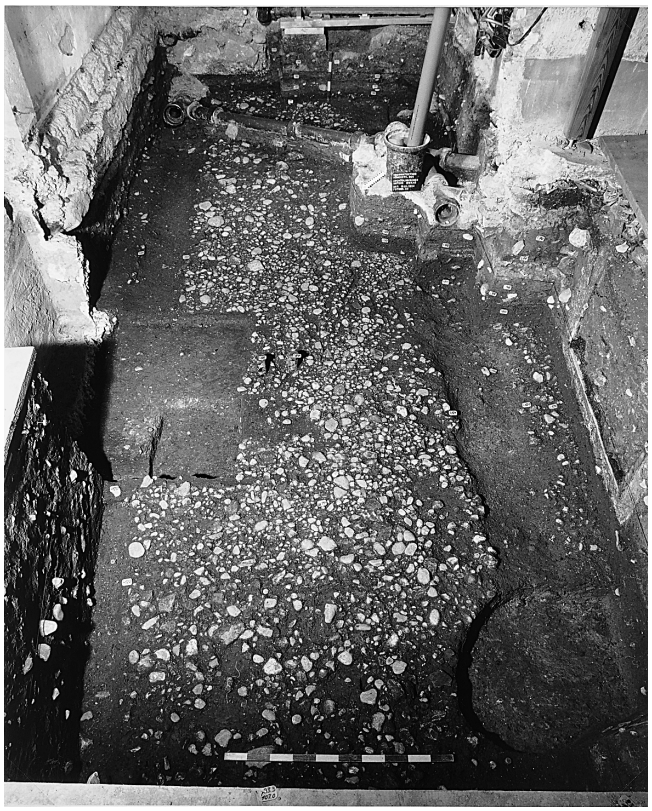


Abb. 91. Römerstr. 209. Feld 2. Kiesweg. Ansicht von Süden.

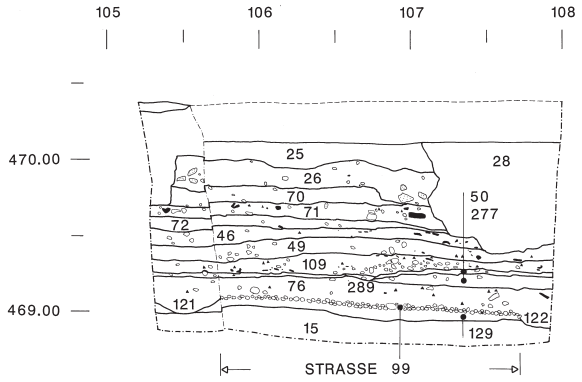


Abb. 92. Römerstr. 209. Feld 2. Nordprofil. M. 1:50.

Das Fundspektrum beinhaltet an Feinkeramik ausschliesslich Terra Sigillata italischer Provenienz, wie die Formen Consp. 18 und Consp. 22, welche bis in tiberische Zeit datiert werden und zahlreiche nicht näher bestimmbare italische Terra-Sigillata-Wandscherben (Kat. **1, 3, 7, 8**)[473]. In diesen zeitlichen Rahmen passen sehr gut die helltonigen Schüsseln vom Typ Drack 21 mit ihrer zeitlich früh anzusetzenden Randbildung (Kat. **6, 9**)[474]. In etwa denselben Zeitraum gehört eine Schüssel mit breitem, rotem Randwulst, eine Form, die in Oberwinterthur auf dem Kirchhügel hauptsächlich der Periode A zuzuordnen ist und sich auch im Unteren Bühl stratigraphisch bis etwa 30 n. Chr. nachweisen lässt (Kat. **4**)[475]. Sehr gut in diesen Horizont passt auch eine Münze augusteischer Zeitstellung (Kat. **11**).

Phase 1 lässt sich, beruhend auf obigen Erkenntnissen, in augusteische bis frühtiberische Zeit datieren und umfasst vorwiegend den Zeitraum von etwa 0–20 n. Chr.

3.3.2 Phase 2a – Die zweite Holzbauphase (Abb. 93)

Über den gewachsenen Boden und den Kiesweg der ersten Bauphase wurde flächendeckend eine lehmig-humose Planie eingebracht[476]. Auf dieser war in Feld 3 östlich von Lfm. 103 ein nahezu rechteckiger, hellgelber, etwa 5 cm mächtiger Lehmboden zu erkennen, der allerdings nicht mehr zusammenhängend vorhanden war (Abb. 94)[477]. Am Ostrand des Estrichs befanden sich zwei Bruchsandsteine und ein dritter im Nordprofil, welche vermutlich ein NS-orientiertes Auflager für eine Raumgliederung oder eine Aussenwand darstellten. Die somit erreichte Gebäude- bzw. Raumbreite betrüge 3,5 m.

Ausserhalb dieses Grundrisses befand sich auf einer Länge von 2 m und einer Breite von etwa 0,5 m eine Anhäufung von Bollen- und Bruchsteinen in Feld 1[478]. Laut Südprofil, Feld 1, wurde sie deutlich von dem nächstfolgenden Horizont überdeckt, gehört demnach zu Phase 2a (Abb. 95)[479]. Erst auf einer deutlich erkennbaren Zwischenschicht wurde mit Phase 2b in derselben Orientierung ein Holzbalken verlegt, welcher sich somit an einem mutmasslichen Vorgängerbau orientiert hatte. Östlich dieser Steinkonzentration befanden sich drei reihig in die Planie eingebettete Bollensteine[480]. Diese fungierten erstmals in Phase 2a als Auflager für einen Balken der Nordwand eines südlichen Grundrisses, von dem sich keinerlei Spuren einer Innengliederung oder eines Bodens erhalten haben. Zwischen diesem und dem oben beschriebenen rechteckigen Lehmestrich bestand ein etwa 1 m breiter Zwischenraum, vielleicht eine Gasse, in der eine Ansammlung von Randleistenziegeln auffällt[481].

Am Südostrand von Feld 2 zeichnete sich eine Grube unbekannter Funktion ab, die von der modernen Kanalisation angeschnitten wurde und sich ausserhalb der Grabungsgrenzen fortsetzte (Abb. 96)[482].

---

468 Pos. 129.
469 Pos. 99; sie erstreckte sich westlich von Lfm. 104,00 bis nördlich etwa in Höhe von Lfm. 24,00.
470 Pos. 121; Pos. 122.
471 Auf der Sohle von Graben Pos. 121 waren zwei kleine Pfostenlöcher feststellbar: Pos. 130, Pos. 131: Dm. 6 cm, T. 10–15 cm.
472 Pos. 77: Dm. 30 cm; T. 20 cm; das zeitliche Verhältnis zum Kiesweg ist unklar.
473 Consp., 82. 90.
474 Rychener 1984, 57 Abb. 52,19 (Kirchhügel, Periode A); Rychener/Albertin 1986, 76f. Abb. 82 (Randform 1), Phasen A–B (1. Hälfte 1. Jh. n. Chr.); B. Hedinger in: Römische Keramik in der Schweiz, 199 F. 12,11.
475 Rychener 1984, 59; 61 Abb. 58; im Unteren Bühl bezogen auf die Stratigraphie von Haus 14, freundlicher Hinweis von Th. Pauli.
476 Pos. 76: D. 5–18 cm, dunkelbraun.
477 Pos. 274; in den Lehm schnitt der jüngere Graben Pos. 271.
478 Pos. 284.
479 Pos. 50.
480 Pos. 270; 245; 244.
481 Pos. 278.
482 Pos. 123: Im Ostprofil erkennbar als muldenförmige, etwa 20 cm tiefe Struktur.

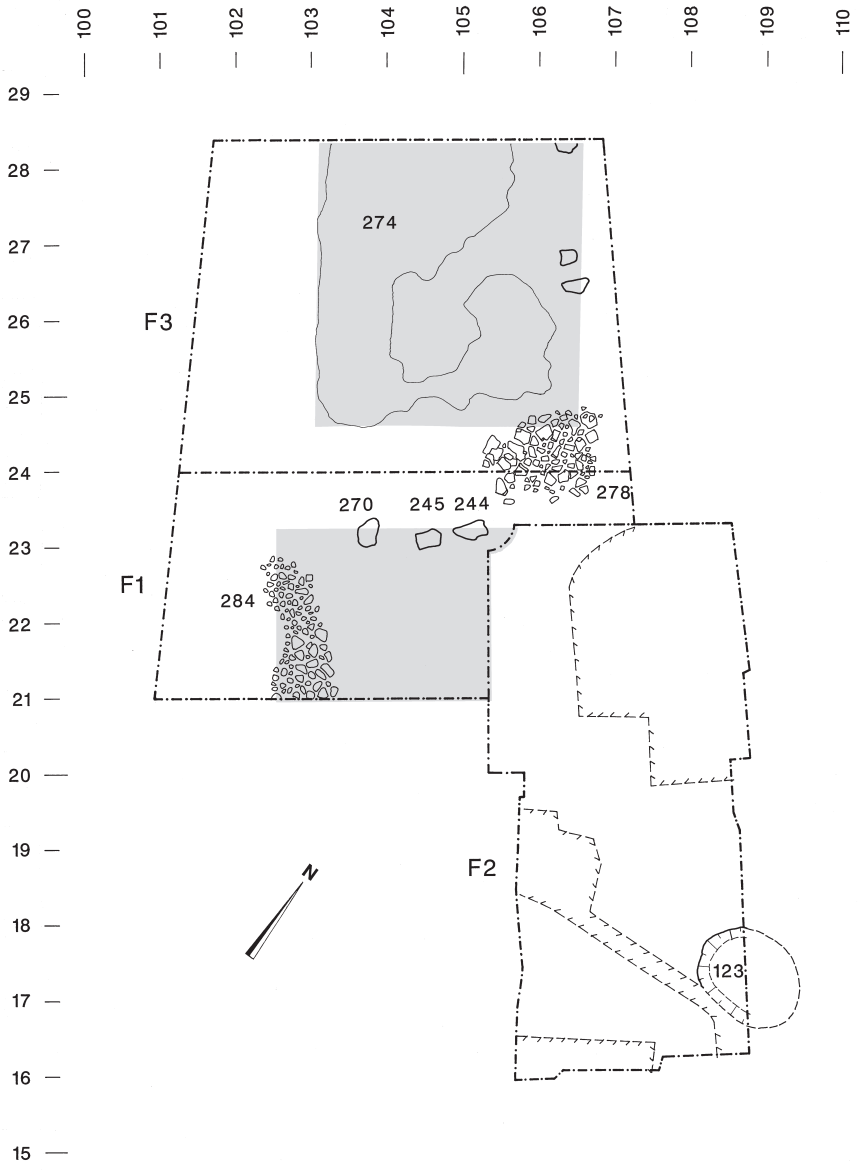


Abb. 93. Römerstr. 209. Phase 2a. Übersichtsplan. M. 1:100.



Abb. 94. Römerstr. 209. Phase 2a. Planie Pos. 76 mit Lehmestrich Pos. 274, Balkengraben Pos. 271 und Steinauflager Pos. 244/245. Ansicht von Norden.

Datierung (Tab. 1 im Anhang)
Einer zeitlichen Einordnung von Phase 2a dient vor allem das Fundmaterial aus der Lehmplanie mit Gehniveau[483]. Die Terra Sigillata umfasst die Formen Consp. 18, 21 und 22 italischer Provenienz, deren Zeitstellung eine Datierung in das 1. Viertel des 1. Jh. n. Chr. bzw. bis in frühtiberische Zeit zulässt (Kat. **12–16**); zu diesen gesellen sich wenige Fragmente aus Südgallien, zwei Teller der Form Drag. 15/17 und eine Schale vom Typ Drag. 27 (Kat. **17**). Relativ gross ist der Anteil an Terra-Sigillata-Imitationen, die in den allgemein zahlreichen Typen Drack 2/3 und Drack 9 vorhanden sind (Kat. **18–21**). Beide Formen wurden bis in frühflavische Zeit produziert[484]. Häufig ist wiederum die helltonige Schüssel vom Typ Drack 21, z.T. mit der bereits für Phase 1 konstatierten, frühen Randbildung (Kat. **22**). Das Vorhandensein italischer Keramik zusammen mit den wenigen südgallischen Formen ergibt eine Datierung in tiberische Zeit. Hierzu passt sehr gut das Spektrum an Terra-Sigillata-Imitationen, ohne in Versuchung zu geraten, ausgehend von einer zahlenmässig derart geringen Ausgangsbasis, irgendein statistisches Verhältnis abzuleiten. In diesen Zeitraum lassen sich auch die Krugformen ohne weiteres eingliedern: Neben einem frü-

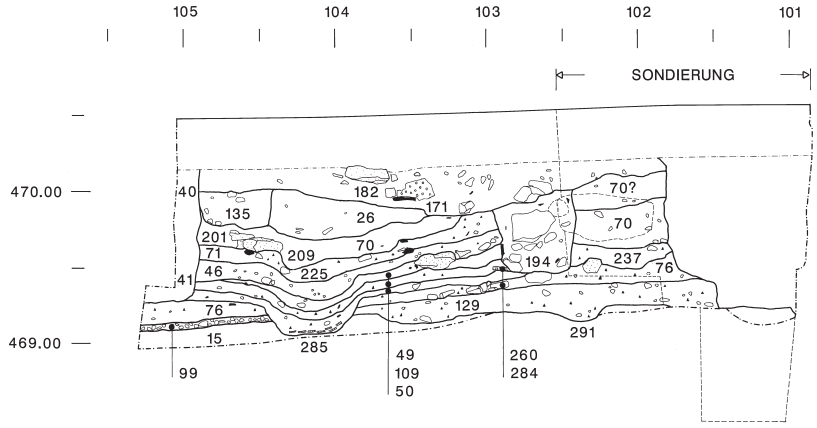


Abb. 95. Römerstr. 209. Feld 1. Südprofil. M. 1:50.

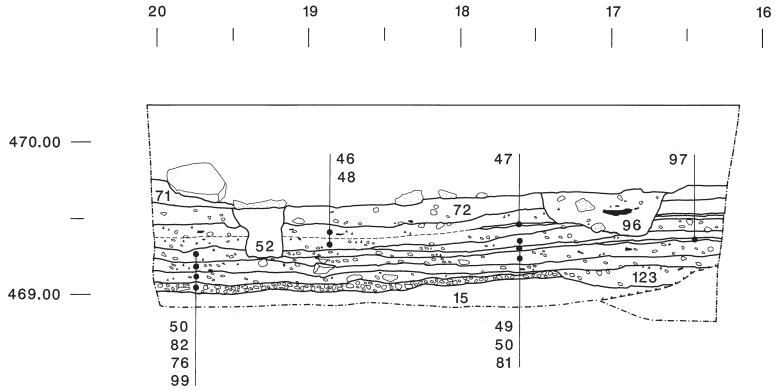


Abb. 96. Römerstr. 209. Feld 2. Ostprofil. M. 1:50.

hen Exemplar mit gerilltem, unterschnittenem Kragenrand (Kat. **33**)[485] findet sich beispielsweise ein grosser zweihenkliger Krug mit getrepptem Kragenrand (Kat. **31**)[486].

Aus dem Lehmestrich konnten leider keine nennenswerten Funde geborgen werden bis auf eine Münze, die allerdings als Altfund zu gelten hat (Kat. **37**). Erwähnenswert ist ein Öllämpchen vom Typ Loeschcke 1b, welches die Darstellung einer Biga trägt (Kat. **40**). Das Motiv einer Biga oder Quadriga findet sich sehr häufig in den Nordprovinzen, wobei die stilistische Ausführung wie etwa die Haltung der Pferdeköpfe und der Arm des Wagenlenkers variieren kann. In der Darstellung vergleichbare Lampen werden in die 1. Hälfte des 1. Jh. n. Chr., mitunter in augusteisch-tiberische Horizonte datiert[487].

3.3.3 Phase 2b – Gebäudeerneuerung und Entwässerungskanal (Abb. 97)

Im Zuge einer weiteren Bauaktivität wurde flächendeckend eine Planie eingebracht[488]. Auf deren Schichtoberfläche zeichnete sich ein Horizont aus Rinden- und Holzschnipseln ab, der als Gehniveau benutzt wurde[489]. Am Ostrand von Feld 3 war eine Kiesschicht feststellbar, die zusammen mit der Planie einen Benutzungshorizont gebildet hatte (Abb. 98–99)[490]. Gemäss dem Ostprofil von Feld 3 lief dieses Kiespaket südwärts an einer Lehmlinse, mit der es ein Gehniveau bildete, aus[491]. Im südlichen Bereich von Feld 2 befand sich die Benutzungsschicht auf zwei Zwischenplanien (Abb. 96)[492].

Auf einer Länge von etwa 3,8 m ist ein NS-ausgerichteter Balkengraben erkennbar, dessen südliches Ende in seiner Verlängerung unmittelbar auf einen schon während der vorangegangenen Bauphase verwendeten Stein traf[493]. Die mit diesem in einer EW-verlaufenden Achse stehenden Auflagesteine waren vermutlich noch im Gehhorizont von Phase 2b sichtbar[494]. In der östlichen Verlängerung der Steinreihe zeichnete sich in derselben Flucht ein Pfostenloch ab, das

---

483 Pos. 76.

484 Drack 2/3: Furger/Deschler-Erb 1992, 72 Abb. 52 (Augst, Theater bis in Phase 5/6); Rychener/Albertin 1986, 57; Drack 9: Furger/Deschler-Erb 1992, 73 Abb. 53 (Augst, Theater Phase 2–4); Rychener 1984, 54.

485 Roth-Rubi 1979, 21ff. Taf. 2,12 (augusteisch-tiberisch); Rychener/Albertin 1986, 78f. Abb. 83, 160. 170 (Phase A, 0–20 n. Chr.).

486 Roth-Rubi 1979, 51f. Taf. 4,118 (claudisch-neronisch); Rychener/Albertin 1986, 78, 292 (Phase B, 20–50 n. Chr.).

487 Leibundgut 1977, 171 Nr. 238–239; Farka 1977, 123 Nr. 62 (1. Hälfte 1. Jh.); Taf. 68,335 (augusteisch-tiberisch).

488 Pos. 50: humos-kiesig, siltig, braun; D. max. 10 cm; OK mit Rindenhorizont als Gehniveau; in Feld 2 z.T. auf diversen Zwischenplanien (Pos. 81/82).

489 Gehniveau aus Holzschnipseln und Torf: vgl. in diesem Band: Oberwinterthur, Römerstr. 213/215, Kap. 4.2.3, Phase 3, Südteil, Pos. 430/439; Rychener 1988, 49: Römerstr. 197, Schicht 112, Rychener/Albertin 1986, 24: Römerstr. 186, Schicht 102.

490 Pos. 117: D. max. 20 cm; OK z.T. von Benutzungshorizont Pos. 50 bedeckt.

491 Bei Lfm. 24,80; in der Fläche scheint sich Pos. 117 südwärts fortgesetzt zu haben. Lehmlinse Pos. 277: D. max. 24 cm; südlich des anschliessenden Pfostenloches lag über dem Lehm wiederum die Planie als Gehhorizont.

492 Pos. 82: untere Lage Lehm, D. max. 6 cm, grau; Pos. 81: D. max. 6 cm, gelbgrau, wird nordwärts deutlich schmaler.

493 Pos. 271: Br. 40–50 cm; T. 13 cm; Stein: Pos. 270.

494 Die Steine wurden erst mit der Planie in Phase 4 überdeckt.

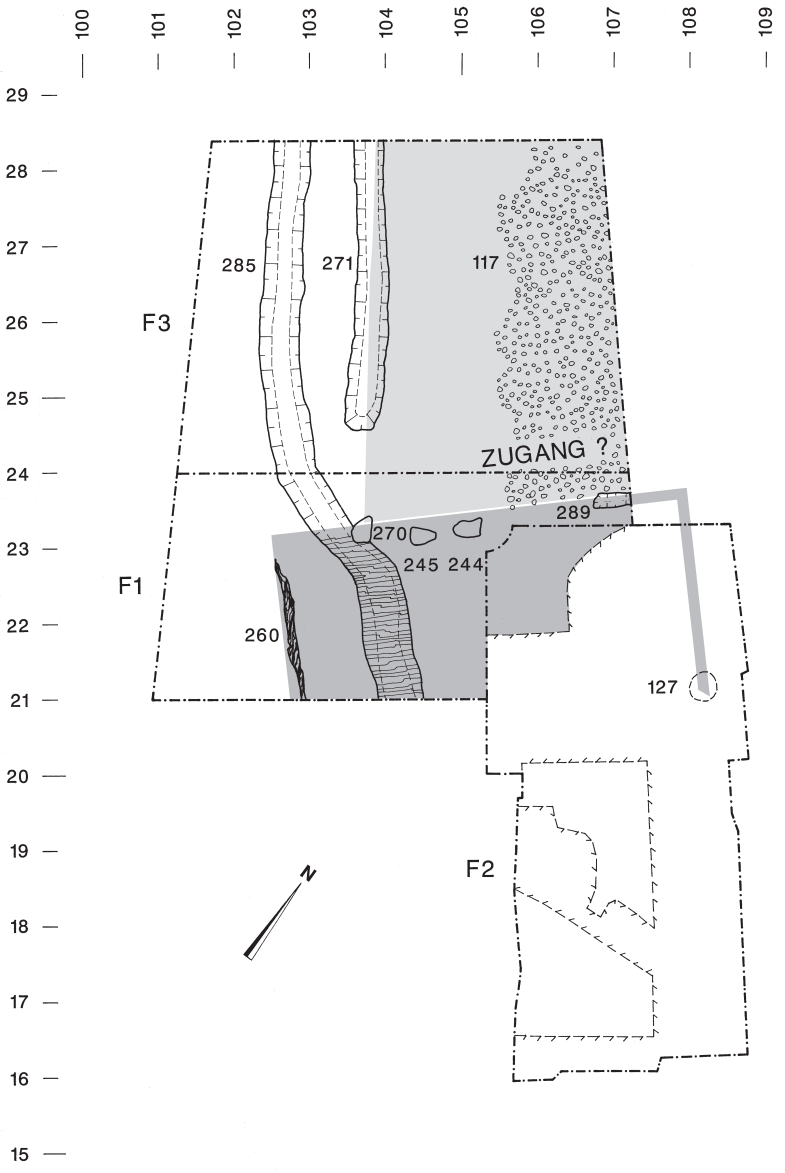


Abb. 97. Römerstr. 209. Phase 2b. Übersichtsplan. M. 1:100.

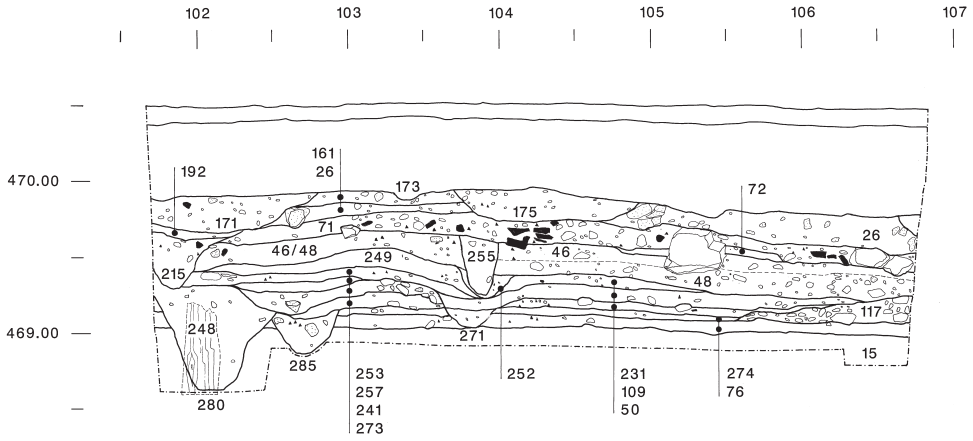


Abb. 98. Römerstr. 209. Feld 3. Nordprofil mit projiziert gezeichnetem, gestricheltem Eichenpfosten Pos. 248. M. 1:50.

zusammen mit den Steinen Bestandteil einer Gebäudewand war und möglicherweise eine etwa 1,5 m breite Türschwelle gebildet hatte[495]. Falls sich der Balkengraben und das Steinauflager tatsächlich zu einem Grundriss ergänzen lassen, fehlen sämtliche Innenausbauten. Als Gehniveau diente dann möglicherweise eine Schicht aus Holzabfall und im östlichen Drittel der Grabungsfläche eine Kiesschicht[496]. Wahrscheinlich ist die beschriebene Wandkonstruktion mit Auflagestei-

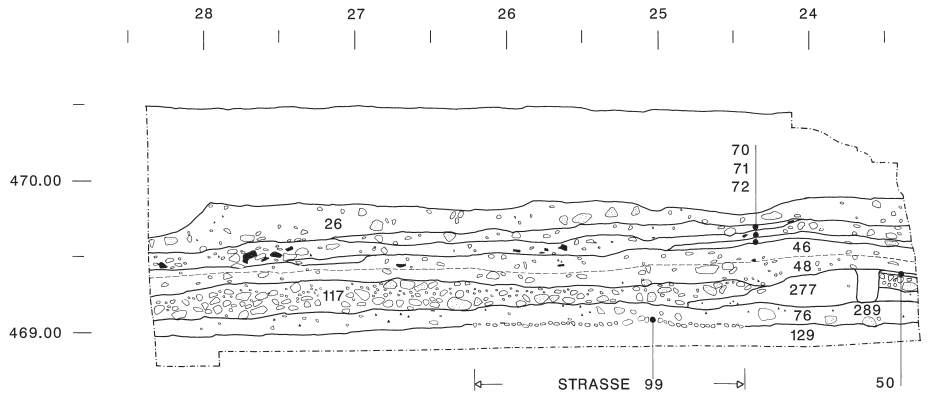


Abb. 99. Römerstr. 209. Feld 1/3. Ostprofil. M. 1:50.

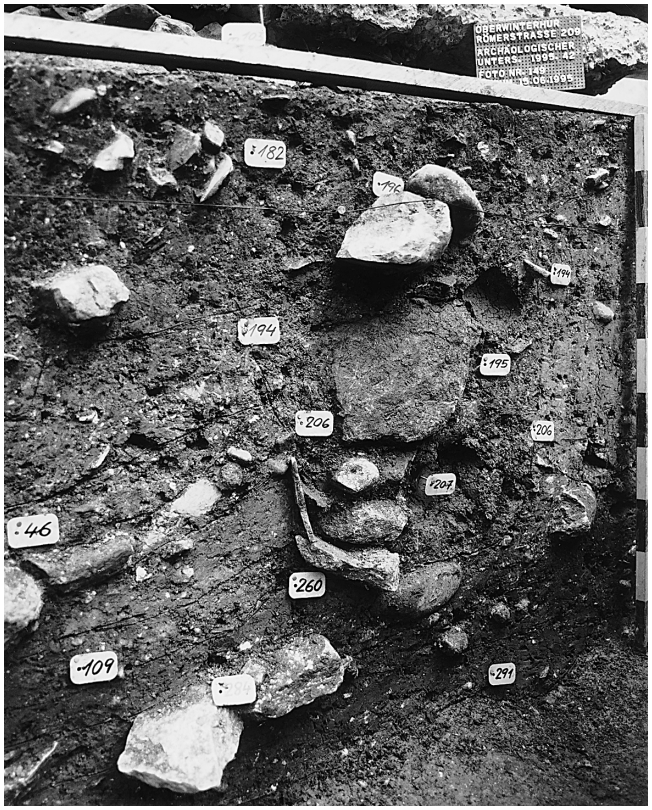


Abb. 100. Römerstr. 209. Feld 1. Südprofil auf Lfm. 102,20–103,30.



Abb. 101. Römerstr. 209. Felder 1/3. Strukturen der Phasen 2a/b. Entwässerungsgraben Pos. 285 und südlicher Hausecken. Ansicht von Süden.

nen mit einem weiteren Grundriss zu verbinden, zu welchem es einen Vorgängerbau an derselben Stelle gab (Abb. 93):

Von der Westwand hatten sich noch Reste des Schwellbalkens aus Weisstanne erhalten (Abb. 100, 95)[497]. Verbindet man das östliche Pfostenloch mit einer Pfostengrube unsicherer Zeitstellung, so ergibt sich eine annähernde Parallele zur Westwand und eine Gebäudebreite von 5 m[498]. Falls es sich hierbei um den östlichen Wandabschluss handelt, so wäre eine Gebäudebreite von 5 m erreicht. Mit Phase 2b wurde ein NS-orientierter Graben angelegt, der in Höhe von Lfm. 23,30 einen markanten Bogen ostwärts einschlug bevor er sich südwärts fortsetzte (Abb. 101)[499]. Beidseitig war er angeböscht und wies einen U- bis muldenförmigen Querschnitt von 40–50 cm Breite und 20 cm Tiefe auf (Abb. 98, 102, 95). Auf Grund seines Querschnittes und seines Verlaufs im Gelände liegt eine Interpretation als Entwässerungsgraben nahe. Interessanterweise wurde er genau in Höhe seines Knicks in ein Gebäude eingeleitet. Der Graben hatte kein gleichmässiges Gefälle; seinen höchsten Punkt erreichte seine Sohle dort, wo er in das Gebäude einfloss. An dieser Stelle

[495] Pos. 289: Dm. 40×20 cm; T. 18 cm, abgetieft von OK Pos. 277.
[496] Pos. 50; Pos. 117.
[497] Holz Pos. 260: D. 8–10 cm; Holzartenbestimmung durch W. H. Schoch, Labor für Quartäre Hölzer, Adliswil ZH. Der Schwellbalken lag laut Südprofil, Feld 1, auf der Oberkante der Planie; die Steinanhäufung, die sich in etwa derselben Flucht abzeichnete, befand sich dagegen unmittelbar auf der älteren Lehmplanie und wurde eindeutig von dem jüngeren Horizont überlagert. Jüngere Planie mit Rindenhorizont Pos. 50; ältere Planie Pos. 76.
[498] Pfosten unter neuzeitlicher Struktur: Pos. 127: Dm. 30 cm.
[499] Graben Pos. 285; die Phasenzugehörigkeit des Grabens war zu Anfang nicht eindeutig, weil der Graben und die Planie Pos. 50 zwar gemäss Nordprofilsteg, F.3, und Südprofil, F.1, gleichzeitig sind, sich im Nordprofil, F.3, dagegen eine siltig-sandige, grüngraue Schicht, die stratigraphisch Pos. 50 zu entsprechen scheint, über den Entwässerungsgraben legt und dieser somit älter als Pos. 50 wäre. Auf Grund der übrigen Profilschnitte und der Dokumentation der Flächenbefunde müssen wir jedoch davon ausgehen, dass die Schicht Pos. 273 nicht Pos. 50 entsprechen kann, sondern zu der nächstjüngeren Bauaktivität gehören muss.

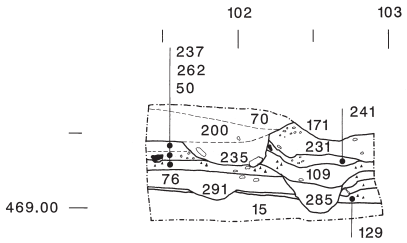


Abb. 102. Römerstr. 209. Feld 3. Nordprofilsteg. M. 1:50.

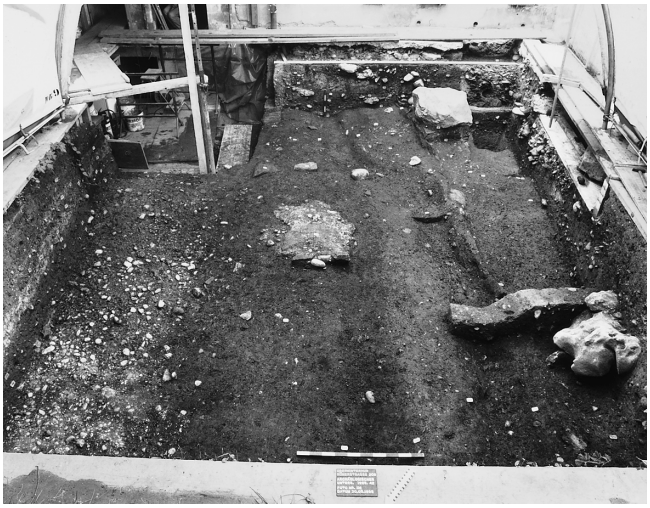


Abb. 103. Römerstr. 209. Felder 1/3. Phase 2b. Kiespflasterung Pos. 117 am linken Bildrand. Im Hintergrund die Steine der Gebäudenordwand (Pos. 244/245). Die Feuerstelle gehört zu einer jüngeren Bauphase. Ansicht von Norden.

befanden sich einige faustgrosse Bollensteine. Ausserhalb des Grundrisses scheint er als Ablauf gegen Norden benutzt worden zu sein (immerhin 18 cm Gefälle auf 4,5 m); innerhalb des Hauses war auf der allerdings sehr kurzen Distanz von 2 m kein eindeutiges Gefälle abzulesen. Das Verfüllmaterial scheint nördlich des Grundrisses kiesiger, innerhalb dagegen humoser gewesen zu sein. Auf letzterem Abschnitt fielen zahlreiche organische Reste auf, die sich einheitlich mit dem Niveau der Rindenschicht über den Graben zogen. Wahrscheinlich handelte es sich hierbei um Holzreste, die als Abdeckung des Kanals innerhalb des Gebäudes zu interpretieren sind. Unmittelbar auf der Sohle konnten diverse fäkalienartige Substanzen geborgen werden, welche ihrerseits von einer organischen, etwa 1–2 cm mächtigen Schicht überdeckt waren.

Inner- und ausserhalb der Grundrisse war kein Schichtenwechsel festzustellen; das Gehniveau scheint auf der gesamten Fläche ein Boden aus Holzschnipseln gewesen zu sein. Auch sonstige Strukturen wie Feuerstellen wurden nicht dokumentiert. Die in der Osthälfte von Feld 3 freigelegte Kiesschicht wurde zunächst als Weg interpretiert, der von Norden auf einen anzunehmenden Hauseingang zuführte (Abb. 103). Was ein solcher allerdings in einem rekonstruierten Hausgrundriss zu suchen hätte, ist unklar. Möglicherweise gehörte der NS-verlaufende Balkengraben ja zu einer anderen Konstruktion? Vielleicht handelte es sich dann um den Teil eines grösseren Kiesplatzes, um den weitere Hauseinheiten gruppiert waren? Zumindest das südliche Gebäude war als Holzbau mit Schwellrahmen konstruiert; das Pfostenloch deutet möglicherweise eine Türöffnung von etwa 1,5 m Breite an.

Eine Gebäudebreite des südlichen Grundrisses von 5 m scheint für ein Wohngebäude reichlich eng bemessen zu sein, da sogar die Holzbauten vom Unteren Bühl bei Längen von etwa 12 m Hausbreiten von 6 m erreichen[500]. Neben der Möglichkeit, dass sich das Gebäude ostwärts fortsetzte und die Pfostenstellung in Feld 2 nur eine Innengliederung darstellt, könnte eine Funktion als handwerklich genutzter Raum oder als Viehstall die bescheidenen Masse erklären. Für eine Interpretation als Stallgebäude spräche der Graben, der möglicherweise den Zweck erfüllte die Fäkalien abzutransportieren. Welche Funktion der sich unmittelbar nördlich anschliessende potenzielle Grundriss hatte, ist nicht zu entscheiden.

Datierung (Tab. 1 im Anhang)

Für die Zeitstellung dieser Bauphase ist vor allem die Planie mit ihrem Rindenhorizont als Gehniveau relevant (Kat. **41–65**). Statt der nunmehr gänzlich fehlenden italischen Sigillata, tritt jetzt erstmals Terra Sigillata südgallischer Provenienz in grosser Zahl auf. Soweit die kleinen Fragmente der Schüsseln vom Typ Drag. 29 und Drag. 30 bestimmbar sind, stammen sie aus claudischer Zeit (Kat. **41–43**). In das 2. bis 3. Viertel des 1. Jh. n. Chr. gehören ferner die Formen Hofheim 12 und Hofheim 1 sowie die übrigen südgallischen Teller und Schalen (Kat. **44–46**)[501]. Die fast ausschliesslich helltonigen Formen der Terra-Sigillata-Imitation sind in den Typen Drack 2, 3, 9 und 13 vertreten und entsprechen ebenso dem oben genannten Zeitspektrum wie die zwei Schalenfragmente der sog. Frühen Glanztonkeramik mit Sandbewurf (Kat. **47**). Bei den Krügen dominiert die Form mit getrepptem Kragenrand, die ihre Hauptblüte ebenfalls in vorflavischer Zeit hatte (Kat. **55–56**)[502]. Fast vollständig erhalten ist ein gedrungener Zweihenkelkrug mit zylindrischem Hals und einfachen Wulsträndern, ein Typ, der sich besonders häufig in spätaugusteisch/claudischen bis neronischen Fundzusammenhängen findet (Kat. **54**)[503].

Das Fundspektrum aus dem Entwässerungsgraben weist ebenfalls in claudische bis neronische Zeit[504]. Da die Verfüllung nur in einem Abstich ausgehoben wurde, kann sie sowohl während Phase 2b als auch während der folgenden Phase 3 in den Graben gelangt sein. Ähnliches gilt für die Kiesschicht, die sowohl während Phase 2b, als auch während Phase 3 benutzt wurde[505]. Aus ihr stammen zwei Öllämpchen, das eine mit dem sehr häufig vorkommenden Rosettendekor, der sich in Fundkomplexen von tiberischer bis frühflavischer Zeit findet (Kat. **68**), das andere mit einer erotischen Szene (Kat. **67**)[506]. Insgesamt lässt sich das Gros der Phase 2b zugewiesenen Keramik in claudische Zeit datieren.

3.3.4 Phase 3 – Neubauten (Abb. 104)

Über dem Gehniveau von Phase 2b wurde flächendeckend eine humose Planie eingebracht, die in Richtung Osten allmählich auslief und dort das bereits bestehende Kiespaket zum Teil überlappte, zum Teil mit diesem ein Gehniveau bildete (Abb. 98)[507]. Auf der Planie befanden sich diverse Schichten, die z.T. von einem nahezu rechteckigen gelben Lehmboden bedeckt wurden[508].

Am Westrand der Grabungsfläche durchzog die Felder 1 und 3 ein NS-orientierter Graben (Abb. 102)[509]. Sein nördliches Ende war nicht eindeutig fassbar, da er in diesem

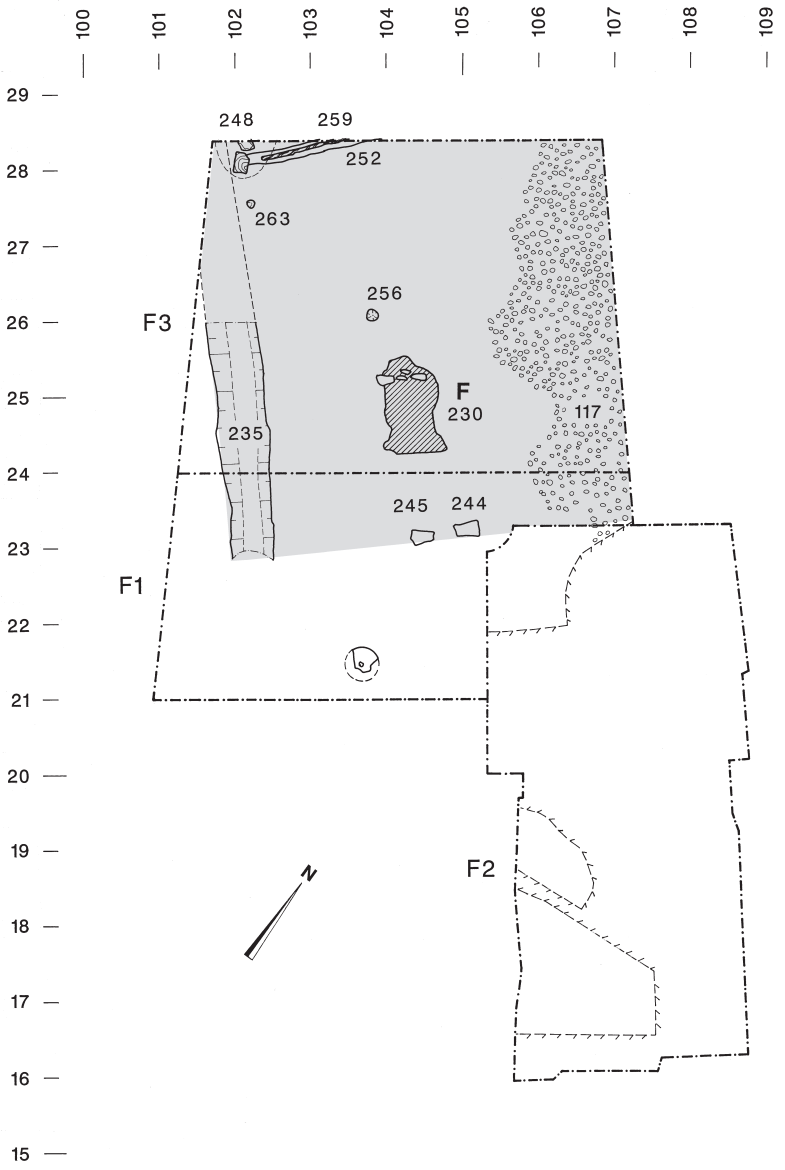


Abb. 104. Römerstr. 209. Phase 3. Übersichtsplan. M. 1:100.

Bereich von einer jüngeren Grube gestört wurde. Südlich verlief er möglicherweise bis an das Südprofil von Feld 1, wo er von einem jüngeren Pfostenloch angeschnitten wurde und somit nicht mehr zu erkennen war (Abb. 95)[510]. In den Lehmboden war nicht besonders sorgfältig eine Feuerstelle eingebettet (Abb. 105)[511]. Die unregelmässig rechteckige 1,2 m lange und 0,7 m breite Struktur bestand aus einem Unterbau aus faustgrossen Bollensteinen und einer darüber befindlichen Lehmschicht, deren Oberfläche verziegelt war. Am Nordrand der Feuerstelle war eine Begrenzung aus brandgeröteten Stellsteinen vorhanden. Weitere Strukturen im Lehmboden waren zwei potenzielle Pfostenlöcher[512]. Ebenfalls zu dieser Phase ist ein Befund an der Nordwestecke von Feld 3 zu zählen, der allerdings durch eine jüngere Grube gestört wurde (Abb. 98, 106). Es handelt sich um eine grosse Pfostengrube, in die ein massiver Eichenpfosten eingelassen wurde (Abb. 107)[513]. Die Grubenverfüllung wurde von zwei

[500] A. Zürcher, AS 5, 1982, 120.

[501] Furger/Deschler-Erb 1992, 57 ff. Abb. 38 (Hofheim 12); 54 f. Abb. 35 (Hofheim 1).

[502] Roth-Rubi 1979, 25 ff. Taf. 2,18–20; 3,21–33; 4,34–36.

[503] Koller/Doswald 1996, 88f. Taf. 1,18; Roth-Rubi 1979, 50 f.

[504] Drag. 29, Drag. 15/17, Drag. 27, viele helltonige Schüsseln vom Typ Drack 21.

[505] Pos. 117.

[506] Goethert-Polaschek 1985, 73 Taf. 66,592.595.596.607; Rosettendekor: Meyer-Freuler 1998, 40 Abb. 21 c (Vindonissa, Phase 3, 25–35 n.Chr.).

[507] Pos. 109: D. max. 15 cm; nicht mehr im Ostprofil vorhanden.

[508] Pos. 262: D. 15 cm; grau, kiesig-sandig; Pos. 237: kiesig-siltig; Pos. 241: Lehm, graugelb; Lehmboden Pos. 231: D. max. 15 cm; grünlich gelb, lehmig, kompakt, nach Osten hin auslaufend, grenzt an Feuerstelle Pos. 230.

[509] Graben Pos. 235 abgetieft von den Schichten Pos. 237 und Pos. 241; Querschnitt muldenförmig, Br. 50 cm; T. 15 cm.

[510] Pos. 206/195.

[511] Pos. 230.

[512] Pos. 263 und 256.

[513] Pfostengrube Pos. 280: Dm. OK 80 cm, UK 30 cm, T. 78 cm; Eichenpfosten Pos. 248: Dm. 25 cm; eine entnommene Dendroprobe konnte leider nicht datiert werden.

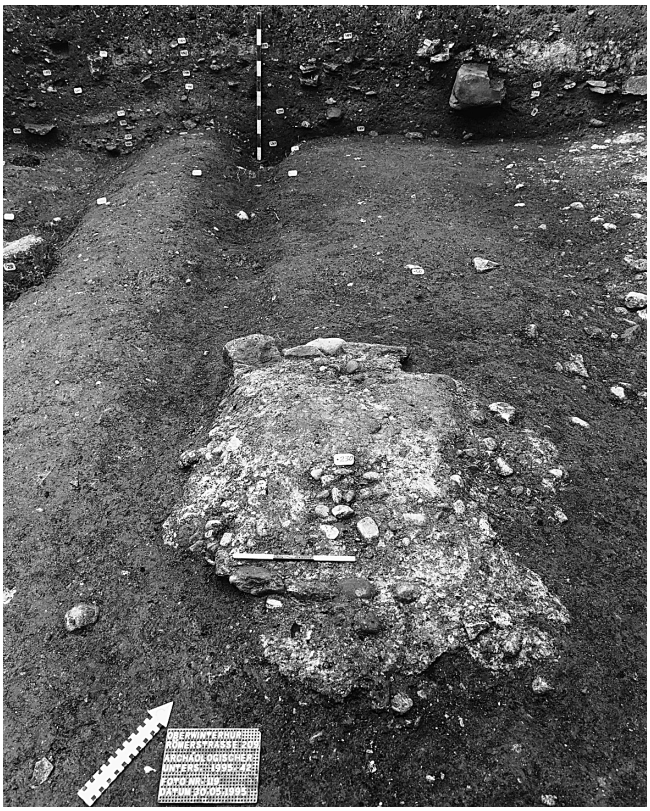


Abb. 105. Römerstr. 209. Feld 3. Feuerstelle Pos. 230. Ansicht von Süden.



Abb. 106. Römerstr. 209. Feld 3. Pfostenstellung Pos. 280/251 mit Balkengraben Pos. 252. Ansicht von Süden.



Abb. 107. Römerstr. 209. Feld 3. Nordwestecke. Eichenpfosten Pos. 248 in Profilansicht.

partiellen Zwischenplanien überlagert, die bis an den Eichenpfosten heranreichten (Abb. 98)[514]. Mit der Pfostenstellung stand ein Balkengraben in konstruktivem Zusammenhang, der eine Breite von 20 cm und eine Tiefe von 10 cm besass[515]. In dem Graben und dessen Verfüllung hatten sich Reste eines Schwellbalkens aus Weisstanne erhalten[516]. Nördlich von Balkengraben und Pfostenstellung vollzog sich ein Schichtenwechsel: Auf dem Lehm befand sich eine weitere Planie nördlich des Balkengrabens, die stratigraphisch Pos. 109 entspricht[517]; erst auf dieser lag ein Estrich, der dem in der Fläche von Feld 3 erfassten Lehmestrich gleichkommt[518].

Die Befundauswertung von Phase 3 führt zu folgenden Ergebnissen: Einen teilweise freigelegten Grundriss haben wir in der Nordwestecke von Feld 3 in Form der Pfostengrube und des Grabens mit Schwellbalken vor uns. Südlich schloss ein Lehmestrich an, auf dem sich eine Feuerstelle befand. Wahrscheinlich gehörte ein auf einer Länge von etwa 3 m erhaltener, NS-orientierter Balkengraben, dessen nördliche und südliche Begrenzungen leider nicht gesichert sind, zu diesem Grundriss. Südlich der Feuerstelle endete der Lehmbelag, und die darunter befindliche humose Planie schien stattdessen das Gehniveau übernommen zu haben. Zwei der plattigen Steine, die bereits in den vorangegangenen Phasen als Balkenauflager gedient hatten, scheinen weiterhin als Unterlage für einen Schwellbalken benutzt worden zu sein[519]. Möglicherweise sind sie als Abschluss einer Südwand zu interpretieren. Am Südrand von Feld 1 befand sich ein Mühlstein auf der Planie, dessen Funktion an dieser Stelle nicht geklärt ist (Abb. 108). Vermutlich sind die vorliegenden Befunde als ein in Raumeinheiten untergliederter Gebäudekomplex zu interpretieren. Störend wirkt sich hierbei die Tatsache aus, dass wir keinerlei Spuren der Ostwand dieses mutmasslichen Gebäudes vor uns haben. Vielmehr zog im östlichen Felderdrittel die Planie über den darunter befindlichen Kieshorizont, der bereits während Phase 2b als Gehniveau gedient und sich südwärts bis an die Grabungsgrenze von Feld 2 ausgedehnt hatte[520]. Zu dem möglicherweise aus zwei Räumen bestehenden Schwellbalkenbau mit Pfosten der Phase 3 gehören die Lehmestriche und eine Feuerstelle.

Datierung (Tab. 1 im Anhang)

Einer zeitlichen Einordnung dieser Bauphase dient das Fundmaterial aus der Planie und dem Lehmestrich. Die aus der Planie geborgene südgallische Terra Sigillata ist mehrheitlich in die vorflavische Zeit zu datieren (Kat. **69–71**). Auch die zum Teil grautonige Terra-Sigillata-Imitation weist in claudische bis neronische Zeit (Kat. **72–75**). Die Form des zweihenkligen Kruges mit eingezogener Mündung gibt es in Kempten (D) bereits seit tiberischer Zeit, in anderen Fundorten ist die Form dagegen erst ab der 2. Hälfte des 1. Jh. bis in das beginnende 2. Jh. vertreten (Kat. **76**)[521]. Die aus dem Lehmestrich geborgene, wenig zahlreiche Keramik gibt





Abb. 108. Römerstr. 209. Mühlstein FK 261.

ein vergleichbares Spektrum an südgallischer Terra Sigillata wieder, lässt sich aber zeitlich nicht genauer eingrenzen (Kat. **90**).

Fasst man obige Aussagen zusammen, so erhält man eine Datierung der Phase 3 in vorflavische Zeit, wahrscheinlich in die claudische bis neronische Epoche, wobei es nicht möglich war diese zu konkretisieren.

3.3.5 Phase 4 – Planien (Abb. 109)

Zum Teil auf dem älteren Gehniveau[522], zum Teil auf einer Lehmplanie[523] lag ein sandig-siltiger, mit humosem Material und Holzkohle durchsetzter, dunkelgrauer Horizont[524]. In diesem lässt sich in Feld 2 anhand eines trennenden Lehmbandes eine bauliche Erneuerung erkennen (Abb. 96)[525].

Zunächst wurden verschiedene Planien eingebracht, in der Westhälfte von Feld 3 eine Kieslage[526], südlich von dieser flächendeckend eine Lehm-Kies-Schicht[527]. In der östlichen Hälfte von Feld 3 grenzte die Kiesplanie an die ältere Kiesschicht (Abb. 98)[528].

Bereits von der Oberfläche der Lehmplanie war in Feld 2 eine Grube eingetieft worden (Abb. 110)[529].

Auf den Planien bzw. direkt auf dem älteren Gehniveau befand sich eine Schicht, die zusammen mit der Kiesplanie einen Horizont gebildet hatte[530]. Ihre westliche Begrenzung war ein Graben jüngerer Zeitstellung[531]. Westlich von diesem scheinen die Grabenverfüllung bzw. verschiedene Lehmhorizonte als Gehniveau gedient zu haben[532]. In der Osthälfte der Grabungsfelder wurde zusätzlich ein Lehmestrich aufplaniert, der als Laufhorizont benutzt worden war[533].

Zu dieser Phase gehört ein Pfostenloch im Nordprofil von Feld 3, welches sich in einer Flucht mit einem südlich anschliessenden Graben befand, der von dem Balkengraben der nächstjüngeren Phase verfüllt war (Abb. 98)[534]. Eine unsi-

---

514 Pos. 241; Pos. 257; die untere Planie lag auf einer Schicht, die an die Pfostengrube heranreichte und möglicherweise erst im Zuge von Phase 3 eingebracht wurde, da sie deutlich den während Phase 2b benutzten Entwässerungsgraben überdeckte: Pos. 273: grüngrau, siltig-sandig, D. etwa 10 cm. Vgl. Anm. 499 zu Phase 2b.

515 Pos. 252. Pos. 257; Pos. 231. Da er die Lehmschichten schnitt, ist anzunehmen, dass er erst nach Auftrag des Estrichs abgetieft wurde, also nach der Anlage der Pfostengrube

516 Pos. 259: Holzartenbestimmung durch W. H. Schoch, Labor für Quartäre Hölzer, Adliswil ZH.

517 Pos. 253: D. 5 cm, graugrün, lehmig, mit Holzkohle durchsetzt. Der genaue stratigraphische Zusammenhang zwischen Pos. 109 und Pos. 253 ist aus der Dokumentation des Nordprofiles von F3 nicht ersichtlich.

518 Lehm Pos. 249, gelbgrün, D. 8 cm. Beide Lehmböden wurden von dem Balkengraben bei Lfm. 104,00 zertrennt.

519 Pos. 244 und 245; die Steine wurden erst von der Planie der nachfolgenden Phase 4 überdeckt.

520 In diesem Bereich lag die Planie Pos. 109 z.T. auf dem Material einer umgelagerten Feuerstelle (Pos. 113).

521 Fischer 1957, Taf. 20,3 (Phase 1); Roth-Rubi 1979, 61 Taf. 15,137–139; Castella/Meylan-Krause 1994, 98 Nr. 339 (50/70–130 n. Chr.).

522 Pos. 117, Pos. 277, Pos. 231.

523 Pos. 49 in Feld 2, z.T. in Feld 1 und im südlichen Bereich von Feld 3.

524 Pos. 48 und 46.

525 Pos. 47.

526 Pos. 228: D. max. 8 cm; auf dem älteren Lehm Pos. 231.

527 Ab Lfm. 25,00 Pos. 49: D. max. 12 cm, lehmig-kiesig, kompakt, ockerbraun, Oberfläche uneben. Das Verhältnis von Pos. 49 zu Pos. 228 ist leider nicht anhand eines Profilschnittes nachvollziehbar.

528 Pos. 117; das Verhältnis zu Pos. 228 ist nicht eindeutig ablesbar.

529 Pos. 74: Dm. 60 cm; Pos. 73: obere, sandige Verfüllung, Pos. 75: untere, siltig-lehmige Schicht, dunkelgrau, mit Holzsubstanzen und Holzkohle durchsetzt.

530 Pos. 48: D. max. 7 cm; die genaue Nord-Süd-Grenze, wo Pos. 48 an Pos. 228 stösst, ist nicht zu ermitteln, da dieser Bereich durch einen jüngeren Graben gestört wurde; Pos. 46: D. 10–18 cm. In der Grabungsfläche bedeckte dieser Horizont den Bereich östlich von Lfm. 103,00.

531 Graben Pos. 171 aus Phase 6b.

532 Grabenverfüllung Pos. 236; Lehm Pos. 231; es ist nicht ganz eindeutig, ob der über der Grabenverfüllung befindliche Lehm Pos. 200, der laut Westprofil zusammen mit Pos. 237 ein Gehniveau bildete, schon in dieser Phase oder erst zu einem späteren Zeitpunkt aufplaniert wurde. Südlich und westlich dieser Planie scheinen verschiedene lehmige Schichten als Laufhorizont gedient zu haben, die zusammen mit Pos. 200 ein Niveau bildeten: Südlich von Pos. 228: Pos. 11: lehmig-kiesig, dunkelgrau; D. 30–35 cm; zeitgleich mit Pos. 237; westlich von Pos. 228: Pos. 237: grau, kiesig-siltig.

533 Pos. 72: hellgelb, D. max. 16 cm.

534 Pfostenloch Pos. 255: Dm. 20 cm; T. 38 cm; Graben Pos. 212: Br. 60 cm; T. 15–30 cm. Da der Graben von der Planie der Phase 5 überdeckt wurde, muss er bereits während diesem Bauabschnitt in Funktion gewesen sein.

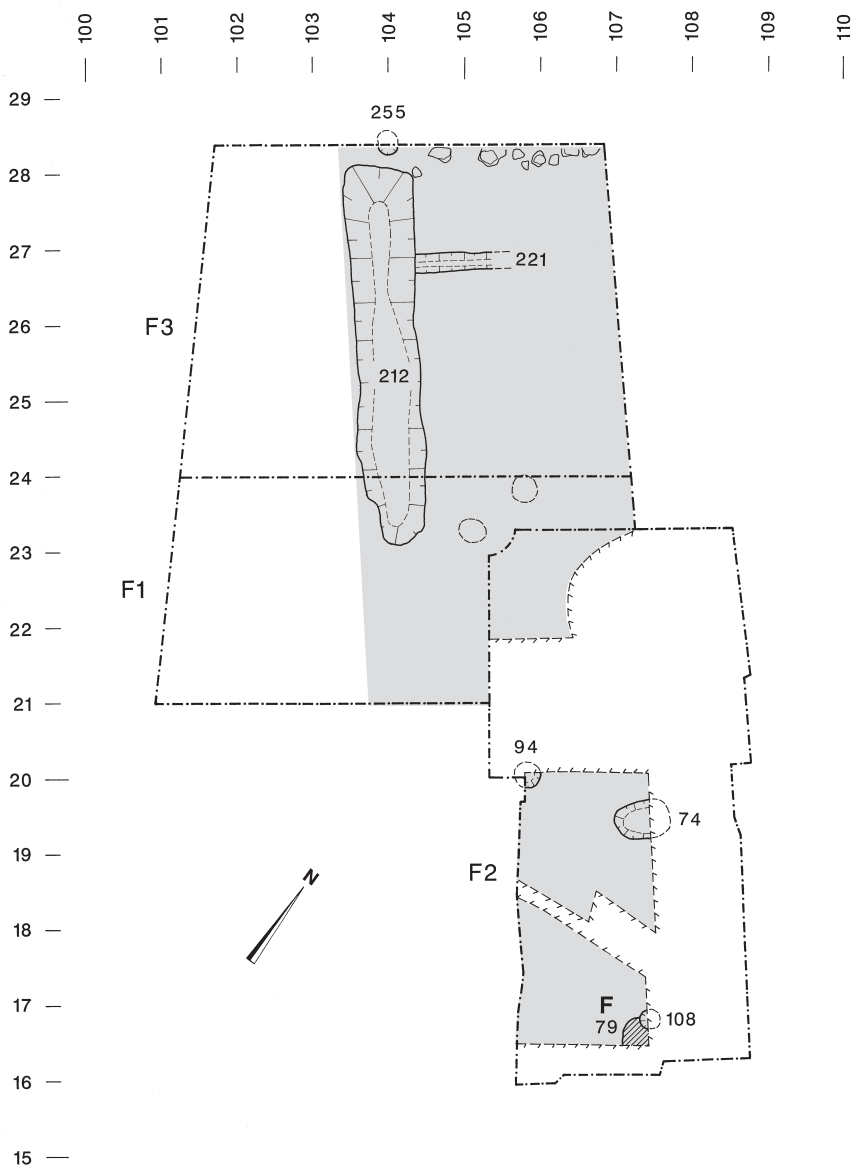


Abb. 109. Römerstr. 209. Phase 4. Übersichtsplan. M. 1:100.

chere Interpretation betrifft eine Struktur – wahrscheinlich ein Balkengräblein – die in Feld 3 rechtwinklig zum Graben stand und erstmals auf der Oberfläche des Lehmbodens sichtbar war[535]. Ebenfalls nicht eindeutig ist die Phasenzugehörigkeit einer Grube im Ostprofil von Feld 2 (Abb. 96)[536].

In der Südostecke von Feld 2 wurde eine Feuerstelle freigelegt, die zum einen von einer neuzeitlichen Struktur gestört wurde und sich zum anderen grösstenteils ausserhalb der Grabungsgrenzen befand (Abb. 109–111)[537]. Es ist daher nur ein maximal 40 cm langer Abschnitt brandgeröteten, etwa 18 cm mächtigen Lehms mit verziegelter Oberfläche zu erkennen, der auf einem Lehmunterbau angelegt wurde[538]. In Beziehung zu der Feuerstelle stand eine Pfostengrube an deren Nordrand[539]. Im umgebenden Bereich war ein etwa 3 cm mächtiges Lehmband vorhanden, auf dem wiederum Planiematerial aufgeschüttet wurde (Abb. 96)[540].

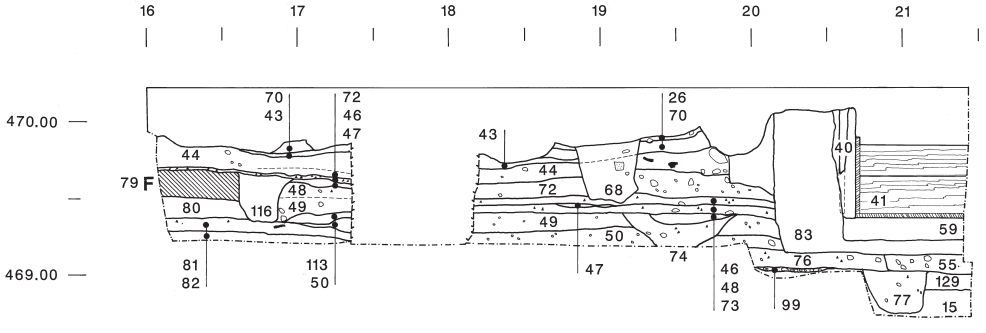


Abb. 110. Römerstr. 209. Feld 2. Westprofil. M. 1:50.

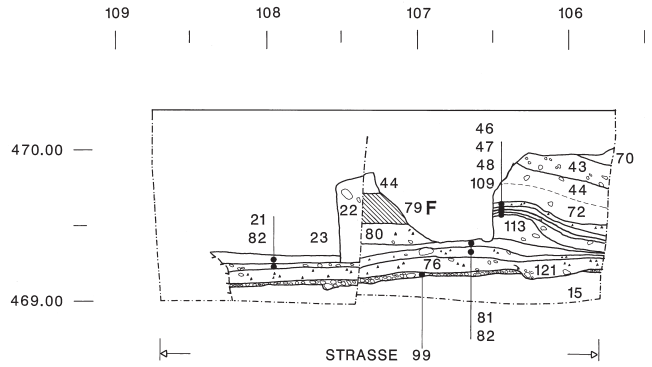


Abb. 111. Römerstr. 209. Feld 2. Südprofil. M. 1:50.

Ein weiteres Pfostenloch befand sich am Westrand von Feld 2[541]. In Feld 1 waren in der Lehmplanie zwei kreisrunde Vertiefungen feststellbar, bei denen es sich ebenfalls um Pfostenstellungen gehandelt haben könnte, die aber leider nur zeichnerisch dokumentiert wurden.

Es bleibt festzuhalten, dass während Phase 4 auf dem aufplanierten Gelände ein Gebäude in Schwellbalkentechnik mit Pfosten errichtet wurde. Fassbar ist es für uns in einem exakt NS-ausgerichteten Balkengraben. Sein nördliches Ende führte auf eine Pfostenstellung zu, mit der möglicherweise einige am Nordprofil von Feld 3 dokumentierte Steine in Verbindung standen und zusammen einem Balken als Auflager gedient hatten. Innerhalb dieses Grundrisses war ein nicht mehr einheitlich vorhandener Lehmboden zu erkennen, der von Norden nach Süden an Stärke zunahm. Auf diesem zeichnete sich ein rechtwinklig von dem NS-verlaufenden Balkengraben abzweigendes kleines Gräblein ab. In Feld 2 befand sich eine Feuerstelle mit Pfostenloch, in deren Peripherie eine bauliche Erneuerung mittels eines Lehmauftrags vorgenommen wurde.

Datierung (Tab. 1 im Anhang)
Die zeitliche Einordnung von Phase 4 beruht auf den Funden aus den Planien und dem Lehmestrich (Kat. **100–125**). Die Terra Sigillata beschränkt sich auf die bereits bekannten südgallischen Formen, deren Datierungen von claudisch/neronischer bis in frühflavische Zeit reichen (Kat. **101–107**). Zu erwähnen ist, dass aus dem Balkengraben erstmals eine Wandscherbe der Form Drag. 37 stammt[542]. Terra-Sigillata-Imitation findet sich keine mehr. Unter der Feinkeramik konnte der Henkel eines bleiglasierten Kantharos identifiziert werden, ein wohl mittelgallisches Fabrikat, welches in das 3. Viertel des 1. Jh. n. Chr. datiert werden kann (Kat. **108**)[543]. Denselben Datierungsansatz liefern drei Schalen aus der Gattung der sog. Frühen Glanztonkeramik mit Sandbewurf bzw. mit Schuppendekor (Kat. **110**). Um ein interessantes Gefäss handelt es sich bei einem grautonigen Becher mit lanzenförmiger Barbotineverzierung (Kat. **112**). Vergleichbare Zylindergefässe mit und ohne Barbotineauflage begegnen uns – allerdings in rottoniger Ausführung – im Keramiklager im Unteren Bühl, welches etwa zwischen 50 und 70 n. Chr. datiert wird[544]. Fünf grautonige, zu einem Topf gehörige Wandscherben sind mit einem Barbotinedekor aus Punktfeldern und plastischen Ringen versehen. Ein vergleichbares Gefäss stammt aus Kempten (D) (Kat. **114**)[545]. Ein erwähnenswerter Altfund ist das Fragment eines Streifenmosaikglases, wahrscheinlich eines Tellers (Kat. **117**). Laut B. Rütti handelt es sich bei dieser Gattung hauptsächlich um eine augusteische Produktion, die in tiberischer Zeit aufgegeben wurde. Da die Stücke jedoch als kostbar angesehen wurden, blieben sie länger in Gebrauch und begegnen mehrheitlich in Fundkomplexen der 1. Hälfte des 1. Jh. n. Chr.[546]

Zusammenfassend lässt sich die Keramik grösstenteils in die vorflavische bis frühflavische Zeit, die in etwa der Zeitstellung des Keramiklagers 50–70 n. Chr. entspricht, einordnen.

3.3.6 Phase 5 – Umbau (Abb. 112)

Auf dem Niveau von Phase 4 diente eine Planie als Gehhorizont[547]. Die Schicht begrenzte sich westlich etwa auf einer Nord-Süd-Achse bei Lfm. 102,00 und südwärts etwa auf Höhe von Lfm. 18,60. Südlich davon in Feld 2, diente eine weitere Planie, von der ein Pfostenloch abgetieft wurde, als Gehniveau[548].

Auf der Sohle des Vorgängergrabens befand sich ausplaniertes Material aus verbranntem Hauslehm, der stratigraphisch der Planie entspricht[549]. In dieses Material schnitt ein 40 cm breiter, NS-ausgerichteter Balkengraben[550]. Weder das nördliche, noch das südliche Ende des etwa 4,5 m langen Grabens waren eindeutig fassbar[551]. In derselben Flucht, aber nicht mit diesem verbunden, befand sich in Feld 1 eine muldenförmige Vertiefung[552]. Auf eine Deutung als eigenständige Struktur weist das Südprofil von Feld 1, welches das Grabenprofil als eine markante Abtreppung von der Ober-

---

535 Pos. 221: Br. ca. 20 cm; T. sehr gering, L. ca. 90 cm; EW-ausgerichtet, verfüllt mit viel Hauslehm und Holzkohle.
536 Pos. 95: Br. ca. 80 cm; T. 32 cm. Phase 4 oder jünger.
537 Pos. 79.
538 Pos. 80: siltig-lehmig, D. 13 cm; dunkelbraun; die Schicht wurde nur im Profilsteg festgestellt und nicht abgebaut; sie enthielt angeblich Keramik.
539 Pos. 108: Dm. 28 cm; T. 30 cm.
540 Pos. 47 partiell zwischen Pos. 46 und Pos. 48.
541 Pos. 94: Dm. ca. 40 cm; T. 15 cm.
542 Nicht im Katalog.
543 Hochuli-Gysel 1998, 69 Taf. 29,30; Fischer 1957, 26 Taf. 15,8.
544 Ebnöther/Eschenlohr 1985, 256 Abb. 9; ein rottoniges Exemplar ohne Barbotineverzierung besitzt eine mit unserem Stück vergleichbare Randausbildung. Freundlicher Hinweis von Th. Pauli; B. Hedinger in: Römische Keramik in der Schweiz, 204 F. 15,17.
545 Fischer 1957, 16 Taf. 6,1.
546 Rütti 1988, 15 Taf. 29,1.2; Rütti 1991, 120f. (keine Exemplare in dem 40 n. Chr. gegründeten Valkenburg NL und keine in dem 43 n. Chr. gegründeten Fishbourne GB).
547 Pos. 71: umgelagerte Kulturschicht, Planieschicht. D. 4–10 cm; grau, humos-lehmig, mit Kieseln und Holzkohle durchsetzt.
548 Evtl. handelte es sich bei dieser Planie nicht nur stratigraphisch, sondern auch dem Material nach um dieselbe Schicht wie Pos. 71. Planie Pos. 44 auf Pos. 72: D. max. 23 cm; Pfostenloch Pos. 105: Dm. 30 cm; T. 30 cm. In der westlichen Fortsetzung befand sich ein bereits zu einer älteren Phase gehöriger grauer Lehm auf der älteren Grabenverfüllung, der gemäss Westprofil zusammen mit einem weiteren Lehm ein Gehniveau bildete. Lehm Pos. 200 und 237; vgl. hierzu die Ausführungen zu Phase 4 in Anm. 532.
549 Vorgängergraben Pos. 212; Hauslehm Pos. 202.
550 Pos. 203; Tiefe nicht bekannt; verfüllt mit steinigem Material Pos. 204; an seinem nördlichen Ende auf der Füllung mehrere Bruchsandsteine Pos. 205.
551 Im Nordprofil, Feld 3, nicht festzustellen.
552 Pos. 209. Da diese keine eigene Füllung aufwies, könnte es sich auch um eine natürlich entstandene Einsenkung über einem älteren Graben gehandelt haben.

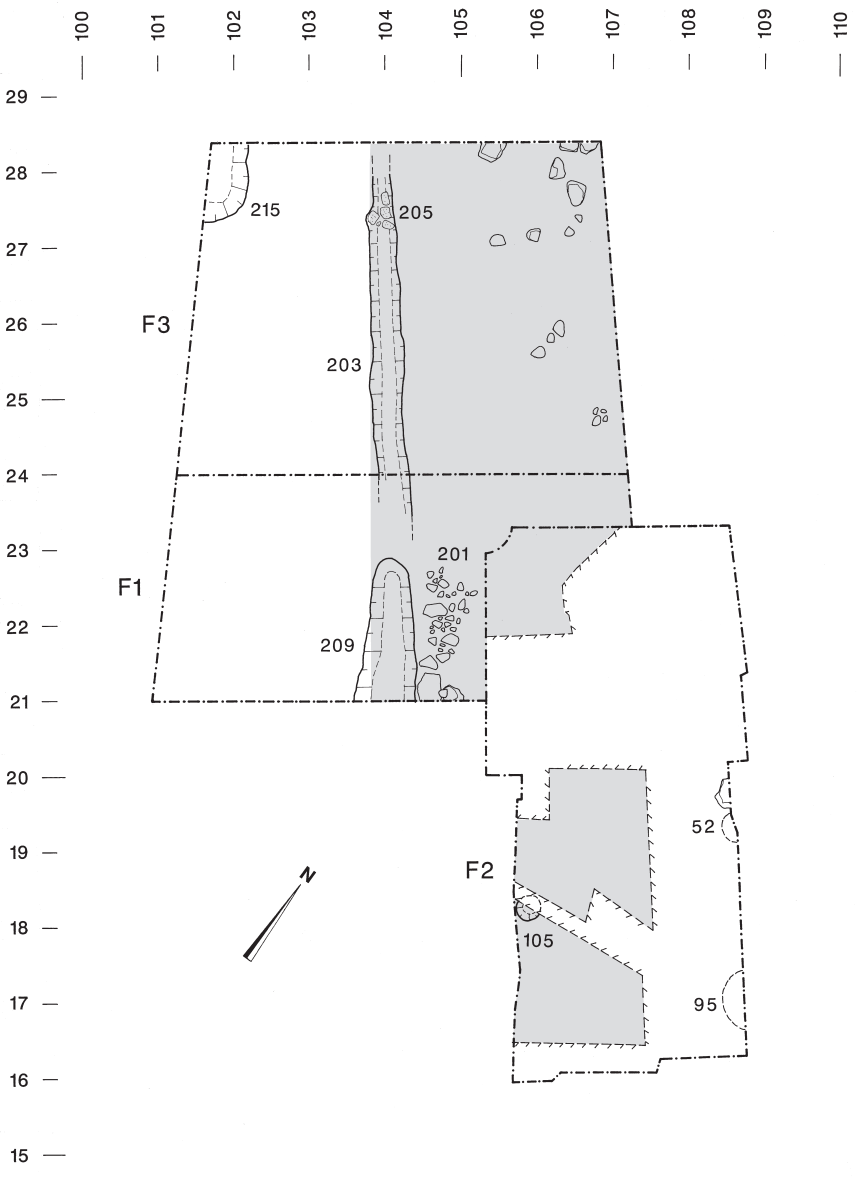


Abb. 112. Römerstr. 209. Phase 5. Übersichtsplan. M. 1:100.

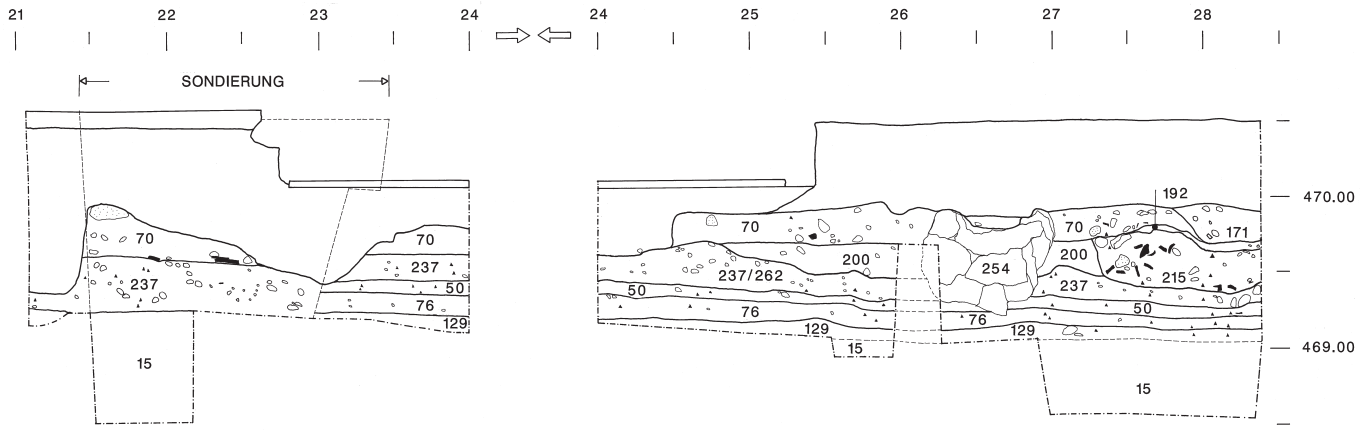


Abb. 113. Römerstr. 209. Felder 1/3. Westprofil. M. 1:50.

kante der Planie zeigt (Abb. 95). In irgendeiner Form stünde dann folglich die Steinkonzentration, die, wie im Südprofil von Feld 1 deutlich, auf der Oberfläche der Planie östlich entlang des Grabens lag, in Beziehung zu diesem[553]. An der Nordwestecke von Feld 3 zeichnete sich eine Grube ab, die laut Nordprofil von der Planie abgetieft wurde (Abb. 98, 113)[554].

Im südlichen Bereich von Feld 2 waren zwei Pfostenlöcher zu erkennen (Abb. 96)[555]. Eine Struktur unsicherer Zeitstellung, die unmittelbar von dem Betonfundament überlagert wurde, zeichnete sich im Ostprofil ab[556].

Während Phase 5 wurde auf einer Planie ein Holzbau in Schwellbalkenkonstruktion errichtet. Den Balken können wir in einem NS-orientierten Graben, der evtl. eine südliche Verlängerung besass, erkennen. Vielleicht handelt es sich bei diesem um die Westwand eines Gebäudes. Eine südliche Begrenzung, zugehörige Hausecken oder Innenstrukturen waren jedoch nicht festzustellen.

Datierung (Tab. 1 im Anhang)
Das für die zeitliche Einordnung von Phase 5 hinzugezogene Fundmaterial stammt aus der Planie und aus einer Grube (Kat. **126–153**). An Planiefunden sind zahlreiche Fragmente von Schüsseln Drag. 29 und Drag. 30 zu erwähnen, die eine Datierung von claudischer bis neronisch/frühflavische Zeit zulassen[557]. Diesem Zeitansatz entsprechen auch die übrigen Typen der glatten Terra Sigillata. Erstmals ist die Form Déch. 67 nachweisbar, die ab etwa 60 n. Chr. bis an den Anfang des 2. Jh. n. Chr. verbreitet war[558]. Terra-Sigillata-Imitationen waren nicht mehr vorhanden, es treten lediglich Schüsseln der Typen Drack 19, 20 und 21 auf, letztere fast ausschliesslich in grautoniger Ausführung. Weiterhin sind Schalen aus der Gattung der sog. Frühen Glanztonkeramik nachweisbar. Eine helltonige Schüssel mit Horizontalrand und Goldglimmerüberzug weist auf eine Datierung in das ausgehende 1. bzw. beginnende 2. Jh. n. Chr.[559] Diverse Fragmente stammen von hell- und grautonigen Schüsseln, die in Oberwinterthur selbst, an der Fundstelle Bäumlistr. 1a, Ofen 3, produziert wurden (Kat. **126–127**, **130–132**)[560]. Diese mit Barbotinedekor in Form von gestielten Blättern verzierten Gefässe finden sich erstmals während Phase 5, kommen jedoch auch während Phase 6 vor (Kat. **157, 161, 200**). An anderen Fundstellen wie z. B. an der Römerstr. 221 konnten Fragmente aus dem Kiesweg der 2. Hälfte des 1. Jh. n. Chr. geborgen werden[561]. Die Form eines grautonigen Steilrandtopfes mit Horizontalrillen ist aus Fundkomplexen seit claudisch/neronischer Zeit bis in domitianische Zeit bekannt (Kat. **133**)[562]. Unter den zahlreichen Krügen aus der Planie befinden sich neben den langlebigen Formen mit Wulstrand, diejenigen mit getrepptem Kragenrand und ein Stück mit vielfach gekantetem Rand und Innenkehlung, eine Form, die besonders während der 2. Hälfte des 1. Jh. beliebt war[563]. Einhenklige Krüge mit Trichtermündung können von claudischer bis in flavische Zeit eingeordnet werden. Die seltene Form eines dickwandigen Kruges mit plastischen Horizontalleisten findet ein einziges Vergleichsstück im Schutthügel von Vindonissa (Kat. **128**)[564].

Das Fundspektrum aus der Grube setzt sich ausschliesslich aus südgallischer Reliefsigillata der Form Drag. 29 zusammen, die in claudisch/neronische Zeit datiert werden kann sowie den zeitlich entsprechenden Formen der glatten Sigillata (Kat. **137–144**). In ganzem Profil ist ein grautoniger Topf mit Rädchendekor erhalten, dessen Form sich gut mit einem aus Baden stammenden um 70–90 n. Chr. datierenden Expemplar vergleichen lässt (Kat. **148**)[565]. Auf Grund obiger Indizen lässt sich das Fundmaterial aus der Grube in neronische bis flavische Zeit datieren.

3.3.7 Phase 6a/b – Erneuerungen (Abb. 114–115)

Über dem Gehniveau von Phase 5 wurde teilweise in Feld 3 sowie flächendeckend in den Feldern 1 und 2 eine Lehmschicht planiert[566]. In der südlichen Hälfte von Feld 2 wurde diese mit verschiedenen Zwischenplanien aufgetragen, ansonsten lag sie direkt auf dem Gehniveau der vorangegangenen Bauphase[567]. In Feld 3 lief sie in Richtung Norden etwa bei Lfm. 27,00 aus, wobei sie hier merklich ausdünnte. Auf diesem Niveau befand sich eine gelbe, 10–18 cm mächtige, lehmig-sandige Schicht, auf deren Oberfläche humose Ablagerungen festgestellt werden konnten, die eine Interpretation als Lehmestrich mit Gehniveau zulassen[568]. Dieser bedeckte flächig das gesamte Untersuchungsgebiet und wurde westlich von einem wohl zu Phase 6b gehörenden Graben begrenzt[569]. Westlich von diesem war nunmehr die darunter befindliche Planie feststellbar, deren Oberflächenniveau in etwa dem des Lehmhorizontes entsprach[570]. Sämtliche Strukturen, die von diesem Horizont abgetieft wurden, werden einer ersten Bauaktivität zugewiesen (Phase 6a). In Feld 3 wurde eine partielle Zusatzplanie dokumentiert, in welcher sich weitere Strukturen abzeichneten, die möglicherweise einen späteren Zeitansatz haben als die direkt von dem Lehm-Sand-Horizont abgetieften Befunde (Abb. 98)[571]. Das Material dieser sog. Zusatzplanie unterscheidet sich von dem Lehm-Sand-Horizont lediglich auf Grund seines hohen Kiesgehalts. Auch in der Fotodokumentation scheint eine Differenzierung des homogen wirkenden Materiales weder in der Darstellung des Profils noch in der Wiedergabe der Fläche möglich zu sein (Abb. 116). Eine Einteilung in die Phasen 6a und 6b ist demnach nur mit allergrösster Vorsicht zu betrachten, da sie allein auf der Ausrichtung der Strukturen und ihrem daraus zu erschliessenden mutmasslichen Verhältnis zueinander beruht. Festzuhalten ist, dass sich auf Grund der vorhandenen Stratigraphie keine Phasenzuweisungen ergeben. Über den römischen Schichten der Phase 6 folgen unmittelbar die neuzeitlichen Aufschüttungen. Es ist daher nicht auszuschliessen, dass im Zuge dieser jüngeren Bauvorgänge einige römische Strukturen angeschnitten wurden und

---

553 Pos. 201.
554 Pos. 215: L. min. 1,1 m; T. ca. 30–40 cm.
555 Pos. 105: abgetieft von Lehm Pos. 44; Dm. 30 cm, T. 30 cm; Pos. 52: abgetieft von Lehm Pos. 71; Dm 35 cm, T. 35 cm.
556 Pos. 95: frühestens abgetieft von Pos. 72 (Phase 4) oder von einem jüngerem Niveau; Br. 80 cm; T. 32 cm.
557 Die Planiefunde sind in Tab. 1 im Anhang erfasst.
558 Nicht im Katalog. Rychener 1984, 54 (Kirchhügel, Periode B/C).
559 Rychener 1984, 62 Abb. 61; Ettlinger/Simonett 1952, 26 f. Taf. 9; Drack et al. 1990, Taf. 19,135–143.
560 Die Publikation der Fundstelle durch B. Hedinger ist in Vorb.; Hedinger 1995, 228 Abb. 22.
561 Vgl. die Publikation der Fundstelle in diesem Band Kap. 5, Kat. 114–115 (mit Lit.), Phase 3/4, 50–100 n. Chr.
562 Planck 1975, 167 Taf. 57,9; Ettlinger/Simonett 1952, 18 f. Taf. 5,69–70.
563 Nicht im Katalog; Rychener/Albertin 1986, Nr. 528, besonders während Phase C (40/50–110 n. Chr.), Kirchhügel, bes. Periode B–C (40/50–110 n. Chr.).
564 Ettlinger/Simonett 1952, Taf. 19,440.
565 Koller/Doswald 1996, Taf. 40,847 (Baden, Du Parc SP 1.3; 70/80–90 n. Chr.).
566 Pos. 70: D. 2–40 cm; OK uneben.
567 Im Südteil auf der Planie Pos. 43; auf der Planie Pos. 70 befand sich als Niveauausgleich die umgelagerte Kulturschicht Pos. 31.
568 Pos. 26.
569 Pos. 171.
570 Pos. 70.
571 Pos. 161.

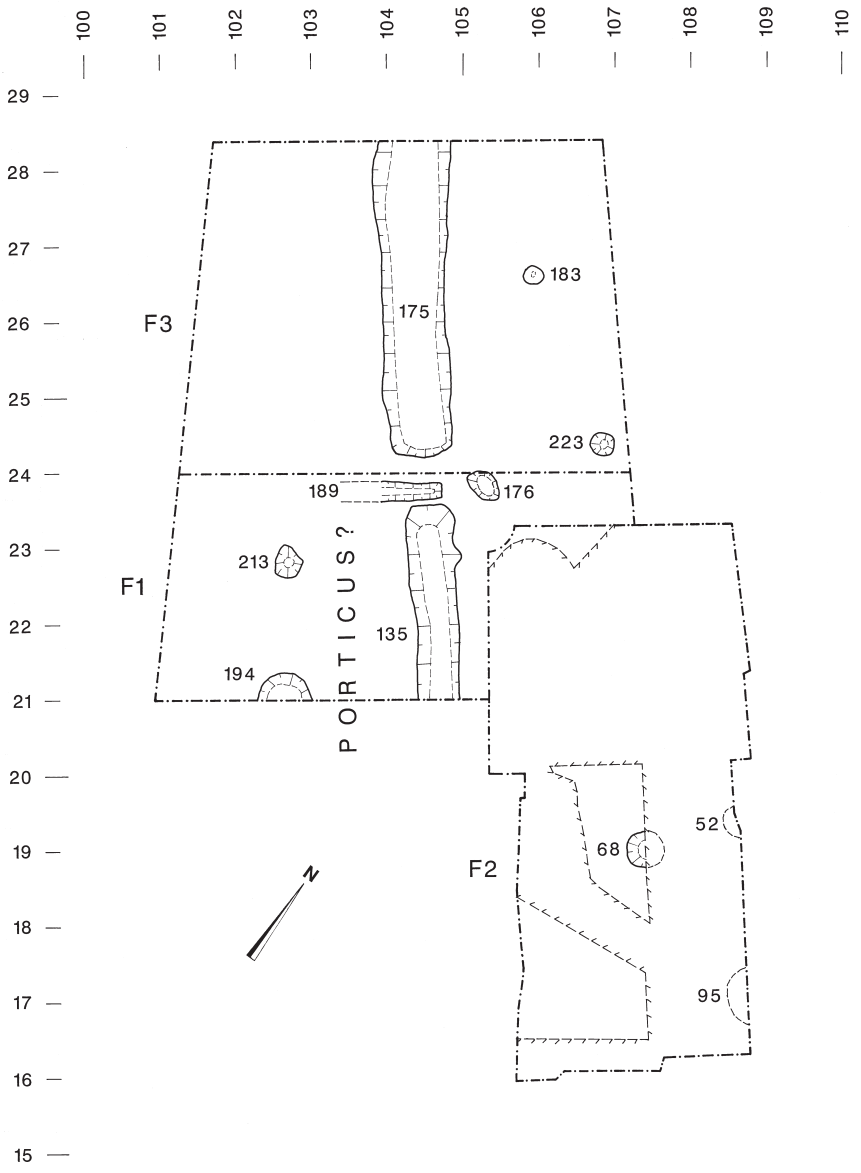


Abb. 114. Römerstr. 209. Phase 6a. Übersichtsplan. M. 1:100.

wir daher nicht mehr feststellen können, von welchem Niveau sie einst abgetieft worden sind. Weil aber das geborgene Fundmaterial zeitlich nicht allzuweit voneinander entfernt liegt, ist eine sehr grosse Zeitspanne auszuschliessen. Das eben Gesagte ist bei der folgenden Beschreibung der Phasen 6a und 6b unbedingt zu berücksichtigen.

Phase 6a (Abb. 114)
Von der Oberkante des Lehm-Sand-Horizonts wurde in Feld 1 ein NS-ausgerichteter Balkengraben abgetieft (Abb. 95)[572]. Südlich setzte er sich ausserhalb der Grabungsgrenzen fort und endete am Nordrand von Feld 1, wo er in direktem Zusammenhang mit einem rechtwinklig westwärts abzweigenden Balkengräblein stand[573]; dieses war nur auf kurzer Distanz fassbar, da es von einer neuzeitlichen Struktur gestört wurde und in seiner westlichen Fortsetzung nicht mehr beobachtet werden konnte (Abb. 117). Ein weiterer Graben in Feld 3, der sich mit der NS-verlaufenden Struktur in einer Flucht befand, gehört wahrscheinlich ebenfalls zu Phase 6a (Abb. 98)[574]. Sein nördliches Ende befand sich ausserhalb der Grabungsgrenzen, südlich war er durch eine neuzeitliche Struktur gestört, endete aber vermutlich vor dem Balkengräblein[575]. Wahrscheinlich zu Phase 6a gehört ein Pfostenloch, das den Lehm-Sand-Horizont schnitt und sich z.T. unter einem der grossen Steine der nächstfolgenden Bauphase befand, leider aber von einer neuzeitlichen Grube zerschnitten wurde[576]. Ebenfalls in Zusammenhang mit diesem Bauabschnitt steht ein Pfostenloch im Südprofil von Feld 1 (Abb. 95)[577].

Phase 6b (Abb. 115)
In der sog. Zusatzplanie in Feld 3 war ein NS-verlaufender Balkengraben zu erkennen, der sich zwischen zwei Pfostenstellungen befand (Abb. 116)[578]. Ausgehend von dem nördlichen Pfostenloch bog er vermutlich rechtwinklig ostwärts, wo sein weiterer Verlauf unklar ist. Wahrscheinlich zeitgleich mit diesen Strukturen ist ein westlich parallel von diesen befindlicher Graben, der von demselben Niveau abgetieft wurde (Abb. 113, 98)[579]. Er besass eine steil abgestochene östliche Wandung und eine sehr flache westliche Begrenzung[580]. Vorwiegend an der östlichen Grabensohle waren zahlreiche Steine zu erkennen[581]. Nordwärts setzte er sich ausserhalb des Untersuchungsgebiets fort, südlich wurde er zwar von

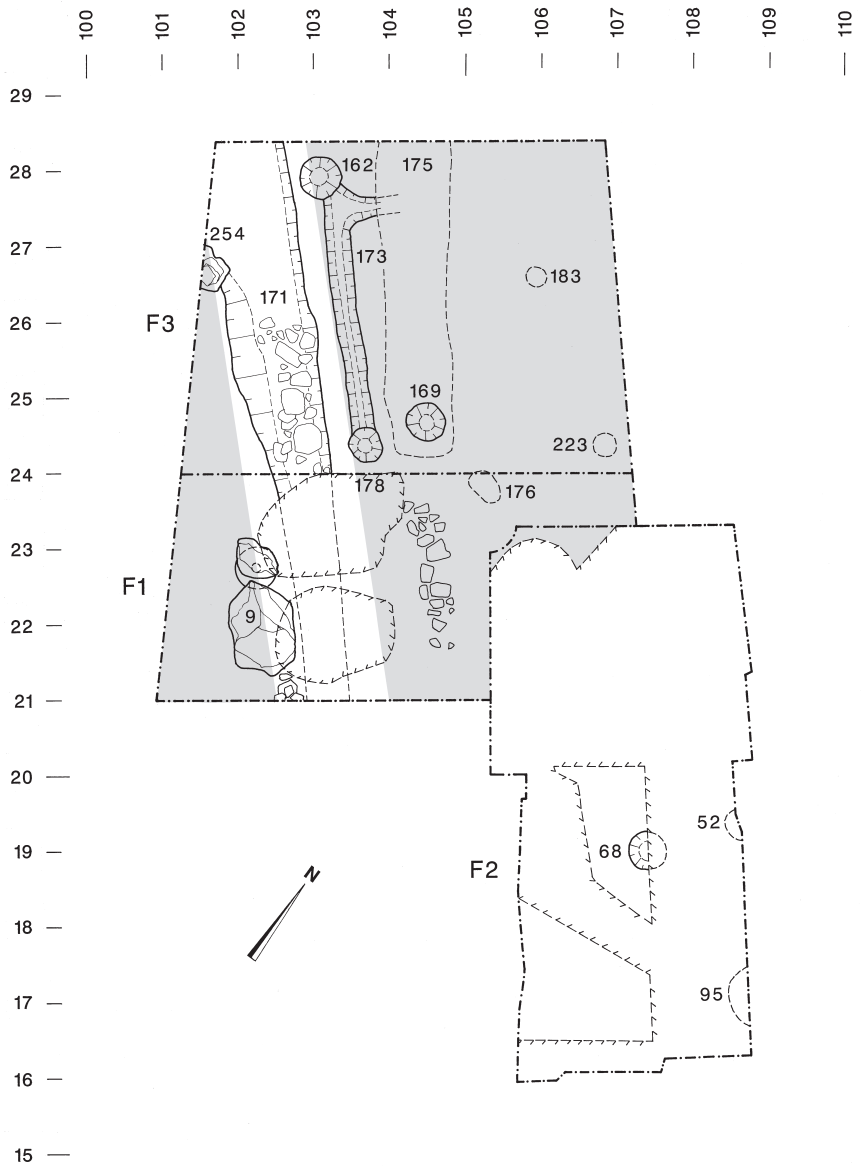


Abb. 115. Römerstr. 209. Phase 6b. Übersichtsplan. M. 1:100.

einer neuzeitlichen Grube beschnitten, verlief aber wahrscheinlich jenseits von dieser zumindest bis an das Südprofil von Feld 1 (Abb. 95). Als zugehöriges Gehniveau kann ausser dem kiesig-lehmigen bzw. dem lehmig-sandigen Horizont nur die bereits für die vorherige Phase eingebrachte Lehmplanie gedient haben, die sich westlich vom Graben befand[582]. Entlang seiner westlichen Böschung befanden sich auf diesem Lehm z.T. sehr grosse Steine. In das Westprofil von Feld 3 war ein 80 cm breiter und 60 cm hoher Kalksteinblock eingebunden, der eine stark verwaschene, muldenförmige Oberfläche aufwies (Abb. 113, 118)[583]. In Feld 1 lagen zwei, z.T. ebenfalls sehr grosse Kalksteine, von denen der nördliche auf ein Mühlsteinfragment gesetzt worden war (Abb. 119–121)[584]. In einer Flucht mit diesen Steinen befand sich während Phase 6a ein Pfostenloch im Südprofil von Feld 1, auf dessen Verfüllung diverse Steine, darunter ein Mühlsteinfragment, gesetzt worden waren, was darauf schliessen lässt, dass es in Phase 6b bereits keinerlei Verwendung mehr gefunden hatte (Abb. 95)[585].

Der in Feld 1 während Phase 6a abgetiefte Balkengraben wurde mit grossen Bollen- und Bruchsteinen verfüllt (Abb. 122)[586].

572 Pos. 135. Querschnitt U-förmig, Br. 50–60 cm, T. 20–25 cm. Eine 20 cm grosse Ausbuchtung an seiner Ostwandung könnte von einem Pfosten stammen.
573 Pos. 189: Br. 25 cm; T. max. 9 cm.
574 Querschnitt muldenförmig, Br. bis 1,05 m, T. 20–34 cm. Graben Pos. 175 war verfüllt mit: unterste Lage Pos. 191: dunkel-humos, durchsetzt mit Hüttenlehm und Holzkohle, D. 20 cm; Pos. 185: Steinkonzentration D. 10–15 cm; Pos. 159: dunkel-humos, Hauslehm, Steine, Mörtel; laut Nordprofil, F3, wurde der Graben sowohl von dem Lehm-Sand-Horizont, als auch von der Zusatzplanie abgetieft.
575 Pos. 189; in Höhe von Lfm. 24,24.
576 Pos. 213.
577 Pos. 194: Br. 50 cm; T. 44 cm.
578 Pfostenloch Pos. 162: Dm. 45 cm; T. 30 cm und Pos. 178: Dm. 40 cm; T. 30 cm; Balkengraben Pos. 173: Br. 25 cm, T. 15 cm.
579 Pos. 171: Br. 0,6–1,2 m; T. 0,3–0,4 m.
580 Laut Westprofil wurde er in die Planie Pos. 70 der Phase 6a abgetieft.
581 Pos. 192: Hüttenlehm, D. ca. 5 cm, Graben Pos. 171: obere Füllung Pos. 172: dunkel-humos, lehmig, darunter auf Sohle Steine Pos. 188.
582 Pos. 70.
583 Pos. 254.
584 Pos. 9; der südliche besass eine Länge von ca. 1,2 m.
585 Pos. 194.
586 Pos. 135.



Abb. 116. Römerstr. 209. Felder 1/3. Oberkante Lehmhorizont mit Balkengräben Pos. 135 und Pos. 175 (Phase 6a). Westlich davon Strukturen von Phase 6b: Zwei Pfostenlöcher mit Balkengraben (Pos. 162, 178, 173) und der mit Steinen gefüllte Graben Pos. 171. Ansicht von Süden.



Abb. 117. Römerstr. 209. Feld 1. Balkengraben Pos. 135 und Gräblein Pos. 189 im Lehmestrich. Ansicht von Osten.



Abb. 118. Römerstr. 209. Feld 2. Westprofil auf Lfm. 26,00–28,40 mit grossem Kalkstein Pos. 254.



Abb. 119. Römerstr. 209. Feld 1. Sondierschnitt. Zwei Steine in situ. Unter dem vorderen Stein ist ein Teil des Mühlsteins sichtbar. Ansicht von Norden.

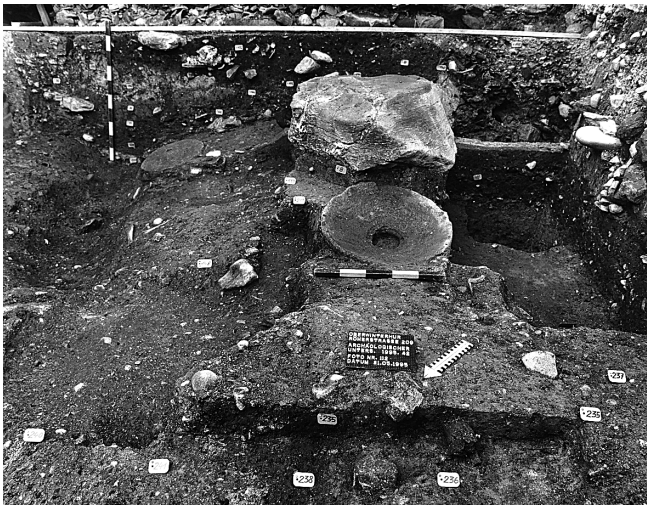
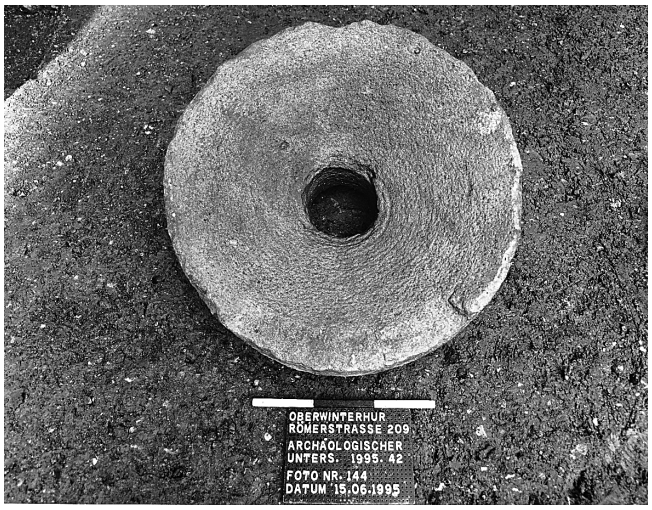


Abb. 120. Römerstr. 209. Feld 1. Sondierschnitt. Situation nach Entfernen des vorderen Steins. Ansicht von Norden.

Zu Phase 6b gehört wahrscheinlich auch ein Pfostenloch, welches sich in der Auffüllung des während Phase 6a benutzten Balkengrabens befand[587].

Unsicher ist dagegen die Zugehörigkeit von mindestens drei Pfostenstellungen in den Feldern 1 und 3[588]. In Feld 2 wurde direkt von dem Lehm-Sand-Horizont eine Pfostengrube abgetieft, deren Zeitstellung ebenfalls nicht eindeutig ist[589].

Mit Bauphase 6a wurden zwei in einer Flucht verlaufende Balkengräben angelegt, die nicht miteinander verbunden waren. Zwischen ihnen bog ein kleineres Gräblein rechtwinklig westwärts. Südlich von diesem waren zwei Pfostenstellungen zu erkennen, die sich etwa 1,3 m westlich parallel von dem NS-ausgerichteten Balkengraben befanden und möglicherweise als Bestandteile einer – allerdings sehr schmalen – Portikus zu interpretieren sind[590]. Unklar bleibt, ob sich diese mutmassliche Portikus in Richtung Norden weiterzog oder ob sie nur mit dem südlichen Balkengraben in Verbindung stand und nordwärts durch das kleine rechtwinklige Gräblein von diesem abgeschottet wurde. Beide



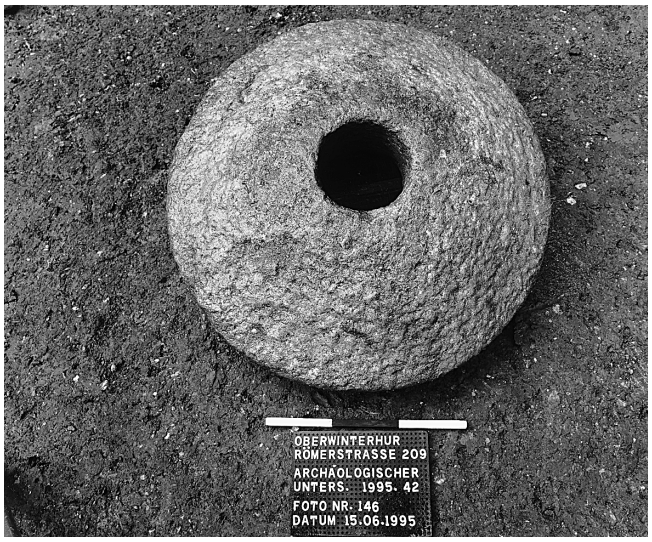


Abb. 121. Römerstr. 209. Mühlstein FK 260.

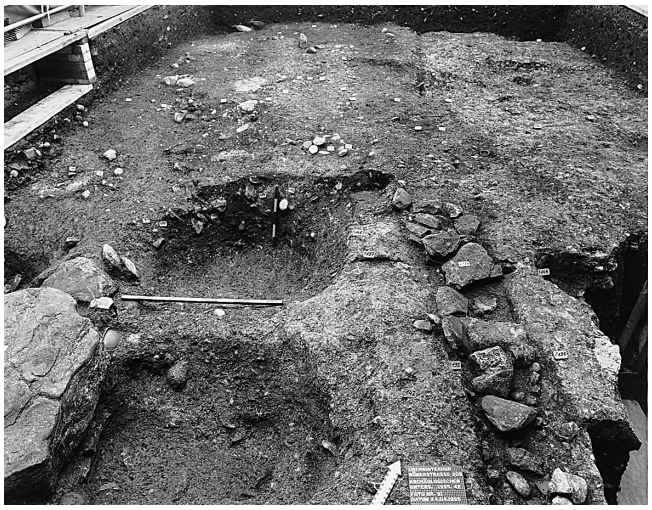


Abb. 122. Römerstr. 209. Feld 1. Balkengraben Pos. 135, mit Steinen verfüllt. Ansicht von Süden.

Strukturen waren beidseitig von einem Lehm-Sand-Horizont umgeben. Wie weit sich dieser nach Westen hin fortsetzte lässt sich nicht mit Bestimmtheit sagen, da dieser Bereich durch einen jüngeren Graben gestört war. Da sich der Estrich westlich von diesen nicht mehr feststellen liess, könnte man annehmen, dass er auf der ganzen Länge von einer NS-verlaufenden Pfostenreihe, einer Portikus, begrenzt wurde. Ob es sich dann um eine einheitliche oder eher um zwei voneinander getrennte Wohneinheiten gehandelt hat, sei dahingestellt. Das Innere der oder des Holzgebäude(s) hätte sich dann ostwärts ausgedehnt.

Phase 6b wurde folgendermassen rekonstruiert: Westlich parallel zu einem zwischen zwei Pfosten eingespannten Balkengraben verlief ein zweiter, breiterer Graben, welcher wohl die Funktion einer Entwässerungsleitung hatte. Unmittelbar an seiner westlichen Böschung lagen reihig mehrere, z.T. sehr grosse Steine, die vermutlich als Auflagefläche gedient hatten. Anders kann die Tatsache, dass man diese z.T. ungewöhnlich grossen und schweren Steine hierher geschleppt hat meines Erachtens nicht erklärt werden. Wahrscheinlich sind zwei Gebäude zu rekonstruieren, die zumindest teilweise gemeinsam einen – allerdings ungewöhnlich breiten – Traufgraben besassen. Im Zuge dieser baulichen Veränderung wurde auch der während Phase 6a angelegte Balkengraben mit grossen Bollen- und Bruchsteinen verfüllt. Welcher Boden als Gehniveau gedient hatte, können wir nicht mehr feststellen. Vielleicht wurde ein solcher im Zuge neuzeitlicher Eingriffe abgetragen. Auch zur Innengliederung der Häuser können wir keinerlei Angaben machen.

Datierung (Tab. 1 im Anhang)

Wie in der Befundvorlage bereits erwähnt, ist eine Zuordnung der einzelnen Strukturen der Phasen 6a und 6b äusserst schwierig. Leider können die zahlreichen, nicht sicher einer bestimmten Phase zuzuweisenden Pfostenlöcher auch anhand ihres Fundmateriales zeitlich nicht genauer eingeordnet werden, zum einen da das keramische Material zahlenmässig zu gering, zum anderen das aufgenommene Spektrum in seinem chronologischen Aussagewert zu unspezifisch ist.

Die in den Planieschichten enthaltene Terra Sigillata ist ausschliesslich südgallischer Provenienz. Weder die Reliefsigillata noch die glatten Formen unterscheiden sich von der vorangegangenen Phase 5, was eine Zeitstellung von neronischer bis in frühflavische Zeit bedeutet. Eigens ein Glasfund ist besonders hervorzuheben: Es handelt sich um das Wandfragment eines Gefässes vom Typ Isings 31, ein sog. Knospen- oder Tränenbecher (Kat. **154**). Konische formgeblasene Becher dieses Typs datieren in anderen Fundzusammenhängen wie z.B. in Augst BS, Vindonissa AG, Baden AG und in Oberwinterthur, Unteres Bühl, vorwiegend in die 2. Hälfte des 1. Jh. n. Chr.[591] Unter dem wenigen Fundmaterial aus dem

[587] Pos. 169: Dm. 40; T. 20 cm.

[588] Pos. 176: Dm. 40 cm, T. 20 cm; Pos. 183: Dm. 20 cm; T. 20 cm, von neuzeitlicher Grube gestört; Pos. 223: Dm. 20 cm, von neuzeitlichem Pfosten angeschnitten.

[589] Pos. 68: Dm. 40 cm; T. 40 cm.

[590] Die Breiten der Portiken im Unteren Bühl betragen etwa 2,7 m; Zürcher 1982, 218 Abb. 60.

[591] Rütti 1991, 71 Taf. 45,992–995 (2. Hälfte 1./Anfang 2. Jh.); L. Berger, Römische Gläser aus Vindonissa. VGP 4 (Basel 1960) 52 f. Taf. 8,131–132 (70–100 n.Chr.); Fünfschilling 1985, 90 Taf. 12,128 (2. Hälfte 1. Jh.); Rütti 1988, 36 Nr. 664–665 (ab Periode II; 3. Viertel 1. Jh.).

Lehm-Sand-Horizont konnte neben dem Fragment einer flavischen Schüssel vom Typ Drag. 37 (Kat. **156**) der Rand einer grautonigen Schüssel geborgen werden, die wiederum zu der bereits aus Phase 5 bekannten lokal gefertigten Keramik mit Barbotineauflage gehört (Kat. **157**)[592]. Etwa ab 70 n. Chr. ist in Oberwinterthur mit dem Auftreten von Lavezformen zu rechnen (Kat. **159**)[593].

Das zu Phase 6a gehörige Pfostenloch am Südprofil von Feld 1 enthielt südgallische Terra Sigillata der Formen Drag. 29 und Drag. 37, deren Zeitansatz von neronischer bis flavischer Zeit anzunehmen ist (Kat. **168–172**). Auch das Formenrepertoire der übrigen Gebrauchskeramik gehört in die 2. Hälfte des 1. Jh. n. Chr. (Kat. **173–177**).

Die beiden Sigillataschüsseln der Typen Drag. 36 und Drag. 42 datieren die Verfüllung des Balkengrabens in Feld 1 ebenfalls in das 3. Viertel bis an das Ende des 1. Jh. n. Chr. (Kat. **181–182**). Der Graben in Feld 3, der wahrscheinlich mit Phase 6a angelegt worden war, enthielt in seiner unteren Füllung neben südgallischen Sigillataschüsseln der Formen Drag. 29, 30 und 37 auch das Randfragment einer Schüssel Drag. 37 ostgallischer Provenienz (Kat. **160**). In demselben Füllmaterial begegnen wiederum Fragmente eines lokal gefertigten barbotineverzierten Gefässes (Kat. **161**)[594].

Aus der oberen Füllung desselben Grabens, die wahrscheinlich im Zuge der Planierung mit Phase 6b eingebracht worden war, stammen eine flavisch zu datierende südgallische Schüssel Drag. 37 sowie erstmals ein Becherfragment aus der Gruppe der Klassischen Glanztonkeramik, deren Zeitstellung allgemein ins letzte Viertel des 1. und das 1. Viertel des 2. Jh. angenommen wird (Kat. **163–164**)[595]. Ein Wandfragment derselben Gattung stammt aus einem Phase 6b zuzurechnenden Pfostenloch. Von der Oberkante der sog. Zusatzplanie aus Phase 6b konnte das Wandfragment einer südgallischen Schüssel vom Typ Drag. 37 geborgen werden, das in vespasianische bis domitianische Zeit datiert werden kann (Kat. **184**). In dem keramischen Spektrum der Verfüllungen der parallelen Gräben von Phase 6b hat bereits die südgallische Reliefschüssel der Form Drag. 37 die in den vorangegangenen Phasen vorherrschende Drag. 29 verdrängt (Kat. **185–186**). Die Schüsseln gehören stilistisch in vespasianische bis domitianisch/traianische Zeit. In diesen Zeitansatz passen neben dem Randfragment eines Bechers der Gruppe der Klassischen Glanztonkeramik (Kat. **188**) auch die übrigen Formen der Gebrauchskeramik (Kat. **189–192**). Erwähnenswert sind zahlreiche Fragmente aus gelblich grünem, auffallend grob steinchengemagerten Ton, die sich zu einer Amphore vom Typ Richborough 527 ergänzen lassen (Kat. **194**)[596]. Diese langovalen, gerillten Amphoren, die in den Nordprovinzen beliebt waren, stammen aus Süditalien, wahrscheinlich von den Liparischen Inseln.

Nach obigen Ausführungen möchte man den zeitlichen Ansatz für die beiden Bauaktivitäten 6a und 6b nicht allzuweit entfernt sehen. War für die ältere Phase 6a das Fundgut vor allem in vespasianische Zeit zu datieren, so begegnet in den für Datierungszwecke geeigneten Strukturen von Phase 6b zunehmend Keramik aus domitianischer bis traianischer Zeit, was diese Bautätigkeit weiter an das Ende des 1. bis ins beginnende 2. Jh. rücken lässt.

3.3.8 Phase 7 – Neuzeitliche Bauaktivitäten (Abb. 123)

Wie in der Einleitung bereits erwähnt, wurde der Umbau der Liegenschaft Römerstr. 209 nicht zum Anlass genommen, eine umfassende Bauanalyse durchzuführen[597]. Eine Untersuchung des Dachstuhls führte zu folgenden Ergebnissen: Im 15./16. Jh. wurde der Bohlenständerbau als dreiraumtiefes Haus mit Wohn- und Ökonomieteil errichtet. Eine Trennung zwischen Wohnbereich und Scheune blieb bis etwa 1910 bestehen. Im 17./18. Jh. wurden die Bohlen durch Fachwerk ersetzt, der ursprüngliche Dachstuhl im 20. Jh. abgetragen. Eine dendrochronologische Untersuchung der entnommenen Proben blieb leider ergebnislos.

Ein Blick auf den Übersichtsplan zeigt, dass die Grabungsfläche in der Parzelle Römerstr. 209 von neuzeitlichen und modernen Strukturen durchsetzt war (Abb. 123). Auf die zahlreichen Gruben und Pfostenlöcher neuzeitlicher Datierung soll im Rahmen dieser Arbeit nicht weiter eingegangen werden. Auch wird das daraus geborgene umfangreiche neuzeitliche Keramikmaterial nicht berücksichtigt. Eine detaillierte Aufschlüsselung der ehemals vorhandenen Gehhorizonte war leider nicht durchzuführen, da die oberen Schichten bei diversen Bauaktivitäten teilweise abgetragen und stattdessen Fundamente eingebracht worden waren. Eine Abfolge von Jauchegruben in den Grabungsfeldern 1 und 2 – an der Rückfront und z.T. im Inneren des bestehenden Hauses – scheint jedoch interessant genug, um an dieser Stelle aufgeführt zu werden[598].

Als älteste Struktur wurde eine Fassgrube in Feld 2 identifiziert, welche nur noch in ihrer nördlichen Hälfte erhalten war, da sie durch jüngere Anlagen zerschnitten wurde (Abb. 124)[599]. Es handelte sich um eine runde Grube von etwa 1,9 m Durchmesser und einer erhaltenen Tiefe von 1 m. Von dem 1,4 m umfassenden Holzfass selbst hatten sich sowohl die Bodenbretter, als auch die Fassdauben gut erhalten[600]. Zur Abdichtung war das Fass aussen von einem 20 cm starken Lehmmantel umgeben. Als zugehöriges Gehniveau diente vermutlich eine humose Planie[601]. Deutlich war die beim Ausheben entstandene Grubenkante zu erkennen[602]. Zu einem späteren Zeitpunkt wurde eine WE-orientierte, rechteckige Grube angelegt, die ihrerseits von jüngeren Anlagen gestört wurde[603]. Von der 1,4 m breiten und noch 1,9 m langen Grube konnten Reste des Boden- und umgebenden Wandlehms sowie der Verfüllung festgestellt werden. Einige Abdrücke von liegenden Brettern im Mantellehm weisen auf eine ehemalige Holzverschalung. In der Nachfolge dieser Struktur entstanden und weitaus besser erhalten war eine Grube, die sich in derselben Ausrichtung, nur leicht nach Norden und Westen verschoben, befand (Abb. 124)[604]. Der 1,5 m breite und 2,65 m lange Kasten mass eine Tiefe von 0,9 m. Besonders auf der Sohle hatte sich die Holzauskleidung aus Brettern, die von einem gelben Lehmmantel umgeben auf einer Lehmpackung ruhte, bestens erhalten[605]. Die dunkelgrau lehmige Verfüllschicht, die auch Kirschkerne enthielt, verströmte während des Abtragens einen übelriechenden Duft. Zu dieser Jauchegrubenkonstruktion gehörten drei Pfostenlöcher im Mantellehm an der Südwand des Holzkastens[606]. Interessanterweise stand mit diesem der Mantellehm einer NS-orientierten, unmittelbar benachbarten zweiten Jauchegrube im Verband, die sich als einzige innerhalb des bestehenden Hausgrundrisses befand. Zwischen beiden Lehmen befand sich ein Pfostenloch. Die Grube hatte leider bei der Anlage jüngerer Strukturen so stark gelitten, dass sie in ihren Massen nicht mehr exakt rekonstruierbar war[607]. Im Aufbau entspricht sie dem westlich angrenzenden Kasten: Äusserer Mantellehm, Lehmboden, hölzerne Grubenauskleidung und Verfüllung[608].

Datierung

Obwohl der chronologische Bezug zwischen dem Fundmaterial aus den Gruben und der Anlage derselben problema-

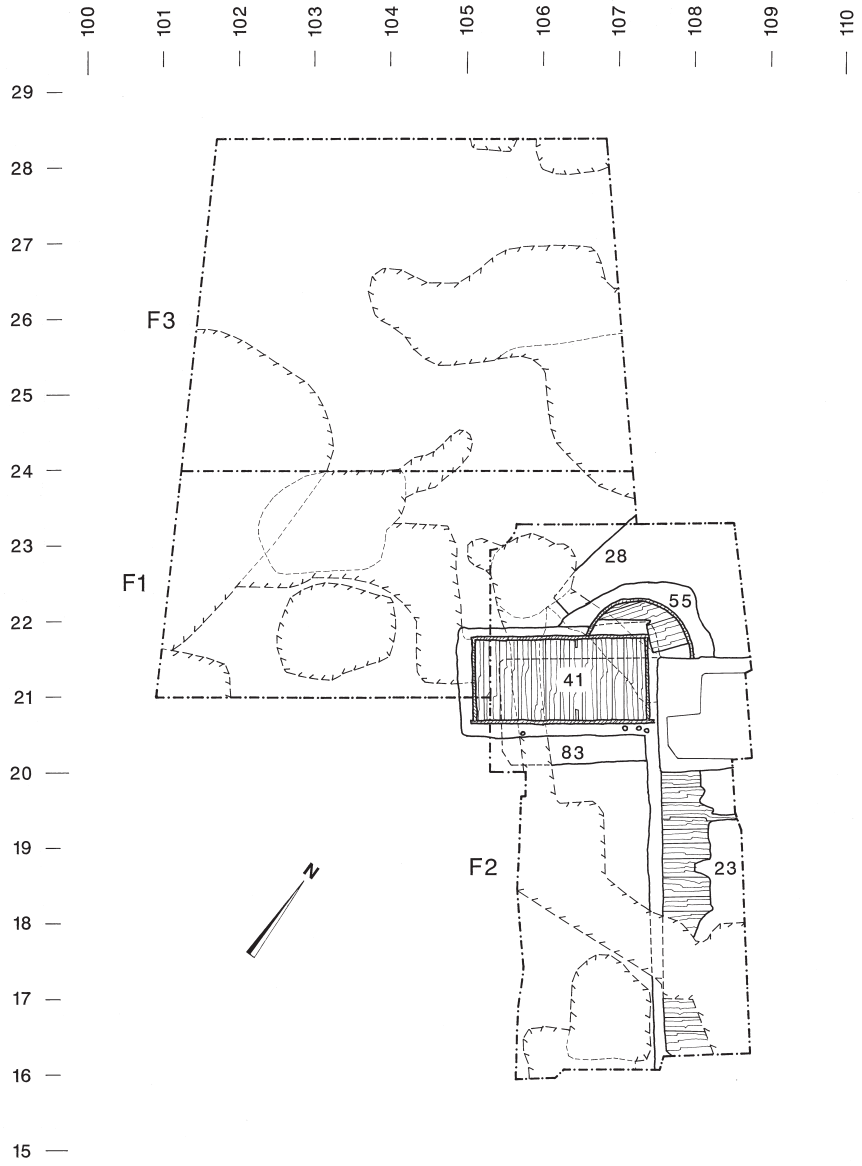


Abb. 123. Römerstr. 209. Phase 7. Übersichtsplan. M. 1:100.

tisch ist, scheint die sich bereits anhand der Stratigraphie abzeichnende chronologische Abfolge in den materiellen Hinterlassenschaften ihre Bestätigung zu finden[609]. Im Folgenden soll daher in aller Kürze auf das in Zusammenhang mit den Jauchegruben stehende Fundmaterial eingegangen

[592] Vgl. Anm. 560.
[593] Rychener 1984, 65 (Kirchhügel, Periode C–D).
[594] Vgl. oben.
[595] Ettlinger 1949, 40; Rychener 1984, 58 (ab Kirchhügel, Periode C).
[596] Martin-Kilcher 1994a, 432ff. Taf. 234–235 (Gruppe 14; TG 66); P. Bogard, L'origine liparote des amphores «Richborough 527» et la détermination de leur contenu. SFECAG, Actes du Congrès de Millau 1994, 197–204.
[597] Da es sich um eine sogenannte sanfte Renovierung gehandelt hat, blieben sämtliche älteren Bausubstanzen unangetastet. AIZ 1993–1994, 13. Ber. KA Zürich (1996) 46f.; JbSGUF 78, 1995, 229.
[598] Es ist durchaus möglich, dass die Strukturen, besonders die Fassgrube, erst sekundär als Jauchegruben genutzt wurden und ursprünglich einen anderen Zweck erfüllten.
[599] Runde Fassgrube Pos. 55; Rechteckgruben Pos. 83, 41, 23.
[600] Fassdauben: D. 3 cm; Br. 7–10 cm; Bodenbretter: D. 4 cm; Br. max. 30 cm.
[601] Pos. 25.
[602] Pos. 28.
[603] Pos. 83.
[604] Pos. 41.
[605] Pos. 40: Lehmmantel: D. 20 cm; Bodenlehm Pos. 59: D. 10–15 cm; Pos. 29: D. 3.5 cm; Br. 20–25 cm.
[606] Pos. 118; Pos. 89; Pos. 88.
[607] Pos. 23: min. Br. 1,2 m, L. 4,6 m, T. 1,2 m.
[608] Wandlehm Pos. 22: D. 20 cm; Bodenlehm Pos. 21: D. 8 cm; Holzverkleidung Pos. 20: Bretter D. 3 cm; Br. 30 cm; L. 1,05 m; von den aufgehenden horizontal liegenden Brettern haben sich im Wandlehm Abdrücke erhalten. Verfüllung Pos. 19, humos. Als zugehöriges Gehniveau hat wahrscheinlich die Schicht Pos. 24 gedient. Darüber folgten ein neuzeitlicher Planiehorizont und ein Betongussboden.
[609] Für Hinweise danke ich L. Frascoli, KA Zürich.



Abb. 124. Römerstr. 209. Feld 2. Rechteckiger Holzkasten Pos. 41 schneidet Fassgrube Pos. 55. Ansicht von Südwesten.



Abb. 125. Römerstr. 209. Feld 2. Fassgrube Pos. 55. Ansicht von Südosten.

werden. Vorauszuschicken ist, dass das Datierungsspektrum der neuzeitlichen Keramik, sei es durch eine zunehmende Standardisierung dieser Erzeugnisse, sei es durch den nach wie vor lückenhaften Forschungsstand, sehr gross ist, was eine oft nur sehr grobe zeitliche Einordnung zur Folge hat[610].

Das älteste keramische Material stammt aus der Hinterfüllung der Fassgrube (Kat. **204–206**). Neben zahlreichen römischen Fragmenten erweckt das neuzeitliche Keramikmaterial einen homogenen Eindruck und gibt uns die Benutzungszeit bzw. einen Terminus ante quem für die Aufstellung des Fasses in das 17. Jh. Ein sehr schöner Fund aus diesem Komplex ist eine Schüssel, die zur Gattung der grünglasierten Irdenware mit frühen floralen Motiven, die mittels eines Malhornes aufgetragen wurden, gehört und uns ein absolutes Datum von «1648» überliefert (Kat. **204**)[611]. Aus der Verfüllung des Fasses selbst konnten grün glasierte Irdenware mit geometrischen Mustern, polychrom glasierte Irdenware und besonders zahlreich Schüsseln, die zur Gattung der marmorierten Irdenware gehören, die im 17. und 18. Jh. in Mode war, geborgen werden (Kat. **207–210**)[612]. Aus der rechteckigen Vorgängergrube stammen nur sehr wenige Fragmente, die sich wiederum der Gruppe der polychrom glasierten Irdenware zuweisen lassen und eine nur grobe Datierung in das 18. bis. 19. Jh. zulassen (Kat. **211–212**). Die beiden zuletzt angelegten rechteckigen Holzkästen bargen Fundmaterial aus dem 19. und 20. Jh. Neben monochrom und polychrom glasierter Irdenware enthielten sie auch Steinzeug, Porzellan, modern anmutendes Glas und Plastik sowie einen Rappen aus dem späten 18. Jh. (Kat. **213–220**).

Funde aus dem 15./16. Jh. – dem anzunehmenden Baubeginn des Hauses – konnten nicht nachgewiesen werden.

3.4 Die jüngsten römerzeitlichen Funde aus dem Areal

Am Südrand von Feld 1 wurde partiell eine dunkle, humose, 10–30 cm mächtige Schicht dokumentiert, die mit Steinmaterial und verziegelten Lehmklumpen durchsetzt war (Abb. 95)[613]. Sie überlagerte in diesem Bereich die jüngsten römischen Strukturen und wurde ihrerseits von einer neuzeitlichen Ziegelbruchplanie überdeckt. Erwähnenswert ist diese



Abb. 126. Römerstr. 209. Feld 1. Reibschüssel Drag. 45 in situ.

Schicht besonders deshalb, weil sich unter dem wenigen Fundmaterial einige Keramikfragmente «jüngerer» Zeitstellung befanden. Zu nennen ist eine Reibschüssel mit Löwenkopfausguss vom Typ Drag. 45 sowie eine kleine ostgallische Kragenschüssel vom Typ Drag. 38 (Abb. 126; Kat. **221–222**). Die Datierung beider Gefässe dürfte in das ausgehende 2. und beginnende 3. Jh. n. Chr. fallen[614]. Des Weiteren wurden im Grabungsareal nur sehr wenige Fragmente von Schüsseln des Typs Drag. 37 ostgallischer Provenienz geborgen (Kat. **223**).

3.5 Zusammenfassung – Résumé – Riassunto – Summary

Bereits in der Einleitung wurde ausführlich auf die äusseren Grabungsbedingungen hingewiesen (Kap. 3.1). Die kleine nur 62 m^2 grosse Gesamtfläche war durch zahlreiche neuzeitliche und moderne Strukturen gestört. Der Befund selbst bestand aus einer überaus dichten, zeitlich engen Abfolge römischer Holzbauphasen, welche immer wieder aufs Neue abgetragen und erneuert worden waren. Hinweise auf eine Brandzerstörung konnten nicht gewonnen werden. Leider wurden zur Abklärung der Bauphasen zu wenige Detailuntersuchungen, Profilschnitte etc., vorgenommen, was die Interpretation zusätzlich erschwerte. Dennoch konnten einige Ergebnisse gewonnen werden. Das Untersuchungsgebiet umfasste ein etwa 16,5 bis 29 m nördlich der antiken Römerstrasse gelegenes Areal. In einer vergleichbaren topographischen Lage befinden sich auch die Grabungsflächen Römerstr. 187, 221 und Römerstr. 229/Römerweg 5[615]. In der Parzelle Römerstr. 209 konnten sechs römische Bauphasen ermittelt werden, die das gesamte 1. Jh. n. Chr. sowie das beginnende 2. Jh. n. Chr. umfassen.

Die römische Besiedlung setzte sehr früh im 1. Jh. n. Chr. ein, wohl in augusteisch/frühtiberischer Zeit, etwa von 0–20 n. Chr. (Phase 1; Abb. 89). Zu diesem Zeitpunkt wurde ein Kiesweg angelegt, der wahrscheinlich die antike WE-verlaufende Hauptstrasse mit dem nach Norden versetzten überbauten Areal verband[616]. Nachweislich bildete das Strässchen einen Zugang zu einem Gebäude, von dem sich die Ostfassade in Form eines zwischen Pfosten eingespannten Schwellbalkens erhalten hatte. Ob sich in dem 3 m breiten Streifen zwischen Gebäudeostwand und Strasse ehemals eine Portikus befunden hatte, ist archäologisch nicht nachweisbar.

Diese Anlage war nicht von langer Dauer, denn bereits in tiberischer Zeit wurden Kiesweg und Haus aufplaniert und stattdessen im Nordteil der Grabungsfläche ein neuer Grundriss angelegt, von dem wir ausser einem Lehmestrich nur Steine als Auflager für Schwellbalken nachweisen konnten (Phase 2a; Abb. 93). Südlich grenzte an diese Konstruktion ein weiteres Gebäude, von dem sich nur das Steinauflager für einen Balken der Gebäudewestwand sowie drei grosse Steine als Substruktion der Nordwand erhalten hatten. Zwischen beiden Gebäuden bildete sich ein Zwischenraum, vermutlich eine Gasse, von etwa 1 m Breite.

In derselben Orientierung wie letzterer mutmasslicher Grundriss wurde in claudischer Zeit ein Bau errichtet, für den ausser der Westwand in Form eines Schwellbalkens in situ auch die Steinreihe der Vorgängerphase als Nordwand miteinbezogen wurde (Phase 2b; Abb. 97). Die Konstruktion dieses Hauses bestand aus Schwellbalken und mindestens einer Pfostenstellung. Eine Öffnung in der Nordwand könnte auf eine Türschwelle mit einer lichten Weite von 1,5 m hinweisen. Eine Besonderheit stellt ein Entwässerungsgraben dar, der in einem Knick an der Nordwestecke des Hauses in dessen Innenraum eingeleitet wurde. Möglicherweise diente er mitunter der Entsorgung von Fäkalien, was zum einen sein nordseitiges Gefälle und zum anderen einige Koprolithen auf der Grabensohle vermuten lassen. Innerhalb des Gebäudes besass er vermutlich eine Holzabdeckung. Nördlich anschliessend wurde ein NS-verlaufender Balkengraben dokumentiert, der möglicherweise gemeinsam mit den drei Auflagesteinen der Gebäudenordwand einen weiteren Grundriss gebildet hatte. Hinweise auf seine genaue Ausdehnung und Funktion fehlen jedoch.

Wenig später, in claudisch/neronischer Zeit, wurden sowohl das Gebäude als auch der Entwässerungsgraben wieder aufgelassen (Phase 3; Abb. 104). Stattdessen wurde nördlich des älteren Hauses ein Neubau errichtet. Für uns erkennbar war dieser anhand eines Lehmestrichs mit Feuerstelle, der westlich durch einen Balkengraben und nördlich durch einen Pfosten mit Balkengraben begrenzt wurde. Bei dieser Wand, die sich leider zum grössten Teil ausserhalb der Grabungsgrenzen befindet, handelte es sich wahrscheinlich um eine Raumunterteilung desselben Gebäudes. Weder dessen Süd-, noch dessen Ostwand waren eindeutig zu erkennen.

Die neronisch/frühflavische Epoche vermochten diese Strukturen nicht zu überdauern (Phase 4; Abb. 109). Zu diesem Zeitpunkt wurde neu planiert und in völlig neuer Ausrichtung ein Grundriss errichtet: Die Westwand deutet ein NS-ausgerichteter Balkengraben mit Pfostenstellung an, von welcher eine im Nordprofil von Feld 3 noch sichtbare Steinreihe möglicherweise als Auflager gedient hatte. Als Gehniveau innerhalb des Grundrisses wurde ein Lehmestrich aufgetragen. Eine Feuerstelle innerhalb des Gebäudes konnte nur teilweise freigelegt werden. Leider war die Fläche z. T. sehr stark mit neuzeitlichen Strukturen durchsetzt, sodass sich ansonsten keine Innenstrukturen aufdecken liessen.

Dieselbe Ausrichtung wurde während der folgenden Phase in neronisch/flavischer Zeit beibehalten (Phase 5; Abb. 112). Ausser zwei Balkengräben konnte nur eine Grube nachgewiesen werden.

Im Verlauf der flavischen Epoche änderte sich das Bild nur wenig (Phase 6a; Abb. 114). Die bestehenden Strukturen wurden aufplaniert und von einem Lehm-Sand-Horizont überdeckt, von dem wiederum zwei NS-orientierte Gräben abgetieft wurden. Zwei Pfostenstellungen, die sich in einem Abstand von 1,3 bis 1,4 m von diesen befanden, könnten Bestandteil einer nach Westen ausgerichteten, allerdings sehr schmalen, vorgelagerten Portikus gewesen sein. Es liessen sich in diesem Falle zwei Grundrisse rekonstruieren, die möglicherweise mittels eines rechtwinklig zu den Schwellbalken gelegenen Gräbleins – vielleicht einer Art Sichtschutz – voneinander getrennt waren.

In vespasianisch bis domitianisch/traianischer Zeit, im ausgehenden 1. und beginnenden 2. Jh. n. Chr. befand sich die Ausrichtung der oder des Gebäude(s) nicht mehr genau in der Nord-Süd-Achse, sondern wenig westwärts verschoben (Phase 6b; Abb. 115). Da die obersten römischen Schichten sehr stark durch neuzeitliche Eingriffe in Mitleidenschaft gezogenen worden waren, konnten dieser Phase nur zwei Pfostenlöcher mit dazwischen eingespanntem Balkengraben zugewiesen werden. Westlich parallel zu diesem Schwellbalken befand sich ein Entwässerungsgraben, entlang dessen Westseite zahlreiche, z. T. ungewöhnlich grosse Steine (Kalk- und Mühlsteine) gesetzt worden waren. Wahrscheinlich diente diese Steinreihe als Balkenauflager eines westwärts ausgerichteten zweiten Gebäudes. Zu dieser jüngsten römischen Bauphase gehörten somit zwei Hausgrundrisse mit gemeinsamem Traufgraben.

---

610 Frascoli 1997, 79; Junkes 1995, 186; 189.
611 Frascoli 1997, 93f. Abb. 108; Junkes 1995, 187f.
612 Frascoli 1997, 92f.; Junkes 1995, 189.
613 Pos. 182.
614 Pferdehirt 1976, 56 Taf. 9, A 439 (Drag. 38); 58 ff. Taf. 10, A 482 (Drag. 45).
615 Manuskript zu Römerstr. 187 von R. Janke; zu den anderen Fundstellen vgl. die Ausführungen in diesem Band.
616 Kiesrollierte Stichsträsslein wurden mehrfach im Vicus dokumentiert; vgl. Kap. III.1.2.3.

Erst in der Neuzeit wurden auf dem Gelände wiederum grössere Eingriffe vorgenommen. Mit dem Hausbau im 15/16. Jh. und dessen Umbauten im 17./18. Jh. steht die Anlage verschiedener Jauchegruben in Verbindung, die vorwiegend entlang der Rückwand des Hauses platziert waren (Phase 7; Abb. 123).

Wie obige Ausführungen belegen, konnten in der Grabungsfläche zahlreiche Grundrisse nachgewiesen werden, die in sehr dichter Zeitfolge während des 1. Jh. n. Chr. immer wieder erneuert oder abgerissen und in derselben oder einer verschobenen Ausrichtung neu gebaut wurden (vgl. Abb. 90, Kap. III.1.3). Die Nutzung der Gebäude bleibt unbekannt; zu wenig Fundmaterial und Strukturen wie Gruben, Feuerstellen oder auch Bodenbeläge geben uns Hinweise darauf, ob es sich um Wohn- oder Ökonomiegebäude gehandelt hatte. Im Zuge dieser Bauaktivitäten kam es immer wieder zu einer Umfunktionierung von Flächen, vielleicht in Verbindung mit einer Verschiebung der Parzellengrenzen. Besonders eindrücklich äussert sich diese darin, dass mit Phase 1 ein Kiesweg angelegt wurde, der aber wohl nur während 20 Jahren Bestand hatte und danach aufplaniert wurde, um einem Gebäude an eben dieser Stelle Platz zu machen. Unmittelbar über dem Weg befand sich während Phase 4 in neronisch/frühflavischer Zeit eine Feuerstelle. Interessant ist die Tatsache, dass ab der 2. Hälfte des 1. Jh. n. Chr. die Orientierung der Häuser mit Ausnahme der jüngsten römischen Bauphase in etwa dieselbe blieb, was bedeutet, dass wahrscheinlich ein und dasselbe Gebäude mehrfach erneuert wurde.

Obwohl sich mehrere Grundrisse nachweisen liessen, war die Grabungsfläche dennoch zu klein, um ein Siedlungsraster in diesem Teil des Vicus aufzustellen.

Interessanterweise lässt sich die in zeitlicher Abfolge stehende Anwendung holzbautechnischer Errungenschaften, wie wir sie bislang in Oberwinterthur nachweisen konnten, im Areal Römerstr. 209 nicht bestätigen: Zu vermuten wäre eine Entwicklung vom einfachen Pfostengrundriss hin zum Schwellriegelbau mit eingespannten Pfosten bis zur reinen Schwellbalkenkonstruktion auf Fundamentsockeln[617]. Gemäss dem Grabungsbefund lässt sich die Pfostenbauweise in Kombination mit eingespannten Schwellriegeln in den Phasen 1, 2b, 3, 4 und 6b nachweisen. Dies bedeutet, dass diese Bauweise vom 1. Viertel des 1. Jh. n. Chr. bis in das ausgehende 1. bzw. beginnende 2. Jh. n. Chr. zur Anwendung kam. Möglicherweise steht diese Tatsache in Zusammenhang mit der topographischen Situation: Die freigelegten Grundrisse waren nicht frontal auf die Hauptstrasse ausgerichtet, sondern befanden sich im nordwärts versetzten Hinterhofbereich. Von dort waren sie von der EW-ausgerichteten Hauptachse durch rechtwinklig nach Norden abzweigende Strässchen erreichbar. Möglicherweise spielte auch die funktionale Nutzung der Gebäude eine nicht unwesentliche Rolle: Für einfache Schuppen, Viehställe oder handwerklich genutzte Flächen könnte die Pfostenbauweise mit eingespannten Schwellriegeln durchaus eine längere Zeit überdauert haben.

Von einer Besiedlung während der 2. Hälfte des 2. Jh. und des frühen 3. Jh. vermögen einige wenige Keramikfunde aus neuzeitlichen Strukturen oder Lesefunde ohne Befundzusammenhang Zeugnis abzulegen. Ob eine solche an Ort und Stelle stattgefunden hat und durch die neuzeitlichen Baueingriffe abgetragen wurde, oder ob es sich um Fundmaterial aus anderen Regionen im Vicus handelt, können wir nicht entscheiden.

Résumé

Dans l'introduction (chap. 3.1), nous avons déjà eu l'occasion d'évoquer le contexte dans lequel les fouilles se sont déroulées. La surface totale, de dimensions assez restreintes (62 m^2), présentait de nombreuses perturbations ultérieures. Les structures en elles-mêmes révélaient une succession, aussi dense que serrée sur le plan chronologique, de phases de construction en bois qui, à plusieurs reprises, avaient été démantelées et renouvelées. Nous n'avons pas pu identifier de traces d'une destruction par le feu. Malheureusement, le nombre d'examens de détail, de coupes, etc. est insuffisant pour qu'on puisse saisir les phases de construction, ce qui complique l'interprétation. Nous sommes toutefois parvenu à dégager certains résultats: la zone étudiée comprenait la partie située à une distance d'environ 16,5 à 29 m au nord de l'ancienne voie romaine. Les surfaces fouillées à la Römerstrasse 187, 221 et Römerstrasse 229/Römerweg 5 se trouvaient dans une situation comparable sur le plan topographique[618]. Sur la parcelle Römerstrasse 209, on a pu identifier six phases de construction, qui couvrent la totalité du 1er s. ap. J.-C. ainsi que le début du 2e s.

L'occupation romaine se mit en place très tôt au 1er s. ap. J.-C., vraisemblablement à l'époque augustéenne ou au début du règne de Tibère, vers 0–20 ap. J.-C. (phase 1; fig. 89). C'est de cette époque que date le sentier de gravillon qui reliait sans doute la route principale d'axe est-ouest à la zone bâtie décalée vers le nord[619]. Nous avons pu prouver que c'est par cette ruelle que l'on accédait au bâtiment dont la façade orientale est conservée sous la forme d'une sablière encastrée entre deux pieux. Au plan archéologique, il est impossible de démontrer si, autrefois, un portique se dressait sur la bande de 3 m de largeur située entre la paroi est du bâtiment et la rue.

La durée de vie de ce complexe fut brève puisque, sous Tibère déjà, le chemin de gravier et la maison ont été arasés; à leur place, dans la partie nord de la zone fouillée, on érigea un nouveau bâtiment dont, à part un sol d'argile, seules des pierres servant d'assises à des sablières ont pu être identifiées (phase 2a; fig. 93). Au sud, un autre bâtiment contigu à cette dernière construction n'a livré que les assises d'une poutre de la paroi ouest du bâtiment, ainsi que trois grosses pierres ayant servi de substruction à la paroi nord. Entre les deux maisons se trouvait un espace vide, sans doute une ruelle, large de 1 m environ.

Selon la même orientation que le dernier édifice mentionné, on érigea sous Claude un bâtiment pour lequel on réutilisa l'alignement de pierres de la phase antérieure comme façade septentrionale, et la paroi orientale sous la forme de sablière in situ (phase 2b, fig. 97). Cette maison comportait des sablières basses et au moins un pieu. Une ouverture pratiquée dans la paroi nord évoque peut-être un seuil, large de 1,5 m. La découverte d'un fossé de drainage pénétrant par un coude à l'angle nord-ouest du bâtiment mérite d'être relevée. Peut-être a-t-il servi à l'évacuation des eaux usées, comme sa déclivité vers le nord et les quelques coprolithes découverts à la base du fossé peuvent le faire penser. A l'intérieur de la maison, il était sans doute recouvert d'un couvercle en bois. Dans la zone limitrophe septentrionale, on a pu documenter un négatif de poutre d'axe nord-sud dont il est possible qu'elle ait, avec les trois pierres d'assise de la paroi nord du bâtiment, formé un nouvel édifice. Nous ne disposons toutefois d'aucun élément concernant son extension exacte ou sa fonction.

Un peu plus tard, sous Claude ou Néron, le bâtiment et le fossé de drainage furent abandonnés (phase 3; fig. 104). A leur place, on construisit un nouveau bâtiment au nord de l'ancienne maison. Il était reconnaissable à un sol d'argile muni d'un foyer, circonscrit à l'ouest par un négatif de pou-

tre et au nord par un pieu avec négatif de poutre. Bien qu'il n'ait plus été possible de l'identifier avec exactitude – elle se trouvait malheureusement en grande partie à l'extérieur de la zone fouillée – cette paroi constituait vraisemblablement une division interne du même bâtiment. Ni la paroi sud, ni celle de l'est n'ont pu être identifiées avec précision.

Ces structures n'ont cependant pas perduré au-delà du règne de Néron/début de l'époque flavienne (phase 4; fig. 109). A cette période, la zone avait à nouveau été nivelée et on avait érigé un bâtiment selon une orientation entièrement nouvelle: la paroi orientale permet de supposer un négatif de poutre d'axe nord-sud avec poteau. Un alignement de pierres visible dans la coupe nord du secteur 3 lui a peut-être servi de soubassement. Un sol d'argile servait de niveau de circulation à l'intérieur du bâtiment. Un foyer, découvert à l'intérieur de la maison, n'a pu être que partiellement dégagé. La zone comptait de nombreuses perturbations modernes dont les dégâts ne permirent plus de déceler les structures antérieures.

Durant la phase suivante, sous Néron et Flavien, on conserva la même orientation (phase 5; fig. 112). Outre deux négatifs de poutres, on ne put déceler qu'une seule fosse. Au cours de l'époque flavienne, la situation ne subit que peu de modifications (phase 6a; fig. 114). Les structures existantes furent arasées et recouvertes d'un horizon argilo-sableux, dans lequel on creusa deux fossés d'orientation nord-sud. Deux pieux distants de ces derniers de 1,3 à 1,4 m pourraient constituer les éléments d'un portique orienté vers l'ouest et, il faut l'avouer, très étroit. Dans ce cas, on pourrait imaginer l'existence de deux bâtiments, séparés peut-être l'un de l'autre par un petit fossé perpendiculaire à l'axe des sablières, qui aurait pu permettre de soustraire les habitants aux regards des curieux.

Sous Vespasien et jusqu'à Domitien/Trajan, à la fin du 1er et au début du 2e s. ap. J.-C., l'orientation du ou des bâtiment(s) ne correspondait plus exactement à l'axe nord-sud, mais était légèrement décalée vers l'ouest (phase 6b; fig. 115). Comme les couches romaines situées au sommet avaient été fortement endommagées par des intrusions modernes, seuls deux trous de poteaux reliés par un négatif de poutre ont pu être attribués à cette phase. A l'ouest, parallèlement à cette sablière, se trouvait un fossé de drainage dont le flanc oriental avait été garni de pierres de dimensions parfois inhabituelles (calcaires ou meules). Il est vraisemblable que cet alignement de pierres a servi de soubassement aux poutres d'un second édifice, orienté vers l'ouest. Deux bâtiments munis d'une rigole commune se rattachent donc à cette dernières phase de construction romaine.

A l'époque moderne, la zone subit à nouveau des interventions considérables. Avec la construction d'une maison au 15e/16e s., puis sa transformation au 17e/18e s., on peut corréler diverses fosses à purin, placées généralement le long de la paroi postérieure du bâtiment (phase 7; fig. 123).

Comme nous l'avons montré plus haut, on a pu attester de nombreux édifices qui, très fréquemment, ont fait l'objet de constants travaux de rénovation, ou ont été arasés au cours du 1er s. ap. J.-C. pour être reconstruits selon une orientation différente (fig. 90, chap. III.1.3). Nous ignorons à quelles fins les édifices étaient utilisés: la quantité de mobilier mise au jour, le nombre de structures telles que les fosses, les foyers ou le revêtement des sols est insuffisant pour déterminer s'il s'agissait de bâtiments d'habitation ou à caractère économique. Parallèlement à ces activités d'ordre architectural, les surfaces ont fréquemment changé de fonction, peut-être dans le cadre d'un déplacement des limites parcellaires. Ce fait est particulièrement visible dans le cas du chemin de gravier mis en place à la phase 1, et qui ne subsista sans doute que pendant une vingtaine d'années avant d'être nivelé pour faire place à un bâtiment. Sous Néron ou au début du règne de Flavien, soit durant la phase 4, un foyer se trouvait juste au-dessus du chemin. Il est intéressant de noter que, dès la 2e moitié du 1er s. p. J.-C., l'orientation des maisons est restée à peu près la même, à l'exception de la dernière phase de construction romaine. Ceci signifie que les bâtiments ont dû faire l'objet de plusieurs réfections. Bien que l'on soit parvenu à déceler plusieurs édifices, la surface fouillée était trop restreinte pour permettre d'identifier une trame d'occupation dans cette partie du vicus.

Il est intéressant de noter que les techniques mises en œuvre dans des architectures de bois, telles qu'on avait pu les identifier à Oberwinterthur, n'ont pas été appliquées à la zone Römerstrasse 209: on pourrait en effet supposer une évolution du simple bâtiment avec poteaux allant vers des constructions à poteaux encastrés dans les sablières et élévation en colombage, jusqu'à la construction sur sablières basses proprement dites reposant elle-même sur des socles de fondation[620]. Pour les phases 1, 2b, 3, 4 et 6b, les structures découvertes en fouille démontrent la coexistence de la construction sur pieux et des édifices à poteaux encastrés dans les sablières, ce qui implique que ce mode d'architecture a été utilisé du 1er quart du 1er s. ap. J.-C. à la fin du 1er ou au début du 2e s. ap. J.-C. Il est possible d'y reconnaître un rapport avec la situation topographique: la façade des bâtiments ne donnait pas sur la route principale, mais se trouvait décalée vers le nord, dans la zone des arrière-cours. On y accédait par des ruelles quittant l'axe principal d'orientation est-ouest vers le nord. Peut-être la fonction des bâtiments a-t-elle joué un rôle majeur? Pour de simples remises, des étables ou des zones artisanales, la construction sur pieux avec poteaux encastrés dans les sablières s'était sans doute révélée plus durable.

Seuls quelques tessons de céramique issus de structures modernes ou découverts hors contexte stratigraphique témoignent d'une occupation de la zone durant la 2e moitié du 2e s. et au 3e s. Il n'est pas possible de définir s'il s'agit d'une occupation in situ arasée par les travaux de construction modernes, ou si ce mobilier provient d'autres zones du vicus.

Traduction Catherine Leuzinger-Piccand

Riassunto

L'indagine archeologica in località Römerstrasse 209 ha portato alla luce una fitta successione, sull'arco di circa un secolo, di numerose fasi di costruzione d'edifici lignei romani, di volta in volta smantellati e ricostruiti ex novo. La superficie di scavo era limitata a soli 62 m^2 e presentava in vari punti manomissioni d'epoca recente e moderna. Il lavoro di valutazione dei dati di scavo è inoltre risultato difficoltoso a causa della scarsità delle analisi di dettaglio ese-

617 Rychener/Albertin 1986, 86 Abb. 87; vgl. auch die Ausführungen in Kap. III.1.3.

618 Manuscrit Römerstrasse 187 en prép. par R. Janke; pour les autres sites, cf. explications dans ce volume.

619 Des ruelles secondaires, installées sur un lit de gravier et bifurquant à angle droit de la route principale, ont pu être documentées à plusieurs reprises dans le vicus; cf. chap. III.1.2.3.

620 Rychener/Albertin 1986, 86 fig. 87; cf. également chap. III.1.3.

guite sul terreno. La zona si trovava ad una distanza compresa tra il 16,5 e i 29 m a nord dell'antica strada principale romana, una situazione del tutto analoga ai lotti Römerstrasse 187, 221 e Römerstrasse 229/Römerweg 5[621]. L'attività edilizia si riassume in sei fasi che coprono tutto il I e gli inizi del II sec. d.C. Non vi sono tracce di distruzione causata da incendio.

L'occupazione ha un inizio precoce nei primi due decenni del I sec. d.C. (fase 1; fig. 89), con la costruzione di una stradina di ghiaia, che si suppone collegasse l'asse principale del vicus con gli isolati a nord[622]. Si è potuto dimostrare che essa dava adito ad un edificio, del quale si conservano tratti della facciata orientale (tracce di una trave e di due buchi di palo). Non è chiaro se la fascia di 3 m di larghezza, interposta tra l'edificio e la strada, fosse coperta da un portico.

Queste costruzioni non furono di gran durata: ancora sotto il regno di Tiberio, viottolo e edificio furono demoliti e le loro rovine livellate. Nella fascia settentrionale della zona sorse una nuova costruzione di cui non ci restano che i resti del pavimento d'argilla e le serie di pietre sulle quali poggiavano le travi perimetrali (fase 2a; fig. 93). A sud confinava con quest'edificio una seconda struttura, di cui sono documentati gli allineamenti di pietre che portavano le traverse delle pareti ovest e nord. Tra i due edifici vi era una fascia di ca. 1 m di larghezza, che fungeva probabilmente da vicolo. Un'ultima costruzione, sorta tra il 40 e il 55 d.C., seguiva la stessa orientazione del complesso precedente e ne riprendeva vasti tratti (fase 2b; fig. 97). Per la costruzione di quest'edificio furono impiegate travi e montanti, testimoniati da una buca di palo. Nella parete nord vi era un'apertura di 1,5 m di larghezza interna, forse un'antica soglia. Un certo interesse riveste il canale di scolo che, seguendo l'andamento dell'angolo nordoccidentale dell'edificio, conduceva all'interno della struttura. La pendenza verso nord e la presenza di coproliti sul fondo del canale, avvalorano l'ipotesi di un suo impiego, almeno temporaneo, come scolo di una latrina. All'interno dell'edificio, esso possedeva probabilmente una copertura di legno. Più a nord vennero alla luce tracce di un'altra costruzione, caratterizzate dai resti delle travi d'appoggio orientate nord–sud e le pietre di fondazione della parete nord. Non siamo in grado di ricostruire le dimensioni di questa costruzione né di interpretarne la funzione.

L'utilizzo di queste strutture cessò poco prima della metà del I sec., quando, a nord dell'edificio della fase precedente, ne sorse un nuovo (fase 3; fig. 104). Esso è testimoniato sul terreno dalla presenza di un pavimento d'argilla con focolare, delimitato ad ovest e a nord da tracce di travi di fondazione e da un buco di palo. Questa parete nord, che purtroppo viene a trovarsi in gran parte al di fuori dell'area di scavo, doveva costituire un divisorio all'interno dell'abitazione. Le pareti sud ed est non erano più riconoscibili.

Attorno agli anni '60 del I sec. queste strutture sono già rase al suolo e sostituite da un'abitazione d'orientazione completamente differente e di cui sono documentate tracce della parete ovest, posta in direzione nord–sud (fase 4; fig. 109). Lo scavo ha parzialmente evidenziato un piano di calpestio d'argilla e i resti d'un focolare. Disturbata dalle manomissioni d'epoca recente, questa superficie non ha fornito maggiori dati per la comprensione di questa costruzione.

L'attività edilizia della fase successiva, del periodo compreso tra il 55 e l'80 d.C., ricalca l'orientamento della fase precedente (fase 5; fig. 112) ed è attestata da tracce di travi d'appoggio e da una fossa.

Nel periodo compreso tra il 70 e il 90 d.C. non si assiste che a minimi cambiamenti (fase 6a; fig. 114): le strutture preesistenti sono livellate e ricoperte da uno strato argillo-sabbioso, nel quale sono scavati due nuovi fossati in direzione nord–sud. Interpretiamo come resti di un possibile portico molto angusto le due buche per montanti riscontrate ad una distanza di 1,3–1,4 m dalle trincee. Saremmo così in presenza delle vestigia di due perimetri, separati da una traccia di possibile divisorio. Tra la fine del I e gli inizi del II sec. d.C., l'uno o più edifici che sorgevano in questa zona non erano più orientati strettamente nord–sud, ma leggermente verso ovest (fase 6b; fig. 115). A causa delle numerose manomissioni d'epoca recente, le vestigia di costruzioni si limitano a due buche di pali, collegate da una traccia di traversa. Segue, ad ovest, un canaletto di scolo, sul fianco occidentale del quale erano allineate delle pietre, di dimensioni a volte insolitamente grandi (pietre calcaree e macine in disuso). Su di esse poggiavano le travi di fondazione di un altro edificio. Questa fase d'insediamento più recente comprende dunque due edifici con un canaletto di scolo comune.

La zona è nuovamente interessata da attività edilizie solo in epoca recente, con la costruzione di un'abitazione nel XV/XVI sec., seguita da diverse fasi di riattamento di XVII/XVIII sec. Contemporaneamente furono scavate fosse del liquame lungo la parete nord della casa (fase 7; fig. 123).

Nella stretta sequenza di fasi di costruzione di I sec. (v. fig. 90, chap. III.1.3), emersa dallo scavo archeologico in località Römerstrasse 209, si osserva un continuo variare nell'utilizzazione dello spazio. Questo fatto è forse da ricondurre a spostamenti dei confini di singole parcelle. L'esempio più lampante s'incontra al passaggio da fase 1, con un viottolo utilizzato per almeno 20 anni, livellato poi per far spazio, durante fase 2, alla costruzione di un edificio sullo stesso luogo. Proprio sopra lo stesso viottolo, durante fase 4 (50–70 d.C.), si trovava un focolare. Se si eccettua l'ultima fase d'occupazione romana, durante la seconda metà del I sec. d.C., l'orientazione delle strutture rimane grosso modo invariata: è dunque lo stesso edificio ad essere ripetutamente ristrutturato.

La superficie del lotto è troppo ridotta e non consente di correlare i seppure numerosi resti d'edifici con quelli emersi nei lotti circostanti del vicus. Per quanto riguarda le tecniche edilizie, si osserva una divergenza rispetto all'evoluzione generalmente documentata nel resto del vicus, dove si passa, senza eccezione, da costruzioni su pali a quelle in montanti collegati da travi, per finire con la tecnica a telaio vera e propria[623]. L'esecuzione a montanti collegati dalle travi d'appoggio si riscontra nel nostro caso nella fase 1, 2b, 3, 4 e 6b, dunque dal primo quarto del I fino agli inizi del II sec. d.C. Questa persistenza deriva dalla situazione del lotto all'interno dell'abitato romano: gli edifici non si ergevano qui con la facciata lungo la strada principale del villaggio ma si trovavano sul retro, collegati all'asse principale da vicoli laterali. La tecnica di costruzione dipendeva non da ultimo anche dalla funzione alla quale questi edifici erano destinati: per semplici fienili, stalle o superfici coperte, destinate ad attività artigianali, una semplice costruzione a montanti e travi d'appoggio poteva mantenersi per parecchio tempo.

Il periodo d'occupazione tra la seconda metà del II e il primo III sec. è attestato da scarsi reperti da strutture d'epoca recente o da sporadici. Non siamo in grado di stabilire se si trattasse di resti d'insediamento manomessi in questo luogo da attività edilizie recenti o se i singoli oggetti provenissero da altre zone del vicus.

Traduzione Rosanna Janke

Summary
The circumstances of the excavation were already explained in detail in the introduction (Chapter 3.1). The small area only measured 62 square metres and was disturbed by numerous modern structures. The archaeological structures themselves consisted of an extremely dense and chronologically tight sequence of Roman timber construction phases, which had been demolished and rebuilt repeatedly. There was no evidence of destruction by fire. Unfortunately, not enough detailed examinations such as the study of profile trenches etc. were undertaken to clarify the construction phases, which made the interpretation even more difficult. However, it was possible to obtain some results. The area of examination was situated around 16.5 to 29 metres north of the Roman road. The excavation sites at Römerstrasse 187, 221 and Römerstrasse 229/Römerweg 5 are located in a similar topographical position[624]. Six Roman construction phases comprising the entire 1st century as well as the beginning of the 2nd century AD were ascertained in the parcel Römerstrasse 209.

The Roman settlement started very early in the 1st century AD, probably during Augustan/early Tiberian times, around 0–20 AD (phase 1; fig. 89). A gravel path was constructed which probably linked the ancient main road leading from west to east and the built over area to the north[625]. It was proven that this little road provided access to a building. A preserved sill beam wedged in between posts represented the eastern façade of this building. It cannot be archaeologically proven whether there was ever a portico in the 3 m wide strip between the eastern wall of the building and the street.

This complex did not last long. The gravel path and the house were demolished as early as in Tiberian times and a new structure was built to replace it in the northern part of the excavated area. From this construction only a clay floor and stones serving as substructures for beams had been preserved (phase 2a; fig. 93). A further building adjoined this construction to the south. Only the stone substructure, which supported a beam belonging to the western wall of the building and three large stones serving as substructures for the northern wall, had been preserved. Between the two buildings there was a space of around 1 m width, probably an alleyway.

A building, with the same orientation as the second supposed ground plan, was built in Claudian times for which the western wall consisting of a sill beam and the line of stones from the preceding building were used to form the northern wall (phase 2b; fig. 97). The construction of this house consisted of sill beams and at least one post hole. An opening in the northern wall may indicate a threshold measuring 1.5 m in width. A drainage trench with a kink leading into the house at its north western corner is worth mentioning as a special feature. It possibly served for the disposal of faeces, which is on one hand suggested by its drop towards the north and on the other by some coprolites found on the floor of the trench. Inside the house it probably had a wooden cover. A beam trench in north-south direction was documented directly to the north of it. This possibly formed a further ground plan together with the three foundation stones of the northern wall of the building. However, there is no evidence concerning its size and function.

The building as well as the drainage were abandoned again a short time later, in Claudian/Neronian times (phase 3; fig. 104). Instead, a new building was erected north of the older house. It was discernible through a clay floor with a hearth. A beam trench in the west and a post with a beam trench in the north marked the boundaries of this floor. This wall, most of which unfortunately lay outside the excavated area, probably belonged to the interior subdivision of the same building. It was not possible to clearly identify its southern or eastern walls.

These structures did not exist beyond the Neronian/early Flavian period (phase 4; fig. 109). The area was levelled off and a ground plan with a totally different orientation was constructed at that time: The western wall is indicated by a north-south oriented beam trench with post alignment, for which a stone alignment visible in the northern profile of trench 3 had possibly served as a substructure. Inside the building the ground was covered with clay. A hearth inside the building could only be partially uncovered. Unfortunately the area was badly disturbed in places by modern structures so that it was not possible to unearth further interior structures.

The same orientation was maintained in the following phase during Neronian/Flavian times (phase 5; fig. 112). Apart from two beam trenches only a pit could be detected.

The overall picture changed only slightly during the Flavian period (phase 6a; fig. 114). The existing structures were levelled off and covered with a loam-sand layer from which again two north-south oriented trenches were dug. Two post alignments 1.3 to 1.4 m from these trenches might belong to a portico oriented to the west which was, however, very narrow. In this case one could reconstruct two ground plans which were possibly separated from each other by a small trench – maybe serving as some kind of visibility protection – at right angles to the sill beams.

The orientation of the building or buildings was no longer exactly north-south in Vespasian to Domitian/Traian times, during the late 1st and early 2nd centuries AD, but had shifted slightly westward (phase 6b; fig. 115). Due to modern disturbances, which had affected the uppermost Roman layers badly, only two post holes with a beam trench between them could be attributed to this phase. West of this sill beam and running parallel to it, a drainage trench was uncovered. Numerous stones, some of which were exceptionally large (lime and millstones), had been positioned along its western side. This stone row probably served as a substructure for a second building oriented to the west. Therefore, two ground plans with a joint gutter trench belonged to this latest Roman construction phase.

After that, no further major interference was carried out in the area until modern times. Various cesspits belong to a house built during the 15th/16th centuries and altered during the 17th/18th centuries. These pits were mainly situated along the back wall of the house (phase 7; fig. 123).

As was shown, numerous ground plans were unearthed within the excavated area. During the 1st century these were renewed or demolished repeatedly at very short intervals and

---

621 Römerstrasse 187, R. Janke inedito; per gli altri siti, cfr. relativi contributi in questo volume.

622 Analoghe stradine laterali sono state documentate a più riprese nel vicus; cfr. III.1.2.3.

623 Rychener/Albertin 1986, 86, fig. 87; cfr. anche III.1.3 in questo volume.

624 The manuscript on Römerstrasse 187 by R. Janke is in preparation; on the other sites see respective Chapters in this volume.

625 Numerous gravelled paths were documented in the vicus; see Chapter III.1.2.3.

were rebuilt, either with the same or with an altered orientation (fig. 90, Chapter III.1.3). The purpose of the buildings remains unknown; there were not enough finds and features such as pits, hearths and also floor coverings to provide evidence of their interpretation as living quarters or outbuildings. In connection with these construction activities, areas were changed repeatedly, possibly in relation to a shift in parcel boundaries. An especially impressive example of this is the gravel path built during phase 1, only to be then levelled off after a mere 20 years to make room for a building in its place. During phase 4 in Neronian/Flavian times, there was a hearth situated directly above this path. Interestingly, the orientation of the buildings remained more or less identical from the second half of the 1st century AD, with the exception of the last Roman construction phase. This means that the same building was probably renovated repeatedly.

Even though it was possible to detect numerous ground plans, the excavation area was nevertheless too small to reconstruct the settlement pattern for this part of the vicus.

However, the interesting fact is that the chronological sequence of achievements in timber construction techniques, thus far established in Oberwinterthur, can not be confirmed in the area of Römerstrasse 209: One would expect a sequence starting from the simple post ground plan to the interrupted sill construction with wedged-in posts and on to the genuine sill beam construction on foundation bases[626]. The excavated structures prove post construction combined with wedged-in interrupted sills in phases 1, 2b, 3, 4 and 6b. This means that this construction technique was used from the first quarter of the 1st century AD up to the late 1st or early 2nd century AD. This is possibly linked to the topographical situation: The unearthed structures were not oriented facing towards the main road, but were located in the backyard area to the north of it. They could be reached from the east-west oriented main axis on lanes turning north at a right angle. The purpose of the buildings might also have played a rather significant role: Post construction with wedged-in interrupted beams might well have been used for a longer period of time to build simple sheds, barns or craft workshops.

Few ceramic surface finds or artefacts obtained from modern structures provide evidence of a settlement during the second half of the 2nd century and the early 3rd century. However, we cannot decide whether they point to a settlement that had existed within the excavated area and had been levelled off by modern construction activities or whether they stem from other regions of the vicus.

Translation Sandy Hämmerle

4 RÖMERSTRASSE 213/215

(Ausgrabungen 1990/91) *(Verena Jauch)*

4.1 Einleitung

Den Anstoss für die Ausgrabungen an der Römerstr. 215 gab ein geplanter Umbau im Inneren eines bestehenden Wohnhauses. Die von P. Albertin 1990 durchgeführte Bauuntersuchung erbrachte den Nachweis, dass die Liegenschaft zusammen mit ihrem südwestlichen Nachbarhaus Römerstr. 213 und der dazwischengestellten Scheune einheitlich als zweigeschossiger Bohlenständerbau im 15. Jh. erbaut worden war. Der Dachstuhl lieferte Dendrodaten von 1435/36; im Jahr 1715 wurden die Bohlen durch Riegel ersetzt[627].



Abb. 127. Vicus, Nordostquartier. Übersichtsplan. M. 1:2000.

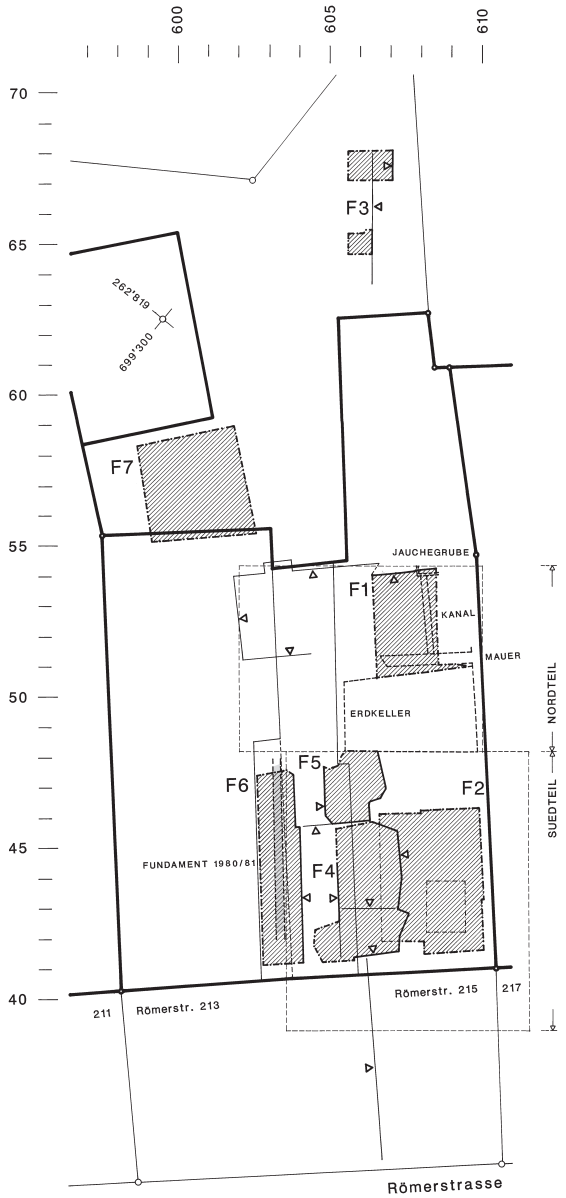


Abb. 128. Grabungsfläche Römerstr. 213/215. Übersicht über die Feldereinteilung mit neuzeitlichen Strukturen und nicht zuweisbarem Steinfundament. M. 1:250.

Das Gelände wurde von November 1990 bis April 1992 in zahlreichen Grabungsetappen, die sich vorwiegend auf kleinere Sondierungen beschränkten, untersucht[628].

4.1.1 Lage der Ausgrabung

Das Ausgrabungsgebiet befindet sich im nordöstlichen Teil des Vicus. Die Grabungsfelder grenzen unmittelbar an die mutmassliche antike Hauptstrasse sowie bis auf 35 m nordwestlich der heutigen Strasse (Abb. 127–128). Die in nächster Nähe untersuchten Parzellen sind von Westen nach Osten die Areale Römerstr. 209, 221, 229 und Römerweg 5, die im vorliegenden Band einzeln behandelt werden. Auszugehen hat man von einer auf die antike EW-verlaufende Hauptstrasse ausgerichteten Besiedlung und einer Bebauung oder anderweitigen Nutzung des rückwärtig nach Norden versetzten Gebiets. Neben den Ergebnissen der Ausgrabung Römerstrasse 229/Römerweg 5[629] gibt uns auch die vorliegende Untersuchung in der Römerstr. 213/215 Aufschluss darüber, dass in diesem Bereich des Vicus Handwerker angesiedelt waren.

Neben dem Aspekt einer gewerblichen Nutzung standen folgende Fragen hinsichtlich der Topographie im Vordergrund: Lassen sich einzelne Häuserzeilen und evtl. deren Hausfronten mit Zugang von der Hauptstrasse feststellen? Gibt die Grabung neuen Aufschluss über den Verlauf der antiken Hauptstrasse? Sind einzelne Bauphasen zu unterscheiden, und wenn ja, wie ist deren zeitliche Stellung? Wie verhält sich zeitlich hierzu die Besiedlung im rückwärtig gelegenen Areal?

4.1.2 Rahmenbedingungen der Ausgrabung

Die archäologische Untersuchung des Geländes wurde in zahlreichen kleineren Etappen durchgeführt. Gründe hierfür waren zum einen Änderungen in der Bauplanung, zum anderen ein Bauunternehmer, der sich wiederholt gegen die Interessen der Archäologie stellte und in unerlaubten Nacht-und-Nebel-Aktionen Befundsituationen willentlich zerstörte.

Die erste und längste Ausgrabungskampagne startete am 26.11.1990 und endete am 15.3.1991.



Abb. 129. Römerstr. 213/215. Feld 4. Situation nach ungenehmigtem Baggeraushub.

Die folgende Untersuchung dauerte vom 14.10.–18.10.1991. Anlass war eine vom Unternehmer ausgeführte Unterkellerung, die ohne Wissen der Kantonsarchäologie geschah. Es kam folglich zu einem Baustopp und einer Aushubbegleitung, ein grosser Teil der Schichten in Feld 2 war aber bereits abgetragen und liess sich nur noch anhand der Profile dokumentieren.

Nach drei Wochen Unterbrechung wurden die Grabungen vom 11.11.–20.12.1991 wieder aufgenommen, wobei bereits in der Nacht vom 12. auf den 13.11.1991 wiederum ein ungenehmigter Baggeraushub von Seiten des Unternehmers erfolgte. Die Konsequenz dieser Aktion war, dass die römischen Schichten in Feld 4 zum Teil zerstört wurden (Abb. 129). Am 14.1.1992 begannen die Bauarbeiten im Haus offiziell und wurden vom 17.1.–23.1.1992 archäologisch begleitet. Am 3./4.3.1992 konnte das Westprofil des Kanalisationsgrabens in Feld 6 dokumentiert werden. Als letztes Unterfangen wurde am 28.4.1992 die südwestliche Verlängerung des Nordprofils von Feld 1 aufgenommen (Abb. 154–155).

Im Grabungsgelände Römerstr. 213/215 konnten einerseits auf Grund der obigen äusseren Bedingungen und andererseits wegen der Tatsache, dass Teile des Hauses bereits unterkellert oder durch Kanalisations- und Leitungsgräben gestört waren, keine grösseren zusammenhängenden Flächen archäologisch untersucht werden (Abb. 128)[630]. In Feld 1 befand sich als Anlage der Neuzeit der sog. Erdkeller; älter als diese, aber wahrscheinlich auch neuzeitlich, war eine annähernd NS-ausgerichtete Mauer. Ein zu dieser rechtwinklig verlaufender lehmverkleideter Kanal, der in eine holzverschalte Jauchegrube mündete, stand wahrscheinlich mit der Mauer in einem baulichen Zusammenhang.

Das flächig abgetragene Areal mit römischen Schichten umfasste insgesamt 25 m^2. Ansonsten konnten nur Profile dokumentiert werden. Innerhalb des Hauses wurde ein römisches Schichtpaket von 30–40 cm Mächtigkeit dokumentiert. Bereits während der Grabung wurde die Gesamtfläche in einen südlichen und einen nördlichen Bereich untergliedert (Abb. 128). Als Südteil gilt der Grabungsbereich im Haus und auf dem strassenseitigen Vorplatz, der das teilweise flächig dokumentierte Feld 4, das flächig ergrabene Feld 5, das nur noch in Profilen und einer Sondierung aufgenommene Feld 2, das Westprofil des Kanalisationsgrabens in Feld 6 sowie das Profil eines in Richtung Strasse verlaufenden Kanalisationsgrabens umfasste[631]. Der Nordteil bezeichnet neben einem flächig ergrabenen Bereich in Feld 1, die Profile des sog. Erdkellers in Feld 1, sowie südwestlich daran anschliessende Profile[632]. In Feld 7 konnten nur Schichten

---

626 Rychener/Albertin 1986, 86 fig. 87; see also Chapter III.1.3.

627 Dendrodaten vom Laboratoire Romand de Dendrochronologie, Moudon, LRD 92/R 3123.

628 LK 1072, 699 275/262 800; Höhe 468,7 m ü. M.; Fund- und Befundmeldung: JbSGUF 75, 1992, 230; AIZ 1987–1992, 12. Ber. KA Zürich, 62. Die wissenschaftliche Betreuung der Kampagnen lag bei J. Rychener, örtlicher Grabungsleiter war B. Zollinger; auf der Ausgrabung wirkten folgende Personen mit: R. Gamper, M. Gentinetta, J. Giöni, B. Knittel, F. Mächler, L. Rothmund, S. Ruben, H. Stanek, K. Trüllinger, R. Wyrsch, S. Zuber.

629 Vgl. den Beitrag von R. Janke in diesem Band; JbSGUF 76, 1993, 221.

630 Flächenanteil: Felder 1, 4, 5: 20,7 m^2; Feld 2, Sondierung: 2,2 m^2; Feld 3: 2,1 m^2; Feld 7: 11,5 m^2.

631 Von Lfm. 39,00–48,20/603,50–611,50.

632 Von Lfm. 48,20–54,30/602,00–610,00.

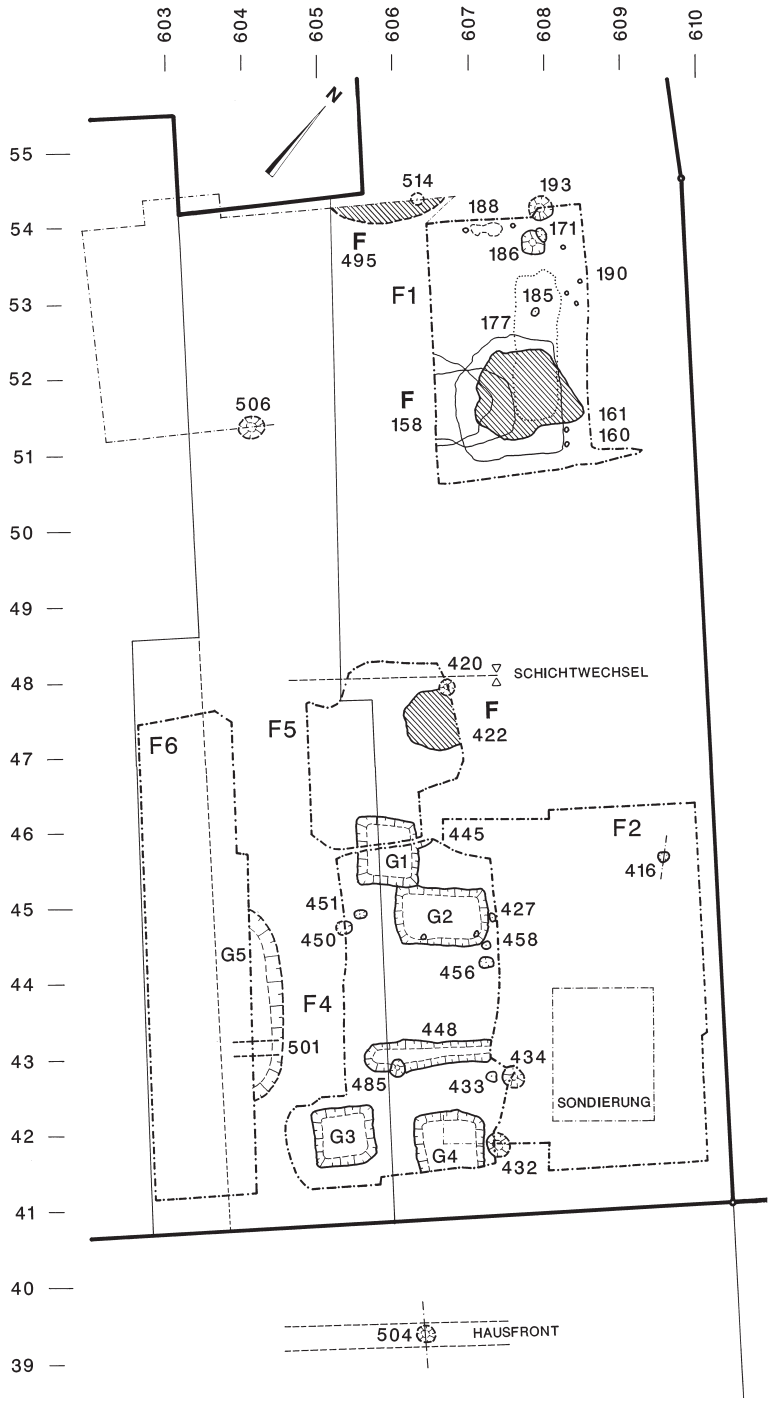


Abb. 130. Römerstr. 213/215. Phase 1. Übersicht Strukturen. M. 1:100.

und Strukturen neuzeitlicher Datierung freigelegt werden, der römische Horizont blieb unangetastet.

In einem rückwärtig versetzten, etwa 15 m vom sog. Nordteil entfernten Gebiet wurde in einem zu unterkellernden Holzschuppen Feld 3 angelegt, welches aus einem kleinen 1,5 m^2 grossen Sondierloch und einem 4,5 m langen Westprofil bestand. Letzteres legte römische Schichten von 90 cm Mächtigkeit frei. Der Süd- und der Nordteil der Grabung liessen sich anhand des zeitlichen Spektrums ihres Fundmaterials teilweise korrelieren. Da sich beide allerdings nur in zwei Bauphasen, den Phasen 3 und 4, stratigraphisch verbinden liessen, werden die Befunde und Funde getrennt innerhalb der einzelnen Siedlungsaktivitäten im Text und Katalog vorgestellt. Zu erwähnen ist ausserdem, dass das Fundgut der postulierten Phasen zum Teil sehr spärlich ist und eine erschwerte Ausgangsbasis für eine genaue zeitliche Einordnung darstellt. Nichtsdestotrotz konnten bis zu fünf zeitliche Phasen aufgestellt werden, auf die im Folgenden genauer eingegangen wird. Es werden hierbei zunächst die stratigraphische Situation und die Befunde beschrieben und gleich im Anschluss daran deren zeitliche Einordnung anhand von aussagekräftigen Funden vorgenommen. Die Kriterien für die Aufstellung der Zeitabschnitte werden jeweils getrennt nach Nord- und Südteil erläutert. Im Anschluss daran folgt die Auswertung von Feld 3, da sich die fassbare Siedlungsaktivität in diesem nordwärts versetzten Bereich nicht an die Grabungsareale im Haus anschliessen liess (Kap. 4.3).

Grube	Form	Masse	Füllungen (von oben nach unten)	Funde	Datierung	Besonderes	Funktion
1	rechteckig	94 x 82 cm T. 16–34 cm	Pos. 453: D. 18 cm, siltig, schwer trennbar vom gewachsenen Boden. Pos. 461: D. 8 cm, umgelagerter Lehm mit Brandrötungsknöllchen und HK. Pos. 462: D. 10 cm; siltig; (= Pos. 453). Pos. 463: dünnes HK-Band.	Pos. 453: As, Kat. 3 Eisennagel, Pos. 461: 3 Knochen (1 verrusst) 1 Stück Hauslehm.	Phase 1 t.a.q. augusteisch-frühtiberisch	evtl. Zulauf Pos. 445 und Überlauf in Grube 2, evtl. Zusammenhang mit Pfostenlöchern Pos. 450; 451.	Werkgrube
2	rechteckig	1,20 m x 70 cm T. 30 cm	Pos. 455: D. 4–10 cm, schwer trennbar vom gewachsenen Boden. Pos. 465: D. 9 cm, verschmutzte brandige Schicht, grauer Silt mit brandgerötetem Lehm, viel HK. Pos. 466: D. 8–10 cm, schwarze Benutzungsablagerung, zwischen feinen HK-Straten dünne, siltige, graue Bänder, OK eben, hart.	Pos. 465: 2 WS, helltonig, Eisennägel Kat. 4, 9 Stück Schlacke (93 g), davon 6 Stück Ofenwandschlacke, viel Hammerschlag. Pos. 466: diverse amorphe Eisenstücke G. 135 g, 1 Stück Schlacke G. 10 g.	Phase 1	konstruktiver Zusammenhang mit Grube 1, Zulauf oder Pfostenloch Pos. 460; evtl. zugehörig Pfostenlöcher Pos. 458; 456; Holzverschalung an Nord- und Südwand, Auszimmerung fehlt in dem Teil der Nordwand, wo Grube 1 an Grube 2 stösst (Überlauf)	Tauchbecken
3	rechteckig	83 x mind. 90 cm	Pos. 431: D. 32 cm, Brandversturz; Pos. 480: D. 5 cm, 1–3 mm schmale HK-Schichten, brandschwarz, OK eben.	-	Phase 1	Grubenwände holzverkleidet, Bretterdicke ca. 3 cm.	Tauchbecken
4	rechteckig	80 x 90 cm T. 30 cm	Pos. 477 = Pos. 482: D. 10 cm, stark brandgeröteter verziegelter Lehm, regelmässige Holzkohlebänder, hitzeverfärbte OK. Pos. 484: D. 25 cm, lockerer Silt, ocker-grau, wenig Kiesel. Pos. 483: feines Material, locker brandschwarz, OK wellig. Pos. 487: dünne Straten, 1–3 mm, brandschwarz, OK eben, Holzkohle.	Pos. 477/482: 9 Eisenobjekte, hauptsächlich Nägel G. 250 g, 4 Stück Ofenwandschlacke, 13 Schlackestücke, G. 250 g. Pos. 487: Hammerschlag	Phase 1	In Pos. 477 befinden sich Ruten; Grube steht evtl. in Zusammenhang mit Pfostenloch Pos. 432.	Werkgrube, Esse?
5	nur im Profil sichtbar	L. 2,50 m T. 33 cm	Pos. 499: dünnes HK-Band Pos. 490: D. 11 cm, braun-grau, siltig, lehmig, viel Brandrötungsknöllchen, wenig HK und Kiesel; Pos. 500: D. 0,5 cm, HK-Band; Pos. 493: D. 2–8 cm, wenig brandgerötet, nach Süden hin dicker werdend; Pos. 491: D. 1,5–4 cm, humoses Band, schwarz, locker ohne Einschlüsse, feine HK-Schichten.	Pos. 490: RS Consp. 19 Kat. 1, Bronzeblech (Kat. 2)	Phase 1 t.a.q. augusteisch-tiberisch	UK Grube Gräblein oder Pfosten Pos. 501.	Werkgrube, Holzkohlegrube?

Abb. 131. Römerstr. 213/215. Phase 1. Grubenkatalog.

4.2 Die Grabungsfläche im Haus

4.2.1 Phase 1 – Eine Werkstatt der Eisenverarbeitung[633] und Anlage der Feuerstelle (Abb. 130)

Südteil: Fünf Werkgruben

In diesem Kapitel werden sämtliche Strukturen behandelt, die zum einen unter der Aufplanierung von Phase 2, zum anderen unter der Kulturschicht, welche die Strukturen und Schichten überdeckte, lagen.

Auf Grund der Vielfalt und des Charakters der Befunde gestaltet sich dieser Teil des Grabungsareals in Phase 1 zweifelsohne als der Interessanteste. Der Darlegung der Befundsituation und dem Versuch einer Interpretation derselben soll daher grössere Aufmerksamkeit geschenkt werden.

Es waren fünf in den gewachsenen Boden eingetiefte Werkgruben feststellbar (Gruben 1–5; Abb. 130–131)[634]. Eine zugehörige Benutzungsablagerung liess sich nur partiell in Form einer dünnen, humos-aschigen Schicht feststellen[635]. Die Gruben waren rechteckig, von zum Teil unterschiedlicher Grösse. Drei von ihnen besassen Seitenlängen von etwa 80–90 cm (Gruben 1/3/4)[636]; etwas grösser war Grube 2 mit 120 auf 70 cm Seitenlänge. Nur im Profil angeschnitten wurde Grube 5, deren Länge von 2,5 m diejenigen der übrigen Anlagen deutlich übertraf.

Räumlich nah beieinander befanden sich die Strukturen 3 und 4. Grube 3 war auf mindestens drei Seiten holzverschalt, ihre Einfüllung bestand aus einem zuunterst liegenden schwarzen Holzkohleband mit ebener Oberfläche (Abb. 132–133). Etwa 50 cm nordöstlich parallel zu dieser befand sich Grube 4 (Abb. 134–136). Die unterste Einfüllung entsprach genau derjenigen von Anlage 3. Die daraus entnommene Bodenprobe enthielt feinen Hammerschlag. Darüber lag eine dünne Schicht aus feinem, brandschwarzem Material mit welliger Oberfläche. In ihrem oberen Teil war sie mit siltigem Material verfüllt, das mit umgelagertem Brandversturz, in dem sich zum Teil Ruten erhalten hatten, überdeckt war (Abb. 137)[637]. In diesem Brandschutt wurden neben neun Eisenobjekten, zumeist Nägeln, auch 13 Schlackebrocken (G. 250 g) geborgen, von denen vier ver-

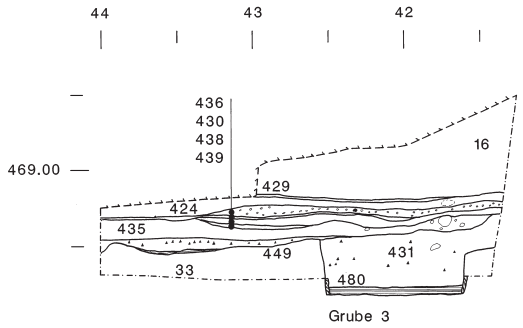


Abb. 132. Römerstr. 213/215. Feld 4. Ostprofil mit Grube 3. M. 1:50.



Abb. 133. Römerstr. 213/215. Feld 4. Grube 3 auf OK Brandplanie Pos. 431. Ansicht von Süden.

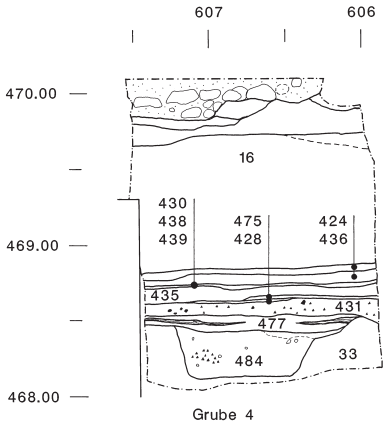


Abb. 134. Römerstr. 213/215. Feld 4. Südprofil mit Grube 4. M. 1:50.

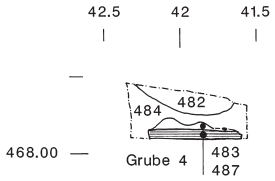


Abb. 135. Römerstr. 213/215. Feld 4, Ostprofil von Grube 4 auf Achse 606,65 m. M. 1:50.

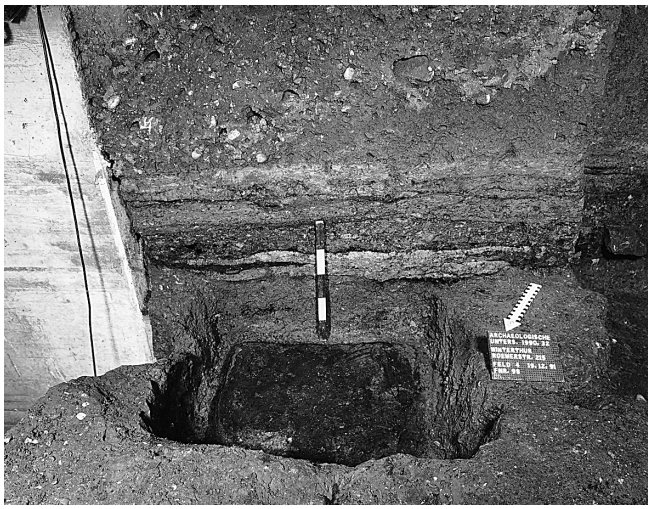


Abb. 136. Römerstr. 213/215. Feld 4. Grube 4. OK Benutzungsablagerung Pos. 483. Ansicht von Süden.



Abb. 137. Römerstr. 213/215. Feld 4. Grube 4. Brandversturz mit Ruten aus siltiger Einfüllung Pos. 477.

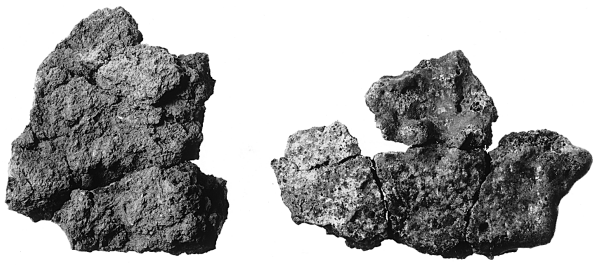


Abb. 138. Verschlackte Ofenwand aus Grube 4.

brannte, flache Lehmbrocken mit glasiger Oberfläche als Ofenwandschlacke anzusprechen sind (Abb. 138). Vergleichbare Stücke fanden sich auch in der oberen Füllschicht von Grube 2[638].

Etwa 80 cm nordwestlich von Grube 3 lag Anlage 5, deren Gesamtausdehnung nicht fassbar war. Im Profil zeigte sie vergleichbare untere Schichten in Form feiner, schwarzer Holzkohlestraten (Abb. 139). Darüber befand sich eine siltige Einfüllung mit wenig Brandrötungsknöllchen, die in Richtung Süden dicker werdend, partiell von einem Holzkohleband bedeckt wurde. Eine darüber liegende, stärker brandgerötete Schicht entsprach dem Material nach umgelagertem Hüttenlehm; aus ihr wurde ein umgebogenes Bronzeblech, evtl. ein zum Wiedereinschmelzen bestimmter Werkabfall oder Rohmaterial für Buntmetall, geborgen (Kat. **2**)[639]. Im Profil zeichnet sich an der Unterkante der Grube eine halbrunde, mit brandigem Material verfüllte Verfärbung ab, ein Gräblein oder Pfosten, deren Zusammenhang mit der Grube unklar ist[640].

Nördlich dieser drei Gruben wurden die zwei funktional zusammengehörigen kastenförmigen Vertiefungen 1 und 2 freigelegt (Abb. 130, 140). Anlage 1 lag in einem Abstand von etwa 3 m von den Gruben 3 und 4 entfernt. Sie zeigte auf ihrer Sohle einen dünnen Holzkohlefilm, darüber siltige Einlagerungen und ein Band aus umgelagertem, zum Teil stark brandgerötetem Lehm, über dem wiederum siltiges Material auflag (Abb. 140–142). Aus dem lehmigen Material stammen ein Eisennagel, drei Knochen, einer davon verrusst, und ein Stück Hauslehm. Die unteren Schichten waren fundleer. Anzumerken ist ferner, dass der unter der Grube befindliche sog. gewachsene Boden zwei prähistorische, evtl. bronzezeitliche, Wandscherben enthielt[641]. Interessanterweise scheint Grube 1 eine Art Zulauf gehabt zu haben, der einen Durchmesser von etwa 6 cm besass und im Westprofil von Feld 2 angeschnitten wurde (Abb. 143)[642].

Anlage 2 berührte mit ihrer Nordwand auf einer Länge von 30 cm direkt die Südwand von Grube 1 (Abb. 130, 140). Eine Holzauszimmerung, die an ihrer Süd- und Nordwand feststellbar war, fehlte genau an der Stelle, wo sie an Grube 1 stiess. Es handelte sich demnach um einen Überlauf von der 4–9 cm höher gelegenen Anlage 1 in den holzverschalten Kasten 2. Auf ihrer Sohle lagen schwarze Holzkohleschich-

633 In einer Diskussionsrunde der AG Vitudurum am 24.2.1998 zum Thema «Eisenverarbeitendes Handwerk in Vitudurum» verstanden es M. Senn und C. Doswald wertvolle Anregungen zu liefern.
634 In den Feldern 4, 5, 6; gewachsener Boden Pos. 33.
635 Pos. 476: nur im südlichen Bereich der Grabungsfläche um die Gruben 4 und 5 und Pos. 448.
636 Grube 3 war teilweise durch einen Kanalisationsgraben gestört.
637 Pos. 477.
638 Zur Schlackenterminologie vgl. Doswald in: Hänggi et al. 1994, 297 Abb. 209; Koller/Doswald 1996, 172; Schucany 1986, 216 f. Abb. 28.
639 Laut E. Deschler-Erb ist eine eindeutige Interpretation des Objektes nicht möglich.
640 Pos. 501: Dm. oben 17 cm; T. 8 cm.
641 Pos. 472.
642 Pos. 445.

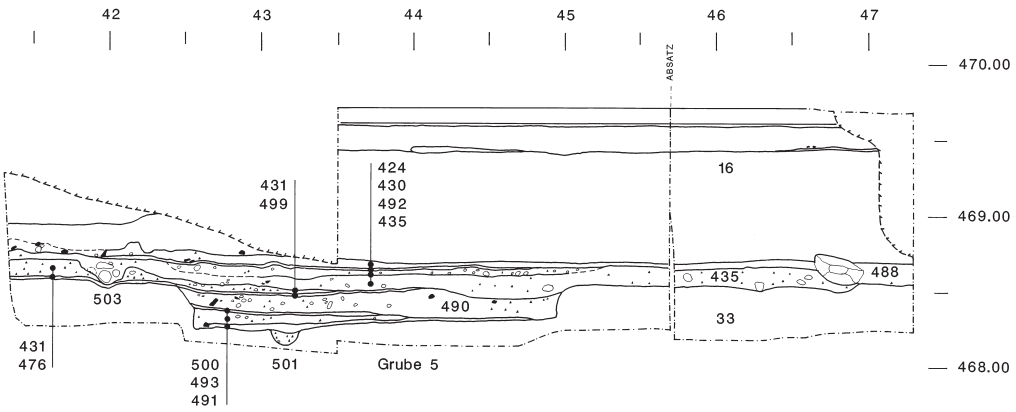


Abb. 139. Römerstr. 213/215. Feld 6. Westprofil entlang des Kanalisationsgrabens mit Grube 5. M. 1:50.



Abb. 140. Römerstr. 213/215. Feld 4. Grube 1 (hinten) und 2 (vorne). Ansicht von Nordosten.

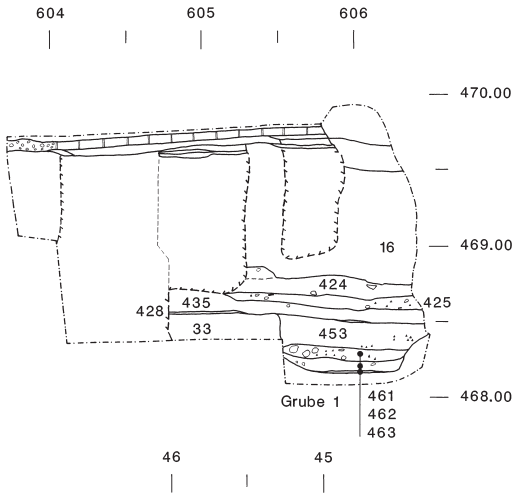


Abb. 141. Römerstr. 213/215. Feld 4. Nordprofil mit Grube 1. M. 1:50.

ten mit harter, ebener Oberfläche, die neben einem Stück Schlacke auch einige amorphe Eisenstücke und -nägel enthielten (Abb. 144–145). Auf dieser Einfüllung ruhte eine ver-

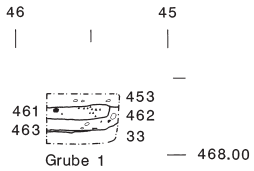


Abb. 142. Römerstr. 213/215. Feld 4. Ostprofil durch Grube 1 auf Achse 605,90 m. M. 1:50.

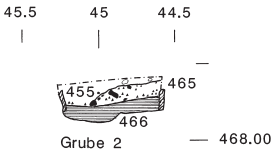


Abb. 144. Römerstr. 213/215. Feld 4. Grube 2. Ostprofil auf Achse 606,60 m. M. 1:50.

schmutzte, brandige Schicht aus grauem Silt mit brandgerötetem Lehm. Aus dieser wurden zwei helltonige Wandscherben, wenige fragmentierte Eisennägel und neun Schlackebrocken (G. 93 g), von denen sechs Stücke als Wandschlacke bezeichnet werden können sowie blättriger und kugeliger Hammerschlag in hoher Konzentration geborgen (Abb. 146; Kat. **4**). In Zusammenhang mit Grube 2 standen zwei kleine Pfostenlöcher auf der Grubensohle vor der Südwand, die wohl die Funktion hatten, die Holzwand zu stabilisieren[643]. Zwei weitere Pfostenlöcher befanden sich unmittelbar ausserhalb der Ostwand und an der Südostecke der Grube[644].

Etwa 1 m nördlich der doppelten Grubenkonstruktion wurde in Feld 5 eine Feuerstelle angeschnitten (Abb. 130)[645]. Die annähernd runde, an ihrer Oberkante verziegelte Lehmplatte besass einen Durchmesser von etwa 80 cm und wurde von einem amorphen Flecken umgelagerten brandigen Lehms überdeckt. Wie das Westprofil deutlich zeigt, treffen an einem nördlich der Feuerstelle befindlichen Pfostenloch diverse Schichten aufeinander, die sich nicht verbinden lassen (Abb. 143). Da das Pfostenloch erst von Schichten der Phase 3 überlagert wird, könnte es sowohl zu Phase 1 als auch zu Phase 2 gehört haben[646]. Festzuhalten ist, dass wir wahrscheinlich schon während der ältesten römischen Besiedlung des Areals an dieser Stelle bei Lfm. 48,00 einen Schichtenwechsel dokumentieren, welcher als Raumteilung interpretiert werden kann (Abb. 130).

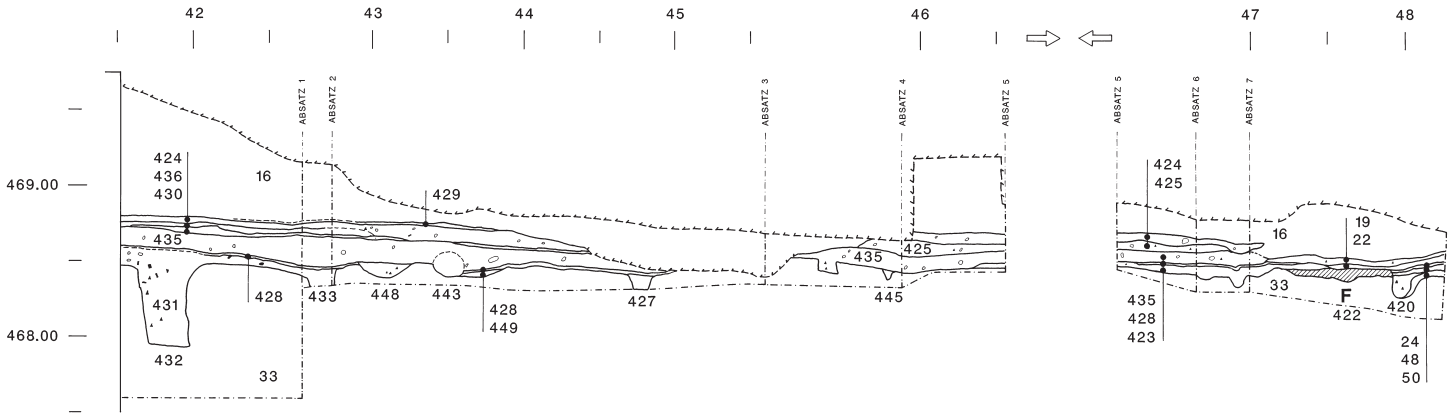


Abb. 143. Römerstr. 213/215. Feld 2. Westprofil. M. 1:50.



Abb. 145. Römerstr. 213/215. Feld 4. Grube 2. Eisenstücke und Schlacken aus der untersten Einfüllung Pos. 466.

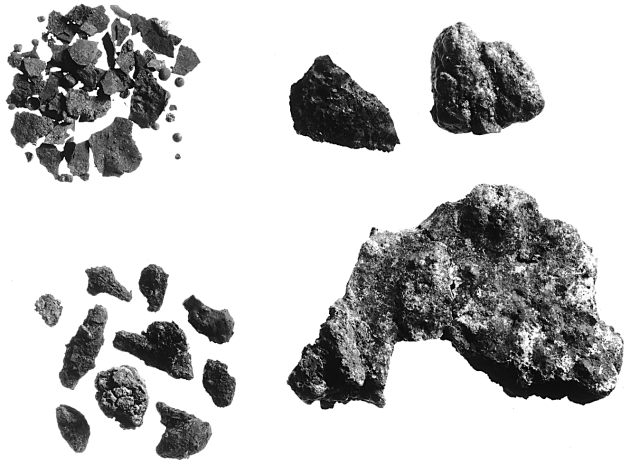


Abb. 146. Römerstr. 213/215. Feld 4. Grube 2. Hammerschlag, Eisen und Schlacken aus Pos. 465.

Die Gruben 1 und 2 mit diversen Pfostenlöchern und evtl. die Feuerstelle mögen somit in einem funktionalen Zusammenhang gestanden haben. Welchem Zweck dienten nun aber die drei Einzelgruben, die Doppelgrube sowie die Feuerstelle?

Deutlich geben die untersten schwarzen Holzkohleschichten, die in allen Gruben nachweisbar waren, und noch deutlicher die dickeren Ablagerungen in Kasten 2, die mit Schlacke und Hammerschlag durchsetzt waren, sowie der feinere Hammerschlag aus Anlage 4 einen Hinweis auf Eisen verarbeitende Tätigkeit (Abb. 131).

Die Ansiedlung eines solchen Handwerkerbetriebes benötigt normalerweise folgende Arbeitsplätze[647]: Ausgangsbasis ist sicherlich der Rennofen, in dem aus Eisenerzen Roheisen gewonnen wird. In einem zweiten Schritt wird der mit Schlacke verunreinigte Eisenklumpen, die Luppe, solange in einem sog. Ausheizherd erhitzt und vom Schmied ausgehämmert, bis sich die Schlacke vom Eisen trennt und ein zur Verarbeitung geeigneter, stark eisenhaltiger Klumpen übrig bleibt, der in Form von Barren weiter verhandelt werden konnte. Dieser wurde letztendlich an der Schmiedeesse zur Verarbeitung erhitzt und hierbei wiederholt in einem Wasserbecken abgeschreckt. Vergleiche für römerzeitliche Rennöfen in der Schweiz kennen wir beispielsweise aus dem Waadtländer Jura und aus Laufen-Müschhag BE[648]. Archäologisch nachweisbar sind diese Öfen, bei denen sich in der Regel der Oberbau nicht erhalten hat, zumeist noch mittels Spuren des Ofenmantels aus Ton, Stein oder Ziegeln oder Resten von Tondüsen; die Grubenwände sind normalerweise grob verschlackt und oft bleibt ein grosser Schlackenklotz auf der Sohle liegen[649]. In Chur GR konnten insgesamt 44 Gruben des 1. Jh. n. Chr. freigelegt werden, die sich als sog. Ausheizherde interpretieren liessen[650]. Die runden bis ovalen Vertiefungen wiesen brandgerötete Grubenwände auf und enthielten in ihrer Einfüllung sowie in ihrer Peripherie sehr viel Schlacke. Ebenfalls aus Graubünden, aus Riom, stammt der Befund von 15 Gruben aus dem 1.–3. Jh. n. Chr. von rundem bis ovalem Durchmesser, die nur zum Teil brandgerötet waren[651]. Neben Schlacken enthielten vier der Gruben Hammerschlag, was ihre Interpretation als Schmiedegruben oder Schmiedeessen unterstützt.

Da unsere Grube 2 eine Holzverschalung aufwies, ist es eher unwahrscheinlich, dass sie einer direkten Feuereinwirkung ausgesetzt war. Dies umso mehr, da sie keine Lehmverkleidung besass und die Wandung zwar teilweise verhärtet, nicht aber brandgerötet war. In ihrem Aufbau direkt vergleichbare Gruben kennen wir in Zusammenhang mit der Eisenverarbeitung als Wasserbehälter, sog. Tauchbecken, in denen das glühende Eisen abgeschreckt wurde. Diese Deutung unterstützt auch der Hammerschlag, der beim Abschrecken des heissen Metalles von dessen Oberfläche absprang. Auf Grund seiner Grösse und Konsistenz ist anzunehmen, dass er sich in situ befand und nicht erst sekundär eingefüllt wurde.

Eine Interpretation als Tauchbecken bestätigen diverse Befunde aus Oberwinterthur und anderen Fundorten. Für folgende Strukturen aus Oberwinterthur, Unteres Bühl, ist eine Funktion als Tauchbecken wahrscheinlich (Abb. 147)[652]: Der im vorderen Raum von Haus 3, nördlich der Hauptstrasse, befindliche rechteckige Kasten zeigt weitere Gemeinsamkeiten mit unserer Grube 2[653]. Zum einen waren zwei der Grubenränder trotz fehlender Brandeinwirkung stark verhär-

---

643 Ohne Pos.; ähnliche Pfostenlöcher in Windisch und Oberwinterthur: Koller/Doswald 1996, 178.

644 Pos. 427: Dm. 13 cm; Pos. 458: Dm. 11 cm; wahrscheinlich standen auch drei weitere Pfostenlöcher in konstruktivem Zusammenhang mit den beiden Werkgruben (Pos. 456; 450; 451).

645 Pos. 422: D. 10 cm.

646 Pos. 423; Pos. 420: D. 4–8 cm.

647 Einen umfassenden Überblick gibt: Grabungstechnik. Erze, Schlacken, Eisen. Einführungskurs zum Studium der frühen Eisenmetallurgie und der Bestimmung der Abfälle dieser Industrie. 2. überarbeitete Ausgabe. ASTFA/VATG (Basel 1997); vgl. auch Serneels 1999, 201–203.

648 Senn in: Ebnöther 1995, 248 (mit Lit.); V. Serneels, Eisenverhüttung und -verarbeitung in der Schweiz zur römischen Zeit. In: Schaltenbrand Obrecht 1996, 218 f.

649 Nauli in: Hochuli-Gysel et al. 1991, 75.

650 Ebd. 67 ff.

651 Rageth 1982, 202–208.

652 Die Publikation der Befunde durch Th. Pauli-Gabi et al. ist in Vorb. (Vitudurum 6). Für zahlreiche Hinweise zu den Befunden im Unteren Bühl möchte ich herzlich danken.

653 Koller/Doswald 1996, 178; Seitenlängen 75 × 55 cm; erh. T. 5 cm; ausserhalb der Eckpunkte vier kleine Pfostenlöcher.

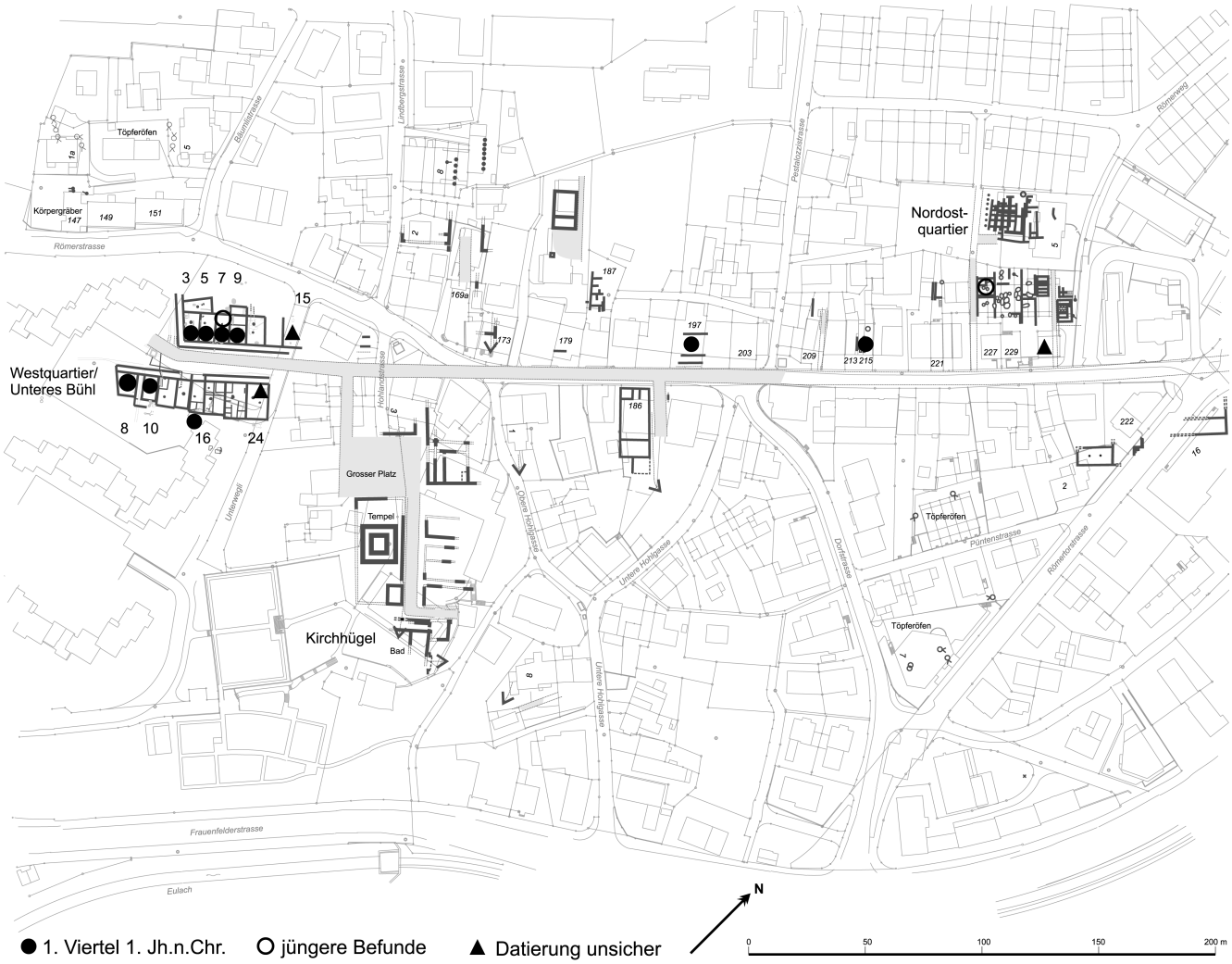


Abb. 147. Oberwinterthur. Übersicht über Spuren des Metall verarbeitenden Handwerks im Vicus.

tet, zum anderen waren auf der Sohle noch Eindrücke von Pföstchen erkennbar. Hammerschlag konnte in der wohl im späten 1. Viertel des 1. Jh. n. Chr. benutzten Grube nicht nachgewiesen werden, dafür wurde das Vorhandensein von Asche, Holzkohle, Schlacken und Eisenresten dokumentiert.

In Haus 15, welches nördlich der Hauptstrasse in der östlichen Peripherie der Ausgrabung Unteres Bühl nur teilweise freigelegt wurde, befanden sich in einem strassenseitigen Gewerberaum zwei Rechteckgruben, deren unterste Verfüllung Holzkohle und Hammerschlag enthielt. Eine Datierung der Anlage ist leider nicht möglich[654]. Südlich der Strasse wies auch Haus 24 eine nicht näher datierbare, mit Hammerschlag verfüllte Grube an seiner Frontseite auf.

Auch in der Südostecke des Grabungsareals Römerstr. 229 konnte ein leider undatiertes, in den gewachsenen Boden eingetieftes Becken freigelegt werden, das mit siltigem Material, Schlacken und Hammerschlag verfüllt war[655]. Es ist anzunehmen, dass sich dieses ebenfalls im vorderen Bereich eines Hauses befand.

Ähnliche Konstruktionen sind auch von anderen Fundstellen bekannt: Eine Befundsituation vom Magdalensberg (A) zeigt mindestens fünf holzverkleidete Becken in Zusammenhang mit Feuerstellen und rotgebrannten Gruben[656]. Aus der ältesten Schmiede von Baden AG (Aquae Helveticae) stammt der Befund eines ehemals holzverschalten, quadratischen Tauchbeckens[657]. Das Sediment auf der Grubensohle war stark mit Hammerschlag durchsetzt. Direkte Feuereinwirkung liess sich nicht nachweisen. Ein ähnlicher Kasten, der sekundär mit Abfallschlacken verfüllt worden war, ist aus Windisch AG bekannt[658].

Auch wenn für unsere Grube 2 eine Deutung als Tauchbecken wahrscheinlich ist, bleibt die Frage nach der Funktion von Becken 1, das, wie wir festgestellt haben, in funktionalem Zusammenhang mit Grube 2 gestanden haben muss, offen. In diesem Becken konnten weder Schlacken noch Hammerschlag nachgewiesen werden.

Nur aus dem Kontext interpretierbar ist die Funktion der Feuerstelle. Auf Grund ihrer Lage in unmittelbarer Nähe des Tauchbeckens bietet sich eine Funktion als Schmiedeesse an. Gut rekonstruierbare Befunde von bodeneben angeordneten Essen kennen wir z. B. aus Baden AG in Form von offenen Feuerstellen mit freistehenden Lehmwänden als Hitzeschilde zum Schutz des Blasebalgs vor zu grosser Hitze und zur Regelung des Luftstromes[659]. Archäologisch nachweisbar sind solche Essen durch Spuren der Hitzschilde, typisches Fundgut sowie durch holzkohle- und schlackenreiche Benutzungsschichten. Den einzigen Hinweis auf eine Interpretation als Esse gibt uns ein die Feuerstelle überlagernder brandiger Lehm, in dem wir aller Wahrscheinlichkeit nach den Versturz eines solchen Hitzeschildes erkennen können. Dass

all die anderen Charakteristika zur Identifizierung fehlen, dürfte noch auf einen anderen Grund zurückzuführen sein, auf den wir weiter unten zu sprechen kommen werden.

Auch die drei eingangs beschriebenen Werkgruben sind in Zusammenhang mit der Metallverarbeitung genutzt worden. Ein Anhaltspunkt hierfür ist ihre einheitliche unterste Einfüllung aus feinen, schwarzen Holzkohleschichten. Sie wiesen weder brandgerötete Grubenwände, noch charakteristisches Fundgut in Form von Schlackenanhäufungen oder Werkzeugen auf. Hammerschlag konnte in der Verfüllung von Grube 4 festgestellt werden; da ansonsten keinerlei Proben genommen wurden, lassen sich zu dem Inhalt der übrigen Anlagen diesbezüglich keine Aussagen machen. Grube 3 ist auf Grund ihrer Holzverschalung am ehesten als Wasserbecken zu interpretieren. Grube 4 war über ihrer obersten siltigen Einfüllung mit einem unregelmässig runden Brandversturz überdeckt, in dem sich Ruten erhalten haben. Die in dieser Füllung vorhandenen Schlackestücke rechtfertigen genauso wenig eine Funktion als Esse wie die Tatsache, dass sich in der Grube selbst weder Schlacken noch Spuren von direkter Feuereinwirkung feststellen liessen. Der Hammerschlag lässt allgemein an eine Nutzung als Schmiedegrube, Ambossstandort oder Tauchbecken denken[660]. Bei der nur im Profil dokumentierten, sehr grossen, flachen Grube 5 könnte man auf Grund ihrer dicken, brandigen Verfüllung an eine Schmiedeesse denken, obwohl weitere bekräftigende Hinweise fehlen. Möglich wäre auch eine Funktion als Holzkohlelager, um den Nachschub für die Schmiedeesse zu gewährleisten[661]. Das einzelne Bronzeblech aus der Grube dürfte wohl kaum ausreichen, einen Zusammenhang mit einer Buntmetallverarbeitung herzustellen (Kat. **2**). Aus Metz (F) kennen wir gut vergleichbare Strukturen aus einer an der Strasse gelegenen Werkstatt der Metallverarbeitung aus dem 3. Jh. n. Chr.[662] Beidseits eines 70 cm breiten Grabens waren eine Esse mit Ambossblock sowie u.a. zwei rechteckige Gruben angeordnet, die ähnliche Grössenverhältnisse wie die aus der Römerstr. 213/215 bekannten Anlagen aufwiesen. Während bei der Grube östlich des Kanals neben ihren Massen lediglich ein auf ihrer Sohle befindliches verbranntes Holzbrett erwähnt wird, finden sich für die westlich des Kanals gelegene Struktur für interpretatorische Zwecke geeignetere Angaben[663]: Auf der Sohle der rechteckigen Grube befanden sich sechs Eichenbretter, darüber eine Füllung aus mit Holzkohle, verbrannten Brocken und Hammerschlag durchmischtem Material. Als Deutung wird u.a. eine Benutzung des Beckens zur Holzkohleherstellung angegeben, wobei man sich auf polnische Vergleichsbefunde bezieht, deren Beckentiefen allerdings grösser sind[664]. Die Anwesenheit von Hammerschlag wird bei dieser Interpretation ausser Acht gelassen.

Etwa 50 cm nördlich der Anlagen 3 und 4 bildete ein Graben mit Pfostenloch eine Trennlinie zu der Doppelgrube

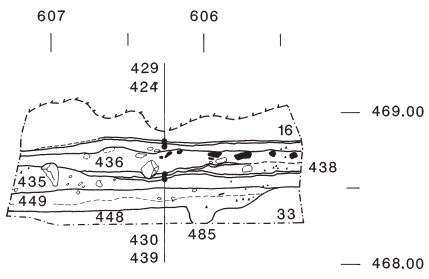


Abb. 148. Römerstr. 213/215. Feld 4. Südprofil. M. 1:50.

(Abb. 130, 148)[665]. Da seine Fortsetzung nach Nordwesten nicht über die Grenze von Feld 4 fassbar war, bleibt sein konstruktiver Zusammenhang unklar. Eventuell hat es sich um einen Balkengraben gehandelt, wofür seine Füllung spricht, die im unteren Teil humoser war und an vergangenes Holz denken lässt. Interessant ist, dass sich mehrfach in Zusammenhang mit Schmiedeessen Balkengräben abzeichnen. Ähnliche nicht deutbare Gräben befanden sich im Vorplatzbereich eines Schmiedeareals im Gutshof von Dietikon ZH[666]. M. Senn nennt als Vergleich zum Teil stark brandgerötete Gräben aus Metz (F), die in unmittelbarem Zusammenhang mit der Eisenverhüttung standen und dort als Feuerstellen gedeutet werden[667]. An derselben Fundstelle wurde in der oben bereits erwähnten jüngeren Phase 2 ein mind. 5,4 m langer und mit 70 cm allerdings doppelt so breiter Kanal angelegt, der beidseitig von Strukturen der Metallverarbeitung umgeben war; genauere Angaben werden leider nicht gemacht[668]. Langrechteckige, holzverschalte Gruben, sog. *fosses coffrées*, die wiederum breiter sind als unser Befund, wurden in Amiens (F) in Eisen verarbeitenden Werkstätten ausgegraben und dort sehr hypothetisch in Zusammenhang mit Leder bzw. Holz gebracht, welches mit dem geschmiedeten Eisen an Ort und Stelle weiterverarbeitet worden sein soll[669].

Bevor wir uns den Fragen nach der topographischen Lage und Datierung der Werkstatt im Areal Römerstr. 213/215 zuwenden, soll an dieser Stelle auf Fundmaterial aus den Planien jüngerer Phasen verwiesen werden, welches unmittelbar in Zusammenhang mit einem Eisen verarbeitenden Handwerk steht: In Phase 2, Südteil, konnte neben 14 Schlackebrocken ein von einer Esse stammender sog. Düsenmund oder Windfang geborgen werden (Abb. 149)[670]. In Phase 3 und 4 befanden sich im selben Areal unter dem Planieschutt Tropfen- und Kalottenschlacken, die ein Gewicht von 2867 g bzw. 8436 g aufwiesen[671]. Unter den Schlacken aus Phase 4 konnte ein Fragment als sog. Pfropfen einer Schmiedeesse identifiziert werden (Abb. 150)[672].

An diesem Punkt angelangt stellt sich die Frage, ob sich der Schmiedebetrieb im Areal Römerstr. 213/215 im Freien

---

654 Freundlicher Hinweis von Th. Pauli.
655 Seitenlänge 65×35 cm; erh. T. 20 cm; vgl. den Beitrag von R. Janke in diesem Band.
656 Straube 1996, 151 Abb. 10–11; 153 f. Abb. 14.
657 Koller/Doswald 1996, 177 f. Abb. 130; Seitenlänge 80 cm; T. 30 cm.
658 Ebd. 178; Seitenlängen 50 x 60 cm; T. 20 cm; C. Doswald in: Meyer-Freuler 1998, 27–29 Abb. 16: Vindonissa Feuerwehrmagazin, Bauphase 2 (bis 25 n. Chr.).
659 Koller/Doswald 1996, 173ff. Abb. 125 (Rekonstruktion); vgl. auch Biberist SO: Schucany 1986, 205ff. Abb. 14; 17.
660 Senn in: Ebnöther 1995, 248.
661 In der Schmiede von Autun (F) werden grosse, flache Gruben als solche identifiziert; Serneels 1999, 208.
662 Leroy et al. 1990, 293 Abb. 5 (Phase 2).
663 Ebd. Grube östlich des Kanals: 1×0,9×0,2 m; Grube westlich des Kanals (Struktur 3): 0,8×0,5×0,1 m.
664 Ebd. 299.
665 Graben Pos. 448: min. L. 1,7 m; max. Br. 34 cm; erh. T. 10 cm; Pfostenloch Pos. 485.
666 Senn in: Ebnöther, 1995, 131 Abb. 181a.
667 Leroy et al. 1990, 292 Abb. 3 (Phase 1); L. 0,8–2,6 m; Br. 0,35–0,4 m; T. 0,1–0,15 m.
668 Ebd. 293 Abb. 5 (Phase 2).
669 L. 1,2–2,35 m; Br. 50–60 cm; Buchez/Serneels 1996, 31 ff.
670 Vgl. Kap. 4.2.2.
671 Vgl. Kap. 4.2.3 bzw. 4.2.4.
672 Vgl. Kap. 4.2.4.

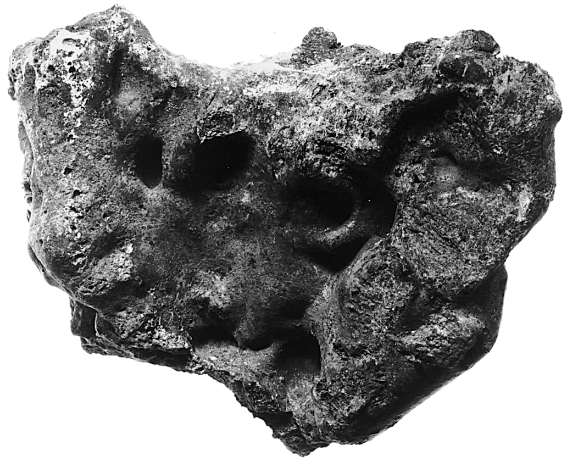


Abb. 149. Römerstr. 213/215. Phase 2. Düsenmund einer Schmiedeesse.



Abb. 150. Römerstr. 213/215. Phase 4. Sog. Pfropfen einer Schmiedeesse. M. 1:1.

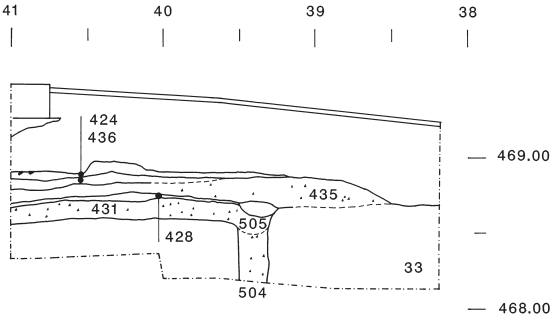


Abb. 151. Römerstr. 213/215. Feld 4. Ostprofil im Kanalisationsgraben. M. 1:50.

befand, eine leichte Überdachung besass oder seinen Standort innerhalb eines Hauses hatte. Neben dem oben genannten mutmasslichen Balkengraben können wir weitere, evtl. konstruktive Pfostenlöcher in Form einer an der Nordostwand von Anlage 4 gelegenen Pfostengrube sowie zwei weiteren nur wenig nördlich von dieser erkennen (Abb. 130)[673]. Ein weiteres Pfostenloch ist in dem Kanalisationsgraben auf dem Hausvorplatz zum Vorschein gekommen (Abb. 151)[674]. Verlängert man die Hausfront des Gebäudes Römerstr. 197 ostwärts, so trifft diese Linie unmittelbar auf die Pfostenstellung von Phase 1. Nimmt man also an, dass sich an dieser Stelle die strassenseitige Hausfront abzeichnete, so müssten sich demzufolge die Werkgruben innerhalb eines Hauses, nämlich in dem zur Hauptstrasse ausgerichteten vorderen Raum befunden haben. Diese Hypothese mag zunächst etwas gewagt klingen, erhält jedoch im Hinblick auf vergleichbare Befundsituationen mehr Gewicht. Wie bereits mehrfach erwähnt, liessen sich im Westquartier des Vicus, dem Unteren Bühl, zahlreiche Werkstätten unterschiedlichster Handwerker lokalisieren (Abb. 147). Südlich der antiken Hauptstrasse bestand eine Schmiedewerkstatt in Haus 10, in Haus 8 und in Haus 24, welche unmittelbar hinter der Portikus gelegen war. Nördlich der Hauptstrasse liessen sich Schmieden in den vorderen Räumen der Häuser 3, 7, 9, 15 und evtl. 5 lokalisieren.

Auch andernorts begegnet eine vergleichbare Aufteilung wie z. B. in Baden AG (ABB), wo der Nachweis von Schmieden in dem auf die Strasse orientierten, vorderen Bereich, gleich hinter der Portikusfassade, gelang. Der rückwärtige Raum war z.T. wohl weniger intensiv als Werkstatt genutzt worden, z.T. befand sich zwischen beiden Werkstattzonen ein Raum, der nur wenige Schmiedeindizien enthielt und in Haus 4 als Wohnraum interpretiert wird[675]. In Zurzach AG, wo eine Schmiede in ähnlicher Ausrichtung bestand, hatte der rückwärtige Wohnraum eine Verbindung zu einem Hof mit gewerblichem Charakter[676]. Auch die Anlage der Schmieden von Amiens (F) mit ihren zur Strasse geöffneten Verkaufsmagazinen unterlag diesem System[677]. Unsere Befundsituation im Areal Römerstr. 213/215 könnte sich in Anlehnung an diese Vergleichsfundorte als Schmiede in einem zur Strasse hin ausgerichteten Gewerberaum interpretieren lassen. Wie wir bereits erwähnt haben, fand im Bereich zwischen Feuerstelle und anschliessendem Pfostenloch ein Schichtenunterbruch statt, was uns wahrscheinlich einen Hinweis auf einen Raumwechsel anzeigt (Abb. 130); geht man von dieser Hypothese aus, so wäre der vordere Raum von der mutmasslichen Fassade bis zum Schichtenunterbruch etwa 8,5 m lang. Nimmt man an, dass während Phase 1 an dieser Stelle eine Hauseinheit gestanden hatte, so erhalten wir eine hypothetische Hauslänge von mind. 16 m und eine Breite von mind. 6 m.

Vor einem Versuch einer chronologischen Einordnung der Schmiede sei auf einige grundlegende Probleme hingewiesen: Naturgemäss fallen im Arbeitsprozess eines Schmiedebetriebes grössere Mengen an Abfall, besonders in Form von Schlacken, Holzkohlen, aber auch Halbfabrikaten und Werkzeugen an, die sich im Befund neben der primären Benutzungsablagerung abzeichnen müssten. Da in unserem Falle aber sowohl eine mächtige deckende Kulturschicht als auch eine deutliche Schlacken- und Abfallkonzentration fehlten, ist davon auszugehen, dass in der räumlich relativ beengten Werkstatt, die sich wie wir annehmen im vorderen, mit Portikus zur Strasse ausgerichteten Teil eines Hauses befunden hatte, alle anfallenden Rückstände ständig aufs Neue ausgeräumt und beseitigt wurden, um den Arbeitsplatz eines oder gar mehrerer Handwerker benutzbar zu halten[678]. Wie es sich nicht nur im Areal Römerstr. 213/215, sondern generell häufig in Grabungsbefunden zeigt, wurden Schlacken zur Entsorgung gerne unter Planiematerial gemischt. Auf Grund dieser fehlenden Indizien resultiert daraus neben einer erschwerten Identifizierung der Strukturen auch das Problem, dass eine potenzielle Mehrphasigkeit für uns nicht mehr rekonstruierbar ist.

Über den zeitlichen Rahmen der handwerklichen Aktivitäten im Areal Römerstr. 213/215 kann man sich auf Grund des geringen Fundmaterials nur eine vage Vorstellung machen: Als Datierungshilfe dient die Randscherbe eines italischen Tellers Consp. 19, die aus der obersten Verfüllung von Grube 5 stammt und als Terminus ante quem die augusteisch-tiberische Zeit anzeigt (Kat. **1**). Interessant ist eine Münze aus der obersten Einfüllung von Grube 1. Der As gehört zur Nemausus-Gruppe, der keine lange Laufzeit attestiert wird und deren Datierung uns somit in eine frühe bauliche Tätigkeit verweist (Kat. **3**).

Am Ende von Phase 1 wurde teilweise eine Brandplanie aus zerhackten, brandgeröteten Lehmstücken eingebracht[679]. Diese erstreckte sich ausgehend von dem Pfostenloch auf dem Vorplatz in Richtung Norden über die Gruben 3 und 4 bis zu dem Balkengraben und überdeckte auch die Anlage 5 noch teilweise (Abb. 132, 134, 139, 143, 151)[680]. In dieser Planie fand sich eine Randscherbe vom Typ Consp. 22, deren Datierungsspanne von kurz vor der Zeitenwende bis in tiberische Zeit recht gut in die augusteische bis tiberische Benutzungszeit der Gruben passt (Kat. **9**)[681].

Am Schluss dieser Ausführungen zu den Werkgruben im Areal Römerstr. 213/215 muss der Frage nachgegangen werden, ob, und wenn ja, wo und wann im Vicus von Vitudurum nachweislich Metall verarbeitende Handwerker tätig waren. Obwohl zahlreiche Beispiele bereits aufgeführt wurden, sollen die wichtigsten Stationen noch einmal zusammengefasst werden (Abb. 147):

Aus dem Unteren Bühl sind diverse Befunde bekannt, die auf dort angesiedelte Schmiedewerkstätten schliessen lassen[682]. Zunächst sind die Indizien südlich der antiken Hauptstrasse zu erwähnen: Eine Struktur in Haus 10 ist wahrscheinlich als Schmiedeesse zu interpretieren, unter deren Fundmaterial sich sehr viel Ofenwandschlacke und ein Düsenmund nachweisen liessen. In unmittelbarer Nähe befand sich ein auf das Gehniveau gesetzter Holzkasten, dessen Funktion nicht geklärt ist. Die Schmiede war sicher während 7–20 n. Chr. in Betrieb. Vielleicht ist eine in Haus 8 gelegene holzverkleidete, mit Lehm und Holzkohle verfüllte Grube, die im 1. Viertel des 1. Jh. n. Chr. benützt wurde, als Tauchbecken zu interpretieren. Stratigraphisch jünger sind eine mit viel Hammerschlag durchsetzte Holzkohleschicht, vereinzelte Schmiedeabfallstücke und einige Schlacken, die daher nicht unmittelbar mit der Grube in Zusammenhang zu bringen sind.[683]

Im Hinterhofbereich von Haus 16 wurden fünf unregelmässig geformte, stark brandgerötete Gruben freigelegt, die in vorrömisches Material eingetieft waren und Schlacke enthielten[684]. Stratigraphisch liegt ihre Datierung vor dem Bau der ersten Häuser im Jahre 7 n. Chr., wobei nicht auszuschliessen ist, dass sie noch während der ersten Gebäudenutzung in Gebrauch standen oder vielleicht sogar erst in der ältesten augusteisch-tiberischen Gebäudephase enstanden sind[685]. Ihre primäre Anlage auf dem Bauplatz hinter dem Haus könnte möglicherweise durch den auf Grund der Bauarbeiten erhöhten Bedarf an Eisengegenständen wie Nägeln und Werkzeugen bestimmt worden sein. Im strassenseitigen Teil von Haus 24 wurde eine nicht näher datierbare Grube aufgedeckt, die Hammerschlag enthielt.

Auch nördlich der antiken Hauptstrasse konnten einige mit der Eisenverarbeitung in Zusammenhang stehende Befundsituationen freigelegt werden: In Haus 9 befanden sich in einem strassenseitigen Gewerberaum spätaugusteischer/tiberischer Zeitstellung mit Holzkohle, Asche und sehr vielen Schlacken verfüllte Gruben sowie ein fragmentierter Düsenziegel, der von einer Esse stammt. In den vorderen Räumen und dem Vorplatz der Häuser 7 und 5 zeichneten sich in einer Kiesrollierung Vertiefungen ab, die mit Holzkohle, Asche und Schlacken verfüllt waren. Diese Strukturen waren während der ersten Phase der Gebäudenutzung in spätaugusteischer bis tiberischer Zeit angelegt worden. Ein in Haus 5 geborgener grosser Bollenstein derselben Zeitstellung kann möglicherweise als Amboss gedeutet werden. In Haus 7 könnte das Fundgut aus einer Schicht auf eine im vorderen Hausbereich während des 2. Viertels des 1. Jh. n. Chr. ansässige Werkstatt der Buntmetallverarbeitung weisen.

Eine leider nur ungenügend dokumentierte Situation stellt sich in Haus 15 dar: In einem strassenseitigen Raum wurden zwei Rechteckgruben freigelegt, deren unterste Einfüllung aus einer 2 cm dicken Schicht aus Holzkohle und Hammerschlag bestanden hat, was eine Deutung als Tauchbecken vermuten lässt. Eine zeitliche Einordnung dieses Befundes ist leider nicht möglich.

Zu guter Letzt sei noch einmal auf das Tauchbecken in Haus 3 hingewiesen, welches wahrscheinlich im späteren 1. Viertel des 1. Jh. n. Chr. funktionsfähig war.

Richtet man sein Augenmerk auf den Vicusbereich westlich der Fundstelle Römerstr. 213/215, so wird man im Areal Römerstr. 197 fündig. In Haus Y, das um 12 n. Chr. erbaut wurde und um 20 n. Chr. bereits abbrannte, fällt eine Grube auf, in deren unmittelbarer Nähe sich weitere Gruben und zwei Feuerstellen befunden hatten[686]. Die Grube, deren Wandung keinerlei Spuren von Hitzeeinwirkung aufwies, enthielt in einer Einfüllung aus feinschichtiger Asche ein aufschlussreiches Fundensemble: Neben nur wenigen eisernen Werkstücken konnte eine Vielzahl an Eisenwerkzeugen geborgen werden, die zur Ausstattung eines Blechschmiedes gehört hatten. Zu nennen sind u. a. eine Blechschere, Meissel, Ambosse, Feilen sowie ein Punzkissen in Form einer runden Bleiplatte mit Eindrücken verschiedener kleiner Objekte[687]. Wo genau die zugehörige Schmiede zu lokalisieren ist, liess sich leider nicht feststellen. Festzuhalten bleibt aber die Tatsache, dass dieser Befund zeitlich annähernd gleichzeitig mit den Gruben der Römerstr. 213/215 ist.

Wenden wir uns nun ausgehend von der Fundstelle Römerstr. 213/215 ostwärts dem nicht allzu weit entfernten Grabungsgebiet an der Römerstr. 227/229 zu[688]. Hier konnte der Nachweis diverser Wohnbauten mit integrierten Werkstätten erbracht werden. In dem Quartier befanden sich ver-

---

673 Pos. 432: Dm. 28 cm; Pos. 433: Dm. 18 cm; Pos. 434: Dm. 24 cm.
674 Pos. 504: Dm. 24 cm.
675 Koller/Doswald 1996, 172f. (Häuser 2 und 4).
676 Doswald in: Hänggi et al. 1994 291 ff.; Hänggi a. a. O. 190 Abb. 139 (Haus VIII).
677 Buchez/Serneels 1996, 36.
678 Selbiges wird für die Schmiede von Autun (F) angenommen; Serneels 1999, 203.
679 Pos. 431; D. 10–20 cm.
680 Bis Lfm. 43,50.
681 Conspectus 90.
682 Für zahlreiche Hinweise möchte ich Ch. Ebnöther und Th. Pauli herzlich danken.
683 Grube: 50 × 60 cm; T. 50 cm; Schaltenbrand Obrecht 1996, 208.
684 Ebd. 208 f. Abb. 211; T. 10–20 cm.
685 Informationen von Th. Pauli.
686 Rychener 1988, 53 Abb. 424–425. 64 (Grube 55).
687 Ebd. Kat. 18–23; 28.
688 Vgl. den Beitrag von R. Janke in Teil III,. Kap. 6; vgl. dazu auch Kap. 1.4 in Teil III.

mutlich zusätzlich eigenständige, gewerblich genutzte Gebäude wie z. B. eine Gerberei sowie einige Lager- und Speicherbauten. Eine Schmiede hat sich wahrscheinlich in dem an einer Stichstrasse gelegenen Haus H befunden, in dessen Inneren mindestens eine Esse freigelegt wurde. Grössere Schlackenkonzentrationen waren auch hier nicht mehr vorhanden. Ein grosser Kalkstein diente möglicherweise als Amboss. In unmittelbarer Nähe von Stein und Feuerstellen zeichnete sich eine langrechteckige Grube ab, die mit 1,2 m Länge und 0,6 m Breite etwas kürzer und doppelt so breit war wie der Graben im Areal Römerstr. 213/215 und sich von daher besser in die Gruppe der sog. *fosses coffrées* aus Amiens (F) einreihen lässt[689]. Die Schmiede war von etwa 50 bis 150 n. Chr. in Betrieb, ist somit jünger als die Anlagen in der Römerstr. 213/215 und wurde nicht gleichzeitig mit diesen betrieben. Interessant für einen Vergleich mit dem Befund an der Römerstr. 213/215 ist eine Grube, die Hammerschlag, Eisen und Schlacken enthielt und daher als Tauchbecken zu interpretieren ist. Obwohl es keine weiteren Informationen zum näheren Umfeld und zur Datierung dieser Struktur gibt, kann man wahrscheinlich davon ausgehen, dass sie sich ebenfalls im vorderen zur Hauptstrasse ausgerichteten Raum eines Hauses befunden hatte und somit in derselben topographischen Tradition stand.

Ein Blick auf die Lokalisierung der Metall verarbeitenden Werkstätten im Vicus zeigt, dass im 1. Viertel des 1. Jh. n. Chr. mindestens sechs Betriebe angesiedelt waren (Abb. 147). Dem Forschungsstand entsprechend spielt hierbei das grossflächig freigelegte Westquartier, das Untere Bühl, eine grosse Rolle. Der einzige datierbare Werkstattbefund in der östlichen Hälfte des Vicus ist die Fundstelle Römerstr. 213/215.

Nordteil: Anlage der Feuerstelle (Abb. 130)

Phase 1 umfasst im Nordteil eine erste auf dem gewachsenen Boden aufliegende Kulturschicht mit zugehörigen Strukturen in Form von Feuerstellen und Pfostenlöchern. Wahrscheinlich unmittelbar vor Phase 1 wurde in Feld 1 eine Grube mit Pfostenlöchern angelegt.

Im Folgenden werden zunächst diese vor Phase 1 zu datierenden Strukturen beschrieben: Es handelt sich um eine längsovale Grube, die in den gewachsenen Boden eingetieft war (Abb. 130, 152)[690]; eine zugehörige Kulturschicht liess sich nicht feststellen. Auf der Grubensohle, vornehmlich an ihrer nördlichen Schmalseite, befanden sich Spuren von Holz und ein grosser Granitstein in den untersten humosen Verfüllschichten[691]. Dieser Horizont barg neben einer Randscherbe vom Typ Drack 21 (Kat. **5**) zwei Wandscherben derselben Form, z.T. verbrannt, sowie zwei Fragmente von Töpfen, einige wenige Eisenobjekte, fünf Schlackebrocken (G. 195 g) und teilweise verrusste Knochen. Über diesem humosen Material, partiell durch ein dünnes Holzkohleband abgesetzt, lag eine lehmige, brandgerötete Schicht, welche einheitlich von einer Auffüllung umgelagerten, brandgeröteten Lehms überdeckt wurde[692]. Es stellt sich die Frage nach der Funktion der Grube. Wie die aschige, mit Holzkohle durchsetzte, unterste Füllung mit ihren z.T. verbrannten Funden sowie die darüber folgenden brandigen Lehmschichten nahe legen, handelte es sich wahrscheinlich um eine Brandgrube. Diese Interpretation wird dadurch bekräftigt, dass sie in ihrem obersten Teil mit umgelagertem Brandschutt verfüllt und unmittelbar darüber die erste Feuerstelle der Phase 1 angelegt wurde.

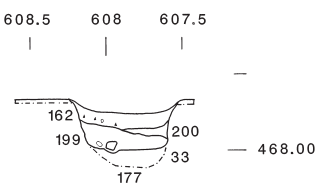


Abb. 152. Römerstr. 213/215. Feld 1. Grube Pos. 177. Südprofil auf Achse 52,00 m. M. 1:50.

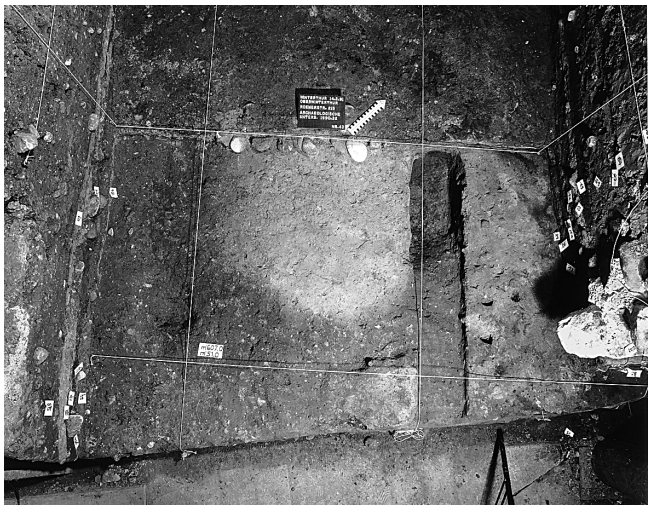


Abb. 153. Römerstr. 213/215. Feld 1. Feuerstelle Pos. 158. Ansicht von Süden.

Die eigentliche Phase 1 befand sich mit Ausnahme des Bereichs über der Brandgrube unmittelbar auf dem gewachsenen Boden. Eine Benutzungsablagerung war ausschliesslich in Feld 1 und im Nordprofil des Erdkellers fassbar[693]. In Feld 1 wurde eine Feuerstelle freigelegt, die einen gerundet rechteckigen Querschnitt mit Seitenlängen von ca. 1,4 × 1,1 m besass (Abb. 130, 153)[694]. Sie war für uns nur noch in Form einer Schicht weichen, unverziegelten, brandroten Lehms fassbar, da ihre Oberfläche im Zuge einer Erneuerung in Phase 2 abgetragen worden war. Nur im Nordprofil von Feld 1 und damit nicht in ihrer Gesamtausdehnung erkennbar war eine zweite Feuerstelle von etwa 1,4 m Länge aus hartem Lehm mit verziegelter Oberfläche und zugehörigem Pfostenloch (Abb. 154)[695]. Weiterhin zeichneten sich in Feld 1 mehrere, zumeist kleine Pfostenlöcher, z.T. mit Holzresten, ab, die möglicherweise in Zusammenhang mit der Feuerstelle gestanden hatten[696]. Eine grosse runde Vertiefung mit Resten eines Holzständers kann wahrscheinlich als konstruktive Pfostengrube interpretiert werden[697]. Bei zwei Befundsituationen ist nicht eindeutig zu entscheiden, ob es sich um Störungen oder Pfostengruben gehandelt hat[698]. Eine weitere Struktur, die Reste eines Holzständers enthielt, befand sich in der im Profil aufgenommenen, südwestlichen Verlängerung von Feld 1 (Abb. 155). Das Pfostenloch lag unter der Kulturschicht der Phase 2 und dürfte somit zu Phase 1 gehören[699]. Dieselbe stratigraphische Situation gilt für ein ebenfalls ohne jeden baulichen Zusammenhang isoliert stehendes, kleines Pfostenloch im Ostprofil von Feld 2[700].

Eine Datierung der Phase 1 ist im Nordteil anhand des wenig aussagekräftigen Fundmaterials aus der Kulturschicht nicht durchzuführen. Neben einer Schüssel vom Typ Drack 21 mit eher früher Randausbildung wurden lediglich eine gebrauchskeramische Schüssel und ein Eisenfragment geborgen (Kat. **6–7**)[701]. Als Terminus ante quem mag die Datierung

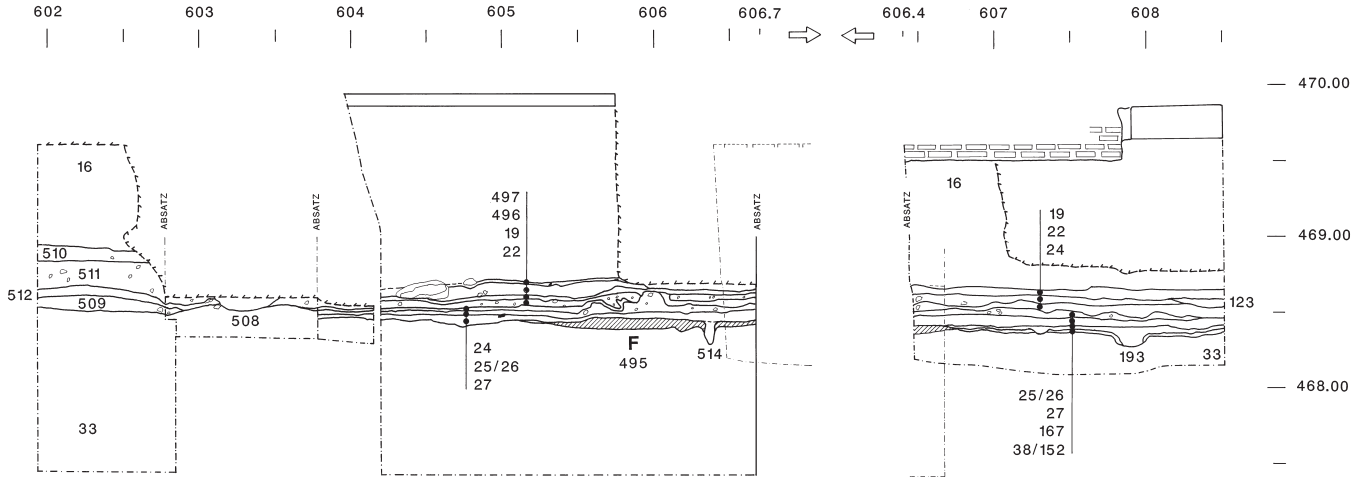


Abb. 154. Römerstr. 213/215. Feld 1. Nordprofil. M. 1:50.

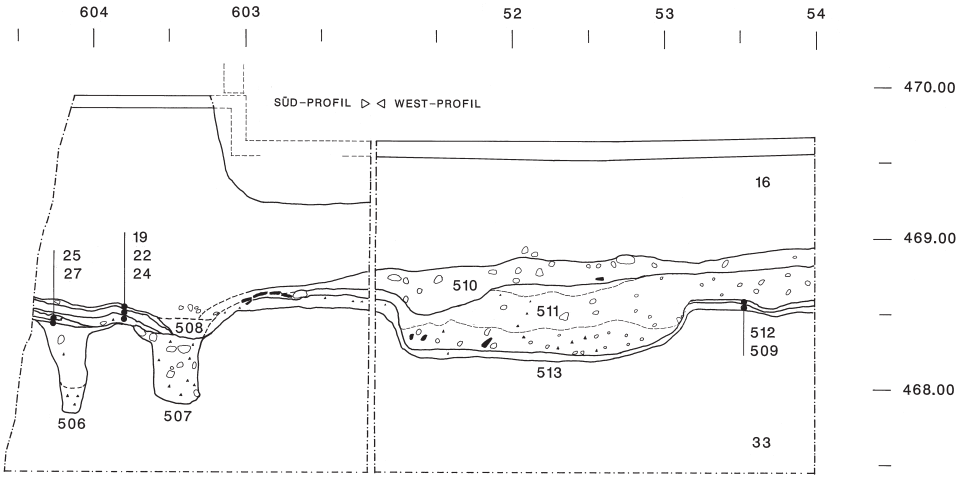


Abb. 155. Römerstr. 213/215. Feld 1. Erweiterung Süd- und Westprofil. M. 1:50.

von Phase 2 gelten, die in etwa in claudische Zeit verweist. Obwohl Fundgut, das auf eine vorclaudische Besiedlung hinweist, fehlt, ist es möglich, dass die Anlage der ersten Feuerstelle mit peripherer Benutzungsablagerung gleichzeitig mit der Anlage der Gruben im sog. Südteil erfolgte und wir somit zwei Räume eines Hausgrundrisses unterscheiden könnten (Abb. 130). Wie bereits erwähnt hätte dieses Gebäude die minimalen Ausmasse von 16 m Länge und 6 m Breite gehabt[702].

4.2.2 Phase 2 – Erneuerung der Feuerstelle (Abb. 156)

Südteil: Aufplanierungen

Phase 2 bezeichnet den Horizont, der über der Brandplanie von Phase 1 und der Aufplanierung einiger älterer Strukturen folgte. Über den Planien war die älteste fassbare flächendeckende Kulturschicht vorhanden.

Der Südteil des Grabungsareals wurde am Ende von Phase 1 teilweise mit einer Brandplanie versehen[703]. Diese überdeckte in dem zur Strasse verlaufenden Kanalisationsgraben ein Pfostenloch der Phase 1 und reichte ausgehend

689 Buchez/Serneels 1996, 35 Abb. 54–55; vgl. dazu den Beitrag von R. Janke in Kap. 6.6.1.
690 Pos. 177 (auf dem Übersichtsplan gepunktet angegeben): L. 1,8 m; Br. 50–60 cm; T. 30 cm.
691 Pos. 199: D. 20 cm; sandig, aschig und mit Holzkohle durchsetzt.
692 Pos. 183: D. 0,3–0,5 cm; Pos. 200: D. 4–6 cm; Pos. 162: D. 6–10 cm. Als zugehörige Strukturen können ein Pfostenloch innerhalb der Grubenwestwand, ein weiteres vor der Grubenostwand sowie evtl. vier weitere in der Peripherie gelten: Pos. 204, Pos. 202; Pos. 178/190/180/190.
693 Pos. 152/153/38: D. 2–4 cm; dunkelbraun, mit viel Holzkohle durchsetzt.
694 Pos. 158; auf den Übersichtsplänen sind jeweils die Umrisse sämtlicher Feuerstellen eingezeichnet.
695 Pos. 495: D. 5 cm; Pfostenloch Pos. 514.
696 Pos. 160/161/185/190.
697 Pos. 171: Dm. 30 cm; T. 30 cm.
698 Pos. 193; 188.
699 Pos. 506: Br. 25 cm; T. 52 cm.
700 Pos. 416.
701 Rychener/Albertin 1986, 76 f. Abb. 82, A.
702 Vgl. die Ausführungen zu Kap. 4.2.1.
703 Pos. 431: D. 10–20 cm.

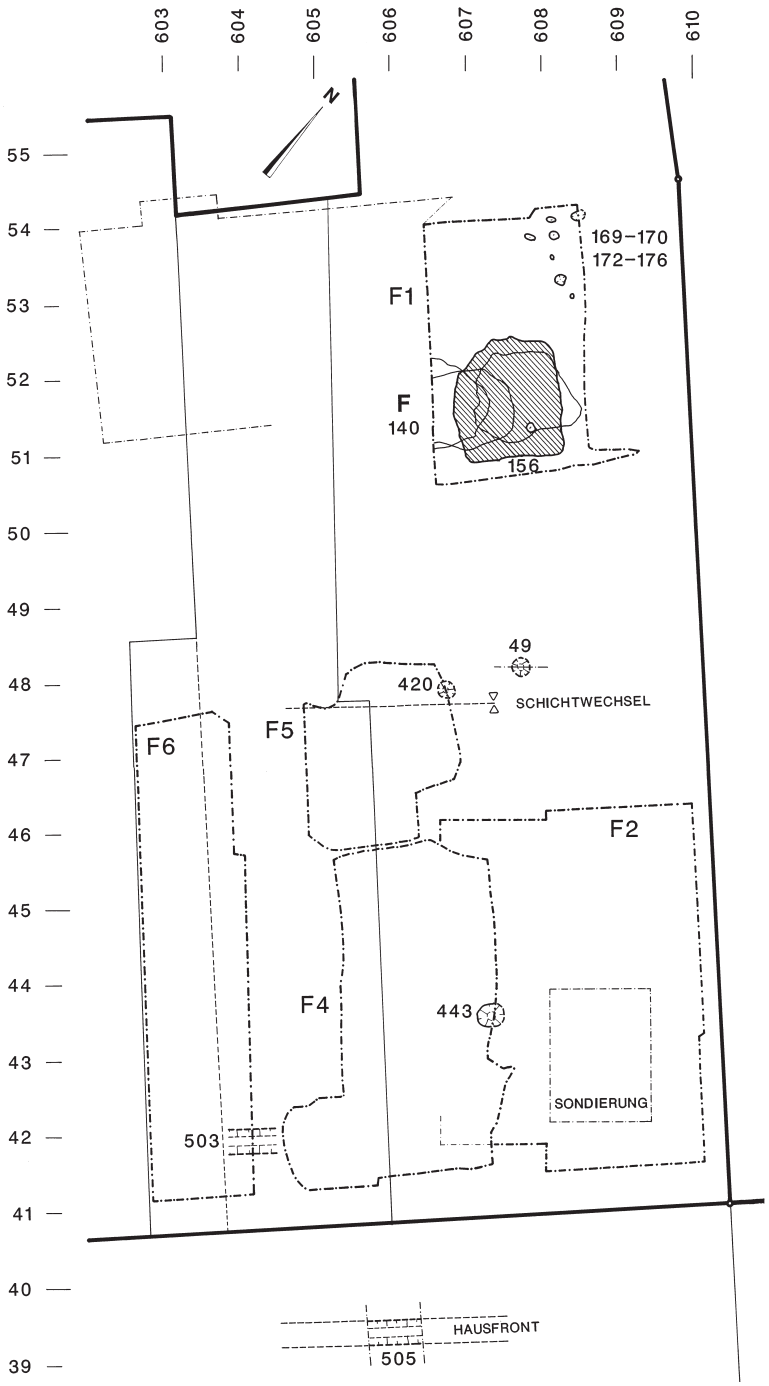


Abb. 156. Römerstr. 213/215. Phase 2. Übersicht Strukturen. M. 1:100.

von diesem in Richtung Nordwesten bis an den Balkengraben, wobei sie sämtliche Strukturen in diesem Bereich, einschliesslich der beiden Gruben 3 und 4, überlagerte (Abb. 132, 134, 143, 151)[704]. Auch in dem Kanalisationsgraben in Feld 6 bedeckte sie teilweise die Grube 5 (Abb. 139). Wahrscheinlich ist ein, in der kleinen Sondiergrube in Feld 2 auf dem gewachsenen Boden festgestellter Brandhorizont identisch mit dieser Planie[705]. Andere Strukturen, wie der Balkengraben und das Pfostenloch, wurden mit einem zum Teil brandgeröteten Lehm, der vergangenes Holz und nur wenig Holzkohle enthielt, im Sinne einer flickigen Aufplanierung begehbar gemacht[706]. Die Felder 4, 5 und 6 überzog eine Kulturschicht, die einerseits direkt die in den gewachsenen Boden eingetieften Strukturen überlagerte, andererseits auch über der partiellen lehmigen Aufplanierung lag[707]. Der Benutzungshorizont war ebenfalls in dem zur Strasse verlaufenden Kanalisationsgraben feststellbar, wo er die Brandplanie überzog. An Strukturen waren in dieser Kulturschicht eine in dem Kanalisationsgraben über dem Pfostenloch befindliche Vertiefung, die wahrscheinlich als Balkengraben zu interpretieren ist, ein potenzieller Balkengraben im Westprofil von Feld 6 und ein am Nordostrand von Feld 4 gelegenes Pfostenloch sowie einige Pfosten von z.T. unsicherer Zeitstellung nachweisbar (Abb. 151, 156)[708]. Wahrscheinlich gibt uns der Balkengraben, wie bereits das zu Phase 1 gehörige Pfostenloch an derselben Stelle, einen Hinweis auf die strassenseitige Hausfassade. Da sich etwa bei Lfm. 47,00 ein Schichtenwechsel abzeichnet, lässt sich eine hypothetische Länge eines zur Strasse ausgerichteten vorderen Raums von etwa 8,2 m rekonstruieren.

Zur Datierung von Phase 2 im Südteil lassen sich leider nur wenige Fundstücke heranziehen. Aus dem Brandschutt wurde die Randscherbe eines italischen Sigillata-Schälchens geborgen, das einen Terminus post quem für Phase 2 von spätaugusteischer bis in frühtiberische Zeit liefert (Kat. **9**)[709]. Interessant ist ferner ein Schlackebrocken, der als Ofenelement, genauer als Düsenmund – «einem Bestandteil des hinter dem Blasbalg befindlichen Hitzeschilds einer Esse» – anzusprechen ist (Abb. 149)[710]. Vergleichbare Formen kennen wir beispielsweise aus Dietikon ZH, Baden AG, Zurzach AG und Haithabu (D)[711]. Aus der flickigen Planierung wurden mit Ausnahme eines Bronzefragments keinerlei Funde gemacht. Die Kulturschicht selbst enthielt neben fünf stark korrodierten Eisenobjekten und 14 Schlackebrocken lediglich die Wandscherbe eines rädchenverzierten Topfes, die sich zeitlich nicht genau eingrenzen lässt (Kat. **11**). Geht man allerdings davon aus, dass ein bis in tiberische Zeit zu datierendes Fragment aus dem Brandschutt stammt und die nachfolgende Phase 3 in claudisch-neronische Zeit zu datieren ist, so erhält man als chronologischen Anhaltspunkt für Phase 2 den Zeitraum von tiberischer bis claudischer Zeit.

Nordteil: Erneuerung der Feuerstelle

Phase 2 umfasst eine Kulturschicht, die von der älteren Benutzungsablagerung durch eine partielle Planie getrennt wurde sowie einige sich in dieser abzeichnenden Strukturen in Form einer Feuerstelle und diverser Pfostenlöcher (Abb. 156).

Mit Phase 2 wurden in Feld 1 flickige, lehmige Aufplanierungen eingebracht, zwischen denen sich eine Benutzungsablagerung befand (Abb. 154)[712]. Mit den Planierungen ist hier ein erstes Gehniveau der Phase 2 fassbar. Über diesem lagerte sich alsbald eine weitere Kulturschicht ab, welche die Planierungen und die erste Benutzungsablagerung überdeckte[713].

An Strukturen ist eine in Feld 1 freigelegte Feuerstelle zu nennen (Abb. 156–157)[714]. In die entfernte Oberfläche der älteren Feuerstelle der Phase 1 wurde zunächst eine rechteckige Steinrollierung aus ungeordnet verlegtem Kies von 1,2 × 1,3 m Seitenlänge verlegt[715]. Über dieser befand sich die eigentliche Feuerstelle, die mit 1,4 m Seitenlänge annähernd quadratisch war und eine harte, brandschwarze Oberfläche aus teilweise verziegeltem Lehm aufwies. An ihrem Nordostrand zeichneten sich vier Steinnegative ab, die evtl. auf eine ehemalige Steinumrandung hinweisen.



Abb. 157. Römerstr. 213/215. Feld 1. Feuerstelle Pos. 140. Ansicht von Südosten.

Wohl gleichzeitig ist ein Pfostenloch, das sich in der Nordhälfte der Feuerstelle befand und von drei Keilsteinen umgeben war[716]. An weiteren Strukturen sind sieben Pfostenlöcher zu nennen, die sich in der Nordecke von Feld 1 abzeichneten[717].

Eventuell auch zu Phase 2 gehörig ist ein Pfostenloch, das im Südprofil des Erdkellers unter der Planie, die mit Phase 3 eingebracht wurde, in dem gewachsenen Boden sichtbar war[718].

Einer Datierung von Phase 2 im Nordteil sind glücklicherweise mehrere Funde aus der oberen Benutzungsablagerung behilflich (Kat. **12–20**). Das älteste Stück begegnet uns in Form eines italischen Sigillata-Tellers Consp. 18, der in spätaugusteische bis frühtiberische Zeit datiert werden kann (Kat. **13**)[719]. Neben jeweils einer Schale der Typen Drag. 24 und 27 ist die Bodenscherbe eines gelblich glasierten Gefässes, das wahrscheinlich in Mittelgallien in der 1. Hälfte des 1. Jh. n. Chr. gefertigt wurde, von Interesse (Kat. **14–16, 18**)[720].

Die obigen Funde ermöglichen eine Datierung von Phase 2 etwa in claudische Zeit.

Gebäudeunterteilungen waren für Phase 2 nicht nachweisbar. Möglicherweise befanden sich diese aber an derselben Stelle wie in Phase 1, da die Schichten weder nord- noch südwärts des Pfostenlochs im Bereich Lfm. 48,00 korrelierbar waren[721].

4.2.3 Phase 3 – Zweite Erneuerung der Feuerstelle (Abb. 158)

Phase 3 beginnt im Süd- und im Nordteil einheitlich mit einer flächigen, siltigen Grobplanie und umfasst sämtliche Schichten und Strukturen unter der jüngeren, nächstfolgenden Planie.

---

704 Pfostenloch Pos. 504; Balkengraben Pos. 448.
705 Pos. 207.
706 Pos. 449; Pos. 485.
707 Pos. 428: D. 2–4 cm; dunkelgrauer, feiner Silt, mit viel Holzkohle und z.T. mit Brandrötungsknöllchen durchsetzt.
708 Balkengräben Pos. 503; 505; Pfostenlöcher Pos. 420; 416; 443.
709 Conspectus 90.
710 Senn in: Ebnöther 1995, 247 Abb. 315, 4–5.
711 Dietikon: Senn a.a.O.; Baden: Koller/Doswald 1996, 175 f. Abb. 126–127; Zurzach: Doswald in: Hänggi et al. 1994, 291 f. Abb. 203; Haithabu: Westphalen 1989, 18 Taf. 3.
712 Pos. 167/164/163/154; D. 5–6 cm; Kulturschicht Pos. 29.
713 Pos. 27/28; D. 2–6 cm; humos, fein, mit Holzkohle durchsetzt; die Ausdehnung der Kulturschicht umfasste flächig Feld 1, setzte sich in den Profilen in südwestlicher Richtung bis Lfm. 603,80 fort und reichte in Feld 1 bis an die Grabungsgrenzen.
714 Pos. 140.
715 Pos. 141.
716 Pos. 156.
717 Pos. 169; 170; 172; 173; 174; 175; 176.
718 Pos. 49: Dm. 22 cm; T. 45 cm.
719 Consp. 82; Ettlinger 1983, Taf. 20,5.
720 Zur bleiglasierten Keramik vgl.: Hochuli-Gysel et al. 1986, 91–93; Greene 1979, 86–105; ders. 1978, 31–61; Arthur 1978, 293–357; Hochuli-Gysel 1998, 65 ff. Von 300 bleiglasierten Fragmenten aus Oberwinterthur, Unteres Bühl, wurden über 90% aus Mittelgallien importiert; Form vgl. Desbat 1986, Taf. 8,7 (Fuss von Kantharos Déch. 59).
721 Pos. 420.

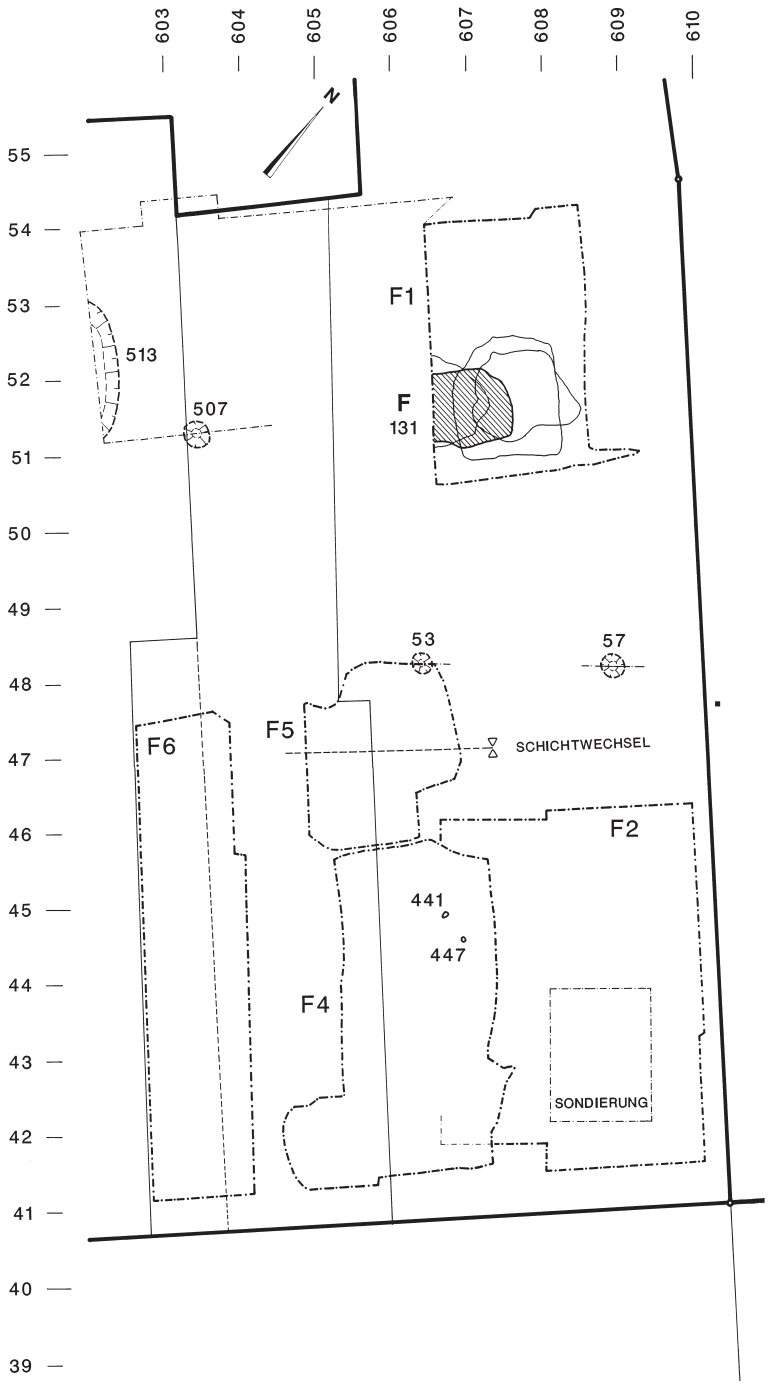


Abb. 158. Römerstr. 213/215. Phase 3. Übersicht Strukturen. M. 1:100.

Südteil: Aufplanierungen und Gehniveau

Mit Phase 3 wurde eine Planie aus grauem, leicht sandig-kiesigem Silt eingebracht[722]. Darauf wurden partiell Zwischenplanien aufgetragen wie z. B. eine kiesige Auffüllung über der Vertiefung von Grube 5 in Feld 6 (Abb. 139)[723]. Teilweise fassbar war in Feld 4 ein erstes Gehniveau bestehend aus einer feinen, humosen Schicht, die als vergangenes Holz mit brandiger Oberfläche beschrieben wird[724]. Dieser Boden wurde mittels örtlicher Aufplanierungen aus grauem kiesigem Silt erneuert (Abb. 132, 134, 139, 143)[725]. Auf diesem Horizont lag ein zweites grossflächig fassbares Gehniveau aus einer sehr dünnen Schicht rotbraunen, feinen, humosen Siltes[726]. Da die Holzkohleflecken keine einheitliche Faserung besassen, kann es sich nicht um einen Bretterboden gehandelt haben, sondern eher um einen lose ausgestreuten und nach und nach festgetretenen Gehhorizont aus Holzabfall. Seine zum Teil verkrustete Oberfläche könnte auf eine Brandeinwirkung hinweisen[727]. Vergleichbare Gehniveaus aus Holzschnipseln, Holzmoder und Torf kennen wir aus Oberwinterthur von den Fundstellen Römerstr. 197, 186 und 209[728]. Die Ausdehnung dieses Bodens in den Feldern 4 und 6 reichte im Süden bis an die Grabungsgrenze, im Norden war sie noch in der Sondierung von Feld 2 feststellbar[729]. In Feld 4 erfuhr der Boden eine nördliche Begrenzung etwa bei Lfm. 45,00, was als Raumunterteilung zu interpretieren ist (Abb. 143)[730]. Auch die zu Beginn von Phase 4 eingebrachte Planie lief, wie im Nordprofil erkennbar, in Feld 5 bei Lfm. 47,00 aus (Abb. 143). In Feld 5 war ausser der Planie nur noch ein Teil der örtlichen Aufplanierung zu erkennen, der

Holzboden war in diesem Bereich nicht mehr nachzuweisen. Die einzigen Strukturen von Phase 3 liegen uns in Form zweier kleiner Pfostenlöcher in Feld 4 vor[731].

Zur Datierung von Phase 3 gibt uns leider nur das Fundmaterial aus den Planien hinreichend Aufschluss (Kat. **21–34**): Aus diesen stammen zahlreiche Fragmente von südgallischen Schüsseln der Form Drag. 29, die einheitlich in claudische bis neronische Zeit zu datieren sind (Kat. **21–22**). Als Planiefunde für chronologische Aspekte belanglos sind eine Münze, ein halbierter As des Octavianus, 38–36 v. Chr. (Kat. **33**) sowie ein As des Tiberius für Divus Augustus, der in Rom um 22/23–30 n. Chr. geprägt wurde (Kat. **34**). Interessant sind zwei Randscherben, die eine Nachahmung der Drackschen Form 9 darzustellen scheinen (Kat. **26**).

Ohne chronologische Aussagekraft, aber dennoch erwähnenswert, sind zahlreiche, stark korrodierte Eisenobjekte, zumeist Nägel und insgesamt 2867 g Schmiedeschlacken. Möglicherweise stammen diese aus einem Schmiedebetrieb, der in nachclaudischer Zeit in einem benachbarten Gebäude wieder aufgenommen wurde.

Aus den Benutzungsablagerungen der Holzböden selbst wurden nur Eisenobjekte und wenig Schlacke geborgen (Kat. **35**). Als Terminus post quem für die Datierung der Phase 3 gelten somit die Funde aus den Planieschichten, deren Datierung die claudisch-neronische Zeit umfasst.

Nordteil: Die zweite Erneuerung der Feuerstelle

Auch im Nordteil wurde mit Phase 3 zunächst eine nahezu flächendeckende graue, siltig-sandige Planie eingebracht, auf der sich die Benutzungsablagerung gebildet hatte[732]. Wie bereits erwähnt, vollzog sich in Feld 5 zwischen Lfm. 45,00 und 47,00 ein Schichtenwechsel (Abb. 158)[733]. Nördlich an die hier endende Planie des Südteils grenzte die Kulturschicht von Phase 3 des Nordteils. Leider war die Fläche in Feld 5 zum Teil gestört, so dass sich der Schichtenwechsel nur auf einem sehr kleinen Abschnitt zu erkennen gab[734]. Planie und Kulturschicht überlagerten an dieser Stelle das zur Feuerstelle Pos. 422 der Phase 1 oder 2 gehörige Pfostenloch und stiessen an die die Feuerstelle überdeckende Brandschicht, die wir als verstürzten Hitzeschild einer Esse interpretiert haben (Abb. 143)[735].

Dieser Benutzungshorizont war weiterhin in dem flächig freigelegten Teil von Feld 1, in den Profilen des Erdkellers und im Ostprofil von Feld 2 nachweisbar[736]. Im Ost- und teilweise auch im Südprofil des Erdkellers kam die Kulturschicht direkt auf der älteren Benutzung zu liegen.

Leider weniger eindeutig war die stratigraphische Situation in den Profilen der südwestlichen Erweiterung von Feld 1 (Abb. 154–155): Die auf der Planie befindliche Kulturschicht lief hier deutlich bei Lfm. 603,60 aus; dort wurde sie bei Anlage eines Balkengrabens in einer jüngeren Bauphase unterbrochen und nahm laut Südprofil Bezug auf eine Pfostengrube[737]. Jenseits des Pfostens und des jüngeren Balkengrabens war direkt auf dem gewachsenen Boden eine Kulturschicht erkennbar, die einen Rindenhorizont in ihrer Mitte einschloss[738]. Wie das Westprofil zeigt, hatte sich diese in eine Grube eingesenkt, die sekundär aufplaniert wurde und war Benutzungsablagerung und Verfüllung zugleich (Abb. 155)[739]. Leider ist die bereits nach Abschluss der letzten Grabungskampagne aufgenommene Dokumentation dieses Profils unter grossem Zeitdruck entstanden, so dass es weder möglich ist, genauere Interpretationen abzuleiten, noch diesen Bereich mit dem nordöstlich anschliessenden Grabungsareal zu korrelieren.

An weiteren Strukturen ist eine in Feld 1 freigelegte Feuerstelle zu nennen (Abb. 158–159)[740]. In ihrer Orientierung weicht sie von ihrer Vorgängerfeuerstelle leicht ab, indem sie



Abb. 159. Römerstr. 213/215. Feld 1. Feuerstelle Pos. 131. Ansicht von Südosten.

722 Pos. 435: D. 10–14 cm; mit Holzkohle durchsetzt.
723 Pos. 492.
724 Pos. 439.
725 Pos. 438, 425: D. 5 cm; mit wenig Brandrötungsknöllchen und wenig Holzkohle durchmischt.
726 Pos. 430/146: H. 468,7 m ü. M.
727 Es konnte jedoch auf der Grabung nicht definitiv entschieden werden, ob es sich um vergangenes oder verbranntes Holz gehandelt hat.
728 Rychener 1988, 49 (Schicht 112); Rychener/Albertin 1986, 24 (Schicht 102); zu Römerstr. 209 vgl. die Ausführungen zu Phase 2b in Kap. 3.3.3.
729 Bis Lfm. 608,60.
730 In den Profilen bei Lfm. 44,60–80, in der Fläche bis zu Lfm. 45,00.
731 Pos. 441 und Pos. 447; in Feld 4 ist ferner eine Störung fassbar (Pos. 426).
732 Planie Pos. 25/26/48/50/415: D. 5–7 cm; Kulturschicht Pos. 24/124: D. 5–10 cm; dunkelbraun bis schwarz, humos, fett, mit viel Holzkohle und wenig Brandrötungsknöllchen durchsetzt; H. 468,5 m ü. M.
733 Der Holzboden endet bei Lfm. 45,00, die Planie bei Lfm. 47,00.
734 Feld 5; Pos. 435/24/25/26.
735 Pos. 423.
736 Östlich bis auf Lfm. 43,70.
737 Pos. 507: Br. 35 cm; T. 50 cm.
738 Pos. 509: D. 10 cm.
739 Grube Pos. 513: L. 2 m; T. 30 cm.
740 Pos. 131.

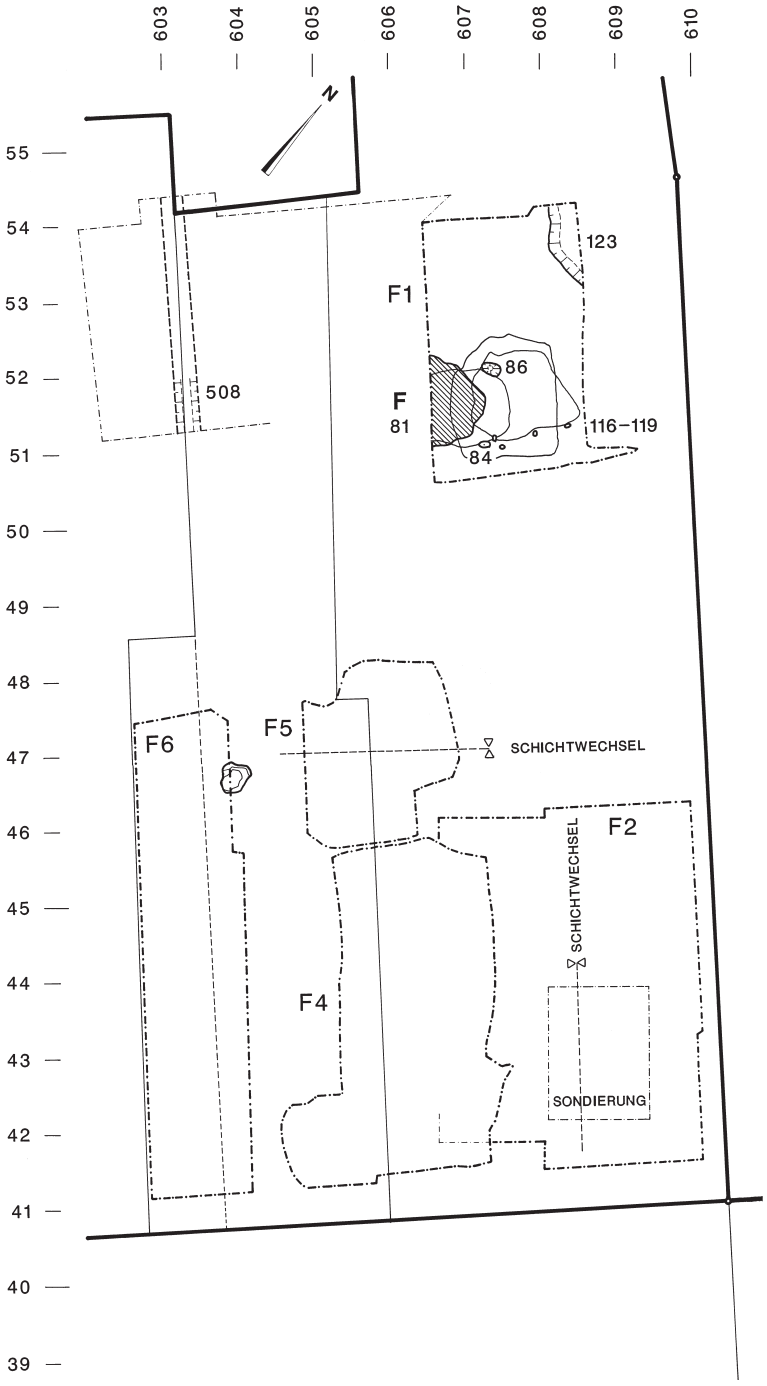


Abb. 160. Römerstr. 213/215. Phase 4. Übersicht Strukturen. M. 1:100.

weiter nach Südwesten verschoben ist. Im Zuge einer Erneuerung wurde zunächst eine Steinrollierung aus ungeordneten Kieseln verlegt. Auf diesem Unterbau befand sich die Brandfläche aus brandgerötetem, verziegeltem Lehm. Die Feuerstelle konnte in ihrer Ausdehnung nicht vollständig erfasst werden, da sie sich über die Grenzen von Feld 1 ausdehnte. Ihre Form war unregelmässig, rund bis oval, mit 1 m Breite und einer erhaltenen Länge von 1,2 m. Saumartig umgab sie ein Lehmkranz mit einem Durchmesser von 2,2 m, der als Erweiterung fungierte[741].

Weitere Strukturen der Phase 3 sind ein Pfostenloch im Südprofil des Erdkellers sowie im selben Profil eine Vertiefung, deren Interpretation nicht eindeutig ist[742].

An Datierungsanhaltspunkten lassen sich für die Phase 3 Funde aus der Planie und aus der Kulturschicht anführen (Kat. **36–47**). Aus der Planie stammen fünf südgallische Schalen der Formen Hofheim 8 und Drag. 24 und 27 (Kat. **36–38**). Interessant ist die Wandscherbe einer helltonigen Schüssel vom Typ Drack 21 mit orangefarbenem Überzug, die eine Verzierung aus flächig aufgetragenen Kreispunzen trägt (Kat. **39**). Eine ähnliche Knickschale, allerdings mit abweichender Randbildung, stammt aus Kempten und gehört wahrscheinlich in die spät- bis nachflavische Periode 4[743]. Eine frühkaiserzeitliche Form aus der 1. Hälfte des 1. Jh. n. Chr. liegt in der Randscherbe einer Reibschüssel mit vertikalem Kragenrand vor (Kat. **42**)[744].

Aus der Kulturschicht sind ein hell- und ein grautoniger Teller der Terra-Sigillata-Imitation vom Typ Drack 2 sowie ein Schälchen mit Sandbewurf erwähnenswert (Kat. **43–44, 46**). Aus dem die Feuerstelle umgebenden Lehmkranz wur-

den Fragmente eines feinen Schälchens mit Schlickauftrag geborgen (Kat. **48**). Nach K. Greene wurden diese helltonigen Schälchen mit dunkelbraunem Überzug in Lyon hergestellt und besonders ab 40 n. Chr. in die Nordwestprovinzen des Römischen Reichs exportiert[745]. Da einige Fundstellen bereits einen früheren Import vermuten lassen, ist Greenes Zeitansatz wahrscheinlich etwas zu spät geraten[746]. Ob es sich zumindest bei den helltonigen, sog. begriessten Schälchen unbedingt um Importstücke handeln muss, könnten zahlreiche sekundär verbrannte Fragmente aus Eschenz TG sowie jüngst gemachte Töpfereifunde aus Bertschikon ZH in Frage stellen[747]. Als Modeform sind die feinen mit Sandbewurf oder Schlickauftrag versehenen Schälchen in unseren Breiten jedoch besonders in tiberisch-claudischer Zeit zahlreich vertreten und bis in flavische Zeit nachweisbar.

Anhand des Fundmaterials lässt sich die Phase 3 im Nordteil in die claudische bis neronische Zeit datieren und entspricht somit der Phase 3 des Südteils.

Die Datierung und die stratigraphischen Verhältnisse lassen für Phase 3 eine zusammenhängende Bauplanung annehmen. Obwohl konstruktive Elemente besonders im Südteil fehlen, ist ein gemeinsamer Hausgrundriss mit mindestens einer Raumteilung bei Lfm. 47,00 anzunehmen, wobei das Gehniveau im Südteil um bis zu 23 cm höher gelegen war. Angaben zu Hauslänge und -breite sind keine zu treffen.

4.2.4 Phase 4 – Letzte Erneuerung der Feuerstelle (Abb. 160)

Mit Phase 4 wurden Planien eingebracht, im Südteil partiell, im Nordteil flächendeckend, auf denen sich die Lehmböden bzw. die Benutzungsablagerungen befanden. Eindeutig lässt sich zwischen dem Nord- und dem Südteil in dieser Siedlungsphase ein Schichtenwechsel fassen. Drei nicht korrelierbare Schichten, die unmittelbar aneinander grenzen, weisen hier auf einen Raumwechsel.

Südteil: Planien und Lehmböden

Auf den Holzboden von Phase 3 wurde als Planie ein umgelagerter Lehm aufgeschüttet, der leider nur in den Profilen dokumentiert werden konnte. Festzustellen war dieser in Feld 4 und im strassenseitigen Kanalisationsgraben sowie in der Sondierung von Feld 2[748] (Abb. 132, 134, 143, 148, 151). Auf dieser Grobplanie bzw. dort wo sie nicht vorhanden war, direkt auf dem Boden der älteren Bauphase, lag ein gelber, kiesig-harter Lehmestrich[749]. Dieser gilt als Gehniveau der jüngsten in diesem Bereich feststellbaren römischen Bauaktivität. In seiner Ausdehnung überdeckte er flächig die Felder 4 und 5 und den Kanalisationsgraben in Feld 6 nördlich bis Lfm. 47,00 sowie den gesamten strassenseitigen Vorplatz (Abb. 160). Die sehr ebene Oberfläche besass ein Gefälle nach Nordwesten und war zum Teil durch den Baggerabtrag gestört. Gleichzusetzen ist in der Sondierung von Feld 2 ein

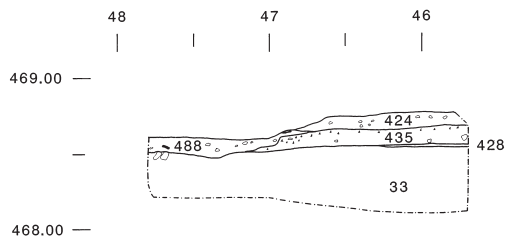


Abb. 161. Römerstr. 213/215. Feld 5. Ostprofil. M. 1:50.

auf der Grobplanie gelegener gelber Lehmestrich, der mit Gefälle in Richtung Nordosten deutlich auslief und möglicherweise eine Gebäudeunterteilung andeutet (Abb. 160)[750]. Nur teilweise hat sich in Feld 4 auf dem Estrich eine Benutzungsablagerung aus hellgrauem, feinem Silt erhalten[751]. Bedeutend an Phase 4 ist der deutliche Schichtenwechsel in den Feldern 5 und 6: Etwa bei Lfm. 47,00 grenzte der Lehmestrich nördlich an einen Lehmboden, der sich direkt auf dem gewachsenen Boden befand (Abb. 161)[752]. Der Übergang wird im Westprofil von Feld 6 durch einen grossen Stein markiert (Abb. 139). Leider war dieser lehmige Belag nur in einer sehr geringen Ausdehnung als etwa 1 m breiter und 1,4 m langer Fleck aus gelbgrauem, sehr kompaktem, fettem Lehm erkennbar. Im Ostprofil von Feld 5 wird deutlich, dass der Lehmboden im Übergang zum Estrich die Planie der Bauphase 3 teilweise überlappte und somit sicher jünger ist als diese, gemäss seiner stratigraphischen Lage gleichzeitig mit dem Estrich von Phase 4 (Abb. 161). Den nördlichen Übergang zwischen dem Lehmboden (Pos. 488) und den Schichten des Nordteils bezeichnet eine Planie (Pos. 22), die in diesem Bereich auszulaufen scheint (Abb. 143). Wie bereits in Phase 3 befand sich auch während Phase 4 das Gehniveau im Südteil ab Lfm. 47,00 um bis zu 20 cm höher gelegen.

Zur Datierung der Phase 4 im Südteil lassen sich Funde aus der Planie und dem Lehmestrich anführen (Kat. **49–52**): Aus dem Estrich wurden Fragmente von mindestens drei südgallischen Schüsseln vom Typ Drag. 29 geborgen, die eine Datierung in neronisch-vespasianische Zeit zulassen (Kat. **50**). Unter den aus der Planie stammenden Funden, die für chronologische Fragen nicht relevant sind, sind drei Bronzedraht-, vier Eisenfragmente und sehr viele Schlackebrocken, in Form von Tropfen- und Kalottenschlacken, mit einem Gesamtgewicht von 8436 g erwähnenswert (Kat. **49**). Darunter befindet sich ein Fragment in Form eines Pfropfens, welches vielleicht zum zeitweisen Verschliessen der Düsenöffung einer Schmiedeesse verwendet wurde (Abb. 150)[753].

Anhand seines Fundmaterials ist der Lehmboden leider nicht zeitlich einzuordnen, da er ausser zwei gebrauchskeramischen Scherben nur ein Bleifragment enthielt (Kat. **52**).

Nordteil: Hausstrukturen und die letzte Erneuerung der Feuerstelle

Mit Phase 4 wurde flächendeckend auf die Benutzung von Phase 3 eine gelbe, kiesig-sandige Planie eingebracht, deren ebene Oberfläche als Gehniveau benutzt wurde und auf der sich die Kulturschicht gebildet hatte[754]. Wie bereits erwähnt, grenzte die Planie an den Lehmboden des Südteils, dessen

741 Pos. 23/15/126/127/128.
742 Pos. 52: Dm. 25 cm; T. 40 cm; Pos. 57: Br. 32 cm; T. 17 cm.
743 Fischer 1957, 22 Taf. 12,8.
744 Furger/Deschler-Erb 1992, 93.
745 Greene 1979, 13ff. bes. 17.
746 Hochuli-Gysel et al. 1986, 88 (Fundmaterial vom Auerberg [D]).
747 Jauch 1997, 74 f. Abb. 86,1–3; Bertschikon ZH, Rettungsgrabung 2000.089 unpubl.
748 Pos. 436/147: ocker- bis graufarben, D. 4–14 cm; in Feld 4 bis Lfm. 43,30, in Feld 2 bis Lfm. 39,70.
749 Pos. 424: D. 4–12 cm.
750 Pos. 134: bis Lfm. 608,70; D. 1–1,5 cm.
751 Pos. 429: D. 1–2 cm.
752 Pos. 488: D. 14 cm.
753 Westphalen 1989, 20 Taf. 6.
754 Pos. 22: D. 4–10 cm. Pos. 19: D. 2–10 cm; humos, fett, schwarz, viel Holzkohle und wenig Brandrötungsknöllchen.

Laufhorizont sich auf einem höheren Bodenniveau befunden hatte (Abb. 143)[755]. Bei Lfm. 47,00 lief auch der darüber befindliche Benutzungshorizont aus und unterstreicht somit die nord-südliche Raumtrennung[756]. In der südwestlichen Verlängerung von Feld 1 endete die Planie, zum Teil mit aufliegender Kulturschicht an einem NW–SE-ausgerichteten Balkengraben (Abb. 154–155)[757]. Es liegt daher nahe, dass dieser Balkengraben gleichzeitig mit Phase 4 bestanden hat und einen Wechsel zwischen zwei Häusern, Räumen oder einem Aussen- und Innenraum anzeigt[758]. Vielleicht lässt sich dieser sogar mit dem in Feld 3 freigelegten Schwellbalkenfundament verbinden, das möglicherweise als nördlicher Gebäudeabschluss zu deuten ist (Abb. 167)[759]. Geht man davon aus, dass die jenseits des Balkengrabens anschliessende Kulturschicht mit Grube während Phase 3 enstanden ist, so können sämtliche jüngeren Schichten zu Phase 4 gerechnet werden[760]: Die Grube wurde zunächst mit verschiedenen Planiepaketen aufgefüllt, daraufhin wurde ein Lehmestrich verlegt, der seinerseits auf den Balkengraben Rücksicht nahm (Abb. 155)[761]. Dieser kann als jüngstes römisches Gehniveau gelten, das wahrscheinlich der Benutzungszeit von Phase 4 entspricht. Überdeckt wurde diese römische Bauphase von natürlichen Hangabschwemmungen.

An weiteren Strukturen im Nordteil des Grabungsareals ist wiederum eine Erneuerung der Feuerstelle in Feld 1 zu nennen, die auf der Steinrollierung ihrer Vorgängerfeuerstelle angelegt wurde (Abb. 162)[762]. Ihre Ausdehnung war nicht ganz fassbar, da sie vom Westprofil angeschnitten wurde. Die verziegelte, gräulich bis brandschwarze Oberfläche wies aber einen annähernd runden Durchmesser von ca. 1,2 m auf. Die Feuerstelle war saumartig von einem Lehmkranz von 1,8 m Durchmesser umgeben, bei welchem es sich um eine Erweiterung aus trockenem, ocker bis graufarbenem, zum Teil brandgerötetem Lehm gehandelt hat[763]. Am Nordostrand können mehrere Vertiefungen wahrscheinlich als Steinnegative gedeutet werden[764]. In Verbindung mit der Feuerstelle standen drei an ihrem Nordostrand auf dem Lehmkranz nebeneinander liegende kleine Pfostenlöcher[765].

Eine weitere Struktur befand sich in der Nordecke von Feld 1 in Form einer längsovalen Grube oder Mulde, die von der Oberfläche der Planie eingetieft wurde (Abb. 160)[766]. Weder aus der Konstruktion und Stratigraphie der Grube noch aus ihrem spärlichen Fundmaterial, welches aus zwei korrodierten Eisennägeln besteht, konnte ein Hinweis auf ihre Funktion gewonnen werden.

Bauphase 4 datiert im Nordteil, zumindest in dem Bereich nordöstlich des Balkengrabens, in die neronisch-vespasianische Zeit. Anhaltspunkte hierfür geben Funde aus der Kulturschicht, hauptsächlich die südgallischen Formen Drag. 29, aber auch Teller der Form Drag. 18 sowie Schalen der Typen Hofheim 9 und Drag. 27 (Kat. **53–62**).

Eigens hervorzuheben ist ein kreisrundes, in der Mitte durchlochtes Bleigewicht (Kat. **61**; Abb. 163). Das Exemplar wiegt 45 g und weicht somit um 0,5 g von der nächstliegenden römischen Masseinheit von 10 sextulae ab. Ein ähnliches, allerdings nicht durchlochtes Gewicht, dessen Abweichung dem unsrigen Fund entspricht, stammt aus Augst BS[767]. Auch dort stellte sich die Frage, ob die Gewichtsdifferenz bereits ursprünglich bestanden hat oder erst in Folge der Korrosion entstanden ist. Vergleichbare durchlochte Bleigewichte kennen wir aus dem südenglischen Fishbourne, West Sussex[768]. Die leider ohne Angabe der Gewichtseinheiten publizierten Stücke stammen u. a. aus der flavischen Periode 2 und aus dem Zerstörungshorizont der Zeit um 280/290 n. Chr., waren demzufolge also sehr lange in Gebrauch. Auch aus dem Kastell Ellingen (D) stammt ein als Lesefund geborgenes, sehr gut vergleichbares Objekt, das allerdings als Spinnwirtel gedeutet wird[769].



Abb. 162. Römerstr. 213/215. Feld 1. Feuerstelle Pos. 81. Ansicht von Südosten.



Abb. 163. Durchlochtes Bleigewicht, Kat. 61. Dm. 2,8 cm.

4.2.5 Phase 5

Nordteil

Nur im Nordprofil von Feld 1 war auf der Kulturschicht der Phase 4 ein Lehmestrich mit aufliegender Benutzung fassbar

(Abb. 154)[770]. Der Estrich, auf dem sich partiell eine dünne, humos-siltige Benutzungsablagerung erhalten hatte, bestand aus gelbgrauem, feinem Lehm, der südwestlich an einem grossen Stein endete[771]. Leider konnten aus diesen Schichten keinerlei Funde geborgen werden, die einer zeitlichen Einordnung dieser Phase dienlich sein könnten.

4.3 Die Grabungsfläche im Gartenbereich – Feld 3

4.3.1 Einleitung

Leider nur begrenzt ergab sich die Möglichkeit im Februar/März 1991 den rückwärtigen Teil des Anwesens Römerstr. 213/215 zu untersuchen (Abb. 128). Als Feld 3 wurden ein 4,5 m langes Westprofil und ein 1,5 × 1 m grosser Sondierschnitt bezeichnet. Topographisch befinden sich diese etwa 26–30 m nördlich der zumindest während der Phasen 1 und 2 postulierten Hausfront[772]. Im Folgenden werden in aller Kürze die Schichtverhältnisse und das Fundmaterial hinsichtlich seiner Datierung vorgestellt. Die Hauptfragestellung muss sich unter den gegebenen Voraussetzungen insbesondere auf die Zeitstellung der Siedlungsaktivität in diesem nach Nordwesten versetzten Areal beschränken. Wie steht die Bauaktivität dieses Gebiets zeitlich zu den südlicheren Grabungsfeldern, die sich mutmasslich innerhalb eines Hausgrundrisses befanden? Sind sie möglicherweise zu einem zusammenhängenden Grundriss zu ergänzen?

Vorauszuschicken ist Folgendes: Die Interpretation dieser nur in einem kleinen Ausschnitt erfassten Befundsituation wurde durch die einsetzende Schneeschmelze, die die Unterscheidung der Schichten zum Teil unmöglich machte, erschwert. Der interpretatorische Gehalt der Baubefunde lässt zudem nur wenige Informationen zu. Bemerkenswert ist ferner, dass die mengenmässige Anzahl der aus Feld 3 geborgenen Funde diejenige aus dem südlichen Grabungsareal bei weitem übertrifft (Kat. **63–101**).

Trotz obiger Vorbehalte sind hauptsächlich aus dem Westprofil drei eng aufeinander folgende Bauaktivitäten abzulesen, deren Datierungen die neronische bis vespasianische Zeit umfassen.

Überdeckt waren die römerzeitlichen Schichten von neuzeitlichen Auffüllungen, einer neuzeitlichen Sandsteinplanie und der zuoberst aufliegenden umgelagerten Gartenerde[773].

4.3.2 Phase 1 (Abb. 164)

Auf dem gewachsenen Boden befand sich eine graubraune, lehmige Planie, die sehr viel Fundmaterial enthielt[774]. Auf dieser war partiell eine ockerfarbene Lehmplanie feststellbar, die in Richtung Westen stark ausdünnte[775]. Zum Teil auf dem Lehm, zum Teil direkt auf der Planie lag ein Rindenhorizont, der als Benutzungsablagerung bzw. als Bodenbelag aus Holzschnipseln interpretiert werden kann[776].

Das Fundmaterial stammt hauptsächlich aus der Planie und gibt der Bauphase einen Terminus post quem in die neronische Zeit. Das Spektrum umfasst mindestens vier südgallische Reliefschüsseln der Form Drag. 29, darunter ein Exemplar mit grober Riefelung auf breiter Randzone (Kat. **63–66**). Der Dekor ist seinem Stil und seiner feinen qualitätvollen Ausführung nach in die neronische Zeit zu

---

755 Pos. 424: etwa 10–20 cm höher.
756 Planie Pos. 22 und Kulturschicht Pos. 19 waren sichtbar im Ostprofil von Feld 2 bis Lfm. 43,20, in sämtlichen Profilen des Erdkellers, im flächig ergrabenen Teil von Feld 1 sowie in der südwestlichen Verlängerung von Feld 1 bis Lfm. 604,50.
757 Pos. 508: Br. max. 40 cm; erh. T. 10 cm; jenseits davon setzte sie sich in Form eines grauen Lehms Pos. 512 fort.
758 Vielleicht stand er in irgendeiner Weise in Zusammenhang mit dem in Feld 6 dokumentierten Stein und bildete mit diesem eine Flucht.
759 Vgl. die Ausführungen in Kap. 4.3.3.
760 Vgl. Kap. 4.2.3.
761 Oberste Lage: Pos. 510: D. ca. 16 cm, feiner dunkelgrauer Lehm; Planiepakete Pos. 511.
762 Pos. 81.
763 Pos. 20/21/100/103.
764 Pos. 84: Zwischen Feuerstelle und Lehmkranz schnitt ein 25–30 cm breiter Saum aus kiesig-humosem Material ein, bei dem es sich evtl. um eine Störung handelt, die beim Entfernen eines Steinkranzes entstanden ist, obwohl ausser einem Stein am Ostrand ansonsten keine weiteren Steinnegative erkennbar waren.
765 Pos. Nr. 117; 118; 119.
766 Pos. 123: erh. L. 1 m; erh. Br. 38 cm; erh. T. ca. 5 cm.
767 Mutz 1983, 46 Nr. 14.
768 Cunliffe et al. 1971, 144 f. Abb. 66,8–11.
769 Zanier 1992, Taf. 38,D3 (Dm. 2,9 cm; Dm. Loch 0,45 cm).
770 Auf einer Länge von 1,7 m; Ausdehnung Lfm. 53,97 (Süd) – 54,53 (Nord, Grabungsgrenze) / 605,92 (Ost) – 604,20 (West; mit gestörter OK).
771 Estrich Pos. 496: D. 8 cm; Kulturschicht Pos. 497: D. 8 cm; diese wird bei Lfm. 605,80 durch eine neuzeitliche Jauchegrube gestört.
772 Etwa 9,5 bis max. 14 m nördlich des Nordprofils von Feld 1.
773 Neuzeit Pos. 197/198/73; Gartenerde Pos. 70.
774 Pos. 195: D. 20–28 cm.
775 Pos. 212: D. 3–30 cm.
776 Pos. 196: D. 4–6 cm; bestehend zu 2/3 aus Rinde, zu 1/3 aus Holzkohle.

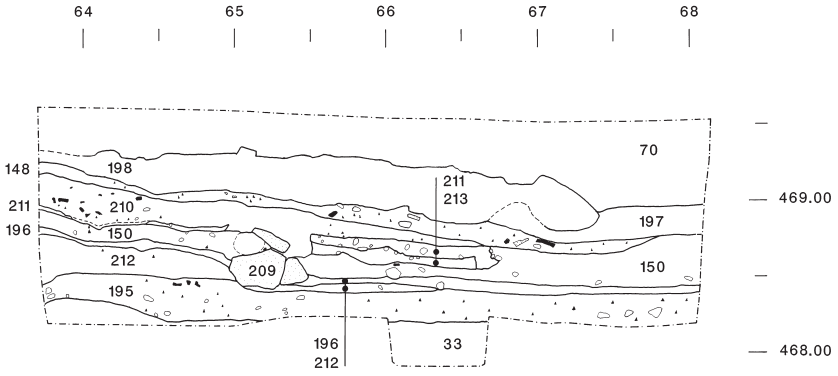


Abb. 164. Römerstr. 213/215. Feld 3. Westprofil. M. 1:50.

datieren. Hauptvertreter der glatten Terra Sigillata sind vielerlei Teller der Typen Drag. 15, 17 und 15/17[777], Drag. 18[778], eine Schüssel der Form Hofheim 12 sowie wenige Schalen der Typen Hofheim 8, Drag. 24 und Drag. 27 (Kat. **68–71**). Hervorzuheben ist ein grünglasierter Fuss, der vermutlich zu einem Ringhenkel-Kantharos gehörte und in claudischer bis frühflavischer Zeit in Mittelgallien gefertigt wurde (Kat. **76**)[779]. Ebenfalls zu den älteren Funden der Bauphase zählen Fragmente von zwei Schälchen, die zur Gattung der sog. Frühen Glanztonkeramik gehören (Kat. **77**). Die möglicherweise aus Lyon importierten Schälchen könnten bereits vor der Mitte des 1. Jh. n. Chr. gefertigt worden sein[780]. Unter der Ware mit Rädchendekor sind besonders die Fragmente mindestens dreier mit Zickzackbändern verzierter Töpfe erwähnenswert (Kat. **80**). Rädchenverzierte Schultertöpfe, besonders häufig mit dem Motiv des Zickzackbandes, datieren vorwiegend in flavische Zeit, wie dies u. a. zahlreiche Exemplare aus Rottweil (D), Kastell II, nahe legen[781]. Unter den zahlreichen Wandscherben von helltonigen Krügen ist ein Exemplar hervorzuheben (Kat. **84**). Der zweihenklige Krug mit Zylinderhals besitzt einen gerillten, leicht unterschnittenen Rand und am Henkelansatz einen umlaufenden, gerillten Wulst. Ein vergleichbares, allerdings dreihenkliges Exemplar stammt aus Hofheim (D), wo es in einen Datierungszeitraum von 40 bis 70 n. Chr. gehört. Ähnliche Krüge kennen wir aus tiberischen Schichten in Kempten (D) und aus Augst BS[782]. Unter dem Kochgeschirr befindet sich die ungewöhnliche Form eines Kochtellers, dessen sekundär angedrückter Standring einen leicht asymmetrischen Durchmesser aufweist (Kat. **86**).

4.3.3 Phase 2 (Abb. 164–165)

Auf den Rindenhorizont von Phase 1 wurde eine Grobplanie aus lehmig humosem Material eingebracht[783]. Auf dieser lag partiell ein gelber Lehmboden mit Gehniveau[784]. Gleichzeitig mit diesem stand ein Schwellbalkenfundament in Benutzung. Dieses Trockenfundament war in einer zweilagigen Steinsetzung von etwa 50 cm Breite erhalten, seine Ausrichtung lief etwa NE–SW (Abb. 165)[785]. Über Phase 2 erstreckten sich partiell die Spuren einer Brandzerstörung, die sich in Form einer auf dem Lehmboden aufliegenden und nach Norden auslaufenden Brandschicht manifestierten[786].

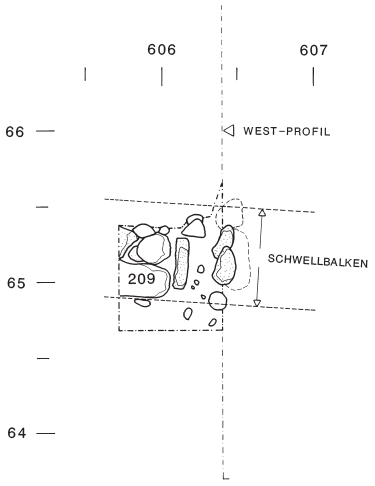


Abb. 165. Römerstr. 213/215. Feld 3. Phase 2. Erweiterung in Westprofil mit Schwellbalkenfundament von Phase 2. M. 1:50.

Die Datierung dieser Bauphase gestaltete sich als schwierig, da das Fundmaterial zum Teil mit Funden aus der Planie von Phase 1 vermischt war. Das Fundgut aus der Grobplanie von Phase 2 beschränkt sich neben wenigen Schalen der Typen Hofheim 9 und Drag. 27 auf Fragmente von mindestens drei Drag. 29 Schüsseln und einer Drag. 30 Schüssel, die in neronisch bis vespasianische Zeit zu datieren sind (Kat. **89–94**).

Obwohl dieser Befund nur auf einer sehr kleinen Fläche freigelegt wurde und jegliche stratigraphische Verbindung zum Nord- und Südteil fehlt, sollen dennoch folgende Überlegungen gemacht werden: Gemäss seiner Zeitstellung könnte das Trockenfundament am ehesten zur Bauphase 4 gehört haben. Nimmt man an, dass es Bestandteil der Rückwand eines zur Strasse ausgerichteten rechteckigen Grundrisses gewesen ist, so ergibt sich unter der Bedingung, dass die Gebäudeausdehnung von Phase 4 in etwa den vorangegangenen Bauphasen entspricht, eine minimale Länge von 25 m[787]. Die Westwand ist wahrscheinlich in einem Balkengraben und einem Stein zu erkennen, die Ostwand dagegen nicht eindeutig fassbar. Ein WE-verlaufender Schichtenwechsel in Feld 2 könnte auf eine Innengliederung hinweisen; ein Raum hätte somit die Breite von 5–6 m gehabt. Hierbei drängt sich ein Vergleich mit dem Grundriss von Haus C1 an der Römerstr. 186 (40/50–100 n. Chr.) auf, welches eine Länge von rund 29,5 m und eine Breite von 12 m aufwies[788]. Gegen diese Hypothese spricht einzig die Tatsache, dass der Befund von Phase 4 im Gegensatz zu den Strukturen in Feld 3 nachweislich nicht einer Brandzerstörung zum Opfer gefallen war, es sei denn, das Feuer hätte sich auf die rund 11 m lange nicht untersuchte Grabungsfläche zwischen Feld 1 und dem nördlich davon gelegenen Feld 3 beschränkt.

4.3.4 Phase 3 (Abb. 164 und 166)

Über der Brandschicht und, wo diese nicht vorhanden war, direkt auf der Grobplanie von Phase 2 lag ein grauer, lehmiger Horizont (Abb. 166)[789]. Im Sondierschnitt stiess diese Lehmschicht an ein auf der Grobplanie von Phase 2 gelegenes Holzkohleband und eine sich darüber befindliche Brandschicht[790]. Es ist nicht eindeutig, ob es sich hierbei um umgelagerten Brandschutt oder evtl. um eine angeschnittene Feuerstelle gehandelt hat.

Unter dem Fundmaterial befindet sich neben jeweils einem Teller der Typen Drag. 15/17 und 18 und einer Schale Drag. 27 auch das Fragment einer Schüssel Drag. 37, die eine Datierung in neronisch-vespasianische Zeit zulässt (Kat. **95–97**). Hervorzuheben ist ein hellbraun marmoriertes Schälchen, das in ganzem Profil erhalten ist (Kat. **98**). Ein gut vergleichbares Exemplar, dessen Datierung sich allerdings nicht genauer als tiberisch bis

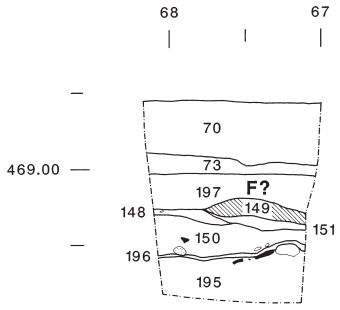


Abb. 166. Römerstr. 213/215. Feld 3. Sondierung, Ostprofil. M. 1:50.

frühflavisch eingrenzen lässt, stammt aus Kempten (D)[791]. Die Passscherben unseres Schälchens scheinen aus der Planie von Phase 2 und aus der Holzkohleschicht der Phase 3 zu stammen, wobei wie eingangs erwähnt, die Schichtunterscheidung wetterbedingt nicht korrekt durchzuführen war.

4.4 Ein Befund im Areal Römerstrasse 213

In der Gesamtübersicht des römischen Vicus Vitudurum wurde im Bereich der Liegenschaft Römerstr. 213, angrenzend an das Haus Römerstr. 215, ein rechtwinklig zur mutmasslichen antiken Hauptstrasse verlaufendes Hausfundament eingezeichnet (Abb. 128). Das Fundament wurde 1980/81 im Zuge von Kanalisationsarbeiten freigelegt. Da zu jener Zeit die Grossgrabung im Unteren Bühl sämtliche der geringen zur Verfügung stehenden personellen und finanziellen Mittel erforderte, wurde dem Befund leider nur geringe Aufmerksamkeit geschenkt. Es handelte sich um eine Ansammlung mehrerer kleiner und eines grossen Steins, die als Auflage eines Schwellbalkens gedient hatten[792]. Die wenigen von der Baggerschaufel verschont gebliebenen Steine wurden zwar eingemessen, nicht aber zeichnerisch dokumentiert. Somit kann das Fundament in diesem Zusammenhang nur erwähnt, aber nicht stratigraphisch mit den Grabungsergebnissen verbunden werden. Unter bautechnischen Gesichtspunkten würde man ein Trockenmauerfundament im Vicus nicht vor der 2. Hälfte des 1. Jh. n. Chr. vermuten, was unseren Phasen 3 bzw. 4 entspräche[793].

4.5 Zusammenfassung – Résumé – Riassunto – Summary

Die vorliegende Untersuchung zeigt eine Besiedlung des Areals Römerstr. 213/215 ab augusteisch-tiberischer Zeit bis in die neronisch-vespasianische Epoche. Stratigraphisch liessen sich in der Grabungsfläche bis zu fünf zeitlich aufeinander folgende Siedlungsaktivitäten aufstellen. Nur in den Phasen 3 und 4 war eine stratigraphische Korrelation von Süd- und Nordteil möglich. Eine einheitliche Planung mit einem auf die antike Hauptstrasse ausgerichteten Hausgrundriss ist aber auch für die vorherigen Bauphasen zu vermuten. Eine genaue zeitliche Einordnung erwies sich besonders für die Phasen 1 und 2 auf Grund mangelnden Fundmaterials als schwierig. Wahrscheinlich setzte die erste Nutzung des Geländes bereits in augusteischer bis frühtiberischer Zeit ein (Abb. 130). Für diese Phase 1 konnten Nachweise einer leider nicht eindeutig interpretierbaren, Eisen verarbeitenden Tätigkeit in Form von fünf Werkgruben und einer wahrscheinlich als Esse zu interpretierenden Feuerstelle erbracht werden. Eine potenzielle Mehrphasigkeit in dieser Werkstatt war nicht mehr feststellbar, weil die Benutzungsablagerungen und der anfallende Abfall wie z. B. Schlacken möglicherweise regelmässig entfernt worden waren, um einen reibungslosen Arbeitsablauf zu gewährleisten. Nachweise für mutmassliche Hausgrundrisse liessen sich mit Ausnahme einiger Pfostenlöcher und eines Balkengrabens nicht erbringen, sind jedoch anzunehmen, worauf ein zur Hausfassade gehörendes Pfostenloch hinweist. Eine Verlängerung der Portikus und der Frontseite des westlich des Untersuchungsgebiets befindlichen Hauses Römerstr. 197 lässt eine solche genau an jener Stelle vermuten. Die hypothetische Länge des vorderen Raums – der Werkstatt – ergäbe von der Hausfront bis zu einem nordwärts dokumentierten Schichtenwechsel etwa 8,5 m[794]. Die Gesamtausdehnung des Hauses erreichte in der Länge mind. 16 m, in der Breite mind. 6 m. Im Nordteil gehört zu Phase 1 eine erste Feuerstelle gerundet rechteckiger Form, die auf einer Vorgängerbrandgrube errichtet worden war. Eine zweite Feuerstelle befand sich in geringem Abstand nordwestlich von dieser. Obwohl auch in diesem Bereich mindestens eine grössere Pfostengrube nachweisbar war, fehlen sichere Hausgrundrisse. Möglicherweise hat sich jedoch im hinteren Gebäudetrakt der Wohnraum befunden. Der Südteil wurde mit Phase 2 in claudischer Zeit durch Aufplanierungen wiederum begehbar gemacht. Es konnte ein Balkengraben auf dem Hausvorplatz an derselben Stelle wie das Pfostenloch von Phase 1 dokumentiert werden, der vermutlich wiederum Bestandteil der Hausfront war (Abb. 156). In Zusammenhang mit einem Schichtenwechsel in Feld 5 ergäbe sich eine Länge des zur Strasse ausgerichteten Raums von etwa 8,2 m. Zur selben Zeit wurde im Nordteil mit Phase 2 eine partielle Planie eingebracht und die Feuerstelle als Steinrollierung mit aufliegendem Brandplatz und einem sie umgebenden Steinkranz erneuert. Obwohl die Schichten vom Nord- und Südteil während der Phasen 1 und 2 nicht korrelierbar waren, könnte ein bei Lfm. 48,00 feststellbarer Schichtenwechsel auf eine Gebäudeunterteilung in einen zur Strasse ausgerichteten und einen rückwärtigen Raum hinweisen. Erst ab Phase 3, nämlich in claudisch-neronischer Zeit, konnten wir in dem gesamten Grabungsgebiet eine Grobplanie fassen, über der sich im Südteil ein Holzboden aus locker ausgestreuten Holzschnipseln und im Nordteil ein Gehniveau mit erneuerter Feuerstelle abzeichneten (Abb. 158). Die Feuerstelle wurde diesmal mit leicht nach Südwesten verschobener Orientierung in Form einer Steinrollierung mit rund-ovaler Brandfläche und einem Lehmkranz als Erweiterung angelegt. Bei Lfm. 47,00 war deutlich ein Schichtenwechsel zu erkennen. Bemerkenswert ist, dass der Gehhorizont im Südteil max. 23 cm höher lag als im Nordteil. Die zum Teil verkrustete Oberfläche des Holzbodens kann möglicherweise auf eine Brandeinwirkung zurückgeführt werden. In der südwestlichen Verlängerung von Feld 1 ist wahrscheinlich mit Phase 3 eine erstmalige Nutzung in Form einer Kulturschicht mit Grube nachweisbar. Phase 4 setzte in neronisch-vespasianischer Zeit mit einer flächigen Grobplanie ein, über der im Südteil ein Lehmestrich eingebracht wurde (Abb. 160). In den Feldern 5 und 6 war bei Lfm. 47,00 deutlich ein Schichtenwechsel fassbar in Form

---

777 Mind. 9 Exemplare.
778 Mind. 4 Exemplare.
779 Hochuli-Gysel 1998, 69 Taf. 22,32 (Form Déch. 59/Greene 4), datierter Fundkomplex: 3. Viertel 1. Jh. n. Chr.
780 Schucany 1996, 83f. Abb. 70.
781 Vgl. Literaturhinweis bei Kat. 80.
782 Vgl. Literaturhinweis bei Kat. 84.
783 Pos. 150: D. 10–34 cm.
784 Pos. 211: D. 2–6 cm.
785 Pos. 209.
786 Pos. 210: D. 4–21 cm; brandroter, z.T. verziegelter Lehm mit Brandrötungsknöllchen und Holzkohle.
787 Vgl. Teil III, Kap. 1.2.1.
788 Rychener/Albertin 1986, 236 Plan 4.
789 Pos. 148: D. 4–12 cm.
790 Pos. 151/149; aus lehmig, sandigem, brandgerötetem und kohlegeschwärztem Material.
791 Vgl. Literaturhinweis bei Kat. 98.
792 Freundlicher Hinweis von P. Albertin.
793 Rychener/Albertin 1986, 38f. 85f (ab Phase C1).
794 Vgl. Teil III, Kap. 1.2.1.

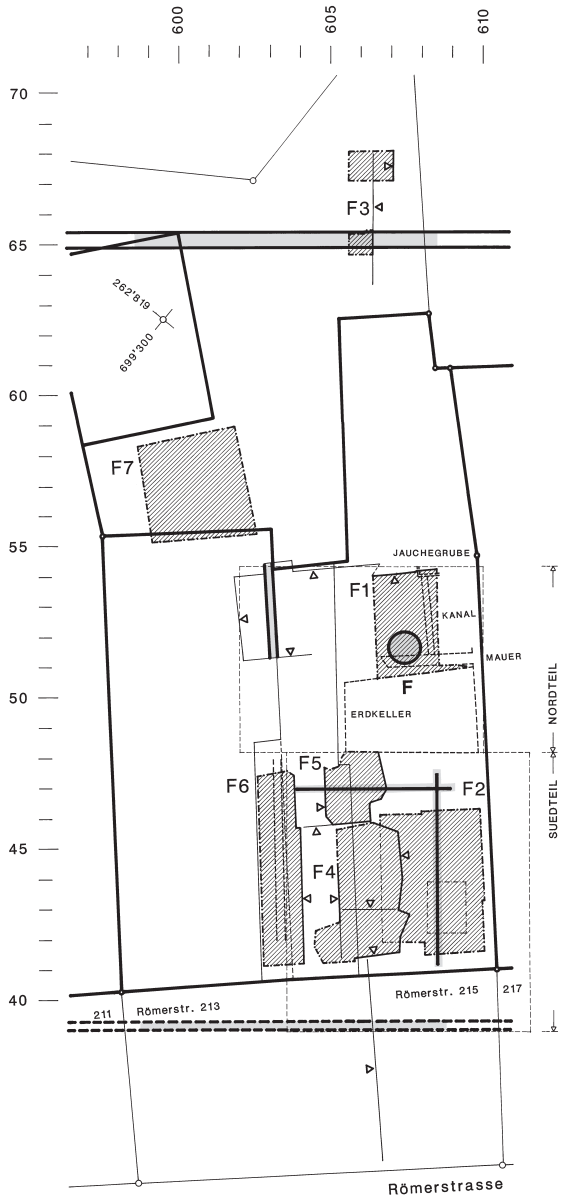


Abb. 167. Römerstr. 213/215. Neronisch-vespasianische Zeit. Schematischer Hausgrundriss. M. 1:250.

zweier angrenzender Lehmböden und einer Planie, die in diesem Bereich eine Trennung, sei es von Innen- oder Aussenräumen anzeigen. Das Gehniveau war südlich von Lfm. 47,00 wiederum deutlich höher gelegen (um 10–20 cm). Nur im Nordteil zeichneten sich während dieser Phase aussagekräftige Strukturen ab: Auf der Feuerstelle von Phase 3 wurde ein neuer runder Herdplatz angelegt, der einen Lehmkranz als Erweiterung aufwies und wahrscheinlich eine Steinumrandung besass. Eine längsovale Grube in diesem Bereich liess sich nicht interpretieren. Südwestlich von Feld 1 lief die Benutzung an einem Balkengraben, möglicherweise der Gebäudewestwand, aus. Ein Raumwechsel zeigte sich jenseits des Balkengrabens in Form mehrerer Aufplanierungen, auf denen ein Lehmboden mit Gehniveau lag. Leider war eine genaue zeitliche Einordnung dieses Bereichs auf Grund mangelnden Fundguts nicht durchführbar. Unter allerdings sehr hypothetischer Miteinbeziehung des im nördlichen Feld 3, Phase 2, freigelegten Trockenfundaments ergäbe sich folgender Grundriss (Abb. 167)[795]: Die Länge der angenommenen Rückwand bis zur vermuteten Hausfront betrüge mind. 25 m. Ein hinterer Raum wäre bis an den Schichtenwechsel in Feld 5 etwa 18 m lang. Von dem Balkengraben als Westwand bis zu einem weiteren in Feld 2 dokumentierten Schichtenwechsel ergäbe sich eine Breite von etwa 5 m, die möglicherweise zu einem Raum gehörte. Dieser Grundriss könnte somit dieselben Ausmasse gehabt haben wie das etwa zeitgleiche, an der Römerstr. 186 freigelegte, langrechteckige Gebäude C1 mit einer Länge von etwa 29,5 m und einer Breite von etwa 12 m[796]. Mit Phase 5 wurde eine nur im Nordteil erfasste, weitere Aufplanierung mit Kulturschicht bezeichnet, deren Zeitstellung nicht benennbar war. In dem rückwärtig versetzten Grabungsfeld 3 waren stratigraphisch drei zeitlich eng aufeinander folgende Bauaktivitäten feststellbar, deren Datierungen von der neronischen bis in die vespasianische Zeit reichen und somit der Phase 4 der Grabungsfläche im Haus entsprechen. An Strukturen zeichnete sich lediglich das bereits oben erwähnte Schwellbalkenfundament ab, das, wie ein mächtiger Brandhorizont nahe legt, durch Feuereinwirkung zerstört worden war.

Sämtliche römerzeitlichen Schichten wurden von natürlichen Hangabschwemmungen überdeckt, über welchen sich ein mächtiges Paket künstlich umgelagerter Moräne befand[797]. Nur im Südteil und in Feld 3 konnten Schichten dokumentiert werden, die wenig spätmittelalterliches (1. Hälfte 15. Jh.) und sehr viel neuzeitliches Fundmaterial enthielten[798].

Die Ausgrabungen in der Römerstr. 213/215 legten einen Bereich innerhalb des Vicus frei, in dem – soweit die kleinen Grabungsflächen eine Interpretation gestatten – zumindest phasenweise Holzbauten gestanden hatten. Anhaltspunkte geben uns neben der Stratigraphie einzelne konstruktive Details in Form von Pfostengruben, -löchern und Balkengräben. Klar abgrenzbare Hausgrundrisse konnten jedoch nicht festgestellt werden. Neben einem mutmasslichen Pfostenloch und einem Balkengraben auf dem Hausvorplatz, die wahrscheinlich als die auf die antike Dorfstrasse ausgerichtete Hausfront der Phasen 1 und 2 interpretiert werden können, waren keinerlei Hinweise auf eventuelle strassenseitige Hauseingänge oder gar auf den Verlauf der antiken Hauptstrasse zu gewinnen. Der Anfang der Besiedlung begann mit einer gewerblichen Nutzung bereits in augusteisch-tiberischer Zeit und dauerte bis in die neronisch-vespasianische Epoche. Wahrscheinlich ist zumindest für Phase 1 eine Hauseinteilung in eine strassenseitige Werkstatt und einen hinteren Wohnraum anzunehmen. Das im hinteren Gartenbereich gelegene Feld 3 weist auf eine Besiedlung dieses rückwärtigen Gebiets erst in neronisch-vespasianischer Zeit. Vielleicht lässt sich in einem dort freigelegten Schwellbalkenfundament die nördliche Rückfront eines während Phase 4 bewohnten Gebäudes erkennen. Die aufschlussreichsten Ergebnisse der Grabung bestehen aus den fünf Werkgruben der Phase 1, die in Zusammenhang mit einer Werkstatt der Eisenverarbeitung standen. Ein weiterer interessanter Aspekt ist der einer Siedlungskontinuität in dem Bereich der Feuerstelle in Feld 1. Diese wurde, beginnend mit einer Brandgrube, während aller vier Bauphasen in nur leicht veränderter Orientierung erneuert und belegt somit eine Nutzung von augusteisch/tiberischer bis in die neronisch/vespasianische Zeit.

Résumé

Grâce à la présente étude, nous sommes en mesure d'établir que la zone Römerstrasse 213/215 a été occupée dès les règnes d'Auguste/Tibère et jusque sous ceux de Néron/

Vespasien. La stratigraphie a révélé jusqu'à cinq phases d'habitat successives. La corrélation stratigraphique entre la partie sud et la partie nord échoua pour les phases 3 et 4 uniquement. Pour les phases de construction antérieures, on peut toutefois postuler également une organisation cohérente, avec un bâtiment orienté sur le tracé de la voie romaine. Le mobilier, fort peu abondant, rend une attribution chronologique précise difficile, en particulier pour les phases 1 et 2. Il semble que la première utilisation du terrain débuta dans une fourchette chronologique s'insérant entre l'époque augustéenne et une phase précoce du règne de Tibère (fig. 130). Pour la phase 1, dont il est question ici, on a pu attester un artisanat lié au travail du fer, qu'il est malheureusement impossible d'identifier plus précisément; les fouilles ont livré cinq fosses et une structure de combustion, qui peut sans doute être interprétée comme un foyer de forge. Les déchets issus de la production, telles les scories, semblent avoir été évacués à intervalles réguliers, afin de garantir un fonctionnement irréprochable de l'atelier, nous privant par là de l'étude des phases d'utilisation. Excepté quelques trous de poteaux et un négatif de poutre, aucun indice n'est venu corroborer l'hypothèse de la présence de bâtiments: force est cependant d'admettre qu'ils existaient bel et bien, comme l'indique un trou de poteau se rattachant à une façade. Le prolongement du portique et de la façade de la maison sise à la Römerstrasse 197, à l'ouest de la zone examinée, laisse en effet supposer la présence d'un mur précisément à cet emplacement. La longueur de la pièce donnant sur la rue et qui servait d'atelier était d'environ 8,5 m. Elle s'étendait de la façade de la maison à une limite de couche documentée au nord[799]. La longueur totale du bâtiment devait atteindre au moins 16 m pour une largeur de 6 m au minimum. Dans la partie nord, on relève un premier foyer se rattachant à la phase 1, de forme rectangulaire aux angles arrondis, installé sur une structure de combustion en fosse de date antérieure. Un second foyer se trouvait à faible distance, au nord-ouest de la fosse. Bien que, dans cette zone aussi, au moins un trou de poteau de dimensions relativement importantes puisse être attesté, on ne dispose pas de plans au sol convaincants. Il est cependant possible que la pièce habitée se soit trouvée dans la partie arrière du complexe. Sous Claude, un apport de sédiment durant la phase 2 permit d'accéder à nouveau à la partie sud. Au même emplacement que le trou de poteau de la phase 1, on a pu relever un négatif de poutre devant l'entrée de l'édifice; il se rattachait sans doute à nouveau à la façade (fig. 156). En tenant compte d'une limite de couches observée dans le secteur 5, on obtiendrait pour la pièce donnant sur la rue une longueur avoisinant 8,2 m. La phase 2, contemporaine, coïncide dans la partie septentrionale avec une égalisation partielle du niveau de circulation. Parallèlement, le foyer est renouvelé; il s'agit d'un lit de gravier surmonté de sédiments rubéfiés et ceint d'une couronne de pierre. Bien que les couches des parties nord et sud n'aient pas pu être corrélées durant les phases 1 et 2, une limite de couches identifiée au mètre 48,00 pourrait indiquer une subdivision du bâtiment en une pièce orientée vers l'arrière et une autre donnant sur la rue. Ce n'est qu'à partir de la phase 3, sous Claude et Néron, que nous décelons une égalisation grossière sur toute la zone fouillée. Au sud se dessine un horizon meuble de copeaux de bois et, dans la partie nord, un niveau de circulation où le foyer a fait l'objet d'une réfection (fig. 158). Cette fois-ci, la structure se prolongeait par une couronne d'argile et était légèrement décalée vers le sud-ouest. La surface en était rubéfiée, d'aspect rond à ovale, et se présentait sous la forme d'un lit de gravier. Au mètre 47,00, on observe une limite de couches très nette. On notera que le niveau de circulation de la partie sud dépasse d'au maximum 23 cm celui de la partie nord. L'aspect du plancher, partiellement concrétionné, est peut-être lié à l'action du feu. Dans le prolongement sud-ouest du secteur 1, la phase 3 permet vraisemblablement de démontrer l'existence d'une première occupation, avec un niveau archéologique comportant une fosse. La phase 4 débute sous Néron/Vespasien, avec un niveau d'égalisation grossière mais étendu, surmonté dans la partie sud d'une nappe d'argile (fig. 160). Dans les secteurs 5 et 6, au m 47,00, on identifie nettement une limite de couches sous forme de deux sols d'argile attenants et d'une couche d'égalisation qui, dans cette zone, témoigne d'une césure, à l'intérieur ou à l'extérieur de l'édifice. Au sud du m 47,00, le niveau de circulation était à nouveau nettement plus élevé (environ 10 à 20 cm). Durant cette phase, c'est seulement dans la partie nord que l'on décèle des structures capables de fournir quelque résultat: au-dessus du foyer de la phase 3, on installa un nouveau foyer de forme circulaire, élargi par une nappe d'argile, et qui possédait vraisemblablement une couronne de pierres. Nous ignorons la fonction de la fosse allongée de forme ovale découverte dans cette zone. Au sud-ouest du secteur 1, on n'a décelé qu'un négatif de poutre, appartenant peut-être à la paroi occidentale du bâtiment. En deçà de cette structure, on a pu identifier une limite interne sous forme de plusieurs niveaux d'égalisation avec un sol d'argile correspondant à un niveau de circulation. Malheureusement, la faible quantité de mobilier découvert rend impossible une attribution chronologique précise de cette zone. En tenant compte de la fondation à joints vifs dégagée au nord, dans le secteur 3, et datée de la phase 2, on peut avancer l'hypothèse suivante (fig. 167)[800], avec toute la prudence requise: jusqu'à la paroi postulée, la longueur de la façade postérieure devait atteindre au moins 25 m. Une pièce située à l'arrière aurait eu, jusqu'à la limite de couches du secteur 5, environ 18 m de long. Depuis le négatif de poutre considéré comme paroi occidentale jusqu'à un autre changement de couche documenté dans le secteur 2, on obtiendrait une largeur d'environ 5 m, correspondant peut-être à une pièce. Cet édifice présenterait donc les mêmes dimensions que le bâtiment à peu près contemporain mis au jour à la Römerstrasse 186: le bâtiment C1, de forme rectangulaire, avec une longueur approximative de 29,5 m et une largeur d'environ 12 m[801]. La phase 5 révèle, au nord uniquement, une autre couche d'égalisation comportant un niveau archéologique dont la datation n'a pu être précisée. Sur le secteur 3, en retrait, on a pu constater trois phases de construction consécutives, rapprochées sur le plan stratigraphique, et dont la datation va du règne de Néron à celui de Vespasien, correspondant à la phase 4 de la zone fouillée dans la maison. La fondation de la sablière basse mentionnée plus haut était la seule structure identifiable. Comme l'indique une importante couche d'incendie, elle fut détruite par le feu.

L'ensemble des couches romaines a été recouvert de sédi-

795 Vgl. die Ausführungen in Teil III zu Kap. 4.3.3 bzw. Kap. 1.2.1.
796 Rychener/Albertin 1986, 236 Plan 4.
797 Hangabschwemmungen Pos. 16/59/78; Möräne Pos. 40/75.
798 Pos. 11 (Spätmittelalter)/12/74; Feld 3: Pos. 197/198/73.
799 Cf. chap. III.1.2.1.
800 Pour de plus amples informations cf. chap. III.4.3.3 ou chap. III.1.2.1.
801 Rychener/Albertin 1986, 236 Plan 4.

ments colluvionnés, au-dessus desquels se trouvait un important complexe stratigraphique mis en place artificiellement[802]. C'est uniquement dans la partie sud du secteur 3 qu'il a été possible de documenter des couches datant du bas Moyen Âge (1ère moitié du 15e s.), avec quelques objets seulement, et un abondant matériel moderne[803].

Les fouilles entreprises à la Römerstrasse 213/215 ont permis de dégager une zone à l'intérieur du vicus sur laquelle, pour autant que les dimensions réduites des surfaces fouillées autorisent une interprétation, s'élevaient des bâtiments en bois, au moins durant certaines phases. Outre des indices stratigraphiques, certains détails architecturaux tels que les fondations de pieux, les trous de poteaux et les négatifs de poutres viennent corroborer cette hypothèse. Il n'a cependant pas été possible de bien définir les plans au sol d'éventuels bâtiments. A part un trou de poteau présumé et un négatif de poutre sur le parvis de la maison (la façade orientée sur la rue du vicus lors des phases 1 et 2), rien n'indique qu'on accédait aux maisons par le côté rue, et nous ignorons aussi quel était le tracé de la route principale. Le début de l'occupation coïncide avec une utilisation artisanale de la zone dès les règnes d'Auguste/Tibère, qui durera jusque sous Néron/Vespasien. On peut vraisemblablement postuler, au moins pour la phase 1, une partition de la maison en un atelier donnant sur la rue et une pièce d'habitation à l'arrière. Le secteur 3, touchant la partie arrière du jardin, indique une occupation de cette zone en retrait sous Néron/Vespasien seulement. Il est possible que la fondation d'une sablière basse dégagée à cet endroit matérialise la façade postérieure d'un bâtiment occupé durant la phase 4. Les résultats les plus encourageants ont été livrés par cinq fosses à vocation artisanale datant de la phase 1, en rapport avec un atelier travaillant le fer. La continuité de l'occupation dans la zone du foyer du secteur 1 constitue un autre aspect intéressant. Débutant par une fosse de combustion, cette structure fut utilisée durant les quatre phases de construction et renouvelée selon une orientation légèrement différente, attestant ainsi une utilisation sous Auguste/Tibère aussi bien que sous Néron/Vespasien.
Traduction Catherine Leuzinger-Piccand

Riassunto
Dallo scavo eseguito in località Römerstrasse 213/215 è emersa una continuità d'occupazione dall'inizio fino agli anni '80 del I sec. d. C. Essa si distingue, in base ai dati stratigrafici, in cinque differenti fasi. Benché una correlazione tra i settori nord e sud, che caratterizzano il lotto, sia stata osservata solo per le fasi 3 e 4, risulta evidente che durante tutto il periodo d'occupazione questa superficie era soggetta ad un unico piano edilizio, con edifici che davano sull'antica strada principale del vicus. La scarsità di reperti determina per le prime due fasi una relativa incertezza nell'attribuzione cronologica. L'inizio dell'attività sembra risalire ai primi decenni del I sec. (fig. 130), quando fu installata un'officina per la lavorazione del ferro, di cui si conservano cinque fosse artigianali e un focolare, utilizzato con tutta probabilità come fucina. Non sono state osservate più fasi d'utilizzo di queste fosse poiché gli scarti della lavorazione, come ad es. le scorie, dovevano essere regolarmente eliminati per non ostacolare lo svolgimento del lavoro. Possibili perimetri si conservano in tracce, sotto forma di una trincea per trave d'appoggio e di qualche buca per pali. Una di esse potrebbe indicare la posizione della facciata dell'edificio. Se, infatti, si prolungano virtualmente il portico e la facciata dell'edificio scoperto in località Römerstrasse 197, si giunge esattamente al punto di rinvenimento di suddetto palo. La lunghezza dell'ambiente che dava sulla strada e che ospitava l'officina del ferro, calcolato da questa buca di palo fino ad un'interruzione degli strati constatata sul terreno, si aggirerebbe sugli 8,5 m[804]. La lunghezza totale dell'edificio sarebbe invece di almeno 16 m per una larghezza di almeno 6 m. Nel settore nord, vi era durante la fase 1 un focolare quadrato, con gli angoli arrotondati, posto sopra una fossa carboniosa. Nelle sue vicinanze, leggermente a nordovest, vi era un secondo focolare. Ad eccezione di una buca per pali non vi sono altri resti della costruzione che ospitava questi focolari. Si ritiene tuttavia che la zona residenziale della casa si trovasse proprio in quest'area. Il settore sud fu livellato attorno agli anni '30/'40 del I sec. e nuovamente occupato (fase 2). La trincea di una trave d'appoggio veniva a sovrapporsi alla buca di palo che, durante fase 1, si suppone marcasse la facciata della casa (fig. 156). Da questo punto all'interruzione di strati nel settore 5 dello scavo, si giunge ad una lunghezza del locale di 8,2 m. Durante questa stessa fase, nel settore nord, il pavimento in battuto è parzialmente rinnovato e il focolare posto su una superficie di ciottoli, attorniata da pietre. L'interruzione di strati osservata in corrispondenza dell'asse m 48,00, osservata durante fase 1 e 2, sembra avvalorare l'ipotesi di una divisione interna dell'edificio, in un ambiente che dava sulla strada e uno che dava sul retro. Solo a partire dalla fase 3, ca. 40–70 d.C., si assiste ad un livellamento comune nei due settori. Il piano di calpestio nell'ambiente che dava sulla strada era composto da trucioli e, sul retro, un nuovo focolare su una superficie di ciottoli si trovava al centro di un pavimento d'argilla (fig. 158). Un cambiamento nei sedimenti è ora chiaramente documentato all'altezza dell'asse m 47,00. Si rileva inoltre che il piano di calpestio nel settore sud era di ca. 20 cm più alto di quello nel settore nord. La superficie del pavimento di legno del settore sud presentava un aspetto crostoso, conseguenza forse dell'effetto di un incendio. Un ampliamento a sudovest della superficie di scavo del settore 1 ha evidenziato, per la prima volta in questa fase, un resto di strato antropico e una fossa.

Fase 4, ca. 60–80 d. C., si presenta come uno strato di livellamento grezzo, coperto, nel settore sud, da un pavimento d'argilla (fig. 160). Nei settori 5 e 6, sempre in corrispondenza dell'asse m 47,00, si osserva un'interruzione nei sedimenti, dove vengono a combaciare due diversi pavimenti d'argilla e uno strato di ripiena. Qui doveva dunque esservi un'antica suddivisione dell'edificio, vuoi in singole stanze, vuoi in superficie interna ed esterna alla casa. Anche in questa fase, il livello del piano di calpestio nel settore sud era più alto di 10–20 cm rispetto al settore nord. Strutture di una qualche importanza sono emerse solo nel settore nord: sopra il precedente focolare ne fu costruito un altro di forma rotonda, con una superficie di combustione d'argilla, forse attorniato da pietre. Vi era inoltre una fossa ovale, non interpretata. La superficie di calpestio terminava a sudovest del settore 1 in prossimità di una trincea per la posa di una trave d'appoggio, forse ciò che resta della parete occidentale dell'edificio. Di là da essa vi era una sequenza di strati di ripiena, coperti da un pavimento d'argilla con piano di calpestio. La quasi assenza di reperti non ci consente di datare con precisione queste tracce d'abitazione. La somma di questi dati consente di ricostruire un edificio delle seguenti dimensioni (fig. 167)[805]: la lunghezza compresa tra la supposta facciata e il retro della casa comporterebbe 25 m; una sala sul retro misurerebbe, fino all'interruzione di strati osservata nel settore 5, ca. 18 m, mentre dall'ipotetica parete occi-

dentale fino ad un'ulteriore interruzione di strati nel settore 2 si otterrebbe una larghezza di 5 m, corrispondente probabilmente all'estensione di una singola stanza. Questo edificio presenterebbe dunque dimensioni analoghe al contemporaneo edificio C1, scoperto in località Römerstrasse 186 e che misurava 29,5 × 12 m[806]. Fase 5 definisce un nuovo livello d'occupazione con relativo strato antropico non datato, rilevato unicamente nel settore nord dello scavo. Nel settore di scavo 3, il più a nord della superficie oggetto d'indagine, sono state individuate tre fasi d'occupazione coeve alla fase 4 dei settori nord e sud (ca. 60–80 d. C.). Le tracce d'abitazioni si limitano in questa zona ai resti del supporto di una trave d'appoggio. Uno spesso strato d'incendio indica che l'edificio è stato distrutto dal fuoco.

I livelli d'occupazione romani sono ricoperti da materiale d'erosione e il terreno è colmato da materiale morenico[807]. Nel settori sud e 3 sono emersi sedimenti contenenti poco materiale della fine del Medioevo (prima metà XV sec.) e abbondanti materiali d'epoca recente[808].

Dall'indagine in località Römerstrasse 213/215 non sono emersi perimetri completi di case. Non vi è in particolare traccia dell'entrata della casa o del corso preciso dell'antica strada principale del villaggio. Unici indizi sono la buca di palo e la traccia di una trave d'appoggio delle fasi 1 e 2, che consideriamo elementi della facciata dell'edificio. L'occupazione ha inizio in epoca tardo-augustea o tiberiana con un'installazione a carattere artigianale e perdura fino agli anni '80 del I sec. Si suppone che almeno la prima casa sia stata suddivisa in un'officina che dava sulla strada e in un ambiente d'abitazione sul retro. Dallo scavo nel settore 3, nel giardino dell'attuale casa in Römerstrasse 213/215, si desume che questa zona è stata occupata solo dopo la metà del I sec., con i possibili resti della parete nord dell'abitazione che durante fase 4 occupava questa zona del vicus. Il risultato più interessante di tutta l'indagine consiste senz'altro nel rinvenimento delle cinque fosse artigianali di fase 1, sfruttate per la lavorazione del ferro. Un secondo aspetto di rilievo è la persistenza nell'ubicazione del focolare domestico nel settore 1, che da una fossa a combustione dei primi decenni della nostra era fu rinnovata durante ben quattro fasi d'insediamento, fino al regno di Vespasiano.
Traduzione Rosanna Janke

Summary
The analysis presented here shows a settlement in the locality Römerstrasse 213/215 from Augustan/Tiberian times until the Neronian/Vespasian period. It was possible to discern up to five settlement phases stratigraphically in the excavated area. Only in phases 3 and 4 was it feasible to link the stratigraphy of the southern with the northern part. However, for the previous construction phases one can also assume cohesive planning of one house plan oriented towards the ancient main road. Exact dating of phases 1 and 2 was especially difficult due to lack of finds. The first use of the area probably started as early as Augustan to early Tiberian times (fig. 130). Five work pits and a hearth, probably interpretable as a smith's hearth, provided evidence of iron processing work during this phase (phase 1). However, unfortunately this work is not clearly interpretable. It was not possible to detect potential multiple phases in this workshop, because the deposits from its use and the incurring refuse, such as slag for instance, was possibly removed regularly in order to make the production process run smoothly. With the exception of a number of post holes and a beam trench, no evidence of house plans could be found. However, they can be presumed to have existed, which is indicated by a post hole belonging to the façade of a house. Because of the extension of the portico and the front of the house at Römerstrasse 197, west of the excavated area, it is possible to reconstruct this façade exactly at this location. Hypothetically, the length of the front room – the workshop – measured between the front of the house and a layer change documented northwards, would come to 8.5 m[809]. The full size of the house would amount to at least 16 m in length and at least 6 m in width. In the northern part, a first hearth of rounded rectangular shape, erected on a previous firing pit, belongs to phase 1. A second hearth was unearthed nearby, northwest of the first one. While it was also possible to detect at least one post pit of significant size in this area, confirmed house plans are lacking. However, the living quarters may have been situated in the rear part of the house. In phase 2, during Claudian times, the southern part was made usable again by levelling off the area. A beam trench in the forecourt of the house, again possibly belonging to the façade, was documented at the same location as the post hole of phase 1 (fig. 156). In connection with a layer change in trench 5, the length of the room oriented towards the road would measure around 8.2 m. At the same time, in phase 2, a section of the northern part was levelled off and the hearth was rebuilt and now consisted of a stone setting with overlying firing area and surrounding stone circle. While the layers in the northern and southern parts could not be correlated during phases 1 and 2, a layer change detected at the 48.00 m coordinate could point to a division of the building into a room facing the road and a back room. It was only from phase 3 onwards, namely during Claudian-Neronian times, that we found a rough levelling over the whole excavation area, above which a floor consisting of sparsely strewn wood chips was detected in the southern part and a surface with yet another hearth was found in the northern section (fig. 158). This time the hearth had been moved slightly to the southwest and consisted of a stone setting with round-oval firing area and enlarged with a loam circle. A layer change could be clearly detected at the 47.00 m coordinate. It is remarkable that, compared to the northern part, the archaeological surface in the southern part was situated up to 23 cm higher. The partly crusted surface of the wooden floor can possibly be linked to the impact of fire. We uncovered a first use of the area, probably belonging to phase 3, represented by an occupation layer with a pit in the southwesterly extension of trench 1. Phase 4 started off in Neronian-Vespasian times with a rough levelling, above which a clay floor was added in the southern part (fig. 160). A layer change was clearly visible at the 47.00 m coordinate in trenches 5 and 6. This manifested itself through two adjacent clay floors and a levelled off area which indicated a division in this sector of interior or exterior rooms.

802 Colluvions: pos. 16/59/78; moraine: pos. 40/75.
803 Pos. 11 (Bas Moyen Âge)/12/74; Secteur 3: pos. 197/198/73.
804 Cfr. cap. III.1.2.1.
805 Cfr. cap. III.1.2.1 e III.4.3.3.
806 Rychener/Albertin 1986, 236 planimetria 4.
807 Mat. d'erosione strato No. 16/59/78; mat. di provenienza morenica No. 40/75.
808 Strato No. 11 (Tardo Medioevo)/12/74; settore 3, strato No. 197/198/73.
809 See Chapter III.1.2.1.

South of the 47.00 m coordinate, the archaeological surface was again clearly situated higher (by 10–20 cm). During this phase, significant structures were only detectable in the northern part: A new circular hearth was constructed on top of the hearth belonging to phase 3. This hearth had an outer loam circle and probably a stone ring. An elongated oval pit in this area could not be interpreted. Southwest of trench 1, the archaeological surface thinned out at a beam trench, probably the western wall of the house. Beyond the beam trench, a change of rooms was indicated by several levelled layers on top of which lay a clay floor with an archaeological surface. Unfortunately, the exact dating of this area was not possible due to lack of finds. Including – though this possibility is only a hypothesis – the dry foundation unearthed in the northern trench 3, phase 2, the following ground plan could be reconstructed (fig. 167)[810]: The length, measured from the supposed back wall to the presumed house front would come to at least 25 m. A back room would be around 18 m long up to the layer change in trench 5. From the beam trench, interpreted as the western wall, up to another layer change documented in trench 2, the width of the supposed room would come to around 5 m. Therefore, this ground plan could have been of the same size as the elongated rectangular building C1 that was uncovered at the site of Römerstrasse 186 and dates to around the same period. That building was around 29.5 m long and about 12 m wide[811]. A further levelling with an occupation layer, found only in the northern part, was called phase 5. Unfortunately it was not datable. In excavation trench 3 at the back, three building activities at short chronological intervals were detectable stratigraphically. They date from Neronian to Vespasian times and therefore correspond to phase 4 within the house. The only structure found was the sill beam foundation mentioned above. This was destroyed by fire, which is indicated by a thick burnt layer.

All the Roman layers were covered by a natural surface of sediments washed in from the slope, on top of which there was a thick layer of artificially redeposited moraine[812]. Only in the southern part and in trench 3 was it possible to document layers that contained some Late Medieval (first half of the 15th century) and a large number of modern finds[813].

The excavation at the site of Römerstrasse 213/215 uncovered an area within the vicus where – as far as the small excavation areas allow an interpretation – wooden buildings had existed at least part of the time. Apart from the stratigraphy, certain constructive details such as post pits, post holes and beam trenches, provide us with clues. However, clearly discernible house plans could not be detected. Besides a supposed post hole and a beam trench in the forecourt of the house, which can probably be interpreted as the house front oriented towards the ancient village road in phases 1 and 2, no other evidence of possible house entrances from the road or even of the route of the ancient main road itself could be gathered. The settlement within the excavated area started off with commercial use as early as in Augustan-Tiberian times and lasted until the Neronian-Vespasian period. At least for phase 1, a division into a workshop overlooking the road and a living room at the back can probably be assumed. Trench 3, situated in the rear garden area, points to a settlement in this back region, but not before Neronian-Vespasian times. One might detect the northern back wall of a building inhabited during phase 4 in the sill beam foundation uncovered there. The most informative results obtained from the excavation consist of the five working pits of phase 1 that stood in the context of an iron processing workshop. A further interesting aspect is the continuity of the settlement in the area of the hearth in trench 1. This hearth, starting off as a firing pit, was renewed with only slight changes in orientation during all four construction phases and, therefore, provides evidence of use from the Augustan/Tiberian period through to Neronian/Vespasian times.
Translation Sandy Hämmerle

5 RÖMERSTRASSE 221
(Ausgrabung 1996) *(Verena Jauch)*

5.1 Einleitung

Vom 15.7.–12.9.1996 bot sich der Kantonsarchäologie Zürich die Möglichkeit im Bereich der Liegenschaft Römerstr. 221 eine geplante Notgrabung durchzuführen[814].

5.1.1 Topographische Situation und Vorgehensweise

Die Parzelle Römerstr. 221 befindet sich im nordöstlichen Teil des Vicus Vitudurum (Abb. 168). Da dieser Bereich der Siedlung in den Vorjahren mehrfach Gegenstand wissenschaftlicher Untersuchungen war, konnte man sich bereits vor Beginn der Ausgrabung eine vage Vorstellung des zu erwartenden Befundes machen[815]. Besonders die Ergebnisse der Parzellen Römerstr. 229 und Römerweg 5 bezeugen, dass dieses Gebiet nördlich der antiken WE-verlaufenden Dorfstrasse während des 1. und 2. Jh. n. Chr. dicht besiedelt war. Die beiden oben genannten Parzellen sowie das Areal Römerstr. 213/215 konnten zudem Aufschluss darüber geben, dass auf dem Gelände in römischer Zeit verschiedene Handwerker ihrem Gewerbe nachgingen. Man erhoffte sich, durch die Untersuchung der Parzelle Römerstr. 221, neue Erkenntnisse über die Zeitdauer und die Art der Nutzung dieses Gebiets zu gewinnen.

Das Bauvorhaben schloss eine Unterkellerung im hofseitigen Bereich innerhalb des bestehenden Gebäudes sowie den Bau einer Garage im rückwärtigen Gartenareal mit ein[816]. In einem ersten Schritt wurde die Grabung im Inneren des 1489 errichteten Bohlenständerbaus begonnen (Feld 1; Abb. 169). Im Zuge der Ausgrabungen ergab sich, dass in dieser etwa 10 m^2 grossen Fläche in Zusammenhang mit einer umfangreichen Renovation im Jahre 1814 bereits ein halbtiefer Keller ausgehoben worden war[817]. Leider waren dadurch die römerzeitlichen Schichten bereits vollständig abge-



Abb. 168. Vicus, Nordostquartier. Übersichtsplan. M. 1:2000.

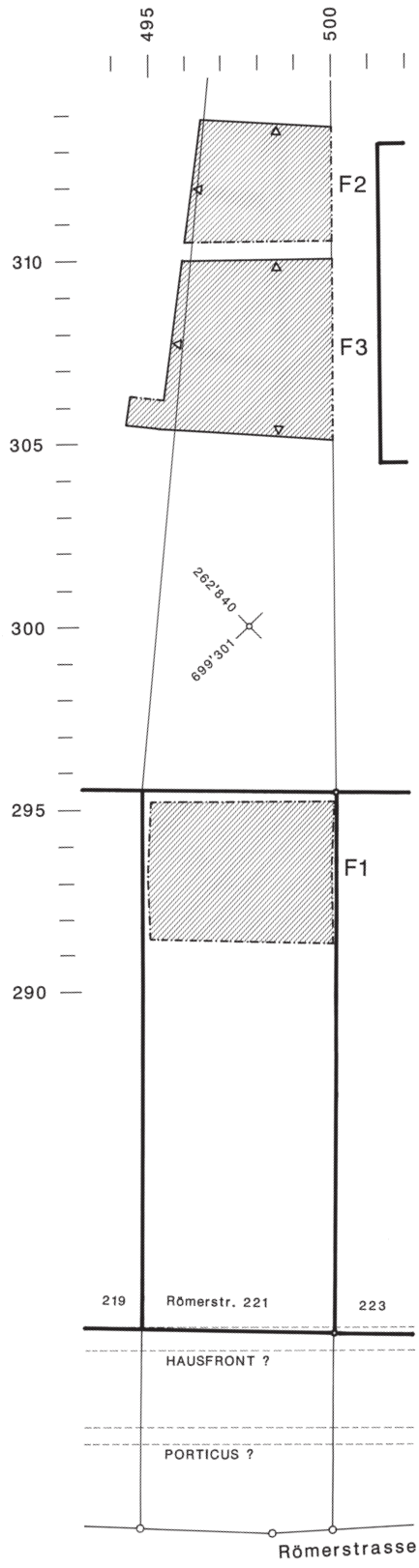


Abb. 169. Römerstr. 221. Lage der Grabungsfelder 1–3. M. 1:200.

tragen. Eine Ausnahme stellt möglicherweise eine in den gewachsenen Boden eingetiefte Grube dar, die nur einen Knochen und ein kleines, wohl römisches Keramikfragment enthielt[818]. In einem zweiten Schritt wurden die Grabungsaktivitäten in den Gartenbereich verlagert, in dem mittels zweier Felder ein Areal von etwa 37 m² untersucht werden konnte (Feld 2 und 3; Abb. 169). Vorab wurde die Fläche einer geoelektrischen Prospektion unterzogen, die allerdings keinerlei römische Strukturen zu erkennen gab[819]. Nach dem maschinellen Abtrag des Humus und des oberen Teils eines neuzeitlich-römischen Mischhorizonts wurden die Felder in Schichten flächig von Hand abgetragen. Die Auswertung dieser 40–70 cm mächtigen Stratigraphie ergab sechs als Bauphasen bezeichnete Siedlungsaktivitäten, die von der prähistorischen Epoche bis in die Neuzeit datiert werden können. Im Folgenden werden diese Bauaktivitäten in chronologischer Reihe vorgestellt, wobei das Hauptaugenmerk auf die Strukturen gerichtet ist, die Funde dagegen jeweils nur zur Datierung der Phasen hinzugezogen werden. In Ausnahmefällen wird auf einige speziellere Fundobjekte genauer eingegangen. Die Feinkeramik der fundreicheren Phasen 3–5 wurde zusätzlich tabellarisch erfasst. (Tabellen im Anhang). Bei der Beschreibung der Befunde bedeutet der Einfachheit halber Norden nicht geographisch Norden, sondern das durch den Felderraster festgelegte Grabungsnord (Abb. 169).

5.2 Die Bauphasen

5.2.1 Phase 1a – Prähistorische Strukturen (Abb. 170)

Über dem zuunterst fassbaren, gelben gewachsenen Boden, der als steriler Hanglehm zu bezeichnen ist[820], lagerte ein graubrauner, toniger Silt, welcher zunächst ebenfalls als gewachsener Boden interpretiert wurde. Dieses Mischmaterial aus fossilem Humus und Hanglehm war jedoch nur in seinem unteren Teil steril[821]. Nach einem ersten Abstich von 10–20 cm konnten in dem fleckig rostigen Boden einige Strukturen und wenige Funde entdeckt werden[822]. Der konstruktive Zusammenhang dieser drei Pfostengruben mit Pfostenlöchern und einer Grube bzw. Mulde bleibt jedoch unklar.

---

810 See Chapter III.4.3.3 or III.1.2.1.
811 Rychener/Albertin 1986, 236 Plan 4.
812 Washed in slope sediments Pos. 16/59/78; Moraine Pos. 40/75.
813 Pos. 11 (Late Middle Ages)/12/74; Trench 3: Pos. 197/198/73. 188 Dendrodaten vom Laboratoire Romand de Dendrochronologie, Moudon, LRD 92/R 3123.
814 Archäologische Untersuchung 1996.019; LK 1072, 699 300/262 850; Höhe 468 m ü. M.; JbSGUF 80, 1997, 260f.; AIZ 1995–1996, 14. Ber. KA Zürich (1998) 51f. Vorab wurde unter der Leitung von R. Szostek eine Bauaufnahme vorgenommen. Die Ausgrabung wurde technisch durch R. Gamper und wissenschaftlich durch V. Jauch betreut. Das Grabungsteam bildeten F. Jetzer, R. Minnig und M. Wiesendanger.
815 Vgl. die Untersuchungen der Parzellen Römerstr. 209, 213/215, 229 und Römerweg 5 in diesem Band.
816 Bauherrschaft Fam. Kunz; Architektengruppe 4, Oberwinterthur.
817 Dendrodaten vom Laboratoire Romand de Dendrochronologie, Moudon, LRD 96/R4161T. Das aus dem Keller geborgene Fundmaterial datiert hauptsächlich in das 18. und 19. Jh.
818 Dm. 50 cm; wahrscheinlich handelt es sich um eine Pfostengrube; das einzige Keramikfragment könnte auch prähistorisch sein.
819 RADAR Nr. 4087, J. Leckebusch, Archiv KA.
820 Pos. 85.
821 Pos. 79.
822 Auf einer Höhe von OK 467,30–48 m ü.M.

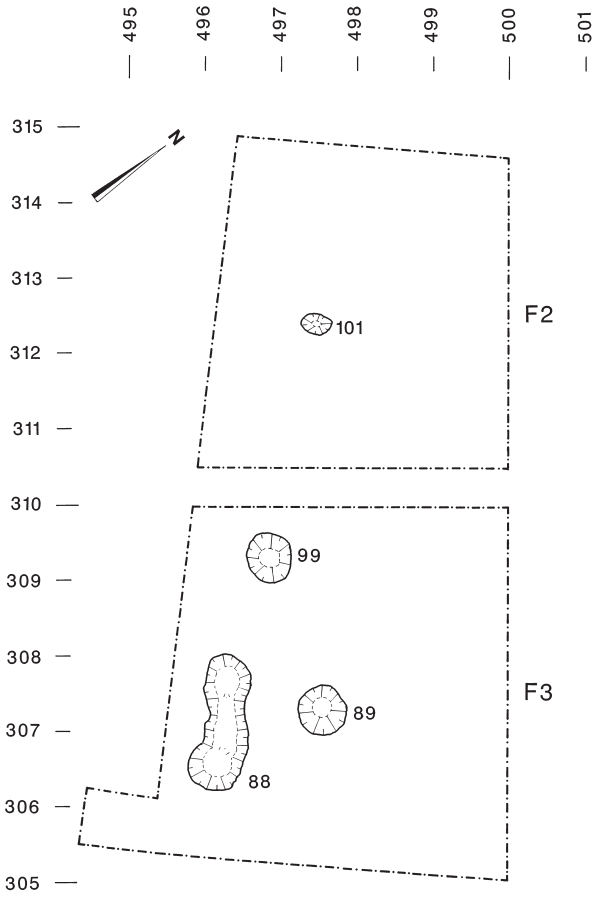


Abb. 170. Römerstr. 221. Phase 1a. Übersichtsplan. M. 1:100.

Strukturen
Im südwestlichen Bereich von Feld 3 zeichnete sich eine flache, ovale Grube ab, deren unförmige Konturen etwa 1,8 m Länge und 45–65 cm Breite aufwiesen[823]. Bei der Grube, die zwei wohl bronzezeitliche Keramikfragmente enthielt, könnte es sich auch um eine natürlich entstandene Verfärbung, möglicherweise von einem ehemaligen Baumstandort, handeln.

Etwa 75 cm östlich davon befand sich auf selber Höhe eine Pfostengrube mit Pfostenloch[824]. In dem Füllmaterial fanden sich wenige Wandscherben prähistorischer Keramik, ein Klopfstein sowie zwei Knochen (Kat. **4**).

Nur 1 m nördlich dieser beiden Strukturen wurde eine zweite Pfostengrube mit zentrischem Pfostenloch sichtbar. Ausser einem Knochen konnten keine Funde festgestellt werden[825].

In Feld 2 war direkt auf der Sohle eines jüngeren Grabens eine Pfostenstellung zu erkennen[826]. Obwohl keine Funde geborgen wurden, weist die stratigraphische Lage dennoch auf eine vorrömische Zeitstellung[827].

Datierung
Neben den wenigen Wandscherben, die wohl bronzezeitlicher Zeitstellung sind, und einem Klopfstein konnten ausserhalb der Strukturen in dem ersten Abstich im sog. gewachsenen Boden weitere Funde gemacht werden (Kat. **1–3**). Es handelt sich um einige prähistorische Wandfragmente, einen Silexabschlag und um zwei Scherben römischer Zeitstellung, u. a. um den Rand eines feinen Schälchens (Kat. **2**), einem wohl oberitalischen Import, wie er sich z. B. in Oberwinterthur, Römerstr. 169a, in einer frühtiberischen Grube fand[828].

5.2.2 Phase 1b – Strukturen unbestimmter Zeitstellung (Abb. 171)

Etwa 10–20 cm über dem prähistorischen Horizont der Phase 1a wurden in derselben Schicht, dem sog. gewachsenen Boden[829], verschiedene Verfärbungen sichtbar. Sämtliche Strukturen waren an dessen Oberkante zu erkennen und wurden von einer jüngeren Kiesrollierung bzw. von dem umgelagerten gewachsenen Boden überdeckt[830].

Strukturen
Es handelt sich um acht Pföstchen, die sich ohne erkennbare Anordnung auf die Felder 2 und 3 verteilten[831]. Bei drei weiteren Pfostenlöchern ist die Funktion nicht gesichert; evtl. handelt es sich um natürlich entstandene Verfärbungen[832]. Am Westprofil von Feld 2 wurde ein kleiner 6 cm breiter Graben angeschnitten, der kurz vor einem Pföstchen endete. Ob es sich um eine stehende Bohle gehandelt hat, oder ob wir eine natürliche Bodenverfärbung vor uns haben, ist nicht zu entscheiden[833].

Datierung
Eine genaue zeitliche Einordnung der Phase 1b ist mangels Fundmaterials nicht vorzunehmen. Auf Grund der Stratigraphie ergibt sich eine Datierung jünger als die wohl bronzezeitliche Phase 1a und älter als die älteste sicher fassbare römische Siedlungsaktivität.

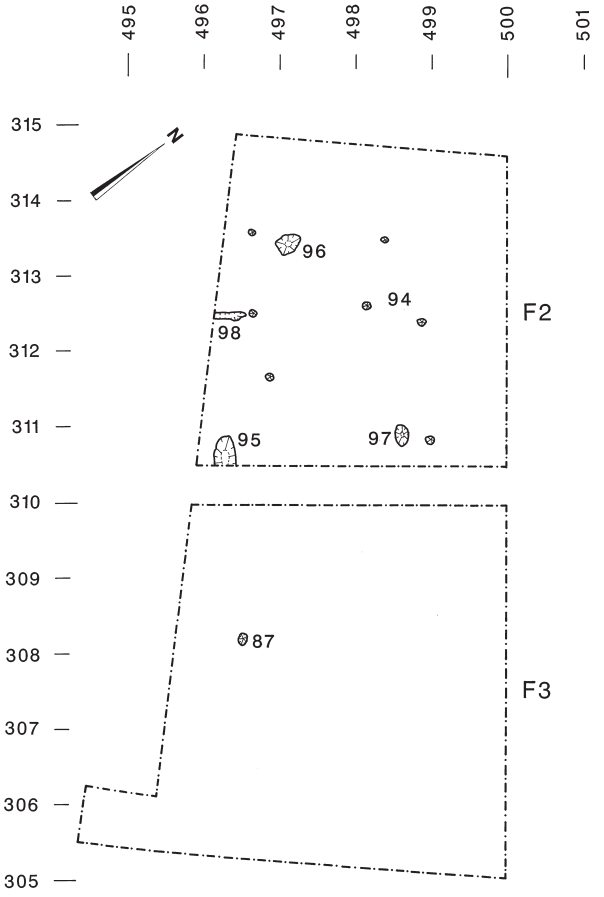


Abb. 171. Römerstr. 221. Phase 1b. Übersichtsplan. M. 1:100.

5.2.3 Phase 2 – Die älteste römerzeitliche Nutzung des Areals (Abb. 172 und 179)

Als Phase 2 wurde die älteste, konkret fassbare römische Siedlungsaktivität im Areal Römerstr. 221 bezeichnet. Es erfolgte eine Unterteilung in die Phasen 2a und b: Zunächst wurde das Gelände mittels eines grossen Entwässerungsgrabens trockengelegt. Dieser stand aber nur kurze Zeit in Benutzung und wurde von den darauf folgenden Hauskonstruktionen überbaut. Das Vorhandensein von Passscherben in Strukturen und Schichten beider Phasen belegt, dass sie zeitlich nicht weit auseinander liegen.

Phase 2a – Entwässerung des Geländes (Abb. 172)

Als eine erste römische Bauaktivität ist für uns ein NS-ausgerichteter Graben fassbar, der ausgehend von einer Phase 1b überdeckenden Kiesrollierung abgetieft wurde. Hausgrundrisse konnten der Bauphase 2a nicht zugeordnet werden.

Strukturen
In der Osthälfte der Felder 2 und 3 wurde auf einer Länge von 7,75 m ein annähernd NS-verlaufender Graben dokumentiert (Pos. 77; Abb. 173–176). Er wurde mit leicht gerundeter Sohle V-förmig eingestochen, besass eine Breite von 60–80 und eine Tiefe von etwa 40 cm. Über dem Graben hatte sich die Benutzungsablagerung der nächstfolgenden Bauphase bis zu 26 cm dick abgelagert[834]. Sicherlich gleichzeitig mit der Anlage des Grabens ist eine Pfählchenreihe, die nicht in der Füllung, sondern erst auf der Sohle am östlichen Grabenrand sichtbar wurde, und die sich in Feld 3 in einer zum Teil doppelten Reihe fortsetzte (Abb. 177)[835]. Vermutlich waren weitere Pfostenlöcher wegen ihrer geringen Tiefe nicht mehr zu erkennen. Auf Grund seiner Breite, seines Querschnittes und der nur flach eingeschlagenen Pfählchen, erscheint eine Interpretation als Balkengraben eher unwahrscheinlich. Obwohl auf dieser kurzen Distanz kein eindeutiges Gefälle feststellbar war, möchte man bei dem Graben eher an einen von den ersten römischen Siedlern angelegten Entwässerungsgraben denken, dessen Böschung mit mindestens einem Flechtwerkhag gesichert wurde. Ein auf einer Länge von 4 m sehr gut erhaltener Wasserkanal mit Flechtwerkwand stammt aus Winterthur, Steinberggasse, und datiert ins späte 12. Jh. (Abb. 178)[836]. Vielleicht lässt sich ein leider nicht eindeutiger Befund aus Oberwinterthur, Unteres Bühl, Parzelle 8, in ähnlicher Weise rekonstruieren[837]. Vermutlich sind in zwei aus runden bis kantigen Pföstchen gebildeten Parallelreihen die Seitenwangen eines Kanals zu sehen, der dendrochronologisch ins Jahr 21 n. Chr. datiert[838]. Im Profil waren leider weder die Pföstchen noch der Kanalgraben zu erkennen. Dass die Faschinentechnik in Oberwinterthur in römischer Zeit bekannt war, belegen mindestens zwei weitere Befunde aus dem Unteren Bühl: Ein Holzkasten unbekannter Funktion wurde in spätaugusteischer Zeit in Haus 10 aufgestellt. In Zusammenhang mit der Anlage der Strasse um 7 n. Chr. war der Unterbau des Strassenkoffers partiell mit einem Flechtwerkhag aus Eschenholz verankert worden, eine Sicherung, wie sie auch in Augst BS belegt ist[839]. Es fällt auf, dass die Faschinentechnik besonders in Befundsituationen spätaugusteischer Zeit nachweisbar ist.

Als Gehniveau für Phase 2a diente eine lockere Kiesrollierung, die beide Grabungsfelder streifenartig durchzog[840].

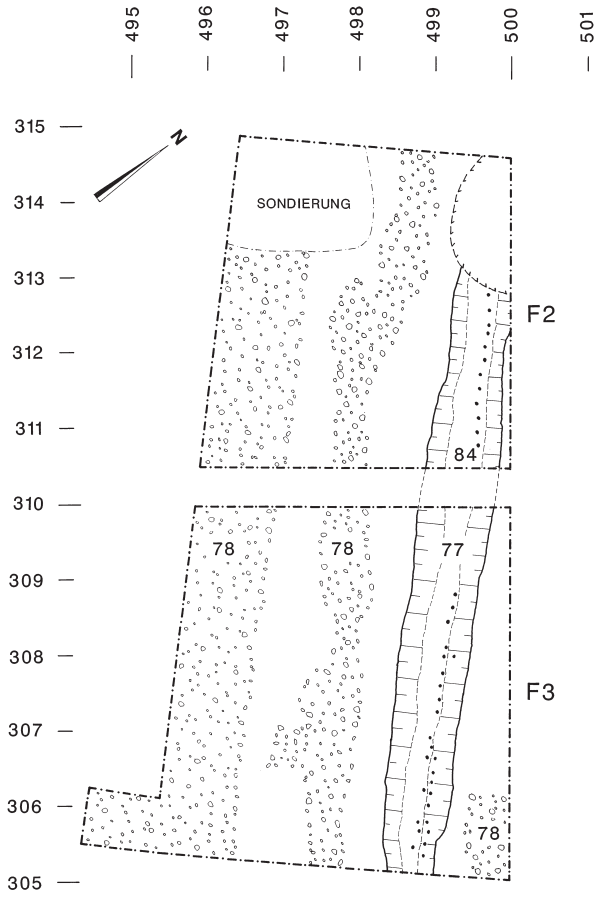


Abb. 172. Römerstr. 221. Phase 2a. Übersichtsplan. M. 1:100.

[823] Pos. 88; T. 5–11 cm.
[824] Pos. 89: Pfostengrube Dm. 70 cm; Pfostenloch Dm. 45 cm, T. 55 cm.
[825] Pos. 99: Pfostengrube Dm. 60 cm; Pfostenloch Dm. 45–50 cm, T. 38 cm.
[826] Pos. 101: Pfostengrube Dm. 32 cm; Pfostenloch Dm. 22 cm, T. 39 cm.
[827] Zum einen lagen zwei der zu dem jüngeren Graben Pos. 61 gehörenden Pföstchen oberhalb der Grube, zum anderen befand sich die Unterkante des Pfostens ca. 40 cm tiefer als die der Pföstchenreihe im Graben und gehörte somit sicherlich nicht zu dieser Konstruktion, sondern stellt eine ältere Struktur dar.
[828] Publikation durch B. Hedinger in Vorb.; zum Typ vgl. Schucany 1996, 85 Abb. 71.
[829] Pos. 79.
[830] Kiesrollierung Pos. 78; umgelagerter gewachsener Boden Pos. 44.
[831] Pos. 87: Dm. 12–20 cm; Pos. 94: 7 Stück. Dm. 7–9 cm.
[832] Pos. 97: Dm. 15–25 cm; Pos. 95: Dm. 25–30 cm; Pos. 96: Dm. 25–35 cm.
[833] Pos. 98: T. 5 cm.
[834] Pos. 71.
[835] Pos. 84; die Pfählchen besassen Durchmesser von 3–4 cm und befanden sich voneinander in Abständen von 14–20 cm.
[836] Winterthur, Steinberggasse, Ausebnung Etappe 6, archäologische Untersuchung 1996.066. JbSGUF 80, 1997, 273; AIZ 1995–1996, 14. Ber. KA Zürich (1998) 46.
[837] Freundlicher Hinweis von Ch. Ebnöther.
[838] Pföstchen Dm. 6–14 cm, in einem Abstand von 10–20 cm.
[839] Freundlicher Hinweis von P. Albertin und Th. Pauli. Zürcher 1982, 217; zu den Befunden aus Augst vgl.: R. Hänggi, Zur Baustruktur der Strassen von Augusta Rauricorum. JbAK 10, 1989, 80–87 Abb. 11; 17; 20–21.
[840] Pos. 78.

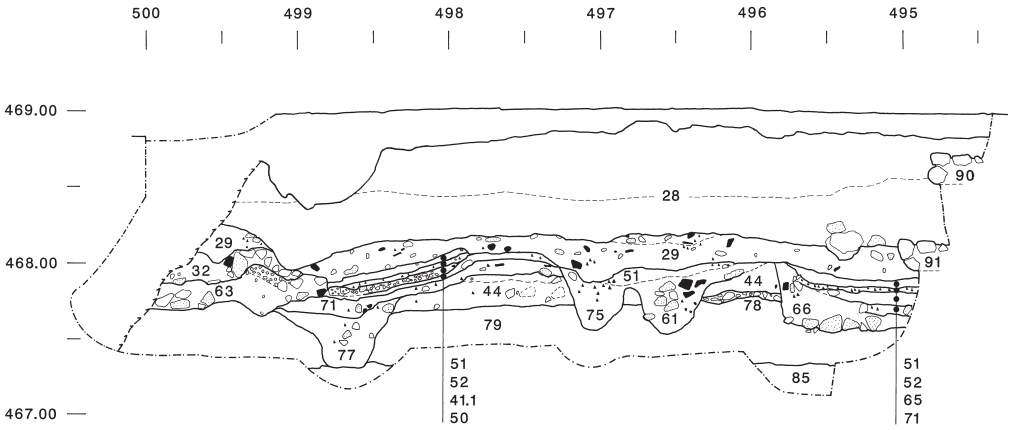


Abb. 173. Römerstr. 221. Feld 3. Südprofil. M. 1:50.

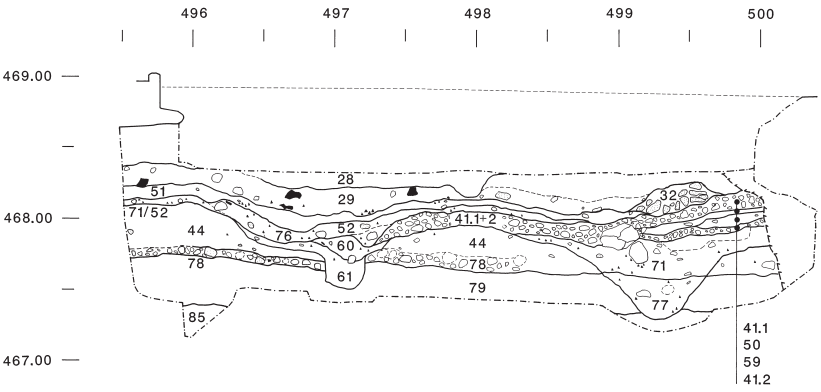


Abb. 174. Römerstr. 221. Feld 3. Nordprofil. M. 1:50.



Abb. 175. Römerstr. 221. Phase 2a. Feld 2. Entwässerungsgraben Pos. 7. Ansicht von Nordwesten.

Datierung

Als Datierungsanhaltspunkt für Phase 2a ist die Verfüllung des Entwässerungsgrabens heranzuziehen. Man muss jedoch bedenken, dass der Graben mit der Kulturschicht der nächstfolgenden Phase 2b verfüllt war und die Funde nicht in zwei Abstichen geborgen wurden. Das Fundmaterial zeichnet sich durch das Fehlen von südgallischer Terra Sigillata aus; stattdessen finden sich italische Sigillaten, darunter die Formen Consp. 20.1 aus augusteischer bis frühclaudischer Zeit

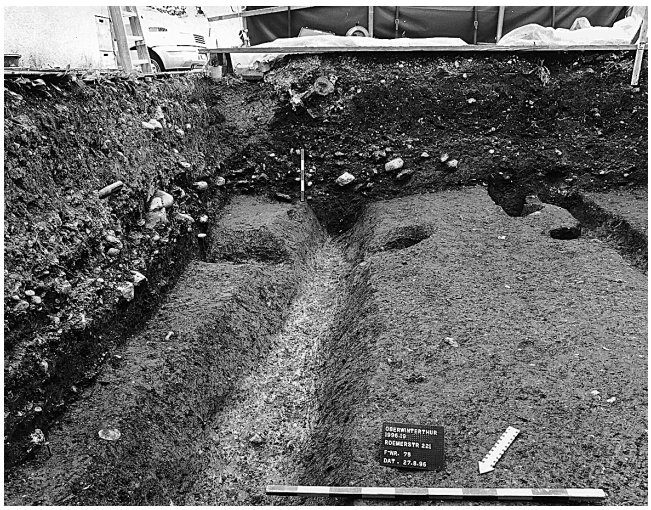


Abb. 176. Römerstr. 221. Phase 2a. Feld 3. Entwässerungsgraben Pos. 77. Ansicht von Nordwesten.



Abb. 177. Phase 2a. Feld 2. Pföstchen in Entwässerungsgraben Pos. 77.



Abb. 178. Winterthur. Altstadt, Steinberggasse. Kanal. Ansicht von Norden.

(Kat. **5–6**)[841] und eine Wandscherbe, die wohl der Form Consp. 31 zugerechnet werden kann, die in spätaugusteische bis frühtiberische Zeit verweist[842]. Für eine frühe Datierung spricht weiterhin ein Teller vom Typ Drack 1, der zwischen 10 v. und 20 n. Chr. hergestellt wurde (Kat. **7**)[843]. Vornehmlich aus augusteischen Zusammenhängen ist die Form des Doliums mit gerilltem Trichterrand bekannt (Kat. **10**)[844]. Auffallend sind Fragmente eines Gefässes aus sehr feinem, orangebraunem Ton und vertikaler Kannelurverzierung, das wahrscheinlich einen matten, dunkelbraunen Überzug besass (Kat. **9**); als Vergleich ist ein Stück aus Zürich-Lindenhof heranzuziehen, das aus einer augusteischen Schicht stammt[845]. Alles in allem weist das Fundmaterial deutlich in die 1. Hälfte des 1. Jh. n. Chr., wohl in den Zeitraum von spätaugusteischer bis tiberischer Zeit.

Phase 2b – Die ersten römischen Hausgrundrisse (Abb. 179)

Der Entwässerungsgraben der Phase 2a lag vermutlich nicht lange offen. Es setzte alsbald eine weitere Bauaktivität ein, in der wir die ältesten römischen Hausgrundrisse an dieser Stelle des Vicus fassen können. Als Gehhorizont der Phase

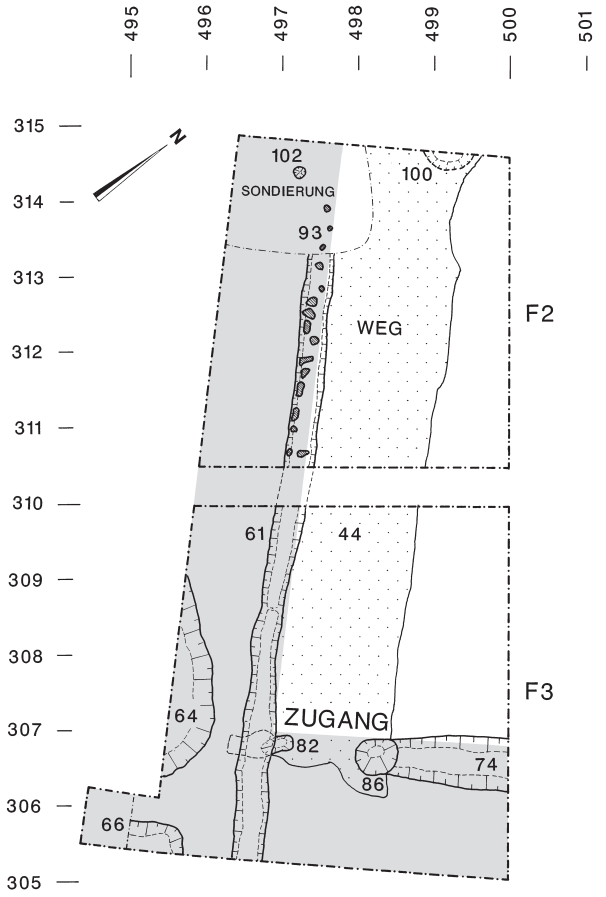


Abb. 179. Römerstr. 221. Phase 2b. Übersichtsplan. M. 1:100.

2b wurde der umgelagerte gewachsene Boden benutzt, der westlich des Grabens in Form eines bombierten Buckels angeschüttet wurde und als Trampelpfad gedient hatte[846]. In dieses Material wurden die Strukturen der Phase 2b eingetieft. Die zugehörige Kulturschicht erreichte besonders in dem Bereich über dem nicht mehr in Benutzung stehenden Entwässerungsgraben eine beträchtliche Stärke von bis zu 26 cm[847].

Strukturen

In den Feldern 2 und 3 war ein annähernd NS-ausgerichteter Weg erkennbar, der aus umgelagertem, gewachsenem Boden bestand, der in einer Breite von etwa 1,5 m aufgeschüttet wurde[848]. Westlich parallel zu diesem zeichnete sich auf einer Länge von 9,5 m ein Graben ab (Pos. 61; Abb. 180–181). Dieser besass einen rechteckigen Querschnitt mit einer Breite von 30 und einer Tiefe von 20–35 cm. Interessanterweise waren in Feld 2 in der Grabenverfüllung ins-

841 Conspectus 86f. Taf. 18.
842 Conspectus 106f. Taf. 28; Fragment nicht im Katalog.
843 Drack 1945, 62f. Taf. 1,1–4.
844 Castella/Meylan-Krause 1994, 151/1; Schucany in: Römische Keramik in der Schweiz, 78 Abb. 18, A. 7,10; D. 2,12; vgl. Lit. im Katalogtext.
845 Vogt 1948, 166ff. Abb. 35,12.
846 Pos. 44.
847 Pos. 71.
848 Pos. 44.



Abb. 180. Römerstr. 221. Feld 3. Pfostengrube Pos. 86 und Balkengraben Pos. 61 hinten (Phase 2b), Entwässerungsgraben Pos. 77 vorne (Phase 2a), Balkengraben Pos. 75 (Phase 3). Ansicht von Osten.

gesamt 16-reihig angeordnete Pfostenlöcher zu erkennen[849]. Ihrem Querschnitt nach handelte es sich zum Teil um runde Pfosten, zum Teil um Spältlinge. Mit grosser Wahrscheinlichkeit existierte eine vergleichbare Pfostenreihe in Feld 3, wo sie leider zu spät bzw. gar nicht erkannt worden war[850]. Das Vorhandensein eines Balkengrabens lässt normalerweise an einen Pfostenbau mit Schwellriegeln oder einen reinen Schwellbalkenbau mit Stab- oder Flechtwerkwänden denken. Da wir den Graben nur auf einer kurzen Distanz mit Unterbrüchen verfolgen konnten und da sich die weiteren zugehörigen Hauswände ausserhalb der Grabungsgrenzen befanden, ist die genaue Konstruktionsart nicht benennbar. Dennoch ist in den im Graben befindlichen Pfostenlöchern, die etwas tiefer als seine Sohle reichen, eine Besonderheit festzustellen. Eine vergleichbare Situation begegnet uns in einem Gebäude in der Parzelle Römerstr. 229 (Abb. 207)[851]. Bei dem als Pfostenbau mit Schwellriegel und Stabwand angelegten Haus weisen zwei Wände eine Abweichung auf: In regelmässigen Abständen sind deutlich in dem Balkengraben Spältlinge und Hälblinge zu erkennen. Darauf, dass diese nicht als Bestandteile der aufgehenden Wand, sondern als Unterlager für den Schwellbalken gedient hatten, weist ein Balken der Westwand, der deutlich auf den Substruktionspfählchen ruhte. Eine ähnliche Befundsituation bei einer einzelnen Hauswand begegnet uns im Vicus von Petinesca-Vorderberg BE[852]. Die dort freigelegten Holzbauten besassen zum Teil Wände, die sich durch Balkengräben mit Reihen kleiner Pföstchen von 5–10 cm Durchmesser auszeichneten. Es wird betont, dass diese zu schwach waren, um als tragende Elemente zu dienen, sondern wahrscheinlicher begleitend zu den Schwellbalken bestanden hatten. Wie man sich diese Konstruktion im Einzelnen vorzustellen hat, bleibt allerdings auch hier offen[853]. In einem Vorbericht äussert sich R. Zwahlen zu den vereinzelten Hauswänden mit Pfahlreihen insofern, als dass es unklar bleibt, ob sie als Flechtwände ohne Balkenunterzug oder als seitliche Verankerungen von Schwellbalken fungiert haben könnten[854]. Auch ein Befund aus der tiberisch-claudischen Holzbauperiode I aus Baden AG (Aquae Helveticae) zeigt eine Hauswand mit vereinzelten Pföstchen in einem Graben[855]. Im Falle unseres Befundes an der Römerstr. 221 bleibt zusätzlich unklar, ob nur eine oder sämtliche vier Hauswände nach demselben Prinzip errichtet waren.

In der südlichen Hälfte von Feld 3 wurde der Graben von einem Pfostenloch angeschnitten, dessen Ausmasse auf einen Hälbling weisen[856]. Mit diesem stand ein rechtwinklig auf Graben und Pfostenloch zulaufender, 40 cm breiter Balkengraben in konstruktivem Zusammenhang[857]. Dieser mündete in eine Grube, in der wiederum ein Hälbling stand[858]. Zwischen beiden Pfostenstellungen entstand somit ein Zwischenraum von 75 cm (Abb. 182). Offensichtlich haben wir in diesem Bereich einen weiteren Hausgrundriss angeschnitten oder genauer gesagt den zwischen zwei Pfosten befindli-

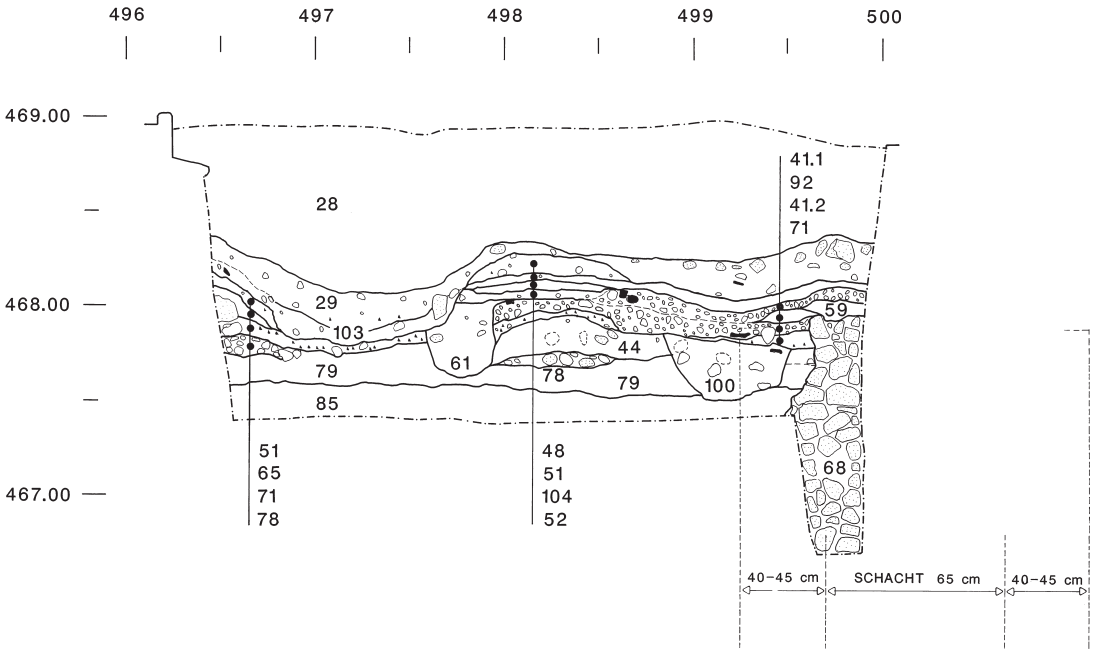


Abb. 181. Römerstr. 221. Feld 2. Nordprofil. M. 1:50.



Abb. 182. Römerstr. 221. Phase 2b. Feld 3. Pfostengruben Pos. 86 (vorne) und Pos. 82 (hinten). Ansicht von Nordosten.

chen Eingang eines Hauses. Der Weg führte direkt auf diese Türöffnung zu. Der umgelagerte gewachsene Boden diente möglicherweise auch innerhalb des Hauses als Gehniveau.

Nach dem obigen Befund haben wir es mit zwei Gebäuden zu tun, die einen Teil des NS-verlaufenden Balkengrabens als gemeinsame Hauswand benutzten. Wahrscheinlich waren die Häuser der Phase 2b als Konstruktionen mit Schwellbalken und Stabwänden errichtet[859]. Möglicherweise wurden noch Pfosten als tragende Elemente verwendet. Die kleineren Pföstchen auf der Grabensohle sind wahrscheinlich als Substruktionen des Schwellbalkens anzusprechen.

Das Gehniveau des westlichen Hauses bestand aus umgelagertem gewachsenem Boden. Innerhalb dieses Grundrisses wurde eine flache, etwa 3 m lange, muldenartige Grube angeschnitten, bei der es sich um einen abgetieften Bereich innerhalb eines Hauses gehandelt haben könnte (Abb. 183)[860]. Sämtliche darüber befindlichen Schichten senkten sich in diesem Bereich stark ab. In der südwestlichen Ecke von Feld 3 wurde eine zweite Grube teilweise freigelegt (Abb. 173, 183)[861]. Der wohl rechteckige Grundriss mit gerundeten Ecken erreichte eine Länge von mindestens 80 und eine Tiefe von 20 cm. Die Verfüllung aus tonigem Silt, der stark mit Holzkohle und Kieseln durchsetzt war, enthielt zahlreiche gut erhaltene Funde (Kat. **44–59**). Eine weitere Grube, deren Form und Ausdehnung nicht vollständig erfasst wurden, zeichnete sich im Nordprofil von Feld 2 ab (Abb. 181)[862]. Da sie den Weg an dieser Stelle auf einen Meter Breite verschmälerte, lag sie sicherlich nicht lange offen, sondern wurde alsbald wieder verfüllt und von der Benutzungsablagerung überdeckt. Eine letzte zu Phase 2b gehörige Struktur ist ein Pfostenloch, welches in der Nordecke von Feld 2 freigelegt wurde[863].

Datierung

Aus den Schichten und Strukturen von Phase 2b hat sich umfangreiches Fundmaterial erhalten. Heranzuziehen ist zunächst die Keramik aus der Benutzungsablagerung (Pos. 71; Kat. **23–43**): Neben nur einem Fragment italischer Terra Sigillata, ist die Sigillata aus Südgallien deutlich vorherrschend. Auffallend ist, dass Schälchen der Form Drag. 35/36, die ab etwa 60 n. Chr. importiert wurden, in Phase 2b noch nicht vertreten sind[864]. Relativ häufig sind Terra-Sigillata-Imitationen, die bis in neronische Zeit in Umlauf waren wie z. B. rot- und grautonige Teller vom Typ Drack 2/3 und eine Tasse vom Typ Drack 9[865]. Eine seltene Form liegt uns in einem zylindrischen Schälchen vor, das eine in claudischer, evtl. noch in neronischer Zeit in Südgallien produzierte Terra-Sigillata-Imitation darstellt (Kat. **31**; Abb. 184)[866]. Schüsseln dieser Gattung wurden in La Graufesenque (F) und evtl. auch in Montans (F) hergestellt. Ihre Verbreitung umfasst jeweils in wenigen Stücken einen sehr weiten Radius in Frankreich, Spanien, Deutschland, Grossbritannien und der Schweiz[867]. In Vindonissa AG wurde die bislang grösste Funddichte von 16 Gefässen vermerkt. Eine identische Verzierung wie unser Schälchen mit Andreaskreuz und floralem Dekor zeigt ein Gefäss aus Beja, Represas (E), als dessen Herstellungszentrum Montans (F) angenommen wird[868].

Eine Datierung dieser Phase in claudische bis frühneronische Zeit befürworten auch das sog. begriesste Schälchen aus der Gattung der Frühen Glanztonkeramik (Kat. **32**) sowie der Krug mit getrepptem Kragenrand (Kat. **37**)[869].

Zu Phase 2b gehören auch drei Hülsenspiralfibeln, von denen sich zwei auf dem Weg ausserhalb der Grundrisse befanden und eine nicht genauer lokalisiert werden konnte (Kat. **40–41**)[870]. Innerhalb des westlichen Gebäudes befanden sich in unmittelbarer Nähe zwei Militaria, die als Bestandteile von Waffen angesprochen werden (Kat. **21–22**)[871].

---

849 Pos. 93: Dm. 6–20 cm; in Abständen von 4–22 cm.

850 In Feld 3 wurde die Grabensohle irrtümlicherweise als zu tief angenommen.

851 Vgl. den Beitrag von R. Janke in diesem Band: Gebäude Ha; L. mind. 13 m; Br. 7,5 m; dat. Siedlungshorizont II und III, 1. Hälfte bis Ende 1. Jh. n. Chr.

852 In der Siedlungseinheit A.b–c; Datierung von Siedlungseinheit A.a–e = 20–40/50 n. Chr.; Zwahlen 1995, 143.

853 Zwahlen 1995, 46ff. Haus 2.2., Haus 2.3.; Rekonstruktion von Haus 2.2. 134ff. Ansicht von SW, sodass die entscheidende Nordwand nicht sichtbar ist.

854 R. Zwahlen, Die Holzbauten im römischen Vicus Petinesca. AS 16, 1993, 2, 74.

855 Schucany 1996, 59; 249 Beil. 12.

856 Pos. 82; 40 x 20 cm, T. 46 cm.

857 Pos. 74: T. 31 cm; der Balkengraben zog deutlich über den darunter liegenden älteren Graben Pos. 77.

858 Pos. 86; 38 × 20 cm, T. 46 cm.

859 Rychener/Albertin 1986, 23; 85 f. Römerstr. 186, Haus B1, 1. Viertel 1. Jh. n. Chr.

860 Pos. 64.

861 Pos. 66.

862 Pos. 100: L. 60 cm; T. 30 cm.

863 Pos. 102: T. mind. 5 cm; es wies die gleiche Stratigraphie auf wie die im Graben Pos. 61 befindlichen Pföstchen (Pos. 93), gehörte aber nicht in deren Reihe, da es mit einem Dm. von 15 cm grösser als diese war und sich zudem ausserhalb der Grabenflucht befand.

864 Furger/Deschler-Erb 1992, 50; Oberwinterthur, Kirchhügel, Periode C, vgl. Rychener 1984, 55 f. Abb. 49.

865 Furger/Deschler-Erb 1992, 73.

866 Zur Gattung: L. Ohlenroth in: Ettlinger/Simonett 1952, 42 ff. Taf. 1,226.

867 Vgl. auch Schindler-Kaudelka 1975, 146 (Form 146) Taf. 32,131; Greene 1979, 50–55. Abb. 21,1.3.5; A. Hied, Jahresh. Österr. Arch. Inst. 26, 1930, 135 Abb. 59 (Bregenz mind. 5 Gefässe).

868 Mayet 1975, 118 f. Taf. 77, 657.

869 Greene 1979, 17; Roth-Rubi 1979, 25 f. Taf. 3,21–33; Castella/Meylan-Krause 1994, 89 Nr. 303/2.

870 Fibeln auf dem Weg FB 19, nicht im Katalog, FB 12 und nicht lokalisierbare Fibel FB 11. Vgl. die Ausführungen von E. Corvi in Teil IV, Kap. 4.

871 Vgl. die Ausführungen von E. Deschler-Erb in Teil IV, Kap. 3.

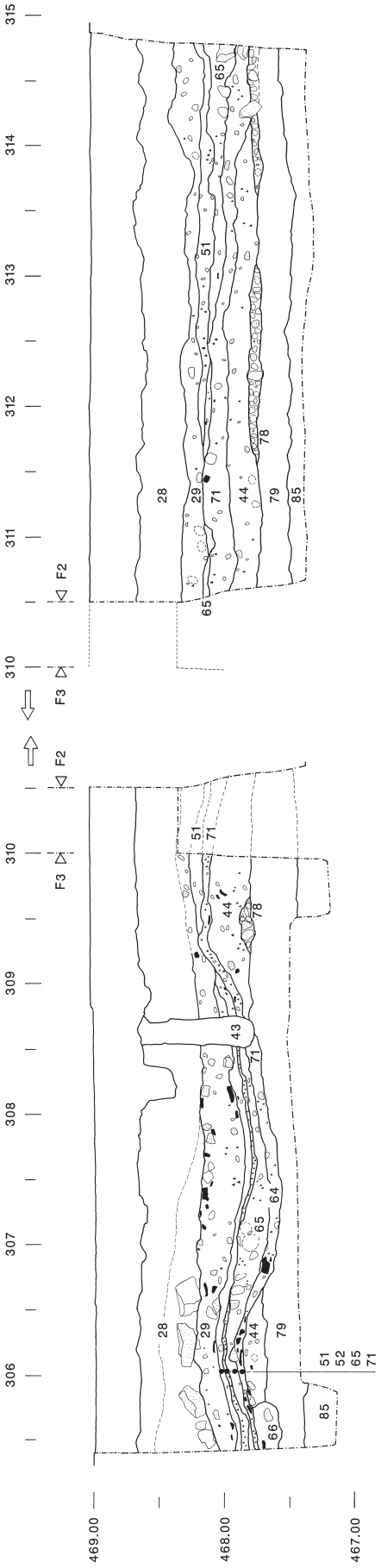


Abb. 183. Römerstr. 221. Felder 2/3. Westprofil. M. 1:50.

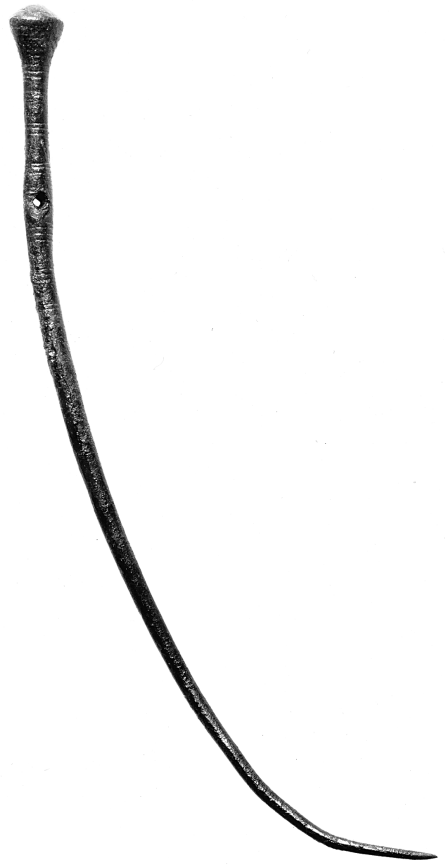


Abb. 185. Prähistorische Lochhalsnadel. M. 1:1,5.

Neben der Kulturschicht gibt besonders die Grube Pos. 66 weiteren Aufschluss zu Datierungsfragen (Kat. **44–59**): An Terra Sigillata war ausschliesslich südgallische Ware von auffallend hoher Qualität vorhanden, wobei die Reliefschüsseln vom Typ Drag. 29 gegenüber denjenigen vom Typ Drag. 37 eindeutig dominieren (mind. 7:1)[872]. Des Weiteren fanden sich jeweils eine Schüssel der Form Hofheim 12, die im 2. und 3. Viertel des 1. Jh. n. Chr. besonders in Legionslagern beliebt war und eine Schale des älteren Typs Drag. 24[873]. Auch die beiden Krüge, ein einhenkliger mit getrepptem Kragenrand sowie ein zweihenkliger mit Trichterrand scheinen ebenfalls auf eine Datierung der Grubenverfüllung in claudische evtl. noch frühneronische Zeit hinzuweisen (Kat. **57–58**)[874].

Das Fundmaterial aus den übrigen Strukturen, welches in der Regel weniger umfangreich ist, steht dieser Datierung nicht im Wege.

Ein Unikum stellt ein Bronzefund dar, der im Südprofil von Feld 3 aus der Kulturschicht geborgen werden konnte (Kat. **42**; Abb. 185). Es handelt sich um eine prähistorische Lochhalsnadel, deren Datierung die Stufe Bronze B umfasst und die eine Leitform des Horizonts Weiningen ZH (Hardwald) darstellt. Der Nadeltyp unterliegt einer grossen Variationsbreite, zeichnet sich aber durch einen mehr oder weniger stark verdickten, durchbohrten Hals und einen kleinen gerundeten oder umgekehrt konischen Kopf mit häufig linearer Verzierung aus[875]. In unserem Fall ist es nicht zu entscheiden, ob das Objekt zufällig beim Umgraben in die römischen Schichten gelangt war, oder ob es evtl. bewusst aus einem bronzezeitlichen Grab entwendet worden war und somit während der ältesten römischen Besiedlungsphase als

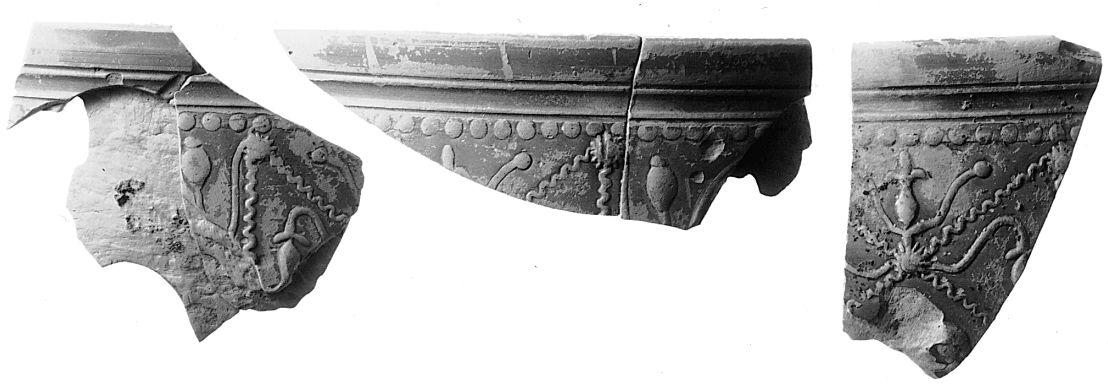


Abb. 184. Südgallische Terra-Sigillata-Imitation. FK 84.

Sammlerobjekt fungierte. Da uns aus Oberwinterthur zahlreiche mittel- und spätbronzezeitliche Siedlungsspuren bekannt sind und uns prähistorische Bronzeobjekte im Unteren Bühl mitunter in eindeutig römischem Kontext begegneten, ist diese These nicht von der Hand zu weisen[876].

5.2.4 Phase 3 – Erneuerung der Hausgrundrisse und erste Kiesrollierung (Abb. 186)

In Phase 3 wurde auf dem bereits bestehenden Trampelpfad und östlich davon bis zur Grabungsgrenze eine Kiesrollierung angeschüttet[877]. Nur partiell war darauf eine Benutzungsablagerung nachweisbar[878]. Die Unterscheidung der Phasen 3 und 4 gestaltete sich leider problematisch. Zum einen war eine Trennung nur im Bereich des Kieses – und hier erst bei der Betrachtung der Profile – durchführbar, zum anderen war sie auch an den Stellen sichtbar, wo sich die Brandplanie befand, die zu Beginn von Phase 4 zwischen den beiden Rollierungen eingebracht worden war[879]. Leider war Phase 3 in den Bereichen ausserhalb des Kieses stratigraphisch nicht nachweisbar, was die zeitliche Einordnung verschiedener Strukturen erschwerte. Vorauszuschicken sei letztlich, dass die Kiesrollierung in dem zuerst gegrabenen südlichen Feld 3 nicht als zweiphasig erkannt und in einem Arbeitsschritt abgetragen wurde; leider sind deshalb die aus diesem Bereich stammenden Funde nicht eindeutig einer bestimmten Siedlungsaktivität zuzuordnen.

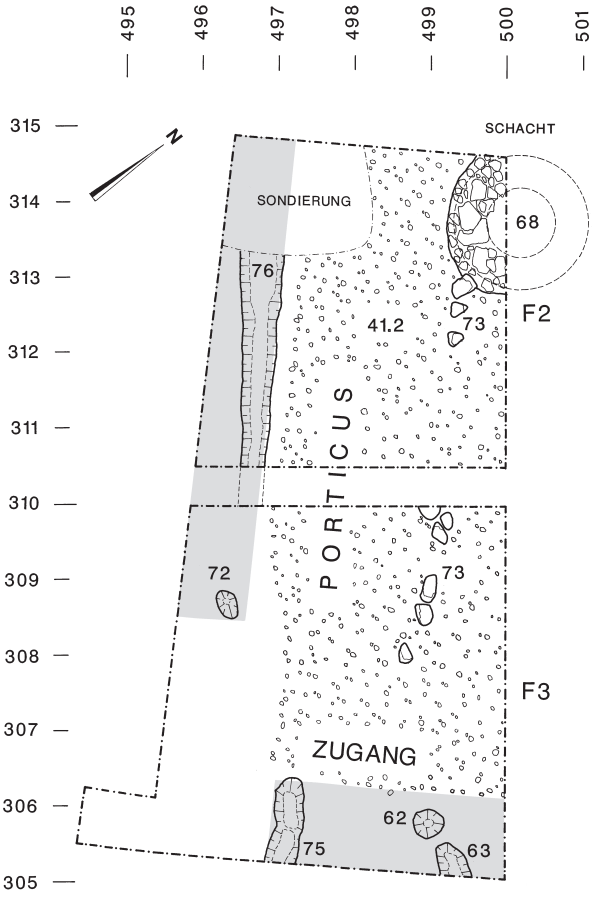


Abb. 186. Römerstr. 221. Phase 3. Übersichtsplan. M. 1:100.

Strukturen

Auf einer Länge von 8,5 m war eine Kiesrollierung fassbar (Abb. 187). Ein Balkengraben der Bauphase 2b wurde zur Stabilisierung des Gehniveaus mit Bollensteinen verfüllt[880]. Wie sich besonders in den Profilen zeigt, lag der Kies zum

872 Sämtliche bestimmbaren Fragmente.
873 Furger/Deschler-Erb 1992, 46; 57.
874 Einhenklig: Roth-Rubi 1979, Taf. 4,40; zweihenklig: a.a.O. Taf. 14,124.
875 E. Vogt, Die bronzezeitlichen Grabhügel von Weiningen, Kanton Zürich. ZAK 10, 1948/49; 28 ff.; Ch. Osterwalder, Die mittlere Bronzezeit im schweizerischen Mittelland und Jura. Monographien UFG der Schweiz 19 (Basel 1971) 22; 29f. Taf. 18,3.4; vgl. auch R. Pirling, Die mittlere Bronzezeit auf der Schwäbischen Alb (mittlere und westliche Alb). PBF 20,3 (München 1980) Taf. 2,K1.2; 6,C 1; 31,K2; 33,D; G. Wesselkamp, Die bronze- und hallstattzeitlichen Grabhügel von Oberlauchringen, Kr. Waldshut. Materialhefte zur Vor- und Frühgeschichte 17 (Stuttgart 1993) 58 Abb. 55; S. Hochuli in: Die Schweiz vom Paläolithikum bis zum frühen Mittelalter. SPM III Bronzezeit. SGUF (Basel 1998) 56ff. Abb. 18; 42 (Stufe C1).
876 Zu den prähistorischen Befunden aus Oberwinterthur vgl. Janke 1996; zu Römerstr. 221 vgl. Kap. 5.2.1 und Kap. 5.3; zahlreiche spätbronzezeitliche Befunde konnten im Areal Lindbergstr. 14, archäologische Untersuchung 1997.051, unpubliziert, geborgen werden.
877 Pos. 41.2.
878 Pos. 92.
879 Pos. 50.
880 Pos. 74.



Abb. 187. Römerstr. 221. Feld 2. Kiesweg und Teil des Schachtes am linken Bildrand. Ansicht von Nordnordwest.

einen auf dem älteren Trampelpfad, zum anderen aber setzte er sich östlich dieses Weges bis an die Grabungsgrenzen fort mit einer leichten, natürlich entstandenen Einsenkung über dem älteren Entwässerungsgraben (Abb. 173–174, 181). Da sich die östliche Begrenzung der Kiesrollierung ausserhalb des Grabungsareals befindet, ist nicht eindeutig zu klären, ob wir es mit einem mindestens drei Meter breiten Kiesweg zu tun haben oder ob der ehemalige Trampelpfad mit Anlage der Kiesrollierung platzartig erweitert wurde.

Der NS-orientierte Balkengraben aus Phase 2b diente jetzt nicht mehr als westliche Wegbegrenzung, sondern wurde mit Kies verfüllt[881]. Westlich parallel zum Weg wurde in Feld 2 ein Balkengraben freigelegt, der wahrscheinlich zu einem westlich anschliessenden Hausgrundriss gehörte (Pos. 76). Der Graben, dessen Wandung schräg bis steil eingestochen war, besass eine Breite von 40–50 und eine Tiefe von 19 cm. Leider blieb sein südlicher Verlauf unklar, da er in den Profilsteg mündete, sich in Feld 3 im Nordprofil schwach abzeichnet, sich aber südlich davon nicht mehr weiterverfolgen liess (Abb. 174). Eine weitere Struktur, die vielleicht mit diesem Balkengraben in Verbindung zu bringen ist, ist ein Pfostenloch in Feld 3[882]. Eventuell endete die Hauswand in



Abb. 188. Römerstr. 221. Feld 2. Schacht in der Nordostecke.

südlicher Richtung an diesem Pfostenloch. Westlich von Graben und Pfostenloch zeichnet sich im Nord- und im Westprofil von Feld 3 ein aus umgelagertem gewachsenem Boden bestehendes erhöhtes Niveau ab; südlich der Pfostenstellung fallen die Schichten deutlich ab[883] (Abb. 183). Sie bilden hier, begrenzt durch die Kiesrollierung bis an den Grabungsrand, einen als abgetieften Bereich oder Grube bezeichneten Befund, der möglicherweise Bestandteil eines tiefer gelegenen Raums war oder aber zu einer anderen Hauskonstruktion gehörte[884]. Dieser sog. abgetiefte Bereich war bis auf das Westprofil von Feld 3 leider nur in der Fläche sichtbar, was mangels stratigraphischer Abfolge seine zeitliche Einordnung erschwerte (Abb. 174, 183). In dem Gebiet südlich und westlich der Kiesrollierung befinden wir uns wahrscheinlich in einem Gebäudegrundriss, der eine Erneuerung der Häuser der Phase 2b darstellt. Vom Südprofil ragt auf einer Länge von 1,16 m ein Balkengraben in Feld 3, bei dem es sich möglicherweise um die Westwand eines östlichen Hauses gehandelt hat (Abb. 180)[885]. Am Südrand des Kieses befand sich eine Pfostengrube, die in die Füllung des älteren Entwässerungsgrabens eingetieft worden war[886]. Wahrscheinlich war der Pfosten Bestandteil der Hausnordwand und einer Tür, die in Verbindung mit dem Balkengraben eine lichte Weite von etwa 1,5 m ergeben hatte. Welche Funktion eine unmittelbar südlich gelegene zweite Pfostengrube erfüllte, ist ebenso wenig zu beantworten wie die Frage nach dem Gehniveau im Haus[887]. Die nur sehr lückenhaft vorhandenen Indizien lassen für Phase 3 eine ähnliche Bauweise wie für Phase 2b in Form von Schwellriegel-Pfosten-Konstruktionen leider nur erahnen.

In beiden Grabungsfeldern konnten insgesamt neun, direkt in den Kies eingebettete, plattige Steine gezählt werden, die sich in einer NS-ausgerichteten Flucht befanden[888]. Möglicherweise handelte es sich um die Auflager eines Schwellbalkens, welche mit dem westlichen Gebäude in Zusammenhang gebracht werden. Eine auf diese Art und Weise konstruierte Portikus hätte eine Überdachung des etwa 2,4 m breiten, gekiesten Streifens und damit des direkten Hauszugangs des südlich anschliessenden Gebäudes zur Folge gehabt[889]. Eventuell ging damit eine platzartige Erweiterung des Weges einher. Störend bei dieser Rekonstruktion ist einzig die Tatsache, dass sich der westliche Balkengraben als anzunehmende Hauswand in der Fläche von Feld 3 nicht mehr nachweisen liess und uns somit über die Ausdehnung dieses Grundrisses im Unklaren lässt.

Zur Benutzungszeit von Phase 3 gehörte ein Schacht, der in der nordöstlichen Ecke von Feld 2 zunächst nur zum Teil freigelegt werden konnte und als Sodbrunnen interpretiert wurde (Abb. 188, 181)[890]. Baubegleitende Untersuchungen im Herbst 1997 gemahnten uns jedoch zur Vorsicht hinsichtlich dieser ersten Interpretation. Die durch den Baggerabtrag erfasste, leicht konkave Sohle ergab eine effektive Schachttiefe von nur 2,5 m. In der runden Grube von etwa 1,8 m Durchmesser war ein etwa 45 cm starker Mantel aus 10–25 cm grossen Sandsteinen verlegt, welcher die lichte Weite auf 95 cm verringerte; die Verfüllung bestand einheitlich aus grauem, tonigem Silt. In welcher Tiefe sich in römischer Zeit der Grundwasserspiegel in diesem Areal befunden hat wissen wir nicht. Interessanterweise erreicht keine der auf dem Innenhof der Parzelle Römerstrasse 229/Römerweg 5 gelegenen Gruben eine grössere Tiefe, was möglicherweise als Indiz für einen hohen Grundwasserspiegel in diesem Teil des Vicus angesehen werden kann[891]. Ein in der Peripherie der Grabungsfläche Römerweg 5 befindlicher gemauerter Schacht entspricht in Grösse und Aufbau sowie in seiner geringen



Abb. 189. Römerstr. 221. Drei Austern aus dem Schacht.

Tiefe in etwa dem unsrigen Befund (Abb. 255). Die gleichzeitig während der 2. Hälfte des 1. Jh. n. Chr. angelegte Struktur wurde, wie ihre obere Verfüllung zeigt, interessanterweise erst in der 2. Hälfte des 2. Jh. n. Chr. zugeschüttet[892]. Vergleichbare Schächte in Trockenmauerwerk kennen wir beispielsweise aus Baden AG: Die im Hinterhof der Häuser bis etwa 40 m von der Strasse entfernt gelegenen Strukturen werden dort als Latrinen, Abfallgruben und Keller interpretiert[893]. Die Schächte besassen runde Durchmesser von 1–2 m und max. 3 m Tiefe. Das schlammige, kompostartige, mit Kalk durchsetzte Füllmaterial weist auf eine sekundäre Nutzung als Latrinen; auf Grund mangelnder Abdichtung möchte C. Schucany von einer Deutung als Zisternen absehen.

Auch aus dem nachlagerzeitlichen Vindonissa sind vergleichbare Strukturen bekannt[894]. Die in Trockenmauertechnik ausgeführten Schächte des 2. Jh. n. Chr., die einen Durchmesser von 1,5–2 m und eine max. Tiefe von etwa 3 m besassen, befanden sich in einem Abstand von 40–50 m parallel zur Via Principalis, möglicherweise im Hinterhofareal. Obwohl Ch. Meyer-Freuler für einige weniger tiefe Strukturen eine Nutzung als Keller nicht ausschliesst, deutet sie die Mehrzahl der Befunde auf Grund ihrer schlammig-schlickigen Einfüllung als Sickerschächte für das häusliche Abwasser, die zusätzlich der Beseitigung von Fäkalien und Abfällen gedient hatten[895].

Welche Funktion der Schacht im Areal Römerstr. 221 ehemals erfüllte ist nicht definitiv zu entscheiden. Eine Deutung als Latrine kommt sicher nicht in Frage, da das graue, eher humose Verfüllmaterial ganz und gar nicht dem Charakter einer Latrinenverfüllung entsprach. Die aus der Grube geborgenen Funde, Keramik, Knochen, wenig Glas, eine Münze und drei Austern führen ebenfalls nicht zwingend zu einer Interpretation als primäre Abfallgrube (Abb. 189; Kat. **82–94**). Möglicherweise geben uns die in der Verfüllung vorhandenen Schindelreste einen Hinweis auf eine ehemalige Überdachung der Anlage[896]. Bei einer Interpretation als Zisterne stört die Tatsache, dass der innere Steinkranz nicht mit einem Lehm zur Abdichtung verstrichen wurde. Allerdings würde der Hinweis von R. Hänggi, dass ein fettes, lehmiges, manchmal humos erscheinendes Material mit nicht klar trennbaren Schichtgrenzen in der unteren Grubenhälfte eher auf eine Nassverfüllung hindeutet, auch den Befund an der Römerstr. 221 charakterisieren[897]. Für sich gesehen weist die topographische Lage der Struktur auf der Kiesrollierung einer Seitengasse oder eines Platzes, wahrscheinlich unmittelbar vor der Portikus eines Hauses, meines Erachtens dennoch am ehesten auf eine Interpretation als Wasserspeicher hin – für welche Zwecke auch immer. Ein Keller in diesem vorgelagerten, exponierten Bereich würde wohl wenig Sinn ergeben. Der Schacht wurde ausschliesslich während Phase 3 benutzt und am Ende dieser Phase mit einer 10 cm starken Lehmlinse überdeckt, bevor darüber erneut eine Kiesrollierung aufgeschüttet wurde.

Datierung (Tab. 2 im Anhang)

Eine Zuordnung der Funde aus dem Kies an Phase 3 konnte nur in Feld 2 unternommen werden. Da sich die beiden Kiesrollierungen beim flächigen Abtragen nur an den Stellen genau unterscheiden liessen, an denen sie durch eine Brandplanie voneinander getrennt waren, ist die Vorlage dieser zum älteren Kieshorizont der Phase 3 gezählten Funde mit einem gewissen Vorbehalt zu betrachten (Kat. **68–81**). Diese Problematik mögen auch einige wenige Passscherben aus den Phasen 3 und 4 verdeutlichen. Des Weiteren muss nicht für alle aus dem Kies stammenden Fundobjekte zwingend eine Datierung in Phase 3 bzw. 4 zutreffen, da es sich durchaus um Abfallstücke gehandelt haben kann, die zusammen mit dem Kies aufplaniert wurden und somit einer älte-

---

881 Dies unterstreicht die Tatsache, dass uns diverse Passscherben aus dem Graben und aus Strukturen der Phase 3 vorliegen, nicht jedoch zu dem Fundmaterial der Phase 4.

882 Pos. 72; Dm. 25–30 cm; T. 22 cm. Da es von der Kulturschicht der Phase 4 überdeckt wird (Pos. 51), gehört es sicherlich zu Phase 3.

883 Pos. 44.

884 Pos. 58.

885 Pos. 75: Br. 36 cm; T. 32 cm; Wandung senkrecht eingestochen, Sohle konkav.

886 Pos. 62: Dm. 32 cm, T. 27 cm.

887 Pos. 63: Dm. 30 cm; T. 17 cm.

888 Pos. 73: Dm. 25–35 cm.

889 Eine Portikus von 2,4 m Breite würde nur wenig von den Befunden aus dem Unteren Bühl abweichen, wo die Portiken Breiten von 2,7 m aufweisen. Zürcher 1982, 218 Abb. 60.

890 Pos. 68.

891 Freundlicher Hinweis von R. Janke, vgl. hierzu den Beitrag in diesem Band.

892 Vgl. den Beitrag von R. Janke in diesem Band Kap. 6; SH III, G 28: Dm. innen 85 cm; Steinkranz vor allem aus Sandstein.

893 Schucany 1996, 47 f. Abb. 34; Koller/Doswald 1996, 81.

894 JbGPV 1994, 51; J. Weiss/Chr. Holliger, Windisch, Grabung Dätwiler 1979/80. Gruben und Schächte. JbGPV 1979/80, 46 f.; Meyer-Freuler 1998, 97–104; 115–117 Abb. 71–80.

895 Ebd. 115.

896 Ebd. 102 (Schacht 3 mit Holzschindeln).

897 Hänggi et al. 1994, 66.

ren Phase zuzuschreiben sind. Unter der Terra Sigillata ist neben einem Tellerboden italischer Machart (Kat. **70**) und einem kleinen Wandfragment derselben Provenienz ausschliesslich südgallische Importware vertreten (Kat. **68–69**, **71–72**). Bei den Reliefschüsseln finden sich neben einem Fragment der Form Drag. 30 nur Drag. 29 Schüsseln (4 Stück). Die glatte Sigillata beschränkt sich auf wenige Typen der Teller Drag. 15/17 und der Schälchen Drag. 24. Relativ hoch ist der Anteil an ausschliesslich rottoniger Terra-Sigillata-Imitation, die uns in den Formen Drack 1, 4, 11 und 13 vorliegt (Kat. **73–75**). Sämtliche Typen sind von spättiberisch/claudischer Zeit bis in die neronische Zeit verbreitet und zum Teil gar bis in das späte 1. Jh. nachweisbar[898]. Dazu kommt eine Münze des Tiberius für Divus Augustus, die zwischen 22/23–30? n. Chr. in Rom geprägt wurde (Kat. **80**). Unter dem wenigen Fundmaterial aus Graben Pos. 75 lässt besonders ein südgallisches Schälchen vom Typ Drag. 35/36 an eine Datierung nach 60 n. Chr. denken[899]. Sicher in flavische Zeit gehören die Fragmente einer Schüssel vom Typ Drag. 37 aus der Verfüllung von Struktur Pos. 61 (Kat. **97**). Oberhalb dieses während Phase 2b benutzten Grabens fanden sich zwei Münzen tiberischer bzw. claudischer Zeit (Kat. **103–104**). Das Fundmaterial aus dem Schacht gibt uns folgende Datierungshinweise: Mindestens ein Becher vom Typ Knorr 78 wurde von Germanus wohl in spätneronischer Zeit in La Graufesenque gefertigt (Kat. **84**)[900]. Typisch flavische Gefässformen sind Steilrandtöpfe mit Kanneluren auf dem Gefässkörper (Kat. **90**)[901]. Aus der oberen Verfüllung stammt eine unter Domitian um 88/89 n. Chr. geprägte Münze, die im Zuge der letzten Verfüllung in den Schacht gelangte (Kat. **94**).

Die Datierung der Phase 3 kann anhand des Fundmaterials aus dem unteren Kies, der beiden Balkengräben sowie der Verfüllungen aus den Gräben und dem Schacht in die neronische bis domitianische Zeit gesetzt werden.

5.2.5 Phase 4 – Umbauphase und zweite Kiesrollierung (Abb. 190)

Mit Phase 4 wurde der bereits zu Beginn von Phase 3 angelegte Kieshorizont erneuert[902]. Wie bereits erwähnt waren beide Kieslagen in der Fläche schwer voneinander trennbar, so dass ihre Zweiphasigkeit in dem zuerst ausgegrabenen Feld 3 gar nicht erkannt worden war. Eine Unterscheidung beider Rollierungen lässt sich besonders deutlich anhand der Nordprofile der Felder 2 und 3 durchführen (Abb. 181, 174). Auf dem älteren Kies lag nur zum Teil eine partielle Kulturschicht, mitunter befand sich eine trennende Lehmlinse oder eine Brandplanie zwischen den beiden Schichten[903]. Ansonsten ist im Bereich oberhalb der älteren Rollierung eine Trennung leider nicht exakt durchzuführen, da die Schichten hier unmittelbar aufeinander lagen. Als Benutzungsablagerung der vierten römischen Bauphase war auf der Rollierung, sowie auf dem Lehmboden eine humose Schicht fassbar, die an den Stellen, wo sie nicht auf dem Kies bzw. dem Lehm auflag, mit der älteren Kulturschicht von Phase 2 vermischt war[904]. Während Bauphase 4 können wir wiederum zwei Hausgrundrisse erkennen.

Strukturen

Zum Teil auf Zwischenplanien wurde auf die ältere Kieslage eine Erneuerung eingebracht, die in ihrer Ausdehnung mit einer Breite von 3,2 m wahrscheinlich derjenigen des älteren Kiesweges bzw. -platzes entsprach[905]. In Richtung Süden scheint sie die Länge der älteren Rollierung übertroffen zu haben. Obwohl sie in diesem Bereich nicht oder nur andeutungsweise dokumentiert werden konnte, belegt das Südprofil von Feld 3 deutlich eine Kiesschicht an der südlichen Grabungsgrenze (Abb. 173). Es ist anzunehmen, dass der in Phase 3 angelegte sog. abgetiefte Bereich während Phase 4 nicht weiterbestanden hatte. Dafür spricht, dass sich der jüngere Kies deutlich im Südprofil von Feld 3 abzeichnet, was bedeuten würde, dass er sich hier über dem abgetieften Bereich befindet. Auch ergäbe die Situation am westlichen Felderrand mit dem Lehmboden und den Hölzern in Zusammenhang mit dieser Abtiefung keinen Sinn. An der südlichen Begrenzung der kompakten und sich erhöht abzeichnenden Kiesrollierung lagen vier Steine, zwei plattige und zwei stehende, die in den Kies eingebettet waren und wahrscheinlich als Auflager eines Schwellbalkens zu interpretieren sind. Ein fünfter Stein befand sich direkt am südlichen Felderrand auf der Kiesschicht über einem älteren Graben, der bereits während Phase 3 verfüllt worden war[906]. Offensichtlich wurde in gleicher Orientierung an dieser Stelle mit einer auf einem Steinauflager ruhenden Schwellbalkenkonstruktion eine Hauserneuerung vorgenommen. Der Kies, der sich im Südprofil abzeichnete, könnte somit als Gehniveau innerhalb des Gebäudes gedient haben.

Ein zweiter Grundriss war am westlichen Rand beider Grabungsfelder zu erkennen. Entlang des Westprofils konnte in einem 30–60 cm breiten Streifen ein Lehmboden dokumentiert werden (Abb. 183)[907]. Die Ostwand dieses Hauses war für uns in Form eines Balkengrabens sichtbar, von dem sich noch ein Balkennegativ von 15 cm Breite und eine verkohlte

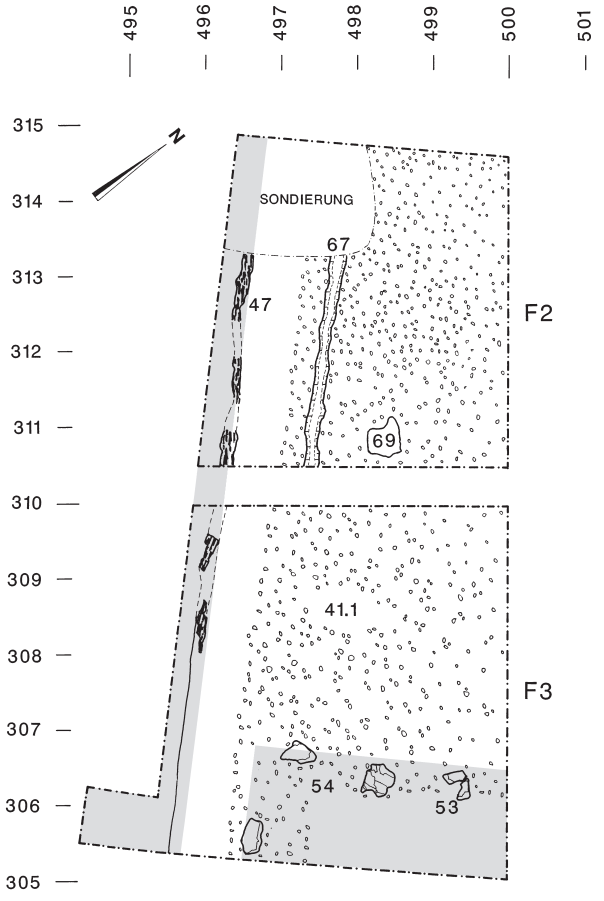


Abb. 190. Römerstr. 221. Phase 4. Übersichtsplan. M. 1:100.



Abb. 191. Hauslehmfragmente mit Rutenabdrücken.

Aussenseite erhalten hatten[908]. Zu diesem Schwellbalken gehörten wahrscheinlich auch die diversen in den Feldern 2 und 3 vorgefundenen Holzreste, die zum Teil bereits vom Bagger zerstört waren. Pfostenstellungen waren nicht nachzuweisen. Die Befunde lassen somit den Schluss zu, dass in Phase 4 die älteren Grundrisse mittels Schwellbalkenkonstruktionen erneuert wurden. Bei dem südlichen Gebäude ruhte der Schwellenkranz auf einem Steinauflager. Ob die Wände aus stehenden Bohlen oder aus lehmverstrichenen Fachwerkwänden zu rekonstruieren sind, ist nicht eindeutig zu entscheiden. Wenigstens für das westliche Haus ist jedoch letztere Konstruktion anzunehmen, worauf etliche Lehmbrocken mit Rutenabdrücken schliessen lassen (Abb. 191). Während des Baugrubenaushubs im Herbst 1997 konnte in einer westlichen Erweiterung der Felder 2 und 3 eine Lage aus bis zu 30 cm mächtigem, verbranntem Wandversturz dokumentiert werden. Als Gehniveau innerhalb der Gebäude ist für das westliche Haus ein Lehmestrich gesichert, für den Grundriss im südlichen Teil der Fläche ist möglicherweise eine Kiesrollierung anzunehmen. Ein zweites Balkennegativ, das sich allerdings nicht mehr in situ befand, wurde in Feld 2 freigelegt[909]. Eine unsichere Struktur stellt eine Bollenstein- und Kieselkonzentration am Südrand von Feld 2 dar[910]. Ob es sich um eine Pfostenstellung oder um eine zufällige Steinanhäufung gehandelt hat, ist nicht zu entscheiden.

Eine Neuerung im Vergleich zu den Hausgrundrissen der älteren römischen Bauphasen stellt die Tatsache dar, dass sich zwischen beiden Bauten eine etwa 80 cm breite Gasse gebildet hat.

Der westliche, nur knapp angeschnittene Holzbau fiel einem Brand zum Opfer, worauf die Schicht verbrannten Lehms hinweist, die sich über den Hölzern sowie über dem Lehmboden befand. Dieser Brandhorizont wurde zu Beginn von Phase 5 zusätzlich als Planie flächendeckend verteilt[911].

Datierung (Tab. 3 im Anhang)

Für eine Datierung der Phase 4 ist das Fundmaterial aus der Kulturschicht heranzuziehen (Kat. **126–143**): Unter der ausschliesslich südgallischen Terra Sigillata hält sich die Anzahl der Schüsseln vom Typ Drag. 29 zu Drag. 37 annähernd die Waage (4:5). Letztere sind stilistisch in die vespasianische bis domitianische Zeit zu datieren (Kat. **126–127**). Bei den Tellern sind neben der älteren Form Drag. 15 jetzt vermehrt die Teller Drag. 18 vorhanden (Kat. **128–129**). Auch das gehäufte Vorkommen von Drag. 35/36 Schälchen zeigt eine Datierung sicher nach 60 n. Chr. an (Kat. **130**)[912].

Gefässe der Terra-Sigillata-Imitation (Kat. **133–134**) sind im Vergleich zu den häufig grautonigen Schüsseln der Formen Drack 20/21 deutlich unterrepräsentiert (Kat. **135–137**). Auf eine Datierung ins späte 1. bzw. beginnende 2. Jh. n. Chr. weist auch die Wandscherbe eines riefelverzierten Bechers aus der Gattung der Klassischen Glanztonkeramik (Kat. **138**).

Wie in den Ausführungen zu Phase 3 bereits angedeutet, ist das Fundmaterial aus dem Kies nicht zwingend zur jeweiligen Phase zu rechnen, sondern kann auch als Abfall aufplaniert worden sein. Dennoch scheint die Datierung der Kulturschicht auch der Zeitstellung der Funde aus dem jüngeren Kiesweg zu entsprechen (Kat. **120–125**)[913]. Darunter auch eine Kragenrandschüssel mit Goldglimmerüberzug, ein Typus, der sich im ausgehenden 1. und beginnenden 2. Jh. n. Chr. nicht nur in Oberwinterthur einer grossen Beliebtheit erfreute (Kat. **121**)[914].

In denselben Zeithorizont fällt das Material, das aus dem Kies in Feld 3 geborgen wurde und den Phasen 3 und 4 zuzurechnen ist (Kat. **106–119**). Eigens hervorzuheben sind Frag-

---

898 Literatur vgl. Text zu Kat. 73–75.
899 Nicht im Katalog; Rychener 1984, 55ff. Abb. 49.
900 Mees 1995, 77f.; vgl. auch Planck 1975, 138ff.
901 Koller 1996, 105; 108f. Taf. 42,872–876 (SP 1. 3); Planck 1975, Taf. 10,3.
902 Pos. 41.1.
903 Kulturschicht: Pos. 92; Lehmlinse: Pos. 59; Brandplanie: Pos. 50.
904 Pos. 52: D. 2–6 cm.
905 Pos. 41.1.
906 Graben Pos. 61.
907 Pos. 65: D. 6–20 cm. Dieser wurde während der Grabung teilweise mit dem darüber liegenden verbrannten Lehm gemeinsam abgetragen. Die stratigraphische Lage des Lehmbodens wurde erst durch die Interpretation des Westprofils deutlich.
908 Pos. 47.
909 Das 15–20 cm breite und sehr flache Holz, ein Balken oder ein Brett, lag direkt auf dem jüngeren Kiesweg in der Kulturschicht.
910 Pos. 69.
911 Pos. 51.
912 Rychener 1984, 55.
913 Vgl. Kap. 5.2.4 zur Datierung.
914 Vgl. auch Phasen 5a und 5b; Rychener 1984, 62 Abb. 61; Vogt 1948, 187 f. Abb. 44,12–22; Ettlinger/Simonett 1952, 26 f. Taf. 9; Ettlinger 1949, Taf. 19,34–41; Drack et al. 1990, Taf. 19,135–143; Hedinger in: Römische Keramik in der Schweiz, 199.

mente von zwei Schüsseln mit Barbotineverzierung in Form von gestielten Blättern, die Reste eines roten Überzugs aufweisen (Kat. **114–115**). Es handelt sich bei diesen nachweislich um Keramik lokaler Herstellung, wie wir sie aus dem Ofen 3 der Fundstelle Bäumlistr. 1a kennen[915].

Das Fundmaterial der Phase 4 lässt vermuten, dass der erste Kiesweg bzw. -platz mit seinen angrenzenden Häusern in neronischer bis vespasianischer Zeit angelegt und nach nur kurzer Benutzung bereits in domitianischer Zeit erneuert wurde.

5.2.6 Phase 5 – Aufgabe der bestehenden Hausstrukturen und Aufplanierung des Geländes

Phase 5 besteht aus zwei zeitlich unmittelbar aufeinander folgenden Aktivitäten. Phase 5a bezeichnet die zunächst eingebrachten Brand- und Sandsteinplanien und einige wenige Strukturen, die bereits in der Brandschicht sichtbar waren und die von der Füllschicht der Phase 5b wieder überdeckt wurden. Als Phase 5b wird ein Auffüllungshorizont mit den Strukturen, die in diesem sichtbar waren, verstanden. Beide Planien waren sehr stark mit Schlackebrocken und Eisenobjekten durchsetzt.

Phase 5a (Abb. 192)

Strukturen
Mit Beginn von Phase 5a wurde flächendeckend eine Brandplanie verteilt[916]. Wie zahlreiche Hauslehmstücke nahe legen, handelt es sich hierbei um Schuttmaterial des am

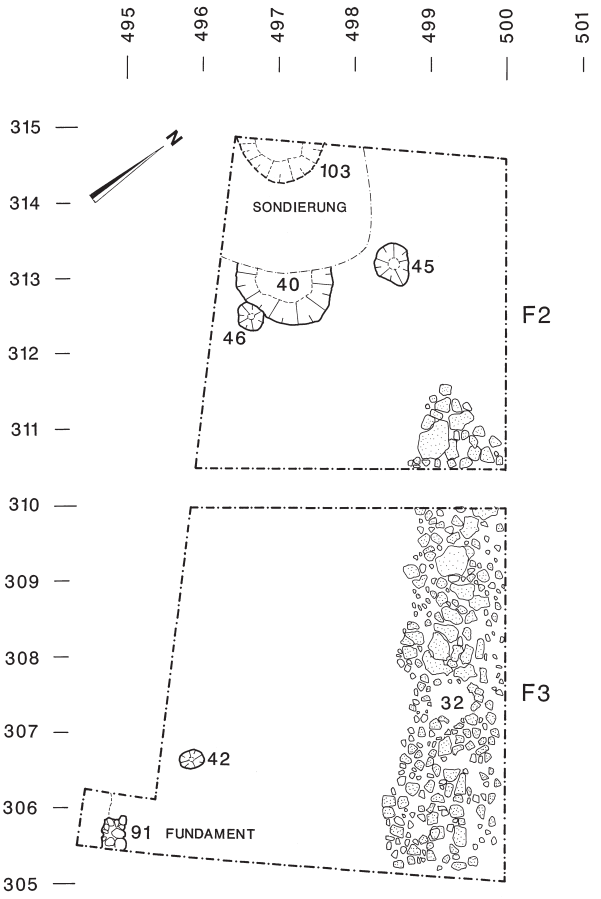


Abb. 192. Römerstr. 221. Phase 5. Übersichtsplan. M. 1:100.



Abb. 193. Römerstr. 221. Phase 5. Sandsteinplanie und Aufschüttung.

Ende von Phase 4 abgebrannten Hauses an der westlichen Grabungsgrenze. Zusätzlich wurde partiell eine Sandsteinplanie ausgelegt, die sich in einem etwa 1,2 m breiten Streifen am östlichen Felderrand im gesamten Feld 3 sowie in einem kurzen Abschnitt noch in Feld 2 abzeichnete (Abb. 193)[917]. Im Nordprofil von Feld 3 bildet die Oberkante der Sandsteinplanie zusammen mit der Auffüllung ein Gehniveau (Abb. 174)[918]. Dies scheint jedoch eine Ausnahme zu sein, da sich die Auffüllschicht stratigraphisch einerseits über den Sandsteinen und andererseits auch über dem Brandschutt befand.

Zu Phase 5a werden Befunde gezählt, die, in der Brandplanie sichtbar, von der Auffüllschicht aber bereits wieder überdeckt worden waren. Es handelt sich bei diesen um zwei Strukturen in Feld 2: Eine Grube in dem vom Bagger ausgehobenen Sondierschnitt war nur noch im Nordprofil von Feld 2 erkennbar, welches zeigt, dass die 1,2 m breite Grube von der Brandplanie abgetieft worden war (Abb. 181)[919]. Auf ihrer leicht konkaven Sohle waren noch Holzreste mit viel Holzkohle darüber zu erkennen.

Eine zweite Grube, in die sich sowohl die Brandschicht als auch die Auffüllschicht eingesenkt hatten, war ebenfalls durch den Sondierschnitt beschädigt worden[920]. Die Grube wurde von einem Pfostenloch mit Keilsteinen geschnitten[921].

Datierung (Tab. 3 im Anhang)
Grube Pos. 103 weist mit ihrem wenigen Füllmaterial in das ausgehende 1. bzw. das beginnende 2. Jh. n. Chr. Hierfür sprechen u. a. zwei Schüsseln vom Typ Drag. 37 und zwei Exemplare der Formen Drag. 42 bzw. 42/46 (Kat. **171–173**). Weniger aussagekräftig ist Grube Pos. 40, die keine Funde aus der ursprünglichen Benutzungszeit aufzuweisen hatte[922]. Für den Zeitpunkt der Einbringung der Sandsteinplanie ist jedoch das umfangreiche Fundmaterial aus diesem Horizont beizuziehen (Kat. **144–170**): Bei der Terra Sigillata dominiert deutlich die Ware südgallischer Provenienz. Die Schüsseln der Form Drag. 37 überwiegen die Drag. 29 Formen deutlich; stilistisch lässt sich die Terra Sigillata von flavischer bis in traianische Zeit datieren. Ausser den 15 südgallischen Reliefschüsseln konnten Fragmente von mindestens sechs Schüsseln Drag. 37 ostgallischer Provenienz geborgen werden (Kat. **145–148**). Soweit bestimmbar handelt es sich um Erzeugnisse aus der Werkstatt des Cibisus/Verecundus in Ittenweiler im Elsass, die zwischen 150 und 175 n.Chr. tätig

waren (Kat. **147–148**)[923]. Eine Datierung in das 2. Jh. bestätigen ferner der ostgallische Teller vom Typ Drag. 18/31 und besonders die zahlreichen Fragmente Klassischer Glanztonkeramik der Formen Kaenel 1 und 2 sowie diverse Wandscherben nicht näher bestimmbarer Becher bzw. Faltenbecher (Kat. **152–154**). Für eine Datierung ins späte 1. Jh. n. Chr. sprechen ferner der Laveztopf, eine Gattung mit der in Oberwinterthur, Kirchhügel, zunehmend ab Periode C, ca. 70 n. Chr., zu rechnen ist (Kat. **164**)[924] sowie eine Kragenrandschüssel mit Goldglimmerüberzug, wie wir sie bereits aus Phase 4 kennen. Auch bei den Krügen finden sich jetzt ausschliesslich die langlebigen Formen mit Wulstrand, die als Leitform im späteren 1. und 2. Jh. n. Chr. vorkommen (Kat. **156–157**)[925]. Festzuhalten ist, dass sich das Fundgut aus der Sandsteinplanie der Phase 5a aus heterogenem Material zusammensetzt, das viele Altfunde aus dem späten 1. und beginnenden 2. Jh. n. Chr. aufzuweisen hat, aber auch jüngeres keramisches Material, das bis in den Zeitraum um die Mitte des 2. Jh. n. Chr. oder kurz danach reicht. Eigens zu vermerken ist, dass die Planie auffallend stark mit Eisenobjekten durchsetzt war (Kat. **165–170**).

Phase 5b (Abb. 192)

Mit Phase 5b wurde das Gelände aufgeschüttet. Diese Füllschicht erreichte eine Mächtigkeit von 10–25 cm; in ihrem oberen Horizont war sie zum Teil mit Abbruchmaterial vermischt[926].

Strukturen
Zu Phase 5b gehören die Strukturen, die sich in der Auffüllschicht befanden. Diese sind zwei isoliert stehende Pfostenlöcher in den Feldern 2 und 3, die beide von Keilsteinen umgeben waren[927]. Einen interessanteren Befund ergab die Verlängerung des Südprofils von Feld 3 in Richtung Westen (Abb. 194). An dieser Stelle wurde ein Mauerfundament aus einer Lage stehend gesetzter, 8–20 cm grosser Bollensteine nur knapp angeschnitten. Seine Breite und die genaue Ausrichtung konnten nicht rekonstruiert werden. Die vermutete römische Zeitstellung ergibt sich aus der stratigraphischen Lage in der Auffüllschicht und auf Grund eines römischen Ziegelfragments.

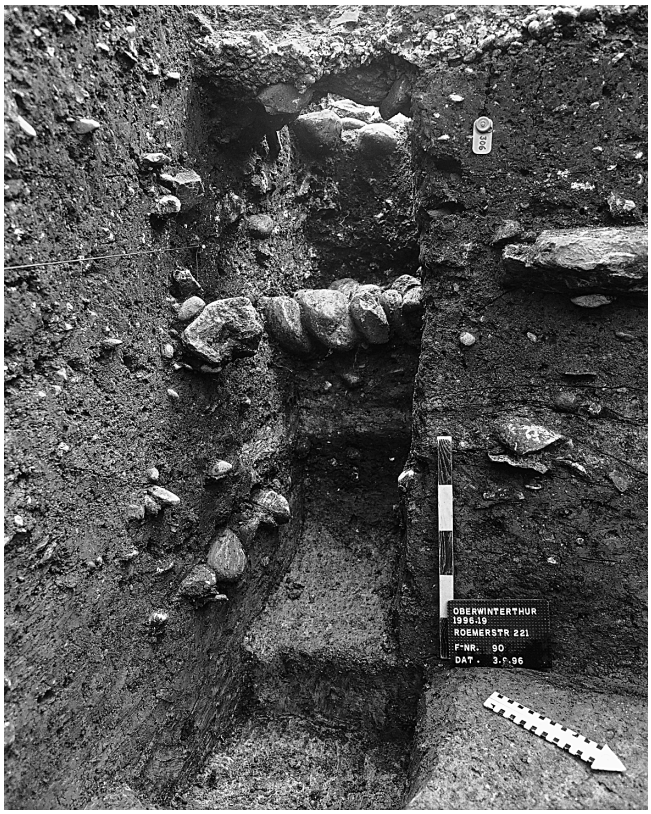


Abb. 194. Römerstr. 221. Feld 3. Erweiterung Südwestecke. Unteres, wohl römisches Mauerfundament und obere neuzeitliche Steinsetzung.

Datierung (Tab. 3 im Anhang)
Aus der Auffüllschicht konnte viel heterogenes keramisches Material geborgen werden (Kat. **174–198**). Bei der Terra Sigillata handelt es sich in erster Linie um südgallische Ware aus dem letzten Viertel des 1. Jh. und dem beginnenden 2. Jh. n. Chr. Unter den Reliefschüsseln befanden sich wenig mehr Schüsseln vom Typ Drag. 37 als vom Typ Drag. 29. Zwei Fragmente können als ostgallische Importstücke angesprochen werden. Bei der glatten Sigillata scheint ein grösseres zeitliches Spektrum vorzuliegen: Neben vier Exemplaren der Frühform Drag. 15/17 wurden unter den Tellern zwei vom Typus Drag. 18 dokumentiert sowie ein Vertreter der Spätform Drag. 32 mittel- oder ostgallischer Provenienz, einer Form, die frühestens ab der 2. Hälfte des 2. Jh. n. Chr. in Erscheinung tritt (Kat. **180**)[928]. Auch bei den Schalen finden sich die Formen Drag. 24/25, Drag. 27 und Drag. 33 jeweils in einem Exemplar vertreten; letztere erscheint im Kirchhügel erst ab Periode C, im letzten Viertel des 1. Jh. n. Chr.[929] Eine Datierung ins späte 1. bis 2. Jh. n. Chr. befürworten auch die Fragmente der Klassischen Glanztonkeramik (Kat. **185–186**), die Horizontalrandschüsseln mit Goldglimmerüberzug (Kat. **188**) und die Krüge mit Wulstrand, die in acht Exemplaren, nunmehr die einzig vorhandene Krugform darstellen (Kat. **194**)[930]. Indikator für eine Auffüllung in der 2. Hälfte des 2. Jh. n. Chr., wenn nicht gar im beginnenden 3. Jh., sind neben dem Sigillatateller vom Typ Drag. 32 der Napf mit horizontaler Wandleiste, für den sich im Gutshof von Stutheien und in der Zürcher Gegend Vergleiche finden lassen (Kat. **187**)[931] sowie die zylindrische Schüssel mit rotem Goldglimmerüberzug, die sich recht gut mit der Töpferofenware aus dem Gutshof von Seeb vergleichen lässt

---

915 Vgl. Katalogtext mit weiterführender Literatur; die Publikation der Fundstelle Bäumlistr. 1a durch B. Hedinger ist in Vorb.
916 Pos. 51.
917 Pos. 32.
918 Pos. 29.
919 Pos. 103: T. 30 cm; abgetieft von Brandplanie Pos. 51.
920 Pos. 40: rund bis oval, Dm. 85 cm; T. max. 20 cm.
921 Pos. 46: Dm. 30 cm; T. 30 cm.
922 Es konnten fast ausschliesslich Passscherben mit der oberen Auffüllschicht Pos. 29 geborgen werden.
923 Roth-Rubi 1986, 22 ff.
924 Rychener 1984, 65.
925 Rychener 1984, 61 Abb. 62.
926 Pos. 29.
927 Feld 2: Pos. 45: Dm. 40 cm; T. 30 cm; Feld 3: Pos. 42: Dm. 30 cm; ein Pfostenloch, das in Pos. 29 nach dem dritten Abtrag sichtbar war, war nach dem nächstfolgenden Abtrag schon wieder verschwunden.
928 Furger/Deschler-Erb 1992, 54.
929 Rychener 1984, 55 Abb. 48.
930 Zur Datierung vgl. Literaturangaben zu Kat. 194.
931 Literatur vgl. Kat. 187.

(Kat. **190**)[932]. Auch ein Glas mit sogenannter Schlangenfadenauflage scheint diese Datierung zu unterstützen (Kat. **199**). Derartige mit quergerippten Fäden verzierte Gläser wurden in rheinischen Werkstätten während des 2. Jh. n. Chr. produziert[933]. Im schweizerischen Raum ist der Typus eher selten[934].

5.2.7 Phase 6 – Neuzeitliche Befunde (Abb. 195)

Über der letzten römischen Bauphase befand sich ein römisch-neuzeitlicher Mischhorizont, der die oberste Schicht unter dem Humus bildete. Nur zum Teil zeichneten sich in diesem Niveau Strukturen ab.

Strukturen
In der südwestlichen Ecke des Grabungsareals liess sich der Mischhorizont in zwei Schichten, eine obere, humose und eine untere, mit viel Mörtel durchsetzte, unterteilen (Abb. 183)[935]. Letztere kann ebenso wie verschiedene grössere Sand- und Bruchsteine im Westprofil als Abgang einer in der Südwestecke fassbaren Mauer bezeichnet werden[936]. Über einem möglicherweise römischen, mit der Mischschicht bedeckten Mauerfundament lagen in dem neuzeitlichen Horizont ein bis zwei Lagen Bollensteine (Abb. 194). Die 8–25 cm grossen Steine waren nur wenig sorgfältig verlegt und von Mörtelguss überzogen. Das Fragment eines Biberschwanzziegels unterstreicht die neuzeitliche Zeitstellung der Mauer.

An weiteren neuzeitlichen Strukturen sind ein Pfostenloch in Feld 3 sowie eine Grube in Feld 2, die von einer weiteren, kleineren Grube angeschnitten wurde, zu erwähnen[937].

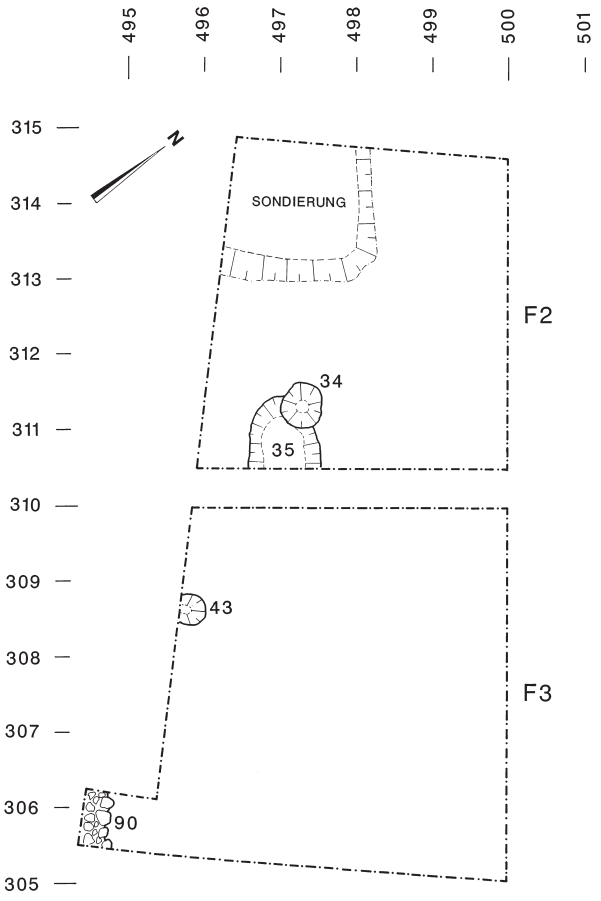


Abb. 195. Römerstr. 221. Phase 6. Übersichtsplan. M. 1:100.

Datierung
Aus dem neuzeitlichen Mischhorizont konnte römische Keramik von flavischer Zeit bis in die 2. Hälfte des 2. Jh. n. Chr. geborgen werden. Neben dem auch sonst üblichen Terra-Sigillata-Spektrum dieser Epoche traten vermehrt Fragmente der Klassischen Glanztonkeramik auf, in Form von riefelverzierten Bechern und Faltenbechern, u. a. ein Exemplar aus der Gruppe der späteren Formen aus Niederbieber. Unter der Gebrauchskeramik ist das Fragment einer sog. rätischen Reibschüssel zu erwähnen, die sicherlich in die Mittlere Kaiserzeit zu datieren ist[938]. Das römerzeitliche Fundmaterial ist von neuzeitlicher Keramik, vornehmlich aus dem 18. bis frühen 19. Jh. durchsetzt. Neben einigen spätmittelalterlichen Fundstücken konnte mindestens ein Fragment frühmittelalterlicher Zeitstellung erkannt werden (Kat. **207**). Da diese Epoche in Oberwinterthur bislang unterrepräsentiert ist, wurde das Objekt in den Katalog aufgenommen. Der Steilrandtopf ist gut mit einem Exemplar aus Winterthur, Spitalgasse 1, vergleichbar, das in das 7. Jh. datiert wird[939].

Grube Pos. 35 enthielt keramisches Material aus dem ausgehenden 18. Jh. und der 1. Hälfte des 19. Jh.; die Struktur wurde von einer jüngeren Grube angeschnitten, die ausschliesslich Fundgut aus dem 19. Jh. lieferte.

5.3 Zusammenfassung – Résumé – Riassunto – Summary

Die Ausgrabung im Areal Römerstr. 221 erbrachte den Nachweis verschiedener Siedlungsaktivitäten, die aus der prähistorischen und römischen Epoche sowie aus der Neuzeit stammen. Phase 1a bezeichnet einige wohl bronzezeitliche Strukturen in Form von Pfostenlöchern und Gruben (Abb. 170). Es ist anzunehmen, dass diese einst in Zusammenhang mit den Siedlungsspuren an der nicht allzu weit entfernten Fundstelle Römerstr. 229 gestanden hatten[940]. Phase 1b umfasst einige wenige Verfärbungen, deren Datierung irgendwann zwischen der prähistorischen Phase und den ältesten römischen Schichten anzusetzen ist (Abb. 171). In der 1. Hälfte des 1. Jh. n. Chr., wohl in spätaugusteischer bis tiberischer Zeit, wurde ein Entwässerungsgraben angelegt, der von einem kiesigen Gehniveau umgeben war (Phase 2a; Abb. 172). Wenig später, in claudischer Zeit, entstanden an dieser Stelle die ersten Hausgrundrisse (Phase 2b; Abb. 179). Ein angeschütteter Trampelpfad führte unmittelbar auf den Eingang eines an der südlichen Grabungsgrenze angeschnittenen Grundrisses zu. Es handelte sich wahrscheinlich um einen Pfostenbau mit eingespannten Schwellriegeln und Stabwänden. Westlich an dieses Haus angrenzend stand ein zweiter Holzbau. Die Ostwand dieses Gebäudes, ein Schwellbalken, der auf einer Substruktion aus kleinen Hölzchen ruhte, bildete zugleich die westliche Hauswand des Nachbargebäudes. Leider fanden sich weder Hinweise auf Fussböden, noch auf eine Raumaufteilung innerhalb der Gebäude. Die bestehenden Grundrisse wurden in neronisch bis domitianischer Zeit erneuert (Phase 3; Abb. 186). Von dem südlichen Gebäude hatten sich Balkengraben und Pfostenloch sowie eine Abtiefung im Hausinneren, möglicherweise ein Keller, erhalten. Bei dem westlichen Haus war die Situation noch unklarer: Als östlichen Abschluss konnten wir einen Balkengraben erkennen, der sich leider südlich des Profilstegs nicht mehr fortsetzte, aber in einer Flucht zu einem Pfostenloch stand. Vielleicht handelt es sich bei dieser Struktur um die Südostecke eines Gebäudes. Auch in dieser Phase waren keinerlei Strukturen oder Gehniveaus inner-

halb der Grundrisse zu erkennen. Der ehemalige Trampelpfad wurde mit einem Kieskoffer bedeckt und beidseitig verbreitert. Er führte als Weg auf das südliche Gebäude zu und schien sich in Richtung Osten in Form eines Kiesplatzes fortzusetzen. Eine Reihe plattiger Steine auf der Kiesrollierung dienten vermutlich der Auflage eines Portikusdaches. Die zum westlichen Grundriss gehörige Portikus erreichte eine Breite von 2,4 m, was in etwa den Befunden im Unteren Bühl entspricht[941]. Auf dem Kiesplatz bzw. -weg befand sich ferner ein in Trockenmauerwerk ausgeführter Schacht, der möglicherweise als Wasserspeicher gedient hatte. Eindeutiger ist die nächstfolgende Phase 4 zu interpretieren (Abb. 190). In domitianischer Zeit wurden die Häuser ein drittes Mal erneuert. Die südliche Hausecke zeigte nun deutlich eine Bauweise, bei welcher der Schwellbalkenkranz auf Steine gesetzt wurde. Von dem westlichen Gebäude war der von dem Schwellrahmen der Ostwand stammende Balkengraben zu erkennen. Die aufgehende Wand bestand aus mit Lehm verstrichenem Flechtwerk, worauf zahlreiche Funde von Lehmbrocken mit Rutenabdrücken hinweisen (Abb. 191). Ein deutlicher Brandhorizont über dem Lehmboden im Inneren des Grundrisses zeigt uns, dass das Gebäude einem Brand zum Opfer gefallen war. Als Neuerung entstand im Zuge von Phase 4 eine etwa 80 cm breite Gasse zwischen den beiden Häusern. Der Kiesweg bzw. -platz wurde in seiner bisherigen Grösse und Ausrichtung erneut aufplaniert. Im 2. Jh. n.Chr., besonders in dessen Mitte und zweiten Hälfte, wurde das Areal mit Brandschutt und Sandsteinen aufplaniert und aufgefüllt (Phasen 5a–b; Abb. 192). Einige wenige Gruben wurden noch im beginnenden 2. Jh. n. Chr. abgetieft. Eventuell gibt ein Mauerfundament in der südwestlichen Grabungsecke einen Hinweis auf ein Fortdauern der römerzeitlichen Besiedlung im 2. Jh. n. Chr. mit Steingebäuden oder Holzbauten auf steinernen Fundamenten. Phase 6 bezeichnet letztendlich neuzeitliche Strukturen, wohl aus der 2. Hälfte des 18. und der 1. Hälfte des 19. Jh. in Form von Gruben und einem Mauerzug (Abb. 195).

Die beiden angeschnitteten Hausgrundrisse im Areal Römerstr. 221 wurden von claudischer bis in vespasianisch/domitianische Zeit insgesamt dreimal erneuert. Die Bauweise entwickelte sich wahrscheinlich von Pfostenbauten mit Schwellbalken und Stabwänden zur reinen Schwellrahmenkonstruktion. In den auf den Boden oder auf Steinen gesetzten Schwellbalken wurden vertikale Bohlen als Stabwände gesetzt. Während der letzten Umbauphase wurde ein Gebäude mit Wänden aus lehmverstrichenem Rutenflechtwerk wieder errichtet. Im Hausinneren liessen sich in sämtlichen Phasen Gruben und evtl. ein abgetiefter Bereich, vielleicht ein Keller, feststellen. Falls Feuerstellen vorhanden waren, so müssen sich diese ausserhalb der Grabungsgrenzen befunden haben. Das Gehniveau war oft nicht klar ersichtlich; nur einmal konnte ein Lehmestrich als solches identifiziert werden. Über den Aufbau der Dächer lassen sich keine Aussagen machen; in Frage kommen Schindeln oder Stroh, da Ziegelbruchstücke nicht in grösseren Mengen geborgen wurden. Ein Haus ist wohl im letzten Viertel des 1. Jh. n. Chr. abgebrannt.

Mit den ersten Häusern wurde in claudischer Zeit ein Trampelpfad angeschüttet, der in einer Breite von etwa 1,6 m entlang einer Hauswand auf einen Hauseingang zuführte. In neronischer bis domitianischer Zeit war der Weg mit Kies bedeckt und verbreitert worden. Ein Teil des ursprünglichen Zugangs wurde wahrscheinlich, zumindest zeitweise, mit einer 2,4 m breiten Portikus überdacht. In derselben Ausrichtung, parallel dazu, konnte ein ähnliches 1,6 m breites Quartiergässchen am westlichen Grabungsrand des Areals Römerstrasse 229 auf einer Länge von 15 Metern freigelegt werden[942]. Das Strässchen selbst bestand aus einem Kieskoffer, welcher sich westwärts platzähnlich verbreiterte. Möglicherweise sind dieser Platz und die östliche Erweiterung des Kieses im Areal Römerstr. 221 zu einer zusammenhängenden Kiesrollierung zu verbinden. Ein vergleichbar grosser Platz mit vielen Latrinengruben befand sich auf etwa derselben Höhe inmitten des Quartiers Römerstr. 229, wo er von Gebäuden insulaähnlich angeordneten Gebäuden umgeben war. Mit dem 2. Jh. n. Chr. endete die römerzeitliche Nutzung dieses Areals; ausser einigen Gruben und Planieschichten konnten keinerlei Befunde aufgedeckt werden. Einzig ein kleines Mauerfundament in der Südwestecke des Grabungsgebiets, dessen Datierung allerdings nicht eindeutig gesichert ist, könnte an eine fortdauernde Besiedlung in Form von Steingebäuden oder zumindest an steinerne Fundamentsockel denken lassen.

Zu einem weiteren interessanten Aspekt, nämlich dem der Funktion der beiden Gebäude, fehlen uns leider jegliche Anhaltspunkte. Das quasi östlich angrenzende Quartier Römerstrasse 227/229 und Römerweg 5 wurde ab kurz vor der Mitte des 1. Jh. bis in die Mitte des 2. Jh. n. Chr. besiedelt[943]. Die langrechteckigen Gebäude, die zunächst als Pfostenbauten mit Schwellriegel und Stabwand und später als reine Schwellbalkenkonstruktionen auf Steinunterlagen errichtet wurden, fungierten hier sowohl als Wohnbereich als auch als Werkstatt. Parallel dazu existierten auch eigenständige gewerbliche Bauten. Die Grabungsbefunde geben uns Auskunft darüber, dass sich hier eine Gerberei und eine Schmiede befanden. Weiterhin konnten diverse Lager- und Speicherbauten freigelegt werden.

In der westlichen Nachbarschaft, im Areal Römerstr. 213/215, war in augusteisch-tiberischer Zeit eine auf die antike Römerstrasse ausgerichtete Eisen verarbeitende Werkstatt ansässig[944]. Ob in den römischen Grundrissen im Areal Römerstr. 221 ebenfalls einem Handwerk nachgegangen wurde, wird sich vielleicht im Laufe künftiger Grabungen in diesem Teil des Vicus herausstellen.

Résumé

La fouille de la parcelle Römerstrasse 221 a permis d'attester la présence de diverses activités liées à des occupations humaines, aussi bien préhistoriques que romaines ou moder-

---

932 Literatur vgl. Kat. 190.

933 F. Fremersdorf, Römische Gläser mit Fadenauflage in Köln (Schlangenfadengläser und Verwandtes). Die Denkmäler des Römischen Köln 5 (Köln 1959) 8; 14 Taf. 16–18 (datieren um 180 n. Chr.).

934 Rütti 1991, 87 Kat. 1856–1857. 4554–4555.

935 Pos. 28.

936 Pos. 90.

937 Pfostenloch Pos. 43: Dm. 40 cm, T. 85 cm; Grube Pos. 35: oval, Dm. mind. 90 cm, T. 20 cm, setzte sich in den Profilsteg fort; Grube Pos. 34: rund, Dm. 60 cm, T. 28 cm.

938 Roth-Rubi 1986, 36.

939 Freundlicher Hinweis von A. Matter, KA Zürich.

940 Vgl. Janke 1996; vgl. den Beitrag Janke in diesem Band.

941 Vgl. Anm. 889.

942 Strasse 1; vgl. den Beitrag Janke in diesem Band Teil III, Kap. 6 Abb. 211.

943 Vgl. den Beitrag Janke in diesem Band Teil III, Kap 6.

944 Vgl. den Beitrag Jauch in diesem Band Teil III, Kap. 4.2.1.

nes. La phase 1a désigne un certain nombre de structures probablement romaines, des trous de poteaux et des fosses (fig. 170). L'existence d'un lien entre ces aménagements et les traces d'habitat découvertes à la Römerstrasse 229, situé à faible distance[945], est fort plausible. La phase 1b désigne les quelques rares anomalies sédimentaires dont la datation s'insère, sans plus de précision, entre la phase préhistorique et les couches romaines les plus anciennes (fig. 171). Au cours de la 1ère moitié du 1er s. ap. J.-C., vraisemblablement à la fin du règne d'Auguste ou sous Tibère, on assiste à la mise en place d'un fossé de drainage entouré d'un niveau de gravier où l'on circulait (phase 2a; fig. 172). Un peu plus tard, sous Claude, une première maison est bâtie à cet emplacement (phase 2b; fig. 179). Un sentier conduisait jusqu'à la porte d'un bâtiment situé au sud de la limite de fouille. Il s'agit vraisemblablement d'une construction sur ossature de pieux, avec des poteaux encastrés dans les sablières et munie d'une armature de baguettes. Une seconde construction en bois jouxtait cette maison à l'ouest. La paroi orientale de ce bâtiment, sur sablière basse reposant sur une substruction de petits rondins, servait aussi de paroi occidentale à la maison voisine. Malheureusement, on n'a pu déceler aucun sol ou partition interne de l'édifice. Les maisons existantes ont été rénovées sous les règnes de Néron et de Domitien (phase 3; fig. 186). Devant le bâtiment sud, un négatif de poutre et un trou de poteau ont été conservés, de même qu'une fosse à l'intérieur du bâtiment, peut-être une cave. L'édifice occidental se caractérise par une situation encore plus complexe: sur son flanc est, on a pu identifier un négatif de poutre dont l'extension ne se poursuivait malheureusement pas vers le sud au-delà du témoin, mais qui se trouvait dans l'axe d'un trou de poteau. Peut-être s'agissait-il de l'angle sud-est de l'édifice durant cette phase également? Notons que ni structure, ni niveau de circulation n'ont pu être décelés à l'intérieur du bâtiment. L'ancien sentier fut recouvert d'un lit de gravier et élargi de part et d'autre. Il menait en direction de la maison sud et semble s'être prolongé vers l'est sous la forme d'une place recouverte de gravier. Un alignement de pierres plates posées sur le lit de gravier servait probablement d'assise au toit d'un portique. Le portique se rattachant à la maison occidentale atteignait une largeur de 2,4 m, ce qui correspond grosso modo aux structures mises au jour à Unteres Bühl[946]. Sur la place de gravier ou le chemin se trouvait un puits à joints vifs qui a peut-être servi de réservoir d'eau. La phase suivante (phase 4) autorise une interprétation plus claire (fig. 190): sous Domitien, les maisons font l'objet d'une troisième rénovation; l'angle sud de l'édifice présente dès lors de manière irréfutable une couronne de sablières basses reposant sur des pierres. A l'avant du bâtiment occidental, on distinguait encore le négatif laissé par la sablière basse supportant la paroi orientale. Cette dernière était en colombage et torchis, comme l'indiquent les nombreux fragments d'argile découverts présentant des négatifs des baguettes (fig. 191). Un horizon d'incendie très net recouvrait le sol d'argile situé à l'intérieur de la maison, indiquant qu'elle avait été la proie des flammes. Les bâtisseurs innovent au cours de la phase 4, en aménageant une ruelle large de 80 cm environ entre les deux maisons. Le chemin de gravier ou la place furent à nouveau remaniés afin de leur conférer leur taille et leur orientation d'origine. Au 2e s. ap. J.-C., en particulier au milieu et durant la seconde moitié, la zone fut aplanie et comblée avec les décombres d'incendies et des blocs de grès (phases 5a–b; fig. 192). Rares sont les fosses qui furent encore aménagées au début du 2e s. ap. J.-C. Les fondations d'un mur implanté à l'angle sud-ouest de la fouille indiquent peut-être que l'occupation romaine perdura jusqu'au 2e s. ap. J.-C. avec des bâtiments en pierre ou en bois reposant sur des fondations en dur. La phase 6 enfin désigne les structures modernes (plusieurs fosses et un mur), datant vraisemblablement de la seconde moitié du 18e et de la 1ère moitié du 19e s. (fig. 195).

Les deux bâtiments touchés par la fouille sur la parcelle Römerstrasse 221 ont fait l'objet de trois rénovations successives, entre le règne de Claude et celui de Vespasien/Domitien. On assiste à une évolution architecturale avec, dans un premier temps, une construction sur ossature de pieux avec sablières basses et parois de baguettes aboutissant à une véritable construction sur sablière basse. Dans les sablières basses reposant à même le sol ou sur une assise de pierres, on plaça des madriers porteurs. Lors de la dernières phase de rénovation, on rebâtit une maison avec des parois de clayonnage et de torchis. A l'intérieur, on a pu identifier pour chaque phases des fosses et une zone éventuellement excavée, peut-être une cave. Si des foyers existaient, ils devaient se trouver au-delà de la zone fouillée. Il était difficile de déceler le niveau de circulation, et en un cas seulement, on est parvenu à identifier un sol d'argile. Nous ignorons la nature des toitures, peut-être des bardeaux ou du chaume, les fragments de tuiles n'ayant pas été récoltés en grandes quantités. L'une des maisons fut sans doute la proie des flammes au cours du dernier quart du 1er s. ap. J.-C.

Sous Claude, avec les premières maisons, un sentier large d'environ 1,6 m conduisait à l'entrée d'un bâtiment en longeant le mur d'un édifice. Entre Néron et Domitien, le chemin fut recouvert de gravier et élargi. Une partie de l'accès d'origine fut sans doute recouverte d'un portique de 2,4 m de largeur. Dans le même axe, parallèlement à ce dernier, on est parvenu à dégager une ruelle de quartier sur une longueur de 15 m pour 1,6 m de largeur, en bordure occidentale de la parcelle Römerstrasse 229[947]. La ruelle elle-même se composait d'un lit de gravier qui s'élargissait en place vers l'ouest. On ne peut exclure que la place et le lit de gravier déjà plus large dans la zone Römerstrasse 221 puissent avoir été d'un seul tenant. Une place de dimensions comparables où plusieurs latrines avaient été aménagées se trouvait à peu près à la même hauteur, au beau milieu du quartier Römerstrasse 229, où elle était entourée de bâtiments à la manière d'une insula. L'occupation romaine de la zone s'achève au 2e s. ap. J.-C.; si l'on excepte quelques fosses et couches d'égalisation, on n'a pu découvrir aucune structure ultérieure. Seule une petite fondation de mur dans l'angle sud-ouest de la zone fouillée, dont la datation reste cependant aléatoire, pourrait indiquer qu'une occupation aurait perduré avec des bâtiments en dur ou du moins sur socles de fondation en pierre.

Nous ne disposons malheureusement d'aucun élément permettant d'évoquer la fonction des deux maisons. Le quartier Römerstrasse 227/229 et Römerweg 5, quasi voisin, fut occupé peu avant le milieu du 1er s. et jusqu'au milieu du 2e s. ap. J.-C.[948] Les édifices de plan rectangulaire, construits tout d'abord sur ossature de pieux avec poteaux encastrés dans les sablières et paroi de baguettes, allaient évoluer vers des constructions sur sablières basses reposant exclusivement sur des assises de pierres. Ces bâtiments avaient une vocation aussi bien d'habitation que d'atelier mais l'on sait que, parallèlement, il existait aussi des édifices utilisés à des fins artisanales uniquement. Les structures découvertes en fouille permettent d'évoquer une tannerie et une forge. En outre, on a pu dégager divers bâtiments servant d'entrepôts et de greniers. Dans la zone voisine, à l'ouest, sur la parcelle

Römerstrasse 213/215, se trouvait sous Auguste/Tibère un atelier spécialisé dans le travail du fer et orienté sur l'antique voie romaine[949]. Peut-être que des fouilles futures entreprises dans cette partie du vicus permettront de dire si, dans les maisons de la Römerstrasse 221, on pratiquait également un artisanat.
Traduction Catherine Leuzinger-Piccand

Riassunto
Dallo scavo archeologico in località Römerstrasse 221 sono emerse tracce d'occupazione preistoriche, romane e d'epoca recente. Fase 1a indica una serie di buche di pali e fosse, probabilmente dell'età del Bronzo (fig. 170), che rimandano a strutture coeve scoperte a poca distanza, in località Römerstrasse 229[950]. Con fase 1b si riassume una serie di vaghe tracce d'età preromana imprecisata (fig. 171).

Al primo terzo del I sec. d.C. risale un canaletto di scolo, scavato in un piano di calpestio di terreno ghiaioso (fase 2a; fig. 172). I primi perimetri d'edifici sono di poco posteriori e risalgono al 30–50/55 d. C. (fase 2b; fig. 179). Un viottolo di terra battuta conduceva all'entrata di un edificio parzialmente scavato al margine sud della superficie di scavo. Sembra trattarsi di una costruzione a montanti e tavolati, attigua sul lato orientale ad un altro edificio ligneo. La parete comune alle due strutture poggiava su una trave, sostenuta da una fitta serie di paletti infissi nel terreno. Non vi sono tracce di pavimenti o di suddivisioni dello spazio interno agli edifici. Questi ultimi furono rimaneggiati in un periodo compreso tra il 50 e il 70/80 d. C. (fase 3; fig. 186). Dell'edificio sud si sono conservate tracce di una trave d'appoggio, una buca di palo e un avvallamento, forse quanto resta di una cantina. La situazione per l'edificio ad ovest è ancora meno chiara. Della sua parete orientale si conservano le tracce di una trave in connessione con una buca di palo, che si suppone costituisse l'angolo sudorientale dell'edificio. Anche per questa fase non sono stati osservati i piani di calpestio o altre strutture d'insediamento all'interno dei perimetri. Il viottolo originale fu ricoperto da uno strato di ghiaia e allargato. Esso conduceva ancora all'entrata dell'edificio sud, per poi allargarsi verso est in forma di piazzale. Interpretiamo una serie di pietre piatte, allineate sulla superficie ghiaiosa, come possibili supporti per i montanti di un portico. Esso misurava 2,4 m di larghezza e corrisponde alle dimensioni rilevate in località Oberwinterthur, Unteres Bühl[951]. Tra il piazzale e il viottolo era stato scavato un pozzo in muro a secco, per la raccolta delle acque. Alcuni dettagli del rinvenimento risultano più chiari nella seguente fase 4, ca. 80–100 d. C., quando gli edifici furono rinnovati per la terza volta (fig. 190). L'edificio sud era costruito a telaio di travi, poggianti su un supporto di pietre. Della struttura ad ovest si conservano chiare tracce della parete orientale. Le pareti stesse dovevano essere a graticcio ricoperto d'argilla, come testimoniano i numerosi frammenti di questo materiale che portavano impronte di bacchette (fig. 191). Uno strato d'incendio sopra il pavimento d'argilla indica chiaramente una distruzione dovuta al fuoco. Nel corso della fase 4, un vicolo di ca. 80 cm di larghezza separava le due case, mentre il piazzale con viottolo fu livellato da un nuovo strato di ghiaia. All'inizio del II sec. furono scavate in questa zona alcune fosse, mentre a partire dal II sec. d. C., in particolare dalla sua seconda metà, uno strato di ripiena costituito da resti di strati d'incendio e frammenti d'arenaria colmava il terreno (fasi 5a–b; fig. 192). Tracce di fondamenta nell'angolo sudoccidentale dello scavo potrebbero essere ciò che resta di strutture d'insediamento romane del II sec., edificate in pietra o in legno su zoccolo in muratura. Da ultimo, fase 6, riassume tracce d'occupazione d'epoca recente, si suppone a cavallo tra il XVIII e il XIX sec. (fig. 195).

I due edifici messi parzialmente in luce in località Römerstrasse 221 furono rinnovati per ben tre volte durante la seconda metà del I sec. La tecnica edilizia denota il passaggio da una costruzione lignea a montanti e tavolati a quella a telaio. Nelle traverse poste direttamente sul terreno o su un supporto di pietre erano incastrate verticalmente le tavole che formavano le pareti. Nell'ultima fase di costruzione uno degli edifici aveva pareti a bacchette intrecciate, ricoperte d'argilla. Durante tutte le fasi, all'interno degli edifici si sono potute osservare delle fosse, in un caso addirittura un avvallamento da interpretare forse come una cantina. Eventuali focolari dovevano invece trovarsi al di fuori della superficie di scavo. Solo in un caso si è conservato un pavimento d'argilla, mentre in generale il piano di calpestio non ha potuto essere identificato. Nulla si sa riguardo ai tetti, ma stando alle esigue quantità di tegole ritrovate, si suppone che come materiale di copertura abbiano trovato impiego scandole o paglia. Uno degli edifici fu distrutto da un incendio nell'ultimo quarto del I sec. d.C.

Alle prime case della metà del I sec. conduceva un viottolo largo 1,6 m, ricoperto da un nuovo strato di ghiaia e allargato nell'ultimo terzo del I sec. Probabilmente alla casa si accedeva tramite un portico. Il piazzale stesso potrebbe corrispondere alla superficie ricoperta di ghiaia, fiancheggiata su 15 m di lunghezza da una strada laterale, rinvenuta al margine occidentale dello scavo in località Römerstrasse 229[952]. Uno spazio aperto d'analoghe dimensioni si trovava a poca distanza, sempre in località Römerstrasse 229, dove è emerso un cortile interno attorniato da abitazioni e officine. L'occupazione romana della zona cessa apparentemente nel II sec. d.C. Sono state osservate sul terreno unicamente alcune depressioni e strati di ripiena, ai quali si aggiunge un breve tratto di fondamenta di un muro d'epoca imprecisata, emerso nell'angolo sudoccidentale. Esso costituisce forse un indizio di continuità d'insediamento con edifici di pietra o, per lo meno, su zoccolo di muratura.

Non vi sono indizi che permettano di stabilire la funzione degli edifici rilevati. Nel quartiere romano adiacente, emerso dallo scavo dei lotti Römerstrasse 227/229 e Römerweg 5 e occupato dagli anni '30 del I sec. fino alla metà del II sec., sorgevano edifici ad impianto rettangolare, costruiti dapprima a montanti e tavolato e, più tardi, a telaio di traverse poggianti su supporti di pietra[953]. Essi erano utilizzati come abitazione e, al contempo, officina. Si conoscono anche edifici destinati unicamente ad attività artigianali, quali la lavorazione del ferro e del cuoio, ai quali si aggiungono numerosi magazzini e granai. Volgendo lo sguardo verso ovest, al lotto Römerstrasse 213/215, si riscontra nel primo trentennio della nostra era un'officina che dava sull'antica strada principale del vicus e in cui si lavorava il ferro[954]. Solo le future inda-

945 Cf. Janke 1996; cf. contribution de Janke dans le présent volume.
946 Cf. note 889.
947 Strasse 1; cf. contribution de Janke dans ce volume, chap. III.6, fig. 211.
948 Cf. contribution de Janke dans le présent volume, chap. III.6.
949 Cf. contribution de Jauch dans le présent volume, chap. III.4.2.1.
950 Cfr. Janke 1996 e in questo volume.
951 Cfr. annotazione 889.
952 Strasse 1, cfr. Janke in questo volume, cap. III.6 fig. 211.
953 Cfr. Janke in questo volume, cap. III.6.
954 Cfr. Jauch in questo volume, cap. III.4.2.1.0

gini in questa zona potranno rivelare se anche in località Römerstrasse 221 si trovasse l'officina di un artigiano.
Traduzione Rosanna Janke

Summary
The excavation in the area of Römerstrasse 221 provided evidence of various settlement activities during Prehistoric, Roman and modern times. Phase 1a consists of a few features probably from the Bronze Age, such as post holes and pits (fig. 170). One can assume that these were once linked to the settlement traces at the site Römerstrasse 229, not very far away[955]. Phase 1b contains a few colourations, which date from sometime between the Prehistoric phase and the earliest Roman layers (fig. 171). A drainage trench, surrounded by a gravelly surface (phase 2a; fig. 172), was built during the first half of the 1st century AD, probably in late Augustan to Tiberian times. Shortly afterwards, during Claudian times, the first houses were built at this location (phase 2b; fig. 179). A path led directly to the entrance of one of the ground plans that was partly unearthed at the southern periphery of the excavation. It was probably a post construction with wedged-in interrupted sills and stave-built walls. A second wooden building stood adjoining this house to the west. The eastern wall of this building, a sill beam resting on a substructure of small pieces of wood, at the same time formed the western wall of the neighbouring building. Unfortunately, neither evidence of floors nor of a division into rooms within the buildings could be found. The existing ground plans were renovated in Neronian to Domitian times (phase 3; fig. 186). A beam trench and a post hole as well as a depression inside the house, possibly a cellar, had been preserved from the southern building. The situation was even less clear in the case of the western house: We were able to detect a beam trench as the eastern boundary. Unfortunately this did not continue south of the baulk but was in line with a post hole. Maybe this structure marks the southeastern corner of a building. In this phase no structures or surfaces within the ground plans could be discerned either. The former path was covered with a gravel layer and widened at both sides. The path led towards the southern building and seemed to continue into a gravelled square towards the east. A row of flat stones on the levelled gravel probably served as a substructure for the roof of a portico. The portico belonging to the western ground plan reached a width of 2.4 m, which more or less corresponds with the structures in Oberwinterthur, Unteres Bühl[956]. On the gravelled square or path we found a shaft constructed using dry stone wall technique which possibly served as a water tank. The following phase 4 can be interpreted more clearly (fig. 190). The houses were renovated for the third time in the Domitian era. The southern corner of the house was now clearly constructed in a technique, which placed the frame of sill beams on stones. The beam trench belonging to the sill frame of the eastern wall was discernible in the case of the western building. The wall consisted of wattle with clay daub, indicated by numerous finds of clay pieces with imprints of wicker (fig. 191). A clear burnt layer above the clay floor inside the ground plan shows that the building burned down. The novelty in phase 4 consists of an alleyway of around 80 cm width between the two houses. The gravelled path or square was resurfaced in its previous size and orientation. During the 2nd century AD, especially in the middle and second half, the area was levelled off and filled with burnt rubble and sandstones (phases 5a–b; fig. 192). A few pits were dug in the early 2nd century AD. A wall foundation in the southwestern corner of the excavation may provide evidence of the continuity of the Roman settlement during the 2nd century AD with stone buildings or wooden houses on stone foundations. Phase 6 finally comprises modern features such as pits and a stone wall (fig. 195), probably dating to the second half of the 18th and the first half of the 19th centuries.

The two partially excavated house plans in the parcel Römerstrasse 221 were renewed a total of three times from Claudian to Vespasian/Domitian times. The construction technique probably developed from post buildings with sill beams and stave-built walls to pure sill frame construction. Vertical planks were positioned into sill beams to form stave-built walls. These beams were placed on stones or directly on the ground. A building with walls consisting of wattle with clay daub was rebuilt during the last renovation phase. In all phases, pits and probably a dug out area, maybe a cellar, were found within the house. If hearths had existed, these must have been situated outside the excavated area. The archaeological surface was often not clearly visible; only once was it possible to identify a clay floor. Nothing can be stated about the construction of the roofs; shingle or straw roofs are possible, because no large amount of tile fragments could be found. One house probably burned down in the last quarter of the 1st century AD.

A path was laid along with the first houses built during Claudian times. This path was around 1.6 m wide and led along the wall of a house towards a house entrance. It had been widened and covered with gravel in Neronian to Domitian times. Part of the original entrance was probably, at least some of the time, roofed with a 2.4 m wide portico. A stretch of 15 m of a similar, 1.6 m wide, little alleyway was uncovered in the western periphery of the excavation in the area of Römerstrasse 229/Römerweg 5. This alleyway ran parallel to the path and was oriented in the same direction[957]. It consisted of gravel and spread into a kind of square in the west. This square and the eastern extension of the gravel in the site at Römerstrasse 221 can possibly be linked to one gravel layer. A square of comparable size with numerous latrine pits existed at more or less the same level in the middle of the quarter Römerstrasse 229, where it was surrounded by buildings forming something like an insula. The Roman use of the area ended with the 2nd century AD; with the exception of a number of pits and levelled surfaces, no other structures could be unearthed. A small wall foundation in the southwestern corner of the excavated area, was not, however, dated beyond doubt and might possibly be the only structure indicating a continuing settlement consisting of stone buildings or at least stone foundations.

Unfortunately there are no clues whatsoever on another interesting aspect, namely the function of the two buildings. The quarter at Römerstrasse 227/229 and Römerweg 5, virtually adjoining in the east was settled from shortly before the mid 1st until the mid 2nd centuries AD[958]. Here, the elongated rectangular buildings, first constructed as post buildings with interrupted sills and stave-built wall and later as pure sill beam constructions on stone bases, were used as living quarters as well as workshops. Besides these, independent commercial buildings also existed. The excavated structures provide the evidence of a tannery and a smithy here. Furthermore, various warehouses and storage buildings could be unearthed.

During Augustan-Tiberian times an iron workshop, oriented towards the Roman road, existed in the western neighbourhood, in the area of Römerstrasse 213/215[959]. Whether the Roman buildings in the parcel Römerstrasse 221 were

also used for a craft, may be determined by future excavations in this part of the vicus.
Translation Sandy Hämmerle

6 RÖMERSTRASSE 227/229 UND RÖMERWEG 5

(Ausgrabungen 1991/92 und 1988)
(Rosanna Janke mit Beiträgen von *Florian Hoek)*

6.1 Einleitung

Der Bau von Wohnhäusern gab in den Jahren 1988 und 1991/92 den Anlass zur archäologischen Untersuchung der Parzellen Römerstrasse 227/229 und Römerweg 5, die zusammen ein etwa 2700 m^2 grosses Areal am Osthang des Oberwinterthurer Hügels bilden (siehe Plan im Buchvorsatz und Abb. 196). Das Gelände wurde bis in die neueste Zeit landwirtschaftlich genutzt; eine Doppelstall-Scheune aus dem Jahr 1836 im Hinterhof der Römerstr. 227/229 und eine 1922 erbaute Scheune am Römerweg 5 wurden abgebrochen, um den Neubauten Platz zu machen. Bis zum Zeitpunkt der Ausgrabungen war man sich nicht im Klaren, ob dieser Platz noch zur antiken Siedlung gezählt werden musste oder ob er sich schon ausserhalb des damals bewohnten Areals befand. Vielmehr war man auf Gräber entlang und in der Nähe der Strasse, die Richtung Frauenfeld führte, gefasst (vgl. Teil I, Kap. 4.2). Während der Grabungskampagne kamen dann allerdings am Römerweg 5 im Jahr 1988 durchaus markante und umfangreiche römische Siedlungsspuren zum Vorschein. Die Ausgrabung 1991/92 der Parzelle Römerstr. 227/229 bestätigte und ergänzte dieses Resultat: Die Fläche war in römischer Zeit dicht mit Speicherbauten, Wohnhäusern, Werkstätten, zahlreichen Gruben und einigen Quartierstrassen überbaut. Die römische Siedlungstätigkeit gliedert sich in mindestens sieben verschiedene Siedlungshorizonte (SH) (Abb. 197)[960], wobei die ältesten Spuren der Besiedlung (SH I) in die Gründungsperiode des Vicus, also in die ersten zwei Jahrzehnte n. Chr.[961] datieren; dabei handelt es sich allerdings nur um typologisch datierte Funde, während die ältesten Baustrukturen in der Zeit ab den 30er-Jahren des 1. Jh. n. Chr. einsetzen (SH II). In dieser Periode entstand hier ein Quartier mit Wohnhäusern mit Portikus, Speicherbauten und Quartierstrassen. Im nächsten Siedlungshorizont (SH III), in der 2. Hälfte des 1. Jh. n. Chr., kamen eine Werkstatt eines Gerbereibetriebs und eine Schmiede neu hinzu. Zwischen 80 und 150 n. Chr. (SH IV) scheint die Siedlungsintensität abzunehmen: der Nachweis für Speicherbauten fehlt vollkommen und die Zahl der Gruben geht markant zurück. Zwischen der Mitte des 2. Jh. und dem Ende des 4. Jh. n. Chr. werden auf den behandelten Parzellen ein Graben (SH V) und zwei Kanäle (SH VI) angelegt. Vier spätrömische Gräber (SH VII) bilden den Abschluss der antiken Nutzung dieses Gebiets von Oberwinterthur. Es gibt keine Indizien für eine mittelalterliche Besiedlung an dieser Stelle des Vicus; auf der Parzelle Römerstr. 227/229 kamen dafür die Spuren der neuzeitlichen, archivalisch belegten Vorgängerbauten zu den heutigen Häusern und zur abgebrochenen Doppelstall-Scheune zum Vorschein.

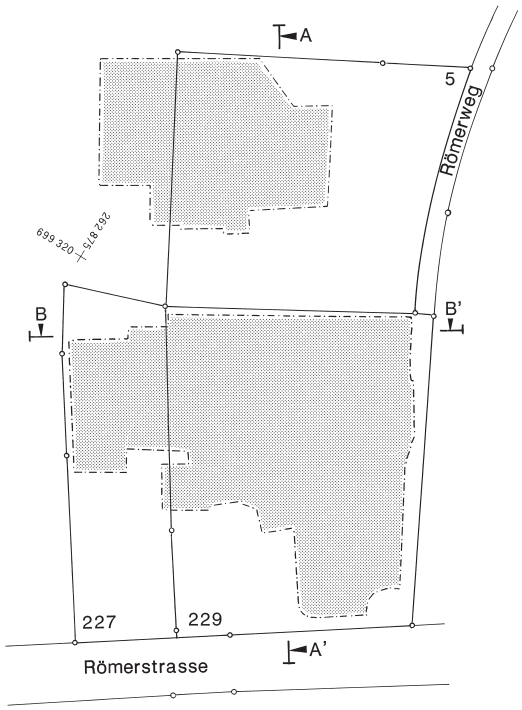


Abb. 196. Lage der Parzellen Römerweg 5 und Römerstr. 227/229 mit den Grabungsflächen (grau gerastert). Die Profile A–A' und B–B' beziehen sich auf Abb. 198 bzw. Abb. 199. M. 1:1000.

6.1.1 Topographische Lage

Vor der modernen Überbauung des Quartiers wies das Gelände ein deutliches Gefälle von Westen nach Osten und von Norden nach Süden auf (Abb. 196, 198–199)[962]. Nach den Grabungsplänen zu urteilen, war das Gefälle des gewachsenen Bodens weniger akzentuiert als der Verlauf des modernen Terrains. Der gewachsene Boden verlief im Allgemeinen sehr regelmässig, ausser im südöstlichen Bereich der Parzelle Römerstr. 229, wo eine leichte, ca. 20 cm hohe Stufe erkannt wurde (Abb. 199, Achse ca. m 516.00). Die römischen Schichtpakete folgen dieser regelmässigen Geländeneigung bis auf die jüngsten Siedlungshorizonte, als auf dem Gelände eine dicke Schuttschicht entstand (Schichten 10 und 11,

955 See Janke 1996; see the article by Janke in this volume.
956 See footnote 860.
957 Strasse 1; see the article by Janke in this volume, Chapter III.6 fig. 211.
958 See the article by Janke in this volume Chapter III.6.
959 See the article by Jauch in this volume Chapter III.4.2.1.
960 Mit dem Begriff «Siedlungshorizont» wird eine bestimmte Periode der Siedlungstätigkeit bezeichnet. Der Übergang zum nächstfolgenden Horizont erfolgt erst, wenn wesentliche strukturelle Änderungen im Siedlungssystem vorliegen, wie z. B. eine neue Ausrichtung der Gebäude (s. Übergang SH I–SH II) oder eine geänderte Nutzung der Fläche, z. B. mit dem Übergang zum Friedhofsareal (s. Übergang SH VI–SH VII). Ein Siedlungshorizont kann auch mehrere Bauphasen beinhalten.
961 Die Angaben von Rychener 1988, 110 wurden inzwischen durch die Resultate anderer Ausgrabungen im Vicus, wie z. B. an der Römerstr. 177a und 187 (F. Hoek/R. Janke und R. Janke, in Vorb.) bestätigt und ergänzt.
962 Um die Ausführungen über den Befund nicht unnötig zu erschweren, werden alle Richtungsangaben gemäss Grabungsraster und nicht nach den Himmelsrichtungen angegeben. Grabungsnord liegt in einem Winkel von ungefähr 30° westlich des geographischen Nordens.

SH	Datierung	Siedlungsspuren	
		Römerstrasse 227/229	Römerweg 5
VII	2. Hälfte 4. Jh. bis Beginn 5. Jh.	Gräberfeld	
VI	Mitte des 2. Jh. bis Mitte 4. Jh.	Kanäle K 3 und K 4	
V		Grosser Graben Gb 17	
IV	Ende 1 Jh. bis 1. Hälfte 2. Jh.	Wohnhäuser und Schmiede mit Portikus; Gruben; Strasse 1c	
III	Mitte bis Ende 1. Jh.	Wohnhäuser mit Portikus; Schmiede; Gerberei Speicher; Gruben im Innenhof; Quartierstrassen	Wohnhaus; Halle; Gruben und Sodbrunnen; Schlackenhalde; Quartierstrassen
II	bis Mitte 1. Jh.	Wohnhäuser mit Portikus; Speicher; Gruben; Quartierstrasse	
I	vorrömisch bis 20/30 n. Chr.	Balkengräbchen; Pfostenlöcher; grosse Senke G 3; mittelbronzezeitliche und neolithische Siedlungsspuren	Werkhalle oder Magazin; Speicher; Gruben; Quartierstrasse

Abb. 197. Römerstr. 227/229 und Römerweg 5. Übersicht der Siedlungshorizonte mit grober Datierung und Hauptstrukturen.

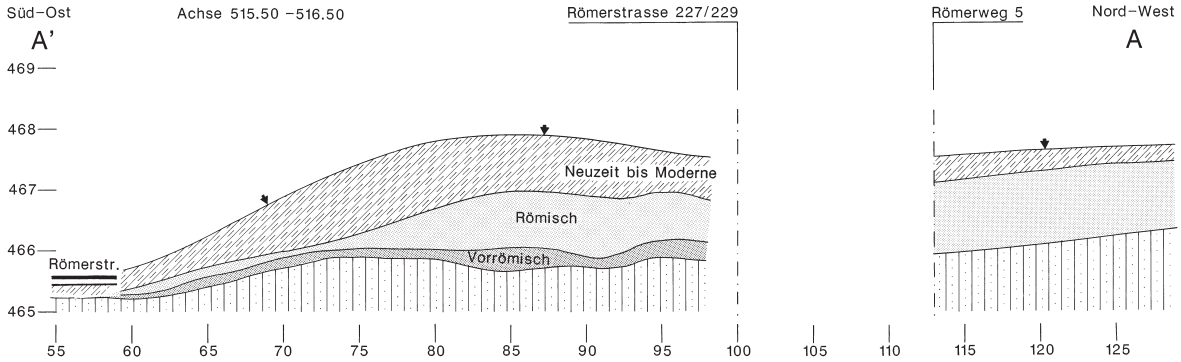


Abb. 198. Rekonstruiertes NS-Profil A–A' durch die Parzellen Römerweg 5 und Römerstr. 227/229 mit dem Verlauf der antiken und neuzeitlichen Schichtpakete. M. 1:500, stark überhöht.

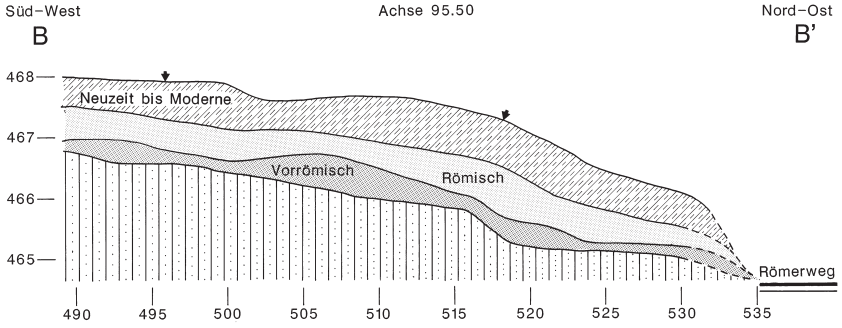


Abb. 199. Rekonstruiertes WE-Profil B–B' durch die Parzelle Römerstr. 227/229 mit dem Verlauf der antiken und neuzeitlichen Schichtpakete. M. 1:500, stark überhöht.

Abb. 201). Aufschüttungen in der Zeitspanne zwischen dem 2. und dem 4. Jh. n. Chr. sind auch aus dem Unterschied zwischen den Koten der Sohlen der spätrömischen Gräber herauszulesen (SH VII, Kap. VI, 2.4, Abb. 258): der Niveauunterschied beträgt auf einer Strecke von etwa 27 m zwischen dem westlichsten Grab 1 und dem östlichsten Grab 3

ca. 1,6 m. Selbst wenn man mit grossen Unterschieden in der Tiefe der Gräber rechnet, muss man davon ausgehen, dass zum Zeitpunkt der Bestattungen schon ein markantes Gefälle hat existieren müssen. Die intensive Siedlungstätigkeit der letzten Jahrhunderte hat Niveauunterschiede mit massiven Aufschüttungen für den Bau der 1836 errichteten Doppelscheune hinter den Häusern Römerstr. 227/229 nochmals verstärkt, während die Ostgrenze der Parzellen beim Bau eines Werkhofs und der Anlage des Römerwegs gekappt wurde (Abb. 199).

Was die südliche Parzellengrenze betrifft, gab es eine leichte Kante zur heutigen Römerstrasse, die in früheren Zeiten wahrscheinlich nicht so betont war und erst durch den Ausbau der modernen Strasse entstanden sein dürfte (Abb. 198).

6.1.2 Zur Auswertung

Die Auswertung der Ausgrabungen beider Parzellen erfolgte zu verschiedenen Zeitpunkten. Eine erste Befundauswertung des Römerwegs 5 wurde von Peter Albertin durchgeführt, während Christa Ebnöther ein detailliertes Fundbuch erstellt hat. Die hier vorgelegten Daten sind das Resultat einer Überarbeitung und Ergänzung der ausführlichen Dokumentation von P. Albertin und Chr. Ebnöther[963].

Was die Ausgrabung an der Römerstr. 227/229 anbelangt, wurde die Befundauswertung von der Autorin durchgeführt; Florian Hoek übernahm den Hauptteil der Auswertung der Funde. Reto Dubler erstellte dazu im Laufe der Jahre 1991/92 das Fundbuch.

Da die Parzellen aneinander angrenzen, schien eine möglichst eng verbundene Befundvorlage sinnvoll. Die Befunde werden jedoch getrennt vorgelegt, da einerseits zwischen den gegrabenen Zonen ein unerforschter Streifen von mehr als 10 m Breite liegt (Abb. 196) und da andererseits die Ausgrabungen mit so unterschiedlichen Zeitvorgaben erfolgten, dass nur eine sehr grobe Schichtkorrelation möglich war (Abb. 201). Es war zudem zu beobachten, dass wegen der Entfernung zwischen beiden Ausgrabungen, nur vereinzelte Strukturen von einer Parzelle auf die andere verfolgt werden konnten.

Die vorliegende Auswertung gliedert sich also in drei grössere Kapitel. In den ersten zwei (Kap. 6.2 und 6.3) werden die Befunde, deren Datierung und die Funde der Parzelle Römerstr. 227/229 bzw. Römerweg 5 vorgestellt, während der dritte Teil (Kap. 6.4) den jüngeren Befunden und Funden aus beiden Ausgrabungen gewidmet ist. Zum Schluss wird auf die Bautypen und Konstruktionstechniken (Kap. 6.5) und auf die Organisation des römischen Quartiers eingegangen (Kap. 6.6). Um die Befundbeschreibungen so übersichtlich wie möglich zu gestalten, sind im Text keine Einzelheiten zu Schichten und Strukturen aufgezählt. Detailangaben zu den Befunden können den jeweiligen Katalogen entnommen werden (Teil VI, Kap. 6).

Des Weiteren wurde eine Vereinfachung der Vorlage durch eine Neunummerierung der Befundeinheiten beabsichtigt. Strukturen erhielten somit ein Kürzel (z. B. Gb für Gräbchen oder G für Gruben), gefolgt von einer Zahl. Liegen die Strukturen innerhalb eines Gebäudes, tragen sie zuvorderst den Buchstaben, wonach der gesamte Grundriss benannt ist (eine Feuerstelle in Gebäude H trägt z. B. die Bezeichnung H.F 1). Kleinbuchstaben bezeichnen eine der mehreren Bauphasen eines Gebäudes oder einer Struktur (z. B. Gebäude Da in SH II wird Db in SH III).

6.2 Römerstrasse 227/229

6.2.1 Grabungssituation und stratigraphischer Aufbau

Die geplante Rettungsgrabung an der Römerstr. 227/229 erfolgte auf Grund eines Bauprojekts, das mehr als zwei Drittel der Parzellenfläche umfasste[964]. Dazu musste eine 1836 erbaute Doppelscheune im Hinterhofbereich der bestehenden Häuser an der Römerstr. 227 und 229 abgebrochen werden (Abb. 200). Die archäologische Ausgrabung auf einer



Abb. 200. Römerstr. 227/229. Die im Sommer 1992 abgebrochene Scheune (Ansicht von Südwesten). Rechts im Vordergrund das bestehende Haus an der Römerstr. 227.

Gesamtfläche von etwa 1500 m² (Abb. 196, gerasterte Fläche) erfolgte in zwei Kampagnen, zwischen dem 14. Oktober 1991 und dem 20. März 1992 unter der Leitung von Walter Fasnacht und zwischen dem 9. Juni und dem 18. Dezember 1992 unter der Leitung der Autorin[965]. Die Grabungstechnik musste den Zeitvorgaben derart angepasst werden, dass in einigen Fällen sogar auf die eingehende Untersuchung wichtiger Strukturen verzichtet werden musste. Das Verständnis der stratigraphischen Zusammenhänge war zudem durch zahlreiche Faktoren erschwert; dazu zählen die häufigen Baggerabträge zur Beschleunigung der Ausgrabung, die neuzeitlichen und modernen Eingriffe in die antiken Schichten und, nicht zuletzt, chemische, durch Anhäufung von Eisenschlacken oder aus neuzeitlichen Gruben ausgetretene Jauche verursachte Veränderungen des Bildes und der Konsistenz der Schichten.

Eine Schichtkorrelation zwischen den verschiedenen Teilen der Ausgrabung konnte nur unter Vorbehalt erstellt werden. Innerhalb der Parzelle unterscheidet sich der stratigra-

963 Archiv KA, Zürich.

964 Bauherrschaft Architektengruppe 4, Winterthur.

965 Techn. Leitung: R. Gamper; Ausgrabungsequipe: F. Bart, R. Born, A.-C. Conscience (†), J. Contin, B. Figilister, R. Frey, M. Gentinetta, S. Holzinger, R. Hosp, F. Jetzer, G.-R. Joos, C. Keiser, C. Kreis, R. Leu-Theuner, C. Lory, F. Mächler, R. Minnig, W. Rutishauser, H. Stünzi, R. Uttinger, C. Winkel, R. Wyrsch, B. Zollinger. Die Funde wurden von V. Böhler gewaschen und angeschrieben.

<table>
<tr><td rowspan="2">SH</td><td colspan="5">Römerstrasse 227/229</td><td colspan="2">Römerweg 5</td></tr>
<tr><td colspan="3">Westteil</td><td>Zentrum</td><td>Ostteil</td><td colspan="2" rowspan="2"></td></tr>
<tr><td>Strasse</td><td colspan="2">Portikus</td><td>Häuser G–H</td><td></td><td></td></tr>
<tr><td rowspan="3">IV</td><td></td><td colspan="2" rowspan="2">Süd: p4a
Kies
Nord: p4b
Brandschutt</td><td>G5/H5</td><td colspan="2">Schicht 10</td><td colspan="2">Schicht 11</td></tr>
<tr><td>Strasse 1c</td><td rowspan="2">G4/H4
Mischschicht</td><td rowspan="2">Hof 3b
Kies</td><td rowspan="2">Schicht 10</td><td colspan="2" rowspan="2"></td></tr>
<tr><td colspan="2">p3
Planie</td></tr>
<tr><td rowspan="3">III</td><td rowspan="3">Strasse 1b</td><td colspan="2" rowspan="3">p2a–b
Planie</td><td>Hof 3a
Brandschutt</td><td rowspan="3">Schicht 7</td><td>Schicht 8</td><td rowspan="4">Schicht 9</td></tr>
<tr><td>G3/H3a–c
Benutzung</td><td>Hof 2
Benutzung</td><td rowspan="2">Kultur-
schicht 6</td></tr>
<tr><td>G2/H2a–c
Lehmboden</td><td>Hof 1
Kies</td></tr>
<tr><td rowspan="3">II</td><td rowspan="3">Strasse 1a</td><td colspan="2" rowspan="2">p1
Planie</td><td>G1/H1a–b
Benutzung/
Brand</td><td rowspan="3">Hof 0
Benutzung</td><td rowspan="3">Schicht 5</td><td rowspan="3">Schichten 3–4</td></tr>
<tr><td colspan="2">p0</td><td>G0/H0</td></tr>
<tr><td colspan="5">Schicht 2</td></tr>
<tr><td>I</td><td colspan="6">Schicht 1
gewachsener Boden</td></tr>
</table>

Abb. 201. Römerstr. 227/229 und Römerweg 5. Schichtenschema und Siedlungshorizonte.

phische Aufbau in einen westlichen, einen zentralen und einen östlichen und nördlichen Teil (Abb. 201). Dass kein einheitliches Ablagerungsschema vorliegt, hängt direkt mit der Modalität der antiken Nutzung der Parzelle zusammen: Während im westlichen Teil ab der Mitte des 1. Jh. n. Chr. und während eines Jahrhunderts ein Wohnhaus mit Werkstatt und vorgelagerter Portikus an der gleichen Stelle mehrmals erneuert wurden (s. unten Gebäude G und H), diente die zentrale Zone der Parzelle als Hinterhof mit der Anlage zahlreicher Gruben. Der östliche Teil war hingegen v.a. mit «kurzlebigen» Speicherbauten belegt, die immer wieder von Grund auf errichtet wurden (s. Besprechung der räumlichen Organisation des Quartiers, Kap. 6.6.2).

Grundlagen der Datierung und Bewertung der Funde (F. Hoek und R. Janke)

Die im Folgenden vorgelegten Funde der Grabung an der Römerstr. 227/229 stellen nur einen Ausschnitt aller damals zu Tage getretenen Objekte dar. Wir beschränkten uns auf diejenigen Fundkomplexe, welche vom Befund her eindeutig einem Siedlungshorizont, einer Grube oder einem Gebäude zugewiesen werden konnten. Dazu wurden nur geschlossene Fundkomplexe berücksichtigt. Im Mittelpunkt der Erörterung stand nicht primär das Einzelstück, sondern die chronologisch relevanten Gefässformen (meist TS), die mit Hilfe von Vergleichen zumeist aus Oberwinterthur sowie aus der sehr gut erforschten Römerstadt Augusta Raurica eingegrenzt werden konnten. Die Münzen, Bronzekleinfunde, Fibeln und Töpferstempel werden gesondert vorgelegt (Teil IV), hier aber teilweise mit einbezogen.

Die Fundauswertung hatte zum Ziel, möglichst genaue Datierungen der drei sicher römerzeitlichen Siedlungshorizonte II–IV[966] zu erhalten. Ein besonderes Augenmerk sollte dabei auf die zahlreichen Gruben, die einen gewichtigen Teil der Befunde der Grabung ausmachten, geworfen werden (Beitrag Florian Hoek). Im Speziellen interessierte uns, ob es möglich ist, einzelne Grubenfüllschichten zum einen zeitlich zu trennen, zum anderen Auffüllungen von Schichten mit Funden der ursprünglichen Grubeninventare zu unterscheiden. Aus diesen Untersuchungen erhoffen wir uns, Rückschlüsse auf die ehemaligen Funktionen der Gruben zu erhalten.

Von SH II wurden nur einige Grubenfüllungen bearbeitet. Soweit bestimmbar sind diese im mittleren 1. Jh. n. Chr. verfüllt worden. Allgemein stammte aus den Gruben aber nur relativ wenig Material, so dass auf eine grubenweise Besprechung der Funde verzichtet wurde.

Für SH II ergab die Fundauswertung insgesamt eine Zeitstellung in der 2. Hälfte des 1. Jh. n. Chr., während für SH IV eine Datierung ins 4. Viertel des 1. und die 1. Hälfte des 2. Jh n. Chr. vorgeschlagen werden kann.

Die Datierung von SH III und IV erfolgte nach den gleichen Kriterien, d.h. durch die Bewertung der vertretenen TS-Formen. So steigen etwa die Anteile der Drag. 35/36 und Drag. 37 zwischen SH III und SH IV an und bestätigen eine – vom Befund her definierte – Abfolge beider Schichtpakete. Die uneinheitlichen TS-Anteile sind jedoch der Hauptgrund, warum SH III und IV – trotz genügend grossen Fundmengen (79 und 280 MIZ) – nicht genauer datiert werden können. Neben dem 1. Jh. n. Chr. ist auch die 1. Hälfte des 2. Jh. n. Chr. in Form von drei Grubenfüllungen vertreten.

Alle Stempel auf TS, die einem Töpfer bzw. einer Werkstatt zugewiesen werden können, stammen aus der südgallischen TS-Produktion von La Graufesenque. Diese Beobachtung deckt sich mit den Stücken aus dem Keramiklager von Oberwinterthur, welches um etwa 70 n. Chr datiert werden kann[967]. Im Gegensatz zum Keramiklager, für welches aus den vielen Töpferstempeln in Verbindung mit dem jeweiligen Gefässtyp interessante Erkenntnisse zur Spezialisierung des Töpfereigewerbes herausgearbeitet werden konnte, müssen solche Untersuchungen an unserem Material ausbleiben. Demgegenüber kann eine weitere interessante Beobachtung bezüglich der Funde festgehalten werden. Es handelt sich um die Tatsache, dass im Fundbestand der Gruben von Römerstr. 227/229 beinahe keine Gefässe mit Griesbewurf sowie nur ganz wenig Kochgeschirr vorhanden sind, während diese Formen in gleichzeitigen Militärlagern, wie z.B. in der

Kaiseraugster Unterstadt, zu den typischen Elementen gehören[968]. Wir möchten darin – neben anderen Hinweisen – eine vom Befund her bereits erarbeitete Bestätigung sehen, welche auf ein vorwiegend von Handwerksbetrieben geprägtes Quartier schliessen lässt.

Was die Gebäude anbelangt (Beiträge Florian Hoek und Rosanna Janke), kam eine Analyse der Funde nur für den westlichen Teil der Ausgrabung in Frage, da an anderen Stellen keine Handabträge innerhalb der Grundrisse stattfanden und eine zu grosse Unsicherheit in der Zuweisung der Funde zu den Strukturen herrschte.

Die Fundauswertung wurde grösstenteils Ende 1994 abgeschlossen. Später erschienene Literatur ist nur in Ausnahmefällen eingearbeit worden. Im Frühjahr 1999 konnten einzelne Ergänzungen und Anpassungen des Textes und des Katalogs vorgenommen werden.

6.2.2 Befund und Datierung

Siedlungshorizont I (vorrömisch bis etwa 20/30 n. Chr.)

Übersicht und Stratigraphie

Ausser einer Reihe von eindeutig prähistorisch zu datierenden und bereits veröffentlichten Strukturen[969] (Abb. 202, gerasterte Flächen) kam an der Römerstr. 227/229 eine Anzahl von Strukturen zum Vorschein, die sowohl prähistorisch als auch in die erste römische Siedlungsperiode des Vicus datieren können. Diese Strukturen zeigten sich ab der Oberkante des gewachsenen Bodens Schicht 1 oder in der tonigen Schicht 2 (Abb. 201) und sind somit älter als alle sicher römerzeitlich zu datierenden Siedlungsspuren (Beschreibung der Schichten in Teil VI, Kap. 6.1).

Strukturen

Knapp über dem gewachsenen Boden entdeckte man im Norden der Parzelle nur wenige Zentimeter tiefe Gräbchenspuren (Gb 1, Abb. 202). Diese fragmentarischen Befunde gehören wohl ins Gräbchensystem, das auf der Parzelle Römerweg 5 in ausgedehnter Form beobachtet und als Fundament von mehreren Holzgebäuden interpretiert wurde (s. Gebäude M, Kap. 6.3.2, Abb. 249). Weitere Gräbchenspuren mit einer anderen Ausrichtung kamen am östlichen und südlichen Rand der Parzelle zum Vorschein (Gb 2 und Gb 3). Ihre Zeitstellung und ihr baulicher Zusammenhang sind aber unbekannt. Bei Gb 2 wurde die mögliche Hausfront an der Hauptstrasse während dieser ersten römischen Belegungsphase angenommen (s. Teil III, Kap. 1, Abb. 74). Es handelt sich dabei allerdings um eine Arbeitshypothese, die nie zu überprüfen sein wird.

Diesem Siedlungshorizont sind zudem ein paar Dutzend Pfostengruben und Pfahlabdrücke von verschiedener Grösse und Form zuzuteilen (Abb. 202, schwarze Punkte). Diese Art von Strukturen, insbesondere die Pfähle, könnten allerdings auch jünger sein und sich erst durch den farblichen Kontrast mit dem gewachsenen Boden abgezeichnet haben.

In der nordwestlichen Ecke der Ausgrabung lag eine grosse, flache Senke (G 3), die mit torfigem Material verfüllt war (Abb. 202, 212). Ihre Ausdehnung war in der Fläche nicht eindeutig erkennbar, da ihre Konturen nicht scharf abgestochen waren. Dabei scheint es sich um eine natürliche Mulde im Oberboden der Moräne gehandelt zu haben; sie war vielleicht prähistorisch oder in der ersten Phase der römischen Ansiedlung als Viehtränke in Gebrauch, wie drei Zäune aus Reihen von neben und z. T. in der Senke selbst gesteckten Pfählchen mit einem Durchmesser von weniger als 10 cm zu belegen scheinen (Pf 1–3). Als weitere mögliche Deutung für die Pfählchenreihen könnte allerdings auch der Unterbau einer nicht mehr rekonstruierbaren Struktur, wie z. B. eines leichten Steges in Frage kommen. Analoge Pfahlreihen kamen an anderen Stellen des Vicus zum Vorschein[970]; ihre Funktion konnte aber in keinem Fall geklärt werden. Sicher ist nur, dass solche Strukturen ausnahmslos zur ältesten Phase des Vicus gehören.

In der südöstlichen Ecke der Ausgrabung folgte der Gartenhumus direkt über dem gewachsenen Boden; die Strukturen aus diesem Grabungssektor sind deshalb auf dem Gesamtplan von SH I (Abb. 202–203) eingetragen, ihre chronologische Stellung gilt jedoch als unbestimmt. Relevant für die Auswertung sind die Gruben G 1 und G 2, wobei für die erste die zahlreichen Koprolithen in der Verfüllung eine Verwendung als Latrine vermuten lassen, während G 2 auf Grund ihrer Verfüllung mit reichlichem Hammerschlag sicher in Zusammenhang mit einer Schmiedewerkstatt stand (s. Besprechung über das Schmiedehandwerk, Kap. 6.6.1).

Datierung

Besonders schwierig bei diesem Siedlungshorizont erscheint die Abgrenzung zwischen prähistorischen und frühen römischen Strukturen. In der Schicht 2 lagen sporadisch prähistorische, wohl bronzezeitliche Keramikscherben, während die wenigen Keramikfunde aus der grossen Senke G 3 und aus dem Bauniveau der Gebäude im westlichen Teil der Ausgrabung (Kat. **1–13**) in die Zeit der ersten römischen Bauperiode von Oberwinterthur gehören (etwa zwischen 4 v. Chr. und 20–30 n. Chr.). Die zwei einzigen TS-Scherben aus diesem Zusammenhang sind italischer Provenienz und reichen vom Horizont Dangstetten/Oberaden (D) (Kat. **1**) bis in tiberische Zeit (Kat. **2**). Für das frühe 1. Jh. sprechen auch die rottonige TS-Imitation Kat. **3–4** und die Tonne in SLT-Tradition Kat. **6**. In diese Zeitspanne scheint zudem der Bronzearmring Kat. **12** zu passen (vgl. Beitrag E. Deschler-Erb in diesem Band, ME **20**). Das Hirschgeweihfragment Kat. **13** kann als Rohstoff oder als Abfall der Bearbeitung (z. B. zur Herstellung von Griffen oder Nadeln) bezeichnet werden[971].

Siedlungshorizont II (etwa 30–50 n. Chr.)

Übersicht und Stratigraphie

Die markantesten Zeugen dieser ersten eindeutig römischen, flächendeckenden Überbauung der Parzelle sind sieben Gebäudegrundrisse und zehn in den Gebäuden oder im Freien abgetieften Gruben (Abb. 197, 204). Anhand der Funde aus den Bauniveaus scheint die Bautätigkeit im zwei-

---

966 Im Folgenden SH II–IV.

967 Ebnöther/Eschenlohr 1985, 254.

968 Deschler-Erb et al. 1991, 90ff.

969 R. Janke, Prähistorische Funde aus Oberwinterthur. In: AIZ 1993–1994. 13. Ber. KA Zürich (1996) 317 ff.

970 Römerstr. 186 (Rychener/Albertin 1986, 19 und Plan 1); Römerstr. 197 (Rychener 1988, 44f. und Abb. 408) und Vitudurum 6, Unteres Bühl (Th. Pauli-Gabi/Chr. Ebnöther et al., in Vorb.).

971 Geweihartefakte aus Oberwinterthur, Unteres Bühl s. S. Martin-Kilcher, Geräte und Geräteteile aus Knochen und Hirschhorn aus dem Vicus Vitudurum-Oberwinterthur, in: Beiträge zum römischen Oberwinterthur – Vitudurum 5. Berichte ZD, Archäologische Monographien 10 (Zürich 1991), 61–75.

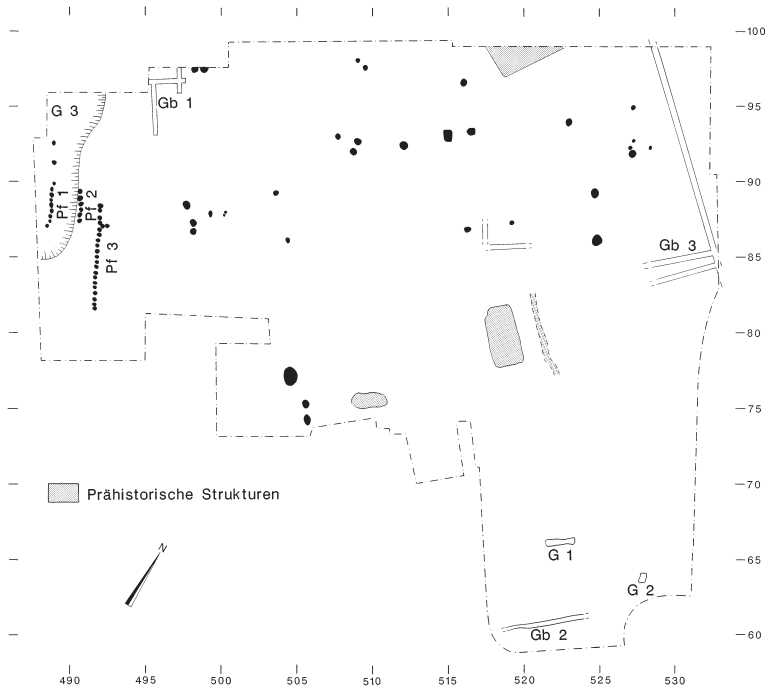


Abb. 202. Römerstr. 227/229. Siedlungshorizont I: Übersichtsplan mit Strukturen. Vorrömische Strukturen grau gerastert. M. 1:500.

ten Jahrzehnt n.Chr. einzusetzen, während die Funde aus den Gruben ein mögliches Enddatum dieses Siedlungshorizonts um die Mitte des 1. Jh. n. Chr. erbringen (s. unten, Datierung).



Abb. 203. Römerstr. 227/229. Südöstliche Ecke der Ausgrabung. Die im gewachsenen Boden eingetieften Strukturen lagen direkt unter dem modernen Gartenhumus. Rechts die Römerstrasse, wohl Standort der antiken Hauptstrasse; im Hintergrund der in den 1960er-Jahren gebaute Werkhof. Ansicht von Westen.

Die Fläche war im westlichen und zentralen Bereich von einem auf zwei Seiten von Wohnhäusern und Werkstätten flankierten Hof charakterisiert, während am östlichen Rand der Parzelle Speicherbauten lagen. Dazu zu ergänzen wäre der südliche Bereich der Parzelle, beim heutigen Standort der Häuser Römerstr. 227 und 229, direkt an der Hauptstrasse, die die Siedlung von Westen nach Osten durchquert. Es ist anzunehmen, dass auch in römischer Zeit an dieser Stelle Wohnhäuser und Werkstätten gestanden haben, analog z. B. zur Parzelle Römerstr. 213/215 (in diesem Band). Indizien, die diese Hypothese bestätigen würden, gibt es aber erst ab dem dritten und v. a. vierten Siedlungshorizont (Feuerstelle F 1, Abb. 222, bzw. Gebäude F, Abb. 230). Die Grundaufteilung der verfügbaren Baufläche lässt sich auch für die weiteren Siedlungshorizonte verfolgen.

Die Strukturen dieses Siedlungshorizonts sind direkt ab der Oberkante der Planieschicht 5 eingetieft (s. Schichtenschema, Abb. 201). Im Ostteil folgte direkt über Schicht 5 die siltig-sandige Planie zum nächsten Siedlungshorizont III (Schicht 7).

Strukturen

Gebäude A. In der nordöstlichen Ecke des Grabungsareals kam eine Reihe von Balkengräbchen zum Vorschein, die eindeutig zu einer Gebäudeecke zu rekonstruieren sind (Gebäude A, Abb. 201–205). Die Balkengräbchen waren in der Regel etwa 40 cm breit, nur etwa 20 cm tief und besassen eine flache Sohle. Vier WE-orientierte Balkengräbchen lagen parallel zueinander, in einem Abstand von ca. 1,5 m und einer Länge von mind. 7 m. Die Verfärbungen brachen bei der Parzellengrenze ab, dort wo die moderne Böschung zum Römerweg und zum Werkareal ansetzt (vgl. Abb. 199). Ein senkrecht dazu angelegtes Balkengräbchen markierte die westliche Abschlusswand des Gebäudes. Diese ist allerdings nur in Ansätzen erhalten, da sie von einer grossen Grube gestört ist (Grube G 19, SH IV). Innerhalb dieses Grundrisses waren keine besonderen Konstruktionen zu beobachten bis auf eine quadratische, dunkle Verfärbung (ca. 1,1 m Sei-



Abb. 204. Römerstr. 227/229. Siedlungshorizont II: Übersichtsplan mit Strukturen. M. 1:500.

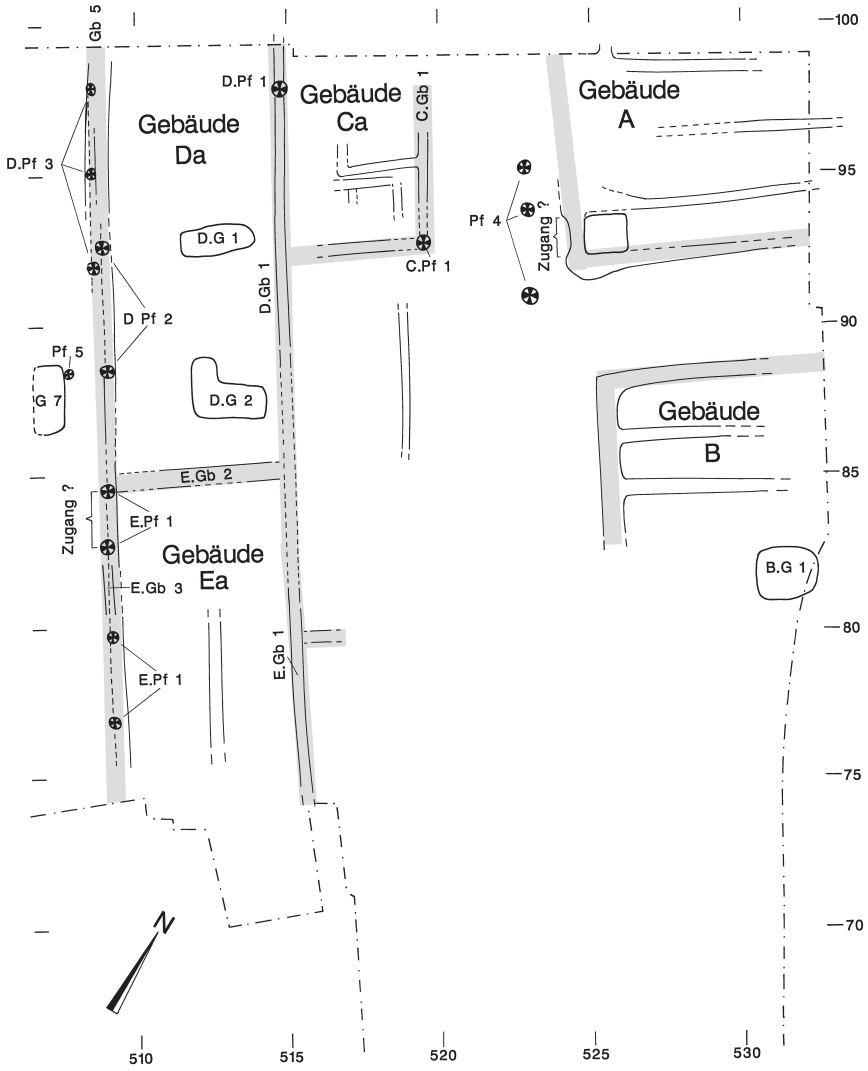


Abb. 205. Römerstr. 227/229. Siedlungshorizont II. Sektor Ost: Übersichtsplan mit Strukturen. M. 1:250.

tenlänge) mit reichlich Holzkohlefragmenten in der südwestlichen Ecke des Gebäudes. Trotz der Holzkohle ist dieser Befund kaum als Feuerstelle zu interpretieren, da keine Spuren von verbranntem Lehm oder anderen Konstruktionselementen vorhanden waren. Gebäude A ist ausserdem die Reihe von drei Pfosten Pf 4 zuzuweisen, welche etwa 1,4 m der vermuteten Wand des Gebäudes vorgelagert ist. Der Abstand zwischen den Pfosten ist nicht regelmässig. Insbesondere in der SW-Ecke von Gebäude A, wo die oben erwähnte viereckige Verfärbung beobachtet wurde, beträgt der Abstand zwischen den Pfosten ca. 3 m. Vielleicht kann der grössere Abstand mit dem Standort eines Zugangs zum Gebäude erklärt werden. Die Pfosten werden wohl den äusseren Rand des Daches getragen haben: von Portikus kann hier kaum die Rede sein, da die Pfostenreihe zu nahe an der Gebäudewand liegt.

Gebäude B. Etwa 3,5 m südlich von Gebäude A kam die NW-Ecke eines ähnlichen Grundrisses zu Tage, bei dem allerdings die Längsbalken in einem etwas grösseren Abstand zueinander (etwa 1,7 m) als bei Gebäude A liegen (Abb. 204–205). Die leicht ovale Grube B.G 1 liegt wohl innerhalb von Gebäude B (s. Beschreibung im Befundkatalog, Teil VI, Kap. 6.1). Ihre Funktion kann nicht mehr eruiert werden, wobei eine Deutung als abgetiefte Vorratskammer am ehesten in Frage kommt; jedes Anzeichen für eine gewerbliche Nutzung der Struktur (z. B. Brandrötung, besondere Konstruktionsdetails oder Ablagerungen) fehlt.

Gebäude C, Bauphase a (Gebäude Ca). Westlich von Gebäude A und B sind Teile eines oder mehrerer länglicher Gebäude zum Vorschein gekommen (Abb. 204–205). Die Grundrissform ist nicht klar abzulesen, dabei könnte es sich aber um einen Teil eines oder mehrerer langgestreckter Grundrisse oder um einen Vorgängerbau zum ähnlich ausgerichteten Gebäude C, Bauphase b von SH III, handeln (s. unten, Abb. 218). Zu dieser Anlage gehört auch der Pfosten C.Pf 1, der vielleicht als konstruktives Element eines Pfostenbaus mit Schwellbalken anzusehen ist. Betrachtet man diesen Pfosten mit dem Gräbchen C.Gb 1 als Teil der Ostwand und das Gräbchen D.Gb 1 als Westwand eines NS-verlaufenden Gebäudes, ergibt das einen schmalen Grundriss mit etwa 5,5 m Breite und einer ungewissen Länge. Es muss aber betont werden, dass der Bereich östlich von C.Pf 1 bzw. C.Gb 1 durch einen jüngeren Graben (SH V, Abb. 258) gestört ist und wir deshalb über keinerlei Angaben zur Zone zwischen Gebäude A und Gebäude Ca verfügen.

Es konnte keine Schichtenunterscheidung zwischen den Innen- und Aussenbereichen der Gebäude A, B und Ca festgestellt werden. Die Verfüllung der Gräbchen wies die gleiche Zusammensetzung wie Schicht 5 auf, allerdings mit einem tonig-humosen Anteil.

Gebäude A, B und Ca wurden im gleichen zeitlichen Rahmen errichtet. Dafür sprechen nicht nur die stratigraphischen Verhältnisse, sondern auch die ähnliche Ausrichtung. Der geringe Holzkohleanteil in Schicht 5 könnte auf eine Zerstörung der Gebäude durch einen Brand hinweisen. Da eine eigentliche Benutzungs- oder Brandschicht nicht vorgefunden wurde, ist allerdings diese Hypothese nicht überprüfbar. Nach der Zerstörung der Gebäude muss das Gelände gründlich geräumt worden sein: Man zog die noch brauchbaren Balken aus den Gräbchen und das umliegende Schichtmaterial rutschte in die leeren Gräbchen nach. Die Zone wurde mit der siltig-sandigen Planieschicht 7 bedeckt, worüber die Bauten des nächsten Siedlungshorizonts errichtet wurden (SH III, Abb. 217).

Auf Grund der Grundrissform der in kleinen Abständen parallel zueinander gelegten Balken scheinen Gebäude A, B und wohl auch Ca ihre besten Parallelen bei den Anlagen von Kornspeichern zu finden (für eine Diskussion der Gebäudetypen s. Kap. 6.5.1).

Gebäude D und E, Bauphase a. Der Grundriss dieser beiden Gebäude ist hauptsächlich von einem Balkengräbchen im Osten (D.Gb 1 und E.Gb 1) und einer Schichtgrenze mit vorgelagerter Pfostenreihe im Westen angegeben (Abb. 204–205). Dazwischen liegt ein Bereich von etwa 6 m Breite und eine Länge von mehr als 25 m, mit einer einzigen dokumentierten WE-verlaufenden Unterteilung beim Gräbchen E.Gb 2. Die auf der Grabungsachse ca. m 509–510 beobachtete Schichtgrenze bildet die Zäsur zwischen dem Innenbereich der Gebäude (Schicht 5) und dem nicht überdachten Hofbereich (Schicht 5, von Hof 0 überlagert) (Abb. 201, 205–206). Dieser Befund ist in der Interpretation besonders problematisch, nicht zuletzt da er sich auf der gleichen Stelle befindet, wie die Ostwand der abgebrochenen neuzeitlichen Doppelstall-Scheune. Die Schichtgrenze bestand von SH II bis SH IV. An einer der besser dokumentierten Stellen der Ausgrabung, bei der Westwand von Gebäude E (Abb. 206), war sie von einer Abfolge von Gräbchen markiert, während aber an den meisten anderen Stellen auf dieser Achse die Schichten der Gebäude D–E direkt an die Schichten des Hofes stiessen. Was SH II betrifft, ist die Grenze durch das NS-verlaufende Gräbchen E.Gb 3 hervorgehoben. Dieses befindet sich auf der gleichen Flucht wie die Pfostenreihe E.Pf 1 und kann als Abdruck eines Schwellbalkens gedeutet werden (Abb. 205). Die Verfüllung von E.Gb 3 setzt sich von der umliegenden Schicht Hof 0 nur wenig ab, so dass ein ähnliches Ablagerungsphänomen zu rekonstruieren ist, wie schon bei Gebäude A–B geschildert wurde: Nach der Zerstörung der Gebäude müssen an der Stelle der Balkengräben Hohlräume entstanden sein, die zu einem späteren Zeitpunkt von der umliegenden Schicht verfüllt wurden.

Der Schichtgrenze vorgelagert lag eine Anzahl von Pfostenstellungen in unregelmässigen Abständen (zwischen 1,8 und 4,5 m) (Abb. 205). Auf Grund der stratigraphischen Beobachtungen scheinen unter Vorbehalt alle Pfostenstellungen bis auf eine Ausnahme (D.Pf 4, SH III, Abb. 218) während dieses Siedlungshorizonts angelegt worden zu sein. Bei Gebäude D, Bauphase a (Gebäude Da), kamen zwei

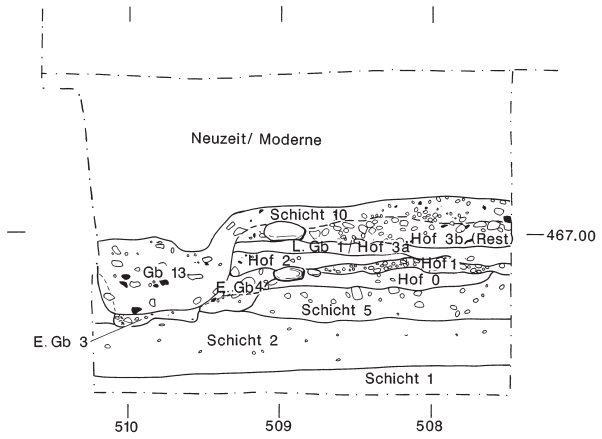


Abb. 206. Römerstr. 227/229. SH II–IV: Schichtenabfolge im Bereich der Grenze zwischen Gebäude D–E und dem Innenhof. M. 1:50.

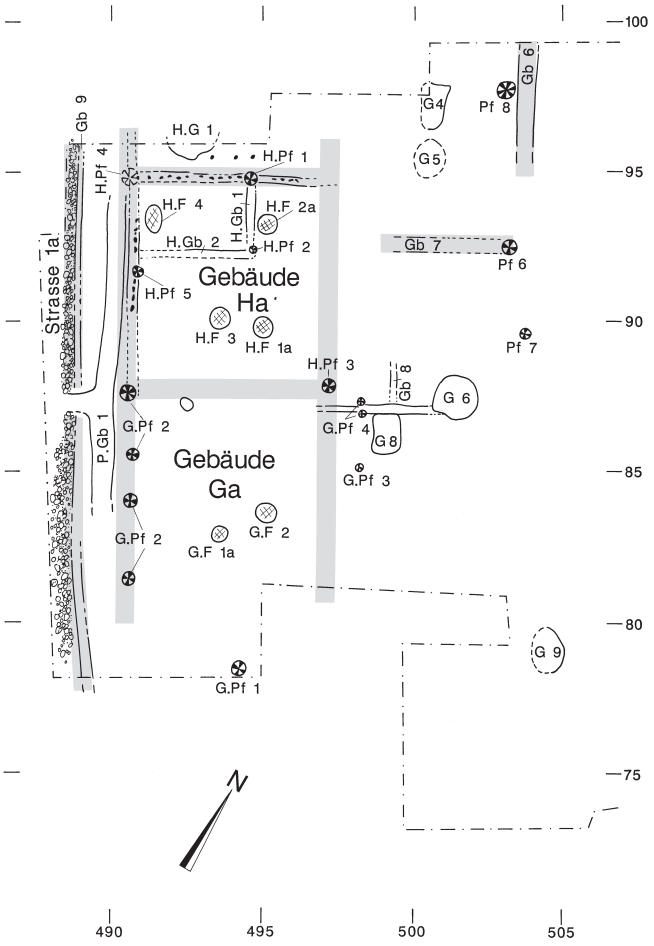


Abb. 207. Römerstr. 227/229. Siedlungshorizont II. Sektor West: Übersichtsplan mit Strukturen. M. 1:250.

unterschiedliche Pfostenreihen zum Vorschein: D.Pf 2 besteht aus zwei Pfosten in einer Entfernung von 4,2 m voneinander, unmittelbar bei der Schichtgrenze. Die Pfosten der Reihe D.Pf 3 weisen keine regelmässige Abstände voneinander auf und liegen ca. 50–60 cm der Schichtgrenze vorgelagert. Diese Situation kann nicht eindeutig interpretiert werden. Die Pfosten von D.Pf 2 waren vermutlich viereckig behauen und die Pfostengruben tief angesetzt, was für tragende Teile einer Wand sprechen würde; bei D.Pf 3 scheinen die Pfosten weniger massiv gewesen zu sein. Unmittelbar der Schichtgrenze entlang ist an zwei Stellen ein Gräbchen beobachtet worden (Abb. 205). Diese Verfärbungen sind wohl analog zum vorhin beschriebenen E.Gb 3 als Abdrücke von Balken anzusehen. Ganz im Norden ist ein breiter, flacher Graben auf einer Länge von mind. 5,5 m freigelegt worden (Gb 5). In diesem Bereich waren der nördlichste Pfosten der Reihe D.Pf 3 eingelassen. Einer davon ergab ein Dendrodatum mit Waldkante um 41 n.Chr. Dieses für SH II einzige absolute Datum unterstützt die Datierung des Siedlungshorizonts in einen Zeitraum vor der Mitte des 1. Jh., ist allerdings als «Anfangsdatum» für die Überbauung etwas zu jung (s. unten, Datierung). Ein ähnlicher NS-verlaufender Graben wurde ca. 5,5 m weiter westlich beobachtet, bei Gb 6 (Abb. 204, 207). Dort waren allerdings keine Pfosten in der Struktur zu beobachten, sondern nur nebenan (Pf 8). Die Funktion dieser Gräben kann nicht definiert werden, da sie für ein Balkengräbchen zu breit und für einen wasserführenden Kanal nicht genug tief sind.

Was Gebäude E, Bauphase a (Gebäude Ea), angeht, liegen von Süden nach Norden zuerst drei Pfosten in einem regelmässigen Abstand von 3,1 m (E.Pf 1) in der direkten Verlängerung gegen Süden der oben beschriebenen Reihe D.Pf 2. Darauf folgt, in der NE-Ecke ein Pfosten in einem Abstand von knapp 2 m (Abb. 205). Der Schluss liegt nahe, diese Stelle als mögliche Türschwelle des Gebäudes anzuschauen. Weitere Indizien wie z.B. Überreste von Türelementen, die diese Theorie unterstützen würden, liegen allerdings nicht vor. Zwischen zwei dieser Pfosten lag das Gräbchen E.Gb 3.

Innerhalb der Grundrisse sind bei Da zwei Gruben zu verzeichnen: D.G 1 und D.G 2 (Abb. 205). Beide Strukturen waren besonders fundreich und sind mit grosser Wahrscheinlichkeit als abgetiefte Vorratskammern zu interpretieren. Offensichtlich müssen innerhalb von Gebäude Da weitere Raumunterteilungen vorliegen, die sich aber nicht erhalten haben. Im Gebäude Ea kam ein nicht näher zu deutendes, NS-verlaufendes Gräbchen zum Vorschein.

Für diese Gebäude gelten die gleichen Schichtverhältnisse wie bei den Gebäuden A, B und Ca.

Die Anlage von Da/Ea ist als ein einzelnes oder als zwei aneinander gebaute Gebäude zu deuten. Die Westwand ist als Pfostenbau mit eingefügten Schwellriegeln zu rekonstruieren; bei der Ostwand hingegen spricht das fast vollständige Fehlen von Pfostenstellungen für Ständerbautechnik wie sie bei den Gebäuden A, B und Ca beobachtet wurde. Auffallend ist der Unterschied in der Wandkonstruktion innerhalb des gleichen Gebäudes. Was die Verwendung der Gebäude anbelangt, sprechen die Vorratskammer als einzige Innenstrukturen eher für Wohngebäude. Es ist allerdings auf das vollständige Fehlen von Feuerstellen hinzuweisen.

Westlicher Rand der Ausgrabung

Das Gelände wies an dieser Stelle ein leichtes Gefälle von etwa 20 cm auf einer Strecke von 7 m von Westen nach Osten auf (vgl. Abb. 211–212). Hier entstand zu römischer Zeit ein mindestens dreimal erneuertes, NS-orientiertes Streifenhaus mit Wohnteil (Gebäude G) und angebauter Werkstatt (Gebäude H) (Abb. 207). Gebäude G und H entlang lag eine 1,8 m breite Portikus. Unmittelbar bei der westlichen Grabungsgrenze stiess man auf eine Kiesschüttung, die wohl als Teil eines Vorplatzes zu einer NS-verlaufenden Stichstrasse zu deuten ist (Strasse 1). Die Zone ist durch den komplexen stratigraphischen Aufbau und durch die vielen neuzeitlichen und modernen Störungen gekennzeichnet: Besonders erschwerend war eine massive Eisenverkittung entlang der Westwand der Gebäude (s. z. B. Abb. 237–238), die das Abtragen der Sedimente und das Erkennen von Schichtgrenzen in den Grabungsprofilen unmöglich machte. Die Schichtkorrelation und die Rekonstruktion der Hausbauphasen konnten deshalb nur unter grossem Vorbehalt erstellt werden. Innerhalb der Gebäude bestand zudem ein wesentlicher Unterschied zwischen dem Bereich unmittelbar um die Feuerstellen, wo eine Abfolge von mehreren, sehr dünnen Schichten aus meist verbranntem Lehm und dunklen humosen «Benutzungsschichten» zu beobachten war und dem Bereich zwischen Feuerstellen und Hauswänden ohne klare Schichtabfolgen. Die Entwicklung der Bautätigkeit in diesem Bereich wurde in drei den Siedlungshorizonten II–IV zugewiesenen Phasen zusammengefasst, eine Abfolge, die sich ebenfalls in je eine Feuerstelle in Gebäude G (G.F 1a–c) und in Gebäude H (H.F 2a–c) nachvollziehen lässt. Bei der Konstruktionstechnik der Gebäudewände lag ebenfalls eine Dreiphasigkeit vor: Als älteste Bauweise Pfostenbau mit eingefügten Schwellbalken oder vertikalen Bohlen und Spältlingen (SH II), gefolgt möglicherweise von Ständerbau mit Schwellriegeln auf plattigen Steinen (SH III) und zum Schluss Ständerbautechnik mit besonders grossen Geröllen als Balkenunterlage (SH IV). Zur Beschreibung des Befundes wurden die Umbauten und die Erneuerungen der Feuerstellen als synchrone Tätigkeiten betrachtet und diese ihrerseits den Siedlungshorizonten II–IV zugewiesen, eine Arbeitshypothese, die aber von den Funden nicht endgültig bestätigt wird. Da sich aber die Schichtenverhältnisse, trotz des sorgfältigen Grabungsverfahrens an dieser Stelle, so komplex gestalteten, bleibt alles in allem die Interpretation des Befundes unsicher, insbesondere was die Chronologie und die Phaseneinteilung anbelangt.

Gebäude G, Bauphase a. Gebäude G, Bauphase a (Gebäude Ga) wurde auf einer Länge von 9,5 m dokumentiert, während seine Breite auf 7,5 m zu ergänzen ist (Abb. 204, 207). Als Nordwand betrachten wir die WE-Linie, die die Pfosten G.Pf 2 mit H.Pf 3 verbindet. Konkretere Bauspuren an dieser Stelle gibt es aber erst ab dem nächsten Siedlungshorizont III (s. unten, Abb. 222). Auch der Standort der Ostwand ist in den späteren Siedlungshorizonten besser zu erkennen. Während SH II wird die Ostwand auf der Achse der Pfostenstellungen G.Pf 3 und G.Pf 4 angenommen. Der südliche Abschluss des Gebäudes liegt ausserhalb der ausgegrabenen Fläche und dürfte bei der Hauptstrasse der antiken Siedlung, in einer Entfernung also von etwa 30 m von der NW-Ecke (G.Pf 2), zu vermuten sein. Die Westwand ist durch vier Pfosten G.Pf 2, in unterschiedlichen Abständen von 1,5–2,5 m voneinander, markiert. Da auf dem Grundriss von Gebäude Ga (und Ha) zwei weiteren Bauphasen folgten (Gebäude Gb/Hb, SH III, und Gebäude Gc/Hc, SH IV), erscheint die Zuweisung der Innenstrukturen dem einen oder anderen Haus allgemein problematisch. Selbst die Stratigraphie innerhalb des Gebäudes, die besonders detailliert dokumentiert wurde, ergab wenige Anhaltspunkte für die endgültige Bauphaseneinteilung der zahlreichen Feuerstellen und Raumabtrennungen. An Innenstrukturen sind bei Ga einzig zwei Feuerstellen erhalten (G.F 1a und G.F 2). Bei beiden wurde anscheinend direkt auf dem Lehmboden gefeuert (Abb. 208, verbrannte Lehmlinse a). Bei der NE-Ecke dieses Gebäudes wurde eine besondere Konstruktion beobachtet: das schmale Gräbchen K 1 führte vom Bereich der Grube G 6 in Richtung Haus Ga an einer weiteren Grube G 8 vorbei. K 1 kann im Innenbereich vom Gebäude weiter verfolgt werden, wo es aber bei einer neuzeitlichen Störung abbricht. Bei der Ostwand von Ga ist das Gräbchen von zwei Pfosten G.Pf 4 links und rechts flankiert. K 1 wird als Kanal in Zusammenhang mit den Gruben G 6 und G 8 gedeutet. Womöglich waren die Pfosten G.Pf 4 Teil einer Konstruktion, welche den Ab- oder Zufluss ins bzw. aus dem Haus regelten. Auf Grund ihrer rechteckigen Form mit Holzausfachung war Grube G 8 wohl als Wasserspeicher in Gebrauch, während für G 6 eine Interpretation als Latrine durchaus denkbar wäre. Die Verbindungsstellen von K 1 zu den Gruben waren nicht mehr erhalten, so dass über die genaue Funktion des Kanals nichts gesagt werden kann. Ebenfalls ungeklärt bleibt das Gefälle dieser Struktur.

In der NW-Ecke von Gebäude Ga wurden drei etwa gleich grosse, runde, eher kleine Gruben erkannt[972]. Sie waren in die Schicht G0 (s. unten, Stratigraphie und Schichtenschema Abb. 201) eingetieft und mit Eisenverkittungen und Holzkohle verfüllt, wiesen aber keine Brand- oder Schlackenspuren auf. Es bleibt unklar, ob diese Eintiefungen eine tatsächliche Struktur in Zusammenhang mit Eisenverarbeitung darstellen oder ob sie willkürlich, z. B. durch das Einsickern von Eisenpartikeln an einer porösen Stelle des Bodens, entstanden sind.

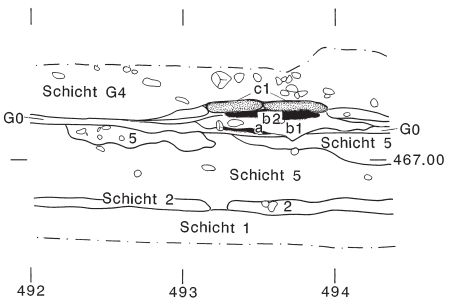


Abb. 208. Römerstr. 227/229. Dreiphasige Feuerstelle G.F1 im Profil. M. 1:50.

Gebäude H, Bauphase a und der nördliche Rand der Parzelle. Gebäude H, Bauphase a (Gebäude Ha) deckt eine quadratische Fläche von 7,5 m Seitenlänge, wobei der östliche Abschluss zerstört war und sein Standort nur auf Grund der späteren Bauphasen (Hb und Hc) vermutet werden kann. Soweit erhalten besteht die Konstruktion der Nord- und Westwand aus Pfosten mit dazwischen eingefügten, senkrecht in den Boden eingelassenen Spältlingen oder Hälblingen (Abb. 209). Als Bauholz wurde ausschliesslich Eiche verwendet. Der Abstand zwischen den Pfosten variiert zwischen 3 und 4 m. Parallelen für diese besondere Wandkonstruktion fanden sich im Vicus selbst[973] und, neulich vorgelegt, in Vindonissa[974]: es stellt sich dabei die Frage, ob die Spältlinge Teil

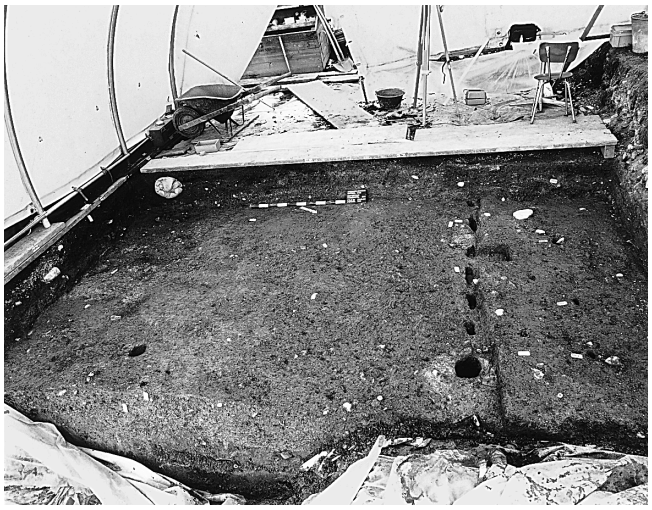


Abb. 209. Römerstr. 227/229. Nordwand von Gebäude Ha. Konstruktion mit Pfosten und eingefügten Bohlen oder Spältlingen, die sich in der Oberkante der Schicht als Hohlräume abzeichneten. Ansicht von Nordwesten.

der aufgehenden Wand oder ob sie als Unterlage für Schwellbalken gedacht waren. Bei der vermuteten Südwand von Gebäude Ha war der Pfosten H.Pf 3 zu beobachten (Abb. 207).

Unter Vorbehalt werden Gebäude Ha mindestens zwei Gräbchen und vier Feuerstellen zugerechnet. Bei den Gräbchen H.Gb 1 und H.Gb 2 handelt es sich wohl um die Spuren einer Raumunterteilung, die zusammen mit der Pfostenstellung H.Pf 2 in der NW-Ecke des Gebäudes einen Raum von etwa 4×2,5 m abgrenzten. Innerhalb dieses Raums waren die Reste der Feuerstelle H.F 4 erhalten, wobei unklar bleibt, ob die gewölbte Lehmlinse mit unregelmässigen Konturen und starken Brandspuren wirklich zum Feuern gedacht war oder ob es sich dabei um ein Fragment einer mit Lehm verstrichenen und nach einem Brand nach innen gekippten Gebäudewand handelt. Was die anderen drei Feuerstellen in Gebäude Ha anbelangt, scheint man auf einer einfachen, flachgestrichenen Lehmlinse gefeuert zu haben (H.F 1–3). Die Strukturen H.F 1 und 2 wiesen mehrere Bauphasen auf (Abb. 210, a1).

An die Nordwand von Gebäude Ha stiess ein nur wenige Zentimeter dicker, gelber Lehm H1b, der als Gehniveau von

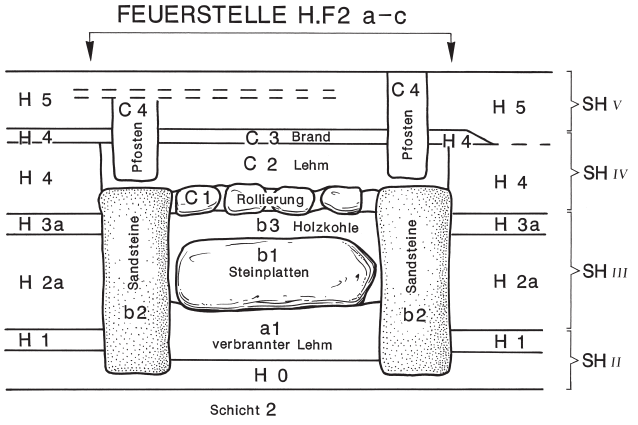


Abb. 210. Römerstr. 227/229. Schematischer Aufbau der dreiphasigen Feuerstelle H.F2.

einem weiteren Raum zu deuten ist. Dieser war von einer flachen Mulde H.G 1 mit leicht humoser Verfüllung durchstochen. Ebenfalls auf diesem Niveau ist die Reihe von drei dünnen Pfählchen dokumentiert worden. Über die Konstruktionsart der Westwand von diesem Raum, der gewissermassen als Fortsetzung von Gebäude Ha gegen Norden hin zu deuten ist, gibt der Befund keine Auskunft. Fest steht, dass in der Flucht der Westwand von Gebäude Ha bis zur Parzellengrenze ein nur wenige Zentimeter tiefes Gräbchen festgestellt wurde, das wahrscheinlich als Balkengraben zu interpretieren ist. Dies würde bedeuten, dass die besondere Konstruktionstechnik mit Pfosten und eingefügten vertikalen Spältlingen auf das Gebäude Ha beschränkt war, während der Rest des Baukomplexes – also nördlich von Ha und Gebäude G – in der üblichen Pfostenbautechnik mit eingefügten Schwellriegeln errichtet war.

Ein gemeinsames Element zwischen Ga und Ha besteht in den Pfostenstellungen etwa in der Mitte der Breite (H.Pf 1 und G.Pf 1). Diese liegen auf einer Linie, die mit der nötigen Vorsicht als Firstlinie gedeutet werden kann. Wenn diese Vermutung zutrifft, muss für diese ganze Anlage ein parallel zur Strasse gerichtetes Dach rekonstruiert werden.

Als Gehniveau aus gestampfter Erde zu den Gebäuden Ga und Ha scheint die Schicht G0/H0 gedient zu haben, die der Schicht 5 aus dem östlichen Bereich der Ausgrabung entspricht (Abb. 201, 211–212). In Gebäude Ha lagen darüber sehr dünne Flecken von einem graugelben Lehm, die ebenfalls als Teil des Gehniveaus betrachtet werden können. Darüber kam eine Benutzungs- und Brandschicht G1, bzw. H1 zu liegen, die besonders reich an Holzkohle war und davon zeugt, dass die Gebäude um die Mitte des 1. Jh. einem Brand zu Opfer gefallen sind. Auch könnte diese holzkohlereiche Schicht ein Hinweis auf einen ursprünglichen Bretterboden sein, der direkt über die gestampfte Schicht G0/H0 verlegt wurde. Über der Brandschicht wurde in beiden Gebäuden ein nächster Lehmboden aufgetragen, der als Gehniveau zum nächsten Siedlungshorizont diente (Schichten G2, bzw. H2). Alle hier erwähnten Schichten waren besonders dünn und deckten nicht die ganze Ausdehnung der Räume, sondern waren im Kern der Gebäude, in der Nähe der Feuerstellen, am besten zu erkennen.

Ein wichtiger Anhaltspunkt für die Bauabfolge liefert schliesslich ein Detail in der Ostwand von Gebäude G, wo eine Überlagerung von Pfosten G.Pf 4 und den Unterlagssteinen der nächsten Bauphasen deutlich dokumentiert ist (Abb. 207, 213).

Für beide Gebäude Ga und Ha liegt eine Deutung als Wohnhaus auf Grund der einfachen Feuerstellen am nächsten. Gebäude H wird sich in den nächsten Siedlungshorizonten als mögliche Schmiede entpuppen. Vielleicht ist die auffallende Wandkonstruktion mit zwischen den Pfosten eingefügten vertikalen Spältlingen schon in diesem Siedlungshorizont als Anzeichen für eine besondere Funktion dieses Gebäudetraktes zu bewerten. Sieht man von einigen

[972] Pos. 1329–1330: Dm. ca. 35 cm, T 10–15 cm, runde Sohle. Ohne Abbildung.

[973] Römerstr. 187, Siedlungshorizont I, mit Dendrodaten um 15 n. Chr. mit WK (R. Janke, in Vorb.); Römerstr. 221, Phase 2b, allerdings ohne Pfosten (V. Jauch in diesem Band, Teil III, Kap. 5.2.3, Abb. 179).

[974] F.B. Maier, Vindonissa: Rückblick auf die Feldarbeiten im Jahr 1997. JberGPV 1997, 77–85, Abb. 1.

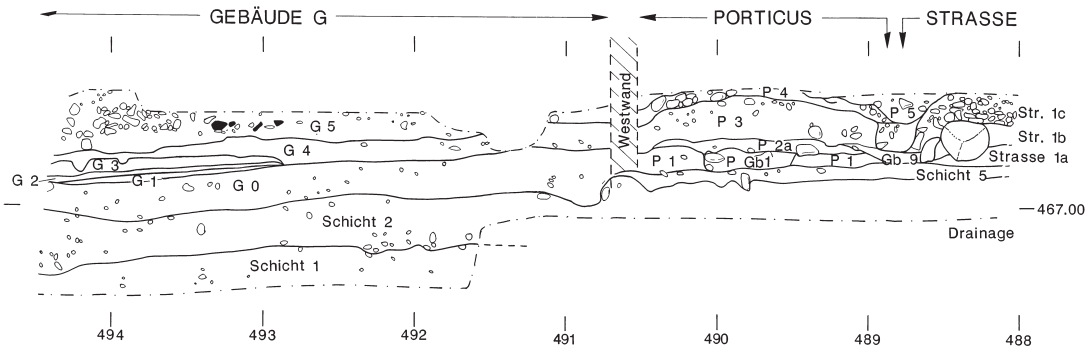


Abb. 211. Römerstr. 227/229. WE-Profil auf Achse 84.00 m durch Gebäude G, Portikus und Strasse. Nordansicht. M. 1:50.

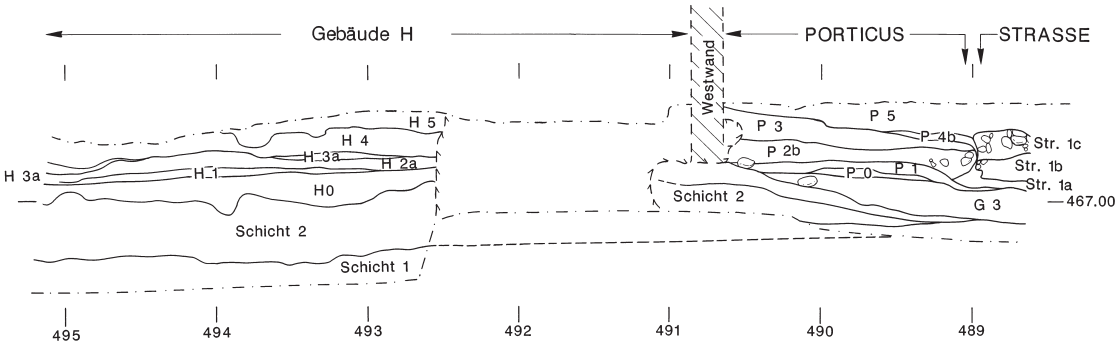


Abb. 212. Römerstr. 227/229. WE-Profil auf Achse 90.00 m durch Gebäude H, Portikus und Strasse. Nordansicht. M. 1:50.

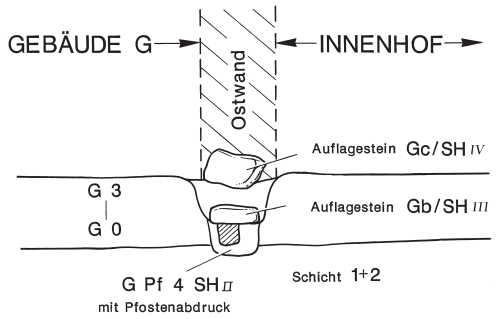


Abb. 213. Römerstr. 227/229. SH II–IV. Gebäude G: Schema der Überlagerung von tragenden Elementen bei der Ostwand.

Schlacken in den Ablagerungen ab (Schichten G1/H1), liegen aber keine Beweise für eine Eisenverarbeitung für diesen Horizont vor.

Beide Gebäude besassen eine Portikus und lagen an einer NS-verlaufenden Quartierstrasse.

Portikus und Strasse

Zu einem unbestimmten Zeitpunkt in der 1. Hälfte des 1. Jh. n. Chr. wurde die flache Senke G 3 (SH I, Abb. 202, 212) zugeschüttet. Die oberste Verfüllschicht p0 in der Grube ist besonders reich an kleinen Ästchen und Holzschnipseln, die vielleicht aus den Bauarbeiten an den Gebäuden G und H entstammen. Aus der Senke stammen keine Funde, die jünger als in die 20er/30er-Jahre des 1. Jh. n. Chr. datieren (s. oben). Am Rand der Senke und über dem tonig-siltigen Material der Schicht G0/H0 wurden die Gebäude Ga/Ha mit vorgelegter Portikus errichtet (Abb. 211–212). Über der humosen Schicht mit reichlich organischen Resten von p0 folgte die Planie p1 aus grauem Silt, die wohl als Gehniveau in der Portikus während der Belegung von Gebäude Ga und Ha funktioniert hat. An der Oberkante der Schicht kommen vermehrt Holzkohlefragmente vor. Diese sind vielleicht die letzte Spur des Brandes. Gegen Westen ist diese Schicht auf einer Mindestlänge von ca. 7 m von einem schmalen Gräbchen Gb 9 abgegrenzt (Abb. 207). Weiter südlich scheint diese Struktur von jüngeren Eintiefungen zerstört zu sein. Es ist unklar, ob Gb 9 als Balkengräbchen oder als Kanal zu deuten ist; westlich davon folgt die Strasse 1a aus Kies, faustgrossen Steinen und sandigem Silt. An manchen Stellen sind an der Oberkante dieser Schicht ebenfalls dünne wohl aus dem Brand der Gebäude stammende Holzkohleflecken beobachtet worden.

Bei der Nordgrenze der Parzelle scheint sich die Portikus fortgesetzt zu haben. Der Befund war allerdings besonders unübersichtlich, da an dieser Stelle grosse neuzeitliche Störungen vorlagen.

In p1 eingelassen, also innerhalb der Portikus ist eine schwer zu deutende Struktur zum Vorschein gekommen (Abb. 207). Dabei handelt es sich um einen flachen, ca. 60 cm breiten und mit Geröll und v.a. Sandsteinen verfüllten Graben p.Gb 1, der den Anschein eines Fundamentgrabens erweckte. Die Struktur lief Gebäude Ha entlang, in einer Entfernung von max. 20 cm von dessen Westwand. Weiter im Süden, bei Gebäude Ga betrug der Abstand zur Westwand an die 60 cm. Graben p.Gb 1 wies eine Abzweigung in Richtung Westen auf, etwa bei m 87.00, dort wo die Grenze zwischen Gebäude Ga und Ha lag. Er erstreckte sich über eine Mindestlänge von 11 m und scheint am ehesten eine Art Drainage dargestellt zu haben, denn ein Steinfundament zu

diesem Zeitpunkt (1. Hälfte 1. Jh.) ist in Vitudurum nicht zu erwarten und eine Mauer an dieser Stelle schwer zu verstehen. Der Zusammenhang zu SH II ist stratigraphisch belegt (Abb. 211). Parallelen für eine solche Drainagemassnahme sind allerdings nicht bekannt.

Gruben

Mit einiger Unsicherheit konnten diesem Siedlungshorizont zehn Gruben zugewiesen werden (Abb. 204)[975]. Sechs davon kamen im zentralen Bereich der Parzelle Römerstr. 227/229 zum Vorschein (s. Liste im Anhang, Kap. 6.8). Bei den meisten lassen sich über die ursprüngliche Funktion nur Vermutungen anstellen, da sie häufig in keinerlei Verbindung zu den Gebäuden stehen. Bei den Gruben, die sich in Gebäuden befanden (B.G 1, D.G 1–2 und vielleicht H.G 1) ist an eine Nutzung als abgetiefte Vorratskammer zu denken. Direkte Hinweise auf diese Nutzung liegen allerdings nur mit Grube D.G 1 vor, wo grosse Fragmente von Vorratsgefässen in situ zum Vorschein kamen. Ansonsten unterscheiden sich aber die Gruben innerhalb der Gebäude auch dadurch, dass sie in der Regel weniger tief waren und durch ihre eher tonigen, statt humos-torfigen Einfüllschichten. Auf Grund ihrer Lage, unmittelbar vor der Westwand von Gebäude Da, könnte die Struktur G 7 als Holzbecken gedient haben, in dem das Dachwasser gesammelt wurde (Abb. 205, 229). Für eine ursprüngliche Holzverschalung spricht die Tatsache, dass die Wände senkrecht und die Sohle flach waren. Eine ähnliche Funktion könnte der Grube G 8 zugeschrieben werden: sie liegt in unmittelbarer Nähe der Ostwand von Gebäude Ga und in direktem Zusammenhang mit Kanal K 1 (Abb. 207). Die ursprüngliche Holzausfachung mit Eckpfosten ist von ihrer rechteckigen Form mit flacher Sohle her bezeugt. Bei G 4, G 5 und G 9 (Abb. 204, 214) bleibt die Frage offen, ob sie ebenfalls an einer gedeckten Stelle des Areals lagen. Eine Kiesfläche mit beschränkter Ausdehnung unmittelbar nördlich der Struktur G 4 liesse aber an dieser Stelle eher einen Kiesplatz vermuten.

Die Strukturen G 6–7 und G 8 kommen in einem antik unbebauten Bereich des Areals zu liegen, der sich im nächsten Siedlungshorizont eindeutig als Innenhof zeigen wird. Die Verdichtung an der Oberkante der tonig-siltigen Schicht Hof 0 (s. Schichtenschema, Abb. 201) lässt für diese Zone der Parzelle an ein Gehniveau zu den Gruben aus gestampfter Erde denken, während in Anbetracht des mässigen Kiesanteils in der Schicht der Beweis für einen Kiesplatz fehlt[976].

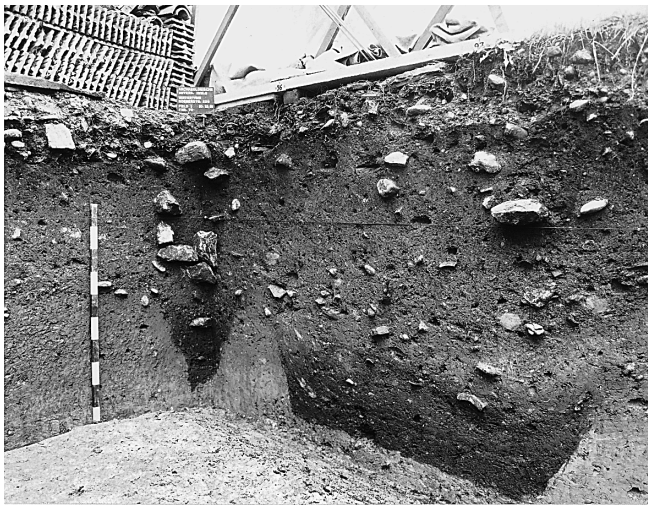


Abb. 214. Römerstr. 227/229. Profil durch die Gruben G 4 und G 5 mit organischer Verfüllung. Ansicht von Nordosten.

Weitere Strukturen

Über alle Siedlungshorizonte hinweg bietet der nördliche Bereich der Grabungsfläche wegen der neuzeitlichen und modernen Störungen und der teilweise misslichen Grabungsbedingungen einige Schwierigkeiten in der Auswertung. Die Strukturen, die zu diesem zweiten Siedlungshorizont gehören, können auf keinen konstruktiven Zusammenhang zurückgeführt werden. Dabei handelt es sich insbesondere um die Gräbchen Gb 5–7, die allenfalls verbunden werden und Gebäudegrundrisse andeuten könnten (Abb. 204, 207). Tatsächlich weist der Befund in SH III eine nördliche Begrenzung des zentralen, als Innenhof bezeichneten Teils der Ausgrabung auf, so dass das Gräbchen Gb 7 mit dem Pfosten Pf 6 durchaus als Spuren einer Rückwand eines Gebäudes gedeutet werden könnten.

Datierung

Funde aus den Gruben (Florian Hoek) (Kat. ***14–35****)*
Mit Ausnahme der Grube D.G1 (Pos. 708), welche u.a. auf Grund eines beinahe vollständig erhaltenen Doliums (Kat. **22**) als Vorratsgrube interpretiert werden kann, handelt es sich jeweils um Funde, die nach der Aufgabe der Gruben zusammen mit den Einfüllungen dorthin gelangt sind und daher nicht primär mit der ehemaligen Funktion der Grube im Zusammenhang standen. Aus diesem Grund besteht das Schwergewicht der folgenden Ausführungen in der Datierung der Grubenauffüllungen, wobei mangels genügend grosser Fundmengen auf eine grubenweise Besprechung der Funde verzichtet wird. Im Katalog sind sie jedoch Grube für Grube vorgelegt.

Gesamthaft gesehen waren die Gruben des SH II mit Material verfüllt, das bis in die Mitte des 1. Jh. n. Chr. reicht. Einen guten Terminus post quem für die Entstehung von SH II liefert ein Dendrodatum von 41 n. Chr, welches der Pfosten D.Pf 3 aus der Westwand von Gebäude Da (Abb. 205) geliefert hat. Gegen oben kann die Füllung der Gruben durch das Fehlen der ab 60 n.Chr. produzierten und anschliessend in Oberwinterthur gleichsam zahlreich auftauchenden TS-Schalen/Teller der Form Drag. 35/36 abgegrenzt werden[977]. Allgemein ist der TS-Anteil in SH II bescheiden.

---

975 Die Zuweisung einer Grube zu einem bestimmten Siedlungshorizont ist nicht in allen Fällen gesichert, da die Abstiche jeweils maschinell gegraben wurden. Häufig wurde also eine Grube erst sichtbar, als ihre obersten Schichten schon gekappt waren, so dass erstens die Stratigraphie zerstört wurde und zweitens die jüngsten Funde, die den ungefähren Zeitpunkt des Auflassens der Grube angeben, nicht gesammelt werden konnten. Vom methodischen Standpunkt aus betrachtet, bietet die Zuordnung der Grube einem bestimmten Siedlungshorizont ebenfalls Schwierigkeiten, da die Zerstörung eines Gebäudes, z.B. durch einen Brand, nicht unbedingt das Aufgeben eines Brunnens oder einer Latrine nach sich zieht. Es kann also davon ausgegangen werden, dass einige der Gruben über mehr als ein Siedlungshorizont hinweg in Gebrauch waren bzw. noch vor dessen Ende verfüllt wurden.

976 Der Nachweis für einen Kiesplatz im Hinterhofbereich ist erst in SH III mit Hof 1 und in SH IV mit Hof 3b gegeben.

977 Rychener 1984, 55. Zu Drag. 35/36 siehe etwa Furger/Deschler-Erb 1992, 50.

Es fällt jedoch auf, dass unter der TS Tellerformen verhältnismässig häufig sind, während Schüsseln (insbesondere Drag. 29) beinahe vollständig fehlen. Es fehlen auch die in zeitgleichen Komplexen vorhandenen Schalen der Form Hofheim 9/Drag. 8[978].

Grubenübergreifend sind die wenigen bestimmbaren Schüsseln der Form Drack 21 verglichen worden. Bezüglich Randbildung ergab der Vergleich, dass es sich bei den bestimmbaren Stücken um die Randformen 1 (RF 1) nach Rychener handelt[979]. Zudem zeigte sich, dass es bei der Überzugfarbe neben rot-bräunlichen auch schwarze Typen gibt. Insgesamt passen die beschriebenen Beobachtungen zu den Schüsseln Drack 21 ins bekannte Bild der 1. Hälfte des 1. Jh. n. Chr.[980]

Unser Material kann auch mit den Funden der Augster «Theaterstratigraphie» verglichen werden, wo wir uns innerhalb der Phase 3 befinden würden. Diese wird zwischen 40–60 n. Chr. datiert[981].

Ein Töpferstempel auf TS konnte für SH II identifiziert werden (Kat. **14**). Es handelt sich um eine Signatur des SCOTIS oder SCOTTIS, der in La Graufesenque (F) tätig war[982].

Auf die Gebrauchskeramik wird nicht einzeln eingegangen, da sie nur sehr wenig zur Datierung der Gruben beitragen kann.

Auf ein spezielles Stück möchten wir jedoch hinweisen. Es handelt sich um eine ehemals mit einer grünlichen Bleiglasur versehene Wandscherbe (Kat. **30**). Solche Gefässe wurden in Kleinasien, Italien und in Gallien hergestellt[983]. Unser Stück dürfte von einem Becher mit Trichterrand und doppelten Tonfädenauflagen stammen, wie sie beispielsweise in Vindonissa unter den glasierten Stücken häufig vorkommen[984]. Solche Gefässe sind in Zentralfrankreich (Allier-Gebiet) hergestellt und offensichtlich nicht selten auch nach Oberwinterthur importiert worden[985].

Funde aus den Gebäuden (Rosanna Janke)

Nur im westlichen Teil der Ausgrabung liegen Befunde vor, bei denen ein Zusammenhang zwischen Funden und Grundrissen erahnt werden kann. Im Gegensatz zu den Gebäuden im Osten, sind von SH II–SH IV bei G und H und in der angrenzenden Portikus Schichtenabfolgen enthalten, die allerdings nur mit grossen Schwierigkeiten mit den einzelnen Bauphasen zu korrelieren sind. Erschwerend dabei ist insbesondere die Tatsache, dass die Lehmestriche dünn sind und nicht die ganze Fläche der Räume decken, so dass immer wieder mit Fundvermischungen zu rechnen ist. Ein Beleg dazu liegt in der grossen Passscherbenzahl zwischen fast allen Schichten und in der typologisch heterogenen Zusammensetzung der Fundkomplexe. Gesamthaft gesehen ist das Vorkommen von Keramik, insbesondere von Feinkeramik, in diesem Grabungssektor nicht besonders reich. Bei der TS südgallischer Provenienz scheinen die Teller gegenüber den Schüsseln besser vertreten zu sein (Abb. 215): die Formen Drag. 15/17, Drag. 18/31, Drag. 35/36 liegen in Gewicht (743 g) etwa gleich wie die Schüsseln (794 g). Eine analoge Tendenz scheint sich bei der Gebrauchskeramik abzuzeichnen, wobei der Eindruck eines spärlichen Auftretens der Schüsseln Drack 20 und 21 im Gegensatz zu den grau- oder helltonigen Tellern/Näpfen mit eingebogenem Rand vorherrscht[986]. Eine solche Verteilung mit starker Komponente der Teller liegt im Gegensatz zu den an der Römerstr. 186 ermittelten Werten, wonach in allen Bauphasen die Schüsseln prozentual überwiegen[987]. Aus der Zusammenstellung der TS-Mengen aus dem westlichen Grabungsbereich geht auch das fast vollständige Fehlen von späten Formen hervor. Dabei sind Schüsseln Drag. 37 nur wenig und Schüsseln Curle 15 überhaupt nicht vertreten. Die Fabrikate sind ausschliesslich italischer oder südgallischer Provenienz. Diese Aspekte sind wohl in chronologischer Hinsicht, mit einem Schwergewicht der Funde im 1. Jh., zu erklären. Während also vom Befund her an dieser Stelle der Ausgrabung eine dreiphasige Belegung (SH II–SH IV) mit Sicherheit zu rekonstruieren ist, scheinen die Funde aus den Schichten nur aus der Zeitspanne der Siedlungshorizonte II und III zu entstammen. Der Grund dafür dürfte darin liegen, dass die Benutzungsschichten aus SH IV dem Bau der Doppelstall-Scheune im 19. Jh. zum Opfer gefallen sind.

TS-Form	Fragmente	Gewicht (g)
Drag. 24/25	19	102
Drag. 27	17	164
Hofheim 9	3	70
Drag. 15/17	13	152
Drag. 18/31	11	241
Drag. 35/36	9	350
Drag. 29	53	616
Drag. 30	1	4
Drag. 37	7	48
Hofheim 12	3	126

Abb. 215. Römerstr. 227/229. Gebäude G/H und Portikus. Zusammenstellung der TS-Formen aus allen Schichten (SH II–IV), Anzahl Fragmente und Gewicht (g).



Abb. 216. Römerstr. 227/229. Bearbeiteter Sandstein aus der untersten Planie p0 in der Portikus. L. 23 cm.

Den relativ spärlichen Keramikfunden aus diesem Bereich der Ausgrabung steht das reichliche Vorkommen von Eisenschlacken in allen Schichten[988] und die hohe Zahl an Nägeln[989] gegenüber. Des Weiteren lieferte der gleiche Grabungssektor eine hohe Zahl an interessanten Bronzeobjekten[990] und mehr als die Hälfte der Fibeln der Grabung[991].

Einen Terminus post quem für die Errichtung der Anlage der Gebäude Ga–Ha und der Portikus liefern die Funde Kat. **1–13** aus der Senke G3 und aus dem Bauniveau Schicht

G0/H0 der Gebäude selbst. Auf Grund dieser wenigen Funde gehen wir davon aus, dass mit dem Bau erst in den 30er-Jahren des 1. Jh. begonnen wurde, was sich mit der chronologischen Stellung der Funde aus den Gruben gut korrelieren liesse (s. oben, Beitrag F. Hoek). Die Fundkomplexe aus den Laufhorizonten und Benützungsschichten G0/H0, G1/H1 und p0/p1 (s. Schichtenschema, Abb. 201) sind relativ arm an aussagekräftigem Material. Zu erwähnen sind bei der TS die Formen Drag. 15/17 und Drag. 24/25 aus südgallischen Manufakturen. Analog zum Fundmaterial aus den Gruben fehlen bei der TS die für die 2. Hälfte des 1. Jh. charakteristischen Typen vollkommen. Die TS-Imitation umfasst Teller Drack 2 (rottonig) und Drack 3 (grautonig), während bei der Gebrauchskeramik rottonige Schüsseln Drack 21 und grautonige Näpfe mit eingebogenem Rand vorkommen. Sowohl die Form Drack 3 als auch die Reibschüssel mit Steilrand Kat. **36** verweisen auf eine grobe Datierung dieser Schichten bis in die Mitte des 1. Jh.

Hier soll noch auf einen interessanten, wenn auch schwierig zu deutenden Fund aus der untersten Planie der Portikus, Schicht p0, hingewiesen werden (FK 1633, Abb. 216). Dabei handelt es sich um einen bearbeiteten Sandstein, der auf der Oberseite eine grob behauene Mulde aufweist. Gegen eine Interpretation als Fragment einer Türpfanne[992] spricht die Tatsache, dass die Pickspuren noch gut sichtbar sind: wäre das Stück benutzt worden, wären diese abgeschliffen. Mit Vorbehalt könnte eine Deutung als Sockel, z.B. für eine Stütze, oder als Halbfabrikat eines unbestimmten Objekts vorgeschlagen werden.

Siedlungshorizont III (2. Hälfte 1. Jh.)

Übersicht und Stratigraphie

Bei diesem in die Zeit nach der Mitte des 1. Jh. n. Chr. datierten Siedlungshorizont bleibt die Einteilung der Quartierfläche in drei funktionale Einheiten bestehen (Wohnhaus nun mit Schmiede im Westen, zentraler Innenhof mit Gruben, Speicher- und Werkstattbereich im Osten; Abb. 197, 217). Insgesamt konnten diesem Siedlungshorizont sieben Gebäudegrundrisse, zwei Strassenzüge und eine grosse Zahl von Gruben zugeordnet werden.

Nach dem Abräumen der Ruinen des zweiten Siedlungshorizonts, wurden der östliche und nördliche Teil der Parzelle mit einer sterilen Planieschicht bedeckt (Schicht 7) (s. Schichtenschema, Abb. 201). Darüber entstanden die Gebäude des dritten Siedlungshorizonts. Weniger klar ist hingegen die Schichtenfolge im zentralen Bereich der Parzelle, wo keine so deutliche Trennung vorlag. In dieser Zone waren die Strukturen ab der Schicht Hof 1 eingetieft (Abb. 206); unmittelbar bei der Westwand von Gebäude Eb bestand diese Schicht aus Kies, an anderen Stellen aber unterschied sich das Gehniveau farblich und in der Konsistenz von der darunter liegenden Schicht Hof 0 nur schlecht. Hof 1 kann als kiesig-sandige Facies der Schicht von Hof 0 betrachtet werden, wobei der geringe Kiesanteil, wie beim vorherigen Siedlungshorizont, an ein Gehniveau zu den Gruben aus gestampfter Erde (evtl. teilweise mit Gras überwachsen) denken lässt. Die Planie 7 gibt in ihrer Ausdehnung den ursprünglichen Standort von Gebäuden an und bildete möglicherweise den Boden aus gestampften Silt in den Gebäuden selbst. Nach der Dokumentation zu urteilen, scheint sie etwa bis zur Achse m 92.00 gereicht zu haben (Abb. 222, gestrichelte Grenzlinie). Die nordwestliche und südöstliche Grenze der Schicht 7 ist nicht mehr auszumachen. Der unbedachte Bereich mit den zahlreichen Gruben umfasst demnach eine von zahlreichen Gebäuden umgebene Fläche und kann somit als Innenhof betrachtet werden (s. dazu Besprechung der Quartierstruktur, Kap. 6.6.2).

Am westlichen Rand der Parzelle wurden die Gebäude Ga–Ha nach dem Brand neu errichtet (Gebäude Gb–Hb).

Die Gesamtüberbauung dieses Siedlungshorizonts ist allem Anschein nach einem Brand zum Opfer gefallen. Das Datum für die Zerstörung muss anhand der Funde aus den Gruben und aus dem westlichen Bereich der Ausgrabung vor dem Ende des 1. Jh. liegen.

Strukturen

Gebäude C, Bauphase b. Gebäude Cb wurde über die Ruinen von Ca errichtet (Abb. 217–218). Gegen Osten ist der Abschluss des Gebäudes vom jüngeren Graben Gb 17 geschnitten (SH V, Kap. 6.4.2, Abb. 258). Es handelt sich dabei um einen rechteckigen Grundriss mit einer Länge von 9 m und eine auf etwa 4,5 m ergänzbare Breite. Die Balkengräben liegen parallel zueinander, in einem regelmässigen Abstand von 1,5 m. Sie sind max. 35 cm breit, ihre Wände und Sohlen sind gerundet; die Tiefe kann zwischen 20 und 40 cm variieren. Im ganzen Gebäude kamen keine weiteren Strukturen zum Vorschein.

Gebäude Cb entstand auf der gelben Siltplanie Schicht 7, die gleichwohl die Verfüllung der Gräbchen darstellte, allerdings mit einem relevanten Anteil an braunem, lehmigem Ton. Direkt über diesen Strukturen lag die Zerstörungsschicht 10 aus dem 3.–4. Jh. (Kap. 6.4.1). Der Standort von Gebäude Cb deckt sich z.T. mit Gebäude Ca, aus dem zweiten Siedlungshorizont (s. oben); beide Grundrisse sind aber bis auf wenige Details stratigraphisch gut auseinander zu halten.

Auf Grund der Form und Konstruktionsart kann Gebäude Cb am ehesten als (Korn-)Speicher gedeutet werden (s. Diskussion Kap. 6.5.1).

---

978 Furger/Deschler-Erb 1992, 174–177.
979 Rychener/Albertin 1986, 77.
980 Rychener/Albertin 1986, 76 f.
981 Furger/Deschler-Erb 1992, 104.
982 Bestimmung nach Oswald 1931, 285. Vergleichbarer Stempel aus Oberwinterthur: Rychener 1984, 111, Kat. 17 (Periode A).
983 Hochuli-Gysel 1977; Zu Oberwinterthur: Hochuli-Gysel 1998, 63–81; zur Häufigkeit inbes. in Oberwinterthur siehe auch: A. Hochuli-Gysel, Eine bleiglasierte Tonapplike aus dem Allier-Gebiet. Bull. de l'Ass. pro Aventico 38, 1996, 73ff.
984 Ettlinger/Simonett 1952, Taf. 10, 192–194; zu glasierter Keramik aus Vindonissa siehe auch: C. u. C. Holliger, Bleiglasierte Keramik und ausgwählte Lampen der Grabung Windisch-Dätwiler 1979/80. JbGPV 1981 (Brugg 1982), 5–10.
985 Ettlinger/Simonett 1952, 31 f; Hochuli-Gysel 1998, 63–81.
986 Keine Zahlen ermittelt.
987 Rychener/Albertin 1986, 107, Abb. 24.1–2.
988 Mehr als 7 kg der ca. 33 kg aus der ganzen Ausgrabung.
989 Mehr als ein Drittel der 1043 Nägel aus der ganzen Grabung.
990 Vgl. die Verbreitung dieser Funde, Beitrag E. Deschler-Erb in Teil IV, Kap. 3, Abb. 298.
991 Gebäude Gb (SH III): Kat. 116/FB 19, Kat. 118/FB 22, Kat. 117/FB 23. Gebäude Gc (SH IV): FB 20. Gebäude Hb (SH III): FB 17; Gebäude Hc (SH IV): FB 26. Portikus, SH III, südl. Bereich: FB 24.
992 Vgl. Türpfanne aus Dietikon, bei Gebäude B (Ebnöther 1995, 149 Abb. 207).



Abb. 217. Römerstr. 227/229. Siedlungshorizont III. Übersichtsplan mit Strukturen. M. 1:500.

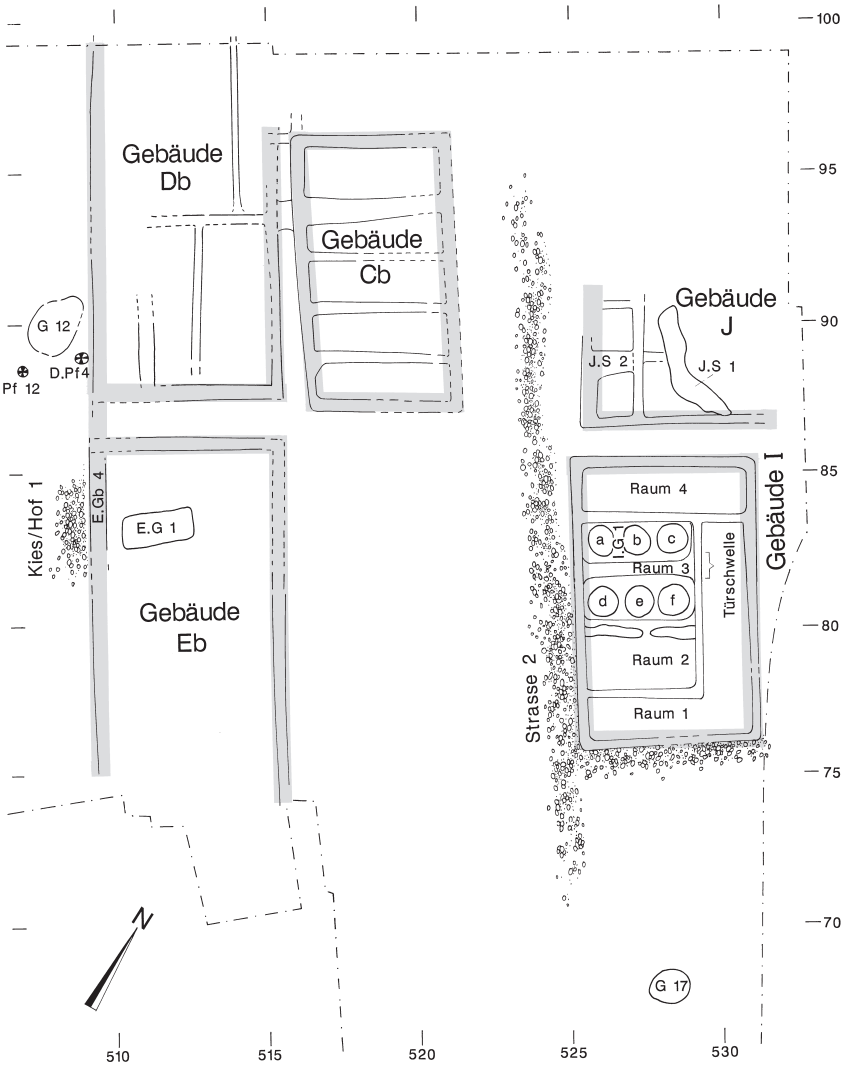


Abb. 218. Römerstr. 227/229. Siedlungshorizont III, Sektor Ost. Übersichtsplan mit Strukturen. M. 1:250.

Gebäude D, Bauphase b. Nach dem Brand von Da wurde an der gleichen Stelle ein neues Gebäude in Ständerbautechnik errichtet (Gebäude Db) (Abb. 217–218). Er deckt eine Fläche von 6 m Breite und mind. 9 m Länge, wobei der nördliche Abschluss nicht gefasst werden konnte. Die Schichtgrenze bei der Westwand besteht wie im vorherigen Siedlungshorizont weiter. Scheinbar gehörte aber keine Pfostenreihe mehr dazu: Der einzige Pfosten D.Pf 4, der auf Grund der Schichtenfolge diesem Siedlungshorizont zugeordnet wurde, liegt isoliert bei der SW-Ecke des Gebäudes. Vorausgesetzt die Horizonteinteilung der Strukturen stimmt, würde dies bedeuten, dass man auch bei der Westwand von Db von der Pfostenbau- auf Ständerbautechnik übergegangen wäre. Im Gebäude sind drei EW- bzw. NS-verlaufenden Gräbchen zu beobachten. Dabei ist unklar, ob sie Raumunterteilungen darstellen oder ob sie als Balkenunterzüge für eine Bodenkonstruktion dienten. Zwischen Db und Cb ist ein WE-verlaufendes Gräbchen zum Vorschein gekommen. Entweder liegen an dieser Stelle mehrere Bauphasen vor, oder das Gräbchen ist die Spur eines in seiner Funktion nicht zu deutenden Kanals, der von einem Gebäude zum anderen Wasser führte.

Für diese Anlage gelten die gleichen Schichtenverhältnisse wie für Cb. Obwohl die Erhaltungsbedingungen in diesem Bereich der Ausgrabung ungünstig lagen, gilt die Überlagerung des WE-verlaufenden Gräbchens mit den Gruben D.G1 und D.G 2 aus dem vorherigen Siedlungshorizont II als sicher.

Die ursprüngliche Funktion dieses Gebäudes kann nicht definiert werden: auf Grund der langrechteckigen Form wäre an ein Wohnhaus zu denken. Eine Deutung als Werkstatt oder Magazin ist aber a priori nicht auszuschliessen.

Gebäude E, Bauphase b. In diesem Siedlungshorizont liegt im Gegensatz zu SH II zwischen den Gebäuden D und E eine klare Trennung: dabei besitzen Db und Eb je eine abschliessende Süd-, bzw. Nordwand (Abb. 218). Eb weist eine Breite von 6 m und eine Mindestlänge von 10 m auf. Analog zum vorherigen Siedlungshorizont konnte an einer Stelle der Westwand von Eb ein Detail der Schichtgrenze aufgezeichnet werden (Abb. 206). Dabei wird ersichtlich, dass mindestens in diesem Bereich die Grenze vom ca. 20–30 cm tiefen, NS-verlaufenden Gräbchen E.Gb 4 markiert ist. Ausserhalb des Gebäudes liegt die Kiesrollierung Hof 1, die als Gehniveau zum Hof oder zur zum Gebäude Eb gehörenden Portikus gedient hat und eine Ausdehnung von ca. 2×4 m besass. Die Rollierung bestand aus Kieseln einheitlicher Grösse (Dm. ca. 10 cm). Darüber und in der dazugehörigen Benützungsschicht Hof 2 lagen «Scherbenteppiche» von Dolia und Krügen: Diese könnten sowohl der Hauswand entlang aufgereihte Vorratsgefässe gewesen sein, die in situ zerbrochen liegen, als auch sekundär als zusätzliches Isolierungs- und Flickmaterial für die Rollierung Hof 1 eingebracht worden sein. An Innenkonstruktionen ist die markante Grube E.G 1 zu verzeichnen, die einen besonders interessanten Befund lieferte (Abb. 218). In dieser rechteckigen, 3×1,8 m grossen Struktur mit abgerundeten Ecken und einer Tiefe von weniger als 1 m kamen unter verschiedenen Einfüllschichten, die aus dem Abraum des abgebrannten Gebäudes selbst stammen, die Scherben von zahlreichen fast vollständig erhaltenen Vorratsgefässen zum Vorschein (Abb. 219, 221). Dabei handelte es sich um ein Dolium, eine wieder verwendete Amphore mit gesägtem Hals und um etwa ein Dutzend ein- und zweihenklige Krüge mit den Spuren einer starken Innenverpichung (Abb. 221, Kat. **37–50**). Dieser besondere Befund könnte darauf hindeuten, dass die Struktur als abgetiefte Vorratskammer im sonst schlecht gefassten Gebäude zu interpretieren ist (Abb. 220). Ausser E.G 1 waren innerhalb des Grundrisses keine weiteren Strukturen zu beobachten.

Die Schichtverhältnisse bleiben wie für Db gleich. Im Innenhof folgt auf die Rollierung Hof 1 die Benützungsablagerung Hof 2, die teilweise auch als Verfüllung vom Gräbchen E.Gb 4 vorkommt (Abb. 206); darüber folgt die Planie Hof 3 mit reichlich Hüttenlehmfragmenten, wohl die Brandschuttschicht dieses Siedlungshorizonts und zugleich Gehniveau zu SH IV.

Auf Grund der Vorratskammer ist dieses Gebäude am ehesten als Wohnhaus zu interpretieren. Der Schluss liegt nahe, dass das Haus sich bis zur antiken Hauptstrasse erstreckte, in einer geschätzten Entfernung von dessen Nordwand von ca. 30 m. Die zahlreichen Hüttenlehmfragmente in der Brandschicht Hof 3, die ebenfalls die obere Verfüllung der Grube E.G 1 darstellte, weisen einerseits auf mit Lehm gestrichene Wände und anderseits auf eine Zerstörung der Anlage durch einen Brand hin.

Gebäude G, Bauphase b. Die Fläche von Gebäude G, Bauphase b (Gebäude Gb) entspricht dem Grundriss von Ga mit einer Breite von 8 m und einer Länge, die 7 m übersteigt. Neu dabei ist die Konstruktionstechnik, die vom Pfostenbau zu Ständerbau auf plattigen Steinunterlagen übergeht (Abb. 217, 222). Die Nord- und Westwand sind von einer Anzahl plattiger Steine angegeben. Von der Ostwand hat sich nur ein Unterlagsstein erhalten (Abb. 213). Zum Gebäude gehört die Feuerstelle G.F 1b: in dieser Bauphase wurde auf einer Lehmlinse auf Kieselbett gefeuert (Abb. 208, b1–2). An der vermuteten Ostwand des Gebäudes kam die Grube G.G 1 zum Vorschein. Als unterste Verfüllung sind Koprolithen und Speiseabfälle zu verzeichnen, was auf eine letzte Nutzung als Latrine hinweisen würde. Die Lage dieser Struktur ist besonders schwer zu erklären. Nach den stratigraphischen Verhältnissen zu urteilen, kann sie allerdings einzig diesem Siedlungshorizont zugewiesen werden.

Als Gehniveau diente der Lehm G2, worüber die dünne Benutzungsschicht G3 folgte (Abb. 211). Besonders bei der Nordwand des Gebäudes sind markante Konzentrationen von kleinen Kalkbrocken zum Vorschein gekommen. Als nächste Schicht folgt G4, die eher als Schichtpaket zu ver-



Abb. 219. Römerstr. 227/229. Grube E.G1: Gefässe in situ.



Abb. 220. Römerstr. 227/229. Rekonstruktionszeichnung von Gebäude Eb mit der abgetieften Vorratskammer E.G1.



Abb. 221. Römerstr. 227/229. Grube E.G1. Partiell restaurierte Gefässe, z.T. mit starken Verpichungsspuren.

stehen ist und die Siedlungstätigkeit des vierten Siedlungshorizonts beinhaltet.

Die langgestreckte Form sowie die Feuerstelle sprechen für eine Deutung von Gb als Wohnhaus.

Gebäude H, Bauphase b. Mit einer Seitenlänge von 7,8 m deckt sich der quadratische Grundriss von Gebäude H, Bauphase b (Gebäude Hb) mit dem früheren Ha (s. oben; Abb. 217, 222). Abgesehen von den Pfosten H.Pf 5 in der SW-Ecke und

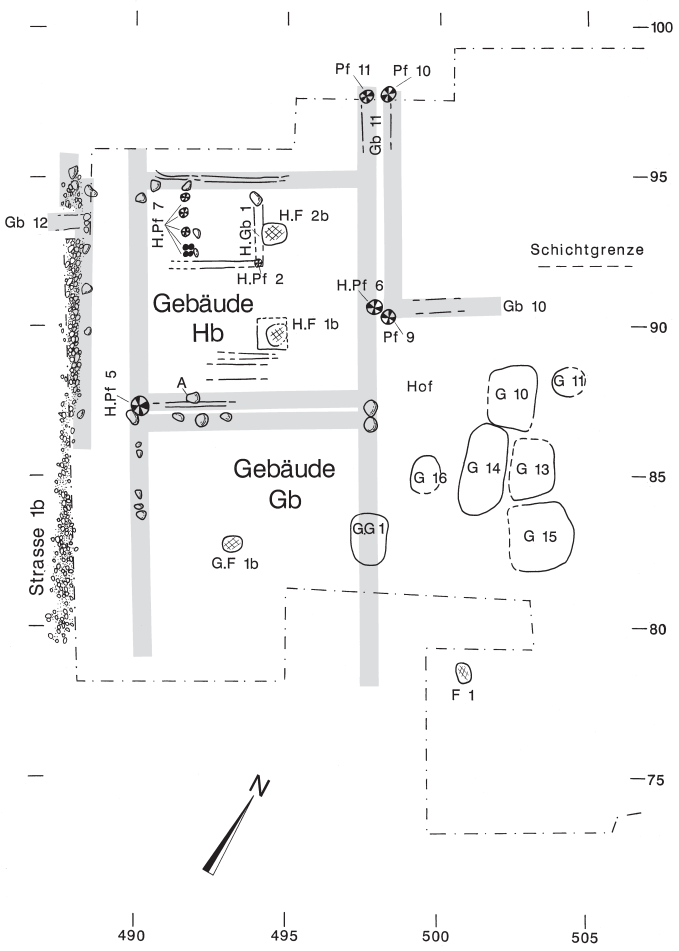


Abb. 222. Römerstr. 227/229. Siedlungshorizont III, Sektor West. Übersichtsplan mit Strukturen. M. 1:250.

H.Pf 6 in der Ostwand, scheint die Wandkonstruktion mit auf plattigen Steinen gelegten Balken zu fundieren. Die merkwürdige Bauart des zweiten Siedlungshorizonts mit den vertikal in den Boden abgetieften Spältlingen (s. oben) scheint demnach aufgegeben worden zu sein. Die Südwand ist von einem verkohlten Balken in situ markiert. Innerhalb des Gebäudes liegen mindestens zwei Feuerstellen mit aufwendiger Konstruktion vor (H.F 1b und H.F 2b) (Abb. 222). Von den einfachen Lehmlinsen auf blossem Boden ist man auf in flachen, rechteckigen Gruben angelegte Herdstellen übergegangen. H.F 1b war vollständig verziegelt und die Platten, auf denen gefeuert wurde, waren spröde und zersprungen. Wegen des starken Eisengehalts der umliegenden Schichten, war die Struktur besonders schwierig auszugraben und zu dokumentieren. Bei der Feuerstelle H.F 2b wurde ein Schutzschild aus Sandsteinen errichtet und auf ungleich grossen Platten gefeuert (Abb. 210, 223, 224). Auch diese Struktur weist eine massive Hitzeeinwirkung auf, war allerdings nicht so extrem verziegelt wie die vorhin beschriebene Struktur H.F 1b. In der NW-Ecke hat sich die Raumunterteilung mit Gräbchen H.Gb 1–2 und Eckpfosten H.Pf 2 erhalten. Dazu wurde an der gleichen Stelle wie im vorherigen Siedlungshorizont ein neuer Pfosten gesetzt. In einer Entfernung von ca. 1,5 m von der Westwand ist eine NS-ausgerichtete Reihe aus drei Pfosten in einem Abstand von 60 cm voneinander freigelegt worden (H.Pf 7). Den Abschluss dieser Reihe bilden vier in einem Quadrat eingerammte Pfählchen. Die Funktion dieser Konstruktion kann nicht festgelegt werden. Unmittelbar östlich davon lagen zwei plattige Steine, die vielleicht als Balkenunterlage gedient haben und den letzten Rest einer zusätzlichen NS-verlaufenden Trennwand in diesem Eckraum bildeten. Südlich der Feuerstelle H.F 1b kamen mindestens zwei WE-verlaufende Gräbchen zum Vorschein. Die Strukturen waren allerdings neuzeitlich gestört und konnten nicht weiter gedeutet werden. Noch zu erwähnen bleibt der an der Südwand von Hb angelehnte etwa kubische, nicht verarbeitete Kalkstein mit verrundeten Kanten (Abb. 222, mit A markiert). Er scheint keine tragende Funktion gehabt zu haben und wurde deshalb als Bestandteil der Schmiedewerkstatt mit der Funktion eines Ambosses interpretiert. Da er aber nicht nur direkt bei der Holzwand des Gebäudes, sondern auch fast 3 m von der vermuteten Esse H.F 1b entfernt liegt, scheint diese Interpretation nicht haltbar.

Analog zu Ha scheint sich der Baukörper weiter gegen Norden zu erstrecken. Zur Konstruktion der Westwand lagen im Befund keine Hinweise vor, während bei der Nordwand von Ha ein WE-verlaufendes Balkengräbchen beobachtet wurde. Vielleicht war der Pfosten Pf 11 (Abb. 222) Teil der Ostwand.



Abb. 223. Römerstr. 227/229. Halbierte Feuerstelle H.F2b. Steinplatte und Reste des Sandsteinkranzes. Ansicht von Nordosten.

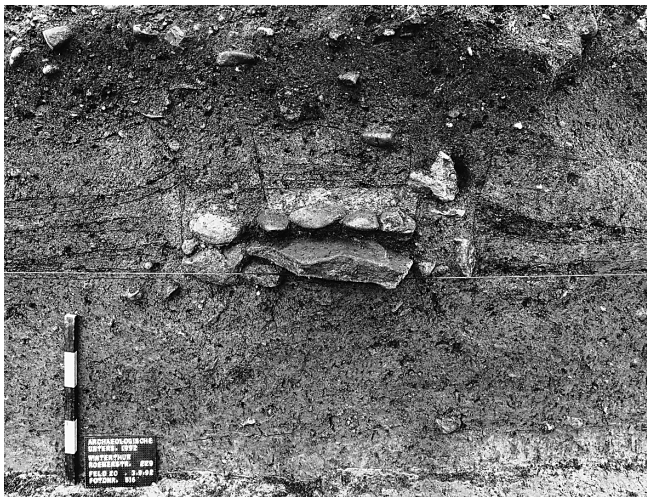


Abb. 224. Römerstr. 227/229. Feuerstelle H.F2 im Profil. Gut sichtbare Steinplatte b1 unter der Rollierung c1 (vgl. Schema Abb. 210).

Gebäude Gb und Hb fielen, anhand der Funde im letzten Viertel des 1. Jh. n.Chr., einem Brand zu Opfer. Davon zeugen die vielen Holzkohlespuren in den Schichten und die z.T. noch in situ erhaltenen, verkohlten Balken.

In Gebäude H wurde über die Reste der Benutzungs- und Brandschicht H1 oder direkt über dem Lehmboden H0 aus dem vorherigen Siedlungshorizont mit der lehmigen und mit Sandsteinstücken durchsetzten Schicht H2a planiert (Abb. 212). Im Raum in der NW-Ecke des Gebäudes wurde hingegen die dünne Schicht H2b aus reinem Kies aufgetragen. Es ist unklar, ob der Lehm bzw. der Kies als Gehniveau diente oder ob wir auch in diesem Fall mit einem ursprünglichen Boden aus Bohlen rechnen müssen. Über diesen Schichten lag die sehr heterogene und dünne Schicht H3 aus Lehm, Kies, Holzkohle und Keramikfragmenten. Daraus kann man schliessen, dass vor der Anlage der neuen Böden zu SH IV der Innenraum der Gebäude geräumt wurde und der Schutt und die Abfälle möglicherweise in die Gruben des Innenhofes oder anderswo entsorgt wurden. Über H3 folgt direkt H4 mit dem Laufhorizont zum nächsten Siedlungshorizont IV.

Als Gehniveau in der Fortsetzung von Gebäude Hb gegen Norden diente die graue, siltige Schicht H2c mit reichlich Kiesanteil; darüber lagerte sich eine bis zu 15 cm dicke Benutzungsschicht H3b aus graubraunem Silt mit Holzkohle und verkohlten Hölzern in situ.

Die besondere Konstruktion der Feuerstellen sowie die starke Hitzeeinwirkung und die auffallende Häufung von Eisenrückständen erlaubt eine Deutung von Hb als Schmiede (s. Diskussion, Kap. 6.6.1).

Portikus und Strasse

Die schon im letzten Siedlungshorizont beobachtete Portikus an der Westwand der Gebäude Gb und Hb ist nun besonders gut erkennbar: Über die Planie p1, die als Gehniveau zum vorigen SH II in Gebrauch war, kam ein gelber Lehm p2a, der an manchen Stellen die Drainage p.Gb 1 überlagerte (Abb. 207, 211); darüber folgte die bis zu 15 cm dicke Planie p2b, die an der Oberfläche Holzkohle aufwies. Diese kann als letzte Spur der Brandkatastrophe gedeutet werden, die im letzten Viertel des 1. Jh. der Überbauung dieses Siedlungshorizonts III ein Ende setzte. Der westliche Abschluss der Portikus ist, zumindest im nördlichen Bereich der Ausgrabung, von einer NS-gerichteten Reihe von plattigen Steinen angegeben (Abb. 222). Weiter südlich ist die Struktur wahrscheinlich von einer späteren Steinreihe gestört, und die Steine scheinen sich an zwei einzigen Stellen erhalten zu haben. Als Kriterium für die Zuweisung der Steine zu dieser Struktur dienten v.a. ihre Koten, die auf einer regelmässigen Höhe von 467.35–467.40 m lagen. Der Reihe entlang lagen zahlreiche faust- oder doppelfaustgrosse Steine. Möglicherweise wurde auf dieser Steinreihe ein Balken gelegt und dort, wo die grösseren Steine lagen, ein Pfeiler eingezapft. Dies erlaubt uns eine Portikus zu rekonstruieren, bei der die Pfeiler, die das Vordach trugen, in einer Entfernung von 1,3 m voneinander und 1,8 von der Westwand der Gebäude standen. Westlich davon bis zur Grabungsgrenze lag die Strasse 1b. Im Westprofil der Ausgrabung konnte beim m 92.5 die Grabenstruktur Gb 12 deutlich beobachtet werden, die allerdings in der Fläche nicht erkannt wurde. Da die Struktur nur fragmentarisch erhalten ist und sich an der Grabungsgrenze befindet, kann sie nicht weiter interpretiert werden. Nur etwa 1 m nördlich von Gb 12 kamen ebenfalls nur im Profil zwei grosse Gerölle zum Vorschein. Sie dienten wohl als Unterlage einer Konstruktion, die nicht rekonstruiert werden kann, vielleicht waren sie aber tragende Elemente einer Portikus, die sich gegen Norden hin erstreckte.

Gebäude I. Gebäude I befindet sich im SE-Bereich der Parzelle Römerstr. 227/229 (Abb. 217, 218, 225, 227). Dabei handelt es sich um einen rechteckigen Bau mit 9 m Länge und 5,5 m Breite (Innenmasse). Der Grundriss ist durch Reihen plattiger Steine markiert, wohl die Unterlagssteine für die Schwellbalken. Das Gebäude ist in vier Räume unterteilt. Der Haupteingang scheint direkt in den L-förmigen Raum 1 geführt zu haben, da sich in der Südwand des Gebäudes eine durch dicke Holzbretter markierte Stelle befindet, die vielleicht mit einer Türschwelle in Verbindung zu bringen ist (Abb. 218). Vom Eingang des Gebäudes her konnte man vermutlich direkt zum nächsten Raum 2 schreiten, wobei sich im Befund keine klaren Anzeichen für eine Türschwelle zwischen Raum 1 und Raum 2 fanden; dieser war von Raum 3 durch eine einfache Flechtwerkwand getrennt, wie die zahlreichen Brocken aus verbranntem Hüttenlehm in der Brandschicht bezeugen. In Raum 3 lagen zwei Gruben (I.G 1–2), die je drei sekundär verwendete Fässer enthielten (a–c, bzw. d–f) (Abb. 218, 226, 227; s. Details in Teil VI, Kap. 6.1). Diese waren ab dem vermuteten Gehniveau des Gebäudes ca. 0,5 m abgesenkt und mit sterilem Lehm hinterfüllt. Von den Dauben haben sich einzig diejenigen erhalten, die beim Brand des Gebäudes verkohlt sind (Abb. 226). Aber selbst dort, wo sich kein Holz konserviert hat, waren die eingetieften Fässer als Abdruck deutlich zu erkennen. Zwischen den Gruben mit den Fässern lagen die Reste eines mutmasslichen Holzstegs in Form von dicken Brettern (Abb. 225). Über diesen Steg konnte man zu allen Fässern gelangen und gleichzeitig von Raum 3 zurück zu Raum 1 gehen, da sich in der Wandkonstruktion zwischen diesen beiden Räumen ein möglicher Hinweis auf eine Türschwelle in Form eines grösseren, plattigen Steines befand (Abb. 225, ca. Achse m 82.00). Raum 4 bildete den nördlichen Abschluss des



Abb. 225. Römerstr. 227/229. Gebäude I. Ansicht von Norden.

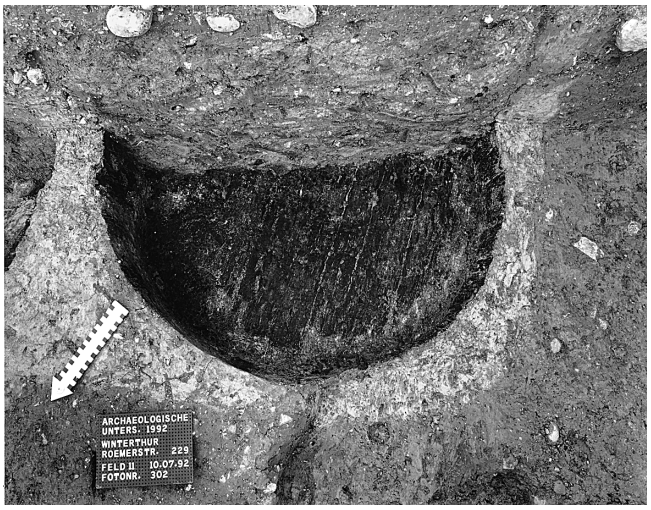


Abb. 226. Römerstr. 227/229. Gebäude I. Verkohltes Fass a.

Gebäudes. Es gibt keine Hinweise dafür, dass auch dieser Raum von aussen betreten werden konnte. Ein weiterer Eingang von der Nordseite des Gebäudes her kann allerdings nicht ausgeschlossen werden. Ausser den Fässern in Raum 3 waren im ganzen Gebäude keine weiteren Strukturen zu beobachten.

Gebäude I wurde auf der gelben, siltigen Planieschicht 7 errichtet (Abb. 227). Oberhalb der Gebäudereste lag die Brandschicht I1, die bei der Zerstörung des Gebäudes entstanden ist. Besonders im Bereich von Raum 3 wurden verbrannte Lehmbrocken mit Rutenabdrücken freigelegt, die u.a. auch die eingetieften Fässer verfüllten. Dabei handelt sich um den Lehm, mit dem die Flechtwerkwand zwischen Raum 2 und Raum 3 überzogen war. Über der Brandschicht und z.T. mit ihr vermischt folgte entweder die Schuttschicht 10 aus dem 3.–4. Jh. (Kap. 6.4.1) oder direkt der moderne Gartenhumus.

Die Konstruktionsart von Gebäude I lässt am ehesten an eine gewerblich genutzte Anlage denken, wobei an erster Stelle ein Teilbetrieb einer Gerberei, Tuchwalkerei oder Färberei in Frage kommt (s. Besprechung Kap. 6.6.1).

Gebäude J. Wie im Fall von Gebäude I geben Unterlagssteine für Schwellbalken den Grundriss von Gebäude J an; davon waren Teile von vier Wänden zu erkennen (Abb. 217–218, 228). Diese deuten darauf hin, dass Gebäude J analog zu Gebäude I ausgerichtet war, in einem Abstand von etwas mehr als einem Meter von dessen Nordwand. Im Bereich von Gebäude J lagen allerdings zahlreiche neuzeitliche Störungen vor, so dass es nur auf einer beschränkten Fläche von etwa 5×4 m dokumentiert werden konnte.

Im Grundriss muss auf zwei markante Steinsetzungen hingewiesen werden (Abb. 218, 228). J.S 2 war in einer unförmigen, flachen Mulde (L ca. 1,5 m, B ca. 1 m) angelegt und bestand aus faust- bis doppelfaustgrossen, scheinbar nicht gesetzten Gerölle. Steinsetzung J.S 1 befindet sich östlich von Gebäude J und bildet einen Bogen aus plattigen Steinen (Sandsteine, Bruchsteine und Ziegelstücke). Für beide Strukturen gibt es keine plausible Erklärung, zumal da der Grundriss fragmentarisch erhalten ist. Stratigraphisch gesehen liegen sie auf dem gleichen Niveau wie die Steine, die den Grundriss des Gebäudes angeben und unter Resten der Brandschicht J1. Wegen der Lage an einer stark zerpflügten Stelle der Parzelle (Gartenbereich) ist aber ein chronologischer Unterschied zwischen den verschiedenen Strukturen nicht auszuschliessen.

Wie Gebäude I wurde Gebäude J auf der Planieschicht 7 errichtet und von einer dünnen Brandschicht J1 überdeckt.

Da die Anlage nur fragmentarisch erhalten ist, können über ihre Funktion keine Angaben gemacht werden.

Weitere Strukturen

Strasse 2. Westlich der Gebäude I und J führte eine Strasse, die in Form einer etwa 1 m breiten, ziemlich kompakten Kiesschüttung erhalten war (Abb. 217–218, 225, 227–228). Sie reichte gegen Norden fast bis zur Parzellengrenze und bog gegen Süden in einem klaren Winkel um das Gebäude I herum ab. Weiter im Süden fand sich keine Fortsetzung der Strasse. Es muss allerdings betont werden, dass südlich der Zone von Gebäude I zwischen dem gewachsenen Boden und der modernen Gartenerde keine Kulturschichten erhalten waren, so dass sich einzig die eingetieften Strukturen konserviert haben. Deshalb kann die Strasse 2 mit ziemlicher Sicherheit sogar bis zur antiken Hauptstrasse hin ergänzt werden.

Feuerstelle F 1. Etwa 3 m östlich der Ostwand von Gebäude Gb (s. oben) entdeckte man die isolierte Feuerstelle F 1 (Abb. 222; Konstruktionsdetails s. Kap. 6.8). Sie lag an einer Stelle, an der das Auslaufen einer neuzeitlichen Jauchegrube die Schichtfarben derart verändert hatte, dass der stratigraphische Zusammenhang zu Gebäude Gb und dem Hinterhof nicht zu erkennen waren. Auf Grund der Konstruktionsart als flachgestrichene Lehmlinse auf Kieselbett wurde diese Feuerstelle diesem Siedlungshorizont zugewiesen. Ausser der Feuerstelle waren keine weiteren Strukturen in diesem Bereich erkennbar und Funde wurden keine geborgen.

Gräbchen und Pfosten. Im nördlichen Bereich der Grabungsfläche liegen zwei Pfostenstellungen Pf 9 und Pf 10 (Abb. 222).

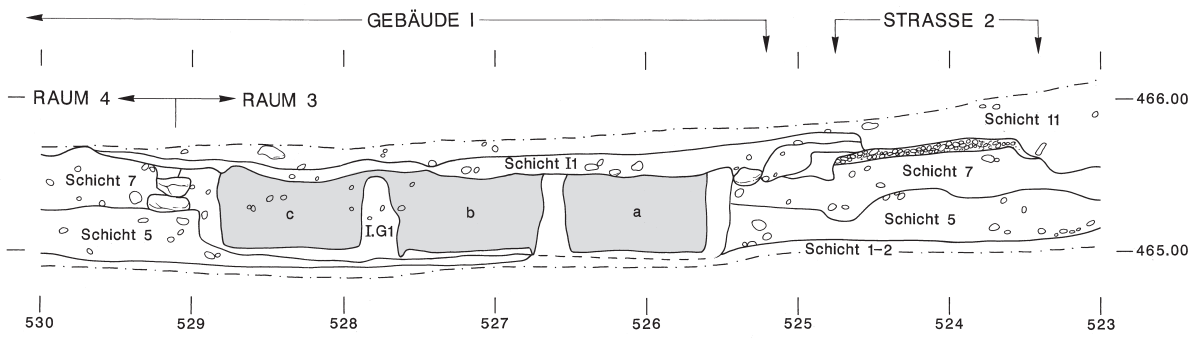


Abb. 227. Römerstr. 227/229. Gebäude I. Profil A–A'. Ansicht von Norden. M. 1:50.

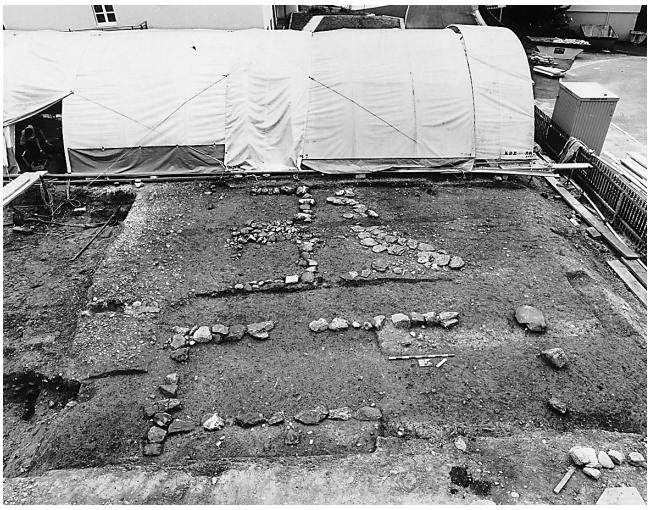


Abb. 228. Römerstr. 227/229. Gebäude J und Rest I. Ansicht von Süden.



Abb. 229. Römerstr. 227/229. SH III. Gruben G 12 (im Zentrum) und G 7 (rechts im Vordergrund). Ansicht von Westen.

Östlich von Pf 9 ist in einer Profilzeichnung dieser sonst sehr gestörten Fläche das Gräbchen Gb 10 erkennbar, dass u. U. mit der Pfostenstellung in Verbindung gebracht werden kann. Versucht man diese wenigen Indizien in einen Zusammenhang zu führen, könnte man an dieser Stelle Teile der West- und der Südwand eines Streifenhauses rekonstruieren (Abb. 222, gestrichelte Linien). Diese Rekonstruktion ist allerdings rein hypothetisch.

Gruben. Wie beim vorherigen Siedlungshorizont liegen die meisten Gruben ohne einen Zusammenhang mit einem bestimmten Gebäude (Abb. 217 und Liste der Gruben im Anhang, Kap. 6.8 und Besprechung Kap. 6.5.2). Einzige Ausnahme bildet die Grube E.G 1 im Gebäude E mit ihrer besonderen Verfüllung (s. oben).

Für die anderen Strukturen kommt am ehesten eine Interpretation als Abfallgruben oder Latrinen in Frage. Charakteristisch dafür sind die torfig-lehmigen Verfüllungsschichten und die Anwesenheit von Koprolithen und unzähligen Makroresten, die auf Speiseabfälle hinweisen (Abb. 229; Makroreste in Teil VI, Kap. 6.1).

Während dieser Periode muss ein grosser Bedarf an (Abfall-)Gruben bestanden haben: die Strukturen sind z.T. dicht nebeneinander eingetieft, so als ob keine Möglichkeit bestanden hätte, über diese beschränkte Fläche hinaus, neue Vertiefungen anzulegen.

Die Grubendichte unterstützt die Deutung dieser Zone als Innenhof, also als eine auf allen Seiten geschlossene Fläche, die nicht beliebig erweitert werden konnte (s. Besprechung, Kap. 6.6.2).

Datierung

*Funde aus den Gruben (Florian Hoek) (Kat. **37–98**)*

Wie bei SH II gibt es aus den Gruben von SH III chronologisch relevante Funde. Es handelt sich zum einen um Schälchen der Form Drag. 35/36 (Kat. **69**), Drag. 8/Hofh. 9 (Kat. **52, 70**) und Curle 11 (Kat. **51**), zum anderen um TS-Schüsseln der Form Drag. 37 (Kat. **62, 81**) und Drag. 30 (Kat. **54, 91**). Die Gruben des SH III dürften somit klar erst nach der Mitte des 1. Jh. n. Chr. verfüllt worden sein. Aus dem Fehlen der Formen Curle 15 möchten wir schliessen, dass SH III das 2. Jh. nicht erreicht hat. Eine Ausnahme ist vielleicht das Gefäss (Kat. **98**) aus Grube G 16, das vermutlich ins 2. Jh. datiert werden kann (siehe unten). Eine Datierung des SH III genauer als in die 2. Hälfte 1. Jh. n. Chr. scheint nicht möglich zu sein, da die prozentualen Anteile der TS, trotz ansprechender Anzahl, nicht repräsentativ sind (Altfunde?).

Ein interessantes Einzelstück ist ein grosses Fragment eines Laveztopfes aus Grube G.G 1 (Pos. 943) (Kat. **56**), das stratigraphisch aus einer der obersten Auffüllungen (Pos. 931) der Grube stammt. Lavez taucht auf dem Kirchhügel am Ende von Periode B vereinzelt auf, also um etwa 70 n. Chr.[993] Allgemein ist Lavez in Oberwinterthur aber erst in Komplexen ab dem 2. Jh. n. Chr. häufiger anzutreffen.

Aus Grube G 10 (Pos. 176) und Grube G 14 (Pos. 935) stammen zwei Wandstücke von TS-Schüsseln der Form Drag. 29 mit metallisch-schwarzem Überzug (Kat. **61** und **80**). Auf Grund eines Vergleiches der Dekoration mit den publizierten «schwarzen Schüsseln Drag. 29» aus Augst und Kaiseraugst[994] scheinen auch die beiden Oberwinterthurer Stücke aus Aoste (F) importiert worden zu sein. Die beiden Stücke fügen sich in die Gruppe um ein schon länger bekanntes und nun von der Bearbeiterin Verena Vogel Müller als «Aoster-Import» identifiziertes schwarzes TS-Gefäss vom Typ Drag. 29 mit dem zweizeiligen Stempel GRATVS aus Oberwinterthur ein[995].

In der Grube G 16 (Pos. 925) konnten zwei Stücke einer Tonne mit charakteristischer Rädchenverzierung geborgen werden (Kat. **98**). Solche Tonnen dürften in Oberwinterthur selbst hergestellt worden sein, wie zwei im Jahre 1991 an der Dorfstr. 7 ausgegrabene Töpferöfen mit zugehörigen Fehlbränden belegen[996]. Die Öfen an der Dorfstrasse waren im frühen 2. Jh. n. Chr. in Betrieb[997]. Die restlichen Funde aus der Grube G 16 sind zu spärlich, um etwas zur Datierung der Grubenfüllung aussagen zu können.

Wie bei SH II können auch für SH III die Funde aus den Gruben beinahe keine Hinweise auf die ehemalige Nutzung der Gruben geben, da es sich grösstenteils um sekundär eingebrachte Verfüllungen handelt. Eine Ausnahme ist Grube E.G 1 (Pos. 815) – wohl ein Vorratskeller – in der sich grosse Teile von mindestens zwölf Krügen erhalten haben (Kat. **37–48**). Zu diesen Gefässen gesellen sich ein Dolium (Kat. **49**) und eine Amphore (Kat. **50**) als typische Vorratsgefässe. Das Ensemble rechtfertigt eine etwas eingehendere Besprechung. Zunächst fällt die Lage der Gefässe auf dem Grubenboden des Kellers auf (siehe oben im Befundteil).

Unter den Krügen ist in Bezug auf Gefässform (bauchige Form), Tonqualität sowie Rand- und Henkelform auf die grosse Übereinstimmung hinzuweisen. Wenn auch Ein- (Kat. **38, 41, 42**) und Zweihenkelkrüge (Kat. **37, 39, 40**) nebeneinander vorkommen, dürfte es sich wohl um lokal gefertigte Produkte handeln[998]. Chronologisch lassen sich die erhaltenen Krüge nicht sehr gut einordnen, denn es handelt sich um Formen (Krüge mit getrepptem Kragenrand), die zumindest im ganzen 1. Jh. in Benützung waren[999]. Bemerkenswert ist, dass die Krüge in Bezug auf ihre Proportion (bauchige Form) eher frühkaiserzeitlichen Typen entsprechen[1000]. Aus diesem Grund möchten wir schliessen, dass die Krüge des Kellers E.G 1 (Pos. 815) relativ lange in Gebrauch standen. Interessant bei den Krügen ist zudem, dass sich bei fast allen Gefässen an deren Innenseiten und insbesondere an deren Böden Teer- oder Pechreste (u. a. als Dichtungsmittel) erhalten haben. Mit Pech oder Teer ausgestrichene Gefässe sind aus verschiedenen Orten bekannt geworden. So gelang es etwa, für Tasgetium (Eschenz TG) eine römische Teersiederei nachzuweisen[1001]. Dass auch in Vitudurum Pech und Teer gewonnen wurde, ist auf Grund des recht einfachen Verfahrens sehr wahrscheinlich, wenn auch bislang kein direkter Nachweis gelang. Auch das Dolium Kat. **49** könnte ein lokal hergestelltes Produkt sein und aus einem Töpferofen der Bäumlistr. 1a stammen[1002].

Gemeinsam könnten die Krüge, das Dolium und die Amphore einen Teil des Inventars eines Vorratskellers, wie er in der 2. Hälfte des 1. Jh. n. Chr. in Benützung war, darstellen. Dafür würde u. a. die Lage der Gefässe in der Grube (siehe oben im Befundteil) und die Tatsache, dass alle Gefässe fast vollständig erhalten waren, sprechen. Zusätzlich zu den im Boden erhaltenen Gefässen könnten sich in einem solchen Keller Lagerbehälter aus organischem Material (wie Säcke oder Fässer o. ä.) befunden haben. Zudem wären Gefässe aus Bronze denkbar, doch hätte man diese nach der Aufgabe des Kellers als Altmetall eingeschmolzen, so dass auch davon keine Spuren erhalten geblieben sind.

Vorratskeller mit ihrem ursprünglichen Inventar sind nicht sehr häufig. Für Vitudurum konnte J. Rychener an der Römerstr. 186 innerhalb eines Hauses einen Vorratskeller mit zwei Dolia in situ nachweisen[1003]. Auch in Augst BL (Augusta Raurica) gelang es in den Jahren 1983–1987 im Keller eines Gewerbe- und Wohnkomplexes ein Gefässdepot aus mind. 40 beinahe vollständig erhaltenen Einheiten auszugraben[1004]. Die Zusammensetzung der Geschirrformen (Kochtöpfe, Reibschüsseln, Krüge, Teller, Backplatten, Amphoren, Becher) sowie weitere Funde sprechen dafür, dass dieser Keller sowohl der Vorratshaltung als auch als Lager für Ess- und Trinkgeschirr diente. In Zurzach AG (Tenedo), wo ebenfalls in den Jahren 1983–1987 umfangreiche Ausgrabungen durchgeführt werden konnten, kam eine grössere Anzahl von Gruben zum Vorschein[1005]. In unserem Zusammenhang interessiert insbesondere eine Grube (Grube 74), in der sich in einer sandigen Schicht (Kellerboden?) eine beinahe ganze Amphore, grosse Teile eines Doliums, drei ganze Krüge (mit ihren Öffnungen gegen unten) sowie Schüsseln und Teller erhalten haben[1006]. Leider wird aus dem Auswertungsbericht nicht ganz klar, ob die Gefässe noch in situ standen oder nicht. Wir meinen aber, dass der Nachweis eines sandigen Niveaus (Boden?) in der Grube einen Hinweis auf die ehemalige Funktion der Grube (Vorratskeller?) gibt. Somit darf die Grube 74 aus Zurzach, zumindest was die nachgewiesenen Gefässe (Amphore, Dolium, Krüge) betrifft, als schöner Vergleich zum Inhalt der Grube E.G 1 aus Oberwinterthur angesprochen werden.

Bei der Suche nach weiteren Parallelen sind wir zwar auf eine Unzahl von einfachen Erdkellern gestossen, doch fehlen fast immer Gefässe in situ, welche die ursprüngliche Funktion des Kellers anzeigen könnten. Immerhin gibt es weitere Keller, wo sich in sandigen Niveaus (Kellerböden) zumindest die Negative von Amphoren (Amphorenstandspuren) erhalten haben und uns so den Hinweis liefern, dass in diesen Kellern Vorräte gelagert worden sind[1007].

Verschiedene Töpferstempel der Funde aus SH III konnten identifiziert werden. Es handelt sich zum einen um einen ALBINVS (Gebäude I, ohne Kat., ST **5**), sowie wohl um einen PATRICIVS (Kat. **90**). Diese Namen kennen wir aus La Graufesenque, aber auch aus weiteren südgallischen Töpfereibetrieben[1008]. Daneben sind auch ein RITVS (Kat. **60**), ein CELSVS oder CELSIVS (Grube G 15, ohne Kat., ST **29** sowie ein MVRRANVS (Grube G 12, ohne Kat., ST **60**) vertreten. Während RITVS nur selten belegt ist und auch seine Werkstatt nicht bekannt ist, produzierten CELS(i)VS und MVRRANVS in La Graufesenque[1009]. Die nachgewiesenen Töpferstempel aus südgallischen Werkstätten passen somit ins Bild der TS, indem wir im Fundspektrum für SH III überwiegend südgallische Produkte haben.

Funde aus dem westlichen Bereich der Ausgrabung (Rosanna Janke)

Für SH III ist die Ausgangsbasis an dieser Stelle der Ausgrabung durch die höhere Zahl der Funde besser als in den vorigen Siedlungshorizonten. Das Fundensemble aus Gebäude

---

993 Rychener 1984, 65.

994 Kat. 147: Hund Aoste 21; Kat. 166: Hund Aoste 22, vgl. Vogel Müller 1998, 110 f.

995 Vogel Müller 1998, 107.

996 Hedinger 1993, 88.

997 Die endgültige Auswertung der Funde und Befunde der Untersuchung Oberwinterthur-Dorfstr. 7 ist noch ausstehend.

998 Unter den bislang bekannt gewordenen lokal gefertigten Krügen der Produktion Römerstr. 210 (2. Hälfte 1. Jh. n. Chr.) finden sich bezüglich der Randform keine guten Vergleiche. Vom Ton her sind jedoch gewisse Ähnlichkeiten festzustellen. Vgl. Hedinger/Hoek/Jauch, Actes du Congrès de Fribourg 1999, SFECAG 1999, 11–18.

999 Furger/Deschler-Erb 1992, 93 f.

1000 Roth-Rubi 1979, 13.

1001 V. Jauch, Eine römische Teersiederei im antiken Tasgetium – Eschenz. AS 17, 1994, 111–119.

1002 B. Hedinger in Vorb.

1003 Rychener/Albertin 1986, 40 f.

1004 A.R. Furger, Der Inhalt eines Geschirr- oder Vorratsschrankes aus dem 3. Jh. von Kaiseraugst-Schmidmatt. JbAK 10, 1989, 213–268.

1005 Hänggi et al. 1994, 54 ff., 219 ff.

1006 Hänggi et al. 1994, 510–513.

1007 Auswahl (unvollständig): Heitersheim (D): K. Kortüm u. U. Nuber, Die römische Villa urbana von Heitersheim, Kreis Breisgau-Hochschwarzwald. AAusgrBadWürt 1991, 154–159; Bietigheim (D): I. Stork, Fortsetzung der Untersuchungen in der grossen römischen Gutshofanlage «Weilerlen» in Bietigheim, Stadt Bietigheim-Bissingen, Kreis Ludwigsburg. AAusgrBadWürt 1987, 146–150; Mundelsheim (D): D. Planck, Eine römische Villa rustica bei Mundelheim, Kreis Ludwigsburg. AAusgrBadWürt 1988, 183–187; Rommelshausen (D): H. Zürn, FuBerBadWürt 2, 1975, 193 ff.; Stettfeld (D): A. Hagendorn u. D. Rothacher, Ausgrabungen bei Stettfeld, Gemeinde Ubstadt-Weiher, Kreis Karlsruhe. AAusgrBadWürt 1988, 145–147.

1008 Oswald 1931, 10,229,231.

1009 Oswald 1931, 45 und 71.

Gb (Kat. **99–119**) ist für die Datierungsschwierigkeiten innerhalb der Gebäude G und H sinnbildlich, da es konsequent «Altfunde» enthält. Diese sind meistens stark verwittert oder korrodiert (z. B. der italische TS-Teller Kat. **99** oder die beiden Münzen Kat. **113–114**), sind jedoch mit jüngeren Typen wie Drag. 18/31 (Kat. **102**) oder Drag. 29 und Drag. 37 (in Gebäude Hb) vergesellschaftet. Diese Diskrepanz und der Mangel an relevanten Datierungselementen erlaubt keine genaue Zeitstellung für die Entstehung der Schichten zu ermitteln. Ausgehend von den Resultaten der Fundanalyse von F. Hoek (s. oben), ist eine Datierung in die 2. Hälfte des 1. Jh. wahrscheinlich, wobei die Zerstörung der Gebäude durch einen Brand noch vor dem Ende des 1. Jh. hat stattfinden können. Zahlreich sind die Metallfunde aus den Schichten dieses Siedlungshorizonts. Insgesamt fünf Fibeln kommen aus Gebäude Gb (Kat. **116–118**), Hb (FB **17**) und aus der Portikus (FB **18**). Die «Verlustrate» solcher Objekte scheint hier besonders hoch zu sein. Betrachtet man allerdings, dass ausser dem Exemplar Kat. **116**, nach Aussage der Bearbeiterin E. Corvi (s. unten, Teil IV, Kap. 4), alle Stücke in einem sehr schlechten Zustand waren, drängt sich die Frage auf, ob die Stücke einen Zusammenhang mit der Inbetriebnahme der Schmiede in Gebäude Hc aufweisen. Sind es vielleicht Stücke, die geflickt oder wieder eingeschmolzen werden sollten?

Ebenfalls verhältnismässig hoch ist die Zahl an Bronzeobjekten, wobei gerade in Gebäude G eine Konzentration von Militaria auffällt (s. Beitrag E. Deschler-Erb, Teil IV, Kap. 3.3.5).

Siedlungshorizont IV (etwa 80 n. Chr. bis Mitte 2. Jh.)

Übersicht und Stratigraphie

Dieser Siedlungshorizont ist eher als abstrakter Begriff zu verstehen, denn er fasst alle Strukturen zusammen, die nach dem Brand der Gebäude von SH III angelegt wurden und bis etwa zur Mitte des 2. Jh. reichen (Abb. 197, 230). Als chronologische Anhaltspunkte für die Zuweisung der vier Gebäudegrundrisse (Gebäude F, Gc, Hc und L) und der drei Gruben (G 18/G 19, G 20–21) gilt das mögliche Enddatum von SH III – sicher vor dem Ende des 1. Jh. (s. oben, Datierung) – und ein absolutes Dendrodatum aus der Holzverschalung der Grube G 18 um 121 n.Chr. (s. unten). Das Ende von SH IV kann auf Grund der Funde der Einfüllschichten der Gruben um die Mitte des 2. Jh. gesetzt werden. Stratigraphisch gesehen liegen aber die Strukturen im gleichen Schichtenkontext wie die des vorherigen Siedlungshorizonts (Abb. 201). Einzig im westlichen Teil der Parzelle liegt eine klare Überlagerung von Gebäude Gc–Hc auf den abgebrannten und geräumten Ruinen von Gebäude Gb–Hb (SH III) vor.

Über die räumliche Organisation dieses Siedlungshorizonts kann nur wenig gesagt werden. Im westlichen und südlichen Bereich bleibt sich die Art der Nutzung wie im vorherigen Siedlungshorizont gleich (Abb. 230). Was den Innenhof und den Ostteil der Parzelle betrifft, liegen zu wenige Befunde vor, um eine Kontinuität in der Nutzung nachzuweisen. Der Teilbefund von Gebäude L scheint sogar zu beweisen, dass nun z.T. auch der Hof überbaut wurde. Sicher ist ein deutlicher Rückgang der Zahl der Gruben zu verzeichnen: diese sind auf drei gegenüber sechs bzw. acht Gruben aus SH II bzw. SH III reduziert. Dies spricht für eine gewisse Änderung in der Nutzung dieser Zone des Vicus: anscheinend war der Bedarf nach Entsorgungsmöglichkeiten – insbesondere was Abfallgruben und Latrinen angeht – eindeutig gesunken.

Strukturen

Gebäude F. Mit Gebäude F wird ein Teilbefund im zentralsüdlichen Bereich der Parzelle definiert (Abb. 230–231). Dabei handelt es sich um die NE-Ecke eines Gebäudes, dessen Ostwand von zwei wieder verwendeten Mühlsteinen angegeben ist; diese liegen in einem Abstand von 1,5 m voneinander. Für die Nordwand wurden keine Konstruktionsmerkmale beobachtet, ausser dass an dieser Stelle der Kiesplatz Hof 3b an die siltige Planie innerhalb des Hauses stösst, welche mit Sicherheit den Boden aus gestampften Silt im



Abb. 230. Römerstr. 227/229. Siedlungshorizont IV: Übersichtsplan mit Strukturen. M. 1:500.

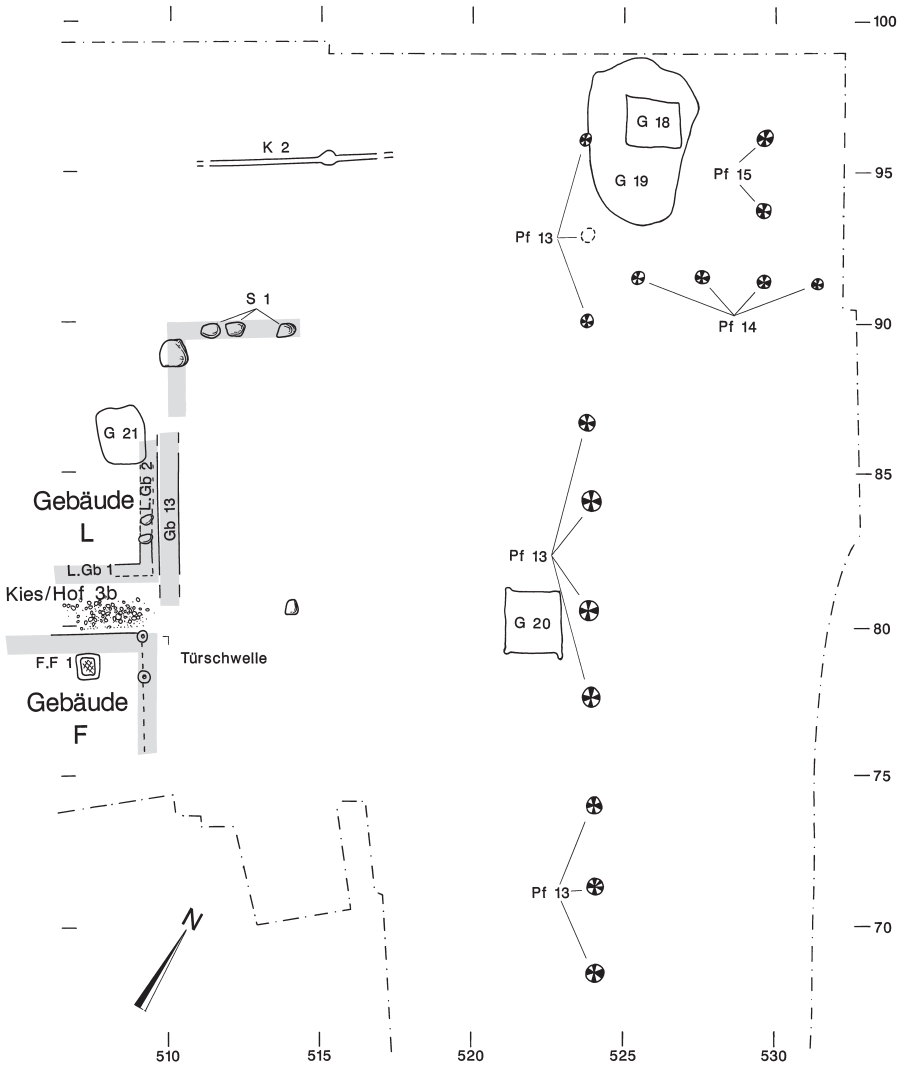


Abb. 231. Römerstr. 227/229. Siedlungshorizont IV. Sektor Ost. Übersichtsplan mit Strukturen. M. 1:250.

Gebäude selbst darstellt. In diesem Bereich des Gebäudes ist die gut erhaltene Feuerstelle F.F 1 zum Vorschein gekommen; sie bestand aus einem Leistenziegel auf Kieselbett und mit einer Umrandung aus Sandsteinen und wurde in einer Entfernung von 1 m von der Nordwand bzw. 2 m von der Ostwand des Gebäudes angelegt (Abb. 231–232; konstruk-



Abb. 232. Römerstr. 227/229. Gebäude F. Detailaufnahme der Feuerstelle F.F1.



Abb. 233. Römerstr. 227/229. Gebäude F. Detailaufnahme des möglichen Bauopfers in situ. Ansicht von Westen. Auf der linken Seite unter dem weissen Stein ist ein Teil des Mühlsteins zu sehen.

tive Details s. Kap. 6.8). Es gibt keine Hinweise für weitere Strukturen in diesem Raum, während bei der Ostwand ein interessanter Befund freigelegt wurde (Abb. 233): zwischen den Mühlsteinen, die als Unterlage für einen Schwellbalken dienten, lag das Gerippe eines erwachsenen Schweins in anatomischem Zusammenhang. Erhalten sind einige Rippen, Wirbelfragmente und das rechte Schulterblatt. Das Tierteil war nicht in eine Grube verscharrt, sondern direkt zwischen die Unterlagssteine gelegt worden; darüber kam der Schwellbalken zu liegen. Nach der Befundsituation zu urteilen, könnte es sich dabei um ein Bauopfer handeln, das auf Grund des kleinen Abstands zwischen den oben beschriebenen Mühlsteinen höchst wahrscheinlich unter der Türschwelle zum Gebäude gelegt worden ist. Etwa 40 cm davon entfernt wurde die wenig abgegriffene Münze M **30** entdeckt, die allerdings auf Grund ihres Prägedatums unter Caligula eine Diskrepanz zur Datierung des Gebäudes ergibt und vielleicht nicht zum Bauopfer gezählt werden darf. Die Zuweisung des Gebäudes zu SH IV ist stratigraphisch durch den an die nördliche Wand angrenzenden Kiesplatz Hof 3b gegeben (s. unten und Schichtenschema Abb. 201), wird aber auch durch die Konstruktionsart der Feuerstelle selbst unterstützt. Diese besteht, als einzige auf diesem Grabungsareal, aus einem Leistenziegel auf einem Kieselbett; dies eine Bauweise, die, in den bisher beobachteten Oberwinterthurer Befunden, jünger als die Feuerstellen auf einer einfachen Lehmlinse ist[1010].

An Gebäude F angrenzend lag die Schüttung aus faustgrossen, in einen gelblich bis grauen Silt eingebetteten Kieseln Hof 3b, wohl ein Kiesplatz im Innenhof, dessen Ausdehnung nicht mehr auszumachen ist; die dokumentierte Fläche beträgt mind. 6 × 1,5 m. Die Zuweisung des Platzes in diesen Siedlungshorizont ist gesichert, da er direkt auf der Benutzungsschicht Hof 2 von SH III und unter der Schuttschicht 10 liegt (s. Schichtenschema, Abb. 201, 206). Unklar bleibt hingegen der Zusammenhang zwischen der Rollierung Hof 3b und dem Grundriss von Gebäude L (s. unten): Zwischen diesen beiden Anlagen wurden die Fundamente der im 19. Jh. erbauten Scheune abgetieft, so dass die Schichtkorrelation nicht erstellt werden kann.

Gebäude L. In der zentralen Zone der Parzelle sind Teile von mit Brandschutt verfüllten Gräbchen entdeckt worden (L.Gb 1–2, Abb. 231). Diese scheinen eine Ecke zu bilden und könnten auf den Standort eines Gebäudes im früheren Innenhof hinweisen. Auf der gleichen Flucht wie L.Gb 2 liegen mehrere plattige Steine, wohl Balkenunterlagen.

Frühestens diesem Siedlungshorizont ist die Anlage des NS-gerichteten Grabens Gb 13 zuzuweisen (Abb. 206, 231). Er weist keine Regelmässigkeiten hinsichtlich Konturen und Verlauf auf und kommt an die Stelle zu liegen, wo in den SH II und III Gräbchen die sog. Schichtgrenze zwischen dem Bereich im Gebäudeinneren und dem Innenhof markierten. Auf dem Feld konnte nicht geklärt werden, in welchem genauen stratigraphischen Zusammenhang diese Struktur zu setzen ist, so dass offen bleiben muss, ob der Graben Gb 13 direkt östlich an Gebäude L angrenzte oder ob er ein späterer Artefakt ist. Tatsache ist, dass er die sog. Schichtgrenze erneut betont und mit der Schuttschicht 10 homogen verfüllt ist.

Gebäude L kommt auf die Benutzungsschicht Hof 2 zu liegen (Abb. 206, wo das Balkengräbchen L.Gb 1 im Längsschnitt ersichtlich ist). Direkt darüber folgt ein Rest von Hof 3b und die Schuttschicht 10. Bei L.Gb 2 ist eine Überlagerung von einem plattigen Stein mit einem Pfosten aus der Reihe E.Pf 1 des zweiten Siedlungshorizonts zu verzeichnen (Abb. 205, 231).

Da der Grundriss auf einer so beschränkten Fläche dokumentiert wurde, kann über die ursprüngliche Funktion des Gebäudes nichts gesagt werden. Vorausgesetzt dass Gebäude F mit der Rollierung Hof 3b und Gebäude L tatsächlich synchron angelegt wurden, muss man davon ausgehen, dass Hof 3b einen Weg zwischen den Gebäuden bildete, wodurch vielleicht ein Teil des Innenhofs zu erreichen war.

Gebäude G, Bauphase c. Gebäude G, Bauphase c (Gebäude Gc) entstand auf den abgebrannten Ruinen von Gebäude Gb und deckt sich mit dessen Grundriss (Abb. 230, 234). Von Gebäude Gc–Hc wurden die West-, Ost- und Nordwand erfasst, während der südliche Abschluss ausserhalb der Grabungsgrenze zu suchen ist. Die Wände waren auf besonders grossen Geröllen, wohl in Ständerbautechnik, errichtet worden. Zahlreiche solcher Steine waren bei der Ostwand erhalten geblieben; dort lagen sie in unterschiedlichen Abständen voneinander. Bei der Westwand scheint die Reihe von Steinunterlagen aus dem letzten SH III erneuert und leicht westwärts verlegt worden zu sein. Vier plattige Steine lagen parallel zur Reihe aus dem letzen SH III, wobei ihre Oberkante 10–15 cm höher lagen. Was die Nordwand anbelangt, war sie von einem Mühlstein und weiteren massiven Steinen angegeben. Diesem Siedlungshorizont IV weisen wir die letzte Umbauphase c der Feuerstelle G.F 1 zu, bei der nun auf zwei langrechteckigen Sandsteinplatten gefeuert wurde (Abb. 208 c1, 235). Unmittelbar südwestlich der Feuerstelle entdeckte man eine isolierte Pfostenstellung, die in ihrer Funktion nicht weiter zu deuten ist.

Gebäude H, Bauphase c. Analog zu Gebäude Gc wurden die Schwellriegel von H, Bauphase c (Gebäude Hc) auf massiven Geröllen fundiert. In diesem Siedlungshorizont zeigt sich aber dank der guten Erhaltungsbedingungen bei der Westwand des Gebäudes ein Detail der Konstruktionstechnik besonders deutlich (Abb. 236): Auf massiven Geröllen wurden Schwellbalken gelegt, die an manchen Stellen, so wie z.B. im Norden des Gebäudes in verkohltem Zustand noch in situ lagen. Zwischen den Steinunterlagen standen dicht aneinander vertikale Bohlen. An einer Stelle, zwischen Lfm. 92,00 und 93,00 waren sie dem verkohlten Balken vorgelagert, so als ob sie als eine Art Verankerung des Schwellbalkens gegen eine Verschiebung in Richtung Portikus gedient hätten. Anderseits aber stehen die Bohlenreihen genau eingemittet zwischen den Unterlagssteinen, so dass eher angenommen werden muss, dass der Balken ursprünglich auf den Bohlen lag und der verkohlte Balkenrest erst nach der Zerstörung des Gebäudes Hc nach innen gekippt ist.

Weiter nach Norden erstreckte sich ein weiterer Gebäudetrakt. In diesem Siedlungshorizont lag auf der Flucht der Westwand ein Geröll als Schwellbalkenunterlage.

An Innenstrukturen liegen zwei Gräbchen, eine leicht eingetiefte, langrechteckige Grube und die Feuerstelle H.F 2c vor (Abb. 234). Ob die Gräbchen eine Funktion in Zusammenhang mit der Grube H.G 2 besassen kann nicht rekonstruiert werden: An dieser Stelle überlagerten sich eine grosse Zahl von wenige Zentimeter eingetieften Strukturen und von dünnen Schichten, so dass der Befund nur unter Vorbehalt ausgewertet werden konnte. Die nur leicht eingetiefte Grube H.G 2 wurde als Element der Schmiedewerkstatt interpretiert, und zwar als mögliches Tauchbecken. An der Südwand des Gebäudes wurde der sog. Amboss (Abb. 234, mit A ver-

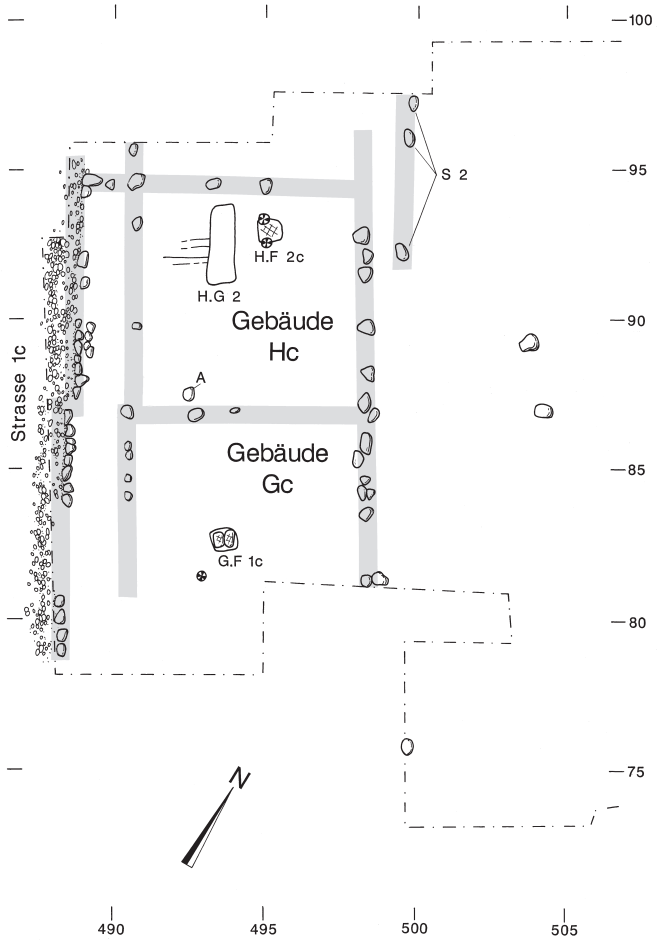


Abb. 234. Römerstr. 227/229. Siedlungshorizont IV, Sektor West. Übersichtsplan mit Strukturen. M. 1:250.

sehen) wieder eingetragen, da er stratigraphisch sowohl zu SH III als auch zu SH IV passen würde.

Nach dem Brand der Gebäude von SH III erfolgte eine Räumung des Geländes, so dass das Schichtpaket H4 zu diesem Siedlungshorizont IV fast überall direkt über dem Lehmboden H2a–b von Gebäude Hb folgte (Abb. 212). Darüber kam eine Mischschicht H5 zu liegen, die die nächstfolgenden Siedlungsaktivitäten beinhaltet und nicht klar als Benutzungsschicht zu diesem Siedlungshorizont identifiziert werden kann.



Abb. 235. Römerstr. 227/229. Feuerstelle G.F1c teilweise frei gelegt. Ansicht von Süden.

Portikus und Strasse

Nach der Zerstörung der Gebäude von SH III wurde auch der Bereich der Portikus vom Schutt befreit und mit der Planie p3 massiv aufgeschüttet (Abb. 211–212). Im südlichen Teil der Ausgrabung bildete die Planie eine Wölbung und war von der Kiesrollierung p4a überdeckt, wobei unklar bleibt, ob diese letzte zu diesem Siedlungshorizont gezählt werden soll oder erst später angelegt wurde (Abb. 237–238). Im nördlichen Bereich wurde keine Rollierung entdeckt, sondern eine Lage Brandschutt mit reichlich Ziegelfragmenten (p4b). Auf der westlichen Seite war die Portikus nun mit einer Reihe von besonders massiven Geröllen abgegrenzt (Abb. 234). Etwa bei Lfm. 87,00, dort wo auch die Unterteilung zwischen Gebäude G und Gebäude H lag, bildete die Reihe einen eindeutigen Absatz um etwa 40 cm. An einer Stelle war die Reihe doppelt geführt, wobei nicht klar ist, ob die Steine dort noch in situ lagen oder ob sie zu einem Versturz gehörten. Gegen Norden liess sich die Reihe nicht weiter verfolgen. An deren Stelle liegen nur vereinzelte Gerölle vor, die bei der Nordwand von Gebäude H sogar die Portikus zu

[1010] Rychener 1988, Abb. 602.

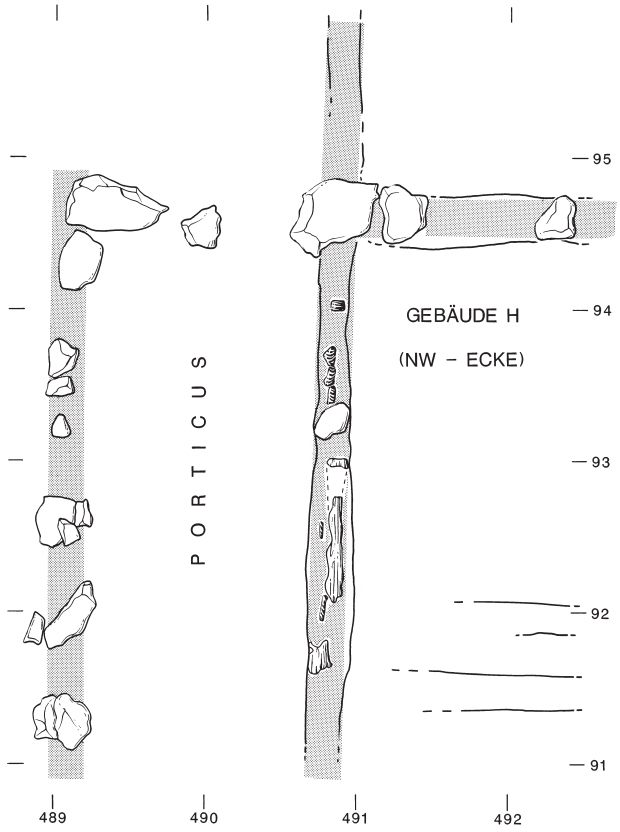


Abb. 236. Römerstr. 227/229. Gebäude Hc: Konstruktionsdetail der Westwand mit verkohlten Balkenresten in situ und stehenden Bohlen. M. 1:50.



Abb. 237. Römerstr. 227/229. Portikus mit Rollierung. Links sind Teile der Steinreihe und rechts die massive Eisenverkittung zu erkennen. Ansicht von Süden.

«schliessen» scheinen. Die Geröllreihe kann am ehesten als einfacher Sockel für die Abtrennung der Portikus gegenüber der Strasse betrachtet werden. Der Standort der Pfeiler ist hier im Gegensatz zu SH III nicht mehr ersichtlich. Für den abrupten Abschluss der Reihe beim Lfm. 90,00 gibt es keine Erklärung. Am ehesten muss dabei aber an neuzeitliche Störungen gedacht werden, bei denen die vielleicht störenden Gerölle herausgezogen worden sind. Gegen Süden



Abb. 238. Römerstr. 227/229. Portikus mit Rollierung. Links und im Profil die starke Eisenverkittung. Ansicht von Norden der gleichen Zone wie Abb. 237.

wurde die Reihe in der Fläche nur bis ca. Lfm. 84,00 dokumentiert, weiter südlich erschien sie aber deutlich in der westlichen Profilwand, so dass sie mindestens bis zu Lfm. 80,00 weiterzuverfolgen war. Westlich davon lag die Strasse 1c.

Weitere Strukturen

Steinsetzungen und isolierte Gerölle. An mehreren Stellen der Ausgrabung sind grosse Steine entdeckt worden, die analog zur Konstruktion von Gebäude Gc und Hc als Unterlage für Schwellbalken von Gebäuden gedient haben können (Abb. 230–231, 234). Leider sind wegen der neuzeitlichen Tätigkeit auf diesem Gelände nur wenige dieser Steine in situ erhalten. Nur S 1 und S 2 bilden Reihen, bei denen die Anlage einer Gebäudewand zu vermuten ist.

«Portikus». Im östlichen Teil der Parzelle wurde die Pfostenreihe Pf 13 freigelegt, die fast die ganze Parzelle von Norden nach Süden durchquert (Abb. 230–231). Diese Struktur wurde als Portikus interpretiert, bei der die Pfostengruben in einer Entfernung von 2,5 m voneinander lagen. Es gab lei-

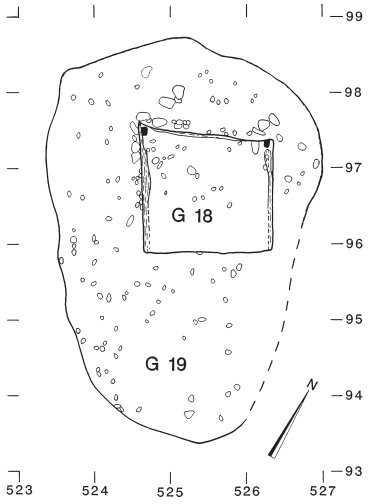


Abb. 239. Römerstr. 227/229. Grube G 18 und Grube G 19. M. 1:100.



Abb. 240. Römerstr. 227/229. Grube G 18. Ansicht des ausgegrabenen Teils von oben.



Abb. 242. Römerstr. 227/229. Grube G 18. Detailaufnahme der unteren NW-Ecke der Holzausfachung.



Abb. 241. Römerstr. 227/229. Grube G 18. Ansicht der westlichen Holzausfachung nach der Freilegung. Die Dendroprobe mit Fälldatum 121 n.Chr. mit WK stammt aus dem zweituntersten Brett.



Abb. 243. Römerstr. 227/229. Grube G 20. Unterste Lage mit Seiten- und Eckpfosten.

der keinerlei Hinweise auf eine Häuserzeile, wozu die Pfostenreihe zu zählen wäre. Für eine andere Deutung der Struktur gibt es allerdings keine denkbare Parallele. Eine ähnliche Überlegung gilt den Pfostenreihen Pf 13 und 14.

Gruben. Diesem Siedlungshorizont waren nur vier Gruben zuzuweisen (s. Liste in Teil VI, Kap. 6.1). Die viereckige Grube mit Holzausfachung G 18 war in eine grössere, mit sterilem Lehm verfüllte Grube G 19 eingelassen (Abb. 230–231, 239–242). Auf Grund der typologischen Analogie zur Grube G 18 zählt auch die viereckige Grube mit Holzausfachung G 20 zu diesem Siedlungshorizont, obwohl ihr stratigraphischer Zusammenhang modern gestört ist und einzig ihre untersten Lagen freigelegt werden konnten (Abb. 230–231, 243). Über die Verwendung dieser Gruben kann nichts ausgesagt werden. Die Abdichtungsmassnahmen bei der Grube G 18 legen eine Funktion nahe, die über den einfachen Wassersammler hinaus führen könnte. Dies umso mehr, als der gewachsene Untergrund an dieser Stelle besonders tonig-lehmig und zum Isolieren geeignet wäre. Eine zusätzliche Abdichtung wäre also nicht notwendig gewesen. Vielleicht hatte man aber die Grube G 19 ausgehoben, um steriles Material für Planierungsarbeiten zu gewinnen. Diese Eintiefung bot sich geradezu an, den Holzkasten von G 18 in den Boden einzulassen und mit Lehm zu hinterfüllen.

Bei den Gruben im Innenhof könnte die Grube G 21 mit ihrer runden bis ovalen Form und einer Tiefe von 2,3 m sowohl als Sodbrunnen als auch als Latrine interpretiert werden.

Kanal 2. Zuletzt ist auf eine WE-verlaufende Struktur hinzuweisen. Sie zeichnete sich im Feld wie ein Balkengräbchen

ab, war aber viel schmäler und besass eine Art Verdickung (Abb. 231). Diese Struktur wurde als Kanal interpretiert, und zwar womöglich als Teuchelleitung. Dabei wäre die Verdickung eine Kupplungsstelle der Holzkanäle. Auffallend ist bei dieser Struktur die Ausrichtung in Richtung Grube G 18, so als ob sie als Frischwasserzufuhr gedient hätte.

Datierung

Funde aus den Gruben (Florian Hoek) (Kat. ***120–201****)*

Grube G 18 (Pos. 283) (Kat. ***120–175****).* Die Funde aus dieser Grube werden etwas zahlreicher vorgelegt, da wir mit einem Dendrodatum von 121 n.Chr. (ermittelt an einem Brett der hölzernen Grubenauskleidung im unteren Bereich der Grube) für die Füllung der Grube in einen Zeitraum gelangen, der bislang in Oberwinterthur erst wenig bekannt ist (2. Jh. n. Chr.). Aber auch die gut erhaltene Konstruktion der Grubenauskleidung und die damit zusammenhängenden allfälligen Fragen zu deren ehemaliger Nutzung rechtfertigen dieses Vorgehen[1011]. Gegen eine Interpretation der Grube als Vorratsgrube würde etwa sprechen, dass sie ausserhalb nachgewiesener Hausgrundrisse liegt. Im Weiteren gab es darin auch keine Schichten (sandige Niveaus, welche als Kellerboden o.ä. angesprochen werden könnten) aus der Benützungszeit der Grube. Zudem fehlten Negative von Vorratsgefässen im Boden, so dass die Grube am ehesten in Zusammenhang mit einem Gewerbe, als Brunnenstube oder evtl. als Latrine angesprochen werden könnte.

Zurück zur Datierung der Grubeneinfüllungen: Zunächst ist darauf hinzuweisen, dass die Ausgrabung der Grube unter starkem Zeitdruck ausgeführt werden musste und daher ein Teil der Grubenfüllungen überhaupt nicht geborgen werden konnte. Aus diesem Grund haben wir mit den hier vorgelegten Funden nur einen – quantitativ nicht näher bestimmbaren – Anteil des ehemals in die Grube gelangten Materials vor uns. Im Weiteren haben wir es mit Einfüllschichten zu tun, die nach Aufgabe der Grube eingebracht worden sind und, wenn überhaupt, so nur sehr beschränkt Hinweise auf die ehemalige Nutzung der Grube ergeben.

Zunächst ist beim Bearbeiten der Funde aufgefallen, dass zahlreiche Passscherben und Scherben vom gleichen Gefäss über beinahe alle Einfüllschichten der Grube streuen, woraus wir den Schluss ziehen können, dass die Grube in einem Zug verfüllt wurde, und wir somit die Funde aus den einzelnen Abstichen zu einer gemeinsamen Einfüllphase zusammenfassen dürfen (Abb. 244).

Aus der Zusammenstellung der TS-Anteile geht hervor (Abb. 245), dass diese Gattung insgesamt bescheiden vertreten ist. Einen einigermassen guten chronologischen Aufhänger unter der TS bildet die – im Vergleich – beachtliche Zahl von Schalen der Form Curle 15 (Anteil 22% unter der TS).

KAT FK	185	195	197	203	206	212	214	215	225	226	227	233
486	*								*	*		
493										*		
805	*											
807						*	*					
808				*	*	*	*	*				
809				*				*	*		*	*
810					*		*					*
811					*			*				
814											*	
827		*	*									
830					*							
833					*							
834		*	*									

Abb. 244. Römerstr. 227/229. Grube G 18. FK-Liste und Passscherbenbelege bzw. Scherben vom gleichen Gefäss.

Typ	Absolut	Anteil (%)
Drag. 27	2	11
Curle 15	4	22
Drag. 37	4	22
Drag. 35/36	3	17
Drag. 30	1	6
Drag. 15/17	1	6
unbest.	3	17
Total TS	**18**	**100**
Drack 11/12	1	17
Drack 19	5	83
Total TS-Imitation	**6**	**100**
Drack 20	7	70
Drack 21	3	30
Total Drack 20/21	**10**	**100**

Abb. 245. Römerstr. 227/229. Grube G 18. Total TS, TS-Imitation und Drack 20/21.

Sie kommen im späten 1. Jh. auf und werden im 2. Jh. häufiger[1012]. Interessant, und primär wohl chronologisch zu deuten, ist, dass Schüsseln der Form Drag. 29 fehlen. Diese Typen wurden im Lauf des 2. Jh. von TS-Schüsseln Drag. 37 fast vollständig abgelöst[1013]. Aber auch die TS-Schälchen sind nur mit der Form Drag. 27 vertreten, während die älteren Drag. 24/25 fehlen. Nennenswert sind auch die TS-Schalen Drag. 35/36, welche in unserer Grube mit einem Anteil von 17% vorkommen[1014]. Demgegenüber fehlen die in vergleichbaren Komplexen nicht seltenen Schälchen Drag. 33. Neben den Anteilen der TS fällt der hohe Anteil von Schüsseln Drack 20 und 21 auf. Dies könnte mit der guten Bestimmbarkeit solcher Formen zusammenhängen[1015]. Bei unseren Stücken ist zu bemerken, dass es sich ausschliesslich um schwarze Stücke handelt, was wohl chronologisch bedingt sein dürfte. In der Augster «Theaterstratigraphie» konnte bezüglich der Farbe des Überzugs beobachtet werden, dass in späteren Komplexen die schwarzen Typen gegenüber den roten überwiegen. Die Schüsseln Drack 20 erreichen in der Augster «Theaterstratigraphie» die Phase 13, welche zwischen 80 und 120 n. Chr. datiert werden kann[1016]. Interessant unter den Formen Drack 21 ist ferner, dass sie sehr ähnlich ausgebildete Randformen aufweisen: Es handelt sich jeweils um zwei umlaufende, ausgeprägte Bändchen, die eine etwas erhöhte Mittelwulst umschliessen. Chronologisch lassen sich diese Beobachtungen dahingehend deuten, als dass vergleichbare Ränder (RF 2) auf dem Kirchhügel in Periode C datiert werden können[1017]. Für die in der Grube aufgefundenen Dolien (Kat. **168–170**) kann neuerdings eine Produktionsstätte in Oberwinterthur selbst (Töpferöfen an der Bäumlistr. 1a) namhaft gemacht werden[1018]. Insgesamt kann aus dem oben Gesagten eine Füllung der Grube im frühen 2. Jh. n. Chr. erschlossen werden.

Gegen oben möchten wir mit Vorsicht die Grubenfüllung durch das Fehlen der TS-Kragenrandschüssel Drag. 38, der TS-Teller der Form Drag. 32 sowie der TS-Reibschüsseln der Form Drag. 43/45 vor die Mitte des 2. Jh. n. Chr. setzen. Zudem sind – soweit bestimmbar – keine TS-Typen z. B. aus Rheinzabern oder Heiligenberg vertreten[1019]. Auch die frühestens um 160 n. Chr. auftauchenden Glanztonbecher (Niederbieber-Formen[1020]) fehlen in unserer Grube noch vollständig, so dass wir für die Einfüllung der Grube einen Zeitrahmen zwischen 121 n. Chr. (Dendrodatum) und der Mitte des 2. Jh. n. Chr. vorschlagen möchten.

Grube G 19 (Pos. 273) (Kat. ***176–180****).* Neben ähnlichen Stücken aus dem Bauniveau der Gebäude im Westteil der Ausgrabung (Kat. **5**) und aus Grube G 4 (Kat. **30**) (SH II) stammt

FK/Kat.	ohne Kat.	ohne Kat.	ohne Kat.	ohne Kat.
633				
648	*		*	*
668				
674		*		
675	*	*		*
679				
692				
726				
739				
748			*	
752				
802				
1231				

Abb. 246. Römerstr. 227/229. Grube G 20. FK-Liste und Passscherbenbelege bzw. Scherben vom gleichen Gefäss (ohne Aufnahme im Katalog).

auch aus Grube G 19 ein Wandfragment eines ehemals grünglasierten Bechers (Kat. **179**). Im Gegensatz zu jenem ist das vorliegende Stück zusätzlich mit einer Applike in Form einer Maske belegt. Eine beinahe identische Darstellung ist unter den zahlreichen bleiglasierten Gefässen vom Unteren Bühl belegt[1021]. Wie das Gefäss Kat. **30** stammen auch die Gefässe mit Appliken aus einer gallischen Werkstatt[1022]. Die restlichen Funde aus Grube G 19 können zur Datierung des Siedlungshorizonts keine weiteren Hinweise beisteuern.

*Grube G 20 (Pos. 424) (Kat. **181–192**).* Wie Grube G 18 konnte auch Grube G 20 auf der Grabung nicht vollständig ausgenommen werden, da Teile der Einfüllungen vorzeitig eingestürzt sind. So liegt uns auch hier nur ein begrenzter Ausschnitt des ursprünglich hinein gelangten Materials vor. Diese Grube dürfte – wie die Auswertung des Befundes gezeigt hat[1023] – als Brunnenstube oder in Zusammenhang mit einem Handwerk angelegt worden sein. Zu der in der aufgefundenen Keramik lässt sich festhalten, dass es im Vergleich mit der oben besprochenen Grube G 18 deutlich weniger Material gibt. Auch hier ist von einer Einfüllung in einem Zug auszugehen, wie die Liste mit den Passscherben und Scherben vom gleichen Gefäss zeigt (Abb. 246). Die restlichen Funde passen ins Inventar der Funde von SH IV.

*Grube G 21 (Pos. 172) (Kat. **193–201**).* Einzig die Grube G 21, aus welcher drei TS-Schälchen der Form Drag. 33 (Kat. **195**) stammen (als typische Vertreter des 2. Jh.)[1024], hat auch eine Münze geliefert (Kat. **200**). Leider handelt es sich dabei um ein Stück, das im frühen 1. Jh. geprägt wurde, so dass es keinen guten Terminus post quem für die Zeit der Grubeneinfüllung liefert. Zum Gerätegriff aus Bein (Kat. **201**) lässt sich sagen, dass unter den sehr gut aufgearbeiteten Beinartefakten aus Augusta Raurica zwar keine identischen Stücke, aber doch zumindest ähnliche Vertreter bekannt sind[1025]. Über das zum Griff gehörige Eisengerät lassen sich keine Angaben machen.

6.3 Römerweg 5

6.3.1 Grabungssituation und stratigraphischer Aufbau

Der Bau eines Mehrfamilienhauses gab 1988 den Anlass zu einer Rettungsgrabung in der Parzelle Römerweg 5[1026], die direkt nördlich an die Römerstr. 227/229 anschliesst (s. Plan im Buchvorsatz und Abb. 196, 247). Auf einige Sondierschnitte folgte zwischen dem 21. Juni und dem 27. Juli die



Abb. 247. Römerweg 5. Ansicht der Parzelle von Südosten vor Grabungsbeginn.



Abb. 248. Römerweg 5. Ansicht der Parzelle von Südwesten während der Ausgrabung im Sommer 1988.

1011 Siehe oben im Befundteil.
1012 Furger 1993, 87 ff.; Rychener 1984, 54.
1013 Furger/Deschler-Erb 1992, 61 ff.
1014 Zum ersten Auftauchen und den Anteilen von Drag. 35/36 unter der TS siehe: Furger/Deschler-Erb 1992, 50 f.; Rychener 1984, 55.
1015 Rychner 1984, 58.
1016 Furger/Deschler-Erb 1992, 73 ff.
1017 Rychner 1984, 57.
1018 B. Hedinger in Vorb.
1019 Siehe dazu A. Maes in: Furger 1993.
1020 Zum Aufkommen und zur Entwicklung der späten Glanztonbecher siehe Furger/Deschler-Erb 1992, 77 ff.
1021 Hochuli-Gysel 1998, 71 (GK 23).
1022 Ebd.
1023 Siehe oben im Befundteil.
1024 Furger/Deschler-Erb. 1992, 46–50.
1025 S. Deschler-Erb, Römische Beinartefakte aus Augusta Raurica. Rohmaterial, Technologie, Typologie und Chronologie, Forschungen in Augst 27 (Augst 1998), 129, Taf. 5 f.
1026 Bauherrschaft: Richard Battanta, Winterthur.

Ausgrabung der vom Bau tangierten Fläche[1027]. Von den insgesamt 1200 m² der Parzelle wurden in diesem kurzen Zeitraum etwa 520 m² archäologisch untersucht (Abb. 248). Entsprechend musste die Grabungstechnik angepasst werden: Die Abstiche wurden maschinell durchgeführt, die Fläche oder Teile davon nach den einzelnen Baggerabträgen gereinigt und dokumentiert, nur in den wenigsten Fällen erfolgte eine detaillierte Untersuchung der Strukturen. Es ist allerdings ein grosses Verdienst des Grabungsleiters, selbst unter diesen schwierigen Umständen eine so grosse Anzahl an Informationen in der Grabungsdokumentation festgehalten zu haben, dass ein Bild der antiken Besiedlung an dieser Stelle rekonstruiert werden kann.

Die Ausgrabung der Parzelle erfolgte in zwei Grabungsabstichen (Schichtenschema Abb. 201): ein erster Abstich von den obersten Humusschichten 11 bis auf eine ausgedehnte Brandschicht 8, und ein weiterer bis auf den gewachsenen Boden Schicht 1. Nur im westlich-zentralen Teil der Ausgrabung war eine stellenweise detaillierte Dokumentation der Strukturen möglich, während im Rest der Fläche die Befunde nur eingemessen und grob untersucht wurden. Analog zur Römerstr. 227/229 zeigte sich eine markante Abnahme in der Intensität der Siedlungsspuren von Westen nach Osten (für den Verlauf des Geländes s. Abb. 198–199). Im Norden der Parzelle lagen die römischen Schichten max. 30 cm unter dem heutigen Niveau (Abb. 199). Es muss also davon ausgegangen werden, dass die antiken und nachantiken Schichten und Strukturen in den letzten Jahrhunderten der Erosion und vielleicht auch dem Pflug ausgesetzt waren.

Die Parzelle Römerweg 5 liess sich stratigraphisch mit der Römerstr. 227/229 grob korrelieren, wobei der gewachsene Boden Schicht 1 und die darüber folgende Lehmschicht 3 einerseits und die Brandschicht 8 an der Zäsur von SH III zu SH IV als Anhaltspunkte galten (Abb. 201). Die zwei Grabungsabstiche am Römerweg 5 liessen sich folglich den Siedlungshorizonten I–II und III–IV zuweisen (Abb. 197).

Was das Fundmaterial betrifft, liegen die wenigsten Funde aus dieser Ausgrabung in Zusammenhang mit bestimmten Strukturen, so dass das Fundmaterial eher als Ganzes zu betrachten ist und nur in den seltensten Fällen zur Datierung einer bestimmten Struktur oder eines Siedlungshorizonts herangezogen werden kann (s. unten).

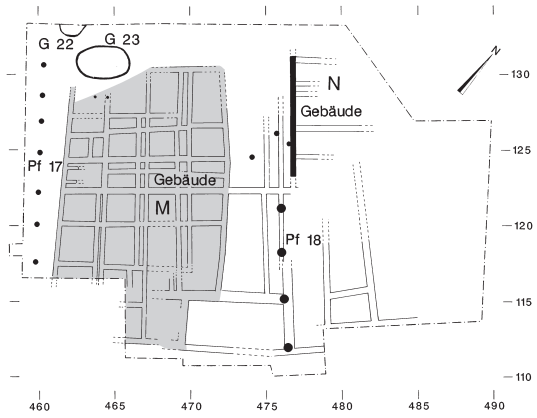


Abb. 249. Römerweg 5. Siedlungshorizonte I–II. Übersichtsplan der Strukturen. M. 1:500.



Abb. 250. Römerweg 5. Teil von Gebäude M. (SH I–II). Ansicht von Nordwesten. Im Hintergrund ist die 1992 abgebrochene Scheune der Römerstr. 227/229 ersichtlich.

6.3.2 Befund

Siedlungshorizonte I und II

Übersicht und Stratigraphie

Die Befunde von SH I und II ergeben kein klares Bild der Besiedlung auf diesem Areal. Da die stratigraphischen Verhältnisse nur grob beobachtet werden konnten, erscheinen mehrere Siedlungstätigkeiten auf einem einzigen Plan. Die markanteste Struktur bildet Gebäude M mit einem kammerartigen Grundriss (Abb. 249).

Alle Strukturen waren in den gewachsenen Boden Schicht 1 eingetieft und mit der lehmigen Schicht 3 verfüllt (Abb. 201). Darüber folgte die sog. Kulturschicht 6, die zum Siedlungshorizont III gehört.

Strukturen

Gebäude M. Auf dem ganzen Areal kamen Balkengräbchen in Form von mehr oder weniger gut erkennbaren Verfärbungen zum Vorschein (Abb. 249–251). Diese bildeten einen



Abb. 251. Römerweg 5. Gräbchenraster von Gebäude M im gewachsenen Boden (SH I–II). Ansicht von Südosten.

geometrischen Raster, der eine Fläche von etwa 11 × 15 m in der westlichen Hälfte der gegrabenen Fläche einnimmt und mit dem allgemeinen Begriff Gebäude M bezeichnet wurde. Weder die nördliche noch die südliche Begrenzung des Gebäudesystems sind klar ersichtlich, während die westliche und die östliche Begrenzung einigermassen gesichert sind. Dazu ist allerdings zu bemerken, dass diese letzten nicht parallel zueinander liegen. Die Gräbchen wiesen verschiedene Breiten auf, ihre Tiefe betrug bis max. 10 cm. Die Sohlen der Gräbchen waren flach bis leicht gerundet und kreuzten sich niveaugleich und rechtwinklig in Abständen von etwa 1,8 m. Die NS-verlaufenden Balkenzüge sind teilweise doppelt geführt.

Die Balkengräbchen waren mit Material aus der umliegenden Schicht 3 verfüllt, allerdings mit einem leicht kiesigen Anteil. In den Verfüllungen sind ebenfalls wenige Keramikscherben und Holzkohlestücke enthalten. Diese letzten könnten einen Hinweis darauf geben, dass das Gebäude M zu einem unbestimmten Zeitpunkt von einem Brand zerstört worden ist. Danach wurden die noch brauchbaren Balken aus den Gräbchen gezogen.

Es muss damit gerechnet werden, dass das Gebäudesystem, wie es auf der Ausgrabung dokumentiert worden ist, wohl mehr als eine Bauphase darstellt. Dabei fällt ein zu den bisher beschriebenen Gebäudetypen vollkommen unterschiedliches Bauschema mit einer Ausrichtung in kammerartige Einheiten auf, das am ehesten als Werk- oder sogar als Markthalle zu deuten ist (s. Besprechung der Gebäudetypen, Kap. 6.5.1).

Gebäude N. Eindeutig von diesem Gebäudesystem abgesetzt und NS-orientiert, liegt der Grundriss von Gebäude N in der östlichen Hälfte der Parzelle Römerweg 5 (Abb. 249). Er überdeckt eine Fläche von mind. 8 × 5 m. Einzig die Lage der Westwand ist gesichert, während der nördliche, südliche und östliche Abschluss auf dem Feld nicht mehr zu erkennen waren. Gebäude N weist, im Gegensatz zu Gebäude M, keinen Balkenraster auf, sondern besteht aus einer Reihe von senkrecht zur Westwand und parallel zur Nordwand gelegten Balken. Diese liegen in Abständen voneinander, die zwischen 1,5 und 2 m variieren.

Der Grundriss gehört dem gleichen Bautyp wie Gebäude A–B und Cb bei der Römerstr. 227/229 an und ist am ehesten als Speicher zu deuten (SH II und III, Kap. 6.2.2, Abb. 205, 218).

Gruben

Diesem Siedlungshorizont werden einzig zwei in ihrer Funktion nicht interpretierbare Gruben zugewiesen (G 21 und G 22, Abb. 249). Beide lagen am nördlichen Rand der Parzelle und wiesen keine besonderen Konstruktionen auf.

Weitere Strukturen

Gräbchen. Auf der Parzelle sind Gräbchen beobachtet worden, die aber keinen Grundriss ergeben (Abb. 249). Mindestens für einen Teil davon könnte eine Interpretation als Kanäle in Frage kommen.

Pfostenreihen Pf 17 und Pf 18. Am westlichen Rand der Parzelle Römerweg 5 kam eine Reihe von in Abständen von etwa 2 m angelegten Pfosten zum Vorschein (Pf 17, Abb. 249). Dort, wo diese detailliert gegraben wurden, ist jeweils ein Durchmesser von 30 cm und die Anwesenheit von Keilsteinen festgestellt worden. Diese Pfostenreihe liesse sich gut als Portikus interpretieren, allerdings weist sie im Bezug auf das vorher beschriebene Gebäude M eine abweichende Ausrichtung auf: die Pfostenreihe liegt um etwa 10° vom westlichen Abschluss des Balkenrasters abgewinkelt. Diese Situation kann einzig damit erklärt werden, dass Pf 17 primär nicht mit dem Gebäude M in Zusammenhang lag und dass sie evtl. zu einem späteren Zeitpunkt angelegt wurde. Diese zweite Hypothese wird dadurch bestärkt, dass die Pfostenreihe in der gleichen Ausrichtung liegt, wie die Westwand von Gebäude G–H Parzelle Römerstr. 227/229 (s. Abb. 273). Sie wäre in diesem Fall, analog zu Gebäude Ga–Ha und als Wand von Pfostenbauten mit Schwellriegeln zu rekonstruieren. Vorausgesetzt diese Arbeitshypothese stimmt, so muss davon ausgegangen werden, dass Gebäude M einer früheren Bauperiode angehört als die Pfostenbauten G–H von Siedlungshorizont II und somit vor den 30er-Jahren des 1. Jh. angelegt wurde.

Zwischen Gebäude M und N liegt eine weitere NS-orientierte Pfostenreihe Pf 18. Alle 3 m wurden massive Pfosten in ein NS-orientiertes Gräbchen eingetieft. Im Ganzen wurden fünf solche Pfostenstellungen dokumentiert. Auch diese Struktur setzt sich in der Parzelle Römerstr. 227/229 fort und ist Bestandteil der Westwand der Gebäude Da–Ea (s. Kap. 6.2.2, Abb. 204–205, Strukturen Gb 5, D.Pf 2–3, E.Pf 1).

Siedlungshorizonte III und IV

Übersicht und Stratigraphie

Die Siedlungstätigkeit während dieser Siedlungshorizonte gestaltet sich als etwas übersichtlicher als bei den vorhergehenden Siedlungshorizonte I und II: mindestens ein Gebäude und mehrere Pfostenreihen und Gruben konnten gefasst werden (Abb. 252). Oberhalb von Schicht 3–4, mit den Spuren der ersten zwei Siedlungshorizonte, diente als stratigraphischer Anhaltspunkt in der Parzelle Römerweg 5 eine ausgedehnte, bis zu 10 cm dicke Brandschicht 8, die grosse Teile der westlichen Hälfte der Grabungsfläche überdeckte (s. Schichtenschema Abb. 201). Darin und darunter lagen die Ruinen des dritten Siedlungshorizonts (sog. Kulturschicht 6). Die Brandschicht stellte zugleich das erste Niveau der Ausgrabung dar, d.h. dass der maschinelle Abtrag der Humusschichten 11 immer bis auf die Oberkante dieser Brandschicht 8 erfolgte.

Oberhalb der Brandspuren wurden beim Baggerabtrag mehrere grosse Bruchsteine erkannt, die z.T. in Reihen lagen aber leider nur flüchtig dokumentiert wurden; sie sind die jüngsten eindeutig römischen Siedlungsspuren an dieser Stelle. Ähnliche grosse Steine charakterisieren Teile der Überbauung der Parzelle Römerstr. 227/229 im Siedlungshorizont IV (s. v. a. Gebäude Gc–Hc, Kap. 6.2.2, Abb. 234).

Zu all diesen Strukturen wurde keine genaue Benutzungsschicht festgestellt, sondern ein mit Schicht 10 benanntes Schichtpaket, das möglicherweise auch die Überreste der Belegungszeit enthält (Abb. 201). Eine klare Zuweisung der Schichten und des Fundmaterials zu den Gebäuden aus der Brandschicht (also SH III) und zu denen, die möglicherweise auf den grossen Unterlagssteinen errichtet wurden (also SH IV), ist nicht möglich. Deshalb werden die Befunde aus

---

[1027] Techn. Leitung: P. Albertin; Ausgrabungsequipe: B. Albertin, M. Fischer, A. Häberli, M. Scheim und Hilfspersonal aus einer Vermittlungsstelle.

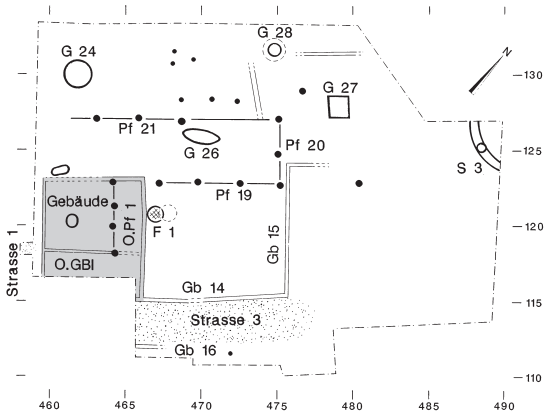


Abb. 252. Römerweg 5. Siedlungshorizonte III–IV. Übersichtsplan der Strukturen. M. 1:500.

diesem stratigraphischen Abschnitt der Ausgrabung am Römerweg 5 undifferenziert mit den Befunden aus den Siedlungshorizonten III und IV der Römerstr. 227/229 korreliert.

Strukturen

Gebäude O. Gebäude O befindet sich in der südwestlichen Ecke der Parzelle (Abb. 252) und weist eine durchschnittliche Breite von ca. 6,5 m und eine Länge von max. 8 m auf. Der nördliche Abschluss ist gesichert, während der südliche jenseits der Grabungsgrenze liegt. Der Grundriss ist von Balkengräbchen mit z.T. verkohlten Balkenresten in situ angegeben. Innerhalb des Gebäudes wurden keine Strukturen beobachtet, ausser der NS-ausgerichteten Reihe von vier Pfostenstellungen O.Pf 1. Die Pfosten liegen in einer Entfernung von etwa 1,5 m voneinander. Zusammen mit einem WE-orientierten Balkengraben O.Gb 1 bildet O.Pf 1 am nördlichen Ende des Gebäudes einen möglichen quadratischen Raum von 4,5 m Seitenlänge. Eine ähnliche Raumunterteilung mit Pfostenreihe, aber von viel kleineren Massen, war in der NW-Ecke von Gebäude Hc an der Römerstr. 227/229 zu beobachten (Kap. 6.2.2, Abb. 234).

An der Ostwand von Gebäude O, aber allem Anschein nach im Freien gelegen (?!), liegt die Feuerstelle O.F 1. Sie besteht aus einem Geröllbett, worüber eine flache Lehmlinse gestrichen wurde. Zu einem unbestimmten Zeitpunkt wurde eine neue Feuerstelle angelegt, die um etwa 30 cm die Feuerstelle O.F 1 überlagerte und besonders schlecht erhalten war.

Pfostenreihen Pf 19–21. Im Bereich nördlich von Gebäude O wurden mindestens zehn markante Pfostenstellungen freigelegt, die sich in regelmässigen Abständen von 2,5–2,7 m befanden. Wenn die Pfostenstellungen verbunden werden, ergibt sich eine Art WE-orientierte Halle mit mind. 12 m Länge und 4 m Breite. Dabei könnte es sich um einen Unterstand fürs Vieh oder für eine Werkstatt handeln. Ein konkreter baulicher Zusammenhang zu Gebäude O ist allerdings nicht ersichtlich. Umso mehr muss damit gerechnet werden, dass diese Pfostenreihen u.U. auch jünger als das Gebäude sein könnten. Zusammen mit der Ostwand von Gebäude O und den Gräbchen Gb 1 und Gb 2 bildete die Pfostenreihe Pf 19 ebenfalls einen auf allen Seiten geschlossenen Bereich von 9,8 m Länge und 7,5 m Breite. Die Feuerstelle O.F 1 befindet sich innerhalb dieser Fläche. Über das genaue Aussehen eines solchen Raums kann keine Aussage gemacht werden: unsicher ist insbesondere die Interpretation der Balkengräbchen Gb 14 und Gb 15, und zwar, ob sie als Reste von Wänden oder einfach einer Umzäunung zu rekonstruieren sind. Die Funktion eines solchen Bereichs kann ebenfalls nicht weiter präzisiert werden. Denkbar wäre eine Remise oder Werkhalle, sowie vielleicht eine geschlossene Gartenanlage.

Strasse. Am südlichen Rand der Ausgrabung kam die Geröllpflästerung der Strasse 3 zum Vorschein (Abb. 252–253, 259). Die Kiesel waren nicht gesetzt, bildeten aber eine harte Oberfläche. Zwischen den Steinen lag grauer Sand, Lehm und Eisenoxyd. Dieses Material war ebenfalls in der direkt darunter liegenden Schicht zu beobachten (Schicht 4). Strasse 3 war durchschnittlich 2,7 m breit und wurde auf einer Länge von ca. 15 m freigelegt. Auf einer Länge von fast 10 m war die Strasse im Norden vom mit Brandschutt gefüllten Balkengräbchen Gb 14, bzw. im Süden von z.T. erhaltenen verkohlten Balken auf plattigen Steinen Gb 16 umsäumt. Bei beiden Strukturen sind Pfostenlöcher in unterschiedlichen Abständen beobachtet worden (Abb. 253, Standort der Jalons). Der Zusammenhang zwischen den Balken bzw. Gräbchen und Pfosten konnte aber aus Zeitgründen nicht detailliert untersucht werden. Das vorhin besprochene Gräbchen Gb 14 war Teil einer Umfriedung, die nicht näher charakterisiert werden kann. Bei der Struktur Gb 16 muss aber eine Interpretation als Standort einer Hauswand oder einer Portikus berücksichtigt werden: Es muss sich dabei um den nördlichen Abschluss von Gebäuden handeln, die im nördlichen Bereich der Parzelle Römerstr. 227/229 nur schlecht gefasst werden konnten (s. Zusammenfassung der Strukturen, Abb. 273). Da sich die Strasse im Anschluss an eine Gebäudewand befindet, wäre auch eine Interpretation dieser Struktur als Portikus in Erwägung zu ziehen. Insbesondere die Breite (2,7 m) scheint mit der Anlage der Portiken des Unteren Bühls absolut vergleichbar zu sein[1028].

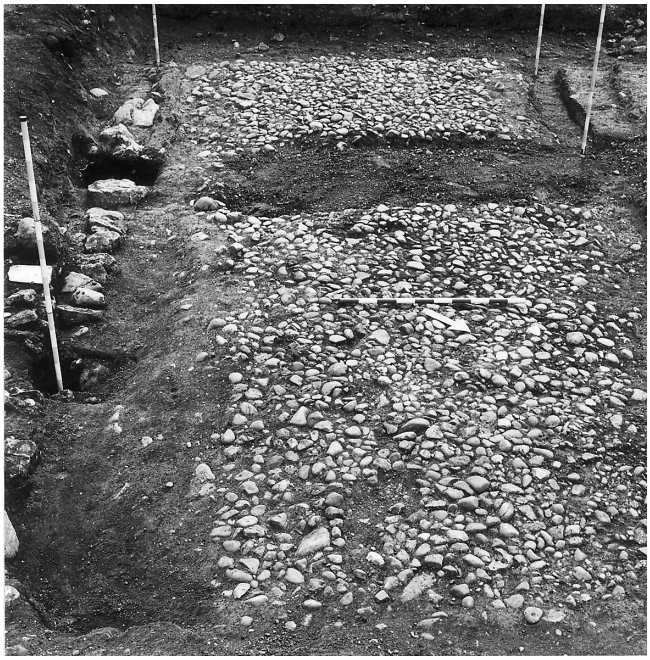


Abb. 253. Römerweg 5. Strasse 3 (SH III–IV), von Gebäudefundamenten umsäumt. Die Jalons geben den Standort von Pfostenstellungen an. Die dunkle Verfärbung entstammt einem Sondierungsschnitt. Ansicht von Osten.

Gegen diese Interpretation spricht allerdings die Tatsache, dass, im Gegensatz zum Unteren Bühl, direkt nördlich von Strasse 3 eben keine Strasse oder kein Platz anschliessen, sondern Gebäude O oder eine unbebaute Fläche (Abb. 252).

Gruben und Sodbrunnen. Aus diesem Siedlungshorizont sind insgesamt vier Gruben und ein Sodbrunnen bekannt; die meisten davon waren mit dem Abraum der Brandschicht verfüllt. Wie beim vorherigen Siedlungshorizont befanden sich die Vertiefungen in der nördlichen Hälfte der ausgegrabenen Fläche, während die südliche Hälfte eher mit Gebäuden belegt war (Abb. 252). Bei der Struktur G 27 handelt es sich um eine Kadavergrube mit dem Skelett eines Rindes (Abb. 254). Im Gegensatz zu den Kadavergruben aus der Ausgrabung Römerstr. 227/229, die in die Neuzeit datieren, ist G 27 sicher während des dritten Siedlungshorizonts angelegt worden, also noch vor dem Ende des 1. Jh. n. Chr. Diese Beobachtung ist insofern wichtig, als sie ein Indiz für die Nutzung dieses Areals darstellt: eine Kadavergrube deutet klar darauf hin, dass eine solche Zone nicht bewohnt, sondern höchstens landwirtschaftlich genutzt wird (s. dazu auch die Ausführungen im Schlusskapitel, Kap. 6.6.2).

Sicher als Sodbrunnen zu deuten ist Grube G 28, aus der übrigens eines der wenigen geschlossenen Fundensembles aus dieser Ausgrabung stammt (unter SH V beschrieben, Kap. 6.4.3). Die aufwendige Konstruktion mit einem Kranz aus sauber geschichteten Steinen findet in der Parzelle Römerstr. 227/229 keine Entsprechung (Abb. 249, 255). Ein ähnliches Beispiel stammt aus der Ausgrabung an der Römerstr. 221 (Abb. 188). Diese Struktur wurde allerdings viel früher, noch vor dem Ende des 1. Jh. n. Chr. zugeschüttet.



Abb. 254. Römerweg 5. Grube G 29 mit zerlegtem Skelett eines Rinds (SH III–IV).

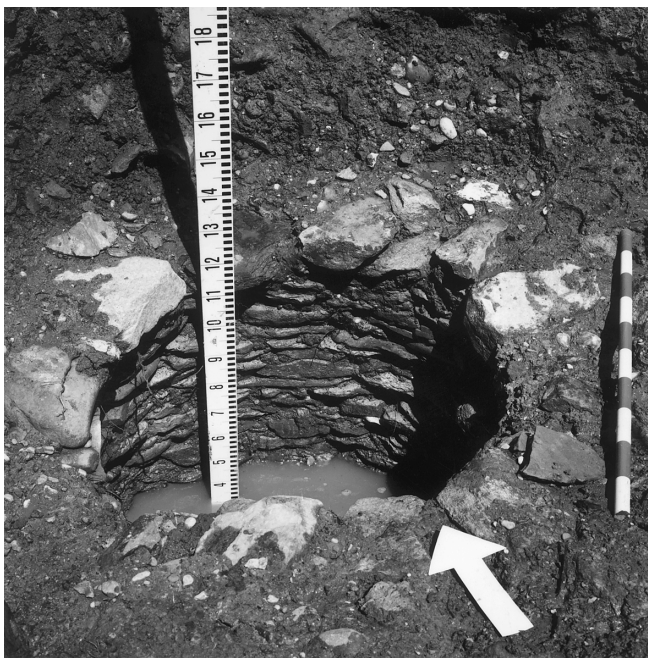


Abb. 255. Römerweg 5. Sodbrunnen G 28 (SH III–IV) mit oberen Kranzsteinen.

Weitere Strukturen

Steinsetzung S 3. Am östlichen Rand der Ausgrabung lag das bogenförmige Steinfundament einer Trockenmauer S 3 (Abb. 252). Da es aber von jeder anderen Struktur losgelöst liegt, kann über seine Funktion nichts Näheres gesagt werden. Eventuell handelt es sich dabei um eine Grenzmarkierung oder um eine Umfriedung. Chronologisch gehört diese Struktur zu den jüngsten römischen Strukturen oder ist sogar nachrömisch.

Schlackenhalde Schicht 9. In der SE–Ecke der Ausgrabung kam eine planierte Schlackenhalde zum Vorschein. Sie wird als dunkelbrauner, rostroter Lehm mit grossem Kiesanteil beschrieben. Schicht 9 war sehr porös und enthielt grosse Mengen an Schmiede- und Ofenwandschlacken, Holzkohle und Asche.

6.3.3 Funde und Datierung

Da der Abtrag der Schichtpakete meist mit dem Bagger erfolgte, sind die wenigsten Fundkomplexe aus dieser Ausgrabung als geschlossen zu betrachten. Werden einzig die Fundkomplexe aus Handabträgen von Schichten berücksichtigt, so zeichnet sich eine deutliche Entwicklung in der statistischen Verteilung der markantesten Terra-Sigillata-Formen am Übergang vom dritten zum vierten Siedlungshorizont ab (Abb. 256). Charakteristisch ist in der Brandschicht die deutliche Abnahme der Schüsseln Drag. 29 gegenüber der Form Drag. 37: während die Schüsseln Drag. 29 zu den Schüsseln Drag. 37 in einem Verhältnis von etwa 1:3 (nach Gewicht) stehen, beträgt ihr Verhältnis in Siedlungshorizont IV, oberhalb der Brandschicht, 1:26. Zu verzeichnen ist ebenfalls eine tendenzielle Abnahme der Tassen Drag. 27, die in der Brandschicht etwa 9% am Gesamtgewicht der TS ausmachen und oberhalb der Brandschicht nur etwa 5% am Gesamtgewicht dieses Horizonts darstellen. Bei den anderen TS–Formen ist die Anzahl der Fragmente zu gering, um statistisch relevant zu sein. Was die Siedlungshorizonte I und

[1028] Mündliche Mitteilung von Th. Pauli; vgl. Vitudurum 6, in Vorb.

Bestimmbare TS-Formen	SH III Schicht 9, unter der Brandschicht (Anzahl/Gewicht)	SH III Brandschicht 9 (Anzahl/Gewicht)	SH IV Schicht 12, über der Brandschicht, nach Humusabtrag (Anzahl/Gewicht)	SH V Grube G 28 (Anzahl/Gewicht)
Drag. 15/17	3/5g	6/38g	4/14g	-
Drag. 18/31	1/2g	12/55g	2/7g	-
Drag. 31	-	-	-	9/389g
Drag. 35/36	-	9/50g	8/38g	-
Drag. 33	-	2/15g	1/25g	4/155g
Drag. 23	-	2/44g	1/4g	-
Drag. 42	-	2/7g	-	-
Drag. 43	-	-	1/39g	-
Drag. 46	-	1/10g	-	-
Drag. 27	1/2g	8/103g	9/31g	-
Drag. 24/25	-	-	1/4g	-
Hofheim 8	-	-	1/3g	-
Hofheim 9	-	-	4/17g	-
Hofheim 12	-	2/19g	-	-
Drag. 30	-	5/34g	-	-
Drag. 29	1/1g	17/183g	5/21g	2/14g
Drag. 37	1/21g	37/532g	35/500g	50/2356g
Curle 11	-	-	-	5/22g
Drag. 38	-	-	-	4/116g
Ludovici Typen	-	-	-	3/9g
Total	**7/31g**	**104/1090g**	**72/683g**	**77/3011g**

Abb. 256. Römerweg 5. Bestimmbare TS-Formen in Anzahl der Fragmente und Gewicht, nach Siedlungshorizont. Ausschliesslich Funde aus Handabträgen.

II betrifft, ist die statistische Basis für eine relativchronologische Beurteilung ebenfalls viel zu gering. Auf Grund dieser wenigen Beobachtungen und in Anlehnung an die Resultate der Auswertung der Funde für die Römerstr. 227/229 könnte die Brandschicht in das letzte Viertel des 1. Jh. n. Chr. bis Anfang 2. Jh. gehören. Das gleiche Verhältnis wurde in Oberwinterthur, Fundstelle Kirchhügel, festgestellt und ist für die Periode C charakteristisch, die etwa in den Jahren 70/80–120 n. Chr. datiert[1029]. Siedlungshorizont IV stellt hingegen eine nicht näher einzugrenzende Siedlungsperiode ab dem 2. Jh. dar. Für diese vorsichtige chronologische Stellung der Siedlungshorizonte spricht die Gattung der Lavezgefässe, die einzig in Fundkomplexen aus Siedlungshorizont III und IV stammen[1030]. Der Abschluss der römischen Ansiedlung auf dieser Parzelle liegt anhand der Funde im späten 2. Jh. n. Chr., wie dem Ensemble aus der Einfüllung des Sodbrunnens G 28 entnommen werden kann (s. unten, Kap. 6.4.3).

Zwei Gruppen von Funden aus dieser Ausgrabung sind von besonderem Interesse. Bei der ersten Gruppe handelt es sich um ein Ensemble von italischen TS: Insgesamt wurden während dieser Ausgrabung 127 Fragmente (1416 g) von Platten oder Tellern mit starker Brandeinwirkung gesammelt[1031]. Wenn man von den Streufunden absieht, stammen immerhin noch 119 Fragmente, 1330 g, aus drei Fundkomplexen aus dem zentralen Teil der Ausgrabung. Sie weisen untereinander Passscherben auf[1032]. Diese Fundgruppe ist insofern interessant, als sonst im Vicus auf einer so beschränkten Fläche keine derart grossen Mengen italischer TS bekannt sind[1033]. In diesem besonderen Fall ist es unklar, wie eine Keramikgattung, die v.a. in der ersten Siedlungsperiode des Vicus vorkommt, also in den ersten Jahrzehnten des 1. Jh. n. Chr., als noch so gut wie keine TS aus Südgallien importiert wurde, plötzlich in Siedlungsschichten des ausgehenden 1. Jh. vorgefunden werden kann. Innerhalb der Ausgrabung konnten die Fundkomplexe mit italischer TS keiner besonderen Struktur zugewiesen werden, sondern scheinen tatsächlich in der Schicht 9 und oberhalb davon verstreut gelegen zu haben. Vielleicht handelt es sich bei diesen zahlreichen Fragmenten um die Reste eines Geschirrsets, das wohl bis in die 70er-Jahre des 1. Jh. (also bis und mit Siedlungshorizont III) aufbewahrt wurde oder sogar in Gebrauch war und durch einen Brand in den letzten Jahrzehnten des 1. Jh. zerstört worden ist. Zu vermerken ist, dass aus dem gleichen Komplex auch verbrannte Fragmente einer Aedicula mit Dreifingergiebel stammt, eines Typs, der ebenfalls nur im 1. Jh. n. Chr. vorkommt (Abb. 257)[1034]. Zum formalen Repertoire dieses Ensembles kann gesagt werden, dass die bestimmbaren Stücke ausnahmslos dem Service II angehören und somit bis in die ersten Jahrzehnte n. Chr. datieren.



Abb. 257. Römerweg 5. Fragmente einer Aedicula (FK 40).

Die zweite, besonders interessante Fundgruppe stammt aus der Einfüllung des Sodbrunnens G 28 und ist für den ganzen Vicus von besonderer Bedeutung, da sie eines der wenigen geschlossenen Fundensembles des späten 2. Jh. n. Chr. aus der Siedlung darstellt (s. unten, Kap. 6.4.3).

6.4 Römerstrasse 227/229 und Römerweg 5 nach der Mitte des 2. Jh.

6.4.1 Stratigraphie

Über den Befunden von SH IV folgen auf dem Grabungsareal der Römerstr. 227/229 entweder die modernen Strukturen (Fundamente und Böden der abgebrochenen Scheu-

nen oder Gartenhumus) oder die humose Schuttschicht 10. Ein durchaus analoger Befund kam am Römerweg 5 zum Vorschein, wo Schicht 11 aber fast vollständig mit dem Bagger abgetragen wurde (Abb. 201). Sie ist in ihrer Zusammensetzung sehr heterogen und ihre Genese bleibt unklar. Die zahlreichen Steine aus dem tieferen Bereich dieser Schicht könnten u.U. aus der Zerstörung von Steinmauern stammen; es ist allerdings zu vermerken, dass in der Fläche keine behauenen Steine und nur geringe Mörtelreste zu beobachten waren: bei den Steinen handelt es sich viel mehr um verrundetes Geröll, wie es gewöhnlich in Mauerfundamenten Verwendung fand. Schichten 10–11 sind anhand der Funde die letzten rein römischen Schichten in dieser Zone des Vicus und enthalten Münzen und typologisch charakteristische Funde der Zeitspanne zwischen dem 2. und dem 4. Jh. n. Chr. (M **44–55**, Beitrag B. Hedinger in diesem Band, Teil IV, Kap. 2).

6.4.2 Befunde

Siedlungshorizont V

Graben Gb 17 durchquert beide Grabungsareale von NW nach SE (Abb. 258). Die maximale Breite beträgt etwa 2 m im Norden, während dadurch, dass die römischen Schichten in nachrömischer Zeit abgetragen und aberodiert sind, die Breite des Grabens in Richtung SE stark abnimmt; deshalb zeichnete sich im südlichen Bereich der Römerstr. 227/229 der Graben bloss als Rinne im gewachsenen Boden ab. Sein Abschluss gegen Süden ist von einer neuzeitlichen Grube (vielleicht Standort eines Baums) gestört. Während er auf dem Gelände der Parzelle Römerweg 5 im Schnitt meist eine spitzwinklige Form aufweist (Abb. 259), wird seine Sohle in Richtung SE immer abgerundeter (Abb. 260). Die Verfüllung des Grabens besteht aus rein tonig-lehmigen Schichten im

[1029] Rychener 1984, 52 Tab. 20.
[1030] FK 23.91, Siedlungshorizont III; FK 48.50.55, Siedlungshorizont IV.
[1031] Nicht katalogisiert.
[1032] FK 52, Feld 15, Siedlungshorizont IV; FK 79, Felder 13–14, Baggerabtrag, wahrscheinl. Siedlungshorizont III; FK 82, Felder 25–26, Siedlungshorizont III.
[1033] Kirchhügel, Periode A/10 Fragm. (Rychener 1984, 52, Tab. 20); Römerstr. 186, Phase A/31 Fragm., Phase B/4 Fragm., Phase C1/9 Fragm. (Rychener/Albertin 1986, 104 Tab. 16.3); Römerstr. 197, Bauphasen Z–Y/4 Fragm. (Rychener 1988, 161 Tab. 612).
[1034] Die Bestimmung des Fragments verdanke ich L. Raselli–Nydegger, Bern. Analoge Fragmente sind aus Oberwinterthur, Unteres Bühl, bekannt: vgl. L. Raselli–Nydegger 1998, Kat. C117–C120.

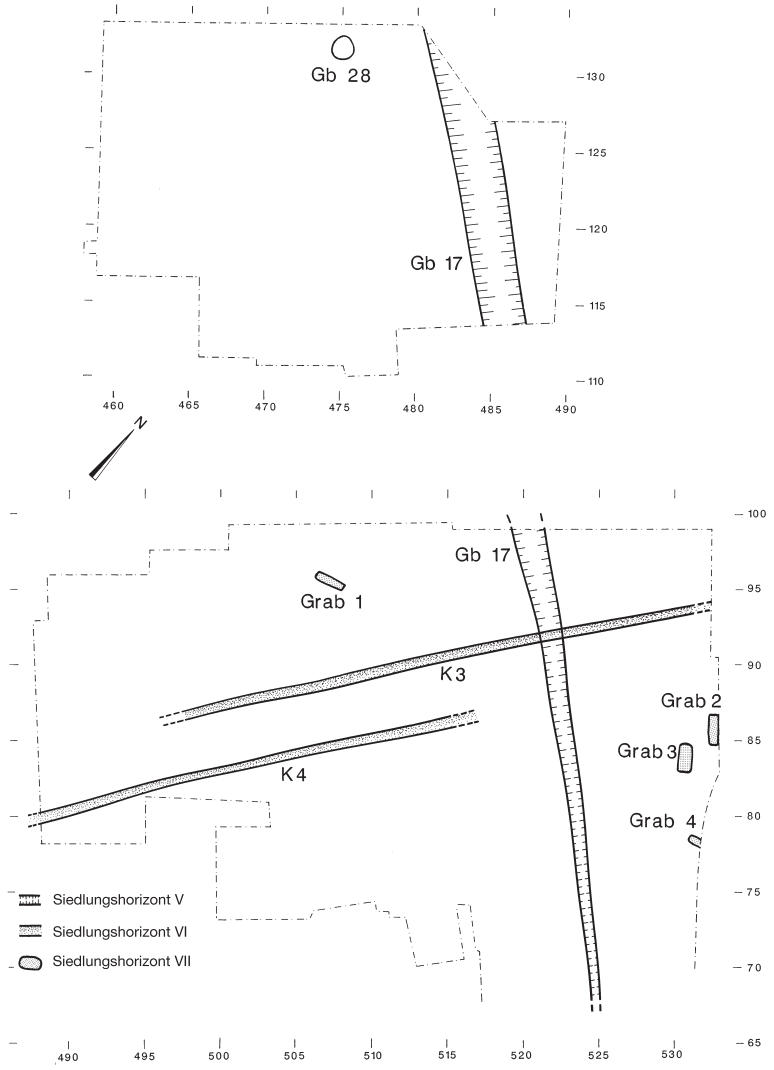


Abb. 258. Römerstr. 227/229 und Römerweg 5. Siedlungshorizonte V–VII. Übersichtsplan der Strukturen. M. 1:500.

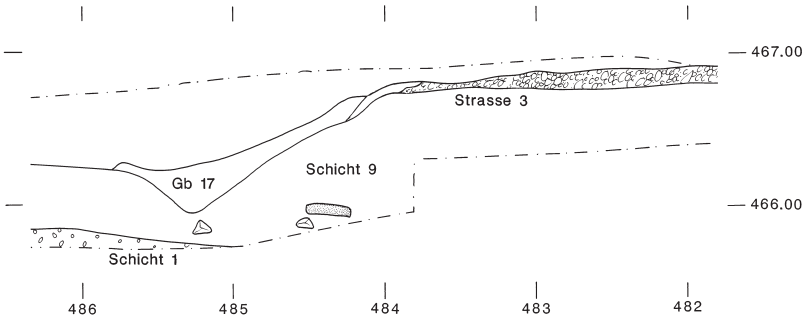


Abb. 259. Römerweg 5. Profil durch den Graben Gb 17 (SH V) auf Achse 118.80 m. Ansicht von Norden. M. 1:50.

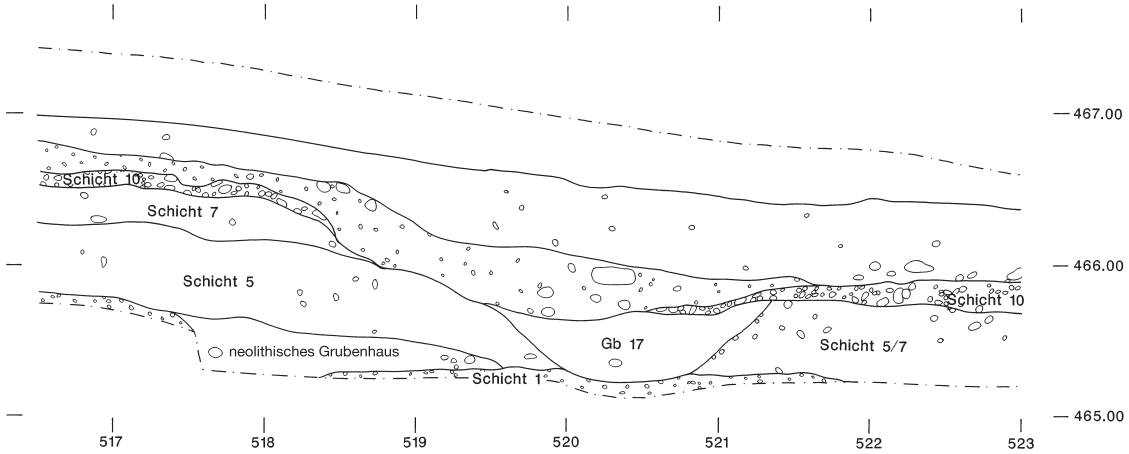


Abb. 260. Römerstr. 227/229. Profil durch den Graben Gb 17 (SH V) auf Achse 99.20 m. Ansicht von Süden. M. 1:50.

unteren Bereich und aus sandig-kiesigen Schichten im oberen Bereich. Beide Verfüllungsarten enthalten kleinstfragmentierte römische Keramik. Dem Charakter der Verfüllung nach scheint der Graben über längere Zeit offen gelegen zu haben, wobei das Meteorwasser im Lauf der Zeit zur Einsedimentierung der feinen Partikel der tonig-lehmigen Schichten geführt hat. Erst zu einem späteren Zeitpunkt wurde der Graben mit kiesigem bis humosem Schuttmaterial aufgefüllt. Die stratigraphische Zuweisung bietet einige Schwierigkeiten, da der Graben Gb 17 an der Zäsur zwischen den römischen und den neuzeitlichen Siedlungsspuren liegt. Fest steht, dass Gb 17 die Strukturen von SH III schneidet (Gebäude Cb, Strasse 2, Abb. 218), also jünger als diese ist. Unklar ist aber der Bezug vom Graben zur Schuttschicht 10: In der nordöstlichen Ecke der Ausgrabung an der Römerstr. 227/229 scheint diese letzte den Graben zu überlagern (Abb. 260); anderseits aber waren in der Fläche nach dem Baggerabtrag die Konturen des Grabens in der steinigen Schicht 10 gut sichtbar, so dass die Reihenfolge von Graben und Schicht 10 schliesslich nicht zu bestimmen ist.

Was die Funktion des Grabens anbelangt, wäre eine Entwässerungsmassnahme mit einem leichten Gefälle von Norden nach Süden denkbar. Wegen der Lage im Bereich der östlichen Ausläufer der antiken Siedlung könnte es sich dabei aber auch um eine Art Grenzmarkierung handeln, die zugleich z.B. die Funktion gehabt haben könnte, das Vieh innerhalb der Siedlung zurückzuhalten. Auf Grund seiner spitzwinkligen Form ist der Graben am Römerweg 5 auch als «Spitzgraben» angesprochen worden. Da aber die Sohle der Struktur gegen Süden hin verrundet ist und sonst keine konkreten Hinweise auf eine bedeutende militärische Präsenz in Oberwinterthur im Zeitraum nach der Mitte des 2. Jh. vorliegen, ist eine Interpretation von Gb 17 im Bereich ziviler Einrichtungen vorzuziehen.

Über die Art der Benutzung dieses Areals nach der Mitte des 2. Jh. gibt der archäologische Befund wenig Auskunft, da ausser dem Graben keine eindeutigen Strukturen zum Vorschein gekommen sind. In diesen chronologischen Zusammenhang datieren allerdings die Funde aus der Verfüllung des Sodbrunnens G 28 (Kap. 6.3.2, Abb. 255 und Besprechung der Funde s. unten). Dass ein derart aufwendig gebauter Sodbrunnen in diesem Zeitraum aufgegeben und verfüllt wurde, könnte ein Indiz für das Ende der Siedlungstätigkeit an dieser Stelle sein[1035].

Siedlungshorizont VI

Kanäle K 3 und K 4. Die eindeutig als Kanäle anzusprechenden Strukturen K 3 und K 4 überqueren in parallelem Lauf das Grabungsareal an der Römerstr. 227/229, mit Gefälle von WSW nach ENE (Abb. 258, 261–262). Sie liegen in einem konstanten Abstand von ca. 4 m voneinander entfernt. Der Verlauf der Kanäle ist allerdings nicht geradlinig, sondern weist im Detail auch Kurven auf. Beide Kanäle sind gleich aufgebaut (Abb. 263): in einem in den Boden eingetieften Graben liegen den Wänden entlang plattige, z.T. recht grosse Wangensteine. Darüber kommen über die ganze Länge des Kanals Deckplatten (häufig Sandstein und Tuff) zu liegen. In einzelnen Fällen erfüllen Ziegelfragmente die Funktion von Deckplatten. Eine unregelmässige Geröllpackung aus heterogenen grossen Steinen überdeckt der ganzen Länge nach die Kanäle. Die Verfüllung der Rinne besteht aus humosem,

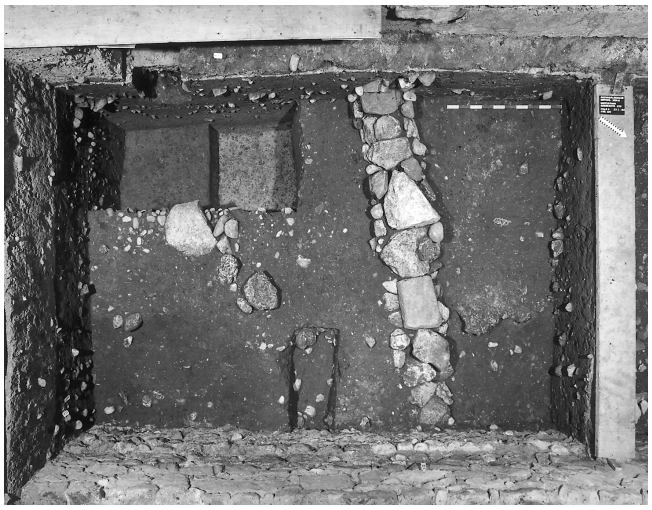


Abb. 261. Römerstr. 227/229. Kanal K 4 mit Abdeckplatten (SH VI).



Abb. 262. Römerstr. 227/229. Kanal K 3 ohne Abdeckplatten (SH VI).

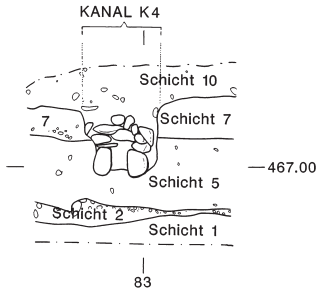


Abb. 263. Römerstr. 227/229. Schematisches Profil durch Kanal K 4 auf Achse 494.50 m. M. 1:50.

teilweise recht tonigem Material, das aus der Zeit seiner Benutzung stammen kann oder später eingesickert ist. In der Verfüllung sind an einigen Stellen auch Konzentrationen von kleinen Muscheln zu beobachten gewesen[1036]. Was die Zuweisung zu diesem Siedlungshorizont anbelangt, liegen K 3 und K 4 in der obersten, rein römischen Schicht 10 und über dem Graben Gb 17. Zwischen den obersten Steinen des Schutzkoffers sind neuzeitliche Funde zum Vorschein gekommen, was nicht besonders erstaunt, da die darüber liegende Schicht neuzeitlich bis modern durchmischt ist. Mit einiger Unsicherheit können die Kanäle, nicht zuletzt wegen ihrer Konstruktionsart, die auch an anderen Stellen des Vicus bezeugt ist[1037], als römisch betrachtet werden. Bei diesen Strukturen handelt es sich sehr wahrscheinlich um Drainage- oder Abwasserkanäle aus einem westlich davon gelegenen Bereich der Siedlung, wahrscheinlich aus Häusern, die an der antiken Hauptstrasse lagen. Die Vermutung, wonach zwischen den Wangensteinen Teucheln gelegen haben, muss verworfen werden, da K 3 wie auch K 4 markante Kurven aufweisen (s. insbesondere zentraler Teil der Grabungsfläche an der Römerstr. 227/229, wegen des kleinen Massstabes auf Abb. 258 nicht ersichtlich).

Siedlungshorizont VII

Gräber

Im östlichen Bereich der Parzelle Römerstr. 227/229 entdeckte man vier Körpergräber, die bereits veröffentlicht wurden[1038] (Abb. 258). Eines davon (Grab 1, Abb. 264) konnte dank der Beigaben (ein Kamm aus Geweih des Typs Thomas III, Variante 1 und eine Nadelbüchse aus einem Röhrenknochen) ins späte 4./frühe 5. Jh. datiert werden, während die anderen drei Gräber beigabenlos waren. Auf dem Feld lag Grab 1 26 m von den anderen Gräbern entfernt; dazwischen befanden sich sicher keine weiteren Gräber, es sei denn sie sind neuzeitlich entfernt worden; Grab 2 scheint ausgeraubt worden zu sein; nur Grab 1 und 4 sind WE-orientiert. Hinweise auf weitere Gräber in der südöstlichen Zone der Parzelle Römerstr. 227/229 sind durch die Streufunde gegeben: aus dem Baggerabtrag des Gartenhumus stammen nicht nur ein halbes Duzend Menschenknochen, sondern auch eine fast intakte Zwiebelknopffibel FB **27**, die ebenfalls in spätrömischer Zeit mit grosser Wahrscheinlichkeit als Grabbeigabe in den Boden gelangt ist.

Bei der Betrachtung des Gesamtplans dieses Siedlungshorizonts stellt sich die Frage, ob der Graben Gb 17 auch in Zusammenhang mit den Gräbern eine Funktion erfüllte (Abb. 258). Der Graben wurde sicher zu einem früheren Zeitpunkt als die Gräber angelegt, war aber vielleicht zur Zeit der Bestattungen noch sichtbar und wurde weiterhin als Grenze verstanden. Unter diesem Umstand könnte die Anlage der Gräber westlich bzw. östlich des Grabens mit Absicht vorgenommen worden sein, immer vorausgesetzt, dass, wie von Windler postuliert, die vier Gräber tatsächlich in den gleichen zeitlichen Rahmen gehören[1039]; der Graben würde zwei verschiedene Friedhofsbereiche trennen: Grab 1 mit Beigaben und der «traditionellen» WE-Orientierung würde näher bei der Siedlung liegen, während die beigabenlosen und nicht orientierten Gräber sich jenseits der Markierung befin-

[1035] Der Sodbrunnen war zur Zeit der Verfüllung mit Schuttschichten keineswegs versiegt, denn der Untergrund von Oberwinterthur war durch alle Zeiten hindurch besonders wasserreich und selbst beim Aufdecken stieg das Wasser im Brunnen auf (s. dazu Abb. 255).

[1036] Nicht näher bestimmt.

[1037] Zwei solche Strukturen kamen an der Römerstr. 177a, arch. Untersuch. 1995.11, zum Vorschein (in Vorb.). Ferner s. auch Rottweil, Oswald-Klein-Strasse (in: Arch. Ausgr. Bad.-Württ. 1994, 139–140 Abb. 86).

[1038] Windler 1995.

[1039] Windler 1995.



Abb. 264. Römerstr. 227/229. Grab 1. Schädel mit Kamm aus Geweih und Nadelbüchse aus Knochen (SH VII).

den würden. Gegen eine soziale Deutung dieser Aufteilung spricht aber die Tatsache, dass die oben erwähnte Zwiebelknopffibel eben östlich vom Graben gefunden wurde, also auf der «ärmeren» Seite. Wenn man eine nicht zu grosse Entfernung aus dem Originalstandort des Grabes annimmt, wurden also sowohl westlich wie auch östlich des Grabens Gräber mit Beigaben angelegt. Ein weiterer Hinweis auf Beigaben besteht möglicherweise bei Grab 2, in dem das Skelett im Oberkörperbereich derart zerwühlt lag, dass eine Plünderung des Grabes im fortgeschrittenen Verwesungszustand für möglich gehalten werden kann[1040].

Die Gräber sind hinsichtlich der chronologischen Frage wichtig, da sie den Terminus post quem für das Ende der antiken Siedlungstätigkeit an dieser Stelle – aufgrund der Zwiebelknopffibel FB **27** – spätestens in die Mitte des 4. Jh. legen.

Neuzeitliche Strukturen

Auf beiden Parzellen kamen keine mittelalterlichen Strukturen oder Funde zum Vorschein. Die Quartierstrasse 1 und, charakteristisch für Oberwinterthur, die westliche Parzellengrenze sind zwar bis ins 20. Jh. grosso modo gleich geblieben, doch existieren keine Hinweise auf eine Nutzung der Strasse und des Geländes zwischen dem 5. und dem 18. Jh.

Mehrere Strukturen, die in den obersten Abstichen angetroffen wurden, konnten mit Sicherheit den Vorgängerbauten der heutigen Wohnhäuser und der abgebrochenen Scheune zugewiesen werden (Abb. 265). Dabei handelt es sich um verschiedene Mauergruben, eine Latrine und weitere Eintiefungen. Besonders interessant ist der durch ausgeraubte Fundamentgräben markierte Grundriss eines Gebäudes, der beinahe die gleiche Grösse und innere Aufteilung der bis zum Jahr 1992 bestehenden Doppelstall-Scheune aufwies und der als Vorgängerbau diente (Abb. 265). Mit diesem Grundriss dürfte ein Sodbrunnen in der SE-Ecke der Parzelle Römerstr. 229 zu verbinden sein. Dieser war kreisrund, mit einem Durchmesser von etwa 1,6 m an der Oberkante. Er enthielt zuoberst den Abraum eines neuzeitlichen Haushalts (18.–19. Jh.) mit unzähligen Geschirrfragmenten. Darunter folgten kiesig-sandige Verfüllschichten, die vereinzelte, neuzeitliche Funde enthielten. Die Sohle des Sodbrunnens wurde selbst in einer Tiefe von 6 m nicht erreicht. Allem Anschein nach ist die alte Scheune mit dem Sod-

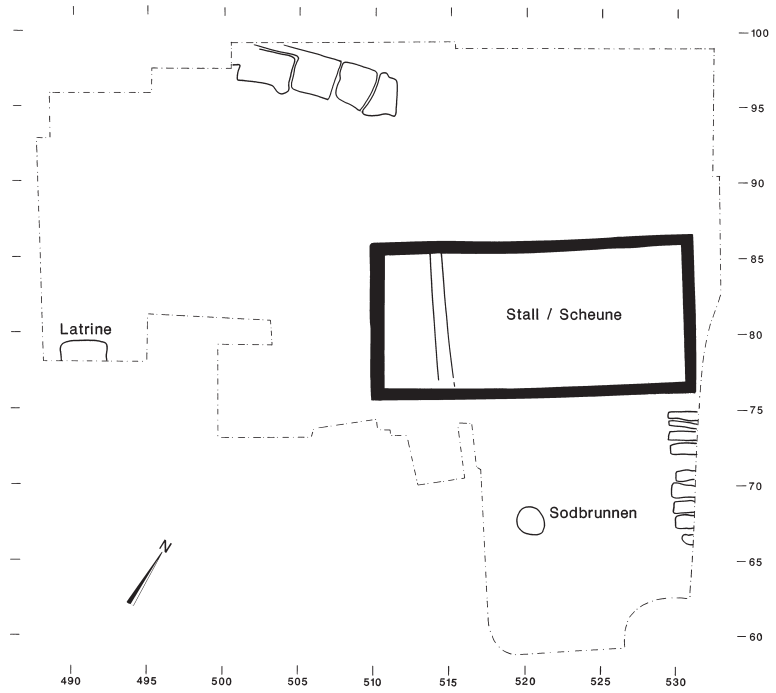


Abb. 265. Römerstr. 227/229. Übersichtsplan der neuzeitlichen Strukturen. M. 1:500.



Abb. 266. Römerstr. 227/229. Nicht gedeutete neuzeitliche Strukturen im nördlichen Teil der Ausgrabung. Ansicht von Nordosten.

brunnen im 19. Jh. ausser Gebrauch gekommen; der Brunnen wurde mit sterilem Material und Abfällen verfüllt. Daraufhin folge im Jahr 1836 der Bau einer neuen Doppelstall-Scheune.

Eine Latrinengrube gehörte zum archivalisch belegten Hinterhaus aus dem 19. Jh. des heutigen Hauses an der Römerstr. 227; neuzeitlich zu datieren sind vermutlich auch zwei Kadavergruben mit dem Skelett in anatomischem Zusammenhang von einem Fohlen bzw. eines jungen Rindes.

Ein echtes Kuriosum besteht aus einer Reihe von mindestens acht langrechteckigen und parallel zueinander gelegenen Gruben am östlichen Rand der Parzelle Römerstr. 227/229 (Abb. 265). Alle Gruben sind etwa 2 m lang, während die Breite zwischen 0,4 und 1,1 m schwanken kann. Sie waren max. 20 cm tief und wiesen eine flache Sohle auf. Zuerst wurde an eine Gräberreihe gedacht. Bei den Funden handelte es sich aber ausschliesslich um neuzeitliche Abfälle, worunter eine beträchtliche Zahl genagelter Männer- und Frauenschuhe (an die 30 Paar!) und eine Flintenpatrone mit dem Aufdruck des Jahres 1904 lagen. Für diese Gruben gibt es keine Interpretation, ausser dass sie vielleicht mit dem Gartenbau oder mit einem Handwerk in Zusammenhang standen und erst zu einem späteren Zeitpunkt mit Abfall aufgefüllt wurden.

Im nördlichen Bereich der Parzelle stiess man auf wannenförmige, mit sterilem gelbem Lehm verfüllte Eintiefungen (Abb. 266). In einer Ecke einer solchen Struktur war ein Fass eingelassen worden. Der Befund kann nicht interpretiert werden; zu vermuten ist allerdings eine Verwendung in Zusammenhang mit Viehhaltung.

6.4.3 Funde und Datierung

Neben den Funden aus Grab 1 aus einem Zeitraum zwischen dem Ende des 4. und dem Beginn des 5. Jh. stammen die einzigen geschlossenen Fundkomplexe für den Zeitraum ab der Mitte des 2. Jh. n. Chr. aus der Verfüllung des Sodbrunnens G 28 (s. oben, Kap. 6.3.2, Abb. 255). Die Einfüllung des zuletzt als Abfallgrube verwendeten Sodbrunnens wies drei verschiedene Schichten auf: zuunterst eine ca. 10 cm dünne Schicht aus Schwemmsand (FK 20, Kat. **206–207**), darüber eine sterile Lehmschicht mit sandig-kiesigem Anteil, gefolgt von einer humosen Verfüllung. Bei dieser Schicht war der obere Bereich möglicherweise vermischt, da die Funde aus dem Baggeraushub stammen (FK 18, Kat. **218–236**), während der untere Bereich von Hand gegraben wurde und die Funde sicher in die Sodbrunneneinfüllung gehören (FK 19, Kat. **208–217**). Die TS-Fragmente aus G 28 sind in der Tabelle Abb. 256 zusammengestellt[1041]. Unter den Schüsseln der Form Drag. 37 muss auf zwei Exemplare mit den intradekorativen Stempel des Reginus aus Heiligenberg (D) (Kat. **221**) bzw. des Cibisus hingewiesen werden (Kat. **224**), während drei weitere Schüsseln dieser Form den Werkstätten des «Meisters F» oder des Verecundus bzw. des Ianus zugewiesen werden können (Kat. **222–223**). Bezeugt sind die ostgallischen Manufakturen von Heiligenberg/Ittenweiler (D) und Mittelbronn (D). Die Schüsseln mit dem Stempel des Reginus und aus der Werkstatt des Verecundus sowie ein weiteres Bodenfragment einer Schüssel wurden mit einem Graffito mit den Initialen MD versehen. Weiter hervorzuheben ist eine Tasse Drag. 33 mit dem Bodenstempel des Ciriuna, der ebenfalls in Heiligenberg tätig war (Kat. **208**). Anhand dieser Angaben scheint die Datierung der Grubenverfüllung am ehesten in der 2. Hälfte des 2. Jh. n. Chr. zu liegen. Ein Bodenfragment einer helvetischen Schüssel Drag. 37 (Kat. **225**) könnte allerdings auf ein leicht jüngeres Datum hinweisen.

Bei der Gebrauchskeramik sind insbesondere die Scherben von mehreren Töpfen mit gewelltem Schulterprofil und vom bauchigen Gefässkörper abgesetzter, zylindrischer Bodenpartie zu erwähnen, die auch sonst in Oberwinterthur erst in den jüngsten Siedlungsphasen vorkommen (nicht abgebildet)[1042]. Mehrere Exemplare der Füllung des Sodbrunnens finden zudem Vergleiche in der Schuttschicht 103, Phase P des Kellers an der Püntenstr. 2[1043]. Das gilt für den Becher Kaenel 2 (Kat. **206**) sowie für mehrere Exemplare der Gebrauchskeramik wie die Rippenschüssel Kat. **230**, die Töpfe mit vertikalem Rand Kat. **213** und **232** und den Topf mit gerilltem Bereich zwischen Hals- und Schulterpartie Kat. **231**[1044].

Die jüngsten römischen Funde aus diesem Areal der Siedlung liegen in der letzten rein römischen Schicht 10 vor, die allerdings neben Funden des 3.–4. Jh. auch «Altfunde» aus den ersten zwei Jh. n. Chr. enthielt.

6.5 Siedlungsspuren im Überblick

6.5.1 Gebäudetypen und Konstruktionstechniken

Grundrisstyp und Konstruktionsart der Gebäude hängen sowohl von funktionalen als auch von chronologischen Faktoren ab. Bei den Gebäuden auf den Parzellen Römerstrasse 227/229 und Römerweg 5 handelt es sich ausschliesslich um Holzbauten, während Stein einzig als Balkenauflager eingesetzt wurde und Hinweise auf massive, gemörtelte Steinbau-

[1040] Ein ähnliches Phänomen war auch in anderen Gräberfeldern zu beobachten (B. Kaufmann, Skelettmanipulationen in einem römischen Gräberfeld mit keltischer Bestattungstradition – Tafers/Windhalta FR. AS 2, 1992, 80–82, mit weiterführender Literatur).

[1041] Bestimmung der Funde durch Ch. Ebnöther.

[1042] Z.B. an der Römerstr. 186, Bauphase D (Rychener/Albertin 1986, Kat. 676).

[1043] Rychener 1988, 67 ff., Kat. 178, 245–246.

[1044] Rychener 1988, Kat. 163, 193, 178, 169.

ten fehlen. Als Hauskonstruktionstypen sind Pfostenbau mit Schwellriegeln oder, in einem einzigen Fall, mit vertikal eingefügten Spältlingen sowie Ständerbauten auf Steinunterlagen belegt (s. auch oben, Kap. 1.2)[1045].

Wohnhäuser

Die für Oberwinterthur und auch sonst allgemein für kleinstädtische Siedlungen charakteristische langrechteckige Form der Gebäude G/H (SH II–IV), wohl F (SH IV) und O (SH III–IV), kombiniert mit der Anwesenheit von Raumunterteilungen und Feuerstellen, erlaubt, diese Grundrisse als Wohnräume zu bezeichnen[1046], wobei keine Abgrenzung zwischen Wohn- und Arbeitsraum gemacht werden kann (Abb. 267).

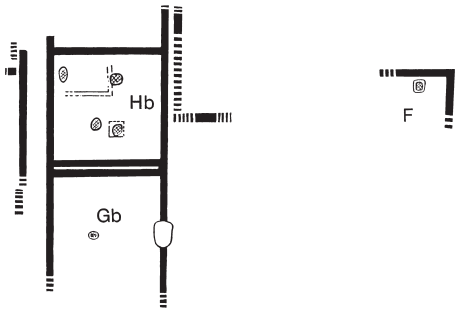


Abb. 267. Gebäudetyp Wohnhaus. M. 1:500.

Was die Konstruktionstechnik anbelangt, sind zwei Typen zu unterscheiden: Gebäude Ga–Ha ist als Pfostenbau mit eingesetzten Schwellriegeln und Bohlenwänden zu rekonstruieren. Auffallend ist bei beiden Umbauphasen von Gebäude H die Tatsache, dass bei der Nord- und Westwand zwischen den Pfosten Spältlinge und Hälblinge in dichter Reihe eingefügt sind (Abb. 209). Die Frage nach ihrer Funktion muss vorerst offen bleiben: waren sie Bestandteil der aufgehenden Wand oder erfüllten sie die Funktion von Unterlagen bzw. einer Verankerung für die Schwellbalken? Bei Gebäude H konnte eine ähnliche Situation auch in SH IV beobachtet werden (Abb. 236): die verkohlten Bauhölzer in situ lassen die Vermutung zu, dass dünne Bretter und Spältlinge eher zur Fixierung der Schwellbalken eingesetzt wurden. Jedenfalls ist ein Zusammenhang zwischen Bautechnik und Funktion der Gebäude anzunehmen: während das Wohnhaus G in der «klassischen» Pfostenbaukonstruktion mit Schwellriegeln errichtet wurde, war Gebäude H, wo ab SH III eine Schmiedewerkstatt untergebracht war, mit einer anderen Wandkonstruktion versehen (s. unten, Kap. 6.6.1).

In SH III und SH IV kamen die Schwellriegel von Gebäude F, Gb, Hb, I und J auf Steinunterlagen zu liegen. Charakteristisch für SH III sind Balkenunterlagen aus nicht all zu grossen, plattigen Steinen (s. zur Illustration Gebäude I, Abb. 225), während bei den Gebäuden von SH IV sowohl recht grosse Gerölle (bei einer Länge von bis zu 80 cm) als auch ausgediente Mühlsteine Verwendung fanden. Diese Beobachtung gilt für die beiden hier vorgelegten Grabungsareale und dürfte mit einer nicht mehr eruierbaren Änderung in der Bautechnik in der Zeit zwischen SH III und SH IV – also am Übergang zum 2. Jh. – erklärt werden. Die massiveren Fundamente von SH IV könnten ausserdem auf eine Zunahme der Gebäudehöhe oder auf eine schwerere Dachkonstruktion hinweisen.

Werkstatt

Ein einziges Gebäude aus der Parzelle Römerstr. 227/229 scheint ausschliesslich als Werkstatt konzipiert gewesen zu sein (Gebäude I, SH III, Kap. 6.2.2, Abb. 268). Diese Interpretation stützt sich insbesondere auf den Befund der sechs eingetieften Fässer, die für ein Laugebad bestimmt waren; das Fehlen einer Feuerstelle einerseits, und die bescheidenen Masse aller Räume anderseits erlauben es, eine primäre Verwendung des Gebäudes als Wohnhaus – zumindest was das Erdgeschoss betrifft – auszuschliessen. Bei Gebäude I handelt es sich um einen Schwellenkranz mit Ständern auf die für SH III charakteristischen eher kleinen Steinunterlagen (zur Funktion der Werkstatt vgl. Kap. 6.6.1)

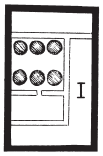


Abb. 268. Gebäudetyp Werkstatt. M. 1:500.

Speicher

Die als Speicher angesprochenen Gebäude von SH II und III weisen einen einheitlichen Grundrisstyp auf: langrechteckig mit parallel zur Breite angelegten Balken (Abb. 269). Bei keiner dieser Anlagen konnte die Gesamtgrösse ermittelt werden. Einzig bei Gebäude Cb (SH III) wurde mit einiger Unsicherheit eine Breite von 4,5 m rekonstruiert (Kap. 6.2.2, Abb. 218). Bei den Gebäuden A und B (SH II) wies die Breite allerdings mehr als 7 m auf (Kap. 6.2.2, Abb. 205), so dass davon ausgegangen werden kann, dass die Speicher je nach Verwendung, Lage und Zeitstellung in verschiedenen Grössen gebaut wurden. Ebenfalls nicht absolut regelmässig ist der Abstand zwischen den parallel zueinander gelegten Balken, der zwischen 1,5 und 2 m schwanken kann und selbst innerhalb der einzelnen Speicher nicht regelmässig ist.

Dieser Grundrisstyp ist auch an anderen Stellen des Vicus bezeugt[1047] und findet die beste Parallele in den Granaria aus

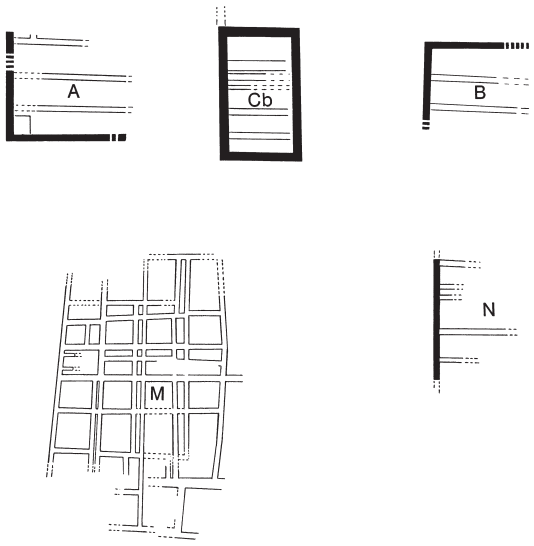


Abb. 269. Gebäudetyp Speicher. M. 1:500.

den Legionslagern Deutschlands, der Niederlande und Englands[1048] des 1. und 2. Jh. Die Funktion solcher Gebäude als Getreidespeicher ist inschriftlich durch einen Gründungsstein aus Kapersburg (D) sowie beim Eingang eines Speichers von Corbridge (GB) gesichert[1049]. Hinzu kommen die Beweise im botanischen Material aus den Sedimenten innerhalb solcher Grundrisse[1050].

Es ist bemerkenswert, dass Parallelen ausserhalb des Vicus nördlich der Alpen lediglich in Lagern, Kastellen oder anderen Siedlungen mit militärischem Charakter wie z. B. auf dem Auerberg (D) belegt sind; diese Tatsache muss aber mit den Erhaltungsbedingungen solcher Holzbauten in Zusammenhang gebracht werden, da analoge Grundrisse, allerdings in Stein errichtet, auch aus zivilen Siedlungen südlich der Alpen bekannt sind[1051]. Wir stellen also fest, dass dieser spezifische Grundrisstyp rein römisch ist und dass er nördlich der Alpen durchs römische Militär Verbreitung fand.

In der Bauart muss auf einen wesentlichen Unterschied zwischen den Oberwinterthurer Speichern und den Granaria aus den Legionslagern und Limeskastellen hingewiesen werden: während die Parallelen ausnahmslos eine grosse Zahl von Pfostenstellungen in regelmässigen Abständen aufweisen, worüber plattformartig der Boden des Speichers gelegt wurde, ist in unserer Fundstelle kein einziges Pfostenloch erhalten. Dank dieser Konstruktionsart auf erhöhter Plattform konnten die Vorräte trocken und kühl aufbewahrt und der Befall von Schädlingen und das Keimen der Körner unter Kontrolle gehalten werden. Es ist fraglich, wie nun das Aufgehende der Oberwinterthurer Gebäude zu rekonstruieren ist: möglicherweise wurde auf die erhöhte Bodenkonstruktion verzichtet und auf die parallel zueinander gelegten Balken direkt ein Bretterboden gelegt.

In der gleichen Konstruktionstechnik wurde auch das Gebäude M am Römerweg 5 errichtet (Kap. 6.3.3, Abb. 269). Bei diesem Grundriss handelte es sich allerdings nicht um ein Raster von parallel gelegten Balken, sondern um ein komplexeres kammerartiges System. Alle Balkengräbchen waren in den gewachsenen Boden eingetieft und zeichneten sich bei der Ausgrabung als leicht humose Verfärbungen ab (Abb. 250–251). Dabei ist es klar, dass erstens vielleicht nicht alle Strukturen erkannt und dokumentiert wurden und dass der Balkenraster wohl der Überrest mehrerer aufeinander folgender Bauphasen darstellt. Es ist allerdings unmöglich, nachträglich diese verschiedenen Phasen zu unterscheiden, so dass Gebäude M als Ganzes betrachtet werden muss. Da weder Fundmaterial noch Konstruktionsdetails über seinen Verwendungszweck Auskunft geben, bleibt als einzige Methode zur Deutung dieser Struktur der Vergleich mit Anlagen aus anderen Fundstellen. Der Grundriss ist dem Typ der Tabernen zuzuschreiben, also einer als Werkstatt, Geschäft, Gaststätte oder Laden konzipierten Anlage[1052]. An erster Stelle ist an Horreabauten, also an Magazingebäude zur Aufbewahrung von Lebensmitteln aus dem militärischen Kontext nördlich der Alpen zu denken. Hinzu kommen Beispiele aus dem italischen Raum, dort allerdings aus nichtmilitärischen Anlagen[1053]. Weitere kammerartig angelegte Gebäude befinden sich im zentralen Teil der Legionslager, unmittelbar bei den Principia, und stehen mit Verwaltung[1054] und Handwerk[1055] in Verbindung. Für eine Interpretation als Werkstattkomplex im Sinne der ebenfalls kammerartig angelegten Fabrica der Militäranlagen[1056] oder den Werkstätten auf dem Ostplateau des Auerbergs, wo sogar Töpferöfen entdeckt wurden[1057], fehlen aber bei Gebäude M wesentliche Elemente wie Werkgruben, eindeutige Wasserleitungen und Feuerstellen. Der Vollständigkeits halber muss auch auf die Ähnlichkeit mit dem regelmässigen Balkenraster der Contubernia, der als Unterkunft der Soldaten dienenden Baracken, hingewiesen werden, die allerdings jeweils grössere und mit Herdstellen versehene Kammern aufweisen[1058]. Abgesehen von diesen formalen Unterschieden sind aber Soldatenunterkünfte in der 1. Hälfte des 1. Jh. an dieser Stelle des Vicus nicht zu erwarten und von keinem weiteren Befund belegt.

6.5.2 Weitere Strukturen

Gruben

Abgesehen von den formalen Aspekten, die im Folgenden besprochen werden sollen, boten die Gruben einige methodische Schwierigkeiten. Zur chronologischen Eingliederung dieser Strukturen müssen bestimmte Aspekte schon während der Ausgrabung abgeklärt werden, was in unserem Fall nur selten möglich war. Dazu gehören z. B. die Fragen nach einem Gehniveau zur Grube und nach den obersten Verfüllschichten. Diese sind aber in den meisten Fällen entweder durch neuzeitliche Bauarbeiten oder beim Baggerabtrag

---

[1045] Für die Definition der Begriffe vgl. Bauentwicklung an der Römerstr. 186 (Rychener/Albertin 1986, 21; 26 f; 37 f.).

[1046] Für Oberwinterthur s. das Haus an der Römerstr. 186 (Rychener/Albertin 1986) und die Streifenhäuser im Areal «Unteren Bühl» (Vitudurum 6, in Vorb.); analoge Grundrisse sind in allen römischen kleinstädtischen und städtischen Siedlungen belegt (e.g., s. Kaiser/Sommer 1994, 374 ff.).

[1047] Römerstr. 177a, arch. Untersuch. 1995.11 (in Vorb.).

[1048] Rödgen (D): H. Schönberger, Römerlager Rödgen. Limesforschungen 15 (Berlin 1976) Abb. 7.12; Oberstimm (D): H. Schönberger, Kastell Oberstimm. Die Grabungen von 1968 bis 1971. Limesforschungen 18 (Berlin 1978) Abb. 26.29; Valkenburg (NL): van Dierendonck et al. 1993, 23ff.; Inchtuthil (GB): L.F. Pitts, J.K. St. Joseph, Inchtuthil. The Roman Legionary Fortress. Britannia Monograph Series 6 (1985) 116ff.; Elginhaugh (GB): C. Daniels in: M. Todd (Hrsg.), Research in Roman Britain 1960–1989. Britannia Monograph Series 11 (1989) 31f.; Strageath (GB): S.S. Frere, J.J. Wilkes, Strageath. Excavations within the Roman Fort 1973–1986. Britannia Monograph Series 9 (1989) 107 fig. 66, building XVI.

[1049] Johnson 1983, 142.

[1050] Z.B. bei den wohl 69 n. Chr. vom Feuer zerstörten Speichern von Valkenburg sind grosse Mengen an Weizen, Dinkel, Gerste sowie Linsen zum Vorschein gekommen (van Dierendonck et al. 1993, 24).

[1051] Ostia (I), Horrea di Hortensius (Rickmann 1971, Abb. 18); Rom (I), Horrea Galbana und Porticus Aemilia auf der Forma Urbis (ebd., Abb. 22).

[1052] Nach der Systematik Kaiser/Sommer 1994, 373 ff.

[1053] Beste Vergleiche zusammengetragen von M. Klee, Arae Flaviae III. Der Nordvicus von Arae Flaviae. Forsch. und Ber. zur Vor- und Frühgeschichte in Baden-Württenberg 12 (1986) 19 ff.; vgl. auch insbesondere Rom, Horrea Agrippiana mit Weihinschrift für das genium horreor (Rickmann 1971, Abb. 20).

[1054] Siehe z. B. Gebäude III vom augusteischen Legionslager Markbreit (D): W. Czysz et al., Die Römer in Bayern (1995) 475 f. Abb. 172.

[1055] von Petrikovitz 1975, 49.

[1056] Als bester Vergleich erweist sich der Grundriss der Fabrica von Vetera (D) mit den unregelmässig angelegten Kammern: H. Lehner, Vetera. Die Ergebnisse der Ausgrabungen des Bonner Provinzialmuseums bis 1929. Röm.-Germ. Forsch. 4 (Bonn 1930).

[1057] Weber 1997, 141 f. Abb. 5.

[1058] Johnson 1983, 166 ff.

während der Rettungsgrabung gestört. Meistens kann man also nicht bestimmen: a) Wann wurde die Struktur angelegt? b) Wann wurde sie aufgegeben und endgültig verfüllt? c) Wie ist sie stratigraphisch verhängt? Welches ist das dazugehörige Gehniveau?

Was die chronologische Bestimmung der Gruben anbelangt, mussten wir uns also damit begnügen, Vermutungen aufzustellen; diese finden bei der Fundauswertung eine gewisse Entsprechung, ganz genau wird man allerdings die Zugehörigkeit einzelner Strukturen zu einem bestimmten Siedlungshorizont nie bestimmen können. Hinzu kommt die Tatsache, dass die (Um-)Bauphasen einzelner Gebäude nicht unbedingt synchron mit der Anlage neuer Gruben verlaufen müssen.

Was die Anlagen betrifft, dominieren die Gruben mit kurzrechteckiger Form, senkrechter Wandung und flacher Sohle (Typ 12 von Zurzach AG) mit neun Beispielen[1059]. An zweiter Stelle sind langovale Gruben mit senkrechter oder verrundeter Wand (Typen 17 und 18 von Zurzach) mit acht Exemplaren vertreten[1060]. Zylindrische, besonders tiefe Gruben (Typ 16 von Zurzach; bis 2 m in den gewachsenen Boden eingetieft) sind nur in drei Fällen ausgegraben worden[1061]. Während Form 12 der viereckigen Gruben in allen Siedlungshorizonten am meisten vertreten ist, kommen die wannenförmigen Gruben nur in den ersten zwei, sicher römischen Siedlungshorizonten (SH II und SH III), also grosso modo im 1. Jh. n. Chr. vor. Die zylindrischen, tiefen Gruben Form 16 sind dafür nur im SH III und IV vertreten, wurden also erst ab der Mitte des 1. Jh. angelegt.

Über die Verwendung der Gruben können nur Vermutungen angestellt werden, da die endgültige Verfüllung der Gruben, meist mit Abfall, nicht unbedingt Rückschlüsse auf ihre ursprüngliche Funktion erlaubt. Die Gruben B.G 1, D.G 1–2 (SH II) sowie E.G 1 (SH III) lagen in den Gebäuden drin und können wohl als abgetiefte Vorratskammern angeschaut werden. Für diese Deutung sprechen auch die in situ gefundenen, fast vollständigen Vorratsgefässe in den Gruben D.G 1 und E.G 1. Für die meisten Gruben im Innenhof ist eine primäre Verwendung als Latrine anzunehmen, und zwar in SH II und SH III als kurzviereckige oder runde Einsenkungen Form 10–12, später, im SH III und IV, als tiefer Schacht Form 16. Bei diesen letzten (G.G 1 und G 21) könnte es sich ebenfalls um Sodbrunnen handeln. Die Nähe zu den vermuteten Latrinen ist kein Argument gegen diese Interpretation, da aus beiden Gruben nicht unbedingt Trinkwasser, sondern vielleicht einfach klares Wasser für ein bestimmtes Handwerk gewonnen wurde: Dafür reichte das durch den Boden gefilterte Wasser, während das reine Trinkwasser möglicherweise durch eine Frischwasserleitung zugeführt wurde[1062]. Bei einigen dieser Gruben konnte eine Abdichtung mit gelblichem Lehm beobachtet werden, so als ob man das Ausfliessen der Flüssigkeit in den Boden oder aber das Einsickern von Grundwasser vermeiden wollte (Abb. 270).



Abb. 270. Römerstr. 227/229. Grube G 7 mit Lehmabdichtung (SH II).

Die Gruben G 18 und G 20 (Abb. 239; beide SH IV) fallen mit ihrer aufwendigen Konstruktion auf. Dabei handelt es sich aber um besser konservierte Strukturen der Form 12, gleich wie die meisten Gruben in diesem Areal. Entsprechungen für solche Strukturen sind ausser aus dem Vicus selbst[1063] auch aus mehreren anderen Siedlungen bekannt, so z. B. Eschenz TG[1064], Lausanne VD[1065] oder aus Militäranlagen[1066]. Abgesehen von kleinen Unterschieden in der Konstruktionstechnik, sind all diese Anlagen von vier Eckpfosten charakterisiert, die ein Futter von horizontalen Brettern an die Grubenwand festhielten. Sie werden wechselhaft als Brunnenstuben oder als Latrinen gedeutet. Unser Befund liefert keine neuen Elemente zur Interpretation dieser Art von Strukturen, umso mehr als die Oberkante der Schächte G 18 und G 20 nicht erhalten ist. In Anbetracht der Ähnlichkeit mit neuzeitlichen Gerbereigruben verbindet, sollte in unserem Fall auch eine Deutung in Zusammenhang mit diesem Handwerk berücksichtigt werden (s. unten, Kap. 6.6.1).

6.6 Ausblick: Ein Handwerkerquartier am Ostrand des Vicus

6.6.1 Nachweise für Handwerksbetriebe

Gebäude I: Teil eines Gerbereibetriebs

Das als Werkstatt gedeutete Gebäude I (Kap. 6.2.2, Abb. 218) liegt am Ostrand der Parzelle Römerstr. 227/229 und fiel nach der Mitte des 1. Jh. einem Brand zum Opfer. Die Funde aus der Werkstatt und aus der darüber liegenden Brandschicht geben leider keine Auskunft über die ursprüngliche Funktion des Gebäudes (Kat. **57–58**), so dass zur Deutung der Struktur, gleich wie bei den Speichern, nur die Vergleiche mit ähnlichen Grundrissen beitragen können. In der Literatur konnte bisher kein gleicher Grundriss gefunden werden; es gibt allerdings einige Befunde mit eingetieften Fässern. Das nächstgelegene Beispiel bietet der Teilbefund aus dem Vicus selbst, im hinteren Teil von Haus 2 des Areals Unteres Bühl[1067]. Dort kamen in der Nordostecke eines Bohlen-Pfosten-Baus drei eingetiefte Bottiche zum Vorschein, deren Inhalt auf organische Spuren untersucht wurde und grosse Konzentrationen von Tierhautfragmenten und Borsten aufgewiesen hat. Auf Grund dieser Tatsache ist der Befund als Gerbereiwerkstatt mit Bottichen als Behälter für die Gerbstoffe interpretiert worden[1068]. Der Inhalt der Fässer aus Gebäude I wurde ebenfalls auf das Vorhandensein von Leder- und Haarresten untersucht. Da allerdings die Schichten an dieser Stelle der Parzelle besonders trocken waren, waren keine bedeutenden Spuren von organischen Stoffen mehr erhalten[1069]. Ein weiteres Beispiel für in den Boden abgesenkte Bottiche liegt in Kaiseraugst-Schmidmatt vor, wo der Befund eher als Fullonica, als Tuchwalkerei, gedeutet wurde[1070].

Unsere Werkstatt scheint ebenfalls als Verarbeitungsort von Leder oder Textilien gedient zu haben, da sich die Fäs-



Abb. 271. La Sarraz VD. Die Häute werden in viereckigen, mit Eichenbohlen ausgefachten Gruben mit Baumrinde alternierend geschichtet. Darauf wird ein nach Hausrezept zubereiteter Rindensud gegossen. Nach etwa drei Wochen kommen sie dann in ähnliche Gruben im Innenhof des Betriebs, wo sie ein Jahr lang im Gerbsud bleiben werden (nach Fonjallaz 1968, Abb. 13).



Abb. 272. Darstellung einer Gerberei aus dem 19. Jh. (nach Bayerlein 1936, Abb. 33).

ser am ehesten als Behälter für ein Lauge- oder Farbbad eignen. Dafür, dass sie eine Flüssigkeit enthalten haben müssen, spricht die Tatsache, dass sie in Gruben abgesenkt und durch eine dichte Lehmpackung isoliert waren (s. oben, Kap. 6.2.2). Denkbar wäre also eine Gerberei, Tuchwalkerei oder Färberei, wobei eine kombinierte Nutzung der Anlage nicht auszuschliessen ist.

Über die alten Gerbereiverfahren geben mittelalterliche und moderne Werkstätten, die mit vorindustriellen Techniken arbeiten, am besten Auskunft[1071]. Diesen Aufzeichnungen ist zu entnehmen, dass die Lederproduktion v. a. reichlich Wasser und Eichenrinde benötigt. Hinzu kommen die nötigen Werkzeuge für das Durchlochen, Schneiden und Schaben der Felle und, was die Anlage selbst betrifft, ausreichend Gruben für das Tauchen und Gerben der Häute. Soweit rekonstruiert werden kann, sind all diese Elemente in Vitudurum vorhanden: einzig der Nachweis von Werkzeugen fehlt[1072], während die Beschaffung von Wasser und Eichenrinde wohl kein Problem darstellte. Nachdem der Gerber die vom Metzger abgezogene Haut (sog. grüne Haut) erstanden hatte, musste er zuerst alle Fleisch- und Haarreste entfernen. Dazu sind mindestens drei Techniken überliefert, die auch für Oberwinterthur in Frage kommen. Entweder wird das Herauslösen der Haare mit Urin oder durch das Äschern mit Kalkmilch oder Pottasche bewirkt. Die dritte Technik bestand in früheren Zeiten darin, die grüne Haut in eine sog. Schwitzkammer zu legen, ein leicht erhitzter Raum, wo der Verwesungsprozess einsetzte. Dadurch lockerten sich die Haarwurzeln und das Fleisch liess sich besser von der Haut abtrennen. Nach dieser Behandlung wird die Haut auf einen Bock gespannt und alle Fleisch- und Haarreste mit einem speziellen Haarmesser entfernt. Danach folgt das eigentliche Gerben, das ebenfalls in drei verschiedenen Techniken überliefert ist, die auch in der Antike angewandt wurden[1073]. An erster Stelle muss die Loh- oder Rotgerberei erwähnt werden, jene Gerbereitechnik, die durch das Tauchen der Häute in ein starkes, tanninhaltiges Bad aus Baumrindesud die Produktion von besonders starken Lederarten ermöglicht (z. B. für Schuhsohlen oder Sättel). Ein zweites Gerbereiverfahren, die sog. Weissgerberei, erfolgt mit Einsatz von Kalialaun und Salz und erlaubt die Produktion von edleren, dünnen Ledersorten. Die dritte Technik, die sog. Sämischgerberei, arbeitet hingegen ausschliesslich mit Fett, womit die Häute immer wieder eingerieben werden, bis zur Entstehung eines besonders feinen und flexiblen Leders. Aus den Gebieten nördlich der Alpen scheinen nur rotgegerbte Lederfragmente bekannt zu sein, was aber eher mit den Erhaltungschancen einer solchen stabilen Lederart

---

[1059] Hänggi et al. 1994, 54 ff. SH II, Gruben G 6–8; SH III, Gruben G 10.G 12–13.G 15; SH IV, Gruben G 18.G 20.

[1060] Hänggi et al. 1994, 54 ff. SH II, Gruben B.G 1, D.G 1–2, G 9–10; SH III, Gruben G 14.G 25–26.

[1061] Hänggi et al. 1994, 54 ff. SH III Gruben G.G 1 und G 28; SH IV Grube G 21.

[1062] Ausreichende Beispiele für dieses Phänomen liegen in mittelalterlichen Städten, wo die Hausbrunnen gewisser Handwerker sogar unmittelbar bei einem als Kloake dienenden Stadtbach lagen (Cramer 1981, 22).

[1063] Römerstr. 186, Grube 11 (Rychener/Albertin 1986, Abb. 46–47); Unteres Bühl, Schacht (A. Zürcher, Die Ausgrabungen 1977–1981 im Unteren Bühl. JbSGUF 65, 1982, 219–220).

[1064] Grabung im Areal Rebmann (Jauch 1997, 17–20).

[1065] G. Kaenel, M. Klausener, S. Fehlmann, Nouvelles recherches sur le vicus gallo-romain de Lousonna. CAR 18 (Lausanne 1980) 95–101.

[1066] Z.B. Kastell Ellingen (D), Brunnen 4 und Schacht 5 (Zanier 1992, 99–101); Militärlager Bergkamen-Oberaden (D): Ch. Albrecht, Das Römerlager in Oberaden und das Uferkastell in Beckinghausen an der Lippe (Dortmund 1938) Taf. 19a.

[1067] R. Clerici, Römische Holzfässer aus Vitudurum. HA 53, 1983, 14–24. Fundsituation neu vorgelegt bei Fellmann in: Beiträge zum römischen Oberwinterthur – Vitudurum 5. Ber.ZD. Arch. Monogr. 10 (1991) 32 Abb. 13.

[1068] SLM, Sektion Forschung und Entwicklung, Untersuchungsbericht CPL 00997 (1983).

[1069] SLM, Sektion Forschung und Entwicklung, Untersuchungsbericht CPL 01384 von Dr. A. Meier (31.12.1993).

[1070] U. Müller, Die römischen Gebäude in Kaiseraugst–Schmidmatt. AS 8, 1995, 23 ff.

[1071] Fonjallaz 1968; Cramer 1981.

[1072] Mehr als 30 der 126 Eisenwerkzeuge aus dem Areal Unteres Bühl fanden ihre Verwendung in der Verarbeitung von Leder (s. Schaltenbrand Obrecht in: Deschler-Erb et al., 201). Diese zeugen allerdings nur von der Tätigkeit von Schustern und Sattlern, während die charakteristischen Haareisen der Gerber, wie sie aus der römischen Gerberei von Pompeij bekannt sind – die Form übrigens, die noch heute in Gebrauch ist –, im Unteren Bühl fehlen: W. Gaitzsch, Eiserne römische Werkzeuge. BAR Int. Series 78ii (Oxford 1980) 63ff., Taf. 25.

[1073] Forbes 1957, 5–9.

zusammenhängt[1074]. Im italischen Raum ist die Weissgerberei in römischer Zeit bestens bekannt[1075]. Für Oberwinterthur, vor der Mitte des 1. Jh. n. Chr., scheint die Rotgerberei, die Technik mit Eichenrindesud, am ehesten zu erwarten zu sein. Eiche war damals in der Umgebung des Vicus sicher reichlich vorhanden, da sie als Bauholz für die Häuser der Siedlung benutzt wurde[1076]. Der damals aus Kleinasien importierte Alaun war hingegen sicher schwieriger zu bekommen.

Rotgerberei nach dem vorindustriellen Verfahren wird noch heute in La Sarraz VD betrieben, wo die Häute zuerst in ein flüssiges Bad von Eichen- und Fichtenrinde, Wasser und Baumrindesud während einiger Wochen behandelt werden (Abb. 271)[1077]. Später werden sie in viereckigen und mit Eichenbohlen ausgelegten Gruben mit Eichenrinde und Baumrindesud während eines ganzen Jahres gegerbt. Die gegerbten Häute werden zum Schluss noch poliert, zum Trocknen aufgehängt, gepresst, nochmals aufgehängt und zuletzt gehämmert. Was die Anlage dieser Gerberei betrifft, werden die ersten zwei Vorgänge mit dem «Wässern» der grünen Haut und dem Abschaben der Fleisch- und Haarreste in einem geschlossenen Raum durchgeführt, während das Gerben unter freiem Himmel im Innenhof des Betriebs stattfindet.

Das hier geschilderte vorindustrielle Gerbereiverfahren kann mit der entsprechenden spätmittelalterlichen bis neuzeitlichen Ikonographie ergänzt werden. Die Gerber werden meistens beim Schaben der Häute und in der Nähe eines mit einer Flüssigkeit gefüllten Fasses dargestellt[1078] (Abb. 272). Als Arbeitsort dienen geschlossene Räume, wobei gewisse Arbeitsvorgänge unter freiem Himmel an einem Fluss oder im Wasser selbst durchgeführt werden (Wasserwerkstatt genannt)[1079].

Anhand dieser Beispiele mag die Interpretation der römischen Anlagen von Oberwinterthur, Römerstr. 227/229 und Unteres Bühl, als Teil eines Gerbereibetriebs zutreffen. Zu unterstreichen ist allerdings die Tatsache, dass in diesen Gebäuden wohl einzig das «Wässern» und Schaben der Häute stattfand, während das Gerben mit dem Tannin aus der Eichenrinde anderswo geschah. Durch welche Technik das Lockern der Haare und der Fleischreste erfolgte, geht aus dem Befund nicht hervor. An erster Stelle muss das Verfahren mit Urin in Betracht gezogen werden, ein Stoff, der gemessen an der hohen Latrinenzahl im antiken Innenhof wohl reichlich vorhanden war (Abb. 217)! Dass das eigentliche Gerben nicht in den eingetieften Fässern erfolgte, geht u.a. aus der Tatsache hervor, dass das Gerben über eine Zeitspanne von mindestens einem Jahr erfolgte: die sechs Fässer aus Gebäude I wären damit sehr schnell und für längere Zeit besetzt gewesen. Ein weiterer Beweis liegt im oben erwähnten Inhalt der Fässer aus dem Unteren Bühl, wobei die dort festgestellten Haare und Borsten nur aus dem «Wässern» der Häute stammen können, während beim eigentlichen Gerben die Häute ja keine Haare mehr tragen. Die Gruben zum Gerben müssen also ausserhalb der Werkstatt in unmittelbarer Nähe gelegen haben. Bei der Römerstr. 227/229 muss angenommen werden, dass die Gruben sich östlich von Gebäude I befanden, im modern überbauten Teil (Abb. 218). Gegen die Annahme, dass irgendeine Grube aus dem zentralen Innenhof zu diesem Zweck verwendet worden sei, könnte die Tatsache sprechen, dass die Werkstatt sich in einem anderen Quartierteil befindet (s. unten, Kap. 6.6.2, Abb. 273). Obwohl eindeutig jünger zu datieren, kämen die rechteckigen Gruben G 18 und G 20 als Gerbereigruben, mit ihrer erstaunlichen Ähnlichkeit zu den Gerbereigruben von La Sarraz, in Frage (Abb. 271): sie besitzen eine Ausfachung aus Eichenholz und, zumindest im Fall der Grube G 18, weisen eine massive Lehmabdichtung auf, welche vielleicht dem Oxydieren des Holzes und dem Heraussickern des kostbaren Rindesaftes entgegenwirken sollte. Eine Verwendung dieser Gruben in Zusammenhang mit einem Gerbereibetrieb würde für eine Kontinuität in der Benutzung dieser Zone des Quartiers zur Lederproduktion von der Mitte des 1. Jh. n. Chr. bis ins 2. Jh. sprechen. Es darf aber nicht ausgeschlossen werden, dass, wie für Landgerbereien aus dem Spätmittelalter überliefert ist[1080], die Gerbung der Häute in denselben Behältern erfolgte, die auch zum Äschern und Wässern verwendet wurden. Die Lederproduktion bei diesen Landgerbereien konnte selbstverständlich nur den Eigenbedarf decken. Zur Unterstützung der Deutung der Fässer als Gerbgruben für eher kleinere Häute kann ein Zitat aus einem anfangs des 19. Jh. von Krünitz verfassten Gerbereihandbuch herangezogen werden, wonach die Gerbgruben so anzulegen sind, wie sie auch im Obewinterthurer Befund vorgefunden wurden: «Die Einlegegruben müssen vor, aber auch nahe an dieser Werkstatt in zwey Reihen in die Erde gesetzt, und rings umher jedes Fass mit Lehm wohl verstopft werden, damit, wenn von ungefähr eine Daube des Fasses, aus Versehen des Böttchers, nicht dicht genug wäre zusammengefügt worden, das auf die Leder gegossene Wasser sich nicht in die Erde ziehen könne»[1081].

Vom Befund her lässt sich aber nicht ausschliessen, dass die Werkstatt genau so gut als Tuchwalkerei oder Färberei hat funktionieren können. In den Tuchwalkereien wurden Textilien in Behältern oder Becken mit faulem Urin eingelegt und durchgetreten. Im Fall einer Färberei müssten die Fässer die verschiedenen Laugen und Pigmente enthalten haben, zum Färben von feinem Leder oder von Textilien.

Zuletzt muss noch auf die Lage der Werkstatt innerhalb der Siedlung hingewiesen werden: mehrere Argumente sprechen dafür, dass sich das ausgegrabene Areal am östlichen Rand des Vicus befindet (s. unten, Kap. 1.3). Diese Angabe lässt sich besonders gut mit einer Deutung der Werkstatt als Gerberei oder als Tuchwalkerei in Zusammenhang bringen,

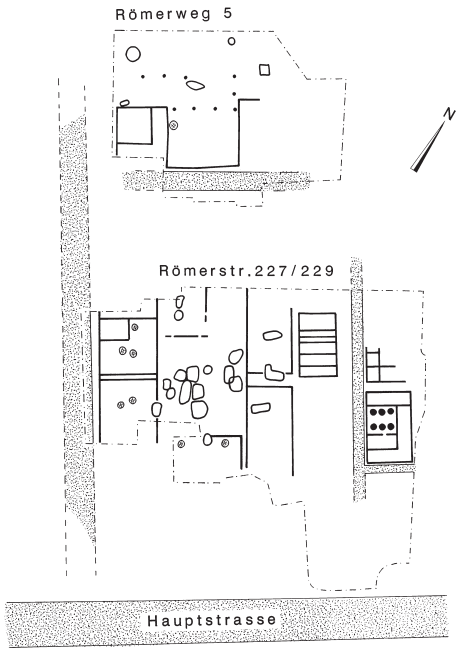


Abb. 273. Römerstr. 227/229 und Römerweg 5. Rekonstruktionsplan der Insula mit Innenhof. M. ca. 1:1000.

da beide Handwerke eine ekelerregende Geruchsbildung verursachen. Aus diesem Grund befanden sich die Gerbereien häufig an Randlagen der mittelalterlichen und neuzeitlichen Städte[1082].

Gebäude G und H: Wohnhaus mit Schmiedewerkstatt

An mehreren Stellen des untersuchten Areals kamen Spuren und Strukturen zu Tage, die in direktem Zusammenhang mit Eisenverarbeitung stehen[1083]. An erster Stelle ist eine Schlackenhalde am östlichen Rand der Parzelle Römerweg 5 (Schicht 9) zu nennen, die sich in Form von Eisenoxydverkittungen weiter südlich in der Parzelle Römerstr. 227/229 erstreckte. An dieser Stelle wurden unzählige Fragmente von Schmiedeschlacke und Reste von verbranntem Lehmverstrich der Schmiedeessen entsorgt. Diese Schlackenhalde lässt sich ziemlich sicher in die römische Zeit datieren, obwohl stratigraphisch keine genauen Anhaltspunkte bestehen[1084].

Ein möglicher Standort für eine Schmiedewerkstatt kann im Befund von Gebäude Hb–c (SH III–IV) aus der Parzelle Römerstr. 227/229 erahnt werden, wo mehrere Elemente die Anwesenheit von Eisenverarbeitung an dieser Stelle bezeugen. Eisenstaub in grossen Mengen ist in der Oxydverkittung auf der ganzen Länge der Westwand des Gebäudes erhalten (Abb. 237–238). Eine solche Bodenbildung könnte damit erklärt werden, dass Eisenpartikel durch die Bodenfeuchtigkeit in die Hohlräume des vermoderten Konstruktionsholzes der Wand transportiert worden sind und sich mit der Zeit zu einem solchen Klumpen verhärtet haben. Was die Ausstattung der Schmiede anbelangt, könnten zwei der Feuerstellen als Essen gedient haben: Feuerstelle H.F 1, die in einer leichten, rechteckigen Einsenkung angelegt und vollkommen verziegelt war, und Feuerstelle H.F 2b mit dem Sandsteinkranz auf drei Seiten (Abb. 222–223). Falls die Interpretation als Esse für diese Struktur zutrifft, wäre die Sandsteinkonstruktion als Schutzwand zu deuten, hinter der die Blasbälge montiert waren[1085]. Ob aber die Aussparung in den Steinen, die auf Abb. 223 deutlich ersichtlich ist, für die Mündung der Blasbälge vorgesehen war oder ein Grabungsartefakt ist, muss offen bleiben. Gegen die Interpretation beider Feuerstellen als Essen spricht die Tatsache, dass sie keine Schlacken enthielten.

Eine weitere Struktur, die bei Schmieden vorkommen kann und auch im Befund von Gebäude Hc beobachtet wurde, ist eine rechteckige und nur wenig eingetiefte Grube (Struktur H.G 2, Abb. 234). Ein ähnlicher Befund scheint in der Schmiede von Oberwinterthur, Unteres Bühl, Haus 10, Phase B[1086] vorzukommen, sowie z. B. in den Befunden von Baden AG[1087], Autun (F)[1088] und Amiens (F)[1089] (sog. *fosses coffrées*). Als Interpretation für diese Strukturen kommt an erster Stelle ein Tauchbecken zur Härtung der Werkstücke in Frage.

Weiter südlich, unmittelbar an der Trennwand vom Gebäude G zu Gebäude H, ist ausserdem ein grosser Kalkstein (ca. 40×30×35 cm) mit flacher Oberfläche zum Vorschein gekommen, der, nach dem Befund zu urteilen, keine tragende Funktion für einen Schwellbalken gehabt hat (Abb. 222, 234, mit A markiert). Bei diesem Stein stellt sich die Frage, ob es sich dabei um einen Amboss handeln kann.

Zusammenfassend sprechen mehrere Elemente in der Ausstattung von Gebäude H für eine Schmiedewerkstatt. Die Befunde sind aber zu fragmentarisch erhalten, um eindeutige Beweise zu liefern. Widersprüchlich ist insbesondere die Lage der einzelnen Strukturen innerhalb der Werkstatt: so befindet sich das vermutete Tauchbecken (H.G 2, Abb. 234) genau hinter der Feuerstelle/Esse H.F 2, die auf Grund der Schutzwand von Osten her bedient werden musste. Unlogisch erscheint ebenfalls der zu grosse Abstand zwischen der Feuerstelle/Esse H.F 1 und dem vermuteten Amboss, der ausserdem direkt bei einer (Holz-)Trennwand gelegen hätte! Unter den Funden liegen keine spezifischen Schmiedewerkzeuge vor; der Nachweis für Hammerschlag ist aufgrund der unzureichenden Materialproben aus diesem Gebäude nicht gegeben, während in allen Schichten aus diesem Grabungsbereich ein grosses Schlackenvorkommen zu vermelden ist.

Der Nachweis für die mögliche Schmiede ist in den Siedlungshorizonten III und IV gegeben, d. h. von der Mitte des 1. bis zur Mitte des 2. Jh. n. Chr. etwa. Vor Siedlungshorizont III gibt es keine Hinweise auf Eisenverarbeitung in Gebäude H. Es ist allerdings zu bemerken, dass schon ab SH II sich Gebäude Ha vom südlich angrenzenden Gebäude Ga architektonisch durch die besondere Wandkonstruktion unterschied (s. oben, Kap. 6.2.2); vermutlich war also Gebäude H von Anfang an eine andere Funktion zugeschrieben.

Weitere Belege für Eisenverarbeitung im Quartier bestehen in den kleinen, jedoch konstant vorhandenen, Schlackenfragmenten aus den Verfüllungen der im Innenhof abgetieften Gruben.

Als weiterer Standort für eine Schmiede sollte die südöstliche Ecke der Ausgrabung an der Römerstr. 227/229 in Betracht gezogen werden; dort wurde in einer in den gewachsenen Boden gegrabenen Grube (G 2, Abb. 202, Kap. 6.2.2) eine grosse Menge Hammerschlag gefunden, die wohl aus dem Abraum einer in der Nähe gelegenen Esse stammen dürfte.

[1074] Funde aus Mainz, Saalburg, Vindonissa und Valkenburg: Forbes 1957, 51 f.; van Driel-Murray 1985, 44; A. Gansser-Burckhardt, Das Leder und seine Verarbeitung im Römischen Legionslager Vindonissa. VerGPV (Basel 1941) 10–11.

[1075] Forbes 1957 mit Zitaten antiker Autoren.

[1076] Die Untersuchung der Pflanzenfunde aus dem Vicus hat zudem zur Bestimmung von mehreren Samenarten geführt, die auf Laubmischwälder hinweisen (Ch. Jacquat in: Rychener/Albertin 1986, 249).

[1077] Fonjallaz 1968, 14 ff.

[1078] Bayerlein 1936, Abb. 1.8; E. Stickelberger, Versuch einer Geschichte der Gerberei. Bibliothek des Gerbers 1 (1915) Abb. 33.

[1079] S. z. B. Bayerlein 1936, Abb. 15 und 18: die Häute aus dem Schlachthof werden in einer Geflechtanlage im Fluss getreten und danach geschabt. Dazu steht der Gerber beim Schaben im Wasser.

[1080] Cramer 1981, 63.

[1081] Cramer 1981, 18 aus: J.G. Krünitz, Der vollkommene Ledermanufakturist (1804) 407 f.

[1082] Cramer 1981, 68 f.

[1083] Die Durchsicht der Befunde und Funde sowie zahlreiche Literaturangaben zum Thema Eisenverarbeitung verdanke ich M. Senn, Winterthur.

[1084] Die Halde liegt direkt über dem gewachsenen Boden und unter dem modernen Humus. Es ist allerdings nicht auszuschliessen, dass weitere Schichten vorhanden, aber durch die Anwesenheit von Eisenoxyd nicht mehr erkennbar waren.

[1085] Zur Illustration Koller/Doswald 1996, 175 Abb. 125.

[1086] Ch. Ebnöther in: Vitudurum 6, in Vorb.

[1087] Koller/Doswald 1996, 177f.

[1088] V. Serneels, Les ateliers sidérurgiques d'Autun, Lycée Militaire, im Druck.

[1089] N. Buchez, V. Serneels, in: Zac Cathédrale Université (Amiens 1996), 31–37.

6.6.2 Räumliche Organisation

Lage des ausgegrabenen Areals innerhalb des Vicus

Mehrere Faktoren sprechen dafür, dass sich das ausgegrabene Areal an der Römerstr. 227/229 und Römerweg 5 am östlichen Rand der römischen Siedlung befindet. Die nächst gelegenen früh- und mittelkaiserzeitlichen Gräber liegen zwar in einer Entfernung von etwas mehr als 100 m an der Ausfallstrasse nach Frauenfeld; andere Befunde, wie die Werkstatt des Gerbers und die grosse Magazinfläche von Gebäude M, können jedoch als Indikatoren für eine Lage dieses Areals zumindest in der Nähe des Siedlungsrands gewertet werden. Die Siedlungsaktivität dauerte bis nach der Mitte des 2. Jh. an, wie der Fundkomplex vom Sodbrunnen G 28 belegt und auch im Befund der Püntenstr. 2 festzustellen ist[1090]. Für die Zeit nach der 2. Hälfte des 2. Jh. sind keine Gebäude belegt, so dass keine Hinweise über die Ausdehnung der Siedlung gegen Osten vorliegen; die Anlage von spätrömischen Gräbern zeugt davon, dass sich diese Fläche spätestens zu Beginn des 5. Jh., wenn nicht schon ab der Mitte des 4. Jh., ausserhalb der Siedlung befand.

Hinweise auf eine Insula mit Innenhof

Obwohl die Grabungsfläche grosse Lücken aufweist, deutet die Ausrichtung der Strukturen von SH II–SH IV, die etwa den Zeitraum von der Mitte des 1. Jh. n. Chr. bis zur Mitte des 2. Jh. abdecken, auf eine konsequente Quartierplanung hin (Abb. 273). Die überbaute Fläche ist von vier Strassenzügen umgeben, die im Laufe der Ausgrabungen mehr oder weniger erfasst werden konnten. Dabei handelt es sich in erster Linie um die Hauptstrasse, die vom Unteren Bühl bis zum Zentrum des Vicus an verschiedenen Stellen und beim sog. Römertor am östlichen Rand der Siedlung freigelegt wurde (s. Buchvorsatz). Was unseren Bereich des Vicus betrifft, gibt es zwar keine direkten Hinweise darauf, dass in römischer Zeit die Hauptachse den gleichen Verlauf wie die heutige Römerstrasse hatte; alle gewonnenen Daten aus den in den letzten fünf Jahren archäologisch dokumentierten Stellen sprechen allerdings für diese Annahme[1091]. Zwei Strassenzüge führen parallel zueinander, in einer Entfernung von etwa 32 m von der Dorfstrasse in Richtung Norden (Strasse 1, SH II und SH III, Kap. 6.2.2). In einem Abstand von etwa 55 m von der vermuteten Hauptachse verbindet ein weiterer Strassenzug die beiden Gassen (Strasse 3, Kap. 6.3.2). Die durch die Strassen eingerahmte Fläche kann anhand der Befunde der Ausgrabung an der Römerstr. 227/229 so rekonstruiert werden, dass sich eine Reihe von Gebäuden, deren Schmal- bzw. Längsseiten auf eine Strasse gerichtet sind, um einen quadratischen Innenhof von etwa 12 m Seitenbreite gruppieren. Von Westen nach Osten liegt zuerst eine Reihe von Häusern – darunter G und H – mit vorgelegter Portikus und mit der Längsseite auf die Strasse 1. Im nördlichen Teil der Parzelle schliesst eine Reihe von Häusern an, die mit der Schmalseite, wohl mit vorgelegter Portikus, auf die Strasse 3

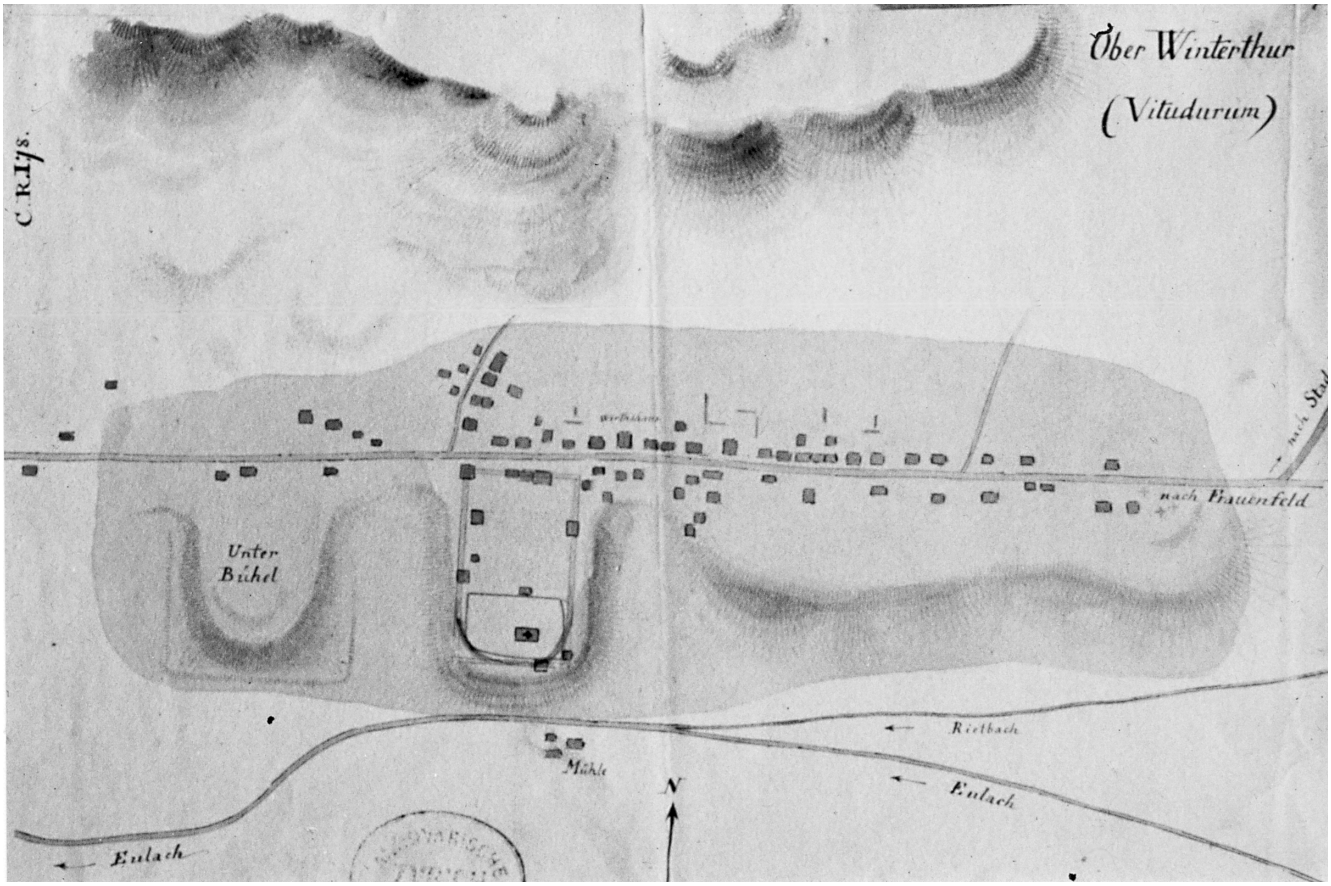


Abb. 274. Plan von Oberwinterthur mit Eintrag der damals bekannten römischen Ruinen. Rechts im Bild ist eine von der Hauptstrasse nach Norden abzweigende Stichstrasse dargestellt, die mit grosser Wahrscheinlichkeit mit dem Verlauf der römischen Strasse 1 an der Römerstr. 227/229 identisch ist (Bücher der Antiquarischen Gesellschaft in Zürich, gez. von Ferdinand Keller, 1838; C.R.I. 78, SLM Zürich).

ausgerichtet sind. Hinweise für die Überbauung des südlichen Bereichs des Quartiers liegen einzig in der bei Gebäude F (SH IV, Abb. 231) erfassten Rückwand, die direkt am Innenhof lag. Hinzu kommt die stratigraphisch nicht besser einzuordnende Feuerstelle F 1 (Abb. 222), die auf Grund ihrer Konstruktion älter als Gebäude F eingestuft wird, jedoch eine ähnliche Lage aufweist, wohl im Abschlussraum eines Gebäudes an der antiken Hauptachse. Der nördliche sowie der südliche Bereich der Parzelle Römerstr. 227/229 waren aber von neuzeitlichen Strukturen sehr gestört, so dass hier die Rekonstruktion des Quartiers auf spärlichen Argumenten gründet. Der östliche Abschluss des Quartiers ist von den Gebäuden C, D und E charakterisiert, die den Hof gegen Osten deutlich abgrenzen. Diese Überlegungen erlauben uns, den Hof mit den zahlreichen Gruben als Innenhof zu bezeichnen. Die Deutung ist zudem dadurch bestätigt, dass die Gruben – zumindest am Übergang von SH II zu SH III – verdichtet gegraben wurden, so als ob die Bewohnerschaft einzig über diese beschränkte Fläche verfügt hätte.

Trifft diese Rekonstruktion des Quartiers zu, lässt sich zusammenfassend ein insulaartiges Gebilde mit einer Länge von etwa 32 und einer Tiefe von etwa 55 m erkennen. Eine solche Flächenaufteilung konnte im Vicus bisher sonst noch nicht festgestellt werden. Vergleichbar grosse Flächen wurden einzig im Bereich des Unteren Bühls ausgegraben, wo keine Innenhöfe beobachtet wurden. Es ist anzunehmen, dass auch unsere «Insula» einer analogen Parzellierung, in Form von langrechteckigen Einheiten, unterworfen war (Abb. 273). Die Masse der Gesamtfläche bieten sich geradezu an, in vier bis fünf solche Einheiten aufgeteilt zu werden, die eine Breite von durchschnittlich acht bzw. sechs Metern auf eine Tiefe (ohne Innenhof) von etwa 21 m betragen würden. Dass die Parzellierung auch den Innenhof betreffen könnte, zeigt sich in der Gruppierung der Gruben im zentralen und östlichen Bereich des Hofes selbst (Abb. 273). Die Grubenclusters liessen sich allerdings auch mit Unterschieden im Verwendungszweck der Strukturen erklären.

Nördlich der Strasse 3 setzt sich die antike Siedlung fort (Ausgrabung Römerweg 5); eine klare Struktur ist allerdings nicht ersichtlich. Die Gebäude (Gebäude M, SH I–II, und Gebäude O, SH III, Abb. 249, 252) liegen bei dieser Fläche eher im südlichen Teil, während im nördlichen Teil v. a. Gruben vorkommen, die mindestens teilweise unter freiem Himmel gelegen haben müssen. Östlich der Strasse 2 findet die Quartierfolge mit einer Reihe von Gebäuden an der Strasse ihre Fortsetzung (Gebäude A–B, SH II, Abb. 205; Gebäude I–J, SH III, Abb. 218).

In der «Insula» kommen Gebäude mit verschiedenen Funktionen vor: im westlichen Bereich liegt spätestens ab der Mitte des 1. Jh. ein Wohnhaus in Kombination mit einer Schmiede (Gebäude G und H), im südlichen Bereich sind Feuerstellen belegt, die auf Wohnhäuser schliessen lassen, während im nordöstlichen Bereich der Parzelle, Grundrisse von Speichern freigelegt wurden. Im Anschluss gegen Osten konnten zuerst Speicher, später die Werkstatt eines Gerbereibetriebs und im Süden vielleicht eine weitere Schmiede beobachtet werden. Im Quartier nördlich der Insula liegen zuerst Werkhallen und Speicher und später vermutlich mindestens ein Wohnhaus. Gewerbe und eine Speicherkapazität, die womöglich den blossen Eigenbedarf der Bewohner an dieser Stelle des Vicus übersteigt, sind die Kennzeichen dieses Quartiers im 1. Jh. Dabei scheint eine wesentlich andere Planung vorzuliegen, als beim Quartier Unteres Bühl, wo eine Reihe von gleichwertigen Wohn- und Werkstatteinheiten an die Strasse stösst. Die strukturellen Unterschiede müssen in der Funktion der verschiedenen Vicusteile gesucht werden oder in unterschiedlichen Besitzverhältnissen.

Was die Strasse 1 anbelangt, ist ihr Verlauf bis in die Neuzeit bekannt geblieben und war noch (oder wieder) in Betrieb im 20. Jh.: der letzte an der Römerstr. 229 ansässige Landwirt erinnerte sich daran, dass in seiner Jugendzeit (wohl 1. Viertel 20. Jh.) an dieser Stelle noch ein Wegrecht existiert hat[1092]. Ein von der Hauptstrasse nach Norden abzweigender Weg erscheint auch auf dem 1838 von Ferdinand Keller gefertigten Plan von Oberwinterthur (Abb. 274)[1093] und zeichnet sich im modernen Dorfbild immer noch ab. Dieser Strasse sind wohl die obersten, mit Humus durchmischten Kiesschichten zuzuweisen, die in der Ausgrabung an der Römerstr. 227/229 zum Vorschein kamen (s. oben, Kap. 6.2.2).

6.7 Zusammenfassung – Résumé – Riassunto – Summary

Die archäologischen Ausgrabungen Ende der 80er- und zu Beginn der 90er-Jahre in den heutigen Parzellen Römerstrasse 227/229 und Römerweg 5 in Oberwinterthur brachten römische Siedlungsreste auf einer Fläche von ca. 2000 m^2 zutage. Die Grösse des Areals bedingte zwar ein manchmal summarisches Vorgehen bei der Untersuchung auf dem Feld, erlaubte es aber anderseits zu wichtigen Ergebnissen in Bezug auf die Quartierplanung und Raumnutzung innerhalb des östlichen Quartiers des Vicus zu kommen.

Die Spuren der Siedlungstätigkeit sind auf Grund der Stratigraphie in sieben Siedlungshorizonte (SH) gegliedert worden. Auf einem ersten Siedlungshorizont (SH I) mit in den gewachsenen Boden abgetieften, vorrömischen und nicht datierbaren Strukturen folgte die am besten erfasste Siedlungstätigkeit des ganzen 1. und der ersten Hälfte des 2. Jh. (SH II–IV). In dieser Zeit war das Areal mit Wohnhäusern samt Feuerstellen und abgetieften Vorratskammern und gewerblich oder als Magazine genutzten Gebäuden belegt. Zwei Stichstrassen (Strasse 1 und 2) führten von der Hauptstrasse in Richtung Norden und waren von einer weiteren, etwa 55–60 m von der Hauptstrasse und parallel dazu verlaufenden Strasse 3 verbunden. Innerhalb dieses insulaartigen Areals errichtete man eine Anzahl von Gebäuden um einen von Gruben – wohl Latrinen – charakterisierten Innenhof. Ab SH III ist der Nachweis für Eisenverarbeitung und für ein Gewerbe in Zusammenhang mit Leder- oder Textilverarbeitung gegeben. Eisen wurde mit ziemlicher Sicherheit im Haus H verarbeitet, dort, wo ausser zwei möglichen Essen und einem enormen Eisenvorkommen in den Schichten auch eine besondere Bautechnik festgestellt wurde. Hinzu kommt eine ausgedehnte, planierte Schlackenhalde am Ostrand der Ausgrabungen (Schicht 9) mit unzähligen Kalottenschlacken und verziegelten Lehmbestandteilen von Essen. Schlacken und Hammerschlag waren auch in den Schichten und in der Verfüllung von mehreren Gruben ent-

---

[1090] Rychener 1988, 96.
[1091] Vgl. Kap. III.1.3.
[1092] Mündl. Mitteilung von Herrn Ehrensperger (†) an P. Albertin (Befunddokumentation zur Ausgrabung Römerweg 5, Archiv KA Zürich).
[1093] Zeichnungsbücher der AGZ, C.R.I. 78. Der eingezeichnete Weg liegt an einer Stelle, die am ehesten mit dem Verlauf der Strasse 1 gleichzusetzen ist.

halten. Gebäude I war möglicherweise ein Teil einer Gerberei. In einem der Räume waren sechs Fässer abgetieft worden, die vielleicht bei der ersten Bearbeitung der Häute Einsatz fanden, einem Vorgang, bei dem Haare und Fleischreste aus der Tierhaut entfernt werden. In Frage kommt aber auch eine Deutung dieser Struktur als Tuchwalkerei oder Textil- und Lederfärberei.

Besonders interessant für SH IV ist die Grube 18 mit erhaltener Ausfachung aus Eichenholz, die ein absolutes Dendrodatum um 121 n. Chr. geliefert hat. Das Datum ist insofern wichtig, als im ganzen Vicus bisher keine chronologisch so gut verankerte Fundkomplexe bekannt sind.

Für die Zeit zwischen der Mitte des 2. Jh. und dem Beginn des 5. Jh. sind nur isolierte Strukturen bekannt. In die 2. Hälfte des 2. Jh. datiert die jüngste Verfüllung der Grube G 28; zur gleichen Zeit oder später entstanden ein grosser, vielleicht die Siedlungsgrenze markierender Graben Gb 17 (SH V) und zwei in Stein gebaute Wasserkanäle (SH VI). SH VII bezeichnet vier spätrömischen Gräber, wozu auch eine Anzahl von Menschenknochen und eine spätrömische Fibel aus dem Gartenhumus zu rechnen sind. Die Anlage der Gräber zeugt davon, dass in spätrömischer Zeit das ehemalige Ostquartier des Vicus schon ausserhalb der Siedlungsfläche zu liegen kam.

Analog zur restlichen Siedlung wurden auch an der Römerstrasse 227/229 und am Römerweg 5 keine mittelalterlichen Strukturen festgestellt. Erst die neuzeitlichen Vorgängerbauten der heute bestehenden Gebäude waren archäologisch fassbar.

Das in seiner Zusammensetzung nicht herausragende Fundmaterial diente primär der chronologischen Einordnung der einzelnen Strukturen und Siedlungshorizonte und wurde entsprechend nur summarisch vorgelegt. Etwas ausführlicher ist auf die Funde der dendrochronologisch datierten Grube 18 (SH IV) und auf die Abfälle aus der 2. Hälfte des 2. Jh. aus Grube 28 eingegangen worden. Leider fehlt jegliche Spur von Werkzeugen aus den gewerblich genutzten Zonen: Eine Besonderheit für Oberwinterthur, und in seiner nächsten Umgebung bisher nicht oder nur selten belegt, sind die Zwiebelkopffibel und die Beigaben aus dem spätrömischen Grab 1 (ein Geweihkamm und eine Nadelbüchse).

Résumé

Les fouilles archéologiques entreprises à Oberwinterthur à la fin des années quatre-vingts et au début des années quatre-vingt-dix sur la parcelle Römerstrasse 227/229 et Römerweg 5 ont révélé des structures d'habitat romaines sur près de 2000 m^2. Au vu d'une telle surface, nous avons opté pour une approche globale du terrain, ce qui a permis l'acquisition de données importantes concernant la planification du quartier et l'utilisation de la zone à l'intérieur du quartier oriental du vicus.

Comme le révèle la stratigraphie, les vestiges de l'implantation humaine peuvent se diviser en sept horizons d'occupation (la référence SH se rapporte à la terminologie allemande «Siedlungshorizont»). Au-dessus d'un premier horizon (SH I), caractérisé par des structures d'époque pré-romaine creusées dans le sol naturel et dont la datation n'a pu être précisée, on trouve les vestiges les plus parlants de tout le 1er s. et de la première moitié du 2e s. (SH II–IV): à cette époque, la zone était occupée par des maisons d'habitation munies de foyers et de garde-manger aménagés dans le sol, ainsi que par des bâtiments utilisés à des fins artisanales ou comme dépôts. Deux ruelles (rue 1 et 2) bifurquaient à angle droit de la voie principale pour se diriger vers le nord; elles rejoignaient une autre rue, située à environ 55–60 m de la rue principale (rue 3). Sur cette zone dont l'organisation rappelle une insula, on construisit un certain nombre de bâtiments ordonnés autour d'une cour intérieure caractérisée par la présence de fosses, vraisemblablement des latrines. Dès SH III, la présence de divers ateliers est attestée: travail du fer et artisanat en rapport avec le cuir ou les textiles. Certains éléments nous permettent de postuler le travail du fer dans le bâtiment H, puisqu'on y a découvert deux foyers de forge probables et une énorme quantité de fer, corroborés par une architecture particulière. On mentionnera encore le dépotoir recelant des scories et remanié en bordure orientale de la fouille (couche 9), avec ses innombrables scories en forme de calotte et ses fragments d'argile durcie au feu provenant de foyers de forge. Scories et battitures ont également été retrouvées dans les couches et le remplissage de nombreuses fosses. Le bâtiment I se rattachait vraisemblablement à une tannerie. Dans l'une des pièces, six fûts de bois avaient été enfoncés dans le sol, utilisés peut-être pour débarrasser la peau de l'animal des poils et des restes de chair. On pourrait cependant aussi interpréter cette structures comme foulerie ou structure permettant de teindre le cuir ou les tissus. La fosse 18 présente pour SH IV un intérêt particulier: le bois de chêne qui assurait son revêtement a pu être daté par la dendrochronologie de 121 ap. J.-C. Cet élément chronologique est d'importance: à ce jour, aucun ensemble n'avait pu être fixé avec une telle précision à Oberwinterthur.

Pour la période allant de la moitié du 2e s. au début du 5e s., on ne connaît que des structures isolées. Le remplissage le plus récent de la fosse 28 remonte à la seconde moitié du 2e s; c'est à la même époque ou plus tardivement qu'un fossé marquant peut-être la limite du site (Gb 17, SH V) et deux canaux (SH VI) en pierre furent mis en place. SH VII désigne quatre tombes du Bas Empire, auxquelles se rattachent également un certain nombre d'ossements humains et une fibule du Bas Empire, issus de la couche d'humus. L'emplacement des tombes montre que, au Bas Empire, l'ancien quartier oriental du vicus se trouvait déjà à l'extérieur de la zone encore habitée.

Tout comme le reste du site, les parcelles Römerstrasse 227/229 et Römerweg 5 n'ont livré aucune structure médiévale. Lors des fouilles, seuls les bâtiments d'époque moderne, prédécesseurs des immeubles actuels, ont pu être identifiés.

Le mobilier, dont la composition n'est pas spectaculaire, a servi en premier lieu à proposer une insertion chronologique des structures et des horizons d'occupation; il n'est de ce fait présenté que de manière sommaire. On s'est davantage étendu sur les trouvailles de la fosse 18 (SH IV), datée par la dendrochronologie, et sur les déchets de la seconde moitié du 2e s. issus de la fosse 28. Malheureusement, les zones à fonction artisanale n'ont livré aucun outil. La fibule cruciforme et le mobilier funéraire de la tombe 1, datée du Bas Empire (un peigne en bois de cerf et une boîte à épingles), constituent une première pour la région d'Oberwinterthur, puisque de tels objets n'y avaient encore jamais ou rarement été mis au jour.

Traduction Catherine Leuzinger-Piccand

Riassunto

Le indagini archeologiche svolte tra la fine degli anni '80 e inizio '90 nei lotti Römerstrasse 227/229 e Römerweg 5 hanno portato alla luce resti dell'insediamento romano su una superficie complessiva di ca. 2000 m^2. Se la vastità della

zona indagata ha da un lato determinato una tecnica di scavo a volte sommaria, essa ha d'altro canto permesso di analizzare importanti aspetti riguardanti la pianificazione e lo sfruttamento delle superfici dell'intero isolato al margine orientale del vicus.

In base alla stratigrafia, l'attività d'insediamento in questa zona si riassume in sette livelli d'occupazione (Siedlungshorizonte, SH). Ad un primo livello (SH I), caratterizzato da strutture preromane di datazione per lo più incerta, conservate in tracce nel terreno emergente, seguono tre livelli d'occupazione romana che coprono tutto il I e la prima metà del II sec. d.C. (SH II–SH IV). Durante questo lasso di tempo in questa zona sorgevano abitazioni con focolari domestici e fosse destinate alla conservazione delle provviste, così com'edifici utilizzati per attività artigianali o quali magazzini. Due vie laterali (Strasse 1 e 2) si dipartivano in direzione nord dalla strada principale del vicus ed erano collegate a 55–60 m da quest'ultima da una terza strada (Strasse 3). All'interno di quest'area dal carattere di un'insula, gli edifici attorniavano un cortile interno occupato da fosse, probabilmente in gran parte latrine. A partire dal terzo livello d'occupazione (SH III), che copre la seconda metà del I sec., si hanno indizi dell'artigianato del ferro e del cuoio o tessile. Si ritiene che il ferro fosse lavorato nell'edificio H, dove, a parte due possibili fucine ed una quantità enorme di particelle ferrose nei sedimenti, è stata riscontrata anche una particolare tecnica edilizia. Si annovera inoltre una discarica al margine est dello scavo (strato 9) che conteneva numerosissime scorie di ferro a forma di calotta e frammenti d'argilla stracotta, eliminate dalle pareti delle fucine. Scorie e pagliuzze di ferro sono inoltre emerse da molte delle fosse scoperte nel corso dello scavo, utilizzate da ultimo come immondezzaio. Nell'edificio I si doveva invece svolgere un segmento del procedimento di concia delle pelli. In uno dei suoi ambienti sono state documentate sei botti fissate nel terreno, utilizzate forse nella prima fase d'elaborazione, durante la quale la pelle era depurata e depilata. Non va dimenticata tuttavia una possibile interpretazione di quest'installazione come fullonica o atelier di tintura di pelli o tessili.

Tra le strutture del quarto livello d'occupazione (SH IV), databile tra l'80 e il 150 d.C., va menzionata la fossa G 18 con il rivestimento di tavole di quercia, perfettamente conservate, che hanno fornito una datazione dendrocronologica nell'anno 121 d.C. Questa datazione è di particolare interesse per Oberwinterthur, poiché finora non si conoscono in tutto il vicus insiemi di materiali datati con tale sicurezza a questa fascia cronologica.

Lo scavo non ha fornito che pochi dati relativi al lasso di tempo che intercorre tra la metà del II e l'inizio del V sec. Si annovera un insieme di frammenti di vasellame dal pozzo G 28 della seconda metà del II sec. In questo stesso periodo o poco più tardi fu scavato un ampio fossato Gb 17 (SH V) che forse fungeva da delimitazione orientale del vicus. Ad esso si aggiungono vasti tratti di due condutture d'acqua, costruite con pietre (SH VI). SH VII indica un gruppo di quattro tombe del tardo impero, alle quali associamo anche un modesto numero d'ossa umane e una fibula della seconda metà del IV sec., tratte dalla terra di riporto dell'attuale giardino. La presenza di tombe indica che durante il tardo impero quest'area del vicus non era più abitata.

Come nel resto del vicus, neppure i lotti Römerstrasse 227/229 e Römerweg 5 hanno fornito resti d'occupazione medievale. L'indagine archeologica ha invece permesso di evidenziare tracce degli edifici a carattere rurale d'epoca recente, precedenti all'attuale situazione edilizia.

L'insieme dei reperti rinvenuti non presenta particolarità ed è stato studiato e presentato in questo contributo unicamente in funzione della datazione di strati e strutture. Sono esposti in dettaglio unicamente i reperti dalla fossa dendrodatata G 18 (SH IV) e l'immondizia della seconda metà del II sec. dal pozzo G 28. Si lamenta l'assenza d'attrezzi relativi alle ampie zone artigianali. Eccezionale per Oberwinterthur e le regioni circostanti è invece il rinvenimento della fibula cruciforme e del corredo dalla tomba 1, risalente al tardo impero e che comprendeva un pettine di palco cervino e una custodia per aghi, ricavata da un osso.
Traduzione Rosanna Janke

Summary
Roman settlement remains were uncovered in an area of around 2000 m^2 in the archaeological excavations carried out during the late 1980's and early 1990's in the current parcel Römerstrasse 227/229 and Römerweg 5 in Oberwinterthur. The size of the area on one hand sometimes resulted in a rather summary course of action as far as the research in the field was concerned, on the other hand however, it allowed us to obtain important results on the planning of the quarter and on the spatial use within the eastern quarter of the vicus.

The settlement traces were divided into seven settlement horizons («Siedlungshorizonte» SH) according to the stratigraphy. After a first settlement horizon (SH I) with pre-Roman and non datable structures that were dug into the natural soil, the best recorded settlement activities followed, covering the whole 1st and the first half of the 2nd centuries (SH II–IV). During this time, the area was occupied by dwellings with hearths and dug out storerooms as well as buildings used for manifacture and storing. Two roads (road 1 and 2) led from the main road to the north and were linked with a further road 3, which was situated parallel and about 55–60 m away. A number of buildings around a courtyard containing pits – probably latrines – were constructed within this insula-like area. The evidence of iron working and of a craft in context with leather or textile manufacturing could be gathered from SH III on. Iron was most probably worked in house H. It was there, that, besides two possible smith's hearths and an enormous amount of iron finds in the layers, we also detected an unusual construction technique. Additionally, an extensive, levelled slagheap at the eastern periphery of the excavated area (layer 9) with innumerable conical slag fragments and heat hardened clay parts from smith's hearths were unearthed. The layers and the fill of numerous pits also contained slag and hammerscale. Building I might have been part of a tannery. Six barrels had been dug into the ground of one of the rooms. These may have been used for the first working of the smoothed skins. In this process, hair and meat residue is removed from the animal hide. However, this structure could also be interpreted as a cloth mill or a textile and leather dye-works.

Especially interesting in SH IV is pit 18 with preserved oak lining which produced an absolute dendro date around 121 AD. The date is important because of the fact that so far no find complexes within the whole vicus have been dated so precisely for this period.

From the time between the mid 2nd and the early 5th centuries, only isolated structures came to light. The last fill of pit 28 dates from the second half of the 2nd century. At the same time, or somewhat later, a large trench Gb 17 (SH V), possibly marking the settlement boundary, and two stone built water channels (SH VI) were constructed. SH VII

describes four Late Roman graves as well as a number of human bones and a Late Roman fibula from the garden humus. The location of the graves shows that the former eastern quarter of the vicus was already situated outside the settlement during Late Roman times.

In analogy to the rest of the settlement, no medieval structures were uncovered at Römerstrasse 227/229 and Römerweg 5. Only the modern buildings, which preceded the present day houses, were detectable archaeologically.

The finds were not very outstanding in their composition and were primarily used for dating purposes of the structures and settlement phases. Therefore, they were only presented in summary. The finds from the dendrochronologically dated pit 18 (SH IV) and the waste from pit 28 dating to the second half of the 2nd century were analysed in more detail. Unfortunately, any trace of tools from the commercially used areas is lacking. The bulb-headed fibula and the offerings from the Late Roman grave 1 (an antler comb and a needle box) are special for Oberwinterthur. As of yet such finds have only rarely been found in its close vicinity.
Translation Sandy Hämmerle

Zum Inhaltsverzeichnis

IV AUSGEWÄHLTE FUNDGRUPPEN

1 KERAMIKSTEMPEL UND GRAFFITI

(Bettina Hedinger und *Verena Jauch)*

Im Folgenden werden die aus dem Nordostquartier und dem Kirchhügel geborgenen Keramikstempel und Graffiti zunächst kurz besprochen und im Anschluss daran tabellarisch beschrieben. Insgesamt wurden 119 Stempel von Terra Sigillata, 4 von Terra-Sigillata-Imitationen, 8 von Reibschüsseln, 5 von Amphoren sowie 12 Gefässe mit Graffiti aufgenommen.

1.1 Italische Terra Sigillata

Aus den hier vorgelegten Grabungen stammen vier italische Stempel, die alle anlässlich der archäologischen Untersuchungen im Nordosten des Vicus zum Vorschein kamen. Drei davon sind den Werkstätten des Ateius zuzuordnen, die bereits mit mehreren Altfunden sowie Beispielen aus jüngeren Grabungen in Oberwinterthur vertreten sind[1094]. Die Signatur des Firmeninhabers ST **1** ist hier mit einer häufigen Ligatur (A und T) belegt. Der Hintergrund des Schriftzuges ist von feinen Linien durchzogen, was darauf hindeutet, dass der Stempel aus Holz geschnitten worden ist. Zur Ateius-Signatur gesellt sich ein Innenstempel des Xanthus ST **3**, eines Freigelassenen des Ateius, von welchem auch Reliefgefässe nach Vitudurum gelangten[1095]. Von Zoilus, einem anderen überaus erfolgreichen Mitarbeiter des Ateius, ist ein Stempel auf einem Tellerboden erhalten ST **4**. Der Planta-pedis-Stempel des Camurius ST **2** weist ausser den Ligaturen (AM und VR) am Ende des Schriftzuges einen Dreizack auf und ist mit einem wohl identischen Stück im bayerischen Kempten (D) bezeugt[1096].

Das bisher bekannte Spektrum der nach Oberwinterthur importierten italischen Produkte mit Töpfersignaturen ist beschränkt. Es umfasst ausser den genannten Beispielen Erzeugnisse weiterer grosser, in Mittelitalien ansässiger Firmen, wie die Manufakturen des L. Tettius Samia, des P. Cornelius und des Murrius[1097]. Bei den meisten Töpfersignaturen handelt es sich um zentral angebrachte Rechteckstempel; nur vereinzelte stehen *in planta pedis*. Radiale Beispiele sind im Gegensatz zur Gruppe der Töpfermarken der helvetischen Imitationen bisher aus Vitudurum nicht bekannt. Die italischen Importe scheinen sich folglich weitgehend auf die ersten zwei Jahrzehnte des 1. Jh. n. Chr. zu beschränken. Dass dabei die Produkte der Ateius-Werkstätten dominieren, entspricht den bisherigen Erkenntnissen über die italischen Importe in unserer Gegend[1098]. Zum Ateius-Stempel ST **1** bestehen unter dem Material des 9 n. Chr. aufgelassenen Lagers in Haltern (D) mehrere enge Parallelen, die nach den chemischen Analysen den Werkstätten von Lyon zugeordnet werden[1099]. Die Importe der italischen Sigillata beschränken sich folglich nicht nur auf Erzeugnisse aus dem Kernland, sondern umfassen auch erwartungsgemäss Produkte aus den eigens für den nordalpinen Markt angelegten Zweigstellen in Lyon.

1.2 Südgallische Terra Sigillata

Wie nicht anders zu erwarten, sind unter den Sigillata-Stempeln über 90% Importe aus Südgallien zu verzeichnen, was zeitlich der Blütezeit des Vicus entspricht. Gestempelt wurde – wie auch andernorts üblich – vorwiegend glatte Sigillata, darunter viele Schalen der Typen Drag. 24 und 27, aber auch Teller der Form Drag. 18/31. Seltener sind reliefverzierte Gefässe im Fundmaterial: Neben neun Schüsseln vom Typ Drag. 29 konnte eine im letzten Viertel des 1. Jh. n. Chr. von Germanus in La Graufesenque oder Banassac intradekorativ gestempelte Schüssel der Form Knorr 78 identifiziert werden (ST **40**)[1100]. Sigillaten aus der Werkstatt des Germanus sind besonders an der Fundstelle Römerstr. 177a zahlreich, wo mindestens 11 Schüsseln vom Typ Drag. 29 geborgen werden konnten[1101]. Bei zahlreichen Fragmenten war die Form nicht mehr rekonstruierbar. Von den 108 gestempelten Gefässen war eine Lesung bei 69 Exemplaren möglich. Von diesen konnten gesamthaft 42 Töpfernamen identifiziert werden, von denen die meisten in der Manufaktur von La Graufesenque tätig waren. Besonders häufig sind die Namen Aquitanus (5), Bassus (4), Secundus (4), Crestus (3), Licinus (3), Murranus (3), Passienus (3) und Scottius (3). Auf eine detaillierte Studie aller Töpfer unter Berücksichtigung ihrer Zeitstellung und ihres Arbeitsortes wurde verzichtet. In der Regel werden Stempel von anderen Fundstellen im Vicus mit Ausnahme der zahlreichen unpublizierten Stücke aus dem «Unteren Bühl» zum Vergleich herangezogen. Von besonderem Interesse ist ein Vergleich der Objekte aus dem Nordostquartier mit den aus dem Keramiklager im «Unteren Bühl» bekannten Exemplaren[1102]. Dieses um 50 n. Chr. eingerichtete Verkaufsmagazin, das um 70 n. Chr. durch Brandeinwirkung zerstört wurde, gibt uns nicht nur einen zeitlichen Anhaltspunkt für die Schaffenszeit einzelner Töpfer, sondern vermittelt uns auch einen Eindruck über das zum Verkauf angebotene Sigillataspektrum[1103]. Von den 24 im Verkaufs-

---

[1094] Bloesch/Isler 1952 Taf. V,2; Vogt 1938, 33–34 mit Abb. 1,5; Bouffard 1943, 16–17; Rychener/Albertin 1986, 118 sowie weitere noch unpublizierte Beispiele.

[1095] Vogt 1938, 33–34 mit Abb. 1,2 (SLM Inv. 36114). Ein weiteres glattes Gefäss des Xanthus aus Oberwinterthur: Vogt 1938, 33 Abb. 1,4.

[1096] O.-C. 397, 182.

[1097] Bloesch/Isler 1952 Taf. 4; Rychener/Albertin 1986, 118; Vogt 1938, 33 Abb. 1,6. Weitere belegte Töpfer sind: Mahes, L. Titius Thyrsus, L. Saufeius Gausa.

[1098] Vgl. dazu z.B. das Spektrum der italischen Sigillata in den spätaugusteisch-frühtiberischen Gruben von Zurzach: Hänggi et al. 1994, 102–107.

[1099] Schnurbein 1982 Nr. 142–145. Drei der Stempel wurden analysiert und alle der Produktionsstätte Lyon zugewiesen. Ob eine Stempelidentität zwischen der Signatur aus Oberwinterthur und den Beispielen aus Haltern besteht, kann nicht mit Sicherheit beurteilt werden. Die Details der Gestaltung der Buchstabenhasten sprechen jedoch dafür.

[1100] B.R. Hartley in Hänggi et al. 1994, 452; Mees 1995, 78 f. Bei Mees werden insgesamt 130 Stempel mit der Lesung GERMANIF aufgeführt, davon 27 auf der Form Knorr 78.

[1101] Unpubl. Auf den Schüsseln Drag. 29 erscheint i.R. die Lesung GERMANIOF, auf Drag. 30 findet sich zusätzlich]ANIF und auf Drag. 37 GERMANI. Von der Römerstr. 187 stammen eine Schüssel Drag. 37 (GERMANVS) und ein Teller Drag. 18/31 (]GERMANI). Unpubl.

[1102] Ebnöther/Eschenlohr 1985.

[1103] Ebd.

magazin vorhandenen namentlich genannten Töpfern fanden sich sieben in dem hier vorgelegten Fundgut wieder: Unter diesen ist der vorflavische Töpfer Aquitanus, der zweimal auf Reliefschüsseln Drag. 29 (ST **11–12**) mit OFAQVITAN und auf einer Schale Drag. 27 mit OFAQVITA (ST **10**) nachgewiesen ist[1104]. Im Vicus ist der Töpfer neben zahlreichen Gefässen aus dem «Unteren Bühl» auch an der Fundstelle Römerstr. 186 auf einem Teller Drag. 15/17 mit der Lesung OFAQVITANI und an der Römerstr. 187 auf einer unbestimmten Schüssel mit AQVITANV[belegt[1105]. Im Keramiklager erscheint diesselbe Lesung OFAQVITANI auf Tellern der Formen Drag. 15/17 und 18. Dies bekräftigt die für das Verkaufsmagazin postulierte These, dass zumindest einige Töpfer je nach Gefässform unterschiedliche Stempeltypen bevorzugten[1106]. Die auf Tellern der Form Drag. 18 auftretenden Signaturen]ITAN und]ANUS, die vermutlich ebenfalls aus der Werkstatt des Aquitanus stammen, zeigen zusätzliche Stempelvarianten für diese Tellerform (ST **13–14**). Selten ist im Keramiklager auf Tellern Drag. 18/31 die Signatur der Töpfergemeinschaft Bassus und Coelus, die sich im Fundrepertoire auf einer Reliefschüssel vom Typ Drag. 29 erhalten hat (ST **22**)[1107]. Allein von dem bis in flavische Zeit aktiven Bassus wurden drei Gefässe von der Fundstelle Römerstr. 227/229 aufgenommen (ST **19–21**)[1108]. Der in unserem Terra-Sigillata-Material zweimal vorkommende Töpfer Celadus findet in der Lesung CELADVSF auf einem Teller Drag. 18 seine Entsprechung im Keramiklager auf Schalen der Formen Hofheim 9 und Drag. 27 (ST **27**). Die von Celsus gestempelten Gefässe aus dem «Unteren Bühl» stammen aus claudisch-neronischen Kontexten[1109]. Auch der während vorflavischer Zeit in La Graufesenque und Montans arbeitende Töpfer Masc(u)lus, der nachweislich zwei Gefässe im Nordostquartier des Vicus gestempelt hat, findet sich im Verkaufsmagazin wieder (ST **57–58**).

Gleich dreimal ist der Töpfer Murranus aus La Graufesenque an der Römerstr. 227/229 vorhanden, der auch im Keramiklager in leicht abweichender Lesung vorkommt und im «Unteren Bühl» vorflavisch zu datieren ist (ST **60–62**)[1110]. Der mit mindestens 70 gestempelten Gefässen (30,4%) im Verkaufsmagazin mit Abstand am besten vertretene Töpfer ist der seit neronischer Zeit populäre Passienus von La Graufesenque, der für unterschiedliche Gefässformen verschiedene Stempeltypen bevorzugte[1111]. Beispiele sind Teller Drag. 18/31 mit PASSIEN, Schalen Drag. 27 mit PASSIE und Reliefschüsseln Drag. 29 mit OFPASSIEN bzw. PASS[1112]. Aus dem vorliegenden Fundgut stammt die mit OPASIE gestempelte Schale Hofheim 9 (ST **75**). Der gleiche Stempel ist in vorflavischer Zeit auch andernorts auf Schalen der Formen Drag. 24 und 27 belegt[1113]. Die beiden mit PASSIEN gestempelten Fragmente lassen sich vermutlich zu Tellern ergänzen (ST **73–74**). Von der Fundstelle Römerstr. 187 wurde ein Teller Drag. 18/31 mit der Lesung OFPASSIE aufgenommen[1114]. Als letzter aus dem Keramiklager bekannter Töpfer ist Vitalis zu nennen, der mit VITALISF in vorflavischer Zeit einige Teller signierte, in anderer Form jedoch bis in flavische Zeit vertreten ist[1115]. Die beiden Fragmente von der Römerstr. 227/229 mit der Lesung]VITALIS bzw.]VITA lassen sich keinem Gefässtyp zuordnen (ST **96–97**). Aus Oberwinterthur ist Vitalis-Ware vom «Unteren Bühl», von der Römerstr. 177a, 187 und der Lindbergstr. 14 bekannt[1116].

Von den bereits an der Römerstr. 186 und der Römerstr. 177a registrierten Stempeln begegnen auch in unserem Fundgut die Namen Calvus, Censor und Crestus (ST **24, 31; 33–35**)[1117]. Vom Kirchhügel und der Römerstr. 177a kennen wir die vorflavischen Töpfer Licinus und Scottius, die im vorliegenden Material mit jeweils drei Stempeln nachgewiesen sind (ST **51– 53, 86–88**)[1118].

Ein bislang noch nicht erwähnter Töpfer, dessen Signatur aus dem Nordostquartier auf mindestens vier Schalen erscheint, ist Secundus, der in La Graufesenque bis in flavische Zeit tätig war (ST **89–92**)[1119]. Wahrscheinlich um die Lesung Iucundus handelt es sich bei zwei identischen Stempeln auf Schalen der Fundstelle Römerstr. 221, die ihre einzige mutmassliche Vergleichsmöglichkeit im vorflavischen Aislingen (D) findet (ST **46–47**).

1.3 Mittelgallische Terra Sigillata

Mit einem einzigen Stempel des Maternianus aus Lezoux eine absolut untergeordnete Rolle spielt die Gruppe der Terra Sigillata aus Mittelgallien (ST **113**).

1.4 Ostgallische Terra Sigillata

Ebenfalls unterrepräsentiert sind gestempelte Sigillaten aus Ostgallien und Obergermanien. Ein Teller von der St. Arbogast-Stützmauer trägt die für Vitudurum seltene Lesung SATVRNINVS (ST **119**). Das Töpfergespann Saturninus-Satto hat ab 80 n. Chr. in Boucheporn und wenig später um 90 n. Chr. bis um 150 n. Chr. in dem nur 15 km entfernten Chémery bei Metz gearbeitet und in der 1. Hälfte des 2. Jh. nach Grossbritannien, Obergermanien und Rätien exportiert[1120].

Cibisus, der in Ittenweiler bzw. Mittelbronn zwischen 150 und 175 n. Chr. arbeitete, ist im Fundgut zweimal vertreten (ST **114–115**). Von der Fundstelle Römerweg 5 konnten zwei gestempelte Importe aus Heiligenberg geborgen werden, eine Reliefschüssel Drag. 37 von Reginus (ST **118**) und eine Schale des Ciriuna (ST **116**), beide aus der 2. Hälfte des 2. Jh. n. Chr.[1121] Von der Fundstelle Römerweg 5, von wo die meisten der ostgallischen Sigillaten geborgen werden konnten, stammen mindestens drei ostgallische Reliefschüsseln der Form Drag. 37 – eine von Reginus signierte –, die mit dem Graffito MD, bzw. MA – wohl als Besitzermarke – versehen sind (ST **118**; GR **4–6**).

1.5 Terra-Sigillata-Imitationen

Von den vier Gefässen, die zur Gattung der Terra-Sigillata-Imitation gehören, ist bei zwei Schalen von der Fundstelle Römerstr. 227/229 die Lesung PINDARVS gesichert (ST **121–122**). Neuere Grabungen in Lausanne-Vidy «Chavannes 11» bestätigen die Datierung von W. Drack, der die Schaffenszeit von Pindarus in tiberisch-claudische Zeit gesetzt hat[1122]. Da es von Pindarus in Vindonissa und in Vidy zahlreiche gestempelte Gefässe gibt, vermutete E. Ettlinger auf Grund ihrer Stempelvergleiche, dass der Töpfer zuerst in Vindonissa gearbeitet hat und später nach Vidy abgewandert ist[1123]. Weitere Belege aus Vitudurum sind nicht bekannt.

1.6 Reibschüsseln

Fragmente von acht Reibschüsseln aus den vorgelegten Grabungen tragen einen Stempel. Darunter befinden sich drei in der Ostschweiz verbreitete Typen:

Das Fragment CAT[ ] (ST **124**) mit dem charakteristisch gestrichelten Rahmen der Kartusche lässt sich als Rest einer



Abb. 275. Randfragment einer Reibschüssel mit dem Stempel RAETIC aus dem Areal «Unteres Bühl» (FK 62897). M. 1:1.

Signatur des Töpfers C. Atisius Gratus ergänzen. Der zweiteilige Stempel befindet sich jeweils beidseits der Gefässmündung. Für die Identifikation spricht auch der typische helle, fein geschlämmte, aber nicht sehr hart gebrannte Ton sowie die charakteristische Form mit eng anliegendem heruntergezogenem Kragenrand. C. Atisius Gratus und C. Atisius Sabinus führten im mittleren bis späten 1. Jh. n. Chr. eine Werkstatt in Aoste (Isère, F) und exportierten ihre Produkte in grossen Mengen vor allem in die West- aber auch bis in die Ostschweiz[1124]. In Oberwinterthur fehlen bisher sichere Nachweise für Sabinus; der Firmenstempel ist jedoch mehrfach nachgewiesen[1125].

Der zweiteilige, auf das Monogramm C.M reduzierte Stempel ST **127** ist für Vitudurum ebenso kein Einzelstück[1126]. Die Signatur ist ferner aus Eschenz sowie vermutlich aus Chur bekannt[1127] und datiert ins frühe 2. Jh. n. Chr.

Der zweifach belegte Stempel RAE[ ] (ST **128–129**) kann auf Grund von Vergleichsfunden aus Oberwinterthur zum Namen Raeticus ergänzt werden (Abb. 275). Zwei weitere Beispiele sind bereits vom Kirchhügel bekannt; acht zusätzliche Exemplare aus Oberwinterthur sind noch unpubliziert[1128]. Es lassen sich mehrere Varianten der Signatur unterscheiden: Oft sind nur die ersten drei oder vier Buchstaben des Namens sichtbar. Dabei ist aber unklar, ob der Stempel nur diese umfasste oder ob er unvollständig abgedrückt worden ist. Ferner kann der Schriftzug mit einem oder zwei Rahmenlinien begrenzt sein. Die Werkstatt des Raeticus liess sich bisher nicht lokalisieren. Die Anzahl der aus Vitudurum bekannten Beispiele und die geringe Verbreitung ausserhalb des Vicus – so ist etwa ein Exemplar aus Chur bekannt[1129] – schliesst aber zumindest eine lokale Herkunft nicht aus. Der Personenname Raeticus ist eher im Grenzbereich der beiden Provinzen oder ausserhalb Rätiens als in der Provinz selbst zu erwarten, da er Angehörige des Stammes der Raeter auszeichnet. In Vindonissa waren in vorflavischer Zeit zwei rätische Kohorten stationiert. Das Cognomen ist aus dem Legionslager zudem auf einem Schrifttäfelchen bezeugt[1130]. Die Stratigraphie des Kirchhügels ermöglicht eine Datierung der Stempel des Raeticus ins 1. Viertel des 2. Jh. n.Chr.

Die übrigen Reibschüsselstempel stellen für Oberwinterthur bisher Einzelstücke dar, die sich schlecht zuordnen lassen. Bei der Signatur DEVIX F (ST **125**) ist nicht nur der Töpfername ungewöhnlich, sondern auch die tangentiale Anbringung auf dem Gefässrand. Die Lesung DINI[ ] des Stempels ST **126** ist unsicher. Beide Funde stammen aus einer Auffüllschicht des späten 2. Jh. n. Chr. CC bildet ein Fragment eines unidentifizierten zweizeiligen Stempels (ST **130**).

[1104] Zur Datierung vgl. B.R. Hartley in Hänggi et al. 1994, 459f. Nr. 90; 108.

[1105] «Unteres Bühl», unpubl. Besonders häufig ist dort OFAQVITAN auf Schüsseln Drag. 29. Die Hauptschaffenszeit von Aquitanus umfasst auch hier die claudisch-neronische Zeit; Th. Pauli et al., Vitudurum 6 (in Vorb.). Rychener/Albertin 1986, 118 Kat. 361; Fundstelle Römerstr. 187 unpubl.

[1106] Ebnöther/Eschenlohr 1985, 254.

[1107] Ebd.; OFBASSICO auf Drag. 29 vom «Unteren Bühl» , unpubl.

[1108] Zahlreiche Fragmente vom «Unteren Bühl» , unpubl.; Römerstr. 177a, unpubl.; Lindbergstr. 14, unpubl. Zur Datierung B.R. Hartley in Hänggi et al. 1994, 460 Nr. 109.

[1109] Th. Pauli et al., Vitudurum 6 (in Vorb.).

[1110] Zur Datierung B.R. Hartley in Hänggi et al. 1994, 458 Nr. 71; Th. Pauli et al., Vitudurum 6 (in Vorb.); Planck 1975, 240.

[1111] Zur Datierung B.R. Hartley in Hänggi et al. 1994, 461 Nr. 113; Th. Pauli et al., Vitudurum 6 (in Vorb.); Planck 1975, 240; Mees 1995, 89f. Taf. 156–159.

[1112] Ebnöther/Eschenlohr 1985, 254 Abb. 6–7; Mees 1995, 62.

[1113] Lit. bei ST 75.

[1114] Unpubl. Zahlreiche Stempel aus dem «Unteren Bühl», unpubl.: PASSIEN (Drag. 18), PASSIE (Hofheim 9), OFPASSIEN (Drag. 29).

[1115] Zur Datierung B.R. Hartley in Hänggi et al. 1994, 455 Nr. 31; Planck 1975, 246.

[1116] Th. Pauli et al., Vitudurum 6 (in Vorb.); Römerstr. 177a, unpubl.; Römerstr. 187, unpubl.; Lindbergstr. 14, unpubl.

[1117] Römerstr. 177a, unpubl.: Drag. 18/31 (OFCALVI), Teller (OFCRESTIO). Römerstr. 187, unpubl.: Drag. 18 (OFCALVI; OFCA) und unbestimmt (]ALVI). Zur Datierung B.R. Hartley in Hänggi et al. 1994, 457 Nr. 62–63. Zahlreiche von Calvus gestempelte Gefässe aus dem «Unteren Bühl» in flavischem Kontext; Th. Pauli et al., Vitudurum 6 (in Vorb.).

[1118] Römerstr. 177a, unpubl.: Drag. 29 (LICINUSF), Tasse (SCOTI). Zur Datierung Koller/Doswald 1996, 442 (Licinus); B.R. Hartley in Hänggi et al. 1994, 454 Nr. 25 (Scottius).

[1119] Vergleiche stammen von der Römerstr. 187, unpubl.: Drag. 27 (OFSECVN) und unbestimmt (]VNDF). Zur Datierung B.R. Hartley in Hänggi et al. 1994, 452ff. Nr. 26–28.

[1120] DAF 6, 212–216. Nach M. Lutz arbeiteten sie in Mittelbronn noch bis 175 n. Chr., was aber allgemein als eine zu lange Schaffensperiode angesehen wird; M. Lutz, L'atelier de Saturninus et de Satto à Mittelbronn (Moselle). Gallia Suppl. 22, 1970, 29. 326 ff. Zusammenfassend bei Luik 1996, 145 (in Köngen D, 150 Gefässe).

[1121] Urner-Astholz 1946, Taf. 31,15,15a; Luik 1996, 150.

[1122] Drack 1945, 112 f.; Th. Luginbühl/A. Schneiter, La fouille de Vidy «Chavannes 11» 1989–1990. Lousanna 9 (Lausanne 1999) 62; 171.

[1123] Ettlinger/Roth-Rubi 1979, 85 ff. (7 aus Vindonissa, 3 aus Vidy, 2 aus Baden, 6 aus Augst, je 1 aus Petinesca und Avenches); Ch. Meyer-Freuler 1998, 46 Anm. 172 (mit Literatur); A. Laufer, La Péniche. Un atelier de céramique à Lousonna. Cahiers d' Archéologie Romande 20. Lousonna 4 (Lausanne 1980) 35 ff.

[1124] Zur Töpferei von C. Atisius Gratus und C. Atisius Sabinus vgl. Laroche 1987, bes. 327–328, 343–344; zur Verbreitung in der Schweiz: Guisan 1974, 51; Funde aus Genf: Paunier 1981 Kat. 497, 531; Avenches: Guisan 1974 Taf. 28,1–9; Baden: Koller/Doswald 1996 Kat. 171, 172.

[1125] Unpublizierte Beispiele aus den Grabungen beim «Unteren Bühl» und an der Römerstr. 169a.

[1126] Rychener 1984, 114 Kat. 469. Ein unpubliziertes Beispiel liegt aus dem «Unteren Bühl» vor: Inv. 61163.

[1127] Eschenz: Höneisen et al. 1993, 53 Abb. 38; Chur: Hochuli-Gysel et al. 1991 Taf. 40,8 (wobei sich bei diesem Beispiel der zweite Teil des Monogramms nicht nur auf das M beschränkt, die unvollständige Erhaltung aber keine Ergänzung ermöglicht).

[1128] Rychener 1984, 114 Kat. 525, 582. Weitere Funde aus dem Areal «Unteres Bühl» Inv. 61492, 62897, 63187, 63212, 64462, 65052, 65088, 66413.

[1129] Hochuli-Gysel et al. 1986 Taf. 38,16.

[1130] M.A. Speidel, Die römischen Schreibtafeln von Vindonissa. VerGPV 12 (Brugg 1996) 150–151, vgl. die Textstelle bei Tacitus I 68.

Das anepigraphische Motiv ST **131** schliesslich gehört zu einer Gruppe von in der Ostschweiz wenig bekannten Stempel mit Gittermotiven, die in der Westschweiz zahlreich und mit vielfältigen Varianten vorkommen[1131].

1.7 Amphoren

Im Fundmaterial befanden sich nur fünf gestempelte Henkel, die zum Typus der südspanischen Ölamphore Dressel 20 gehören (ST **132–136**).

Bereits in claudischer Zeit sind Amphoren des PHILO belegt, der in der vorflavischen Epoche in einer noch nicht lokalisierten spanischen Manufaktur arbeitete (ST **135**)[1132]. Weniger gut lesbar sind zwei Stempel von der Fundstelle Römerstr. 227/229: ST **136** ist mit grosser Wahrscheinlichkeit als QIMF zu entziffern, eine Stempelung, mit der im mittleren 2. Jh. n. Chr. eine Vielzahl von Gefässen in den Provinzen nördlich der Alpen versehen wurde[1133]. Unsicherer ist ST **134**, bei dem sich möglicherweise die retrograde Signatur QMR aus der 1. Hälfte des 2. Jh. ergibt[1134]. Gleich zweimal ist ein Stempel der IVNI MELISSI und ihrer Betriebe auf dem Kirchhügel vorhanden (ST **132–133**). Diese von Las Delicias stammenden, in den Rheinprovinzen und in Britannien weit verbreiteten Stempel datieren in das späte 2. bzw. in die 1. Hälfte des 3. Jh. n. Chr., ein zeitlicher Rahmen, der von Siedlungshorizont 2 an der Hohlandstr. 3 abgedeckt wird[1135].

1.8 Graffiti

Von den 12 mit Graffiti versehenen Gefässen handelt es sich um 11 Sigillaten und nur ein gebrauchskeramisches Fragment (GR **7**). Interessanterweise ist auf drei ostgallischen Schüsseln vom Typ Drag. 37 das Kürzel MD oder MA zu lesen. Da die Gefässe an derselben Fundstelle am Römerweg 5 geborgen wurden, liegt es nahe, dass sie denselben Besitzer hatten. Ob selbiges für drei mit einem Kreuz versehene Schalen von der Römerstr. 227/229 und Römerweg 5 gilt, ist nicht auszuschliessen (GR **10–12**). Bei GR **7** handelt es sich um das einzige auf Gebrauchskeramik nachgewiesene Graffito. Auf der Wandung eines grautonigen Topfes erscheint die Lesung]I TVB LII. Als Interpretation vorgeschlagen wurde] I Tubus 52, wobei die Zugehörigkeit des ersten lesbaren i unklar ist[1136]. Vielleicht handelt es sich um eine Grössenangabe, deren Sinn im Detail nicht zu entschlüsseln ist.

2 DIE MÜNZEN *(Bettina Hedinger)*

2.1 Die Fundmünzen aus dem Bereich des Kirchhügels

2.1.1 Menge und Zusammensetzung der Münzreihe

Aus den Grabungen 1988–1994 auf und rund um den Kirchhügel stammt nur eine geringe Menge von Münzen von Vespasianus bis Tetricus I. Fünf davon kamen bei den Untersuchungen an der Hohlandstr. 3 zum Vorschein. Der Einzelfund von der Unteren Hohlgasse 8 – ein As des Vespasianus – fügt sich in diese Gruppe ein. Jüngere Münzen sind auch als Streufunde nicht belegt. Die Neufunde entsprechen folglich nur einem Ausschnitt der bisher vom Kirchhügel bekannten Münzreihe (Abb. 276), die von der römischen Republik bis zum späten 4. Jh. die Dauer der römischen Belegung, wenn auch mit sehr geringen Stückzahlen, abdeckt. Es ist davon auszugehen, dass von den ca. 230 bisher erfassten Altfunden aus Oberwinterthur weitere Münzen aus dem Gebiet des Kirchhügels stammen, da sich die frühen Fundnachrichten auf das Areal der Befestigung konzentrieren. Eine Überlieferung des genauen Fundortes liegt jedoch bei Altfunden bekanntlich selten vor. Diese Bestände sowie die Funde der Grabungen in der Kirche und im Kirchhof (1976–1981) ergänzen das uns von den neueren Untersuchungen vermittelte Bild vor allem für die Frühzeit und das 4. Jh. n. Chr. Die wenigen republikanischen und augusteischen Prägungen alleine ermöglichen jedoch keine präziseren Aussagen zum Beginn und zum Charakter der Besiedlung auf dem Kirchhügel. Das Aes III des Valens[1137] unterstützt – stellvertretend für die bisher rund 16 Prägungen der 2. Hälfte des 4. und frühen 5. Jh. – die durch das ganze 4. Jh. andauernde Besiedlung des befestigten Vicus sowie die anzunehmende Siedlungskontinuität bis ins frühe Mittelalter.

2.1.2 Die Münzen im stratigraphischen Kontext

Die stratifizierten Münzen vom Kirchhügel unterstreichen eine Abfolge der verschiedenen Siedlungsphasen ab dem 2. Viertel des 1. Jh. n. Chr. bis in die Zeit der Benützung der Befestigung im frühen 4. Jh. Innerhalb dieses Zeitraumes interessieren insbesondere die bisher schlecht bekannten baulichen Aktivitäten des 2. und 3. Jh. Nach wie vor dienen die Münzen oft einer präziseren Phasendatierung, wobei die Unsicherheiten über die Umlaufdauer der einzelnen Typen uns zu einem vorsichtigen Vorgehen und Urteil zwingen. So könnte etwa die Datierung der Zerstörung des gegenüber des Tempels liegenden Hauses Vc auf Grund des Asses des Marcus Aurelius sowie anderer Funde (Keramik und Glas) auch wesentlich später als im 3. Viertel des 2. Jh. n. Chr. anzusetzen sein[1138].

Trotz der stellenweise geringen Grabungsfläche und den umfangreichen Störungen durch jüngere Eingriffe sind auf dem Kirchhügel punktuell Erkenntnisse zu den Neu- und Umbauphasen des späteren 2. und 3. Jh. zu gewinnen. Dies stellt eine wesentliche Ergänzung zur Stratigraphie in anderen Gebieten des Vicus dar, wo die entsprechenden Schichten oft fehlen und die Siedlungsabfolge wegen tief greifenden mittelalterlichen und neuzeitlichen Eingriffen abrupt endet oder Lücken aufweist. Diese Beobachtung und der Umstand, dass auf dem Kirchhügel 1958 ein kleiner, etwa um 160 n. Chr. verborgener Münzschatz gefunden worden ist[1139], sollen aber nicht zur Annahme verleiten, dass sich die Siedlungsfläche bereits in dieser Zeit auf das Gebiet rund um die Befestigung verkleinert hat. Das 59 Denare von Vespasianus bis Antoninus Pius für Marcus Aurelius enthaltende Behältnis, ein kleiner Lampenfüller(?), steckte in einer Brandschicht zwischen der Kastellmauer und dem sog. Spitzgraben. Die unmittelbar darüber liegende, mächtige Auffüllung überdeckte die bereits partiell abgetragene Kastellmauer. Es ist folglich davon auszugehen, dass die Errichtung der Kastellmauern umfangreiche Erdbewegungen auslöste und dadurch die Schichten des späten 2. und 3. Jh. stellenweise abgetragen wurden. In örtlich begrenzten Arealen sind diese jedoch erhalten. So konnte an der Hohlandstr. 3 die Ziegelversturzschicht, die die Phase 2c abschliesst, dank eines Denars des Severus Alexander in die Mitte des 3. Jh. datiert werden. Die beiden jüngsten Münzen aus demselben Areal, Antoniniane des Claudius II und des Tetricus I, weisen auf

	Kirchhügel				Vicus Nordostquartier				
	Neufunde[1]	1976–81[2]	1949–51, Altfunde[3]	Total	Römerstr. 209	Römerstr. 215	Römerstr. 221	Römerstr. 229	Total
Röm. Republik			4	4	2			2	4
Übergangszeit					2	2			4
Augustus			3	3	2	1		1	4
Augustus?								1	1
Tiberius		1	5	6	1	1	1	5	8
Tiberius?								1	1
Caius					1			1	2
Claudius		1	2	3			1	3	4
julisch-claudisch					1		1		2
julisch-claudisch?							1		1
Nero		2		2				1	1
Vespasianus	1		1	2					
Vespasianus?	1			1					
Domitianus							1		1
1. Jh.		2		2					
Traianus								1	1
Hadrianus			1	1				1	1
Antoninus Pius		1		1					
Marcus Aurelius	1	1		2					
2. Jh.		2		2					
Severus Alexander	1	1		2					
Marcus Aurelius bis Macrinus							1		1
Gallienus			2	2					
Claudius II Gothicus	1	1		2				1	1
Tetricus I	1			1				2	2
Tetricus II								1	1
Gallienus bis Carus								1	1
unbest. 3. Jh.								2	2
Maximinus								1	1
Constantinus I		2	1	3				4	4
Constantinssöhne		2	1	3				1	1
Valens			1	1					
Neuzeit					2	1	1		4
Total	6	16	21	43	11	5	7	30	53

Abb. 276. Übersicht über die Fundmünzen vom Kirchhügel und vom Nordosten des Vicus. 1 Ausgrabungen Hohlandstr. 3, Untere Hohlgasse 8. vgl. die Übersicht über die Fundmünzen im Anhang. 2 Rychener 1984, 115. Nicht eingerechnet sind vier unbestimmbare Aes-Münzen. 3 Wiedemer 1976, 46–49 sowie unpublizierte Altfunde im Münzkabinett Winterthur und im Museum Lindengut mit Fundortangabe Kirchhügel, Kirchhof o. ä. Vgl. die tabellarische Zusammenstellung S. 247–249.

Siedlungsaktivitäten hin, die zeitlich in die Nähe der Befestigung rücken[1140].

Es bestehen verschiedene Hinweise für die lange Umlaufdauer gewisser Münztypen. Die Vergesellschaftung einzelner Münzen, deren Prägezeit 100 Jahre auseinander klafft, ist jedoch vorsichtig zu beurteilen. Ich möchte aber nicht ausschliessen, dass die 22/23–30 (?) n. Chr. geprägten Asse des Typs Providentia und auch das neronische Kupfergeld noch zu Beginn des 2. Jh. n. Chr. in Umlauf sein konnten, wie es die Benützungsschichten von Haus IVb vermuten lassen[1141], und nicht nur als Altmetall zu bezeichnen sind. Die Planie 902, die gegen die Mitte des 4. Jh., d. h. nach dem Bau der Mauern, auf dem Kirchhügel eingebracht wurde, beinhaltete neben einem Aes der Constantinssöhne einen subaeraten Denar des Severus Alexander, der im 4. Jh. durchaus mit dem Wert eines Aes II zirkulieren konnte[1142].

2.2 Die Fundmünzen aus dem Nordostquartier

2.2.1 Menge und Zusammensetzung der Münzreihe

Aus den vier Untersuchungen im Nordostquartier stammen insgesamt 53 Münzen. Mehr als die Hälfte umfasst Prägungen von der Republik bis zu Claudius und widerspiegelt das für den frühkaiserzeitlichen Münzumlauf in unserer Gegend charakteristische Typenspektrum. Neben den mehrfach belegten republikanischen Prägungen sind vor allem die Münzen der «Übergangszeit», des Augustus und des Tiberius, zu

[1131] Ein einzelnes, aber nicht identisches Vergleichsbeispiel aus Oberwinterthur stammt aus einer Grabung an der Lindbergstr. 14 und ist unpubl. Westschweiz: Genf: Paunier 1981 Kat. 532; Avenches: Guisan 1974 Taf. 31–32; Bern: Ettlinger 1975–78, 132 Taf. 2.

[1132] Martin-Kilcher 1987, 90.

[1133] Ebd. 116 ST 66; Martin-Kilcher et al. 1985, 177 f. Nr. 184.

[1134] Martin-Kilcher 1987, 122 ST 75b.

[1135] Zur Verbreitung der Iuni Melissi vgl. auch: St. Martin-Kilcher, Verbreitungskarten römischer Amphoren und Absatzgebiete importierter Lebensmittel. In: Münstersche Beiträge zur antiken Handelsgeschichte, 23, 1994, 2, 106 f.; J. Remesal Rodriguez, Heeresversorgung und die wirtschaftlichen Beziehungen zwischen der Baetica und Germanien. Materialien zu einem Corpus der in Deutschland veröffentlichten Stempel auf Amphoren der Form Dressel 20. Materialhefte zur Archäologie in Baden-Württemberg 42, 1997, 130–133.

[1136] Für die Vorschläge danke ich Peter Frei, Zürich, und Heinz E. Herzig, Bern.

[1137] Münzkabinett Winterthur MNr.A 24, Valens, Aes III. Aquileia, 375–378 n. Chr. RIC 17a. Typ Gloria Romanorum. ×=*//SMAQP. 2,76 g; 180°; 18,2/17,3 mm. Erhaltung: A 3/3, K 3/3. FO: Oberwinterthur, Kirchhof.

[1138] Rychener 1984, 40.

[1139] Wiedemer 1976, 53–64.

[1140] Zum Münzumlauf im späteren 3. Jh. vgl. H. Brem u.a., A la recherche des monnaies «perdues». JbSGUF 79, 1996, 209–215.

[1141] Rychener 1984 Kat. 474–475.

[1142] Rychener 1984 Kat. 802–803.

erwähnen. Aus der augusteischen Zeit sind nur Prägungen der Münzstätten Nîmes und Lyon (Altarserie I und II) belegt, unter den tiberischen Münzen fallen v. a. die zahlreichen Asse mit dem Providentia-Altar auf, die allgemein in Oberwinterthur in grossen Mengen auftreten. Auch unter den übrigen julisch-claudischen Prägungen sind die verbreitetsten Typen, wie der Dupondius des Gaius für Germanicus und der As des Typs Minerva des Claudius, zu vermerken.

Aus den kleineren Grabungsflächen, Römerstr. 209, 215 und 221 stammen keine Münzen, die jünger sind als die Herrschaftszeit des Kaisers Domitianus. Einzig von der grossflächigen Untersuchung an der Römerstr. 229 und am Römerweg 5 sind Funde des 2.–4. Jh. zu verzeichnen. In diesem Areal, das offensichtlich eine spätantike Nutzung aufwies, sind fünf Prägungen aus der Zeit zwischen 310 und 340 zum Vorschein gekommen. Danach bricht die römische Münzreihe ab, auf der nur noch vereinzelte neuzeitliche Schweizer Münzen des 18.–19. Jh. und ein süddeutscher Rechenpfennig folgen.

Die Asse aus der Zeit der Republik und des Octavianus sind alle ausnahmslos halbiert. Dazu gesellt sich ein abgegriffener Denar als einzige weitere republikanische Münze. Die belegten Nominale entsprechen den üblichen Schwerpunkten in Oberwinterthur. Neben den im 1. Jh. vorherrschenden Assen sind aus dem 2. Jh. vereinzelte grössere Nominale (Sesterz, Denar), aus dem 3. Jh. mehrere Antoniniane und aus dem 4. Jh. Aes II und Aes III belegt. Eher selten ist die Halbierung bei Assen für Divus Augustus Pater, wie beim «Providentia-As» M **26**. Alle Münzen weisen Zirkulationsspuren auf, einzelne spätrömische Prägungen (M **52**) dürften aber auf Grund ihrer guten Erhaltung relativ schnell verloren gegangen sein. Die Münzen der frühen und der mittleren Kaiserzeit stammen vorwiegend aus der Prägestätte Rom; die spätrömischen Münzen sind häufiger mit der Münzstätte Trier zu verbinden.

2.2.2 Die Münzen im stratigraphischen Kontext

Die ältesten kaiserzeitlichen Münzen unterstützen die Datierung der ersten Siedlungsphasen im Nordostquartier auf exemplarische Weise. So fand sich etwa ein As der Serie I von Lyon (M **18**) in den ältesten, spätaugusteisch-frühtiberischen Schichtzusammenhängen an der Römerstr. 209. Ferner datiert der einzige nicht halbierte augusteische As der Serie II der Prägestätte Nemausus (M **15**) die etwa gleichzeitigen Aktivitäten in der Werkstatt an der Römerstr. 215. Die zahlreichen halbierten republikanischen bis frühkaiserzeitlichen Asse stammen vorwiegend aus jüngeren Schichten. Im 2. Jh. scheinen sie jedoch allmählich aus dem Münzumlauf verdrängt zu werden. Die vielfachen Belege von tiberischen Prägungen für Divus Augustus in Fundzusammenhängen der 2. Hälfte des 1. Jh. (M **21**, M **22**, M **24**, M **26**, M **28**) zeugen von der langen Zirkulationszeit der z. T. in sehr umfangreichen Mengen emittierten Serien, wie z. B. die sog. Providentia-Asse. Währenddem in Siedlungsphasen des mittleren 1. Jh. zusätzlich Münzen des Caius und des Claudius vorliegen, sind die neronisch bis flavischen Prägungen zahlenmässig schlecht vertreten, obwohl es in dieser Zeit nicht an Siedlungsaktivitäten fehlt. Es scheint, dass allgemein die julisch-claudischen Münzen den Umlauf in dieser Zeit immer noch dominieren. Die Münzen des 2.–4. Jh. aus dem Areal Römerstr. 229/Römerweg 5 lassen sich stratigraphisch leider kaum auswerten. Auf einzelne zeitliche Konzentrationen soll dennoch kurz hingewiesen werden. Der As des Traianus (M **41**) und der Sesterz des Hadrianus (M **42**) widerspiegeln das bekannte Bild der bis ins frühe 2. Jh. gut belegten Siedlungsaktivitäten.

Nach einer zeitlichen Lücke von über 100 Jahren ist eine Gruppe von Antoninianen des 3. Viertels des 3. Jh. zu verzeichnen (M **44**–M **48**), die vermutlich mit Siedlungsphasen in Zusammenhang mit der Befestigung des Kirchhügels zu betrachten ist. Die im Areal Römerstr. 229/Römerweg 5 gefassten Strukturen lassen für die Zeit des späteren 3. Jh. und des früheren 4. Jh. kaum Schlüsse in Bezug auf die Nutzung des Areals zu. Die in Bezug auf den Vicus randliche Lage des Gebietes könnte auf eine Interpretation als «Pufferraum», der unterschiedlich intensiv genutzt wurde, hinweisen: Möglicherweise befand sich hier zeitweise Brachland bevor in der Spätantike ein Bestattungsplatz eingerichtet wurde. Trotz der schlechten Befundsituation stellen die Münzen wertvolle Hinweise für die Ausdehnung der Siedlung in dieser Zeit dar. Der Vicus zur Zeit der Befestigung kann ausserhalb des Kirchhügels oft nur punktuell und selten mit aussergewöhnlichen Befunden, wie z.B. dem verstürzten Lararium im Unteren Bühl[1143], gefasst werden. Auch für die konstantinische Zeit ist die Befundlage ähnlich schlecht. Die Zahl der Münzen scheint im Vergleich zur Gesamtzahl aber zu hoch, um sie bloss als zufällige Verluste von Passanten zu interpretieren. M **51**–M **55** überbrücken zwar, was ihre Prägezeit betrifft, die Lücke bis zu den spätantiken Gräbern nicht, könnten aber dennoch mindestens teilweise auch nach der Mitte des 4. Jh. in Umlauf gewesen sein.

2.3 Chemische Analysen

Im Rahmen einer Diplomarbeit am Technikum Winterthur wurden 1992 drei Münzen aus den Grabungen an der

Münze	Cu	Pb	Fe	Mn	Zn	Sn	Ca	Si
AAS								
M 8	31.91 ± 3.19	41.58 ± 2.45	1.96 ± 0.06	0.17 ± 0.03	1.03 ± 0	-		
M 26	48.76 ± 0.24	4.40 ± 0.55	16.88 ± 3.46	0.42 ± 0.10	0.64 ± 0.08	7.53 ± 3.38		
M 34	81.68 ± 12.25	2.79 ± 0.01	2.28 ± 0.47	0.18 ± 0.04	1.11 ± 0.02	-		
RFA								
M 8	33.8 ± 0.2 23.0 ± 0.2	45.3 ± 0.2 51.7 ± 0.2	4.2 ± 0.1 5.6 ± 0.1	0.04 ± 0.01 0.08 ± 0.01	0.07 ± 0.01 0.03 ± 0.01	5.8 ± 0.1 7.5 ± 0.1	2.7 ± 0.08 3.8 ± 0.09	0.32 ± 0.02 0.48 ± 0.03
M 26	49.7 ± 0.2 52.6 ± 0.2	0.04 ± 0.01 0.03 ± 0.01	18.8 ± 0.2 16.4 ± 0.2	0.11 ± 0.01 0.12 ± 0.01	- -	0.03 ± 0.01 -	13.1 ± 0.2 11.0 ± 0.2	4.2 ± 0.1 5.4 ± 0.1
M 34	80.6 ± 0.2 84.4 ± 0.2	0.11 ± 0.02 0.08 ± 0.01	1.7 ± 0.06 0.62 ± 0.03	0.08 ± 0.01 0.05 ± 0	0.13 ± 0.01 0.15 ± 0.01	0.11 ± 0.01 -	6.8 ± 0.1 4.0 ± 0.09	0.52 ± 0.03 0.52 ± 0.03

Abb. 277. AAS = Atomabsorptionsspektrometrie; RFA = Röntgenfluoreszenzanalyse. Alle Angaben sind in Gewichtsprozenten. Sämtliche Werte wurden auf zwei Dezimalstellen gerundet. Die beiden Werte der RFA entsprechen den beiden Seiten der einzelnen Münzen, wobei nicht dokumentiert wurde, welcher Wert den numismatisch definierten Vorder- und Rückseiten entspricht.

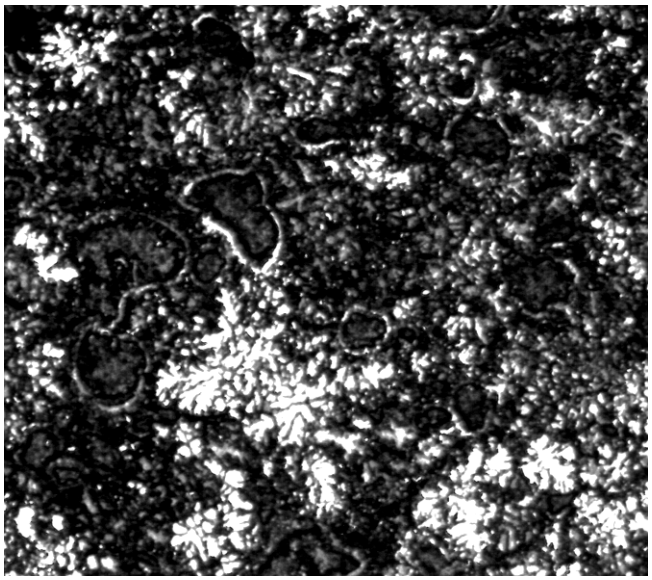


Abb. 278. Halbierter republikanischer As (M 8). Das im Wesentlichen aus Kupfer und Blei bestehende Metallgefüge bei 125facher Vergrösserung.

Römerstr. 229 im Schweizerischen Landesmuseum, Sektion Forschung und Entwicklung, chemisch untersucht[1144]:
- ein halbierter republikanischer As (M **8**)
- ein halbierter As des Tiberius für Divus Augustus, Typ Providentia (M **26**)
- ein As des Claudius, Typ Minerva (M **34**).

Dabei stand die Frage des Austauschs von Metallen zwischen Münze und der Bodenumgebung im Vordergrund. Die Problemstellung war folglich in erster Linie naturwissenschaftlicher und weniger archäologischer bzw. numismatischer Art. Bei jedem Fund wurden die Metallgehalte an vier Stellen gemessen: in der Münze, an der Münzoberfläche, in der Korrosionskruste und im umgebenden Erdreich. Dabei zeigte sich, dass ein Austausch von Metallen zwischen Münze und Umgebung für die einzelnen Elemente in unterschiedlicher Intensität stattfindet.

Für die Atomabsorptionsspektrometrie (AAS) wurde mittels einer Bohrung von einem Durchmesser von 1 mm dem Münzkern eine Probe von ca. 20 mg entnommen. Die mit einem Philips-RFA-Spectrometer durchgeführte Röntgenfluoreszenzanalyse (RFA) ermittelte die Metallwerte auf beiden Seiten der Münzen. Gemessen wurden je nach Methode 6–8 Elemente: Kupfer, Blei, Eisen, Mangan, Zinn, Zink, Calcium und Silicium. Die Resultate der beiden Untersuchungsmethoden bzw. der Messungen von Vorder- und Rückseite der Münzen weichen z.T. erheblich voneinander ab (Abb. 277). Bei der AAS sind zudem die Standardabweichungen recht hoch. Die absoluten Prozentwerte sind entsprechend zu relativieren. Einige Tendenzen zeichnen sich jedoch deutlich ab. So fällt der hohe Bleianteil des republikanischen Asses auf, der um 40–50% liegt, währenddem der Kupferanteil nur einem knappen Drittel des Metallgehaltes entspricht. Eine metallurgische Untersuchung der Münze verdeutlichte diese Zusammensetzung und belegt zudem den Schrötlingsguss dank der gut erkennbaren Dendriten (Abb. 278). Das geringe Mischvermögen der beiden Elemente führte zu einer relativ weichen Legierung, was sich bereits bei einer makroskopischen Beurteilung vermuten liess. Die beiden kaiserzeitlichen Asse weisen eine davon stark abweichende Metallzusammensetzung auf, indem der Bleianteil nur geringe Werte aufweist. Der Kupfergehalt der beiden Münzen unterscheidet sich jedoch auch stark, indem er beim Providentia-As etwa 50% und bei der claudischen Prägung um 80% beträgt. Die tiberische Münze weist dafür mit rund 16% einen nennenswerten Eisenanteil auf. Die metallurgische Untersuchung des claudischen Asses zeigte, dass die Kupferkörner auf der einen Seite kleiner waren als auf der anderen. Diese Beobachtung spricht für eine Erwärmung und unterschiedlich schnelle Abkühlung der beiden Schrötlingsseiten, vermutlich im Zeitpunkt der Prägung.

3 Die Funde aus Buntmetall *(Eckhard Deschler-Erb)*

3.1 Einleitung

Neben insgesamt 32 Fibeln und zwei separat behandelten figürlichen Stücken aus der Ausgrabung Hohlandstr. 3[1145] fanden sich im Material der in diesem Band besprochenen Ausgrabungen Hohlandstr. 3, Römerstr. 209, 213/215, 221, 227/229 und Römerweg 5 insgesamt 113 Objekte aus Buntmetall[1146]. Diese werden zuerst unabhängig vom Befundzusammenhang in Kategorien und Unterkategorien zusammengefasst und vorgestellt und danach im Zusammenhang mit dem Befund und der allgemein erarbeiteten Besiedlungsgeschichte betrachtet[1147].

3.2 Die Fundkategorien

Das vorliegende Material wurde in 10 Kategorien mit jeweiligen Unterkategorien unterteilt, welche im Folgenden im Detail besprochen werden sollen (Abb. 279)[1148]. Der Reihenfolge von Kategorien und Unterkategorien entspricht auch der Katalog.

Bei Aufzählung von eventuellen Parallelen aus anderen Fundstellen wird bei deren erster Erwähnung der Herkunftskanton oder, dann in Klammern, das Herkunftsland angefügt. Hinter der Angabe des Fundortes folgt, soweit bekannt, eine Datierung. Sollte innerhalb der jeweiligen Fundstelle eine exaktere Datierung möglich sein, so wird diese angegeben.

[1143] Ch. Ebnöther in: Deschler-Erb et al. 1996, 229–232.

[1144] Diplomarbeit von Kathrin Schätti, Wallisellen. Bericht im Archiv KA Zürich mit allen technischen Angaben.

[1145] Einreichung des Manuskripts Mitte 1999; seither erschienene Literatur konnte daher nicht mehr eingearbeitet werden. Zu den Fibeln vgl. den Beitrag von E. Corvi in Teil IV, Kap. 4; zu den beiden figürlichen Stücken vgl. Beitrag K. Kob Guggisberg in Teil II, Kap. 2.3.2.

[1146] Da bei keinem der aufgenommenen Objekte eine Metallanalyse durchgeführt wurde, kommt der Begriff «Buntmetall» bei der Materialbeschreibung zum Zug. Unter diese Materialbeschreibung fallen alle Stücke aus Kupferlegierungen, Zinn oder Blei.

[1147] Für Hinweise und Hilfen bei der Abfassung der Arbeit habe ich folgenden Personen – in alphabetischer Reihenfolge – zu danken: Sabine Deschler-Erb, Rudolf Fellmann, Manuela Gygax, Bettina Hedinger, Daniela Hoesli, Florian Hoek, Rosanna Janke, Ernst Künzl und Verena Schaltenbrand Obrecht.

[1148] Diese Unterteilung entspricht der Gliederung des Materials der Ausgrabung Oberwinterthur-Unteres Bühl: Deschler-Erb 1996, 16 Tab. 2.

Kategorie	Anzahl	n (%)
Hausrat	13	11,5
Toilett-/med. Gerät	3	2,7
Schmuck/Tracht	5	4,4
Militaria	18	15,9
Transport	1	0,9
Kleingerät	10	8,8
Schrott	52	46,0
Metallverarbeitung	3	2,7
Funktion unbekannt	7	6,2
Figürliches	1	0,9
Total	113	100

Abb. 279. Buntmetallfunde. Übersicht zu den Kategorien.

3.2.1 Hausrat (ME **1–13**)

Insgesamt 13 Objekte konnten dem Hausrat zugewiesen werden. Unter Hausrat sind die Objektkategorien zu zählen, die im weitesten Sinn zur Ausstattung eines Haushaltes zählen und nicht als persönlich genutzte Gerätschaften anzusehen sind[1149].

*Gefässe (ME **1–4**)*

Unter den vier Gefässfragmenten befinden sich mit ME **1** und **2** Teile von Kasserollengriffen, mit ME **3** Reste der Wandung eines Siebes und mit ME **4** der Henkel einer Amphore[1150].

Vom Kasserollengriff ME **1** hat sich nur der Griffansatz mit einem Teil der Wandung erhalten. Dieser Griffansatz ist am hinteren Ende überarbeitet und besitzt eine sekundäre Lochung. Es sieht so aus, als sei dieser Griff schon in der Antike abgebrochen gewesen und dann mit Hilfe eines Nietes wieder repariert worden[1151]. Da das Griffende fehlt, ist ME **1** nicht mehr genauer einzuordnen. Auf Grund der sehr dünnwandigen und einfachen Gestaltung könnte es sich aber um das Fragment einer regional hergestellten Kasserolle vom Typ Biberist handeln. Diese Kasserollen datieren im Allgemeinen in die 2. Hälfte des 1. Jh. n. Chr.[1152] Unser Stück stammt aus einer Phase, die von flavischer Zeit bis in die Mitte des 2. Jh. reicht.

Erheblich qualitätsvoller als ME **1** ist der Griffansatz ME **2** gestaltet. Das Stück ist durchbrochen gearbeitet und zeigt zusätzlich auf der Schauseite vegetabile Punzornamentik.

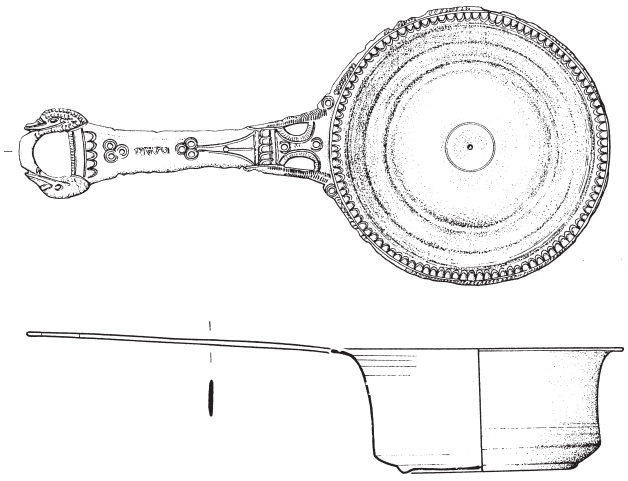


Abb. 280. Nijmegen, Altfund. Blechkasserolle mit Schwanenkopfbügel und punzverziertem, durchbrochen gearbeitetem Griff. M. 1:3.

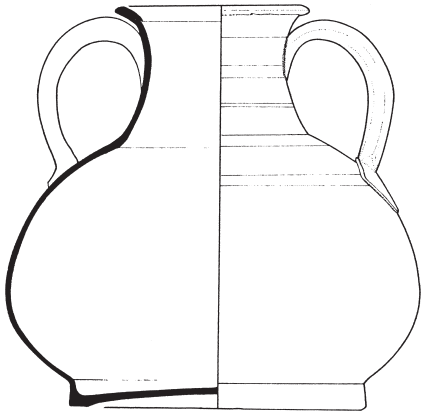


Abb. 281. Nijmegen, Grabfund. Kugelbauchige Amphore mit zwei Henkeln auf der Schulter. M. 1:3.

Auch ME **2** ist sekundär umgestaltet. Das Griffende wurde durch gewaltsames Verbiegen abgebrochen und der Ansatz zur Gefässwandung sorgfältig abgeschliffen. Zusätzlich bohrte man ein grosses Loch durch die obere Hälfte des Stückes. Es hat den Anschein, als sei ME **2** in seiner letzten Nutzung gar nicht mehr als Gefässgriff gebraucht worden; eher wäre eine Verwendung als Anhänger oder Applike denkbar. Kasserollen mit einer Griffgestaltung wie ME **2** lassen sich am ehesten den sog. blechförmigen Kasserollen zuweisen, deren reich verzierte Griffe in einem Schwanenkopfbügel enden und deren Körper durch eine geschwungene Wandung geprägt sind (Abb. 280)[1153]. Allerdings ist mir jedoch bisher kein einziges weiteres Exemplar bekannt, dessen Griffansatz in ähnlich prachtvoller Weise wie ME **2** gestaltet gewesen wäre. Es wird vermutet, dass Kasserollen dieser Art in Oberitalien (evtl. Aquileia) von augusteischer bis tiberisch/claudischer Zeit hergestellt wurden[1154]. ME **2** stammt aus einer Grube, die auf das Jahr 121 n. Chr. dendrodatiert ist. Diese Datierung liegt natürlich erheblich hinter der allgemeinen Datierungsspanne für Blechkasserollen. Dieser Abstand lässt sich aber wohl daraus erklären, dass ME **2** nach seiner Nutzung als Gefässgriff noch einige Zeit sekundär (als Anhänger?) weiter benutzt wurde.

Vom Siebgefäss ME **3** (o. Abb.) haben sich nur so geringe Reste der gelochten Wandung erhalten, dass keine weiteren Aussagen zum Typ oder zur Datierung dieses Gefässes gemacht werden können. Auch der Befund hilft hier nicht weiter, denn ME **3** stammt aus undatiertem Zusammenhang.

Der gegossene Amphorenhenkel ME **4** lässt sich einer rundbauchigen Amphore in gedrungener Form zuweisen, auf deren Schulter er gemeinsam mit einem spiegelbildlich angeordneten Pendant angelötet war (Abb. 281). Amphoren des hier vorliegenden Typs lassen sich mehr oder weniger in den gesamten Rhein- Donau-Provinzen und in Gallien nachweisen[1155]. Ihr Herstellungszentrum dürfte am ehesten in Italien zu suchen sein, wo sie wohl ab flavischer Zeit bis in die Mitte des 2. Jh. n. Chr. hergestellt wurden[1156]. In Oberwinterthur fand sich der Henkel ME **4** gemeinsam mit Material des 1. bis 2. Jh.

*Beleuchtung (ME **5** und **6**)*

Bei den Objekten, die dem Beleuchtungswesen zugewiesen werden können, handelt es sich zum einen um den zweiteiligen Tragegriff ME **5** und zum anderen um den Brenner ME **6** einer wetterfesten Laterne (Abb. 282)[1157].



Abb. 282. Römerstr. 229. Brenner ME 6 von einer Laterne. M. 1:1.

Der zweiteilige Tragegriff ME **5** besteht aus einem oberen und einem unteren Arm. Am unteren Arm, der in Ösen endet, sassen ursprünglich zwei Kettchen, – ein Ring hat sich noch erhalten – mit deren Hilfe die Laterne getragen wurde. Durch die gelochte Mitte des oberen und unteren Arms war ursprünglich ein beweglicher Ösenstab gesteckt, an dessen Ende ein drittes Kettchen sass und mit dessen Hilfe der bewegliche Laternendeckel angehoben werden konnte (vgl. Abb. 283)[1158]. Der Brenner ME **6** ist sehr sorgfältig durch Guss in verlorener Form hergestellt und auf der Drehbank überarbeitet. Auf den beiden Seiten des zylindrischen Oberteils deuten längliche Streifen an, dass hier jeweils ein flacher Stift angelötet war (Abb. 282). Man kann sich die Montage des Brenners also so vorstellen, dass dieser von unten her durch eine Aussparung des Laternenbodens eingeführt und durch Verdrehen fixiert wurde[1159].

ME **5** und ME **6** könnten beide zum sog. Typ IB nach Feugère/Garbsch gehört haben, einem Typus, der sich durch zwei Streben und einen von unten eingesetzten Brenner definiert. Typ IB nach Feugère/Garbsch datiert in augusteisch-claudische Zeit[1160]. Leider ist diese Zuweisung aber nicht ganz eindeutig, denn nur mehr oder weniger komplett erhaltene Laternen sind beim heutigen Forschungsstand sicher zuweisbar, während einzelne Elemente nur schwer in der erstellten Typologie unter zu bringen sind[1161].

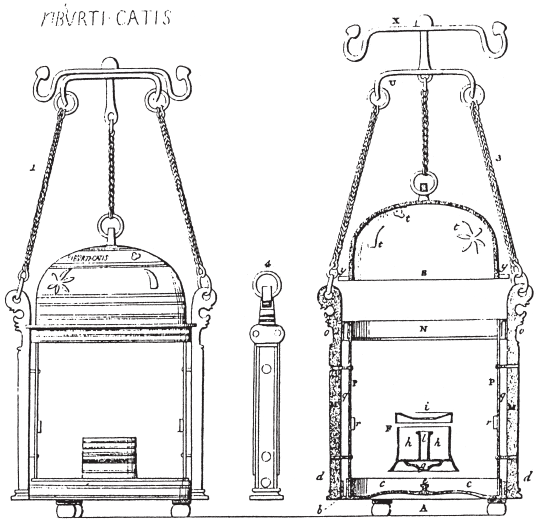


Abb. 283. Herculanum (I), 79 n.Chr. Vollständig erhaltene Laterne, o.M.

ME **5** und ME **6** stammen aus Siedlungshorizonten der 2. Hälfte des 1. und der 1. Hälfte des 2. Jh. Sie könnten möglicherweise von der gleichen Laterne stammen, da sie in relativer Nähe zueinander aus dem gleichen Grabungsfeld stammen; weitere zugehörige Laternenteile liessen sich aber nicht mehr nachweisen.

Laternen mit Teilen wie ME **5** und **6** dürften am ehesten in Italien hergestellt worden sein, zahlreiche Parallelen, besonders zu ME **6**, belegen ihre Verbreitung auch im Raum der heutigen Schweiz[1162].

Schreibgerät (ME 7 und 8)

Zum Schreibgerät gehören der Stilus ME **7** und die rechteckige Siegelkapsel ME **8**[1163].

Stili, mit deren Hilfe Mitteilungen und Texte auf Wachstäfelchen notiert werden konnten, bestanden mehrheitlich aus Bein, Eisen oder Buntmetall[1164]. Stili aus Bein und Eisen sind keine Seltenheit, weshalb sie auch schon mehrfach Ziel typologischer und chronologischer Abhandlungen waren[1165]. Dagegen kommen Stili aus Buntmetall nur äusserst selten vor. Dies ist wohl dadurch zu begründen, dass Buntmetall

---

1149 Vgl. Deschler-Erb 1996, 16.

1150 Zu Kasserollen allgemein vgl. Deschler-Erb 1996, 17; zu Sieben allgemein vgl. ebd. 24; zu Amphoren allgemein vgl. ebd. 30.

1151 Reparaturen dieser Art siehe z.B. Haltern (D) (9 v.–9 n.Chr.): M. Müller, Die römischen Bronzegefässe von Haltern. Ausgr. u. Funde Westfalen-Lippe 9A, 1997, 36 Kat. 24; 14 Abb. 8; Nijmegen (NL) (Grabfund claudisch-neronisch): Koster 1997, 45 Kat. 37.

1152 Deschler-Erb 1996, 18ff.; E. Deschler-Erb, Made in Switzerland, Kasserollen vom Typ Biberist. AS 22, 1999, 96 ff.

1153 Petrovszky 1993, 26 ff.; Deschler-Erb 1996, 18; Koster 1997, 56f.

1154 Petrovszky 1993, 38 (mit weiterer Lit.).

1155 Koster 1997, 43. Eine gute Parallele zu unserem Stück stammt z.B. aus Baden AG (1. Jh. n. Chr.): Holliger 1989, 72 Kat. 46; 73 Taf. 5.

1156 Koster 1997, 43 (mit weiterer Lit.).

1157 Zu Laternen allgemein vgl. Deschler-Erb 1996, 35.

1158 Beschreibung nach Feugère/Garbsch 1993, 148.

1159 Feugère/Garbsch 1993, 146. Als Beispiel vgl. Bémont/Beck 1989, 36 Abb. 1b (Flussbett der Seine, Region Draveil, Seine-et-Loire F)

1160 Feugère/Garbsch 1993, 158.

1161 ME 5 entspricht Griffunterteil Form c und Griffoberteil Form b; ME 6 entspricht Brenner Form e nach Feugère/Garbsch 1993, 156 Abb. 4. Leider besteht in der Arbeit von Feugère/Garbsch keine eindeutige Konkordanz zwischen den Einzelelementen der Laterne (Feugère/Garbsch 1993, 156 Abb. 4) und den aus diesen Teilen bestehenden Laternentypen (Feugère/Garbsch 1993, 155 ff. und Katalog 166 ff.).

1162 Parallele zu ME 5 siehe z.B. Flussbett der Seine, Region Draveil, Seine-et-Loire: Bémont/Beck 1989, 35 ff. und Abb. 1 ff. bes. 37 Abb. 2. Parallelen zu ME 6 siehe z. B. Baden: Holliger 1989, 74 Kat. 62; 75 Taf. 6; Lausanne-Vidy VD (undat.): Musée romain Lausanne-Vidy unpubl. Inv. Vy 805 und 2064 (zwei Exemplare); Windisch-Vindonissa AG (1. Jh. n.Chr.): Ch. u. Cl. Holliger, Bronzegefässe aus Vindonissa Teil 2. JberGPV 1985 (1986) 28 Kat. 136; 27 Taf. 14.

1163 Zum Schreibgerät römischer Zeit vgl. Öllerer 1998, 121 ff. Aus dem Fundmaterial der hier bearbeiteten Ausgrabungen stammt aus Römerstr. 227/229 als weiteres Schreibgerät ein Stilus aus Eisen (FK 1277).

1164 Öllerer 1998, 121. Ebd. Anm. 4 mit Verweis auf selten vorkommende Stili aus Edelmetall oder Holz.

1165 Zu Stili aus Bein vgl. z. B. Gostenčnik 1996, 110 ff. (Stili vom Magdalensberg [A], 50 v.–50 n. Chr.); zu Stili aus Eisen vgl. z. B. Schaltenbrand Obrecht 1996, 171 ff. (Stili aus Oberwinterthur, Ausgrabung Unteres Bühl); zu beiden Gruppen auch Öllerer 1998, 122 f. (Beinstili) und 123 ff. (Eisenstili).

im Gegensatz zu Eisen weicher ist und sich im Gegensatz zu Bein nicht nachspitzen lässt[1166].

Typologische oder gar chronologische Gliederungsversuche zu Stili aus Buntmetall wurden bis anhin noch kaum versucht; wenn überhaupt, dann ordnete man sie den Stili aus Eisen zu. ME **7** passt in keine der bisher bekannten Typologien. Während die Gesamtform eher einem Stilus aus Bein entspricht, ist das fächerförmige Spatelende ein Merkmal, das bei Stili aus Eisen vorkommt[1167]. Einige wenige, wenn auch etwas weiter entfernte Parallelen römischer Zeitstellung erlauben es, ME **7**, der leider ein Streufund ist, dem römischen Fundbestand in Oberwinterthur zuzuweisen[1168].

Die rechteckige, unverzierte Siegelkapsel ME **8** diente dem offiziellen Verschluss von Schreibtäfelchen. Diese wurden mit einer Schnur umwickelt und durch ein Wachssiegel gesichert, das sich in einer Kapsel befand[1169]. Siegelkapseln in rechteckiger Form wie ME **8** sind im provinzialrömischen Fundgut weit verbreitet, und wahrscheinlich lässt sich ihre Verwendung auf die frühe römische Kaiserzeit eingrenzen[1170]. Unser Exemplar gelangte in claudischer Zeit in den Boden, was diesen Datierungsansatz unterstützt.

*Schlossteile, Möbel und Kästchen (ME **9–11**)*

Bei den vorliegenden Möbel- und Kästchenteilen handelt es sich um die zwei Halteringe ME **9** und **10** und das Schlossblech ME **11**[1171]. Halte- bzw. Trageringe der Art wie ME **9** und **10** wurden mit Hilfe von Splinten im Holz von Kästchen festgemacht; die dadurch entstandenen Löcher rahmten Zierbleche. Splint und Reste des Zierbleches haben sich bei ME **9** erhalten.

Halte- bzw. Trageringe kamen teils als Scharniere, teils als bewegliche Griffe zum Heben von Kästchen, Kisten oder Truhen zum Einsatz. Von der Grösse her dürften die beiden hier vorliegenden Ringe an Kästchen angebracht gewesen sein; allenfalls kämen auch noch kleinere Kisten in Frage[1172]. Sie stellen eine Form dar, die sich innerhalb der römischen Kaiserzeit nicht näher eingrenzen lässt. In Oberwinterthur stammen ME **9** und ME **10** aus einer neronisch-domitianischen Phase.

Das Schlossblech ME **11** muss von der Grösse her an einer Tür gesessen haben. Die L-förmige Aussparung in der Mitte zeigt, dass diese Tür mit einem sog. «Hebeschiebschloss» versehen war. Zum Öffnen dieses Schlosses musste ein Schiebeschlüssel von unten her die den Riegel blockierenden Sperrstifte anheben und den Riegel beiseite schieben (Abb. 284)[1173]. Schlossbleche, wie sie mit ME **11** vorliegen, sind innerhalb der römischen Epoche nicht näher zu datieren; unser Exemplar fand sich in einer Schuttschicht, die Material von römischer bis heutiger Zeit enthielt.

*Nähnadel (ME **12**)*

Nähnadeln der römischen Kaiserzeit bestanden aus Eisen, Knochen oder Buntmetall. Sie dienten verschiedenen Zwecken. Mit feinen Nähnadeln wurden Stoffe genäht oder Flicken aufgesetzt; gröbere Nadeln kamen bei der Verarbeitung von Filz, Fellen oder Leder zur Verwendung. Der Grösse nach dürfte ME **12** für solche gröberen Arbeiten gebraucht worden sein[1174].

Die stark verbogene und vielleicht deshalb weggeworfene Nähnadel ME **12** zählt zu den durch Guss hergestellten Nähnadeln, deren Öhr wohl nachträglich überarbeitet worden war. Entgegen einigen Versuchen lassen sich kaiserzeitliche Nähnadeln nicht in chronologisch einander folgende Typen unterteilen[1175]; unser Exemplar stammt aus einem neronischen Bauhorizont.

*Waage (ME **13**)*

Bei dem vorliegenden Waagenteil handelt es sich um den Aufhängehaken einer sog. Schnell- oder Laufgewichtswaage. Bei diesem Waagetypus wurde der sog. Lastarm mit dem zu wiegenden Objekt mit Hilfe eines verschiebbaren Gewichts am gegenüberliegenden sog. Skalenarm ins Gleichgewicht gebracht und das Gewicht an einer geeichten Skala, die sich am Skalenarm befand, abgelesen. Dieser Waagentypus konnte an verschiedenen Haken aufgehängt werden, wodurch mehrere Gewichtsskalen zum Einsatz kommen konnten und sich der Wiegebereich vergrössern liess (Abb. 285)[1176].
Typisch für Aufhängehaken wie ME **13** ist eine Öse, die durch Umwicklung des oberen Abschlusses entstanden ist. In dieser Form kommen Aufhängehaken nur während der mittleren Kaiserzeit – in Eisen oder Bronze – vor, wobei aber auf Grund des fehlenden Hakenendes von ME **13** eine präzisere Einordnung nicht möglich ist[1177]. In Oberwinterthur

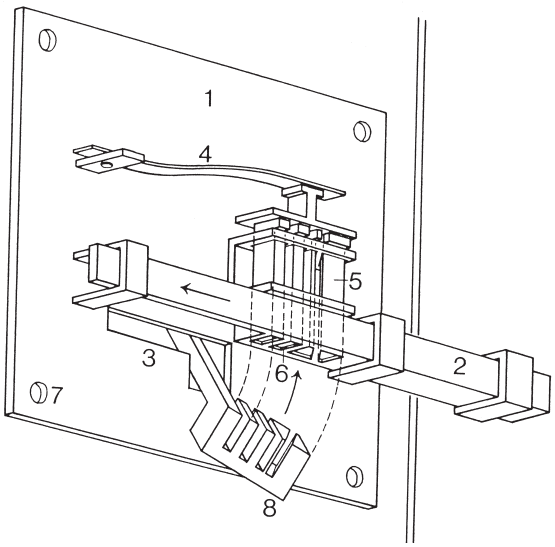


Abb. 284. Römisches Schiebeschloss (o.M.). 1 Schlossblech; 2 Riegel; 3 Schlüsselloch; 4 Feder; 5 Sperrstifte; 6 Löcher für Sperrstifte; 7 Nagellöcher; 8 Schiebeschlüssel.

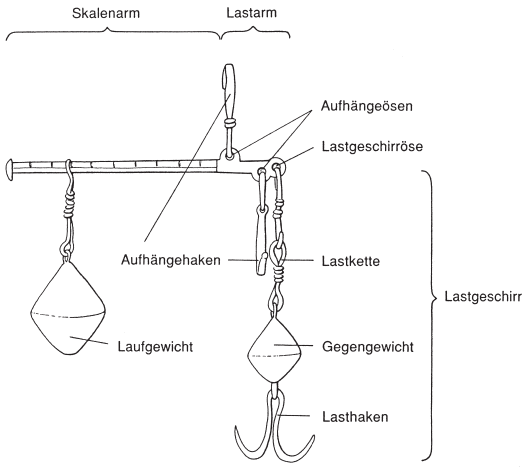


Abb. 285. Antike Schnell- oder Laufgewichtswaage mit den wichtigsten Begriffen (o.M.).

stammt der Aufhängehaken aus einem Siedlungshorizont, der von flavischer Zeit bis in die 1. Hälfte des 2. Jh. reicht.

3.2.2 Toilett-/medizinisches Gerät (ME **14–16**)

Für den Bereich der Körperpflege bzw. der medizinischen Versorgung lassen sich in unserem Material nur gerade drei Objekte nachweisen. Es handelt sich dabei um zwei Löffelsonden und einen mutmasslichen Deckel eines Salbgefässes. Keines dieser drei Objekte lässt sich als ein ausschliesslich von Ärzten gebrauchtes Gerät bestimmen.

*Löffelsonden (ME **14** und **15**)*

Löffelsonden mit der namengebenden mehr oder weniger länglich ovalen Laffe am einen Ende und der olivenförmigen Verdickung am anderen Ende zählen zu der am weitesten verbreiteten Gattung kaiserzeitlichen Toilettgeräts überhaupt. Hauptsächlich wurden sie im kosmetischen Bereich eingesetzt; eine Nutzung als medizinisches Gerät lässt sich aber auch nicht ausschliessen[1178].

Die nahezu vollständig erhaltene Löffelsonde ME **14** gehört zu der Gruppe mit Querprofilierung am Hals und glattem rundstabigem Schaft; ME **15**, von der nur die Halsregion erhalten ist, gehört zu den Löffelsonden mit einfach kugeligem Halsknoten. Beides sind Typen, die mehrheitlich ins 1. Jh. n. Chr. datieren; Exemplare wie ME **14** kommen darüber hinaus bis ins 3. Jh. vor[1179].

ME **14** stammt aus einem Siedlungshorizont der 2. Hälfte des 1. Jh.; ME **15** gehört zu einem Horizont der von flavischer Zeit bis in die Mitte des 2. Jh. reicht.

*Salbgefäss (ME **16**)*

Beim Gang in die Thermen führten römische Frauen und Männer meist an einem Tragering ein Reinigungsset mit, an dem sich neben einem Körperschaber auch ein kleines Gefäss mit Salbe oder Öl befand. Mit diesen Salben/Ölen wurde der Körper eingerieben und danach mit dem Körperschaber abgekratzt. Gegen Auslaufen oder Verflüchtigung des Inhaltes war das Salb-/Ölgefäss, das aus Buntmetall, Glas oder auch Keramik sein konnte, mit einem Deckelchen verschlossen und dieses wiederum mit einer feinen Kette an dem Gefäss befestigt[1180]. ME **16** könnte ein solches Deckelchen gewesen sein, wobei nicht ganz auszuschliessen ist, dass ME **16** auch als Verschluss eines Tintenfasses gedient hatte[1181]. Deckelchen mit feinen Ketten, wie sie mit ME **16** vorliegen, sind in römischer Zeit nicht näher zu datieren; in Oberwinterthur fand sich unser Stück in einer claudisch-neronischen Phase.

3.2.3 Schmuck/Tracht (ME **17–21**)

Für den Bereich des Schmucks oder der Tracht lassen sich neben den von Elena Corvi bearbeiteten Fibeln (Teil IV, Kap. 4) fünf Objekte anführen. Diese verteilen sich auf vier verschiedene Bereiche.

*Haarnadel (ME **17**)*

Haarnadeln der römischen Kaiserzeit definieren sich im Prinzip durch einen ungelochten und mehr oder weniger verzierten Kopf. Sie dienten zur Stützung und Verzierung der Haarfrisur römischer Frauen[1182]. ME **17** ist ein sehr sorgfältig gearbeitetes Exemplar, das leider am Kopfansatz abgebrochen ist. Dadurch entzieht sich diese Haarnadel einer weiteren typologischen oder chronologischen Einordnung, die mehr oder weniger nur anhand der Gestaltung des Nadelkopfes durchgeführt werden könnte. Von Interesse ist der Knick des Nadelschafts auf halber Höhe. Dieser Knick, der sich häufiger beobachten lässt[1183], scheint mit Absicht ange-

---

1166 In Augusta Raurica AG/BL z. B. stehen ca. 1200 Stili aus Eisen ca. 30 Stili aus Buntmetall gegenüber (freundl. Mitt. Verena Schaltenbrand Obrecht), und auf dem Magdalensberg handelt es sich um ein Verhältnis von 208 Eisen- zu 4 Buntmetallstili (Öllerer 1998, 131). Die von Christoph Öllerer unter anderem angebene Begründung, Buntmetallstili seien auf Grund der Herstellung durch Guss teurer als Eisenstili und deshalb so selten hergestellt worden (Öllerer 1998, 131), scheint mir aber eher unwahrscheinlich.

1167 Der Spatel entspricht Form V nach Öllerer 1998, 124 mit Abb. 2; die Form des Griffs und der Spitze lässt sich eher mit Stili aus Bein vergleichen: Gostenčnik 1996, 110 Form 1 und bes. 111 Taf. 1,1.

1168 Parallelen zu ME 7 siehe z. B. Autun (F) (1.–3. Jh. n. Chr.): M. Pinette et al., Autun Augustodunum Capitale des Eduens. Ausstellungskat. Autun (Autun 1985) 126 Kat. 200c.; En Romanel VD (undat.): Musée Cantonal d'Archéologie et d'Histoire, Lausanne unpubl. Inv. 4872 (freundl. Mitt. Rudolf Fellmann); o. Fo.: Walters 1929, 207; 208 Abb. 228, dritter Stilus von oben.

1169 Deschler-Erb 1996, 37; Feugère/Abauzit 1995, 41ff.; Öllerer 1998, 133.

1170 Deschler-Erb 1996, 38 mit Abb. 34. Achtung, ebd. die Nr. 1 und 2 auf Abb. 34 vertauscht!

1171 Allgemein zu Möbel und Kästchen Deschler-Erb 1996, 40.

1172 Zur Verwendung siehe Deschler-Erb 1996, 40; zur Platzierung an einem Kästchen siehe z. B. Bad Kreuznach-Planig (D) Steinkisten-Brandgrab (Ende 1. Jh. n. Chr.): Witteyer/König/Schoch 1997, 70ff.; 98 ff. Abb. 19–21.

1173 Zur Funktion siehe Deschler-Erb 1996, 38 mit Abb. 35; Schaltenbrand Obrecht 1996, 175 f. Allgemein zu Türen der Antike E. Künzl, S. Künzl, A. Kaufmann-Heinimann, Das römische Prunkportal von Ladenburg (Hertingen 1998) bes. 53ff.

1174 Deschler-Erb 1996, 44 f.

1175 Deschler-Erb 1996, 45.

1176 Grundsätzlich Franken 1993, 69 ff. bes. 69 f.; Deschler-Erb 1996, 52; Schaltenbrand Obrecht 1996, 167 f. Nach Abschluss von Manuskript und Katalog fand sich im Material der Römerstr. 221 noch die Waagschale einer gleicharmigen Waage; vgl. zu diesem Objekt den Anhang zum Katalog.

1177 Beispiele siehe Franken 1993, 73 Abb. 2; 82 Abb. 6; 85 Abb. 8.

1178 Deschler-Erb 1996, 60.

1179 Zu den beiden Gruppen und ihrer Datierung vgl. Deschler-Erb 1996, 60 f.

1180 Vgl. zu diesem Themenkreis zusammenfassend W. Heinz, Baden, Salben und Heilen in der römischen Antike. Augster Museumsh. 13 (Augst 1993) bes. 11 ff.; 17 ff. Zu Toilettgefässen, bes. aus Buntmetall, vgl. Ch. Flügel, Öl- und Salbgefässe. Die römischen Bronzegefässe von Kempten-Cambodunum. Cambodunumforsch. 5. Materialh. Bayer. Vorgesch. A63 (Kallmünz Opf. 1993) 70 f. Die am Deckelchen ME 16 befindliche Kruste könnte organischen Ursprungs (Reste von Salbe?) sein, eine Analyse dieser Kruste wurde aber bis anhin noch nicht gemacht.

1181 Deckelchen mit Kette siehe z. B. Umgebung Düsseldorf (D): Walters 1929, 114 Kat. 338; 113 Abb. 118 (komplettes Reinigungsset mit Tragering, Körperschabern und Gefäss samt Deckelchen und Kette); Malain-Mediolanum (F) (3. Jh. n. Chr.): L. Rousel (Hrsg.), Mediolanum. Une bourgade gallo-romain. 20 ans de recherches archéologiques (Dijon 1988) 110 Kat. 323; 109 Taf. 32. Zum Verschluss von Tintenfässern mit Deckelchen und Kette vgl. Öllerer 1998, 141 mit Anm. 56.

1182 Deschler-Erb 1996, 68.

1183 z. B. Windisch-Vindonissa (spätaugusteisch-frühtiberisch): Ch. Meyer-Freuler, Das Prätorium und die Basilika von Vindonissa. VerGPV 9 (Baden 1989) 166 Kat. 127; Augusta Raurica: Riha 1990, Taf. 40 ff. (zahlreiche Beispiele).

bracht worden zu sein. Möglicherweise konnte so die Frisur besser zusammen gehalten werden. ME **17** fand sich in einem Siedlungshorizont tiberisch-claudischer Zeit.

*Schmuck-/Trachtanhänger (ME **18** und **19**)*

Bei den Schmuck-/Trachtanhängern handelt es sich zum einen um den Rädchenanhänger ME **18** und zum anderen um den mutmasslichen Klöppel ME **19** eines Glöckchenanhängers.

Der achtspeichige Rädchenanhänger ME **18** ist aus silbrig glänzendem Material (Zinn?) gefertigt und auf Vorder- wie Rückseite durch Perlstab verziert. Die Vorderseite zeigt zusätzlich noch im Bereich der Radnabe einen Buckel (Abb. 286). Anhänger in Form von Rädern haben eine sehr lange Tradition, die bis in die Spätbronzezeit zurückreicht und gerade in der Spätlatènezeit besonders stark ausgeprägt war[1184]. Mit der hier vorliegenden Verzierungsweise wird man jedoch ME **18** in die römische Kaiserzeit datieren können[1185]. Unser Rädchenanhänger stammt aus einem Siedlungshorizont der 2. Hälfte des 2. Jh. n. Chr. und unterstützt diesen Datierungsansatz. Es ist zu vermuten, dass hinter einem Anhänger wie er mit ME **18** vorliegt, einheimisches (keltisches?) Gedankengut steht.

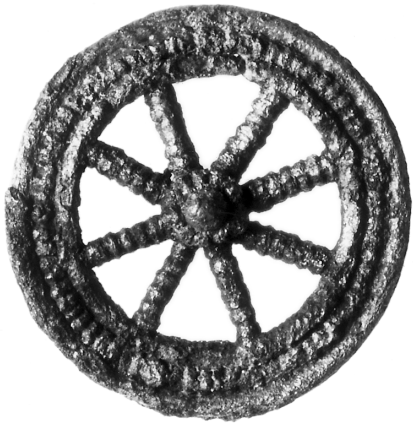


Abb. 286. Römerstr. 229. Rädchenanhänger ME 18. M. 2:1.

Glöckchenanhänger konnten wie Rädchenanhänger an einer Kette getragen werden. ME **19** könnte der Klöppel eines solchen Glöckchenanhängers gewesen sein[1186]. Allerdings sind solche Klöppel gemeinhin aus Eisen gemacht und mir ist derzeit keine Parallele zu einer Ausführung aus Buntmetall bekannt; eine Zuweisung muss deshalb also mit Fragezeichen versehen bleiben. ME **19** stammt aus einem Siedlungshorizont augusteischer Zeit.

*Armring (ME **20**)*

Armringe wie ME **20**, mit «schiffchenförmiger» Verbreiterung in der Bandmitte, gehören zum Typ der Armringe mit umschlungenen Enden. Diese Armringform ist eine Entwicklung Mitteleuropas, die sich bis in die Mittellatènezeit zurückverfolgen lässt und sich in der Variante mit «schiffchenförmiger» Verbreiterung, die im Osten teilweise auch Ritzverzierungen trägt, mehrheitlich auf das frühere 1. Jh. n. Chr. beschränkt[1187]. In mittel- bis spätkaiserzeitlichem Zusammenhang kommen dann sog. Börsenarmringe vor, bei denen der Reif so stark verbreitert ist, dass darin Münzen aufbewahrt werden konnten[1188].

Der Zuweisung in die frühkaiserzeitliche Variante entspricht auch der Befund. ME **20** fand sich in einer Grube augusteisch-tiberischer Zeitstellung.

*Fingerring (ME **21**)*

Mit dem Fingerring ME **21** haben wir einen Vertreter der Gruppe ohne Ringplatte und mit Längsrippung vor uns, wobei unser Exemplar nur eine Mittelrippe aufweist. Diese Gruppe ist recht weit verbreitet und scheint im Allgemeinen ins 1. Jh. n. Chr. datierbar zu sein. Der Fingerring ME **21** fand sich in einem Schichtpaket, das aus flavisch-hadrianischer Zeit stammt. Mit 14 mm innerem Durchmesser muss es sich um einen Kinderfingerring handeln[1189].

3.2.4 Militaria (ME **22–39**)

Mit 18 Objekten stellen die Militaria die grösste Kategorie bestimmbarer Objekte in unserem Material dar (vgl. oben Abb. 279). Sie verteilen sich auf fünf Unterkategorien.

*Angriffswaffen (ME **22**)*

Für die Angriffswaffen, die in der römischen Kaiserzeit in der Regel aus Eisen waren[1190], lässt sich bei uns ein Speerschuh ME **22** mit pilzförmigem Endknopf aus Buntmetall anführen. Speerschuhe dieser Art sassen an leichten Wurfspeeren, die die römische Kavallerie in einem Köcher mit sich führte[1191]. Speerschuhe wie ME **22** sind meist aus Eisen, in wenigen Fällen ist aber auch eine Fertigung aus Buntmetall bekannt. Eine chronologische Eingrenzung muss offen bleiben; unser Exemplar stammt aus einer claudischen Phase[1192].

*Verteidigungswaffen (ME **23** und **24**)*

Zu den Verteidigungswaffen, die in der römischen Kaiserzeit aus Helm, Schild und Panzer bestanden, gehören mit ME **23** ein mutmasslicher Schildrandbeschlag und mit ME **24** das zweiteilige Riemenscharnier eines Schienenpanzers[1193].

Die Schilde der kaiserzeitlichen Armee waren zur Verstärkung am Rand mit tüllenförmigen Beschlägen versehen. Diese Beschläge hatten lappenartige Fortsätze mit Nietstiften zur Befestigung auf dem Schildkörper. ME **23**, in dessen Tülle sich noch einige, leider nicht mehr genauer bestimmbare Holzreste befinden, könnte ein solcher Schildrandbeschlag gewesen sein. Allerdings fehlen ihm die lappenartigen Fortsätze, weshalb diese Zuweisung etwas unsicher bleibt. Schildrandbeschläge sind im Allgemeinen kaum zu datieren[1194]; unser Exemplar stammt aus einer neuzeitlichen Störung mit Material, das von der römischen Kaiserzeit bis heute reicht.

Zweiteilige Riemenscharniere wie ME **24** waren gemeinsam mit anderen Scharnier- und Schnallenteilen an einem aus eisernen Schienen bestehenden Panzer angebracht und sorgten so dafür, dass diese Schienen in sich verbunden und beweglich blieben. Schienenpanzer zählen zur Ausrüstung der Infanterie, wobei sich eine Trennung in Ausrüstung für Legionäre oder Auxiliarinfanterie nicht durchführen lässt. In der hier vorliegenden Art zählen Riemenbeschläge vom Schienenpanzer zu einer weit verbreiteten Form, die ins frühere bis mittlere 1. Jh. n. Chr. zu datieren ist[1195]. ME **24** stammt aus einer flavischen Phase und ist damit leicht verspätet.

*Gürtel (ME **25**)*

An Gürtelteilen[1196] lässt sich mit ME **25** ein Gürtelblech vorstellen, dessen Schauseite mit Nielloeinlagen verziert ist (Abb. 287).

Gürtelbleche mit dieser Verzierung gehören zur Ausrüstung der Infanterie, wobei sie von Legionären und Auxiliaren gleichermassen getragen wurden. Sie stellen eine Art «Leitfossil» tiberisch-neronischer Militärpräsenz in den Nordwestprovinzen dar, deren Anwesenheit sich ausschliesslich durch Soldaten oder Veteranen erklären lässt[1197]. ME **25** stammt aus einem Siedlungshorizont der 2. Hälfte des 1. Jh. n. Chr. und passt damit hervorragend in den allgemeinen Datierungsansatz.

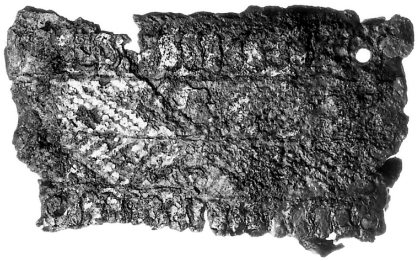


Abb. 287. Römerstr. 229. Gürtelblech ME 25. M. 1:1.

*Pferdegeschirr (ME **26–33**)*

Unter den acht Objekten, die sich dem Pferdegeschirr zuweisen lassen, befinden sich fünf Anhänger vom Pferdegeschirr (ME **26–30**), eine Phalere (ME **31**), eine mutmassliche Riemenschlaufe (ME **32**) und eine Hackamore (ME **33**). In der derzeitigen Forschung wird immer wieder die Frage gestellt, ob und wieweit Pferdegeschirr eigentlich dem Militär zugeordnet werden kann. Nach Abwägung aller Argumente scheint mir eine Zuweisung möglich. Jedoch kann nicht ausgeschlossen werden, dass einzelne der hier vorgelegten Stücke in «Zweitverwendung» bei Zivilisten in Gebrauch waren[1198].



Abb. 288. Oben: Augusta Raurica. Phallusanhänger mit eingesetztem Adlerfigürchen; unten: Oberwinterthur, Römerstr. 229. Vollplastisches Adlerfigürchen ME 29, eingezapft auf einem flachen Hintergrund. M. 1:1.

Die fünf Anhänger entsprechen mehr oder weniger dem Formenspektrum, das für Fundorte des 1. Jh. n. Chr. belegbar ist. Das nur in Fragmenten erhaltene Stück ME **26** gehört zu der Form der sog. geflügelten Anhänger. Da bei unserem Exemplar Kopf- und Endknopf fehlen, lässt es sich nicht mehr einem der drei bekannten Typen zuweisen. Insgesamt stellen die geflügelten Anhänger eine der grössten und am weitesten verbreiteten Form unter den frühkaiserzeitlichen Pferdegeschirranhängern dar. Ihr Datierungsrahmen reicht von spätaugusteischer bis in neronische Zeit[1199]. Dem entspricht der Befund zu ME **26** der sich in neronisch-flavische Zeit datieren lässt.

Zu einer weiteren variantenreichen und weit verbreiteten Form unter den frühkaiserzeitlichen Pferdegeschirranhängern zählt auch der Dreiblattanhänger ME **27**. Er gehört zu einer Gruppe, die durch Querriegel und Fiederung am zentralen Blatt und Eicheln an den Aussenblättern sowie meist

---

1184 Allgemein Deschler-Erb 1996, 71; zu Rädchenanhängern der Spätlatènezeit vgl. z.B. J. Debord, Les rouelles de Villeneuve-Saint-Germain (Aisne). Bull. Soc. Arch. Champ. 82, 1989, 25 ff. bes. 26 Abb. 2.3.

1185 Parallelen z. B. Zurzach AG Kastellgrube 80 a+b (claudisch-neronisch): R. Hänggi, C. Doswald, K. Roth-Rubi, Die frühen römischen Kastelle und der Kastell-Vicus von Tenedo-Zurzach. VerGPV 11 (Baden, Dättwil 1994) 526 Kat. 80.54; Trier (D) (wohl frühkaiserzeitlich): K.-J. Gilles, Neue Funde und Beobachtungen zu den Anfängen Triers. Trierer Zeitschr. 55, 1992, 227 IV.1; 205 Abb. 6,1.

1186 Zu Glöckchenanhängern allgemein Deschler-Erb 1996, 71 f.

1187 Zum Typ der Armringe mit umschlungenen Enden allgemein siehe Deschler-Erb 1996, 75 f. Zur Gruppe mit «schiffchenförmiger» Verbreiterung siehe Deimel 1987, 66; Riha 1990, 62 (Typ 3.26). Parallelen z. B. Augusta Raurica (drei Exemplare, davon zwei schichtdat. tiberisch-claudisch): Riha 1990, 144 f. Kat. 596–598; Magdalensberg (drei Exemplare): Deimel 1987, 219 f. Kat. 47/2–4.

1188 Zu den Börsenarmringen vgl. zuletzt J. Garbsch, Römische Ringe als Retter der Reserven in Raetien. Bayer. Vorgeschbl. 63, 1998, 301 ff.

1189 Allgemein zu Fingerringen Deschler-Erb 1996, 76f. Zur Gruppe im Speziellen und zur Datierung siehe Riha 1990, 45 (Typ. 2.29); Deschler-Erb 1996, 78 (zu ME 293 und 294). Zu Ringgrössen bei Fingerringen vgl. A.R. Furger, Exkurs 3: Ringgrössen. In: Riha 1990, 49ff.

1190 Allgemein zu Angriffswaffen siehe Deschler-Erb 1999, 14f.

1191 Die vor allem in der deutschsprachigen Forschung immer wieder vorgebrachte Deutung von Speerschuhen dieser Art als Endbeschläge einfacher Holzbögen sollte nun endgültig zu den Akten gelegt werden. Vgl. dazu Deschler-Erb 1999, 22 mit Anm. 72.

1192 Parallelen siehe Unz/Deschler-Erb 1997, 24 zu Kat. 399–406 (Belege in Buntmetall und Eisen).

1193 Allgemein zu Verteidigungswaffen Deschler-Erb 1999, 29.

1194 Zusammenfassend Deschler-Erb 1999, 34.

1195 Allgemein zum Schienenpanzer Deschler-Erb 1999, 35. Parallelen zu ME 24 siehe Unz/Deschler-Erb 1997, 30 zu Kat. 714–730.

1196 Allgemein zum Militärgürtel Deschler-Erb 1999, 40.

1197 Zu Gürtelblechen mit Nielloverzierung Deschler-Erb 1999, 44 mit Anm. 199.

1198 Zur Diskussion Deschler-Erb 1999, 49.

1199 Grundsätzlich vgl. E. Deschler-Erb, «Geflügelte» Pferdegeschirranhänger. In: A.R. Furger, R. Ebersbach (Red.), Mille Fiori. FS Ludwig Berger. Forsch. Augst 25 (Augst 1998) 115 ff.; Deschler-Erb 1999, 50 f.

Punzverzierung der Schauseite charakterisiert ist. In dieser Ausführung waren Dreiblattanhänger hauptsächlich in claudischer Zeit im Gebrauch[1200]. ME **27** stammt aus einer Schuttschicht mit Material, das von der Kaiserzeit bis heute zu datieren ist.

Die beiden Anhänger ME **28** und wohl auch **29** gehören zur Form der sog. Phallusanhänger[1201]. Von ME **28** hat sich nur die grosse Aufhängeöse mit einem Teil der Querleiste und durchbrochen gearbeiteten Ansätzen zum Körper erhalten. Diese Reste erlauben es, ME **28** als Phallusanhänger mit durchbrochen gearbeiteter Aufhängung zu bestimmen. Anhänger dieser Art haben abwärts geneigte Seitenarme und lassen sich mehrheitlich in die 1. Hälfte des 1. Jh. n. Chr. datieren[1202]. ME **28** stammt aus einem Horizont mit gemischtem Material. Schwierig und diskutabel bleibt die Zuweisung des auf eine flache Scheibe gezapften Adlerfigürchens ME **29** (Abb. 288). Es ist sicher zu gross für eine Siegelkapsel[1203] und zu klein für eine Deutung als Feldzeichen oder Ähnliches[1204]. Eigentlich lässt es sich nur mit einem ebenfalls eingezapften Adlerfigürchen vergleichen, das auf einem Phallusanhänger aus Augusta Raurica sitzt (Abb. 288). Phallusanhänger dieser Art sind charakterisiert durch einen halbmondförmig gebogenen Körper, in dessen Mitte ein männliches Geschlechtsorgan sitzt, und teilweise seitlich angebrachte kleine, emailverzierte Seitenscheiben. Sie sind relativ selten und datieren in claudisch-neronische Zeit[1205]; ME **29** stammt aus einer Grube, die sich nicht näher datieren lässt.

Mit ME **30**, dem letzten vorzustellenden Anhänger, haben wir ein sehr einfach gestaltetes Exemplar vor uns, das sich aller Wahrscheinlichkeit nach den lanzettförmigen Anhängern zuweisen lässt. Diese weit verbreitete Form ist mehrheitlich in tiberisch-neronische Zeit zu datieren[1206]. ME **30** stammt aus einem Siedlungshorizont der 2. Hälfte des 1. Jh.

Nach den Pferdegeschirranhängern folgen mit ME **31** und **32** zwei eher unsicher dem Pferdegeschirr zuweisbare Objekte. Die Scheibe ME **31** ist in der Mitte gelocht und zeigt am Rand einen eingepunzten Perlstab. Es ist zu vermuten, dass sich ursprünglich in der Mitte dieser Scheibe ein zusätzlicher Ziereinsatz befand. Auch wenn mir zu dieser Scheibe keine genaue Parallele bekannt ist, möchte ich sie doch am ehesten als eine Phalere deuten und dem Pferdegeschirr zuweisen, wobei aber auch die Möglichkeit besteht, in der Scheibe das Fragment einer militärischen Auszeichnung zu sehen[1207]. ME **31** fand sich in einer neronisch-flavisch zu datierenden Phase. Von ME **32** ist nur noch ein geringer Rest erhalten. Dieser lässt sich am besten als Teil einer einfachen Riemenschlaufe deuten[1208], die beim Zaumzeug als Verbindungselement Verwendung fand. In der vorliegenden Erhaltung ist eine Datierung des Stückes auf Grund von Parallelen oder typologischen Überlegungen nicht möglich; in Oberwinterthur gehört ME **32** zu einem Horizont, der Material von römischer Zeit bis heute beinhaltete.



Abb. 289. Römerstr. 221. Metallzaum (Hackamore/Kappzaum) ME 33. M. 1:1.

Sicher zum Pferdegeschirr zählt ME **33** (Abb. 289). Bei diesem Stück handelt es sich um das Backenfragment eines sog. Metallzaums (auch Hackamore oder Kappzaum genannt), der gemeinsam mit einer Trense dazu diente, das Pferd zu leiten. Unser Stück ist aussergewöhnlich fein gearbeitet und scheint in dieser Art wohl ausschliesslich beim Pferdegeschirr der frühkaiserzeitlichen Armee seinen Platz gefunden zu haben[1209]. ME **33** lässt sich einer spätaugusteisch-tiberischen Phase zuweisen und liefert somit einen wichtigen Datierungshinweis für Metallzäume dieser Art.

*Weitere Ausrüstung (ME **34–39**)*

In diese Unterkategorie fallen alle Funde, die sich mit einer gewissen Wahrscheinlichkeit einer militärischen Nutzung zuweisen lassen, deren genaue Funktion aber noch nicht in jedem Fall geklärt ist. In unserem Material gehören dazu zwei einfache Schnallen (ME **34** und **35**) und vier sog. Nietknöpfe (ME **36–39**)[1210].

ME **34** und **35** zeigen die für einfache Schnallen der frühen römischen Kaiserzeit übliche Hufeisenform; wobei von ME **35** nur noch ein kleinerer Teil vorhanden ist. ME **34** stammt aus einem nachrömischen Horizont und ME **35** aus der 2. Hälfte des 2. Jh.



Abb. 290. Römerstr. 229. Nietknopf ME 36 mit Emaileinlagen auf dem Kopf. M. 1:1.

Unter den einfachen Nietknöpfen ist einzig ME **36** von grösserem Interesse (Abb. 290). Das sehr gut erhaltene Stück hat einen aufgesteckten Gegenknopf und zeigt auf dem flachen Kopf Emaileinlagen, von dem sich noch blaue Reste erhalten haben. Verzierungen mit Email sind typisch für die mittlere römische Kaiserzeit; mit ME **36** haben wir damit ein Objekt vor uns, das sicher ins 2. bis 3. Jh. zu datieren ist[1211]. Dem entspricht auch die Befundlage. ME **36** fand sich in einem Kanal, der ins 3. Jh. zu datieren ist. Die übrigen Nietknöpfe ME **37–39** mit einfachem, unverziertem Kopf stammen entweder aus Phasen des 1. Jh. oder aus einem Horizont, der Material von der Kaiserzeit bis heute enthält.

3.2.5 Transport (ME **40**)

Dem Transportwesen bzw. der Ausrüstung von Zugtieren lässt sich mit dem Jochaufsatz ME **40** ein Objekt zuweisen. Dieser durchbrochen gearbeitete Zieraufsatz für den Jochbogen eines Zuggeschirrs gehört in den weiteren Umkreis einer Gruppe von Jochaufsätzen, die in claudisch-neronische Zeit datieren[1212]. Unser Exemplar stammt aus einem Horizont der von flavischer Zeit bis in die Mitte des 2. Jh. reicht und muss demzufolge als Altfund gelten.

3.2.6 Kleingerät (ME **41–50**)

In der Kategorie Kleingerät sind alle die Objekte zusammengefasst, die irgendwie mit konstruktiven Funktionen ver-

bunden sind. Die zehn bei uns nachgewiesenen Stücke, die in diese Kategorie gehören, verteilen sich auf zwei Unterkategorien.

*Nägel und Niete (ME **41–43**)*

Die drei Objekte dieser Unterkategorie verteilen sich auf einen Nagel mit Kugelkopf ME **41**, einen Nietstift ME **42** und eine Unterlagscheibe für einen einfachen Nietstift ME **43**. Nägel mit Kugelkopf waren mit Sicherheit an irgendwelchen Kästchen oder Möbeln angemacht; Nietstifte dienten mitsamt ihren zugehörigen Unterlagscheiben zur Reparatur (Flickung) von Bronzeblechen. Diese Flickungen sind hauptsächlich für Gefässe belegt[1213]. ME **41–43** fanden sich in Horizonten, die von neronischer Zeit bis ins 3. Jh. reichen.

*Ringe (ME **44–50**)*

Die vorhandenen sieben Ringe umfassen Formen mit verschiedenen Querschnitten und inneren Durchmessern von 11–18 mm. Sie können zahlreiche Funktionen erfüllt haben; unter anderem wäre ihre Verwendung als Vorhangringe zu überlegen[1214]. ME **44–50** stammen aus allen Horizonten des Vicus.

3.2.7 Schrott (ME **51–102**)

In dieser Kategorie wurden alle Buntmetallteile zusammengefasst, deren ursprüngliche Bestimmung auf Grund zu grosser Fragmentierung nicht mehr erkannt werden kann. Eine gewisse Überlappung mit dem Material, dass unten in der Kategorie Metallverarbeitung (Kap. 3.2.8) aufgeführt wird (z. B. Gussreste statt Brocken) ist natürlich nicht auszuschliessen. Auch besteht eine gewisse Überschneidung mit der Kategorie der Objekte, deren Funktion unbekannt ist (Kap. 3.2.9). Die 52 Teile, die dem Schrott zugewiesen wurden, unterteilen sich in drei verschiedene Unterkategorien. Der Schrott bildet die grösste Kategorie aller hier vorgestellten Buntmetallfunde.

*Drähte, Stäbchen und Bänder (ME **51–70**)*

Die 20 Objekte, die in diese Unterkategorie gehören, könnten verschiedenen Zwecken gedient haben. Unter anderem lässt sich eine ursprüngliche Verwendung als Toilettgerät, Haarnadel oder Fibelnadel anführen. Bei den breiteren, an den Rändern beschnittenen Stücken könnte es sich um Teile von Gefässwandungen handeln, die mit dem Ziel der Wiedereinschmelzung zerschnitten worden waren[1215]. Eine chronologische Einordnung auf Grund von typologischen Erwägungen lässt sich natürlich nicht gewinnen. Unsere Stücke stammen aus allen Phasen, die für die einzelnen Ausgrabungen bestimmt werden konnten.

*Bleche (ME **71–93**)*

Auch die 23 dieser Unterkategorie zugewiesenen Stücke dürften unterschiedlichen Zwecken gedient haben. Die grösseren, teilweise sogar verzinnt/versilberten Exemplare könnten Teile von Gefässwandungen sein. Kleinere Stücke dienten sicher als Flicken und zahlreiche Exemplare werden wohl zur Wiedereinschmelzung hergerichtet gewesen sein[1216]. Auch die Bleche stammen aus allen Phasen, die für die einzelnen Ausgrabungen bestimmt werden konnten.

*Brocken (ME **94–102**)*

Die neun dieser Unterkategorie zugeschlagenen Objekte waren auf Grund ihrer amorphen Form nicht mehr näher bestimmbar. Teilweise könnten die hier aufgenommenen Stücke vielleicht auch den Gussresten zuzurechnen sein.

3.2.8 Metallverarbeitung (ME **103–105**)

Nur gerade drei Objekte fallen in diese Kategorie, wobei aber unter den oben vorgestellten Schrottteilen (Kap. 3.2.7) sich wohl noch das eine oder andere Halbfabrikat bzw. Gussreste verbergen dürften. Zwei Unterkategorien liessen sich bilden.

Werkzeug und Halbfabrikate

Der Stichel bzw. die Punze ME **103** endet in einer abgerundeten Spitze und lässt auf allen Längsseiten sehr schön die Spuren seiner Herstellung erkennen. Stichel bzw. Punzen dieser Art aus Eisen sind recht gut bekannt und wurden von Handwerkern für Treibarbeiten eingesetzt; aus Buntmetall kennt man solches Gerät nur selten. Es ist möglich, dass Werkzeuge aus diesem Material speziell zur Herstellung ganz feiner Verzierungen verwendet oder zur Bearbeitung weicherer Metalle (z. B. Gold) eingesetzt wurde.[1217] ME **103** kommt aus einer neronisch-frühflavischen Schicht.

[1200] Allgemein zur Form Deschler-Erb 1999, 53f. Speziell zur Gruppe wie ME 27 vgl. Deschler-Erb 1996, 92 zu ME 339. ME 339 aus der Ausgrabung Oberwinterthur-Unteres Bühl ähnelt unserem Stück so sehr, dass man sich sogar eine Zuweisung zum gleichen Pferdegeschirrset vorstellen könnte.

[1201] Allgemein zur Form siehe Deschler-Erb 1999, 54.

[1202] Zum Typ Deschler-Erb 1996, 92 zu ME 341.

[1203] Bsp. siehe Feugère/Abauzit 1995, 44 Abb. 2.

[1204] Weitere Adlerfigürchen siehe z.B. Augusta Raurica: Kaufmann-Heinimann 1977, 117 Kat. 179: Windisch-Vindonissa: M. Hartmann, Vindonissa. Oppidum – Legionslager – Castrum (Brugg 1986) 64 Abb. 51. Alle mir bekannten Stücke sind jedoch grösser und in keinem Fall in eine Unterlagscheibe eingezapft.

[1205] Zu dieser Gruppe und seiner Datierung Deschler-Erb 1999, 55 mit Anm. 254.

[1206] Vgl. Deschler-Erb 1999, 23 f.

[1207] Zu Phaleren im Allgemeinen siehe Deschler-Erb 1999, 58; speziell zu militärischen Auszeichnungen Deschler-Erb 1996, 98 zu ME 382.

[1208] Vergleiche z. B. Windisch-Vindonissa: Unz/Deschler-Erb 1997, 45 f. Kat. 1707.1743–1745.1753.

[1209] Zu Metallzäumen allgemein Deschler-Erb 1999, 64 f. Zu ME 33 direkt ist mir erst eine genaue Parallele aus Nijmegen, Kops Plateau (vor 70 n. Chr.) bekannt: W.J.H. Willems, Roman face masks from the Kops Plateau, Nijmegen, The Netherlands. Journ. Roman Milit. Equip. Stud. 3, 1992 (1993) 65 Abb. 11.

[1210] Zu einfachen Schnallen Deschler-Erb 1999, 66 f.; zu Nietknöpfen bzw. Knopfnieten siehe ebd. 68 ff.

[1211] Zu Nietknöpfen mit Email Deschler-Erb 1996, 101 zu ME 417 und 418.

[1212] Vgl. Deschler-Erb 1996, 102; 103 Abb. 90. Eine relativ genaue Parallele zu ME 40 ist mir aus Vindonissa bekannt: Unz/Deschler-Erb 1997, 61 Kat. 2383.

[1213] Siehe dazu Deschler-Erb 1996, 104 (Nägel) und 105 (Niete).

[1214] Deschler-Erb 1996, 107 f.

[1215] Deschler-Erb 1996, 109 f.

[1216] Deschler-Erb 1996, 110.

[1217] Vgl. Deschler-Erb 1996, 111, mit Beispielen solcher Werkzeuge aus Buntmetall. Als weiteres Beispiel Paris (F): J. Bonnet et al., Les Bronzes Antiques de Paris. Ausstellungskat. Musée Carnavalet (Paris 1989) 314 Kat. 308.

ME **104** ist geformt wie ein Kleinbarren und zeigt auf beiden Schmalseiten Spuren von Abschrotung. Der Nachweis, dass es sich bei diesem Stück um ein Halbfabrikat handelt, ist nicht endgültig zu erbringen. Auch ME **105** ist nicht mit letzter Sicherheit als Halbfabrikat zu bestimmen; wahrscheinlich wurde aber bei diesem Stück gerade begonnen, einen Draht in ein Blech umzuschmieden. ME **104** stammt aus der 2. Hälfte des 1. Jh.; ME **105** wurde mit Material gefunden, das vom Ende des 1. Jh. bis ins 3. Jh. hinein zu datieren ist.

3.2.9 Funktion unbekannt (ME **106–112**)

Die sieben dieser Kategorie zugewiesenen Objekte besitzen zwar eine klar erkennbare Form, sie lassen sich aber derzeit nicht mit Sicherheit einer Funktion oder Kategorie zuweisen.

Die Zierleiste ME **106** könnte ein Möbelbeschlag gewesen sein, doch fehlen dem Stück jegliche Befestigungsmöglichkeiten, so dass diese Deutung nicht sicher ist. ME **106** ist ein Streufund. Der symmetrisch aufgebaute Beschlag ME **107** muss auf Grund seiner Befestigungsweise auf einem Stab (Holz?) gesessen haben, womit eine Deutung als Beschlag am Pferdegeschirr entfällt. Diese Art der Befestigung ist mir ansonsten nicht bekannt, und so muss die Zuweisung dieses Stücks vorerst offen bleiben. ME **107** fand sich in einer neronisch-flavischen Planie, wobei das Stück eventuell auch aus neuzeitlichen Schichten eingeschleppt sein könnte.

Der Anhänger ME **108** ging leider kurz nach seiner Ausgrabung verschollen, so dass hier nur ein Foto des Zustands vor der Restaurierung vorgelegt werden kann (Abb. 291). Erkennen lässt sich eine (weibliche?) Büste, die unterhalb eines Aufhängehakens anscheinend aus dünnem Blech herausgetrieben worden war. Parallelen aus römischer Zeit zu solch einer Anhängerform sind mir nicht bekannt. Da ME **108** aus einer wohl neuzeitlichen Grube stammt, lässt sich eine solche Datierung für diesen Anhänger nicht ganz ausschliessen.

Das Armfragment des Zierbeschlags ME **109** könnte eventuell zu einem Dreiwirbel gehören und zeigt als Verzierung eine Ornamentik, die stark an Pferdegeschirr des 1. Jh. erinnert. Vergleichsstücke zu diesem Beschlag sind mir jedoch nicht bekannt, so dass eine endgültige Zuweisung offen bleiben muss[1218]. Das Objekt stammt aus einer claudisch-neronischen Phase.

Die Scheibe mit erhöhtem Rand, ME **110** (o. Abb.) erinnerte auf den ersten Blick an eine Münze. Dieser Verdacht liess sich jedoch nicht bestätigen[1219], so dass eine Deutung dieses Objektes vorerst offen bleiben muss. ME **110** kommt aus einem Siedlungshorizont der 2. Hälfte des 1. Jh.



Abb. 291. Römerstr. 209. Anhänger ME 108 im unrestaurierten Zustand. M. 1:1.

Der Form nach erinnert ME **111** entfernt an einen Schwertriemenhalter des 2./3. Jh. n. Chr., eine endgültige Zuweisung scheint mir aber doch zu gewagt[1220]. Das Objekt stammt aus einem Siedlungshorizont der 2. Hälfte des 1. Jh., was natürlich auch gegen eine Deutung als mittel- bis spätkaiserzeitlicher Schwertriemenhalter spricht.

Zum Objekt ME **112** sind mir keinerlei Vergleichsstücke oder mögliche Analogien bekannt. Es stammt aus einer augusteisch-tiberischen Grube.

3.2.10 Figürliches (ME **113**)

Vom einzigen mir vorliegenden figürlichen Fragment[1221] ist leider zu wenig erhalten, als dass eine Identifikation möglich wäre (Abb. 292). Möglicherweise handelt es sich um die Darstellung von Haar oder von Bartteilen. Damit käme man mit diesem Stück in die Nähe eines sog. Maskenhelms, der bei Reiterspielen des römischen Militärs verwendet wurde[1222]. Diese Deutung ist auf Grund der Kleinheit des Stücks aber doch sehr gewagt, und die endgültige Zuweisung muss wohl offen bleiben.



Abb. 292. Hohlandstr. 3. Figürliches Fragment ME 113. M. 1:1.

3.3 Erläuterungen und Ergebnisse

Im Folgenden gilt es nun, einen Bezug zwischen den bisher gemachten Beobachtungen und der Siedlungsgeschichte herzustellen. Für das Gesamtspektrum der Buntmetallfunde sei auf Abb. 279 verwiesen. Leider ist dieses Spektrum nicht besonders aussagekräftig, denn es umfasst nur 113 Funde, was eine relativ geringe statistische Basis darstellt. Zudem stammt das Material von insgesamt sechs verschiedenen Ausgrabungen, die teilweise mehrere hundert Meter auseinander lagen (vgl. den Plan im Vorsatz). Wenn man aber dennoch einen kleinen Überblick wagen möchte, so lassen sich neben der grossen Menge von Schrottteilen (s. o. 3.2.7), einige Militaria (s. o. 3.2.4) und Dinge des Hausrats (s. o. 3.2.1) feststellen, während Kategorien wie Schmuck/Tracht (s. o. 3.2.3) oder Toilett-/medizinisches Gerät (s. o. 3.2.2) deutlich unterrepräsentiert sind. Ein Vergleich mit dem Buntmetallspektrum, das bei den Ausgrabungen im Unteren Bühl zum Vorschein gekommen ist[1223], zeigt innerhalb einer gewissen Bandbreite eine grössere Übereinstimmung. Als einziger Unterschied sind beim Material aus den hier vorgelegten Ausgrabungen die Militaria etwas dominanter und Toilett-/medizinisches Gerät etwas seltener. Typochronologisch gesehen datiert die Mehrzahl der Stücke ins 1. bis frühere 2. Jh. n. Chr.; einzig beim Nietknopf mit Emailverzierung ME **36** ist von einer typologischen Datierung ins spätere 2./3. Jh. auszugehen. Mit diesen nur sehr allgemein gehaltenen Feststellungen enden die Möglichkeiten, die sich bei der Betrachtung des Gesamtspektrums ergeben.

Weitere Überlegungen und Deutungen müssen von der Verteilung innerhalb der jeweiligen Ausgrabungen ausgehen.

3.3.1 Hohlandstr. 3

Die Ausgrabung Hohlandstr. 3 lieferte insgesamt 28 Objekte aus Buntmetall[1224]. Damit stammt aus dieser Ausgrabung die zweitgrösste Menge von Buntmetallteilen aller hier vorgestellten Flächen. Das Spektrum dieser Funde unterscheidet sich grundlegend von dem der übrigen Ausgrabungen (s.u.). Das Material besteht fast ausschliesslich aus «Schrottteilen». Die sieben Objekte, die anderen Kategorien zuzuweisen sind, haben eine nur geringe Aussagekraft (Abb. 293): Das Gefässfragment ME **3** besteht aus einem kleinen gelochten Stück Wandung, der Fingerring ME **21** ist schmucklos und die Nietfragmente ME **42** und **43** sind kaum bestimmbar. Das mutmassliche Halbfabrikat ME **105** reicht kaum für den Nachweis von Metallverarbeitung und das Fragment ME **112** ist in seiner Funktion nicht mehr bekannt. Einzig das figürliche Fragment ME **113** lässt aufhorchen, stammen doch aus der gleichen Siedlungsperiode, wenn auch aus einer anderen Phase, zwei weitere figürliche Objekte (vgl. den Beitrag K. Kob Guggisberg in Teil II, Kap. 2.3.2).

Alle anderen Ausgrabungen zeigen einen viel kleineren Anteil an «Schrottteilen» und enthalten daneben auch Objekte, die gut bestimmbar, grösser fragmentiert und teilweise von hoher Qualität sind. Es gibt zwei Erklärungsmöglichkeiten für diese Unterschiede. Zum ersten stammen die meisten Funde der Hohlandstr. 3 aus Schichten des 2./3. Jh. und aus Horizonten, die sich Steinbauten mit wohl festen Böden zuweisen lassen (Abb. 293). Im Gegensatz zu Holzbauten mit Bretterböden des 1. Jh., wie sie mehrheitlich in

[1218] Ähnliche Verzierungsmuster z.B. dreiblattförmige Anhänger aus Vindonissa: Unz/Deschler-Erb 1997, Taf. 51.

[1219] Für eine Begutachtung des Stückes danke ich Markus Peter, Römerstadt Augusta Raurica.

[1220] Als Beispiel siehe Corbridge (GB): M.C. Bishop, J.C.N. Coulston, Roman Military Equipment (London 1993) 131 Abb. 90,6.

[1221] Zu dem Fragment eines Reifes mit Schlange und einer Votivhand aus der Ausgrabung Hohlandstr. 3 vgl. Beitrag von K. Kob Guggisberg in Teil II, Kap. 2.3.2.

[1222] Zahlreiche Belege zu Maskenhelmen siehe M. Junkelmann, Reiter wie Statuen aus Erz. Zaberns Bildb. Arch. 4 (Mainz 1996) 15 ff. mit vielen Abbildungen, wobei das Haar der dort abgebildeten Masken insgesamt weniger stilisiert wirkt.

[1223] Deschler-Erb 1996, 16 Tab. 2, wobei sich diese Zusammenstellung auf 1541 Objekte bezieht.

[1224] Vgl. dazu den Beitrag von F. Hoek in Teil II, Kap. 2; zu zwei figürlichen Objekten aus Buntmetall dieser Ausgrabung vgl. den Beitrag von K. Kob Guggisberg in Teil II, Kap. 2.3.2; zu den Fibeln vgl. den Beitrag von E. Corvi in Teil IV, Kap. 4, FB 1–32.

ME	FK	InvNr	Kategorie	Position	Feld	Befund	Phase	Datierung
3	212		Hausrat	198	5	Kies		
21	147		Schmuck/Tracht	143	5	Grube	Schichtp. 2	70–130
42	203		Kleingerät	211	6	Mauer	SP II/A	150–250
43	264		Kleingerät	100	5	Grube 99/106	Schichtp. 4	70–130
59	236		Schrott			Streufund		
61	255	1	Schrott	246	6	Kiesrollierung	SP II/A	70–250
63	21	2	Schrott	50	3	Kiesrollierung	SP II/A	70–250
67	223		Schrott	37	3,10,11	Planie	SP II/C	180–250
68	200		Schrott	66		Streufund		
69	244		Schrott	168	6,8,9	Graben	SP III	200–300
75	269		Schrott	282	12	Planie	SP III	200–300
77	266		Schrott	202	5	Grube	Schichtp. 4	70–130
78	229		Schrott	1	3,10,11	Humushorizont		Neuzeit
83	250	2	Schrott	63	1,4,6	Grube 61		1–30
85	230		Schrott	22	9,12	Mauer	SP II/B	150–250
86	214		Schrott	217	5	Streufund		
87	249		Schrott	62	1,4,6	Grube 61		1–30
89	255	3	Schrott	246	6	Kiesrollierung	SP II/A	70–250
90	295		Schrott	262/022	9,10,12	Mauer		150–250
92	21	1	Schrott	50	3	Kiesrollierung	SP II/A	70–250
93	254		Schrott	245	6	Kiesrollierung	SP II/A	70–250
94	21	3	Schrott	50	3	Kiesrollierung	SP II/A	70–250
96	255	2	Schrott	246	6	Kiesrollierung	SP II/A	70–250
100	262		Schrott	262	10	Gräbchen 74	SP II/A	70–250
102	250	1	Schrott	63	1,4,6	Grube 61		1–30
105	44		Metallverarbeitung	50	3	Kiesrollierung	SP II/A	70–250
112	250	3	Funktion unbekannt	63	1,4,6	Grube 61		1–30
113	225		Figürliches	37	3,10,11	Planie	SP II/C	180–250

Abb. 293. Hohlandstr. 3. Übersicht zum Befundkontext der 28 Buntmetallfunde aus dieser Ausgrabung.

den übrigen Ausgrabungen nachgewiesen wurden[1225], konnten die Funde im Bereich Hohlandstr. 3 nicht so leicht einer Säuberungsaktion entgehen. Auf einem festen Boden wurden sie entweder fortgewischt und separat entsorgt oder, was bei Buntmetall wahrscheinlicher ist, aufgelesen und wieder verwertet. Eine zweite Erklärungsmöglichkeit ist in der Lage der Ausgrabung Hohlandstr. 3 begründet. Die Fläche befindet sich auf dem Kirchhügel, – weitab von den anderen Ausgrabungen im Nordwesten des Vicus – der den antiken Siedlungsmittelpunkt mit mehr oder weniger öffentlichen Gebäuden bildete (vgl. den Plan im Vorsatz). Die nachgewiesenen Steinbauten werden vom Ausgräber dementsprechend auch als öffentliche Bauten bezeichnet[1226], während im Nordwesten des Vicus Wohn- und Gewerbebauten nachgewiesen wurden. Mir scheint es sehr wahrscheinlich, dass diese im Vergleich zu den anderen Flächen unterschiedliche ursprüngliche Nutzung der Fläche Hohlandstr. 3 auch zu einem anderen Fundniederschlag führte. Im öffentlichen Bereich sind andere und meist weniger Funde zu machen als im privaten oder gewerblichen Bereich.

3.3.2 Römerstr. 209

Aus dieser Ausgrabung[1227] stammen 13 Objekte. Das vorliegende Spektrum ist ungleich vielfältiger als bei der Hohlandstr. 3 und weist darauf hin, dass wir uns nun in einem Wohn- bzw. Gewerbebereich des Vicus befinden. Unter den Funden lassen sich u.a. eine Siegelkapsel (ME **8**), ein Pferdegeschirranhänger, eine mutmassliche Phalere (ME **26** und **31**) und vor allem ein Gerät zur Metallverarbeitung (ME **103**) nachweisen. Bis auf ein mutmasslich neuzeitliches Objekt, dessen Funktion nicht mehr sicher zu bestimmen ist (ME **108**), kommen alle Objekte aus einer der vielen Phasen der Holzüberbauung des 1. Jh. (Abb. 294). Leider war die ausgegrabene Fläche zu klein, als dass die Befundbearbeiterin in der Lage gewesen wäre, vollständige Grundrisse zu erkennen oder gar Wohn- bzw. Gewerbebauten unterscheiden zu können[1228]. Auch die 13 Buntmetallobjekte können da nicht weiterhelfen, zumal sie auf sehr viele Phasen verteilt sind und kaum einen Verbreitungs- oder Datierungsschwerpunkt zeigen. Es sei einzig darauf hingewiesen, dass sich die beiden Militaria ME **26** und **31** innerhalb der neronisch-flavischen Phase 5 relativ nahe beieinander fanden und dass sich auf Grund des Geräts zur Metallverarbeitung ME **103** aus der claudisch-neronischen Phase 3 in jener Zeit eine Buntmetallschmiede irgendwo in der näheren Umgebung befunden haben könnte.

3.3.3 Römerstr. 213/215

Aus dieser Ausgrabung[1229] stammen 12 Objekte. Das kleinteilige Fundspektrum ist nicht sehr aussagekräftig und passt

ME	FK	InvNr	Kategorie	Position	Feld	Feld X/Y	Befund	Phase	Datierung
8	317		Hausrat	050	1	21.3/101.8		2b	40–55
16	80		Toilett-/medizinisches Gerät	109	2	22.05/106.78	Planie	3	40/50–70
26	190		Militaria	202	3	23.05/104		5	55–80
31	193	1	Militaria	71	1	22.5/103.65	Balkengraben	5	55–80
44	220		Kleingerät	171	3	24/102.5		6b	80–110
49	229	2	Kleingerät	046/048	3			4	50–70
51	193	2	Schrott	71	1	22.5/103.65	Balkengraben	5	55–80
72	319		Schrott	OK 076	1	23.93/103.38		2a	20–40
74	23		Schrott	237	1			4	50–70
103	229	1	Metallverarbeitung	046/048	3			4	50–70
107	45		Funktion unbekannt	71	2	22.2/106.2	Planie	5	55–80
108	64		Funktion unbekannt	103	2	18.8/106.8	Grube		Neuzeit?
109	257		Funktion unbekannt	OK 109	3	25.9/106	Gebäude	3	40/50–70

Abb. 294. Römerstr. 209. Übersicht zum Befundkontext der 13 Buntmetallfunde aus dieser Ausgrabung.

ME	FK	InvNr	Kategorie	Position	Feld	Feld X/Y	Befund	Phase	Datierung
10	190		Hausrat	196	3	65.6/605.6	Boden	1	55–70
34	53		Militaria	74	2	46.1/608.5	Bauhorizont		nachrömisch
38	227		Militaria	449	4		Planie	2	30/40–50
50	122		Kleingerät		3		Streufund		
53	200		Schrott	436	4	44.5/605.65	Planie	4	60–80
56	218	1	Schrott	436	4	41.3/607.4	Planie	4	60–80
60	39		Schrott	19	1	53/608.6	Kulturschicht	4	60–80
65	196	1	Schrott	430	4	43/607.3	Boden	3	50–70
66	245		Schrott	490	6		Grube	1	1–30
84	78		Schrott	124	1	52/608.6	Kulturschicht	3	50–70
95	196	2	Schrott	430	4	43/607.3	Boden	3	50–70
97	218	2	Schrott	436	4	41.3/607.4	Planie	4	60–80

Abb. 295. Römerstr. 213/215. Übersicht zum Befundkontext der 12 Buntmetallfunde aus dieser Ausgrabung.

damit eher wieder zum oben bereits gezeigten Spektrum aus der Hohlandstr. 3. Es umfasst neben «Schrottteilen» an Erwähnenswertem den Kästchenring ME **10**, die einfache Schnalle ME **34** und den Knopfniet ME **38**. Die Stücke verteilen sich, mit Ausnahme eines Streufundes und eines Fundes aus nachrömischen Schichten, auf Phasen innerhalb des 1. Jh. (Abb. 295). Der ergrabene Befund ist äusserst vage und erlaubt bis auf den Nachweis von Eisenverarbeitung in augusteisch-tiberischer Zeit kaum eine Interpretation. Die Bearbeiterin geht davon aus, dass sich die Fläche ab augusteisch-tiberischer Zeit im Inneren eines Hauses befindet[1230]. Diese Deutung können die spärlichen Buntmetallfunde weder belegen noch widerlegen. Es bleibt aber festzuhalten, dass sich das vorliegende Spektrum in seiner Kargheit eindeutig von den vielfältigeren Spektren der etwa gleich grossen benachbarten Flächen Römerstr. 209 und 221 unterscheidet.

3.3.4 Römerstr. 221

Aus dieser Ausgrabung[1231] stammen 14 Objekte. Das Fundspektrum ist vielfältig und beinhaltet einige der eindeutigeren Militaria. Der kugelig abschliessende Speerschuh ME **22** und der reich verzierte Metallzaum ME **33** können als sicherer Nachweis von Reiterei gelten. Das Riemenscharnier ME **24** ist ein Beleg für Fusstruppen. Die Funde, insbesondere die sicheren Militaria, stammen mehrheitlich aus Phasen des 1. Jh., einige Stücke datieren aber auch in Phasen des 2. Jh. (Abb. 296). Der ergrabene Befund zeigt bis auf die frühesten Phasen Grundrisse von Privatbauten am Rande eines Platzes oder Weges, wobei nicht geklärt werden konnte, ob es sich um Wohn- oder Gewerbebauten handelte. Auf alle Fälle liess sich aber ein Bezug zur Überbauung im östlich davon gelegenen Quartier Römerstr. 227/229 bzw. Römerweg 5 nachweisen[1232]. Das Spektrum der Buntmetallfunde lässt keine Unterscheidung zwischen Wohn- oder Gewerbebauten zu, weist aber auf Beziehungen zum Nachbarquartier in Römerstr. 227/229 und Römerweg 5 hin (s.u.). Auffallend bleibt, dass sich die beiden sicheren Militaria ME **22** und ME **24** räumlich sehr nahe beieinander fanden und dass der Metallzaum ME **33** aus einer Zeit stammt, die bis in die Gründung des Vicus zurück reicht (Phase 2a, Graben).

3.3.5 Römerstr. 227/229 und Römerweg 5

Mit den Ausgrabungen Römerstr. 227/229 und Römerweg 5 haben wir Flächen vor uns, die quasi ein komplettes Viertel des Vicus umfassen[1233]. Dementsprechend stehen auch insgesamt 46 Objekte aus Buntmetall zur Verfügung, die mit Ausnahme der figürlichen Funde alle Kategorien umfassen und zum Teil recht qualitätsvoll gearbeitet sind. Zu nennen seien hier u.a. die beiden Gefässfragmente sicher italischen Ursprungs ME **2** und **4**, zwei Teile wohl einer Laterne ME **5** und **6**, der als sehr selten zu bezeichnende Stilus ME **7** und mit ME **11** das komplette Schlossblech wohl einer Tür. Weiter stammen aus diesen Flächen mit ME **14** und **15** und ME **17–20** so gut wie alle uns vorliegenden Toilett-/medizinischen Geräte und Schmuck/Trachtteile. Das Nielloblech ME **25** gilt als sicherer Nachweis von Fusstruppen, der Pferdegeschirranhänger ME **27** als sicherer Nachweis für Reiterei. Mit dem emailverzierten Knopfniet ME **36** haben wir einen typologischen Beleg für Material des 2./3. Jh. und mit dem Jochbeschlag ME **40** einen Nachweis für das zivile Transportwesen (Abb. 297). Dieses vielfältige Spektrum entspricht damit mehr oder weniger dem Fundinventar, wie es auch im Unteren Bühl nachgewiesen werden konnte[1234], und ist wohl typisch für die Verteilung in Wohn- bzw. Gewerbebauten.

[1225] Vgl. dazu die Beiträge von V. Jauch und R. Janke in Teil III.
[1226] Vgl. dazu den Beitrag von F. Hoek, Teil II, Kap. 2.4.
[1227] Zum Befund vgl. den Beitrag von V. Jauch in Teil III, Kap. 3. Zu den Fibeln vgl. den Beitrag von E. Corvi in Teil IV, Kap. 4, FB 1–2, 15–16, 20–22, 29.
[1228] Vgl. die Zusammenfassung im Beitrag von V. Jauch, Teil III, Kap. 3.5.
[1229] Zum Befund vgl. den Beitrag von V. Jauch in Teil III, Kap. 4.
[1230] Vgl. die Zusammenfassung im Beitrag von V. Jauch, Teil III, Kap. 4.5.
[1231] Zum Befund vgl. den Beitrag von V. Jauch, Teil III, Kap. 5; zu den Fibeln vgl. den Beitrag von E. Corvi, FB 3, 11–12, 14, 19, 25, 30.
[1232] Vgl. die Zusammenfassung im Beitrag von V. Jauch, Teil III, Kap. 5.3.
[1233] Zum Befund vgl. den Beitrag von R. Janke in Teil III, Kap. 6; zu den Fibeln vgl. den Beitrag von E. Corvi in Teil IV, Kap. 4, FB 4–6, 8, 10, 13, 17–18, 26–28, 31–32.
[1234] Deschler-Erb 1996, 16 Tab. 2. Vgl. dazu auch ebd. 118ff.

ME	FK	InvNr	Kategorie	Position	Feld	Feld X/Y	Befund	Phase	Datierung
9	62		Hausrat	62	3	496.5/310	Graben 56/West	3	50–80/90
22	56		Militaria	44	3	496.23/309.38	Gebäude	2b	30–50/55
24	48		Militaria	033/065	3	496.21/309.67	Boden	4	80–100
33	124		Militaria	77	3	499.45/311.5	Graben	2a	1–30
35	33	2	Militaria	29	3			5b	150–200
37	94		Militaria	41.1	2		Kiesrollierung	4	80–100
41	97		Kleingerät	41.2	3		Kiesrollierung	3	50–80/90
52	33	1	Schrott	29	3			5b	150–200
55	77		Schrott	41.2	3		Kies	3	50–80/90
62	54		Schrott	41	3	498.38/308.57	Kiesrollierung	3–4	50–100
88	33	4	Schrott	29	3			5b	150–200
91	92		Schrott	45	2		Pfostenloch	5b	150–200
101	33	3	Schrott	29	3			5b	150–200
104	55		Metallverarbeitung	41	3	498.59/307.83	Kiesrollierung	3–4	50–100

Abb. 296. Römerstr. 221. Übersicht zum Befundkontext der 14 Buntmetallfunde aus dieser Ausgrabung.

ME	FK	Kategorie	Position	Feld	Feld X/Y	Befund	Phase	Datierung
1	1031	Hausrat	767	20		Gebäude	SH IV	75–150
2	869	Hausrat	576	8		Grube		121 n.Chr.
5	1061	Hausrat	314	21		Bauhorizont	SH III	50–100
6	1111	Hausrat	834	21		Graben	SH III/IV	50–150
7	564	Hausrat			529/80	Streufund		
12	702	Hausrat	315	10		Bauhorizont	SH III	50–70
13	1033	Hausrat	31	20		Grube	SH IV	75–150
14	1191	Toilett-/med. Gerät	937	25		Grube 14	SH III	50–100
15	421	Toilett-/med. Gerät	155	4			SH IV	75–150
17	848	Schmuck/Tracht	7	14		Brandschicht	SH II	20–50
18	1302	Schmuck/Tracht	43	31	493.75/91.15	Schichtpaket	SH V	150–200
19	835	Schmuck/Tracht	535	10		Kulturschicht	SH I	1–20
20	1538	Schmuck/Tracht	1428	34		Grube	SH I	1–20
23	1521	Militaria	1362	36				römisch-Neuzeit
25	1366	Militaria	1245/1150	31		Balkengraben	SH IV	100–150
28	1509	Militaria	1105	33		Gebäude	SH VII	römisch-Neuzeit
29	1233	Militaria	991	29	521.9/65.6	Grube		nicht datiert
30	1459	Militaria	1214	33		Gebäude	SH IV	100–150
32	1322	Militaria	1146	33		Gebäude	SH VII	römisch-Neuzeit
36	1192	Militaria	141	26	497.6/82.45	Kanal 4	SH VI	200–300
39	1337	Militaria	1131	32	492.05/85.8	Gebäude	SH VII	römisch-Neuzeit
40	1571	Transport	757	34		Portikus	SH IV	75–150
45	108	Kleingerät	70	3		Graben		römisch-Neuzeit
46	843	Kleingerät	7	13	523.4/79.3	Humushorizont		römisch-modern
47	596	Kleingerät	253/341	11/12		Schichtpaket		1.–4. Jh.
48	393	Kleingerät	208	6		Bauhorizont	SH II	1–20
54	1523	Schrott	1474	34		Portikus	SH III	50–100
57	219	Schrott	135	4		Schichtpaket		römisch-Neuzeit
64	1474	Schrott	1203	32		Gebäude	SH III	50–100
71	1475	Schrott	1169	32		Schichtpaket	SH IV	100–150
76	615	Schrott	303	9C				
79	842	Schrott	7	14		Humushorizont		römisch-modern
80	205	Schrott	131	6		Schichtpaket		römisch-Neuzeit
81	779	Schrott	418	10A		Balkengraben	SH III	50–100
82	700	Schrott	407	9		Gebäude	SH II	20–50
98	1326	Schrott	1146/1130			Gebäude	SH VII	römisch-Neuzeit
99	1285	Schrott	31	33		Gebäude	SH IV	75–150
110	698	Funktion unbekannt	462	10A		Balkengraben	SH II	50–100
111	76	Funktion unbekannt	45	1			SH III	50–100

4	91	Hausrat	14	39		Schlackenhalde		1.–2. Jh.
11	60	Hausrat	3	40		Schuttschicht		römisch-Neuzeit
27	47	Militaria	3	21–23		Schuttschicht		römisch-Neuzeit
58	67	Schrott	4	11–13		Brandschicht	SH III	50–100
70	71	Schrott	4	4		Brandschicht	SH III	50–100
73	72	Schrott	4	5		Brandschicht	SH III	50–100
106	96	Funktion unbekannt				Streufund		

Abb. 297. Römerstr. 227/229 (oben) und Römerweg 5 (unten). Übersicht zum Befundkontext der 46 Buntmetallfunde aus diesen beiden Ausgrabungen.

Der Befund für das 1. Jh. zeigt ein von Wegen gesäumtes Areal mit mehreren Wohn- und Gewerbebauten, im Bereich der Römerstr. 227/229 gruppiert um einen Innenhof[1235]. Die Kartierung der Buntmetallfunde und der Fibeln auf der Basis dieses Befundes (Abb. 298) zeigt eine Konzentration im Bereich der Gebäude H und G, wobei besonders auf eine gehäufte Ansammlung von Militaria im Süden von Haus G hingewiesen sei. Es scheint mir dennoch verfehlt, anhand

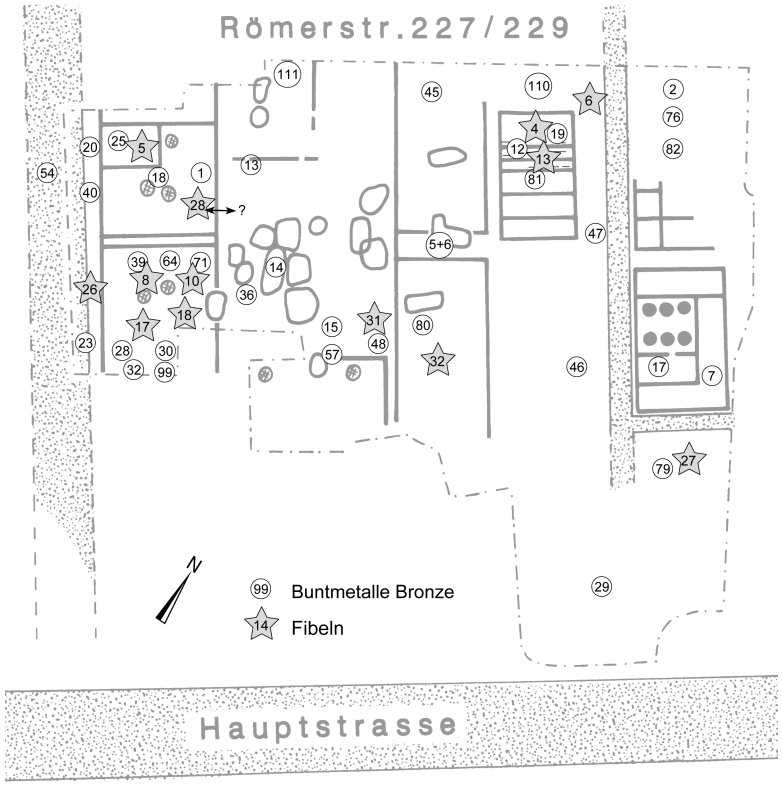


Abb. 298. Römerstr. 227/229. Kartierung der Buntmetallfunde (Kreise) und der Fibeln (Sterne) innerhalb der Grundrisse zu SH II–IV. M. 1:800. Zu den Zahlen vgl. die Kataloge zu den Buntmetallen und den Fibeln.

dieser Häufung militärische Präsenz in diesem Gebäude zu suchen. Dagegen spricht schon die Tatsache, dass unter den hier ebenfalls zahlreich vorkommenden Fibeln keine als typische Militärfibel zu bezeichnen ist[1236]. Die Militariapräsenz in Zivilsiedlungen der frühen und mittleren Kaiserzeit lässt sich nicht monokausal erklären. Neben einem regulären Militärposten kann sie auch auf durchreisende Truppen oder Veteranen hinweisen oder auf eine Werkstatt, die im Auftrag des Militärs produzierte. Einen Militärposten in Haus G möchte ich zurückweisen, auch durchreisende Truppen scheinen mir wenig wahrscheinlich, da wir uns im Bereich der Römerstr. 227/229 nicht direkt an der Hauptstrasse befinden. Am ehesten könnte in diesem Gebäude ein Veteran mit seiner Familie gewohnt haben, der vielleicht auch eine der benachbarten Werkstätten (z. B. Schmiede im Gebäude H) betrieben hat. Diese Werkstätte könnte auch im Auftrag des Militärs gearbeitet haben[1237].

3.4 Zusammenfassung

Aus den Ausgrabungen Hohlandstr. 3, Römerstr. 209, Römerstr. 213/215, Römerstr. 221, Römerstr. 227/229 und Römerweg 5 liegen insgesamt 113 Objekte aus Buntmetall vor. Das Material birgt ein breitgefächertes Spektrum; die Objekte sind teilweise von hoher Qualität und von weiter her importiert. Gut belegen lässt sich dies für die Gefässfragmente ME **2** und **4**, die aus Italien kommen; bei anderen Exemplaren, wie den Laternenteilen ME **5** und **6**, ist mit grosser Wahrscheinlichkeit von einem Import aus Italien oder Gallien auszugehen.

Hinweise auf die Herkunft der Bewohner/innen lassen sich mit dem vorliegenden Material nicht gewinnen; einzig der Rädchenanhänger ME **18** zeigt, dass einheimisches (keltisches) Gedankengut verbreitet gewesen sein könnte. Die relativ zahlreich vorliegenden Militaria, die neben Pferdegeschirr auch Teile von Angriffswaffen, Panzerung und Gürtelteilen umfassen, weisen auf einen militärischen Einfluss hin, der für eine Zivilsiedlung auffallend hoch ist.

Chronotypologisch betrachtet, gehören fast alle vorliegenden Buntmetallfunde ins 1. bis frühere 2. Jh. n. Chr. Einzig mit dem emailverzierten Nietknopf ME **36** lässt sich ein Stück benennen, das mit Sicherheit erst ab dem späteren 2. Jh. hergestellt worden sein dürfte.

Schaut man die Objekte in ihrer Verteilung innerhalb der einzelnen Flächen an, so ist klar zu erkennen, dass in der Ausgrabung Hohlandstr. 3 eine andere Materialzusammensetzung vorliegt als in den übrigen Flächen. Dies kann wohl direkt darauf zurückgeführt werden, dass in der Ausgrabung Hohlandstr. 3 ein öffentlicher Bereich aufgedeckt wurde, während in den übrigen Flächen Wohn- oder Gewerbebauten zum Vorschein kamen. Einzig Römerstr. 227/229 und Römerweg 5 lieferten eine genügend grosse Fläche und genügend Material für eine Kartierung. In einem Haus des 1. Jh. liess sich ein Schwerpunkt mit Militaria und Fibeln feststellen. Da die vorliegenden Fibeln rein zivil sind, kann dieser Befund am ehesten als Wohnraum eines Veteranen mit Familie und angeschlossener Werkstatt gedeutet werden.

4 FIBELN *(Elena Corvi)*

Aus den in diesem Band besprochenen Ausgrabungen stammen insgesamt 32 Fibeln, Fibelfragmente oder Nadeln. Mit

[1234] Deschler-Erb 1996, 16 Tab. 2. Vgl. dazu auch ebd. 118ff.
[1235] Vgl. den Beitrag von R. Janke in Teil III, Kap. 6.2.2.
[1236] Vgl. Beitrag E. Corvi in Teil IV, Kap. 4, FB 1–3, 6, 15–16, 27.
[1237] Zur Deutung von Militaria in Zivilsiedlungen Deschler-Erb 1996, 133 ff.

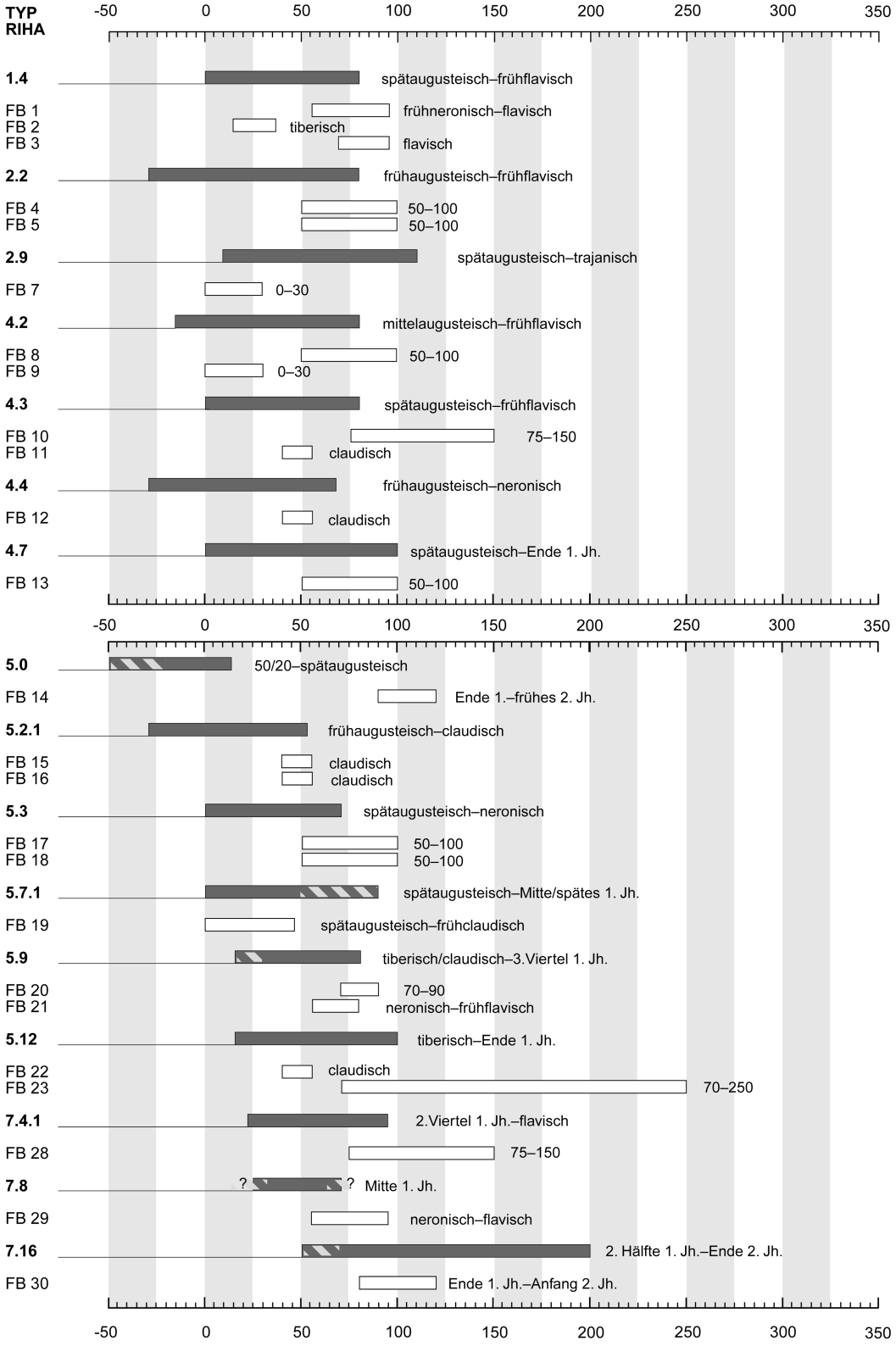


Abb. 299. Typologisch-chronologische Darstellung der Fibeln aus den verschiedenen Ausgrabungen.

Ausnahme der eisernen Fibel FB **14**[1238] bestehen alle vorliegenden Beispiele aus einer Kupferlegierung. Dank Röntgenfluoreszenzanalysen[1239] konnte bei zehn Fibeln die Zusammensetzung der Legierung präzisiert werden. Neun (FB **8, 12–13, 18, 23–24, 26, 28, 30**) sind aus Messing und nur eine einzige aus Bronze (FB **17**). Mit den Analysen konnten auf vier Fibeln (FB **13, 17, 23, 30**) sichere und auf drei weiteren (FB **24–26**) mögliche Spuren einer ursprünglichen Verzin-

nung nachgewiesen werden. Diese verleiht den Objekten eine silbern wirkende Oberfläche. Die Röntgenfluoreszenzuntersuchung belegte zudem, dass die Metalleinlagen auf der Fibel FB **12** ebenfalls aus Zinn bestehen.

Was die Erhaltung der Stücke betrifft, ist einerseits auf die Fibel FB **8** mit ihrer nichtpatinierten goldenen Messingoberfläche, andererseits auf die sieben verbogenen Fibeln (FB **2, 4, 12, 17–18, 30–31**) hinzuweisen. Im Gegensatz zu 13 Fibeln aus dem «Unteren Bühl»[1240] war bei keinem der erwähnten Stücke eine Gewalteinwirkung mittels einer Zange, eines Hammers oder einer Metallschere festzustellen. Die Verformungen sind folglich auf den Gebrauch oder auf die Bodenlagerung zurückzuführen. Wie beim «Unteren Bühl» stammen auch die vorliegenden Fibeln alle aus einem profanen Kontext.

Sieben Fibeln gehören zu Typen, die im Allgemeinen mit dem Militär in Verbindung gebracht werden: Riha 1.4 (FB **1–3**), 2.3 (FB **6**), 5.2 (FB **15–16**) und 6.5 (FB **27**). Auf Grund des heutigen Forschungsstands kann aber einzig der Typ 6.5 (Zwiebelknopffibel) trotz der Belege in Frauengräbern ausschliesslich mit den Truppen in Verbindung gebracht werden[1241]. Das Vorkommen der drei anderen Typen (Riha 1.4, 2.3, 5.2) in Zivilsiedlungen oder Frauengräbern liess mehrere Autoren vermuten, dass diese Fibeln zunehmend von einer grösseren Bevölkerungsgruppe im Umkreis des Militärs verwendet wurden. Nur sehr wenige Fibeln könnten in Erstverwendung mit den Truppen verbunden werden. Folglich bestehen auf Grund des Fibelspektrums nur sehr spärliche Indizien für eine Militärpräsenz. Diese wurde von Rey-Vodoz nur im Zusammenhang mit dem Typ Riha 5.2 postuliert[1242]. Der hohe Anteil der sog. Aucissa-Fibeln könnte dazu einen weiteren Hinweis liefern, der den Resultaten der Untersuchung von E. Deschler-Erb zu den militärischen Ausstattungsgegenständen gegenüberzustellen ist (vgl. Teil IV, Kap. 3.2.4). Dies gilt jedoch sicher nur für die Anfänge des Vicus, d. h. die ersten Jahrzehnte des 1. Jh. n. Chr.[1243] Was die Fibeln FB **15–16** betrifft, ist festzuhalten, dass sie aus einem claudischen Kontext stammen. Die Zwiebelknopffibel (Typ 6.5) FB **27** muss mit den in der Nähe entdeckten spätantiken Körperbestattungen in Verbindung gebracht werden[1244]. Obwohl ein Streufund, könnte die Fibel ursprünglich durchaus als Grabbeigabe gedient haben. Bezüglich einer Interpretation als militärischer Ausrüstungsgegenstand ist darauf hinzuweisen, dass die einzige weitere Zwiebelknopffibel aus Oberwinterthur – leider ebenso ein Streufund – im Areal des Kirchhügels gefunden wurde, wo 294 n. Chr. die Befestigung errichtet worden war[1245].

4.1 Datierung

Mit Ausnahme von fünf Fibeln (FB **14, 25–26, 31–32**), die nicht mit Sicherheit einem bestimmten Typ zugewiesen werden können, zwei Streufunden (FB **6, 27**) und einem weiteren Beispiel aus einem schlecht datierten Kontext (FB **24**) stammen die Funde aus einem datierten stratigraphischen Kontext, der einige chronologische Beobachtungen ermöglicht. In den meisten Fällen (FB **1–5, 7–13, 15–23, 25, 28–29, 30**) ist eine Übereinstimmung zwischen den stratigraphischen und den allgemein akzeptierten typologischen Datierungen festzustellen (vgl. Abb. 299). Vier Beispiele (FB **2, 7, 9, 19**) sind zudem mit der Frühphase ihrer Produktion zu verbinden, was darauf hinweist, dass im Vicus mit der Einfuhr neuer Produkte nicht gezögert wurde. Für die Fibel FB **25** ist nur eine einzige Parallele bekannt (vgl. Kommentar im Katalog).

4.2 Herkunft und Verbreitung

Die Problematik der Herkunft der hier untersuchten Fibeln verdient einige Bemerkungen: Trotz des Nachweises von einem oder sogar drei Fibelhalbfabrikaten in Oberwinterthur[1246], sind wir über die Organisation der Fibelproduktion sehr schlecht informiert. Es ist jedoch unbestritten, wie es V. Rey-Vodoz in ihrer Synthese zu Oberwinterthur und zur Problematik der Fibelwerkstätten im Allgemeinen betont[1247], dass sowohl Vindonissa wie Augst für den Nachschub im Vicus eine wichtige Rolle spielten. Zwei der hier vorgelegten Typen sind aber in Augst nicht vertreten: Vom Typ Riha 5.0[1248] (FB **14**[1249]) kann das Verbreitungsgebiet nach dem heutigen Kenntnisstand nicht definiert werden[1250]. Vom Typ Almgren 101 mit Hülsenscharnier (FB **25**) kennt man bisher nur zwei Exemplare. Ein Vergleich mit dem Spektrum von Vindonissa ist derzeit kaum möglich, da dieser Corpus bisher nicht erschlossen ist und die von Ettlinger erfassten Typen sich schlecht mit der Typologie von Riha, deren Referenzwerk für uns massgebend ist, gleichsetzen lassen.

Gesamthaft liegt Vitudurum im allgemeinen Verbreitungsgebiet der einzelnen Fibeltypen[1251]. Für den im gallischen Gebiet häufigen Typ Riha 4.2 (FB **8–9**) liegt Oberwinterthur sogar im Kerngebiet einer Produktionszone, die

---

[1238] Rey-Vodoz 1998, 53 votiert für eine lokale Herkunft der Eisenfibeln aus dem Quartier «Unteres Bühl».

[1239] Wir danken Alexander Voûte (SLM, Sektion Forschung und Entwicklung) für die Durchführung der Analysen und weitere wertvolle Hinweise.

[1240] Rey-Vodoz 1998, 39; 53 f. konnte in ihrer Studie zu den Fibeln aus dem «Unteren Bühl» erstmals absichtlich verbogene Fibeln in einem profanen Kontext feststellen.

[1241] Vgl. Rey-Vodoz 1986, 166: Typ 6.5.

[1242] Rey-Vodoz 1998, 45f.

[1243] Rey-Vodoz 1998, 46.

[1244] Dazu Windler 1995, 181–185 und oben Beitrag R. Janke, Teil III, Kap.6.4.2.

[1245] Rychener 1984, 108, Taf. 75 Kat. 1011. Dieses Stück weist etwa dieselbe typologische Datierung auf wie das hier vorgelegte Beispiel, d.h. Mitte 4. bis Anfang 5. Jh. vgl. Pröttel 1988, 359–364: Typ 3/4B; 372 Abb. 11: Datierung.

[1246] Deschler-Erb 1996, 112; 318 Taf. 34, ME 1370–ME 1372. Nach Rey-Vodoz 1998, 57 handelt es sich nur bei ME 1372 sicher um ein Halbfabrikat.

[1247] Rey-Vodoz 1998, 54; 57–58.

[1248] Wir weisen darauf hin, dass die hier verwendete Bezeichnung Typ 5.0 ausnahmsweise nicht dem Typ Riha 5.0 entspricht, der in der zweiten Fibelpublikation von Augst definiert wurde. Der Typ 5.0 wurde erstmals von V. Rey-Vodoz 1986 anhand des Fibelspektrums von Martigny eingeführt und von Riha 1994 nicht berücksichtigt.

[1249] Im Bereich «Unteres Bühl» wurde eine weitere Fibel des Typs 5.0 gefunden: Rey-Vodoz 1998, FB 124.

[1250] Die Heterogeneität des Typs, der alle Eisenfibeln mit Scharnier vereint, der schlechte Erhaltungszustand, der eine Publikation der Stücke oft erschwert, sowie die Gewohnheit einiger Autoren der Form gegenüber dem Verschlusssystem als typologisches Kriterium den Vorrang zu geben, verunmöglichen eine Definition der Verbreitung. Es ist zudem darauf hinzuweisen, dass die Zuordnung unserer Fibel zum Typ 5.0 nicht unproblematisch ist.

[1251] Typen mit Verbreitung in allen Provinzen des Imperiums: 5.2 (FB 15–16), 6.5 (FB 27) und 7.16 (FB 30); Typen mit Verbreitung in den Westprovinzen: 1.4 (FB 1–3), 2.2 (FB 4), 4.3 (FB 10–11), 4.4 (FB 12), 4.7 (FB 13), 5.3 (FB 17–18), 5.7 (FB 19), 5.9 (FB 20–21), 5.12 (FB 22– 23), 5.16 (FB 24), 7.4 (FB 28); im gallischen Bereich häufige Typen: 4.2 (FB 8–9) und 7.8 (FB 29).

sich in der Nordschweiz befindet[1252]. Nur in vier Fällen (FB **5–7, 25**) befindet sich der Vicus am Rand oder in einiger Entfernung des Verbreitungsgebiets. Einen Grenzfall bildet der Typ 2.3 (FB **6**) der zwar germanischer Herkunft ist, aber vor allem in der Nähe des Rheins vorkommt. Bezüglich der Fibel FB **5**, einer besonderen Form des Typs Riha 2.2, stellt Oberwinterthur einen entfernten Punkt der üblichen Verbreitung dar. Für dieses Stück wird eine Herkunft aus der Germania Inferior postuliert[1253]. Die Sonderform des Typs Almgren 101 (FB **25**) wird aus dem Rheingebiet importiert worden sein[1254]. Der Typ 2.9 (FB **7**) stammt aus dem norisch-pannonischen Gebiet, verbreitete sich aber durch die römischen Donauprovinzen bis nach Rätien und ins Rheinland. Zehn weitere Beispiele des Typs sind aus dem Areal «Unteres Bühl» bekannt[1255]. Das Vorkommen der Fibeln FB **5–7** und **25** in Vitudurum erklärt sich mit der strategischen Position des Vicus, der an einer wichtigen Verbindungsachse zwischen Gallien, dem schweizerischen Mittelland und der nahe gelegenen Grenze zur rätischen Provinz und dem zugehörigen Limes liegt. Hier mussten zweifellos viele Reisende durchziehen.

Schliesslich ist bemerkenswert, dass die aussergewöhnlich grosse Fibel FB **13** nur in Martigny Parallelen aufweist[1256]. Es ist verlockend anzunehmen, dass die Fibeln der Variante 4.7.2, für welche Feugère eine Produktionsstätte in Nordgallien oder in Germanien vermutet, dieselbe Herkunft aufweisen[1257]. Auch für die Fibel FB **20** und eine Parallele aus Hüfingen vermuten wir eine gemeinsame, leider nicht identifizierbare Herkunft[1258].

[1252] Vgl. Rey-Vodoz 1998, 20; Riha 1979, 45; 94. Entsprechende Halbfabrikate wurden auf dem Mont Beuvray entdeckt: J.P. Guillaumet, Les fibules de Bibracte, technique et typologie. Centre de recherche sur les techniques gallo-romaines 10 (Dijon 1984) Nr. 149 und 151.
[1253] Vgl. Kommentar im Katalog.
[1254] Vgl. Hinweise im Katalog.
[1255] Rey-Vodoz 1998, 16f.
[1256] Rey-Vodoz 1986, Nrn. 139–142.
[1257] Feugère 1985, 294 (Typ 20a1).
[1258] Vgl. Kommentar im Katalog.

Zum Inhaltsverzeichnis

V ANHANG

1 TABELLEN

Datierung	Fundlage	Typ	Gattung	Anzahl
Phase 1	OK Gehniveau Pos. 129/15	Consp. 18	Ital. TS	1
	Graben Pos. 121	Consp. 18	Ital. TS	1
		Drack 21	-	1
	Graben Pos. 122	Drack 21	-	1
	Kiesweg Pos. 99	Consp. 18	Ital. TS	1
		Consp. 22	Ital. TS	1
		TS/WS	Ital. TS	2
		Drack 21	-	1
Phase 2a	Planie Pos. 76	Consp. 18	Ital. TS	2
		Consp. 21	Ital. TS	1
		Consp. 22	Ital. TS	2
		TS/unbest.	Ital. TS	5
		Drag. 15	Südgall. TS	1
		Drag. 15/17	Südgall. TS	1
		Drag. 27	Südgall. TS	1
		Drack 2	TS-Imitation	6
		Drack 2/3	TS-Imitation	1
		Drack 9	TS-Imitation	2
		Drack 21	-	6
Phase 2b	Gehniveau Pos. 50	Drag. 29	Südgall. TS	4
		Drag. 30	Südgall. TS	2
		Hofheim 12	Südgall. TS	1
		Hofheim 1	Südgall. TS	1
		Drag. 15	Südgall. TS	1
		Drag. 15/17	Südgall. TS	1
		Hofheim 5	Südgall. TS	1
		Hofheim 9	Südgall. TS	1
		Drag. 24	Südgall. TS	4
		Drag. 22/23	Südgall. TS	1
		Drag. 27	Südgall. TS	1
		Drack 2	TS-Imitation	1
		Drack 3	TS-Imitation	1
		Drack 9	TS-Imitation	1
		Drack 13	TS-Imitation	1
		BS	TS-Imitation	5
		Drack 20	-	1
		Drack 21	-	12
		Drack 22	-	1
		Schale	Frühe Glanztonkeramik	1
Phase 3	Planie Pos. 109	Drag. 29	Südgall. TS	3
		Drag. 30	Südgall. TS	1
		Consp. 18	Ital. TS	1
		Drag. 15	Südgall. TS	1
		Drag. 17	Südgall. TS	1
		Drag. 18	Südgall. TS	2
		Hofheim 9	Südgall. TS	1
		Drag. 27	Südgall. TS	2
		Drack 2	TS-Imitation	1
		Drack 3	TS-Imitation	1
		Drack 4	TS-Imitation	2
		Drack 20	-	1
		Drack 21	-	6
	Estrich Pos. 231	Drag. 29	Südgall. TS	1
		Drag. 15	Südgall. TS	1
		Drag. 24	Südgall. TS	1
		Drag. 27	Südgall. TS	1
		Drack 2	TS-Imitation	
		Drack 21	-	3
Phase 4	Planie Pos. 228/49	Drag. 30	Südgall. TS	3
		Hofheim 9	Südgall. TS	1
		Drag. 27	Südgall. TS	3
		Drack 20	-	1
		Drack 21	-	1
	Planie Pos. 48/46	Drag. 29	Südgall. TS	18
		Drag. 30	Südgall. TS	3
		Hofheim 12	Südgall. TS	2
		Drag. 15	Südgall. TS	3
		Drag. 15/17	Südgall. TS	10
		Drag. 18/31	Südgall. TS	11
		Hofheim 8	Südgall. TS	1
		Hofheim 9	Südgall. TS	7
		Drag. 24/25	Südgall. TS	8
		Drag. 27	Südgall. TS	10
		Drack 33	Südgall. TS	1
		Drack 19	-	4
		Drack 20	-	1

Tab. 1. Römerstrasse 209. Anteil Feinkeramik (keine MIZ). Fortsetzung S. 244.

Datierung	Fundlage	Typ	Gattung	Anzahl
Phase 4		Drack 21	-	10
		Kantharos	Bleiglasierte Keramik	1
		Schale	Frühe Glanztonkeramik	3
	Estrich Pos. 72	Drag. 29	Südgall. TS	1
		Drag. 30	Südgall. TS	1
		Drag. 18/31	Südgall. TS	1
		Hofheim 12	Südgall. TS	1
		Hofheim 8	Südgall. TS	1
		Drag. 27	Südgall. TS	1
Phase 5	Planie Pos. 71	Drag. 29	Südgall. TS	20
		Drag. 30	Südgall. TS	11
		Drag. 35	Südgall. TS	1
		Drag. 15/17	Südgall. TS	5
		Drag. 18/31	Südgall. TS	14
		Hofheim 12	Südgall. TS	3
		Hofheim 8	Südgall. TS	2
		Hofheim 9	Südgall. TS	3
		Drag. 24	Südgall. TS	4
		Drag. 27	Südgall. TS	16
		Déch. 67	Südgall. TS	1
		Drack 19	-	1
		Drack 20	-	2
		Drack 21	-	5
		Schale	Frühe Glanztonkeramik	3
	Grube Pos. 215	Drag. 29	Südgall. TS	5
		Drag. 15/17	Südgall. TS	1
		Hofheim 1	Südgall. TS	1
		Drag. 18	Südgall. TS	2
		Hofheim 8	Südgall. TS	1
		Hofheim 9	Südgall. TS	1
		Drag. 24/25	Südgall. TS	3
		Drag. 27	Südgall. TS	3
		Drack 19	-	1
		Drack 20	-	1
		Drack 21	-	3
Phase 6a	Planie Pos. 70	Drag. 29	Südgall. TS	3
		Drag. 18	Südgall. TS	2
		Drag. 24	Südgall. TS	1
		Drag. 27	Südgall. TS	1
		Drag. 33	Südgall. TS	1
		Déch. 67	Südgall. TS	1
		Schale	Frühe Glanztonkeramik	1
	Planie Pos. 8	Drag. 29	Südgall. TS	1
		Drag. 30	Südgall. TS	1
		Hofheim 12	Südgall. TS	1
		Drag. 27	Südgall. TS	2
		Drack 20	-	1
		Drack 21	-	1
	Estrich Pos. 26	Drag. 29	Südgall. TS	1
		Drag. 30	Südgall. TS	1
		Drag. 37	Südgall. TS	1
		Schale	Frühe Glanztonkeramik	1
	Pfolo Pos. 194	Drag. 29	Südgall. TS	3
		Drag. 37	Südgall. TS	2
		Drack 20	-	1
	Graben Pos. 175, UK	Drag. 29	Südgall. TS	3
		Drag. 30	Südgall. TS	1
		Drag. 37	Südgall. TS	1
		Drag. 37	Ostgall. TS	1
		Drag. 35/36	Südgall. TS	1
		Drag. 18/31	Südgall. TS	1
	OK	Drag. 37	Südgall. TS	1
		Becher	Klass. Glanztonkeramik	1
Phase 6b	Planie Pos. 161	Drag. 37	Südgall. TS	1
	Pfolo Pos. 162	Becher	Klass. Glanztonkeramik	1
	Graben Pos. 171 OK	Drag. 29	Südgall. TS	3
		Drag. 30	Südgall. TS	1
		Drag. 37	Südgall. TS	5
		Drag. 35/36	Südgall. TS	1
		Drag. 18/31	Südgall. TS	1
		Drag. 27	Südgall. TS	1
		Hofheim 8	Südgall. TS?	1
		Becher	Klass. Glanztonkeramik	1
		Drack 20	-	1
	UK	Drag. 29	Südgall. TS	1
		Drag. 30	Südgall. TS	1
		Drag. 15/17	Südgall. TS	2
		Drag. 18	Südgall. TS	2
		Hofheim 9	Südgall. TS	3
		Drag. 27	Südgall. TS	2
		Drack 21	-	2

Tab. 1. (Fortsetzung von S. 243). Römerstrasse 209. Anteil Feinkeramik (keine MIZ).

Datierung	Typ	Gattung	Anzahl
Phase 3	*Graben Pos. 75*		
	Drag. 35/36	Südgall. TS	1
	Drag. 15/17	Südgall. TS	1
	Teller	Südgall. TS	1
	Drack 20		1
	Kies Pos. 41.2		
	Drag. 30	Südgall. TS	1
	Drag. 29	Südgall. TS	4
	Teller	Italische TS	1
	-	Italische TS	1
	Drag. 15/17	Südgall. TS	1
	Teller	Südgall. TS	1
	Drag. 24	Südgall. TS	1
	Drack 1	TS-Imit.	1
	Drack 4	TS-Imit.	1
	Drack 11	TS-Imit.	1
	Drack 13A	TS-Imit.	1
	Drack 21		1
	Graben Pos. 76		
	Drag. 29	Südgall. TS	1
	Drag. 30	Südgall. TS	1
	Drack 21		1
	Schale	Frühe Glanztonware	1
	Schacht Pos. 68		
	Drag. 29	Südgall. TS	1
	Drag. 37	Südgall. TS	1
	Knorr 78	Südgall. TS	2
	Drag. 35/36	Südgall. TS	1
	Drag. 22	Südgall. TS	1
	Drack 19		1
	Drack 20		2
	Graben Pos. 61		
	Drag. 37	Südgall. TS	1
	Drag. 15/17	Südgall. TS	1
	Drag. 24	Südgall. TS	1
	Drack 21		1
	Schale	Frühe Glanztonware	1

Tab. 2. Römerstrasse 221. Feinkeramik Phase 3 (keine MIZ).

Datierung	Typ	Gattung	Anzahl
Phase 4	*Kulturschicht Pos. 52*		
	Drag. 29	Südgall. TS	4
	Drag. 37	Südgall. TS	5
	Schüssel	Südgall. TS	2
	Drag. 15	Südgall. TS	2
	Drag. 18	Südgall. TS	4
	Drag. 35/36	Südgall. TS	3
	Ritterling 8	Südgall. TS	1
	Drag. 24	Südgall. TS	1
	Drag. 27	Südgall. TS	1
	Drack 4	TS-Imit.	1
	Drack 3	TS-Imit.	1
	Drack 11a	TS-Imit.	1
	Drack 20		1
	Drack 21		5
	Becher	Klass. Glanztonware	1
Phase 5a	*Planie Pos. 32*		
	Drag. 29	Südgall. TS	5
	Drag. 37	Südgall. TS	9
	Drag. 37	Ostgall. TS	mind. 6
	Drag. 30	Südgall. TS	1
	Drag. 35/36	Südgall. TS	2
	Hofheim 12?	Südgall. TS	1
	Drag. 18/31	Südgall. TS	1
	Drag. 18/31	Ostgall. TS	1
	Drag. 24	Südgall. TS	1
	Drack 21		2
	Becher	Klass. Glanztonware	mind. 9
Phase 5b	*Planie Pos. 29*		
	Drag. 29	Südgall. TS	7
	Drag. 37	Südgall. TS	mind. 9
	Drag. 37	Mittel-/Ostgall. TS	1
	Drag. 30	Südgall. TS	1
	Knorr 78	Südgall. TS	1
	Drag. 42	Südgall. TS	4
	Curle 15	Südgall. TS	2
	Drag. 35/36	Südgall. TS	6
	Drag. 15/17	Südgall. TS	4
	Drag. 18	Südgall. TS	2
	Drag. 32	Mittel-/Ostgall. TS	1
	Drag. 24/25	Südgall. TS	1
	Drag. 27	Südgall. TS	1
	Drag. 33	Südgall. TS	1
	Drag. 22/23	Südgall. TS	1
	Drack 3	TS-Imit.	2
	Drack 14	TS-Imit.	1
	Drack 20		2
	Drack 21		3
	Topf	Frühe Glanztonware	mind. 2
	Becher	Klass. Glanztonware	mind. 3

Tab. 3. Römerstrasse 221. Feinkeramik der Phasen 4, 5a–b (keine MIZ).

Gattung	Fragmente	Gewicht (g)
TS und TS-Imitation	4035	34259
Glanztonkeramik	251	950
Keramik mit Überzug	482	6091
Gebrauchskeramik	25463	376467
Grosskeramik	1286	112921
Total	31517	530688

Tab. 4. Römerstrasse 227/229. Gesamtmenge der römischen Keramik in Anzahl der Fragmente und Gewicht.

Gattung	Fragmente	Gewicht (g)
Gefässe	357	1522
andere Objekte	26	37
unbestimmt	320	898
Total	703	2457

Tab. 5. Römerstrasse 227/229. Gesamtmenge des römischen Glases in Anzahl der Fragmente und Gewicht.

Metall	Gattung	Fragmente	Gewicht (g)
Bronze	Objekte	25	342
	Fibeln (Bronze/Messing)	12	212
	unbestimmt	16	82
Total		**53**	**636**
Eisen	Werkzeuge und Haken	47	2806
	Beschläge	4	119
	Nägel/Stifte	976	11025
	diverse	83	2895
Total		**1110**	**16845**
Blei	Objekte	2	130
	Blech	4	29
Total		**6**	**159**

Tab. 6. Römerstrasse 227/229. Gesamtmenge des römischen Metalls in Anzahl der Fragmente und Gewicht.

Stein	Objekt	Fragmente	Gewicht (g)
Lavez	Gefässe	13	1660
	Deckel	2	105
Kalkstein/Schiefer	Plättchen	5	180
	Diverse	1	416
Sandstein	Platten/Plättchen	4	473
	Diverse	10	3093
unbestimmt	Schleifsteine	4	284
	Spielsteine	2	7
	Diverse	25	2310

Tab. 7. Römerstrasse 227/229. Gesamtmenge der römischen Steinobjekte nach Typ in Anzahl der Fragmente und Gewicht.

Gattung	Fragmente	Gewicht (g)
TS und TS–Imitation mit Drack 20–22	788	10760
Glanztonkeramik	85	465
Keramik mit Überzug	332	6964
Gebrauchskeramik	3481	41921
Grosskeramik	1380	53600
Total	6081	114072

Tab. 8. Römerweg 5. Gesamtmenge der römischen Keramik in Anzahl der Fragmente und Gewicht.

Gattung	Fragmente	Gewicht (g)
Gefässe	34	391
andere Objekte	6	87
unbestimmt	121	344
Total	161	822

Tab. 9. Römerweg 5. Gesamtmenge des römischen Glases in Anzahl der Fragmente und Gewicht.

Metall	Gattung	Fragmente	Gewicht (g)
Bronze	Objekte	4	154
	unbestimmt	4	27
Total		**8**	**181**
Eisen	Werkzeuge und Haken	13	5262
	Beschläge	17	1082
	Nägel/Stifte	388	3165
	diverse	34	5409
Total		**452**	**14918**
Blei	Gewicht	1	31
	unbestimmt	4	98
Total		**5**	**129**

Tab. 10. Römerweg 5. Gesamtmenge des römischen Metalls in Anzahl der Fragmente und Gewicht.

Übersicht über die Fundmünzen (Abkürzungen Ho = Hohlandstrasse; Rö = Römerstrasse; Röweg = Römerweg; UH = Untere Hohlgasse)

Kat.	Münzherrschaft	Nominal	Münzstätte	Datierung	Referenzzitat	Metall	Gewicht (g)	Durchmesser (mm)	Stempel-stellung	Erhaltung	bes. Merk-male	SFI-Code	Grabung	Kat.
M 1	Vespasianus	As	?	69–79 n.Chr.	-	AE	7,53	27,2–28,6	?	A 3/0, K 3/4		230-77.1:1	UH 8 FK 7	-
M 2	Vespasianus?	As	Roma	69–79 n.Chr.	-	AE	7,28	24,2–24,9	195°	A 4/4, K 3/3		230-74:1	Ho 3	-
M 3	Marcus Aurelius	As	Roma	166/167 n.Chr.	RIC III, 289 Nr. 950	AE	10,07	22,4–24,1	180°	A 3/3, K 2/3		230-74:5	Ho 3	184
M 4	Severus Alexander	D	Roma	231–235 n.Chr.	RIC IV,2, 88 Nr. 235	AR	2,58	17,8–19,8	30°	A 1/1, K 2/2		230-74:7	Ho 3	172
M 5	Claudius II Gothicus	Ant	Roma	268–270 n.Chr.	RIC V,1, 215 Nr. 54 Typ	AR	2,95	18,5–19,7	330°	A 2/2, K2/2		230-74:2	Ho 3	185
M 6	Tetricus I	Ant	Colonia	271–274 n.Chr.	RIC V,2, 409 Nr. 106	AR	2,19	16,6–19,1	30°	A 3/2, K 3/3		230-74:4	Ho 3	215
M 7	D. Silanus L.F.	D	Roma	91 v.Chr.	RRC, 338 Nr. 337/3	AR	3,18	17,0–17,8	255°	A 3/3, K 2/2		230-52:15	Rö 229 FK 556	-
M 8	Republik	As, halbiert	Roma?	211–89 v.Chr.	Typ Januskopf/Prora	AE	13,09	16,6–33,9	?	A 5/5, K 4/4	Metallanalyse	230-52:28	Rö 229 FK 1494	113
M 9	Republik	As, halbiert	Roma?	211–89 v.Chr.	Typ Januskopf/Prora	AE	10,73	16,1–31,9	?	A 5/5, K 3/3		230-78.2:2	Rö 209 FK 357	167
M 10	Republik	As, halbiert	Roma?	211–89 v.Chr.	Typ Januskopf/Prora	AE	8,38	14,6–28,1	180°	A 4/4, K 3/3		230-78.2:8	Rö 209 FK 364	99
M 11	Octavianus	As, halbiert	Vienna oder Copia	38–36 v.Chr.	RPC I, 151–152	AE	8,35	15,6–31,7	?	A 0/0, K 4/4		230-78.2:7	Rö 209 FK 363	37
M 12	Octavianus	As, halbiert	Vienna oder Copia	38–36 v.Chr.	RPC I, 151–152	AE	7,55	15,9–30,3	?	A 5/5, K 3/3		230-78.2:3	Rö 209 FK 358	120
M 13	Octavianus	As, halbiert	Vienna oder Copia	38–36 v.Chr.	RPC I, 151–152	AE	6,62	16,0–29,6	195°	A 4/4, K 3/3		230-54:5	Rö 215 FK 204	33
M 14	Octavianus	As, halbiert	Vienna oder Copia	38–36 v.Chr.	RPC I, 151–152	AE	5,42	14,8–29,3	?	A 4/4, K 3/3	fragmentiert	230-54:1	Rö 215 FK 192	-
M 15	Augustus	As	Nemausus	10 v.–10 n.Chr.	RIC I^2, 51 Nr. 158	AE	12,54	26,5–26,9	270°	A 2/2, K 2/2		230-54:2	Rö 215 FK 212	3
M 16	Augustus	As, halbiert	Nemausus	20 v.–14 n.Chr.	RIC I^2, 51–52	AE	6,17	13,1–27,2	?	A 5/4, K 3/3		230-52:26	Rö 229 FK 1380	-
M 17	Augustus?	As, halbiert	Nemausus?	20 v.–14 n.Chr.	RIC I^2, 51–52	AE	4,56	13,3–23,8	?	A 3/3, K 2/2		230-52:19	Rö 229 FK 962	-
M 18	Augustus	As	Lugdunum	10–3 v.Chr.	RIC I^2, 57 Nr. 230	AE	8,69	24,4–26,7	60°	A 0/0, K 3/4		230-78.1:2	Rö 209 FK 95	11
M 19	Augustus für Tiberius	As	Lugdunum	8–10 n.Chr.	RIC I^2, 58 Nr. 237 Typ	AE	6,45	25,1–26,4	300°	A 3/3, K 4/4	verbrannt	230-78.2:9	Rö 209 FK 365	59
M 20	Augustus oder Augustus für Tiberius	As	Lugdunum	10 v.Chr.–14 n.Chr.	RIC I^2, 57–58	AE	3,97	22,2–23,4	180°	A 3/3, K 3/3		230-52:23	Rö 229 FK 1279	-
M 21	Tiberius für Divus Augustus	As	Roma	22/23–30? n.Chr.	RIC I^2, 99 Nr. 81	AE	12,54	24,3–25,6	60°	A 0/0, K 4/4		230-93.1:5	Rö 221 FK 95	80
M 22	Tiberius für Divus Augustus	As	Roma	22/23–30? n.Chr.	RIC I^2, 99 Nr. 81	AE	11,16	27,9–29,7	135°	A 2/2, K 4/4		230-54:3	Rö 215 FK 213	34
M 23	Tiberius für Divus Augustus	As	Roma	22/23–30? n.Chr.	RIC I^2, 99 Nr. 81	AE	8,80	27,0–28,5	165°	A 3/3, K 3/3		230-52:3	Rö 229 FK 125	-
M 24	Tiberius für Divus Augustus	As	Roma	22/23–30? n.Chr.	RIC I^2, 99 Nr. 81	AE	8,08	28,4–29,2	360°?	A 2/3, K 4/4		230-52:10	Rö 229 FK 324	79
M 25	Tiberius für Divus Augustus	As	Roma	22/23–30? n.Chr.	RIC I^2, 99 Nr. 81	AE	6,69	26,0–26,8	270°	A 3/3, K 3/3		230-52:14	Rö 229 FK 556	-
M 26	Tiberius für Divus Augustus	As, halbiert	Roma	22/23–30? n.Chr.	RIC I^2, 99 Nr. 81	AE	3,82	14,7–27,4	195°	A 3/3, K 3/3	Metallanalyse	230-52:27	Rö 229 FK 1469	114

Kat.	Münzherrschaft	Nominal	Münzstätte	Datierung	Referenzzitat	Metall	Gewicht (g)	Durchmesser (mm)	Stempel-stellung	Erhaltung	bes. Merk-male	SFI-Code	Grabung	Kat.
M 27	Tiberius für Divus Augustus?	As	Roma	22/23–30? n.Chr.?	RIC I², 99 Nr. 81?	AE	5,94	23,2–25,2	165°	A 4/4, K 3/3		230-52:13	Rö 229 FK 411	200
M 28	Tiberius für Divus Augustus	As	Roma	34?–37 n.Chr.	RIC I², 99 Nr. 83	AE	5,84	21,0–21,2	150°	A 4/4, K 4/4	verbogen, Rs. de-zentriert	230-52:11	Rö 229 FK 342	57
M 29	Tiberius für Divus Augustus	As	Roma	34–37 n.Chr.	RIC I², 99 Nr. 83	AE	4,58	26,0–29,3	180°	A 3/4, K 4/4	ovaler Schrötling	230-78.2:6	Rö 209 FK 362	83
M 30	Gaius für Germanicus	Dp	Roma	37–41 n.Chr.	RIC I², 112 Nr. 57	AE	12,73	28,2–29,0	210°	A 2/2, K 3/3		230-52:21	Rö 229 FK 1164	-
M 31	Gaius für Germanicus	Dp	Roma	37–41 n.Chr.	RIC I², 112 Nr. 57	AE	10,35	28,4–29,1	180°	A 1/1, K 3/3		230-78.2:5	Rö 209 FK 360	82
M 32	Claudius	As	Roma	41–54 n.Chr.	RIC I², 128 Nr. 97 Typ	AE	6,62	26,8–27,8	75°	A 4/4, K 4/4		230-52:18	Rö 229 FK 680	58
M 33	Claudius	As	Roma	41–54 n.Chr.	RIC I², 128 Nr. 100 Typ	AE	7,87	25,9–27,5	225°	A 3/3, K 3/3		230-52:17	Rö 229 FK 632	-
M 34	Claudius	As	Roma	41–54 n.Chr.	RIC I², 128 Nr. 100 Typ	AE	6,15	24,6–25,2	45°	A 3/3, K 3/3	Metallanalyse	230-52:25	Rö 229 FK 1368	-
M 35	Claudius	As, Imitation	?	?	-	AE	3,30	19,6–20,6	295°	A 3/4, K 4/4		230-93.2:1	Rö 221 FK 94	125
M 36	julisch-claudisch	As	?	27 v.–54 n.Chr.	-	AE	9,20	25,4–27,1	330°	A 3/4, K 4/4	Vs. de-zentriert, kl. Schrötling	230-93.1:4	Rö 221 FK 63	104
M 37	julisch-claudisch	As, ausgebrochen	?	27 v.–54 n.Chr.	-	AE	6,98	19,6–28,5	?	A 5/5, K 4/4		230-78.2:4	Rö 209 FK 359	-
M 38	julisch-claudisch?	As? Imitation?	?	27 v.–54 n.Chr.?	-	AE	2,61	19,4–22,3	?	A 0/0, K 5/5	Rand aus-gebrochen	230-93.1:3	Rö 221 FK 61	103
M 39	Nero	As	Roma oder Lugdunum	62–68 n.Chr.	Victoria Typ 31 oder 33	AE	6,44	23,3–27,6	135°	A 3/4, K 4/4	Rand aus-gebrochen	230-108.1:1	Rö 5 FK 72	-
M 40	Domitianus	As	Roma	88–89 n.Chr.	RIC II, 200 Nr. 373	AE	9,75	26,5–28,9	180°	A 2/3, K 3/3		230-93.2:2	Rö 221 FK 148	94
M 41	Traianus	As	Roma	103–111 n.Chr.	RIC II, 279 Nr. 482	AE	10,37	26,0–27,2	180°	A 3/3, K 2/2		230-52:24	Rö 229 FK 1130	-
M 42	Hadrianus	S	Roma	125–128 n.Chr.	RIC II, 424 Nr. 636	AE	21,58	31,5–33,4	180°	A 3/3, K 2/2		230-52:9	Rö 229 FK 266	-
M 43	Marcus Aurelius bis Macrinus	Denar, subaerate Imitation?	?	161–218 n.Chr.	-	AE	2,02	16,3–17,3	180°	A 3/3, K 4/4		230-93.1:1	Rö 221 FK 26	209
M 44	Claudius II Gothicus	Ant	Roma?	268–270 n.Chr.	RIC V,1, 212 Nr. 14 Typ	AR	2,58	19,0–20,3	150°	A 2/2, K 2/2		230-52:8	Rö 229 FK 259	-
M 45	Tetricus I	Ant	?	271–274 n.Chr.	-	AR	1,63	17,4	?	A 3/3, K 3/3		230-52:4	Rö 229 FK 201	-
M 46	Tetricus I	Ant, Imitation	?	274 n.Chr.?	RIC V,2, 410 Nr. 126 Typ	AR	0,63	15,8–12,2	180°	A 3/3, K 2/2	ausgebro-chen	230-52:6	Rö 229 FK 223	-
M 47	Tetricus II	Ant	Colonia oder Treveri	270–274 n.Chr.	RIC V,2, 424 Nr. 270 Typ	AR	2,24	16,9–18,7	345°	A 2/2, K 2/2		230-52:16	Rö 229 FK 579	-
M 48	Gallienus bis Carus	Ant	?	260–283 n.Chr.	-	AR?	2,98	19,1–20,6	180°	A 0/0, K 5/5	verbrannt	230-52:7	Rö 229 FK 250	-
M 49	unbestimmt, 3. Jh.	As	?	3. Jh.?	-	AE	5,88	21,6–22,3	?	A 4/5, K 4/5		230-108.1:3	Rö 5 FK 96	-
M 50	unbestimmt, 3. Jh.?	Ant?	?	?	-	AR?	1,42	17,3–19,2	?	A 0/0, K 4/4		230-52:12	Rö 229 FK 433	-

Zum Inhaltsverzeichnis

Kat.	Münzherrschaft	Nominal	Münzstätte	Datierung	Referenzzitat	Metall	Gewicht (g)	Durchmesser (mm)	Stempelstellung	Erhaltung	bes. Merkmale	SFI-Code	Grabung	Kat.
M 51	Maximinus	Aes II	Treveri	310–313 n.Chr.	RIC VI, 226 Nr. 845a	AE	3,80	22,7–23,6	360°	A 2/2, K 2/2		230-52:20	Rö 229 FK 1039	-
M 52	Constantinus I für Constantinus II	Follis	Treveri	323 n.Chr.	RIC VIII, 200 Nr. 412	AE	2,84	17,7–19,3	165°	A 1/1, K 2/2		230-108.1:2	Rö 5 FK 96	-
M 53	Constantinus I für Constantius II	Aes III	Roma?	330–335 n.Chr.	Gloria Exercitus mit zwei Standarten	AE	2,42	16,9–17,9	360°	A 3/3, K 2/2		230-52:5	Rö 229 FK 213	-
M 54	Constantinus I oder Constantinus I für seine Söhne	Aes III	?	330–335 n.Chr.	Gloria Exercitus mit zwei Standarten	AE	1,47	15,0–15,8	150°	A 3/3, K 3/3	leicht verbogen	230-52:1	Rö 229 FK 31	-
M 55	Constantius II oder Constans	Aes III	Treveri	340 n.Chr.	RIC VIII, 145	AE	1,48	14,7–15,7	240°	A 3/3, K 3/3		230-52:2	Rö 229 FK 52	-
M 56	Schwyz, Stand	Rappen		1781–82	Divo/Tobler 1974, 136 Nr. 589 e oder f	CU	1,45	16,8–17,9	180°	A 2/2, K 3/3	verbogen	230-78.1:1	Rö 209 FK 354	218
M 57	Schwyz, Kanton	Angster		1843	Divo/Tobler 1969[2] Nr. 88k	BI	0,64	13,8–13,9	180°	A 1/1, K 1/1		230-54:4	Rö 215 FK 30	-
M 58	Schweiz, Eidgenossenschaft	2-Rappen-Stück	Bern	1915	Divo/Tobler 1967, 199 Nr. 323	BR	2,26	20,1–20,7	360°	A 2/2, K 2/2		230-78.2:1	Rö 209 FK 356	-
M 59	Süddeutschland	Rechenpfennig	?	2. H. 18. Jh./ 1. H. 19.Jh.	Rs. Vgl. Mitchiner I 1988 Nr. 1948a	?	0,96	17,6–18,8	360°	A 2/2, K 3/3	aufgebogen	230-93.1:2	Rö 221 FK 28	-

Vgl. dazu das Kapitel zu den Münzen in Teil IV, Kap. 2, S. 222–225.

2 LITERATURVERZEICHNIS

ANRW – Aufstieg und Niedergang der römischen Welt (Berlin 1970 ff.).

ARTHUR 1978 – P. Arthur, The lead glazed wares of Roman Britain. In: Ders./G. Marsh, Early Fine Wares in Roman Britain. BAR British Series 57 (Oxford 1978) 293–357.

BAYERLEIN 1936 – A. Bayerlein, Die Gerberei, die Schuhfabrikation, der Schuhhandel und das Schuhhandwerk in der Schweiz. Ausstellungskat. Kunstgewerbemuseum der Stadt Zürich (Zürich 1936).

BECHERT/VANDERHOEVEN 1988 – T. Bechert, M. Vanderhoeven, Töpferstempel aus Südgallien. Funde aus Asciburgium 9 (Duisburg 1988).

BELLELLI/BIANCHI 1996 – M. Bellelli, U. Bianchi (Hrsg.), Orientalia Sacra Urbis Romae. Dolichena et Heliopolitana. Recueil d'études archéologiques et historico-religieuses sur les cultes cosmopolites d'origine commagénienne et syrienne. Studia Archaeologica 84 (1996).

BÉMONT/BECK 1989 – C. Bémont, F. Beck, La lanterne de CALVVS. Études typologique. Ant. Nat. 21, 1989, 35–56.

BLOESCH/ISLER 1952 – H. Bloesch, H. Isler, Bericht über die Ausgrabungen in Oberwinterthur (Vitudurum) 1949–51, mit Beiträgen von E. Ettlinger. 83. Neujahrsblatt der Hülfsgesellschaft Winterthur (Winterthur 1952) 1–36.

BOEHME 1972 – A. Böhme, Die Fibeln der Kastelle Saalburg und Zugmantel Saalburg-Jahrb. 29, 1972, 5–112.

BOUFFARD 1943 – P. Bouffard, Winterthur in römischer Zeit (Vitudurum). 276. Neujahrsblatt der Stadtbibliothek Winterthur 1943.

BUCHEZ/SERNEELS 1996 – N. Buchez, V. Serneels in: N. Buchez, D. Gemehl, D.F.S. de Sauvetage Urgent, ZAC Cathédral Université (Amiens 1996) 31 ff.

BÜRGI 1983 – J. Bürgi, Pfyn – Ad Fines, AS 6, 1983, 152–154.

BÜRGI/STEFANI ET AL. (in Vorb.) – J. Bürgi, O. Stefani et al., Pfyn – Ad Fines (Arbeitstitel, in Vorb).

BREM/BÜRGI/ROTH-RUBI 1992 – H. Brem, J. Bürgi und K. Roth-Rubi, Arbon – Arbor Felix. Das spätrömische Kastell. Archäologie im Thurgau 1 (Frauenfeld 1992).

CCID – M. Hörig, E. Schwertheim, Corpus Cultus Iovis Dolicheni (= EPRO 106) (1987).

BRIDGER/GILLES 1998 – C. Bridger, K.-J. Gilles, Spätrömische Befestigungsanlagen in den Rhein- und Donauprovinzen. Beiträge der Arbeitsgemeinschaft «Römische Archäologie» bei der Tagung des West- und Süddeutschen Verbandes der Altertumsforschung in Kempten 8.6./9.6.1995. BAR International Series 704. Oxford 1998.

CAHN-KLAIBER 1977 – E.-M. Cahn-Klaiber, Die antiken Tonlampen des Archäologischen Instituts der Universität Tübingen. Tübinger Studien zur Archäologie und Kunstgeschichte II (Tübingen 1977).

CASTELLA/MEYLAN-KRAUSE 1994 – D. Castella, M.-F. Meylan-Krause, La Céramique gallo-romaine d' Avenches et de sa région. Esquisse d'une typologie. Bull. Assoc. Pro Aventico 36, 1994 (Avenches 1995).

CONSPECTUS – E. Ettlinger et al., Conspectus Formarum Terrae Sigillatae. Italico Modo Confectae. Mat. zur Römisch-Germanischen Keramik, Heft 10 (Bonn 1990).

CRAMER 1981 – J. Cramer, Gerberhaus und Gerberviertel in der mittelalterlichen Stadt. Studien zur Bauforschung 12 (Bonn 1981).

CUNLIFFE 1971 – B. Cunliffe et al., Excavations at Fishbourne 1961–1969 (Volume I und II). Reports of the Research Committee of the Society of Antiquaries of London 26 and 27 (London 1971).

CURLE 1911 – J. Curle, A roman frontier post and its people. The fort of Newstead in the parish of Melrose (Glasgow 1911).

DAF 6 – C. Bemont et al. (Hrsg.), La terre sigillée gallo-romaine; lieux de production du Haut Empire: implantations, produits, relations. Documents d'Archéologie Française 6 (Paris 1986).

DEIMEL 1987 – M. Deimel, Die Bronzekleinfunde vom Magdalensberg. Arch. Forsch. Grab. Magdalensberg 9. Kärntner Museumsschr. 71 (Klagenfurt 1987).

DESBAT 1986 – A. Desbat, Céramiques romaines à glacure plombifère des fouilles de Lyon (Hauts-de Saint-Just; Rue des Farges, La Solitude). Figlina 7, 1986, 105–124.

DESCHLER-ERB/PETER/DESCHLER-ERB 1991 – E. Deschler-Erb, M. Peter, S. Deschler-Erb, Das frührömische Militärlager in der Kaiseraugster Unterstadt. Forschungen in Augst 12 (Augst 1991).

DESCHLER-ERB ET AL. 1996 – E. Deschler-Erb et al., Die Funde aus Metall. Ein Schrank mit Lararium des 3. Jh. Beiträge zum römischen Oberwinterthur – Vitudurum 7. Monographien der KA Zürich 27 (Zürich 1996).

DESCHLER-ERB 1996 – E. Deschler-Erb, Die Kleinfunde aus Edelmetall, Bronze und Blei. In: Deschler-Erb et al. 1996, 13–139.

DESCHLER-ERB 1999 – E. Deschler-Erb, Ad arma! Militaria des 1. Jahrhunderts n.Chr. aus Augusta Raurica. Forsch. Augst 28 (Augst 1999).

DESCHLER-ERB/UNZ 1997 – E. Deschler-Erb, Ch. Unz, Katalog der Militaria aus Vindonissa. Militärische Funde, Pferdegeschirr und Jochteile bis 1976. VerGPV 14 (Brugg 1997).

DRACK 1945 – W. Drack, Die helvetische Terra-Sigillata-Imitation des 1. Jahrhunderts n.Chr. Schriften des Institutes für Ur- und Frühgeschichte der Schweiz 2 (Basel 1945).

DRACK 1966/1967 – W. Drack, 5. Ber.ZD, 1966/67, 163–172.

DRACK ET AL. 1990 – W. Drack et al., Der römische Gutshof bei Seeb, Gem. Winkel. Ausgrabungen 1958–1969. Ber.ZD. Archäologische Monographien 8 (Zürich 1990).

DRACK/FELLMANN 1988 – W. Drack, R. Fellmann, Die Römer in der Schweiz (Jona/Stuttgart 1988).

EBNÖTHER/ESCHENLOHR 1985 – Chr. Ebnöther, L. Eschenlohr, Das römische Keramiklager von Oberwinterthur–Vitudurum. AS 8, 1985, 251–258.

EBNÖTHER 1995 – Ch. Ebnöther, Der römische Gutshof in Dietikon. Monographien der KA Zürich 25 (Zürich/Egg 1995).

EBNÖTHER ET AL. 1995 – Ch. Ebnöther et al., Leben und Sterben im römischen Oberwinterthur. Winterthurer Jahrbuch 1994 (Winterthur 1995).

EPRO – Etudes Préliminaires aux Religions Orientales dans l'Empire Romain.

ETTLINGER 1949 – E. Ettlinger, Die Keramik der Augster Thermen (Insula XVII). Monographien zur Ur– und Frühgesch. der Schweiz 6 (Basel 1949).

ETTLINGER 1952 – E. Ettlinger in: Bloesch/Isler 1952, 30–35.

ETTLINGER 1973 – E. Ettlinger, Die römischen Fibeln in der Schweiz. (Bern 1973).

ETTLINGER 1975–78 – E. Ettlinger, Stempel auf römischer Keramik von der Engehalbinsel Bern. Jahrb. Bern. Hist. Mus. 55–58, 1975–78, 115–144.

ETTLINGER 1983 – E. Ettlinger, Die italische Sigillata von Novaesium. Novaesium 9. Limesforschungen 21 (Berlin 1983).

ETTLINGER o. Jahr – E. Ettlinger, Die römische Keramik aus dem Vicus und dem Gräberfeld von Kempraten. Ungedrucktes Manuskript (o. Jahr).

ETTLINGER/ROTH-RUBI 1979 – E. Ettlinger, K. Roth-Rubi, Helvetische Reliefsigillaten und die Rolle der Werkstatt Bern-Enge. Acta Bernensia VIII (Bern 1979).
ETTLINGER/SIMONETT 1952 – E. Ettlinger, Ch. Simonett, Römische Keramik aus dem Schutthügel von Vindonissa. VerGPV 3 (Basel 1952).
FARKA 1977 – C. Farka, Die römischen Lampen vom Magdalensberg (Klagenfurt 1977).
FEUGERE 1985 – M. Feugère, Les fibules en Gaule Méridionale de la conquête à la fin du Ve siècle ap. J.-C. Rev. Arch. Narbonnaise, supplément 12 (Paris 1985).
FEUGÈRE/ABAUZIT 1995 – M. Feugère, P. Abauzit, Les boîtes à sceau circulaires à décor zoomorphe riveté d'époque Romaine. Rev. Arch. Est 46, 1995, 41–57.
FEUGÈRE/GARBSCH 1993 – M. Feugère, J. Garbsch, Römische Bronzelaternen. Bayer. Vorgeschbl. 58, 1993, 143–184.
FISCHER 1957 – U. Fischer, Cambodunumforschungen 1953–II. Keramik aus den Holzhäusern zwischen der 1. und der 2. Querstrasse. Materialh. zur Bayer. Vorgesch. 10 (Kallmünz 1957).
FONJALLAZ 1968 – M. Fonjallaz, La tannerie. Societé suisse des traditions populaires. Vieux Métiers 19 (Basel 1968).
FORBES 1957 – R.J. Forbes, Leather in Antiquity. Studies in Ancient Technology 5 (Leiden 1957).
FORRER 1911 – R. Forrer, Die römischen Sigillata-Töpfereien von Heiligenberg, Dinsheim und Ittenweiler im Elsass (Stuttgart 1911).
FRANKEN 1993 – N. Franken, Zur Typologie antiker Schnellwaagen. Bonner Jahrb. 193, 1993, 69–120.
FRASCOLI 1997 – L. Frascoli, Handwerker- und Kaufmannshaushalte im frühneuzeitlichen Winterthur. Monographien der KA Zürich 29 (Zürich/Egg 1997).
FÜNFSCHILLING 1985 – S. Fünfschilling, Römische Gläser aus Baden – Aquae Helveticae (aus den Grabungen 1892–1911). JbGPV 1985, 81–160.
FURGER/DESCHLER-ERB 1992 – A.R. Furger, S. Deschler-Erb, Das Fundmaterial aus der Schichtenfolge beim Augster Theater. Forschungen in Augst 15 (Augst 1992).
FURGER 1993 – A.R. Furger, Die Grabenverfüllung im nördlichen Aditus des Augster Theaters (Grabung 1992.55). JbAK 14, 1993, 83–107.
GESCHICHTE DES KANTONS ZÜRICH 1995 – N. Flüeler, M. Flüeler-Grauwiler (Hrsg.), Geschichte des Kantons Zürich 1. Frühzeit bis Spätmittelalter (Zürich 1995).
GOETHERT-POLASCHEK 1985 – K. Goethert-Polaschek, Katalog der römischen Lampen des rheinischen Landesmuseums Trier. Trierer Grabungen und Forschungen 15 (Mainz 1985).
v. GONZENBACH 1952 – V. von Gonzenbach, Fides exercitum. Eine Hand aus Vindonissa. JbGPV 1951/52 (1952) 5–21 (Neuabdruck in: V. von Gonzenbach, Schriften zu Vindonissa und seinen Truppen [1991] 69–85).
v. GONZENBACH 1963 – V. v. Gonzenbach, Die Verbreitung der gestempelten Ziegel der im 1. Jahrhundert n. Chr. in Vindonissa liegenden römischen Truppen. BJb. 163, 1963, 76–150.
GOSTENČNIK 1996 – K. Gostenčnik, Die Kleinfunde aus Bein vom Magdalensberg. Ein Überblick. Carinthia I 186, 1996, 105–137.
GREENE 1978 – K. Greene, Mould-decorated Central Gaulish glazed ware in Britain. In: P. Arthur, G. Marsh, Early Fine Wares in Roman Britain. BAR British Series 57, 1978, 31–61.
GREENE 1979 – K. Greene, The Pre-Flavian Fine Wares. Report on the Excavations at Usk 1965–1976 (Cardiffe 1979).
GUISAN 1974 – M. Guisan, Les mortiers estampillés d'Avenches. Bull. Assoc. Pro Aventico 22, 1974, 27–63.
HÄNGGI ET AL. 1994 – R. Hänggi et al., Die frühen römischen Kastelle und der Kastell-Vicus von Tenedo-Zurzach. VerGPV 11 (Baden 1994).
HARTMANN 1986 – M. Hartmann Vindonissa. Oppidum – Legionslager – Castrum (Windisch 1986).
HARTMANN/SPEIDEL 1992 – M. Hartmann, M.A. Speidel, Die Hilfstruppen des Windischer Heeresverbandes. Zur Besatzungsgeschichte von Vindonissa im 1. Jahrhundert n.Chr. JbGPV 1991 (Brugg 1992) 3–33.
HECHT 1998 – J. Hecht, Die Ausgrabungen auf dem Basler Münsterhügel an der Rittergasse 4. Materialhefte zur Archäologie in Basel 16, 1998.
HEDINGER 1993 – B. Hedinger, Archäologische Ausgrabungen 1991 im römischen Vicus in Oberwinterthur. Winterthurer Jahrbuch 1993, 77–91.
HEDINGER 1995 – B. Hedinger, JbSGUF 78, 1995, 228.
HEDINGER in Vorb. – B. Hedinger, Töpferöfen Oberwinterthur-Bäumlistrasse 1a in Vorb.
HEILIGMANN 1990 – J. Heiligmann, Der «Alb-Limes». Forschungen und Berichte zur Vor- und Frühgeschichte in Baden-Württemberg 35 (Stuttgart 1990).
HEINZ 1983 – W. Heinz, Römische Thermen (Feldmeilen/München 1983).
HOCHULI-GYSEL 1977 – A. Hochuli-Gysel, Kleinasiatische glasierte Reliefkeramik (50 v.Chr. bis 50 n.Chr.) und ihre oberitalischen Nachahmungen. Acta Bernensia VII (Bern 1977).
HOCHULI-GYSEL ET AL. 1986 – A. Hochuli-Gysel et al., Chur in römischer Zeit. I: Ausgrabungen Areal Dosch. Antiqua 12 (Basel 1986).
HOCHULI-GYSEL ET AL. 1991 – A. Hochuli-Gysel et al., Chur in römischer Zeit. II: Ausgrabungen Areal Markthallenplatz. Antiqua 19 (Basel 1991).
HOCHULI-GYSEL 1998 – A. Hochuli-Gysel, Bleiglasierte Keramik. In: Beiträge zum römischen Oberwinterthur – Vitudurum 8. Ausgrabungen im Unteren Bühl. Les fibules. Keramische Sondergruppen: Bleiglasierte Keramik, Terrakotten, Lampen. Monographien der KA Zürich 30 (Zürich/Egg 1998) 63–81.
HOEK 1995 – F. Hoek, Fundbericht 1994, JbSGUF 78, 1995, 228 f.
HOLLIGER 1989 – Ch. u. Cl. Holliger, Bronzegefässe aus Baden – Aquae Helveticae. JbGPV 1988/89, 58–77.
HÖNEISEN ET AL. 1993 – M. Höneisen (Hrsg.), Frühgeschichte der Region Stein am Rhein. Archäologische Forschungen am Ausfluss des Untersees. Antiqua 26 (Basel 1993).
JANKE 1996 – R. Janke, Prähistorische Funde aus Oberwinterthur. AIZ 1993–1994, 13. Ber.KA Zürich (1996) 317–324.
JANKE (in Vorb.) – R. Janke, Oberwinterthur-Römerstrasse 187 (Arbeitstitel, in Vorb.).
JAUCH 1997 – V. Jauch, Eschenz – Tasgetium. Römische Abwasserkanäle und Latrinen. Archäologie im Thurgau 5. Veröffentlichungen des Amtes für Archäologie des Kantons Thurgau (Frauenfeld 1997).
JOHNSON 1983 – A. Johnson, Roman Forts of the lst and 2nd centuries AD in Britain and the German Provinces (London 1983).
JUNKES 1995 – A. Baeriswyl, M. Junkes, Der Unterhof in Diessenhofen. Von der Adelsburg zum Ausbildungszentrum. Archäologie im Thurgau 3. Veröffentlichungen des Amtes für Archäologie des Kantons Thurgau (Frauenfeld 1995).
KARNITSCH 1959 – P. Karnitsch, Die Reliefsigillata von Ovilava (Wels, Oberösterreich). Schriften des Institutes für Landeskunde von Oberösterreich 12 (Linz 1959).

KAUFMANN-HEINIMANN 1977 – A. Kaufmann-Heinimann, Augst. Die römischen Bronzen der Schweiz 1 (Mainz 1977).
KAUFMANN-HEINIMANN 1994 – A. Kaufmann-Heinimann, Die römischen Bronzen der Schweiz V (1994).
KAUFMANN-HEINIMANN 1998 – A. Kaufmann-Heinimann, Götter und Lararien aus Augusta Raurica. Herstellung, Fundzusammenhänge und sakrale Funktion figürlicher Bronzen in einer römischen Stadt. Forschungen in Augst 26, 1998.
KELLER 1971 – E. Keller, Die spätrömischen Grabfunde in Südbayern. Münchner Beiträge zur Vor- und Frügeschichte 14 (München 1971).
KERAMIK ZWISCHEN DEN EPOCHEN 1994 – Keramik zwischen den Epochen. Funktion – Formenwandel – Technik. Wissenschaftliche Fachtagung vom 19/20. August 1994 auf Schloss Münchenwiler BE (Bern 1994).
KNORR 1919 – R. Knorr, Töpfer und Fabriken verzierter Terra Sigillata des ersten Jahrhunderts (Stuttgart 1919).
KNORR 1952 – R. Knorr, Terra-Sigillata-Gefässe des ersten Jahrhunderts mit Töpfernamen (Stuttgart 1952).
KOB GUGGISBERG 1992 – K. Kob Guggisberg, Eine Votivhand für Jupiter Dolichenus aus Augst. JbAK 13, 1992, 121–128.
KOLLER/DOSWALD 1996 – H. Koller, C. Doswald, Aquae Helveticae – Baden. Die Grabungen Baden Du Parc 1987/88 und ABB 1988. VerGPV 13 (Brugg 1996).
KOSTER 1997 – A. Koster, The Bronze Vessels 2. Description Coll. Rijksmuseum G.M. Kam Nijmegen 13 (Nijmegen 1997).
LAROCHE 1987 – C. Laroche, Aoste. Un centre de production de céramique (fin du I^{er} s. av. J.-C. – I^{er} s. ap. J.-C.). Rev. Arch. Narbonnaise 20, 1987, 281–348.
LEIBUNDGUT 1977 – A. Leibundgut, Die römischen Lampen der Schweiz. Eine kultur- und handelsgeschichtliche Studie. Handbuch der Schweiz zur Römer- und Merowingerzeit (Bern 1977).
LEROY ET AL. – M. Leroy et al., Contribution a l'étude de la sidérurgie antique: Un atelier en milieu urbain à Metz (Arsenal Ney). Revue Arch. Est et Centre-Est 41, 1990, 289–300.
LIMC – Lexicon Iconographicum Mythologiae Classicae.
LOESCHCKE 1919 – S. Loeschcke, Lampen aus Vindonissa (Zürich 1919).
LUIK 1996 – M. Luik, Köngen-Grinario I. Topographie, Fundstellenverzeichnis, ausgewählte Fundgruppen. Forschungen und Berichte zur Vor- und Frühgeschichte in Baden-Württemberg 62 (Stuttgart 1996).
LUTZ 1968 – M. Lutz, Catalogue des poinçons employés par le potier Cibisus. Gallia 26, 1968, 55–117.
MARTI 1996 – R. Marti, Frühmittelalterliche Siedlungsfunde aus dem Castrum Rauracense (Grabung Kaiseraugst, «Jakobli-Haus» 1994.02). JbAK 17, 1996, 149–195.
MARTI 2000 – R. Marti, Zwischen Römerzeit und Mittelalter. Forschungen zur frühmittelalterlichen Siedlungsgeschichte der Nordwestschweiz (4.–10. Jahrhundert). Archäologie und Museum Band 41 (Liestal 2000).
MARTIN-KILCHER ET AL. 1985 – St. Martin-Kilcher, S. Schupach, W.B. Stern, J. Baillié, Keramikanalysen an römischen Ölamphoren aus Augst, Kaiseraugst, Avenches und Lausanne-Vidy. Naturwissenschaftliche und archäologische Aspekte. JbSGUF 68, 1985, 173–204.
MARTIN-KILCHER 1987 – St. Martin-Kilcher, Die römischen Amphoren aus Augst und Kaiseraugst 1. Forschungen in Augst 7/1 (Augst 1987).
MARTIN-KILCHER 1994a – St. Martin-Kilcher, Die römischen Amphoren aus Augst und Kaiseraugst 1 und 2. Forschungen in Augst 7/2 und 7/3 (Augst 1994).
MARTIN-KILCHER 1994b – St. Martin-Kilcher, Spätlatène und frühe Kaiserzeit. Keramik in den Jahrzehnten des Übergangs, in: Keramik zwischen den Epochen, Funktion – Formenwandel – Technik. Wissenschaftliche Fachtagung vom 19./20. August 1994 auf Schloss Münchenwiler BE (Bern 1994), 32.
MARY 1967 – G. T. Mary, Die südgallische Terra Sigillata aus Neuss. Novaesium I. Limesforschungen 6 (Berlin 1967).
MAYET 1975 – F. Mayet, Les céramiques a parois fines dans la péninsule ibérique (Paris 1975).
MEES 1995 – A. W. Mees, Modelsignierte Dekorationen auf südgallischer Terra Sigillata. Forschungen und Berichte zur Vor- und Frühgeschichte in Baden-Württemberg 54 (Stuttgart 1995).
MEYER-FREULER 1989 – Ch. Meyer-Freuler, Das Praetorium und die Basilica von Vindonissa. VerGPV 9 (Baden 1989).
MEYER-FREULER 1998 – Ch. Meyer-Freuler, Vindonissa Feuerwehrmagazin. VerGPV 15 (Brugg 1998).
MILLE FIORI 1998 – Mille Fiori. Festschrift für Ludwig Berger. Forschungen in Augst 25 (August 1998).
MUTZ 1983 – A. Mutz, Römische Waagen und Gewichte aus Augst und Kaiseraugst. Augster Museumshefte 6 (Augst 1983).
ÖLLERER 1998 – Ch. Öllerer, Römisches Schreibgerät vom Magdalensberg. Carinthia I 188, 1998, 121–155.
OLDENSTEIN 1976 – J. Oldenstein, Zur Ausrüstung römischer Auxiliareinheiten, in BerRGK 57, 1976, 49–284.
OSWALD – F. Oswald, Index of figure types on terra sigillata (samian ware) (Liverpool 1936–1937).
OSWALD 1931 – F. Oswald, Index of Potters' Stamps on Terra Sigillata «Samian Ware» (East Bridgford 1931).
OSWALD/PRYCE 1966^{2} – F. Oswald, T.D. Pryce, An introduction to the study of terra sigillata (London 1920) (1966)^{2}.
OXÉ/COMFORT – A. Oxé, H. Comfort, Corpus vasorum arretinorum. A Catalogue of Signatures, Shapes and Chronology of Italian Sigillata (Bonn 1968).
PAUNIER 1981 – D. Paunier, La céramique gallo-romaine de Genève de La Tène finale au royaume burgonde (I^{er} siècle avant J.-C. – V^{e} siècle après J.-C.) (Genève/Paris 1981).
PAVLINEC 1992 – M. Pavlinec, Zur Datierung römischzeitlicher Fundstellen in der Schweiz. JbSGUF 75, 1992, 117–132.
PETROVSZKY 1993 – R. Petrovszky, Studien zu römischen Bronzegefässen mit Meisterstempeln. Kölner Stud. Arch. Röm. Prov. 1 (Buch a. Erlbach 1993).
PFERDEHIRT 1976 – B. Pferdehirt, Die Keramik des Kastells Holzhausen. Limesforschungen 16 (Berlin 1976).
PEDRUCCI 1996 – D. Pedrucci, Deux fouilles dans le Castellum du Bas-Empire de Tenedo/Zurzach (AG) – un état de la recherche. JbGPV 1995 (Brugg 1996).
PIETSCH 1983 – M. Pietsch, Die römischen Eisenwerkzeuge von Saalburg, Feldberg und Zugmantel. Saalburger Jahrbuch 39, 1983, 5–132.
PLANCK 1975 – D. Planck, Arae Flaviae I. Neue Untersuchungen zur Geschichte des römischen Rottweil. Forschungen und Berichte zur Vor- und Frühgeschichte in Baden-Württemberg 6 (Stuttgart 1975).
PLEINER 1964 – R. Pleiner, Die Eisenverhüttung in der «Germania Magna» zur römischen Kaiserzeit. 45. Ber. RGK 1964, 11–87.
PRÖTTEL 1988 – Ph. M. Pröttel, Zur Chronologie der Zwiebelknopffibeln. JbRGZM 35, 1988, 347–372.
RAGETH 1982 – J. Rageth, Die römischen Schmiedegruben von Riom GR. AS 5, 1982, 202–208.
RASELLI-NYDEGGER 1998 – L. Raselli-Nydegger, Terrakotten und Lampen. In: Beiträge zum römischen Ober-

winterthur – Vitudurum 8. Ausgrabungen im Unteren Bühl. Les fibules. Keramische Sondergruppen: Bleiglasierte Keramik, Terrakotten, Lampen. Monographien der KA Zürich 30 (Zürich/Egg 1998) 83–115.
RENTZEL 1998 – Ph. Rentzel, Ausgewählte Grubenstrukturen aus der spätlatènezeilichen Fundstelle Basel-Gasfabik. Geoarchäologische Interpretationen der Grubenfüllungen. Jahrsbericht der Archäologischen Bodenforschung des Kantons Basel-Stadt 1995, 35–79.
REY-VODOZ 1986 – V. Rey-Vodoz, Les fibules gallo-romaines de Martigny VS. ASSPA 69, 1986, 149–198.
REY-VODOZ 1998 – V. Rey-Vodoz, Les fibules. In: Beiträge zum römischen Oberwinterthur – Vitudurum 8. Ausgrabungen im Unteren Bühl. Les fibules. Keramische Sondergruppen: Bleiglasierte Keramik, Terrakotten, Lampen. Monographien der KA Zürich 30 (Zürich/Egg 1998) 11–62.
RIECKHOFF 1975 – S. Rieckhoff, Münzen und Fibeln aus dem Vicus des Kastells Hüfingen (Schwarzwald-Baar-Kreis). Saalburg-Jahrb. 32, 1975, 5–104.
RIECKHOFF-PAULI 1977.– S. Rieckhoff-Pauli, Die Fibeln aus dem römischen Vicus von Sulz am Neckar. Saalburg-Jahrb. 34, 1977, 5–28.
RIHA 1979 – E. Riha, Die römischen Fibeln aus Augst und Kaiseraugst. Forschungen in Augst 3 (Augst 1979).
RIHA 1986 – E. Riha, Römisches Toilettgerät und medizinische Instrumente aus Augst und Kaiseraugst. Forschungen in Augst 3 (Augst 1986).
RIHA 1990 – E. Riha, Der römische Schmuck aus Augst und Kaiseraugst. Forschungen in Augst 10 (Augst 1990).
RIHA 1994 – E. Riha, Die römischen Fibeln aus Augst und Kaiseraugst, Die Neufunde seit 1975. Forschungen in Augst 18 (Augst 1994).
RITTERLING 1912 – E. Ritterling, Das frührömische Lager bei Hofheim im Taunus. Ann. Ver. Nassau. Altkde. 40, 1912 (Wiesbaden 1913).
RÖMISCHE KERAMIK IN DER SCHWEIZ – C. Schucany et al. (Hrsg.), Römische Keramik in der Schweiz. Antiqua 31 (Basel 1999).
ROTH-RUBI 1979 – K. Roth-Rubi, Untersuchungen an den Krügen von Avenches. RCRF Acta Supplementa 3 (Augst/Kaiseraugst 1979).
ROTH-RUBI 1986 – K. Roth-Rubi, Die Villa von Stutheien Hüttwilen TG. Antiqua 14 (Basel 1986).
ROTH-RUBI 1992 – K. Roth-Rubi, Römische Kleinfunde aus den Grabungen 1958–1962. In: Brem/Bürgi/Roth-Rubi 1992, 283–128.
RÜTTI 1988 – B. Rütti, Die Gläser. Vitudurum 4. Ber.ZD, Archäologische Monographien 5 (Zürich 1988).
RÜTTI 1991 – B. Rütti, Die römischen Gläser aus Augst und Kaiseraugst. Forschungen in Augst 13 (Augst 1991).
RYCHENER 1984 – J. Rychener, Der Kirchhügel von Oberwinterthur. Die Rettungsgrabungen von 1976, 1980 und 1981. Beiträge zum römischen Oberwinterthur – Vitudurum 1. Ber.ZD, Archäologische Monographien 1 (Zürich 1984).
RYCHENER/ALBERTIN 1986 – J. Rychener, P. Albertin, Ch. Jacquat, Beiträge zum römischen Vitudurum – Oberwinterthur 2. Ein Haus im Vicus Vitudurum – die Ausgrabungen an der Römerstrasse 186. Ber.ZD, Archäologische Monographien 2 (Zürich 1986).
RYCHENER 1988 – J. Rychener, Beiträge zum römischen Oberwinterthur – Vitudurum 3. Die Rettungsgrabungen 1983–1986. Ber.ZD, Archäologische Monographien 6 (Zürich 1988).
RYCHENER 1999 – J. Rychener, Der römische Gutshof in Neftenbach, 2 Bde., Monographien der KA Zürich 31 (Zürich 1999).
SCHALTENBRAND OBRECHT 1996 – V. Schaltenbrand Obrecht, Die Eisenfunde. In: Beiträge zum römischen Oberwinterthur – Vitudurum 7. Ausgrabungen im Unteren Bühl. Monographien der KA Zürich 27 (Zürich/Egg 1996) 141–228.
SCHINDLER-KAUDELKA 1975 – E. Schindler-Kaudelka, Die dünnwandige Gebrauchskeramik vom Magdalensberg. Kärntner Museumsschriften 58 (Klagenfurt 1975).
SCHNURBEIN 1982 – S. von Schnurbein, Die unverzierte Terra sigillata aus Haltern. Bodenaltertümer Westfalens 19 (Münster 1982).
SCHUCANY 1986 – C. Schucany, Der römische Gutshof von Biberist-Spitalhof. Ein Vorbericht. JbSGUF 69, 1986, 199–220.
SCHUCANY 1996a – C. Schucany, Aquae Helveticae. Zum Romanisierungsprozess am Beispiel des römischen Baden. Antiqua 27. Veröffentlichungen der SGUF (Basel 1996).
SCHUCANY 1996b – C. Schucany, Olten/Hauptgasse 12/14. Archäologie und Denkmalpflege im Kanton Solothurn 1/1996, 68–77.
SCHWARZ (in Vorb.) – P.-A. Schwarz, Kastelen 4. Spätrömische Befestigung. Forschungen in Augst 24 (in Vorb.).
SERNEELS 1999 – V. Serneels, P. Chadron-Picault, A. Ploquin in: P.Chadron-Picault, M. Pernot (Hrsg.), Un quartier antique d'artisanat métallurgique à Autun (Saône-et-Loire). Le site du Lycée militaire. Documents d'Archéologie Française 76 (Paris 1999).
SPYCHER/SCHUCANY 1997 – H.P. Spycher, C. Schucany (Hrsg.), Die Ausgrabungen im Kino Elite im Rahmen der bisherigen Untersuchungen in der Solothurner Altstadt. Antiqua 29 (Basel 1997).
STAEHELIN 1948 – F. Staehelin, Die Schweiz in römischer Zeit (Basel 1948[3]).
STRAUBE 1996 – H. Straube, Ferrum Noricum und die Stadt auf dem Magdalensberg (Wien/New York 1996).
ULBERT 1959 – G. Ulbert, Die römischen Donau-Kastelle Aislingen und Burghöfe. Limesforschungen 1 (Berlin 1959).
ULBERT 1969 – G. Ulbert, Das frührömische Kastell Rheingönnheim. Limesforschungen 9 (Berlin 1969).
UNZ/DESCHLER-ERB 1997 – Ch. Unz, E. Deschler-Erb, Katalog der Militaria aus Vindonissa. VerGPV 14 (Brugg 1997).
URNER-ASTHOLZ 1946 – H. Urner-Astholz, Die römerzeitliche Keramik von Schleitheim-Juliomagus. Schaffhauser Beitr. z. vaterländischen Gesch. 23, 1946, 5–205.
VAN BUCHEM 1941 – H. J. H. van Buchem, De Fibulae van Nijmegen. (Nijmegen 1941).
VAN DER ROEST 1988 – J. van der Roest, Die Römischen Fibeln von «De Horden». Ber. ROB 38, 1988, 142–202.
VAN DIERENDONCK ET AL. 1993 – R.M. van Dierendonck et al. (Hrsg.), The Valkenburg Excavations 1985–1988. Introduction and Detail Studies. Nederlandse Oudheden 15 (Amersfoort 1993).
VAN DRIEL-MURRAY 1985 – C. van Driel-Murray, The Production and Supply of Military Leatherwork in the First and Second Centuries A.D.: A Review of the Archaeological Evidence. In: M.C. Bishop (Hrsg.), The Production and Distribution of Roman Military Equipment. Proceedings of the Second Roman Military Equipment Research Seminar. BAR Int. Ser. 275 (Oxford 1985).
VITUDURUM 5 – Beiträge zum römischen Oberwinterthur – Vitudurum 5. Ber.ZD, Archäologische Monographien 10 (Zürich 1991)
VITUDURUM 8 – Beiträge zum römischen Oberwinterthur – Vitudurum 8. Monographien der KA Zürich 30 (Zürich/Egg 1998), vgl. auch Rey-Vodoz 1998, Hochuli-Gysel 1998, Raselli-Nydegger 1998.

VOGT 1938 – E. Vogt, Frühe Sigillaten im Schweizerischen Landesmuseum. Festschrift A. Oxé (o.O. 1938) 31–39.
VOGT 1948 – E. Vogt, Der Lindenhof in Zürich. Zwölf Jahrhunderte Stadtgeschichte auf Grund der Ausgrabungen 1937/38 (Zürich 1948).
VON PETRIKOVITS 1975 – H. von Petrikovits, Die Innenbauten römischer Legionslager während der Prinzipatszeit. Abhandlungen der rheinisch-westfälischen Akademie der Wissenschaften 56 (Opladen 1975).
WALTERS 1929 – H.B. Walters, A guide to the exhibition illustrating Greek and Roman Life (London ^{3}1929).
WEBER 1997 – G. Weber, Rekonstruktionsversuch römischer Holzbauten auf dem Auerberg, in: G. Ulbert, W. Zanier, Der Auerberg II. Besiedlung innerhalb der Wälle. Münchener Beitr. zur Vor- und Frühgeschichte 46 (München 1997), 129 ff.
WESTPHALEN 1989 – P. Westphalen, Die Eisenschlacken von Haithabu (Neumünster 1989).
WIEDEMER 1976 – H.R. Wiedemer, Schriften zur Römerzeit in der Nordostschweiz. 306 Neujahrsblatt der Stadtbibliothek Winterthur (Winterthur 1976).
WINDLER 1995 – R. Windler, Spätrömische Gräber aus Oberwinterthur. JbSGUF 78, 1995, 181–185.
WITTEYER/KÖNIG/SCHOCH 1997 – M. Witteyer, M. König, W.H. Schoch, Alte und neue Funde der Römerzeit aus Bad Kreuznach-Planig. Mainzer Arch. Zeitschr. 3, 1996 (1997) 57–103.
ZANIER 1992 – W. Zanier, Das römische Kastell Ellingen. Limesforschungen 23 (Berlin 1992).
ZÜRCHER 1982 – A. Zürcher, JbSGUF 65, 1982, 214–222.
ZÜRCHER 1985 – A. Zürcher, Vitudurum – Geschichte einer römischen Siedlung in der Ostschweiz. In: Turicum – Vitudurum – Iuliomagus. Drei Vici in der Ostschweiz. Festschrift O. Coninx (Zürich 1985) 169–233.
ZWAHLEN 1995 – R. Zwahlen, Vicus Petinesca – Vorderberg. Die Holzbauphasen (1. Teil). Petinesca Band 1 (Bern 1995).

3 ABKÜRZUNGSVERZEICHNIS

Literatur

AGZ	Antiquarische Gesellschaft in Zürich
AIZ	Archäologie im Kanton Zürich
AK	Archäologisches Korrespondenzblatt
AS	Archäologie der Schweiz
ASA	Anzeiger für Schweizerische Altertumskunde
BAR	British Archaeological Reports
Ber.KA	Bericht Kantonsarchäologie
Ber.ZD	Bericht Zürcher Denkmalpflege
BfA	Büro für Archäologie der Stadt Zürich
BJb	Bonner Jahrbücher
CAR	Cahiers d'Archéologie Romande
ETHZ	Eidgenössische Technische Hochschule, Zürich
FmZH	Fundmünzenbearbeitung für den Kanton Zürich am Münzkabinett Winterthur
FS	Festschrift
GPV	Gesellschaft Pro Vindonissa
HA	Helvetia Archaeologica
IFS	Inventar der Fundmünzen der Schweiz
IGA	Interessengemeinschaft für Archäologie, Zürich
JbAK	Jahresberichte aus Augst und Kaiseraugst
JbGPV	Jahresberichte der Gesellschaft Pro Vindonissa
JbRGZM	Jahrbuch des Römisch-Germanischen Zentralmuseums Mainz
JbSGUF	Jahrbuch der Schweizerischen Gesellschaft für Ur- und Frühgeschichte
JbSLM	Jahrbuch des Schweizerischen Landesmuseums in Zürich
JNG	Jahrbuch für Numismatik und Geldgeschichte
JRS	Journal of Roman Studies
KA	Kantonsarchäologie
KDM	Die Kunstdenkmäler der Schweiz
MAGZ	Mitteilungen der Antiquarischen Gesellschaft in Zürich
MBNG	Mitteilungen der Bayerischen Numismatischen Gesellschaft
NC	Numismatic Chronicle
Njbl.StBW	Neujahrsblatt der Stadtbibliothek Winterthur
NSBV	Nachrichten des Schweizerischen Burgenvereins
NZ	Numismatische Zeitschrift
PBF	Prähistorische Bronzefunde
RIN	Rivista Italiana di Numismatica
SBKAM	Schweizer Beiträge zur Kulturgeschichte und Archäologie des Mittelalters
SFMA	Studien zu Fundmünzen der Antike
SLM	Schweizerisches Landesmuseum, Zürich
SNR	Schweizerische Numismatische Rundschau
StAW	Stadtarchiv Winterthur
StAZ	Staatsarchiv des Kantons Zürich
StBW	Stadtbibliothek Winterthur
UFAS	Ur- und frühgeschichtliche Archäologie der Schweiz
UKD	Unsere Kunstdenkmäler
VerGPV	Veröffentlichungen der Gesellschaft Pro Vindonissa
ZAK	Zeitschrift für schweizerische Archäologie und Kunstgeschichte
ZTB	Zürcher Taschenbuch
ZUB	Zürcher Urkundenbuch

Zum Inhaltsverzeichnis

Übrige Abkürzungen

A	Abgegriffenheit (Münzen)
Abb.	Abbildung
Anm.	Anmerkung
bes.	besonders
Br.	Breite
BS	Bodenscherbe
bzw.	beziehungsweise
ca.	circa
Consp.	Conspectus
D.	Dicke
d.h.	das heisst
Dat.	Datierung
Déch.	Déchlette
div.	diverse
Dm.	Durchmesser
Drag.	Dragendorff
E	Osten
ebd.	ebenda
erh.	erhalten
evtl.	eventuell
F.	Feld
FB	Fibel
FK	Fundkomplex oder Fundkomplexnummer
FMZH	Fundmünzenbearbeitung für den Kanton Zürich am Münzkabinett Winterthur
FN	Fundnummer
FO	Fundort
Fragm./fragm.	Fragment(e), fragmentiert
FU	Fundumstände
G.	Gewicht
gall.	gallisch
Geb.	Gebäude
Gem.	Gemeinde
gem.	gemessen
Glzt.	Glanzton
GR	Graffito
H.	Höhe
hf	handgeformt
HK	Holzkohle
Hofh.	Hofheim
Hrsg.	Herausgeber
hrsg.	herausgegeben von
IFS	Inventar der Fundmünzen der Schweiz
Imit.	Imitation
in Vorb.	in Vorbereitung
Inv.	Inventar
ital.	italisch
Jh.	Jahrhundert
Jt.	Jahrtausend
K	Korrosion (Münzen)
Kap.	Kapitel
Kat.	Katalognummer
Kat.Nr.	Katasternummer
Ker.	Keramik
korr.	korrodiert
L.	Länge
l.	links
Lfm.	Laufmeter
Lit.	Literatur
LK	Landeskarte
m ü.M.	Meter über Meer
M	Münze
M.	Massstab
m.E.	meines Erachtens
MAG	Mindestgefässzahl
max.	maximal
ME	Metall
MHz	Megaherz
mind.	mindestens
MIZ	Mindestindividuenzahl
N	Norden
n.l.	nach links
n.r.	nach rechts
Nr.	Nummer
o.	ohne
o.ä.	oder ähnliche[s]
OK	Oberkante
Per.	Periode
Pos.	Positionsnummer
Prosp.	Prospektion
r.	rechts
rek.	rekonstruiert
RFA	Röntgenfluoreszenzanalyse
RS	Randscherbe
Rs.	Rückseite
S	Süden
S.	Seite
s.	siehe
Sch.	Schicht
sd	scheibengedreht
SFI	Schweizerischer (Münz)Fundinventar-Code
SFR	Schlagflächenrest
SH	Siedlungshorizont
Slg.	Sammlung
SLT	Spätlatène
sog.	so genannte/r
SP	Siedlungsperiode
ST	Stempel
St.	Stück
T.	Tiefe
Tab.	Tabelle
Taf.	Tafel
TS	Terra Sigillata
u.a.	unter anderem
u.U.	unter Umständen
üd	überdreht
UK	Unterkante
unpubl.	unpubliziert
v.a.	vor allem
Var.	Variante
verm.	vermutlich
vgl.	vergleiche
Vs.	Vorderseite
W	Westen
WK	Waldkante
WS	Wandscherbe
z.B.	zum Beispiel
z.T.	zum Teil

4 ABBILDUNGSNACHWEISE

Vorsatz (hinten und vorne) Peter Albertin, Techn. Büro/Bauforschung, Winterthur.

Teil I
Abb. 1 A. Renold, bearb. von Marcus Moser, KA. Abb. 2 Peter Albertin, Winterthur. Abb. 3 KA Zürich. Abb. 4 Schweizerisches Landesmuseum, Zürich. Abb. 5.6 Verena Jauch und Rosanna Janke, KA.

Teil II, Kap. 1
Abb. 7–9 KA Zürich. Abb. 10 Manuela Gygax. Abb. 11–12 KA Zürich. Abb. 15 Sibylle Heusser, KA. Abb. 16 Manuela Gygax, KA.

Teil II, Kap. 2
Abb. 17.19–21, 24–25, 32–33, 38 Marcus Moser, KA. Abb. 18. 22–23.26–31.36–37.40.42 KA Zürich. Abb. 34–35.43 Florian Hoek, KA. Abb. 39.41 Musée des Antiquités Nationales, Saint-Gérmain-en-Laye.
Tafelzeichnungen Sibylle Heusser und Daniela Hoesli (Kat. 124–125).

Teil II, Kap. 3
Abb. 44.47–52.54–55.59 Mirjam Fischer/Techn. Büro Peter Albertin. Abb. 45–46.53 Marcus Moser, KA, nach Originalplänen von Peter Albertin. Abb. 56 Jürg Rychener. Abb. 57. 60–61 Marcus Moser, KA, nach Entwürfen von Jürg Rychener. Abb. 58 Manuela Gygax, KA.

Teil II, Kap. 4
Abb. 62 Jürg Rychener. Abb. 63–64.66–67.69 Marcus Moser, KA, nach Entwürfen von Jürg Rychener. Abb. 65 KA Zürich. Abb. 68.70 Manuela Gygax, KA.

Teil III, Kap. 1
Abb. 71–72 Verena Jauch und Rosanna Janke, KA. Abb. 73 Peter Albertin, Winterthur. Abb. 74–75 Max Wiesendanger, KA. Abb. 76–77 Marcus Moser, KA.

Teil III, Kap. 2
Abb. 78.80–84 Max Wiesendanger, KA. Abb. 79 Peter Albertin, Winterthur. Ab. 85 Manuela Gygax, KA.
Tafelzeichnungen Sibylle Heusser, KA.

Teil III, Kap. 3
Abb. 86 Peter Albertin, Winterthur. Abb. 87.91.94.100–101.103.105–108.116–122.124–126 Fridolin Mächler, KA. Abb. 88–90.92–93.95–99.102.104.109–115.123 Max Wiesendanger, KA.
Tafelzeichnungen Sibylle Heusser, KA.

Teil III, Kap. 4
Abb. 127.147 Peter Albertin, Winterthur. Abb. 128.130.132. 134–135.139.141–144.148.151–152.154–156.158.160–161.164–167 Max Wiesendanger, KA. Abb. 129.133.136–137.140 Fridolin Mächler, KA.
Abb. 131 Verena Jauch, KA. Abb. 138.145–146.149–150.163 Manuela Gygax, KA. Abb. 153.157.159 B. Knittel. Abb. 162 M. Gentinetta.
Tafelzeichnungen Daniela Hoesli, mit Ergänzungen von Sibylle Heusser (Kat. 4.8.16.22.35.49.51.55.65–67.80.87.100–101), KA.

Teil III, Kap. 5
Abb. 168 Peter Albertin, Winterthur. Abb. 169–174.179.181. 183.186.190.192.195 Max Wiesendanger, KA. Abb. 175–177. 180.182.187.193–194 Fredi Jetzer, KA. Abb. 178 Christian Muntwyler, KA. Abb. 184–185.189.191 Manuela Gygax, KA. Abb. 188 Rolf Gamper, KA.
Tafelzeichnungen Sibylle Heusser, KA.

Teil III, Kap. 6
Abb. 196.198–199.202.204–205.207.213.217–218.220.222. 230–231.234.258.265.267–269.273 Marcus Moser, KA. Abb. 197.201.215.256 Rosanna Janke, KA. Abb. 200.203.214. 229.232–233.240–242.261–262.264.266.270 Fridolin Mächler, KA. Abb. 206.260 Marcus Moser nach einer Originalzeichnung von H. Stünzi. Abb. 208 Marcus Moser nach Originalzeichnung von Christian Winkel. Abb. 209.223–224.237–238 Fredi Jetzer, KA. Abb. 210 Marcus Moser nach einer Vorlage von Rolf Gamper. Abb. 211 Marcus Moser nach Originalzeichnungen von Fanny Bart. Abb. 212 Marcus Moser nach Originalzeichnungen von B. Figilister und Christian Winkel. Abb. 216.221.257 Manuela Gygax, KA. Abb. 219 Beat Zollinger. Abb. 225–226.228.235.243 B. Figilister. Abb. 227 Marcus Moser nach Originalzeichnung von C. Kreis. Abb. 236 Marcus Moser, KA. Abb. 239 Marcus Moser nach Originalzeichnungen von H. Stünzi und K. Lory. Abb. 244–246 Florian Hoek. Abb. 247–248.250–251.253–255 Peter Albertin, Wifnterthur. Abb. 249.252 Marcus Moser nach einer Vorlage von Peter Albertin. Abb. 259 Marcus Moser nach Originalzeichnung von M. Fischer. Abb. 263 Marcus Moser nach Originalzeichnung von Beat Zollinger. Abb. 271 Aus Fonjallaz 1968, Abb. 13. Abb. 272 Aus Bayerlein 1936, Abb. 33. Abb. 274 Zeichnungsbücher der Antiquarischen Gesellschaft in Zürich, C.R.I. 78 (SLM, Zürich).
Tafelzeichnungen Daniela Hoesli, KA.

Teil IV, Kap. 1
Abb. 275 Manuela Gygax, KA.
Keramikstempel (Fotos): Manuela Gygax, KA.

Teil IV, Kap. 2
Abb. 276–277 KA Zürich. Abb. 278 K. Schätti, Chemische Charakterisierung eines antiken Münzfundes. Diplomarbeit. Labor für Physikalisch-Chemische Messtechnik, Zürcher Hochschule Winterthur.
Münzen (Fotos): Manuela Gygax, Zürich.

Teil IV, Kap. 3
Abb. 279.293–297 E. Deschler-Erb. Abb. 280.281: Koster 1997, 57 Abb. oben und 43 Abb. links. Abb. 282.286.287–289.291–292 Manuela Gygax, KA. Abb. 283: Garbsch/Feugère 1993, 145 Abb. 1. Abb. 284: Hochuli-Gysel et al. 1986, 175 Abb. 64. Abb. 285: Franken 1993, 71 Abb. 1. Abb. 288: Kaufmann-Heinimann 1977, Taf. 116, 177. Abb. 298: M. Moser nach einer Vorlage von E. Deschler-Erb.
Tafelzeichnungen Daniela Hoesli, KA.

Teil IV, Kap. 4
Abb. 299 Marcus Moser, KA Zürich.
Tafelzeichnungen Daniela Hoesli, KA.

Teil V
Tab. 1–3 Verena Jauch, KA. Tab. 4–11 Rosanna Janke. Übersicht über die Fundmünzen: Bettina Hedinger, KA.

Zum Inhaltsverzeichnis

VI KATALOGE

1 HOHLANDSTR. 3

In die katalogmässige Beschreibung sind nicht alle während der Grabung geborgenen Funde aufgenommen. Grundsätzlich handelt es sich aber um einen repräsentativen Querschnitt, wobei die Materialaufnahme geschlossen für jede Siedlungsperiode, Phase und Befund durchgeführt wurde[1].
Bestimmungen der TS erfolgten nach Conspectus[2], Dragendorff[3], Loeschcke[4], Curle[5], Ritterling[6], Ludowici[7] und Chenet[8], der TS-Imitationen nach Drack[9] und Rychener[10], der späten Glanztonbecher/bzw. Faltenbecher nach Oelmann[11] der Amphoren nach Dressel (zit. nach Martin-Kilcher[12]), der Legionsstempel auf Ziegeln nach Jahn[13], des Glases nach Isings (zit. nach Rütti[14]) und der Fibeln nach Riha[15]. Die Münzbestimmungen stammen von B. Hedinger. Bei den Kat. 216–235 handelt es sich um Funde aus den Grabungen 1976/77 Reformierte Kirche St. Arbogast. Die dort vergebenen Fund- bzw. FK-Nummern sind unverändert übernommen worden.

Siedlungsperiode 1 (0–30 n. Chr.)

Unter Siedlungsperiode 1 können nur eingetiefte Befunde wie Pfostenlöcher und drei Gruben (Gruben 61, 99/106, 166), sowie bei letzteren deren unterste Auffüllungen zusammengefasst werden. Im Speziellen fehlen Schichten wie Planien, Gehhorizonte oder Abbruchniveaus (siehe Befundteil). Der Umstand, dass sich die Grubenauffüllungen im Laufe der Zeit stark setzten und so Eintiefungen hinterliessen, führte dazu, dass dort immer wieder aufgefüllt werden musste. Eine Korrelation dieser Schichten mit Befunden ausserhalb der Gruben war jedoch nur im Einzelfall möglich (siehe Befundteil). Der besseren Übersicht wegen, erfolgt die Vorlage aller Funde aus den beiden Gruben 166 und 99/106 im Zusammenhang mit der Siedlungsperiode 1. Nur die Funde mit den Katalognummern **1–48** und **64–81** sind jedoch der Siedlungsperiode 1 zuzurechnen. Grube 61 war beinahe fundleer.

Grube 166, humose, untere Auffüllung
(Pos. 192, 195; FK 175, 181, 196)
1 2 RS TS-Teller (Italische Sigillata) Consp. 12.3-5 (Haltern 1, Service Ic). FK 175/181.
2 RS TS-Teller (Italische Sigillata) Consp. 12.3-4 (Haltern 1, Service Ic). FK 181.
3 RS TS-Teller (Italische Sigillata) Consp. 18.2 (Haltern 2, Service II). FK 181.
4 RS TS-Schale (Italische Sigillata) Consp. 22.1-3 (Haltern 8, Service II). FK 181.
5 RS TS-Schale (Italische Sigillata) Consp. 22.1-3 (Haltern 8, Service II). FK 181.
6 RS TS-Schale (Italische Sigillata) Consp. 22.1-3 (Haltern 8, Service II). FK 181.
7 RS TS-Schale (Italische Sigillata) Consp. 22.1-3 (Haltern 8, Service II). FK 181.
8 WS TS-Schale (Italische Sigillata) Consp. 22.1-3 (Haltern 8, Service II). FK 181.
9 BS TS-Teller Drag. 15/17 (südgallisch). FK 181.
10 RS TS-Schälchen Hofh. 5 (südgallisch). FK 181.
11 RS TS-Schüssel Typ. unbest. FK 181.
12 Ganzes Profil TS-Imitation Teller Drack 2, orange-roter Überzug. FK 181.
13 2 RS TS-Imitation Teller Drack 2, orange-brauner Überzug. FK 181.
14 2 RS TS-Imitation Teller Drack 2, schwarzer Überzug. FK 175.
15 RS TS-Imitation Teller Drack 2, orange-brauner Überzug. FK 175.
16 WS TS-Imitation Teller Drack 2, orange-roter Überzug. FK 181.
17 WS TS-Imitation Teller Drack 4, nur auf der Innenseite bräunlicher Überzug. FK 175.
18 3 RS TS-Imitation Teller Drack 5, oranger bis brauner Überzug. FK 181.
19 WS TS-Imitation Schale Drack 7, orange-bräunlicher Überzug. FK 175.
20 WS TS-Imitation Schale Drack 7, orange-bräunlicher Überzug. FK 181.
21 WS TS-Imitation Schale Drack 7, orange-bräunlicher Überzug. FK 181.
22 RS TS-Imitation Schälchen Drack 9, bräunlicher Überzug. FK 181.
23 2 RS Schüssel Drack 21, nur auf der Aussenseite rotbrauner Überzug, Innenseite: Reste einer Verpichung. RF 1 nach Rychener. FK 175/181.
24 RS Schüssel Drack 21, nur auf der Aussenseite orange-rötlicher Überzug. RF 1 nach Rychener. FK 181.
25 RS Schüssel Drack 21, nur auf der Aussenseite rotbrauner Überzug. RF 1 nach Rychener. FK 181.
26 3 RS Schüssel Drack 21, nur auf der Aussenseite orange-roter Überzug, Innenseite: Reste einer Verpichung. RF 1 nach Rychener. FK 181.
27 2 RS Schüssel Drack 21, nur auf der Aussenseite rötlich-brauner Überzug, Innenseite Reste einer Verpichung. RF 1 nach Rychener. FK 181.
28 RS Schüssel Drack 21, nur auf der Aussenseite rotbrauner Überzug, Innenseite Reste einer Verpichung. RF 1 nach Rychener 1986, 76f. FK 181.
29 RS Schüssel Drack 21, nur auf der Aussenseite rotbrauner Überzug. RF 1 nach Rychener. FK 175.
30 RS Schüssel Drack 21, nur auf der Aussenseite bräunlicher Überzug. RF 1 nach Rychener. FK 181.
31 RS Schüssel Drack 21, nur auf der Aussenseite orange-bräunlicher Überzug. RF 1 nach Rychener. FK 181.
32 RS Schüssel Drack 21, nur auf der Aussenseite rötlicher Überzug. RF 1 nach Rychener. FK 181.
33 Ganzes Profil Schüssel Drack 22, nur auf der Aussenseite rotbrauner Überzug, Innenseite: Reste einer Verpichung. FK 181.
34 Grosse Teile einer Schüssel vergleichbar Typ Bol Roanne, Aussenseite fein geglättet, braunrötlicher, im Kern grauer Ton. FK 181.
35 WS Tonne? SLT-Tradition, Aussenseite Bemalung in weiss und schwarz, orange-beiger Ton. FK 175.
36 RS Flasche, SLT-Tradition, Aussenseite fein geglättet, beiger Ton. FK 175.
37 Ganzes Profil flache Schüssel oder Teller, grauer im Kern hellgrauer feiner Ton. FK 181.
38 RS Napf, dunkelgrauer grob gemagerter Ton im Kern grau. FK 181.
39 RS Topf, grauer feiner Ton. FK 181.

---

1 Ein Fundbuch mit dem Inventar sämtlicher Funde der archäologischen Untersuchungen Hohlandstrasse 1993/37 ist als Ausdruck und als dBase-IV Datei im Archiv der KA Zürich abgelegt.
2 Ettlinger at al. 1990 (Conspectus).
3 H. Dragendorff, Terra sigillata, Bjb. 96/97, 1895, 18ff.
4 S. Loeschcke, Keramische Funde in Haltern. Ein Beitrag zur Geschichte der augusteischen Kultur in Deutschland (Münster 1909).
5 Curle 1911.
6 Ritterling 1912.
7 W. Ludowici, Urnen-Gräber römischer Töpfer in Rheinzabern und III. Folge dort gefundener Stempel-Namen und Stempel-Bilder bei meinen Ausgrabungen 1905–1908 (München 1908).
8 G. Chenet, La céramique gallo-romaine d'Argonne du IVe siècle et la terre sigillée décorée à la molette. Fouilles et documents d'archéologie antique en France 1 (Mâcon 1941).
9 Drack 1945.
10 Rychener 1986, 76f.
11 F. Oelmann, Die Keramik des Kastells Niederbieber. Materialien zur römisch-germanischen Keramik 1 (Frankfurt 1914).
12 Martin-Kilcher 1987/1994a.
13 V. Jahn, Die römischen Dachziegel von Windisch. ASA 11, 1909, 111ff.
14 Rütti 1988.
15 Riha 1994.

40 RS Topf, grauer feiner Ton. FK 181.
41 RS Topf, grauer feiner Ton. FK 175.
42 RS Topf, grauer Ton. FK 181.
43 RS Topf, grauer Ton. FK 181.
44 RS Topf oder Tonne, grauer Ton. FK 181.
45 RS Krug, rötlicher Ton. FK 181.
46 RS und BS Dolium, brauner im Kern schwarzgrauer Ton, Aussenseite mit Resten eines mehligen Überzuges. FK 175/181.
47 RS Deckel, grauer im Kern hellgrauer grob gemagerter Ton. FK 181.
48 Fragment bronzener Fibelfuss Spiralfibel. Evtl. Riha Gruppe 2.9. FK 181.

Grube 166, Planie, Gehniveau, Bauniveau
(Pos. 146, 165, 167, 191, 204, 205; FK 167, 174, 185, 186, 188, 204)
49 RS TS Schälchen Drag. 27. FK 186.
50 RS Schüssel Drack 21. Auf der Aussenseite Reste eines rötlichbraunen Überzugs. FK 174.

Grube 166, Brandschicht
(Pos. 164, 186; FK 162, 166)
51 RS TS Schüssel Drag. 37. FK 162.
52 BS TS Teller Drag. 22/23. FK 162.
53 BS TS Teller Drag. 22/23. FK 162.
54 RS TS Schüssel Drag. 37. FK 160.
55 RS TS Schale Drag. 35/36. FK 160.
56 RS TS Schälchen Drag. 27. FK 160.
57 RS TS-Imitation Teller Drack 3–6. FK 161.
58 RS Topf, grauer grob gemagerter Ton, im Kern hellgrau. FK 160.
59 RS Deckel, orange-brauner Ton. FK 160.
60 RS Rippenschale Isings 3b, farblos, Gruppe 3.4 nach Rütti. FK 160.

Grube 166, Bauniveau, Benützung
(Pos. 161; FK 159)
61 WS TS Schüssel Drag. 29. FK 159.
62 WS TS Schüssel Drag. 30. FK 159.
63 RS TS Schälchen Drag. 27. FK 159.

Grube 99/106, humose Auffüllung (Schichtpaket 1)
(Pos. 160, 190, 278; FK 122, 156, 168)
64 BS TS Teller Drag. 18. FK 168.
65 RS TS Teller Drag. 15/17. FK 168.
66 2 RS, 1 WS TS Schälchen Drag. 27. FK 156.
67 WS TS Schüssel Drag. 29. FK 156.
68 RS TS-Imitation Drack 2, beiger Ton, rotbrauner Überzug. FK 156.
69 4 RS, 1 WS TS-Imitation Teller Drack 3, grauer Ton, schwarzer Überzug. FK 122, 155, 156.
70 RS TS-Imitation Teller Drack 2/3, beiger Ton, orange-brauner Überzug. FK 168.
71 RS TS-Imitation Schälchen Drack 18, beiger Ton, rotbrauner Überzug. FK 168.
72 2 RS Schüssel Drack 20, grauer Ton, nur auf der Aussenseite schwarzer Überzug. FK 122/156.
73 Beinahe ganzes Profil Schüssel Drack 20, grauer Ton, Überzug völlig abgeschliffen. FK 155.
74 RS Schüssel Drack 21, beige-rötlicher Ton, brauner Überzug, RF 1 nach Rychener. FK 156.
75 WS Becher? mit Bleiglasur. FK 168.
76 BS feines Schälchen mit Griesbewurf, hellbeiger Ton, brauner Überzug? FK 168.
77 RS Einhenkelkrug, hellbeiger mehliger Ton. FK 156.
78 RS Einhenkelkrug, rötlichbrauner Ton, Aussenseite Spuren eines Goldglimmerüberzugs. FK 168.
79 RS Schüsselchen, grauer Ton, Aussenseite mit Glättspuren. FK 156.
80 2 RS Schüssel, grauer Ton. FK 156/168.
81 Fragment bronzene Hülsenspiralfibel mit Gratbügel. Gruppe 4.2.2 nach Riha. FK 168.

Grube 99/106, Auffüllungen (Schichtpaket 2)
(Pos. 103, 104, 107, 137, 143, 158, 159, 170, 178, 203; FK 108, 113, 119, 120, 123, 129, 131, 132, 145, 146, 147, 154, 155, 195)
82 1 RS, 1 WS TS Teller Drag. 15/17. FK 108.
83 1 RS, 3 BS TS-Imitation Teller Drack 2, beiger Ton, rotbrauner Überzug. FK 147.
84 RS Schüssel Drack 21, beiger Ton, Aussenseite rotbrauner Überzug. RF 1 nach Rychener. FK 123.
85 RS Schüssel Drack 21, beiger Ton, Aussenseite rotbrauner Überzug. RF 1 nach Rychener. FK 147.
86 RS Schüssel Drack 21, beiger Ton, rötlicher Überzug auf der Aussenseite beinahe vollständig abgeschliffen. FK 154.
87 Ganzes Profil Teller, braungrauer Ton, im Kern rötlich. FK 123.
88 RS Becher, grauer Ton. FK 147.
89 RS Becher, dunkelgrauer Ton, im Kern grau. FK 147.
90 BS Reibschüssel, beiger Ton. FK 123.
91 RS Lampe, beiger Ton, beiger Überzug. FK 147.

Grube 99/106, Bauniveau (Schichtpaket 3)
(Pos. 101, 105, 128, 138, 139, 140, 141, 144; FK 110, 121, 130, 148, 276, 277, 302)
Keine aussagekräftigen Funde.

Grube 99/106, Gehniveau (Schichtpaket 4)
(Pos. 100, 109, 116, 202; FK 114, 115, 264, 266, 275)
92 BS TS Teller Drag. 15/17. FK 115.
93 RS TS Schälchen Drag. 27. FK 266.
94 RS TS Schälchen Hofh. 8. FK 264
95 RS TS Schälchen Drag. 24/25. FK 266.
96 WS TS Teller Drag. 35/36. FK 275.
97 RS Schüssel, grauer Ton. FK 114.
98 WS Kochtopf, graubrauner Ton, Aussenseite mit Russspuren. FK 264.
99 WS geflecktes Glas, orange-braun weisse Flecken. Vgl. auch Rütti 1988 (Kat. 2094). FK 264.

Grube 99/106, Brandhorizont (Schichtpaket 5)
(Pos. 108, 110, 197, 200, 201, 236; FK 111, 183, 198, 209, 240, 241, 265)
100 RS TS Schälchen Hofh. 9. FK 241.
101 BS TS Schälchen Drag. 22/23. FK 183.
102 BS TS Schälchen? mit Innenstempel OFCREST(io). Vgl. auch Oberwinterthur, Römerstrasse 186 (Rychener 1986, 118 f). FK 198.
103 BS TS Schälchen? mit Innenstempel (unleserlich). FK 240.
104 RS TS Teller Drag. 17. FK 265.
105 BS TS Schüssel Drag. 29 mit Brandspuren. Innenstempel: CELAD(us)-FE(cit). Vgl. auch Zurzach (Hänggi et al. 1994, 457). FK 241.
106 RS TS Schüssel Drag. 29. FK 265.
107 RS Schüssel, grauer Ton. FK 183.
108 RS Topf, grauer Ton, Aussenseite Brandspuren. FK 241.
109 RS Topf, grauer Ton, Aussenseite geglättet. FK 240.
110 RS Deckel mit Brandspuren, beiger Ton. FK 241.

Grube 99/106, Planie (Schichtpaket 6)
(Pos. 111, 112, 196, 199, 234, 237; FK 105, 107, 171, 179, 184, 213, 234, 238, 239, 242)
111 BS TS Teller Drag. 15/17. FK 171.
112 RS TS Teller Curle 15. FK 242.
113 WS TS Schälchen Ha. 11. FK 171.
114 WS TS Schälchen Drag. 27. FK 179.
115 2 WS TS Schüssel Drag. 29. FK 179/184.
116 RS Topf, grauer Ton, Aussenseite brandgeschwärzt. FK 239.
117 RS Krug, beiger mehliger Ton, im Kern rötlich. FK 179.
118 RS Krug, beigerötlicher Ton. FK 179.

Siedlungsperiode 2 (70–250 n. Chr.)

Rollierung (Phase A)
(Pos. 23, 41, 42, 50, 57, 58, 91, 119, 136, 180, 182, 183, 235, 245, 246, 271; FK. 21, 24, 25, 26, 31, 40, 41, 44, 48, 49, 53, 74, 84, 87, 90, 95, 99, 100, 143, 144, 157, 165, 231, 246, 247, 254, 255, 272, 273, 285, 305, 307)
119 WS TS Schüssel Drag. 37. FK 254.
120 RS TS Schüssel Drag. 35/36. FK 285.

121 RS eiförmiger Becher, grauer Ton aussen rotbrauner Überzug, Stück sekundär verbrannt. FK 247.
122 RS Schüssel, braunrötlicher Ton mit Resten eines Goldglimmerüberzugs innen und aussen. FK 254.
123 Henkel einer Amphore Dressel 20 mit zweizeiligem Stempelfragment II IVN MELISSI ET M. Henkelform 15 (Martin-Kilcher 1987, 61–63), am ehesten Tongruppe 8 (Martin-Kilcher 1987, 64–69). Vgl. auch Kat. 149 (Phase C). FK 24 (Abb. 20).
124 Fragment einer Hand. Daumen und Zeigefinger halten eine Kugel mit Tüllenaufsatz, dessen Rand teilweise weggebrochen ist. Gleichmässige, grün-braune Patina. Gesamthöhe 8,2 cm; Gefäss: H 3,2 cm; äusserer Dm. (bei ergänztem Rand) ca. 2,5 cm; Kugel: Dm. 1,8–2 cm. FK 26. Abb. 21.
125 Fragment einer Schlange. Erhalten sind die vordere Rumpfpartie und der Kopf des Tieres, aus dessen Rachen ein ovaler Fortsatz herausragt. Bruchstelle auf der vom Schlangenkopf abgewandten Seite des Objektes. Gleichmässig grün-braune Patina. Max. Distanz zwischen den Bruchstellen 13,3 cm. FK 21. Abb. 24.
126 Fragment bronzener Fibelfuss Hülsenscharnierfibel. Evtl. Gruppe 5.12 nach Riha 1994, Taf. 24/25. FK 21.
127 Bronzefragment unbestimmbar. FK 44.

Gräbchen 55 von Teuchelleitung (Phase A)
(Pos. 49, 55, 56, 69, 94, 95, 96, 97, 98, 122, 123, 124, 189, 248, 251, 261; FK 43, 50, 96, 97, 177, 178, 261, 258)
128 RS TS Schüssel Drag. 37. FK 258.
129 WS TS Schüssel Drag. 37, ostgallisch (CIBISVS od. VERECUNDUS). FK 258.
130 WS TS Schüssel Drag. 38. FK 177.
131 RS Schüssel Curle 21. FK 258.
132 RS TS Schüssel Drag. 35/36. FK 50.
133 WS Faltenbecher, beiger Ton, braungrauer Überzug. FK 258.

Gräbchen 74 von Teuchelleitung (Phase A)
(Pos. 70, 74, 82, 240, 244, 259, 260; FK 67, 262)
134 RS Dolium, grauer Ton. FK 262.

Gräbchen 43 von Teuchelleitung (Phase A oder jünger)
(Pos. 43, 47, 48, 85; FK 32, 36, 38, 39, 42, 72, 259)
135 WS TS Schüssel Drag. 37. FK 36.
136 RS Glanztonbecher mit Karniesrand, rotbrauner Ton, innen metallisch glänzender, aussen brauner Überzug. FK 42.
137 WS Glanztonbecher, evtl. Faltenbecher, braungrauer Glanztonüberzug. FK 38.
138 Fragment Spielstein aus Bein. FK 36.

Graben 84 und 45 (wohl Phase A)
(Pos. 39, 45, 79, 80, 84; FK 68, 193, 194, 287)
Keine aussagekräftigen Funde.

Mauer 27 (Phase B)
(Pos. 22, 27, 53, 54, 60, 209, 211, 255, 262, 265, 287; FK 29, 30, 52, 75, 82, 91, 98, 190, 191, 203, 230, 233, 298, 306)
Das Fundmaterial ist sehr kleinteilig, daher sind keine Stücke in den Katalog aufgenommen worden. Unter den wenigen bestimmbaren Stücken befinden sich an chronologisch relevanten Vertretern TS Drag. 35/36 (FK 82 und 203) sowie das Randstück eines Glanztonbechers mit Karniesrand (FK 203).

Mörtelmischgrube (Phase B)
(Pos. 80, 92, 117, 118; FK 76, 83, 89)
139 RS TS Schälchen Drag. 40. FK 89.
140 RS und WS Faltenbecher, braunrötlicher Ton, rötlichbrauner Überzug. FK 89.
141 RS Topf, grauer grob gemagerter Ton, Oberfläche innen und aussen mit Russspuren. FK 89.

Planie (Phase C)
(Pos. 20, 21, 37; FK 27, 28, 46, 47, 141, 223, 225, 271, 297)
142 WS TS Reibschüssel Drag. 43/45, ostgallisch. FK 297.
143 RS TS Schälchen Drag. 40, wohl ostgallisch. FK 141.
144 RS Teller, beiger Ton, Innenseite beiger Überzug. FK 141.
145 RS und WS Becher, rötlichbrauner Ton, Aussenseite brauner bis rötlicher geflammter Überzug. FK 27/141.
146 WS Faltenbecher, hellgrauer Ton, grauer Überzug, wohl rheinischer Import. FK 141.
147 RS wohl Schüssel, grauer Ton. FK 233.
148 RS Schüssel, grauer Ton. FK 225.
149 Henkel einer Amphore Dressel 20 mit zweizeiligem Stempel II IVN MELISSI ET MELISSE. Henkelform: 15 (Martin-Kilcher 1987, 61–63), am ehesten Tongruppe 8 (Martin-Kilcher 1987, 64–69). Vgl. auch Kat. 123 (Phase A). FK 223.

Gehhorizont (Phase C)
(Pos. 19, 78, 212, 216; FK 23, 45, 118, 140, 142, 299)
150 RS TS Schüssel Drag. 37, wohl ostgallisch. FK 140.
151 WS TS Reibschüssel Drag. 43/45, Reibfläche stark abgerieben, wohl ostgallisch. FK 140.
152 RS Teller, beiger Ton, Innenseite beiger Überzug. FK 23.
153 RS Glanztonbecher, evtl. Niederbieber 32. FK 140.
154 WS Faltenbecher, grauer Ton, dunkelgrauer Überzug, wohl rheinischer Import. FK 140.
155 RS Schüssel, grauer Ton. FK 140.
156 RS Kragenrandschüssel, brauenrötlicher Ton, Kragen und Innenseite mit braunrötlichem Glanztonüberzug. FK 140.
157 RS Reibschüssel mit Innenkehle, rötlichbrauner Ton, Kragen und Innenkehle mit rotbraunem Überzug. FK 140.

Ziegelversturz (Phase C)
(Pos. 18, 81, 210; FK 22, 60, 88, 125, 202, 224, 293)
Speziell erwähnenswert sind etwa 50 kg Ziegelfragmente, z.T. mit Brandspuren, die noch auf der Grabung ausgeschieden wurden. An den Innenseiten haftete z.T. Mörtel. Interessant ist, dass sich unter den entsprechenden Eisenfunden auch rund ein Dutzend Nägel (Länge etwa 10 cm) befanden, welche evtl. zum Befestigen der Ziegel dienten.
158 RS TS Schüssel Drag. 37, ostgallisch. FK 60.
159 RS TS Schüssel Drag. 46 (Lud. Bb.), ostgallisch. FK 60.
160 RS TS Schüssel Drag. 43, ostgallisch. FK 279.
161 WS TS Schüssel Drag. 45, ostgallisch. FK 22.
162 RS Becher, beiger Ton, beigerötlicher Überzug. FK 88.
163 RS Faltenbecher, grauer Ton, grauer Überzug, Rheinischer Import. FK 22.
164 WS Faltenbecher, rötlicher Ton, grauschwarzer stark glänzender Überzug. FK 60.
165 RS Honigtopf, beiger Ton, Innenseite rötlich. FK 60.
166 RS Kragenrandschüssel, rotbrauner Ton, Kragen und Innenseite mit rötlichbraunem Überzug, Stück sekundär verbrannt. FK 25.
167 RS Deckel oder flacher Teller, grauer grob gemagerter Ton. FK 60.
168 RS Topf oder hoher Teller, hellgrauer Ton. FK 88.
169 RS Schüssel, grauer Ton, Stück sekundär verbrannt. FK 85/279 (Passscherbe zur Planie, Siedlungsperiode 3). Rauwandige Drehscheibenware? (um 400? Marti 1996, 160 f.)
170 Fragment Leistenziegel, Stempel mit vertieften Lettern L.XXI, Stempeltyp 1 oder 2 nach Jahn. FK 293.
171 Fragment Leistenziegel, Stempel mit vertieften Lettern LXXI und Wischzeichen, Stempeltyp 1 oder 2 nach Jahn. FK 125.
172 Denar des Severus Alexander, Roma (231–235 n.Chr.). RIC IV,2 S. 88 Nr. 235. Vs. IMPALEXANDERPIVSAUG; Büste mit Lorbeerkranz n.r. Rs. IOVIPROPVGNATORI; Jupiter in Kampfstellung n.l. Blitzbündel schleudernd. AR; 2.58 g; 17.8–19.8 mm; 30 . A 1/1; K 2/2. FK 293. SFI 230-0074:7. MK WI – LNr. 3333.

Siedlungsperiode 3 (200–300 n. Chr.)

Planie
(Pos. 10, 17, 127, 282; FK 18, 85, 101, 116, 270, 282)
173 RS Glanztonbecher, evtl. Niederbieber 32, rötlicher Ton, rötlicher Überzug. FK 85.
174 WS Faltenbecher, rötlichgrauer Ton, braunschwarzer Überzug. FK 18.

Gehhorizont
(Pos. 9, 16; FK 278, 281)
Keine aussagekräftigen Funde.

Graben
(Pos. 152, 168, 169, 171; FK 133, 134, 187, 201, 244, 291, 292, 303)
175 RS TS Schüssel Drag. 37? wohl ostgallisch. FK 292.
176 RS TS Schälchen Drag. 33, wohl ostgallisch. FK 292.
177 RS Teller, beiger Ton, Innenseite beiger Überzug. FK 292.
178 RS Becher mit Karniesrand, rötlicher Ton, rötlicher bis brauner geflammter Überzug. FK 292.
179 WS Faltenbecher, grauer Ton, grauschwarzer Überzug, rheinischer Import. FK 303.
180 RS Lavezdeckel, oberflächlich Russspuren. FK 292.
181 RS Reibschüssel mit Innenkehle, rotbrauner Ton, Kragen und Innenkehle mit rötlichbraunem Überzug. FK 292.
182 Fragment Leistenziegel, Stempel mit erhöhten Lettern LEGX(?). FK 292.
183 Fragment Leistenziegel mit auffällig tiefem Abdruck einer Hundepfote. FK 291.
184 As des Marcus Aurelius, Roma (166/167 n. Chr.). RIC III S. 289 Nr. 950. Vs. Kopf mit Lorbeerkranz n. r. Rs. (TRPOTXXI)IMPIIII (CONSIII)SC; Kaiser n. l. über Dreifuss opfernd. AE; 10.07 g; 22.4–24.1 mm; 180°. A 3/3; K 2/3. FK 291. SFI 230-0074:5. MK WI – LNr. 3331.
185 Antoninian des Claudius II. Gothicus, Roma (268–270 n.Chr.). RIC V,1 S. 215 Nr. 54 Typ. Vs. ()CLAVDIVSAVG; Kopf mit Strahlenkranz n.r. Rs. (IOV)IVI(CTORI); Jupiter mit Blitzbündel stehend n.l. AR; 2.95 g; 18.5–19.7 mm; 330°. A 2/2; K 2/2. FK 207. SFI 230-0074:2. MK WI – LNr. 3328.

Ausgewählte römische Funde aus neuzeitlich durchmischten Schichten (Streufunde)
(FK 10, 51, 63, 73, 93, 200)

186 RS TS Schüssel Drag. 37, wohl CIBISVS od. VERECUNDUS. FK 51.
187 RS TS Schüssel Chenet 320. FK 10.
188 RS TS Schüssel Chenet 320. FK 10.
189 RS TS Schüssel Chenet 320. FK 10.
190 WS TS Schüssel wohl Chenet 320. FK 200.
191 WS TS Reibeschüssel Drag. 43/45, wohl ostgallisch. FK 63.
192 RS Schüssel mit Barbotineauflage, Nb. 19 mit Barbotine, bzw. Chenet 325 (Lud. SMc), ostgallisch. FK 10.
193 RS TS Schüssel evtl. Chenet 326. FK 51.
194 RS TS Schälchen Lud. Bb, ostgallisch. FK 200.
195 Kragenstück einer TS Schüssel Drag. 38, ostgallisch. FK 93.
196 RS TS Teller Chenet 304. FK 10.
197 RS TS Teller Drag. 32 oder Chenet 303, ostgallisch. FK 51.
198 RS TS Schälchen Drag. 40. FK 51.
199 RS TS Teller Drag. 32. FK 93.
200 WS TS Schälchen? mit Glassschliff. FK 51.
201 Ganzes Profil Teller, bräunlicher Ton, Oberfläche rötlichbraun, am Stück anhaftender Mörtel. FK 51.
202 RS Teller, brauner Ton, Oberfläche braunrot. FK 51.
203 RS Glanztonbecher, evtl. Niederbieber 32, rötlichbrauner Ton, Aussenseite mit bräunlichem Überzug. FK 200.
204 RS Glanztonbecher oder Schälchen, rötlicher Ton, rotbrauner Überzug. FK 51.
205 RS Teller oder Backplatte, grauer Ton. FK 10.
206 RS Kragenrandschüssel, grauer Ton, Kragen und Innenseite brauner Überzug. FK 51.
207 RS Reibschüssel, beiger bis rötlicher Ton, Reibfläche nur leicht abgerieben. FK 200.
208 RS Reibschüssel, beiger bis rötlicher Ton, Innenkehle mit braunem Überzug, Kragen mit hell- und dunkelbraunen Streifen, gute Vergleiche in Seeb und Stutheien. FK 51.
209 Fragment Leistenziegel, Stempel mit vertieften Lettern L.XXI, Stempeltyp 1 oder 2 nach Jahn. FK 78.
210 Fragment Leistenziegel, Stempel mit vertieften Lettern L.XXI, wohl Stempeltyp 1 nach Jahn. FK 78.
211 Fragment Leistenziegel, Stempel mit vertieften Lettern ()XXI und Wischzeichen, Stempeltyp 1, 2 oder 9 nach Jahn. FK 217.
212 Fragment Leistenziegel, Stempel mit vertieften Lettern ()XI und Wischzeichen. FK 206.
213 Fragment Leistenziegel, Stempel mit vertieften Lettern ()XX(). FK 182.
214 Fragment Leistenziegel, Stempel mit erhöhten Lettern ()XICP?(). FK 78.
215 Antoninian des Tetricus I Colonia (271–274 n.Chr.). RIC V,2 S. 409 Nr. 106. Vs. Bärtiger Kopf mit Strahlenkranz n. r. Rs. (PA)XAV(G); Pax mit Zweig und Szepter n. l. AR; 2.19 g; 16.6–19.1 mm; 30°. A 3/2; K 3/3. FK 268. SFI 230-0074:4. MK – WI – LNr. 3330.
216 BS TS-Reibschüssel. Reibfläche sehr grob gemagert. FN 1087 (1976).
217 RS Topf mit Lippenrand. Rauwandige Drehscheibenware? Grauer Ton. FN 1143 (1976).
218 RS Schüssel. Hellbeiger Ton, aussen hell geschlickt. FN 1231 (1976).
219 RS Schüssel. Grauschwarzer Ton. FN 1346 (1976).
220 WS Topf. Grauer Ton, aussen dunkelgrau. FN 1099 (1976).
221 WS Schüssel. Grauer Ton. FN 1015 (1976).
222 WS Topf. Rotbrauner, im Kern grauer, klingend harter Ton. FN 1977 (1976).
223 WS Topf. Braungrauer Ton. FN 1169 (1976).
224 WS Becher? grauer Ton. FN 1035 (1976).
225 Ganzes Profil Backplatte. Rauwandige Drehscheibenware? Grauer Ton. FN 1289 (1976).
226 RS Backplatte. Rotbrauner, aussen grauer Ton. FN 1223 (1976).
227 BS Kochtopf. Rotbrauner, aussen grauschwarz. FN 1194 (1976).
228 BS Kochtopf. Grauer, schlecht gebrannter Ton. FN 1081 (1976).
229 BS Topf. Grauer, schlecht gebrannter Ton. FN 1073 (1976).
230 BS Dolium. Grauer Ton. FN 1210 (1976).
231 RS spätrömische Reibschüssel. Rotbrauner, im Kern grauer Ton. Evtl. aussen ehemals grün glasiert. FN 1245 (1976).
232 RS spätrömische Schüssel, orange-brauner Ton, weisse Einschlüsse. FN 1231 (1976).
233 RS spätrömische (Wein-?)Amphore aus Palästina. (Typ Karthago LRA 4). Brauner Ton. Am Rand aussen Tonschlicker. Ab 4. Jh. FN 1013 (1976).
234 Henkel spätrömische? Amphore Rotbrauner Ton mit viel Glimmermagerung und dunklen vulkanischen Partikeln, sehr hart gebrannt. FN 1182 (1976).
235 WS zylindrische Amphore aus Nordafrika. Orange-roter Ton, wenig Kalkmagerung, stark gebrannt. Oberfläche hell geschlickt (TG 76/77?). 4./5. Jh. FN 1111 (1976).

2 RÖMERSTR. 203

Für die Bemühungen um die Entzifferung des Graffitos Kat. 27 bin ich Herrn Prof. P. Frei, Zürich, und Herrn Prof. H. Herzig, Bern, zu Dank verpflichtet.

Sondierschnitt 1

Funde aus dem Silt Pos. 10
1 RS Drack 2. TS-Imit.Ton grau. FK 5.

Funde aus Grube Pos. 9
2 BS Schale. Südgall. TS. «LICIN[». Licinus von La Graufesenque. Schucany 1996, Taf. 17,305 (HP I.3). FK 5/24.

Funde aus dem Lehm Pos. 11
3 RS Drack 13. TS-Imit. Ton beige, aussen und innen roter Überzug. FK 14.
4 RS Topf. Ton grau. FK 14.

Funde aus der Planie Pos. 8
5 RS Drag. 30. Südgall. TS. FK 20.

6 RS, WS Drack 21. Ton beige, Spuren von rotem Überzug. FK 20.
7 RS Topf. Ton beige. FK 20.

Sondierschnitt 2

Funde aus dem Kies Pos. 20
8 RS Drag. 35/36. Südgall. TS. FK 3.
9 5 RS, WS, 2 BS Drag. 42. Südgall. TS. Graffito auf der Unterseite. FK 12.
10 RS Teller. Ton beige, stark glimmerhaltig, aussen und innen Spuren von rotem Überzug. FK 3.
11 2 RS, 12 WS, BS Kochtopf. Ton graubraun, kalkgemagert. Speisereste auf der Aussenseite. FK 3.
12 WS mit Henkelansatz. Krug oder Kanne. Glas, farblos. FK 1.

Funde aus dem Lehm Pos. 4
13 RS Drag. 15/17. Südgall. TS. FK 11.
14 RS Drack 20. Ton grau. FK 10.
15 WS Becher. Klass. Glanztonkeramik. Ton orangefarben, Überzug aussen schwarz, innen rot. Sog. geschlitzte Fäden in Barbotine. FK 10.
16 RS, 2 WS Kochtopf. Ton graubraun, quarz- und kalkgemagert. FK 10.

Funde aus dem Pfostenloch Pos. 5 (evtl. Pos. 20)
17 2 BS Drag. 27. Südgall. TS. FK 13.
18 RS Krug. Ton beige. Roth-Rubi 1979, 46 Taf. 10,101 (bes. flavisch); Castella/Meylan Krause 1994, 319 (80/100–200/250). FK 13.
19 RS Rippenschüssel. Glas, farblos. FK 13.

Funde aus dem Pfostenloch Pos. 6 (evtl. Pos. 20)
20 WS Drag. 29. Südgall. TS. FK 8.
21 BS Drag. 15/17. Südgall. TS. FK 8.

Funde aus der Planie Pos. 3
22 2 RS, 2 WS Drag. 37. Helvetische Imit. Ettlinger/Roth-Rubi 1979, 14f. Blattstab P2; stehender Bär T4; Akanthus P1, Bestiarius mit Fangseil nach r. M7; Hochuli-Gysel et al. 1991, Taf. 18,2; 20,10–12; Koller/Doswald 1996, 113 Taf. 73,1552. FK 2.
23 RS, 22 WS Faltenbecher. Ton beige, aussen und innen dunkelbrauner Überzug. Castella/Meylan-Krause 1994, Nr. 50; Koller/Doswald 1996, Taf. 76,1595–1596 (Baden AG, ABB, 2. SP). FK 2.
24 2 RS, 14 WS Faltenbecher. Ton orange, aussen und innen hellbrauner Überzug. FK 2.
25 2 RS, 6 WS Becher Kaenel 2. Ton orangebeige, aussen und innen roter Überzug. Riefeldekor, Barbotineblätter. Rychener 1984, Kat. 616. FK 2.
26 4 RS, WS Teller. Ton beige, roter Überzug innen und aussen auf dem Rand. FK 2.
27 WS Topf. Ton grau. Graffito «I TVB LII». «]I Tubus 52»? FK 12.
28 Mind. 21 WS, BS Krug. Helltonig. Plastische Leiste mit Einkerbungen, kreisrunde Erhebung. FK 2.
29 RS Räucherkelch. Ton orangefarben, weich, aussen und innen Spuren eines roten Goldglimmerüberzuges.
30 RS Räucherkelch. Ton orangefarben, weich, aussen und innen wenig Spuren eines roten Goldglimmerüberzuges. Russspuren am Rand. FK 7.
31 BS Becher. Lavez. Unterseite Scharnierspuren. FK 2.

Funde aus dem Baggerabtrag

32 2 RS, WS Drag. 37. Ostgall. TS. Werk des Cibisus/Verecundus. FK 26.
33 WS Drag. 37. Ostgall. TS. Werk des Cibisus/Verecundus. FK 26.
34 BS Drag. 33. Ostgall. TS. FK 26.
35 WS Becher. Klass. Glanztonkeramik. Ton hellbeige, Überzug braun. Hufeisen in Barbotine. FK 26.
36 WS Gesichtsurne. Ton rötlich beige, Reste von rotem Überzug. Nase mit Nasenlöchern, Augenbraue mit Einschnitten unterteilt, beide in einem Stück aufgesetzt. FK 26.
37 7 RS, 3 WS Reibschüssel. Rätischer Typ. Ton orange, Überzug hellrot. Sekundär verbrannt. FK 26.
38 2 RS Reibschüssel. Ton hellbeige. Stempel «RAE». Rychener 1984, 114 Kat. 525; 582. FK 26.
39 Spinnwirtel. Ton orange. Ziegel in sekundärer Verwendung. FK 26.

3 RÖMERSTR. 209

Phase 1

Funde von der OK des gewachsenen Bodens Pos. 129/15
1 RS Consp. 18. Ital. TS. FK 336.
2 Haken, U-förmig. Beide Enden abgebrochen. Eisen. Max. L. 7 cm; G. 12 g. Schaltenbrand Obrecht 1996, 191 Taf. 66,971; Koller/Doswald 1996, Taf. 94,2155. FK 347.

Funde aus dem Graben Pos. 121
3 RS Consp. 18. Ital. TS. FK 97.
4 RS Schüssel. Ton rötlich beige, aussen und innen auf dem Rand roter Überzug. Russspuren. FK 97.
5 RS Topf. Grautonig. FK 97.

Funde aus dem Graben Pos. 122
6 RS, BS Drack 21. Helltonig, Reste von rotem Überzug. FK 99.

Funde auf dem Kiesweg Pos. 99
7 RS Consp. 18. Ital. TS. FK 94.
8 WS Consp. 22. Ital. TS. FK 337.
9 2 RS Drack 21. Helltonig, Reste von rotem Überzug. FK 95/94.
10 RS Kochtopf. Ton grauschwarz, steinchengemagert. FK 337.
11 Augustus, As. Lugdunum, 10–3 v.Chr. RIC2, 57 Nr. 230. AE; 8,69 g; 24,4–26,7 mm; 60°. A 0/0, K 3/4. FK 95. **M 18**.

Phase 2a

Funde aus der Planie mit Gehniveau Pos. 76
12 RS Consp. 18. Ital. TS. FK 96.
13 RS Consp. 18. Ital. TS. Sek. verbrannt. FK 94.
14 RS Consp. 21. Ital. TS. FK 94.
15 RS Consp. 22. Ital. TS. FK 92.
16 RS Consp. 22. Ital. TS. FK 96.
17 RS, WS Drag. 15. Südgall. TS. FK 329.
18 2 RS Drack 2. TS-Imit. Helltonig, aussen und innen Reste von rotem Überzug. FK 91/92.
19 2 RS Drack 2. TS-Imit. Helltonig, aussen und innen hellroter Überzug. FK 92.
20 RS Drack 2. TS-Imit. Helltonig, aussen und innen braunroter Überzug. FK 92.
21 RS, WS Drack 9. TS-Imit. Grautonig, aussen und innen schwarzer Überzug. FK 325.
22 RS Drack 21. Helltonig, roter Überzug. FK 92.
23 6 RS, 23 WS, 3 BS Drack 21. Ton beige, weich, rotbrauner Überzug. FK 321/293/288.
24 RS, 3 WS Schüssel. Ton rötlich beige, rotbrauner Überzug. FK 96/336.
25 RS Napf. Helltonig, auf dem Rand roter Überzug. FK 329.
26 RS Schüssel. Ton rötlich beige mit grauem Tonkern, glimmerhaltig. Spuren eines roten Überzuges innen und aussen. FK 332.
27 RS Schüssel. Grautonig, aussen und innen schwarzer Überzug. FK 96.
28 2 RS Schüssel. Grautonig. FK 325.
29 RS Topf. Grautonig. Rollstempeldekor. FK 325.
30 WS Topf. Grautonig. Rädchendekor aus Reihen halbkreisförmiger Blätter. FK 329.
31 5 RS, 54 WS Krug. Ton beige mit grauem Tonkern, hart, aussen geglättet. FK 91/92/95.
32 2 RS Krug. Ton rötlich beige mit grauem Tonkern. FK 92/106.

33 RS Krug. Ton orangebeige. FK 92.
34 Bronze. FK 319. ME 72.
35 Spiralfibel. FK 326. FB 2.
36 (Schmiede-)Abfall. Wohl beide Enden abgebrochen, stark korr. Eisen. Erh. L. 4,2 cm; Br. 3,1 cm; G. 40 g. FK 331.

Funde aus dem Lehmestrich Pos. 274
37 Octavianus, As, halbiert. Vienna oder Copia, 38–36 v. Chr. RPC I, 151–152. AE; 8,35 g; 15,6–31,7 mm; ?; A 0/0, K 4/4. FK 363. M 11.

Funde aus der Steinansammlung Pos. 278
38 3 RS, WS Schüssel. SLT-Tradition. Ton rötlich beige mit grauem Tonkern. Rote Streifenbemalung. FK 322/336/329/ 325.
39 Leistenziegelfragm. mit Wischspur und Hundepfotenabdruck. FK 327.

Funde aus der Steinansammlung Pos. 284
40 9 WS Öllämpchen. Loeschcke Typ 1b. Schulter 3. Ton hellbeige, wenig Reste eines hellroten Überzuges. Wettfahrer auf Biga. Leibundgut 1977, 171 Nr. 238–239; A. Mlasowsky, Die antiken Tonlampen im Kestner-Museum Hannover (Hannover 1993) 208 Nr. 200; Farka 1977, 312 Nr. 1333–1334 (1. Hälfte 1. Jh.); 216 Nr. 335 (augusteisch-frühtiberisch). FK 318.

Phase 2b

Funde aus der Planie mit Gehniveau Pos. 50
41 RS Drag. 29. Südgall. TS. FK 77.
42 WS Drag. 29. Südgall. TS. Blattranke. FK 293.
43 2 WS Drag. 29. Südgall. Blattranke. TS. FK 295.
44 RS Hofheim 1. Südgall. TS. FK 86.
45 2 RS Drag. 15. Südgall. TS. FK 295.
46 4 RS, BS Drag. 24. Südgall. TS. Stempel: «IBV». Unleserlich. FK 288/295.
47 RS, 2 WS, BS Drack 9. TS-Imit. Ton rötlich beige, hart, rotbrauner Überzug aussen und innen. FK 295/329/297.
48 RS Drack 22. Ton hellbeige, Überzug hellrot. FK 295.
49 65 WS, 2 BS Flasche. SLT-Tradition. Ton orangefarben, hart, Oberfläche geglättet, rot weisse Streifenbemalung. FK 291/293/295/ 21/299/289/329/308/286/336/276/280/301.
50 4 WS. SLT-Tradition. Helltonig, rot-weisse Streifenbemalung, Metopenverzierung. FK 291/313.
51 2 RS Tonne. SLT-Tradition. Ton rötlich beige, weisse Streifenbemalung. FK 84/86.
52 2 RS, 29 WS Topf. Grautonig. Rollstempeldekor. FK 300/ 288/ 316/280.
53 RS Topf. Grautonig. Plastische Leiste mit Einkerbungen. FK 86.
54 RS, min. 25 WS, BS Krug. Helltonig. FK 292/301/295.
55 4 RS, 15 WS Krug. Helltonig. FK 84.
56 RS Krug. Helltonig. FK 291.
57 RS Kochtopf. Ton grauschwarz. FK 86.
58 RS Amphore Dressel 9 similis. Ton beige. FK 295.
59 Augustus für Tiberius, As. Lugdunum, 8–10 n.Chr. RIC I2, 58 Nr. 237 Typ. AE; 6,45 g; 25,1–26,4 mm; 300°. A 3/3, K 4/4. FK 365. M 19.
60 Hülsenscharnierfibel. FK 83. FB 15.
61 Siegelkapsel. Bronze. FK 317. ME 8.
62 Hakenschlüssel. Griff mit Ringende. Zweizinkig. Eisen. L. 10,7 cm; G. 88 g. Schaltenbrand Obrecht 1996, 175 Taf. 55,467–470. FK 303.
63 Beschlag, bandförmig, stark verrostet. Beide Enden abgebrochen. 1 Nagelloch. Eisen. Erh. L. 15,3 cm; Br. 4,2 cm; G. 222 g. FK 298.
64 Messerklinge? mit Griffangel, spiralförmig eingeschlagen. Eisen. L. 7,8 cm; G. 2 g. FK 298.
65 Stab mit vierkantigem Querschnitt, am Ende tordiert, andere Seite abgebrochen. Eisen. Erh. L. 11,6 cm; G. 7 g. Schaltenbrand Obrecht 1996, 164f. Taf. 49,228. FK 295.

Funde aus der Zwischenplanie Pos. 82 unter Pos. 50
66 WS Glas. Ultramarin mit opak weissen Schlieren. Fünfschilling 1985, 117 Taf. 11,116; 118–123. FK 87.

Phase 2b/3

Funde aus der Kiesschicht Pos. 117
67 WS Öllämpchen. Loeschcke Schulter 3a. Ton hellbeige, brauner Überzug. Motiv: Erotische Szene. Loeschcke 1919, 368 Taf. 8,89.I; H. Wetzel, Antike Tonlampen (Leipzig 1997) 22 Nr. 16 (Italische Produktion um 30–70 n. Chr.). FK 288.
68 WS Öllämpchen. Loeschke Schulter 7b. Ton hellbeige, brauner Überzug. Motiv: Rosette mit 8 Blütenblättern. Ähnlich Raselli-Nydegger 1998, Taf. 41,84; Goethert-Polaschek 1985, 273 ff. 242 ff. FK 288.

Phase 3

Funde aus der Planie Pos. 109
69 RS Drag. 29. Südgall. TS. FK 280.
70 RS Variante Drag. 17. Südgall. TS. Oswald/Pryce 1966[2], Taf. 42,9–11.FK 81.
71 4 RS, WS, 3 BS Drag. 18. Südgall. TS. «]ANVS». Aquitanus von La Graufesenque. Bechert/Vanderhoeven 1988, 25 Nr. 25. FK 264/307.
72 RS Drack 2. TS-Imit. Helltonig, hellroter Überzug. FK 81.
73 RS Drack 3. TS-Imit. Grautonig, innen und aussen schwarzer Überzug. FK 280/283.
74 RS Teller Drack 4. TS-Imit. Grautonig, aussen und innen schwarzer Überzug. FK 267.
75 3 BS Teller. TS-Imit. Grautonig, Reste von grauem Überzug. Stempel ungelesen. FK 264.
76 2 RS Krug. Helltonig. Roth-Rubi 1979, 61 Taf. 15, 137–139; Fischer 1957, Taf. 20,3 (1. Periode, tiberisch); Furger/Deschler-Erb 1992, 94 Abb. 70, 63 (Phase 14); Castella/Meylan-Krause 1994, 98 Nr. 339 (Dat. 50/70–130 n. Chr.). FK 288/267.
77 RS Kochtopf. Ton grauschwarz. Kammstrichdekor. Handgefertigt. FK 264.
78 2 RS, WS Dolium.Grautonig. FK 264/72.
79 WS Öllämpchen. Loeschcke Typ 1, Schulter 3. Ton weisslich beige, brauner Überzug. Motiv: Gehörnter Satyrkopf auf Palmette. Leibundgut 1977, 154. 246 Taf. 33,123; Loeschcke 1919, 362 Nr. 29–48 Taf. 5; Cahn-Klaiber 1977, 76. 356f. Taf. 23,239. Punktdekor auf Rand vgl. Goethert-Polaschek 1985, Taf. 67,618. FK 284.
80 RS Rippenschale Isings 3. Glas. Marmoriert weiss-violett. Rütti 1988, 22ff. Taf. 3,75.77; 22,75. FK 267.
81 BS, 4 WS Becher. Glas. Farblos grünlich. Rütti 1988, 46 ff. Taf. 10,764–765.769.773.783. FK 264.
82 Gaius für Germanicus, Dp. Roma, 37–41 n.Chr. RIC2, 112 Nr. 57. AE; 10,35 g; 28,4–29,1 mm; 180°. A 1/1, K 3/3. FK 360. M 31.
83 Tiberius für Divus Augustus, As. Roma, 34–37 n. Chr. RIC I2, 99 Nr. 83. AE; 4,58 g; 26,0–29,3 mm; 180°. A 3/4, K 4/4. FK 362. M 29.
84 Salbfläschchen. Bronze. FK 80. ME 16.
85 Bronze. FK 257. ME 109.
86 Hülsenscharnierfibel. FK 259. FB 22.
87 Ösenstift. Eisen. L. 9,9 cm; G. 30 g. Schaltenbrand Obrecht 1996, 178 Taf. 59,690–733. FK 282.
88 Ring. Eisen. G. 47 g. FK 268.
89 Spielstein. Stein. Gelblich braun. FK 284.

Funde aus dem Lehm Pos. 234
90 RS Drag. 29. Südgall. TS. FK 271.
91 WS Topf. Grautonig. Rädchendekor bestehend aus Reihen kleiner Dreiecke. FK 271.
92 4 RS, WS Krug. Helltonig. FK 271.

Funde aus dem Lehm Pos. 262
93 RS Drag. 15. Südgall. TS. FK 276.
94 3 RS, WS Drag. 27. Südgall. TS. FK 276/274.
95 BS Drag. 27. Südgall. TS. FK 276.
96 RS Drack 2. TS-Imit. FK 276.
97 2 RS, WS Drack 21. Helltonig, roter Überzug. FK 276.

Phase 3/4

Funde aus dem Graben Pos. 235
98 2 RS, WS, BS Dreifusstopf. Ton grauschwarz. Handgefertigt. FK 274/19.
99 Republik, As, halbiert. Roma?, 211–89 v.Chr. Typ Januskopf/Prora. AE; 8,38 g; 14,6–28,1 mm; 180°. A 4/4, K 3/3. FK 364. M 10. Rom, Republik.

Phase 4

Funde aus der Planie Pos. 49
100 Schiebeschlüssel. Griffende gerundet mit Loch; 2 Zähne erhalten, mittlerer abgebrochen. Eisen. L. 7 cm; G. 25 g. Schaltenbrand Obrecht 1996, 175 Taf. 56,489–495. FK 245.

Funde aus dem Gehniveau Pos. 46/48
101 RS Drag. 29. Südgall. TS. FK 237.
102 WS Drag. 30. Südgall. TS. FK 252.
103 7 RS, WS, BS Drag. 15. Südgall. TS. «OFMASC[». Masc(u)lus von La Graufesenque. FK 237/252.
104 RS Drag. 15. Südgall. TS. FK 71.
105 RS Drag. 18/31. Südgall. TS. FK 237.
106 RS Hofheim 9. Südgall. TS. Sekundär verbrannt. FK 252.
107 4 RS, 3 WS, BS Drag. 27. Südgall. TS. «CRESTIO». Crestus von La Graufesenque. Mary 1967, 161 Nr. 24–25; Taf. 31,24–25 (50–70 n. Chr.); Bechert/Vanderhoeven 1988, 47 Nr. 124–131. FK 253/212.
108 Henkel. Fragm. Ringhenkel-Kantharos. Bleiglasierte Ware. Ton rötlich beige, Überzug grün. Hochuli-Gysel 1998, Taf. 22,30–32. FK 71.
109 RS Drack 21. Helltonig. Reste von rotem Überzug. FK 67.
110 BS Schale. Frühe Glanztonkeramik. Ton weisslich grün, aussen und innen brauner Überzug, innen wenig Sandbewurf. FK 237.
111 RS, BS Schale. Grautonig, aussen und innen schwarzer Überzug. FK 253.
112 2 RS Becher. Grautonig, schwarzer Überzug. Lanzenspitzen in Barbotine. FK 237.
113 5 RS, 3 WS Topf. Grautonig. Aussenseite geglättet. FK 252/225.
114 5 WS Topf. Grautonig. Tupfen und Kreise in Barbotine. Fischer 1957, 16 Taf. 6,1. FK 252.
115 RS Topf. Grautonig. Aussenseite mit feinem Schlickauftrag. FK 67.
116 3 RS Topf. Grautonig. FK 237.
117 WS Glas. Wohl Teller. Streifenmosaikglas. Blau mit weissen Streifen. Rütti 1988, 15 Taf. 29,1.2; Rütti 1991, 120 f. FK 68.
118 RS, 2 WS Rippenschale. Glas. Marmoriert blauweiss. 1 RS sekundär verbrannt. FK 252/245.
119 Perle. Glas. Opak blau. Dm. 2,5 mm. FK 237.
120 Octavianus, As, halbiert. Vienna oder Copia, 38–36 v. Chr. RPC I, 151–152. AE; 7,55 g; 15,9–30,3 mm; ?. A 5/5, K 3/3. FK 358. M 12.
121 Hülsenscharnierfibel. FK 229. FB 21.
122 Ring. Bronze. FK 229. ME 49.
123 Gerät. Bronze. FK 229. ME 103.
124 Scharnier, lange, zungenförmige Rückenplatte. 2 Nagellöcher, 2 Nägel erhalten (von Rückseite her gelocht). Eisen. 2 Fragm. L. 5,4 cm; G. 28 g und L. 8 cm; G. 30 g. Schaltenbrand Obrecht 1996, 191f. Taf. 60,983–984. FK 234.
125 Haken mit Kugelende und eingehängtem Splint. Eisen. G. 40 g. FK 234.

Phase 5

Funde aus der Planie Pos. 71
126 2 RS Schüssel. Ton hellbeige. FK 198/170.
127 3 WS Schüssel. Grautonig. Reste von schwarzem Überzug. Blattranke in Barbotine. Lokale Produktion, Bäumlistr. 1a, Ofen 3. FK 191/198/199.
128 2 RS, 26 WS Krug. Helltonig. Ettlinger/Simonett 1952, Taf. 19,440. FK 61/144/157/168/170/178/181/198/199/209.
129 Phalere. Bronze. FK 193. ME 31.

Funde aus der Grabenverfüllung Pos. 204
130 WS Schüssel. Grautonig, schwarzer Überzug. Floraler Dekor in Barbotine. Lokale Produktion Bäumlistr. 1a, Ofen 3. FK 177.

Funde aus dem verbrannten Lehm Pos. 202
131 RS, WS Schüssel. Beigetonig. Floraler Dekor in Barbotine. FK 187/225.
132 RS Schüssel. Grautonig. Schwarzer Überzug. Blattranke in Barbotine. FK 187.
133 RS, 2 WS Topf. Grautonig, schwarzer Überzug. Planck 1975, 167 Taf. 57,9; Ettlinger 1949, Taf. 11,7. FK 187.
134 5 RS, 38 WS, 2 BS Topf. Grautonig. FK 185.
135 RS, WS Topf. Grautonig. Rädchendekor aus Zickzackreihen. FK 209.
136 RS Kochtopf. Grautonig. FK 187.

Funde aus der Grube Pos. 215
137 2 RS Drag. 29. Südgall. TS. FK 139/342.
138 WS Drag. 29. Südgall. TS. FK 212.
139 5 RS, 2 BS Hofheim 1. Südgall. TS. FK 212/216.
140 RS, BS Drag. 18. Südgall. TS. FK 272.
141 5 RS, 2 BS Hofheim 8. Südgall. TS. «]VS». FK 212/216/ 176.
142 RS Drag. 24. Südgall. TS. FK 272.
143 BS Drag. 24/25. Südgall. TS. «CENNATI». Cennatus von La Graufesenque. FK 272.
144 2 RS, 2 WS, 5 BS Drag. 27. Südgall. TS. Stempel unleserlich. FK 212/216/345.
145 2 RS Drack 19. Grautonig, innen und aussen schwarzer Überzug. FK 254.
146 RS Drack 20. Grautonig, schwarzer Überzug. FK 212.
147 RS Drack 21. Helltonig, hellroter Überzug. FK 254.
148 3 RS, 10 WS, BS Topf. Grautonig. Rollstempeldekor. Koller/Doswald 1996, Taf. 40,847 (SP1–3; um 70/80–90 n. Chr.). FK 254/272.
149 RS, 11 WS, 3 BS Krug. Ton rötlich beige. Rychener 1984, Kat. Nr. 101. FK 212/216/254.
150 2 RS, WS Kochtopf. Ton grauschwarz, steinchengemagert. FK 212.
151 2 RS Kochtopfdeckel. Grautonig. Grob steinchengemagert. Handgefertigt. FK 212.
152 RS Amphore Dressel 20. Ton rötlich beige. FK 272.
153 Backenscharnierfibel. FK 273. FB **29**.

Phase 6a

Funde aus der Planie Pos. 70
154 WS Knospenbecher Typ Isings 31. Glas. Ultramarinblau. Rütti 1988, 36 Nr. 664–665; Rütti 1991, 71 Taf. 45,992–995; L. Berger, Römische Gläser aus Vindonissa. VGP 4 (Basel 1960) 52f. Taf. 8,131–132; Fünfschilling 1985, 90 Taf. 12,128. FK 168.

Funde aus dem Lehmestrich Pos. 26
155 WS Drag. 29. Südgall. TS. Sekundär verbrannt. FK 163.
156 WS Drag. 37. Südgall. TS. FK 163.
157 RS Schüssel. Grautonig, Reste von grauem Überzug. FK 163.
158 2 RS Tonne. Helltonig, roter Überzug. Russspuren. FK 163.
159 RS Deckel. Lavez. FK 163.

Funde aus dem Graben Pos. 175
Untere Füllung:
160 RS Drag. 37. Ostgall. TS. FK 153
161 2 RS Schüssel. Helltonig. Floraler Dekor in Barbotine. Lokale Produktion Bäumlistr. 1a, Ofen 3. FK 157/225.
162 5 WS Rippenschüssel. Glas. Farblos, bläulich. FK 157/ 153.

Obere Füllung:
163 WS Drag. 37. Südgall. TS. FK 144.
164 BS Becher. Klass. Glanztonkeramik. Ton rötlich beige, aussen und innen brauner Überzug. FK 144.
165 WS Topf. Grautonig, Reste von schwarzem Überzug. Plastische Leiste. FK 144.

166 RS, WS Topf. Grautonig, schwarzer Überzug. FK 144.
167 Republik, As, halbiert. Roma?, 211–89 v.Chr. Typ Januskopf/Prora. AE; 10,73 g; 16,1–31,9 mm; ?; A 5/5, K 3/3. FK 357. M 9.

Funde aus dem Pfostenloch Pos. 194
168 2 RS Drag. 29. Südgall. TS. FK 164.
169 2 WS Drag. 29. Südgall. TS. Sekundär verbrannt. FK 335/192.
170 WS Drag. 29. Südgall. TS. FK 335.
171 WS Drag. 37. Südgall. TS. FK 164.
172 BS Tintenfass. Südgall. TS. Sekundär verbrannt. Oswald/Pryce 19662, Taf. 70,1. FK 242.
173 RS, WS Topf. Grautonig. FK 164.
174 RS Krug. Helltonig. Rychener/Albertin 1986, 78 Abb. 83,597 (Phase C). FK 179.
175 2 RS, 8 WS Krug. Helltonig. FK 164.
176 RS Kochtopf. Ton grau, innen rötlich. Sekundär verbrannt, deformiert. FK 242.
177 RS Dolium. Ton rötlich braun. FK 242.
178 RS Flasche, Krug oder Amphoriskos. Glas. Bläulich. Rütti 1988, Taf. 18,1300; Rütti 1991, Taf. 148,3871–3873. FK 164.
179 Melonenperle. Türkisfarbene Kieselkeramik. FK 165.
180 Hülsenscharnierfibel. FK 165. FB 20.

Funde aus der Füllung von Graben Pos. 135
181 RS Drag. 36. Südgall. TS. FK 134.
182 RS Drag. 42. Rychener 1984, 52. Nr. 412; Furger/Deschler-Erb 1992, 50 Abb. 34,15/20;16/25.26. Südgall. TS. FK 134.
183 Fibel. Bronze. FK 134.

Phase 6b

Funde aus der Planie Pos. 161
184 RS, 2 WS Drag. 37. Südgall. TS. FK 135.

Funde aus dem Graben Pos. 171
185 BS Drag. 29. Südgall. TS. «OF[». Sekundär verbrannt. FK 142.
186 2 RS Drag. 37. Südgall. TS. FK 142.
187 RS Drag. 35/36. Südgall. TS. FK 142.
188 RS Becher Kaenel 1. Klass. Glanztonkeramik. Ton orange, Überzug orangebraun. FK 132.
189 RS, 5 WS Tonne. SLT-Tradition. Beigetonig, rot-weisse Streifenbemalung. FK 142.
190 4 RS, 5 WS Tonne. Helltonig. Rot geflammt. FK 142.
191 RS Tonne. Grautonig. FK 142.
192 WS Tonne. Grautonig. Rädchendekor aus Dreieckreihen. Lokale Produktion Dorfstr. 7. Hedinger 1993, 87 f. Abb. 11. FK 139.
193 2 RS Kochtopf. Grautonig. Handgefertigt, überdreht. FK 142.
194 RS, 54 WS Amphore Typ Richborough 527. Ton gelblich grün, sehr grob steinchengemagert. Martin-Kilcher 1994a, 432 ff.; Taf. 234–235,5371–5381.5384–5392 (TG 66; Gruppe 14). FK 154/216/269/250/254.
195 RS, WS Topf. Lavez. Sekundär verbrannt. FK 142.
196 RS Flasche. Glas. Bläulich. Rütti 1988, Taf. 18,1205.1208; Rütti 1991, Taf. 103,2416–2422. FK 142.
197 RS Kanne, Krug oder Flasche. Glas. Bläulich. Rütti 1991, Taf. 150,3943.3945–4946. FK 139.
198 RS Fensterglas. Bläulich. FK 142.
199 Melonenperle. Fragm. Hellgrüne Kieselkeramik. FK 139.

Funde aus UK Graben Pos. 172
200 2 RS Schüssel. Ton beige, Spuren von rotem Überzug. Floraler Dekor in Barbotine. Lokale Produktion Bäumlistr. 1a, Ofen 3. FK 216.
201 RS, BS Kochschüssel. Ton grauschwarz, grob steinchengemagert. Handgefertigt. FK 216.
202 Ring. Bronze. FK 220. ME 44.
203 3 RS, 3 WS Mörser. Kalksandstein. Koller/Doswald 1996, 187. FK 142/158/219.

Phase 7

Funde aus der Hinterfüllung der Fassgrube Pos. 55
204 2 RS, BS Schüssel. Polychrom glasierte Irdenware. Innen grün glasiert. Auf der Randzone Wellenband, darunter florale Malhornverzierung. Auf dem Boden: «1648». FK 48.
205 RS, BS Schüssel. Polychrom glasierte Irdenware. Aussen und innen grün glasiert. Auf der Randzone innen Wellenband, darunter florale Malhornverzierung. FK 43.
206 RS Schüssel. Polychrom glasierte Irdenware. Aussen und innen grün glasiert. Innenseite Streifendekor. FK 48.

Funde aus der Verfüllung der Grube Pos. 55
207 RS Schüssel. Polychrom glasierte Irdenware. Aussen und innen grün glasiert. Innenseite Streifendekor. FK 40.
208 RS, BS Schüssel. Polychrom glasierte Irdenware. Aussen und innen braun glasiert. Aussenseite grüne Streifen und Wellenbänder, Innenseite grün marmoriert. FK 40.
209 RS Schüssel. Polychrom glasierte Irdenware. Aussen und innen braun glasiert. Weisser Dekor: Aussenseite Streifen und Wellenbänder, Innenseite marmoriert, in Randzone Wellenband. FK 40.
210 RS Schüssel. Polychrom glasierte Irdenware. Aussenseite braun glasiert; Innenseite weisslich grünviolett marmoriert. FK 40.

Funde aus Grube Pos. 83
211 RS Schüssel. Monochrom glasierte Irdenware. Innen grüne Glasur. FK 39.
212 BS Schüssel. Polychrom glasierte Irdenware. Aussenseite hellbraun; Innenseite grünbraunes florales Motiv. FK 39.

Funde aus Grube Pos. 41
213 RS Teller. Beidseitig monochrom weiss glasiert. FK 29.
214 RS, BS Schüssel. Polychrom glasierte Irdenware. Aussenseite hellbraun; Innenseite dunkelbraun mit weiss-grüner Bemalung. FK 29.
215 RS, BS Schüssel. Monochrom glasierte Irdenware. Beidseitig grün glasiert. FK 29.
216 WS Steinzeug. Smalte, blauglasiert. FK 34.
217 BS Becher. Glas. Grüngelb. FK 27.
218 Schwyz, Stand, Rappen. 1781–1782. Divo/Tobler 1974, 136 Nr. 589 e oder f. CU; 1,45 g; 16,8–17,9 mm; 180 . A 2/2, K 3/3. FK 354. M 56.

Funde aus Grube Pos. 20
219 RS Schüssel. Polychrom glasierte Irdenware. Aussenseite grün; Innenseite hell- und dunkelgrüne Bemalung. FK 25.
220 Köpfchen. Porzellan. Wohl Deckelknauf. FK 25.

Diverse Funde

221 11 WS Drag. 45. Mittelgall. TS. Pferdehirt 1976, 58ff. Taf. 10,A 482 (Randform 2). FK 133/125.
222 RS, WS, BS Drag. 38. Ostgall. TS. Pferdehirt 1976, 56 Taf. 9,A 439. FK 125/133.
223 WS Drag. 37. Ostgall. TS. Kreis des Cibisus und Verecundus. Lutz 1968, 112 P 25 (Flötenspieler); 106 P 25 (Amor); 71 L 2 (Trennlinie). FK 114.
224 BS Drag. 29. Schwarze Sigillata. Rest eines Füllmotivs. V. Vogel Müller, Graue Reliefschüsseln der Form Dragendorff 29 aus Augst und Kaiseraugst. Ein Import aus Aoste (Isère) F? In: Mille Fiori 1998, 109 Abb. 3,21. FK 24.
225 WS Öllämpchen. Ton weisslich beige, rotbrauner Überzug. Rosette mit Eierstab auf Rand. Farka 1977, Taf. 22,708. Streufund.
226 Melonenperle. Fragm. Türkisfarbene Kieselkeramik. FK 348.

4 Römerstr. 213/215

Phase 1, Südteil

Funde aus Grube 5 (Schicht Pos. 490)

1 RS Consp. 19. Ital. TS. Ton rötlich beige mit dichten Kalkpartikeln, im Bruch porös, Überzug rotbraun, glänzend. FK 245.
2 Bandfragm. Evtl. Werkabfall. Bronze. FK 245. ME 66.

Funde aus Grube 1 (Schicht Pos. 453)
3 Augustus, As. Nemausus, 10 v.–10 n. Chr.. RIC I2, 51 Nr. 158. AE; 12,54 g; 26,5–16,9 mm; 270°. A 2/2, K 2/2. FK 212. M 15.

Funde aus Grube 2 (Schicht Pos. 465)
4 Nagelfragm. Eisen, korr. erh. G. 9 g. FK 208.

Phase 1, Nordteil

Funde aus Grube Pos. 177 (unterste Verfüllung Pos. 199)
5 RS Drack 21. Ton beige, aussen und innen Spuren von hellrotem Überzug. FK 126.

Funde aus der Kulturschicht Pos. 152
6 2 RS Drack 21. Ton beige, weich, aussen roter Überzug. FK 123.
7 RS Schüssel. Grautonig, hart, aussen geglättet. FK 108.

Phase 2, Südteil

Funde aus dem Brandversturz Pos. 482 über Grube 4
8 Balkennagelfragm. Eisen. Korr. L. 5,8 cm. G. 18 g. FK 222.

Funde aus der Brandplanie Pos. 431
9 RS Consp. 22. Ital. TS. Sekundär verbrannt. FK 221.
10 RS Topf. Helltonig, grauer Tonkern. FK 221.

Funde aus der Kulturschicht Pos. 428
11 WS Topf. Grautonig. Rädchendekor aus Quadraten und Rechtecken. FK 206.

Phase 2, Nordteil

Funde aus der Kulturschicht Pos. 27/28
12 WS Drag. 29. Südgall. TS. Sekundär verbrannt. Mittelgeripptes Spitzherzblatt wie Mary 1967, Taf. 8,22 (40–55 n. Chr.); Knorr 1919, Taf. 69 C. FK 113.
13 RS Consp. 18. Ital. TS. Ton orange, hart, Überzug hellorange, seidenmatt. FK 114.
14 RS Drag. 24. Südgall. TS. FK 237.
15 2 BS Drag. 27. Südgall. TS. FK 114.
16 BS, Form unbestimmbar. Südgall. TS. Sekundär verbrannt. «D]ARRAF». Darra von La Graufesenque. Mary 1967, 161 Nr. 29 Taf. 31,29. FK 91.
17 RS Drack 21. Ton beige, weich, Oberfläche stark verrieben, aussen wenig Reste von rotem Überzug. FK 237.
18 BS. Ton hellbeige, sehr hart; aussen und innen gelbliche Glasur. Mittelgallien. Desbat 1986, Taf. 8,7 (Fuss von Ringhenkel-Kantharos Déch. 59). FK 114.
19 RS Tonne. Ton grau, hart, aussen geglättet. FK 113.
20 RS Topf. Ton grau, Oberfläche aussen geglättet, dunkelgrau, glänzend. Ansatz von Riefeldekor. FK 114.

Phase 3, Südteil

Funde aus den Planien Pos. 435/492/438/425
21 5 RS, 7 WS Drag. 29. Südgall. TS. Oberer Fries: Umlaufende Wellenranke; unterer Fries: Blattranke. Mary 1967, Taf. 10,9. Dat. 45–60 n. Chr. FK 204/194/248 (Lesefunde)/198/193, 204 (4 Fragm.), 201 (2 Fragm.), 241.
22 WS Drag. 29. Südgall. TS. Unterer Fries: Blattranke. FK 201.
23 RS Drag. 15/17. Südgall. TS. FK 228.
24 2 RS Drack 4. TS-Imit. Ton beige, Überzug braun. Sekundär verbrannt. FK 204.
25 2 WS. SLT-Tradition. Helltonig, aussen dichtes braunes Gittermuster. FK 202.
26 2 RS Teller. Wohl Imit. von Drack 9. Grautonig. Zwei breite Riefelreihen. FK 201/202.
27 WS. Helltonig. Rädchendekor aus halbkreisförmigen Blättern. FK 201.
28 WS. Grautonig. Rädchendekor aus dreieckigen Einkerbungen. FK 236.
29 3 WS. Grautonig. Rädchendekor. Reihen kleiner Quadrate. FK 147.
30 RS Schüssel. Grautonig, grauer Überzug. FK 201.
31 RS Kochschale. Grautonig, grob steinchengemagert. FK 201.
32 2 RS, 2 WS Kochschale. Grautonig, grob steinchengemagert. Handgetöpfert. FK 202.
33 Octavianus, As, halbiert., Vienna oder Copia, 38–36 v. Chr. RPC I, 151–152. AE; 6,62 g; 16,0–29,6 mm; 195°. A 4/4, K 3/3. FK 204. M 13.
34 Tiberius für Divus Augustus, As. Roma 22/23–30? n. Chr. RIC I2,99 Nr. 81. AE; 11,16 g; 27,9–29,7 mm; 135°. A 2/2, K 4/4. FK 213. M 22.

Funde aus dem Holzboden Pos. 439
35 Ösenstift oder Griffteil. Eisen, korr. Erh. L. 11, 8 cm, G. 125 g. FK 223.

Phase 3, Nordteil

Funde aus der Planie Pos. 25/26
36 RS Hofheim 8. Südgall. TS. FK 107.
37 RS Drag. 24. Südgall. TS. FK 102.
38 RS Drag. 27. Südgall. TS. FK 102.
39 WS Drack 21. Helltonig, aussen orangefarbener Überzug. Unter der Randzone Riefelband, darunter flächiger Dekor aus kleinen Kreispunzen. Fischer 1957, 22 Taf. 12,8. FK 96.
40 RS Drack 20. Grautonig, aussen Reste von schwarzem Überzug. FK 107.
41 RS Tonne. SLT-Tradition. Helltonig. Reste eines Streifens roter Bemalung. FK 107.
42 RS Reibschüssel mit Kragenrand. Ton hellbeige. FK 96.

Funde aus der Kulturschicht Pos. 24/124
43 RS Drack 2. TS-Imit. Ton beige, aussen und innen Reste von rotem Überzug. Sekundär verbrannt. FK 62.
44 RS Drack 2. TS-Imit. Ton grau, sehr hart, aussen und innen schwarzer Überzug, hochglänzend. Feine Randriefelung. Aussen Kalksinterspuren. FK 78.
45 RS Drack 20. Ton grau, hart, aussen und innen schwarzer Überzug. FK 62.
46 RS, WS Schälchen. Frühe Glanztonware. Ton weisslich gelb, hart, aussen und innen Körnung und fleckig dunkelbrauner Überzug. FK 62.
47 BS Kochtopf, handgetöpfert. Ton grau steinchengemagert, sehr dickwandig. Aussen Spuren von Kammstrichdekor. FK 62.

Funde aus dem Lehmkranz um Feuerstelle Pos. 131
48 RS, WS Schälchen. Frühe Glanztonware. Ton weisslich gelb, aussen und innen fleckig dunkelbrauner Überzug. Auf der Aussenseite Schlickauftrag. FK 79/96.

Phase 4, Südteil

Funde aus der Planie Pos. 436
49 Sichelfragm. Eisen. L. 13 cm; G. 47 g. Pietsch 1983, Taf. 25,545. FK 105.

Funde aus dem Lehmestrich Pos. 424/134
50 BS, WS Drag. 29. Südgall. TS. Oberer Fries: Reste von Blattschuppen, wohl von Wellenranke. Unterer Fries: Hängende Girlanden mit Füllseln, alternierend Ranke mit dreieckigem Blatt wie Knorr 1919, Taf. 30,21 und Vogel wie Knorr 1919, 27 Abb. 13 Mitte.

Vgl. Anordnung ebd., Taf. 97, C. Datierung: neronisch-vespasanisch. FK 247.
51 2 WS Drag. 29. Südgall. TS. Oberer Fries: Wellenranke mit Blattschuppen. Unterer Fries: Blattranke aus Blättern mit Einbuchtungen am Rand und vertieften Rippen. Blatt: Knorr 1919, Taf. 76,D; Taf. 45,41; Mary 1967, Taf. 4,12; 12,2; 6,9. Blattschuppen: Mary 1967, Taf. 3,24; Knorr 1919, Taf. 20, F. Anordnung: Planck 1975, Taf. 93,4.5. Datierung: vorflavisch-vespasianisch. FK 243/195.

Funde aus dem Lehmestrich Pos. 488
52 Fragm. Blei. Unregelmässig geformt. G. 25 g. FK 242.

Phase 4, Nordteil

Funde aus der Kulturschicht Pos. 19
53 2 RS Drag. 29. Südgall. TS. FK 39.
54 RS Drag. 29. Südgall. TS. FK 39.
55 5 WS Drag. 29. Südgall. TS. Diverse Gefässe. Blattmotive und Perlstab. FK 39.
56 3 RS, WS Drag. 18. Südgall. TS. FK 38.
57 RS Hofheim 9. Südgall. TS. FK 39.
58 3 RS Drag. 27. Südgall. TS. FK 39.
59 RS Topf. Ton beige mit grauem Tonkern. FK 19.
60 RS, WS Kochtopf mit Rillendekor. Ton grau, hart. FK 39.
61 Gewicht. Blei. Kreisrund, Dm. 2,8 cm mit Zentralloch Dm. 0,5 cm, Br. 0,7 cm, G. 45 g. Zanier 1992, Taf. 38, D3; Cunliffe et al. 1971, 144f. Abb. 66,8–11. FK 39.
62 Fragm. Blei. Unregelmässig geformt, L. 3,4 cm, G. 7 g. FK 15.

Feld 3, Phase 1

63 RS Drag. 29. Südgall. TS. FK 132.
64 RS Drag. 29. Südgall. TS. FK 188.
65 WS Drag. 29. Südgall. TS. Oberer Fries: Umlaufende Wellenranke mit Stengelknoten, aus denen zwei gestielte Herzblätter abzweigen. Ranke gefüllt mit Blattschuppen. Mary 1967, Taf. 18,14. FK 172.
66 WS Drag. 29. Südgall. TS. Spirale mit Rosette im Mittelpunkt, gestielte Tropfenknospe. Mary 1912, Taf. 20,1. FK 132.
67 WS Drag. 30. Südgall. TS. Blattgirlande mit gefiedertem Blatt wie Knorr, Töpfernamen Taf. 34,C. FK 132.
68 RS Drag. 18. Südgall. TS. FK 132.
69 RS Hofheim 8. Südgall. TS. FK 186.
70 RS Drag. 24. Südgall. TS. FK 132.
71 RS Drag. 27. Südgall. TS. FK 187.
72 BS Schale. Südgall. TS. In Kreis eingeschriebener Rechteckstempel «AVII». Avus von La Graufesenque. Mary 1967, 158 Nr. 43 Taf. 29,43. FK 132.
73 2 RS Drack 4. TS-Imit. Ton beige, Überzug rot, sekundär verbrannt. FK 183/184.
74 RS Drack 2/3. TS-Imit. Ton weisslich beige, Überzug hellrot, z.T. abgerieben, sekundär verbrannt. FK 187.
75 RS, 4 WS Drack 21. Ton beige, Überzug hellrot. 2 Riefelbänder. FK 186/187.
76 BS Ringhenkel-Kantharos. Ton grau, aussen und innen grün glasiert. Mittelgallien. Hochuli-Gysel 1998, 69 Taf. 22,32. FK 132.
77 RS Schälchen. Frühe Glanztonware. Ton hellbeige, aussen und innen dunkelbrauner Überzug. Lyon-Ware? Greene 1979, 25 Abb. 8,20.5. FK 187.
78 RS, WS Topf. Grautonig, aussen schwarzer Überzug. FK 132.
79 2 WS. Grautonig, aussen schwarzer Überzug. Einzeiliger Rädchendekor. FK 187.
80 2 RS, 10 WS Topf. Ton grau, hart. Aussen in Streifen angeordneter Rädchendekor in Form von Zickzacklinien. Planck 1975, 164ff. Taf. 47,1–12 (Kastell III, Grube A); Taf. 58,15; 59,2–3 (Kastell III, Grube B). FK 132.
81 WS Topf. Grautonig. Rädchendekor in Form flächendeckender Rauten. FK 187.
82 RS, WS, BS Töpfchen. Grautonig, aussen geglättet. 2 Riefelbänder. FK 184/186, 172.
83 RS Topf. Grautonig. Rillendekor. FK 132.
84 3 RS, 3.WS, vierstabiger Henkel zweihenkliger Krug. Rand gerillt, leicht unterschnitten, am Henkelansatz umlaufender gerillter Wulst. Ton beige, glimmerhaltig, hart. Ritterling 1912, 288 Abb. 66,2 (Typ 65); Fischer 1957, Taf. 20,2; Ettlinger 1949, Taf. 26,2. FK 182/189.
85 RS, 3 WS, dreistabiger Henkel einhenkliger Krug mit Wulstrand. Ton weisslich beige, hart. Ulbert 1959, Taf. 8,36. FK 183.
86 BS Kochteller, handgetöpfert. Ton graubraun, grob steinchengemagert. Standring sekundär angesetzt, aus Aussenseite zahlreiche Fingerabdrücke. Durchmesser nicht ganz rund. FK 132.
87 WS Rippenschale. Glas, farblos mit weissen Schlieren. FK 132.
88 Ring. Bronze. FK 190. ME 10.

Feld 3, Phase 2

89 RS Drag. 29. Südgall. TS. FK 127.
90 WS Drag. 29. Südgall. TS. Doppelvolute mit Rosetten, Blattmotiv. Knorr 1919, Taf. 67,A. FK 179.
91 RS Drag. 30. Südgall. TS. Eierstab vgl. Planck 1975, Taf. 54,1 (flavisch). FK 127.
92 2 RS, WS Drag. 15/17. Südgall. TS. FK 127.
93 RS Hofheim 9. Südgall. TS. FK 127.
94 2 RS Drag. 27. Südgall. TS. FK 127.

Feld 3, Phase 3

95 WS Drag. 37. Südgall. TS. Metopendekor. Laufendes Tier, Blattschuppen und Perlstäbe, unterer Abschluss S-Motive. Heiligmann 1990, Taf. 4,13 (Häsenbühl, neronisch-vespasianisch). FK 85.
96 RS Drag. 15/17. Südgall. TS. FK 85.
97 2 RS Drag. 18. Südgall. TS. FK 85.
98 3 RS, 7 WS, BS Schale. Ton beige, Aussenseite hellbraun marmoriert. Fischer 1957, Taf. 29,8; Castella/Meylan-Krause 1994, 55 Nr. 164 (50–100?, bemalt). FK 85/127/183/122.
99 2 RS zweihenkliger Krug. Ton weisslich beige, hart. Furger/Deschler-Erb 1992, Phase 4/54; Rychener/Albertin 1986, Taf. 21,235. FK 85.
100 Ösenstift mit zwei Kettgliedern. Eisen mit Holzresten. Korr., L. 13,5 cm. G. 52,5 g. Schaltenbrand Obrecht 1996, Taf. 59,690–733. FK 85.
101 Spitzmeissel oder Abfallstück? Eisen. Korr., L. ca. 10 cm. G. 18,5 g. Pietsch 1983, Taf. 12,238–256. FK 179.

Sonstige Funde

102 BS Drag. 15/17. Südgall. TS. Sek. verbrannt. «OFING[». Ingenuus von La Graufesenque. Mary 1967, Taf. 32,11; Ulbert 1959, Taf. 75,54–55. FK 194.
103 RS Drack 21. Ton grau, aussen und innen dunkelgrauer Überzug. Am Rand Riefelung, auf Wandung Rädchendekor aus Reihen von Winkelhaken. FK 122.
104 BS Tiegellämpchen. Loeschcke Typ XIII. Ton beige, aussen braunroter Überzug. Loeschcke 1919, 305f. Taf. 3,1038; Leibundgut 1977, 58 Nr. 976–979; Taf. 17 (1.–3. Jh. n. Chr.). FK 42.

5 RÖMERSTR. 221

Phase 1a

Funde aus dem sog. gewachsenen Boden Pos. 79 nach dem ersten Abstich
1 BS Topf. Handgetöpfert. Ton fleckig braun, grob steinchen- und glimmergemagert. FK 143.
2 RS Schälchen. Ton braungrau, Kalkpartikel. Schucany 1996, 85 Abb. 71. FK 123.
3 Silexabschlag. G. 75 g. FK 123.

Funde aus der Pfostengrube Pos. 89
4 Klopfstein. G. 491 g. FK 139.

Zum Inhaltsverzeichnis

Phase 2a

Funde aus dem Graben Pos. 77
5 2 RS Consp. 20.1. Ital. TS. Consp. 86 f. Taf. 18; Ettlinger 1983, 178 Taf. 23,36. FK 119; 84.
6 BS Teller. Ital. TS. FK 119.
7 RS Drack 1. TS-Imit. Ton beige, fein, wenig Reste von rotem Überzug. Drack 1945, 62 f. Taf. 1,1–4. FK 119.
8 2 RS Drack 21. Helltonig, rotbrauner Überzug. FK 107.
9 3 WS Becher oder Topf. Ton orangebraun, fein; aussen und innen dunkelbrauner, matter Überzug. Dekor aus senkrechten Strichbündeln. Vogt 1948, 166f. Abb. 35, 12. FK 119; 107; 60.
10 3 RS, 2 WS Dolium. Grautonig. Castella/Meylan-Krause 1994, 151/1 Datierung 1–50 n.Chr. Ettlinger 1949, 92 Taf. 12,8; H. Koller, Ein Töpferofen aus augusteischer Zeit in Vindonissa. JbGPV 1990, 13 Taf. 12,119. FK 107, 84; 106.
11 Fragment einer Hackamore. Bronze. FK 124. ME 33.

Phase 2b

Funde aus dem umgelagerten gewachsenen Boden Pos. 44
12 RS Drag. 29. Südgall. TS. FK 111.
13 BS Drag. 15/17. Südgall. TS. FK 112.
14 BS Drag. 27. Südgall. TS. FK 60.
15 RS Drack 3. TS-Imit. Grautonig, aussen und innen schwarzer Überzug. FK 111.
16 2 RS Drack 20. Grautonig, aussen und innen Reste von schwarzem Überzug. Innen am Rand zwei Reihen Riefelbänder. FK 60/111.
17 RS, WS Töpfchen. Helltonig. Plastische Leiste am Hals. FK 111.
18 WS Topf. Grautonig. Rädchendekor. Reihen kleiner Quadrate durch Bänder in Zonen gegliedert. FK 112.
19 RS Flasche. Helltonig, aussen geglättet. FK 111.
20 RS Krug. Helltonig. Einhenklig. Roth-Rubi 1979, Taf. 3,26. FK 53.
21 Riemenscharnier von Schienenpanzer. Bronze. FK 48. ME 24.
22 Speerschuh. Bronze. FK 56. ME 22.

Funde aus der Kulturschicht Pos. 71
23 2 BS Teller. Ital. TS. FK 108.
24 2 BS Drag. 15/17. Südgall. TS. Sekundär verbrannt. FK 84.
25 2 RS Drag. 27. Südgall. TS. FK 84.
26 2 RS Drack 2. TS-Imit. Ton rötlich beige, aussen und innen Spuren von hellrotem Überzug. Riefelbänder. Drack 1945, 65ff. FK 108.
27 2 RS Drack 3. TS-Imit. Grautonig, aussen und innen schwarzer Überzug. Drack 1945, Taf. 2,6–16; 3,1–9; 4,1–7. FK 84.
28 RS, BS Drack 11. TS-Imit. Helltonig, aussen und innen Reste von rotem Überzug. Drack 1945, 80ff. Taf. 8. FK 84.
29 RS Drack 21. Helltonig, roter Überzug. FK 108.
30 RS Drack 21. Helltonig, rotbrauner Überzug. FK 84.
31 5 RS, 2 WS Schale. Südgall. TS-Imit. Ton beige, weich, aussen und innen rotbrauner Überzug. Oberfläche innen gekörnt. Dekor in positivem Relief: Unter dem Rand Perlstab, darunter alternierend Andreaskreuz und florale Motive. Greene 1979, 50–55 Abb. 21,1.3.5; Schindler-Kaudelka 1975, 146 Form 131 Taf. 32,131; L. Ohlenroth in: Ettlinger/Simonett 1952, 42ff. Taf. 1,226; 43 Nr. 1,30 (Andreaskreuz); Abb. 18,31 (Blüte); A. Hied, Jahresh. Österr. Arch. Inst. 26, 1930, 135 Abb. 59 (Bregenz, mind. 5 Gefässe); Mayet 1975, 118 f. Taf. 77,657. FK 84.
32 RS, WS Schälchen. Frühe Glanztonware. Ton gelbgrün, aussen und innen matter, brauner Überzug. Körnung aussen und innen. FK 84.
33 RS Teller. Grautonig, aussen und innen schwarzer Überzug. FK 108.
34 RS Topf. Grautonig. FK 108.
35 RS, WS Topf. Grautonig. Rädchendekor aus kleinen Quadraten. FK 84.
36 RS, WS Topf. Grautonig. Riefeldekor. FK 84.
37 RS Krug. Helltonig. Castella/Meylan-Krause 1992, 89 Nr. 303/2. FK 84.
38 RS Kochtopf. Grautonig, quarzgemagert. FK 108.
39 WS Topf. Prähistorische Keramik. Helltonig, steinchengemagert. Plastische Verzierung. FK 84.
40 Hülsenspiralfibel. FK 81. FB 12.
41 Hülsenspiralfibel. FK 85. FB 11.
42 Lochhalsnadel Horizont Weiningen. Bronze. L. 17,5 cm; G. 19 g. Bronze B. Mittlere Bronzezeit. Ch. Osterwalder, Die mittlere Bronzezeit im Schweizerischen Mittelland und Jura. Monographien zur Ur- und Frühgeschichte der Schweiz 19 (Basel 1971) 22; 29f. Taf. 18,3.4. FK 90.
43 Beschlag, bandförmig. 2 Nagellöcher. Enden abgebrochen. Eisen. Erh. L. 4,4 cm; G. 2 g. Schaltenbrand Obrecht 1996, Taf. 65,957. FK 84.

Funde aus der Grube Pos. 66
44 4 RS, 4 WS Drag. 29. Südgall. TS. Oberer Fries: Metopeneinteilung: Alternierend Medaillon mit Vogel Oswald 2249 und 2227 A und aufgetürmte Blattspitzen. Vgl. Mary 1967, Taf. 9,13 (40–60 n.Chr.). Unterer Fries: Reihe aus Rosettenmedaillons, darüber Reihe aufgetürmter Blattspitzen. FK 91/126.
45 RS Drag. 29. Südgall. TS. Oberer Fries: Laufende Rosettenranke. FK 126.
46 2 RS Drag. 29. Südgall. TS. Oberer Fries: Reste von Blatt. FK 126/113.
47 3 WS Drag. 29. Südgall. TS. Oberer Fries: Laufende Rosettenranke vgl. Mary 1967, Taf. 14,13 (50–65 n. Chr.). Unterer Fries: Medaillons mit Tieren, alternierend zwei Löwen nahe Oswald 1417 und von Hund Oswald 1968 angegriffener, nach r. springender Hirsch Oswald 1737. Zwischen den Medaillons floraler Dekor: Ranke, sich überkreuzende gefiederte Blätter mit Vögelchen vgl. Mary 1967, Taf. 9,19 (40–60 n. Chr.). FK 126.
48 WS Drag. 29. Südgall. TS. Oberer Fries: Aufgetürmte Blattspitzen. FK 126.
49 2 WS Drag. 29. Südgall. TS. Aufgetürmte Fächerbüschel. FK 126.
50 2 BS Drag. 29. Südgall. TS. «OF CR[ESTIO]». La Graufesenque. Mary 1967, 161 Nr. 27 (50–80 n.Chr.); Rychener/Albertin 1986, 119 Nr. 758. FK 126.
51 RS Drag. 37. Südgall. TS. Eierstab mit r. angelehntem, gefiedertem Stäbchen. FK 126.
52 2 RS Hofheim 12. Südgall. TS. FK 126.
53 RS, BS Drag. 24. Südgall. TS. FK 126.
54 RS Drack 19. Grautonig, aussen und innen metallisch schwarzer Überzug. FK 126.
55 BS evtl. Drack 19. Grautonig, aussen und innen glänzend grauer Überzug. FK 126.
56 2 WS Topf. Grautonig. Barbotinetupfen. FK 126.
57 2 RS Krug. Helltonig. Einhenklig. Roth-Rubi 1979, Taf. 4,40; Castella/Meylan-Krause 1994, 90, 305/1. FK 126.
58 RS Krug. Helltonig. Zweihenklig. Roth-Rubi 1979, Taf. 14,124. FK 126.
59 BS, 4 WS Topf. Farbloses Glas. Gefalteter Standring mit leicht hochgewölbtem Boden. Rütti 1991, Taf. 96,222 (Isings 67c). FK 126.

Funde aus dem Graben Pos. 74
60 Werkzeug. Eisen. Evtl. Schaber mit dreieckigem Blatt und Angel. L. 8,2 cm; G. 27 g. Pietsch 1983, Taf. 20,473; G. Jacobi, Werkzeug und Gerät aus dem Oppidum von Manching. Die Ausgrabungen in Manching 5 (Wiesbaden 1975) Taf. 80,1576. G. 27 g. FK 88.

Phase 3

Funde aus dem Graben Pos. 75
61 7 RS, 3 WS Drack 20. Grautonig, schwarzer Überzug. FK 109/71/76/101/33.
62 RS Schüssel. Grautonig. FK 109.
63 RS Teller. Grautonig. Sekundär verbrannt. FK 109.
64 RS, 3 WS Tonne. Helltonig. FK 109.
65 2 RS, 4 WS Topf. Grautonig. Plastische Schulterleiste. Rädchendekor aus Reihen kleiner Quadrate, durch Bänder zonenartig gegliedert. FK 109/76.
66 RS Topf. Grautonig. Rädchendekor aus Zickzackreihen. FK 109.

67 2 RS Topf. Prähistorische Keramik. Grautonig. C. Fischer, Innovation und Tradition in der Mittel- und Spätbronzezeit. Monographien der KA Zürich 28 (Zürich/Egg 1997) Taf. 46,173; 49,197. FK 109.

Funde aus dem unteren Kies Pos. 41.2
68 WS Drag. 30. Südgall. TS. Eierstab mit l. angelehntem Blütenstäbchen. 2 Krieger Oswald 1013 G unter Rankenbogen. Ulbert 1969, 28 Taf. 8,7 («Masclus», claudisch-neronisch); Mees 1995, 84f. Taf. 113,15 («Masclus», claudisch-neronisch). FK 97.
69 RS Drag. 29. Südgall. TS. Rest einer Ranke. FK 97.
70 2 BS, Teller. Ital. TS. Boden Consp. B 2.7 zu Formen Consp. 4.6; 6; 12; 18–21. Conspectus 156f. FK 97/94.
71 4 RS, 2 WS, BS Drag 24. Südgall. TS. «IVCVND». Uretrograd. Ev. selber Iucundus wie Ulbert 1959, 39 Nr. 69 (Aislingen), 41 Nr. 70 (Burghöfe). FK 78.
72 3 RS, BS Drag 24. Südgall. TS. FK 119/52.
73 RS Drack 4. TS-Imit. Ton beige, Reste von rotem Überzug. Drack 1945, 71ff. Taf. 5,1–17. FK 97.
74 2 RS Drack 11 A. TS-Imit. Ton beige, aussen und innen Reste von rotem Überzug. Drack 1945, 80 ff. Taf. 8,1–6. FK 97.
75 RS Drack 13 A. TS-Imit. Ton rötlich beige, Reste von rotem Überzug. Drack 1945, 84 f. Taf. 9,17. FK 97.
76 2 RS, 6 WS, BS Schälchen. Frühe Glanztonkeramik. Ton weisslich gelb, aussen und innen fleckig dunkelbrauner Überzug. Aussenseite mit Schlickbewurf. Greene 1979, 13 ff. (Lyon Ware). FK 97; 52; 72.
77 RS Schüssel. Grautonig. FK 97/76.
78 RS, WS Amphore Dressel 9 similis. Ton weisslich beige. Lyon/mittleres Rheintal. Martin-Kilcher 1994a, 414 f. Taf. 211 ff. (Gruppe 10). FK 97.
79 Nagel. Bronze. FK 97. ME 41.
80 Tiberius für Divus Augustus, As. Roma, 22/23–30? n. Chr. RIC I2, 99 Nr. 81. AE; 12,54 g; 24,3–25,5 mm; 60°. A 0/0, K 4/4. FK 95. M 21.
81 Quadratischer Mauerhaken. Eisen. L. 15,6 cm; G. 61 g. H. Schönberger et al., Kastell Oberstimm. Die Grabungen von 1968 bis 1971. Limesforschungen 18 (Berlin 1978) B 553. FK 96.

Funde aus dem Schacht Pos. 68
82 RS Drag. 37. Südgall. TS. Hund Oswald 1994. FK 136.
83 2 RS Knorr 78. Südgall. TS. FK 149.
84 RS, WS Knorr 78. Südgall. TS. Hirsch nach r. Intradekorativer Stempel: «GERMANIF». Germanus von La Graufesenque. Mees 1995, 78 f. FK 149/136.
85 RS Drag. 22. Südgall. TS. FK 149.
86 BS, WS Drack 20. Grautonig, schwarzer Überzug. FK 149.
87 RS Drack 19. Grautonig, schwarzer Überzug. FK 149.
88 RS Topf. Ton beige, glimmerhaltig. FK 149.
89 RS, WS Topf. Ton hellbraun, im Tonkern grau, stark glimmerhaltig. Aussen Russspuren. FK 149.
90 3 RS, 17 WS, BS Topf. Grautonig, schwarzer Überzug. Planck 1975, Taf. 46,12 (Kastell III, Grube A); Taf. 59,11 (Kastell III, Grube B); Ettlinger 1949, Taf. 15,7. FK 149.
91 2 RS Topf. Helltonig. FK 136.
92 RS Reibschüssel. Helltonig, brauner Überzug aussen und auf dem Rand. Russspuren innen und auf dem Rand. FK 136.
93 27 WS, 2 BS Dolium. Helltonig. Furger/Deschler-Erb 1992, 95 Abb. 72, 1/23. FK 136.
94 Domitianus, As. Roma, 88–89 n. Chr. RIC II, 200 Nr. 373. AE; 9,75 g; 26,5–28,9 mm; 180°. A 2/3, K 3/3. FK 148. M 40.

Funde aus der Kulturschicht Pos. 92
95 5 WS, 2 BS spanische Fischsaucenamphore. Ton aussen weisslich beige, innen rötlich. Martin-Kilcher 1994a, Gruppe 9 Taf. 207,4504–4505. FK 69/52.

Funde aus dem Graben Pos. 76
96 Objekt. Blei. G. 94 g. FK 98.

Funde aus der Verfüllung von Graben Pos. 61
97 2 WS Drag. 37. Südgall. TS. Metopeneinteilung. Figürliche Szene und Andreaskreuz mit floralem Dekor. FK 115/52.
98 BS Schale. Frühe Glanztonkeramik. Ton weisslich gelb, aussen und innen dunkelbrauner Überzug und Sandbewurf. FK 76.
99 2 RS Topf. Helltonig. FK 76.
100 RS Topf. Ton dunkelbraun, steinchengemagert. Handgetöpfert. FK 76.
101 Stäbchen. Bronze. FK 77. ME 55.
102 Niete, ankerförmig, ehemals doppelseitig. Eisen. L. 5 cm; G. 6,6 g. FK 76.

Funde oberhalb von Graben Pos. 61
103 Julisch-claudisch, As? Imitation? 27 v.–54 n. Chr. AE; 2,61 g; 19,4–22,3 mm; A 0/0, K 4/4. FK 61. M 38.
104 Julisch-claudisch, As. 27 v.–54 n. Chr. AE; 9,20 g; 25,4–27,1 mm; 330°. A 3/4, K 4/4. FK 63. M 36.
105 Kästchenteil. Bronze. FK 62. ME 9.

Phasen 3 und 4

Funde aus der Kiesrollierung in Feld 3 (Pos. 41.1–2)
106 3 WS Drag. 29. Südgall. TS. Oberer Fries: Reihe stilisierter Blüten wie Knorr 1952, Taf. 9,C; Mary 1967, Taf. 9–13 (40–60 n. Chr.). FK 52.
107 WS Drag. 37. Südgall. TS. Sekundär verbrannt. Delphin Oswald 2381 (domitianisch); Mees 1995, Taf. 80,2 (Germanus III; 80–100 n. Chr.). FK 52.
108 WS Drag. 37. Südgall. TS. Glatte Medaillons, tanzender Satyr n.l. wie Mees 1995, Taf. 19,12–15 (domitianisch). FK 52.
109 BS Drag. 37. Südgall. TS. Unterer Randfries: Blattranke wie Heiligmann 1990, Taf. 110,6. 6a. 11. Domitianisch. FK 52.
110 3 BS Drag. 18. Südgall. TS. «OF[». FK 52.
111 RS Drag. 22. Südgall. TS. FK 52.
112 2 RS, BS Drag. 24. Südgall. TS. FK 52.
113 WS Becher. Klassische Glanztonkeramik. Ton innen rot, aussen grau, dunkelbrauner, dichter Überzug. Verzierung aus sog. geschlitzten Tonfäden. Ettlinger/Simonett 1952, Taf. 11,239. FK 52.
114 3 RS Schüssel. Helltonig. Reste von rotem Überzug. Barbotineverzierung in Form gestielter Blätter. Lokale Produktion. Bäumlistr. 1a, Ofen 3. Hedinger 1995, 228 Abb. 22; vgl. Ettlinger o. Jahr, Taf. 2,18. Ähnlich Castella/Meylan-Krause 1994, 131, aber mit Randriefelung, ausladendem Rand und helltonig, rotem Überzug innen und aussen; ähnlich Fischer 1957, Taf. 6,10 (mit schwarzem Überzug, ohne Datierung); Schindler-Kaudelka 1975, Taf. 7,30 (sekundär verbrannt, D. 9 cm, 15–25 n. Chr.). FK 52; 67.
115 RS, WS Schüssel. Helltonig. Reste von rotem Überzug. Barbotineverzierung in Form gestielter Blätter. Töpferofenware. Bäumlistr. 1a, Ofen 3. Vgl. Kat. 114 . FK 52.
116 RS Krug. Helltonig. FK 52.
117 RS Krug. Helltonig. Roth-Rubi 1979, Taf. 4 Nr. 34–37. FK 52.
118 BS Salbfläschchen Isings 8. Hellblaues Glas. Rütti 1988, 74 Taf. 18,1195–1196. FK 52.
119 Stift mit Schäftungsring. Schäftungsring abgebrochen. Eisen. G. 35 g. Pietsch 1983, Taf. 27,572. 582; S. und P. Petru, Neviodunum (Ljubljana 1978) Taf. 22,6 («Eisengegenstand»). FK 52.

Phase 4

Funde aus dem jüngeren Kies Pos. 41.1.
120 RS, WS Drag. 29. Südgall. TS. Oberer Fries: Wellenranke, Blattschuppen, Medaillons. Unterer Fries: Medaillon unter Ranke, Vogel Oswald 2244. FK 94.
121 2 RS, WS Schüssel. Helltonig, aussen und innen Goldglimmerüberzug. FK 93.
122 RS Topf. Grautonig. Barbotinetupfen. FK 93.
123 RS Topf. Grautonig. Barbotinetupfen. FK 94.
124 3 RS, 2 WS Krug. Helltonig. Einhenklig. Rychener 1984, 63 Abb. 62 42,259. FK 94.
125 Claudius. As, Imitation. AE; 3,30 g; 19,6–20,6 mm; 295°. A 3/4, K 4/4. FK 94. M 35.

Funde aus der Kulturschicht Pos. 52
126 2 RS, WS Drag. 37. Südgall. TS. Metopeneinteilung. Flötenspieler n.r. wie Oswald 609; Heiligmann 1990, Taf. 7,8; Springendes Tier, Vogel. FK 83.
127 WS Drag. 37. Südgall. TS. Blütenranke wie Mary 1967, Taf. 28,1 (70–85 n.Chr.). Hase n.l., Grasbüschel wie Ulbert 1959, Taf. 55,6 (domitianisch). Karnitsch 1959, Taf. 20,3. FK 83.
128 3 RS Drag. 18. Südgall. TS. FK 83.
129 2 BS Drag. 18. Südgall. TS. «[AQV]ITAN» oder «[OFAQV]ITAN». Aquitanus von La Graufesenque. Mary 1967, Taf. 29,34 (25–65 n.Chr.) FK 83/72.
130 RS Drag. 36. Südgall. TS. FK 83.
131 RS Hofheim 8. Südgall. TS. Sek. verbrannt. FK 83.
132 RS Drag. 27. Südgall. TS. FK 83.
133 2 RS Drack 3. TS-Imit. Grautonig, aussen und innen schwarzer Überzug. Drack 1945, Taf. 3,10. FK 66.
134 3 RS, 2 BS Drack 11A. TS-Imit. Helltonig. Drack 1945, 80 f. Taf. 8,1–6. FK 65.
135 RS Drack 20. Grautonig, Reste von schwarzem Überzug. Riefelung innen am Rand. FK 65.
136 4 RS, 6 WS Drack 21. Helltonig. Roter Überzug. FK 52/72; 65.
137 2 RS Drack 21. Grautonig, Reste von schwarzem Überzug. FK 65/52.
138 WS Becher. Klassische Glanztonkeramik. Helltonig, brauner Überzug aussen und innen. Riefelverzierung. FK 83.
139 2 RS Teller. Grautonig. FK 66/72.
140 2 RS, mind. 58 WS Dolium. Grautonig. FK 83.
141 4 RS, mind. 5 WS Amphore Dressel 20. Stempel auf Henkel: «PHO». Philo. Martin-Kilcher 1987, 126f. Abb. 69, ST 90a–d. FK 83.
142 Spiralfibel. FK 64. FB 3.
143 Hülsenscharnierfibel. FK 83. FB 25.

Phase 5a

Funde aus der Sandsteinplanie Pos. 32
144 RS Drag. 29. Südgall. TS. Sekundär verbrannt. FK 40.
145 2 WS Drag. 37. Südgall. TS. Eierstab mit r. angelehntem Stäbchen, Perlstab. Dekor aus glattem Kreismedaillon und hängenden Ranken. Kopf einer Figur n.r. FK 34.
146 2 BS, 2 WS Drag. 37. Südgall. TS. Unterer Fries: n.r. springender Löwe; Grasbüschel. Anordnung vglb. Heiligmann 1990, Taf. 80,2. FK 34/142.
147 RS Drag. 37. Ostgall. TS. Eierstab wie Lutz 1968, 69 Typ O2, Perlstab. Art des Cibisus und Verecundus, Ittenweiler. FK 34.
148 WS Drag. 37. Ostgall. TS. Eierstab wie Forrer 1911, Abb. 145; 146; Urner-Astholz 1946, Taf. 42,5. Art des Cibisus und Verecundus, Ittenweiler. FK 34.
149 5 BS, 8 WS Drag. 36. Südgall. TS. FK 40/41.
150 BS Drag. 31. Ostgall. TS. FK 34.
151 3 RS, WS Drack 21. Helltonig, hellroter Überzug. FK 34/33.
152 RS Becher Kaenel 1. Klass. Glanztonkeramik. Ton orange, aussen brauner, innen roter Überzug. FK 142.
153 RS Becher Kaenel 1. Klass. Glanztonkeramik. Ton beige, Überzug aussen und innen schwarz, matt. Riefelverzierung. FK 34.
154 RS Becher Kaenel 2. Klass. Glanztonkeramik. Ton beige, aussen und innen brauner Überzug. FK 34.
155 2 RS Schüssel. Helltonig, Goldglimmerüberzug. FK 34/20.
156 RS Krug. Helltonig, einhenklig. Rychener/Albertin 1986, Nr. 952–953; Rychener 1984, Abb. 62,524,574 (Kirchhügel, Periode C). FK 34.
157 RS Krug. Helltonig, einhenklig. Rychener 1984, Abb. 62,42 (Kirchhügel, Periode A) Abb. 62,259 (Kirchhügel, Periode C) FK 34.
158 RS Kochnapf. Ton grau, grob steinchengemagert. FK 34.
159 3 RS, 9 WS, 3 BS Kochschüssel. Ton grau, steinchen- und glimmerhaltig. Handgetöpfert. FK 142/34.
160 RS Kochtopf. Ton grau, steinchen- und glimmergemagert. Handgetöpfert. Streichspuren innen und aussen. Randzone mit senkrechten Strichen verziert. FK 40.
161 2 RS, mind. 1 WS, Henkel Amphore Dressel 9 similis. Martin-Kilcher 1994a, Taf. 221,4915; 223,4940–4953 (Gruppe 10, Lyon/mittl. Rhonetal; TG 23). FK 40.
162 BS, mind. 2 WS, Henkel Amphore, Augst 17 oder Dressel 9 similis. Martin-Kilcher 1994a, 380f. 413 Taf. 173,3721 (Augst 17, TG 23, Lyon/mittl. Rhonetal). FK 142.
163 RS Dolium aus umgearbeiteter Amphore. Ton beige. Henkelansatz. FK 142.
164 BS Topf. Lavez. Rillendekor; Scharnierspuren auf der Unterseite. FK 34.
165 Kette aus achtförmigen Gliedern. Eisen. G. 75 g. Schaltenbrand Obrecht 1996, 158 Taf. 45,153; 57,530–533; Koller/Doswald 1996, Taf. 92,2081. FK 34.
166 Karstzinken. Deutung von H. Dolenz. Freundlicher Hinweis von V. Schaltenbrand Obrecht. Eisen. L. 12,4 cm; G. 45 g. Schaltenbrand Obrecht 1996, 158f. FK 34.
167 Stachel eines Ochsentreibstocks? Interpretationsvorschlag von V. Schaltenbrand Obrecht. Eisen. L. 8 cm; G. 35 g. FK 34.
168 Objekt. Gabelförmig gebogen. Beide Gabelenden sind abgebrochen. Eisen. G. 6,6 g. FK 34.
169 U-förmig gebogener Beschlag mit zwei Nagelverbindungen. Enden abgebrochen. Eisen. Holzspuren auf der Aussenseite. L. 13,5 cm; G. 67 g. Schaltenbrand Obrecht 1996, 190 Abb. 176 Taf. 64,909; Koller/Doswald 1996, Taf. 92,2089. G. 293 g. FK 40.
170 Ösenstift. Eisen. L. 10 cm; G. 22 g. Schaltenbrand Obrecht 1996, Taf. 59,711. FK 40.

Funde aus der Grube Pos. 103
171 WS Drag. 37. Südgall. TS. Metopeneinteilung. Putto n. l. FK 147.
172 2 RS Drag. 37.Südgall. TS. Eierstab mit r. angelehntem Blütenstängel. Metopeneinteilung durch Perlstäbe. Figur und Blattfüllsel. Mary 1967, Taf. 27,9 (70–85 n.Chr). FK 98.
173 RS Drag. 42. Südgall. TS. FK 147.

Phase 5b

Funde aus der Auffüllung Pos. 29
174 2 RS, 2 WS Drag. 37. Südgall. TS. Metopeneinteilung durch Perlstäbe; Felder mit Figuren gefüllt, z.B. Mensch von Raubtier angegriffen wie Ulbert 1959, Taf. 55,4. FK 34/33/25.
175 4 WS Drag. 37. Südgall. TS. Gefüllte Kreismedaillons. FK 33/25.
176 WS Drag. 30. Südgall. TS. FK 33.
177 3 RS Drag. 42. Südgall. TS. FK 33.
178 3 RS Curle 15. Südgall. TS. FK 41/51.
179 4 RS, BS Drag. 35. Südgall. TS. FK 33.
180 2 RS Drag. 32. Mittel-/Ostgall. TS. FK 41.
181 RS Drack 3. TS-Imit. Helltonig, aussen und innen Spuren eines roten Überzugs. FK 33.
182 RS Drack 14. TS-Imit. Grautonig, Reste von schwarzem Überzug. Drack 1945, 85f. Taf. 9,20–21. FK 33.
183 2 RS, WS Drack 21. Grautonig, schwarzer Überzug. Barbotinestreifen. FK 33/133.
184 BS Topf. Frühe Glanztonware. Ton orangefarben, rotbrauner Überzug. Sandbewurf. Greene 1979, 51 Abb. 21,9 (Südgallien). FK 33.
185 RS Becher Kaenel 1. Klass. Glanztonkeramik. Ton rötlich beige, aussen und innen schwarzbrauner Überzug. FK 33.
186 2 BS Becher. Klass. Glanztonkeramik. Ton orangefarben, aussen und innen brauner Überzug. FK 41/25.
187 2 RS Schüssel. Helltonig, aussen und innen hellroter Überzug. Roth-Rubi 1986, 35 Kat. Nr. 601–604. Vogt 1948, 198 Abb. 49,8. («eigenartiger Kragenbecher, kommt auch sonst in der Zürcher Gegend vor»). FK 41/33.
188 RS Schüssel. Helltonig, aussen und innen Goldglimmerüberzug. Sekundär verbrannt. Rychener 1984, 62 Abb. 61; Drack et al. 1990, Taf. 19,135–143; 2. Hälfte 1. Jh. n. Chr.; Vogt 1948, 187 f. Abb. 44,12–22; Ettlinger/Simonett 1952, 26f. Taf. 9 (Vindonissa); Ettlinger 1949, Taf. 19,34–41 (Augst). FK 133.
189 2 RS, WS Schüssel. Helltonig, aussen und innen Goldglimmerüberzug. Sekundär verbrannt. FK 33.
190 RS Schüssel. Helltonig, aussen und innen roter Überzug mit Goldglimmer. Drack et al. 1990, 157 Taf. 18,131; Abb. 193 b, SE 48 (Töpferofenware; 2. Hälfte 2. Jh. bis 1. Hälfte 3. Jh. n. Chr.). FK 133.

191 2 RS, WS Topf. Ton beige, aussen und innen am Rand rotbrauner Überzug. Rädchendekor. Fischer 1957, Taf. 14,3. FK 33/25.
192 RS Topf. Helltonig. FK 33.
193 WS Topf. Grautonig. Rädchendekor. Reihen schraffierter Rechteckfelder. FK 33.
194 RS Krug. Ton beige. Einhenklig. Rychener 1984, 63 Abb. 62,296; Castella/Meylan-Krause 1995, Nr. 309 (100–200/ 250 n. Chr.). Nr. 310 (100–130 n. Chr.). FK 33.
195 5 RS Kochtopf. Grautonig, steinchengemagert. Kerbreihe am Rand. FK 33.
196 2 RS, 5 BS Reibschüssel. Ton hellbeige, aussen und auf dem Rand hellbrauner Überzug. Sehr feine Körnung und Abnutzungsspuren innen. Stempel auf Rand: «DEVIX·F». FK 33.
197 RS Reibschüssel. Ton beige. Stark verriebener ursprünglich wohl zweizeiliger Stempel auf Rand: «DINI». FK 33.
198 RS Dressel 20. Südspanische Ölamphore. Ton beige, körnig. FK 33.
199 RS Becher. Farbloses Glas. Quergerippte Schlangenfadenauflage. Rütti 1991, Kat. Nr. 1856–1857. 4554–4555. FK 33.
200 Backenscharnierfibel. FK 38. FB 30.
201 Nagel. Eisen. L. 10 cm; G. 16 g. FK 144.
202 Hufschuhfragment. Eisen. Erh. Br. max. 8,6 cm. Platte abgebrochen. G. 61 g. Schaltenbrand Obrecht 1996, Taf. 44,138–139; Deschler-Erb/Unz 1997, Taf. 78,2386–2394. FK 33.
203 Stechbeitel mit Angelschäftung. Breites Ende abgebrochen. Eisen. Erh. L. 10,1 cm; Br. max. 2,4 cm. G. 57 g. FK 33.
204 Stab mit flachrechteckigem Querschnitt. Beide Enden unvollständig. Ein Ende mit Ansatz einer halbkreisförmigen Ausbuchtung erhalten. Erh. L. 8,3 cm; G. 14 g. Schaltenbrand Obrecht 1996, Taf. 69,1175. FK 33.
205 Beschlagband mit Nagelloch. Beide Enden abgebrochen. Eisen. Erh. L. 6,6 cm; G. 6,7 g. Schaltenbrand Obrecht 1996, Taf. 64,911; Doswald in: Hänggi et al. 1994, Abb. 212K, 375. FK 33.
206 Ringband. Evtl. Teuchelringfragm. Gebogenes Blechband. Beide Enden abgebrochen; im Querschnitt schmaler werdend; an diesem schmalem Ende abgebrochen. Eisen. Erh. Dm. 9,0 cm; G. 42 g. Doswald in: Hänggi et al. 1994, Abb. 212i; 343; 349. FK 33.

Phase 6

Funde aus dem neuzeitlich-römischen Mischhorizont Pos. UK 28/OK 29
207 RS Topf. Ton graubraun, grob gemagert. Handgetöpfert. Frühmittelalter. FK 25.
208 RS Schüssel. Ton grau mit orangefarbenem Tonkern, grob gemagert. Frühmittelalter? FK 29.
209 Marcus Aurelius bis Macrinus, Denar, subaerate Imitation? 161–218 n.Chr. AE; 2,02 g; 16,3–17,2 mm; 180°. A 3/3, K 4/4. M 43.

6 RÖMERSTR. 227/229 UND RÖMERWEG 5

6.1 Befundkatalog

Im Befundkatalog finden sich Detailangaben zu den einzelnen Schichten und Strukturen der Ausgrabungen an der Römerstrasse 227/229 und am Römerweg 5. Zuerst werden die Schichten, danach die Strukturen in der Reihenfolge Gebäude, Kanäle, Gräben, Gruben, Pfostenstellungen, Feuerstellen und Strassen aufgeführt.

Schichten

Siedlungshorizont I
1 (Pos. 46). Gelblich grauer Lehm, nach unten vergrauend, mit Kieseleinschlüssen. Verwitterungshorizont der Moräne. Keine Funde.
2 (Pos. 390). Lehmig, tonige Schicht, braungrau, an der Zäsur zum gewachsenen Boden; 10–20 cm dick; enthielt reichlich kleine Holzkohlefragmente, die vielleicht auf eine erste Brandrodung hinweisen. Fossiler Humus. Wenige eingeschwemmte Funde (vorrömisch).
3 (Pos. 9). Grausandiger Lehm mit mässigem Kiesanteil und Holzkohleeinschlüssen. Liegt über dem gewachsenen Boden und als Verfüllung in den Balkengräbchen. Entspricht vielleicht Schicht 2.
4 (Pos. 13). Rotbrauner, kiesiger Silt. Ist mit Schicht 3 gleichzusetzen aber mit reichlich Eisenoxydeinschlüssen. Liegt direkt unter der Strasse 3.

Siedlungshorizont II
5 (Pos. 478.1310). Kiesiger, toniger Silt, z.T. eisenrostverfärbt; im oberen Bereich hartgetreten und mit kleinstfragmentierten Siedlungsabfällen durchsetzt. Im westlichen Bereich der Ausgrabung war die Schicht weniger kiesig und fast steril. Bis 40 cm dick. Fossiler Humus, Bauniveau zur ersten römischen Quartierüberbauung.
Hof 0 (Pos. 187.208.232). Entspricht Schicht 5.
Hof 1 (Pos. 189). Einheitliche Kiesschicht aus Geröllen bis max. 10 cm Dm.
Hof 2 (Pos. 152). Dunkelbrauner, humoser Silt, stark verunreinigt mit Ziegelsplittern, Hüttenlehmfragmenten, Sandstein und Geröllen. Benutzungsschicht zum Kies Hof 1.

Siedlungshorizont III
6 (Pos. 5). Globales Schichtpaket; bezeichnet dunkelgraue, sandige Schichten unmittelbar unter dem Brandschutt Schicht 8. Benutzungsschichten zu den Strukturen dieses Siedlungshorizontes.
7 (Pos. 314). Grauer bis gelber Silt mit kleinem Sandanteil. Enthält im oberen Bereich kleinstfragmentierte HK- und Keramikfragmente. Bis 30 cm dick. Steriles Material aus dem Oberboden der Moräne; im nördlichen und östlichen Bereich der Parzelle über die Ruinen von SH II einplaniert, diente als Bauniveau für die Überbauung dieses Siedlungshorizontes.
8 (Pos. 4). Humos-erdig, verziegeltes Lehmgranulat, HK und Asche in einer D. von bis zu 10 cm. Brandschutt in situ.
9 (Pos. 14). Dunkelbrauner, rostroter humoser Lehm mit grossem Kiesanteil. Sehr porös, enthält viele Schlacken, Asche und HK. Liegt am Ostrand der Parzelle und erreicht eine D. bis 40 cm. Wohl Abraum eines Werkplatzes für die Eisenverarbeitung.

Siedlungshorizont IV
Hof 3a (Pos. 139B). Planierter Brandschutt von SH III. Diente als Gehniveau für SH IV.
Hof 3b (Pos. 973). Mittelfeiner Kies, mit reichlichem braunem humosem Silt. Kiesplatz oder Weg zu SH IV.

Siedlungshorizonte V–VII
10 (Pos. 139). Dunkelbrauner, kiesiger Humus mit grossem Anteil an Ziegelfragmenten und Geröll. Sehr fundreich.
11 (Pos. 1–3). Feiner dunkelbrauner Humus, im tieferen Bereich mit Bollensteinen durchsetzt. Heutiger Horizont der Landwirtschaft.

Gebäude

Gebäude B (SH II)

Gruben
B.G 1 (Pos. 668). Leicht oval (Dm. ca. 1,8 m, T. ca. 60 cm ab gewachsenem Boden), steilwandig, flache Sohle, mit grauem, tonigem Silt verfüllt, enthielt Holzkohlesplitter und Kies, Funktion unklar, die Einsenkung oberhalb der Grube war schon in den obersten Schichten zu sehen. Abb. 204–205. Kat. **14–17**.

Gebäude C (SH II–III)

Pfosten
C.Pf 1 (Pos. 457). Runde Form, Dm. 60 cm, T. ab OK Schicht 5 40 cm, leicht verrundete Sohle. An der Oberfläche zeichnete sich innerhalb der Struktur eine undeutliche, dunkle Verfärbung von ca. 40 cm Dm. ab, die auf ein Pfostennegativ hinweisen könnte. SH II. Abb. 205.

Gebäude D (SH II–III)

Gruben
D.G 1 (Pos. 708). Langovale Form (L. 2 m, Br. 1 m, erh. T. nach Baggerabtrag 17 cm), leicht runde Sohle, mit grauem Ton verfüllt; auf der Sohle liegen Holzreste, SH-Zuweisung eher unsicher wegen des massiven Baggerabtrags, wohl abgetiefte Vorratskammer im Gebäude. SH II. Abb. 204–205. Kat. **18–22**.
D.G 2 (Pos. 881). L-förmig (L. 3 m, L. 3 m, Br. ca. 1 m, erh. T. nach Baggerabtrag 20 cm), rundliche Sohle, siltige Verfüllung mit vielen Holzkohlefragmenten, wahrscheinlich abgetiefte Vorratskammer, sehr fundreich. Von einem Balkengräbchen zu SH III überlagert. SH II. Abb. 204–205. Kat. **23–27**.

Pfosten
D.Pf 1 (Pos. 222). Schlecht beobachtete Struktur. Runde Form, Dm. 55, T. mehr als 38 cm, auffallend grosse Platten als Keilsteine. SH II. Abb. 205.
D.Pf 2 (Pos. 190.716). Zwei Pfosten direkt an der Westwand des Gebäudes. Von S nach N: Pos. 190, ovale Form ca. 60×40 cm, mehr als 60 cm tief, grosse Keilsteine; Pos. 716, 3,8 m von Pos. 190 entfernt, ovale Form 38×50 cm, T. nach Baggerabtrag nicht zu eruieren. SH II. Abb. 205.
D.Pf 3 (Pos. 97.112.718). Reihe von drei Pfosten, in einem Abstand von ca. 50 cm von der Westwand des Gebäudes. Von S nach N: Pos. 718, Dm. 38 cm, T. nach Baggerabtrag nicht mehr zu eruieren, dunkle quadratische Verfärbung im Zentrum der Struktur beobachtet, wohl Pfostenabdruck; Pos. 112, 3 m von Pos. 718 entfernt, Dm. 30 cm, T. nicht dokumentiert, flache Sohle mit Keilsteinen; Pos. 97, 3 m von Pos. 112 entfernt, rechteckige Form, 30×70 cm, T. mehr als 30 cm, enthält einen stark vermoderten Pfosten mit 50 cm Dm. Dieser ist am unteren Ende bearbeitet gewesen (abgeschrägt) und ergab ein Dendrodatum um 41 n. Chr. mit WK Herbst/Winter. Pos. 97 lag im Gräbchen Gb 5 (s. unten). SH II. Abb. 205.
D.Pf 4 (Pos. 203). Rechteckige Form, 40 x mind. 30 cm, T. mehr als 40 cm, flache Sohle mit Keilsteinen. SH III.

Gebäude E (SH II–III)

Grube
E.G 1 (Pos. 815). Rechteckig bis oval (L. 3 m, Br. 1,8, T. 0,8 m), Wände in 60°-Winkel eingestochen, heterogen verfüllt; von unten nach oben: Pos. 875, siltiger Sand, z.T. sogar grober Sand, sehr fundreich, Keramikgefässe in situ; Pos. 801, Abraum einer Brandschicht mit reichlich Hüttenlehmfragmenten, HK und vermodertem Holz (entspricht Schicht Hof 3a). Eingetiefte Vorratskammer innerhalb des durch Brand zerstörten Gebäudes E. SH III. Abb. 217–221. Kat. **37–50**.

Pfosten
E.Pf 1 (Pos. 212.214.1042.1044). Reihe von vier Pfostenlöchern, der Westwand des Gebäudes entlang. Zeichneten sich als dunkle Verfärbung ab. Von S nach N: Pos. 1042, runde Form, Dm. ca. 25 cm, erh. T. 8 cm; Pos. 1044, von Pos. 1042 2,9 m entfernt, runde Form, Dm. ca. 30 cm, mit dunklem Abdruck eines Hälblings, erh. T. 22 cm; Pos. 714, von Pos. 1042 2,9 m entfernt, ovale Form, ca. 30×40 cm, mehr als 30 cm tief, enthält viele Keilsteine; Pos. 212, von Pos. 714 1,8 m entfernt, rechteckige Form 20×30 cm, 40 cm tief mit grosser, senkrecht gestellter Sandsteinplatte als Keilstein. SH II. Abb. 205.

Gebäude F (SH IV)

Feuerstelle
F.F 1 (Pos. 967). Ein umgedrehter Leistenziegel (44 x 56 cm) lag auf einem Bett aus feinen Kieseln (Dm. bis 7 cm). Drum herum lag ein Kranz aus z.T. brandgeröteten, rechteckig zugehauenen Sandsteinen. Der Kranz war nur teilweise erh., er dürfte aber als rechteckig rekonstruiert werden. SH IV. Abb. 230–232.

Schicht
F1 (Pos. 979). Reiner gelber Silt, wirkt kompakt. SH IV.

Gebäude G (SH II–IV)

Feuerstellen
G. F1a–c (Pos. 1216). Die dreiphasige Feuerstelle wurde zuerst als eine einfache flachgestrichene Lehmlinse auf dem Erdboden angelegt (Dm. ca. 50 cm) (a); darauf folgte nochmals eine Lehmlinse (Dm. 80 cm) (b2), aber diesmal auf einem Bett von feinen Kieseln und Ziegelfragmenten (b1); zuletzt wurde auf zwei viereckigen Sandsteinplatten gefeuert (c1: L. 38, bzw. 25 cm, Br. 30 cm, D. 10–12 cm). Die Platten weisen eine starke Brandeinwirkung auf und sind zersprungen. Herdstelle zu Gebäude Ga–c. SH II–IV. Abb. 207–208, 222, 234–235.
G.F 2 (Pos. 932). Runde, flach gestrichene Lehmlinse mit Spuren einer starken Brandeinwirkung (Dm. 60 cm). Sie wird als Feuerstelle interpretiert, obwohl keine besondere Konstruktion beobachtet werden konnte. Es sieht eher so aus, als ob direkt auf dem Fussboden des Gebäudes gefeuert worden wäre, gleich wie in der ersten Bauphase der Feuerstelle G.F 1 (s. oben). Feuerstelle zu Gebäude Ga. SH II. Abb. 207.

Gruben
G.G 1 (Pos. 943). Leicht viereckige Form mit abgerundeten Ecken (L. 1,5 m, Br. 1,2 m, T. mind. 2,5 m), senkrechte Wände, flache Sohle, Spuren einer möglichen Holzverschalung, stark humose und lehmige Verfüllschichten mit grossen Konzentrationen aus Früchtekernen und Koprolithen. Zuletzt eindeutig als Abfall- und Fäkaliengrube verwendet. Wegen der beträchtlichen Tiefe ursprünglich vielleicht als Sodbrunnen angelegt. An der Ostwand von Gebäude Gb, SH III. Chronologische Einordnung stratigraphisch gesichert, da die Fundamentsteine von Gebäude Gc (SH IV) über die verfüllte Grube zu liegen kommen. SH III. Abb. 217, 222. Kat. **51–56**.

Pfosten
G.Pf 1 (Pos. 1224). Runde Form, Dm. 43 cm, T. mind. 46 cm, enthält die dunkle Verfärbung des Pfostennegativs, Dm. 23 cm. Keilsteine. Als Firstpfosten des Gebäudes interpretiert, jedoch Pfosten eher zu wenig massiv, um eine Dachkonstruktion zu tragen. SH II. Abb. 205.
G.Pf 2 (Pos. 1454.1484.1485.1495). Reihe von mind. vier Pfosten. Von S nach N: Pos. 1484, runde Grube, Dm. 70 cm, enthält Hälbling, Dm. 30 cm, Holz weitgehend vermodert, T. nicht dok.; Pos. 1495 liegt 2,6 m von Pos. 1484 entfernt, Dm. 30 cm, konnte aus Zeitgründen nicht untersucht werden; Pos. 1485, von Pos. 1495 1,5 m entfernt, runde Struktur, Dm. 40 cm mit Hohlraum vom runden Pfosten, Dm. 20 cm, leicht exzentrisch in die Grube eingelassen; aus Zeitgründen nicht weiter untersucht; Pos. 1454, 1,8 m von Pos. 1485 entfernt, runde Form, Dm. 50 cm; wegen der starken Eisenverkittung an dieser Stelle konnten zur Struktur keine weiteren Angaben gewonnen werden. Bildet die NW-Ecke des Gebäudes. SH II. Abb. 205.
G.Pf 3 (Pos. 1098). Kleine Pfostengrube, ca. 10 x 15 cm, enthält Pfostennegativ, Dm. max. 15 cm, erh. T. 22 cm. Kaum als tragendes Element der Ostwand des Gebäudes anzusehen. SH II. Abb. 205.
G.Pf 4 (Pos. 1094.1108). Zwei Pfosten in einem Abstand von 15 cm voneinander. Von S nach N: Pos. 1094, Dm. 40 cm, T. mind. 45 cm, flache Sohle, enthält Pfahl, leicht zugespitzt, Dm. 12 cm. Struktur von schwieriger Deutung; Pos. 1108, von einem späteren Umbau der Gebäudewand gestört (s. Abb. 213), ovale Form ca. 20 x 25 cm, flache Sohle, enthält die Reste eines Pfostens, Dm. ca. 15 cm. Zusammenhang zu Gebäude Ga und Kanal 1. SH II. Abb. 205, 213.

Schichten
G0 (Pos. 1332.1334). Grauer, toniger Silt. Weist an der OK starke Holzkohlekonzentrationen auf. OK Bauniveau zu Ga. SH I. Abb. 211. Kat. **1–13**.
G1 (Pos. 1284). Gelber, sehr kompakter siltiger Lehm. Lehmboden zu Gebäude Ga. SH II. Abb. 211. Kat. **36**.
G2 (Pos. 1203). Sandiger Silt, grau bis oliv mit mässigem Kiesanteil. Benützungsablagerung über G1. SH II. Abb. 211.

G3 (Pos. 1169.1272.1276). Schichtpaket aus grauem bis olivfarbigem Silt mit verbackenen Eisenrostklumpen. Die verschiedenen Komponenten dieses Schichtpaketes waren nicht konsequent auseinander zu halten. Zu SH III. Abb. 211. Kat. **99–119**.
G4 (Pos. 1105.1131.1349). Schichtpaket aus gelb bis grünlichem, siltigem Lehm mit wenigen Kieseinschlüssen. Heterogene Zusammensetzung. SH IV. Abb. 211.
G5 (Pos. 1130). Humoser Silt mit reichlich Holzkohlefragmenten. Zu SH V(?) bis Neuzeit. Abb. 211.

Gebäude H (SH II–IV)

Feuerstellen
H.F 1a–b (Pos. 1323). Rechteckige Form, nur partiell ausgegraben (Seitenlänge mind. 65 cm, ca. 10 cm eingetieft), im Zentrum der Grube liegt eine kreisförmige, stark verziegelte Lehmlinse (Dm. ca. 55 cm); umliegendes Material (Pos. 1324) stark verbrannt, mit Eisenoxyd und HK durchsetzt und steinhart verbacken. In der Beschreibung der Struktur ist von einem stark sandigen Anteil von Pos. 1326 die Rede: evtl. wurde an dieser Stelle der Hammerschlag nicht erkannt. Mögliche Esse, einmal erneuert (s. Kap. 6.6.2). SH II–III. Abb. 207, 222.
H.F 2a–c (Pos. 760). Die Feuerstelle weist eine markante Konstruktion auf und wurde zweimal erneuert. Die erste Konstruktionsphase (SH II) besteht aus einer einfachen Lehmlinse mit verbrannter Oberfläche (Dm. max. 50 cm) (a1), ohne Kieselbett und analog zur ersten Bauphase der Feuerstellen G.F 1 und G.F 2 in Gebäude G (s. oben). Bei einem Umbau, den wir SH III zuweisen, wurde die Struktur massiv ausgebaut: Gefeuert wurde nun auf zwei Steinplatten (b1: je 25 x 50 cm, ca. 10 cm dick), wobei die Steinart auf der Ausgrabung nicht bestimmt wurde. Um die Steinplatten herum wurde eine U-förmige Sandsteinkonstruktion errichtet (b2), welche die Herdstelle auf drei Seiten umfasste (N, W und S). Eine der Platten war von der Sandsteinkonstruktion eingefasst. Diese letzte war in einer Höhe von etwa 20 cm erh.; bei den Sandsteinen handelte es sich um unförmige Brocken, vielleicht wiederverwendete Steine. Die Oberfläche des Steins und die umliegenden Sandsteine wiesen eine starke Hitzeeinwirkung auf. Auf den Platten lag eine dünne Schicht, v.a. aus HK (b3). Auf dieser zweiten Benutzungsphase wurden zuletzt faustgrosse Kieselsteine verlegt (c1) und darüber eine Lehmpackung gestrichen (c2) (SH IV). Dieser Lehm weist ebenfalls Brandspuren auf und war von einer siltigen Schicht mit starkem Holzkohleanteil überdeckt (c3) (Abb. 271). Zu dieser Bauphase wurden im Profil der Feuerstelle zwei Pfosten (c4; beide Dm. 20 cm) erkannt, deren UK auf die Sandsteine von b2 lag; mit einigem Vorbehalt dürften diese Pfosten zur Konstruktion gezählt werden. Mögliche Esse, bei der die Sandsteinkonstruktion als Schutzmauer gedeutet werden könnte. SH II–IV. Abb. 207, 210, 222–224.
H.F 3 (Pos. 1337). Verbrannte Lehmlinse mit flachgestrichener Oberfläche (Dm. ca. 60 cm) auf einer lockeren Kieselrollierung, von unverbranntem Lehm umgeben; liegt ca. 1 m W von H.F 1. Feuerstelle zu Gebäude Ha und evtl. Hb. SH II. Abb. 207.
H.F 4 (Pos. 1480). Ovale Lehmlinse mit unregelmässigen Konturen (L. ca. 1 m, Br. bis 60 cm) auf losen Kieselsteinen. Die Oberfläche ist bombiert. Unklar, ob sich dabei um eine Feuerstelle handelt oder ob die Lehmlinse zum Lehmverstrich einer verbrannten und verstürzten Wand von Gebäude Ha gehört. SH II. Abb. 207.

Gruben
H.G 1 (Pos. 1248). Nur 10–15 cm tiefe, unförmige Mulde mit flacher Sohle. Liegt an der nördlichen Grabungsgrenze und wurde zu etwa einem Viertel angeschnitten. SH II. Abb. 207.
H.G 2 (Pos. 1177). Rechteckig (L. 2,60 m, Br. 80 cm, T. max. 15 cm), Wände senkrecht abgestochen, flache Sohle, mit grauem, kiesigem Silt verfüllt. Im nördlichen Bereich der Grube kommt eine Konzentration aus faustgrossen Sandsteinen vor. Die Struktur weist keine Brandrötung oder auffallenden Holzkohlekonzentrationen auf. Evtl. Tauchbecken in Zusammenhang mit einer Schmiede. SH IV. Abb. 234.

Pfosten
H.Pf 1 (Pos. 1297). Runde Form, Dm. 80 cm, T. 90 cm, enthält Pfosten, Dm. 23 cm, im unteren Bereich konserviert, an der Oberfläche vermodert. Steht in der Mitte der Nordwand des Gebäudes und wurde als Firstpfosten gedeutet, obwohl er dafür etwas zu wenig massiv erscheint. Gegen W und E stossen zwei Bohlenreihen an diesen Pfosten (Pos. 913, bzw. 1298). Dabei handelt es sich um an der Oberfläche stark angefaulte Bretter (im Durchschnitt 15 cm breit und 5 cm dick) oder Spältlinge, die in einem Abstand voneinander von ca. 15 in einen 20 cm breiten Graben mit flacher Sohle (Pos. 764, bzw. 1299) gestellt wurden. Der Graben wurde danach mit grauem Silt hinterfüllt. SH II. Abb. 207.
H.Pf 2 (Pos. 1184). Viereckige Form, 20 x 20 cm, T. 15 cm, flache Sohle; enthält Pfahl, Dm. ca. 10 cm, T. 35 cm. Der Pfahl durchschlägt die Sohle der viereckigen Pfostengrube: der Pfosten wurde also mit einem Pfahl ersetzt. SH II–III. Abb. 207–220.
H.Pf 3 (Pos. 1089). Runde Struktur, Dm. 45 cm, T. mehr als 17 cm, konusförmig eingetieft, flache Sohle. SH II. Abb. 207.
H.Pf 4 (ohne Pos.). Hypothetischer Standort eines Pfostens, der sich allerdings im Befund nicht konserviert hat. SH II. Abb. 207.
H.Pf 5 (Pos. 1435). Ovale Form 50 × 30 cm, T. mehr als 40 cm. In der Grube war zuerst ein Pfosten mit Dm. 26 gesetzt worden. Dicht daneben folgte später ein Hälbling mit Dm. 28 cm. Das Holz ist vermodert. SH II und SH III. In Zusammenhang mit dieser Pfostenstellung gehört ein Graben mit einer Reihe von Spältlingen (Pos. 1436.1438), analog zur Struktur bei H.Pf 1 (s. oben). Die Spältlinge wurden in einem Abstand von 25–35 cm voneinander in den Graben gesetzt. Das Holz ist komplett vergangen, zeichnet sich allerdings eindeutig als humose Verfärbung im Graben ab. SH II. Abb. 207.
H.Pf 6 (Pos. 864). Ovale Form 25 x 30 cm, erh. T. 10 cm, Sohle unregelmässig; liegt direkt unter einem grossen Steinauflager zu Gebäude Hc und war nicht gut erkennbar. SH III. Abb. 222.
H.Pf 7 (Pos. 1408.1410.1466.1468). Reihe von kleinen Pfählen. Von S nach N: Pos. 1410, quadratische Anordnung von vier Pfählen in einem Abstand voneinander von 20 cm, Dm. ca. 8 cm, erh. T. 5–10 cm; Pos. 1408, 40 cm von Pos. 1410 entfernt, Pfostenloch oder Pfahlabdruck, Dm. 22 cm, T. ca. 20 cm; Pos. 1468, 60 cm von Pos. 1408 entfernt, Dm. 20 cm, T. 17 cm, flache Sohle; Pos. 1466, 60 cm von Pos. 1468 entfernt, Dm. 25 cm, T. 8 cm, flache Sohle. SH III. Abb. 222.

Schichten
H0. Entspricht Schicht 5. SH II. Abb. 212.
H1a (Pos. 1293). Grauer Silt mit Holzkohlefragmenten. Sehr dünne Schicht, z.T. nur fleckig erh. Benutzung– und Brandschicht zu Gebäude Ha. SH II. Abb. 212.
H1b (Pos. 1246). Gelber Lehm. Lehmboden in Fortsetzung von Gebäude Ha gegen Norden. SH II. Abb. 212.
H2a (Pos. 1249.1256.1257.1260). Dünne Lehmbänder, mit Sandsteinstücken durchsetzt. Lehmboden zu Hb. SH III. Abb. 212.
H2b (Pos. 1249). Reiner Kies. Gehniveau im Raum in der NW-Ecke von Gebäude Hb. SH III.
H2c (Pos. 1242). Grauer, kiesiger Silt. Gehniveau in der Fortsetzung von Gebäude Hb gegen Norden hin. SH III.
H3a (Pos. 766). Lehm, Kies, HK und Keramikfragmenten. Benützungsablagerung auf H2a–b in Gebäude Hb. SH III. Abb. 212.
H3b (Pos. 1192). Graubrauner Silt mit HK und verkohlte Bauhölzer in situ. Benützungs- und Brandschicht zu H2c in der Fortsetzung von Gebäude Hb gegen Norden. SH III.
H4 (Pos. 1174). Graubrauner Lehm mit mässigem Kiesanteil, bis 20 cm dick. Schichtpaket zu SH IV. Abb. 212.
H5 (Pos. 43). Grauer, humoser Silt, sehr heterogen in der Zusammensetzung und funddicht. Zu SH V bis Neuzeit. Abb. 212.

Portikus

Schichten
p0 (Pos. 1457). Grauer Silt mit HK, enthält an der OK reichlich Holzsplitter, vielleicht aus der Bearbeitung des Bauholzes. Oberste Verfüllschicht der Grube G 3. SH II. Abb. 212.

p1 (Pos. 1426.1456). Grauer Silt. Planie; Gehniveau zu Gebäude Ga und Ha. SH II. Abb. 211–212.
p2a (Pos. 1478). Gelber Lehm. Erste Planie über p1. SH III. Abb. 211.
P2b (Pos. 1442). Hellgrauer kiesiger Silt. Gehniveau der Portikus zu Gebäude Hb. SH III. Abb. 212.
P3 (Pos. 1393.1441). Leicht sandig-kiesiger, hellgrauer Silt. Gehniveau zu Gebäude Gc–Hc. SH IV. Abb. 211–212.
P4a (Pos. 1316). Rollierung im südlichen Grabungsbereich, faustgrosse Kiesel. Ev. SH IV oder später. Abb. 211, 237–238.
P4b (Pos. 757). Brandschutt im nördlichen Grabungsbereich. SH IV. Abb. 212.

Gebäude I (SH III) (Abb. 217–218, 225–228)

Raum 1
L-förmig (7 m × 5,5 m × 1,5 m). Mögliche Schwelle in der südlichen Wand.

Raum 2
Rechteckig (2 m × 3,5 m). Zwischen Raum 2 und Raum 3 kam ein Gräbchen mit einer mittleren Lücke zum Vorschein. Im Bereich von diesem Gräbchen wurden zahlreiche verbrannte Lehmbrocken mit Rutenabdrücken geborgen, so dass an dieser Stelle mit grosser Wahrscheinlichkeit eine Flechtwerkwand auf Schwelle rekonstruiert werden kann.

Raum 3
Quadratisch (Seitenlänge 3,5 m).

Gruben und Fässer
I.G 1 (Pos. 562). Rechteckig mit ausgerundeten Ecken (L. 3,5 m, Br. 1,4 m, T. 0,7 m), Sohle flach, mit Lehm als Abdichtung verfüllt, enthält Fässer a–c in einer Reihe:
a (Pos. 450). Dm. 95 cm; Bodendauben verkohlt, aber fast vollständig erh. (Bergungsversuch gescheitert); mit Brandschutt verfüllt (Abb. 226).
b (Pos. 494). Dm. 80 cm; keine Bodendauben in situ erh. sondern nur Reste, welche in kleinen Stücken auf dem Boden kreuz und quer lagen; der Fassrand war auf der Sohle deutlich eingedrückt; mit Brandschutt verfüllt.
c (Pos. 495). Dm. 96 cm; keine Fassdauben oder Bodenbretter mehr erh.; auf der Sohle etwas gelber Lehm mit Holzkohlestücken; der Fassrand ist auf der Sohle deutlich eingedrückt; mit Brandschicht verfüllt.
I. G2 (Pos. 666). Gleiche Beschaffenheit wie Grube R562. Enthält Fässer d–e in einer Reihe:
d (Pos. 604). Dm. 95 cm; an den Wänden noch einige Reste von Fassdauben, keine Bodendauben erh.
e (Pos. 605). Dm. 95 cm; verkohlte Fassdauben z.T. gut erh.; Boden schlecht erh.
f (Pos. 606). Dm. 95 cm, wenige verkohlte Daubenreste erh.; etwa 40% der verkohlten Bodendauben erh.

Raum 4
Rechteckig (L. 5,5, Br. 1,5 m). Die nordöstliche Ecke des Gebäudes weist eindeutig grössere Unterlagssteine als der Rest des ganzen Grundrisses auf. Diese Tatsache hat wahrscheinlich mit dem Erhaltungszustand des Gebäudes zu tun, könnte aber gleichwohl mit einer Baumassnahme erklärt werden, um dem Druck der leichten WE-Hanglage standzuhalten.

Schichten
I1 (Pos. 432). Grauer Silt mit sehr grossen Holzkohlekonzentrationen und stellenweise Hüttenlehmbrocken aus dem Wandversturz. Brandschicht zu Gebäude I. SH III. Abb. 227.

Gebäude J

Steinsetzungen
J.S 1 (Pos. 493). Doppelt geführte Reihe von plattigen Sand- und Bruchsteinen und Ziegelfragmenten. Nur eine Lage vorhanden. Die OK liegen alle auf dem gleichen Niveau. «Gartenwegli»? SH III oder eher jünger. Abb. 218, 228.
J.S 2 (Pos. 442). Rechteckige Eintiefung, ca. 1,2 × 1,5 m, T. max. 10 cm, mit doppeltfaustgrossen Bollensteinen und Kies verfüllt. Deutung unklar. SH III oder jünger. Abb. 218, 228.

Schichten
J1 (Pos. 342). Grauer Silt mit sehr starken Holzkohlekonzentrationen. Brandschicht zu Gebäude J. Entspricht I1. SH III.

Gebäude L (SH IV)

Gräbchen
L.Gb 1 (keine Pos.). Auf einer Originalzeichnung dokumentiert, Masse jedoch nicht mehr auszumachen (wohl Br. ca. 40 cm, T. ca. 15 cm). Verläuft WE und wurde auf einer Länge von ca. 1 m beobachtet. Abb. 206, 231.
L.Gb 2 (keine Pos.). Während der Ausgrabung nicht als Struktur erfasst, geht allerdings von der Bilddokumentation deutlich hervor. Verläuft NS, Br. bis 40 cm, T. ca. 15 cm, keine Angaben zur Wand- und Sohlenausformung, auf einer Länge von 2 m verfolgt. Das Gräbchen ist mit verbrannten Brocken von Wandlehm verfüllt. In der Flucht von L.Gb 2 liegen mehrere plattige Steine. Gebäudewand in Schwellbalkentechnik auf Steinauflagern. Überlagert Pfostenstellung E.Pf 1 (Pos. 714, SH II, Abb. 205). Abb. 231.

Gebäude O (SH III–IV)

Pfostenreihe
O.Pf 1 (Pos. 10–11.14.18). Von S nach N: Pos. 10, Dm. Grube 50 cm, Dm. Pfostenabdruck 30 cm; Pos. 18, Pfostenabdruck 36 cm, mit Brandschutt verfüllt; Pos. 14, schlecht beobachtete Struktur, mit Brandschutt verfüllt; Pos. 11, Dm. Grube 50 cm, Dm. Pfostenabdruck 30 cm, mit Brandschutt verfüllt. SH III–IV. Abb. 252.

Feuerstelle
O.F 1 (ohne Pos.). Geröllbett, darüber Lehm hartgebrannt, glatte, etwas erhöhte Oberfläche. Gesamtdurchmesser 1,10 m. In der gleichen Konstruktionstechnik mind. einmal erneuert. SH III–IV. Abb. 252.

Kanäle

SH II
K 1 (Pos. 1087). Br. 30 cm, L. mind. 4 m, T. 15 cm, flache Sohle. Zusammenhang zu den Gruben G 6 und G 8 nicht im Detail dokumentiert. Kanal 1 führte wahrscheinlich Wasser vom oder zum Gebäude Ga. Bei der Ostwand des Gebäudes gehörten die zwei Pfosten G.Pf 4 zu einer möglichen Schliessvorrichtung. Zusammenhang zum fraglichen Gräbchen Gb 8 (s. unten) unklar. Abb. 207.

SH IV
K 2 (Pos. 147). Schmales Gräbchen, Br. 20 cm, T. 15 cm, Wände in 70°-Winkel eingestochen, flache Sohle, mit sterilem, gelbem, sandigem Lehm verfüllt. Auf einer Länge von ca. 5 m beobachtet, verläuft WE in Richtung Grube G 18, Zusammenhang zwischen beiden Strukturen allerdings nicht mehr auszumachen. Die Struktur weist eine Verbreiterung von 40 x 40 cm auf. Unter Vorbehalt als Teuchelleitung interpretiert. Dagegen scheint allerdings die kompakte, sterile Verfüllung und die Zeitstellung zu sprechen. Abb. 231.

SH VI
K 3 (Pos. 144). 40–50 cm breit und 40 cm tief mit flacher Sohle. Wangensteine sind mit grossen Geröllen, Sandsteinplatten oder wiederverwendeten Ziegeln bedeckt. Darüber folgt eine lockere Kieselschüttung. Verläuft WSW–ENE. Kanal. Abb. 258, 262–263.
K 4 (Pos. 146). Gleiche Konstruktionsmerkmale wie K 3. Verläuft parallel zu K 3, in einer Entfernung von etwa 4 m. Abb. 258, 261, 263.

Gräben

SH II
Gb 5 (Pos. 93). Struktur mit unregelmässigen Konturen, verläuft NS und wurde auf einer Länge von ca. 5 m verfolgt; ca. 90 cm breit und 10–20 cm tief, mit flacher Sohle. Die Verfüllung weist die gleiche Zusammensetzung wie die umliegende Schicht 5 auf, enthält allerdings Kies und HK. Auf der Sohle des Grabens kam eine Pfostenstellung zum Vorschein (Pfosten D.Pf 3), dessen Holzreste ein Dendrodatum um 41 n.Chr. ergeben haben. Die Interpretation dieser Struktur ist noch offen; unklar bleibt zudem, ob sie gegen Süden weiter zu ergänzen wäre oder ob sie wirklich nur auf diese Zone beschränkt ist. Abb. 205.
Gb 6 (Pos. 81). Struktur in allem gleich wie Gb 5. Sie enthielt allerdings keinen Pfosten. Läuft parallel zu Gb 5, in einer Enfernung von ca. 5 m. Abb. 207.
Gb 7 (Pos. 848). Einzig im Profil eines Grabungsfeldes beobachtet. Br. 70 cm, T. 40 cm, runde Sohle, Verfüllung weist eine undeutliche horizontale Zweiteilung auf. Wohl Teil eines WE-verlaufenden Balkengrabens. Abb. 204, 207.
Gb 8 (Pos. 1091). Br. ca. 20, auf einer Länge von ca. 60 cm beobachtet, T. mehr als 10 cm. Deutung unklar. Evtl. besteht ein Zusammenhang zu Kanal 1 (s. oben). Abb. 207.
Gb 9 (Pos. 1472). Ca. 13 cm breit, 15 cm tief. Wände senkrecht eingestochen, flache Sohle. Vielleicht Abdruck eines Balkens oder einer Bohle. Trennt die Portikus von Strasse 1a. SH II. Abb. 207, 211.

SH III
Gb 10 (Pos. 858). Zeichnet sich im Profil ab. Wurde in der Fläche nicht dokumentiert. Br. 60 cm, erh. T. 25 cm. Mit graubraunem Silt und kleinen Holzkohlefragm. verfüllt. Abb. 222.
Gb 11 (Pos. 768). L. > 1 m, Br. 80 cm, T. ca. 30 cm. Mit verbranntem Hüttenlehm verfüllt. Zusammenhang zu Pfostenlöcher Pf 10 und Pf 11 nicht gesichert. Abb. 222.
Gb 12 (ohne Pos.). Br. 80 cm, T. 40 cm mit flacher Sohle; zeichnet sich im Westprofil der Ausgrabung ab.

SH IV
Gb 13 (Pos. 171). 1 m breit, 20–40 cm tief, unten wannenförmig rund in der Breite und in der Länge; auf einer Länge von etwa 4 m beobachtet, homogen verfüllt. Abb. 206.

Gruben
Zeitstellung unklar

G 1 (Pos. 960). Langrechteckig (L. 190 cm, Br. 40 cm, erh. T. 40 cm), senkrechte Wandung, flache Sohle. Sandig-siltige Verfüllung mit Mörtelbrocken und vielen Koprolithen und einigen Verputzfragmenten. Zeitstellung und Funktion unklar. Abb. 202–203.
G 2 (Pos. 954). Rechteckig mit ausgerundeten Ecken (L. 65 cm, Br. 35 cm, erh. T. 20 cm), senkrecht in den gewachsenen Boden eingestochen, flache Sohle; im unteren Bereich mit dunkelgrauem Silt mit Eisenschlacken und einer beträchtlichen Menge Hammerschlag verfüllt; der Rest der Füllung besteht aus sterilem, gelbem Lehm und Brocken von verbranntem Lehm. Funktion unklar, evtl. Tauchbecken einer Schmiede, sekundär mit dem Abraum der Schmiede selbst verfüllt. Abb. 202–203.

Siedlungshorizont I

G 3 (Pos. 1431). Flache Senke. Auf Grund der Profilzeichnungen konnte eine Ausdehnung in der NW-Ecke der Parzelle von 10,5 x 3,5 m rekonstruiert werden. Die erh. Tiefe beträgt 40 cm, die Sohle ist eher flach, die Wände sind allerdings nicht scharf eingestochen. Wohl natürliche Senke im Oberboden der Moräne, aufgrund der torfigen Einfüllschichten im untersten Bereich, vielleicht Verlandungsstelle eines Teichs, beim Errichten des ersten Gebäudes Ha mit sterilem Material zugeschüttet. Abb. 202, 212.

Siedlungshorizont II

G 4 (Pos. 77). An der Grabungsgrenze angeschnitten; wohl rechteckig, mit abgerundeten Ecken (Seitenlänge ca. 120 cm, Br. unbekannt, erh. T. ca. 60 cm), Wände in ca. 60°-Winkel eingestochen, flache Sohle, humose Verfüllung. Möglicherweise mit Brettern ausgefächert[16]. Enger Zusammenhang zu Grube G 5. Die Untersuchung der botanischen Makroreste aus der unteren Verfüllschicht hat Kerne von Kirsche (Prunus sp.), Schlehe (Prunus sp.), Zwetschge (Prunus domestica) und Feige (Ficus carica) ergeben[17]. Abb. 207, 214. Kat. **28–30**.
G 5 (Pos. 79). An der Grabungsgrenze angeschnitten; wahrscheinlich rund (Masse können nicht ermittelt werden, erh. T. 50 cm), Wände in ca. 60°-Winkel eingestochen, wohl flache Sohle, humose Verfüllung. Enger Zusammenhang mit Grube G 4. Abb. 207, 214.
G 6 (Pos. 264). Nur im Profil eines Suchschnittes beobachtet, Form nicht erfasst, wohl eher rechteckig (Br. 1,2 m, T. 1,2 m), senkrechte Wände, flache Sohle, humos-sandige Verfüllschichten. Zweitverwendung als Abfallgrube möglich. Muss über eine gewisse Zeitspanne gleichzeitig mit Grube G 10 offen gestanden haben, war aber zu einem früheren Zeitpunkt verfüllt. Die Grube enthielt ausser Astmaterial von Buche und Hasel auch ein Fragment einer Schindel aus Fichte[18]. Abb. 207.
G 7 (Pos. 266). An der Grabungsgrenze angeschnitten; rechteckig (L. mind. 2,2 m, Br. 1 m, T. 1,1 m), Wände gerade eingestochen, Sohle flach, humose Verfüllschichten. Abb. 205, 229.
G 8 (Pos. 1095). Rechteckig, mit abgerundeten Ecken (L. 1,3 m, Br. 0,9 m, T. mind. 0,7 m), senkrecht eingestochene Wände, flache Sohle, organische und kiesige Füllschichten, wohl ursprünglich mit Holzausfachung und Eckpfosten; möglicherweise Wassersammler in Zusammenhang mit Gebäude Ga und Kanal K 1. Abb. 207. Kat. **31–35**.
G 9 (Pos. 989). Wohl längsoval, nicht vollständig dokumentiert (L. mind. 2 m, Br. 1,5 m, T. 40 cm), flache Sohle, mit dunklem grauem Ton verfüllt, bildet eine flache Mulde, wobei bis zum Schluss unklar blieb, ob es sich dabei um eine blosse Verfärbung aus der darüber liegenden neuzeitlichen Jauchegrube handelt oder ob eine tatsächliche römische Struktur vorliegt; keine Funde. Abb. 207.
G 22 (Pos. r7). Vermutlich oval bis rund (Dm. ca. 1,5 m); in ca. 60°-Winkel eingestochen, sandige Verfüllung mit HK. Lage am nördlichen Rand der Ausgrabung angetroffen. SH-Zuweisung unsicher. Funktion unbekannt, wahrscheinlich mit dem Abraum einer abgebrannten Struktur verfüllt. Abb. 249.
G 23 (Pos. r10). Grosse ovale Grube (L. 3,7 m, Br. 2,3 m, T. ca. 0,2 m), fast senkrecht eingestochen; lehmig-sandige Verfüllung mit HK, mit dünner Holzkohleschicht überdeckt. Stratigraphisch eindeutig zugewiesen. Funktion unbekannt, wahrscheinlich mit dem Abraum einer abgebrannten Struktur verfüllt. Abb. 249.

Siedlungshorizont III

G 10 (Pos. 176). Nur teilweise ergraben. Eher rechteckige Form (L. mind. 1,5 m, Br. mind.1 m, T. ca. 60 cm), senkrecht eingestochene Wände, flache Sohle, mehrere Steine liegen auf der Sohle, humose Verfüllschichten dominieren. Zweitverwendung als Abfallgrube möglich. Mit Grube G 6 gleichzeitig, könnte aber länger in Gebrauch gewesen sein. Die Untersuchung der organischen Reste aus dieser Grube hat neben mehreren Fragmenten von Schindeln aus Tanne (Abies alba) auch zahlreiche Makroreste von verschiedenen gut erhaltenen Samen und Pflanzenresten ergeben. Zu erwähnen sind u. a. Schwarzer Holunder (Sambucus nigra), Ackersalat (Valerianella dentata), Gänsefuss (Chenopodium sp.), Doldengewächse (Umbrelliferae), Lippenblütler (Labiatae), Hahnenfuss (Ranunculus), Wolfsfuss (Lycopus europaeus), Ziest (Stachys sp.) und Kirsche (Prunus sp.)[19]. Die Grube enthielt ausserdem reichlich Stroh, u.a. aus Stengelfragmenten von Ampfer und Stengel- und Astfragmente von Buche, Eiche, Erle, Weide und Hasel. Auf Grund dieser Zusammensetzung könnte die Grube als Fäkaliengrube verwendet worden sein, in die ebenfalls Stallmist geschüttet wurde. Abb. 222. Kat. **59–68**.
G 11 (Pos. 180). Runde Form (Dm. 1,3 m, T. 1 m), Wände senkrecht eingestochen aber deutlich überhängend, humose und zuoberst leh-

mige Füllschichten. In den Materialproben aus den organischen Füllschichten waren Splitter und Astmaterial aus Eiche (Quercus sp.), Buche (Fagus sylvatica), Kirsche (Prunus sp.) und Tanne (Abies alba) enthalten, während an botanischen Makroresten Doldengewächse (Umbrelliferae), Fingerkraut (Potentilla), Körbchenblütler (Compositae), Kirsche (Prunus sp.), Zwetschge (Prunus domestica) und diverse andere Arten erkannt werden konnten[20]. Funktion unklar, zuletzt wohl als Abfallgrube und Latrine verwendet, danach mit dem Abraum aus den Gebäuden verfüllt. Abb. 222.

G 12 (Pos. 197). Rechteckige Form, an der Oberfläche eher oval (L. 1,5 m, Br. 1,2, T. 1 m), senkrechte Wandung, flache Sohle, organisch-lehmige Einfüllschichten. Aus der Verfüllung stammen Splitter und Astmaterial von Eiche, Tanne und Hartriegel, sowie ein Brettchen aus Tanne und ein Schindelfragment aus Fichte[21]. Vielleicht Latrine. Abb. 218–219. Kat. **69–74**.

G 13 (Pos. 199). Wohl rechteckig (L. mind. 1,5 m, Br. mind. 1,3 m, T. 1 m), steile Wände, flache Sohle, graue lehmige Verfüllung. Gleich neben G 15. Abb. 222. Kat. **75–79**.

G 14 (Pos. 935). Länglich-oval (L. 3,4 m, Br. 1,3 m, T. erh. ca. 0,5 m, da neuzeitlich gestört), Sohle ausgerundet, organische Verfüllung mit tonig-lehmigem Anteil, wohl Latrine/Abfallgrube. Abb. 222. Kat. **80–87**.

G 15 (Pos. 202). Form unsicher, eher rechteckig (L. 2 m, Br. mind. 1,8 m, T. 1,1 m), Wände in 60°-Winkel eingestochen, flache Sohle, graue lehmige Füllung. Zusammenhang zu Grube G 13 unklar, ziemlich sicher gleichzeitig. Abb. 222. Kat. **88–96**.

G 16 (Pos. 925). Runde Grube (Dm. 1,1 m, erh. T. ca. 60 cm), senkrecht eingestochene Wände, flache Sohle, organische Verfüllung mit relevanten Einschlüssen aus kompaktem Sandsteinschutt im oberstem Bereich. Horizontzuweisung nicht sicher, da neuzeitlich gestört: zu SH III oder jünger. Funktion unbekannt. Abb. 222.

G 17 (Pos. 638). Leicht viereckig (oben Dm. 50 cm, eher rund; unten Dm. 70 cm, leicht viereckig), stark überhängende Wände, flache Sohle, mit Steinen und eher grossen Keramikfragmenten verfüllt, unklarer Befund (evtl. zwei kleine Gruben übereinander). Deutung unklar. Abb. 218.

G 24 (Pos. r8). Rundliche Form (Dm. 1,8 m, T. ca. 0,4 m), mit Bauschutt verfüllt und Brandschutt Schicht 8 verfüllt. Abb. 252.

G 25 (Pos. r3). Unförmig-ovale Mulde (Dm. ca. 90 cm; T. ca. 10 cm), mit dunkelgrauem, humosem Sand und Brandschutt verfüllt; Funktion unklar. Nicht abgebildet.

G 26 (Pos. r1). Langoval (L. 2,4 m, Br. 1 m, T. 0,45 m), steil in den gewachsenen Boden eingestochen, mit Brandschutt verfüllt. Funktion unklar. Abb. 252.

G 27 (Pos. r5). Quadratische Grube, senkrecht eingestochen, mit Brandschutt verfüllt. Kadavergrube (Skelett von einem etwa 2?-Jahre alten Rind typisch römerzeitlicher Züchtung, schlachtgerecht zerlegt; Schädel in getrennte Grube verscharrt; Bestimmung: Ph. Morel, Basel). Zeitstellung unsicher, evtl. sogar nachrömisch. Abb. 252, 254.

G 28 (Pos. r6). Sodbrunnen (Grubenaushub Dm. 2,5 m; Steinkranz innen Dm. 85 cm; T. mind. 2 m ab OK des gewachsenen Bodens, Sohle nicht erreicht), mit plattigen Steinen (meist Sandsteinen) sauber ausgelegt. Zeitpunkt der Anlage des Sodbrunnens ist unbekannt. Abb. 252, 255. Kat. **206–239**.

Siedlungshorizont IV

G 18 (Pos. 283). Quadratisch (1,5 m Seitenlänge, 1,5 m tief), senkrechte Wände, flache Sohle, organische und z.T. sandige Verfüllschichten, mit massiver Holzkonstruktion ausgefacht. Wohl als Wassersammler konzipiert; in Grube G 19 enthalten. Holzverschalung mit Eckpfosten. Diese sind im Querschnitt quadratisch zugehauen und ihre Kanten abgeschnitten. Im oberen Teil wurde in den Eckpfosten eine Kerbe herausgeschnitten für die Spannriegel. Unten waren ebenfalls Spannriegel zwischen den Pfosten eingeklemmt, um einen möglichen Verzug der Konstruktion zu vermeiden. Die Wände bestehen aus Brettern, Spältlingen und Hälblingen, meistens noch mit Rinde. Die einzelnen Bretter waren hinter die Pfosten geschoben. Die Konstruktion besitzt keinen Boden. Ein Brett der nördlichen Wand hat ein absolutes Dendrodatum um 121 n.Chr. mit WK Herbst/Winter geliefert. Das Datum stellt somit einen t.p. für die Benutzung und definitive Verfüllung der Grube dar. Abb. 231, 239–242. Kat. **120–175**.

G 19 (Pos. 273). Grosse, runde Grube (Dm. 3,5 m, T. konnte nicht ermittelt werden), die Wände und Sohle sind rund bis konisch, mit einem hellgrauen siltigen Lehm verfüllt. Enthält die Holzkiste/Grube G 18 und diente wahrscheinlich als eine Art Abdichtung für diesen Wassersammler. Keine Funde. In der Verfüllung dieser Grube wurden Splitter und Astmaterial von Eiche, Tanne, Hasel, Kernobstgewächs und Weide sowie ein Holzpfahl aus Feldahorn identifiziert[22]. Abb. 231, 239. Kat. **176–180**.

G 20 (Pos. 424). Quadratische Grube (1,5 m Seitenlänge, erh. T. ca. 0,5 m), senkrechte Wände, flache Sohle, mit organischen Schichten verfüllt. Vier schlecht erh. Eckpfosten zeugen von einer Holzverschalung. Wahrscheinlich als Wassersammler/Brunnen konzipiert, dann als Latrine/Abfallgrube verwendet. Gleiche Konstruktion und Masse wie Grube G 18 aber schlechter erh. und durch jüngere Strukturen gestört. Abb. 231, 239, 243. Kat. **181–192**.

G 21 (Pos. 172). Runde bis leicht ovale Form (Dm. oben ca. 1,9 m, Dm. Sohle 1,2 m, T. 2,3 m), Wände in 70°-Winkel eingestochen, flache Sohle, organische Füllschichten dominieren. Ursprüngliche Funktion als Sodbrunnen möglich. Aus den organischen Füllschichten stammen zahlreiche Makroreste: Splitter und Astmaterial aus Tanne (Abies alba), Buche (Fagus sylvatica), Eiche (Quercus sp.), Hasel (Corylus avellana), Erle (Alnus sp.), Kirsche (Prunus sp.), Schlehe (Prunus spinosa), Kernobstgewächs (Pomoideae), Waldrebe (Clematis vitalba) und Esche (Fraxinus excelsior). Bei den Holzobjekten sind ausser einigen Pflöcken aus Buchenholz auch drei Fragm. einer Karde zu erwähnen. Sie ist aus Buche, während die z.T. in den Löchern noch erhaltenen Borsten aus den Kurztrieben eines Strauches oder aus Dornen einer Astragalusart sind[23]. Zusammenhang zu Gebäude L. unklar. Abb. 231. Kat. **193–201**.

Pfostenstellungen

SH II

Pf 4 (Pos. 513.517.519). Drei Pfosten möglicherweise in einer Reihe. Sie zeichneten sich als dunkle Verfärbung in der Schicht 5 ab. Von S nach N: Pos. 513, Dm. 47 cm, T. 48 cm, runde Sohle, mit Keilsteinen, wenige Holzreste; Pos. 517, 3 m von Pos. 513 entfernt, Dm. 43 m, T. 35 cm, flache Sohle mit Keilsteinen, vermoderte Holzfragmente im untersten Bereich erh.; Pos. 519, 1,2 m von Pos. 517 entfernt, Dm. 37 cm, T. 16 cm, runde Sohle mit Keilsteinen, kiesige Verfüllung. Abb. 205.

Pf 5 (Pos. 250). Quadratische Form, 20 cm Seitenbreite, T. mehr als 30 cm, Steine an den Wänden und auf der Sohle. Liegt direkt neben Grube G 7. Abb. 205.

Pf 6 (Pos. 701). Runde Form, Dm. ca. 30 cm, T. nicht dokumentiert. Abb. 207.

Pf 7 (Pos. 230). Runde Form, Dm. 20 cm, T. mehr als 40 cm, enthält reichlich HK. Abb. 207.

Pf 8 (Pos. 83). Runde Form, Dm. 60 cm, erh. T. 10 cm. Verfüllung weist Holzkohlefragmente, aber keine Keilsteine auf. Liegt direkt neben Gräbchen Gb 6 (s. oben). Deutung als Pfostenloch nicht sicher. Abb. 207.

---

16 Eine Schindel aus der untersten Verfüllschicht wurde im Dendrolabor der Stadtarchäologie Zürich gemessen und hat ein relatives Enddatum von 36 n.Chr. ohne Splint mit einer B-Korrelation ergeben (Archiv KA Zürich).

17 Von Werner Schoch 1992 im Labor für quartäre Hölzer, Adliswil, bestimmt (Archiv KA Zürich).

18 Anm. 17.

19 Anm. 17.

20 Anm. 17.

21 Anm. 17.

22 Anm. 17.

23 Anm. 17.

SH III
Pf 9 (Pos. 866). Ovale Form, 40×60 cm, erh. T. 9 cm, flache Sohle. Deutung der Struktur als Pfostenloch nicht ganz sicher. Abb. 222.
Pf 10–11 (Pos. 912). Runde Form, Dm. 110 cm, enthält die Negative zweier Pfosten: Pf 10, Dm. 35 cm, T. 40 cm, flache Sohle und Pf 11, Dm. 50 cm, T. 45 cm, runde Sohle. Abb. 222.
Pf 12 (Pos. 192). Runde Form, Dm. 70 cm, erh. Tiefe 30 cm, flache Sohle mit Keilsteinen. Abb. 218.

SH IV
Pf 13 (Pos. 325.449.547.558.640.654.656.660.663.1011). Reihe von mind. zehn Pfosten; sie liegen in einer regelmässigen Entfernung voneinander von 2, 6 m. Von S nach N: Pos. 1011, Dm. 55 cm, flache Sohle, wird von Graben Gb 17 und neuzeitlicher Struktur gekappt, erh. T. 22 cm; Pos. 654, Dm. Grube 50 cm, Dm. Pfosten 30 cm, flache Sohle mit Keilsteinen, erh. T. 25 cm; Pos. 656, Dm. 60 cm, verrundete Sohle, wird von Graben Gb 17 (SH V) gekappt, T. ab Sohle Gb 17 ca. 10 cm; Pos. 660, Dm. Grube 65 cm, Dm. Pfosten 30 cm, flache Sohle, wird vom Graben Gb 17 (SH V) gekappt, T. ab Sohle Gb 17 25 cm; Pos. 663, leicht ovale Form, Dm. 60 cm, flache Sohle mit Keilsteinen, erh. T. 23 cm; Pos. 640, Dm. 60 cm, flache Sohle mit gestellten Ziegelfragmenten zur Verkeilung, durchschlägt Strasse 2, keine Angaben zur T.; Pos. 558 und Pos. 449, Dm. Grube 65 cm, Dm. Pfosten 30 cm, flache Sohle, mit grauem Silt und grossen Ziegelfragmenten und Kieseln hinterfüllt, T. Pos. 449 27 cm, T. Pos. 558 keine Angaben, durchschlägt Strasse 2; Pos. 547, Dm. Grube 65 cm, Dm. Pfosten 30 cm, flache Sohle, mit Kies und wenigen Ziegelfragmenten hinterfüllt, T. 29 cm, durchschlägt Strasse 2; Pos. 325, Dm. Grube nicht beobachtet, Dm. Pfosten 30 cm, Holzfragmente im unteren Bereich erh., T. 65 cm. Scheinbar gab es im Feld zwischen Pos. 547 und Pos. 325, die ca. 5 m voneinander entfernt liegen keine Hinweise auf eine weitere Pfostenstellung. Hinzu kommt Pos. 396 (durchschlägt Grube G 17), Dm. 40 cm, leicht verrundete Sohle, T. 40 cm, keine Keilsteine. Abb. 231.
Pf 14 (Pos. 327.391.399.473). Reihe von vier Pfostenstellungen in regelmässigem Abstand von ca. 2 m. Von W nach E: Pos. 327, Dm. 30 cm, runde Sohle mit mittelgrossem Kieselstein und weiteren feinen Kieseln als Keilsteine, T. ca. 30 cm; Pos. 399, Dm. 35 cm, runde Sohle, mit tonigem Silt, kleinen Kieselsteinen und Baukeramiksplittern verfüllt, T. 26 cm; Pos. 473, Dm. ca. 30 cm, runde Sohle, erh. T. max. 10 cm, von neuzeitlicher Struktur gestört, SH-Zuweisung aufgrund des Zusammenhangs mit einer Pfostenreihe; Pos. 391, leicht ovale Form, 25 x 30 cm, flache Sohle, erh. T. ca. 10 cm, liegt 2 m von Pos. 399 entfernt. Abb. 231.
Pf 15 (Pos. 258.305.399). Reihe von drei Pfostenstellungen. Von S nach N: Pos. 399, s. Pf 14; Pos. 305, Dm. Grube 30 cm, Dm. Pfosten ca. 20 cm, runde Sohle, T. ca. 60 cm, mit Steinen und Ziegelfragmenten hinterfüllt, liegt ca. 2 m von Pos. 399 entfernt; Pos. 258, unsicherer Schichtzusammenhang, Dm. 30 cm, flache Sohle, T. ca. 40 cm, kiesige Verfüllung, liegt 2,1 m von Pos. 305 entfernt. Abb. 231.

Feuerstellen

SH III
F 1 (Pos. 983). Ovale Lehmlinse (0,7 x 0,5 m) mit leicht bombierter, verbrannter Oberfläche. Sie liegt auf einem Bett aus feinen Kieseln und ist von brandgeröteten Sandsteinfragmenten umgeben. Gehört evtl. zu einer früheren Siedlungsphase. Abb. 217, 222.

Strassen

Strasse 1a (Pos. 1430). Heterogene Schüttung aus Kies (0,5 bis 6 cm Dm.) und Steinen (6 bis 20 cm Dm.), mit grauem Silt vermischt. SH II. Abb. 207, 211–212.
Strasse 1b (Pos. 1396). Faust- bis doppelfaustgrosse Kiesel mit wenig braunem Silt vermischt. Kompakt. SH III. Abb. 211–212, 222.
Strasse 1c (Pos. 1319). Ähnliche Zusammensetzung wie Strasse 1b, aber deutlich lockerer. SH IV. Abb. 211–212, 234, 237.
Strasse 2 (Pos. 389). Schüttung aus feinen Kieseln (0,5 bis 1 cm), etwa 1 m breit; biegt südlich von Gebäude I um, eine Fortsetzung in Richtung Hauptstrasse muss aber angenommen werden. SH III, bestand aber vielleicht schon ab SH II in Zusammenhang zu Gebäude A–Br. Abb. 218, 225, 227–228.
Strasse 3. Dicht gesetzter Geröll, Oberfläche hart. Dazwischen grauer Sand, Lehm und Eisenoxyd. 2,7 m breit, auf einer Länge von 15 m erfasst. Abb. 252–253.

6.2 Fundkatalog Römerstrasse 227/229 *(F. Hoek und R. Janke)*

SH I (bis 20–30 n. Chr.)

Bauniveau in Gebäude G
1 RS Consp. 12.4, ital. TS. FK 1457.
2 RS Teller, ital. TS. FK 1530.
3 RS Drack 2/3, beiger mehliger Ton, roter Überzug, stark abgeplatzt. FK 1459.
4 RS Drack 18, rottonig, roter Überzug fast vollständig abgeplatzt. FK 1457.
5 WS Schale, glasierte Ker., hellbeiger weicher Ton mit Resten einer dunkel braunen Glasur, Perlstab und Ranke. FK 1503.
6 RS Tonne, Ker. in SLT-Tradition, hellbrauner Ton, kein Überzug erh.. FK 1525.
7 RS Napf mit eingebogenem Rand, grautonig mit schwarzem Überzug. FK 1525.
8 RS Schüssel, grauer Ton. FK 1459.
9 RS Topf, grautonig mit schwarzer Oberfläche. FK 1534.
10 RS kleiner Becher, grautonig, Reste von schwarzem glänzendem Überzug. FK 1457.
11 RS Dolium, helltonig, auffallend sandige Magerung mit Glimmereinschlüssen. FK 1457.
12 Armring aus Bronze. FK 1538. ME 20.
13 Hirschgeweihkrone mit Säge- und Hackspuren am proximalen Ende. FK 1505.

SH II (Mitte 1. Jh. n. Chr.)

Gebäude B

Grube B.G1 (Pos. 668)
14 BS Drag. 27 mit Stempel SCOTI(VS) aus La Graufesenque (Oswald 1931, 285). (ST 87). Rychener 1984, Kat. 17. FK 932.
15 RS und WS Topf, grauer Ton. FK 937.
16 RS Topf, hellbeiger Ton. FK 932.
17 RS Topf, grauer Ton. FK 932.
Nicht abgebildet: 1 TS-Teller unbestimmbar; 1 Drack 21.

Gebäude Da

Grube D.G1 (Pos. 708)
18 RS Drack 9, grauer mehliger Ton, schwarzer stark abgeplatzter Überzug. FK 971.
19 RS Kragenrandschüssel, hellgrauer Ton. FK 961.
20 RS Topf, hellgrauer Ton. Rychener 1988, Taf. 16, 91. FK 967.
21 RS Topf, grauer Ton. FK 971.
22 Beinahe ganzes Profil Dolium, grauer Ton. Stück aus der Produktion Oberwinterthur-Bäumlistrasse (B. Hedinger in Vorb.). FK 967/971.
Nicht abgebildet: 4 TS unbestimmbar; 4 TS-Imitationen unbestimmbar.

Grube D.G2 (Pos. 881)
23 RS Drag. 15/17. FK 1135.
24 RS Drag. 24/25. FK 1131.
25 RS Topf, grauer Ton, aussen Reste von Glättung oder schwarzem Überzug. Rychener 1988, Taf. 16,91. FK 1133.
26 RS Becher, beiger Ton. FK 1135.
27 RS grobkeramischer Kochtopf, dunkelgrauer harter Ton. FK 1133.
Nicht abgebildet: 2 Drag. 15/17; 1 TS-Teller; 3 Drag. 24/25; 1 Fragm. Reliefschüssel; 1 Hofh. 12; 2 TS unbestimmbar; 1 Drack 20/21.

Gruben ausserhalb von Gebäuden

Grube G4 (Pos. 77)
28 RS Drag. 24/25. FK 139.
29 RS Drag. 27. FK 139.
30 WS Becher?, grauer Ton, aussen und innen grünliche Bleiglasur. Ettlinger/Simonett 1952, 31 f., Taf. 10, Kat. 192 bis 194. FK 139.
Nicht abgebildet: 1 Drag. 18/31; 1 Drag. 27; 1 TS unbestimmbar; 1 Drack 21; 1 TS-Imit. Teller.

Grube G5 (Pos. 79)
Nicht abgebildet: 1 Drack 20.

Grube G7 (Pos. 266)
Nicht abgebildet: 1 TS-Imit. Teller.

Grube G8 (Pos. 1095)
31 RS Drag. 15/17. FK 1291/1292.
32 RS Drag. 18/31. FK 1291.
33 WS mit Bemalung in SLT-Tradition, evtl. in sekundärer Verwendung als Spielstein? FK 1292.
34 RS Drack 21, grauer Ton, schwarzer Überzug. FK 1291.
35 RS Schüssel, grauer Ton, im Kern hellgrau. Rychener/Albertin 1986, 174,289. FK 1291.
Nicht abgebildet: 2 Drag. 15/17; 1 Drag. 18/31; 1 TS-Teller unbestimmbar; 1 Drack 21.

Grube G9 (Pos. 989)
Nicht abgebildet: 1 Drag. 18/31; 1 TS-Imit. Teller; 1 Drack 20/21.

Aus Gebäude Ga, Benutzungsschicht G1
36 RS Reibschüssel mit Steilrand und Ausguss, antike Flickstelle, beiger mehliger Ton, im Kern orange. Furger/Deschler-Erb 1992, Phase 2, Taf. 4, 63. Zu geflickten Gefässen: S. Martin-Kilcher, Römische Geschirrflicker. Augster Blätter zur Römerzeit 1 (Augst 1978), mit weiterführender Lit.. FK 1444.

SH III (2. Hälfte 1. Jh. n. Chr.)

Gebäude Eb

Grube E.G1 (Pos. 815)
37 Beinahe vollständig erh. Zweihenkelkrug, beiger Ton, Oberfläche innen rötlich. FK 1134/1148/1155.
38 Beinahe vollständig erh. Einhenkelkrug, hellbeiger Ton. FK 1139/1155/1159.
39 Grosse Teile der Randpartie eines Zweihenkelkruges, beigerötlicher Ton. FK 1134/1148.
40 RS Zweihenkelkrug, rötlich brauner Ton. FK 1155.
41 Beinahe vollständig erh. Einhenkelkrug, beiger Ton, auf der Bodeninnenseite Teer- oder Pechreste. FK 1134/1148.
42 Grosse Teile der Randpartie eines Einhenkelkruges, beiger Ton, auf Kragen und Innenseite Teer- oder Pechreste. FK 1134/1148/1155.
43–48 6 Bodenteile von Krügen, alle mit Teer- oder Pechresten. FK 1135/1148/1155.
49 Beinahe ganzes Profil eines Doliums, grauer Ton. Gefäss stammt evtl. aus der Produktion Oberwinterthur-Bäumlistrasse (B. Hedinger in Vorb.). FK 1149.
50 Beinahe ganzes Profil Amphore vom Typ Dressel 20 mit abgesägtem Hals. FK 1147.
Nicht abgebildet: 1 Drag. 18/31; 3 Drag. 27; 3 Hofh. 9/Drag. 8; 1 Drag. 29; 1 Drag. 30; 7 TS unbestimmbar; 1 Drack 2/3; 3 Drack 21; 4 TS-Imit. unbestimmbar, 2 Krugfragm.

Gebäude Gb

Grube G.G1 (Pos. 943)
51 RS Curle 11. FK 1183.
52 RS Hofh. 9/Drag. 8. FK 1257.
53 BS Drag. 29 mit stark glänzendem Überzug. FK 1257.
54 WS Drag. 30. FK 1257.
55 Ganzes Profil Drack 21, grauer mehliger Ton, aussen schwarzer Glanztonüberzug. FK 1251.
56 Ganzes Profil Laveztopf. FK 1183/1329.
Nicht abgebildet: 1 Drag. 15/17; 1 Drag. 18/31; 1 TS-Teller; 1 Drag. 24/25; 1 Drag. 27; 3 Drag. 29; 1 Drag. 30; 7 TS unbestimmbar; 2 Drack 20; 1 TS-Imit. unbestimmbar

Gebäude I

57 TIBERIUS FÜR DIVUS AUGUSTUS. As. Rom 34?–37 n. Chr. RIC I2 99,83. 5,84 g. 360°. 21,0–21,2 mm. A 4/4, K 4/4, verbogen, RS dezentriert. FK 342. M 28.
58 CLAUDIUS. As. Rom 41–54 n. Chr. RIC I2 128,97. 6,62 g. 75°. 26,8–27,8 mm. A 4/4, K 4/4. FK 680. M 32.
Nicht abgebildet: 2 Drag. 15/17; 4 Drag. 18/31; 2 Drag. 24/25; 1 Drag. 27 mit Stempel]ALBINI, ST 5; 4 Drag. 29; 9 TS unbestimmbar; 1 Drack 18; 1 Drack 20; 4 TS-Imit. unbestimmbar.

Gruben ausserhalb von Gebäuden

Grube G 10 (Pos. 176)
59 Ganzes Profil Drag. 15/17. FK 315.
60 BS Schälchen mit Innenstempel RITVS FEC, ST 81. FK 312.
61 WS Drag. 29, grauer Ton, metallisch-schwarzer Überzug. FK 453.
62 WS Drag. 37. FK 422.
63 RS Drack 11, grauer Ton, braungrauer Überzug. FK 332.
64 RS Drack 21, brauner mehliger Ton, auf Kragen und Rand Reste eines braunen Überzugs. FK 315.
65 RS Kochtopf, dunkelgrauer Ton. FK 312.
66 RS Topf, grauer mehliger Ton, Oberfläche geglättet?. FK 330/332.
67 WS Topf? grauer Ton. Rychener 1984, Kat. 302; Rychener/Albertin 1986, Kat. 341.
68 RS Topf, beiger Ton. FK 312.
Nicht abgebildet: 4 Drag. 15/17; 2 TS Teller unbestimmbar; 1 Drag. 35/36; 4 Drag. 27; 8 TS-Fragm. unbestimmbar; 1 TS-Imit. Teller; 1 Drack 20/21; 1 Drack 20; 1 Drack 21; 1 TS-Imit. unbestimmbar.

Grube G 11 (Pos. 180)
Nicht abgebildet: 1 Drag. 35/36; 11 TS unbestimmbar; 1 Drack 2/3; 2 Drack 20; 1 Drack 21; 3 TS-Imit. unbestimmbar; 1 Krug.

Grube G 12 (Pos. 197)
69 RS Drag. 35/36. FK 444.
70 RS Hofh. 9/Drag. 8. FK 425.
71 RS Drack 21, beiger mehliger Ton, aussen Reste eines rötlichen Überzugs, auf der Innenseite: Teer- oder Pechreste. FK 425.
72 RS Kragenrandschüssel, graubeiger Ton, Oberfläche innen mit kalkiger Ablagerung. FK 419.
73 RS Topf, grauer harter Ton. FK 425.
74 RS Lavez. FK 419.
Nicht abgebildet: 5 Drag. 15/17, eines davon mit Stempel OF M(ur)RA, Werstatt des Murranus aus La Graufesenque (Oswald 1931, 213), ST 60; 2 Drag. 18/31, eines davon mit Stempel OFC[, ST 23; 1 Drag. 24; 9 Drag. 27; 12 Drag. 29; 4 Hofh. 12; 20 TS unbestimmbar; 2 Drack 2/3; 7 Drack 21; 2 Drack 20; 1 TS-Imit. unbestimmbar.

Grube G 13 (Pos. 199)
75 RS Drag. 29. FK 336.
76 RS Drack 19, grauer Ton, Reste eines schwarzen Glanztonüberzugs. FK 324.
77 RS Drack 21, grauer Ton, Überzug nicht mehr erh. FK 323.
78 RS Topf oder Becher, beiger mehliger Ton. FK 323.
79 TIBERIUS FÜR DIVUS AUGUSTUS. As. Rom 22/23 bis 30? n. Chr. RIC I2, 99,81. 8,08 g. 360°?. 28,4–29,2 mm. A 2/3, K 4/4. FK 324. M 24.
Nicht abgebildet: 3 Drag. 18/31; 1 Drag. 24/25; 2 Drag. 27; 1 Drag. 29; 1 Drag. 37; 1 Drag. 30; 15 TS unbestimmbar; 1 Drack 19; 3 Drack 21.

Grube G 14 (Pos. 935)
80 WS Drag. 29, grauer Ton, metallisch-schwarzer Überzug. FK 1191.
81 WS Drag. 37. FK 1194.
82 RS Drack 21, rotbrauner mehliger Ton, beigebrauner Überzug. FK 1194.
83 RS Topf, grauer Ton, aussen geglättet. Rychener 1988, Taf.16,91. FK 1194.
84 WS mit Rädchenverzierung, kleine Rhomben. Rychener/Albertin 1986, 129,293. FK 1194.
85 RS Schüssel, grauer Ton, geglättet. FK 1178.
86 WS Kochtopf, hellgrauer Ton, im Kern dunkelgrau, aussen unregelmässiger Kammstrich. Rychener 1988, 134,103. FK. 1194.
87 Vollständig erh. bronzene Löffelsonde, Variante E nach Riha 1986, 64f. FK 1191. ME 14.
Nicht abgebildet: 2 TS-Teller; 2 TS-Imit. Teller; 1 TS-Imit. Schälchen; 2 Drack 21; 2 Drack 20/21.

Grube G 15 (Pos. 202)
88 RS Drag. 18/31. FK 289.
89 RS Drag. 22/23. FK 289.
90 BS Drag. 27 mit Innenstempel OF PATR[. Wohl Patricius aus La Graufesenque (Oswald 1931, 229), ST 78. FK 310.
91 2 WS Drag. 30. FK 310/537.
92 RS Schüssel/Teller?, grauer mehliger Ton. FK 310.
93 RS Topf, grauer harter Ton. Rychener 1988, Taf. 28,67. FK 305.
94 BS Dreifussgefäss (Kochtopf?), grauschwarzer grob gemagerter Ton. FK 385.
95 RS Reibschüssel, beiger mehliger Ton, im Kern rötlich. Rychener 1984, Kat. 300. FK 280.
96 RS Dolium, grauer Ton. Produkt aus Töpferofen Oberwinterthur-Bäumlistrasse (B. Hedinger in Vorb.). FK 310.
Nicht abgebildet: 4 Drag. 18/31; 1 TS-Teller; 1 Drag. 22/23; 3 Drag. 27; BS Schälchen mit Innenstempel CELSIO. Werkstatt des Celsius aus La Graufesenque (Oswald 1931, 71), ST 29; 9 Drag. 29; 12 TS unbestimmbar; 1 Drack 2/3 Teller?; 1 Drack 3–6?; 3 Drack 20; 3 Drack 21; 3 TS-Imit. unbestimmbar.

Grube G 16 (Pos. 925)
97 RS Drack 21, grauer Ton, aussen Reste eines schwarzen Glanztonüberzugs. RF 2 nach Rychener 1986, 76f. FK 1170.
98 BS und WS Tonne, grauer Ton. Gefäss stammt aus der Produktion der Töpferöfen an der Dorfstr. 7 in Oberwinterthur (B. Hedinger in Vorb.). FK 1169/1171.
Nicht abgebildet: 3 Drag. 27; 1 Drag. 29; 5 TS unbestimmbar; 2 TS-Imit. unbestimmbar.

Grube G 17 (Pos. 638)
Nicht abgebildet: 1 Krug mit unterschnittenem Kragenrand, 1 Drack 21.

Gebäude Gb, Funde aus den Schichten G2–G3
99 2 RS Consp. 20, ital. TS, stark verwittert. FK 1496.
100 Ganzes Profil Drag. 15/17, südgall. TS, Überzug punktuell abgeplatzt. FK 1416/1474/1627.
101 RS Drag. 18/31, südgall. TS. FK 1468.
102 Ganzes Profil Hofh. 9. FK 1627.
103 RS, BS Drack 2, rottonig, Überzug fast vollständig abgeplatzt. FK 1491.
104 RS, WS Drack 3, rottonig, Überzug fast vollständig abgeplatzt. FK 1496.
105 2 RS, Teller, rottonig mit sandiger Magerung und Glimmereinschlüssen, teils verbrannt. FK 1496.
106 RS Napf mit verdicktem Rand, hellgrau, o. Überzug. FK 1496.
107 RS Napf mit eingebogenem Rand, grau, Spuren eines schwarzen Überzugs. FK 1496.
108 2 RS Drack 21, beiger Ton, rötlich brauner stark abgeschliffener Überzug. FK 1474/1627.
109 2 RS kleiner Topf, grautonig, grobgemagert, Russspuren auf dem Rand, verbrannt. FK 1470.
110 RS Topf, grauer Ton, Reste eines Überzugs. FK 1392.
111 RS Einhenkelkrug, rötlichbrauner mehliger Ton. FK 1476.
112 5 RS Volutenlampe mit gerundeter Schnauze (Loeschke Typ 4). Minerva mit Schild und Lanze. Vgl. Leibundgut 1977, Taf. 24,14; Hänggi et al. 1994, 520f. FK 1392/1496.
113 REPUBLIK. As, halbiert, Rom? 211-89 v.Chr., Januskopf/Prora, 13,09 g, 16,6–33,9 mm, A 5/5, K 4/4. FK 1494. M 8.
114 TIBERIUS FÜR DIVUS AUGUSTUS. As, halbiert, Rom 22/23–30? n.Chr., RIC I2 99,81, 3,82 g, 14,7–27,4 mm, A 3/3, K 3/3. FK 1469. M 26.
115 Bronzeblechfragm.. FK 1475. ME 71.
116 Hülsenspiralfibel, Messing, sehr gut erh., nicht patiniert. FK 1484. FB 8.
117 Hülsenscharnierfibel, Messing, stark korrodiert, zerdrückt und fragm. FK 1498. FB 18.
118 Hülsenscharnierfibel, Bronze, ursprünglich verzinnt, korrodiert und leicht verbogen. FK 1486. FB 17.
119 4 Fragm. einer Tuchschere aus Eisen. FK 1487.

SH IV (4. Viertel 1. Jh. n. Chr.– 1. Hälfte 2. Jh.)

Grube G 18 (Pos. 283), dendrodatiert 121 n.Chr. (mit WK)
(Von den Funden aus Grube G.18 sind alle Rand- und Bodenfragm. abgebildet).
120 2 RS Curle 15. FK 486/805.
121 RS Curle 15. FK 811
122 RS Curle 15. FK 808
123 RS Curle 15. FK 807.
124 RS Drag. 15/17. FK 811.
125 RS Drag. 27. FK 486.
126 RS Drag. 27. FK 805.
127 RS Drag. 35/36. FK 808.
128 RS Drag. 40. FK 830.
129 BS Tasse, TS, Stempel:]SECVN, ST 90. FK 810.
130 2 RS Drag. 37, Mensch Typ 26, Löwe Typ 195 aus Banassac, Lit: B. Hofmann, L'atelier de Banassac, Revue archéologique sites (o. Jahr). FK 827/834.
131 WS Drag. 30. FK 810.
132 RS Drag. 37. FK 827/834.
133 BS TS-Teller/Schüssel. FK 807.
134 BS TS Schüssel. FK 808.
135 RS Drack 11/12, grauer Ton, braunrötlicher, matter Überzug. FK 833.
136 RS Drack 19, grauer Ton, schwarzer Glanztonüberzug. FK 809.
137 RS Drack 19, grauer Ton, schwarzgrauer Überzug. FK 809.
138 2 RS Drack 19, grauer Ton, schwarzer Glanztonüberzug. FK 808/809.
139 RS Drack 19, grauer Ton, schwarzer Überzug. FK 811.
140 RS vom Kragen Drack 19, grauer Ton, schwarzer Überzug. FK 810.
141 5 WS mit Bemalung in SLT-Tradition. Tonne beigetonig mit weisser, hell- und dunkelbrauner Malerei. FK 808/810/ 811/830/833.
142 RS Drack 20, grauer Ton, schwarzer Glanztonüberzug. FK 815.
143 RS Drack 20, grauer Ton, schwarzer Glanztonüberzug. FK 830.
144 RS Drack 20, grauer Ton, schwarzer Glanztonüberzug. FK 808.
145 RS Drack 20, grauer Ton, schwarzer Glanztonüberzug. FK 807.
146 RS Drack 20, grauer Ton, schwarzer Überzug. FK 811.
147 2 RS Drack 20, grauer Ton, schwarzer Glanztonüberzug. FK 807/808.
148 RS Drack 20, grauer Ton, schwarzer Glanztonüberzug. FK 809.
149 Ganzes Profil Drack 21, grauer Ton, schwarzer Glanztonüberzug, der auf der Innenseite stark abgeschliffen ist. FK 807/808/810.
150 Ganzes Profil Drack 21, graur Ton, aussen schwarzer Glanztonüberzug. FK 808/809/811.
151 RS Drack 21, grauer Ton, aussen schwarzer Glanztonüberzug. FK 809.
152 RS Topf, grauer Ton, aussen schwarze Oberfläche. FK 810.
153 RS Topf, beiger Ton. FK 830.
154 RS Topf mit Deckelfalz, grauer Ton, Oberfläche dunkelgrau. FK 809.
155 RS Topf, grauer Ton. FK 486.
156 RS Kochtopf? beigerötlicher Ton, klingend hart gebrannt, Quarzmagerung. FK 805.

157 RS Becher mit Griesbewurf, beiger Ton, braungoldener Überzug. FK 807.
158 RS Kochtopf, grauer Ton, Oberfläche aussen und innen Brandgeschwärzt. FK 805.
159 RS Tonne, grauer Ton, Oberfläche schwarz. FK 809.
160 RS und WS Becher/Tonne, grauer Ton. Das Stück dürfte aus der Produktion Oberwinterthur-Dorfstr. 7 stammen (B. Hedinger 1999, in Vorb.). FK 486/809.
161 RS eiförmiger Becher, beiger Ton, Reste eines Goldglimmerüberzugs. FK 486/493.
162 2 RS Schüssel, dunkelgrauer Ton. FK 809/814.
163 4 RS Krug, rotbrauner Ton, klingend hart gebrannt, Quarzmagerung. FK 808/809/815/830.
164 WS Krug, beiger Ton. FK 486.
165 WS Krug, grauer Ton, aussen schwarzer Glanztonüberzug. FK 811.
166 RS Reibschüssel, Reibfläche stark abgerieben, beiger Ton, Reste dunkelbrauner Überzug, Stempel: RA. (vgl. Rychener 1984, 114). FK 834.
167 RS mit Ausguss Reibschüssel, Reste eines Stempels (M? oder Gittermuster). FK 805.
168 2 RS Dolium, grauer Ton, aussen dunkelgrau. Stück stammt evtl. aus Töpferofen Oberwinterthur-Bäumlistrasse (B. Hedinger in Vorb.). FK 809/810.
169 RS Dolium, grauer Ton, innen beige. Stück stammt evtl. aus Töpferofen Oberwinterthur-Bäumlistrasse (B. Hedinger in Vorb.). FK 807.
170 RS Dolium, grauer Ton. Stück stammt evtl. aus Töpferofen Oberwinterthur-Bäumlistrasse (B. Hedinger in Vorb.). FK 834.
171 RS Amphore für Fischsauce (Typ Augst 28?). FK 810.
172 RS Amphore für Olivenöl (Typ Dressel 20). FK 811.
173 RS Deckel, beigeroter Ton. FK 815.
174 BS Laveztopf. FK 815.
175 Durchbrochen gearbeiteter Griffansatz einer Kasserolle. FK 576. ME 2.

Grube G 19 (Pos. 273)
176 RS Drag. 35/36. FK 449.
177 RS Drack 19, grauer Ton, aussen und innen Reste eines schwarzen Glanztonüberzugs. FK 495.
178 WS Glanztonbecher? mit Barbotineauflage und Ratterblechverzierung, rötlich brauner Ton, innen bräunlicher, aussen rotbrauner und schwarzer Überzug. FK 449.
179 WS Becher? Ehemals bleiglasiert, mit Applike, beiger Ton. FK 447.
180 WS Becher? mit Fischgrätenverzierung, grauer Ton, aussen grauschwarz. FK 493.
Nicht abgebildet: 1 Drag. 15/17; 1 Drag. 18/31; 1 Drag. 22/23; 1 Drag. 35/36; 1 Drag. 27; 3 Drag. 29; 9 TS unbestimmbar; 1 Drack 19; 1 Drack 20.

Grube G 20 (Pos. 424)
181 RS Drag. 24/25. FK 679.
182 RS Drag. 37 aus Banassac? FK 668.
183 RS Drack 20, grauer Ton, schwarzer stark abgeschliffener Überzug. FK 1231.
184 RS Drack 21, graubrauner Ton, schwarzer, stark abgeschliffener Überzug. FK 748.
185 RS Tonne, oranger Ton, Reste von Goldglimmerüberzug. FK 739.
186 RS Tonne, grauer Ton, Oberfläche schwarz. FK 675.
187 RS Topf, graubeiger im Kern grauer Ton, Oberfläche aussen schwarz. FK 752.
188 RS Honigtopf, beiger im Kern rosa Ton. FK 675.
189 RS Schüssel, bräunlicher, im Kern grauer Ton, Reste eines Goldglimmerüberzugs. FK 1231.
190 RS Krug, beiger Ton. FK 674.
191 RS Reibschüssel mit Ausguss und anepigraphischem Stempel, Reibfläche stark abgeschliffen, rotbrauner Ton. FK 668.
192 RS und div. WS Dolium, grauer Ton. Evtl. Ware aus Töpferofen Oberwinterthur-Bäumlistrasse (B. Hedinger in Vorb.). FK 648.

Grube G 21 (Pos. 172)
193 RS Drag. 35/36. FK 318.
194 RS Hofh. 9. FK 317.
195 RS Drag. 33. FK 537.
196 2 RS Drack 20, grauer mehliger Ton, aussen schwarzer Glanztonüberzug. FK 416/418.
197 RS Drack 21, beigegrauer mehliger Ton, aussen rotbrauner Glanztonüberzug, innen Teer- oder Pechreste. FK 416.
198 RS Schüssel, beigerötlicher Ton, aussen geglättet innen Teer- oder Pechreste. FK 416.
199 2 RS Dolium, grauer Ton. FK 416/417.
200 TIBERIUS FÜR DIVUS AUGUSTUS? As. Rom 22/23–30? n. Chr. RIC I2, 99,81? 5,94 g. 165°. 23,2–25,2 mm. A 4/4, K 3/4. FK 411. M 27.
201 Gerätegriff aus Bein. FK 413.
Nicht abgebildet: 2 Drag. 15/17; 1 Drag. 18/31; 6 Drag. 27; 3 Hofh. 9; 2 Drag. 33; 11 Drag. 29; 1 Drag. 30; 13 TS unbestimmbar; 4 Drack 2/3; 3 Drack 4; 1 Drack 11; 2 Drack 19; 3 Drack 20; 4 Drack 21 (1 davon RF 2 nach Rychener 1986, 76f.); 9 TS-Imit. unbestimmbar.

Ausgewählte Eisenfunde o. Befundzusammenhang
202 Eisenstilus. Furger/Deschler-Erb 1992, 23; M.A. Speidel, Die römischen Schreibtafeln von Vindonissa. VerGPV (Bd. XII), (Brugg 1992) 17f. FK 1277.
203 Fragm. Bauklammer. FK 111.
204 Fragm. Eisenstab mit Ring auf dem Kopf. FK 164.
205 Eisenobjekt. FK 207.

6.3 Fundkatalog Römerweg 5 *(R. Janke)*

Grube G 28 (untere Verfüllung)
206 RS dünnwandiger Becher mit Karniesrand, helltonig mit Resten des schwarzen Überzugs; Oberfläche stark angegriffen. FK 20.
207 3 RS, WS Drack 21, grauer, mehliger Ton mit schwarzem, glänzendem Überzug. Eindrucksverzierung unter der Schulter. FK 20.
Nicht abgebildet: Drack 21.

Grube G 28 (mittlere Verfüllung)
208 Ganzes Profil Drag. 33, ostgall., oranger, mehliger Ton; Stempel CIRIVNAI (Heiligenberg) auf dem Boden. FK 19.
209 RS, 2 WS Drag. 38, mittel- oder ostgall. FK 19.
210 RS Topf, hellonig, kein Überzug erh.; Rille auf dem Rand und Spuren der Eindrucksverzierung auf der Schulter. FK 19.
211 RS Topf, helltonig mit Glimmereinschlüssen, kein Überzug erh. FK 19.
212 RS Topf mit vertikalem Rand, grautonig mit schwarzem Überzug. FK 19.
213 RS Topf mit vertikalem Rand, grautonig mit Resten des schwarzen Überzugs. FK 19.
214 RS Kochschüssel oder -deckel, grautonig mit Glimmereinschlüssen; üd. FK 19.
215 RS Reibschüssel, heller «marmorierter», mehliger Ton. Schlecht erh.. FK 19.
216 RS Reibschüssel, heller, mehliger Ton. FK 19.
217 Spinnwirtel oder Gewicht aus Blei. FK 19.
Nicht abgebildet: Drag. 22/23, Drag. 27, Drag. 29, alle südgall.; versch. Glanztonbecher, Faltenbecher; Gebrauchskeramik mit Goldglimmerüberzug.

Grube G 28 (obere Verfüllung)
218 RS Drag. 29, südgall.. FK 18.
219 RS Drag. 37, südgall., besonders dünnwandig. FK 18.
220 Ganzes Profil Drag. 31, ostgall., oranger, mehliger Ton, Überzug fast nicht mehr vorhanden, z.T. sekundär verbrannt, unlesbarer Stempel auf dem Boden. FK 18/19.
221 Ganzes Profil (Gefäss fast vollständig) Drag. 37, ostgall., oranger, mehliger Ton; intradekorativer Stempel REGINF (Heiligenberg) und Graffito MD unter dem Dekor (ST 118, GR 6). FK 18/19.

222 Fast ganzes Profil Drag. 37, ostgall., Produktion des Verecundus (Ittenweiler). Graffito MD unter dem Dekor (GR 5). Forrer 1911, 186,1. FK 18/19.
223 4 WS Drag. 37, ostgall., rotbrauner Ton und Überzug, Stempel unterhalb des Reliefs IANVF. Ianus von Heiligenberg s. Forrer 1911, 667. FK 18/19.
224 WS Drag. 37, ostgall., Werkstatt des Cibisus (Mittelbronn), rotbrauner Ton und Überzug; intradekorativer Stempel CIBISV[S] (Mittelbronn), ST 115. FK 18.
225 BS Drag. 37, helvetisch, oranger, mehliger Ton mit Glimmereinschlüssen, Überzug fast nicht mehr vorhanden. FK 18.
226 RS dünnwandiger Becher mit dunkelbraunem Überzug und Barbotinedekor mit Punkten. FK 18.
227 RS dünnwandiger Becher mit rotbraunem Überzug und Ratterblechdekor. FK 18.
228 WS dünnwandiger Becher, helltonig mit hellbraunem Überzug; Barbotinedekor eines Blattes. FK 18.
229 RS Schüssel mit Kragenrand, helltonig mit rotbraunem Überzug. FK 18.
230 RS Schüssel, grautonig mit Glimmereinschlüssen, kein Überzug erh.; innen und über dem Rand Verpichungsreste. FK 18.
231 RS Topf, grautonig mit Glimmereinschlüssen, kein Überzug erh.; z.T. sekundär verbrannt. FK 18.
232 4 RS, WS Topf mit vertikalem Rand, hell- bis brauntonig, kein Überzug erh.; innen Verpichungsspuren. FK 18.
233 RS Kochschüssel, grautonig mit groben Glimmereinschlüssen; hf, sekundär verbrannt. FK 18.
234 RS Kochschüssel oder -Teller, grautonig mit schwarzer Oberfläche; hf. FK 18.
235 RS Kochtonne, grautonig mit schwarzer Oberfläche; üd. FK 18.
236 RS Vierkantiger Krug Isings 50 mit Grätehenkel, blaugrünes, durchscheinendes Glas. FK 18.
Nicht abgebildet: TS-Becher, südgall., Curle 11, südgall., Drag. 37 süd-, ostgall. und helvetisch; Faltenbecher; Krüge.

7 BUNTMETALLE

Im vorliegenden Katalog sind mit Ausnahme der Fibeln (vgl. Teil IV, Kap. 4) und zwei figürlichen Objekten der Ausgrabung Hohlandstr. 3 (vgl. Teil II, Kap. 2.3.2) sämtliche 113 Buntmetallfunde der Ausgrabungen Hohlandstr. 3, Römerstr. 209, 213/215, 221, 227/229 und Römerweg 5 in typologischer Reihenfolge aufgeführt (vgl. oben Abb. 279).
Nach der Katalognummer kommt zuerst die Ausgrabung aus der das jeweilige Objekt stammt und danach die Gliederung in Kategorie bzw. Unterkategorie. Anschliessend wird das Objekt kurz beschrieben, wobei besonderer Wert auf etwaige Verzierungen bzw. technische Details gelegt wird. Nach den Massen des Stückes folgen ein Literaturzitat – letzteres nur im Falle einer Erwähnung des Objektes in der Literatur – und Angaben zum Befund. Diese Angaben umfassen die Pos., das Feld, ein Stichwort zum Befund, eine Befunddatierung und den Fundkomplex.
(Spez. Abkürzungen Ho = Hohlandstrasse; Rö = Römerstrasse; Röweg = Römerweg)

Hausrat/Gefässe
ME **1** Rö 229. Hausrat. Gefäss. Griffansatz einer Kasserolle mit Teil der Gefässwandung. Diese lässt eine leichte Ausbauchung des Körpers vermuten. Der Griff ist am Ende abgeschnitten und sekundär gelocht.
L. 42 mm. Br. 48 mm. D. 1 mm. G. 6,5 g.
Pos. 767. Feld 20; Geb. SH IV. Dat. 75–150. FK 1031.
ME **2** Rö 229. Hausrat. Gefäss. Durchbrochen gearbeiteter Griffansatz einer Blechkasserolle. Das Stück ist doppelbalusterförmig gearbeitet und auf der Schauseite mit vegetabiler Punzornamentik verziert. In der oberen Hälfte des auf beiden Seiten abgebrochenen Stückes befindet sich eine sekundäre Lochung.
L. 60 mm. Br. 42 mm. D. 1 mm. G. 16,5 g. Grube dendrodat. (mit WK). Sekundär zum Anhänger umgearbeitet? Lit. Deschler-Erb 1996, 27 Abb. 16.
Pos. 576. Feld 8; Grube. Dat. 121 n.Chr. FK 869.
ME **3** Ho 3. Hausrat. Gefäss. Wandungsfragment von Sieb; in mehrere Teile zerbrochen. Ansätze zu Lochreihen sind gerade noch zu erkennen.
L. 190 mm. Br. 130 mm. D. 1 mm. G. 0,9 g. Masse vom grössten Fragment; G. von allen Teilen gemeinsam.
Pos. 198. Feld 5; Kies. FK 212.
ME **4** Röweg 5. Hausrat. Gefäss. Amphorenhenkel einer dickbauchigen Form. Mit rundstabigem Querschnitt und leicht bestossenen Ansatzstellen zum Gefässkörper.
L. 53 mm. Br. 10 mm. D. 9 mm. G. 34 g.
Pos. 14. Feld 39; Schlackenhalde. Dat. 1.–2. Jh. FK 91.

Hausrat/Beleuchtung
ME **5** Rö 229. Hausrat. Beleuchtung. Zweiteilige Griffhalterung einer Laterne. Das obere Griffteil endet in Zwiebelköpfen; der untere schliesst mit Trageösen ab. In einer der Trageösen steckt noch ein Ring der Tragekette.
L. 127 mm. Br. 16 mm. D. 3 mm. G. 59,5 g. Die Griffhalterung könnte zu dem Brenner FK 1111 gehören. Evtl. aus einer früheren Phase. Lit. Deschler-Erb 1996, 37 Anm. 189.
Pos. 314. Feld 21; Bauhorizont. SH III. Dat. 50–100. FK 1061.
ME **6** Rö 229. Hausrat. Beleuchtung. Brenner einer Laterne in zylindrischer, offener Form. Der Fuss ist massiv auf der Drehbank ausgeformt und zeigt auf der Unterseite mehrere eingedrehte Profilringe. Die Wandung endet oben und unten mit Zierleisten.
Höhe 30 mm. Dm. 52 mm. D. 1 mm. G. 105 g. Der Brenner könnte zu den Tragegriffen FK 1061 gehören. Lit. Deschler-Erb 1996, 37 Anm. 189.
Pos. 834. Feld 21; Graben. SH III/IV. Dat. 50–150. FK 1111.

Hausrat/Schreibgerät
ME **7** Rö 229. Hausrat. Schreibgerät. Stilus mit rundstabigem, zur Mitte hin anschwellendem Schaft. Das eine Ende ist zugespitzt; das andere fächerartig geweitet. Der Schaft ist durch mehrere umlaufende Zierrillenpaare gegliedert.
L. 146 mm. Br. 15 mm. D. 6 mm. Dm. 2 mm. G. 23 g. Br. und D. wurden am Fächeransatz genommen.
Streufund. FK 564.
ME **8** Rö 209. Hausrat. Schreibgerät. Siegelkapsel, komplett erhalten mit Deckel und Boden. In rechteckiger Form mit drei Löchern auf dem Boden zum Durchführen der Siegelschnur.
L. 22 mm. Br. 21 mm. D. 1 mm. G. 3,6 g.
Pos. 50. Feld 1. Phase 2b. Dat. 40–55; claudisch. FK 317.

Hausrat/Schlossteile, Möbel und Kästchen
ME **9** Rö 221. Hausrat. Kästchenteil. Haltering mit facettiertem Querschnitt mitsamt Befestigungssplint und kleinem Rest der Zierscheibe. Das Fragment der Zierscheibe zeigt herausgetriebene Zierwulste.
L. 46 mm. Br. 9 mm. Dm. 24 mm. D. 2 mm. G. 2,7 g. Aus Graben 56/West. Die L. wurde für Ring und Splint gemeinsam genommen. Die Br. bezieht sich auf den Splint und die D. auf den Ring. Gem. wurde der innere Dm. Die Masse der Zierscheibe betragen 12 x 11 x 1 mm. Das G. gilt für alle drei Objekte gemeinsam.
Pos. 62. Feld 3. Phase 3. Dat. 50–80/90; neronisch-domitianisch. FK 62.
ME **10** Rö 213/215. Hausrat. Kästchenteil. Ring mit facettiertem Querschnitt. An gewissen Stellen mit stärkeren Abnutzungsspuren.
Dm. 30 mm. D. 9 mm. G. 9,2 g. Stammt aus Rindenhorizont. Gem. wurde der innere Dm.
Pos. 196. Feld 3; Boden. Phase 1. Dat. 55–70; neronisch-vespasianisch. FK 190.
ME **11** Röweg 5. Hausrat. Möbelteil. Schlossblech für Türe oder Truhe in rechteckiger Form. Sowohl am Rand als auch in der Mitte befinden sich insgesamt neun Nietlöcher. In der Mitte befindet sich ein L-förmiger Ausschnitt für das Schlüsselloch.
L. 131 mm. Br. 114 mm. D. 1 mm. G. 63,5 g.
Pos. 3. Feld 40; Schuttschicht. Dat. römisch-Neuzeit. FK 60.

Hausrat/Nähnadel
ME **12** Rö 229. Hausrat. Nähnadel. Rundstabige Nähnadel. Das obere Ende ist am Ansatz zum langrechteckigen Öhr abgebrochen.
L. 97 mm. Dm. 2 mm. G. 2 g.
Pos. 315. Feld 10; Bauhorizont. SH III. Dat. 50–70. FK 702.

Hausrat/Waage
ME **13** Rö 229. Hausrat. Waage. Aufhängehaken von Laufgewichtswaage. Der obere Abschluss ist um sich selbst gewickelt und bildet so eine Aufhängeöse. Das untere Ende ist bandförmig verbreitert und hakenförmig gebogen.
L. 42 mm. Br. 6 mm. D. 1 mm. G. 1,5 g. Das Objekt zeigt klar erkennbare Herstellungsspuren.
Pos. 31. Feld 20; Grube. SH IV. Dat. 75–150. FK 1033.

Toiletten-/medizinisches Gerät/Löffelsonden
ME **14** Rö 229. Toiletten-/medizinisches Gerät. Löffelsonde. Löffelsonde mit rundstabigem Schaft. Der Halsabschluss ist mehrfach querprofiliert. Der lange Laffenhals schliesst mit einer schmalen Laffe ab; das Schaftende ist olivenförmig verdickt.
L. 133 mm. Br. 5 mm. Dm. 3 mm. D. 1 mm. G. 2,5 g. Aus Grube G 14. Br. und D. wurden an der Laffe genommen.
Pos. 937. Feld 25; Grube. SH III. Dat. 50–100. FK 1191.
ME **15** Rö 229. Toiletten-/medizinisches Gerät. Löffelsonde. Einfach, kugelig gestalteter Halsknoten einer Löffelsonde. Nach oben mit Ansatz zu einer langgezogenen Laffe und nach unten mit Ansatz zu einem rundstabigen, glatten Schaft.
L. 44 mm. Br. 2 mm. Dm. 4 mm. D. 1 mm. G. 1 g. Br. und D. wurden am Ansatz zur Laffe genommen.
Pos. 155. Feld 4. SH IV. Dat. 75–150. FK 421.

Toiletten-/medizinisches Gerät/Salbfläschchen
ME **16** Rö 209. Toiletten-/medizinisches Gerät. Salbfläschchen. Ein feines Fuchsschwanzkettchen ist in ein Deckelfragment mit Öse eingehängt. Um das blechförmige Deckelfragment herum befindet sich eine breite Korrosionskruste, die evtl. organischen Ursprungs sein könnte.
L. 25 mm. Br. 22 mm. D. 7 mm. G. 3,8 g. Das Kettchen ist noch 36 mm lang. Pos. 109.
Planie. 3. Feld 2. Phase 3. Dat. 40/50–70; claudisch-neronisch. FK 80.

Schmuck/Tracht/Haarnadel
ME **17** Rö 229. Schmuck/Tracht. Haarnadel. Der Kopf der rundstabigen Haarnadel ist am Halsansatz abgebrochen. Der Schaft ist in der Mitte gebogen und lässt zum Teil noch Herstellungsspuren erkennen.
L. 80 mm. Dm. 4 mm. G. 6,5 g. Das Stück stammt von OK Schicht 432.
Pos. 7. Feld 14; Brandschicht. SH II. Dat. 20–50. FK 848.

Schmuck/Tracht/Anhänger
ME **18** Rö 229. Schmuck/Tracht. Schmuck-/Trachtanhänger. Radanhänger, evtl. aus Zinn. Acht gerippte Speichen laufen von einer zentralen, leicht betonten Nabe zum dreigeteilten äusseren Reif. Dieser ist in der Mitte gerippt und aussen jeweils glatt. Die Rückseite ist unverziert.
Dm. 28 mm. D. 5 mm. G. 5 g.
Pos. 43. Feld 31; Schichtpaket. SH V. Dat. 150–200. FK 1302.
ME **19** Rö 229. Schmuck/Tracht. Schmuck-/Trachtanhänger. Klöppel von Glocke. Der kugelige Kopf sitzt auf einem rundstabigen Schaft und endet in einer Öse.
L. 15 mm. Br. 1 mm. Dm. 5 mm. G. 0,5 g. Dm. am Kopf genommen; Br. ist SchaftDm. Zuweisung ist nicht ganz sicher. Evtl. sogar vorrömisch.
Pos. 535. Feld 10; Kulturschicht. SH I. Dat. 1–20. FK 835.

Schmuck/Tracht/Armring
ME **20** Rö 229. Schmuck/Tracht. Armring. Rundstabiges Fragment von einem Armring mit Schiebeverschluss. Der Reif ist in der Mitte schiffchenförmig verbreitert und an beiden Enden abgebrochen.
L. 86 mm. Br. 12 mm. Dm. 4 mm. G. 12 g.
Pos. 1428. Feld 34; Grube. SH I. Dat. 1–20. FK 1538.

Schmuck/Tracht/Fingerring
ME **21** Ho 3. Schmuck/Tracht. Fingerring. Fingerring mit zentral aufgesetztem Grat. Stark abgenutzt.
Dm. 14 mm. D. 3 mm. G. 1,1 g. Gem. wurde der innere Dm. Grube 99/168. Pos. 143. Feld 5; Grube. Schichtpaket 2. Dat. 70–130. FK 147.

Militaria/Fernkampfwaffe
ME **22** Rö 221. Militaria. Fernkampfwaffe. Speerschuh von leichtem Wurfspeer mit pilzförmigem Knopfabschluss. Die Tülle ist geöffnet gearbeitet; das Nietloch für die Befestigung hat sich noch erhalten.
L. 42 mm. Br. 7 mm. Dm. 11 mm. D. 1 mm. G. 3,5 g. Umgelagerter gewachsener Boden. Br. bezeichnet den Dm. des Endknopfes.
Pos. 44. Feld 3; Geb. Phase 2b. Dat. 30–50/55; claudisch. FK 56.

Militaria/Verteidigungswaffen
ME **23** Rö 229. Militaria. Verteidigungswaffe. Schildrand? Eine Tülle mit flachem U-förmigem Querschnitt umhüllt Holzreste (vom Schild?). Am einen Ende der Tülle befindet sich ein lappenartiger Fortsatz, der um die Tüllenöffnung herum gebogen ist.
L. 100 mm. Br. 10 mm. D. 1 mm. G. 8 g. Die Zuweisung ist nicht ganz sicher. Kommt aus neuzeitlicher Struktur.
Pos. 1362. Feld 36. Dat. römisch-Neuzeit. FK 1521.
ME **24** Rö 221. Militaria. Verteidigungswaffe. Zweiteiliges Riemenscharnier vom Schienenpanzer; die eine Seite besitzt ein geschweiftes Ende und die andere Seite einen geraden Abschluss. Die vier Niete, von denen zwei fehlen, sind auf der Schauseite von Zierrillen gerahmt.
L. 41 mm. Br. 18 mm. D. 4 mm. G. 4,2 g. Verzinnung/Versilberung ist nicht ganz sicher.
Pos. 65. Feld 3; Boden. Phase 4. Dat. 80–100; domitianisch. FK 48.

Militaria/Gürtel
ME **25** Rö 229. Militaria. Gürtelteil. Gürtelblech mit Nielloverzierung in rechteckiger dünner Form. Die Schauseite ist verzinnt/versilbert. Das Niellomuster zeigt im zentralen Mittelfeld einfache gereihte Tannenzweige und auf den Rahmenfeldern Kommadekor. Von den vier von hinten eingesetzten Nieten fehlt einer.
L. 54 mm. Br. 32 mm. D. 1 mm. G. 6 g. Das Objekt fand sich 2 cm neben dem Auflagestein 1150. Lit. Deschler-Erb 1999, 44 Anm. 199.
Pos. 1245/1150. Feld 31; Balkengraben. SH III. Dat. 50–100. FK 1366.

Militaria/Pferdegeschirr
ME **26** Rö 209. Militaria. Pferdegeschirranhänger. Geflügelter Anhänger. Erhalten ist ein vollständiger und ein fragmentierter Flügel. Die Reste zeigen entlang des Randes eine umlaufende Punzverzierung und z.T. im Innern vegetabile Punzornamentik.
L. 71 mm. Br. 35 mm. D. 1 mm. G. 5,2 g.
Pos. 202. Feld 3. Phase 5. Dat. 55–80; neronisch-flavisch. FK 190.
ME **27** Röweg 5. Militaria. Pferdegeschirranhänger. Anhänger in Dreiblattform. Der Aufhängehaken ist abgebrochen und der Körper zeigt ausser Verzinnung/Versilberung keine weiteren Reste einer Verzierung. Der untere Abschluss des Anhängers erfolgt in der Mitte mit Querriegel und Fiederung und an den Seiten mit jeweils einer Eichel.
L. 68 mm. Br. 66 mm. D. 4 mm. G. 23 g. Lit. Deschler-Erb 1996, 92 und 93 Anm. 725.
Pos. 3. Feld 23; Schuttschicht. Dat. römisch-Neuzeit. FK 47.
ME **28** Rö 229. Militaria. Pferdegeschirranhänger. Aufhängeöse von Pferdegeschirranhänger. Die Öse sitzt auf einer gerippten Querleiste. Diese hat am unteren Abschluss letzte Reste eines durchbrochen gearbeiteten Mittelstücks eines Phallusanhängers.
L. 27 mm. Br. 30 mm. D. 4 mm. G. 5,5 g.
Pos. 1105. Feld 33; Geb. SH VII. Dat. römisch-Neuzeit. FK 1509.
ME **29** Rö 229. Militaria. Pferdegeschirranhänger. Ein vollplastisch gestaltetes Adlerfigürchen ist in eine Unterlage mit unregelmässigem Querschnitt eingezapft.

L. 25 mm. Br. 23 mm. D. 6 mm. G. 4,5 g. Das Figürchen war ursprünglich höchstwahrscheinlich in einen Pferdegeschirranhänger eingesetzt. Aus Grube G2.
Pos. 991. Feld 29; Grube. Dat. nicht datiert. FK 1233.
ME **30** Rö 229. Militaria. Pferdegeschirranhänger. Lanzettförmiger Pferdegeschirranhänger in einfachster Ausführung. Der Aufhängehaken ist nach oben gebogen und abgebrochen; der untere Abschluss ist leicht verdickt. Auf dem Körper zeigen sich letzte Spuren einer randlichen Verzierung.
L. 56 mm. Br. 14 mm. D. 1 mm. G. 2,5 g.
Pos. 1214. Feld 33; Geb. SH III. Dat. 50–100. FK 1459.
ME **31** Rö 209. Militaria. Zaumzeugteil. Phalere in Form einer flachen Scheibe mit Lochung in der Mitte. Mittelverzierung (Zierknopf?) dürfte heraus gefallen sein. Darum herum läuft konzentrisches Band mit eingepunztem Perlstab. Rückseite ist unverziert.
Dm. 48 mm. D. 1 mm. G. 7,1 g.
Pos. 71. Feld 1; Balkengraben. Phase 5. Dat. 55–80; neronisch-flavisch. FK 193.
ME **32** Rö 229. Militaria. Zaumzeugteil. Riemenschlaufenfragment? Erhalten ist ein kleines Stück des rechteckigen Körpers mit Ansatz zum Haken.
L. 35 mm. Br. 12 mm. D. 3 mm. G. 2 g.
Pos. 1146. Feld 33; Geb. SH VII. Dat. römisch-Neuzeit. FK 1322.
ME **33** Rö 221. Militaria. Zaumzeugteil. Fragment einer Hackamore. Das Objekt ist fein profiliert gearbeitet und zeigt mehrere Längs- und Querprofilierungen. Die Befestigungsöse ist rechteckig geformt mit geschwungen gearbeiteten Seiten.
L. 90 mm. Br. 27 mm. D. 5 mm. G. 28,5 g. Aus Entwässerungsgraben.
Pos. 77. Feld 3; Graben. Phase 2a. Dat. 1–30; spätaugusteisch-tiberisch. FK 124.

Militaria/Weitere Ausrüstung
ME **34** Rö 213/215. Militaria. Weitere Ausrüstung. Einfacher Schnallenbügel mit rundstabigem Querschnitt und hochgestellten Ösen. Ein Arm ist fast abgebrochen.
L. 25 mm. Br. 25 mm. D. 4 mm. G. 2,2 g. Kommt aus Übergangsschicht römisch-Neuzeit.
Pos. 74. Feld 2; Bauhorizont. Dat. nachrömisch. FK 53.
ME **35** Rö 221. Militaria. Weitere Ausrüstung. Einfacher Schnallenbügel in Hufeisenform (?). Eine Hälfte des Bügels mit Ansatz zur Öse ist erhalten. Die Scharnieröse fehlt.
L. 37 mm. Br. 6 mm. D. 1 mm. G. 0,9 g.
Pos. 29. Feld 3. Phase 5b. Dat. 150–200; 2. Hälfte 2. Jh. FK 33.
ME **36** Rö 229. Militaria. Weitere Ausrüstung. Nietknopf mit flachem rundem Kopf und rundstabigem Dorn, auf den ein Blech als Gegenbeschlag aufgeschoben ist. Das Kopffeld ist in mehrere Felder unterteilt; zum Teil sind noch blaue Emaileinlagen erhalten.
L. 7 mm. Dm. 22 mm. D. 2 mm. G. 4 g. Gefunden in Kanal 4.
Pos. 141. Feld 26; Kanal. SH VI. Dat. 200–300. FK 1192.
ME **37** Rö 221. Militaria. Weitere Ausrüstung. Nietknopf mit flachem Scheibenkopf und vierkantigem Dorn. Auf dem Scheibenkopf befindet sich eine (organische?) Auflage (Korrosion?).
L. 8 mm. Br. 2 mm. Dm. 21 mm. D. 1 mm. G. 0,7 g. L. und Br. beziehen sich auf den Dorn; Dm. und D. auf den Kopf.
Pos. 41.1. Feld 2; Kiesrollierung. Phase 4. Dat. 80–100; domitianisch. FK 94.
ME **38** Rö 213/215. Militaria. Weitere Ausrüstung. Nietknopf mit gewölbtem Kopf und rundstabigem Dorn. Der Kopf ist in zwei Teile zerbrochen.
L. 17 mm. Br. 12 mm. D. 1 mm. G. 0,8 g. G. von beiden Fragmenten gemeinsam.
Pos. 449. Feld 4; Planie. Phase 2. Dat. 30/40–50; tiberisch-claudisch. FK 227.
ME **39** Rö 229. Militaria. Weitere Ausrüstung. Nietknopf mit leicht gewölbtem rundem Kopf und rundstabigem Dorn.
L. 7 mm. Dm. 21 mm. D. 3 mm. G. 1,5 g.
Pos. 1131. Feld 32; Geb. SH VII. Dat. römisch-Neuzeit. FK 1337.

Transport
ME **40** Rö 229. Transport. Zuggeschirrteil. Jochaufsatz. Der Endknopf wird durch zwei Stützen mit eingerollten Armen getragen. Diese stehen auf vier separaten Armen, die blattförmig gestaltet sind.
L. 38 mm. D. 44 mm. Br. 9 mm. G. 29,5 g. Gefunden in Grube 1392. Lit. Deschler-Erb 1996, 103 Anm. 810.
Pos. 757. Feld 34; Portikus. SH IV. Dat. 75–150. FK 1571.

Kleingerät/Nägel und Niete
ME **41** Rö 221. Kleingerät. Nagel. Nagel mit Kugelkopf und rundstabigem Schaft.
L. 17 mm. Dm. 5 mm. D. 4 mm. G. 0,6 g. Die D. bezieht sich auf den SchaftDm.
Pos. 41.2. Feld 3; Kiesrollierung. Phase 3. Dat. 50–80/90; neronisch-domitianisch. FK 97.
ME **42** Ho 3. Kleingerät. Niet. Nietstift. Dorn und Kopf wurden aus einem Stück Blech zusammengerollt.
L. 19 mm. Br. 10 mm. Dm. 4 mm. D. 2 mm. G. 0,9 g. D. ist am Kopf genommen.
Pos. 211. Feld 6; Mauer. Phase B. Dat. 150–250. FK 203.
ME **43** Ho 3. Kleingerät. Niet. Unterlagscheibe für einfachen Nietstift. In der Mitte gelocht.
L. 22 mm. Br. 13 mm. D. 1 mm. G. 1 g. Grube 99/106.
Pos. 100. Feld 5; Grube. Schichtpaket 4. Dat. 70–130. FK 264.

Kleingerät/Ringe
ME **44** Rö 209. Kleingerät. Ring. Ring oder Zwinge mit hochrechteckigem Querschnitt. Schmalseite zeigt oben und unten je eine umlaufende Zierrille.
Br. 9 mm. Dm. 18 mm. D. 3 mm. G. 8,2 g. Gem. wurde der innere Dm.
Pos. 171. Feld 3. Phase 6b. Dat. 80–110; domitianisch-trajanisch. FK 220.
ME **45** Rö 229. Kleingerät. Ring. Rundstabiger Ring mit stark korrodierter und verbackener Oberfläche.
Dm. 17 mm. D. 6 mm. G. 7,5 g. Gem. wurde der innere Dm.
Pos. 70. Feld 3; Graben. Dat. römisch-Neuzeit. FK 108.
ME **46** Rö 229. Kleingerät. Ring. Ring mit ovalem Querschnitt.
Br. 3 mm. Dm. 17 mm. D. 2 mm. G. 1,5 g. Gem. wurde der innere Dm.
Pos. 7. Feld 13; Humushorizont. Dat. römisch-modern. FK 843.
ME **47** Rö 229. Kleingerät. Ring. Rundstabiger Ring. Im Querschnitt leicht an- und abschwellend.
Dm. 15 mm. D. 2 mm. G. 1 g. Gem. wurde der innere Dm.
Pos. 253/341. Feld 11/12; Schichtpaket. Dat. 1.–4. Jh. FK 596.
ME **48** Rö 229. Kleingerät. Ring. Ring mit D-förmigem Querschnitt, Oberfläche ist leicht gekörnt.
D. 4 mm. Dm. 14 mm. G. 5 g. Gem. wurde der innere Dm.
Pos. 208. Feld 6; Bauhorizont. SH II. Dat. 1–20. FK 393.
ME **49** Rö 209. Kleingerät. Ring. Ring mit bandförmigem Querschnitt, nur schlecht erhalten.
Br. 5 mm. Dm. 15 mm. D. 1 mm. G. 0,7 g. Gem. wurde der innere Dm.
Pos. 046/048. Feld 3. Phase 4. Dat. 50–70; neronisch-frühflavisch. FK 229.
ME **50** Rö 213/215. Kleingerät. Ring. Einfacher Ring mit bandförmigem Querschnitt.
Br. 7 mm. Dm. 11 mm. D. 1 mm. G. 0,5 g. Strich und Punkt auf der Vorderseite sind eher sekundär entstanden. Gem. wurde der innere Dm.
Feld 3; Streufund. FK 122.

Schrott/Drähte, Stäbchen und Bänder
ME 51 Rö 209. Schrott. Draht. Rundstabiger Draht, zusammen gebogen. An beiden Enden abgebrochen.
L. 43 mm. Br. 31 mm. D. 2 mm. G. 1,2 g.
Pos. 71. Feld 1; Balkengraben. Phase 5. Dat. 55–80; neronisch-flavisch. FK 193.
ME **52** Rö 221. Schrott. Draht. Draht mit vierkantigem Querschnitt, an den Enden abgebrochen. Das Exemplar ist zweifach gebogen.
L. 52 mm. Br. 2 mm. D. 1 mm. G. 1,9 g.
Pos. 29. Feld 3. Phase 5b. Dat. 150–200; 2. Hälfte 2. Jh. FK 33.
ME **53** Rö 213/215. Schrott. Draht. Langgezogener, rundstabiger Draht, an beiden Enden abgebrochen.

L. 61 mm. Dm. 3 mm. G. 1,4 g.
Pos. 436. Feld 4; Planie. Phase 4. Dat. 60–80; neronisch-vespasianisch. FK 200.
ME **54** Rö 229. Schrott. Stäbchen. Rundstabiges Stäbchenfragment, am einen Ende abgebrochen.
L. 47 mm. Dm. 3 mm. G. 2,5 g.
Pos. 1474. Feld 34; Portikus. SH III. Dat. 50–100. FK 1523.
ME **55** Rö 221. Schrott. Stäbchen. Stark zerschmolzenes Stäbchenfragment mit rechteckigem Querschnitt, in zwei Teile zerbrochen. Die beiden Enden sind jeweils stark verdickt; die Mitte ist sehr dünn (hier befindet sich auch die Bruchstelle).
L. 44 mm. B. 4 mm. D. 3 mm. G. 3,7 g. Das Objekt fand sich auf Keramik.
Pos. 41.2. Feld 3; Kies. Phase 3. Dat. 50–80/90; neronisch-domitianisch. FK 77.
ME **56** Rö 213/215. Schrott. Stäbchen. Rundstabiges Stäbchen, zu einer Öse zusammengebogen. Das eine Ende des Stäbchens ist leicht dicker als das andere.
L. 22 mm. Br. 18 mm. D. 2 mm. G. 1,7 g.
Pos. 436. Feld 4; Planie. Phase 4. Dat. 60–80; neronisch-vespasianisch. FK 218.
ME **57** Rö 229. Schrott. Stäbchen. Stäbchenfragment mit rundstabigem Querschnitt; an beiden Seiten abgebrochen.
L. 19 mm. Dm. 5 mm. G. 2,5 g. Könnte vielleicht das Fragment eines Rings sein.
Pos. 135; 2. Abstich. Feld 4; Schichtpaket. Dat. römisch-Neuzeit. FK 219.
ME **58** Röweg 5. Schrott. Stäbchen. Stäbchenfragment mit wechselndem Querschnitt, leicht angeschmolzen.
L. 43 mm. Br. 10 mm. D. 4 mm. G. 6 g.
Pos. 4. Feld 11–13; Brandschicht. SH III. Dat. 50–100. FK 67.
ME **59** Ho 3. Schrott. Stäbchen. Stäbchenfragment mit unregelmässiger, stark aufgeblähter Oberfläche.
L. 13 mm. Br. 5 mm. D. 4 mm. G. 0,4 g.
Streufund. FK 236.
ME **60** Rö 213/215. Schrott. Stäbchen. Kleines, rundstabiges Stäbchenfragment mit zwei Fortsätzen. An beiden Enden abgebrochen.
L. 20 mm. Br. 11 mm. Dm. 7 mm. G. 2,6 g.
Pos. 19. Feld 1; Kulturschicht. Phase 4. Dat. 60–80; neronisch-vespasianisch. FK 39.
ME **61** Ho 3. Schrott. Stäbchen. Stäbchenfragment, der L. nach aufgebrochen.
L. 31 mm. Br. 8 mm. D. 5 mm. G. 3 g. Die Herstellungstechnik lässt sich nicht mehr feststellen.
Pos. 246. Feld 6; Kiesrollierung. Phase A. Dat. 70–250. FK 255.
ME **62** Rö 221. Schrott. Band. Bandfragment mit rechteckigem, flachem Querschnitt, hakenförmig gebogen. Am unteren Ende befindet sich eine leichte Einziehung.
L. 55 mm. Br. 4 mm. D. 2 mm. G. 2,7 g.
Pos. 41. Feld 3; Kiesrollierung. Phase 3–4. Dat. 50–100; neronisch/vespasianisch-domitianisch. FK 54.
ME **63** Ho 3. Schrott. Band. Bandfragment mit gerade verlaufenden Langseiten. Das eine Ende geht in eine langgezogene Spitze über.
L. 44 mm. Br. 4 mm. D. 1 mm. G. 1,3 g.
Pos. 50. Feld 3; Kiesrollierung. Phase A. Dat. 70–250. FK 21.
ME **64** Rö 229. Schrott. Band. Bandfragment mit verbreitert ausgezogenem Ende, an beiden Seiten abgebrochen. In der unteren Hälfte lässt sich der Ansatz eines ausgeschmiedeten Leiterbandes erkennen.
L. 47 mm. Br. 7 mm. D. 2 mm. G. 1 g. Vielleicht auch ein Halbfabrikat.
Pos. 1203. Feld 32; Geb. SH III. Dat. 50–100. FK 1474.
ME **65** Rö 213/215. Schrott. Band. Leicht gebogenes Fragment, an beiden Enden abgeschnitten.
L. 47 mm. Br. 4 mm. D. 1 mm. G. 0,5 g. Aus Boden mit Holzschnipseln.
Pos. 430. Feld 4; Boden. Phase 3. Dat. 50–70; claudisch-neronisch. FK 196.
ME **66** Rö 213/215. Schrott. Band. Bandfragment, an allen Seiten zurecht geschnitten.
L. 55 mm. Br. 5 mm. D. 1 mm. G. 1 g. Das Stück könnte ein Abfallprodukt der Metallverarbeitung sein. Aus Grube 2.
Pos. 490. Feld 6; Grube. Phase 1. Dat. 1–30; augusteisch-tiberisch. FK 245.
ME **67** Ho 3. Schrott. Band. Bandfragment mit leicht trapezoidal verlaufenden Langseiten; am einen Ende abgebrochen.
L. 37 mm. Br. 9 mm. D. 1 mm. G. 1 g.
Pos. 37. Feld 3, 10, 11; Planie. Phase C. Dat. 180–250. FK 223.
ME **68** Ho 3. Schrott. Band. Bandfragment mit regelmässig abgeschnittenen Seiten.
L. 41 mm. Br. 7 mm. D. 2 mm. G. 1,6 g.
Pos. 66. Streufund. FK 200.
ME **69** Ho 3. Schrott. Band. Spitz zurecht geschnittenes Bandfragment.
L. 36 mm. Br. 7 mm. D. 1 mm. G. 0,4 g.
Pos. 168. Feld 6, 8, 9; Graben. SH III. Dat. 200–300. FK 244.
ME **70** Röweg 5. Schrott. Band. Bandfragment, spiralig aufgerollt und leicht ineinander verbacken.
L. 20 mm. Br. 14 mm. D. 2 mm. G. 10 g.
Pos. 4. Feld 4; Brandschicht. SH III. Dat. 50–100. FK 71.

Schrott/Bleche
ME **71** Rö 229. Schrott. Blech. Blechfragment mit einem geraden, durch eine Leiste betonten Abschluss.
L. 72 mm. Br. 38 mm. D. 2 mm. G. 10 g.
Pos. 1169. Feld 32; Schichtpaket. SH III. Dat. 50–100. FK 1475.
ME **72** Rö 209. Schrott. Blech. Blechfragment mit zurecht geschnittenen Seiten und leicht gebogener Zierrille am einen Rand. Das Stück könnte u.U. ein Gefässrand sein, ist aber sehr dünn.
L. 34 mm. Br. 23 mm. D. 1 mm. G. 1,2 g.
Pos. OK 076. Feld 1. Phase 2a. Dat. 20–40; tiberisch. FK 319.
ME **73** Röweg 5. Schrott. Blech. Fragment, in unregelmässiger Form und ineinander gefaltet. An gewissen Stellen sind auf der Oberfläche Zierrillen erkennbar.
L. 44 mm. Br. 34 mm. D. 1 mm. G. 10,5 g.
Pos. 4. Feld 5; Brandschicht. SH III. Dat. 50–100. FK 72.
ME **74** Rö 209. Schrott. Blech. Blechfragment, in rechteckiger Form zurecht geschnitten, mit einigen Korrosionslöchern. Evtl. als Flicken verwendet.
L. 27 mm. Br. 26 mm. D. 1 mm. G. 0,8 g.
Pos. 237. Feld 1. Phase 4. Dat. 50–70; neronisch-frühflavisch. FK 23.
ME **75** Ho 3. Schrott. Blech. Blech in schmalrechteckiger Form.
L. 50 mm. Br. 16 mm. D. 2 mm. G. 5,1 g. Schmiedespuren sind gut zu sehen.
Pos. 282. Feld 12; Planie. SH III. Dat. 200–300. FK 269.
ME **76** Rö 229. Schrott. Blech. Das Fragment ist an der einen Seite halbrund beschnitten und zweifach gelocht.
L. 44 mm. Br. 31 mm. D. 1 mm. G. 2,5 g.
Pos. 303. Feld 9C; Suchschnitt bei Pos. 395. FK 615.
ME **77** Ho 3. Schrott. Blech. Blechfragment mit zurecht geschnittenen Seiten und zwei Nietlöchern.
L. 25 mm. Br. 20 mm. D. 1 mm. G. 0,8 g. Könnte Unterlagscheibe gewesen sein. Grube 99/106.
Pos. 202. Feld 5; Grube. Schichtpaket 4. Dat. 70–130. FK 266.
ME **78** Ho 3. Schrott. Blech. Blechfragment in unregelmässiger Form; leicht verbogen.
L. 38 mm. Br. 17 mm. D. 1 mm. G. 1,6 g. Im gleichen FK auch Fischunterkiefer eines Egli (Bestimmung H. Hüster-Plogmann).
Pos. 1. Feld 3, 10, 11; Humushorizont. Dat. Neuzeit. FK 229.
ME **79** Rö 229. Schrott. Blech. Fragment in unregelmässiger Form. Die Oberfläche ist blasig aufgebläht und zeigt auf einer Seite Reste einer Verzinnung/Versilberung.
L. 25 mm. Br. 21 mm. D. 2 mm. G. 2,5 g. Das Stück scheint verbrannt zu sein.
Pos. 7. Feld 14; Humushorizont. Dat. römisch-modern. FK 842.
ME **80** Rö 229. Schrott. Blech. Fragment in unregelmässiger Form.
L. 26 mm. Br. 21 mm. D. 1 mm. G. 0,5 g.
Pos. 131. Feld 6; Schichtpaket. Dat. römisch-Neuzeit. FK 205.
ME **81** Rö 229. Schrott. Blech. Fragment mit halbrundem Abschluss. Auf der einen Seite partiell, auf der anderen Seite vollständig verzinnt/versilbert.
L. 24 mm. Br. 11 mm. D. 1 mm. G. 0,5 g. Evtl. als Spiegelscheibe zu deuten.

Pos. 418. Feld 10A; Balkengraben. SH III. Dat. 50–100. FK 779.
ME **82** Rö 229. Schrott. Blech. Fragment in unregelmässiger Form, mehrfach ineinander gefaltet.
L. 44 mm. Br. 15 mm. D. 1 mm. G. 3 g.
Pos. 407. Feld 9B; Geb. SH II. Dat. 20–50. FK 700.
ME **83** Ho 3. Schrott. Blech. Blechfragment, in 13 Teile zerbrochen. Evtl. von einem Kästchen.
L. 39 mm. Br. 9 mm. D. 2 mm. G. 4,2 g. Masse vom längsten Fragment genommen; G. von allen Fragmenten gemeinsam. Grube 61.
Pos. 63. Feld 1, 4, 6; Grube. Dat. 1–30. FK 250.
ME **84** Rö 213/215. Schrott. Blech. Blechfragment in unregelmässiger Form.
L. 46 mm. Br. 29 mm. D. 6 mm. G. 7,3 g. Es könnte sich um ein Halbfabrikat handeln, da die eine Seite dicker als die andere ist.
Pos. 124. Feld 1; Kulturschicht. Phase 3. Dat. 50–70; claudisch-neronisch. FK 78.
ME **85** Ho 3. Schrott. Blech. Blechfragment in unregelmässiger Form; in zwei Teile zerbrochen.
L. 30 mm. Br. 9 mm. D. 1 mm. G. 1,3 g. Masse vom grösseren Fragment genommen; G. von beiden Teilen gemeinsam.
Pos. 22. Feld 9, 12; Mauer, Geb. 2. Phase B. Dat. 150–250. FK 230.
ME **86** Ho 3. Schrott. Blech. Blechfragment in unregelmässiger Form; eine Seite mit Schnittspuren.
L. 18 mm. Br. 10 mm. D. 1 mm. G. 0,7 g.
Pos. 217. Feld 5. FK 214.
ME **87** Ho 3. Schrott. Blech. Blechfragment in unregelmässiger Form.
L. 16 mm. Br. 9 mm. D. 2 mm. G. 0,2 g. Grube 61.
Pos. 62. Feld 1, 4, 6; Grube. Dat. 1–30. FK 249.
ME **88** Rö 221. Schrott. Blech. Blech in unregelmässiger Form. Die Oberfläche ist mit einer starken Korrosionsschicht überdeckt, die organischen Ursprungs sein könnte.
L. 16 mm. Br. 13 mm. D. 1 mm. G. 0,7 g. Die D. vom Blech wurde ohne die Korrosionsschicht genommen.
Pos. 29. Feld 3. Phase 5b. Dat. 150–200; 2. Hälfte 2. Jh. FK 33.
ME **89** Ho 3. Schrott. Blech. Blechfragment in unregelmässiger Form.
L. 15 mm. Br. 12 mm. D. 1 mm. G. 0,5 g.
Pos. 246. Feld 6; Kiesrollierung. Phase A. Dat. 70–250. FK 255.
ME **90** Ho 3. Schrott. Blech. Blechfragment in unregelmässiger Form; ineinander gefaltet.
L. 15 mm. Br. 9 mm. D. 4 mm. G. 0,6 g.
Pos. 262/022. Feld 9, 10, 12; Mauer. Dat. 150–250. FK 295.
ME **91** Rö 221. Schrott. Blech. Blechfragment in unregelmässiger Form. Auf der Rückseite befindet sich ein aufgesetztes kleines Bandteil.
L. 15 mm. Br. 9 mm. D. 2 mm. G. 0,4 g. Es könnte sich evtl. um ein Deckelfragment eines Salbfläschchens handeln.
Pos. 45. Feld 2; Pfostenloch. Phase 5b. Dat. 150–200; 2. Hälfte 2. Jh. FK 92.
ME **92** Ho 3. Schrott. Blech. Blechfragment in unregelmässiger Form; in drei Teile zerbrochen.
L. 13 mm. Br. 8 mm. D. 1 mm. G. 0,5 g. Masse vom grössten Fragment; G. von allen drei Teilen gemeinsam.
Pos. 50. Feld 3; Kiesrollierung. Phase A. Dat. 70–250. FK 21.
ME **93** Ho 3. Schrott. Blech. Blechfragment in unregelmässiger Form.
L. 8 mm. Br. 4 mm. D. 1 mm. G. 0,1 g.
Pos. 245. Feld 6; Kiesrollierung. Phase A. Dat. 70–250. FK 254.

Schrott/Brocken
ME **94** Ho 3. Schrott. Brocken. Brocken in unregelmässiger Form.
L. 10 mm. Br. 7 mm. D. 5 mm. G. 0,5 g.
Pos. 50. Feld 3; Kiesrollierung. Phase A. Dat. 70–250. FK 21.
ME **95** Rö 213/215. Schrott. Brocken. Brocken in halbwegs rechteckiger Form.
L. 11 mm. Br. 7 mm. D. 4 mm. G. 0,9 g. Aus Boden mit Holzschnipseln.
Pos. 430. Feld 4; Boden. Phase 3. Dat. 50–70; claudisch-neronisch. FK 196.
ME **96** Ho 3. Schrott. Brocken. Brocken in unregelmässiger Form.
L. 15 mm. Br. 12 mm. D. 7 mm. G. 0,7 g.
Pos. 246. Feld 6, Kiesrollierung. Phase A. Dat. 70–250. FK 255.
ME **97** Rö 213/215. Schrott. Brocken. Brocken in unregelmässiger Form, von starker Korrosionsschicht umhüllt. Diese könnte organisches Material enthalten.
L. 16 mm. Br. 17 mm. D. 13 mm. G. 2,8 g.
Pos. 436. Feld 4; Planie. Phase 4. Dat. 60–80; neronisch-vespasianisch. FK 218.
ME **98** Rö 229. Schrott. Brocken. Schmelztropfen in unregelmässiger Form.
L. 18 mm. Br. 10 mm. D. 3 mm. G. 1 g. Der Tropfen deutet eher auf einen Brand als auf Buntmetallverarbeitung hin.
Pos. 1146/1130. Feld 33; Geb. SH VII. Dat. römisch-Neuzeit. FK 1326.
ME **99** Rö 229. Schrott. Brocken. Abdruckreste eines Buntmetallobjektes mit sehr wenig Originalmaterial und sehr viel Dreck.
L. 21 mm. Br. 19 mm. D. 7 mm. G. 2 g. Masse wurden vom grössten Fragment, G. von allen Brocken gemeinsam genommen.
Pos. 31. Feld 33; Geb. SH IV. Dat. 75–150. FK 1285.
ME **100** Ho 3. Schrott. Brocken. Brocken in unregelmässiger Form mit stark verschlackter Oberfläche. In mehrere Teile zerbrochen.
L. 24 mm. Br. 15 mm. D. 10 mm. G. 4 g. Gussrest? Gräbchen 74.
Pos. 262. Feld 10; Graben. Phase A. Dat. 70–250. FK 262.
ME **101** Rö 221. Schrott. Brocken. Brocken in unregelmässiger Form.
L. 27 mm. Br. 16 mm. D. 13 mm. G. 11,1 g; u.U. könnte auch ein Gussrest vorliegen.
Pos. 29. Feld 3. Phase 5b. Dat. 150–200; 2. Hälfte 2. Jh. FK 33.
ME **102** Ho 3. Schrott. Brocken. Brocken in unregelmässiger Form, stark zerschmolzen.
L. 30 mm. Br. 21 mm. D. 11 mm. G. 5,7 g. Grube 61.
Pos. 63. Feld 1, 4, 6; Grube. Dat. 1–30. FK 250.

Metallverarbeitung/Werkzeug und Halbfabrikate
ME **103** Rö 209. Metallverarbeitung. Werkzeug für Metallverarbeitung. Gerät in Form eines Stichels mit rechteckigem Querschnitt und einem zugespitzten Ende (stumpf abgebrochen). Das Objekt wurde nach dem Guss fast nicht überarbeitet und zeigt deshalb eine relativ raue Oberfläche mit Spuren der Gussform.
L. 92 mm. Br. 10 mm. D. 8 mm. G. 36,4 g.
Pos. 046/048. Feld 3. Phase 4. Dat. 50–70; neronisch/frühflavisch. FK 229.
ME **104** Rö 221. Metallverarbeitung. Halbfabrikat. Bandfragment mit rechteckigem Querschnitt; es könnte sich um einen Kleinbarren handeln. Auf der Oberfläche und an beiden Enden befinden sich Spuren von Abschrotung.
L. 27 mm. Br. 12 mm. D. 3 mm. G. 3,6 g. Zuweisung ist nicht ganz sicher.
Pos. 41. Feld 3; Kiesrollierung. Phase 3–4. Dat. 50–100; neronisch/vespasianisch-domitianisch. FK 55.
ME **105** Ho 3. Metallverarbeitung. Halbfabrikat. Vierkantiges Stäbchen mit begonnener Ausschmiedung zu einem Blech.
L. 83 mm. Br. 15 mm. D. 3 mm. G. 5,4 g. Schmiedespuren lassen sich noch gut erkennen; vgl. F. Hoek in Teil II, Kap. 2, Kat. 127.
Pos. 50. Feld 3; Kiesrollierung. Phase A. Dat. 70–250. FK 44.

Funktion unbekannt
ME **106** Röweg 5. Funktion unbekannt. Massive Zierleiste mit flachem, profiliert gestaltetem Querschnitt. Entlang der oberen Schmalseite verläuft ein profiliertes Zierband. Vielleicht als Möbelbeschlag zu deuten.
L. 86 mm. Br. 19 mm. D. 19 mm. G. 32,8 g.
Streufund. FK 96.
ME **107** Rö 209. Funktion unbekannt. Symmetrisch aufgebauter Beschlag mit Profilierung und trapezförmigen Enden. Befestigung auf einer Unterlage erfolgte mit rund umfassenden Stiften, die an der Rückseite ansetzen. So ist die Rekonstruktion einer stabförmigen Unterlage anzunehmen.
L. 64 mm. Br. 12 mm. D. 3 mm. G. 10,3 g. Zuweisung, auch zum Befund, unsicher. Objekt ist möglicherweise auch neuzeitlich.
Pos. 71. Feld 2; Planie. Phase 5. Dat. 55–80; neronisch-flavisch. FK 45.

ME **108** Rö 209. Funktion unbekannt. Anhänger? Es scheint ein figürlich verziertes Objekt vorzuliegen, da aber die Bestimmung nur auf Grund einer Aufnahme vor der Restaurierung erfolgen kann, ist jegliche weitere Deutung zweifelhaft. Objekt ist derzeit verschollen. Photographie auf Film Nr. 39.012 (Januar 1996)/1–3.
Pos. 103. Feld 2; Grube. Dat. Neuzeit? FK 64.
ME **109** Rö 209. Funktion unbekannt. Ein Arm von Drei(?)wirbel mit hütchenförmig gewölbtem Ende und gelochter Lasche auf der Rückseite. Das Ende ist mit einer kreuzförmigen Ritzung verziert, während der Rest der Schauseite eine eingepunzte Ornamentik mit vegetabilem Muster zeigt.
L. 51 mm. Br. 35 mm. D. 2 mm. G. 14,7 g. Funktion dürfte am ehesten im Bereich des Pferdegeschirrs liegen. Auf Grund der Verzierung ist eine Zuweisung in den militärischen Bereich am wahrscheinlichsten.
Pos. OK 109. Feld 3; Geb. Phase 3. Dat. 40/50–70; claudisch-neronisch. FK 257.
ME **110** Rö 229. Funktion unbekannt. Scheibe mit leicht erhöhtem Rand. Die Rückseite ist stark verkrustet.
Dm. 14 mm. D. 1 mm. G. 0,5 g.
Pos. 462. Feld 10A; Balkengraben. SH II. Dat. 50–100. FK 698.
ME **111** Rö 229. Funktion nicht bekannt. Bandfragment mit gewölbtem Querschnitt. Das Stück läuft nach einer Zierleiste am unteren Ende in eine Spitze aus.
L. 50 mm. Br. 10 mm. D. 1 mm. G. 4,5 g. Später Schwertriemenhalter?
Pos. 43. Feld 10. SH III. Dat. 50–100. FK 76.
ME **112** Ho 3. Funktion nicht bekannt. Rundstabiges Stäbchen mit schmalem Saum endet in kleinem «Füsschen». Das andere Ende ist abgebrochen.
L. 19 mm. Br. 6 mm. D. 4 mm. G. 1,9 g. Grube 61.
Pos. 63. Feld 1, 4, 6; Grube. Dat. 1–30. FK 250.

Figürliches
ME **113** Ho 3. Figürliches. Figürlich gestaltetes Fragment. Die Vorderseite zeigt Wülstungen und Strichmuster. Die Rückseite ist unverziert.
L. 25 mm. Br. 15 mm. D. 4 mm. G. 3,7 g.
Pos. 37. Feld 3, 10, 11; Planie. Phase C. Dat. 180–250. FK 225.

Zusatz
Die folgende Waagschale aus der Römerstr. 221 wurde erst nach Abschluss der Arbeiten bekannt und konnte deshalb in Katalog und auswertendem Text nicht mehr berücksichtigt werden. Die beste Parallele zur hier vorliegenden flachen Waagschale fand sich in einem Steinkisten-Brandgrab des späteren 1. Jh. aus Bad Kreuznach-Planig (D). Vgl. Witteyer/König/Schoch 1997 zu diesem Befund und ebd. 80ff. und 102 Abb. 23 zur Verwendung gleicharmiger Waagen, speziell mit flachen, gegossenen Waagschalen.

Rö 221. Hausrat. Waage. Waagschale von gleicharmiger Waage. In Form einer flachen, runden Scheibe mit noch zwei erhaltenen kleinen Löchern am Rand für die Aufhängung.
Dm. 31 mm. D. 2 mm. G. 9,1 g
Pos. 28/29. Feld 3. Phase 5b–6. Dat. römisch-Neuzeit. FK 27.

8 FIBELN

(RFA = Röntgenfluoreszenzanalyse)

FB **1** Spiralfibel[24]. Kupferlegierung. Korrodiert. Nadelrast und Manschette beschädigt. L. 69 mm. Lit. Rey-Vodoz 1998, Variante 1.4.1; Riha 1994 und 1979, Typ 1.4; Feugère 1985, Typ 3b1b; Ettlinger 1973, Typ 3 und Karte 3. DatFK: frühneronisch bis flavisch (Römerstr. 209, Phase 4, FK 23).
FB **2** Spiralfibel. Kupferlegierung. Vollständige aber sehr korrodierte Fibel. Hälfte der Spirale und Nadelende verbogen. Bügel zerbrochen. L. 39 mm. Lit. Rey-Vodoz 1998, Variante 1.4.1; Riha 1994 und 1979, Typ 1.4; Feugère 1985, Typ 3b1a; Ettlinger 1973, Typ 3 und Karte 3. DatFK: tiberisch (Römerstr. 209, Phase 2a, FK 326, Kat. 35).
Die geringe Grösse ist bemerkenswert. Nach Rey-Vodoz wäre man versucht anzunehmen, dass es sich um eine Kinderfibel handelt[25]. Diese Interpretation würde zur Vermutung passen, dass der Typ nicht ausschliesslich von Armeeangehörigen verwendet wurde[26].
FB **3** Spiralfibel. Kupferlegierung. Sehr korrodiert. Manschette beschädigt. L. 56 mm. Lit.: Rey-Vodoz 1998, Variante 1.4.1; Riha 1994 und 1979, Typ 1.4; Feugère 1985, Typ 3b1; Ettlinger 1973, Typ 3 und Karte 3. DatFK: flavisch (Römerstr. 221, Phase 4, FK 64, Kat. 142).
FB **4** Spiralfibel. Kupferlegierung. Sehr korrodiert. Spirale und Nadel zerdrückt. L. 51 mm. Lit.: Rey-Vodoz 1998, Variante 2.2.1 et 2.2.2; Riha 1994 und 1979, Variante 2.2.1 et 2.2.2; Feugère 1985, Typ 14a; Ettlinger 1973, Typ 9 und Karte 6. DatFK: 50–100 (Römerstr. 229, SH III, FK 561).
Die schlechte Erhaltung der Fibel erlaubt keine klare Zuweisung zwischen Variante 2.2.1 (mit drahtförmigem Sehnenhaken) und Variante 2.2.2 (mit plattenförmigem Sehnenhaken).
FB **5** Spiralfibel. Kupferlegierung. L. 51 mm. Lit.: Riha 1994 und 1979, Typ 2.2[27]; Van der Roest 1988, Variante 1.2.1.2: Knopffibeln, Nrn. 13–18; van Buchem 1941, Typ 12C, Variante e: Knoppenfibulae, Nrn. 206–212a. DatFK: 50–100 (Römerstr. 229, SH III, FK 1606).
Die Fibel zeichnet sich durch eine Spirale mit sechs Windungen und oberer Sehne, die durch einen Sehnenhaken mit kugelförmigem Ende gespannt wird, aus. Die Enden der breiten Stützplatte sind kugelförmig, der gebogene Bügel vierkantig. Der Fuss endet in einem vollrunden Fussknopf und der gefüllte Nadelhalter ist von dreieckiger Form. Die Fibel ist morphologisch von Interesse, da sie eine Zwischenform zwischen der Gruppe 2 nach Riha, der sie auf Grund ihres Schliesssystems angehört, und der Gruppe 5[28], besonders den Aucissa-Fibeln[29], bildet. Der Bügel und die Verarbeitung der Enden der Stützplatte weisen die Fibel als Vorläufer des Typs Aucissa aus, der durch einen halbkreisförmigen Bügel, Scharnierknöpfen, einen dreieckigen, in einem vollrunden Knopf endenden Fuss charakterisiert ist. Vermutlich wurde die Fibel in den germanischen Provinzen produziert, da die einzigen bekannten Vergleichsstücke aus einer gut definierten Zone zwischen Waal und Rhein stammen[30]. Diese Hypothese wird durch die Tatsache gestützt, dass einige Merkmale der vorliegenden Fibel (kugelförmiges Ende des Nadelhalters, Spiralstützplatte mit Einschnitten, die Seitenknöpfe andeuten) auch bei einer morphologisch sehr geschlossenen, dem Typ Riha 2.5 zuweisbaren

---

24 Für die allgemeine Definition der Fibeln auf der Basis des Verschlusssystems beziehen wir uns auf das Werk von Riha 1979, 12.
25 Rey-Vodoz 1986, 157. Kleine Fibeln desselben Typs finden sich auch in Martigny (Rey-Vodoz 1986, Nr. 29) und in Augst (Riha 1979, Nrn. 82–90).
26 Dazu vgl. Riha 1994, 94; Riha 1979, 57.
27 Wir weisen darauf hin, dass Riha (1994, 63 Anm. 111) die von van der Roest (1988, Nrn.13–18) veröffentlichten und unserer Fibel sehr ähnlichen Vergleichsstücke als Parallelen für ihre neue Variante 2.2.8 beizieht. Sie unterscheiden sich jedoch deutlich vom einzigen Augster Beispiel und entsprechen, abgesehen vom Fussknopf, auch nicht der von Riha gegebenen Definition. Auf Grund ihrer spezifischen Merkmale möchten wir unsere Fibel, die mit den erwähnten Vergleichsbeispielen eine geschlossene Gruppe bildet, nicht einer bestimmten Variante von Riha zuordnen.
28 Definition der Gruppen nach Riha 1994, 63; 100: Gruppe 2 (eingliedrige Spiralfibeln mit oberer Sehne und Sehnenhaken) und Gruppe 5 (Hülsenscharnierfibeln).
29 Riha 1994 und 1979, Typ 5.2.
30 Vgl. van der Roest 1988, Variante 1.2.1.2: Knopffibeln, Nrn. 13–18; Van Buchem 1941, Typ 12C, Variante e: «Knoppenfibulae», Nrn. 206–212a, Taf. 5,23–24.

und vor allem zwischen dem Rhein und der Maas auftretenden Fibelgruppe auftreten[31].

FB **6** Spiralfibel. Kupferlegierung. Sehr korrodiert. Fibelkopf und Bügel beschädigt. L. 49 mm. Lit. Rey-Vodoz 1998, Typ 2.3; Riha 1994 und 1979, Variante 2.3.2; Ettlinger 1973, Typ 17 und Karte 11. DatFK: Streufund (Römerstr. 229, FK 558).

FB **7** Spiralfibel. Kupferlegierung. L. 34 mm. Lit. Rey-Vodoz 1998, Typ 2.9; Riha 1994 und 1979, Typ 2.9; Ettlinger 1973, Typ 13 und Karte 9, Taf. 18,2–3; J. Peska, Fibeln aus der römischen Kaiserzeit in Mähren (Prag 1972) Taf. 9,4–7; E. Ritterling, Das frührömische Lager bei Hofheim im Taunus. Annalen des Vereins für Nassauische Altertumskunde 40 (Wiesbaden 1913) Nr. 145. DatFK: 0–30 n. Chr. (Hohlandstr. 3, SP 1, FK 181, Kat. 48).

In Anbetracht ihres schlechten Erhaltungszustands kann die Fibel nur mit Vorbehalt dem Typ 2.9 nach Riha zugewiesen werden.

FB **8** Hülsenspiralfibel. Messing (RFA). Sehr guter Erhaltungszustand: ursprüngliche, unpatinierte Messingoberfläche gut sichtbar. Hülse und Nadelhalter beschädigt. L. 89 mm. Lit. Rey-Vodoz 1998, Variante 4.2.2; Riha 1994 und 1979, Variante 4.2.2; Ettlinger 1973, Typ 21 und Karte 13. DatFK: 50–100 (Römerstr. 229, SH III, FK 1484, Kat. 116).

FB **9** Hülsenspiralfibel. Kupferlegierung. Hülse beschädigt. L. 69 mm. Lit. Rey-Vodoz 1998, Variante 4.2.2; Riha 1994 und 1979, Variante 4.2.2; Ettlinger 1973, Typ 21 und Karte 13. DatFK: 0–30 n. Chr. (Hohlandstr. 3, SP 1, FK 168, Kat. 81).

FB **10** Hülsenspiralfibel. Kupferlegierung. Korrodiert. Nadel, Fibelkopf- und -fuss beschädigt. Kein Stempel. L. 74 mm. Lit. Rey-Vodoz 1998, Variante 4.3.1; Riha 1994 und 1979, Variante 4.3.1[32]; Feugère 1985, Typ 14b2; Ettlinger 1973, Typ 22 und Karte 14. DatFK: 75–150 (Römerstr. 229, SH IV, FK 1280).

FB **11** Hülsenspiralfibel. Kupferlegierung. Sehr korrodiert. L. 51 mm. Lit.: Rey-Vodoz 1998, Typ 4.3; Riha 1994 und 1979, Typ 4.3; Feugère 1985, Typ 14b2; Ettlinger 1973, Typ 22 und Karte 14. DatFK: claudisch (Römerstr. 221, Phase 2b, FK 85, Kat. 41).

FB **12** Hülsenspiralfibel. Messing (RFA). Verbogen. L. 47 mm. Lit.: Rey-Vodoz 1998, Typ 4.4; Riha 1994 und 1979, Variante 4.4.5. DatFK: claudisch (Römerstr. 221, Phase 2b, FK 81, Kat. 40).

Die Röntgenfluoreszenzanalyse zeigte, dass die Längsverzierungen im Bügel aus Zinn bestehen[33].

FB **13** Hülsenspiralfibel. Messing (RFA). Sehr korrodiert. Auf der Hülse Spuren der Verzinnung (RFA). L. 86 mm. Lit. Rey-Vodoz 1998, Variante 4.7.2; Riha 1994 und 1979, Variante 4.7.2; Feugère 1985, Typ 20a1; M.A. Dollfus, Catalogue des fibules de bronze de Haute-Normandie. Mémoires de l'Académie des Inscriptions et Belles-Lettres 16 (Paris 1973) 99; 129–145: Fibules à queue de paon, variété I. DatFK: 50–100 (Römerstr. 229, SH III, FK 717).

FB **14** Hülsenscharnierfibel. Eisen. L. 60 mm. Lit.: Rey-Vodoz 1998, Typ 5.0; Rieckhoff 1975, 17–24: eiserne Scharnierbogenfibel, Typ Hüfingen. DatFK: Ende 1. Jh. n.Chr. bis Beginn 2. Jh. (Römerstr. 221, Phase 5, FK 30).

Die Fibel scheint einen Verschluss mit Hülsenscharnier und einen vollen Fussknopf gehabt zu haben. Die Form und die Verzierung des Bügels (Mittellinie mit Perlverzierung) erinnern an ein Vergleichsbeispiel aus Vindonissa, das von Ettlinger veröffentlicht wurde[34]. Die Fibel weist einige Eigentümlichkeiten auf, die an den jüngeren Typ Aucissa erinnert: Der massive Fibelbügel zeigt eine gebogene Profilierung und der dreieckige Nadelhalter endet in einem heute verlorenen Knopf.

FB **15** Hülsenscharnierfibel. Kupferlegierung. Sehr korrodiert. Bügel beschädigt. Holzreste auf der Nadel und auf der rechten Seite der Kopfplatte. Scharnier nach aussen umgebogen. Kein Stempel. L. 57 mm. Lit. Rey-Vodoz 1998, Variante 5.2.1; Riha 1994 und 1979, Variante 5.2.1; Feugère 1985, Typ 22b2, 322 Abb. 46: Verbreitungskarte des Typs 22b2; 328–330: Fundortliste des Typs 22b2; Ettlinger 1973, Typ 29 und Karte 18. DatFK: claudisch (Römerstr. 209, Phase 2b, FK 83, Kat. 60).

FB **16** Hülsenscharnierfibel. Kupferlegierung. Korrodiert. Bügel beschädigt. Scharnier nach innen verbogen. Kein Stempel. L. 43 mm. Lit.: Rey-Vodoz 1998, Variante 5.2.1; Riha 1994 und 1979, Variante 5.2.1; Feugère 1985, Typ 22b1; Ettlinger 1973, Typ 29 und Karte 18. DatFK: claudisch (Römerstr. 209, Phase 2b, FK 298).

FB **17** Hülsenscharnierfibel. Bronze (RFA). Korrodiert und leicht verbogen. Fuss und Nadelhalter beschädigt. Scharnier nach aussen verbogen. Spuren der Verzinnung (RFA). L. 57 mm. Lit. Riha 1994 und 1979, Typ 5.3; Feugère 1985, Typ 22e. DatFK: 50–100 (Römerstr. 229, SH III, FK 1496, Kat. 118).

FB **18** Hülsenscharnierfibel. Messing (RFA). Korrodiert und zerdrückt. Bügel mit Fortsätzen beschädigt. Scharnier nach aussen verbogen. L. 37 mm. Lit. Riha 1994 und 1979, Typ 5.3; Feugère 1985, Typ 22e. DatFK: 50–100 (Römerstr. 229, SH III, FK 1498, Kat. 117).

FB **19** Hülsenscharnierfibel. Kupferlegierung. L. 22 mm, 16 mm und 8 mm. Lit. Rey-Vodoz 1998, Variante 5.7.1; Riha 1994 und 1979, Variante 5.7.1. DatFK: Spätaugusteisch bis frühclaudisch (Römerstr. 221, Phase 2b, FK 80).

FB **20** Hülsenscharnierfibel. Kupferlegierung. Bügel, Nadelrast und Fussknopf beschädigt. Nielloeinlagen nicht erhalten. L. 63 mm. Lit.: Rey-Vodoz 1998, Typ 5.9; Riha 1994 und 1979, Typ 5.9; Rey-Vodoz 1986, Typ 5.9; Feugère 1985, Typ 14c1; Rieckhoff 1975, 51–53: Scharnierfibeln mit gestrecktem, profiliertem Bügel, Gruppe B6; Ettlinger 1973, Typ 33. DatFK: 70–90 (Römerstr. 209, Phase 6a, FK 165, Kat. 180).

Ein Vergleichsstück aus Hüfingen[35] weist Reste von Nielloeinlagen auf, die beim vorliegenden Stück auch angenommen werden können. Die beiden formal sehr ähnlichen Fibeln dürften aus derselben, bisher nicht lokalisierten Werkstatt stammen.

FB **21** Hülsenscharnierfibel. Kupferlegierung. Lit. Rey-Vodoz 1998, Typ 5.9; Riha 1994 und 1979, Typ 5.9; Feugère 1985, Typ 14c1; Ettlinger 1973, Typ 33. L. 37 mm. DatFK: Neronisch bis frühflavisch (Römerstr. 209, Phase 4, FK 229, Kat. 121).

FB **22** Hülsenscharnierfibel. Kupferlegierung. Bügel beschädigt. L. 62 mm. Lit. Rey-Vodoz 1998, Variante 5.12.1; Riha 1994 und 1979, Variante 5.12.1; Ettlinger 1973, Typ 31 und Karte 19. DatFK: claudisch (Römerstr. 209, Phase 3, FK 259, Kat. 86).

Der Fuss ist sehr entwickelt.

FB **23** Hülsenscharnierfibel. Messing (RFA). Spuren der Verzinnung (RFA). L. 33 mm. Lit. Rey-Vodoz 1998, Typ 5.12; Riha 1994 und 1979, Variante 5.12.5; Feugère 1985, Typ 23c2, Nr. 1774. DatFK: 70–250 n. Chr. (Hohlandstr. 3, SP 2, FK 21, Kat. 126)

Bemerkenswert ist der Fuss mit strichverzierten Querrippen.

FB **24** Hülsenscharnierfibel. Messing (RFA). Scharnier nach aussen verbogen. Mögliche Spuren der Verzinnung (RFA). Einlagenmaterial nicht erhalten. L. 45 mm. Lit. Rey-Vodoz 1998, Typ 5.16; Riha 1994 und 1979, Variante 5.16.1; Feugère 1985, Typ 23c3. DatFK: 1.–3. Jh. n.Chr. (Untere Hohlgasse 8, Grabenfüllschicht, FK 48).

FB **25** Hülsenscharnierfibel. Kupferlegierung. Vermutlich ursprünglich verzinnt (RFA). L. 12 mm und 22 mm. Lit. Rieckhoff-Pauli 1977, 8–12: Almgren 101; Böhme 1972, 30–32: Fibeln der Form Almgren 101 und Taf. 35: Verbreitungskarte; U. Fischer, Zu den Fibeln Almgren 101. Jahresschrift für mitteldeutsche Vorgeschichte 50, 1966, 229–262: Fibeln Almgren 101 und 232, Abb. 1: Verbreitungskarte. DatFK: vespasianisch bis domitianisch (Römerstr. 221, Phase 4, FK 83, Kat. 143).

Dieses Stück unterscheidet sich von der klassischen Fibel Almgren 101 mit Spirale oder Verschluss mit Spirale und Scharnier nur durch das Hülsenscharnier. Dieselbe Detailgestaltung zeigt ein als Unikum bezeichnetes Vergleichsbeispiel aus Sulz am Neckar[36], für das Rieckhoff-Pauli eine Provenienz aus der Gegend vom Wetterau-Limes, aus dem Südosten oder aus Sulz selbst vermutet[37]. Die gleiche Herkunft der beiden Stück ist sehr wahrscheinlich.

FB **26** Hülsenscharnierfibel. Messing (RFA). Sehr korrodiert. Scharnier, Bügel und Fibelkopf beschädigt. Scharnier nach aussen verbogen. Mögliche Spuren der Verzinnung (RFA). Fibel der Gruppe 5 nach Riha. L. 29 mm. DatFK: 50–100 (Römerstr. 229, SH III, FK 1553).

Der schlechte Erhaltungszustand des Stücks mit stark korrodierter Oberfläche, auf der keine Verzierung zu erkennen ist, ermöglicht keine präzise Zuweisung der Fibel.

FB **27** Röhrenscharnierfibel. Kupferlegierung. L. 85 mm. Lit.: Riha 1994 und 1979, Typ 6.5.4A; Pröttel 1988, Typ 3/4B; Feugère 1985, Typ 31d; Keller 1971, Typ 4A; Ettlinger 1973, Typ 57 und Karte 26. DatFK: Streufund (Römerstr. 229, FK 776).

FB **28** Backenscharnierfibel. Messing (RFA). Korrodiert. Rhomboides Plättchen beschädigt. L. 32 mm. Lit. Rey-Vodoz 1998, Variante

7.4.1; Riha 1994 und 1979, Variante 7.4.1; Feugère 1985, Typ 24b1, 339 Abb. 49: Verbreitungskarte des Typs; 345–347: Liste der Fundstellen des Typs 24b. DatFK: 75–150 (Römerstr. 229, SH IV, FK 1040).
FB **29** Backenscharnierfibel. Kupferlegierung. Keine Spuren der ursprünglichen Verzierung (Glaskalotte mit Pressauflage). L. 28 mm. Lit.: Rey-Vodoz 1998, Typ 7.8; Riha 1994 und 1979, Typ 7.8; Ettlinger 1973, Typ 42,5. DatFK: neronisch bis flavisch (Römerstr. 209, Phase 5, FK 273, Kat. 153).
FB **30** Backenscharnierfibel. Messing (RFA). Korrodiert und flachgedrückt. Spuren der Verzinnung. Einlagenmaterial nicht erhalten. L. 43 mm. Lit. Rey-Vodoz 1998, Typ 7.16; Riha 1994 und 1979, Typ 7.16. DatFK: Ende 1. Jh. n.Chr. bis Anfang 2. Jh. n.Chr. (Römerstr. 221, Phase 5, FK 38, Kat. 200).
FB **31** Nadel und vier Windungen der Spirale erhalten. Kupferlegierung. Die Nadel ist im unteren Teil abgeflacht. Gehört zu einer Spiralfibel. L. 55 mm. DatFK: 30–50 (Römerstr. 229, SH II, FK 319).
FB **32** Vollständige Nadel. Kupferlegierung. L. 45 mm. Gehört zu einer Scharnierfibel der Gruppe 5 nach Riha (Hülsenscharnierfibel). DatFK: Streufund (Römerstr. 229, SH VI, FK 977).

---

[31] Vgl. van der Roest 1988, Variante 1.2.3.1: Spiralbügelfibeln A; mit Knopf am Haken und profilierter Stützplatte; J.K. Haalebos, Fibulae uit Maurik. Oudheidkundige Mededelingen, Suppl. 65, 1984–1985 (Leiden 1986) 26–30: «Boogfibulae», Variante A; 27, Abb. 9: Verbreitungskarte der «Boogfibulae»; 28–30: Liste der Fundstellen der «Boogfibulae»; T. Bechert, Römische Fibeln des 1. und 2. Jahrhunderts n.Chr. Funde aus Asciburgium1 (Duisburg-Rheinhausen 1973) Nrn. 146 und 153. Dem ist anzufügen, dass der Typ 2.5 üblicherweise germanischer Herkunft ist: vgl. Riha 1979, 70.

[32] Die Verzierung mit Pseudo-Filigranauflage dieses Stücks entspricht der von Riha 1979, 97 definierten Form a.

[33] Zinneinlagen konnten von Alexander Voûte (SLM, Sektion Forschung und Entwicklung) auch auf einer Fibel aus Vidy «Chavannes 11» festgestellt werden: Th. Luginbühl u. A. Schneiter, La fouille de Vidy «Chavannes 11» 1989–1990. Trois siècles d'histoire à Lausanne. Le mobilier archéologique. CAR 74 (Lausanne 1999) 338 Nr. 1508.

[34] Ettlinger 1973, Taf. 8,18.

[35] Rieckhoff 1975, Nr. 94.

[36] Rieckhoff-Pauli 1977, Abb. 2,20.

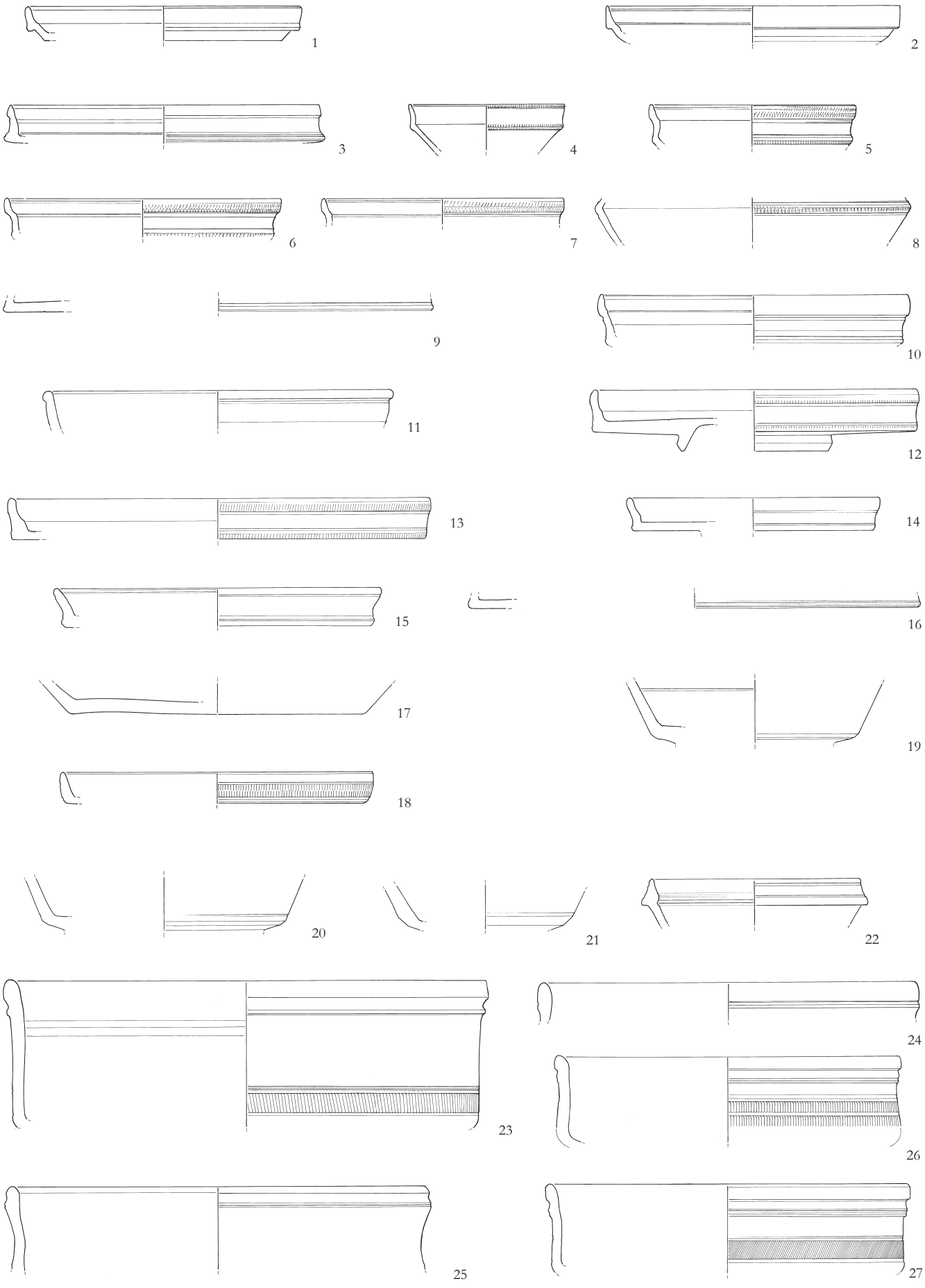
[37] Rieckhoff-Pauli 1977, 10f. Was die Herkunft des klassischen Typs Almgren 101 betrifft, (Rheingebiet oder Germania libera) verweisen wir auf die Synthese derselben Autorin, Rieckhoff-Pauli 1977, 8–12, sowie auf Böhme 1972, 30–32.

Zum Inhaltsverzeichnis

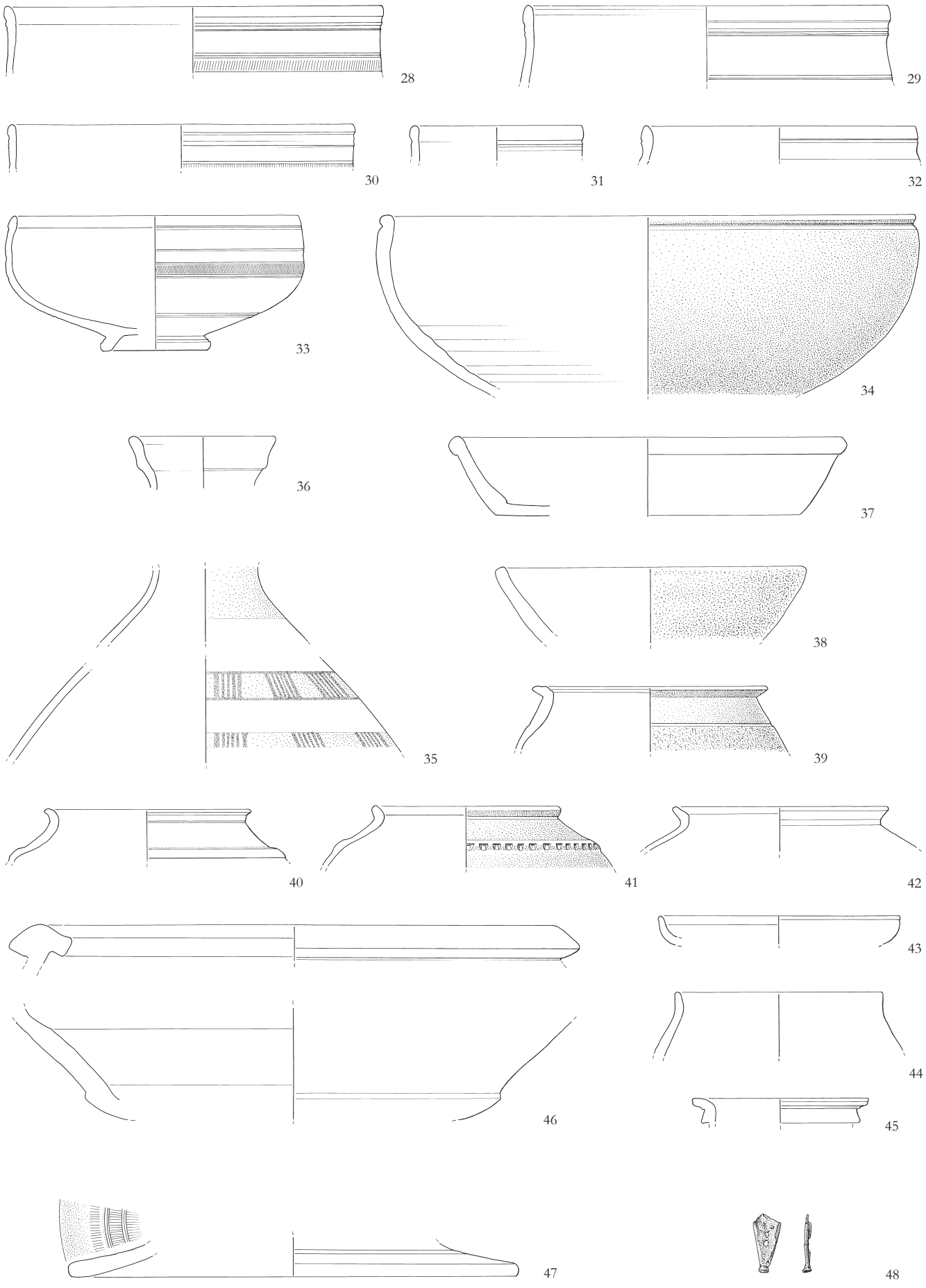
Zum Inhaltsverzeichnis

TAFELN

Zum Inhaltsverzeichnis

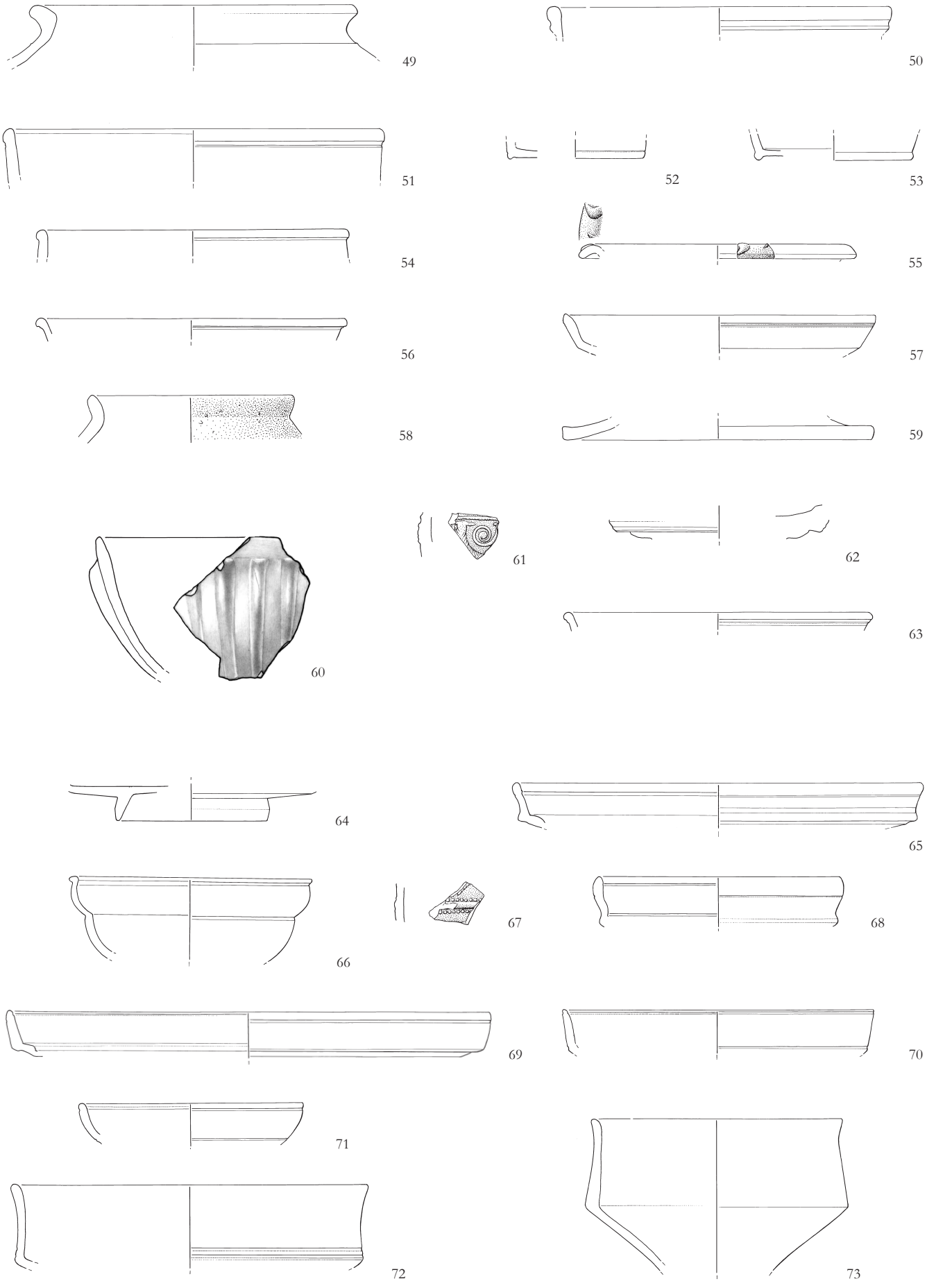


Hohlandstr. 3. 1–27 Keramik, M. 1:3. Siedlungsperiode 1 (0–30 n.Chr.).

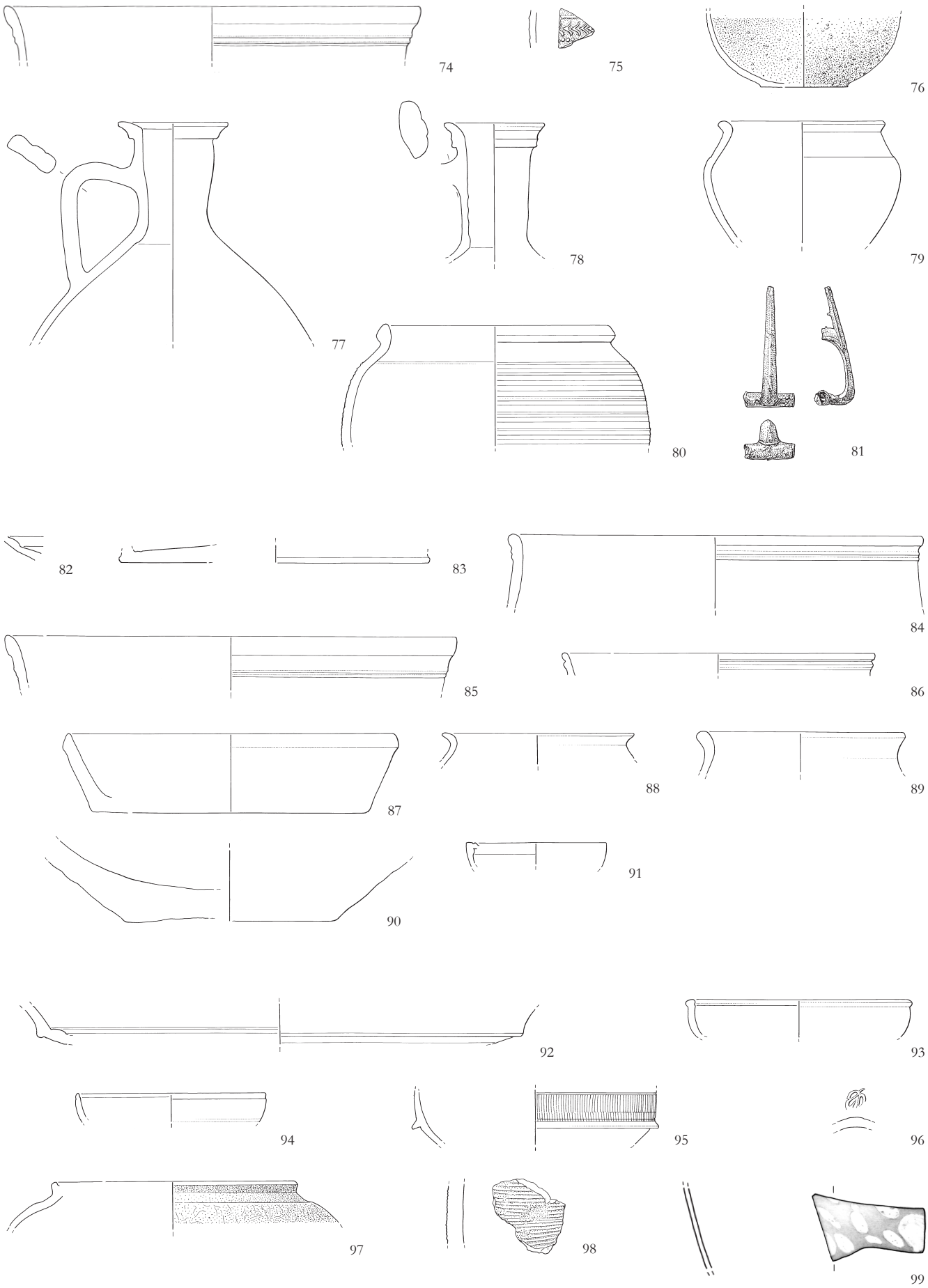


Hohlandstr. 3. 28–47 Keramik, M. 1:3; 48 Bronzefibel, M. 1:3. Siedlungsperiode 1 (0–30 n.Chr.).

Zum Inhaltsverzeichnis



Hohlandstr. 3. 49–59.61–73 Keramik, M. 1:3; 60 Glas, M. 1:2. 49–50 ohne Datierung; 51–63 (70–100 n.Chr.); 64–73 Siedlungsperiode 1 (0–30 n.Chr.).



Hohlandstr. 3. 74–80.82–98 Keramik, M. 1:3; 81 Bronzefibel, M. 1:3; 99 Glas, M. 1:2. 74–81 Siedlungsperiode 1 (0–30 n.Chr.); 82–91 Schichtpaket 2 (1. Hälfte 1. Jh.); 92–99 Schichtpaket 4 (70–100 n.Chr.).

Zum Inhaltsverzeichnis

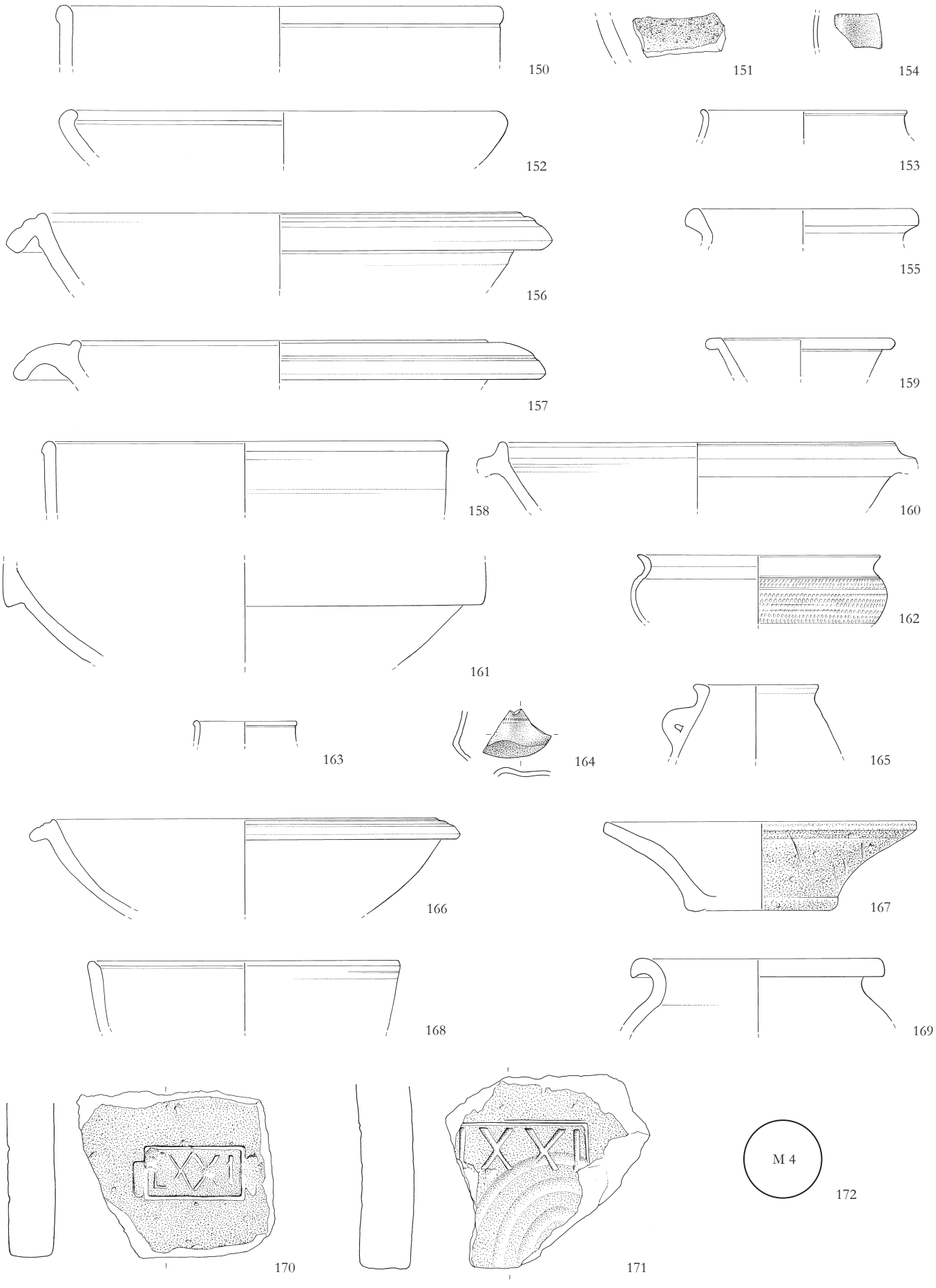


Hohlandstr. 3. 100–123 Keramik, M. 1:3; 124–127 Bronzeobjekte, M. 1:3. 100–110 Schichtpaket 5; 111–118 Schichtpaket 6; 119–127 Siedlungsperiode 2/Phase A (70 bis spätes 2. Jh.).

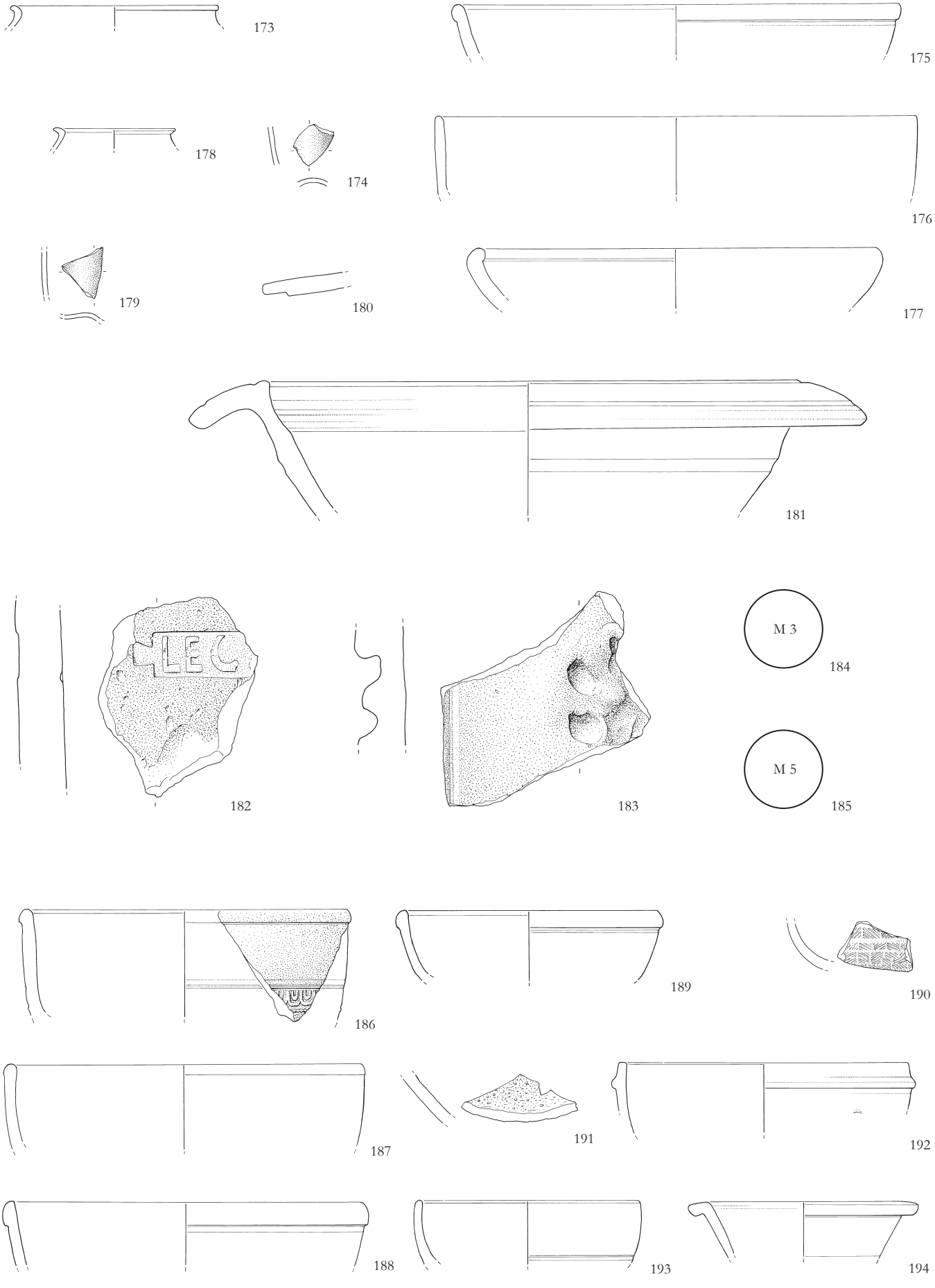


Hohlandstr. 3. 128–137.139–149 Keramik, M. 1:3; 138 Bein, M. 1:2. 128–138 Siedlungsperiode 2/Phase A (70 bis spätes 2. Jh.); 139–141 Siedlungsperiode 2/Phase B (bis 3. Viertel 2. Jh.); 142–149 Siedlungsperiode 2; Phase C (bis Mitte 3. Jh.).

Zum Inhaltsverzeichnis

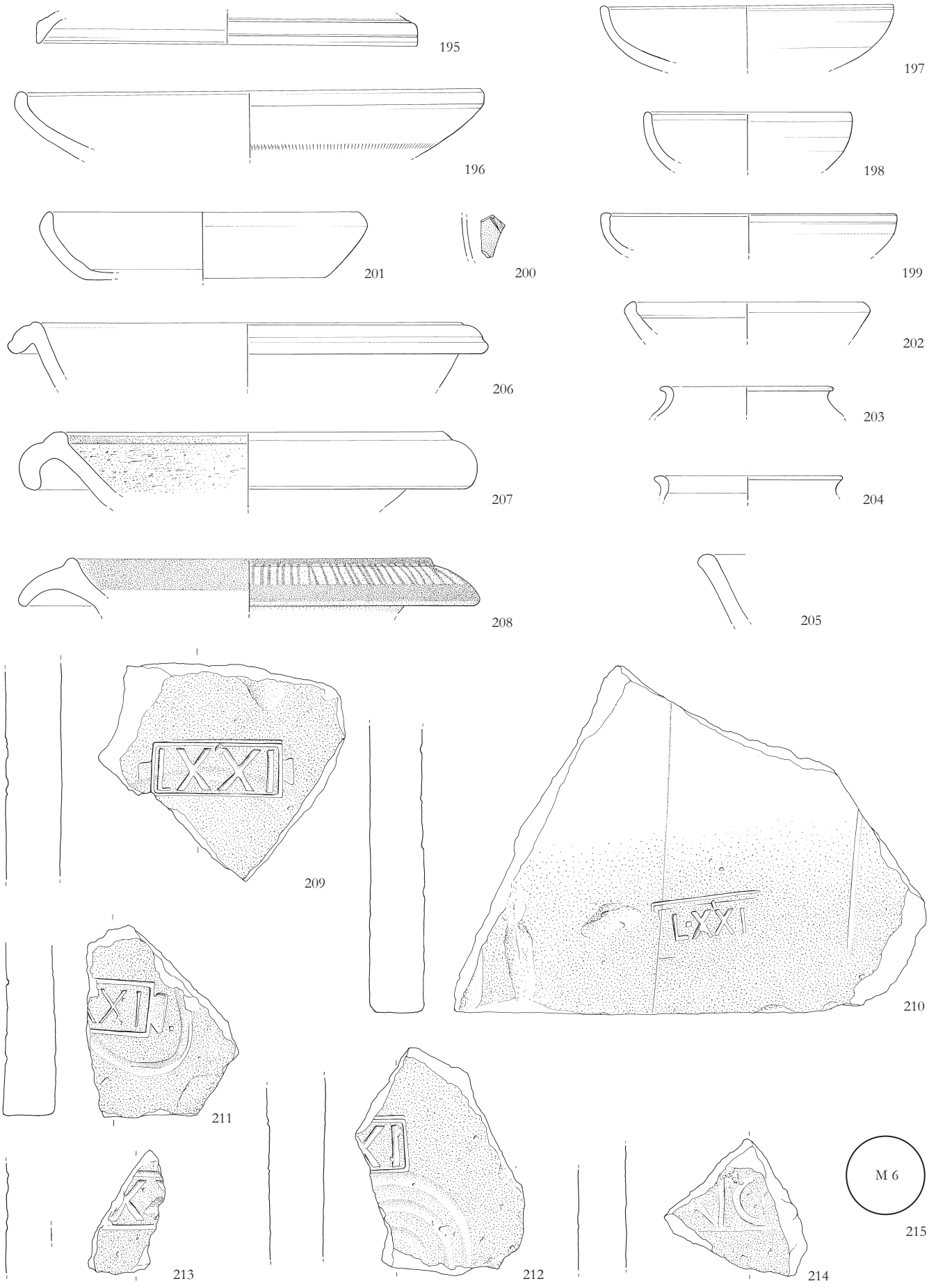


Hohlandstr. 3. 150–169 Keramik, M. 1:3; 170–171 Ziegel, M. 1:3; 172 Münze. 150–172 Siedlungsperiode 2/Phase C (bis Mitte 3. Jh.).

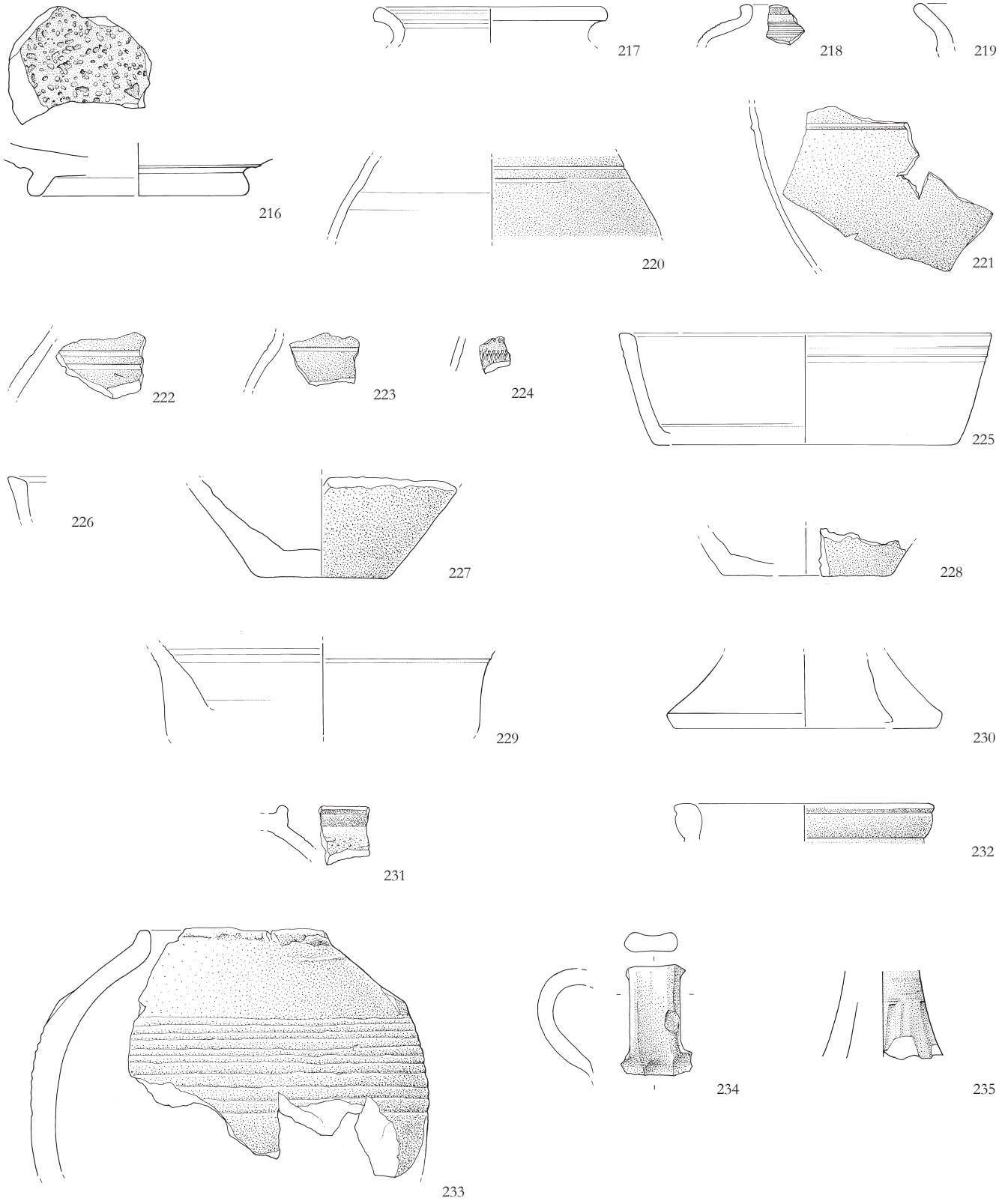


Hohlandstr. 3. 173–179.181.186–194 Keramik; 180 Lavez; 182–183 Ziegel; 184–185 Münzen. 173–181.186–194 M. 1:3; 182–183 M. 1:3. 173–185 Siedlungsperiode 3 (ganzes 3. Jh.); 186–194 römische Funde aus neuzeitlich durchmischten Schichten.

Zum Inhaltsverzeichnis

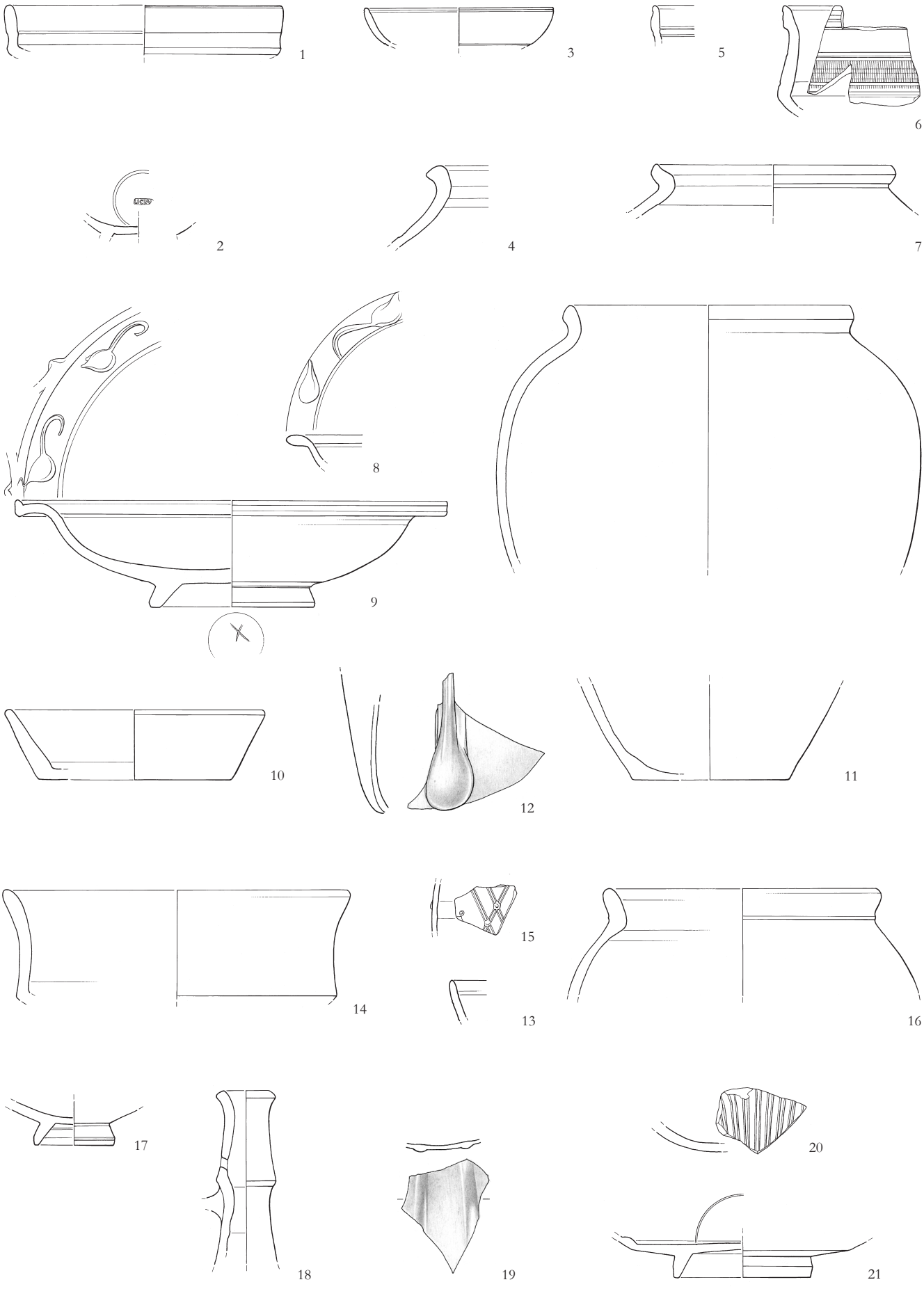


Hohlandstr. 3. 195–208 Keramik, M. 1:3; 209–214 Ziegel, M. 1:3; 215 Münze. Römische Funde aus neuzeitlich durchmischten Schichten

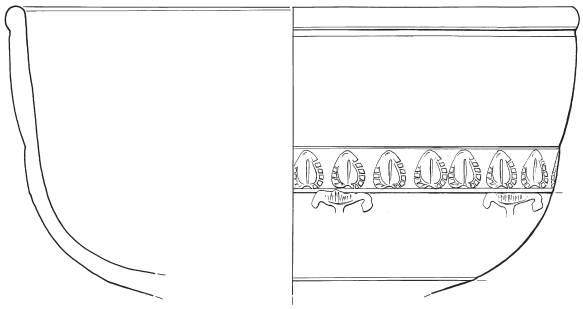


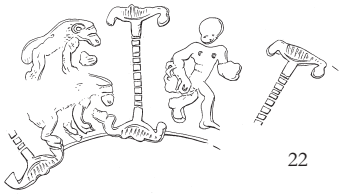
Oberwinterthur, Kirche St. Arbogast. 216–235 Keramik, M. 1:3. Spätrömische und frühmittelalterliche Streufunde.

Zum Inhaltsverzeichnis

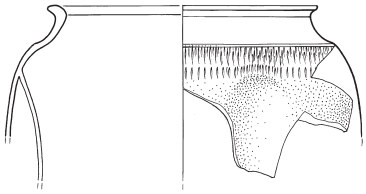


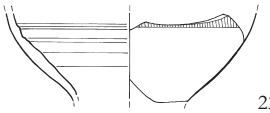
Römerstr. 203. 1–11.13–18.20–21 Keramik, M. 1:3; 12.19 Glas, M. 1:2.



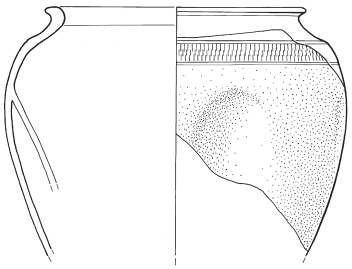


22

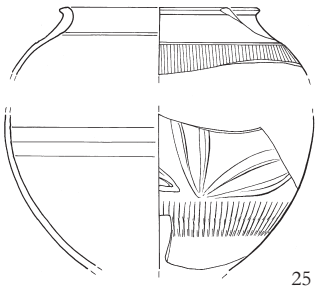




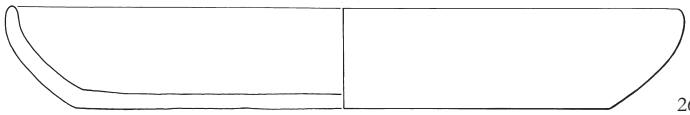
23



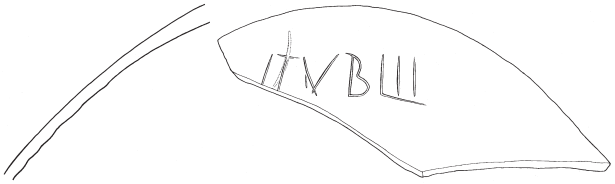
24



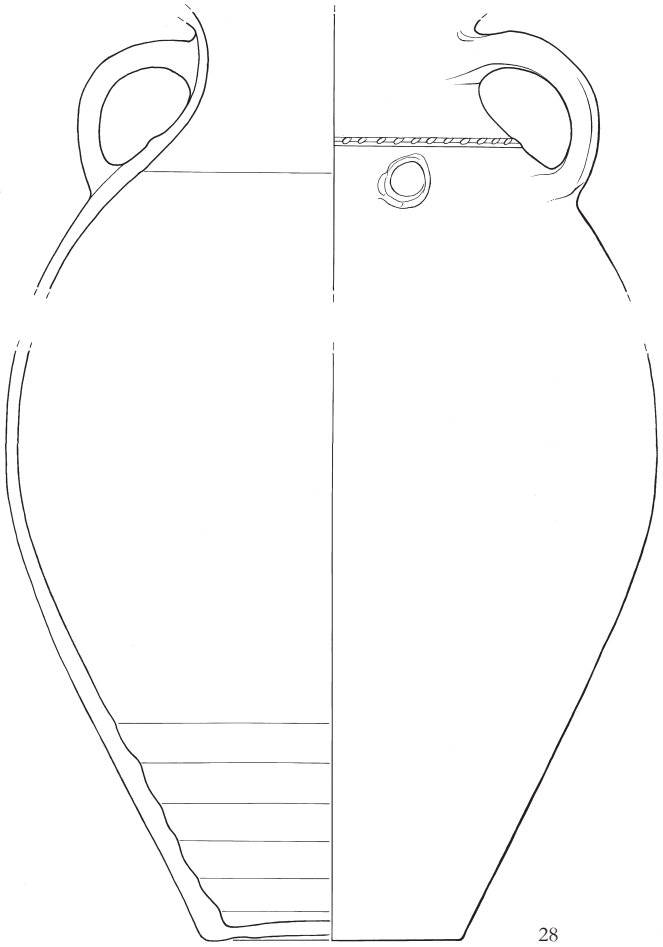
25



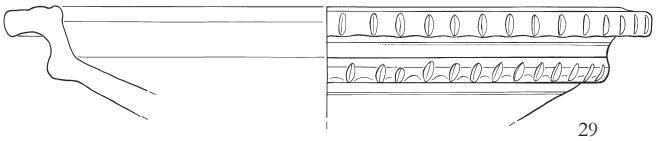
26



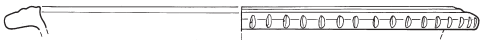
27



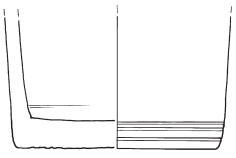
28

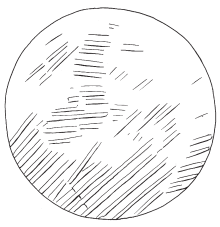


29



30

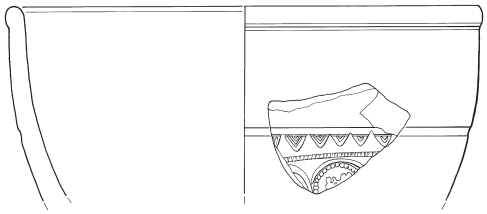




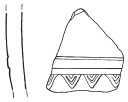
31

Römerstr. 203. 22–30 Keramik; 31 Lavez. M. 1:3.

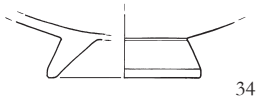
Zum Inhaltsverzeichnis



32



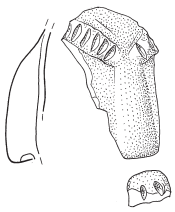
33



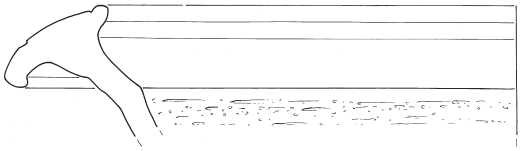
34



35

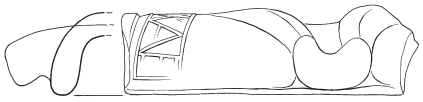


36

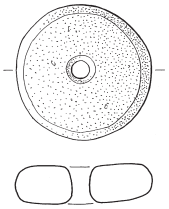


37

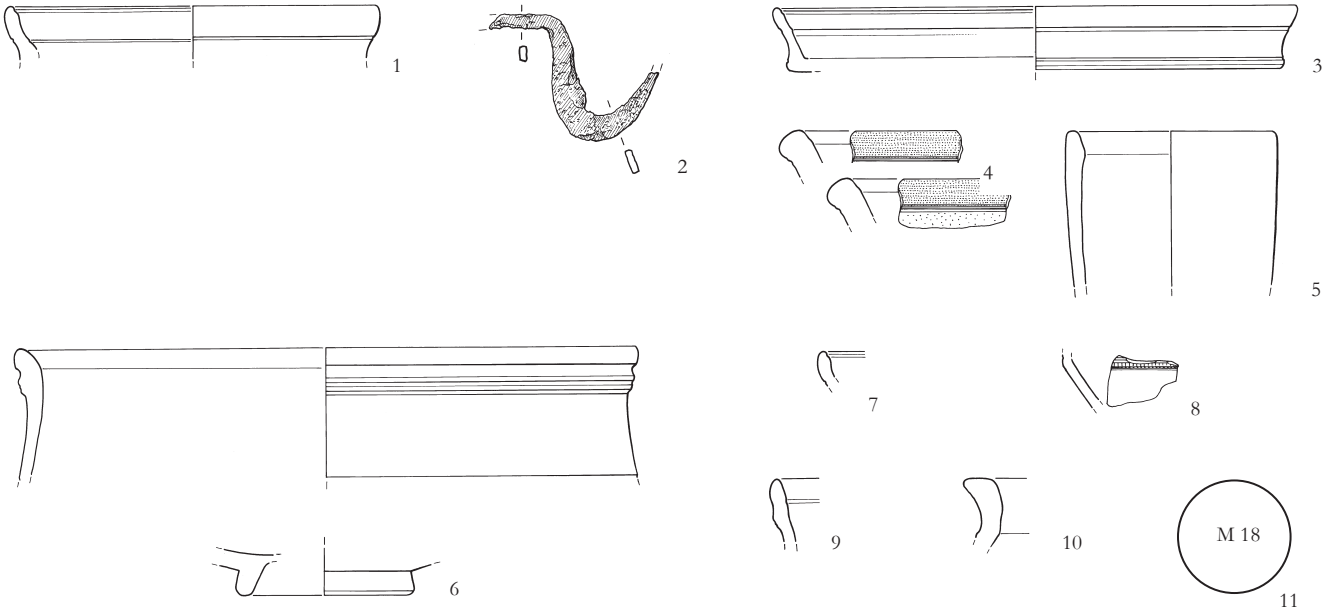


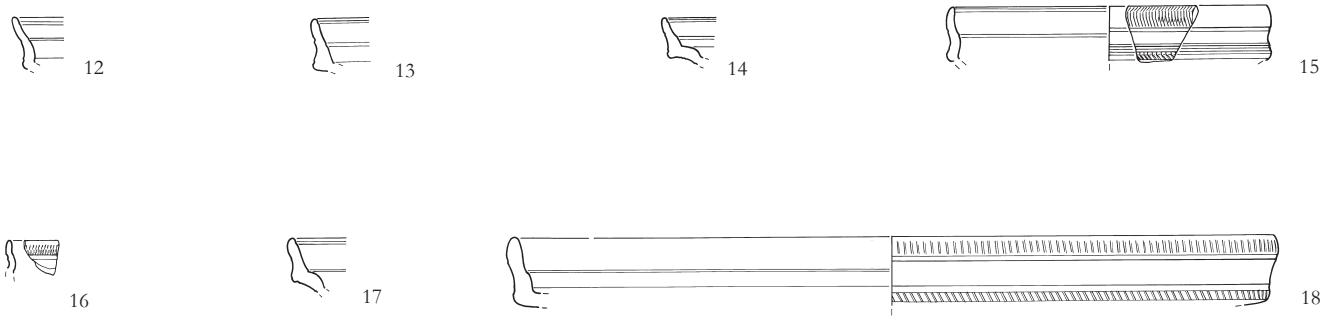


38

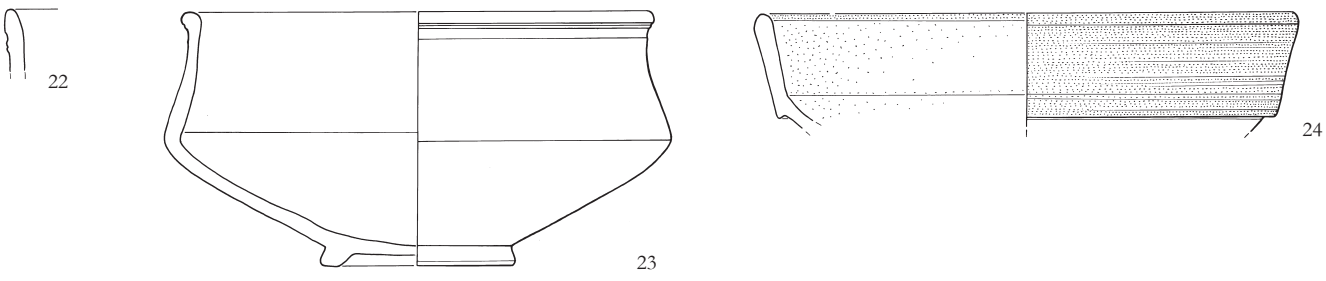


39



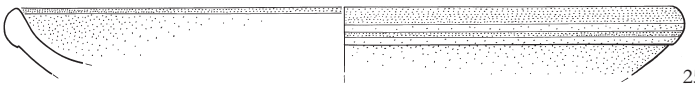




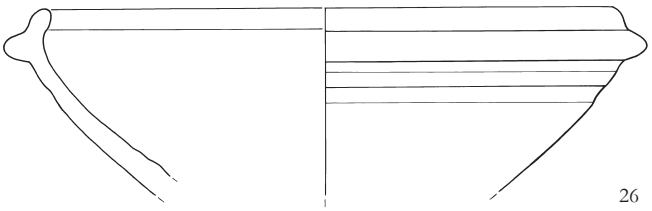


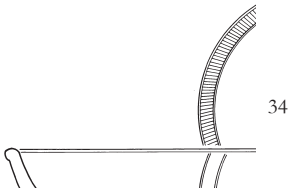
Römerstr. 209. 1.3–10.12–24 Keramik; 2 Eisen; 11 Münze. 1–10.12–24 M. 1:3.

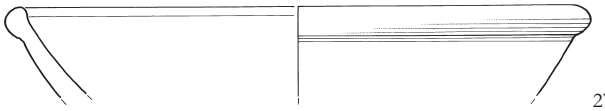
Zum Inhaltsverzeichnis

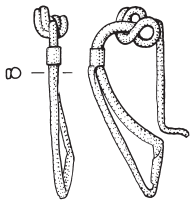

25

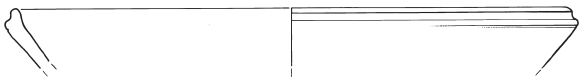

30

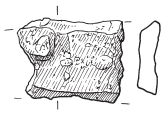

26

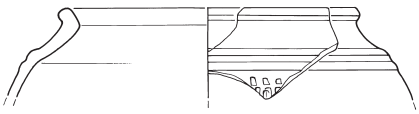

34

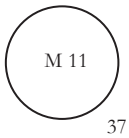

27


35

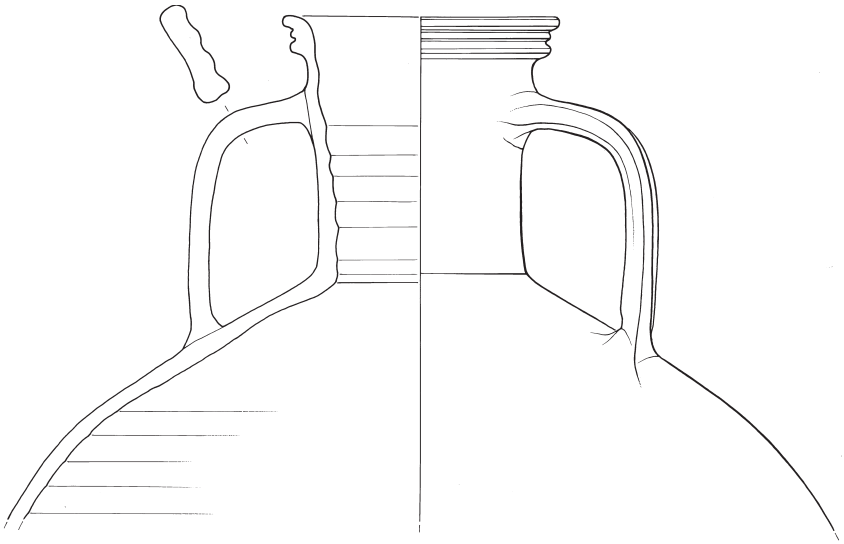

28

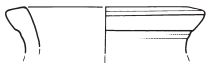

36

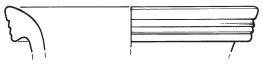

29



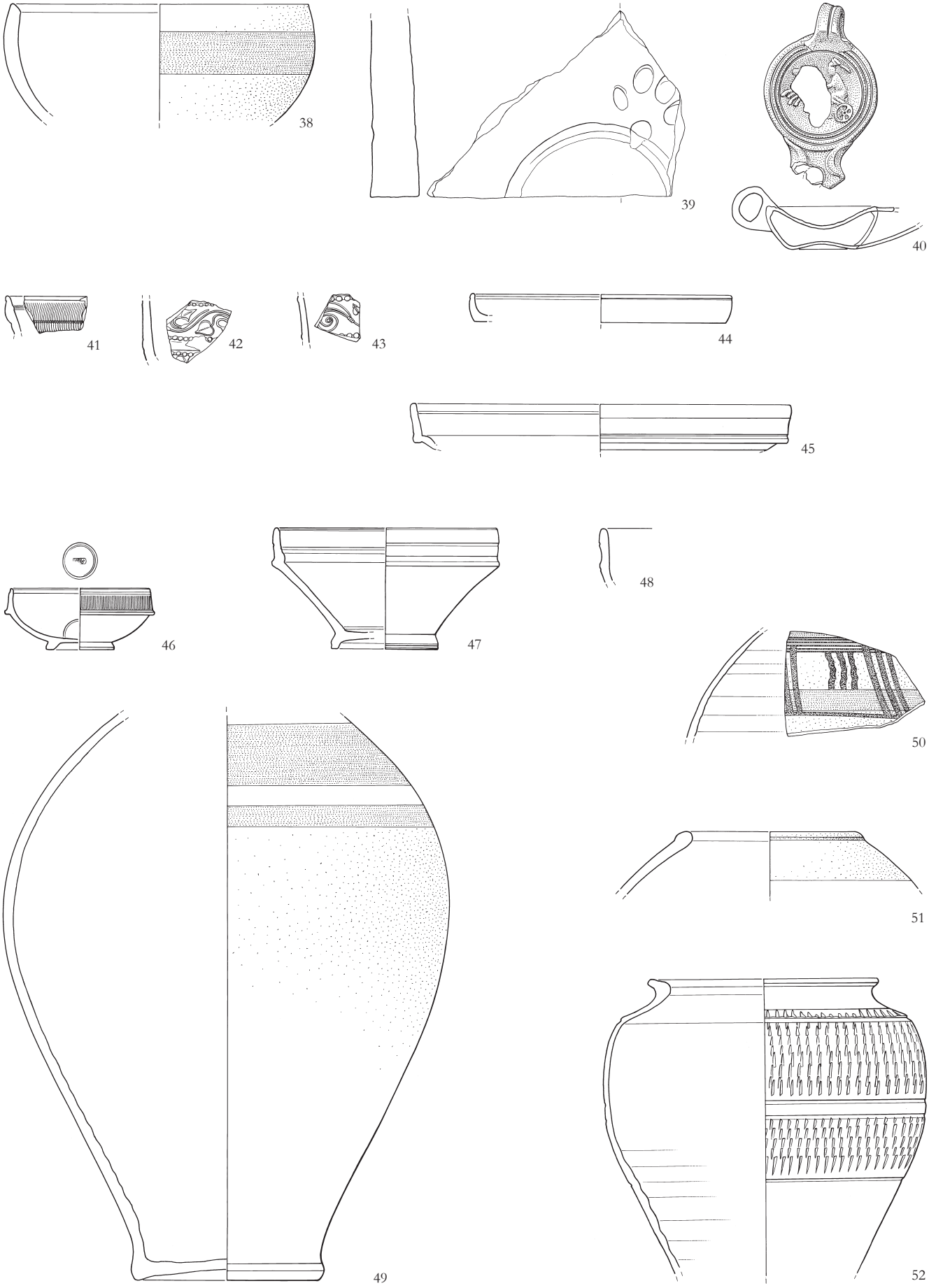
37


31


32

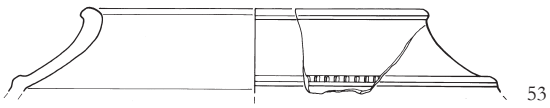

33

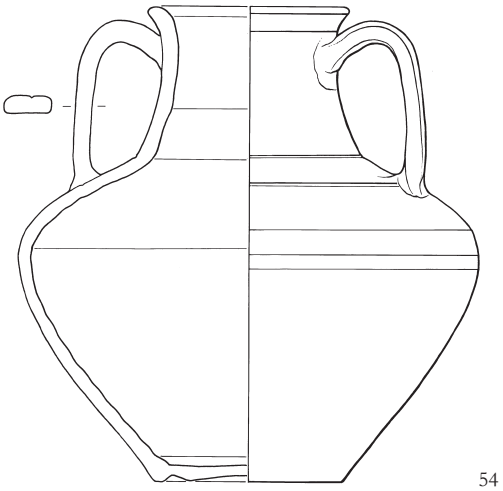
Römerstr. 209. 25–33 Keramik; 34–35 Bronze; 36 Eisen; 37 Münze. 25–33.36 M. 1:3; 34–35 M. 2:3.

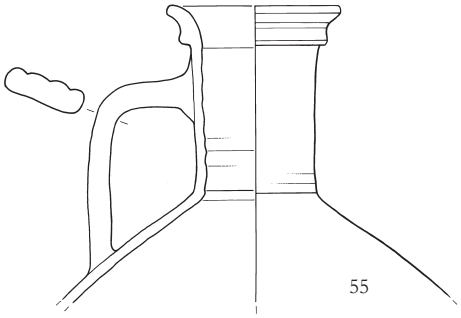


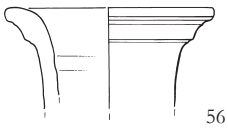
Römerstr. 209. 38–52 Keramik. M. 1:3.

Zum Inhaltsverzeichnis

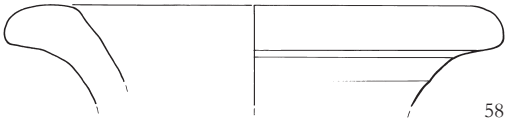

53

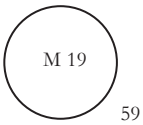

54


55

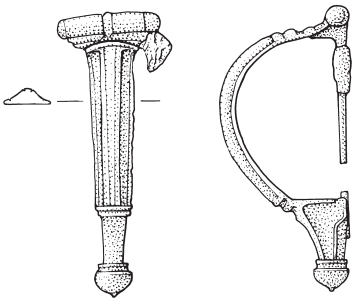

56

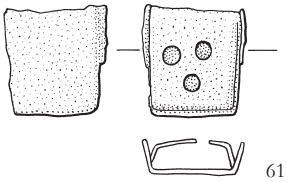

57

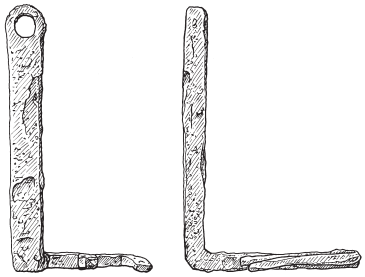

58

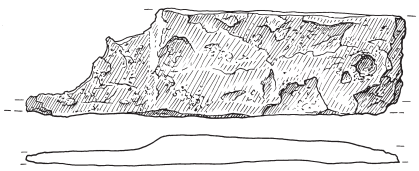

M 19

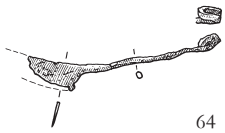
59


60


61


62


63


64


65

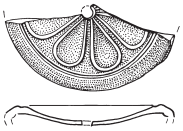
Römerstr. 209. 53–58 Keramik; 59 Münze; 60–61 Bronze; 62–65 Eisen. 53–58.62–65 M. 1:3; 60–61 M. 2:3.



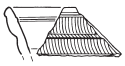
66



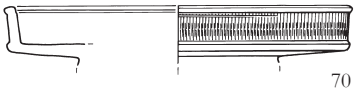
67



68



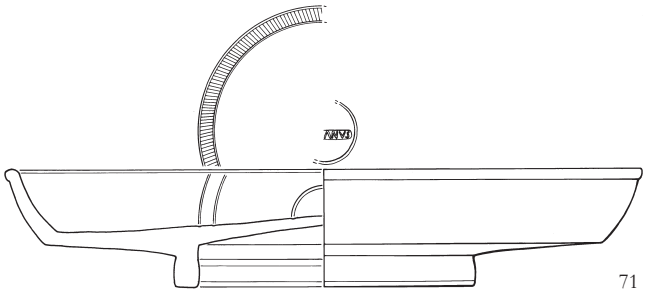
69



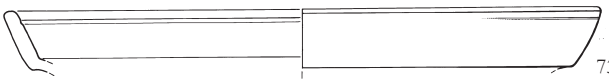
70



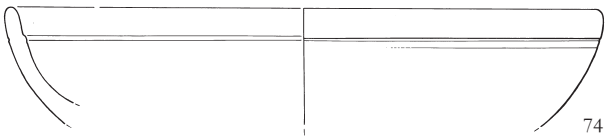
72



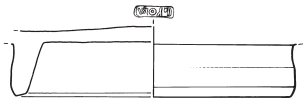
71



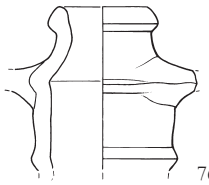
73



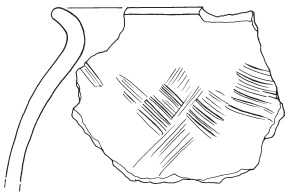
74



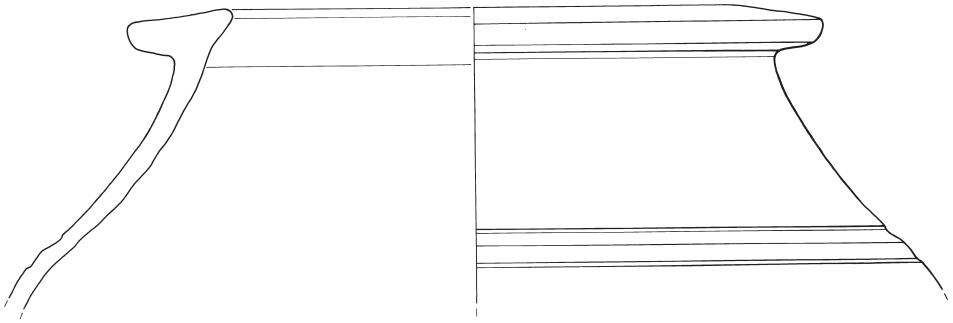
75



76



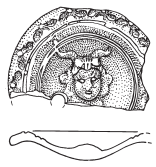
77



78

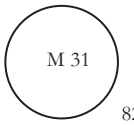
Römerstr. 209. 66 Glas, M. 1:2. 67–78 Keramik, M. 1:3.

Zum Inhaltsverzeichnis

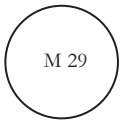

79


80

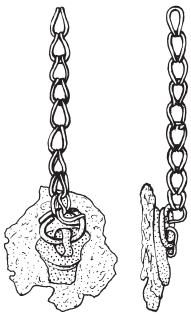

81

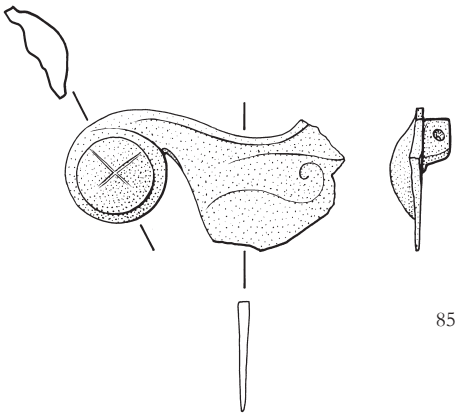


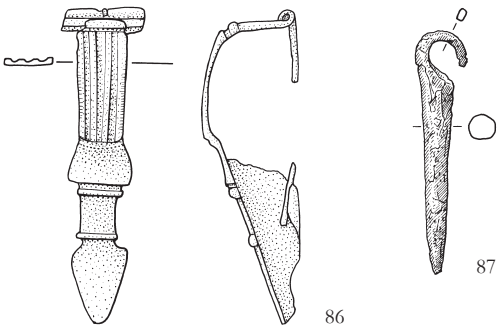
82

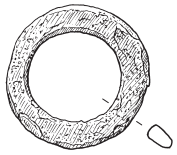


83

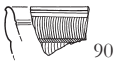

84

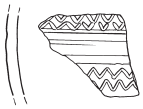

85

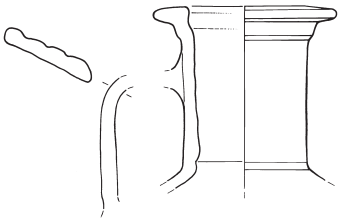

86 87

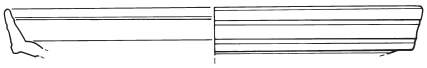

88

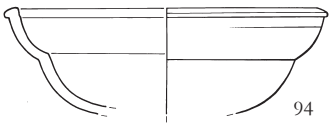

89

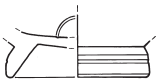

90


91

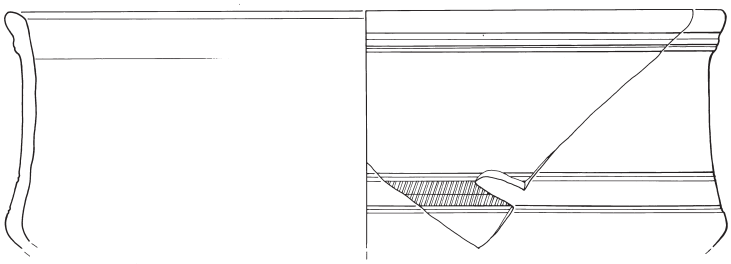

92

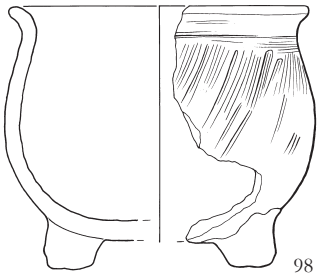

93

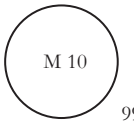

94


95


96

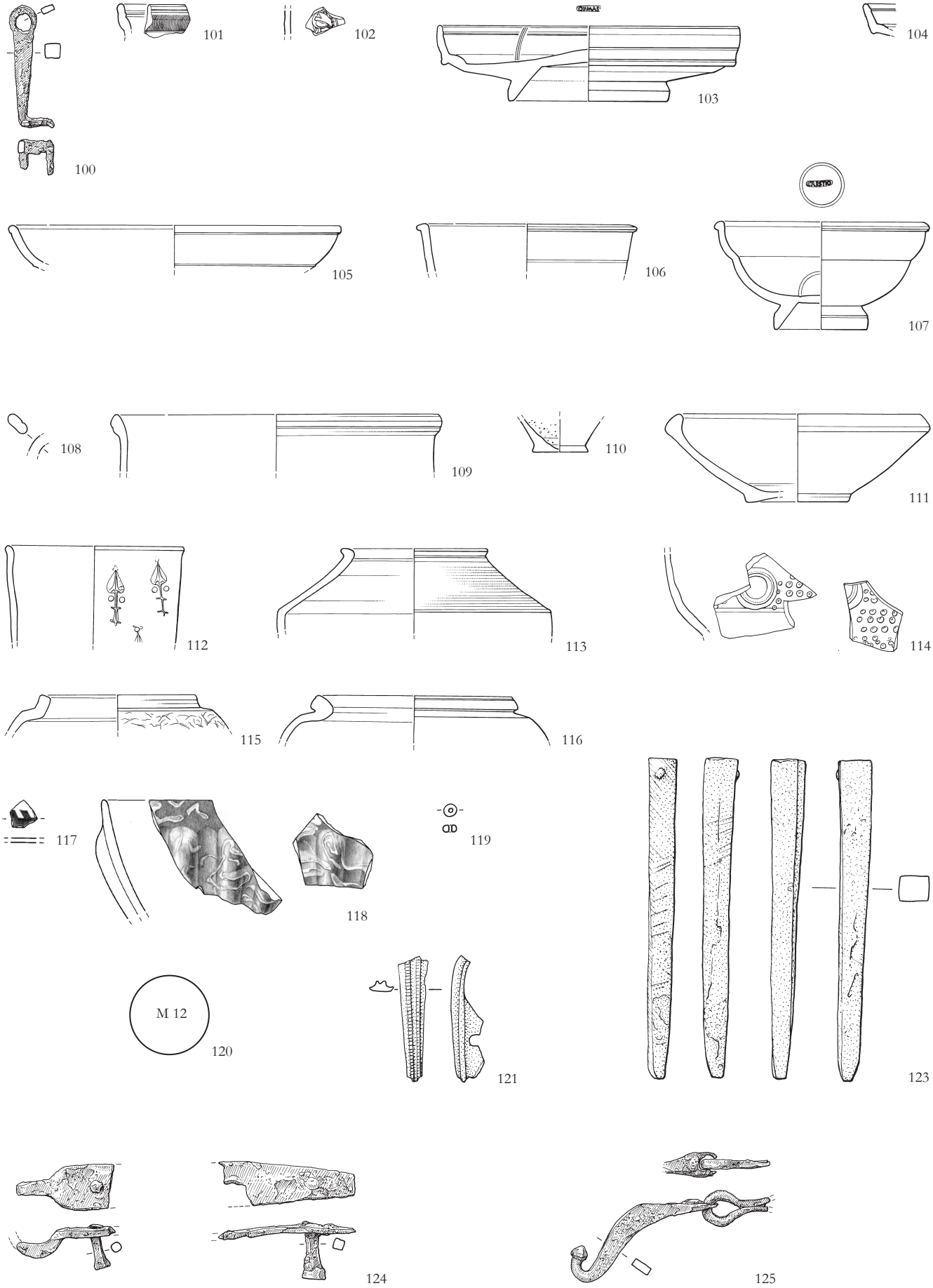

97


98



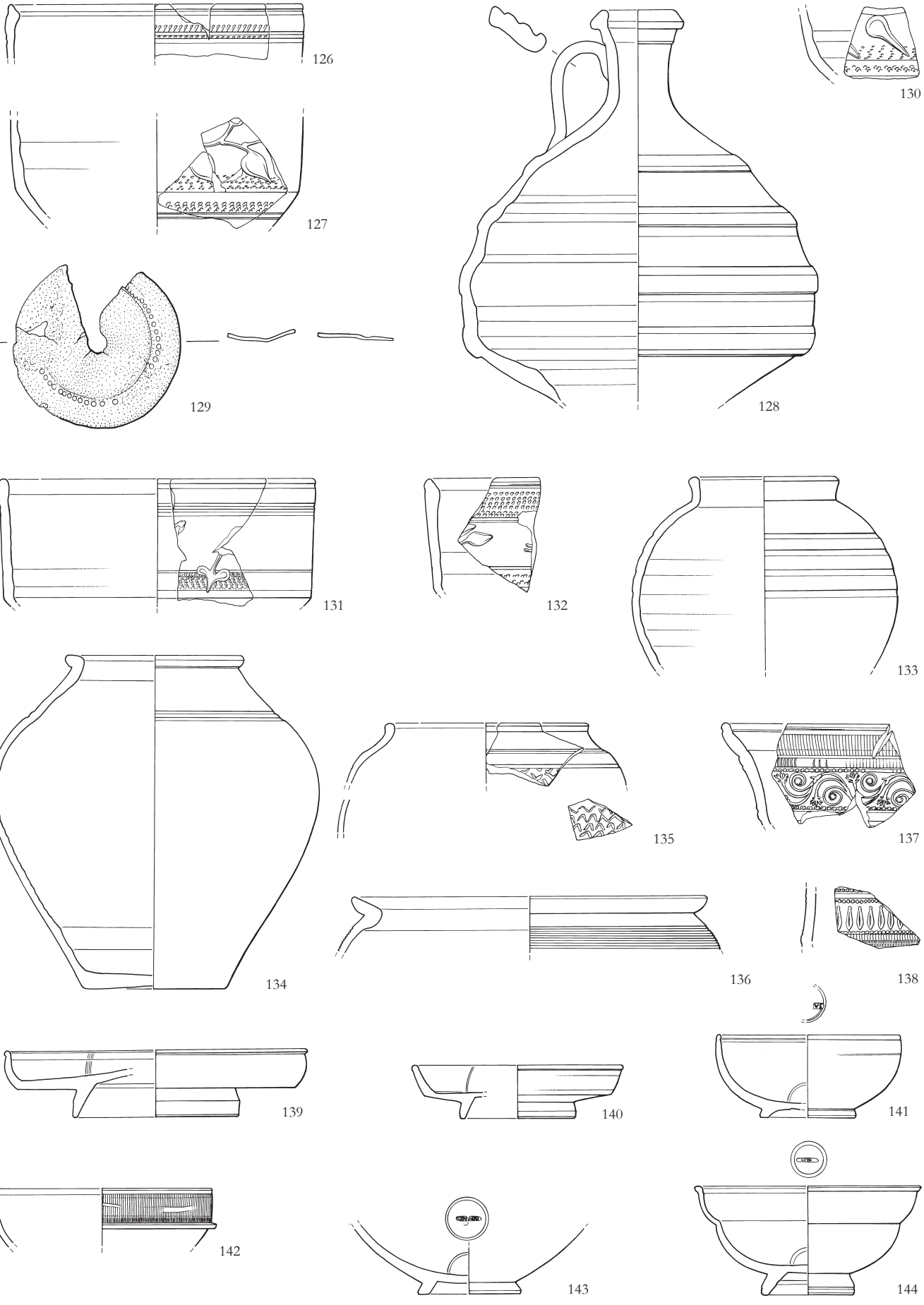
99

Römerstr. 209. 79.90–98 Keramik; 80–81.89 Glas; 82–83.99 Münzen; 84–86 Bronze; 87–88 Eisen. 79.87–88.90–98 M. 1:3; 80–81.89 M. 1:2; 84–86 M. 2:3.

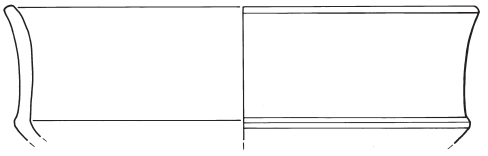


Römerstr. 209. 100.124–125 Eisen; 101–116 Keramik; 117–119 Glas; 120 Münze; 121.123 Bronze; 122 ohne Abb. 100–116.124–125 M. 1:3; 117–119 M. 1:2; 121.123 M. 2:3.

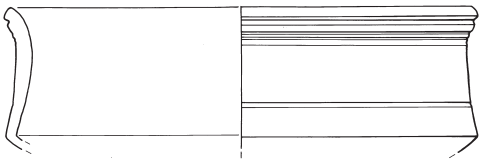
Zum Inhaltsverzeichnis



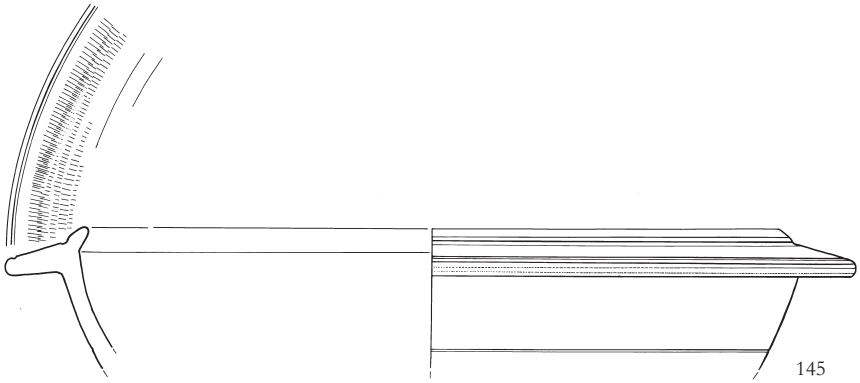
Römerstr. 209. 126–128.130–144 Keramik, M. 1:3; 129 Bronze, M. 2:3.



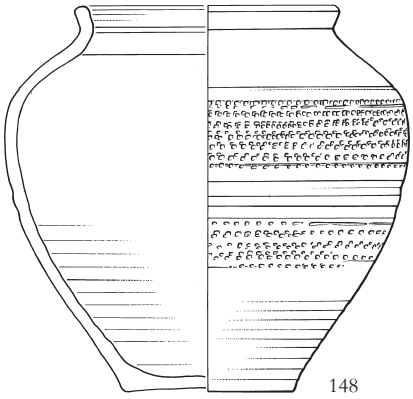
146



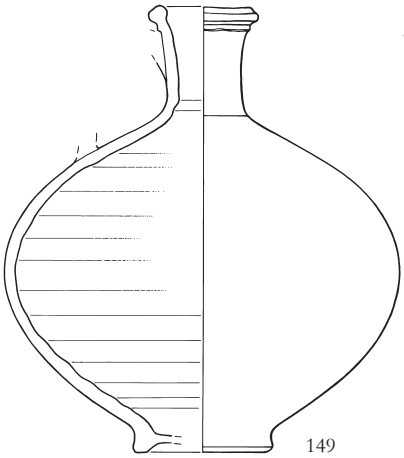
147



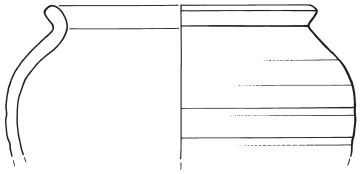
145



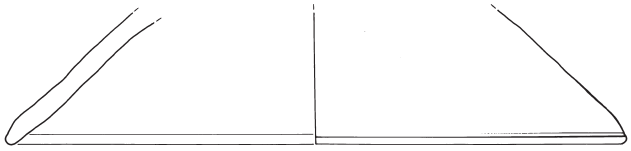
148



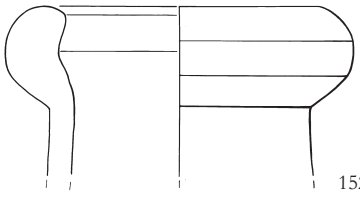
149



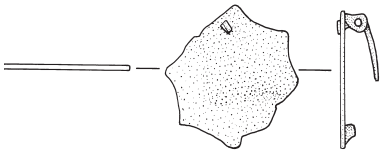
150



151



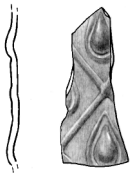
152



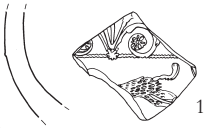
153

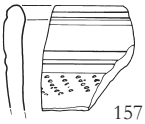
Römerstr. 209. 145–152 Keramik, M. 1:3; 153 Bronze, M. 2:3.

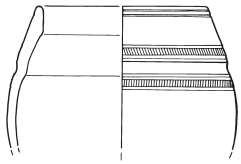
Zum Inhaltsverzeichnis

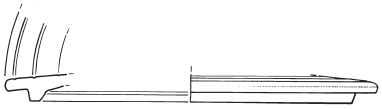

154


155

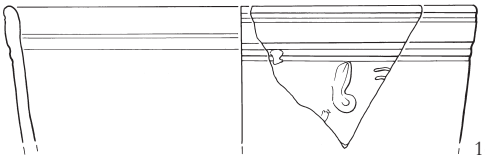

156

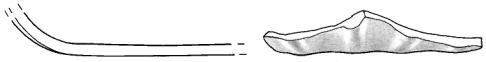

157


158


159

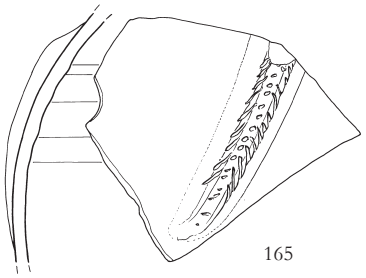

160


161


162


163

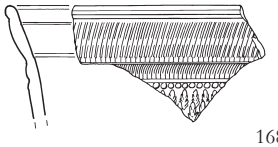

164

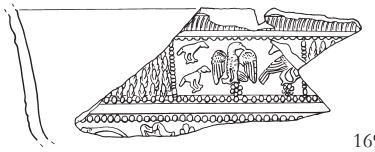

165


166



167


168

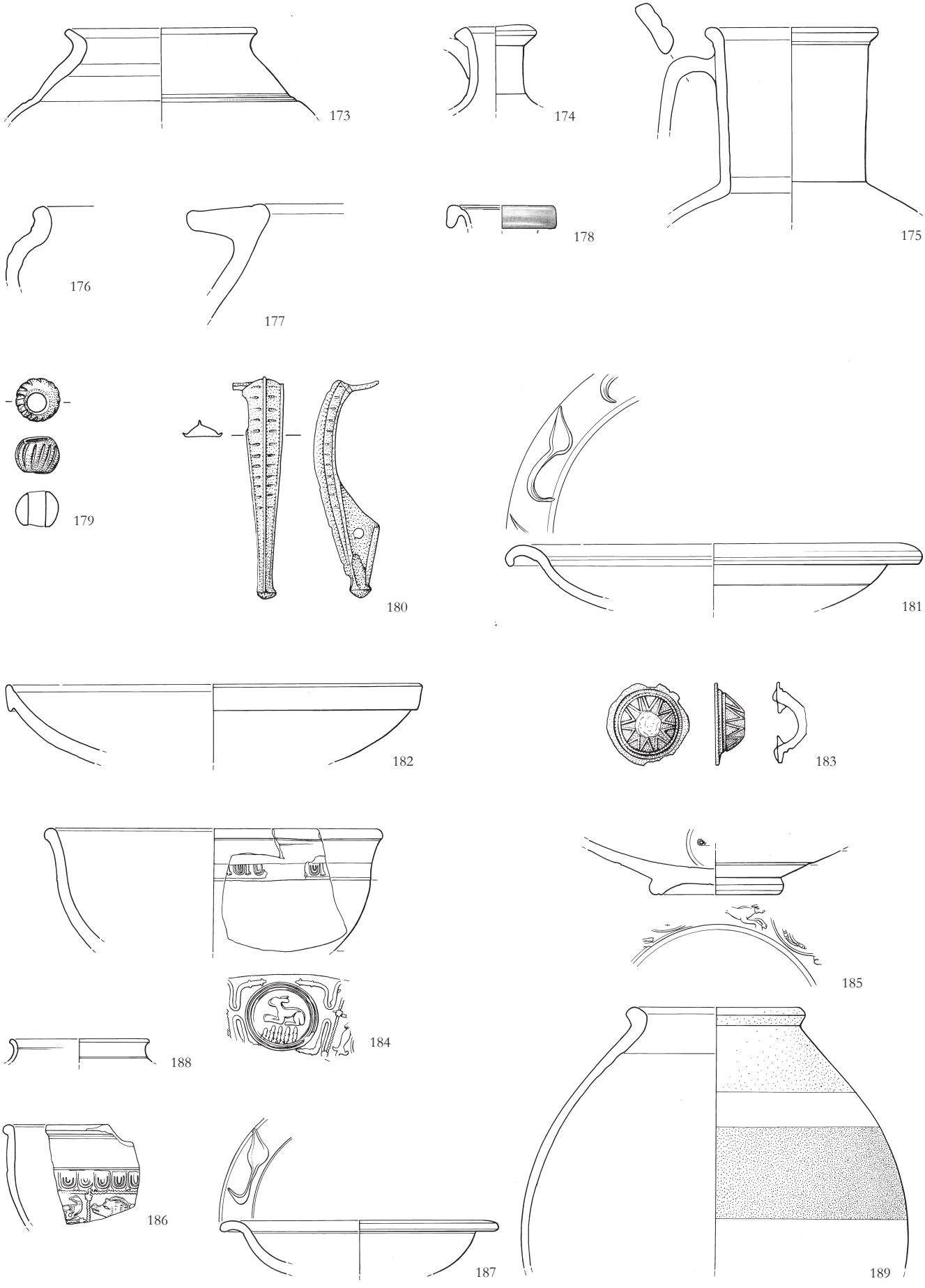

169


170


171


172

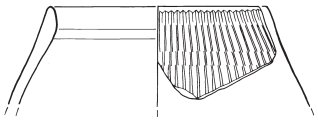
Römerstr. 209. 154.162 Glas; 155–158.160–161.163–166.168–172 Keramik; 159 Lavez; 167 Münze. 154.162 M. 1:2; 155–161.163–166.168–172 M. 1:3.

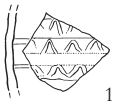


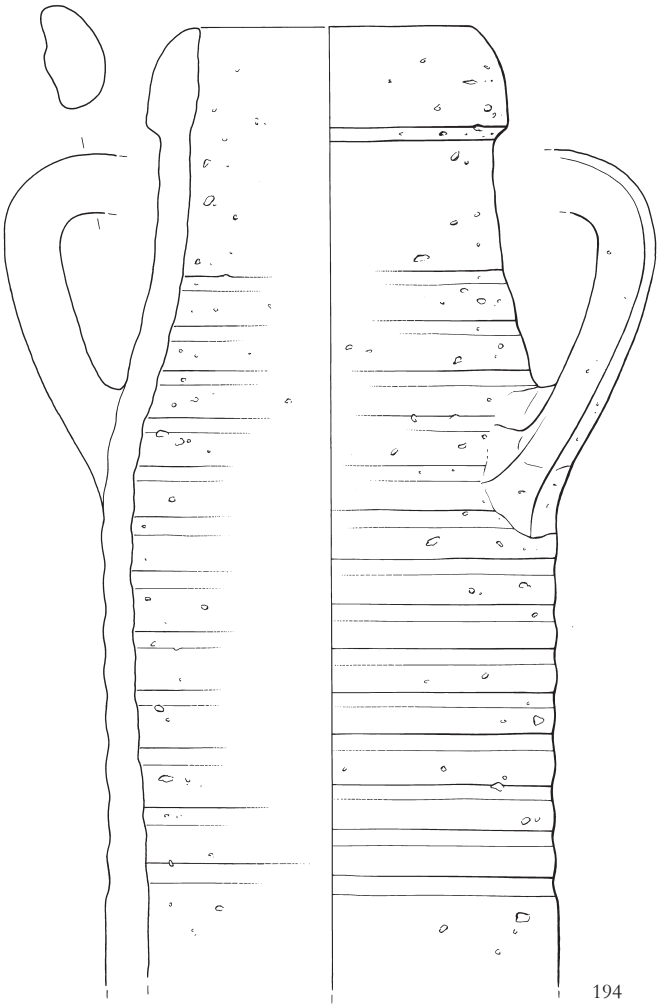
Römerstr. 209. 173–174.176–178.181–182.184–189 Keramik; 175.179 Glas; 180.183 Bronze. 173–174.176–178.181–182.184–189 M. 1:3; 175.179 M. 1:2; 180.183 M. 2:3.

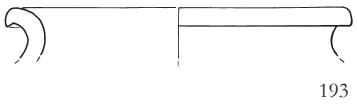
Zum Inhaltsverzeichnis

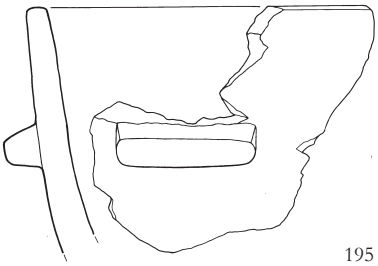

190

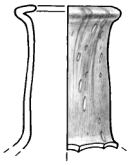

191

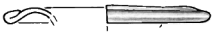

192

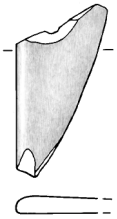

194


193

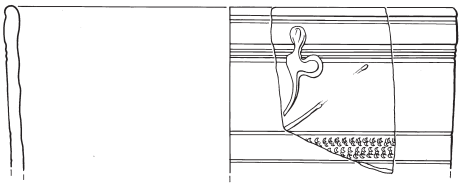

195

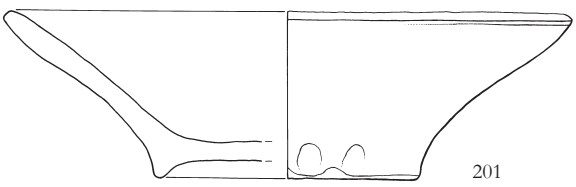

196

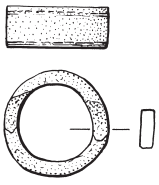

197

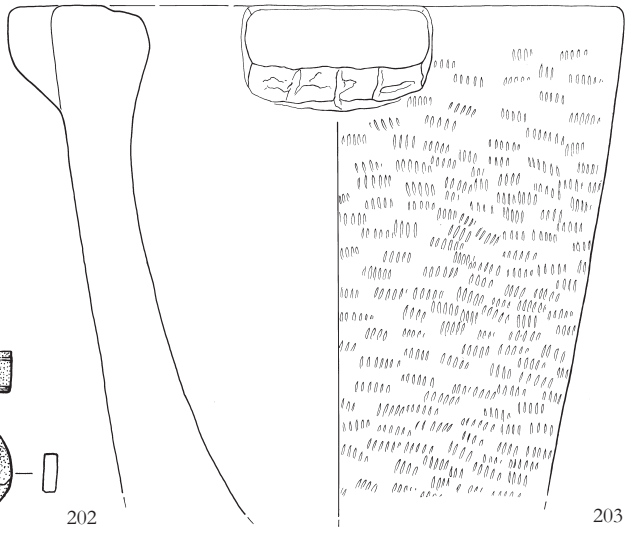

198


199

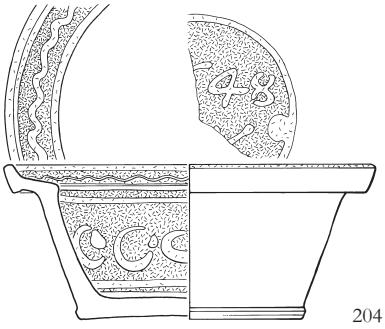

200


201

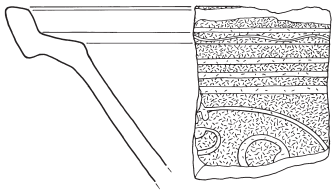

202

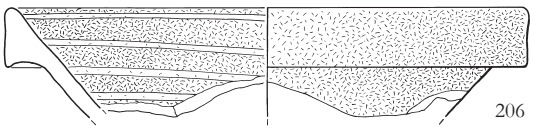

203

Römerstr. 209. 190–194.200–201 Keramik; 195 Lavez; 196–199 Glas; 202 Bronze; 203 Stein. 190–195.200–201.203 M. 1:3; 196–199 M. 1:2; 202 M. 2:3.

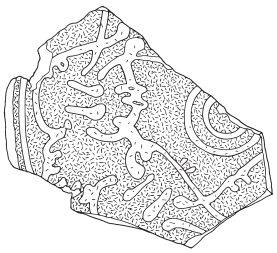


204

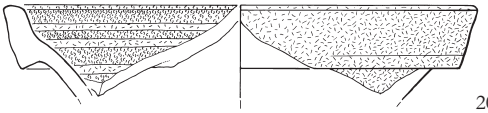




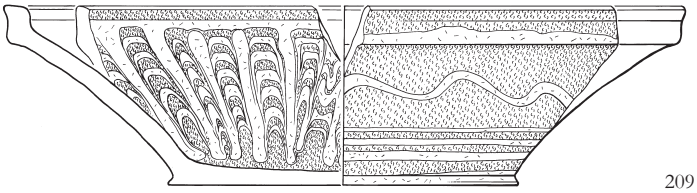
206



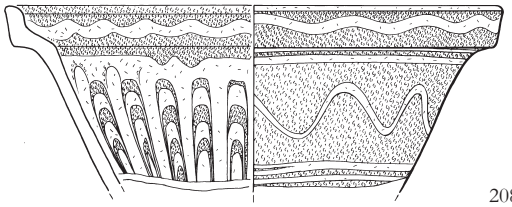
205



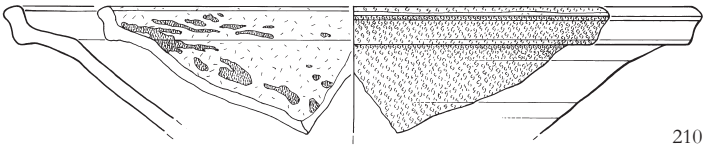
207



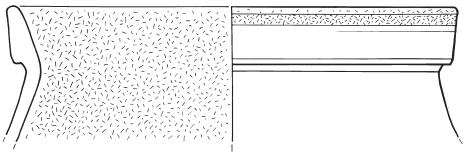
209



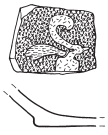
208



210



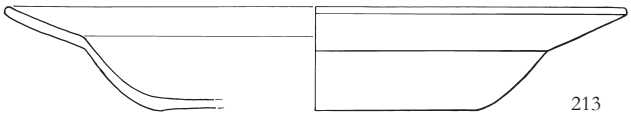
211

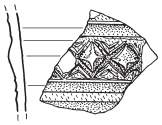


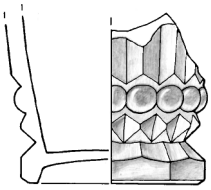
212

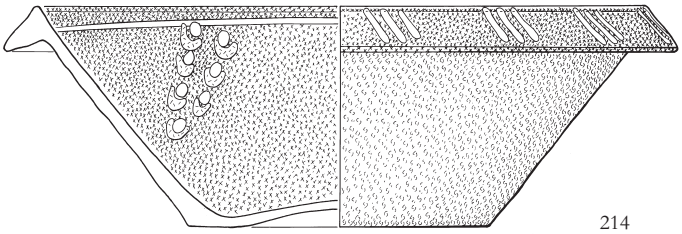
Römerstr. 209. 204–212 Keramik. M. 1:3.

Zum Inhaltsverzeichnis

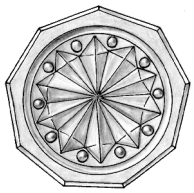

213

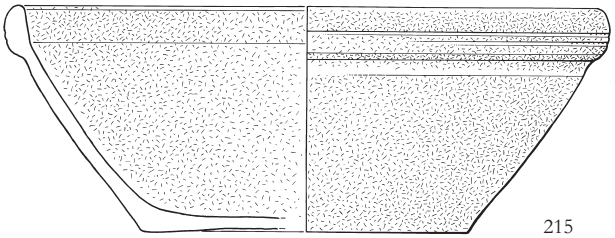

216

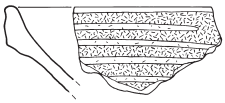



214

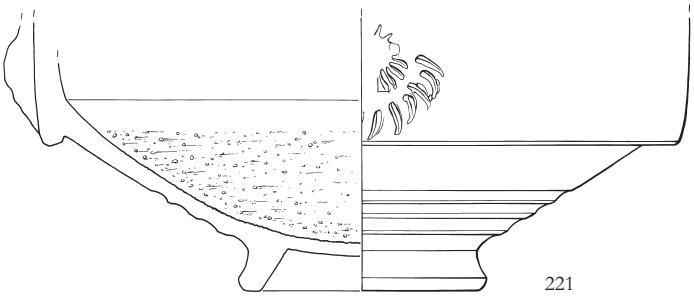
M 56
218

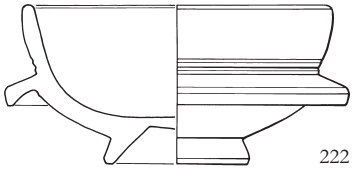

217

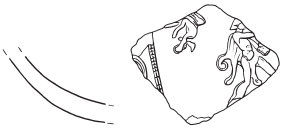

215

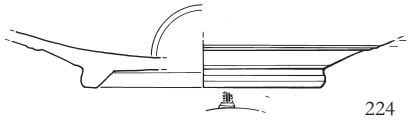

219

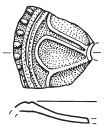

220

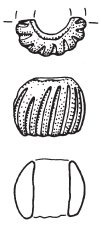

221


222


223


224

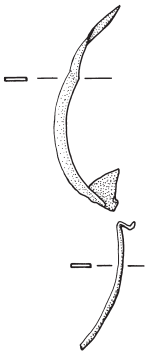

225


226

Römerstr. 209. 213–215.219–225 Keramik; 216–217.226 Glas; 218 Münze. 213–215.219.221–225 M. 1:3; 216–217.220.226 M. 1:2.



1



2



3



4



5



6



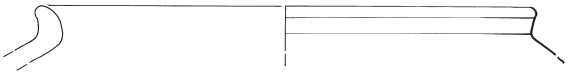
7



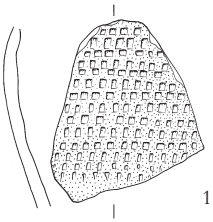
8



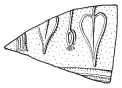
9



10



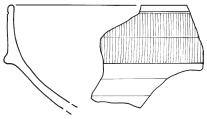
11



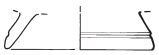
12



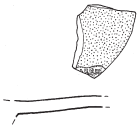
13



14



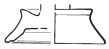
15



16



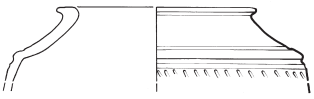
17



18



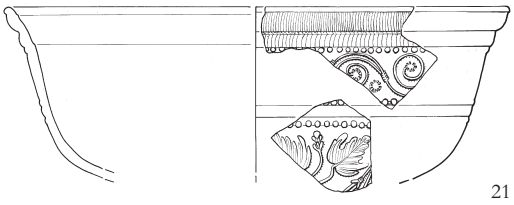
19



20

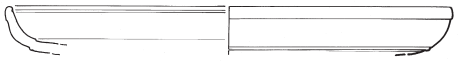
Römerstr. 213/215. 1.5–7.9–20 Keramik; 2 Bronze; 3 Münze; 4.8 Eisen. 1.4–20 M. 1:3; 2 M. 2:3.

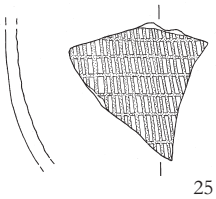
Zum Inhaltsverzeichnis

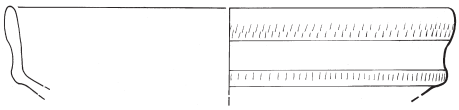

21

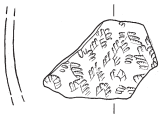

22


23

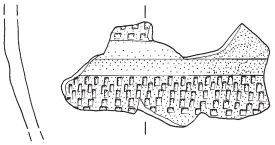

24

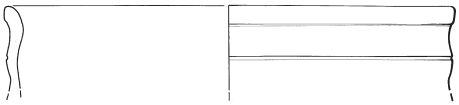

25


26

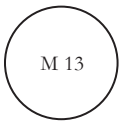

27

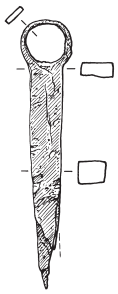

28

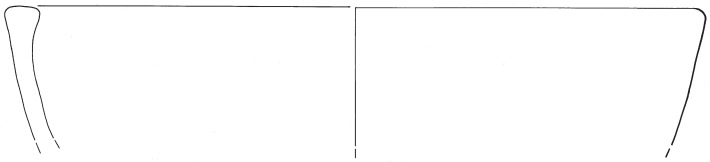

29


30

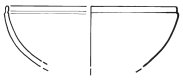

32

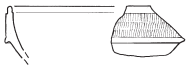

M 13
33


35

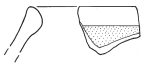

31


M 22
34

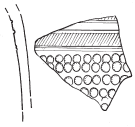

36

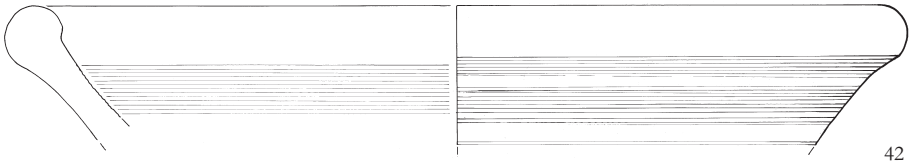

37

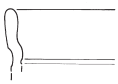

40

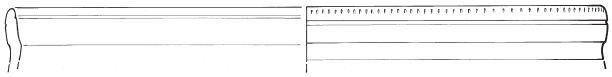

41

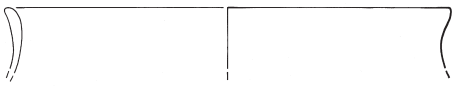

38

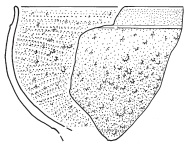

39

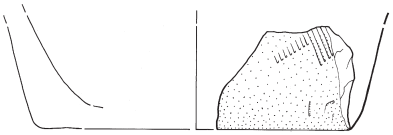

42


43


44

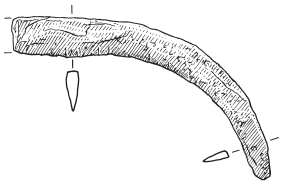

45


46

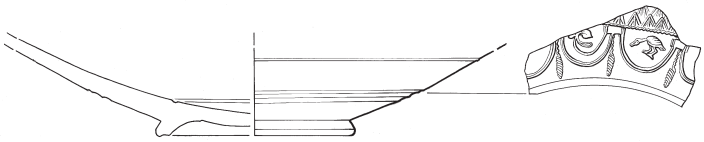

47


48

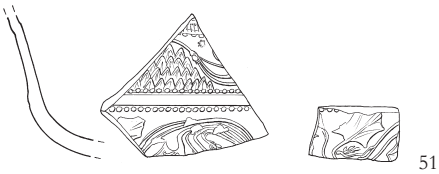
Römerstr. 213/215. 21–32.36–48 Keramik; 33–34 Münzen; 35 Eisen. 21–32.35–48 M. 1:3.



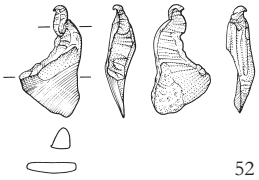
49



50



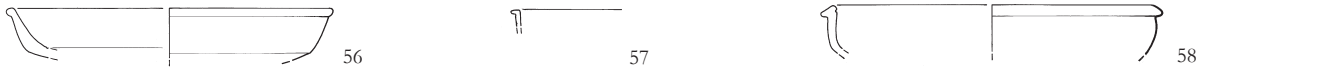
51



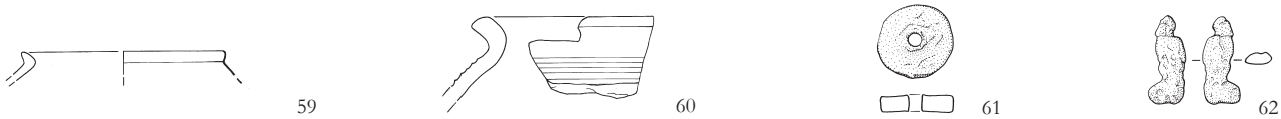
52



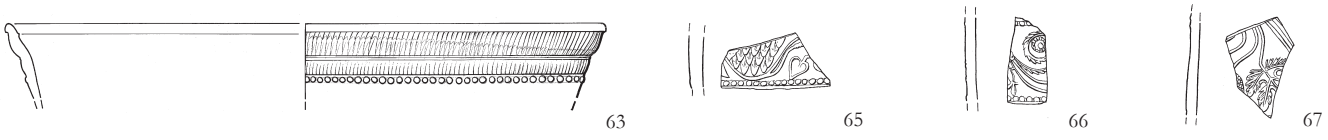
53 54 55



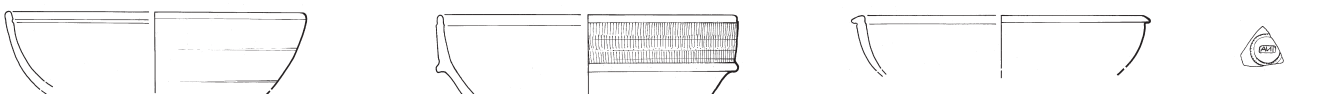
56 57 58



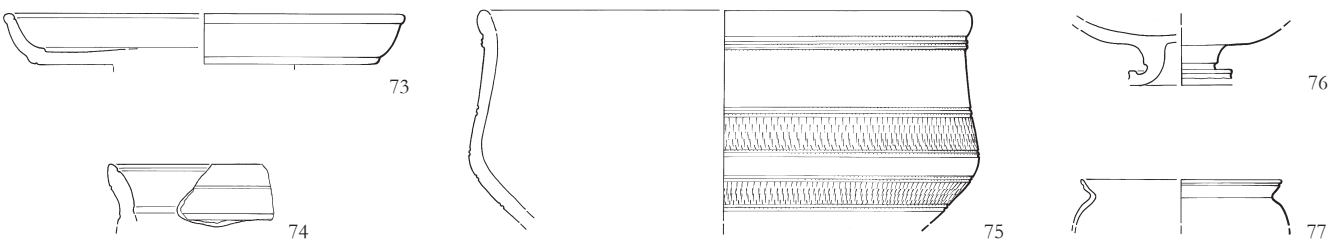
59 60 61 62



63 64 65 66 67 68



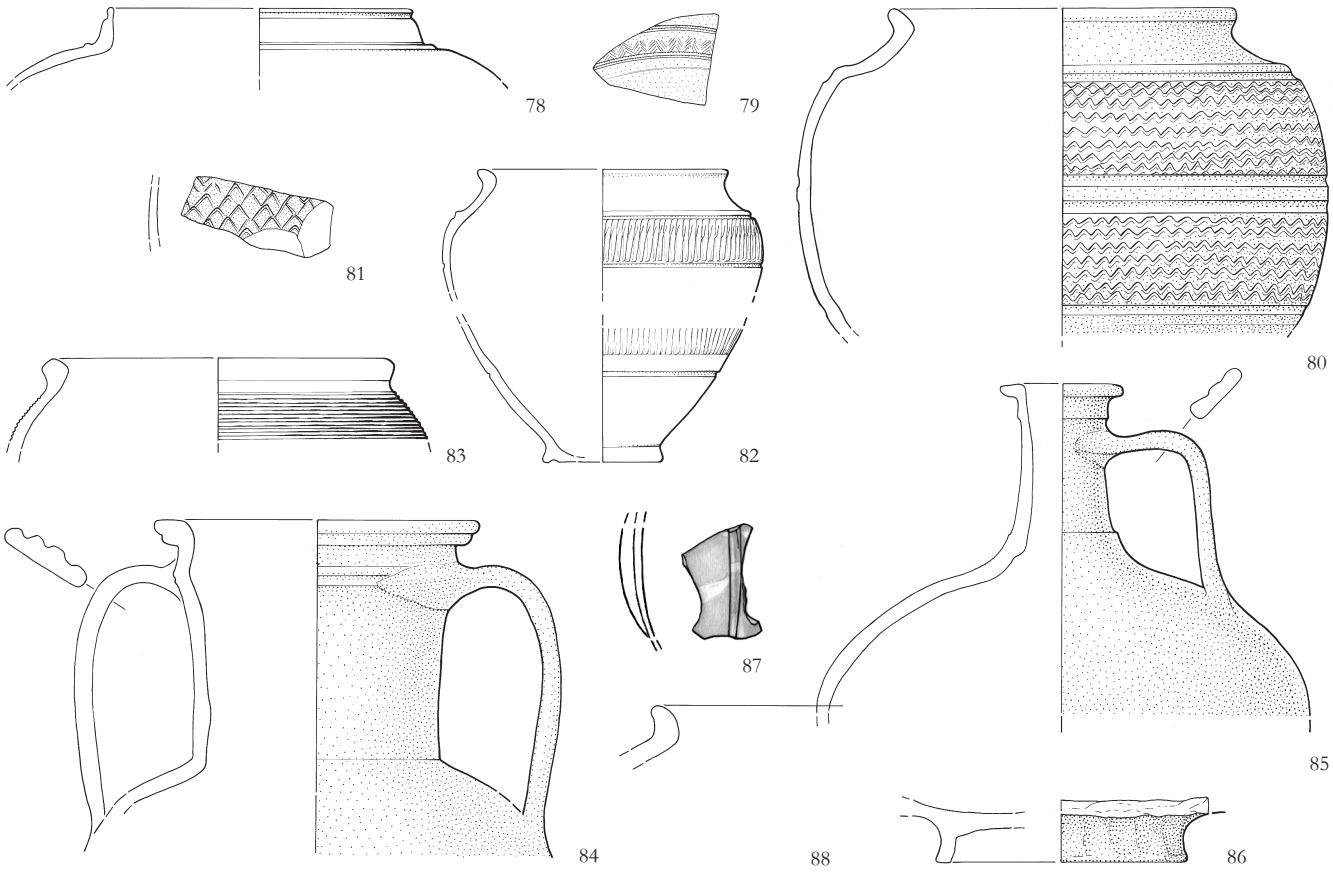
69 70 71 72

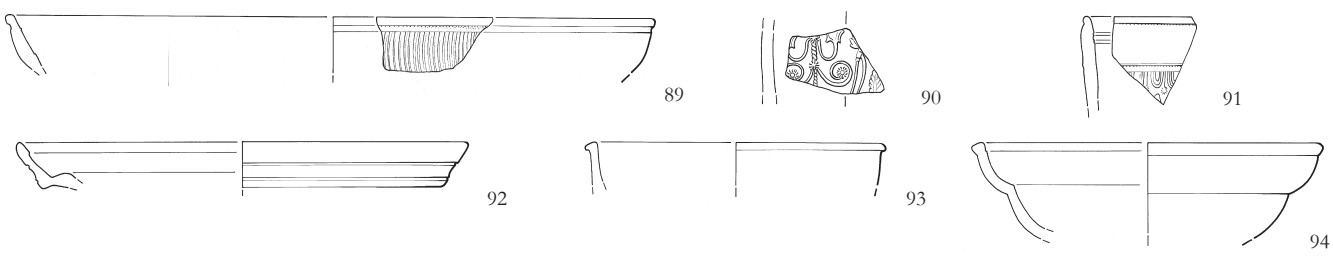


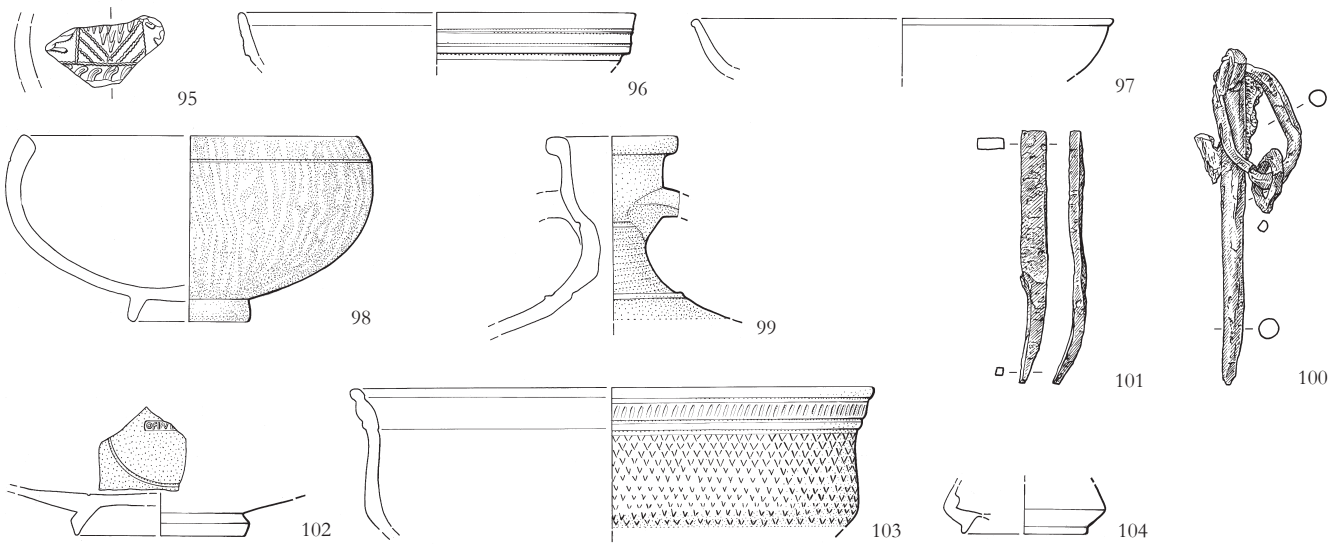
73 74 75 76 77

Römerstr. 213/215. 49 Eisen; 50–51.53–60.63–77 Keramik; 52.61–62 Blei. 49–77 M. 1:3.

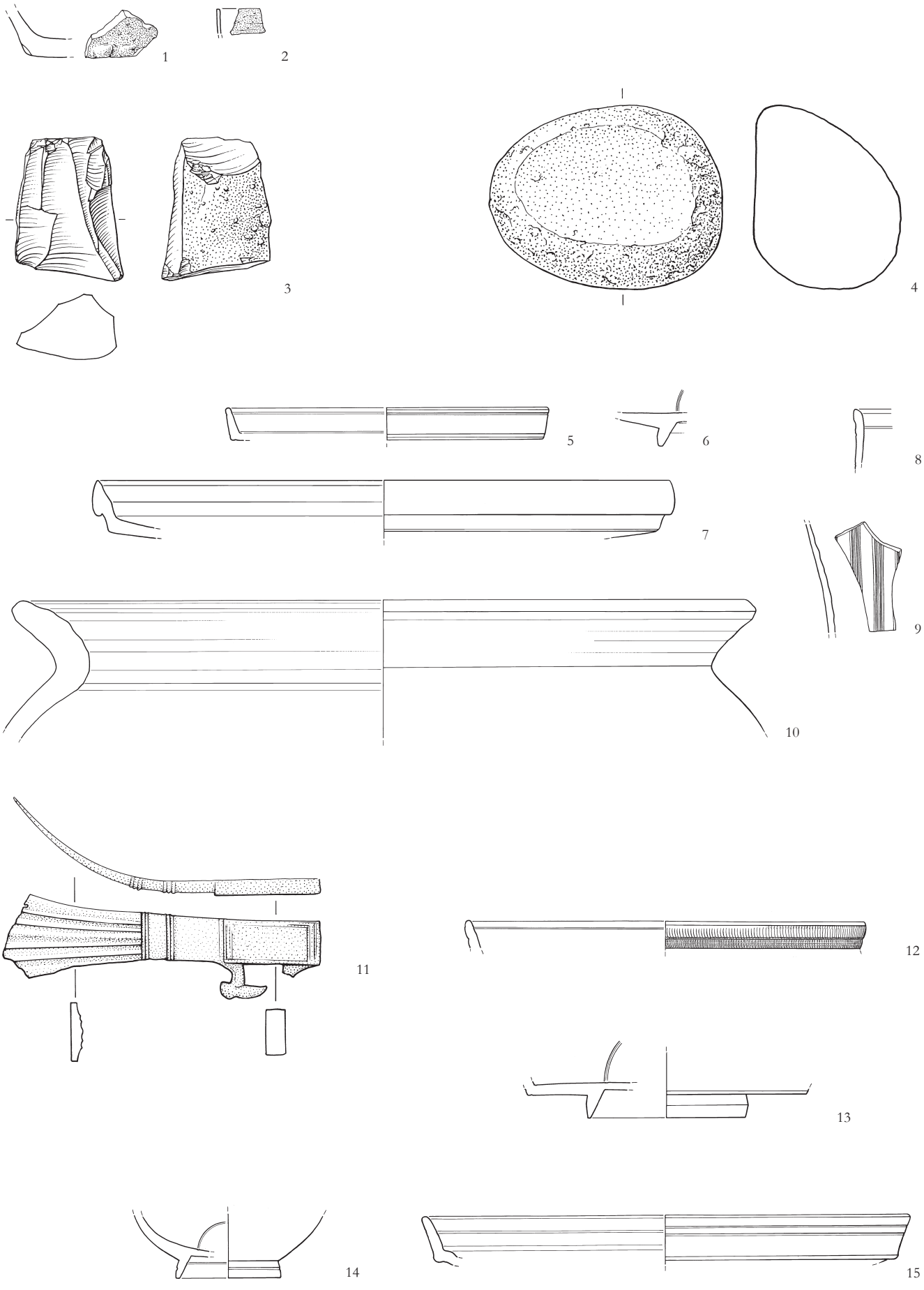
Zum Inhaltsverzeichnis





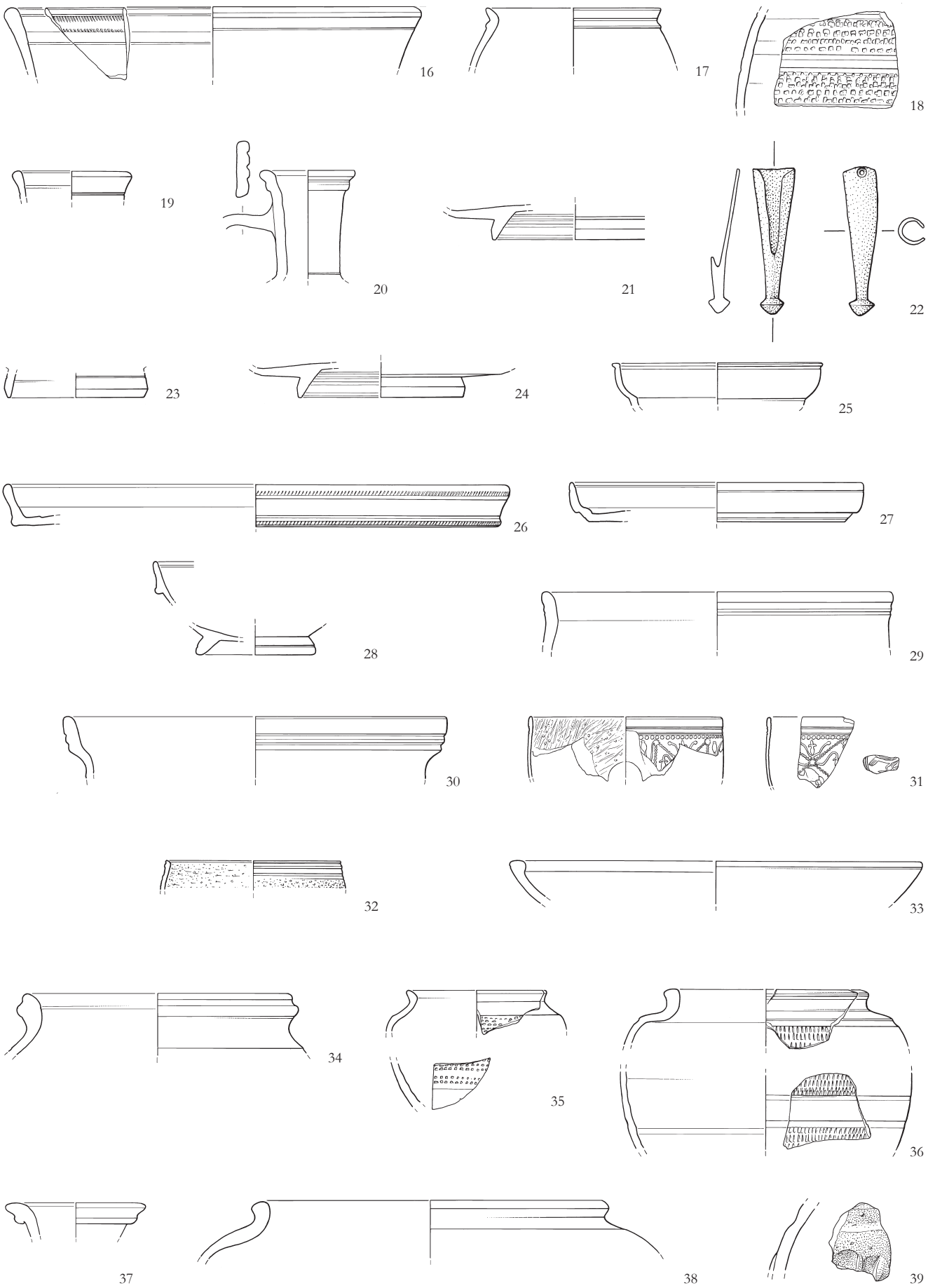


Römerstr. 213/215. 78–86.89–99.102–104 Keramik; 87 Glas; 88 Bronze; 100–101 Eisen. 78–86.89–104 M. 1:3; 87 M. 1:2; 88 M. 2:3.

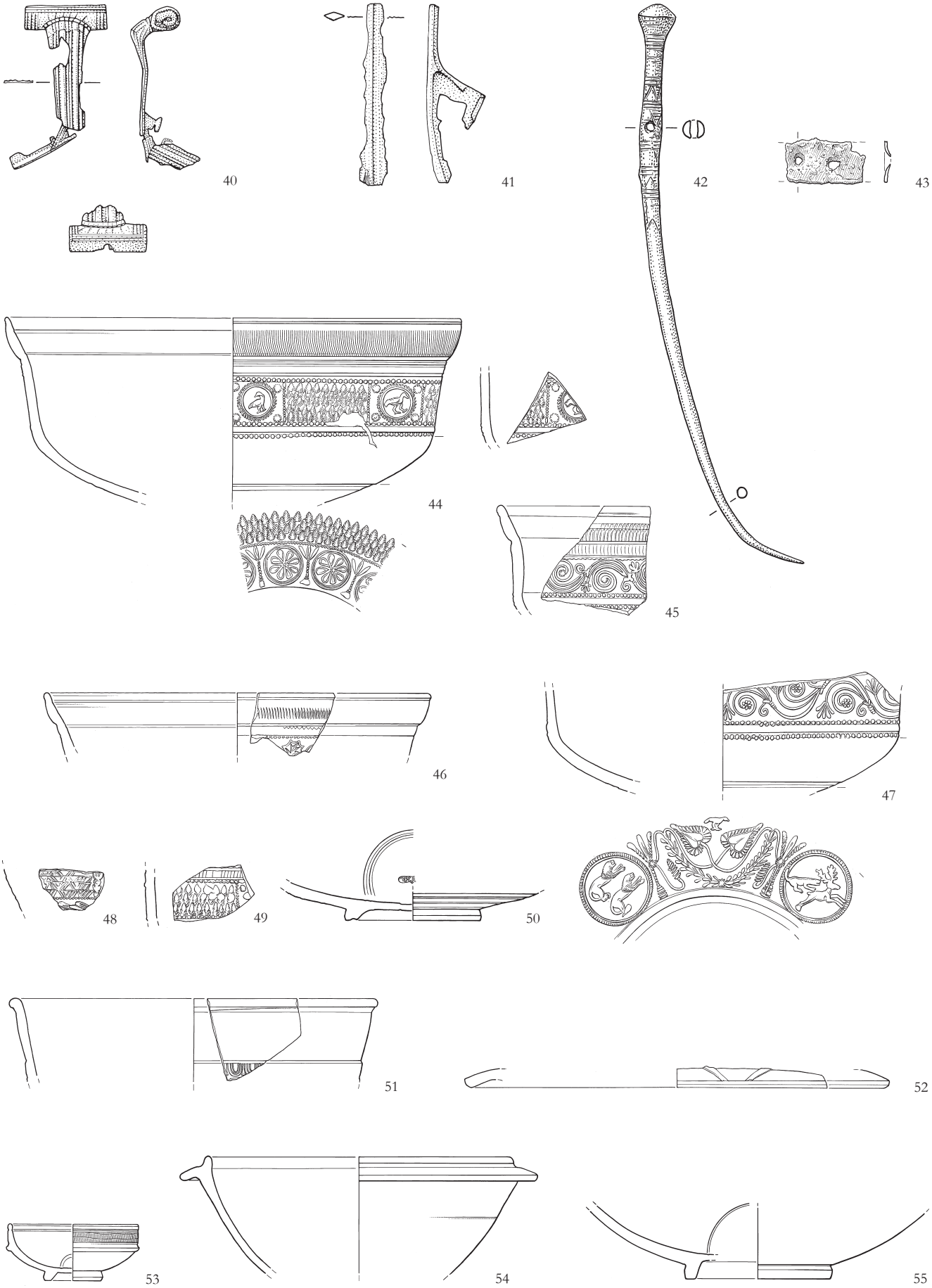


Römerstr. 221. 1.2.5–10.12–15 Keramik; 3 Silex; 4 Stein; 11 Bronze. 1.2.5–10.12–15 M. 1:3; 3–4 M. 1:2; 11 M. 2:3.

Zum Inhaltsverzeichnis

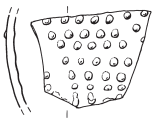


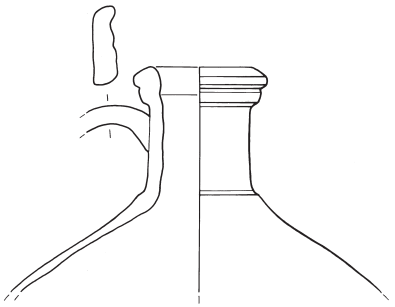
Römerstr. 221. 16–20.23–39 Keramik; 21–22 Bronze. 16–20.23–39 M. 1:3; 21–22 M. 2:3.

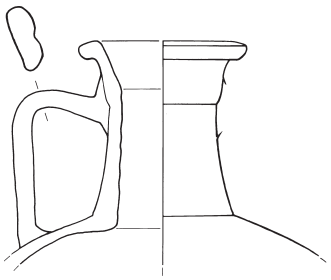


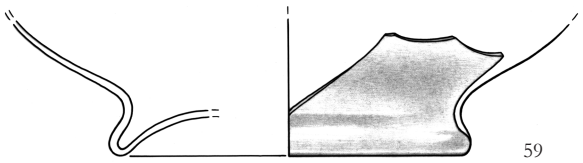
Römerstr. 221. 40–42 Bronze; 43 Eisen; 44–55 Keramik. 40–42 M. 2:3; 43–55 M. 1:3.

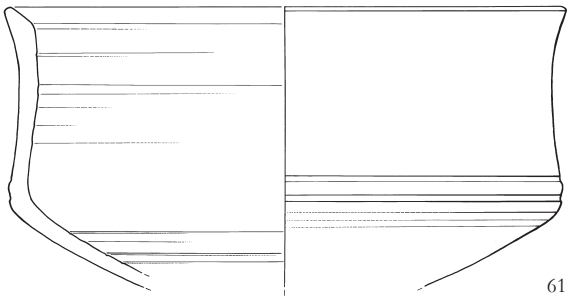
Zum Inhaltsverzeichnis

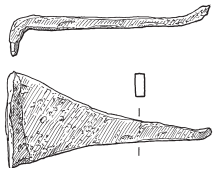

56

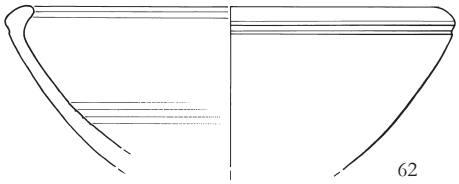

57

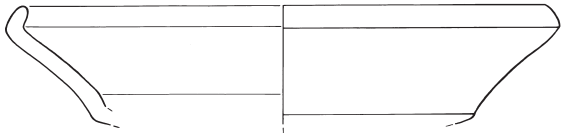

58


59

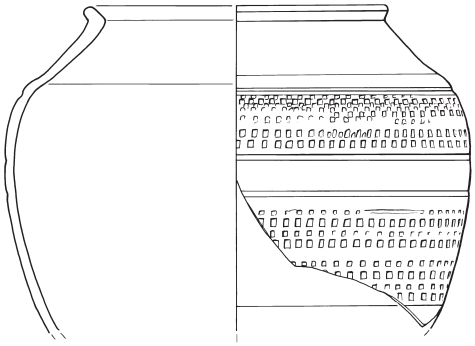

61

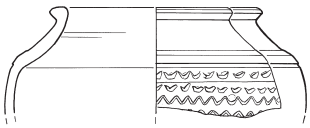

60

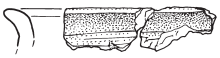

62


63

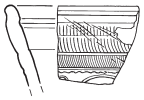

64

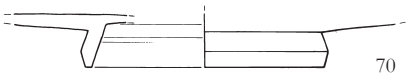

65

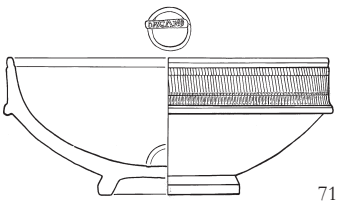

66

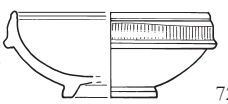

67

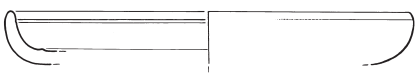

68


69

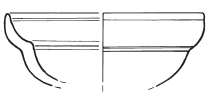

70


71

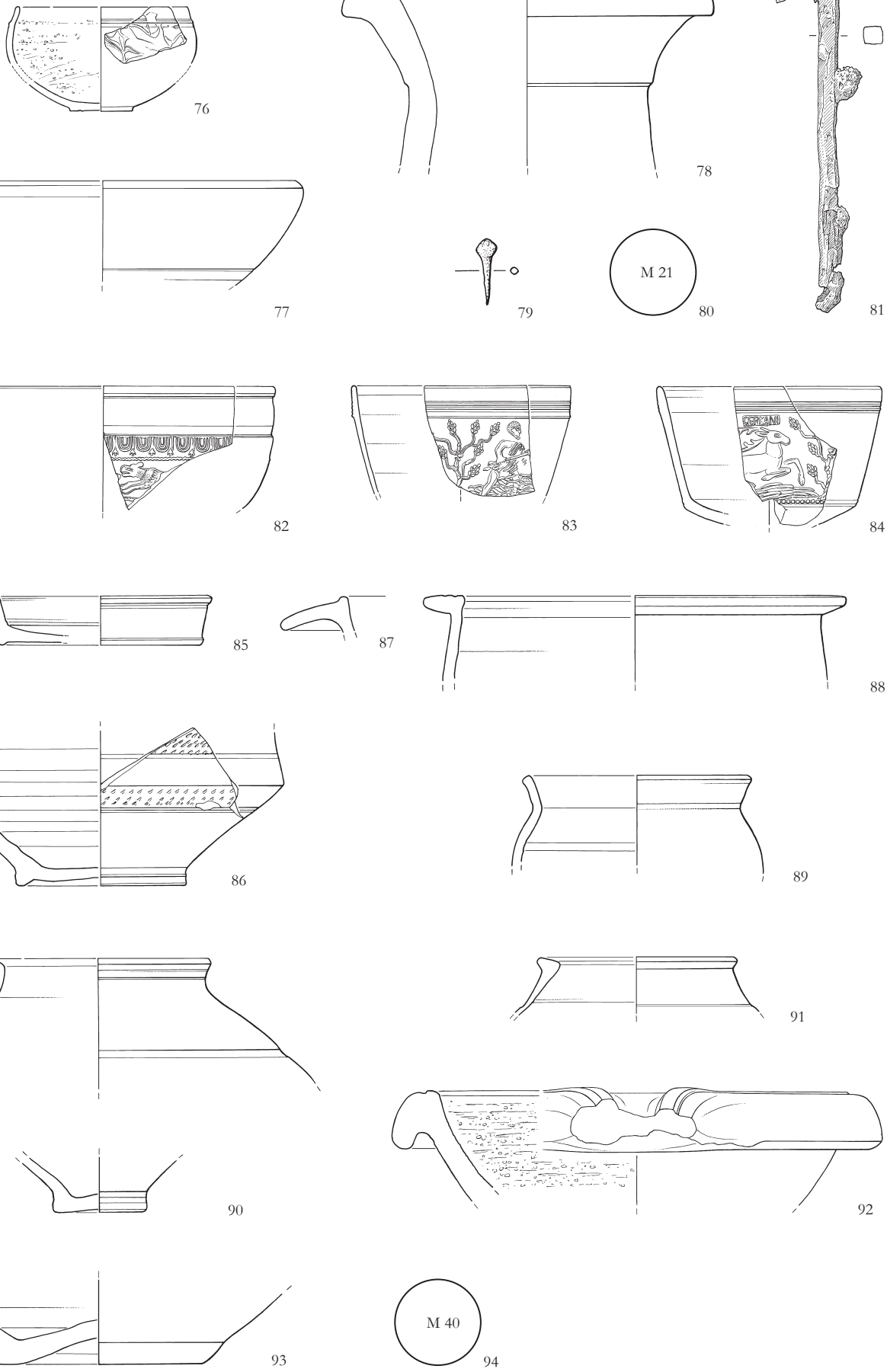

72


73


74

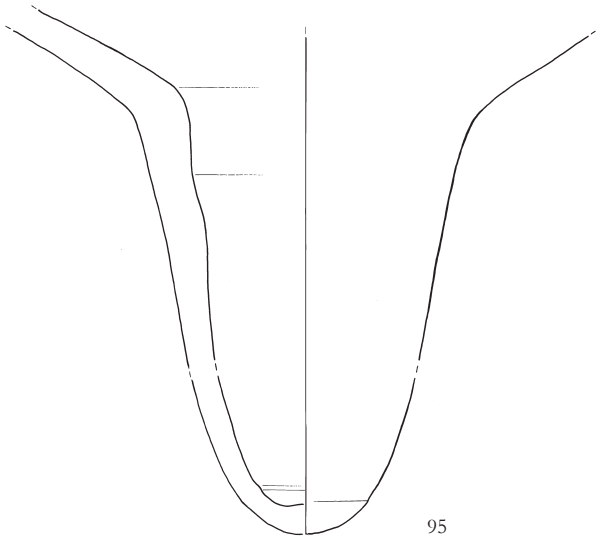

75

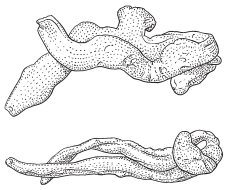
Römerstr. 221. 56–58.61–75 Keramik; 59 Glas; 60 Eisen. 56–58.60–75 M. 1:3; 59 M. 1:2.

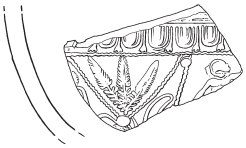


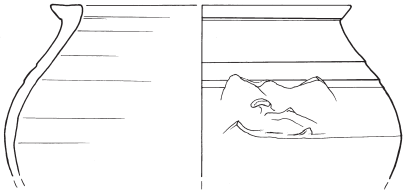
Römerstr. 221. 76–78.82–93 Keramik; 79 Bronze; 80.94 Münzen; 81 Eisen. 76–78.81–93 M. 1:3; 79 M. 2:3.

Zum Inhaltsverzeichnis

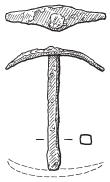

95

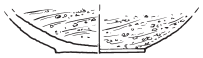

96

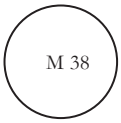

97

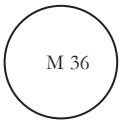

99

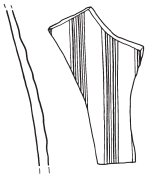

100

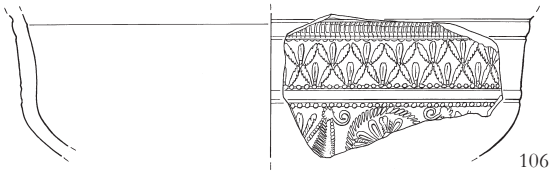

102


98


M 38
103

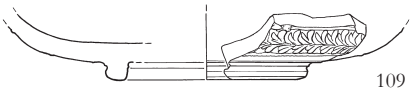

M 36
104

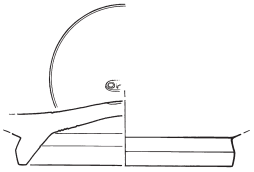

105

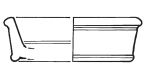

106

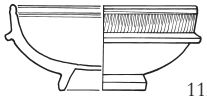

107

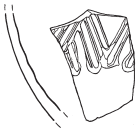

108

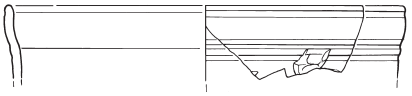

109

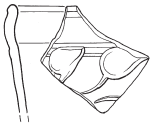

110

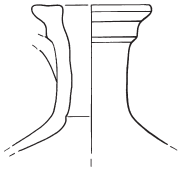

111

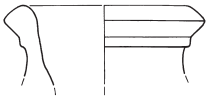

112

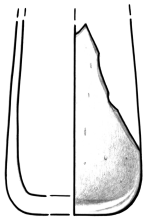

113

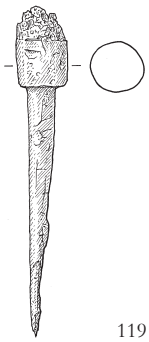

114


115

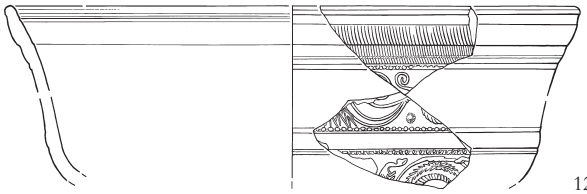

116


117

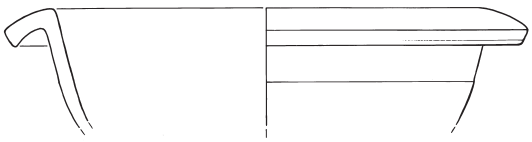

118


119

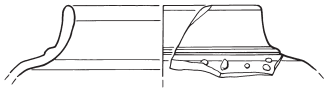
Römerstr. 221. 95.97–100.106–117 Keramik; 96 Blei; 101 ohne Abb.; 102.119 Eisen; 103–104 Münzen; 105 Bronze; 118 Glas. 95–100.102.106–117.119 M. 1:3; 105 M. 2:3; 118 M. 1:2.



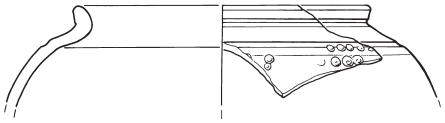
120



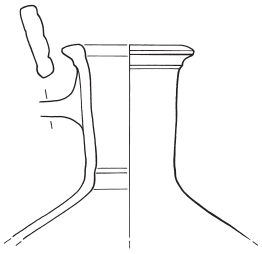
121



122



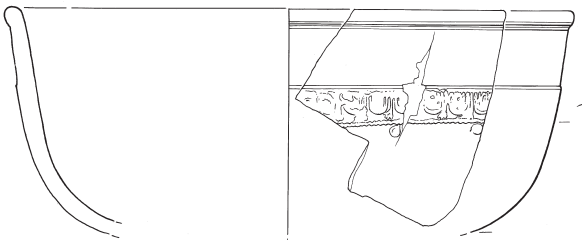
123



124



125

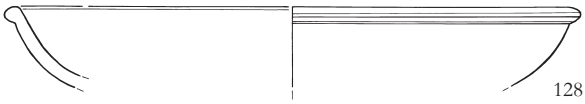




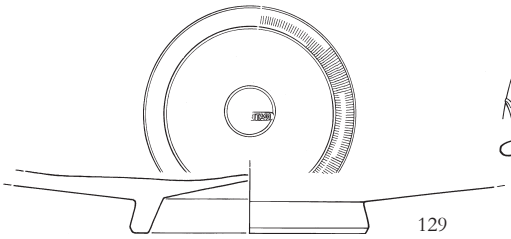
126



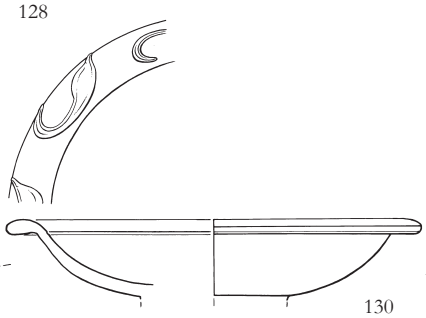
127



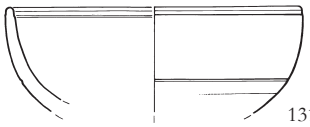
128



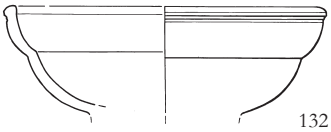
129



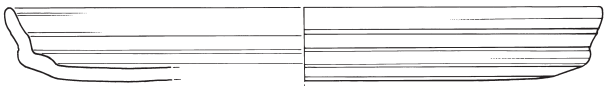
130



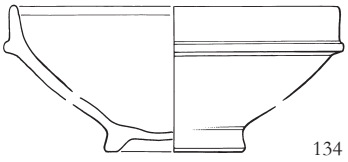
131



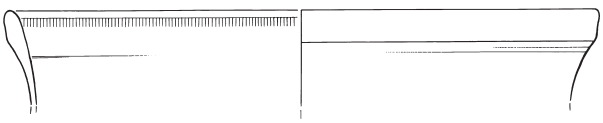
132



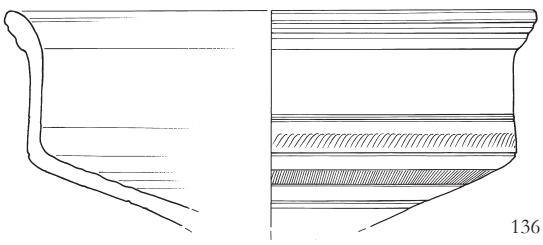
133



134



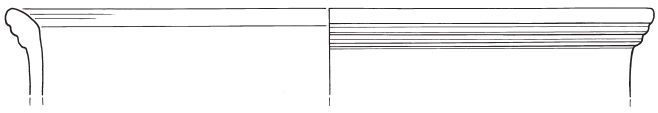
135

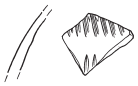


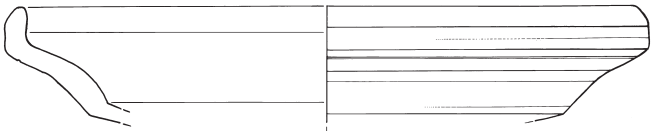
136

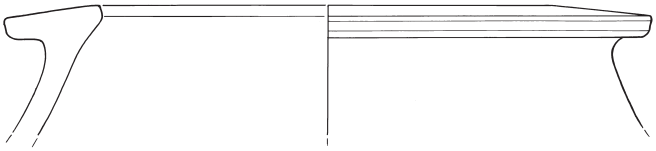
Römerstr. 221. 120–124.126–136 Keramik; 125 Münze. 120–124.126–136 M. 1:3.

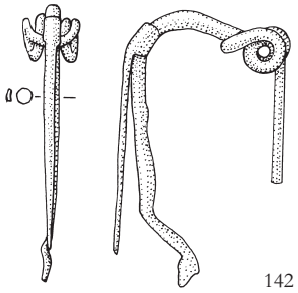
Zum Inhaltsverzeichnis

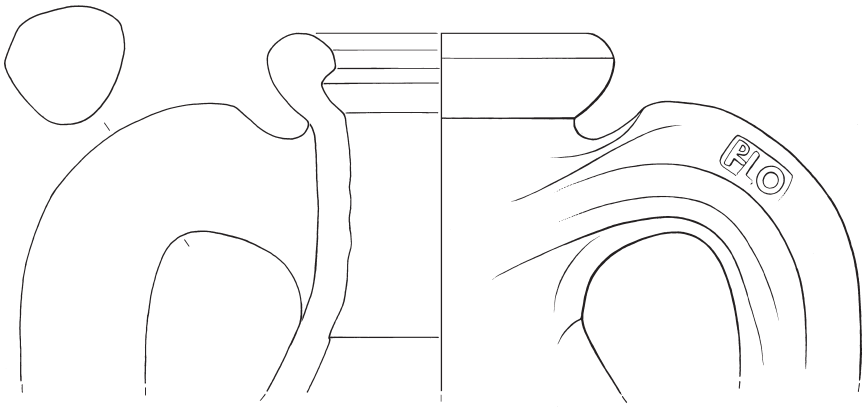

137

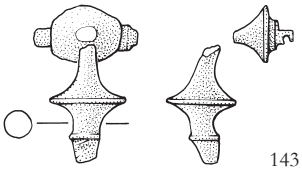

138

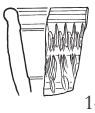

139

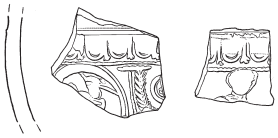

140


142


141

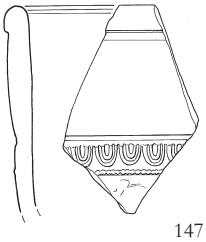

143

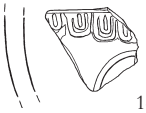

144

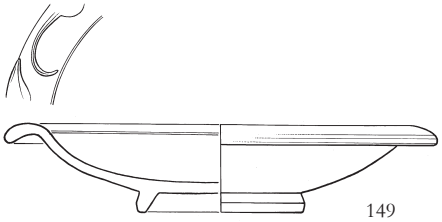

145


146

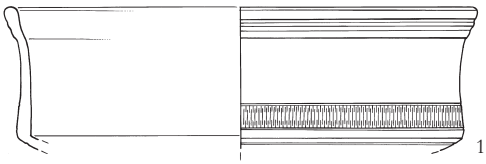


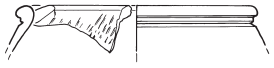

147

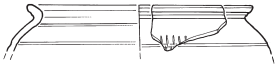

148


149

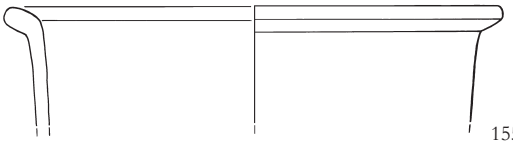

150


151

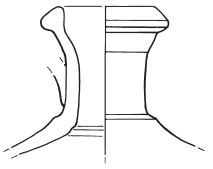

152


153

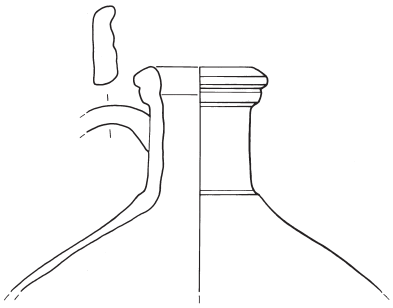

154


155

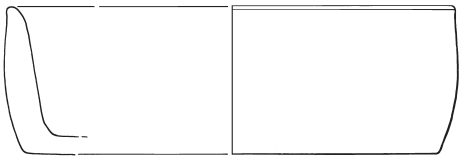
Römerstr. 221. 137–141.144–155 Keramik, M. 1:3; 142–143 Bronze, M. 2:3.



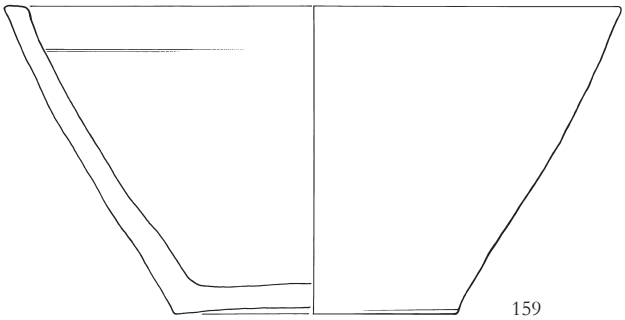
156



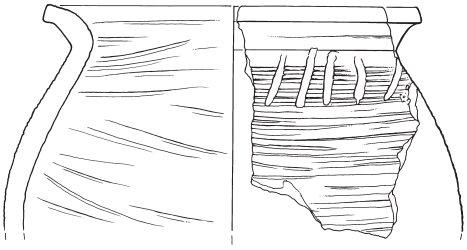
157



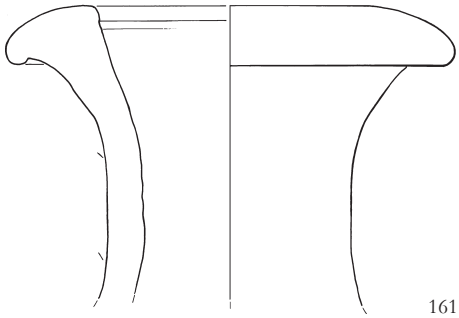
158



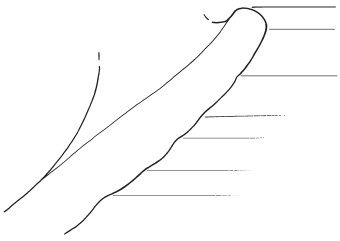
159



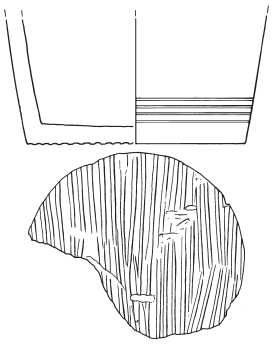
160



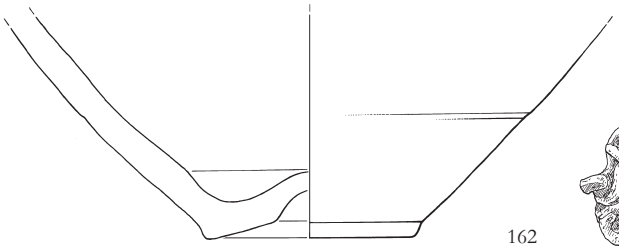
161



163



164



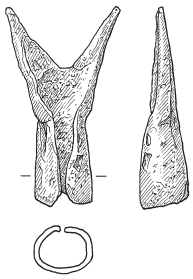
162



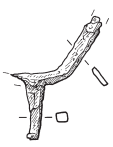
165



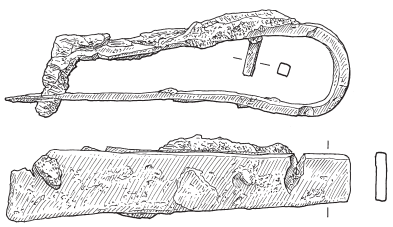
166



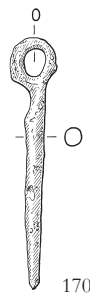
167



168



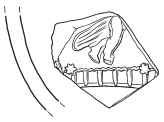
169



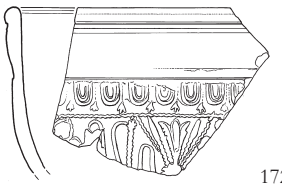
170

Römerstr. 221. 156–163 Keramik; 164 Lavez; 165–170 Eisen. 156–170 M. 1:3.

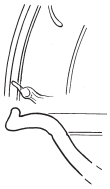
Zum Inhaltsverzeichnis



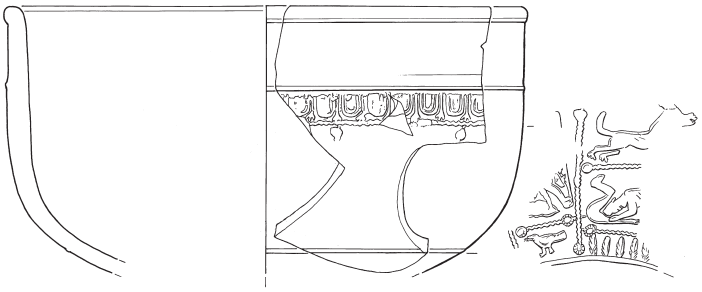
171



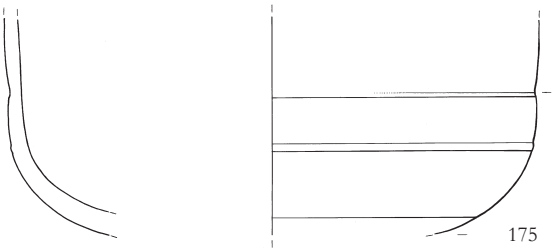
172



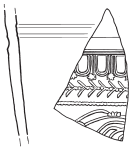
173



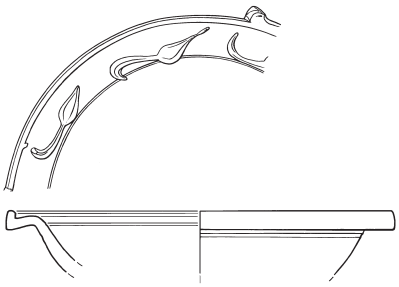
174



175

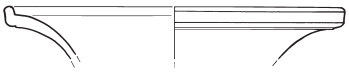


176

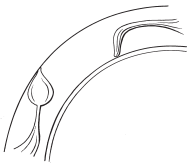


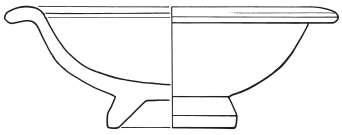
177





178

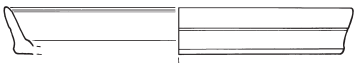




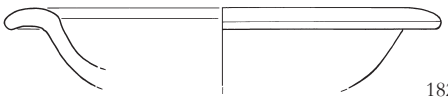
179



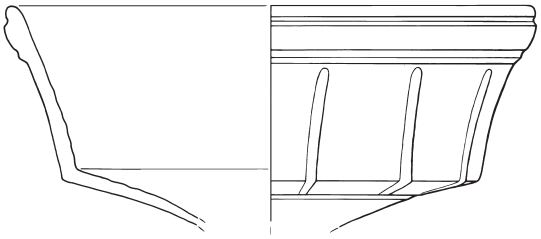
180



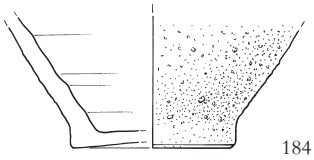
181



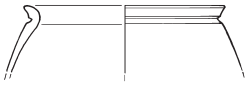
182



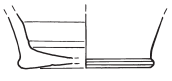
183



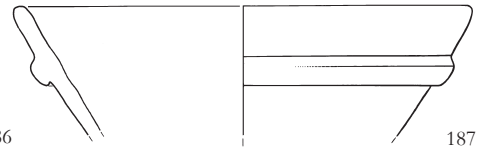
184



185

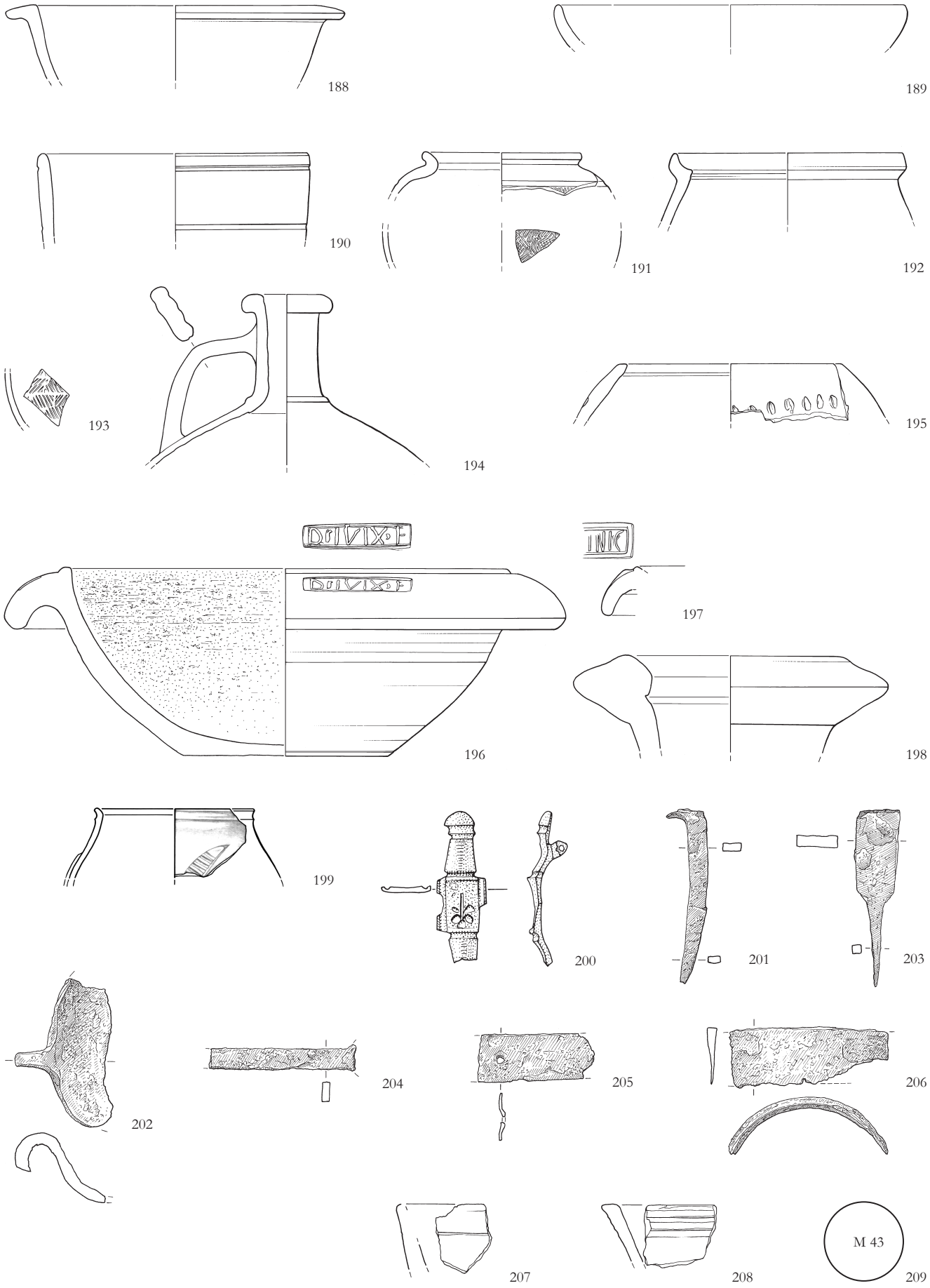


186



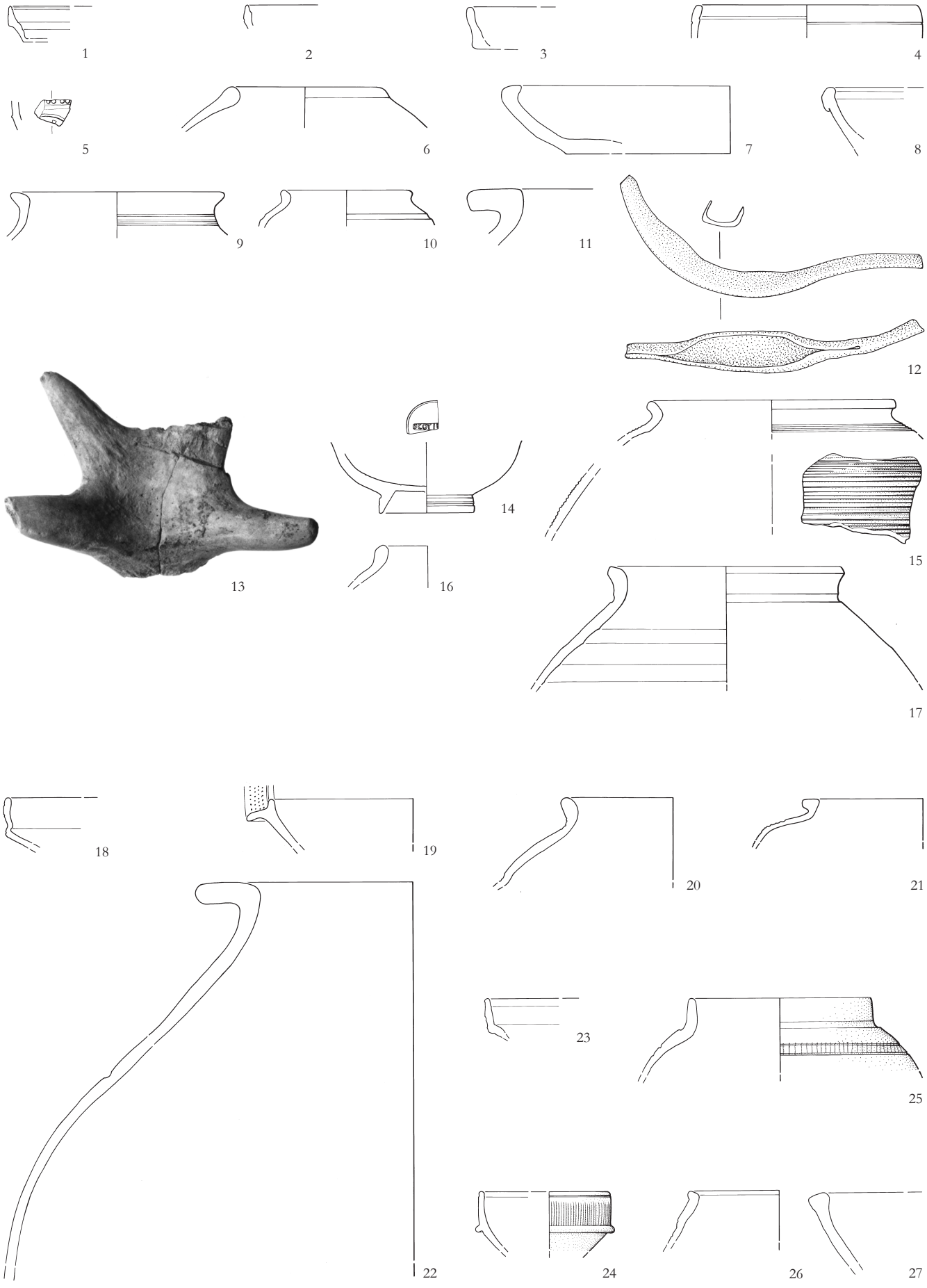
187

Römerstr. 221. 171–187 Keramik. M. 1:3.



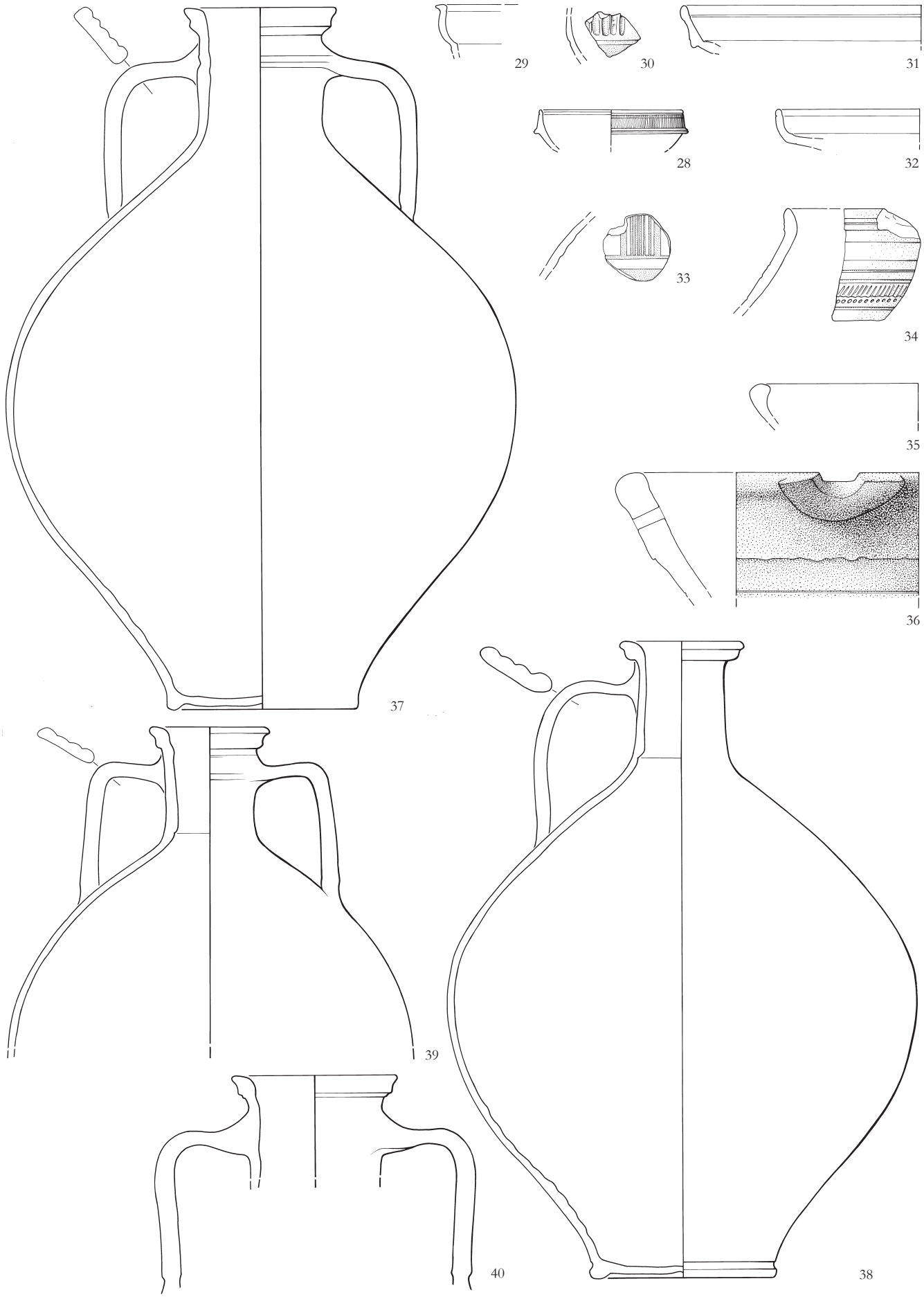
Römerstr. 221. 188–198.207–208 Keramik; 199 Glas; 200 Bronze; 201–206 Eisen; 209 Münze. 188–198.201–208 M. 1:3; 199 M. 1:2; 200 M. 2:3.

Zum Inhaltsverzeichnis



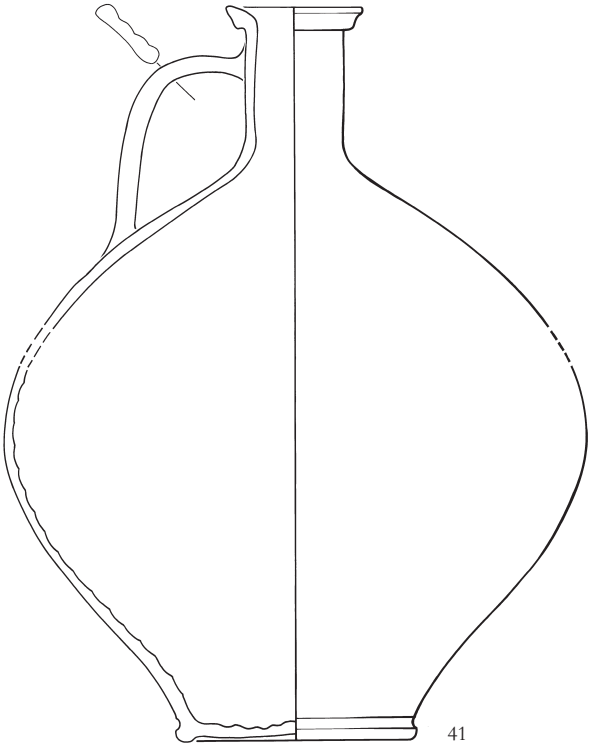
Römerstr. 227/229. 1–11.14–27 Keramik, M. 1:3; 12 Bronze, M. 2:3; 13 Geweih, M. 1:2.

Zum Inhaltsverzeichnis

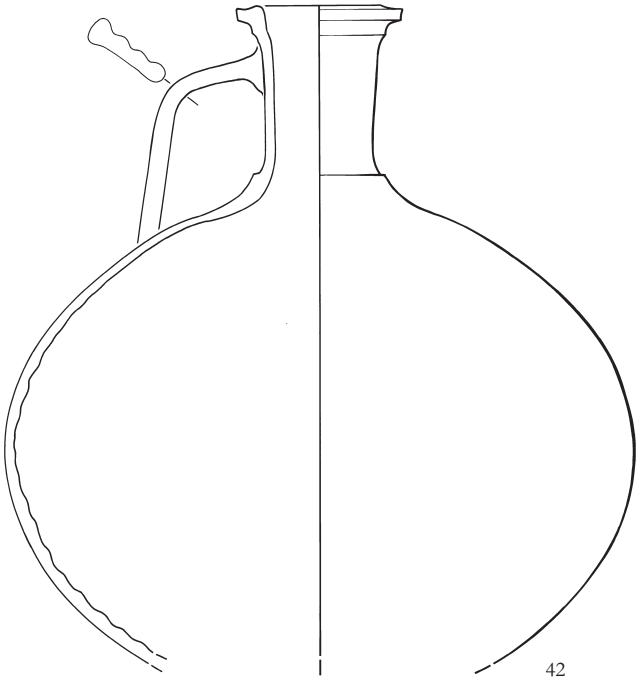


Römerstr. 227/229. 28–40 Keramik. M. 1:3.

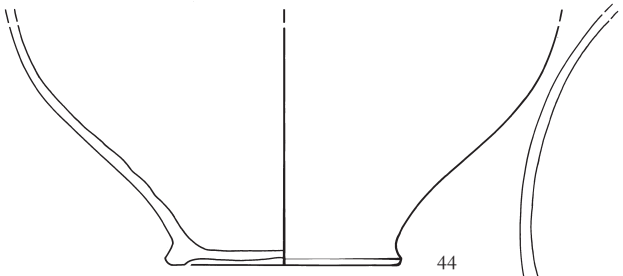
Zum Inhaltsverzeichnis



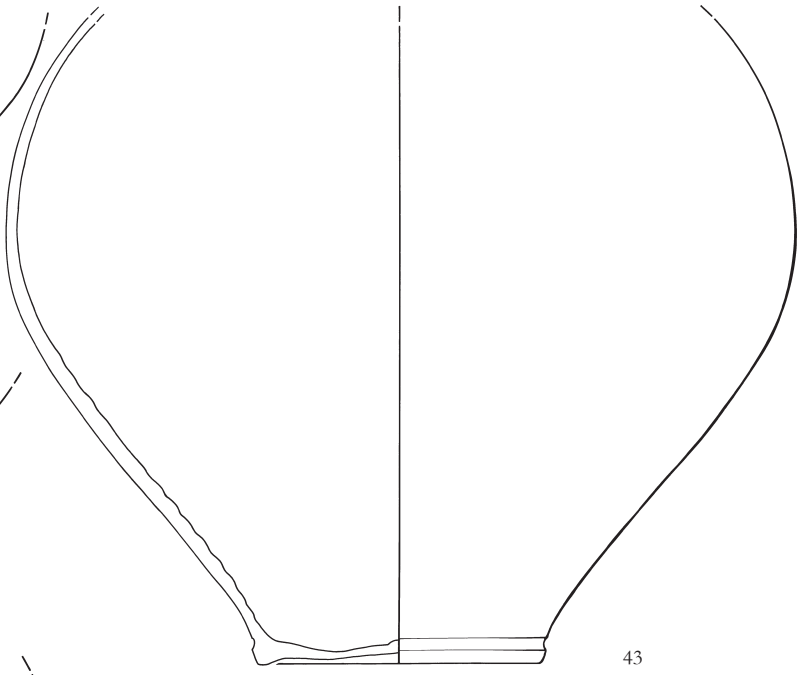
41



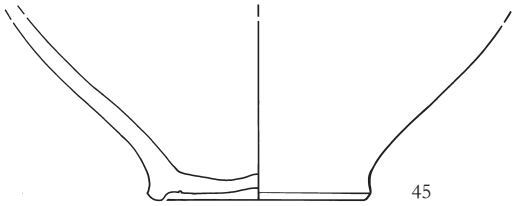
42



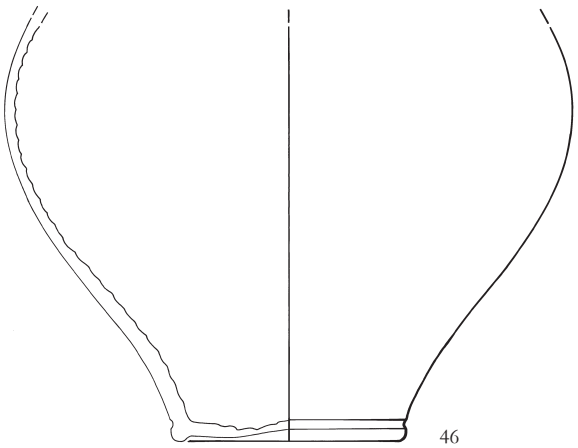
44



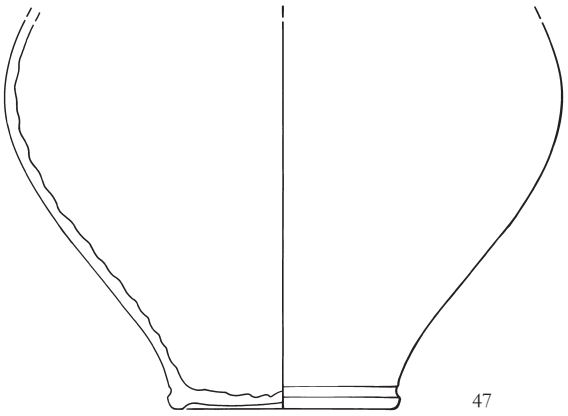
43



45

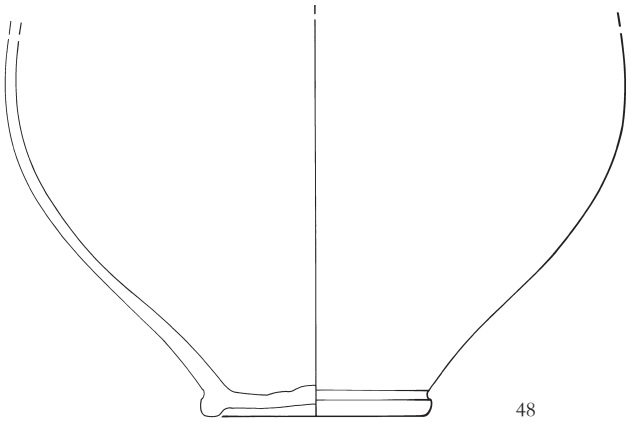


46

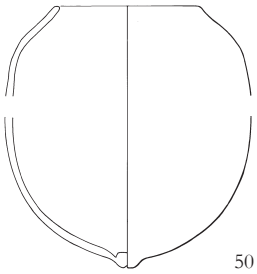


47

Römerstr. 227/229. 41–47 Keramik. M. 1:3.



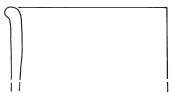
48



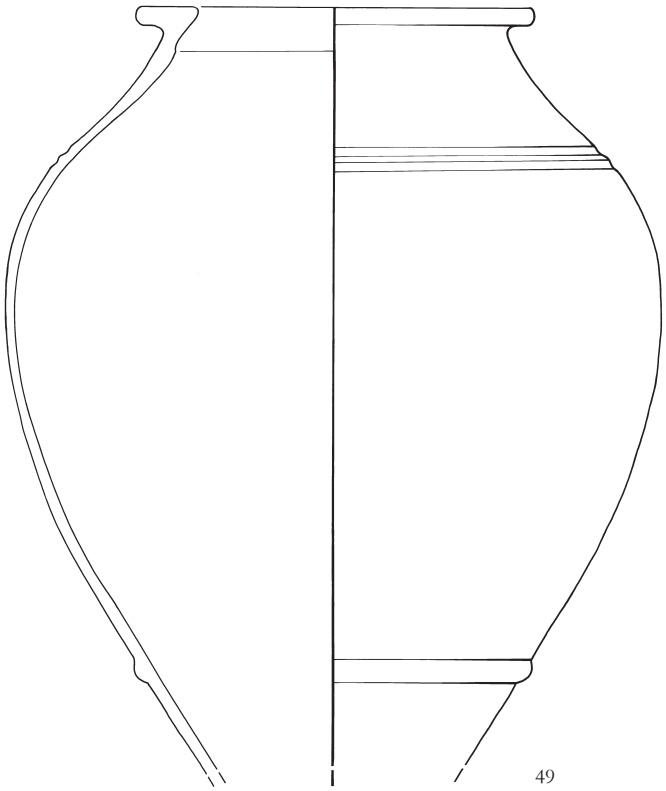
50



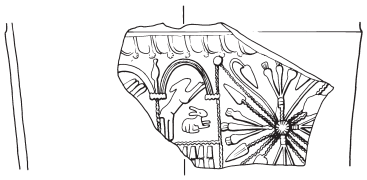
51



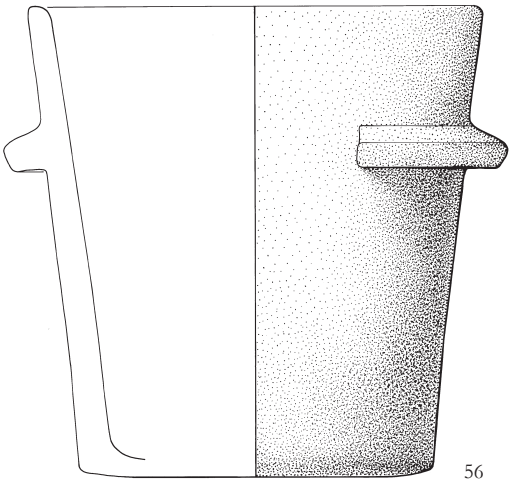
52



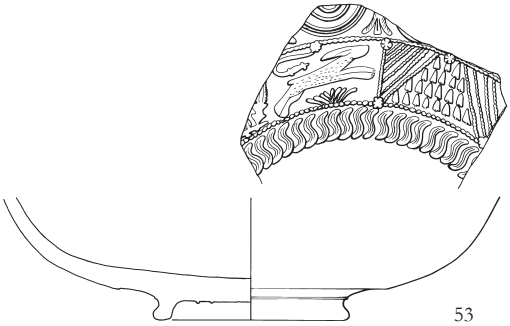
49



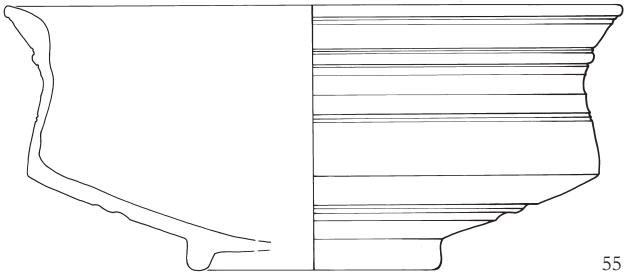
54



56



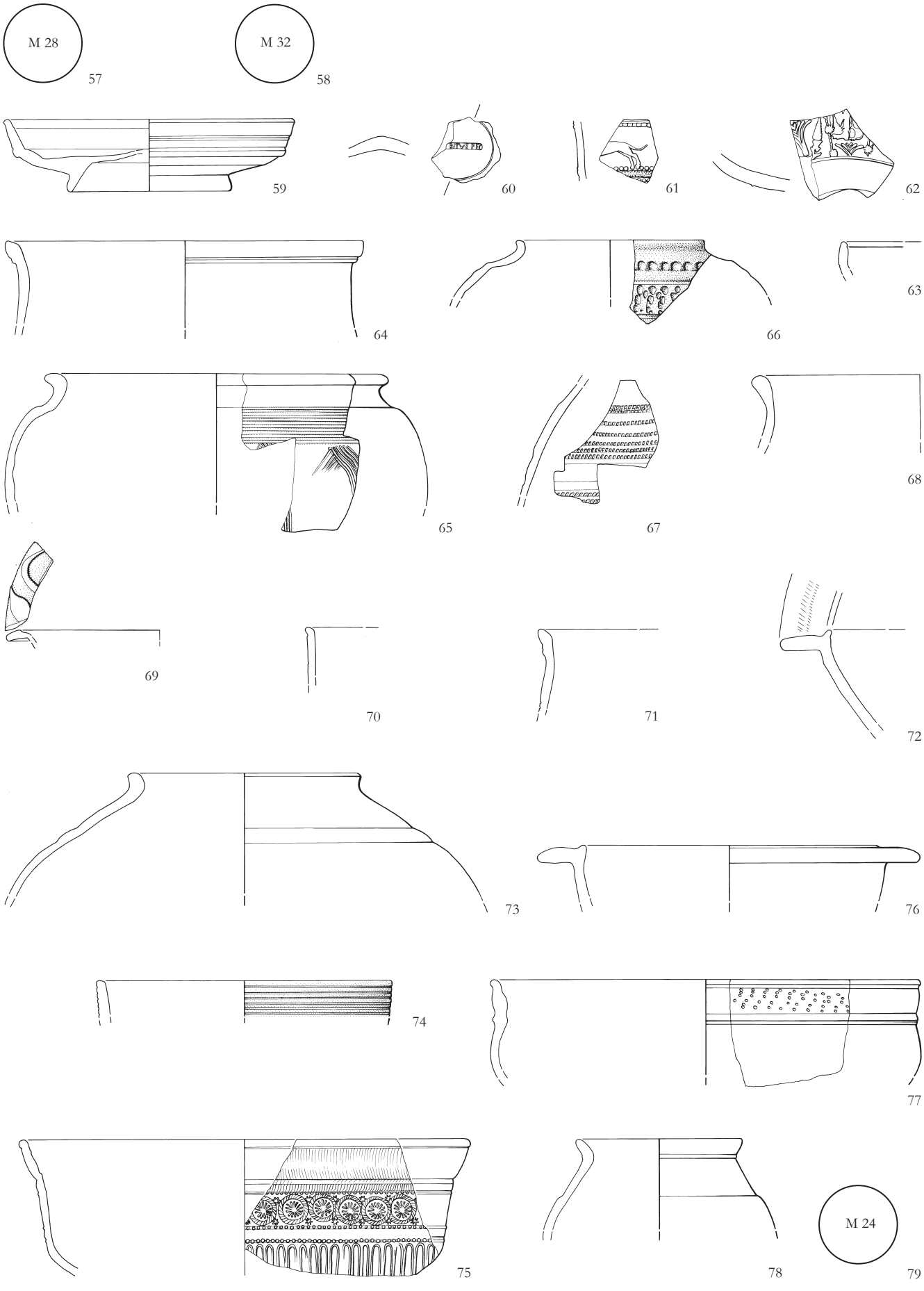
53



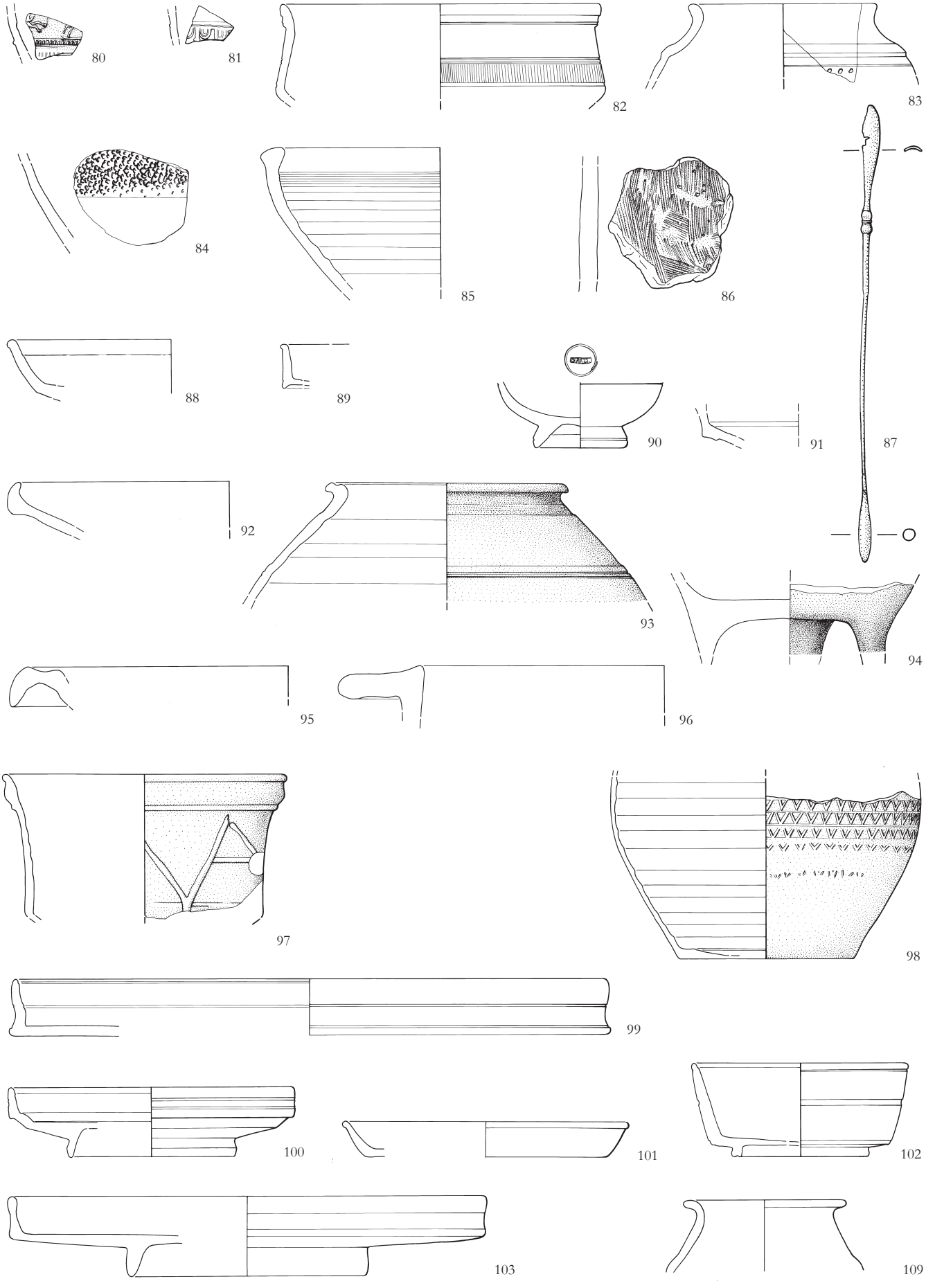
55

Römerstr. 227/229. 48–55 Keramik; 56 Lavez. 48–49.51–56 M. 1:3; 50 M. 1:6.

Zum Inhaltsverzeichnis

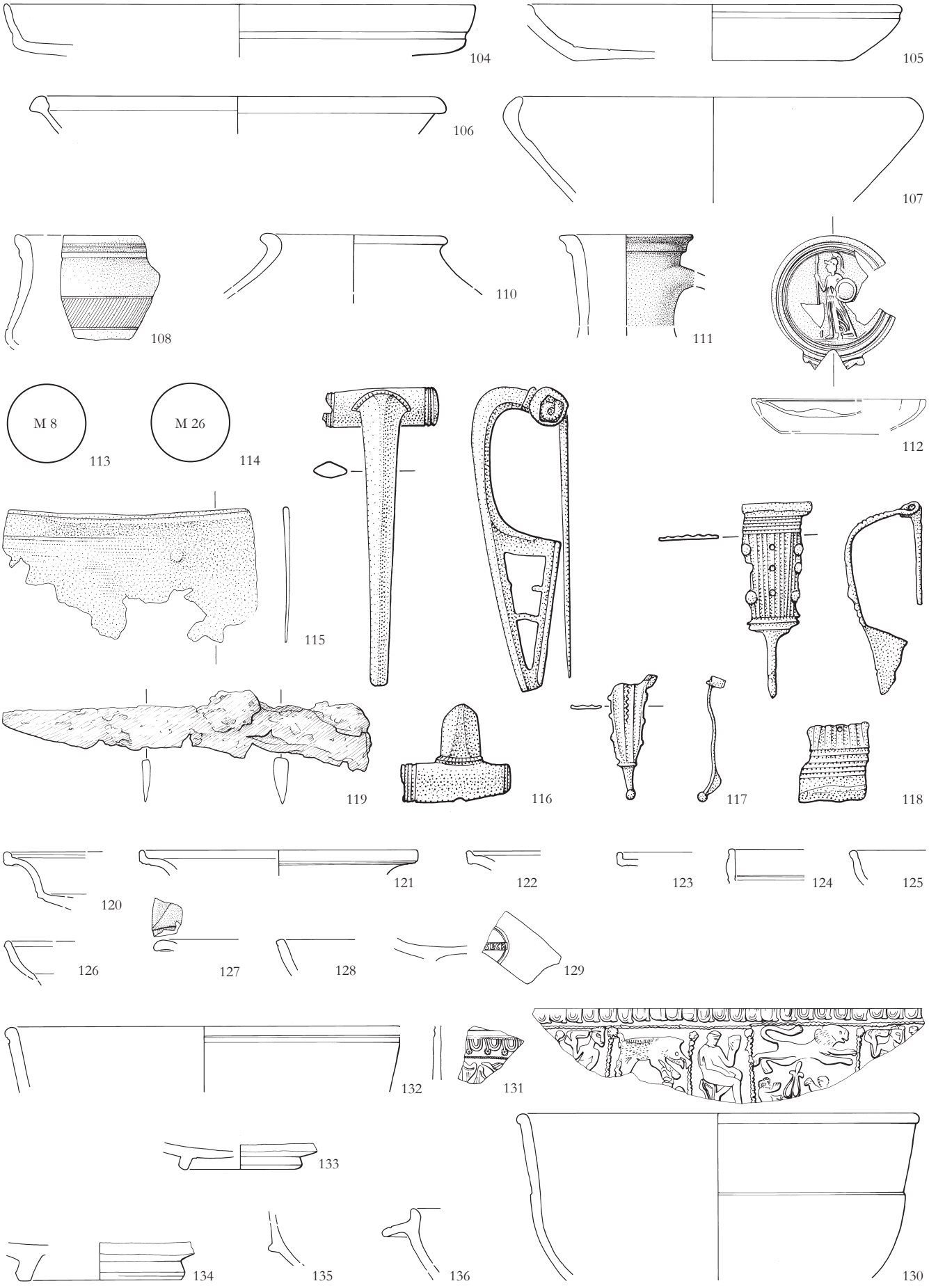


Römerstr. 227/229. 57–58.79 Münzen; 59–78 Keramik. M. 1:3.

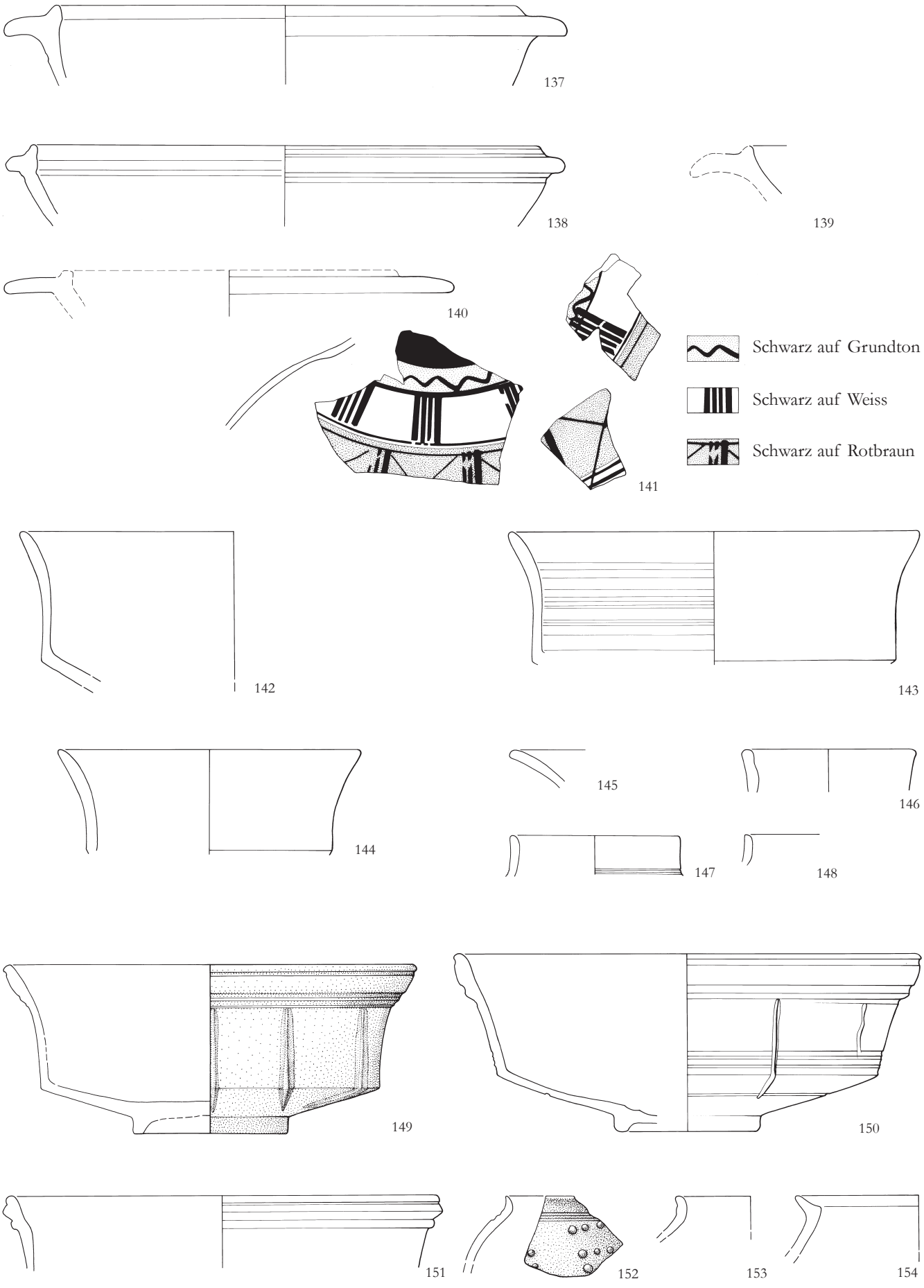


Römerstr. 227/229. 80–86.88–103.109 Keramik, M. 1:3; 87 Bronze, M. 2:3.

Zum Inhaltsverzeichnis

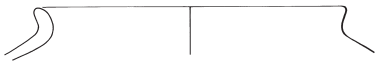


Römerstr. 227/229. 104–108.110–112.120–136 Keramik, M. 1:3; 113–114 Münzen; 115.118 Bronze, M. 2:3; 116–117 Messing, M. 2:3; 119 Eisen, M. 1:3.

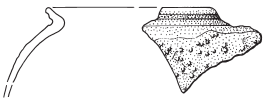


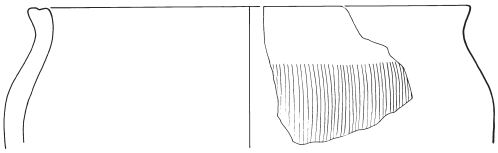
Römerstr. 227/229. 137–154 Keramik. M. 1.3.

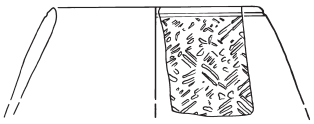
Zum Inhaltsverzeichnis

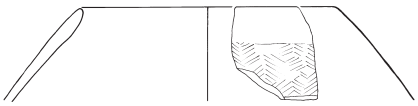

155

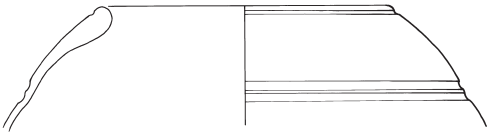

156

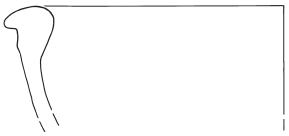

157

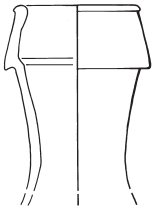

158

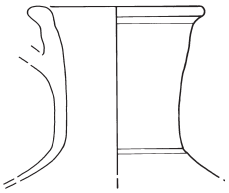

159

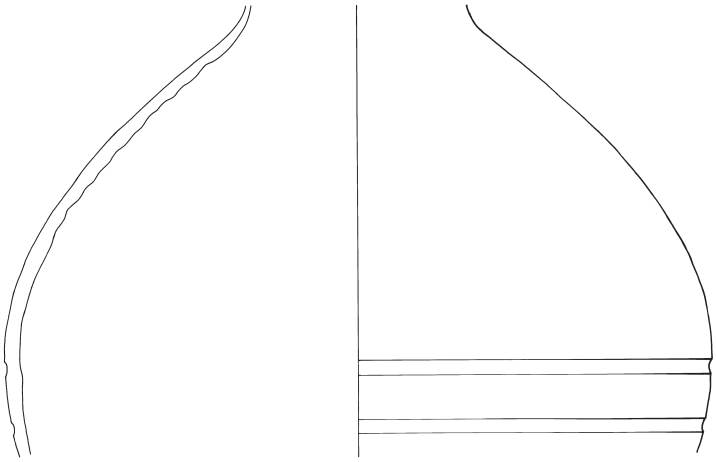

160

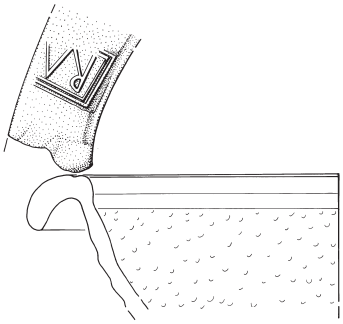

161

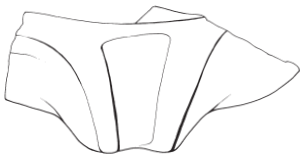

162

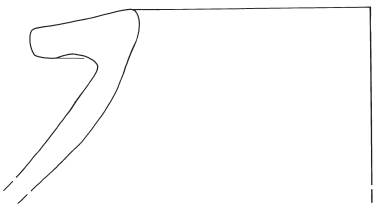

163

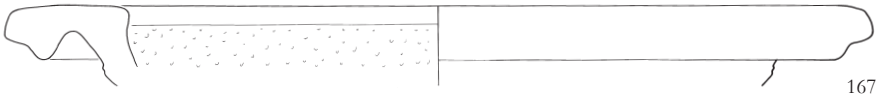

164

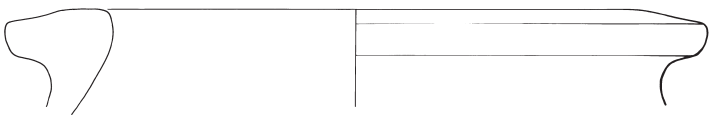

165

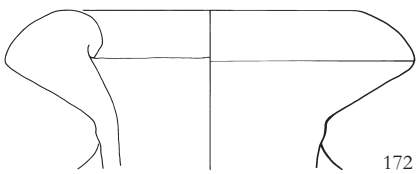

166



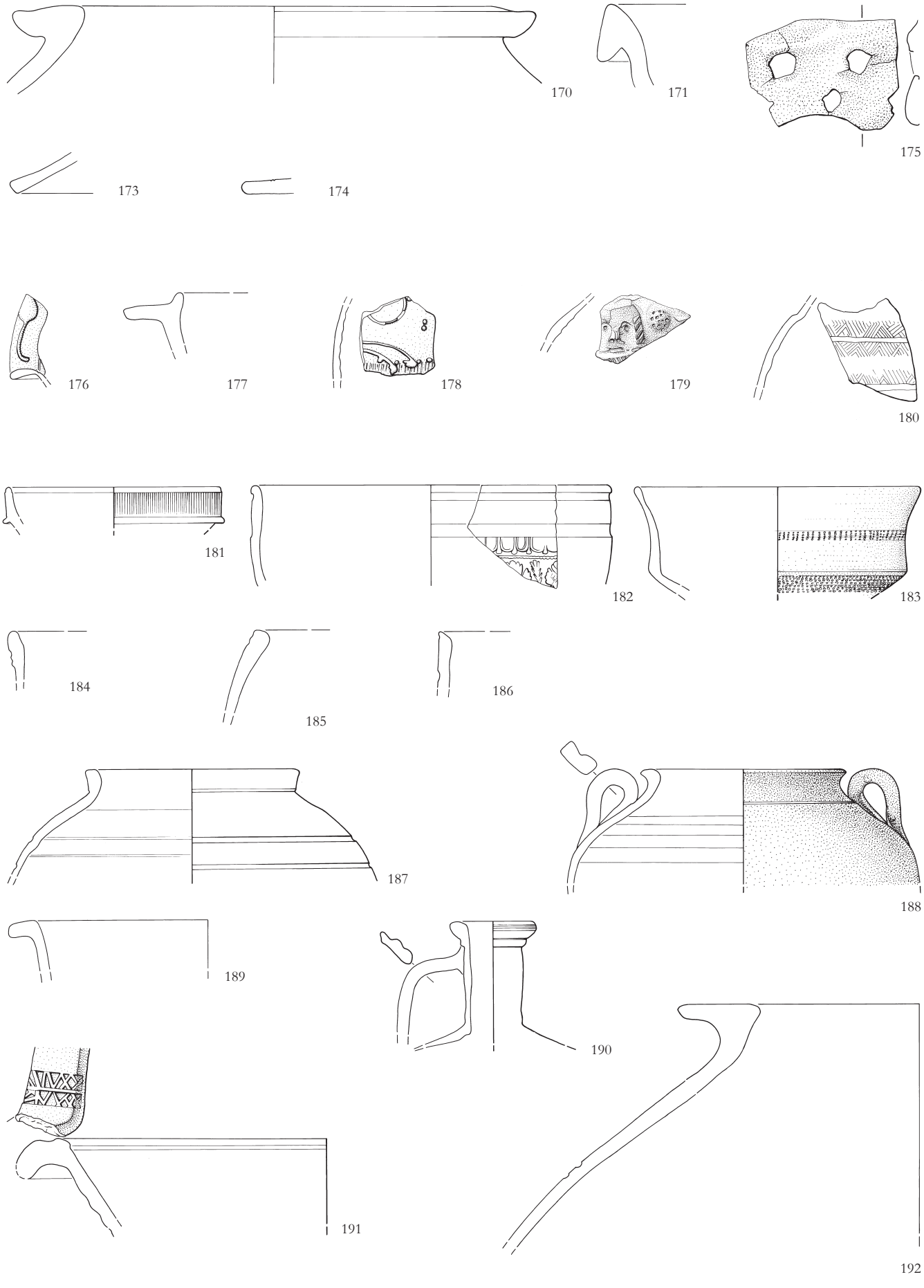

168


167


169

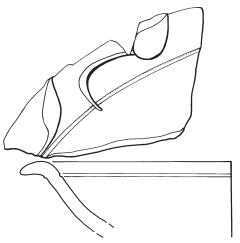

172

Römerstr. 227/229. 155–169.172 Keramik. M. 1:3.

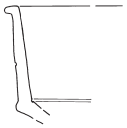


Römerstr. 227/229. 170–171.173–174.176–192 Keramik, M. 1:3; 175 Bronze, M. 2:3.

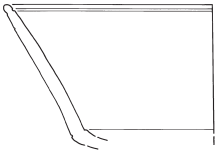
Zum Inhaltsverzeichnis



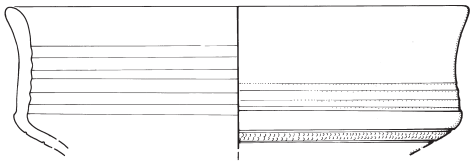
193



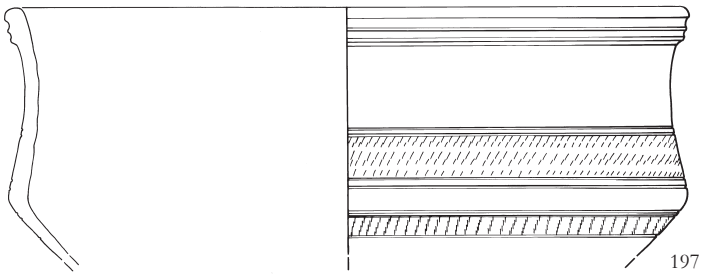
194



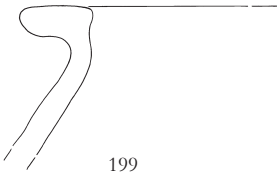
195



196



197



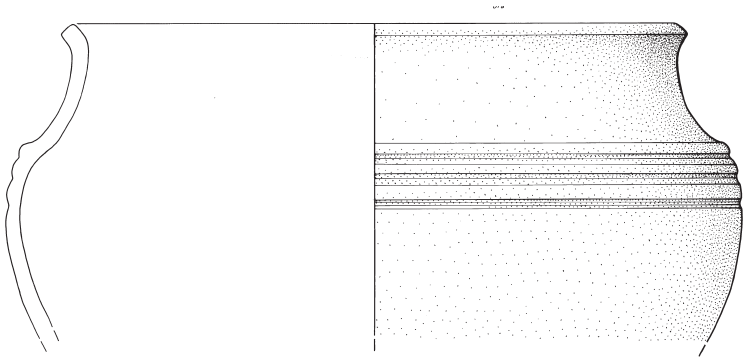
199

M 27

200



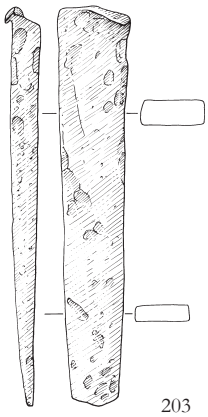
201



198



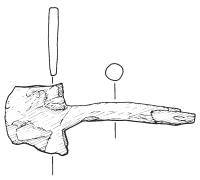
202



203



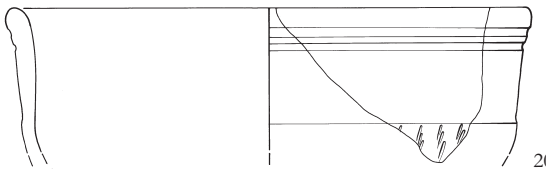
204

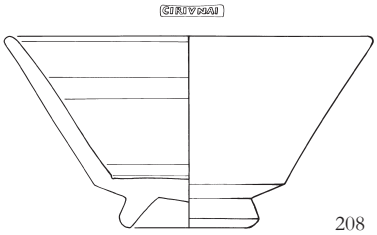


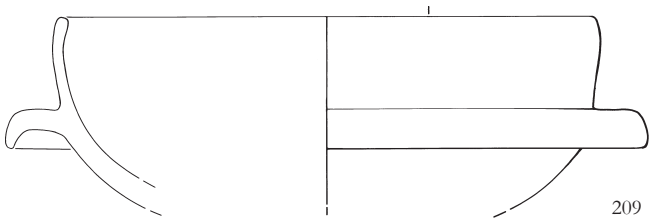
205

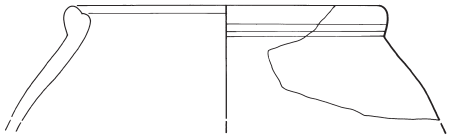
Römerstr. 227/229. 193–199 Keramik, M. 1:3; 200 Münze; 201 Geweih, M. 1:2; 202–205 Eisen, M. 1:3.

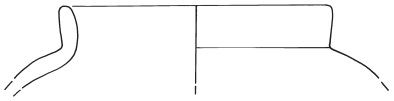

206


207


208

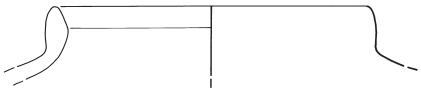

209

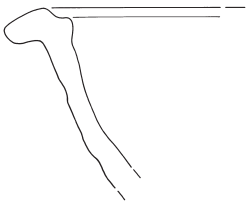

210

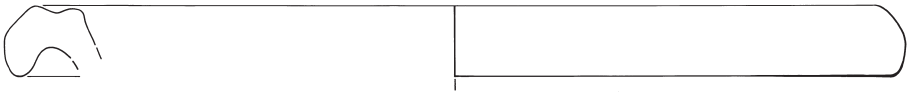

213

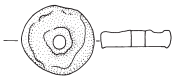

211

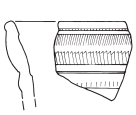

214

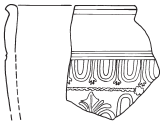

212

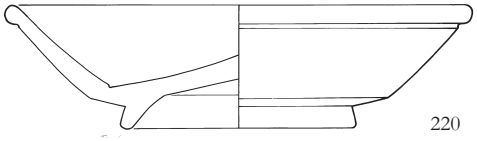

215


216


217

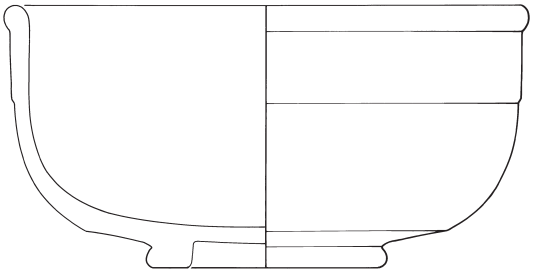

218

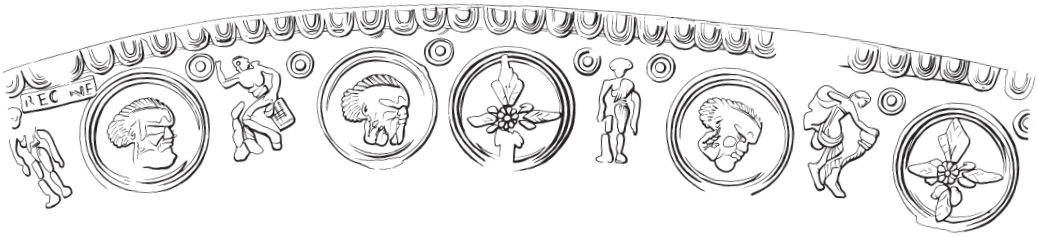

219


220

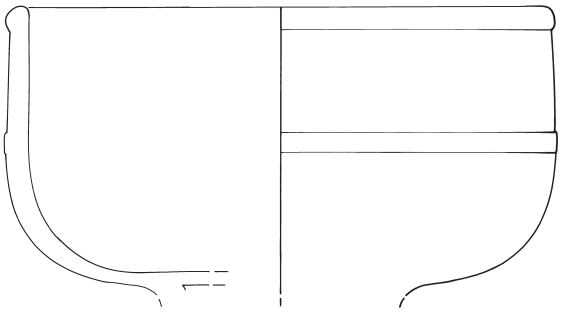
Römerweg 5. 206–220 Keramik. M. 1:3.

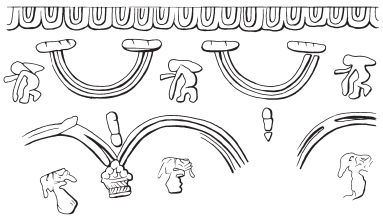
Zum Inhaltsverzeichnis



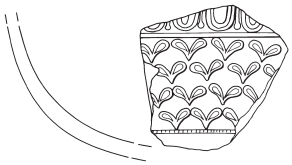


221

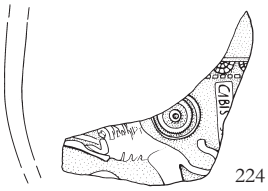




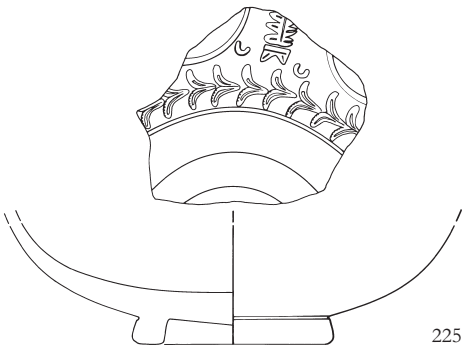
222



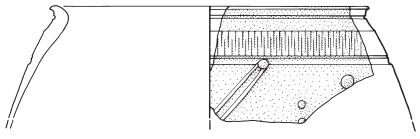
223



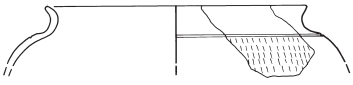
224



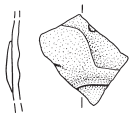
225



226

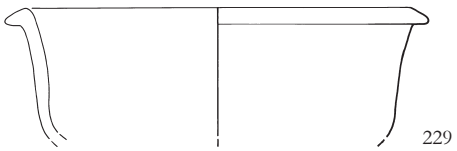


227

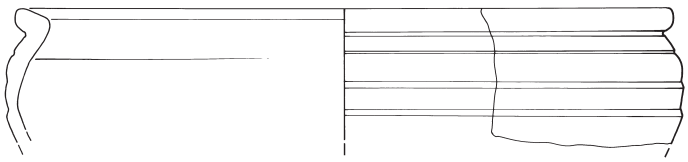


228

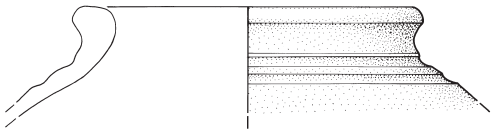
Römerweg 5. 221–228 Keramik. M. 1:3.



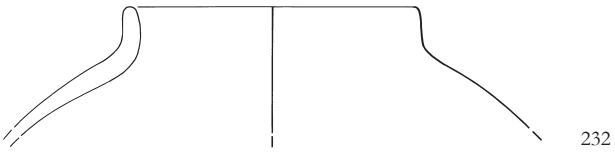
229



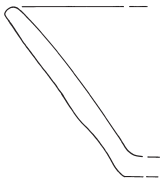
230



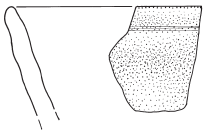
231



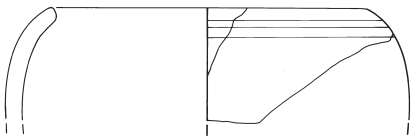
232



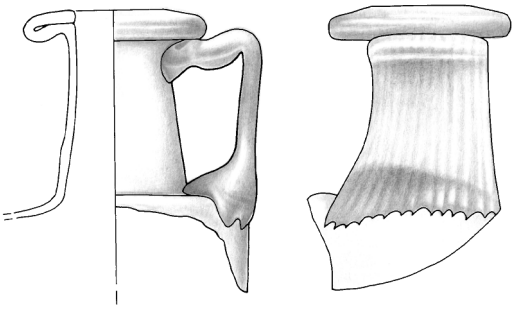
233



234



235



236

Zum Inhaltsverzeichnis

Italische Terra Sigillata

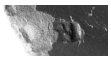
ST	Stempel	1:1	Töpfer	Gefässform	Fundort	Kat.	Bemerkungen
1	ATEI		Ateius	BS Schale	Rö 209 FK 308	-	zentraler Rechteckstempel O.-C. 144; Schnurbein 1982, Taf. 73,142–145
2	CAMVRI mit Dreizack		Camurius	Platte/Teller	Rö 227/229 FK 980	-	planta pedis O.-C. 397
3	XANTI oder XANTHI		Xanthus	Platte	Röweg 5 FK 82	-	planta pedis O.-C. 177; Rychener/Albertin 1986, 118 Kat. 45
4	ZOILI[		Zoilus	Teller	Rö 209 FK 191	-	O.-C. 181 sek. verbrannt

Südgallische Terra Sigillata

5	]ALBINI		G. Albinus?	Drag. 27	Rö 227/229 FK 678	-	La Graufesenque DAF 6, 279
6	ALIVS FE		Alius	Drag. 27	Rö 209 FK 184	-	
7	AO[		ungelesen	unbestimmt	Rö 227/229 FK 1515	-	
8	OF A [		ungelesen	Teller	Rö 227/229 FK 235	-	
9	OF APRO		Aper	Drag. 27	Rö 227/229 FK 543	-	stark verbrannt Planck 1975, 252 Nr. 10; Bechert/ Vanderhoeven 1988, 25 Nr. 16
10	OFAQVITA		Aquitanus	Drag. 27	Rö 209 FK 225	-	La Graufesenque Ebnöther/Eschenlohr 1985, 254 Abb. 6; Koller/Doswald 1996, 442 Nr. 1
11	OF AQVITAN		Aquitanus	Drag. 29	Rö 227/229 FK 562	-	La Graufesenque Bechert/Vanderhoeven 1988, 25 Nr. 25–29
12	OF AQV[IT]AN		Aquitanus	Drag. 29	Rö 227/229 FK 630	-	La Graufesenque identisch mit FK 562
13	]ITAN		Aquitanus	Drag. 18	Rö 221 FK 72	-	La Graufesenque s.o.
14	]ANVS		Aquitanus	Drag. 18	Rö 209 FK 264	71	La Graufesenque Bechert/Vanderhoeven 1988, 25 Nr. 25
15	[A]RDAC I		Ardacus	unbestimmt	Rö 227/229 FK 1613	-	La Graufesenque Bechert/Vanderhoeven 1988, 31 Nr. 45
16	AVE oder AVF		ungelesen	Drag. 27	Rö 209 FK 230	230	redender Stempel? Bechert/Vanderhoeven 1988, 33 Nr. 49–50
17	AVII		Avus	Drag. 27	Rö 209 FK 208	206	Mary 1967, Taf. 29, 43
18	AVII		Avus	Schale	Rö 213/215 FK 132	72	Mary 1967, 158 Taf. 29, 43
19	OF BA[		Bassus	Teller	Rö 227/229 FK 235	-	Bechert-Vanderhoeven 1988, 33 Nr. 54–59
20	[OF BA]SSI		Bassus	Teller	Rö 227/229 FK 350	-	Koller/Doswald 1996, 444 Nr. 70–71; Hänggi et al. 1994, 460 Nr. 109
21	BASSIO		Bassus	Drag. 27	Rö 227/229 FK 1369	-	Koller/Doswald 1996, 446 Nr. 72
22	OFBASSI·CO		Bassus und Coelus	Drag. 29	Rö 209 FK 348	-	La Graufesenque Ebnöther/Eschenlohr 1985, 254 Abb. 6; Koller/Doswald 1996, 442 Nr. 13

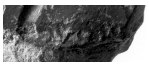
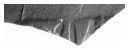
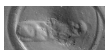
ST	Stempel	1:1	Töpfer	Gefässform	Fundort	Kat.	Bemerkungen
23	OF C[		ungelesen	Teller	Rö 227/229 FK 425	-	
24	O[F]CALV		Calvus	Drag. 18/31	Rö 209 FK 349	-	La Graufesenque bzw. Montans Rychener/Albertin 1986, 118 Kat. 535
25	]CAPITO		Capito	BS	Rö 209 FK 21	-	Bechert/Vanderhoeven 1988, 43 Nr. 110; Rückseite mit Graffito GR 1
26	CAR[		ungelesen	Teller	Rö 227/229 FK 1099	-	
27	CELADVS F		Celadus	Schale	Rö 227/229 FK 1167	-	doppelt aufgesetzt, La Graufesenque bzw. Le Rozier DAF 6, 280; Ebnöther/Eschenlohr 1985, 254 Abb. 6
28	CELAD·FE		Celadus	Drag. 29	Ho 3 FK 241	105	sek. verbrannt
29	CELSIO		Cels(i)us	Schale	Rö 227/229 FK 310	-	Montans DAF 6, 280
30	CENNATI		Cennatus	Drag. 24	Rö 209 FK 272	143	La Graufesenque DAF 6, 280
31	OF·CEN		Censor	Teller	Rö 227/229 FK 130	-	La Graufesenque Rychener/Albertin 1986, 119 Kat. 735
32	[OF]COELI		Coelus	Schale	Rö 221 FK 142	-	La Graufesenque Planck 1975, 230 Nr. 87–90; Koller/Doswald 1996, 442 Nr. 22
33	OFCREST[		Crestus	Schale	Ho 3 FK 198	102	La Graufesenque Rychener/Albertin 1986, 118 Kat. 247
34	CRESTIO		Crestus	Drag. 27	Rö 209 FK 253	107	La Graufesenque Hänggi et al. 1994, 457 Nr. 62–63
35	OFCR[ESTIO]		Crestus	Drag. 29	Rö 221 FK 126	50	Rychener/Albertin 1986, 119 Kat. 758
36	[CR]ISPI·M		Crispus	Schale	Rö 227/229 FK 130	-	La Graufesenque bzw. Montans Bechert/Vanderhoeven 1988, 49 Nr. 135
37	]CNVS		ungelesen	Schale	Rö 227/229 FK 1344	-	
38	[D]ARRAF		Darra	Schale	Rö 213/215 FK 91	16	La Graufesenque Mary 1967, 161 Taf. 31, 29
39	]FELIC[		Felix	Drag. 15	Rö 209 FK 221	-	La Graufesenque bzw. Montans Mary 1967, Taf. 31, 34–35
40	GERMANIF		Germanus	Knorr 78	Rö 221 FK 149	84	intradekorativ; La Graufesenque Mees 1995, 78f. Taf. 73–87,4
41	]HARIT oder]PARIT		ungelesen	Drag. 27	Rö 227/229 FK 783	-	
42	IBV		ungelesen	Drag. 24	Rö 209 FK 295	46	
43	IC[		ungelesen	Schale	Rö 227/229 FK 1440	-	
44	OFING[		Ingenuus	Drag. 15/17	Rö 213/215 FK 194	102	La Graufesenque bzw. Montans; sek. verbrannt Rychener/Albertin 1988, 168 Kat. 6.
45	]IRNIO		ungelesen	Schale	Rö 227/229 FK 1030	-	sek. verbrannt
46	IVCVND		Iucundus	Drag. 24	Rö 221 FK 78	71	La Graufesenque bzw. Montans; retrograd Ulbert 1959, 39 Nr. 69–70
47	[I]VCVND		Iucundus	unbestimmt	Rö 221 FK 94	-	vgl. ST 46
48	IVLLINI		Iullinus	Teller	Rö 227/229 FK 69	-	N retrograd Planck 1975, 238 Nr. 227

Zum Inhaltsverzeichnis

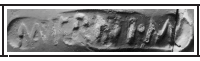
ST	Stempel	1:1	Töpfer	Gefässform	Fundort	Kat.	Bemerkungen
49	IOII[oder]IIOI		ungelesen	Schüssel	Rö 221 FK 83	-	
50	]CINIA[		Liciniana?	unbestimmt	Rö 227/229 FK 644	-	La Graufesenque Koller/Doswald 1996, 446 Nr. 77
51	]ICINVS		Licinus	Teller	Rö 221 FK 97	-	Rychener 1984, 112 Nr. 910
52	LICINV		Licinus	Drag. 27	Rö 227/229 FK 1469	-	vgl. ST 51 Schucany 1996,Taf. 17,305
53	LICIN[		Licinus	Schale	Rö 203 FK 5	2	vgl. ST 51
54	OF MACARI		Macarus	Schüssel	Rö 227/229 FK 1098	-	Montans Mary 1967, 163 Nr. 35
55	MACERF		Macer	Schale	Rö 227/229 FK 676	-	La Graufesenque bzw. Montans Bechert/Vanderhoeven 1988, 61 Nr. 191–199
56	MAR[		Martialis?	Drag. 27	Rö 227/229 FK 1093	-	Bechert/Vanderhoeven 1988, 61 Nr. 202
57	[O]F MASCLI		Masc(u)lus	Schüssel	Rö 227/229 FK 843	-	La Graufesenque bzw. Montans DAF 6, 283; Hänggi et al. 1994, 460 Nr. 112
58	OFMASC[		Masc(u)lus	Drag. 15	Rö 209 FK 252	103	La Graufesenque oder Montans DAF 6, 283
59	OFMOD		Modestus	Drag. 27	Rö 209 FK 227	-	Koller/Doswald 1996, 446 Nr. 83; Hänggi et al. 1994, 458 Nr. 69
60	OF MVRRA		Murranus	Drag. 15/17	Rö 227/229 FK 235	-	La Graufesenque; radial gestempelt, ausserhalb Standring; Ebnöther/Eschenlohr 1985, 254 Abb. 6
61	OF MVRRA		Murranus	Teller	Rö 227/229 FK 419/462	-	vgl. ST 60
62	OF MVRRAN		Murranus	unbestimmt	Rö 227/229 FK 1035	-	vgl. ST 60
63	]M			Drag. 24	Rö 209 FK 77	-	
64	]N			Drag. 18/31	Rö 209 FK 48	-	
65	]N			Drag. 18/31	Rö 209 FK 142	-	
66	]NM			Drag. 29	Rö 227/229 FK 84	-	
67	O[			Drag. 18/31	Rö 209 FK 252	-	
68	OF[			Schüssel	Rö 227/229 FK 695	-	
69	OF[			Drag. 29	Rö 209 FK 142	185	
70	OF[			Drag. 18	Rö 221 FK 52	-	
71	]OF			unbestimmt	Rö 209 FK 30	-	

ST	Stempel	1:1	Töpfer	Gefässform	Fundort	Kat.	Bemerkungen
72	]O[			Drag. 24	Rö 221 FK 51	-	
73	PASSE[		Passienus	Teller	Rö 227/229 FK 1430	-	La Graufesenque Ebnöther/Eschenlohr 1985, 254f. Abb. 7; Koller/Doswald 1996, 444 Nr. 37; 446 Nr. 91
74	]ASSIEN		Passienus	Teller	Rö 227/229 FK 646	-	La Graufesenque, kreuzförmiges Graffito auf Unterseite; vgl. ST 73; Koller/Doswald 1996, 442 Nr. 36
75	O.PASIE		Passienus	Ritterling 9	Rö 227/229 FK 906	-	La Graufesenque; vgl. ST 73 Planck 1975, 240 Nr. 277; Koller/Doswald 1996, 446 Nr. 92
76	PASTOR GE		Pastor Ge( )	Drag. 29	Rö 209 FK 212	-	La Graufesenque DAF 6, 284
77	OFPATRICI		Patricius	Drag. 18/31	Rö 209 FK 187	-	Bechert/Vanderhoeven 1988, 73 Nr, 265–269
78	OF PATR[		Patricius	Schale	Rö 227/229 FK 310	90	vgl. ST 77
79	PERR[		Perrus	Hofheim 8	Rö 209 FK 34	-	La Graufesenque Bechert/Vanderhoeven 1988, 75 Nr. 278–279
80	POTITI.AA?		Potitus?	Teller	Rö 227/229 FK 596	-	Lesung unsicher; La Graufesenque DAF 6, 284
81	RITVS FEC		Ritus	Schale	Rö 227/229 FK 312	60	La Graufesenque DAF 6, 284
82	RITV[		Ritus	Schüssel	Rö 227/229 FK 980		La Graufesenque DAF 6, 284
83	ROGATVS		Rogatus	Drag. 33	Rö 209 FK 349	-	La Graufesenque Hänggi et al. 1994, 461 Nr. 115; Bechert/Vanderhoeven 1988, 81 Nr. 307
84	RVFFNIM		Rufinus	Drag. 18/31	Rö 209 FK 206	-	Bechert/Vanderhoeven 1988, 83 Nr. 315–316
85	OF R[		ungelesen	Schale	Rö 227/229 FK 831	-	
86	SCOTIVS		Scottius	Teller	Rö 227/229 FK 150	-	La Graufesenque; sek. verbrannt Rychener 1984, 111 Nr. 7
87	SCOTI[		Scottius	Drag. 27	Rö 227/229 FK 932	14	vgl. ST 86
88	SCO[		Scottius	BS Teller/Schale	Rö 209 FK 71	-	vgl. ST 86
89	SEC[		Secundus	Schale	Rö 227/229 FK 389	-	Bechert/Vanderhoeven 1988, 87ff. Nr. 338–352
90	]SECVN		Secundus	Schale	Rö 227/229 FK 810	129	vgl. ST 89
91	]ECVNDI		Secundus	Schale	Rö 227/229 FK 703	-	Graffito «M» auf Bodenunterseite Koller/Doswald 1996, 446 Nr. 102
92	]CVND		Secundus	Drag. 24	Rö 221 FK 34	-	vgl. ST 89
93	]VS		ungelesen	Hofheim 8	Rö 209 FK 212	141	
94	]VS[		ungelesen	Drag. 29	Rö 209 FK 202	-	
95	VIRTHVS[		Virthus	Drag. 18/31	Rö 209 FK 187	-	La Graufesenque Bechert/Vanderhoeven 1988, 97 Nr. 392

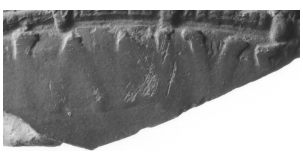
Zum Inhaltsverzeichnis

ST	Stempel	1:1	Töpfer	Gefässform	Fundort	Kat.	Bemerkungen
96	]VITALIS		Vitalis	unbestimmt	Rö 227/229 FK 458	-	Koller/Doswald 1996, 444 Nr. 51
97	]VITA		Vitalis	unbestimmt	Rö 227/229 FK 1431	-	Planck 1975, 246 Nr. 390–392
98	Rosette			Teller	Rö 227/229 FK 410	-	Planck 1975, 250 Nr. 456
99	NH.IN bzw. anepigraphisch		ungelesen	Drag. 27	Rö 227/229 FK 288	-	N retrograd
100	IV.AII bzw. anepigraphisch		ungelesen	Schale	Rö 227/229 FK 394	-	
101	anepigraphisch		ungelesen	Hofheim 8	Rö 209 FK 235	-	
102	anepigraphisch		ungelesen	Schale	Rö 209 FK 67	-	
103	anepigraphisch		ungelesen	Schale	Rö 227/229 FK 263	-	
104	anepigraphisch		ungelesen	Schale	Röweg 5 FK 71	-	
105	unleserlich			Schale	Ho 3 FK 240	103	
106	unleserlich			Schüssel	Rö 227/229 FK 258	-	
107	unleserlich			Drag. 27	Rö 209 FK 345	-	
108	unleserlich			Schale	Rö 227/229 FK 686	-	
109	unleserlich			Drag. 27	Rö 227/229 FK 710	-	
110	unleserlich			Schale	Rö 227/229 FK 767	-	
111	unleserlich			Schale oder Schüssel	Röweg 5 FK 64	-	
112	unleserlich			Drag. 18/31	Röweg 5 FK 96	-	

Mittelgallische Terra Sigillata

113	MATERNI·M		Maternianus	Drag. 18/31	Rö 227/229 FK 869	-	Lezoux DAF 6, 283.

Ostgallische Terra Sigillata

114	CIBISVSF		Cibisus	Schüssel	Rö 209 FK 129	-	Ittenweiler/Mittelbronn, Graffito auf der Bodenunterseite; sek. verbrannt
115	CIBISV[S		Cibisus	Drag. 37	Röweg 5 FK 18.19	225	Ittenweiler/Mittelbronn; intradekorativ, vgl. ST 114
116	CIRIVNAF		Ciriunna	Drag. 33	Röweg 5 FK 19	209	Heiligenberg Forrer 1911, Taf. 10,14; Planck 1975, 230 Nr. 83–85
117	IANVF		Ianus	Drag. 37	Röweg 5 FK 19	224	Heiligenberg DAF 6, 227; unterhalb des Dekors

ST	Stempel	1:1	Töpfer	Gefässform	Fundort	Kat.	Bemerkungen
118	REGINF		Reginus	Drag. 37	Röweg 5 FK 18.19	222	Heiligenberg; intradekorativ Urner-Astholz 1946, Taf. 31,15.15a; Luik 1996, 150
119	SATVRNINUS	1:2 	Saturninus	Teller	St. Arbogast FK 3	-	Boucheporn bzw. Chémery DAF 6, 212–216; Luik 1996, 145

Terra-Sigillata-Imitationen

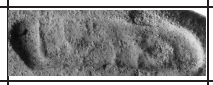
120	]CIOF		ungelesen	Teller	Rö 209 FK 286	-	
121	PINDARVS		Pindarus	Schale	Rö 227/229 FK 413	-	2.–3. Viertel 1. Jh. ;Vindonissa und Vidy Drack 1945, 163 Nr. 66; Meyer-Freuler 1998, 306 Nr. 43
122	PINDARVS		Pindarus	Schale	Rö 227/229 FK 914	-	vgl. ST 121
123	ungelesen			Teller	Rö 209 FK 264	75	

Reibschüsseln

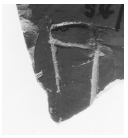
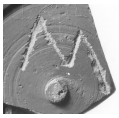
124	CAT[ ]		C. Atisius Gratus?	Reibschüssel	Rö 227/229 FK 395	-	Laroche 1987, 328
125	DEVIX F	1:2 	Devix	Reibschüssel	Rö 221 FK 33	196	Stempelung nicht radial, sondern tangential auf dem Rand
126	DINI?	 1:2	ungelesen	Reibschüssel	Rö 221 FK 33	197	zweizeilig?
127	C.M			Reibschüssel	Rö 227/229 FK 394	-	beidseits der Mündung, Lesung unsicher Rychener 1984, 114 Kat. 469; ohne Abbildung
128	RAE	 1:2	Raeticus	Reibschüssel	Rö 203 FK 26	38	vgl. ST 129 Rychener 1984, 114 Kat. 525; 582
129	RA[E	 1:2	Raeticus	Reibschüssel	Rö 227/229 FK 834	-	Rychener 1984, 114 Kat. 525; 582; Hochuli-Gysel et al. 1986, Taf. 34
130	] C C [	 1:2		Reibschüssel	Rö 227/229 FK 1189	-	bei der Mündung
131	anepigraphisch	 1:2		Reibschüssel	Rö 227/229 FK 668	-	bei der Mündung

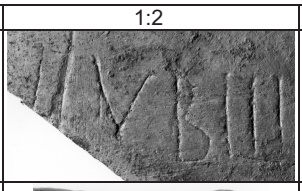
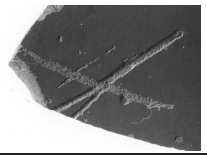
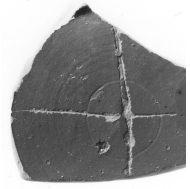
Zum Inhaltsverzeichnis

Amphoren

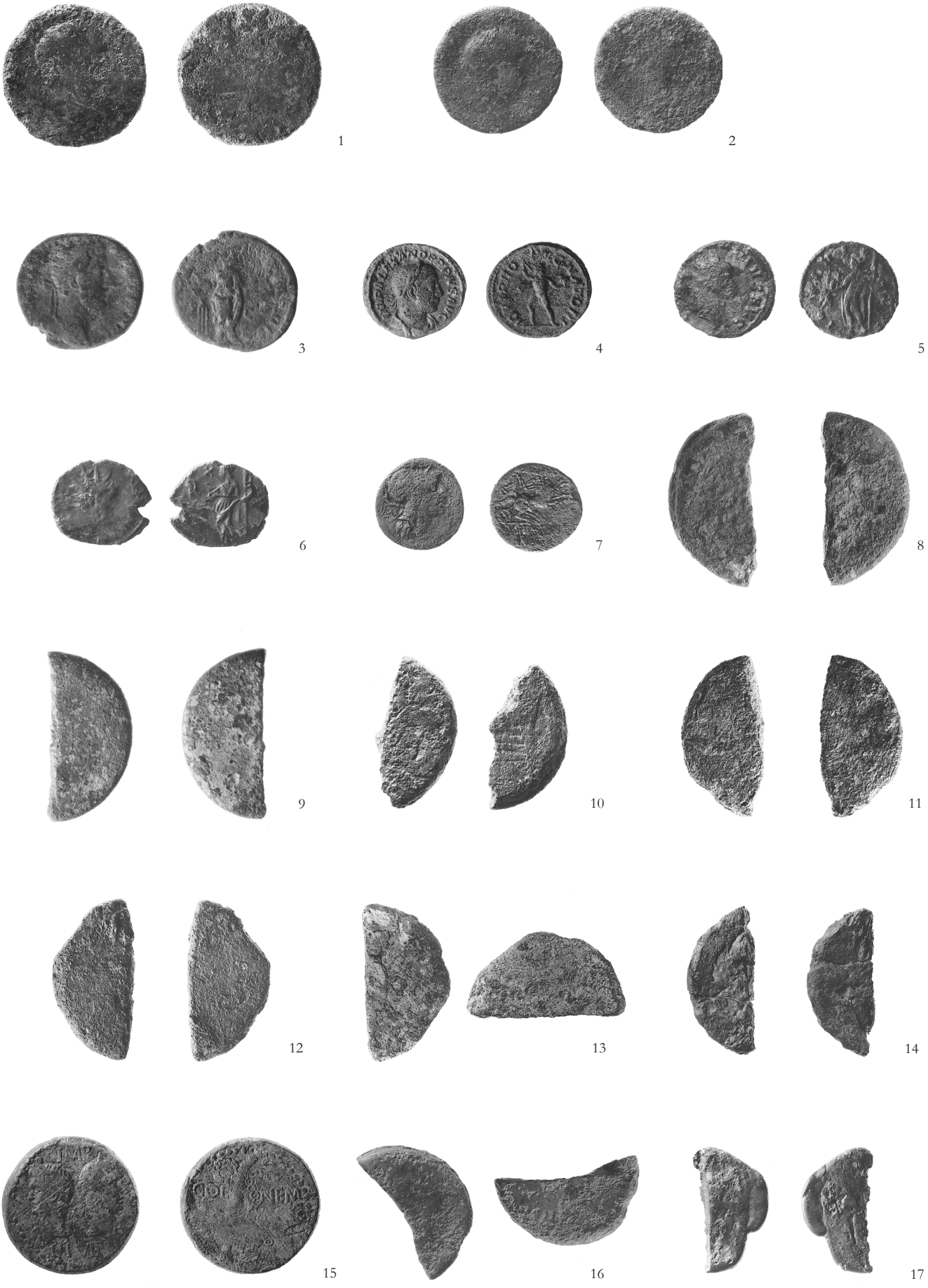
ST	Stempel	1:2	Töpfer	Gefässform	Fundort	Kat.	Bemerkungen
132	II IVN MELISSI | ET M[		II IVN(iorum) MELISSI ET MELISS(a) E	Henkel Dressel 20	Ho 3 FK 24	123	Martin-Kilcher 1987, 118 ST 69b–g
133	II IVN MELISSI | ET MELISSE		II IVN(iorum) MELISSI ET MELISS(a) E	Henkel Dressel 20	Ho 3 FK 223	149	Martin-Kilcher 1987, 118 ST 69b–g
134	QMR?		QMR?	Henkel Dressel 20	Rö 227/229 FK 1293	-	retrograd; Lesung unsicher Martin-Kilcher 1987, 121 ST 75b
135	PHO		Philo	Henkel Dressel 20	Rö 221 FK 83	141	Mitte 1. Jh. Martin-Kilcher 1987, 126f. Abb. 69, ST 90 a–d
136	QIMF		QIMF	Henkel Dressel 20	Rö 227/229 FK 141	-	Martin-Kilcher et al. 1985, Nr. 180, 184; Martin-Kilcher 1987, 116 ST 66

Diverse Graffiti

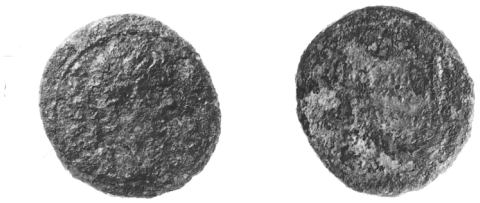
GR	Graffito	1:1	Lesung	Gefässform	Fundort	Kat.	Bemerkungen
1	]A			TS unbestimmt BS	Rö 209 FK 21		vgl. ST 25
2	DVMMI	1:2 		Drag. 15/17	Rö 209 FK 348	-	Ritzgraffito auf Unterseite und auf Standring; sek. verbrannt; südgall. TS
3	M			Schale	Rö 227/229 FK 703	-	auf Bodenunterseite; südgall. TS
4	MA			Drag. 37	Röweg 5 FK 18	226	Ostgall. TS, unterhalb des Reliefs
5	MD			Drag. 37	Röweg 5 FK 18.19	223	Ostgall. TS, Verecundus
6	MD			Drag. 37	Röweg 5 FK 18.19	222	Ostgall. TS, Reginus; vgl. ST 118

GR	Graffito	1:2	Lesung	Gefässform	Fundort	Kat.	Bemerkungen
7	]I TVB LII		]I Tubus 52?	Topf 1:4	Rö 203 FK 12	27	Lesung P. Frei, Zürich, H. Herzig, Bern
8	ein Zeichen		ungelesen	TS unbestimmt BS	Rö 209 FK 129		vgl. ST 114
9	zwei Zeichen		ungelesen	Drag. 15/17	Rö 209 FK 348		vgl. GR 2
10	Kreuz			Schale	Rö 227/229 FK 646	-	auf Bodenunterseite; südgall. TS
11	Kreuz			Drag. 35	Rö 227/229 FK 1007	-	Unterseite einer Wandscherbe; südgall. TS
12	Kreuz			Schale	Röweg 5 FK 64	-	unter dem Boden; südgall. TS

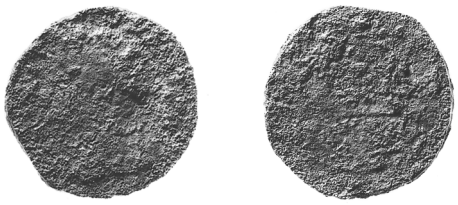
Zum Inhaltsverzeichnis



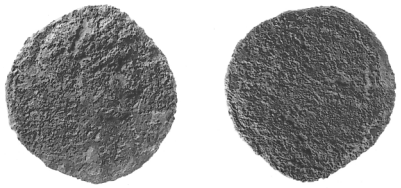
Ausgewählte Fundgruppen. Münzen. 1–6 Kirchhügel; 7–17 Vicus Nordostquartier. M. 1:1.



18



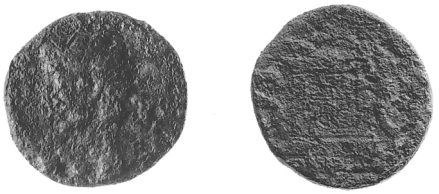
19



20



21



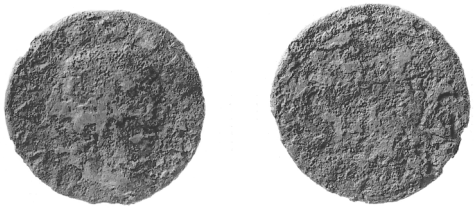
22



23



24



25



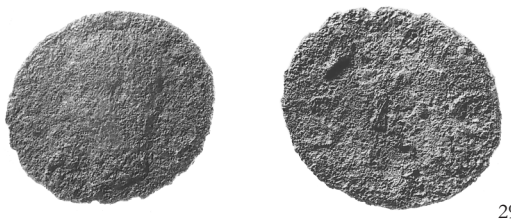
26



27



28



29



30

Ausgewählte Fundgruppen. Münzen. 18–30 Vicus Nordostquartier. M. 1:1.

Zum Inhaltsverzeichnis



31



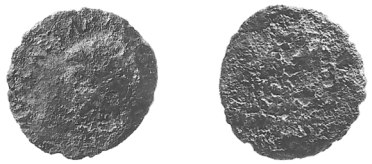
32



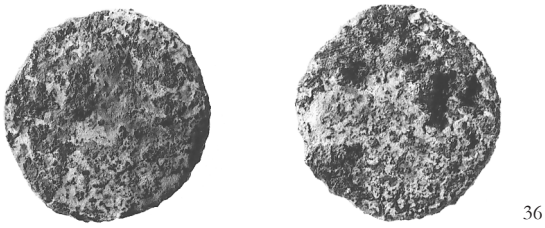
33



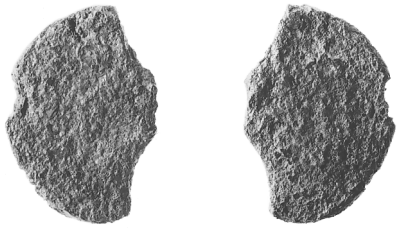
34



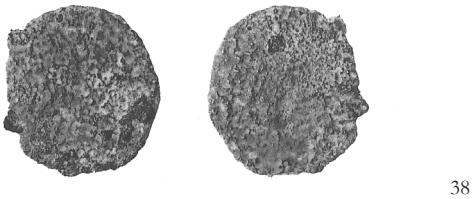
35



36



37



38



39



40

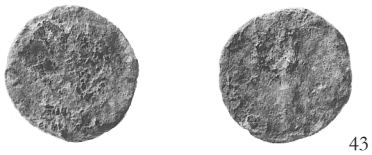


41



42

Ausgewählte Fundgruppen. Münzen. 31–42 Vicus Nordostquartier. M. 1:1.



43



44



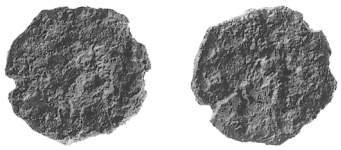
45



46



47



48



49



50



51



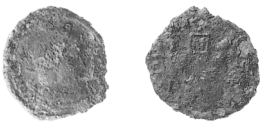
52



53



54



55



56



57



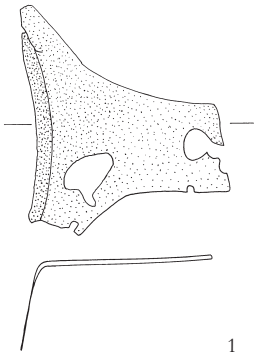
58



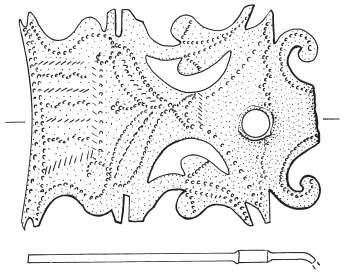
59

Ausgewählte Fundgruppen. Münzen. 43–59 Vicus Nordostquartier. M. 1:1.

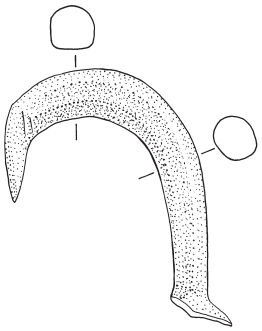
Zum Inhaltsverzeichnis



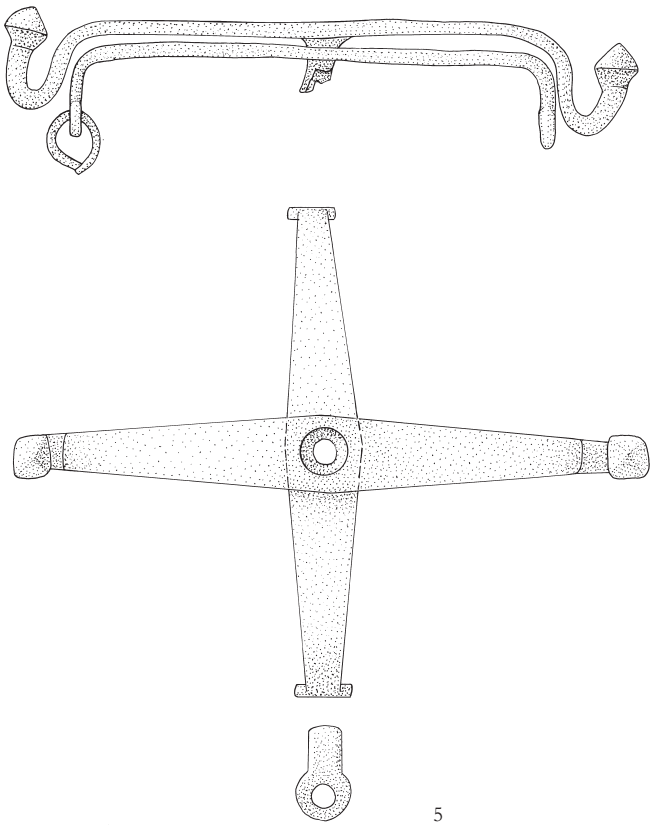
1



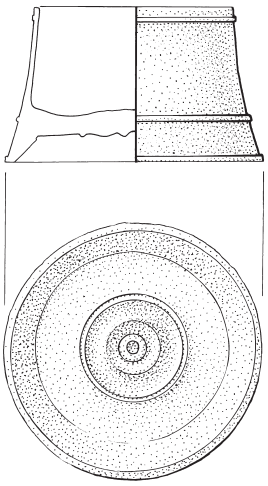
2



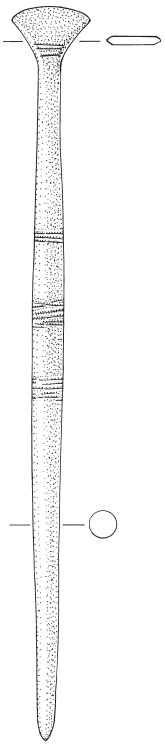
4



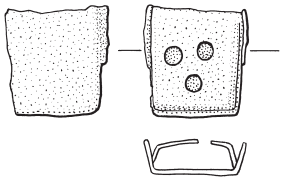
5



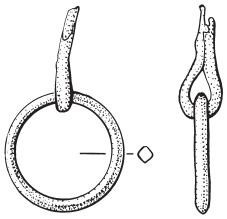
6



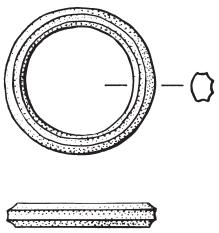
7



8

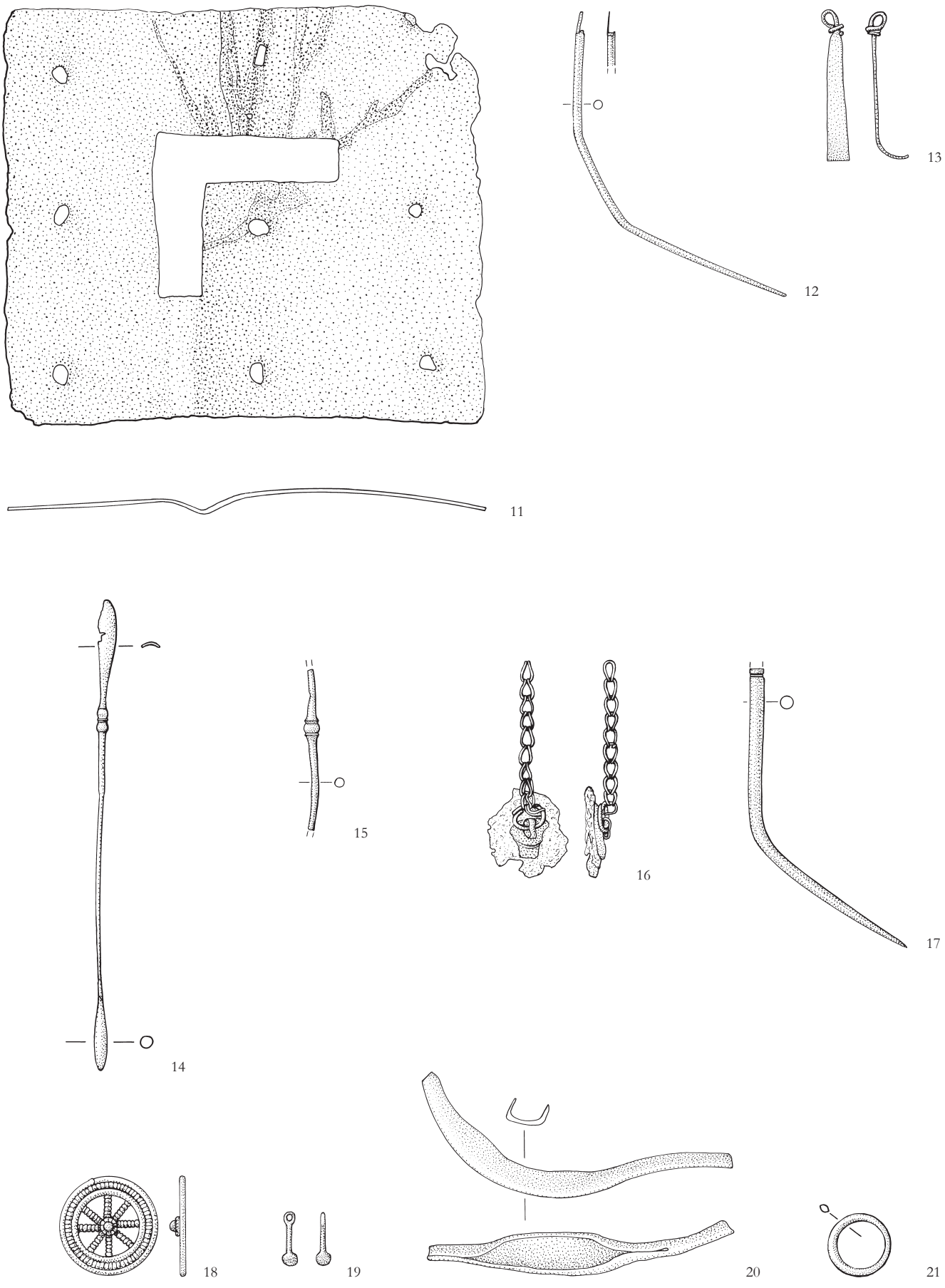


9



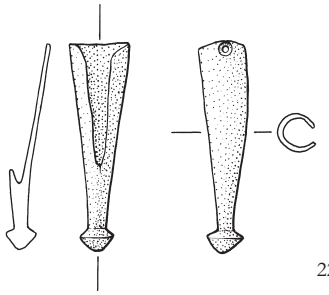
10

Ausgewählte Fundgruppen. Buntmetall. 1.2.4 Gefässteile; 5–6 Laternenteile; 7–8 Schreibgerät; 9–10 Möbel-/Kästchenteile. M. 2:3.

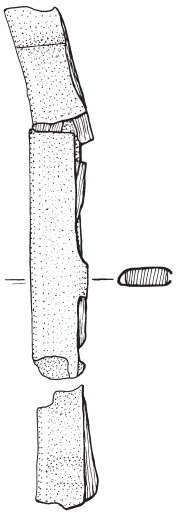


Ausgewählte Fundgruppen. Buntmetall. 11 Möbel-/Kästchenteile; 12 Nähnadel; 13 Teil einer Waage; 14–15 Löffelsonden; 16 Salbfläschchen; 17 Haarnadel; 18–19 Schmuck-/Trachtanhänger; 20 Armring; 21 Fingerring. M. 2:3.

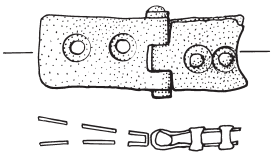
Zum Inhaltsverzeichnis



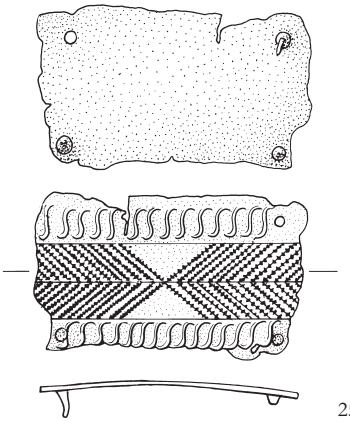
22



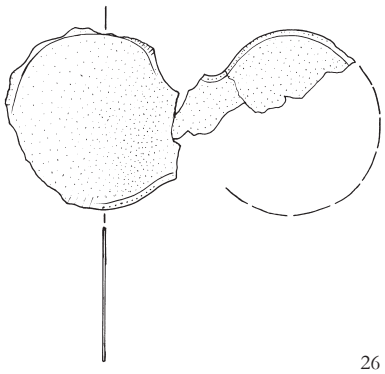
23



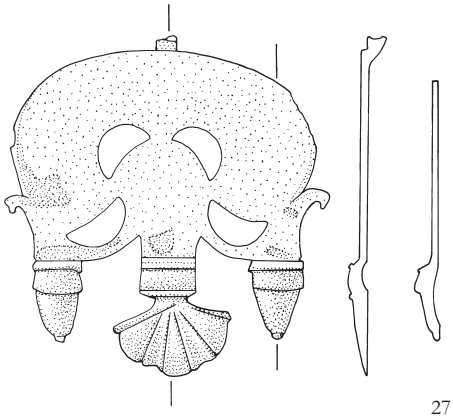
24



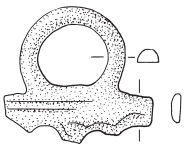
25



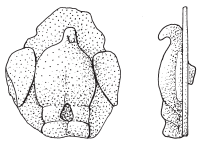
26



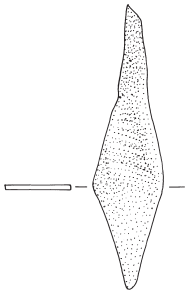
27



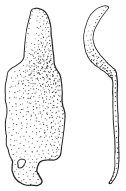
28



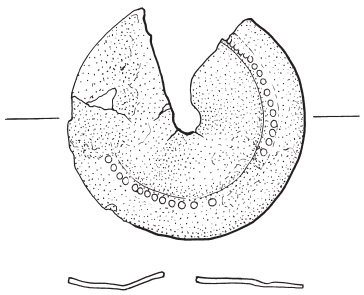
29



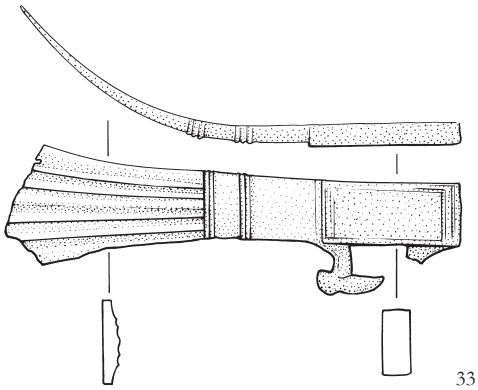
30



32

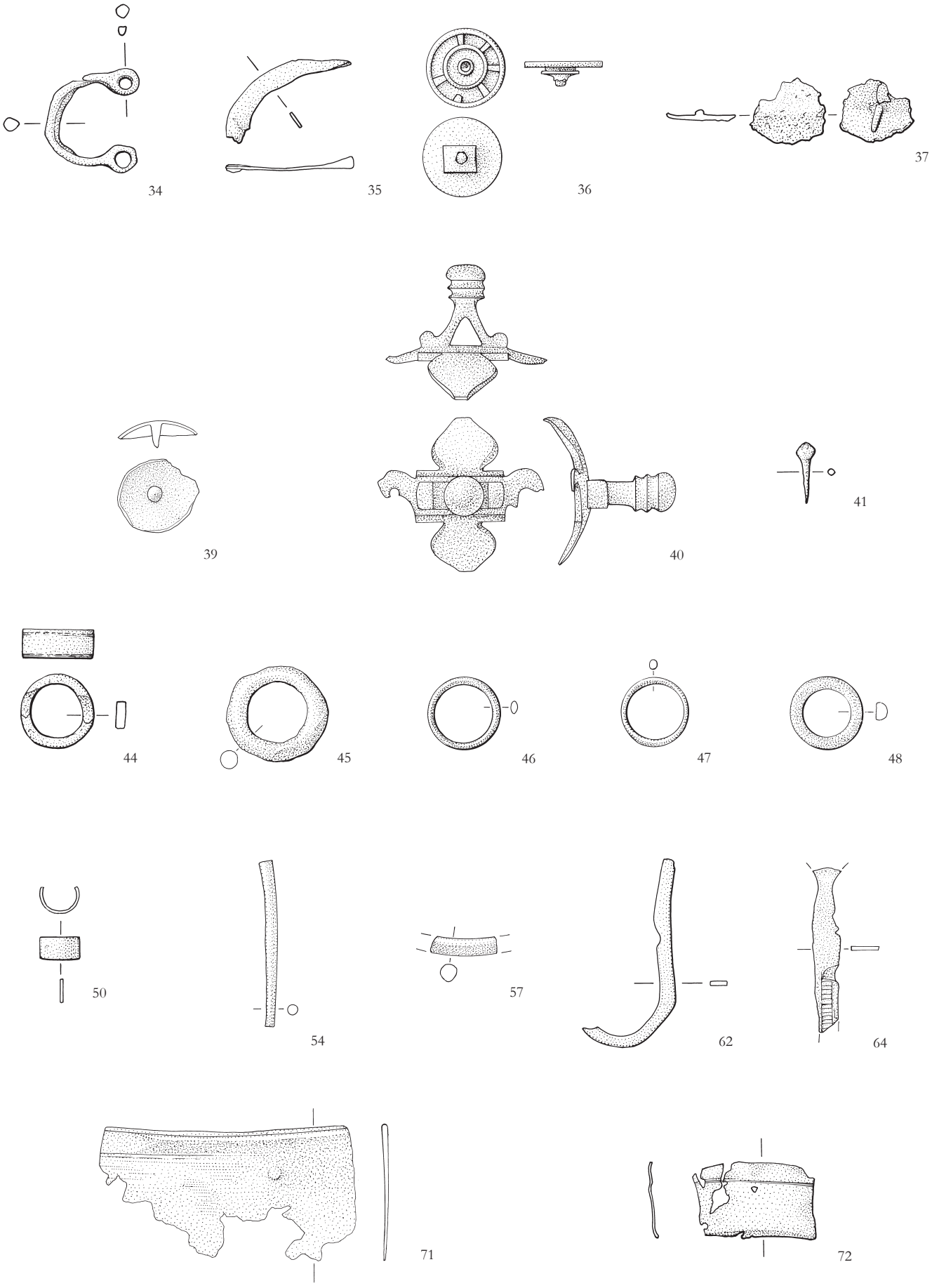


31



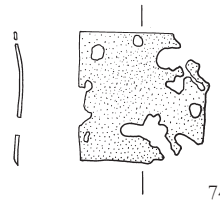
33

Ausgewählte Fundgruppen. Buntmetall. 22 Speerschuh; 23 Schildrand; 24 Schienenpanzerbeschlag; 25 Gürtelblech; 26–30 Pferdegeschirranhänger; 31–33 Zaumzeugteile. M. 2:3.

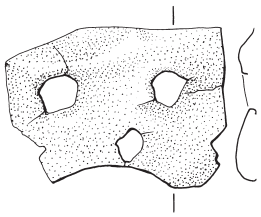


Ausgewählte Fundgruppen. Buntmetall. 34–37.39 weitere militärische Ausrüstung; 40 Zuggeschirrteil; 41 Nagel; 44–48.50 Ringe; 54.57.62.64 Drähte, Stäbchen und Bänder; 71–72 Bleche. M. 2:3.

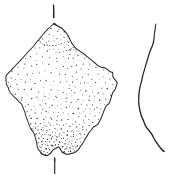
Zum Inhaltsverzeichnis



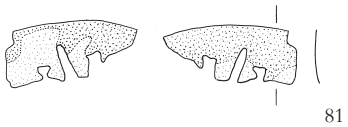
74



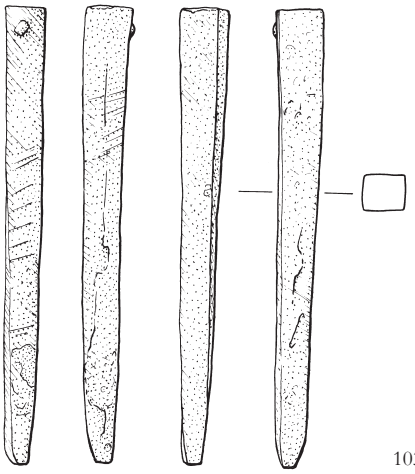
76



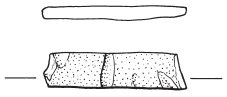
80



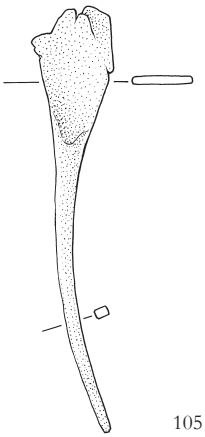
81



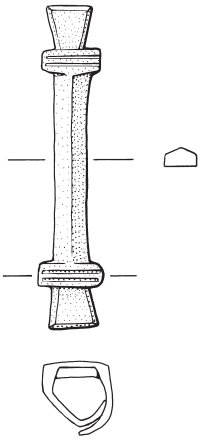
103



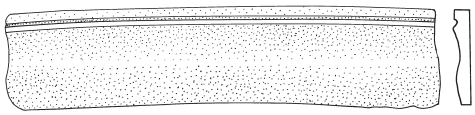
104



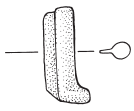
105



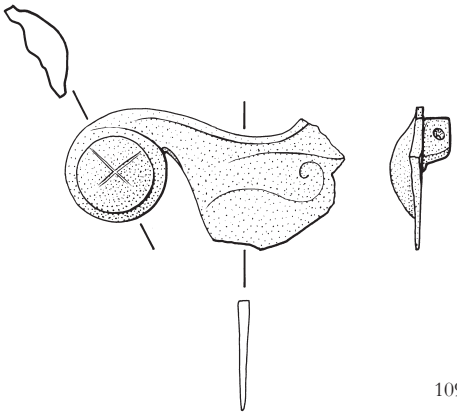
107



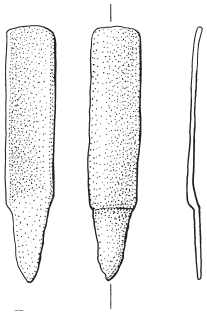
106



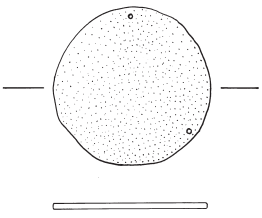
112



109

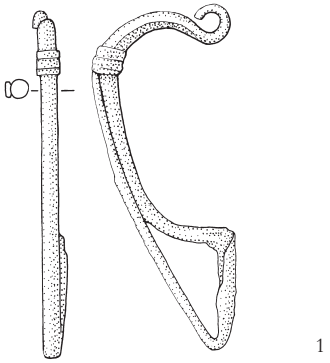


111

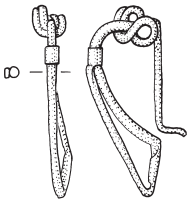


Zusatz vgl. Katalog

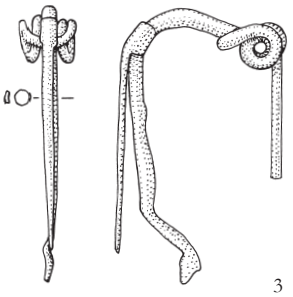
Ausgewählte Fundgruppen. Buntmetall. 74.76.80–81 Bleche; 103–105 Werkzeug und Halbfabrikate; 106–107.109.111–112 Funktion unbekannt; Waagschale (Zusatz vgl. Katalog). M. 2:3.



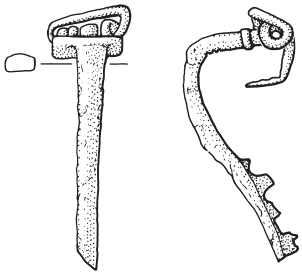
1



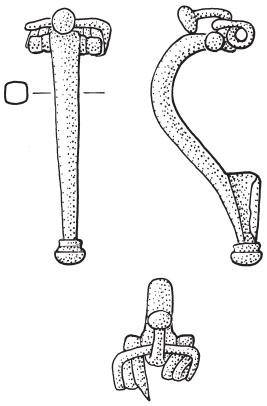
2



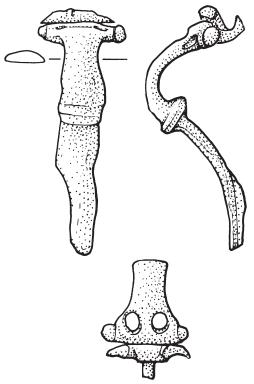
3



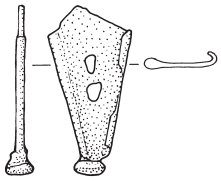
4



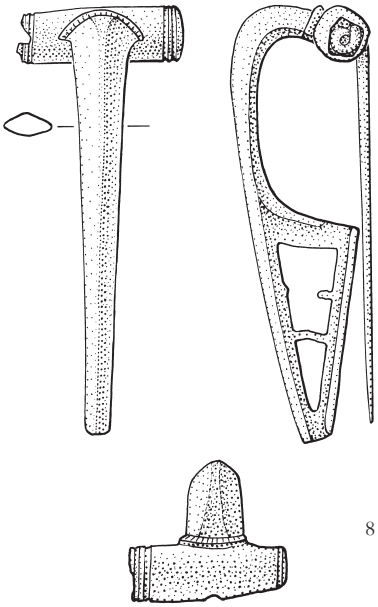
5



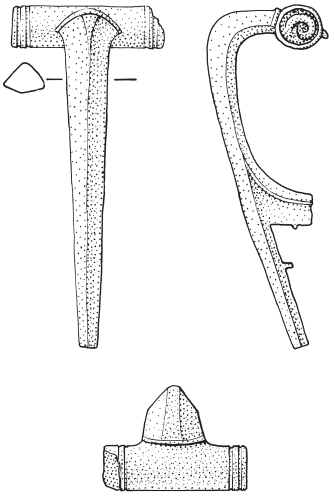
6



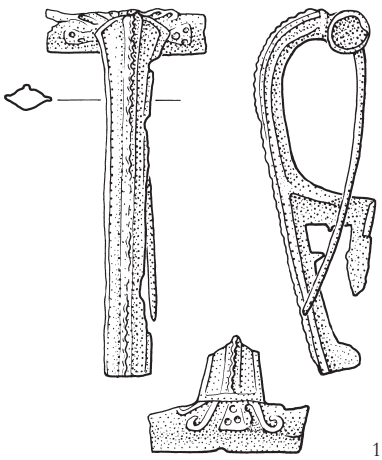
7



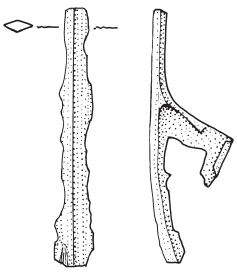
8



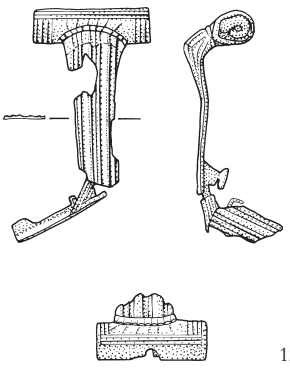
9



10



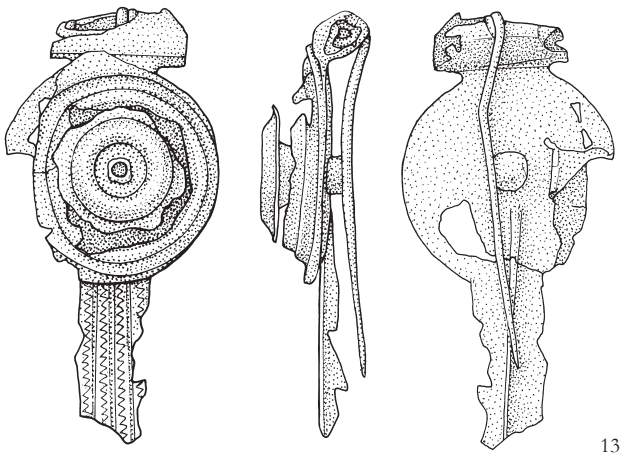
11



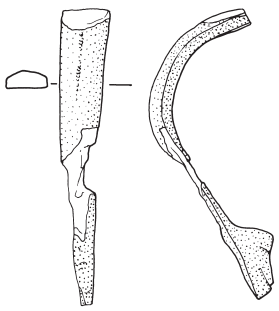
12

Ausgewählte Fundgruppen. Fibeln. 1–7 Spiralfibeln; 8–12 Hülsenspiralfibeln. M. 2:3.

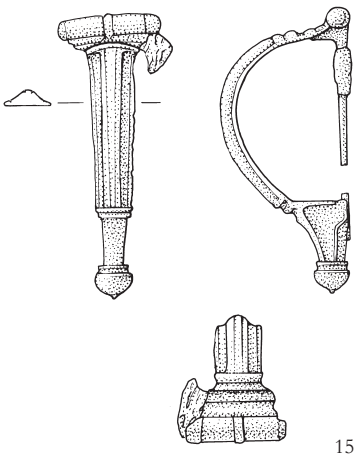
Zum Inhaltsverzeichnis



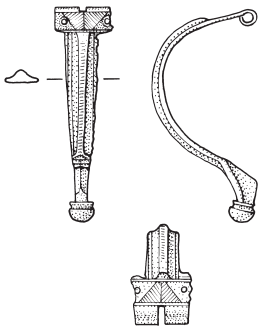
13



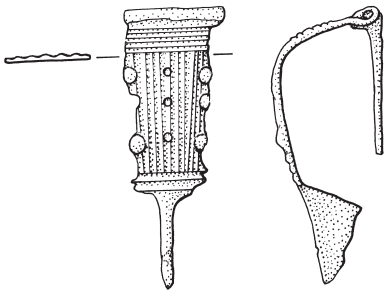
14



15

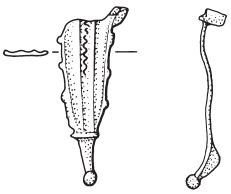


16

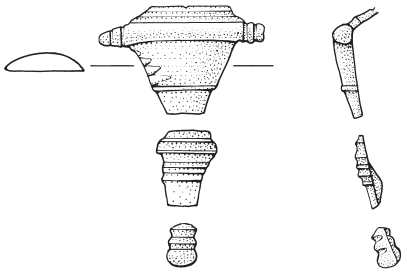




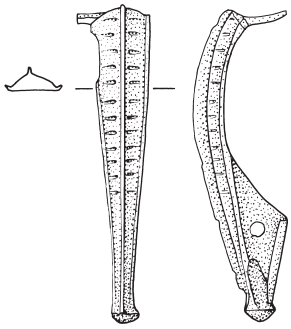
17



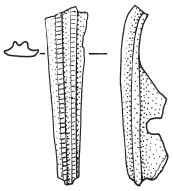
18



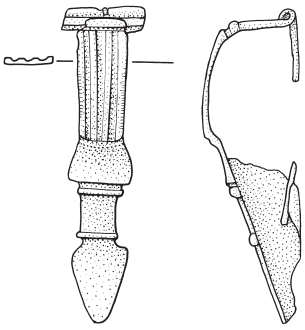
19



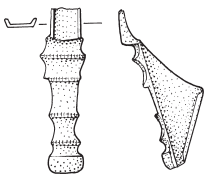
20



21

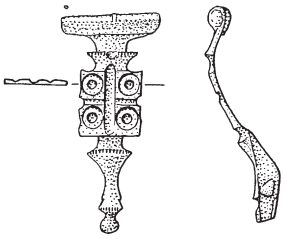


22

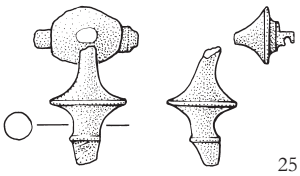


23

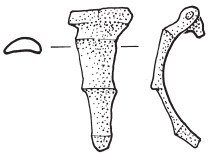
Ausgewählte Fundgruppen. Fibeln. 13 Hülsenspiralfibel; 14–23 Hülsenscharnierfibeln. M. 2:3.



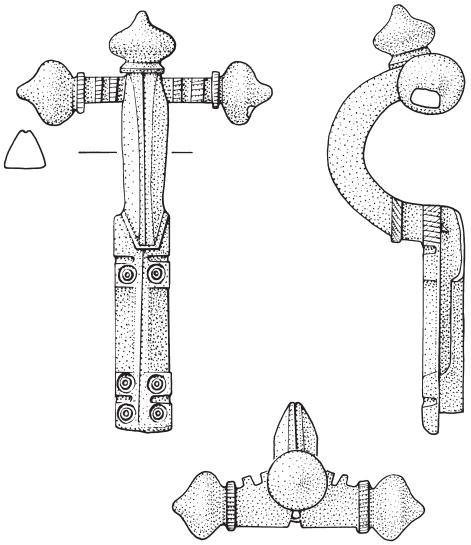
24



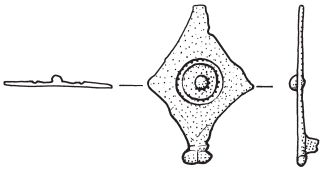
25



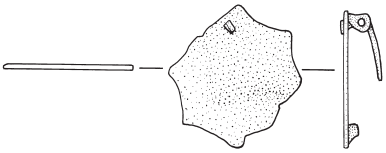
26



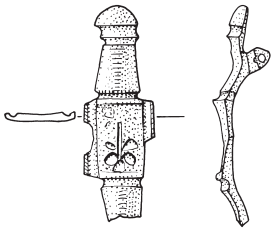
27



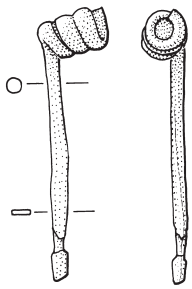
28



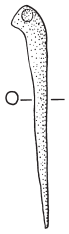
29



30



31



32

Ausgewählte Fundgruppen. Fibeln. 24–26 Hülsenscharnierfibeln; 27 Röhrenscharnierfibel; 28–30 Backenscharnierfibeln; 31–32 Nadeln. M. 2:3.

Der «Vicus» Vitudurum. Rekonstruktionsversuch der Situation etwa um 100 n.Chr. Im Vordergrund der Kirchhügel mit dem ummauerten heiligen Bezirk mit Tempel und Nebengebäude; rechts das «Bad», links davon drei parallele Häuser, linker Hand das Quartier Unteres Bühl (Bild: Sibylle Heusser und Marcus Moser, Oculus, Atelier für Illustration, Zürich).



Zum Inhaltsverzeichnis

Zum Inhaltsverzeichnis

Zum Inhaltsverzeichnis

PUBLIKATIONEN DER KANTONSARCHÄOLOGIE ZÜRICH

Berichte der Zürcher Denkmalpflege Kanton

Berichte 1–11, inkl. Archäologie

1. Bericht 1958–1959 (1961) vergriffen
2. Bericht 1960–1961 (1964) vergriffen
3. Bericht 1962–1963 (1967)
4. Bericht 1964–1965 (1969)
5. Bericht 1966–1967 (1971)
6. Bericht 1968–1969 (1973)

7.1 Bericht 1970–1974 1. Teil (1975)
7.2 Bericht 1970–1974 2. Teil (1978)
8. Bericht 1975–1976 (1980)
9.1 Bericht 1977–1978 1. Teil (1982)
10.1 Bericht 1979–1982 1. Teil (1986)
11. Bericht 1983–1986 (1995)

Berichte der Kantonsarchäologie Zürich

Ab Band 12 erscheinen die Berichte der Kantonalen Denkmalpflege und der Kantonsarchäologie getrennt

12.1 Archäologie im Kanton Zürich 1987–1992 1. Teil (1994)
13 Archäologie im Kanton Zürich 1993–1994 (1996)
14 Archäologie im Kanton Zürich 1995–1996 (1998)
15 Archäologie im Kanton Zürich 1997–1998 (2000)

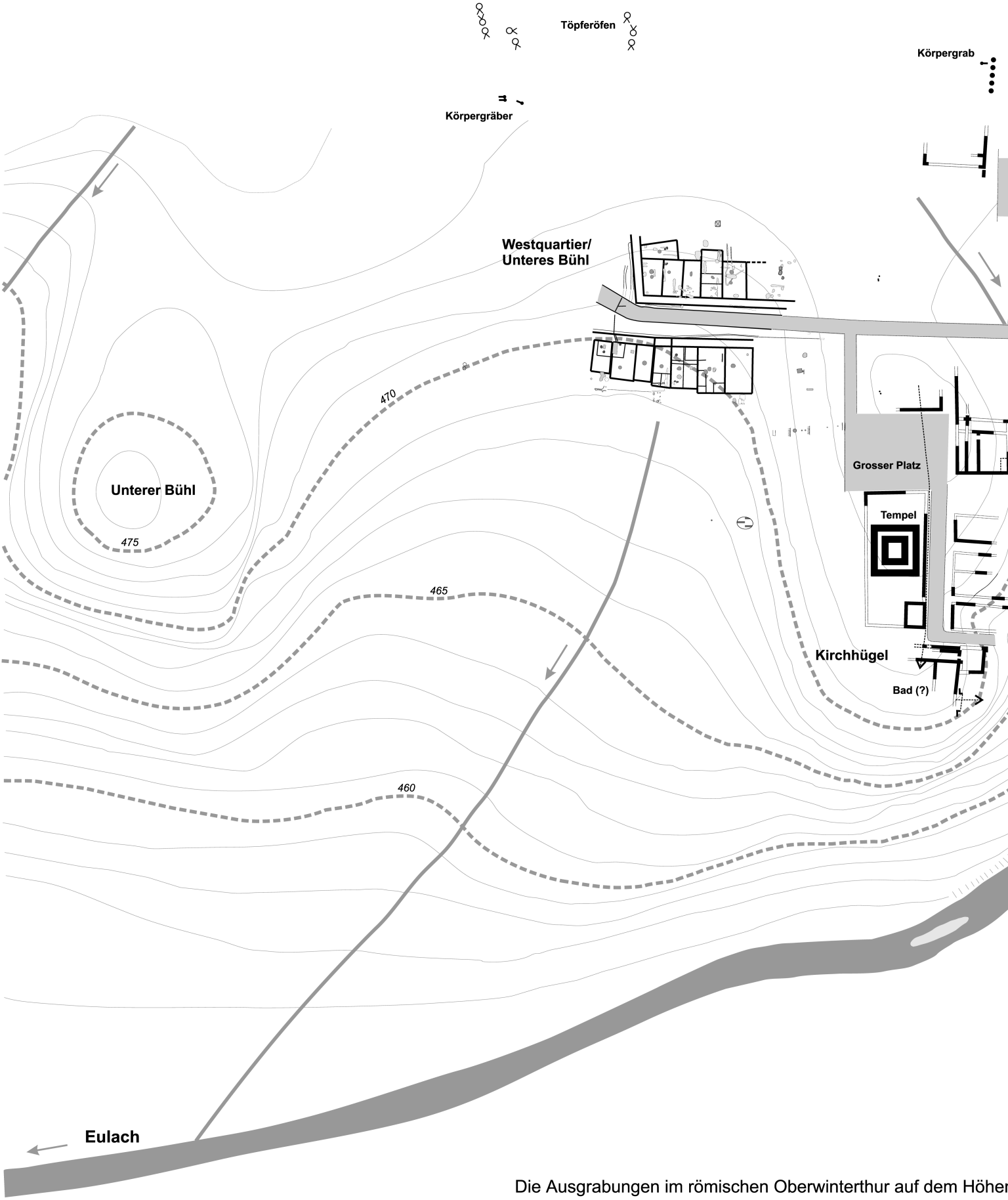
Monographien der Kantonsarchäologie Zürich

1 Jürg Rychener, Der Kirchhügel von Oberwinterthur. Die Rettungsgrabungen von 1976, 1980 und 1981. Beiträge zum römischen VITUDURUM – Oberwinterthur 1 (1984)
2 Jürg Rychener, Peter Albertin, Christiane Jacquat, Beiträge zum römischen VITUDURUM – Oberwinterthur 2. Ein Haus im Vicus Vitudurum – die Ausgrabungen an der Römerstrasse 186. Römerzeitliche Pflanzenfunde aus Oberwinterthur (1986)
3 Peter J. Suter, Zürich «Kleiner Hafner». Tauchgrabungen 1981–1984 (1987)
4 Zürich «Mozartstrasse». Neolithische und bronzezeitliche Ufersiedlungen 1 (1987)
5 Beat Rütti, Beiträge zum römischen Oberwinterthur – VITUDURUM 4. Die Gläser (1988)
6 Jürg Rychener, Beiträge zum römischen Oberwinterthur – VITUDURUM 3. Die Rettungsgrabungen 1983–1986 (1988)
7 Stefanie Jacomet et al., Archäobotanik am Zürichsee. Ackerbau, Sammelwirtschaft und Umwelt von neolithischen und bronzezeitlichen Seeufersiedlungen im Raum Zürich. Ergebnisse von Untersuchungen pflanzlicher Makroreste der Jahre 1979–1988 (1989)
8 Walter Drack, Der römische Gutshof bei Seeb, Gem. Winkel. Ausgrabungen 1958–1969 (1990)
9 Üetliberg, Uto-Kulm. Ausgrabungen 1980–1989 (1991). (2 Bände)
10 Beiträge zum römischen Oberwinterthur – VITUDURUM 5. Die Funde aus Holz, Leder, Bein, Gewebe. Die osteologischen und anthropologischen Untersuchungen (1991)
11 Bronzezeitliche Landsiedlungen und Gräber (1992)
12 Peter Lehmann, Zwei Töpferöfen in der Winterthurer Altstadt. Ein spätmittelalterlicher Töpferofen: Archäologisch-historische Auswertung der Grabung Untertor 21–25. Eine Hafnerwerkstatt des 19. Jahrhunderts: Die archäologische Untersuchung der Liegenschaft Oberer Graben 28 (1992)
13 Renata Windler, Das Gräberfeld von Elgg und die Besiedlung der Nordostschweiz im 5.–7. Jh. (1994)
14 Carola Jäggi et al., Die Stadtkirche St. Laurentius in Winterthur. Ergebnisse der archäologischen und historischen Forschungen (1993)
15 Daniel Jomini, Anita Siegfried, Das spätrömische Kastell von Kloten (in Vorb.)
16 Hans-Markus von Kaenel et al., Der Münzhort aus dem Gutshof in Neftenbach. Antoniniane und Denare von Septimius Severus bis Postumus (1993)
17 Zürich «Mozartstrasse». Neolithische und bronzezeitliche Ufersiedlungen 2: Tafeln (1992)
18 Zürich «Mozartstrasse». Neolithische und bronzezeitliche Ufersiedlungen 3: Die neolithische Keramik (1993)
19 Zürich «Mozartstrasse». Neolithische und bronzezeitliche Ufersiedlungen: Die Befunde (in Vorb.)
20 Ökonomie und Ökologie neolithischer und bronzezeitlicher Ufersiedlungen am Zürichsee. Ergebnisse der Ausgrabungen Mozartstrasse, Kanalisationssanierung Seefeld, AKAD/Pressehaus und Mythenschloss in Zürich (1997)
21 Jungsteinzeitliche Ufersiedlungen im Zürcher Seefeld: Die Befunde (in Vorb.)
22 Jungsteinzeitliche Ufersiedlungen im Zürcher Seefeld 1: Die Keramik (1994)
23 Jungsteinzeitliche Ufersiedlungen im Zürcher Seefeld 2: Tafeln (1993)
24 Dölf Wild, Daniel Krebs, Die römischen Bäder von Zürich. Ausgrabungen am Weinplatz in der Altstadt von Zürich, 1983/84 (1993)
25 Christa Ebnöther, Der römische Gutshof in Dietikon (1995)
26 Burg – Kapelle – Friedhof, Rettungsgrabungen in Nänikon und Bonstetten (1995)
27 Beiträge zum römischen Oberwinterthur – VITUDURUM 7. Ausgrabungen im Unteren Bühl. Die Funde aus Metall. Ein Schrank mit Lararium des 3. Jahrhunderts (1996)
28 Calista Fischer, Innovation und Tradition in der Mittel- und Spätbronzezeit. Gräber und Siedlungen in Neftenbach, Fällanden, Dietikon, Pfäffikon und Erlenbach (1997)
29 Lotti Frascoli, Handwerker- und Kaufmannshaushalte im frühneuzeitlichen Winterthur. Untersuchungen zu vier Liegenschaften in der Altstadt (1997)
30 Beiträge zum römischen Oberwinterthur – VITUDURUM 8. Ausgrabungen im Unteren Bühl. Les fibules. Keramische Sondergruppen: bleiglasierte Keramik, Terrakotten, Lampen (1998)
31 Jürg Rychener, Der römische Gutshof in Neftenbach, 2 Bde. (1999)
32 Dölf Wild, Das Predigerkloster in Zürich (1999)
33 Josef Winiger, Annamaria Matter, Andrea Tiziani, Die Burg Schauenberg bei Hofstetten. Zeugnisse eines Burgenbruchs (2000)

Zürcher Archäologie (Hefte)

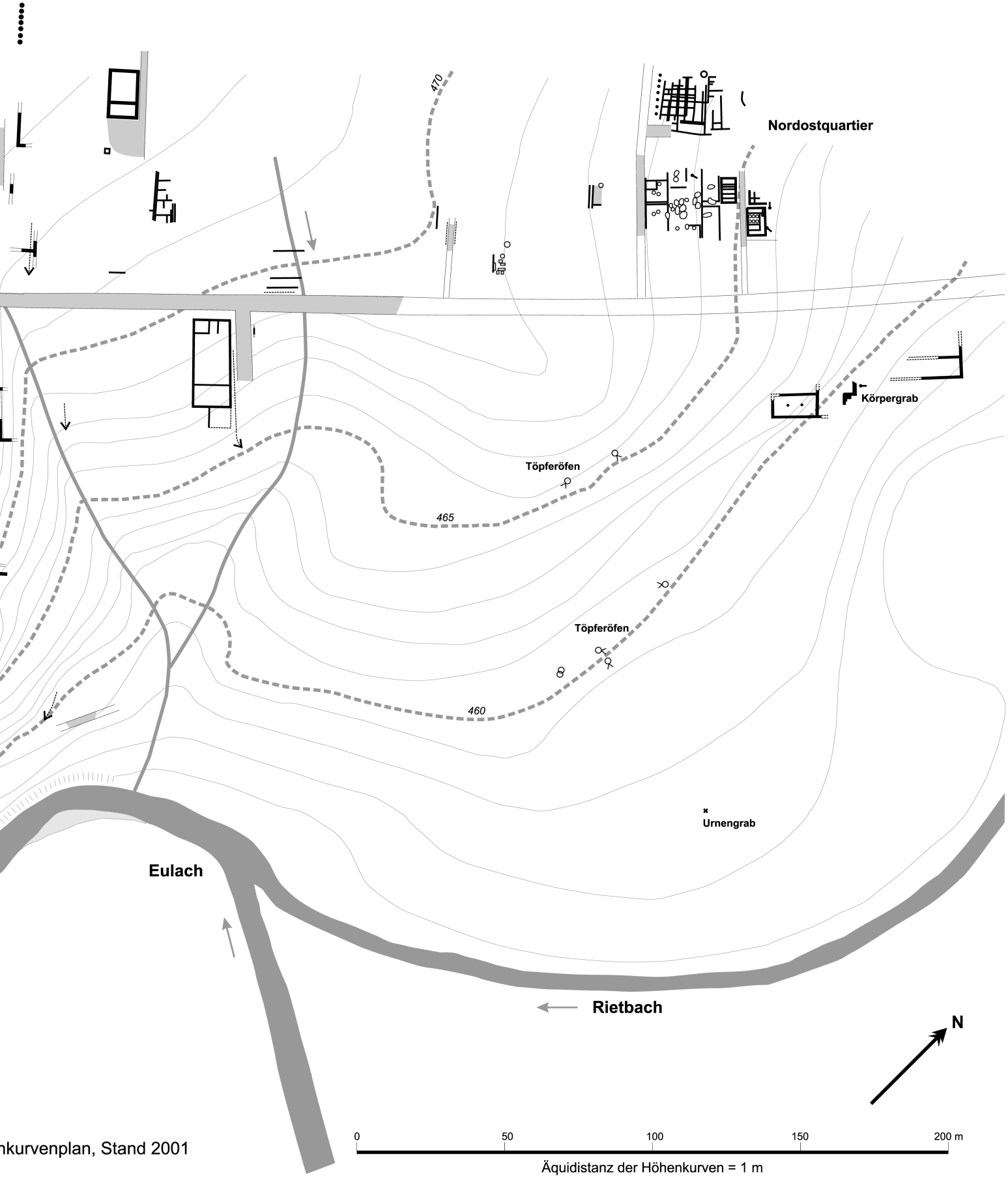
1 Ursula Hügi, Meilen-Rorenhaab (2000)
2 Sabine Bolliger, Wollishofen-Haumesser (2001)
3 Andreas Mäder, Zürich-Alpenquai I: Die Metallfunde (2001)
4 Christina Achour-Uster, Johanna Kunz, Birmensdorf-Stoffel (2001)

Zum Inhaltsverzeichnis



Die Ausgrabungen im römischen Oberwinterthur auf dem Höhen

Zum Inhaltsverzeichnis



nkurvenplan, Stand 2001

Baudirektion
Kanton Zürich
Hochbauamt
Kantonsarchäologie

ISBN 3-905647-43-5